

Tag 1888	Stat. Nr.	Breite N	Länge W	Höhe m	Lokal- zeit	Baro- meter 45°	Temp. C.	Dunst- druck	Relat. Feucht.	Wind. Richt. St.	Wolken. Form Bew	Nieder- schlag.	Anmerkungen.			
		°	°		h m	mm	°	mm	%							
Aug. 21.	—	64 27	40 53	725	8 31 a.	694,1	2,8	—	—	W	1	Ci	1			
"	—	64 27	40 54	780	9 46 a.	690,4	3,2	—	—	W	1	Ci	1			
"	5	64 28	40 56	871	11 46 a.	684,5	3,2	5,0	87	NNW	1	0	0			
"	"	"	"	"	1 36 p.	683,7	3,2	—	—	NW	1	0	0			
"	"	"	"	"	2 16 p.	683,6	3,0	—	—	NW	1	0	0			
"	"	"	"	"	7 26 p.	684,1	—	2,4	—	NW	1	Ci	1			
"	"	"	"	"	1 46 a.	683,4	—	5,0	—	NW	1	Ci	1			
"	22.	64 30	40 56	900	4 6 a.	677,4	—	5,0	—	NW	1	Ci	1			
"	—	64 31	40 59	930	6 1 a.	675,7	—	2,0	—	NW	1	Ci	1			
"	—	64 32	41 1	955	7 31 a.	674,9	—	0,4	—	NW	1	Ci	1			
"	6	64 32	41 2	973	8 46 a.	673,2	—	0,0	—	WNW	1	0	0			
"	"	"	"	"	9 56 a.	673,2	—	1,7	4,7	91	WNW	1	0	0		
"	"	"	"	"	11 36 a.	672,8	—	2,3	—	WNW	1	0	0			
"	"	"	"	"	6 26 p.	672,5	—	0,8	4,7	96	WNW	1	0	0		
"	"	"	"	"	9 6 p.	673,2	—	2,2	—	WNW	1	0	0			
"	23.	64 33	41 7	1120	3 26 a.	655,8	—	8,7	—	NW	1	0	0			
"	—	64 34	41 9	1210	6 46 a.	654,3	—	5,5	—	NW	1	Ci	1 ^a	Am 22. 11 ^h p. m. Nord- licht, hell, ein Bogen durch Zenith, mit rascher Bewegung gen Norden. Strah- len nahe am Zenith konvergierend. Wolken über dem Inn- lande.		
"	—	64 35	41 10	1250	8 30 a.	648,7	—	0,6	—	—	0	Ci	1 ^a			
"	—	64 35	41 11	1310	9 45 a.	645,2	—	0,3	—	NW	1	Ci	3 ^a			
"	7	64 35	41 12	1355	10 50 a.	643,1	—	0,6	—	—	0	Ci	3 ^a			
"	"	"	"	"	5 15 p.	642,1	—	1,2	4,0	94	SW	1	Ci	3 ^a		
"	—	64 37	41 14	1390	7 45 p.	637,8	—	—	—	—	—	—	—			
"	—	64 37	41 14	1396	7 55 p.	637,2	—	6,0	—	NW	1	Cieu	9			
"	—	64 37	41 21	1400	8 15 p.	635,6	—	—	—	—	—	—	—			
"	—	64 38	41 22	1413	8 20 p.	636,5	—	5,5	—	NW	1	Cieu	9			
"	24.	8	64 38	41 22	1413	10 0 a.	634,8	—	7,5	—	W	1	Cieu	9	Schwere Wolken immer über dem Inlande.	
"	"	"	"	"	10 25 a.	635,4	—	2,0	—	N	1	Cieu	10			
"	"	"	"	"	12 15 p.	635,2	—	1,1	3,9	91	NNE	1	Cieu	9		
"	—	64 38	41 23	1420	12 50 p.	634,1	—	—	—	—	—	—	—			
"	—	64 38	41 23	1440	1 30 p.	630,5	—	2,1	—	NE	1	Cieu	9			
"	—	64 38	41 23	1445	1 54 p.	629,4	—	—	—	—	—	—	—			
"	—	64 38	41 23	1450	2 14 p.	627,7	—	1,9	—	NE	1	Cist	10			
"	—	64 39	41 24	1455	2 59 p.	626,4	—	3,2	—	NE	1	Cist	10			
"	—	64 39	41 25	1460	3 4 p.	625,8	—	—	—	—	—	—	—			
"	—	64 39	41 25	1475	3 44 p.	623,8	—	4,2	—	NE	1	Cist	10			
"	—	64 39	41 25	1480	4 14 p.	622,7	—	—	—	—	—	—	—			
"	—	94 39	41 26	1490	5 4 p.	620,5	—	5,5	3,0	100	N	1	Cist	10		
"	—	64 39	41 28	1530	7 14 p.	620,6	—	5,6	—	N	1	Cist	9			
"	—	64 40	41 29	1535	7 44 p.	618,8	—	—	—	—	—	—	—			
"	—	64 40	41 30	1540	8 24 p.	617,4	—	—	—	—	—	—	—			
"	—	64 40	41 31	1570	9 14 p.	616,8	—	5,5	—	N	1	Cust	10			
"	25.	9	64 40	41 31	1570	8 14 a.	616,0	—	4,6	—	NW	1	Cieu	10		
"	"	"	"	"	10 14 a.	615,7	—	3,2	2,8	79	NW	2	Cieu	10		
"	"	"	"	"	11 14 a.	614,9	—	2,2	—	NW	1	Cieu	10			
"	—	64 40	41 31	1580	11 29 a.	614,4	—	—	—	—	—	—	—			
"	—	64 41	41 33	1590	12 14 p.	614,4	—	—	—	—	—	—	—			
"	—	64 41	41 33	1595	12 44 p.	612,9	—	2,5	—	NNW	1	Cieu	8			
"	—	64 41	41 34	1610	1 39 p.	610,1	—	3,3	—	NNW	1	Cist	8 ^a			
"	—	64 41	41 34	1630	2 4 p.	608,7	—	—	—	—	—	—	—			
"	—	64 41	41 35	1665	2 59 p.	609,8	—	4,2	—	NNW	1	Cist	9 ^a			
"	—	64 41	41 36	1667	3 34 p.	610,0	—	4,2	—	N	1	Cist	9 ^a			
"	—	64 42	41 37	1680	5 3 p.	607,8	—	—	—	—	—	—	—			
"	—	64 42	41 37	1690	5 13 p.	608,4	—	6,2	2,5	88	NW	1	Cist	3 ^a		
"	—	64 42	41 39	1700	6 43 p.	608,0	—	6,7	—	NNW	2	Cist	3 ^a			

Petermann's geographische Mitteilungen

"	"	"	"	"	"	0 58 p.	595,7	—	5,0	—	—	NW	3	Cist	1
"	"	"	"	"	"	3 27 p.	595,9	—	6,0	—	—	NW	3	Cist	2
"	"	"	"	"	"	5 12 p.	596,0	—	7,5	—	—	NW	3	Cist	1
"	"	"	"	"	"	5 42 p.	595,7	—	—	—	—	—	—	—	—

Geog. 180.2 B.d. Dec. 1893.



Harvard College Library

FROM THE REQUEST OF

MRS. ANNE E. P. SEVER.

OF BOSTON,

WIDOW OF COL. JAMES WARREN SEVER.

(Class of 1817.)

26 Nov. 1892 - 3 Nov. 1893.



DR. A. PETERMANN'S

MITTHEILUNGEN

AUS

JUSTUS PERTHES GEOGRAPHISCHER ANSTALT.

HERAUSGEGEBEN

VON

PROF. DR. A. SUPAN.

Ergänzungsband XXIII (Heft 105—109).

Inhalt:

- ① Nr. 105. Mohn und Nausen, Durchquerung von Grönland.
- ① Nr. 106. Ruge, Die Entwicklung der Kartographie von Amerika bis 1570.
- ① Nr. 107. Wagner und Supan, Die Bevölkerung der Erde. IX.
- ① Nr. 108. Naumann, Neue Beiträge zur Geologie und Geographie Japans.
- ① Nr. 109. Schott, Wissenschaftliche Ergebnisse einer Forschungsreise zur See in den Jahren 1891 und 1892.

GOTHA: JUSTUS PERTHES.

1893.

Geog. 180.2

Wissenschaftliche Ergebnisse
einer
Forschungsreise zur See,
ausgeführt in den Jahren 1891 und 1892

von
Dr. Gerhard Schott.

Mit sechs Tafeln [✓] und neun Figuren im Text.

(ERGÄNZUNGSHEFT No. 109 ZU „PETERMANN'S MITTHEILUNGEN“.)



GOTHA: JUSTUS PERTHES.
1893.

1.432

1892. Dec. 26 - 1893. Dec. 3.
Dear friend.

Herrn Geh. Admiralitätsrat

Prof. Dr. Georg Neumayer,

Direktor der Deutschen Seewarte in Hamburg,

in Verehrung und Dankbarkeit

zugeeignet

von

Verfasser.

VORWORT.

In der Einleitung sind, wie ich denke, alle zur Sache selbst notwendigen Erklärungen gegeben. Hier an dieser Stelle habe ich nur noch den Wunsch, der vielfachen wissenschaftlichen Unterstützung, welche ich während der Bearbeitung meiner Reisebeobachtungen erfahren habe, dankbarst zu gedenken.

Dies gilt in erster Linie von Herrn Geh.-Rat Dr. Neumayer, dem diese Blätter gewidmet sind, und von der Direktion der Deutschen Seewarte in Hamburg überhaupt. Wie so viele Andere, so rechne auch ich mich mit Stolz zu denjenigen, welchen es vergönnt war, den hohen Arbeitszielen dieser Anstalt näher zu treten, und es ist mir eine wahre Freude, in diesem kleinen Werke ein bescheidenes Zeichen meiner durch Herrn Dr. Neumayer wesentlich bestimmten Thätigkeit auf allgemein-geographischem Gebiete aufweisen zu können. Außerdem und ganz besonders habe ich Herrn Prof. Dr. Krümmel in Kiel zu nennen, welcher in unermüdlicher Fürsorge vor und nach der Reise, mündlich und schriftlich, mein Unternehmen wohlwollend gefördert hat; ferner Herrn Geh.-Rat Prof. Dr. Freiherrn F. v. Richthofen und den Vorstand der Gesellschaft für Erdkunde zu Berlin, sowie den russischen Admiral und Hydrographen Herrn S. O. Makaroff in St. Petersburg.

Den zahlreichen Herren und Behörden anderseits, welche seinerzeit äufserer, der Ausführung meiner Pläne entgegenstehende Schwierigkeiten beseitigen halfen, hoffe ich in einiger Zeit mich dadurch erkenntlich beweisen zu können, dafs ich in erzählender Form an der Hand dieser Seefahrten einem gröfsern Publikum einen Einblick in die heutige Segelschiffahrt und einen Überblick über die vielfachen Thatsachen und Probleme der Meereskunde zu geben versuchen werde. Ich werde diesen Gegenständen um so lieber mich zuwenden, da ich hierdurch besonders gegenüber dem opferwilligen Handelshause R. C. Rickmers in Bremen das Gefühl tief empfundener Dankbarkeit und gröfster Hochachtung vor dessen kaufmännischer und seemännischer Bedeutung zu einem äufserlichen Ausdruck zu bringen wünsche.

Potsdam, den 22. September 1893.

Gerhard Schott.

Nachträgliche Bemerkungen.

1) Zu Seite 4, 2. Absatz von oben:

Die Reise des „Robert Rickmers“, welche vom Englischen Kanal bis zum Äquator eine Dauer von 19 Tagen hatte, ist gewiss eine sehr schnelle Reise, aber doch heutzutage nichts Ungewöhnliches mehr. Ich ersehe dies aus einem höchst interessanten Aufsätze Kapt. Dinklages in den Annalen der Hydrographie (1893, Heft 5 u. 6), in welchem die wirklich staunenswerten Fortschritte speziell der deutschen Segelschiffahrt gerade während der letzten Jahre besprochen sind. Die schnellste je von irgend einem Segler zwischen Kanal und Linie gemachte Reise ist im Jahre 1886 von dem Schiffe „Erwin Rickmers“ ausgeführt worden, also einem Schiffe, das derselben Bremor Firma zugehört, auf deren Fahrzeugen fast das gesamte in vorliegender Arbeit publizierte Material von mir gesammelt wurde. Der „Erwin Rickmers“ durchlief die fast 6000 km lange Strecke in 15 Tagen 4 Stunden. Reisen mit einer Dauer von weniger als 20 Tagen kommen jetzt häufiger vor.

2) Zu Seite 22, 3. Absatz von oben:

Das speziell für Seewasseruntersuchungen konstruierte Totalrefraktometer unterscheidet sich von dem gewöhnlichen, schon 1874 von Prof. Abbe a. a. O. beschriebenen Instrument in dem wesentlichen Punkte, daß es — wie auch auf S. 23 bemerkt ist — gestattet, an dem in zwei Hälften geteilten Doppelprisma die Auslöschungsgrenzen der Totalreflexion für zwei Flüssigkeiten, also für destilliertes Wasser und Seewasser, an derselben Skala unmittelbar nacheinander abzulesen, wodurch eben die Messung nahezu unabhängig von der Temperatur gemacht wird. Die Anregung zu dieser wichtigen Modifikation ist von Herrn Prof. Krümmel ausgegangen; daher wird das Instrument jetzt in dem Katalog der Carl Zeiss'schen Optischen Werkstätte als „Refraktometer zur Bestimmung des Salzgehaltes des Seewassers nach Prof. Krümmel“ aufgeführt (s. auch Krümmel, Geophysikal. Beobachtungen der Plankton-Expedition, S. 79 ff.).

3) Zu Seite 64, 2. Absatz von oben, und Fußnote 1:

Ein Vorwiegen südlicher und südöstlicher Winde in den hohen südlichen Breiten, also südlich noch vom Gürtel der „braven“ Westwinde, ergibt sich auch aus den älteren Beobachtungen, besonders von James Ross und einigen anderen Seefahrern. (Dieselben sind übersichtlich zusammengestellt in Supan, Statistik der unteren Luftströmungen, S. 276.) Die Hinzufügung auch dieser Beobachtungen zu den übrigen auf S. 64 genannten scheint mir notwendig, da ich ja den polaren antarktischen Strom wesentlich auf diese Windverhältnisse zurückführe.

4) Zu Seite 99, Zeile 7 bis 10 von oben:

In der kleinen Tabelle ist unter der Kolumne „Sättigungsdefizit“ das Minuszeichen durch das Pluszeichen zu ersetzen, also:

+ 1,2 mm

+ 1,0 „

+ 0,6 „

INHALT.

	Seite
Einleitung	1
Übersicht über die ausgeführten Seefahrten	1

I. Teil.

Hydrographie.

Die Wassertemperatur der Meeresoberfläche , ihre tägliche Periode, Einfluss der Niederschläge, des Windes auf dieselbe	10
Spezifisches Gewicht und Salzgehalt des Meerwassers	15
1. Theoretisches	15
Über Aräometrie	15
Das Abbesche Refraktometer	22
2. Die Beobachtungen selbst	27
a) Die geographische Verteilung des Salzgehaltes an der Meeresoberfläche	27
im Nordatlantischen Ozean. (Einfluss des Windes, der Niederschläge auf den Salzgehalt.)	27
im Südatlantischen Ozean	30
im Indischen Ozean	32
in den Ostasiatischen Gewässern	33
b) Salzgehalt und Temperatur des Seewassers	38
c) Das absolute spezifische Gewicht $\left(\frac{4^{\circ}}{8^{\circ}}\right)$, nebst Bemerkungen über Stromkabelungen	40
Die Strömungen der Meeresoberfläche	45
im Nordatlantischen Ozean (Sargassum)	45
im Südatlantischen Ozean (die kühlen Wassertemperaturen nahe dem Äquator)	48
in den höhern südlichen Breiten zwischen 0° bis 80° Ö. L. (Bedeutung der Salzgehaltsbeobachtungen für die Erkenntnis von Strömungen)	56
in den Ostasiatischen Gewässern	68
Die Wellenbewegungen des Meeres	73
Die Beobachtungsmethoden und die Berechnung der Wellendimensionen	74
Windseen. (Verhältnis von Wellen- zu Wind-Geschwindigkeit.)	81
Dünungen. (Der „Swell“ des Südatlantischen Ozeans. Das „Dreigewell“.)	90

II. Teil.

Maritime Meteorologie.

Das Afsmannsche Aspirationspsychrometer. (Vergleich mit den Standpsychrometern. Messungen der Lufttemperatur auf Schiffen überhaupt.)	95
Über Lufttemperaturen	100
Der tägliche Gang der Lufttemperatur über dem Meere, besonders in den Tropen	100
Einfluss der Niederschläge auf die Lufttemperatur, besonders in den Tropen	105
Über das Verhältnis der Wassertemperatur zur Lufttemperatur auf den Ozeanen	106
Über die Feuchtigkeitsverhältnisse der Luft auf den Meeren	110
Die Feuchtigkeit der Luft über den Ozeanen nach ihrer geographischen Verteilung	112
Über die tägliche Periode der Luftfeuchtigkeit	119
Über das wechselseitige Verhältnis der absoluten und der relativen Feuchtigkeit, sowie des Sättigungsdefizits	121
Über die Zugrichtungen der oberen Wolken. (Methode der Beobachtung. Tabellen. Allgemeines.)	124

Karten:

Tafel 1: Reiserouten.

- " 2: Verteilung des Salzgehaltes an der Oberfläche des Südatlantischen Ozeans.
- " 3: Verteilung des Salzgehaltes an der Oberfläche der Ostasiatischen Gewässer.
- " 4, 5, 6: Die Messungen der Wassertemperatur, des Salzgehaltes und des absoluten spezifischen Gewichtes in Diagrammkurven, nebst den beobachteten Stromversetzungen, für die Dauer der Reisen auf offener See.

Figuren im Text:

Seite 19. Fig. 1: Das Aräometer und Thermometer im Cylinderglas.

- " 25. " 2: Refraktometer-Konstanten für spezifische Gewichte von Seewasser.
- " 39. " 3: Verhältnis zwischen Salzgehalt und Temperatur des Meerwassers.
- " 54. " 4: Oberflächen-Temperaturen und -Strömungen im äquatorialen Gebiet des Atlantischen Ozeans.
- " 57. " 5: Südlicher Indischer Ozean. Wärmeschichtung an der Oberfläche im Dezember 1891 südöstlich vom Kapland.
- " 59. " 6: Schematische Darstellung einer Meeresströmung zur Erläuterung der innerhalb derselben vorkommenden Temperaturunterschiede.
- " 77. " 7: Zur Berechnung der Wellendimensionen.
- " 90. " 8: Windsee und Dünung im Profil.
- " 129. " 9: Zugrichtung der oberen Wolken im Malaiischen Archipel (Jan.—Juni 1892).



Dr. A. Petermanns Mitteilungen

aus

Justus Perthes' Geographischer Anstalt.

Herausgegeben von

PROF. DR. A. SUPAN.

Ergänzungsheft Nr. 105.

Wissenschaftliche Ergebnisse

von **Dr. F. Nansens**

Durchquerung von Grönland
1888.

Von

Prof. H. Mohn und **Dr. F. Nansen.**



GOTHA: JUSTUS PERTHES.

1892.

Preis 6 M.

Als Beiträge für diese Zeitschrift

werden *Abhandlungen, Aufsätze, Notizen, Litteraturberichte* und *Karten* in ausgeführter Zeichnung oder skizziert, welche sich auf die Gebiete der Geophysik, Anthropogeographie, speziellen Landeskunde, astronomischen Geographie, Meteorologie, Nautik, Geologie, Anthropologie, Ethnographie, Staatenkunde und Statistik beziehen, erbeten. Ganz besonders sind verlässliche Notizen oder briefliche Berichte aus den *außereuropäischen* Ländern, wenn auch noch so kurz, nicht nur von Geographen von Fach, sondern auch von offiziellen Personen, Konsuln, Kapleuten, Marine-Offizieren und Missionaren, durch welche uns bereits so wertvolle und mannigfaltige Berichte zugegangen sind, stets willkommen.

Reisejournale zur Einsicht und Benutzung, sowie die bloßen *unberechneten Elemente astronomischer, hypsometrischer und anderer Beobachtungen* und *Nachrichten über momentane Ereignisse* (z. B. Erdbeben, Orkane), sowie über *politische Territorialveränderungen* etc. werden stets dankbar entgegengenommen. Ferner ist die Mitteilung *gedruckter*, aber seltener oder schwer zugänglicher *Karten*, sowie *außereuropäischer*, geographische Berichte enthaltender *Zeitungen* oder anderer mehr ephemerer *Flugschriften* sehr erwünscht. — Für den Inhalt der Artikel sind die Autoren verantwortlich.

Die Beiträge sollen womöglich in deutscher Sprache geschrieben sein, doch steht auch die Abfassung in einer andern Kultursprache ihrer Benutzung nicht im Wege.

Originalbeiträge werden pro Druckbogen für die Monatshefte mit *68 Mark*, für die Ergänzungshefte dementsprechend mit *51 Mark*, **Übersetzungen** oder **Auszüge** mit der *Halfte dieses Betrages*, **Litteraturberichte** mit *10 Pf.* pro Zeile in Kolonel-Schrift, jede für die „Mitteilungen“ geeignete **Originalkarte** gleich einem Druckbogen mit *68 Mark*, **Kartenmaterial** und **Kompilationen** mit der *Halfte dieses Betrages* honoriert. In außergewöhnlichen Fällen behält sich die Redaktion die Bestimmung des Honorars für Originalkarten vor.

An *Verlagsbuchhandlungen* und *Autoren* richten wir die Bitte um Mitteilung ihrer Verlagsartikel bzw. Werke, Karten oder Separatabdrücke von Aufsätzen mit Ausschluss derjenigen lediglich schulgeographischen Inhalts behufs Aufnahme in den Litteratur- oder Monatsbericht, wobei wir jedoch im vorhinein bemerken, daß über Lieferungswerke erst nach Abschluß derselben referiert werden kann.

FÜR DIE REDAKTION: PROF. DR. A. SUPAN. JUSTUS PERTHES' GEOGRAPHISCHE ANSTALT.



Wissenschaftliche Ergebnisse

von Dr. F. Nansens

Durchquerung von Grönland 1888.

Von

H. Mohn

Prof. H. Mohn,

Direktor des Meteorologischen Instituts in Christiania,

und

Dr. Fridtjof Nansen.

Mit sechs Tafeln und zehn Figuren im Text.

(ERGÄNZUNGSHEFT No. 105 ZU „PETERMANN'S MITTHEILUNGEN“.)



GOTHA: JUSTUS PERTHES.

1892.

INHALT.

I. Teil. Ergebnisse der astronomischen, mathematischen, trigonometrischen und meteorologischen Beobachtungen. Von Prof. H. Mohn.

	Seite
Einleitung	1
I. Astronomische Beobachtungen	1
Beobachtungen auf Grönland	5
II. Magnetische Beobachtungen	9
III. Trigonometrische Beobachtungen	11
a) Beobachtungen mit dem Horizontalkreis	11
b) Beobachtungen mit dem Vertikalkreis	12
IV. Meteorologische Beobachtungen	12
Meteorologische Beobachtungen während der Bootsfahrt in der Dänemarkstraße	22
Meteorologische Beobachtungen in Grönland	24
V. Ergebnisse der meteorologischen Beobachtungen	30
Luftdruck	30
Die Temperatur der Luft	31
Mittlere Temperatur	34
Stunden-Temperatur minus Mitteltemperatur	34
Die tägliche Periode der Lufttemperatur	37
Bewölkung und Niederschlag	37
Mitteltemperatur des Tages	37
Höhe über dem Meere	38
Die Feuchtigkeith der Luft	44
Die Winde	45
Approximative thermische Windrosen	47
Nephische Windrose	47
Windrose für die Häufigkeit der Niederschläge	47
Windrose für die Niederschlagswahrscheinlichkeit	48

II. Teil. Geologische und hydrographische Ergebnisse. Von Dr. Fridtjof Nansen.

Die Ostküste Grönlands	53
Ein Versuch zur Erklärung ihrer Topographie	53
Erklärung zu Tafel IV.	65
Die Nunataken in der Umvik-Gegend	66
Grönlands Inlandeiss	68
a) Ausdehnung	68
b) Form	72
c) Beschaffenheit der Oberfläche des Inlandeiss	78
d) Fremde Gegenstände und Moränen auf der Oberfläche des Inlandeiss	89
e) Abschmelzung, Bewegung und Dicke des Inlandeiss	93
Die Eisberge	95
Der Polarstrom und das Treihels an der Ostküste Grönlands	101

Anhang I. Mikroskopische Untersuchung von Schlammproben, eingesammelt von Dr. F. Nansen auf dem Eise an der Ostküste von Grönland. Von Dr. A. E. Törnebohm 104

Anhang II. Untersuchung des Kohlensäuregehalts in den von Dr. F. Nansen während seiner Grönlandreise eingesammelten Luftproben. Von Dr. Otto Pettersson 109

Karten, Ansichten und Profile.

- Taf. 1^a: Schnitt durch Grönland am 64. Breitengrade. Maßstab der Länge 1:1 600 000, der Höhe 1:50 000. — Dr. F. Nansens Route durch Grönland. Maßstab 1:1 600 000. — Nunatakken auf der Nordseite der Reiseroute.
- Taf. 1^b: Die Temperatur der Luft auf dem Grönlandeise. — Tägliche Periode der Lufttemperatur.
- Taf. 2: Isothermen von Grönland; Jahr; Januar; Juli. — Wirbelsturm im Innern Grönlands.
- Taf. 3: Übersichtskarte von Südgrönland. Maßstab 1:4 000 000.
- Taf. 4: Ansichtsskizzen der ostgrönländischen Küste zwischen 62° und 67° N. Br. Mit der Camera clara aufgenommen und gezeichnet von Dr. F. Nansen 1888.
- Taf. 5: Die bekannten Profile des Inlandeises, zusammengestellt von Dr. Andr. Hansen. Maßstab der Länge 1:800 000, der Höhe 1:40 000.

Figuren im Text.

- Seite 56. Fig. A: Die Südseite des Kangerdluluk-Fjords.
- „ 60. Fig. B: Frederikshaabs Isblink (oder Gletscher) an der südlichen Westküste Grönlands (ca 62° N. Br.).
- „ 77. Fig. C: Hypothetisches Profil durch die Längsachse des Inlandeises (mit 20facher Überhöhung).
- „ 79. Fig. D: Die Oberfläche des Inlandeises in der Nähe unsers Aufsteigeorts in der Umivik-Gegend.
- „ 80. Fig. E: Uebene Oberfläche des Inlandeises innerhalb des Kangersunek-Gletschers.
- „ 81. Fig. F: Uebene Oberfläche des Inlandeises innerhalb des Kangersunek-Gletschers.
- „ 82. Fig. G: Uebene Oberfläche des Inlandeises innerhalb des Kangersunek-Eisstromes.
- „ 84. Fig. H: Eisstrom, in das Langvand (Austmannathal) mündend.
- „ 87. Fig. J: Querschnitt durch einen Teil des Inlandeises von der Eisscheide OO' bis zum vertikalen Durchschnitt KK'.
- „ 96. Fig. K: Eisberge an der Ostküste Grönlands außerhalb Colberger Heide.

I. Teil.

Ergebnisse der astronomischen, magnetischen, trigonometrischen und meteorologischen Beobachtungen.

Von H. Mohn.

Bei der Zurückkunft Dr. F. Nansens nach Christiania im Mai 1889 von der Reise, welche er im Sommer und Herbst 1888 nach Grönland und über das grönländische Binneneis gemacht hatte, überlieferte er mir eine Abschrift der astronomischen, magnetischen, trigonometrischen und meteorologischen Beobachtungen, die auf dieser Reise gemacht worden waren. Es sind die Ergebnisse meiner Bearbeitung von diesen Beobachtungen, welche ich in der folgenden Abhandlung vorlege.

I. Astronomische Beobachtungen.

Die astronomischen Beobachtungen dienten hauptsächlich zur Bestimmung der Breite und Länge auf der Reise. Für diese war die Expedition mit den folgenden Instrumenten ausgerüstet:

1. Ein kleines Universal- oder Altazimut-Instrument, von C. H. G. Olsen in Christiania konstruiert. Eine kreisrunde Messingplatte, 10,7 cm im Durchmesser, 0,4 cm dick, hat im Zentrum eine Schraubenmutter, mittels welcher sie auf ein dreifüßiges Stativ festgeschraubt werden kann. Dieses Stativ war zum Zusammenlegen gemacht, so daß es als Schneeschuh- (Ski-) Stab benutzt werden konnte. Es stand in tiefem Schnee sehr fest. Der unterste Teil der Vertikalachse des Instruments war mit der genannten Messingplatte in der Weise verbunden, daß sie um ein kugelförmiges Glied in jeder Vertikalebene bewegt werden konnte. Am Umkreise der Platte waren in einem Abstand von 120° Muttern für 3 Fußschrauben, deren Köpfe unter der Platte lagen und deren oberen abgerundeten Enden die untere Fläche des Horizontalkreises berührten. Wenn also die untere Messingplatte auf dem Stativ festgeschraubt war, konnte die Vertikalachse des Instruments durch die Fußschrauben nivelliert werden.

Der Horizontalkreis, dessen äußerer Durchmesser 10,7 cm ist und dessen Dicke 0,5 cm, hat einen Limbus aus Silber mit einem Durchmesser von 9,2 cm, in halbe Grade geteilt, und wird mittels zwei diametral gestellten Nonien abgelesen, welche eine Ablesung von ganzen Minuten gestatten. Der Alhidadenkreis, der mit der Vertikalachse fest verbunden ist, hat, in einem Abstände von etwa 45° von dem einen Nonius, Klemmschraube und Feinschraube.

Am Rande, 90° von den Nonien des Horizontalkreises, stehen die Stützen für die Horizontalachse. Diese sind 3,4 cm hoch und breit, 0,8 cm dick. Die Horizontalachse ruht in Lagern, deren Mittelpunkte 2 cm über dem Horizontalkreis liegen. Die Achse ist 1,5 cm dick und 12 cm lang.

Auf dem einen Ende trägt die Horizontalachse einen Vertikalkreis, welcher einen in halbe Grade getheilten Limbus hat, von 10,6 cm Durchmesser. Die Ablesung geschieht durch zwei Nonien, welche im horizontalen Durchmesser des Kreises stehen, außerhalb des Limbus, und von zwei Armen getragen werden, die an den Unterlagen der Horizontal-

achse befestigt sind und ein Stück mit Messingarmen ausmachen, welche parallel der Horizontalachse und in gleicher Höhe wie diese die genannten Unterlagen verbinden.

An diesen Verbindungsstücken befestigt und auf ihnen und auf der Horizontalachse senkrecht, parallel mit dem Durchmesser durch die Nonien des Horizontalkreises und dem Vertikalkreis, in einer Höhe von 4 cm über dem horizontalen Alhidadekreis, steht ein Niveau, mit KorrekTIONsschrauben versehen. Dasselbe dient zum Nivellieren der Vertikalachse und zur Kontrolle der Nonien der Vertikalachse. Diese Nonien gestatten ganze Minuten abzulesen, und der Stand der Blase des Niveaus kann Bruchteile von einer Minute kontrollieren.

Verbunden mit dem einen Nonius sind Klemmschraube und Feinschraube, auf derselben Seite wie die entsprechenden Schrauben des Horizontalkreises. Die Stellschrauben heider Kreise wenden sich gegen den Beobachter, wenn er den Vertikalkreis zur Linken hat.

Auf dem andern Ende des Horizontalkreises, außerhalb der Stütze, ist die Absehsanvorrichtung angebracht. Diese sieht äußerlich aus wie ein Fernrohr. Sie besteht aus einem Rohr, 2 cm im äußern Durchmesser, 17,5 cm lang, und in der Mitte an der Horizontalachse so befestigt, daß es durch die Umdrehung dieser von den horizontalen Kreisen frei geht und in allen möglichen Zenithdistanzen gestellt werden kann. An einem Ende des Rohrs sind zwei vertikale und ein horizontaler Faden aus Platindraht angebracht, die mit Schrauben befestigt sind. In einem Abstand von 15 cm vom Fadenkreuz (das 2,5 cm von der vordern Öffnung im Rohr steht) ist, am andern Ende des Rohrs, eine Scheibe, welche vor diesem schief ist und ein kleines Loch hat, dessen Durchmesser kaum 0,2 mm beträgt. Durch dieses Loch sieht man das Fadenkreuz scharf gegen den hellen Himmel. Der Winkelabstand zwischen den vertikalen Fäden ist ungefähr 1° . Ursprünglich waren zwei horizontale Fäden da, aber ich nahm den einen weg, um Konfusion wegen des Zenithpunktes zu verhindern.

Das Instrument mißt sowohl Horizontal- als Vertikalwinkel mit der Genauigkeit von einer Minute.

Die Ablesungen auf dem Horizontalkreis gehen mit der Sonne. Der Nonius des Vertikalkreises am Rechten gibt die ganzen Grade an. Der Nadirpunkt ist bei der Ablesung $179^{\circ} 27'$, der Zenithpunkt $359^{\circ} 27'$ und die Horizontalpunkte $89^{\circ} 27'$, Vertikalkreis links, und $269^{\circ} 27'$ Kreis rechts. Die Ablesungen an beiden Kreisen wurden mit einer Handlupe gemacht.

Bei Messungen von Zenithdistanzen wurde das Stativ so gestellt, daß eine der Fußschrauben ungefähr in die Vertikalebene des Niveaus (der Sonne) kam. Man konnte dann in jedem Fall das Niveau unmittelbar vor der Pointierung des Objekts (der Sonne) einstellen. Bei Sonnenbeobachtungen wurde das Instrument immer umgelegt. Im Folgenden bedeutet L. Kreis links, R. Kreis rechts.

Bei den Beobachtungen der Sonne ist es, trotz der Feinheit des Absehenslochs, am häufigsten notwendig, ein Sonnenglas vor dem Loche zu haben. Der Horizontalfaden wurde auf das Zentrum der Sonne fixiert. Für Sternbeobachtungen ist das Absehensrohr untauglich.

Das Universalinstrument war in einen Holzkasten ($17,5 \times 19,5 \times 13,5$ cm) gepackt. In diesem befanden sich Sonnenglas, Lupe, Schraubeneisen und zwei Reserveniveaus; die letztern kamen nicht zur Anwendung. Der ganze Kasten mit dem Instrument wiegt knapp 4 kg.

2. Ein Taschen-Sextant. Durchmesser der Dose 7,5 cm, Dicke 3,3 cm. Halbmesser des Limbus 4,8 cm. Der Nonius gibt einzelne Minuten. Vergrößerung des Fernrohrs 2 Diameter. Sonnenglas für Spiegel und für Fernrohr. Zu diesem Sextanten machte Herr Olsen einen Quecksilberhorizont. Der Trog, aus Eisen, inwendig schwarz gemalt, ist 10,2 cm lang, 4 cm breit und 1 cm tief, und in Mahagoni eingefast. Über demselben liegt ein Dach von derselben Holzart, mit zwei Fenstern aus Glimmer in einem Winkel von 95° .

3. Die Expedition brachte 4 Uhren mit, alle kompensierte Taschenchronometer. Drei von diesen, mit Ankergang, waren vom Uhrmacher Michelet in Christiania reguliert worden und ihr Stand und Gang vom Observator (jetzt Professor) Geelmuyden an der Sternwarte in Christiania bestimmt.

Von diesen Uhren war Nr. 2, welche Dr. Nansen selbst in einer Brusttasche trug, die Hauptuhr der Expedition. Die übrigen Uhren, von welchen nur Nr. 3 gelegentlich als Observationsuhr benutzt wurde, waren während der Reise aus verschiedenen Ursachen nicht dazu geeignet, Greenwicher Zeit mit einiger Genauigkeit anzugeben, und sämtliche Längenbestimmungen beruhen deshalb auf der Uhr Nr. 2.

Bei der Ausführung der Beobachtungen unternahm Dr. Nansen die Einstellung der Sonne und die Ablesung des Vertikalkreises, resp. Sextanten, und Leutnant (jetzt Hauptmann) Dietrichson auf ein gegebenes Signal die Ablesung der Uhr und die Notierung der Uhrzeit und der Kreisablesungen.

Im Folgenden sind die Beobachtungen und die daraus berechneten Resultate in chronologischer Ordnung angeführt:

Dyrefjord auf Island. Breite: $65^{\circ} 53,5' N$; Länge: $23^{\circ} 28' E$. Greenwich.

1888. Mai 29. Universalinstrument.

Chron. Nr. 2.	Vertikalkreis.	Uhrkorr. gegen Greenw. m. Z.
6h 52 ^m 16 ^s p. m.	293 ^o 17' R.	+ 0,5 ^s
7 0 45	66 32,5 L.	
7 6 55	67 11,5 L.	- 13,5
7 12 2	291 17 R.	
		Mittel - 6,5 ^s

Derselbe Ort. Derselbe Tag. Sextant. Indexfehler = $0,0'$.

Chron. Nr. 2.	Doppelte Höhe des Sonnensentrums.
7h 30 ^m 21 ^s p. m.	39 ^o 54'
33 21	39 18
36 7	38 57
37 18	38 29
7 39 9	38 7

Uhrkorrektion gegen Greenwich mittlere Zeit = $-18,4^s$.

Derselbe Ort.

1888. Mai 30. Universalinstrument.

Chron. Nr. 2.	Vertikalkreis.	Uhrkorr. gegen Greenw. m. Z.
7h 4 ^m 6 ^s p. m.	66 ^o 45,5' L.	- 11,5 ^s
7 26	291 53,5 R.	
10 51	291 31,5 R.	- 16,6
13 46	67 42,2 L.	
38 5	288 48,0 R.	- 18,6
7 42 28	70 36,5 L.	
		Mittel - 15,5 ^s

Aus den Beobachtungen in Dyrefjord erhält man die Uhrkorrektion auf Greenwich mittlere Zeit.

1888. Mai. 29,636 Δu = $-13,5^s$.

Während der Reise der Expedition in der Dänemarkstraße mit dem Seehundfänger „Jason“ wurde das Chronometer Nr. 2 fast täglich mit dem Chronometer dieses Schiffes verglichen und der Stand gegen Greenwicher Zeit danach berechnet. Das Resultat ist aus der folgenden Tabelle zu ersehen.

Juni	Tag.	Δu	Juni	Tag.	Δu	Juni	Tag.	Δu
	5	-10,6 ^s		12	-23,1 ^s		20	-27,2 ^s
	6	-11,3		13	-23,8		21	-30,9
	7	-12,1		14	-24,0		22	-32,1
	9	-12,0		15	-26,7		24	-35,5
	10	-13,2		16	-23,4		25	-37,7
	11	-11,9		17	-25,1		28	-40,3
				18	-25,3			

Vom 5. bis zum 28. Juni hat nach diesen Vergleichen die Uhr Nr. 2 eine tägliche Acceleration von 1,3 Sekunden gehabt. Am 3. Juli wurde die Uhr Nr. 2 verglichen mit dem Chronometer am Bord des Seehundfängers „Sterkodder“, und wurde dabei der Stand gleich -41^s gefunden, also nahezu derselbe wie am 28. Juni am Bord des „Jason“. Zwischen dem 3. und 9. Juli war die Uhr Nr. 2 einmal stehen geblieben, weil man vergessen hatte, sie aufzuziehen. Sie wurde aufs neue nach „Jasons“ Chronometer gestellt und mit diesem im Laufe der folgenden Tage verglichen mit folgendem Resultat:

Tag.	Δt
Juli 9	$+3,9^s$
10	$+0,3$
11	$+0,6$
13	$-2,3$
17	$-6,3$

Hieraus findet man eine mittlere tägliche Acceleration von 1,3 Sekunden, ganz wie früher am Bord des „Jason“.

Am 17. Juli verließ die Expedition in ihren zwei Boten den „Jason“ und wurde vom Strome südwärts getrieben bis zum 1. August, wo sie die Küste von Grönland erreichte. Von diesem Tage an ruderte sie wieder nordwärts und erreichte am 10. August Umivik auf der Ostküste Grönlands, wo sie ans Land ging, um die Durchquerung von Grönland zu beginnen. Wie aus den untenstehenden Beobachtungen hervorgeht, fand sich die Korrektur für Uhr Nr. 2 in Umivik am 11. August gleich $+54^s$, was vom 17. Juli gerechnet eine tägliche Retardation von 2,4 Sekunden gibt. Über die Ursache dieser Änderung im Gang der Uhr hat man keine andre Vermutung, als daß sie vielleicht von der geänderten Stellung der Uhr während des Aufenthalts auf dem Treibeise herrühre. Sie ist um so auffälliger, als in Umivik und bis zum 22. August die Uhr offenbar wieder sich beschleunigt hat, und zwar über 3 Sekunden in 24 Stunden.

Unter diesen Umständen stand mir kein andrer Ausweg offen, als die während der Trift im Eise außerhalb der Küste Grönlands genommenen Sextantbeobachtungen mit einer Retardation der Uhr von 2,4 Sekunden in 24 Stunden zu berechnen.

I. 1888. Juli 20. Im Treibeise an der Ostküste von Grönland.

Uhr Nr. 2.	Höhe des unt. Sonnenrandes.	Höhe des Auges.	Indexfehler.
3h 19m 23 ^s p. m.	44° 43'	9 Fufs	0

Diese Beobachtung gibt die folgende Ortalinie (Linie gleicher Höhe):

Breite.	Länge.
65° 6,2' N.	38° 0' W. Gr.
65 11,2	39 0

Zur selben Zeit wurde die Landspitze auf der Westseite des Sermilik-Fjordes in 63° E magn. gepeilt. Mit einer Mißweisung von 51° W wird das Azimut der Spitze N 12° E und für den Beobachtungsort:

Breite.	Länge.
65° 8,5' N.	38° 20' W. Gr.

II. 1888. Juli 21. Im Treibeise.

Uhr Nr. 2.	Höhe des unt. Sonnenrandes.	Augenhöhe.	Indexfehler.
12h 7m 0 ^s p. m.	38° 36'	9 Fufs	0
12 10 0	38 51	9	0

Ortalinie:	Breite.	Länge.
	64° 39' N.	39° 15' W.
	64 41	39 11

III. Derselbe Tag.

Mittag	Höhe des unt. Sonnenrandes.	Augenhöhe.	Indexfehler.
	45° 29'	9 Fufs	0
	Breite: 64° 39,1' N.		

IV. 1888. Juli 22. Im Treibeise.

Mittag	Doppelte Höhe des unt. Sonnenrandes.	Indexfehler.
	91° 16'	0
	Breite: 64° 18' N.	

V. 1888. Juli 25. Im Treibeise.

Mittag	Höhe des unt. Sonnenrandes. 46° 0'	Augenhöhe. 12 Fufs	Indexfehler. 0
	Breite. 63° 18,4 N.		

VI. Derselbe Tag.

Uhr Nr. 2.	Höhe des unt. Sonnenrandes.	Augenhöhe.	Indexfehler.
8h 57m 15 ^s p. m.	16° 2'	12 Fufs	0
9 1 28	15 34	12	0
9 3 15	15 20	12	0
	Breite.	Länge.	
Ortlinie:	63° 18' N.	40° 15,5' W.	
	63 12	40 18,3	

VII. 1888. Juli 28. Im Treibeise.

Mittag	Höhe des unt. Sonnenrandes. 46° 40'	Augenhöhe. 12 Fufs	Indexfehler. 0
	Breite: 61° 56' N.		

VIII. Derselbe Tag.

Uhr Nr. 2.	Höhe des unt. Sonnenrandes.	Augenhöhe.	Indexfehler.
10h 5m 44 ^s p. m.	7° 55'	14 Fufs	0
7 2	45	14	0
8 6	40	14	0
10 9 8	7 33	14	0
	Breite.	Länge.	
Ortlinie:	61° 57' N.	41° 3' W.	
	61 40	41 21	

IX. 1888. Juli 29. Im Treibeise dicht an der Ostküste Grönlands.

Uhr Nr. 2.	Höhe des unt. Sonnenrandes.	Augenhöhe.	Indexfehler.
3h 17m 49 ^s p. m.	46° 33'	9 Fufs	0
	Breite.	Länge.	
Ortlinie:	61° 35' N.	41° 30' W.	
	61 39	42 30	

Beobachtungen auf Grönland.

Die erste Station auf der Ostküste Grönlands war bei Umivik, an einem Orte, der nach der neuesten dänischen Karte ¹⁾ und Dr. Nansens Angabe in 64° 22,8' N. Br. und 40° 42' = 2h 42m 48s W. L. v. Gr. gelegen ist.

Die Beobachtungen bei Umivik und an den Stationen 5 und 6 wurden wesentlich dazu benutzt, um den Stand und Gang der Uhr zu bestimmen. Bei der Berechnung der Beobachtungen auf Grönland wurde der Einfluss des Luftdrucks und der Temperatur auf die Refraktion berücksichtigt. Nennt man den absoluten (auf die Normalschwere bei 45° Breite und den Meeresspiegel reduzierten) Luftdruck b^{mm} , so ist die durch den Luftdruck beeinflusste Refraktion gesetzt gleich mittlere Refraktion $\times \frac{b}{751}$. Die Wirkung der Tem-

peratur ist nach den Refraktionstabellen in Bremikers Logarithmentafel berechnet worden (Berlin 1860). Es folgen nun die Beobachtungen und ihre Ergebnisse:

X. 1888. August 11. Station 1. Sextant. Indexfehler Null.

Uhr Nr. 2.	Doppelte Höhe des unt. Sonnenrandes.	Uhrkorrektur.
12h 45m 2 ^s p. m.	72° 27'	+ 51,5 ^s
12 46 45	72 40	47,5
12 51 56	73 20	49,5
1 2 5	73 35,5	66,5
		Mittel + 53,75 ^s

XI Sextant. Mittag.

Doppelte Höhe unt. Sonnenrandes	80° 51'	Breite: 64° 22,5'	Gewicht: 2
Doppelte Höhe vom Zentrum der Sonne	81 21	64 23,3	1
		Mittel 64° 22,8'	

Dies Resultat stimmt ganz mit der Angabe der Karte überein.

¹⁾ Meddelelser om Grönland udgivet af Commissionen for Ledelsen af de geologiske og geografiske Undersøgelser i Grönland.

XII. 1888. August 14. Station 1. Sextant. Indexfehler Null.

Uhr Nr. 2.	Dopp. Höhe des unt. Sonnenrandes.	Uhrkorrektur.
7h 19m 47s p. m.	43° 50'	+ 35,0 ^s
21 56	43 3	33,6
23 19	42 47	26,3
24 19	42 32,5	35,0
25 21	42 16	51,8
27 17	41 53	44,6
28 12	41 44,5	30,4
7 29 20,5	41 30	29,9
		Mittel + 35,8 ^s

1888. August 21. Station 8.

An diesem Tage wurde als Observationsuhr das Taschenchronometer Nr. 3 benutzt. Es wurde mit Nr. 2 verglichen mit dem folgenden Resultat:

Chronometer Nr. 2	3h 12m	(+ p. m.)	10h 35m	0,0 ^s
Chronometer Nr. 3	3 10	9	10 33	12,5
Reduktion auf Nr. 2	+ 1m	51 ^s p. m.	+ 1m	47,5 ^s

XIII. Sextant. Indexfehler Null.

Uhr Nr. 3.	Dopp. Höhe des unt. Sonnenrandes.	Breite.
2h 59m 23s p. m.	74° 9'	64° 27,8'
3 1 14	7 7	28,0
3 3 20	4 4	28,2
3 4 19	2 2	28,7
3 5 25	1 1	28,8
3 6 27	74 0	28,1
		Mittel 64° 28,2'

Im nordöstlichen Quadranten wurden drei Bergkuppen (Nunataken) a, b und c gesehen, deren Lage¹⁾ nach der dänischen Karte war:

Nunatak.	a.	b.	c.
Breite . . .	64° 39,5'	64° 37,2'	64° 34,0' N.
Länge . . .	40 37,7	40 35,7	40 33,0 W.

Um das Azimut dieser Nunataken zu bestimmen, wurde das Universalinstrument aufgestellt und die folgenden Beobachtungen genommen:

XIV.

Uhr Nr. 3.	Zentrum der Sonne.
9h 15m 32,5 ^s p. m.	238° 12,5' auf dem Horizontkreise.

Hieraus berechnet sich das Azimut der Sonne zu 77° 53,7' N—W und der Nordpunkt des Horizontkreises zu 316° 6,2'.

Die Ablesungen auf dem Horizontkreis waren für die Nunataken:

Nunatak.	a.	b.	c.
Horizontalkreis . .	350° 59,0'	358° 25,5'	378° 5,5'
und folglich Azimut	34 52,8	42 19,3	61 59,8 N—E.

Aus dem Unterschied ($\Delta\eta$) zwischen der Breite der Nunataken und der Breite der Station und ihren Azimuten wurde der Längenunterschied ($\Delta\lambda$) zwischen den Nunataken und Station Nr. 5 und daraus die Länge der Station 5 berechnet:

	a.	b.	c.
$\Delta\eta$	11,3'	9,0'	5,8'
$\Delta\lambda$	18,3	19,1	25,4
Länge der Station 5	40° 56,0'	40° 54,8'	40° 58,4'

Gibt man diesen Bestimmungen Gewichte proportional der Kotangenten der respektiven Azimuten, so wird das Mittel:

$$\text{Länge der Station 5} = 40^{\circ} 56,0' = 2^{\text{h}} 43^{\text{m}} 44^{\text{s}}.$$

Mit dieser Länge sind die Korrekturen auf Greenwich mittlere Zeit für das Chronometer Nr. 2 berechnet nach den folgenden Beobachtungen:

¹⁾ Siehe Karte: Dr. Nansens Route durch Grönland. Tafel I.

XV. Universalinstrument.

Uhr Nr. 8.			Vertikalkreis.	Uhrkorrektion		
				Nr. 3.	Nr. 2.	
8h	36m	54s p. m.	78° 0,5' L.	+ 2m	7,1s	+ 19,6s
	40	36	280 34,3 R.			
	48	12	279 44,0 R.	+ 2	10,4	+ 23,6
	52	53	79 41,0 L.			
	56	17	80 3,5 L.	+ 2	13,6	+ 26,6
9	0	33	278 29,5 R.			
				Mittel		+ 22,9s

XVI. August 22. Station 6. Sextant. Indexfehler Null.

Uhr Nr. 2.			Dopp. Höhe des unt. Sonnenrandes.		Uhrkorrektion.
12h	23m	12 ^s p. m.	62°	30'	+ 24,0 ^s
	24	42		42	3,6
	26	19		56	4,2
	27	19,5	63	6,5	18,1
	28	35		18	24,2
	29	28		23	6,4
12	30	45	63	35	17,4
					Mittel + 14,0 ^s

XVII. Mittag 73° 29,5 Breite: 64° 32,1'.

XVIII. Mit dem Universalinstrument wurden folgende Beobachtungen auf der Station 6 genommen; Horizontalkreis:

Uhr Nr. 2.	Sonnenzentrum.	Asimat der Sonne.	Nordpunkt.
1h 1m 57s p. m.	108° 58'	31° 15' N-E.	320° 13'
Nunatak.			
Horizontalkreis	18° 10,5'	24° 28'	39° 30'
Asimat	58 6,6	64 15	79 17
$\Delta\varphi$	7,4	5,1	1,9
$\Delta\lambda$	27,7	24,6	23,4
Länge der Station 6	41 5,4	41 0,3	40 56,4

Länge der Station 6 im Mittel = 41° 2,3' = 2h 44m 8,8s W.

Mit dieser Länge ist die Uhrkorrektion + 14,0s berechnet worden.

Zur Bestimmung von Stand und Gang der Uhr Nr. 2 hat man also die folgenden Daten:

Zeit.			Uhrkorrektion für Nr. 2.
August 11	0h	50m	+ 53,8s
	14	7 25	+ 35,8
	21	8 52	+ 22,9
	21	21 40	+ 14,0

Hieraus erhält man:

Zeitintervall in Tagen.	Änderung der Uhrkorrektion.	Gang in 24h
3,3	- 18,0s	- 5,46s
10,4	- 30,9	- 2,97
10,9	- 39,8	- 3,65
Summa 24,6	- 88,7s	Mittel - 3,61s

Bei der Berechnung des Mittels sind den Einzelwerten des Uhrgangs Gewichte gegeben proportional der verlaufenen Zeit.

Die Gleichung für die Korrektion auf Greenwich mittlere Zeit für die Uhr Nr. 2 wird also:

$$\Delta u = - 53,8s - 3,61(t - \text{August } 11,0).$$

Mit dieser Formel sind die folgenden Breiten- und Längenbestimmungen berechnet worden. Die letzte Längenbestimmung fällt auf den 15. September. Da die mittlere Unsicherheit der täglichen Acceleration der Uhr ungefähr 0,55s ist und die verlaufene Zeit 35 Tage, so kann die für diesen Tag berechnete Uhrkorrektion als mit einer Unsicherheit von $\pm 0,55 \sqrt{35}$ oder $\pm 3,3s$ behaftet angesehen werden. Dies entspricht 0,8' im Bogen oder in der Breite 64° einem Abstand von 0,35 Seemeilen, was für die Ortsbestimmung auf einem schneebedeckten Lande wie Grönland von keiner Bedeutung ist. Am 19. September, nach einer anstrengenden Segelfahrt von 35 Seemeilen, einem schwierigen Marsch in einem von Spalten durchsetzten Terrain und einer äußerst anstrengenden Arbeit, um

bei starkem Wind auf glattem Eis, was gefrorene Hände zur Folge hatte, das Zeit aufzuschlagen und zu befestigen, wurde es leider vergessen, die Uhr aufzuziehen. Am nächsten Morgen war sie schon abgelaufen. Die Zeitangaben der folgenden Tage sind nach der Kulminationszeit der Sonne genommen. Auf der Westküste Grönlands wurden keine astronomischen Beobachtungen gemacht. Bei dieser Sachlage entfällt mir jede Möglichkeit, den Gang der Uhr nach der Reise zu kontrollieren.

XIX. 1888. August 23. Station 7. Sextant. Indexfehler Null.

		Doppelte Höhe des unt. Sonnenrandes.	Breite.
Mittag		72° 42'	64° 35,2'

XX. 1888. August 28. Zwischen Station 12 und 13. Sextant. Indexfehler Null.

		Doppelte Höhe des unt. Sonnenrandes.	
Uhr Nr. 2.		68° 48'	
3h 6m 34s p. m.		45	
	7 54	45	
	9 0	44,5	
	10 25	42	
3 12 16		68 41	
		Breite.	Länge.
Ortelinie:	64° 42,6' N.	41° 50' W.	
	64 43,1	42 10	

XXI. 1888. August 30. Zwischen Station 14 und 15. Sextant. Indexfehler Null.

		Doppelte Höhe des unt. Sonnenrandes.	Breite.
Mittag		67° 49'	64° 34,1'

XXII. 1888. August 31. Zwischen Station 15 und 16. Sextant. Indexfehler Null.

		Doppelte Höhe des unt. Sonnenrandes.	Breite.
Mittag		67° 7'	64° 33,3'

XXIII. 1888. September 2. Zwischen Station 17 und 18. Sextant. Indexfehler Null.

		Doppelte Höhe des unt. Sonnenrandes.	Breite.
Mittag		65° 43'	64° 31,5'

XXIV. Derselbe Tag. Universalinstrument.

		Vertikalkreis.	
Uhr Nr. 2.		288° 36,6' R.	
6h 55m 25s p. m.		70 32,5 L.	
	57 42	70 40,9 L.	
	58 53	288 8,0 R.	
7 0 31		287 59,8 R.	
2 3		71 7,5 L.	
7 3 35			
		Breite.	Länge.
Ortelinie:	64° 32' N.	43° 14,1' W.	
	64 30	43 12,1	

XXV. 1888. September 4. Zwischen Station 19 und 20. Sextant. Indexfehler Null.

		Doppelte Höhe des unt. Sonnenrandes.	Breite.
Mittag		64° 19'	64° 29,7'

XXVI. 1888. September 5. Station 20. Universalinstrument.

		Vertikalkreis.	Länge mit der Breite 64° 27,7'.
Uhr Nr. 2.		62° 49,0' L.	
12h 29m 59s p. m.		296 23,5 R.	44° 0,7°
	33 26	296 36,5 R.	
	36 57	62 5,2 L.	44 2,5
	40 31	61 55,8 L.	
	43 39	297 14,5 R.	44 4,5
12 46 6			
		Mittel 44° 2,8'	
		Breite.	Länge.
Ortelinie:	64° 20' N.	44° 23,3' W.	
	64 25	44 8,9	
	64 30	43 54,6	

XXVII. 1888. September 10. Zwischen Station 24 und 25. Sextant. Indexfehler Null.

		Doppelte Höhe des unt. Sonnenrandes.	Breite.
Mittag		60° 7'	64° 20'

XXVIII. 1888. September 11. Zwischen Station 25 und 26. Universalinstrument.

Uhr Nr. 2.	Vertikalkreis.
6h 51m 20 ^s p. m.	72° 28' L.
53 17	286 21 R.
55 3	286 13,5 R.
56 39	72 56,0 L.
57 59	73 3,5 L.
6 59 28	285 47,0 R.

Ortelinie:	Breite.	Länge.
	64° 15' N.	45° 7,9 W.
	64 18,5	45 12,5
	64 25	45 19,7

XXIX. 1888. September 12. Zwischen Station 26 und 27. Sextant. Indexfehler Null.

Mittag	Doppelte Höhe des unt. Sonnenrandes.	Breite.
	58° 41'	64° 17,9'

XXX. 1888. September 13. Zwischen Station 27 und 28. Sextant. Indexfehler — 1'.

Mittag	Doppelte Höhe des unt. Sonnenrandes.	Breite.
	57° 59'	64° 15,5'

XXXI. 1888. September 14. Zwischen Station 28 und 29. Sextant. Indexfehler Null.

Mittag	Doppelte Höhe des unt. Sonnenrandes.	Breite.
	57° 20'	64° 11,6'

XXXII. 1888. September 15. Zwischen Station 29 und 30. Sextant. Indexfehler Null.

Mittag	Doppelte Höhe des unt. Sonnenrandes.	Breite.
	56° 32,5'	64° 12,2'

XXXIII. 1888. Derselbe Tag. Universalinstrument.

Uhr Nr. 2.	Vertikalkreis.
6h 44m 43 ^s p. m.	286° 11' R.
46 47	73 0,5 L.
48 19	73 9 L.
50 37	285 38 R.
52 2	285 28,5 R.
6 56 26	73 56,5 L.

Ortelinie:	Breite.	Länge.
	64° 10' N.	46° 20,8' W.
	64 12,5	46 24,1
	64 15	46 27,4

XXXIV. 1888. September 21. Zwischen Station 35 und 36. Universalinstrument.

Mittag	Vertikalkreis.	Breite.
	63° 15,5' L.	64° 12,7'
	295 40,0 R.	

XXXV. 1888. September 22. Zwischen Station 36 und 37. Universalinstrument.

Mittag	Vertikalkreis.	Breite.
	295° 15' R.	64° 13,8'
	63 39,5 L.	

II. Magnetische Beobachtungen.

Die Expedition war mit drei Kompassen von C. H. G. Olsen ausgerüstet, alle von derselben Konstruktion. Die Nadel ist 6,3 cm lang und ruht mit Achathütchen auf einer Stahlspitze. Der geteilte Kreis, von ganz wenig größerm Durchmesser als die Länge der Nadel, ist in ganze Grade geteilt, bezeichnet durch Zahlen von 0 bis 360 in der Richtung N, W, S, E, N.

Die Peilscheibe hat eine, auf ein dreifüßiges Stativ zu schraubende hohle Achse, welche mittels 2 Seitenschrauben in die vertikale Stellung gebracht werden kann. Die Achse trägt einen kleinen Tisch, auf welchen der Kompaß gesetzt wird, umschlossen von einem

konzentrischen Ringe und, mittels eines Zapfens, so befestigt, daß der Durchmesser 0—180° in der Ebene des Abseapparats steht.

Auf der einen Seite des Tisches, am Gradtriche 180, steht ein Visier mit einer 2,5 cm hohen Spalte. Auf der entgegengesetzten Seite steht ein Rahmen mit einem 6,7 cm hohen Faden. An der einen Seite dieses Rahmens hängt ein Faden mit einem Lot. Wenn dieser Faden durch die Mitte eines etwas tiefer als der Tisch am Rahmen befestigten kleinen Ringes von 1,5 mm innern Durchmesser geht, in allen Azimuten des Visiers, dann sind die Umdrehungsachse des Instruments und seine Absebene vertikal. Das Instrument kann durch die genannten Seitenschrauben in diese Stellung gebracht werden.

Die genommenen Mißweisungsbeobachtungen sind die folgenden:

I. 1888. August 22. Station 6. Breite 64° 32'. Länge 41° 2' W.

Uhr Nr. 2.	Kompaß-Nr.	Zentrum der Sonne.	Azmut der Sonne.	Mißweisung.
9h 23m 41 ^a p. m.	111	333,3° = —26,5°	N. 76,7° W.	N. 50,3° W.
29 20	1V	335,7 —24,3	75,5	51,9
9 35 9	1	336,3 —23,8	74,9	51,1
				Mittel N. 50,8° W.

Nach der Isogonenkarte Dr. Neumayers (Berghaus' Physikal. Atlas Nr. 39) ist an diesem Orte die Mißweisung für 1885,0 gleich 53,1°. Mit einer jährlichen Abnahme von 9,5' bekommt man für 1888,7 die Mißweisung 52,5°.

Nach der dänischen Karte war die Mißweisung außerhalb Umvik in der Länge 40° 10' W in den Jahren 1884—85 48° W. Da nach Neumayers Karte die Mißweisung mit 0,64° für jeden weitem Längengrad wächst, so sollte hiernach die Mißweisung auf Station 6 gleichzeitig 48° + 0,64° (42,5 — 40,2) = 48° + 1,5° = 49,5° und, auf 1888,7 reduziert, 49,5° — 0,7° = 48,8° sein. Die von Dr. Nansen gefundene Mißweisung liegt etwa in der Mitte zwischen der Mißweisung der deutschen (52,5°) und der dänischen (48,8°) Karte.

II. 1888. September 2. Breite 64° 31'. Länge 43° 13' W.

Uhr Nr. 2.	Kompaß-Nr.	Zentrum der Sonne.	Azmut der Sonne.	Mißweisung.
7h 15m 54 ^a p. m.	111	302,0° = —58,0°	N. 108,9° W.	N. 50,9° W.
19 44	1	303,0 —57,0	108,0	51,0
7 23 26	1V	304,2 —55,8	106,9	51,1
				Mittel N. 51,0° W.
Dr. Neumayers Karte gibt für 1885,0, reduziert auf 1888,7				53,4
				Unterschied 2,4

III. 1888. September 5. Breite 64° 28'. Länge 44° 2' W.

Uhr Nr. 2.	Kompaß-Nr.	Zentrum der Sonne.	Azmut der Sonne.	Mißweisung.
12h 54m 59 ^a p. m.	1	196,75° = —163,25°	N. 214,4° W.	N. 51,3° W.
Dr. Neumayers Karte gibt für 1885,0 54,5°, reduziert auf 1888,7				53,9
				Unterschied 2,7

IV. 1888. September 11. Breite 64° 19'. Länge 45° 12' W.

Uhr Nr. 2.	Kompaß-Nr.	Zentrum der Sonne.	Azmut der Sonne.	Mißweisung.
7h 9m 57 ^a p. m.	1	299,8° = —60,8°	N. 113,0° W.	N. 52,5° W.
12 41	111	300,15 —59,85	112,33	52,5
7 14 45	1V	301,3 —58,7	111,9	53,2
				Mittel N. 52,7° W.
Dr. Neumayers Karte gibt für 1885,0 55,0°, reduziert auf 1888,7				54,4
				Unterschied 1,7

V. 1888. September 15. Breite 64° 12'. Länge 46° 24' W.

Uhr Nr. 2.	Kompaß-Nr.	Zentrum der Sonne.	Azmut der Sonne.	Mißweisung.
7h 36m 8 ^a p. m.	1	305,3° = —54,7°	N. 108,4° W.	N. 53,7° W.
39 25	1V	307,1 —52,9	107,6	54,7
7 43 36	111	307,2 —52,8	106,6	53,8
				Mittel N. 54,1° W.
Dr. Neumayers Karte gibt für 1885,0 55,4°, reduziert auf 1888,7				54,8
				Unterschied 0,7

II. Magnetische Beobachtungen. — III. Trigonometrische Beobachtungen. 11

Aus Dr. Nansens Beobachtungen folgt also, daß die Neumayersche Karte die Mifsweisung auf 64° N. Br. zwischen 41° und 46° W. L. etwas zu groß gibt, daß aber der Unterschied, welcher im Maximum $2,7^{\circ}$ in 44° Länge beträgt, sich gegen die Mitte Grönlands auf $0,7^{\circ}$ vermindert.

III. Trigonometrische Beobachtungen.

Die trigonometrischen Beobachtungen dienen zur Bestimmung der gegenseitigen Lage der Beobachtungspunkte und einer Reihe von Nunataken. Sie sind alle mit dem Universalinstrument ausgeführt worden. Einige der Messungen von den Stationen 5 und 6 sind schon oben benutzt worden, um die Länge dieser Stationen zu bestimmen.

a) Beobachtungen mit dem Horizontalkreis.

Station 5. Breite $64^{\circ} 28,2'$. Länge $40^{\circ} 56,0'$ W. Meereshöhe 871 m (barometrisch, s. u.). 1888. August 21.

Uhr Nr. 3.	Zentrum der Sonne.	Azmut der Sonne.	Südpunkt.
9h 15m 32,5 ^a p. m.	238° 12,5'	102° 6,3' S—W.	136° 6,3'
Nunatak.	Horizontalkreis.	Azmut S—W.	Beobachtungspunkt.
a	350° 59,0'	214° 52,5' — 34° 52,5' N—E	Höchster südl.
b	358 25,5	222 19,3 42 19,3	Nord.
c	378 5,5	241 59,3 61 59,3	Süd.
x	221 44,5	85 38,3 85 38,3 S—W.	Mitte.
y	175 58,5	39 51,3 39 51,3	Mitte.

Station 6. Breite $64^{\circ} 32,1$. Länge $41^{\circ} 2,2'$ W. Höhe 973 m. 1888. August 22.

Uhr Nr. 2.	Zentrum der Sonne.	Azmut der Sonne.	Südpunkt.
1h 1m 57 ^a p. m.	108° 58,0'	31° 15' S—E.	140° 13'
Nunatak.	Horizontalkreis.	Azmut S—W.	Beobachtungspunkt.
a	18° 19,5'	258° 6,5' — 58° 6,5' N—E.	Süd.
b	24 28	244 15 64 15	Nord.
c	39 30	259 17 79 17	Süd.
y	124 8	343 55 16 5 S—E.	Mitte.
x	130 3	349 50 10 10	Mitte.
d	350 47	210 34 30 34 N—E.	Nord.
e	373 57	188 44 8 44	Nord.
f	322 45	182 32 2 32	Nord.
z	304 10	163 57 16 3 N—W.	Mitte.

Station 7. Breite $64^{\circ} 35'$. Länge $41^{\circ} 12'$ W. Höhe 1355 m. 1888. August 23.

Uhr Nr. 2.	Zentrum der Sonne.	Azmut der Sonne.	Südpunkt.
8h 18m 47 ^a p. m.	182° 56,5'	88° 28,5' S—W.	94° 28,0'
Nunatak.	Horizontalkreis.	Azmut S—W.	Beobachtungspunkt.
a	357° 40'	263° 12' — 83° 12' N—E.	Süd.
d	339 26	244 58 64 58	Nord.
e	325 45	231 17 51 17	Nord.
z	375 25	280 57 79 3 S—E.	Mitte.
g	299 20	204 52 24 52 N—E.	Niedrig.
h	285 33	191 5 11 5	Niedrig.
h'	283 18	188 50 8 50	Niedrig.
i	249 22	154 54 25 6 N—W.	Nord.
k	244 0	149 32 30 28	Nord.
u	183 0	88 32 88 32 S—W.	Nord.

Mit Beibehaltung der Breiten und Längen der dänischen Karte für die Nunataken a, b und c komme ich auf graphischem Wege zu den folgenden Breiten und Längen für die Punkte, welche von zwei Stationen aus angeschnitten worden sind. Hinzugefügt sind die Namen, welche Dr. Nansen den Nunataken gegeben hat.

Nunatak.	Breite.	Länge.
a Anikitsok	$64^{\circ} 29,5'$ N.	$40^{\circ} 37,7'$ W.
b Johnstrups Nunatak	37,2	40 35,7
c Kornerups	34,0	40 33,0
x Rinks	27,1	41 0,5
y Hollands	26,5	40 58,0
d Sverdrups	39,0	40 57,0
e Dietrichsons	39,0	41 0,0
z Mohns	34,5	41 4,0

b) Beobachtungen mit dem Vertikalkreis.

Station 5. Höhe über dem Meere 871 m.					
Nunatak.	Vertikalkreis.	Zeitdistanz.	Abstand.	Höhenunterschied.	Höhe über dem Meere.
a	270° 36,0"	88° 51,75'	13,9'	553 m	1424 m
	88 19,5				
b	89 0,5	89 34,5	12,8	213	1084
	269 51,5				
c	269 47,5	89 40,26	10,5	136	1007
	89 5,5				
x	271 16,5	88 10,75	1,9	114	985
	87 38,0				
y	271 37,5	87 51,0	1,8	126	997
	87 19,5				
Station 6. Höhe über dem Meere 973 m.					
Nunatak.	Vertikalkreis.	Zeitdistanz.	Abstand.	Höhenunterschied.	Höhe über dem Meere.
z	271° 27,0"	88° 0,75'	2,3'	143	1116
	87 28,5				

Die Nunataken a, b und c stehen auf der dänischen Karte mit den folgenden Höhen, in Metern umgerechnet:

	a.	b.	c.
Dänische Karte	1208	973	1083
Aus Dr. Nansens Beobachtungen	1424	1084	1007
Unterschied	+ 216	+ 111	- 76

Da die dänische Expedition die Nunataken von der Seeseite beobachtet hat, Dr. Nansen aber von der Landseite und von Stationen, deren beträchtliche Seehöhen barometrisch nach dem Luftdruck in Westgrönland und Island bestimmt sind, so dürfen diese Unterschiede nicht als auffallend groß erscheinen.

IV. Meteorologische Beobachtungen.

Die Expedition führte mit sich 3 Aneroidbarometer, ein Hypsometer, 6 Schleuderthermometer und 2 Spiritusthermometer (Minima).

Die Aneroidbarometer waren von Perken, Son und Rayment in London, 5,8 cm im äußern Durchmesser, 2 cm dick. Die Skala geht von 790 bis 550 mm. Außerhalb dieser Skala ist eine konzentrische, bewegliche Höhenskala, von 0 bis 3000 m gehend, auf welcher die einzelnen Teilstriche einen Höhenunterschied von 10 m markieren.

Vor der Abreise der Expedition wurden alle 3 Aneroide im Vakuumeter des Meteorologischen Instituts zwischen 785 und 586 mm Luftdruck geprüft, mit dem Resultat, daß die Korrektion nahe konstant war für die ganze Skala, wenn aus den Korrekturen für abnehmenden und steigenden Luftdruck das Mittel genommen wurde.

Als die Expedition auf Grönland am 2. September eine Höhe von 2400 m erreicht hatte und bis zum 18. September über 2000 m Höhe blieb, zeigten die Aneroide unter 550 mm, oder unter dem tiefsten Punkte der Skala. Man verfuhr dann auf die Weise, daß der Strich der Höhenskala 2750 auf den Strich der Barometerskala 550 gestellt wurde, und notierte die Zahl der Höhenskala, bei welcher der Zeiger stand, bis, vom 3. bis 13. an allen Aneroiden, und den folgenden Tagen an einigen, der Zeiger bei noch tieferem Luftdruck auf den Zahlen 790 bis 767 der Barometerskala stand. Beim Abstieg unter wachsendem Luftdruck wurde auf entsprechende Weise fortgesetzt bis zum Zeitpunkte, wo der Zeiger wieder die Zahlen der Skala über 550 erreichte. Aus der Berechnung zeigte es sich, daß dieses Verfahren zuverlässige Werte für die niedrigsten Luftdrucke gegeben hat, indem überall auf den Hilfsskalen die nötige Proportionalität zwischen der Teilung und der Änderung des Luftdrucks vorhanden ist. Um die Zahlen der Hilfsskalen auf diejenigen der Hauptskala zu reduzieren, habe ich das folgende Verfahren eingeschlagen:

Wenn 2750 der Höhenskala auf 550 der Barometerskala stand, wurden die folgenden korrespondierenden Zahlen (dieselben auf allen 3 Aneroiden) abgelesen:

Höhenskala.	Barometerskala.	Differenz.
2500	556,7	3,4
2550	563,3	3,3
2600	569,0	3,5
2650	556,7	3,4
2700	553,3	3,3
2750	550,0	
2908	790,0	

Die mittlere Differenz in der ersten Reihe ist 3,34. Rechnet man mit dem Mittel zwischen dieser und 3,3, oder mit 3,32, so erhält man als Skalenwert für die Höhe 2908 die Zahl $550 - 10,5 = 539,5$ mm, indem $50 \text{ m} : 3,32 \text{ mm} = (2908 - 2750 \text{ m}) : 10,5 \text{ mm}$.

Der Reduktionsfaktor für Meterhöhenintervall auf Millimeter-Barometerhöhe wird $3,32 : 50 = 0,0664$.

Nennt man also die auf der Höhenskala abgegebene Zahl h , so wird die entsprechende Ablesung auf der extrapolierten Barometerskala:

$$b = 550 - (h - 2750) 0,0664 \text{ mm.}$$

Die Berechnung habe ich mittelst einer nach dieser Formel konstruierten graphischen Skala ausgeführt.

Wenn der Zeiger, bei noch niedrigerem Luftdruck, auf die Zahlen der Hauptskala 790 bis 767 kommt, so wird die „abgelesene“ Barometerhöhe berechnet nach der Formel:

$$b = \text{Ablesung} - (790 - 539,5) = \text{Ablesung} - 250,5 \text{ mm.}$$

Als absoluter Luftdruckmesser und als Kontrolle für die Aneroidbarometer hatte Dr. Nansen ein Hypsometer von L. Casella in London. Zu diesem gehörten zwei Thermometer, Nr. 72325 und Nr. 72326. Beide sind 16,5 cm lang, haben eine Gradteilung von 86° bis 102° , und die Grade sind in Zehntel geteilt, so daß man ein Hundertstel Grad ablesen kann. Sie haben außerdem Nullpunkt mit Gradteilung in Zehntelgraden von -1° bis $+0,3^\circ$.

Die Hypsometerthermometer wurden vor der Reise von dem Justirdirektor A. Arndtsen und dem Amanuensis S. Henriksen genau untersucht. Aus dem Jahresbericht des norwegischen Aichungsbureaus citiere ich die bezügliche Stelle:

„Die Thermometer wurden nebeneinander in einem Kochgefäß aus Glas aufgehängt, dessen unterer kugelförmiger Teil mit Wasser gefüllt war. Durch einen dichtschießenden Kork am obern Ende konnte das Gefäß auf der einen Seite mit einer Wasserluftpumpe in Verbindung gesetzt werden, auf der andern Seite gleichzeitig durch einen Kühlapparat und einen größern Glasbehälter mit einem Quecksilbermanometer. Nachdem dann die Luft in höherem oder geringerem Grade ausgepumpt wurde, brachte man das Wasser zum Kochen und beobachtete gleichzeitig die von den Thermometern angegebenen Kochpunkte und den vom Manometer gezeigten Druck. Die Thermometer wurden durch ein Fernrohr, das Manometer wurde mit Kathetometer beobachtet.

„Da es nicht möglich war, den Druck durch längere Zeit absolut konstant zu halten, so wurden bei derselben Beobachtung die Ablesungen sowohl der Thermometer als des Manometers mehrmals wiederholt, in der Weise, daß die einzelnen Ablesungen nacheinander in einer symmetrischen Reihe folgten.

„Durch direkte Vergleichung (mittelst Kathetometer) zwischen der Manometerskala und dem Messingmeter des Bureaus (korrigiert von O. J. Broch) wurden die Korrekturen für die Teilung des Manometers ermittelt. Durch Vergleichung zwischen dem Manometer und dem Normalbarometer des Bureaus zeigte sich ferner eine Differenz, so daß zu dem vom Manometer angegebenen Druck eine konstante Korrektur von $+1,77 \text{ mm}$ binzugefügt werden mußte.“

Aus den nach diesen Untersuchungen aufgestellten Tabellen für den jedem Zehntelgrad

entsprechenden absoluten Luftdruck (Br. 45°) teile ich hier die Stücke mit, welche zur Anwendung gekommen sind.

Thermometer Nr. 72325.

Abgelesene Temperatur.	0,0	0,1	0,2	0,3	0,4	0,5	0,6	0,7	0,8	0,9
mm	mm	mm	mm	mm	mm	mm	mm	mm	mm	mm
90°	524,5	526,4	528,3	530,2	532,1	534,0	535,9	537,8	539,8	541,8
91	543,8	545,9	548,1	550,2	552,3	554,5	556,6	558,8	560,9	563,0
92	565,1	567,2	569,3	571,4	573,5	575,6	577,7	579,8	581,9	583,9
93	585,6	587,7	589,9	592,0	594,1	597,0	599,3	601,6	603,9	606,1
94	608,3	610,5	612,7	614,9	617,1	619,3	621,4	623,6	625,9	628,1
95	630,4	632,7	635,1	637,6	640,1	642,6	645,1	647,5	649,9	652,3
96	654,4	656,9	659,3	661,4	663,5	665,7	667,8	669,9	672,1	674,4
97	676,7	679,1	681,5	684,1	686,7	689,3	692,3	695,2	698,1	700,9
98	703,7	706,4	709,0	711,5	713,8	716,0	718,2	720,3	722,5	724,7
99	726,9	729,3	731,7	734,2	736,8	739,5	742,2	745,0	747,9	750,7
100	753,5	756,4	759,2	762,1	764,9					

Deprimierter Nullpunkt = + 0,300°.

Thermometer Nr. 72326.

Abgelesene Temperatur.	0,0	0,1	0,2	0,3	0,4	0,5	0,6	0,7	0,8	0,9
mm	mm	mm	mm	mm	mm	mm	mm	mm	mm	mm
94°	604,8	607,1	609,4	611,7	614,0	616,3	618,6	621,0	623,3	625,6
95	627,9	630,3	632,6	635,0	637,4	639,8	642,3	644,7	647,2	649,7
96	652,9	654,7	657,1	659,5	661,9	664,3	666,6	669,2	671,1	673,4
97	675,8	678,2	680,6	683,2	685,8	688,6	691,4	694,2	697,0	699,8

Deprimierter Nullpunkt = + 0,135°.

Auf der Reise wurde am 21. August der Nullpunkt des Nr. 72325 = + 0,21° notiert. Ich habe, unter Zustimmung Dr. Nansens, nicht geglaubt, der hierdurch angedeuteten Steigung des Nullpunktes eine reelle Bedeutung zuschreiben zu können. Der Nullpunkt des andern Thermometers scheint auf der Reise nicht bestimmt worden zu sein.

Die folgende Tabelle enthält die Vergleichen, welche auf der Reise in Grönland zwischen dem Hypsometer und den Aneroidbarometern gemacht wurden, und die daraus abgeleiteten Korrekturen für die letztern.

Tag. 1888.	Hypsometer Nr. 723	Ablesung a	Absol. Luftdr. b	Aneroid Nr. 1298.		Aneroid Nr. 1299.	Korr. mm	Aneroid Nr. 1300.		Korr. mm
				Ab- lesung b	Korr. mm	Ab- lesung b		Ab- lesung b	Korr. mm	
Aug. 15.	725	100,39	764,6	769,5	769,5	—	4,9	769,3	769,3	—
21.	"	97,26	683,6	686,2	686,2	—	2,6	685,1	685,1	—
Sept. 1.	"	92,16	568,5	559,7	559,7	—	8,8	560,5	560,5	—
2.	"	91,60	556,6	2798	546,8	—	9,8	2780	548,0	—
4.	"	90,99	543,8	783,2	532,7	—	10,9	785,6	535,1	—
5.	"	90,99	543,6	783,0	532,5	—	11,1	785,9	535,4	—
6.	"	90,81	540,0	780,1	529,8	—	10,4	782,1	531,8	—
9.	"	90,63	536,5	774,2	523,7	—	12,8	776,0	525,5	—
11.	"	90,79	539,6	774,1	523,6	—	16,0	780,7	530,2	—
14.	"	91,80	550,2	781,1	530,6	—	19,6	790,2	539,7	—
16.	"	91,89	558,5	789,0	538,5	—	20,0	2800	546,7	—
17.	"	91,88	562,8	2880	541,4	—	21,4	2770	548,1	—
18.	"	92,20	569,3	2760	549,3	—	20,0	555,0	555,0	—
20.	"	94,67	623,0	602,5	602,5	—	20,5	607,6	607,6	—
"	726	94,76	622,3	"	"	—	19,8	"	"	—
21.	725	95,80	649,9	630,5	630,5	—	19,4	635,5	635,5	—
"	726	95,89	649,5	"	"	—	19,0	"	"	—
23.	"	97,17	678,6	663,8	663,8	—	14,8	667,7	667,7	—
"	725	97,37	683,3	668,0	668,0	—	15,3	672,7	672,7	—
27.	"	100,46	772,4	756,0	756,0	—	16,4	760,0	760,0	—

In ein Koordinatensystem wurden nun diese Korrekturen als Ordinaten und die Tage als Abscissen aufgetragen. Zwischen den also bestimmten Punkten wurden gerade Linien gezogen, und nach diesen wurden die Korrekturen für die verschiedenen Tage und Aneroiden entnommen.

Da die Hypsometerthermometer nur auf ein Hundertstel Grad abgelesen wurden, und dies einem Luftdruckunterschied von 0,2 bis 0,3 mm entspricht, so bezeichnen diese Zahlen die größte Genauigkeit, mit welcher der Luftdruck angegeben werden kann. Aus der

Tabelle ersieht man auch, wie die Bestimmungen mittelst der beiden Hypsometerthermometer am 20. September um 0,7 mm, am 21. um 0,4 mm auseinandergehen, was so ziemlich mit der oben angedeuteten Unsicherheit übereinstimmt. In der Tabelle über die meteorologischen Beobachtungen habe ich die Zehntel des Millimeters beibehalten, damit man daraus die Änderungen des Luftdrucks innerhalb kurzer Zeiträume beurteilen kann.

Die mittelst des Hypsometers gefundenen Aneroidkorrekturen und ihre Änderungen zeigen, wie notwendig es ist, die Angaben dieser Barometer stets kontrollieren zu können. Bei dem einen Instrumente hat sich die Korrektur um mehr als 26 mm geändert, was einem Höhenunterschied von beinahe 300 m entspricht. Die in den Korrekturen selbst steckende Unsicherheit in den Höhenbestimmungen geht nicht über 2–3 m hinaus.

Die während der Bootreise der Expedition in der Dänemarkstrasse gemachten Barometerbeobachtungen habe ich reduziert nach der Korrektur (–1,7 mm), welche das benutzte Barometer in Christiania am 26. April, und derjenigen (–4,7 mm), welche es in Umvik am 15. August hatte, unter Annahme einer gleichförmigen Änderung der Korrektur.

Die Barometerbeobachtungen von den Stationen 39 bis 42 (29. September bis 12. Oktober) am Ameralikfjorde in Westgrönland habe ich mit einer mit der Zeit gleichförmig abnehmenden Korrektur reduziert, so wie diese aus den vorhergehenden Vergleichen mit dem Hypsometer sich ergibt. Da in dem genannten Zeitraum keine Hypsometerbeobachtungen gemacht wurden, so sind die extrapolierten Korrekturen etwas unsicher. Sie gehen von +11 mm am 29. September bis +7 mm am 12. Oktober herab.

Die Schleuderthermometer waren Quecksilberthermometer von Casella, 15,5 cm lang, in ganze Grade Celsius geteilt von +22° bis –28° oder –30°. Bei der Untersuchung auf dem Meteorologischen Institut in Christiania wurden sie richtig befunden.

Die Thermometerbeobachtungen sind hauptsächlich vom Hauptmann Dietrichson gemacht worden.

Dr. Nansen führte zwei Weingeist-Minimum-Thermometer mit sich, von welchen das eine bis gegen –35° C. abgelesen werden konnte. So niedrige Temperaturen hatten wir droben auf dem Grönlandeise in den Sommermonaten, nach der Erfahrung, welche Jensen, Nordenskiöld und Peary gemacht hatten, nicht in Rechnung gezogen. Selbst im Winter war die tiefste Temperatur an der Ostküste in Angmaksalik nur –25° und in Godthaab an der Westküste –28°. Mit Thermometern, die –30° angeben können, glaubte man daher in allen vorkommenden Fällen beobachten zu können. Wie aus dem spätern ersichtlich ist, ging in den großen Höhen mitten in Grönland die nächtliche Temperatur im September schon unter –30° herab und wahrscheinlich bis –45°.

Zur Bestimmung der Feuchtigkeit der Luft hatte eins der Thermometer die Kugel mit Musselin überzogen, und mit diesem gefeuchtet, wurde das Thermometer geschleudert. Die Befeuchtung geschah, da Wasser oft nicht zugegen war, auf die Weise, daß man die Kugel des nassen Thermometers mit dem Musselin von einem Schneeball umgab, welcher durch die Wärme der Hand geschmolzen wurde. Da die Teilnehmer der Expedition, während sie auf dem Grönlandeise waren, den Luxus, sich zu waschen, nicht genießen konnten, so wurde das Wasser auf dem Musselin allmählich etwas fettig, und als die Kälte zu streng wurde, wagte der Beobachter nicht, die Hände zu entblößen, um mit ihnen Schnee zu schmelzen. Während der strengen Kälte mußten daher die Psychrometerbeobachtungen aufhören.

Die Psychrometerbeobachtungen habe ich nach Jelineks Tabellen berechnet, mit Anbringen der Korrekturen für den Luftdruck.

Die Richtung des Windes wurde nach dem Kompaß notiert. Zur Reduktion auf die wahre Windrichtung habe ich Neumayers oben genannte Karte nach Reduktion auf 1888 benutzt. Die Berechnung wurde nach einer graphischen Tafel ausgeführt, welche, gegründet auf die Mißweisung als Funktion der Länge, die Mißweisung als Funktion des Datums gab.

Die Stärke des Windes wurde nach Schätzung nach der folgenden Skala notiert:

0 = Still.	Geschwindigkeit:
1 = Schwach.	3—4 m per Sekunde.
2 = Mäßig.	5—7 "
3 = Frisch.	8—12 "
4 = Stark.	13—16 "
5 = Sturm.	über 16 "

Die Wolkenformen wurden notiert als:

Ci = Cirrus.
Cis = Cirrostratus.
Ccu = Cirrocumulus.
Cas = Cumulostratus (Stratocumulus).
Str = Stratus.

Cumuluswolken kommen im meteorologischen Tagebuch nicht vor.

Die Bewölkung wurde nach der Skala 0—10 notiert, mit Exponenten ⁰ für leichte, ² für dichte Wolken. Wenn der Himmel ganz gleichmäßig überzogen war, ist dies in der Tabelle mit Str. 10 bezeichnet.

Niederschlag wurde zu den Zeiten, wo solcher gefallen ist, notiert. In der Tabelle sind die internationalen Bezeichnungen benutzt.

Die Breite und Länge der Beobachtungspunkte sind auf folgende Weise bestimmt worden: Auf einer Karte, in welcher 1 Bogenminute Länge 1 mm ausmachte, wurden die aus den astronomischen Beobachtungen berechneten Ortslinien eingetragen. Nach seinem Tagebuche gab Dr. Nansen für jeden Tag den Kurs von einer Station nach der nächsten an, sowie die wahrscheinlich zurückgelegene Distanz. Diese wurde zum Teil berechnet nach den Beobachtungen des Podometers, hauptsächlich aber geschätzt. Die also gefundene Route wurde dann in solcher Weise adjustiert, daß sie, mit Beibehaltung der eingehaltenen Kursen, mit den astronomischen Linien in Übereinstimmung gebracht wurde und nicht mit den auf dem Wege gemachten sichern Beobachtungen über die zurückgelegenen Abstände in Widerspruch kam. Für den letzten Teil der Route, wo man keine Längenbestimmungen hatte, um die Lage der Beobachtungspunkte zu finden, namentlich vom 20. bis zum 25. September, nachdem die Berge der Westküste in Sicht gekommen waren, gingen wir rückwärts vom Endpunkt der Reise am Ameralikfjord, dessen Länge und Breite der dänischen Karte entnommen wurde; und für die allerletzten Tage, 26. September bis 2. Oktober, wurde die Breite und Länge der Beobachtungspunkte aus einer vom Hauptmann Dietrichsen entworfenen Spezialkarte des Thales (Austmannadalen) zwischen dem Binneneise und dem Ameralikfjorde genommen. Nachdem die Orte der Nachlagerstationen in der Karte festgelegt waren, wurden die Orte der einzelnen Beobachtungsstationen auf dem Marsche während des Tages eingetragen, so wie sie aus Dr. Nansens Tagebuch in Verbindung mit den notierten Uhrzeiten hervorgingen. Bei der Festlegung der Route in die Karte ist folglich Rücksicht genommen auf alle Aufschlüsse, die dazu dienen können, sie so genau zu machen, wie die Umstände es erlauben. (Taf. I unten.)

Da der Fehler in den astronomisch bestimmten Breiten durchschnittlich kaum mehr als 1 Minute beträgt, und in den Längen kaum mehr als 2 Seemeilen, so dürfen wir vielleicht die geographische Lage der Beobachtungspunkte als mit einer Genauigkeit von durchschnittlich 2 bis 3 Seemeilen bestimmt ansehen, eine Genauigkeit, die für Stationen auf dem ausgedehnten Schneefeld des innern Grönland als befriedigend angesehen werden kann.

Die Breite und Länge während der Trift auf dem Eise in der Dänemarkstraße ist nach den berechneten Ortslinien und Peilungen von Punkten an der Küste bestimmt worden. Die nötigen Aufschlüsse sind vom Dr. Nansen nach seinem Tagebuch angegeben.

Die Höhen der Stationen über dem Meeresniveau habe ich auf folgende Weise berechnet:

Von dem Direktor des dänischen Instituts in Kopenhagen, Herrn A. Paulsen, erhielt ich eine vollständige Abschrift von den meteorologischen Beobachtungen von 4 Stationen in Westgrönland, 4 Stationen auf Island und 1 Station auf den Färöern, in der Form, in welcher sie in dem „Meteorologisk Aarbog, udgivet af det danske meteorologiske Institut“ veröffentlicht werden, vom 21. August bis zum 12. Oktober 1888. Für diesen notwendigen und wertvollen Beistand, ohne welchen es nicht möglich gewesen wäre, mit einigermaßen befriedigender Genauigkeit die Höhen von Dr. Nansens Stationen auf dem Binneneise Grönlands zu berechnen und darnach das Profil dieses bisher unbekannten Landes zu konstruieren, benutze ich diese Gelegenheit, um Dr. Nansens und meinen erkenntlichen Dank abzustatten.

Die 9 dänischen Stationen und ihre Lage waren:

Station.	Breite.	Länge W. Gr.	Land.
Upernivik	72° 47'	55° 53'	Grönland.
Jakobhavn	69 13	50 55	"
Godthaab	64 11	51 46	"
Ivigut	61 12	48 11	"
Stykkisholm	65 5	22 46	Island.
Akureyri	66 34	18 3	"
Berufjord	64 40	14 15	"
Vestmanna	63 26	20 18	"
Thorshavn	62 3	6 44	Färöer.

Dr. Nansens Stationen auf Grönland, durch laufende Nummern von 1 bis 41 bezeichnet, waren fast alle Ruheplätze, wo die Expedition in ihrem Zelte übernachtete. In der Regel liegen von diesen Stationen eine Abend- und eine Morgenbeobachtung der meteorologischen Instrumente vor, und zwar zu Zeiten, welche von den Terminen der Abend- und Morgenbeobachtungen auf den festen Stationen auf Grönland, Island und Färöer nicht weit entfernt sind. Da die Änderungen des Luftdrucks im Innern von Grönland nicht stark waren, und da den absoluten Werten des beobachteten Luftdrucks auf Dr. Nansens Stationen keine größere Sicherheit als ± 1 mm zugelegt werden kann — nach der Übereinstimmung zwischen den gleichzeitigen Angaben der 3 Barometer zu urteilen, nachdem sie mittelst des Hypsometers auf wahren Luftdruck reduziert sind und seit der letzten Korrekturebestimmung eine Zeit verstrichen ist —, habe ich es als überflüssig angesehen, sämtliche zu einer einzelnen Höhenbestimmung benutzten Barometerhöhen auf denselben Zeitpunkt zu reduzieren. Dasselbe gilt von den Lufttemperaturen, welche zu den Berechnungen einfach von den korrespondierenden Terminbeobachtungen der am Meere liegenden Stationen genommen sind. Die Lage am Meere garantiert in den meisten Fällen dafür, daß die beobachteten Lufttemperaturen nicht in wesentlichem Grade von solchen Umständen beeinflusst sind, die in extremen Fällen zu einer Umkehrung der Temperaturabnahme mit der Höhe führen und dadurch die Reduktion auf ein andres Niveau mehr oder weniger illusorisch machen.

Bei der Berechnung der Höhe der Stationen über dem Meere bin ich in der Weise vorgegangen, daß die Barometerhöhen der festen meteorologischen Stationen vom Meeresniveau auf ein Niveau hinauf reduziert worden sind, welches, nach einer vorläufigen Rechnung, sehr nahe am Niveau der Station liegt, deren Höhe gesucht wird. Bei diesem Verfahren beruht die Genauigkeit der berechneten Luftdruckwerte wesentlich auf der Reduktion der Temperatur auf das obere Niveau. Die gefundenen Luftdruckwerte wurden dann in einer Karte niedergelegt, der wahrscheinlichste Wert des Luftdrucks im Vertikal der Station daraus entnommen und mit diesem und dem an der Station beobachteten, resp. gehörig reduzierten Luftdruck der Höhenunterschied zwischen dem Niveau der Station und dem vorläufigen berechnet.

Zuerst wurden die Barometerhöhen der festen Stationen auf das Meeresniveau und die Normalschwere reduziert, nach der folgenden Tabelle:

	Upernivik.	Jakobshavn	Godthaab.	Ivigut.	Stykkisholm.
Reduktion auf Meeresniveau . .	1,3 mm	1,2 mm	1,1 mm	0,5 mm	1,1 mm
„ „ Normalschwere . .	1,6	1,5	1,2	1,0	1,3
Summa +	2,9 mm	2,7 mm	2,3 mm	1,5 mm	2,4 mm
	Akureyri	Berunfjord.	Vestmanö.	Thorhavn.	
Reduktion auf Meeresniveau . .	0,3 mm	1,7 mm	0,3 mm	0,9 mm	
„ „ Normalschwere . .	1,2	1,2	1,2	1,1	
Summa +	1,6 mm	2,9 mm	2,0 mm	2,0 mm	

Die vorläufige Höhe einer Station auf dem Grönlandeise wurde mit einem konstanten Luftdruck am Meeresniveau berechnet, wobei auf die Temperatur in der Höhe Rücksicht genommen wurde, nach Delcros' Tabellen (Tables, Meteorological and Physical, prepared for the Smithsonian Institution by Arnold Guyot).

Die Reduktion der Barometerhöhen auf dieses Niveau wurde folgendermaßen berechnet:

Delcros' Tabellen geben die Höhe nach der Formel:

$$z = (N - n) \left(1 + \frac{2(t + t')}{1000} \right).$$

z ist die Meereshöhe in Metern.

N ist die Zahl in der Tabelle, die dem Luftdruck H am Meere entspricht.

n ist die Zahl in der Tabelle, die dem Luftdruck h an der Station entspricht.

t ist die Temperatur der Luft am Meere.

t' ist die Temperatur der Luft an der Station.

Hieraus erhält man:

$$n = N - \frac{z}{1 + \frac{2(t + t')}{1000}}.$$

Zur Berechnung von t' habe ich die Abnahme der Temperatur mit der Höhe zu $0,5^\circ$ per 100 m gesetzt, also

$$t' = t - 0,5^\circ \frac{z}{100} = t - \frac{z}{200}.$$

Wie wir später sehen werden, ist die Abnahme der Temperatur mit der Höhe auf dem Grönlandeise während Dr. Nansens Reise $0,68^\circ$ per 100 m. In diesem Werte steckt indessen nicht nur die Wirkung der Höhe, sondern auch die des Abstandes der Beobachtungspunkte auf dem schneebedeckten kalten Lande von der Küste oder dem offenen Meere. In der freien Luft möchte daher der gewählte Wert der Wahrheit näher kommen.

Hat man nach der angeführten Formel den Wert von n gefunden, so sucht man in der Tabelle den dazu gehörigen Wert von h , welcher der auf die Höhe z reduzierte Luftdruck ist.

Auf Delcros' Hilfstabellen II, III, IV und V braucht man nicht Rücksicht zu nehmen. Tabelle II enthält nur die Reduktion des Quecksilberbarometers auf 0° , Tabelle III (die Reduktion auf die Normalschwere), sowie Tabelle IV und V geben Korrekturen, die so klein sind, daß ihre Bedeutung gegenüber der Unsicherheit der Beobachtungen verschwindet, und die sich zum Teil gegenseitig aufheben¹⁾.

Die Höhe der Stationen 2 bis 4 habe ich auf die gewöhnliche Weise berechnet.

Die Reduktion auf das angenäherte Niveau ist Herr Hauptmann Dietrichson so freundlich gewesen für die korrespondierenden Barometerhöhen zu den Abend- und Morgenbeobachtungen auf den Stationen 5 bis 39 nach der hier angegebenen Methode für mich zu berechnen. Für die wesentliche Erleichterung in meiner Arbeit, welche er mir dadurch verschafft hat, spreche ich hier meinen erkenntlichen Dank aus. Es sind nicht weniger als 630 einzelne Rechnungen: 35 Grönlandestationen und für jede von diesen 2×9

¹⁾ Delcros' Tabellen geben nicht ganz dasselbe Resultat wie die Perntners (Exners Repertorium der Physik 1888), wegen der Unterschiede in den Konstanten. Mit einer Temperaturabnahme von $0,6^\circ$ per 100 m geben Perntners Tabellen fast ganz dasselbe Resultat wie Delcros' mit $0,5^\circ$ per 100 m.

Reduktionen der Küstenstationen aufs höhere Niveau. Ein paar Beispiele von diesen Rechnungen mögen die Sache beleuchten.

Station 27. $z = 2500$ m.

	September 12. Godthaab.	Abends. Stykkisholm.	September 13. Godthaab.	Morgens. Stykkisholm.
Barometerbeobachtungen	755,9 mm	751,1 mm	758,4 mm	751,4 mm
Reduktion	+ 2,3	+ 2,4	+ 2,3	+ 2,4
Luftdruck am Meere	758,2	753,5	760,7	753,8
Temperaturbeobachtungen t	1,9°	6,6°	0,8°	7,9°
$-\frac{z}{200}$	- 12,5	- 12,5	- 12,5	- 12,5
t'	- 10,6	- 5,9	- 11,9	- 4,6
$t + t'$	- 8,7	0,7	- 11,3	3,3
$\frac{t + t'}{500}$	- 0,0174	0,0114	- 0,0226	0,0066
$1 + \frac{t + t'}{500}$	0,9826	1,0114	0,9774	1,0066
Log. z	3,39794	3,39794	3,39794	3,39794
Log. $\left(1 + \frac{t + t'}{500}\right)$	9,99228	0,00061	9,99007	0,00266
Log. $\frac{z}{1 + \frac{t + t'}{500}}$	3,40556	3,39733	3,40787	3,39608
Numerus	2544,3	2496,5	2557,8	2483,6
N	8131,7	8082,3	8157,9	8085,4
n	5587,4	5585,7	5600,1	5601,8
h	550,8 mm	550,7 mm	551,7 mm	551,8 mm

Die auf das vorläufige Niveau reduzierten Werte des Luftdrucks der 9 Küstenstationen für denselben Zeitpunkt (in der Regel abends und morgens) wurden in eine Karte eingetragen. Auf derselben wurde ferner die betreffende Station, mit der daselbst notierten Windrichtung und Windstärke, und zugleich die Richtung und Stärke des Windes an den Küstenstationen verzeichnet. Nach diesen Daten wurden die Isobaren für jedes Millimeter Luftdruck gezeichnet. Hierbei wurde hauptsächlich Rücksicht genommen auf die reduzierten Luftdruckwerte und die Richtung und Stärke des Windes auf Dr. Nansens Station. Die Richtung des Windes an diesem Ort bestimmt die Richtung der Isobare durch die Station. Auf der ebenen Schneefläche, habe ich mir gedacht, bilde die Richtung des Windes einen Winkel von etwa 45° mit dem Gradient und mit der Isobare. Die Stärke des Windes an der Station gibt Anleitung zur Bestimmung des gegenseitigen Abstandes der Isobaren. Die Rücksicht auf die Windrichtung und Windstärke der Küstenstationen habe ich in zweiter Linie stehen lassen, da die Luftdruckverteilung und das damit folgende Windsystem in tiefern und höhern Niveaus verschieden sein können. Von den grönländischen Stationen an der Küste ist nur Upernivik eine gute Windstation; an den übrigen ist die Windrichtung von hohen Bergen beeinflusst. Bei der Zeichnung der Isobaren habe ich die klimatischen Eigentümlichkeiten auf Grönland und den umliegenden Meeren im Auge gehabt; hierüber werde ich weiter unten ausführlicher sprechen.

Für jede Station auf Grönland, deren Höhe bestimmt werden sollte, wurden in der Regel zwei Isobarenkarten gezeichnet, eine für den Abend und eine für den Morgen. Die Isobarensysteme dieser Karten wurden unabhängig voneinander entworfen, und aus jeder

derselben wurde der Luftdruck im angenäherten Niveau für den Vertikal der Station entnommen. Hier hat man nun eine Kontrolle. Da der Unterschied zwischen der endgültigen Höhe einer Station und der angenäherten gering ist (nur selten über 100 m), so sollte die nach den zwei Isobarenkarten gefundene Änderung des Luftdrucks vom Abend bis zum Morgen sehr nahe gleich sein der auf der Station im selben Zeitraum wirklich beobachteten Änderung. Falls der Unterschied zwischen diesen Änderungen 5 mm oder mehr erreichte, suchte ich durch Korrektur der Isobaren in beiden oder in einer der Karten eine bessere Übereinstimmung zuwege zu bringen. In der Regel war der Unterschied nur etwa 1 mm oder weniger. Es wäre nicht schwer gewesen, die Isobarensysteme so zu konstruieren, daß volle Übereinstimmung statt hätte, aber dies fand ich überflüssig, wenn die angenommenen Luftdruckwerte im angenäherten Niveau Höhen ergaben, die nicht mehr als 50 m auseinander gingen. Nachdem, wo es nötig war, die binlängliche Übereinstimmung zwischen den genannten Änderungen des Luftdrucks hergestellt war, berechnete ich abgesondert nach dem Luftdruck jeder Karte im Vertikal der Station und dem gleichzeitig durch die Beobachtung gegebenen Luftdruck, mit Rücksicht auf die Temperatur an der Station, die Höhe der letztern über oder unter dem angenäherten Niveau, und daraus die absolute Höhe über dem Meeresniveau. Von den so gefundenen zwei Werten, die unter sich nicht über 50 m differierten, in der Regel ca 10 m oder weniger, nahm ich das Mittel und betrachtete dieses als die definitive Höhe. Durch dieses Mittelnnehmen ist dasselbe erreicht, als ob ich die Luftdrucksänderung der Karten mit der Beobachtung in volle Übereinstimmung gebracht hätte.

Der geringe Unterschied, welcher in der Regel zwischen der definitiven und der angenäherten Höhe einer Station gefunden wurde, bewirkt, daß die Lufttemperatur an der Station eine geringe Rolle in der Berechnung spielt. Es ist der Fehler in der Reduktion der Temperatur vom Meere zum angenäherten Niveau, welcher sich hier in den reduzierten Luftdruckwerten geltend macht.

Die Berechnung der Höhenunterschiede zwischen der Station und dem angenäherten Niveau habe ich nach Delcros' Tabellen gemacht:

$$z_0 - z = (N - n) \left(1 + \frac{4t}{1000} \right).$$

z_0 ist die berechnete Höhe der Station in Metern.

z ist die angenäherte Höhe der Station in Metern.

N ist die Zahl der Tabelle für den Luftdruck im angenäherten Niveau.

n ist die Zahl der Tabelle für den Luftdruck auf der Station.

t ist die Temperatur der Luft auf der Station.

Als ein Beispiel der Berechnung der Höhe einer Station führe ich folgendes an:

Station 29. $z = 2410$ m.

Station.	September 14.				September 15.			
	Barometer- beobacht. mm	h mm	t °	Wind.	Barometer- beobacht. mm	h mm	t °	Wind.
Upernivik	754,5	554,0	— 14,0	— 0	754,3	553,7	— 14,2	E 1
Jakobhavn	55,4	53,7	— 15,3	E 3	56,4	53,8	— 16,1	E 4
Godthaab	55,0	50,0	— 12,6	NE 3	54,6	54,6	— 12,8	NE 3
Ivigut	48,8	52,2	— 3,3	N 2	48,8	49,1	— 10,6	— 0
Stykkisholm	49,6	50,0	— 6,9	W 1	48,8	56,5	— 3,9	S 5
Akureyri	50,1	56,2	— 4,9	SW 3	53,4	57,4	— 6,7	W 4
Beruford	50,0	57,8	4,2	SW 3	52,6	56,7	— 8,2	— 0
Vestmanö	52,6	57,4	6,3	W 1	53,2	59,8	— 3,4	S 2
Thorshavn	761,0	568,8	— 3,0	SE 2	756,0	563,6	— 0,8	S 2
Station 29		h 555,0	t — 29,6	Wind. 0		h 554,8	t — 30,0	Wind. E 1

Die Karte für den 14. September, abends, gibt im Niveau 2410 m ein Maximum des Luftdrucks über dem Innern von Grönland, ein Minimum in der Baffinsbucht außerhalb

Jakobshavn und ein zweites Minimum in der Dänemarkstrafse westlich und nördlich von Island. Im Vertikal der Station 29 wird der Luftdruck 555,5 mm.

Die Karte für den 15. September, morgens, gibt eine ganz ähnliche Verteilung des Luftdrucks im Niveau 2410 m. Gerade im Vertikal der Station 29 liegt die Isobare von 555,0 mm in der Richtung von SE nach NW.

Die Rechnung steht also

September 14. Abends.

Niveau 2410 m	h = 555,5 mm	N = 5654,5	t = - 29,8°
Station 29	555,0	n = 5647,4	4 t = - 118,4
		N - n = 7,1	$\frac{4 t}{1000} = - 0,1184$
		(N - n) $\frac{4 t}{1000} = - 0,8$	
		z ₀ - z = 6,3	
		z = 2410,0	
		z ₀ = 2416,3	

September 15. Morgens.

Niveau 2410 m	h = 555,0 mm	N = 5647,4	t = - 30,0°
Station 29	554,8	n = 5644,5	4 t = - 120,0
		N - n = 2,9	$\frac{4 t}{1000} = - 0,12$
		(N - n) $\frac{4 t}{1000} = - 0,4$	
		z ₀ - z = 2,5	
		z = 2410,0	
		z ₀ = 2412,5	

Man erhält also aus den Abendbeobachtungen z₀ = 2416,3 m
 aus den Morgenbeobachtungen 2412,5
 Angenommene Höhe der Station 29 2414,4 m
 oder in runder Zahl 2414 m.

Ich werde einen Versuch machen, die Genauigkeit dieser Bestimmung zu beurteilen, indem ich einen Überschlagn über die Wirkung der wesentlichen Fehlerquellen mache.

Ein Fehler von 0,1° in der Änderung der Temperatur mit der Höhe per 100 m gibt einen Fehler von 0,8 mm im Luftdruck im Niveau 2410 m.

Die Fehler der Isobaren scheinen, nach den Karten zu urteilen, kaum 2 mm zu übersteigen.

Der Luftdruck auf Station 29, dessen Sicherheit wesentlich auf dem Hypsometer beruht, kann als mit einer Unsicherheit von ± 1 mm behaftet angesehen werden.

Hieraus entsteht ein mutmaßlicher Fehler in dem Luftdrucksunterschied zwischen dem Niveau 2410 m und Station 29 von

$$m = \pm \sqrt{0,8^2 + 2^2 + 1^2} = \pm 2,6 \text{ mm,}$$

was einem Höhenunterschied von $\pm 37,2$ m entspricht.

Nach dieser Berechnung darf man vielleicht die barometrisch berechneten Höhen von Dr. Nansens Stationen auf Grönlands Binneneis als innerhalb einer Fehlergrenze von 30—40 m veranschlagen.

Die Höhe der Station 5 ist berechnet worden nach einer Abendbeobachtung und einer Beobachtung um 2 Uhr morgens. Für die letztgenannte Stunde sind die korrespondierenden Beobachtungen interpoliert und ist dem Resultat halbes Gewicht gegeben worden.

Die Höhe der Station 22 ist nach 5 Beobachtungen berechnet: September 6., abends, September 7., morgens, 2^h p. m., 7^h p. m., und September 8., morgens. Über die Meteorologie dieses Tages werde ich ausführlicher weiter unten sprechen.

Die Höhe der Station 34 ist nur nach der Beobachtung vom 20. September morgens berechnet.

Die Höhen der Stationen 40, 41 und 42 sind nach Hauptmann Dietrichsons Karte genommen.

Die Höhen der Beobachtungspunkte während des Marsches von der einen Station nach der andern sind nach einem Profil genommen, welches nach den Breiten und Längen und den barometrisch bestimmten Höhen der Stationen konstruiert worden ist¹⁾. In dieses Profil hat Dr. Nansen die Steigung oder den Abfall der Route zwischen den Stationen nach den in seinem Tagebuche enthaltenen Bemerkungen eingezeichnet. Ein Versuch, die Böschungen des Wegs nach dem Gang des Barometers zu bestimmen, führte in vielen Fällen zu ganz ungereimten Resultaten. Dagegen waren solche Fälle von großem Interesse in meteorologischer Hinsicht, da sie Änderungen im Luftdruck im selben Niveau zeigten, welche mit denen harmonisierten, die durch die Beobachtungen der festen meteorologischen Stationen angedeutet waren. Ich komme auf diesen Punkt wieder zurück.

Eine interessante Bestätigung der barometrisch gefundenen Böschungen auf Dr. Nansens Weg ist die folgende: Auf Station 25, am 11. September, wurde mit dem Universalinstrument der Abfall des Terrains gegen West zu 22' gemessen. Das Profil gibt als den durchschnittlichen Abfall von Station 25 bis Station 26 einen Wert von 62m auf einer Strecke von 10,7 km oder 19,9'

Die Lage und Höhe der Beobachtungspunkte am 26. September und an den folgenden Tagen sind mir vom Hauptmann Dietrichson nach seiner Karte des Austmannathales gegeben worden. Die Höhen sind nach den Änderungen des Barometers auf dem Marsche das erste Mal zu Thal und dann zu Berg und zu Thal bei der spätern Abholung des Gepäcks vom Rande des Inlandeises bestimmt worden.

Während der Reise wurde stets die Uhrzeit nach dem Chronometer Nr. 2, also nach Greenwich Zeit notiert. Nach der Länge der Beobachtungsorte habe ich sie auf Lokalzeit reduziert, und die letztere in die folgenden Tabellen eingeführt. Die Einrichtung dieser Tabellen wird aus dem Vorhergesagten verständlich sein.

Meteorologische Beobachtungen während der Bootfahrt in der Dänemarkstrasse.

Tag 1888	Breite N	Länge W	Lokal- zeit	Barom. 45'	Temp (°)	Dunst- druck	Relat. Feucht.	Wind- Richt. St.	Wolken- Form Bew.	Nieder- schlag	Anmerkungen.
°	'	°	'	h m	mm	mm	%				
Juli 21.	64 31	39 23	6 54 p.	765,2	1,4	4,6	91	S	1	Cl	3 ^a
"	64 32	39 24	8 54 p.	764,7	0,1	—	—	—	0	Cl	2
"	64 31	39 24	9 53 p.	764,5	-0,5	—	—	—	0	Cl	2 ^a
"	64 30	39 25	10 53 p.	764,0	-0,5	—	—	—	0	Cl	2 ^a
"	64 29	39 26	11 52 p.	763,6	-0,9	—	—	—	0	Cl	2 ^a
" 22	64 28	39 26	1 52 a.	763,1	-1,1	—	—	—	0	Cl	1 ^a
"	64 27	39 27	2 52 a.	763,1	-1,1	—	—	—	0	Cl	1 ^a
"	64 26	39 28	3 52 a.	763,0	-1,1	—	—	—	0	Cl	1 ^a
"	64 24	39 28	4 52 a.	762,7	-0,3	—	—	SSE	1	Cl	1 ^a
"	64 24	39 28	5 52 a.	762,5	0,3	—	—	SSE	1	Cl	1 ^a
"	64 23	39 29	6 52 a.	762,5	0,5	—	—	SSE	1	Cl	1 ^a
"	64 21	39 30	8 52 a.	762,1	0,9	—	—	—	0	Str	10
"	64 20	39 30	9 52 a.	761,8	0,9	—	—	S	1	Str	10
"	64 20	39 30	10 52 a.	762,1	1,0	—	—	—	0	Str	10
"	64 19	39 31	11 52 a.	762,1	1,1	5,0	100	—	0	Str	10
"	64 15	39 34	2 52 p.	762,1	0,8	4,8	100	—	0	Str	10
"	64 13	39 35	4 52 p.	762,6	0,4	4,5	96	N	1	Cust	9
"	64 10	39 37	6 52 p.	762,6	1,0	4,7	96	N	1	Cust	9
"	64 9	39 39	8 22 p.	763,0	0,9	4,6	94	N	1	Cust	10
" 23.	64 5	39 43	12 20 a.	763,0	1,1	4,5	90	NNW	1	Cust	10
"	64 3	39 45	2 20 a.	764,1	1,2	4,4	89	N	1	Cust	9 ^a
"	64 2	39 46	3 20 a.	763,6	0,8	4,5	92	NNW	1	Cust	9 ^a
"	64 1	39 47	4 20 a.	763,8	0,7	4,5	92	N	1	Cust	9
"	64 1	39 49	5 20 a.	764,6	0,8	4,7	98	N	1	Str	10

¹⁾ Siehe Schnitt durch Grönland im 64. Breitengrade, Taf. I.

IV. Meteorologische Beobachtungen.

23

Tag 1888	Breite N	Länge W	Lokal- zeit	Barom.	Temp. C.	Dampf- druck mm	Relat. Feucht.	Wind- Richt.	Wind- St.	Wolken- Form	Wolken- Bew.	Nieder- schlag	Anmerkungen.
Juli 23.	64 0	39 51	6 20 a.	764,6	0,4	4,7	100	N	1	Str	10		
"	64 0	39 53	7 20 a.	765,0	0,3	4,7	100	N	1	Str	10		
"	63 59	39 58	9 50 a.	765,8	0,8	4,9	98	N	1	Str	10		
"	63 55	40 4	4 20 p.	765,6	1,3	4,7	93		0	Cist	10		
"	63 54	40 5	6 20 p.	765,6	1,1	4,6	92		0	Cist	8		
"	63 52	40 6	8 20 p.	763,7	0,9	4,9	100		0	Cist	10		
"	63 50	40 5	1 20 a.	764,9	0,9	4,5	98	S	1	Str	10		
"	63 49	40 5	2 20 a.	763,8	0,1	4,4	96	S	1	Str	10		
"	63 48	40 4	3 20 a.	764,8	0,3	4,3	92	S	1	Str	10		
"	63 41	40 9	2 35 p.	763,5	1,3	4,8	94		0	Str	10		
"	63 39	40 8	4 5 p.	763,6	1,3	4,8	94		0	Str	10		
"	63 32	40 10	11 20 p.	765,8	0,8	4,7	98	N	2	Str	10		
"	63 25	40 11	5 50 a.	765,9	0,5	4,6	96	N	2	Str	10		
"	63 24	40 12	6 50 a.	765,9	0,6	4,6	94	N	2	Str	10		
"	63 22	40 13	7 50 a.	766,8	0,9	4,6	94	N	2	Str	10		
"	63 20	40 14	9 50 a.	766,9	1,0	4,8	98	N	2	Cien	1		
"	63 18	40 15	11 50 a.	766,9	1,0	4,9	100	NNE	2	Cien	3		
"	63 17	40 15	1 20 p.	766,9	1,6	4,8	87	NNE	2	Cuen	9		
"	63 14	40 17	3 50 p.	766,6	1,7	4,6	90	NNE	1	Cien	2		
"	63 12	40 18	6 20 p.	766,8	0,6	4,2	89		0	Cien	3		
"	63 10	40 21	8 20 p.	766,8	—	4,1	96		0	Cien	3		
"	63 6	40 23	11 20 p.	766,5	—	—	—		0	Cist	10		
"	62 59	40 30	3 50 a.	766,0	1,9	4,4	84	NNW	1	Cuen	9		
"	62 51	40 38	7 50 a.	765,5	1,2	4,8	94		0	Cist	10		
"	62 50	40 42	8 50 a.	766,2	1,9	4,5	86		0	Cuen	10		
"	62 50	40 47	9 50 a.	766,2	1,2	4,7	94		0	Cist	10		
"	62 45	41 0	1 20 p.	765,9	1,9	4,9	93		0	Str	10		
"	62 41	41 5	3 20 p.	765,9	1,9	5,2	98		0	Str	10		
"	62 39	41 8	4 20 p.	765,5	2,1	5,1	94		0	Cist	10		
"	62 34	41 16	7 15 p.	765,5	1,6	4,6	89		0	Cist	10		
"	62 30	41 23	9 15 p.	766,0	1,9	4,4	84		0	Cuen	10		
"	62 25	41 31	1 15 a.	765,7	0,9	4,2	85	NNE	1	Cist	10		
"	62 23	41 32	3 15 a.	765,8	—	4,4	96	N	1	Cl	6		
"	62 21	41 32	4 45 a.	765,4	0,4	—	—	N	1	Cist	9		
"	62 15	41 28	11 15 a.	766,8	1,3	4,5	89	N	1	Cist	10		
"	62 15	41 28	11 45 a.	766,9	1,4	4,9	96	N	1	Cist	10		
"	62 14	41 27	1 45 p.	767,5	1,8	4,5	85	N	1	Cist	10		
"	62 13	41 26	2 45 p.	767,9	1,6	4,5	87	N	1	Cist	10		
"	62 12	41 26	4 15 p.	766,9	1,6	4,5	87	N	1	Cist	10		
"	62 11	41 25	5 15 p.	766,7	1,9	4,8	82	N	1	Cist	9		
"	62 11	41 25	6 45 p.	766,4	1,9	4,8	82	N	1	Cuen	9		
"	62 10	41 25	7 45 p.	766,6	1,1	4,2	85	N	1	Cuen	7		
"	62 9	41 24	8 45 p.	766,6	0,4	4,4	92	N	1	Cien	5		
"	62 8	41 25	10 45 p.	766,2	—	—	—		0	Cien	1		
"	62 7	41 23	11 45 p.	766,2	—	—	—		0	Cien	1		
"	62 6	41 22	0 45 a.	763,2	—	—	—		0	Cien	1		
"	61 56	41 18	11 45 a.	763,3	1,6	5,1	98	S	1	Cist	1		
"	61 52	41 18	1 15 p.	763,1	2,0	5,0	94	S	1	Cist	1		
"	61 50	41 18	2 15 p.	763,1	1,9	4,6	88		0	Cist	1		
"	61 48	41 19	3 15 p.	763,1	2,1	5,1	94		0	Cist	1		
"	61 45	41 19	4 15 p.	763,0	2,3	—	—		0	Cist	1		
"	61 37	41 22	8 15 p.	763,0	0,4	4,6	98		0	Cist	2		
"	61 35	41 27	10 15 p.	762,1	0,4	4,7	100		0	Cist	2		
"	61 34	41 30	2 10 a.	762,7	0,0	4,5	98		0	Str	10		
"	61 38	42 0	3 25 p.	763,2	3,0	4,9	87		0	Cist	1		
"	61 53	42 2	9 55 a.	764,4	3,0	4,9	87		0	0	0		
"	61 53	42 2	3 30 p.	764,4	4,5	5,2	82		0	0	0		
"	62 0	42 2	11 10 p.	764,4	2,0	—	—		0	0	0		
"	62 0	42 2	9 25 a.	764,4	2,7	4,7	87		0	Cien	6		
"	62 0	42 2	12 10 p.	764,0	2,5	4,9	89		0	Cien	9		
"	62 10	42 12	9 11 a.	764,4	5,0	5,5	84		0	Cien	4		
"	62 23	42 6	3 12 p.	764,4	6,0	5,6	81	NNW	1	Cl	1		
"	62 25	42 6	8 27 p.	764,7	4,5	5,0	79		0	Cuen	9		
"	62 25	42 6	8 42 a.	764,5	4,0	4,9	80		0	Cist	10		
"	62 32	42 5	2 57 p.	764,8	4,8	5,5	86		0	Cuen	9		
"	62 42	41 49	8 43 a.	764,2	6,0	6,3	93	NNW	1	Str	10		
"	62 54	41 32	6 29 p.	765,8	6,0	—	—	NNE	3	Cist	10		
"	62 54	41 29	9 29 a.	766,8	5,0	5,4	83	NNE	1	Cuen	10		
"	62 58	41 24	3 14 p.	766,3	5,4	5,6	83	NNE	1	Cist	9		
"	63 3	41 18	10 15 a.	765,3	5,5	5,6	85	NE	2	Cuen	9		
"	63 7	41 10	3 30 p.	764,0	4,9	5,5	84	NE	2	Cist	9		
"	63 12	41 8	9 15 a.	761,9	10,0	—	—	NNW	1	Cl	1		

Am ganzen Tag
starke Dünung
aus NE.Starke Dünung aus
NE.Über Land und See
schwere Cist.Min-Therm. 1 Zoll
unter Schnee
—2,8.Juli 29 to Aug. 10.
Richtung des Win-
des. beeinflusst
durch die Klüften-
gebirge.

Tag 1888	Breite N	Länge W	Lokal- zeit	Barom. 45'	Temp. C.	Dunst- druck	Relat. Feucht.	Wind. Richt. St.	Wolken. Form Bew.	Nieder- schlag	Anmerkungen.
	°	'	h m	mm		mm	%				
Aug. 6.	63 17	41 4	3 1 p.	761,3	12,5	5,8	53	NNW 1	Cl 1		abends Nordlicht N. v. Zenith.
" 7.	63 20	41 0	9 46 a.	764,7	2,2	5,1	94	NNW 1	Cl 1		
" 12.	63 26	40 58	4 16 p.	765,0	4,9	5,6	86	0	Cl 1		
" 8.	63 33	40 48	9 47 a.	765,2	5,6	4,8	71	0	Cl 1		abends Nordlicht N. v. Zenith.
" 13.	63 38	40 38	4 32 p.	764,7	4,0	5,3	87	0	Cl 1		
" 9.	63 44	40 32	10 18 a.	763,8	2,8	4,9	88	SE 1	Cieu 2		
" 10.	63 56	40 35	4 48 p.	764,2	3,6	5,1	87	0	Cl 2		
" 11.	64 4	40 34	11 18 a.	764,8	2,9	5,3	91	N 1	Cl 9		
" 12.	64 24	40 40	9 2 p.	765,7	1,9	—	—	SE 1	Str 10		

Vom 18. bis zum 29. Juli kampierte die Expedition auf einer Eiescholle. Vom 29. Juli bis zum 10. August ruderte die Expedition längs der Ostküste von Grönland.

Meteorologische Beobachtungen in Grönland.

Tag 1888	Seit. Nr.	Breite N	Länge W	Höhe m	Lokal- zeit	Baro- meter 45'	Temp. C.	Dunst- druck	Relat. Feucht.	Wind Richt. St.	Wolken Form Bew.	Nieder- schlag.	Anmerkungen.
		°	'		h m	mm		mm	%				
Aug. 11.	1	64 2	40 42	10	9 52 a.	763,4	3,3	—	—	0	Cl 2		Univik.
" 12.	"	"	"	"	9 17 p.	762,7	4,0	—	—	0	Cust 9		
" 13.	"	"	"	"	10 17 a.	761,7	5,1	5,8	89	0	Cust 9		
" 14.	"	"	"	"	2 17 p.	763,4	5,1	5,6	86	NE 1	Cust 9		
" 15.	"	"	"	"	7 47 p.	760,3	4,9	6,3	100	WSW 1	Str 10		
" 16.	"	"	"	"	10 32 a.	756,3	6,2	7,1	100	WSW 1	Str 10		
" 17.	"	"	"	"	6 2 p.	756,7	4,6	6,3	100	—	Str 10		12 ^h p. n. Nordlicht N. v. Zenith.
" 18.	"	"	"	"	7 17 a.	758,6	5,6	6,3	93	WSW 1	Cust 9		
" 19.	"	"	"	"	9 2 a.	759,1	7,3	6,3	86	WSW 1	Cust 9		
" 20.	"	"	"	"	12 32 p.	759,6	11,5	7,2	72	NW 1	Cust 9		
" 21.	"	"	"	"	9 52 a.	758,9	12,5	7,5	70	N 1	0		
" 22.	"	"	"	"	6 2 p.	763,5	7,6	6,0	77	NNE 1	0		
" 23.	"	"	"	"	8 57 p.	764,6	5,2	5,3	75	—	0		
" 24.	"	64 23	40 42	99	2 42 a.	751,1	3,5	—	—	NNW 1	0		
" 25.	"	64 23	40 45	170	4 12 a.	746,5	2,8	—	—	NW 1	0		
" 26.	"	64 23	40 42	173	6 32 a.	747,5	3,4	—	—	NW 1	Cl 1		
" 27.	"	"	"	"	1 57 p.	747,5	3,1	5,5	96	NW 1	Cl 1		
" 28.	"	"	"	"	4 47 p.	747,8	3,6	5,7	88	NW 1	Cl 1		
" 29.	"	"	"	"	8 7 p.	747,2	2,5	—	—	NW 1	Cist 3		
" 30.	"	64 25	40 42	200	9 57 p.	746,1	2,5	—	—	NW 1	Cist 3		
" 31.	"	64 25	40 43	210	4 27 a.	743,5	3,8	—	—	NNW 1	Cust 10		
" 32.	"	64 25	40 43	275	6 52 a.	736,4	2,8	—	—	0	Cust 10		
" 33.	"	64 24	40 44	347	11 32 a.	728,4	2,2	—	—	N 2	Str 10		Nacht 17.—18. Windstärke 3 u. 7.
" 34.	"	"	"	"	11 7 a.	724,9	3,4	—	—	NW 2	Str 10		
" 35.	"	"	"	"	4 7 p.	723,9	3,3	—	—	NW 3	Str 10		
" 36.	"	"	"	"	5 32 p.	724,0	—	—	—	NW 3	Str 10		
" 37.	"	"	"	"	6 32 p.	724,1	—	—	—	NW 2	Str 10		
" 38.	"	"	"	"	7 32 p.	724,2	—	—	—	NW 2	Str 10		
" 39.	"	"	"	"	8 32 p.	724,2	—	—	—	NW 2	Str 10		
" 40.	"	"	"	"	8 2 a.	726,2	2,2	—	—	NW 2	Str 10		
" 41.	"	"	"	"	9 2 a.	726,3	2,2	—	—	NW 2	Str 10		
" 42.	"	"	"	"	10 2 a.	726,3	2,6	—	—	NW 2	Str 10		
" 43.	"	"	"	"	11 2 a.	726,8	2,9	—	—	NW 2	Str 10		
" 44.	"	"	"	"	12 17 p.	726,8	2,9	—	—	NW 2	Str 10		
" 45.	"	"	"	"	1 17 p.	726,8	2,9	—	—	NW 2	Str 10		
" 46.	"	"	"	"	2 17 p.	726,8	2,9	—	—	NW 2	Str 10		
" 47.	"	"	"	"	3 17 p.	727,4	2,9	—	—	NW 2	Str 10		
" 48.	"	"	"	"	4 17 p.	727,5	2,2	—	—	NW 3	Str 10		
" 49.	"	"	"	"	5 32 p.	727,5	2,5	—	—	NW 2	Str 10		
" 50.	"	"	"	"	6 17 p.	727,6	2,8	—	—	NW 3	Str 10		
" 51.	"	"	"	"	8 47 p.	726,6	2,8	—	—	NW 1	Str 10		
" 52.	"	"	"	"	8 47 a.	726,1	4,0	—	—	NW 1	Cust 10		
" 53.	"	"	"	"	10 17 a.	726,2	4,0	5,7	93	NW 1	Cust 10		
" 54.	"	64 24	40 44	408	11 47 a.	720,3	4,3	—	—	NW 1	Cust 9		
" 55.	"	64 24	40 44	418	2 17 p.	719,3	4,5	—	—	NW 1	Cust 9		
" 56.	"	64 25	40 45	428	2 47 p.	718,3	2,7	5,8	89	WNW 1	Cust 10		
" 57.	"	64 25	40 45	440	5 17 p.	717,4	2,2	—	—	NW 1	Cust 9		
" 58.	"	64 25	40 46	480	6 47 p.	713,4	4,0	—	—	WNW 1	Cl 7		
" 59.	"	64 26	40 46	560	9 32 p.	706,4	3,9	—	—	NW 1	Cl 5		
" 60.	"	"	"	"	3 57 a.	705,4	3,9	4,2	69	WNW 1	Cl 2		
" 61.	"	64 26	40 51	650	7 2 a.	699,4	3,5	—	—	W 1	Cl 2		

Tag 1888	Stat. Nr.	Breite N	Länge W	Höhe m	Lokal- zeit	Baro- meter 45'	Temp. C.	Therm- druck	Relat. Feucht.	Wind. Richt. St.	Wolken. Form Bew	Nieder- schlag	Anmerkungen	
Aug 21.	—	54 27	10 53	725	h 8 31 a.	694,1	2,8	—	—	W 1	Cl 1	—		
"	—	54 27	10 54	780	9 46 a.	690,1	3,2	—	—	W 1	Cl 1	—		
"	5	54 28	40 56	871	11 46 a.	684,3	3,2	5,0	87	NNW 1	—	0		
"	"	"	"	"	1 36 p.	683,7	3,2	—	—	NW 1	—	0		
"	"	"	"	"	2 16 p.	683,6	3,0	—	—	NW 1	—	0		
"	"	"	"	"	7 26 p.	684,1	2,4	—	—	NW 1	Cl 1	—		
"	22	"	"	"	1 46 a.	683,4	2,0	—	—	NW 1	Cl 1	—		
"	—	54 30	40 56	900	4 6 a.	677,4	2,0	—	—	NW 1	Cl 1	—		
"	—	54 31	40 59	930	6 1 a.	675,7	2,0	—	—	NW 1	Cl 1	—		
"	—	54 32	41 1	955	7 31 a.	674,9	0,4	—	—	NW 1	Cl 1	—		
"	6	54 32	41 2	973	8 46 a.	673,2	0,0	—	—	WNW 1	—	0		
"	"	"	"	"	9 56 a.	673,2	1,7	4,7	91	WNW 1	—	0		
"	"	"	"	"	11 36 a.	672,2	2,3	—	—	WNW 1	—	0		
"	"	"	"	"	6 26 p.	672,5	0,8	4,7	96	WNW 1	—	0		
"	"	"	"	"	9 6 p.	673,2	2,2	—	—	WNW 1	—	0		
"	23.	—	54 33	11 7	1120	3 26 a.	655,8	8,7	—	NW 1	—	0		
"	—	54 34	11 9	1210	6 46 a.	654,3	2,5	—	—	NW 1	Cl 1	1	Am 22. 11 ^h p. m. Nord- lieht. hell. ein Bogen durch Zenith, mit raucher Bewegung gen Norden. Strah- len nahe am Zenith konvergierend.	
"	—	54 35	41 10	1250	8 30 a.	648,7	0,6	—	—	—	Cl 1	1		
"	—	54 35	41 11	1310	9 45 a.	645,2	0,3	—	—	NW 1	Cl 3	3		
"	7	54 35	41 12	1355	10 50 a.	643,1	0,6	—	—	—	Cl 3	3		
"	"	"	"	"	5 15 p.	642,1	1,2	4,0	94	SW 1	Cl 3	3	Wolken über dem Inn- lande	
"	"	54 37	41 14	1390	7 45 p.	637,8	—	—	—	NW 1	Cieu	9		
"	"	54 37	41 21	1400	8 15 p.	635,6	—	—	—	—	—	—		
"	—	54 38	41 22	1413	8 20 p.	635,5	0,5	—	—	NW 1	Cieu	9		
"	24.	8	54 38	41 22	1413	10 0 a.	634,8	1,5	—	W 1	Cieu	9	Schwere Wolken immer über dem Innlande	
"	"	"	"	"	10 25 a.	635,4	2,0	—	—	N 1	Cieu	10		
"	"	"	"	"	12 15 p.	635,2	1,1	3,9	91	NNE 1	Cieu	9		
"	"	54 38	41 23	1420	12 50 p.	634,1	—	—	—	—	—	—		
"	"	54 38	41 23	1440	1 30 p.	630,5	—	2,1	—	NE 1	Cieu	9		
"	"	54 38	41 23	1445	1 54 p.	629,4	—	—	—	—	—	—		
"	"	54 38	41 23	1450	2 14 p.	627,7	—	1,9	—	NE 1	Ciat	10		
"	"	54 39	41 24	1455	2 59 p.	626,4	—	3,3	—	NE 1	Ciat	10		
"	"	54 39	41 25	1460	3 4 p.	625,8	—	—	—	—	—	—		
"	"	54 39	41 25	1475	3 44 p.	623,8	—	4,2	—	NE 1	Ciat	10		
"	"	54 39	41 25	1480	4 14 p.	622,7	—	—	—	—	—	—		
"	"	54 39	41 26	1490	5 4 p.	620,5	—	5,5	3,0	100	N 1	Ciat	10	
"	"	54 39	41 28	1530	7 14 p.	620,6	—	5,6	—	N 1	Ciat	9		
"	"	54 40	41 29	1535	7 44 p.	618,2	—	—	—	—	—	—		
"	"	54 40	41 30	1540	8 24 p.	617,4	—	—	—	—	—	—		
"	"	54 40	41 31	1570	9 14 p.	616,8	—	5,5	—	N 1	Ciat	10		
"	25.	9	54 40	41 31	1570	8 14 a.	616,6	4,0	—	NW 1	Cieu	10		
"	"	"	"	"	10 14 a.	615,7	—	3,2	2,8	79	NW 2	Cieu	10	
"	"	"	"	"	11 14 a.	614,9	—	2,2	—	NW 1	Cieu	10		
"	"	54 40	41 31	1580	11 29 a.	614,4	—	—	—	—	—	—		
"	"	54 41	41 33	1590	12 14 p.	614,4	—	—	—	—	—	—		
"	"	54 41	41 33	1595	12 44 p.	612,9	—	2,8	—	NNW 1	Cieu	8		
"	"	54 41	41 34	1610	1 39 p.	610,1	—	3,5	—	NNW 1	Ciat	8		
"	"	54 41	41 34	1630	2 4 p.	608,7	—	—	—	—	—	—		
"	"	54 41	41 35	1665	2 59 p.	609,8	—	4,3	—	NNW 1	Ciat	9		
"	"	54 41	41 36	1667	3 34 p.	610,0	—	4,3	—	N 1	Ciat	9		
"	"	54 42	41 37	1680	5 3 p.	607,8	—	—	—	—	—	—		
"	"	54 42	41 37	1690	5 13 p.	608,4	—	6,2	2,0	88	NW 1	Ciat	3	
"	"	54 42	41 39	1700	6 43 p.	608,0	—	6,7	—	NNW 2	Ciat	3		
"	10	54 43	41 41	1758	8 28 p.	603,8	—	9,0	—	NW 2	Ciat	3		
"	"	"	"	"	7 3 a.	603,8	—	6,7	—	NW 4	Ciat	5		
"	"	54 43	41 43	1760	9 34 a.	604,5	—	5,0	—	NW 4	Ciat	4		
"	"	54 43	41 44	1820	10 43 a.	603,4	—	—	—	—	—	—		
"	"	54 44	41 46	1830	1 13 p.	601,9	—	4,5	—	NW 3	Cl 4	4		
"	"	54 44	41 48	1850	5 23 p.	597,7	—	5,7	—	NW 3	Cl 4	4		
"	"	54 44	41 49	1858	4 13 p.	597,1	—	6,3	—	NW 3	Cl 2	2		
"	"	54 45	41 51	1865	6 23 p.	596,6	—	9,8	—	NW 2	Cl 1	1		
"	11	54 45	41 52	1876	7 38 p.	596,0	—	10,6	—	NW 2	Ciat	5		
"	27.	"	"	"	8 28 a.	596,6	—	6,0	—	NW 3	Cl 1	—		
"	"	"	"	"	9 43 a.	595,5	—	—	—	—	—	—		
"	"	"	"	"	10 28 a.	595,6	—	5,0	—	NW 3	Cl 1	—		
"	"	"	"	"	0 58 p.	595,7	—	5,0	—	NW 3	Ciat	1		
"	"	54 44	41 55	1877	3 27 p.	595,9	—	6,0	—	NW 3	Ciat	2		
"	"	54 44	41 57	1880	5 12 p.	596,0	—	7,5	—	NW 3	Ciat	1		
"	"	54 43	41 58	1881	5 42 p.	595,7	—	—	—	—	—	—		

Am 22. 11^h p. m. Nord.
leht, hell, ein Bogen
durch Zenith, mit
rascher Bewegung
gen Norden. Strah-
len nahe am Zenith
konvergierend.
Wolken über dem In-
lande

Schwere Wolken immer
über dem Innlande

Tag 1888	Stat. Nr.	Breite N	Länge W	Höhe m	Lokal- zeit	Baro- meter 45'	Temp. C.	Luft- druck	Relat. feucht.	Wind- Richt.	Wind- St.	Wolken- Form	Wolken- Bew.	Nieder- schlag	Anmerkungen.
Aug. 27.	12	64 43	41 59	1882	6 52 p.	596,8	—	—	—	—	—	—	—	—	
" 28.	"	64 43	41 59	1884	7 12 p.	597,9	— 10,0	—	—	NW	3	Ciat	1	—	11 ^h p. m. Nordlicht- strahlen.
" 29.	"	64 43	42 1	1890	10 2 a.	597,7	— 7,5	—	—	NW	2	Ciat	1	—	
" 30.	"	64 43	42 1	1900	11 52 a.	597,4	— 6,0	—	—	NW	2	Ciat	1	—	
" 31.	"	64 43	42 1	1901	12 2 p.	597,4	— 4,7	—	—	WNW	2	Ciat	9	—	
" 1.	"	64 42	42 2	1904	12 47 p.	597,0	—	—	—	—	—	—	—	—	
" 2.	"	64 42	42 3	1910	1 47 p.	595,7	— 1,7	—	—	WNW	2	Cieu	8	—	
" 3.	"	64 42	42 3	1915	1 57 p.	595,5	—	—	—	—	—	—	—	—	
" 4.	"	64 41	42 4	1918	2 52 p.	595,7	— 1,0	—	—	WNW	2	Cieu	8	—	
" 5.	"	64 41	42 6	1930	5 11 p.	592,6	— 4,0	—	—	WNW	3	Ciat	10	—	
" 6.	"	64 40	42 8	1935	6 51 p.	591,4	— 4,5	—	—	WNW	3	Ciat	10	—	
" 7.	"	64 40	42 8	1938	7 21 p.	591,1	— 4,5	—	—	WNW	3	Ciat	10	—	
" 8.	"	64 40	42 9	1940	7 46 p.	590,4	—	—	—	—	—	—	—	—	
" 9.	"	64 39	42 11	1941	8 11 p.	591,1	— 4,8	—	—	WNW	2	Ciat	10	—	
" 10.	"	64 38	42 13	1941	9 53 a.	593,2	— 4,0	—	—	WNW	3	Cieu	8	—	Nacht - Windstärke 4. Ein Min. - Therm. 1 Zoll unter der Oberfläche des Schnees zeigte — 7,5°.
" 11.	"	64 38	42 14	1942	11 51 a.	592,9	—	—	—	WNW	3	Cieu	8	—	
" 12.	"	64 38	42 14	1942	12 16 p.	593,8	—	—	—	—	—	—	—	—	
" 13.	"	64 38	42 14	1945	12 26 p.	594,1	— 2,0	—	—	WNW	3	Ci	4	—	
" 14.	"	64 37	42 14	1948	1 6 p.	594,9	—	—	—	—	—	—	—	—	
" 15.	"	64 37	42 14	1950	1 31 p.	595,5	—	—	—	—	—	—	—	—	
" 16.	"	64 3	42 15	1955	2 11 p.	596,6	— 2,0	—	—	NW	3	Ci	4	—	
" 17.	"	64 36	42 17	1960	3 46 p.	597,6	—	—	—	—	—	—	—	—	
" 18.	"	64 36	42 17	1960	4 46 p.	597,9	—	—	—	—	—	—	—	—	
" 19.	"	64 35	42 17	1960	5 1 p.	597,7	— 2,5	—	—	NW	2	Ci	4	—	
" 20.	"	64 35	42 18	1960	6 11 p.	597,7	— 4,6	—	—	NW	1	Ci	4	—	
" 21.	"	64 35	42 19	1961	7 11 p.	597,7	—	—	—	—	—	—	—	—	
" 22.	"	64 34	42 20	1962	8 31 p.	597,9	— 10,2	—	—	NW	1	Ci	8	—	
" 23.	"	64 34	42 20	1962	9 56 a.	597,7	— 3,7	—	—	NW	1	Ci	4	—	Nacht - Windstärke 3. Min. - Therm. 1 Zoll unter dem Schnee — 10,5°.
" 24.	"	64 34	42 22	1970	9 6 a.	596,4	—	—	—	—	—	—	—	—	
" 25.	"	64 34	42 23	1971	9 41 a.	595,9	— 3,7	—	—	NW	1	Ciat	10 ⁶	—	
" 26.	"	64 34	42 25	2000	11 21 a.	590,8	— 2,2	—	—	—	0	Ciat	10 ⁶	—	
" 27.	"	64 34	42 26	2010	11 29 a.	591,3	—	—	—	—	—	—	—	—	
" 28.	"	64 34	42 30	2020	1 55 p.	586,6	— 2,7	—	—	—	—	—	—	—	
" 29.	"	64 34	42 31	2030	2 30 p.	587,0	—	—	—	SSE	1	Ciat	10 ⁶	—	
" 30.	"	64 34	42 32	2040	3 40 p.	584,1	— 3,8	—	—	SSE	1	Ciat	10	—	
" 31.	"	64 34	42 33	2045	4 10 p.	584,5	—	—	—	SSE	1	Ciat	10	—	
" 1.	"	64 33	42 37	2080	5 55 p.	578,6	— 5,0	—	—	—	0	Ciat	10 ⁶	—	
" 2.	"	64 33	42 37	2081	6 9 p.	579,1	—	—	—	—	—	—	—	—	
" 3.	"	64 33	42 40	2098	8 9 p.	576,6	— 5,2	—	—	—	0	Ciat	10	—	
" 4.	"	64 33	42 40	2100	8 34 a.	575,9	— 4,0	3,1	95	NW	1	Ciat	10	—	Min. - Therm. 1 Zoll unter dem Schnee nachts — 10,4°.
" 5.	"	64 33	42 41	2100	9 39 a.	574,1	—	—	—	NW	1	—	—	—	
" 6.	"	64 33	42 41	2100	9 39 a.	574,1	—	—	—	NW	1	—	—	—	
" 7.	"	64 33	42 42	2110	11 54 a.	572,8	— 3,2	—	—	NW	1	Ci	1	—	
" 8.	"	64 33	42 44	2112	1 4 p.	572,1	—	—	—	NW	1	Ci	1 ⁶	—	
" 9.	"	64 33	42 45	2140	1 59 p.	570,1	— 2,0	—	—	NW	1	0	—	—	
" 10.	"	64 33	42 46	2160	2 38 p.	570,9	— 3,2	—	—	NW	1	Ci	1 ⁶	—	
" 11.	"	64 33	42 48	2165	4 8 p.	568,7	—	—	—	W	1	0	—	—	
" 12.	"	64 33	42 49	2170	4 28 p.	568,2	— 4,2	2,9	83	W	1	0	—	—	
" 13.	"	64 33	42 52	2240	6 33 p.	567,1	— 12,5	—	—	W	2	0	—	—	
" 14.	"	64 33	42 55	2271	7 48 p.	566,9	— 11,5	—	—	W	2	0	—	—	
" 15.	"	64 33	42 55	2271	8 48 p.	564,8	—	—	—	W	2	0	—	—	
" 16.	"	64 33	42 57	2310	9 33 a.	568,6	— 11,0	—	—	W	1	Ciat	5	—	Min. - Therm. 1 Zoll unter dem Schnee — 16,6°.
" 17.	"	64 33	42 58	2312	10 8 a.	568,6	— 7,6	—	—	W	1	Ciat	9 ⁶	—	Nachts NW u. N S.
" 18.	"	64 33	42 59	2320	11 38 a.	565,8	— 3,6	3,1	87	WNW	1	Ci	9 ⁶	—	In der Sonne Spiritus- Therm. 0 ^h 40 ^m p. m. = 28,5°.
" 19.	"	64 33	43 0	2330	12 38 p.	565,7	— 3,8	—	—	—	0	Ciat	6 ⁶	—	
" 20.	"	64 33	43 1	2340	1 38 p.	566,4	—	—	—	SSE	1	Ci	8	—	
" 21.	"	64 32	43 2	2370	3 8 p.	565,4	— 5,1	—	—	—	0	Ci	4	—	
" 22.	"	64 32	43 3	2385	4 38 p.	563,1	—	—	—	S	1	Ciat	10	—	
" 23.	"	64 32	43 4	2387	4 48 p.	562,4	— 8,0	—	—	S	1	Ciat	10	—	
" 24.	"	64 32	43 6	2389	6 28 p.	561,0	—	—	—	SW	1	Ciat	10 ⁶	—	
" 25.	"	64 32	43 6	2390	6 38 p.	561,4	— 8,8	—	—	SW	1	Ciat	10	—	
" 26.	"	64 32	43 7	2395	7 8 p.	560,7	— 9,2	—	—	—	0	Ciat	9	—	
" 27.	"	64 32	43 7	2402	8 8 p.	559,9	— 13,2	—	—	E	1	Ciat	8	—	
" 28.	"	64 32	43 9	2410	11 52 a.	556,6	— 9,8	2,1	97	SSE	1	Ciat	10	—	Min. - Therm. 1 Zoll unter dem Schnee — 15,4°.
" 29.	"	64 32	43 9	2410	11 52 a.	556,6	— 8,8	—	—	S	1	Ciat	9 ⁶	—	Ein Zoll Schnee fiel in der Nacht.
" 30.	"	64 32	43 9	2420	12 27 p.	557,0	—	—	—	W	1	Ciat	8	—	
" 31.	"	64 32	43 12	2440	2 47 p.	555,2	— 8,8	—	—	N	1	Ci	2	—	

IV. Meteorologische Beobachtungen.

27

Tag 1888	Stat. Nr.	Breite N	Länge W	Höhe m	Lokal- zeit.	Baro- meter 45	Temp. °.	Wind- druck	Relat. Feucht.	Wind- Richt. St.	Wolken- Form Bew.	Nieder- schlag	Anmerkungen.
Sept. 2.	—	54 32 43	13 2448	3 7 p.	555,7	—	—	—	—	WNW	1 Ci	2	
"	—	54 32 43	14 2460	3 57 p.	554,9	—	13,0	—	—	W	1 Ci	4	
"	—	54 31 43	18 1480	6 37 p.	554,7	—	15,6	—	—	WNW	1 Cust	10	
"	18	54 31 43	20 2493	8 7 p.	552,8	—	—	—	—	WNW	1 Cust	4	
"	31	31 31 31	31 31	8 22 p.	552,2	—	19,8	—	—	WNW	1 Cust	4	10 ^h p. m. Nordlicht 8. v. Zenith.
"	3	31 31 31	31 31	10 37 a.	551,6	—	11,5	—	—	—	0 Ci	3	
"	—	54 31 43	22 2507	11 22 a.	551,2	—	—	—	—	W	1 Ci	8	
"	—	54 31 43	24 2520	12 57 p.	547,7	—	11,1	—	—	—	0 Ci	1	1 ^h p. m. Spirit.-Therm. in der Sonne 31,5.
"	—	54 30 43	27 2530	2 6 p.	548,7	—	—	—	—	E	1 Ci	3	
"	—	54 30 43	30 2540	3 31 p.	547,2	—	11,5	1,9 100	E	1 Cust	10		
"	—	54 30 43	33 2550	4 36 p.	546,7	—	12,6	1,3 96	E	1 Cust	10		
"	—	54 29 43	38 2555	6 41 p.	544,8	—	15,0	—	—	E	1 Cust	10	
"	—	54 29 43	39 2562	6 50 p.	545,1	—	—	—	—	E	1 Cust	10	
"	19	54 29 43	41 2579	8 5 p.	543,7	—	—	—	—	E	1 Cust	10	
"	4.	31 31 31	31 31	8 35 p.	542,8	—	15,0	1,4 100	—	—	0 Str	10	
"	—	54 29 43	45 2596	10 5 a.	542,9	—	14,5	1,4 100	—	N	1 Ci	5	Nachschnee 1 Zoll.
"	—	54 29 43	47 2600	11 15 a.	541,8	—	12,6	1,4 88	—	N	1 Ci	5	
"	—	54 29 43	50 2610	12 45 p.	542,0	—	11,2	—	—	NW	1 Ci	8	
"	—	54 28 43	54 2630	2 44 p.	541,8	—	10,9	1,9 97	NW	1 Str	10		
"	—	54 28 43	56 2640	3 54 p.	542,0	—	12,3	1,7 97	WNW	1 Cust	10		
"	—	54 27 43	59 2655	5 44 p.	539,4	—	16,7	—	—	WNW	1 Cust	10	
"	20	54 27 44	1 2662	7 29 p.	542,8	—	17,7	—	—	WSW	3 Str	10	
"	5.	31 31 31	31 31	8 34 a.	543,6	—	19,6	0,9 100	WNW	1 Cust	4	Das Wasser am feuchten Thermometer etwas fettig.	
"	—	54 27 44	2 2675	10 9 a.	543,4	—	—	—	—	WSW	1 Ci	8	
"	—	54 26 44	8 2685	12 4 p.	542,7	—	18,0	1,7 100	SSW	1 Cust	3		
"	—	54 26 44	11 2700	2 33 p.	541,4	—	10,5	—	—	S	2 Str	10	
"	—	54 25 44	14 2710	4 33 p.	541,5	—	8,8	—	—	S	2 Str	10	
"	21	54 25 44	15 2718	7 3 p.	540,7	—	8,3	2,4 100	SW	4 Str	10		
"	6.	31 31 31	31 31	9 3 a.	540,0	—	9,0	1,8 79	S	3 Str	10		
"	—	54 25 44	20 2716	11 48 a.	540,3	—	7,8	—	—	S	3 Str	10	
"	—	54 24 44	25 2714	2 12 p.	538,4	—	8,2	—	—	S	4 Cicu	4	
"	22	54 22 44	37 2701	7 31 p.	535,3	—	9,6	—	—	ESE	4 Str	10	
"	7.	31 31 31	31 31	2 1 p.	537,8	—	—	—	—	WNW	4 Str	10	Kurz vor 2 ^h Wind SE.
"	31	31 31 31	31 31	4 46 p.	525,9	—	—	—	—	WNW	3 Str	10	Schneesturm den ganzen Tag.
"	31	31 31 31	31 31	6 46 p.	526,5	—	—	—	—	WNW	3 Str	10	
"	8.	31 31 31	31 31	6 41 a.	529,5	—	—	—	—	—	—	—	
"	31	31 31 31	31 31	7 31 a.	532,3	—	17,0	—	—	W	3 Str	10	
"	—	54 21 44	44 2688	4 1 p.	535,6	—	16,5	—	—	W	3 Str	10	
"	—	54 21 44	46 2680	5 46 p.	536,6	—	18,5	—	—	W	1 Str	10	
"	23	54 21 44	46 2674	7 1 p.	538,5	—	22,7	—	—	WSW	1 Str	10	
"	9.	31 31 31	31 31	10 16 a.	536,3	—	19,4	—	—	SW	1 Str	10	
"	—	54 21 44	48 2672	12 36 p.	536,6	—	15,4	—	—	SSE	1 Str	10	
"	—	54 21 44	50 2661	2 46 p.	537,4	—	15,2	—	—	SE	1 Str	10	
"	—	54 21 44	51 2657	3 50 p.	537,2	—	—	—	—	SE	1 Str	10	
"	—	54 21 44	51 2657	4 0 p.	537,6	—	15,0	—	—	SE	1 Str	10	
"	—	54 21 44	53 2650	6 5 p.	538,2	—	17,8	—	—	—	0 Cust	10	
"	—	54 21 44	53 2645	6 20 p.	537,6	—	—	—	—	—	0 Cust	9	
"	24	54 21 44	54 2641	7 0 p.	538,6	—	20,0	—	—	—	0 Cust	9	
"	10.	31 31 31	31 31	9 0 a.	537,2	—	22,2	—	—	ENE	1	0	
"	—	54 20 44	55 2640	10 15 a.	536,0	—	—	—	—	ENE	2	0	
"	—	54 20 44	57 2640	12 0 a.	537,4	—	18,1	—	—	ENE	1	0	
"	—	54 20 45	0 2639	2 35 p.	536,6	—	19,6	—	—	ENE	1	0	
"	—	54 20 45	1 2638	4 10 p.	537,4	—	—	—	—	ENE	1	0	
"	—	54 20 45	1 2635	4 20 p.	536,9	—	21,1	—	—	ENE	1	0	
"	—	54 20 45	2 2634	5 35 p.	538,4	—	—	—	—	ENE	1	0	
"	25	54 20 45	4 2633	6 59 p.	537,7	—	28,0	—	—	—	0	0	
"	11.	31 31 31	31 31	8 54 a.	539,6	(30+x)	—	—	—	—	0	0	Min.-Therm. im Zelte unter -35.
"	—	54 19 45	5 2630	9 59 a.	539,7	—	—	—	—	—	0	0	
"	—	54 19 45	7 2620	11 59 a.	539,8	—	22,0	—	—	—	0	0	
"	—	54 19 45	9 2610	1 59 p.	541,3	—	20,0	—	—	—	0	0	
"	—	54 19 45	9 2605	2 14 p.	541,7	—	—	—	—	—	0	0	
"	—	54 18 45	18 2585	6 14 p.	543,2	—	21,5	—	—	—	0	0	
"	—	54 18 45	15 2580	6 24 p.	544,3	—	—	—	—	—	0	0	
"	26	54 18 45	16 2571	7 9 p.	545,1	(30+x)	—	—	—	SE	1	—	
"	12.	31 31 31	31 31	8 29 a.	544,6	(30+x)	—	—	—	SE	1	—	
"	—	54 18 45	17 2567	9 59 a.	544,7	—	26,0	—	—	SSE	1 Cust	9	
"	—	54 17 45	20 2555	11 28 a.	545,8	—	—	—	—	SSE	1 Ci	3	
"	—	54 17 45	20 2552	11 43 a.	544,8	—	20,6	—	—	SSE	1 Ci	5	
"	—	54 17 45	23 2547	2 8 p.	544,2	—	18,3	—	—	SSE	1 Cicu	9	

Tag 1888	Stat. Nr.	Breite N	Länge W	Höhe m	Lokal- zeit	Baro- meter 45'	Temp. C.	Feucht- igkeits- Grad	Wind Richt.	Wind St.	Wolken Form	Wolken Höhen	Nieder- schlag	Anmerkungen.
		°	'		h	m	°	mm						
Sept. 12.	—	64 17 45	26 2535	3 28 p.	546,4	—	—	—	—	—	—	—	—	—
"	—	64 17 45	26 2530	3 43 p.	546,0	—	—	—	—	—	—	—	—	—
"	27	64 16 45	31 2514	6 28 p.	545,1	—	—	—	—	—	—	—	—	—
" 13.	"	64 17 31	31 7 43 a.	548,9	—	—	—	—	—	—	—	—	—	—
"	"	64 17 31	31 7 58 a.	548,1	—	—	—	—	—	—	—	—	—	—
"	"	64 16 45	35 2505	11 37 a.	550,2	—	—	—	—	—	—	—	—	—
"	"	64 15 45	37 2502	12 42 p.	551,0	—	—	—	—	—	—	—	—	—
"	"	64 15 45	38 2500	2 27 p.	551,1	—	—	—	—	—	—	—	—	—
"	"	64 15 45	39 2498	3 27 p.	551,6	—	—	—	—	—	—	—	—	—
"	"	64 15 45	40 2495	4 12 p.	552,2	—	—	—	—	—	—	—	—	—
"	"	64 15 45	42 2490	5 42 p.	553,2	—	—	—	—	—	—	—	—	—
"	28	64 14 45	43 2486	6 56 p.	553,6	—	—	—	—	—	—	—	—	—
"	"	64 13 45	48 2480	9 56 a.	549,3	—	—	—	—	—	—	—	—	—
" 14.	"	64 12 45	52 2470	11 56 a.	548,7	—	—	—	—	—	—	—	—	—
"	"	64 12 45	55 2468	12 36 p.	550,4	—	—	—	—	—	—	—	—	—
"	"	64 12 46	2 2448	3 26 p.	550,4	—	—	—	—	—	—	—	—	—
"	"	64 12 46	6 2430	5 5 p.	552,8	—	—	—	—	—	—	—	—	—
"	"	64 12 46	9 2470	6 10 p.	554,1	—	—	—	—	—	—	—	—	—
"	29	64 12 46	10 2414	6 55 p.	555,0	—	—	—	—	—	—	—	—	—
" 15.	"	64 12 46	11 2405	9 25 a.	555,3	—	—	—	—	—	—	—	—	—
"	"	64 12 46	14 2365	11 25 a.	556,3	—	—	—	—	—	—	—	—	—
"	"	64 12 46	18 2360	12 50 p.	557,3	—	—	—	—	—	—	—	—	—
"	"	64 12 46	20 2358	1 55 p.	556,3	—	—	—	—	—	—	—	—	—
"	"	64 12 46	23 2347	3 15 p.	561,3	—	—	—	—	—	—	—	—	—
"	"	64 12 46	25 2310	5 44 p.	559,3	—	—	—	—	—	—	—	—	—
"	30	64 12 46	26 2298	6 54 p.	560,4	—	—	—	—	—	—	—	—	—
" 16.	"	64 12 46	28 2290	10 29 a.	558,3	—	—	—	—	—	—	—	—	—
"	"	64 12 46	32 2260	11 54 a.	560,7	—	—	—	—	—	—	—	—	—
"	"	64 12 46	36 2248	1 39 p.	563,0	—	—	—	—	—	—	—	—	—
"	"	64 12 46	38 2240	2 9 p.	562,0	—	—	—	—	—	—	—	—	—
"	"	64 12 46	41 2230	3 23 p.	561,6	—	—	—	—	—	—	—	—	—
"	"	64 12 46	46 2204	5 8 p.	564,1	—	—	—	—	—	—	—	—	—
"	31	64 12 46	49 2169	6 53 p.	565,1	—	—	—	—	—	—	—	—	—
" 17.	"	64 12 46	50 2165	9 3 a.	561,3	—	—	—	—	—	—	—	—	—
"	"	64 12 46	55 2150	11 8 a.	564,6	—	—	—	—	—	—	—	—	—
"	"	64 12 46	58 2125	2 2 p.	565,3	—	—	—	—	—	—	—	—	—
"	"	64 12 47	0 2118	3 17 p.	567,3	—	—	—	—	—	—	—	—	—
"	"	64 12 47	4 2110	5 22 p.	567,4	—	—	—	—	—	—	—	—	—
"	32	64 12 47	6 2100	6 52 p.	569,3	—	—	—	—	—	—	—	—	—
" 18.	"	64 12 47	7 2098	9 41 a.	569,4	—	—	—	—	—	—	—	—	—
"	"	64 12 47	11 2070	11 21 a.	573,7	—	—	—	—	—	—	—	—	—
"	"	64 12 47	17 2030	1 56 p.	575,1	—	—	—	—	—	—	—	—	—
"	"	64 12 47	21 2015	3 21 p.	575,7	—	—	—	—	—	—	—	—	—
"	"	64 12 47	25 2005	4 5 p.	576,0	—	—	—	—	—	—	—	—	—
"	"	64 12 47	26 1992	5 20 p.	580,0	—	—	—	—	—	—	—	—	—
"	33	64 12 47	30 1977	6 50 p.	582,1	—	—	—	—	—	—	—	—	—
" 19.	"	64 12 48	3 1657	3 2 p.	612,4	—	—	—	—	—	—	—	—	—
"	"	64 12 48	51 1548	10 20 a.	622,7	—	—	—	—	—	—	—	—	—
" 20.	"	64 14 49	0 1300	2 44 p.	636,3	—	—	—	—	—	—	—	—	—
"	35	64 13 49	5 1194	6 14 p.	650,7	—	—	—	—	—	—	—	—	—
" 21.	"	64 13 49	6 1140	11 44 a.	651,6	—	—	—	—	—	—	—	—	—
"	"	64 13 49	7 1100	3 14 p.	656,7	—	—	—	—	—	—	—	—	—
"	36	64 13 49	8 1079	5 13 p.	660,5	—	—	—	—	—	—	—	—	—
" 22.	"	64 14 49	11 1030	1 13 p.	671,5	—	—	—	—	—	—	—	—	—
"	"	64 14 49	12 1023	3 43 p.	672,2	—	—	—	—	—	—	—	—	—
"	"	64 14 49	15 1000	4 28 p.	671,9	—	—	—	—	—	—	—	—	—
"	37	64 14 49	14 972	6 43 p.	678,4	—	—	—	—	—	—	—	—	—
" 23.	"	64 13 49	15 960	9 58 a.	679,3	—	—	—	—	—	—	—	—	—
"	"	64 13 49	16 945	12 13 p.	679,3	—	—	—	—	—	—	—	—	—
"	38	64 11 49	20 895	7 13 p.	685,1	—	—	—	—	—	—	—	—	—
" 24.	"	64 11 49	21 883	8 0 a.	683,3	—	—	—	—	—	—	—	—	—

Abends Nordlicht.

Sept. 24 bis Okt. 5: Rich-

Tag 1888	Stat. Nr.	Breite N	Länge W	Höhe m	Lokal- zeit	Baro- meter 45'	Temp. C.	Druck mm	Relat. feucht.	Wind Richz. St.	Wolken Form. Hov.	Nieder- schlag	Anmerkungen.				
Sept. 24.	—	64	8 49 30	770	1 13 p.	693,1	4,8	1,9	31	SSE	1	Cust	10	tung des Windes, be-			
"	39	64 10 19 30	611	3 28 p.	692,1	5,0	2,3	36	SSE	1	Cust	8	einfließt durch hohe				
"	25.	—	64 14 49 42	420	7 42 a.	704,8	0,4	—	—	SSE	1	Cl	1	Berge.			
"	—	64 14 19 42	420	11 56 a.	725,2	6,0	3,8	47	0	—	0	Cl	2				
"	—	64 16 49 48	150	3 26 p.	749,0	6,8	2,6	36	0	—	0	Cl	7				
"	40	64 15 49 52	140	6 55 p.	749,4	3,0	3,0	55	0	—	0	Cust	9				
"	26	—	64 14 50 9	5	7 40 a.	751,7	11,8	4,3	41	E	2	Cust	10	Nachts ●*			
"	—	64 14 50 9	5	15 11 50 a.	764,7	14,8	3,9	31	E	2	Cust	9	Ende des Ameralik-				
"	41	64 14 50 9	5	2 55 p.	768,6	15,2	4,3	35	E	2	Cust	10	Fjords.				
"	27.	—	64 15 49 52	140	7 10 a.	776,6	8,0	5,2	64	—	0	Cust	10				
"	40	64 15 49 52	140	11 10 a.	765,7	8,6	5,7	68	—	—	Cl	9*					
"	28.	—	64 8 49 30	770	11 41 a.	703,7	6,2	4,7	59	—	—	0					
"	—	64 10 19 30	611	0 56 p.	703,2	6,4	5,2	72	—	—	—	0		Am Rande des Inland-			
"	—	64 14 49 48	150	5 42 p.	703,9	5,9	3,7	51	—	—	Cust	1	eises.				
"	29	—	64 14 49 48	150	6 42 a.	706,6	5,8	4,8	71	—	—	Cust	6				
"	39	64 10 19 30	611	4 2 p.	718,5	8,4	5,1	62	—	—	Cl	2					
"	30.	—	64 14 49 48	150	6 42 a.	716,2	5,8	3,9	55	—	—	Cl	1				
"	—	64 14 49 48	150	11 11 a.	721,2	9,1	4,2	49	—	—	—	0					
"	—	64 13 49 42	420	6 26 p.	736,7	6,2	3,8	53	—	—	—	0					
Ok. 1.	—	64 16 49 48	150	5 51 a.	738,7	6,8	3,7	50	—	—	Cust	—					
"	2.	40	64 15 49 52	140	12 1 p.	762,2	12,7	5,1	46	—	—	Cust	—				
"	—	64 14 50 9	5	6 10 a.	766,0	7,0	4,8	80	—	—	Cust	—					
"	41	64 14 50 9	5	10 40 a.	778,4	5,7	5,0	75	—	—	Cl	—					
"	—	64 14 50 9	5	1 39 p.	778,8	11,7	5,3	52	—	—	0	0					
"	—	64 14 50 9	5	5 39 p.	777,5	6,1	5,6	52	—	—	0	0					
"	3.	—	64 14 50 9	5	5 29 a.	772,2	2,2	3,2	85	—	—	0	0				
"	—	64 14 50 9	5	1 9 p.	772,5	5,8	4,3	63	—	—	0	Cust	10				
"	—	64 14 50 9	5	2 54 p.	771,9	7,2	4,3	60	—	—	0	Cust	10				
"	—	64 14 50 9	5	6 14 p.	771,1	6,7	4,8	63	—	—	0	Cust	10 ²				
"	4.	—	64 14 50 9	5	9 39 a.	772,2	9,3	6,6	75	W	1	Cust	10	Nachts ●*			
"	—	64 14 50 9	5	10 54 a.	772,9	8,1	6,3	78	W	1	Cust	10					
"	—	64 14 50 9	5	1 54 p.	773,2	7,3	7,2	96	—	—	0	Str	10				
"	—	64 14 50 9	5	4 39 p.	768,7	6,7	7,1	98	—	—	0	Str	10				
"	—	64 14 50 9	5	5 39 p.	770,8	7,1	7,1	94	—	—	0	Str	10				
"	5.	—	64 14 50 9	5	7 40 a.	766,0	15,5	6,8	52	ENE	1	Cust	10				
"	—	64 14 50 9	5	10 10 a.	765,4	15,4	6,8	52	ENE	1	Cust	10					
"	—	64 14 50 9	5	12 10 p.	764,2	16,0	6,8	54	ENE	1	Cust	10					
"	—	64 14 50 9	5	1 55 p.	763,9	15,7	6,8	50	SSW	1	Cust	10					
"	—	64 14 50 9	5	3 10 p.	763,2	12,5	7,4	70	NNW	1	Cust	10					
"	—	64 14 50 9	5	4 40 p.	763,5	11,4	7,1	71	—	—	0	Cust	10				
"	—	64 14 50 9	5	5 40 p.	764,2	9,2	6,8	76	—	—	0	Cust	10				
"	6.	—	64 14 50 9	5	8 0 a.	759,0	4,8	6,3	98	—	—	Cl	4				
"	—	64 14 50 9	5	5 10 p.	760,5	8,4	4,2	82	—	—	0	Str	10				
"	—	64 14 50 9	5	6 58 p.	760,4	6,4	4,7	65	—	—	0	Cust	10				
"	7.	—	64 14 50 9	5	7 15 a.	766,8	5,0	5,2	80	—	—	0	Cust	10	Nachts ●*		
"	—	64 14 50 9	5	11 30 a.	766,4	6,2	5,9	84	—	—	0	Cust	10				
"	—	64 14 50 9	5	1 30 p.	766,9	6,3	5,7	74	—	—	0	Cust	10				
"	—	64 14 50 9	5	5 45 p.	767,9	3,4	5,2	92	—	—	0	Cust	10				
"	8.	—	64 14 50 9	5	6 30 a.	772,2	0,5	4,2	89	—	—	0	Cl	2			
"	42	64 14 50 11	63	3 0 p.	761,8	4,7	4,7	73	—	—	0	Str	10				
"	—	64 14 50 9	5	5 45 p.	759,0	2,4	5,4	98	—	—	0	Str	10				
"	9.	—	64 14 50 9	5	9 30 a.	756,7	10,9	6,6	69	ESE	2	Str	10				
"	—	64 14 50 9	5	10 30 a.	755,8	9,0	7,8	92	ESE	1	Str	10					
"	—	64 14 50 9	5	11 45 a.	764,6	8,6	8,1	98	ESE	1	Str	10					
"	—	64 14 50 9	5	1 0 p.	751,2	8,7	7,6	91	ENE	1	Str	10					
"	—	64 14 50 9	5	2 30 p.	750,0	7,2	7,2	96	NNW	1	Str	10					
"	—	64 14 50 9	5	5 0 p.	749,9	7,5	7,2	93	—	—	0	Str	10				
"	10.	—	64 14 50 9	5	9 0 a.	754,2	5,2	6,7	100	NW	1	Str	10				
"	—	64 14 50 9	5	10 40 a.	756,6	4,8	6,2	97	NNW	1	Str	10					
"	—	64 14 50 9	5	12 0 a.	757,0	4,7	5,4	84	NW	1	Str	10					
"	—	64 14 50 9	5	1 30 p.	757,2	4,2	5,2	84	NNW	2	Cl	7					
"	—	64 14 50 9	5	2 30 p.	758,7	4,5	5,4	86	NNW	2	Cl	4					
"	—	64 14 50 9	5	4 0 p.	759,2	3,3	4,3	78	NNW	1	Cl	4					
"	—	64 14 50 9	5	5 30 p.	760,4	2,0	4,3	82	NNW	1	Cust	9					
"	11.	—	64 14 50 9	5	7 0 a.	758,4	—	1,5	92	—	—	0	0				
"	—	64 14 50 9	5	10 50 a.	760,7	2,0	4,4	84	—	—	0	Cl	3				
"	12.	—	64 14 50 14	1	6 45 a.	760,8	2,8	4,4	86	ENE	2	Cust	10				

V. Einige Ergebnisse der meteorologischen Beobachtungen.

Luftdruck.

Da die Expedition zur Tageszeit, wo die meisten meteorologischen Beobachtungen genommen wurden, auf dem Marsch war und unaufhörlich ihre Höhe über dem Meere änderte, so kann keine Rede davon sein, eine tägliche Periode des Luftdrucks aus den Beobachtungen herauszufinden.

An den Stationen, wo die Expedition übernachtete, wurde in der Regel das Barometer abends und morgens beobachtet. Diese in einem und demselben Niveau gemachten Beobachtungen wurden zwar auf allen Stationen nicht zur selben Uhrzeit angestellt, und ihre Differenz kann folglich nicht streng mit der entsprechenden Änderung des Luftdrucks von 8 oder 9 Uhr abends bis 8 Uhr morgens an den festen meteorologischen Stationen verglichen werden, indessen ist die ganze Variation im Laufe der Nacht an einer Station auf dem Grönlandeise nicht groß und folglich die Reduktion auf den Zeitraum von 8 oder 9^h p. m. bis 8^h a. m. nur gering; deshalb teile ich das Resultat meiner Zusammenstellungen mit, trotzdem daß es an diesem Mangel leidet. Die Vergleichungsstationen sind im W Godthaab an der Davisstraße und im O Stykkisholm auf der Westküste Islands an der Dänemarkstraße. In Godthaab wird um 8^h p. m. und 8^h a. m., zu Stykkisholm um 9^h p. m. und 8^h a. m. beobachtet. Für den 22. August und den 7. September (die Stationen 6 und 22) sind die Variationen am Tage vom Morgen bis Abend mitgenommen.

Die zusammengestellten Nacht- (und Tages-) Änderungen des Luftdrucks gruppieren sich also:

Änderung.	Zahl der Fälle.		
	Grönlande.	Godthaab.	Stykkisholm.
± 0 mm bis ± 1 mm	23	13	9
1 — 2	6	12	9
2 — 3	4	7	6
3 — 4	3	1	5
4 — 5	1	3	2
5 — 6	1	2	2
6 — 7	0	1	1
7 — 8	0	0	1
8 — 9	0	0	3
9 — 10	0	0	0
10 — 11	1	0	1
	39	39	39
Mittlere Steigung	+ 2,33 mm	+ 2,03 mm	+ 3,61 mm
Zahl der Fälle	11	22	16
Mittlerer Fall	— 1,38 mm	— 1,99 mm	— 2,71 mm
Zahl der Fälle	24	17	23
Keine Änderung	4	0	0
Mittlere Änderung	± 1,50 mm	± 2,01 mm	± 3,08 mm

Es geht aus dieser Tabelle hervor, daß der Luftdruck auf dem Grönlandeise am wenigsten variabel war, mehr in Godthaab und am meisten in Stykkisholm. Dies stimmt einerseits mit der Erfahrung, daß Island einer von den häufigsten und Godthaab einer etwas weniger frequentierten Zugstraße der barometrischen Minima nahe liegt, anderseits mit der Vermutung, daß das Innere von Grönland nur selten von barometrischen Minima durchsetzt wird, obgleich es von solchen zum Teil nicht ganz unberührt gelassen wird.

Die tägliche Periode des Luftdrucks in Godthaab wird nach A. Paulsen¹⁾ durch folgende Zahlen (Abweichungen vom Tagesmittel) ausgedrückt:

1882.	8 ^h p. m.	8 ^h a. m.	Änderung.
August	+ 0,15 mm	+ 0,16 mm	+ 0,01 mm
September . . .	+ 0,53	— 0,26	— 0,79
Mittel	+ 0,34 mm	— 0,05 mm	— 0,39 mm

Während der Reise Dr. Nansens war die durchschnittliche Änderung des Luftdrucks in Godthaab von 8^h p. m. bis 8^h a. m. + 0,28 mm, folglich entgegengesetzt der Bewegung im August und September 1882. In Stykkisholm war sie von 9^h p. m. bis 8^h a. m.: — 0,12 mm, und im Innern Grönlands: — 0,19 mm vom Abend bis zum Morgen.

Die Temperatur der Luft.

Die alleinstehende Reihe von Beobachtungen der Lufttemperatur über einem hochgelegenen schneebedeckten und vereisten Lande, welche Dr. Nansens Expedition geliefert hat, ist mir eine Aufforderung gewesen, einen Versuch zu machen, die tägliche Periode dieses Elements zu bestimmen. Die Methode, welcher ich gefolgt bin, werde ich hier genauer beschreiben.

Die beobachteten Temperaturen wurden graphisch auf quadrilliertem Papier abgesetzt, 5 mm = 1° C. in vertikaler Richtung und 5 mm = 2 Stunden in horizontaler Richtung. Die so eingetragenen Punkte wurden durch eine Kurve aus freier Hand verbunden. Es zeigte sich dann sogleich, daß eine deutliche, in der Regel stark ausgeprägte tägliche Periode vorhanden war. In der Tafel I, Nr. 2 (Die Temperatur der Luft auf dem Grönlande) gebe ich eine verminderte Kopie dieser Ausführung; die beobachteten Temperaturen sind durch Punkte bezeichnet.

Da nur ausnahmsweise Beobachtungen in der Nacht gemacht wurden und auch nicht das Minimumthermometer benutzt wurde, um die tiefste Temperatur in der Nacht zu finden, so mußte ich zu einer Konstruktion greifen, um den Gang der Temperatur während der Nachtstunden zur Darstellung zu bringen. Diese Konstruktion der Nachttemperaturen machte ich nach den folgenden Prinzipien:

Die Minimumtemperatur trifft — besonders bei klarem Wetter — um die Zeit des Sonnenaufgangs ein.

Die Temperatur sinkt nach dem Untergang der Sonne mit der Geschwindigkeit, welche die Nachmittags- und Abendbeobachtungen zeigen.

Im Laufe der Nacht wird das Sinken der Temperatur immer langsamer gegen Sonnenaufgang, um welche Zeit das Minimum erreicht wird.

Wie man sieht, spielen die Zeiten des Auf- und Untergangs der Sonne hier eine wichtige Rolle. Sie wurden auf folgende Weise ermittelt: Im norwegischen Almanak, herausgegeben von der Universität in Christiania, findet man die lokale mittlere Zeit des Auf- und Unterganges der Sonne für die folgenden Orte und Tage jeden Monats:

	Breite.	Tage des Monats.
Christianssand	58° 9'	1. u. 17.
Christiania	59 55	1. 5. 9. 13. 17. 21. 25. 29.
Röros	62 34	1. u. 17.
Thronbjem	63 26	1. 5. 9. 13. 17. 21. 25. 29.
Bodö	67 17	1. u. 17.
Tromsø	69 39	1. u. 17.

Mit der Uhr nach Lokalzeit als Abscissen und den Breiten als Ordinaten konstruierte ich nach diesen nach eine graphische Tafel, in welche die resp. Uhrzeiten für den Auf-

¹⁾ Observations internationales polaires. Expédition danoise. Observations faites à Godthaab. Bd. II, S. 2—3.

und Untergang der Sonne eingetragen und die Punkte, welche zu demselben Tag gehörten, durch krumme Linien (Datumlinien) verbunden wurden. Weiter wurden in demselben Koordinatensystem für jeden Tag die Breite der Expedition markiert und die markierten Punkte durch eine fortlaufende Linie verbunden. Aus den Schnittpunkten dieser Linie mit den Datumlinien und mit der Horizontalskala für die Uhrzeiten konnten dann die Uhrzeiten für den Auf- und Untergang der Sonne für jeden Tag herausgenommen werden.

Diese Zeitpunkte wurden auf dem quadrillierten Papier mit den Temperaturbeobachtungen eingetragen. Die Linie zwischen den spätern Nachmittags- und Abendbeobachtungen wurde in gerader Richtung verlängert, bis sie die Ordinate für den Aufgang der Sonne schnitt. Auf gleiche Weise wurde die Temperaturkurve des nächsten Morgens und Vormittags in gerader Linie rückwärts verlängert bis zur Ordinate für den Aufgang der Sonne. In den so erhaltenen Winkel wurde dann die Temperaturkurve der Nacht gezeichnet als eine logarithmische Kurve mit Konkavität nach oben und mit einem Minimum bei Sonnenaufgang, dann wieder steigend, zuerst langsam, später rascher, mit Anschluß an die durch die Morgen- und Vormittagsbeobachtungen gegebenen Kurvenstücke.

Bei dieser Konstruktion der Nachtkurve wurde Rücksicht genommen auf das von den Beobachtungen angedeutete Wetter während der Nacht. Klares Wetter bedingte ein tieferes Minimum, überzogenes Wetter und Regen ein geringeres Minimum und eine flachere Form der Temperaturkurve, welcher auch unter den letztgenannten Umständen in mehreren Fällen ein Minimum vor dem Aufgang der Sonne gegeben werden mußte.

Eine Bestätigung der Richtigkeit der auf diese Weise gezeichneten Nachtkurven haben wir in den Beobachtungen in den zwei Nächten vom 21. zum 22. und vom 22. zum 23. August, welche beide klares Wetter hatten. Es wurde beobachtet (s. Tafel I: Die Temperatur der Luft auf dem Grönlandeise):

Temperaturbeobachtung.				Sonne.
August 21.	1 ^h	36 ^m	p. m.	3,2°
"	2	16	"	3,0
"	7	26	"	— 2,4
22.	1	46	a. m.	— 5,0
"	4	6	"	— 5,0
"	6	1	"	— 2,0
"	7	31	"	— 0,4
"	8	46	"	0,0
"	9	56	"	1,7
"	11	36	"	2,5
"	6	26	p. m.	— 0,5
"	9	6	"	— 2,2
23.	3	26	a. m.	— 8,7
"	6	46	"	— 5,5
"	8	30	"	— 0,6
"	9	45	"	— 0,5

Die der Kurve entnommenen Werte der Temperatur für jede zweite Stunde, die für dieselbe Epoche berechnete mittlere Temperatur und der Unterschied zwischen beiden, welcher die tägliche Periode der Temperatur ausdrückt, sind in der folgenden Tabelle niedergelegt. Wie die hier als „mittlere Temperatur“ bezeichneten Zahlen berechnet worden sind, wird gleich unten gezeigt werden:

Temperatur n. Kurve.				Mittlere Temperatur.	Differenz.
August 21.	1 ^h	p. m.	3,2°	1,1°	+ 2,3°
"	3	"	2,5	0,4	+ 2,1
"	5	"	0,6	— 0,4	+ 1,0
"	7	"	— 1,8	— 0,8	— 1,0
"	9	"	— 3,4	— 1,1	— 2,3
"	11	"	— 4,2	— 1,2	— 3,0

			Temperatur n. Kurve.	Mittlere Temperatur.	Differenz.
August	22.	1 a. m.	— 4,8"	— 1,3"	— 3,5"
"	3	"	— 5,1	— 1,4	— 3,7
"	5	"	— 4,0	— 1,4	— 2,6
"	7	"	— 0,9	— 1,4	0,5
"	9	"	1,0	— 1,3	2,3
"	11	"	2,1	— 1,2	3,3
"	1	p. m.	2,4	— 1,3	3,7
"	3	"	1,5	— 1,4	2,9
"	5	"	0,0	— 1,7	1,7
"	7	"	— 1,1	— 2,1	1,0
"	9	"	— 2,0	— 2,2	0,2
"	11	"	— 3,7	— 2,4	— 1,3
23.	1 a. m.		— 5,9	— 2,5	— 3,4
"	3	"	— 8,1	— 2,6	— 5,5
"	5	"	— 8,0	— 2,7	— 5,3
"	7	"	— 4,5	— 2,8	— 1,7
"	9	"	— 0,4	— 3,1	2,7
"	11	"	0,7	— 3,4	4,1

Einige Nächte wurde ein Minimumthermometer ein Zoll unter der Oberfläche des Schnees hinausgelegt. Da die Oberfläche des Schnees sich durch die nächtliche Ausstrahlung stärker als die Luft abkühlt, die Wirkung hiervon aber in der Tiefe von einem Zoll als sehr abgeschwächt angenommen werden darf, indem der Schnee ein schlechter Wärmeleiter ist, so habe ich, in Ermangelung direkter Beobachtungen, die vom Minimumthermometer registrierte Temperatur als das nächtliche Minimum der Luft gelten lassen, was auch gut mit der nach den oben angeführten Prinzipien gezeichneten Nachtkurve, sowie auch mit den vorläufigen Versuchen stimmt, welche vom Herrn Studenten Urdahl über die gleichzeitigen Temperaturen und Minimumtemperaturen der Luft und des Schnees in verschiedenen Tiefen gemacht worden sind, zumal wenn der letztere lose und frisch gefallen war.

Um den Gang der Temperatur so weit als möglich von der täglichen Periode zu befreien, bin ich auf folgende Weise vorgegangen. Aus der gezeichneten Temperaturkurve wurden die Werte für jede gerade Stunde herausgenommen; aus diesen wurde für jede ungerade Stunde ein Mittel berechnet, in welchem die tägliche Periode im wesentlichen eliminiert war, nach Formeln wie diese:

$$\text{Mittel für } 1^h \text{ a. m.} = \frac{2^h \text{ p. m.} + 4^h + 6^h + 8^h + 10^h + \text{Mitternacht} + 2^h \text{ a. m.} + 4^h + 6^h + 8^h + 10^h + \text{Mittag}}{12}$$

$$\text{Mittel für } 3^h \text{ a. m.} = \frac{4^h \text{ p. m.} + 6^h + 8^h + 10^h + \text{Mitternacht} + 2^h \text{ a. m.} + 4^h + 6^h + 8^h + 10^h + \text{Mittag} + 2^h \text{ p. m.}}{12}$$

u. s. w.

Die Berechnung geschah auf die Weise, daß zuerst für jeden Tag ein Mittel genommen wurde für $11^h \text{ a. m.} = (\text{Mitternacht} + \dots + 10^h \text{ p. m.}): 12$. Hieraus wurde das Mittel für 1^h p. m. derart berechnet, daß zum Zähler die Temperatur der folgenden Mitternacht addiert, davon diejenige der vorhergehenden Mitternacht subtrahiert und der Rest dann mit 12 dividiert wurde. Auf diese Weise wurde die Addition und Subtraktion am Zähler fortgesetzt, bis ich zu 11 Uhr a. m. des nächsten Tages kam. Der jetzt berechnete Wert sollte dann mit dem früher berechneten identisch sein. So wurden sämtliche Mittel kontrolliert.

Die gefundenen Mittel wurden auf dem quadrillierten Papier mit der Temperaturkurve markiert und mit einer Linie verbunden (die gestrichelte Linie in der Tafel I, Nr. 2). Die Temperaturkurve liegt am Tage über und in der Nacht unter der Mediumkurve. Die letztere bringt den Gang der Temperatur zur Darstellung, wie er ohne die tägliche Periode gewesen wäre. Ihre Hebungen und Senkungen rühren von verschiedenen

Ursachen her, unter denen die Richtung des Windes, die Höhe über dem Meere, die Bewölkung in ihrem stetigen Wechsel als die handgreiflichsten erscheinen.

Die folgende Tabelle enthält die berechneten Mitteltemperaturen für jede ungerade Stunde vom 16. August bis zum 25. September, d. h. für die Zeit, wo die Expedition auf dem Inlandeise war.

Mittlere Temperatur.

1888	1 ^h a. m.	3 ^h	5 ^h	7 ^h	9 ^h	11 ^h	1 ^h p. m.	3 ^h	5 ^h	7 ^h	9 ^h	11 ^h
Aug. 16.	5,5	4,7	4,1	3,7	3,4	3,3	3,1	3,1	3,2	3,2	3,1	3,1
17.	2,9	2,9	2,7	2,6	2,5	2,5	2,4	2,3	2,1	2,1	2,1	2,1
18.	2,2	2,4	2,5	2,6	2,6	2,7	2,7	2,7	2,6	2,6	2,5	2,5
19.	2,4	2,4	2,3	2,3	2,3	2,4	2,4	2,5	2,9	2,7	2,9	2,9
20.	3,1	3,2	3,2	3,2	3,3	3,4	3,5	3,5	3,6	3,7	3,6	3,9
21.	3,8	3,4	3,3	3,0	2,4	1,8	1,1	0,4	—	0,8	1,1	1,3
22.	—	1,2	—	1,4	—	1,2	—	1,3	1,4	1,7	2,1	2,2
23.	—	2,5	—	2,7	—	3,1	—	3,6	3,7	3,7	3,9	4,4
24.	—	5,8	—	5,7	—	6,0	—	5,9	5,8	5,7	5,5	5,0
25.	—	4,7	—	5,1	—	5,4	—	5,7	6,1	6,5	6,9	7,1
26.	—	7,5	—	7,9	—	8,1	—	8,2	8,3	8,4	8,6	8,8
27.	—	8,8	—	8,9	—	8,8	—	8,8	8,8	8,8	9,0	9,2
28.	—	9,2	—	8,9	—	8,8	—	7,8	6,8	6,3	5,9	5,5
29.	—	4,9	—	4,9	—	5,2	—	5,6	5,9	6,2	6,5	6,6
30.	—	6,4	—	6,9	—	6,7	—	6,9	5,9	5,8	5,8	5,9
31.	—	6,0	—	5,9	—	6,8	—	7,1	7,6	8,1	8,9	9,1
Sept. 1.	—	10,4	—	10,6	—	10,4	—	10,7	10,9	11,0	10,9	10,9
2.	—	11,6	—	11,9	—	12,4	—	13,4	13,8	14,2	14,7	15,2
3.	—	16,4	—	16,5	—	16,4	—	16,1	15,6	15,1	14,7	14,2
4.	—	14,1	—	14,2	—	14,4	—	14,7	15,0	15,4	15,9	16,4
5.	—	17,7	—	17,4	—	16,7	—	15,0	14,1	13,2	12,2	11,3
6.	—	9,2	—	9,0	—	9,1	—	9,2	9,4	9,6	9,8	9,9
7.	—	10,5	—	10,7	—	11,1	—	11,8	12,2	12,7	13,2	13,7
8.	—	15,3	—	15,7	—	16,0	—	16,3	17,2	18,0	18,7	19,4
9.	—	21,4	—	21,5	—	21,4	—	21,3	21,0	21,0	21,2	21,4
10.	—	21,8	—	22,1	—	22,9	—	23,2	23,9	24,7	25,6	26,6
11.	—	30,8	—	30,6	—	30,6	—	30,3	30,6	31,2	31,9	32,4
12.	—	32,9	—	32,8	—	32,9	—	33,3	33,3	32,8	31,9	31,5
13.	—	30,8	—	31,1	—	31,3	—	31,7	32,0	32,3	32,7	33,1
14.	—	34,5	—	34,4	—	34,0	—	33,4	32,9	32,7	32,3	31,8
15.	—	30,9	—	30,9	—	31,2	—	31,7	31,5	31,3	30,9	30,5
16.	—	28,9	—	28,9	—	27,1	—	25,9	24,9	23,3	21,8	20,4
17.	—	18,7	—	14,9	—	14,2	—	13,7	13,3	12,8	12,4	11,9
18.	—	11,4	—	11,7	—	12,0	—	12,7	13,7	14,8	15,9	16,9
19.	—	20,8	—	20,5	—	19,9	—	17,8	16,3	15,5	14,0	12,3
20.	—	6,1	—	6,0	—	6,0	—	6,0	5,9	5,8	5,7	5,9
21.	—	5,3	—	5,2	—	5,0	—	4,9	5,0	5,2	5,5	5,9
22.	—	7,4	—	7,7	—	8,0	—	8,3	8,7	9,1	9,4	9,1
23.	—	7,1	—	6,4	—	5,7	—	5,0	4,1	3,3	2,5	1,7
24.	—	0,0	—	0,3	—	0,6	—	0,8	0,9	1,0	1,1	1,2

Auf dem quadrillierten Papier maß ich dann für jede ungerade Stunde die Ordinaten der Temperaturkurve von der derselben Stunde entsprechenden Mitteltemperatur als Basis. Diese Ordinaten sind in der folgenden Tabelle (S. 35) eingetragen; sie geben die erste Annäherung an die Bestimmung der täglichen Periode für jeden Tag. „Stunden-Temperatur“ bedeutet die der gezeichneten Temperaturkurve entnommene Temperatur.

Die letzte Horizontalreihe in dieser Tabelle gibt die durchschnittliche tägliche Periode für die Zeit, welche die Expedition auf dem Grönlandeise zubrachte.

Die Summe der positiven Ordinaten ist	= 16,19°
„ „ „ negativen „	= 16,21
„ „ „ aller „	= 32,40

Nach der Kurve ist der mittlere Wert

für die vorhergehende Mitternacht	. . . — 2,81°
„ „ „ nachfolgende „	. . . — 2,82

Die Zahlenreihe repräsentiert also die mittlere tägliche Periode ganz befreit von den übrigen Änderungen der Temperatur von einem Tag zum andern. Ich sehe hierin einen Beweis für die Berechtigung der angewendeten Methode. Bei kürzern Reihen müssen, wie weiter unten gezeigt werden wird, Korrekturen für den unperiodischen Gang der Temperatur gemacht werden.

Stunden-Temperatur minus Mittel-Temperatur.

1888	1 ^h a. m.	3 ^h	5 ^h	7 ^h	9 ^h	11 ^h	1 ^h p. m.	3 ^h	5 ^h	7 ^h	9 ^h	11 ^h	Tages- mittel	Bewöl- kung.
Aug. 16.	-1,6	-1,4	-1,3	-0,3	0,0	0,0	0,0	0,0	0,4	-0,3	-0,7	-0,5	3,3	1,5
17.	0,2	0,3	1,0	0,2	0,0	-0,3	-0,4	-0,2	-0,3	-0,3	-0,3	-0,3	2,5	10 ●
18.	-0,5	-0,6	-0,5	0,0	0,4	0,5	0,5	0,7	0,6	0,2	0,0	-0,4	2,7	10 ●
19.	-0,6	-0,9	-0,6	0,4	0,1	0,5	0,5	0,2	-0,3	0,3	0,1	-0,3	2,4	10 ●
20.	-0,3	-0,7	-0,5	0,1	0,6	0,8	0,9	-1,0	-1,4	0,3	0,3	0,0	3,4	9,6
21.	0,0	0,3	0,5	0,4	0,4	1,4	2,2	2,1	1,9	-1,0	-2,3	-3,0	1,8	0,9
22.	-3,6	-3,7	-2,6	0,5	2,3	3,3	3,7	2,9	1,7	1,0	0,3	-1,3	-1,2	0,4
23.	-3,4	-5,5	-5,3	-1,7	2,7	4,1	4,5	4,3	2,9	0,9	-1,4	-1,8	-3,4	1,4
24.	-2,4	-3,0	-3,0	2,7	-2,3	4,6	4,1	2,4	0,0	-0,3	-0,6	-1,1	-5,8	8,6
25.	-1,3	-1,7	-1,9	-0,2	1,2	3,4	3,2	2,9	0,7	0,0	-2,2	-3,0	-5,7	7,0
26.	-3,3	-3,4	-2,8	1,1	2,7	3,6	3,9	3,0	1,3	-1,3	-2,6	-3,1	-8,3	3,7
27.	-3,4	-3,5	-2,8	0,9	3,2	3,9	3,9	3,1	1,4	-1,9	-1,9	-2,4	-8,8	1,2
28.	-3,0	-3,7	-4,1	2,1	0,3	2,9	3,9	5,3	1,9	0,9	0,1	-0,7	-7,3	7,1
29.	-1,7	-2,3	-2,4	-1,9	0,0	3,0	4,0	4,2	4,0	-0,2	-3,9	-4,1	-5,8	5,7
30.	-4,1	-4,1	-3,5	1,3	2,5	3,7	3,7	2,7	1,4	0,7	-0,1	-1,7	-6,0	9,3
31.	-3,2	-4,2	-4,2	0,2	3,1	4,2	6,0	5,0	2,0	-2,3	-2,3	-3,5	-7,6	1,4
Sept. 1.	-4,8	-5,2	-4,6	-2,7	1,8	6,4	7,2	6,2	2,8	1,4	-4,6	-4,5	-10,9	7,6
2.	-4,9	-3,5	-2,3	0,7	3,6	5,1	5,5	5,5	0,7	-0,9	-4,2	-4,5	-13,8	6,1
3.	-4,8	-4,6	-4,8	0,0	3,2	4,1	4,0	3,8	1,5	-1,3	-1,2	-1,2	-15,6	8,0
4.	-1,4	-1,4	-1,0	-0,6	0,0	2,0	4,2	4,3	1,9	-0,4	-1,3	-2,2	-15,0	8,7
5.	-3,1	-3,9	-4,5	4,5	-2,1	0,5	2,1	3,2	3,3	3,0	1,9	0,5	-15,1	7,5
6.	-0,5	-1,0	-1,3	-0,8	0,2	1,4	1,3	1,2	0,7	0,2	0,0	-0,4	-9,8	8,5
7.	-0,6	-0,9	-0,9	0,4	0,4	1,1	1,5	1,2	0,8	0,3	0,4	-0,9	-12,3	10 *
8.	1,4	-1,7	-1,6	-0,7	1,0	2,5	3,4	2,4	0,4	-2,1	-3,0	-3,1	-17,9	10 *
9.	-3,4	-3,6	-3,8	-3,0	-0,6	3,6	5,7	6,1	5,4	1,6	-1,1	-3,0	-21,0	10 *
10.	-4,2	-4,9	-5,0	-2,7	1,7	5,6	7,9	6,1	5,8	0,6	-2,2	-4,4	-24,7	0,6
11.	-6,3	-5,1	-9,2	-8,7	-0,4	7,1	11,4	12,6	12,4	1,0	-5,2	-7,3	-31,3	0,0
12.	-10,7	-12,2	-11,8	-7,4	3,8	10,5	13,6	13,7	6,0	-0,3	-1,2	-5,8	-32,8	5,0
13.	-7,8	-9,1	-9,9	-4,2	4,9	9,6	12,0	11,2	5,4	0,6	-2,4	-5,4	-32,0	0,3
14.	-9,1	-10,1	-11,3	-9,5	0,0	8,4	12,9	13,0	10,7	2,3	-2,9	-6,1	-31,2	3,1
15.	-8,8	-9,8	-10,6	-6,2	2,6	8,6	11,6	10,0	3,3	-1,3	-3,7	-5,2	-31,2	0,6
16.	-6,2	-6,9	-7,3	-4,4	1,4	5,1	6,5	4,8	3,3	1,3	-0,5	-1,8	-24,6	6,5
17.	-3,0	-4,0	-4,6	-1,7	3,9	5,8	6,2	3,7	0,9	-1,1	-1,8	-1,8	-17,8	10 *
18.	-1,8	-1,7	-1,4	0,8	3,2	5,4	6,1	6,1	1,8	-4,6	-4,9	-4,9	-14,8	10 *
19.	-5,1	-5,6	-6,2	-7,4	-5,8	2,3	6,4	6,8	5,3	3,3	1,3	1,1	-15,9	10
20.	-0,7	-0,9	0,9	-0,6	0,6	1,0	0,5	0,1	0,0	0,1	0,0	-0,4	-5,9	10 *
21.	-0,6	-0,5	-1,0	0,0	0,9	0,8	1,3	1,3	1,3	0,9	0,0	-0,6	-5,0	10 *
22.	-1,6	-2,3	-2,9	-2,8	-0,8	1,1	2,4	2,8	1,4	-4,2	-3,3	-3,2	-9,1	0,0
23.	-4,0	-4,0	-3,0	0,0	2,4	3,9	4,0	3,4	2,1	1,8	-0,1	-1,0	-3,8	6,0
24.	-1,8	-2,6	-2,9	-2,5	-0,2	2,1	3,5	3,8	2,8	1,1	-0,6	-1,8	-1,0	9,2
Mittel	-3,16	-3,66	-3,68	-1,88	1,05	3,39	4,70	4,36	2,49	0,10	-1,50	-2,36	-11,23	6,12

Durch graphische Ermittlung erhält man:

Minimum = $-3,8^{\circ}$ um 4^h 18^m a. m. Sonnenaufgang: 4^h 56^m

Maximum = $+4,7$ „ 1 30 p. m. Sonne im Merid.: 11 58

Amplitude = 8,5

Erstes Medium „ 8 15 a. m.

Zweites „ 7 10 p. m. Sonnenuntergang: 7 0

Das Minimum fällt also um etwas über eine halbe Stunde vor Sonnenaufgang, was von den bewölkten Nächten herrührt. Das Maximum fällt 1 $\frac{1}{2}$ Stunde nach der Kulmination der Sonne und das zweite Medium auf den Sonnenuntergang.

Um die Abhängigkeit der täglichen Periode von verschiedenen meteorologischen Faktoren zu studieren, habe ich die Zahlen der Tabelle auf Seite 34 in verschiedene Gruppen gesondert und das Mittel für die einzelnen Stunden genommen. Nach der

Kurve sind auch die Werte für die vorhergehende und die nachfolgende Mitternacht entnommen worden, um die Korrektur für die Variation der Mitteltemperatur im Laufe von 24 Stunden zu finden.

Klare Tage. Bewölkung < 2.

August 16. 21. 22. 23. 27. 31. Sept. 10. 11. 13. 15. 22. Im ganzen 11 Tage.															
M. N.	1 ^h a. m.	3 ^h	5 ^h	7 ^h	9 ^h	11 ^h	1 ^h p. m.	3 ^h	5 ^h	7 ^h	9 ^h	11 ^h	M. N.		
—3,39	—3,95	—4,75	—4,94	—2,32	1,71	4,35	5,98	5,49	3,33	—0,35	—2,72	—3,46	—4,19		
1. Korr.	—0,40	—0,36	—0,30	—0,28	—0,16	—0,10	—0,03	0,03	0,10	0,16	0,28	0,36	0,40		
	—3,79	—4,31	—5,05	—5,17	—2,38	1,61	4,92	6,01	5,59	3,51	—0,12	—1,92	—3,10	—3,79	
2. Korr.	+0,00	0,09	0,09	0,09	0,09	0,09	0,09	0,09	0,09	0,09	0,09	0,09	+0,00		
	—3,7	—4,2	—5,0	—5,1	—2,3	1,7	4,6	6,1	5,7	3,6	—0,0	—1,8	—3,0	—3,7	

Da das Mittel für die vorhergehende Mitternacht $-3,39^{\circ}$ ist und für die nachfolgende Mitternacht $-4,19^{\circ}$, so ist dadurch gekennzeichnet, daß die Mitteltemperatur um $0,8^{\circ}$ in den verfloßenen 24 Stunden gesunken ist. Das Sinken per Stunde beträgt also im Durchschnitt $0,033^{\circ}$. Läßt man das Mittel für den Mittag gelten, so wird also eine Korrektur = $0,033$ mal der Anzahl von Stunden vor oder nach Mittag von den Vormittagswerten abzuziehen und zu den Nachmittagswerten zu addieren sein. Dies ist die 1. Korrektur.

Die 2. Korrektur beruht darauf, daß das Mittel von den zweistündigen Werten nicht genau 0 gibt, sondern $-0,085^{\circ}$. Diese Zahl muß daher zu sämtlichen Werten addiert werden, um die richtigen Zahlen für jede Stunde der Periode zu erhalten.

Die zwei hier angebrachten Korrekturen beruhen einerseits darauf, daß die Mitteltemperatur im Laufe von 24 Stunden steigt und sinkt, und daß diese Schwankungen in der kurzen Reihe von Tagen, womit wir es hier zu thun haben, einander nicht kompensieren, andererseits darauf, daß die Umstände, unter welchen die tägliche Periode sich entwickelt, wie die Bewölkung, die Windrichtung, die Höhe, Ausstrahlung und Sonnenstrahlung, sich im Laufe des Volltages derart ändern, daß die resultierende Temperaturabweichung vom Medium für jede folgende Stunde eine andre wird als sie gewesen wäre, falls die bedingenden Umstände konstant blieben. Die Variation der Umstände bedingt sozusagen veränderliche Amplituden und dadurch veränderliche Ordinaten für die respektiven Stunden. Eine zunehmende Bewölkung z. B. verspätet die Temperatursteigerung des Vormittags und die Temperatursenkung des Nachmittags; bei aufklärendem Wetter ist das Entgegengesetzte der Fall. Trifft nun eine solche Wirkung nur einen Teil der 24stündigen Periode oder treffen entgegengesetzte Wirkungen verschiedene Teile der Periode, so wird der regelmäßige periodische Gang gestört, und die Mittel der Ordinaten aus den verschiedenen Tagen geben keine reine Periode. Die Korrekturen sind indessen nicht groß, und man darf sie daher über die ganze Periode gleichförmig verteilen, wenn man es mit Mitteln von mehreren Tagen zu thun hat. Daß sie verschwinden, d. h. daß die störenden Ursachen sich gegenseitig aufheben, wenn man eine längere Reihe von Tagen hat, haben wir S. 34 unten in den Mitteln für die ganze Beobachtungsreihe von 40 Tagen gesehen.

In dem Folgenden verstehe ich unter 1. Korrektur den Wert, welcher für die vorhergehende Mitternacht gilt, und gebe die Ordinaten nur mit beiden Korrekturen.

Die folgenden Tabellen geben das Resultat der Untersuchungen über die tägliche Periode der Lufttemperatur. Die Maxima und Minima sind aus graphischen Kurven

genommen. Die Amplitude ist die Summe der Extreme. „Sum. Ord.“ ist die Summe der positiven und negativen Ordinaten = 2mal die Summe der positiven = 2mal die Summe der negativen Ordinaten. Diese Größe gibt ein besseres Maß für die Variationen der Periode, als die Amplitude.

Die tägliche Periode der Lufttemperatur.

Bewölkung und Niederschlag.

Tafel I, Nr. 3, oben.

	Klare Tage. Bewölkung < 3. 11 Tage: Aug. 16. 21. 22. 23. 27. 31. Sept. 10. 11. 13. 16. 26.	Wolkentage. Bew. 3-6. 11 Tage: Aug. 26. 26. 28. 29. Sept. 1. 2. 5. 12. 14. 16. 25.	Überzogene Tage. Bew. > 8. 18 Tage: Aug. 17. 18. 19. 20. 24. 30. Sept. 3. 4. 6. 7. 8. 9. 17. 18. 19. 20. 21. 24.	Regentage. 3 Tage: Aug. 17. 18. 19.	Schneetage. 7 Tage: Sept. 7. 8. 9. 17. 18. 20. 21.
Mittlere Bewölk.	0,7	5,9	9,6	10,0	10,0
Mittlere Temp. .	-13,1°	-14,4°	-8,1°	2,5°	-12,8°
1 h a. m.	-4,2°	-4,2°	-1,8°	-0,8°	-2,2°
3 "	-5,0	-4,9	-2,1	-0,2	-2,4
5 "	-5,1	-4,8	-2,1	-0,1	-2,4
7 "	-2,3	-2,6	-1,1	-0,1	-1,3
9 "	1,7	1,6	0,4	0,2	1,1
11 "	4,6	4,8	2,3	0,3	2,6
1 p. m.	6,1	6,1	2,9	0,3	3,4
3 "	5,7	5,7	2,6	0,2	3,2
5 "	3,6	3,3	1,3	0,1	1,9
7 "	0,0	0,7	-0,2	0,1	-0,6
9 "	-1,8	-2,2	-0,8	-0,0	-1,4
11 "	-3,0	-3,3	-1,4	-0,3	-1,8
Maximum . . .	6,1°	6,2°	3,0°	0,4°	3,4°
Minimum . . .	-5,2	-5,0	-2,3	-0,4	-2,3
Amplitude . . .	11,3	11,2	5,3	0,8	5,9
Sum. Ord. . .	43,3	44,2	18,9	2,2	24,0
1. Korrektion .	-0,40°	+0,32°	+0,03°	-0,01°	-0,46°
2. Korrektion .	+0,09	-0,04	-0,06	-0,02	-0,14

Mitteltemperatur des Tages.

Tafel I, Nr. 3, Mitte.

	Über 0° 7 Tage: Aug. 16. 17. 18. 19. 20. 21. 21.	0° bis -7,5° 10 Tage: Aug. 22. 23. 24. 25. 26. 29. 30. Sept. 20. 21. 23.	-7,5° bis -15° 10 Tage: Aug. 26. 27. 31. Sept. 1. 2. 6. 7. 17. 18. 22.	-15° bis -30° 8 Tage: Sept. 3. 4. 8. 8. 9. 16. 16. 19.	Unter -30° 6 Tage: Sept. 11. 12. 13. 14. 15.
Mittlere Bewölk.	7,3	6,5	5,7	7,6	1,8
Mittlere Temp. .	2,4°	-4,9°	-10,8°	-18,7°	-32,0°
1 h a. m.	-0,8°	-2,8°	-3,0°	-3,2°	-8,1°
3 "	-0,8	-3,0	-3,2	-3,6	-9,7
5 "	-0,7	-3,8	-3,0	-4,0	-10,4
7 "	-0,4	-0,8	-0,7	-2,7	-7,1
9 "	0,2	1,9	2,0	0,0	2,1
11 "	0,8	2,9	3,0	3,2	9,2
1 p. m.	1,1	3,2	4,5	5,1	12,5
3 "	0,9	2,8	3,8	4,7	12,1
5 "	0,5	1,3	1,5	3,5	7,8
7 "	0,2	0,3	0,5	0,5	0,8
9 "	-0,3	-1,0	-2,2	-1,1	-3,4
11 "	-0,7	-1,8	-2,6	-2,3	-5,8
Maximum . . .	1,1°	3,2°	4,5°	5,1°	12,5°
Minimum . . .	-0,8	-3,0	-3,3	-4,0	-10,3
Amplitude . . .	1,9	6,2	7,8	9,1	23,0
Sum. Ord. . .	7,4	23,5	31,3	33,6	88,7
1. Korrektion .	-0,17°	+0,16°	-0,33°	+0,51	0,00°
2. Korrektion .	+0,04	-0,09	-0,02	+0,02	+0,16

Höhe über dem Meere.

Tafel I, Nr. 3, unten.

	0 m bis 1000 m 9 Tage: Aug. 16. 17. 18. 19. 20. 21. 22. Sept. 23. 24.	1000 m bis 2000 m 13 Tage: Aug. 23. 24. 25. 26. 27. 28. 29. 30. Sept. 18. 19. 20. 21. 22.	2000 m bis 2500 m 8 Tage: Aug. 31. Sept. 1. 2. 3. 14. 15. 16. 17.	2500 m bis 2700 m 10 Tage: Sept. 4. 5. 6. 7. 8. 9. 10. 11. 12. 13.
Mittlere Höhe . . .	524 m	1646 m	2330 m	2640 m
Mittlere Bewölkung . .	6,4	8,5	5,4	6,0
Mitteltemperatur . . .	1,4°	-7,8°	-18,7°	-21,1
1 h a. m.	-1,4°	-2,6°	-4,8°	-4,3°
3 "	-1,9	-3,0	-5,7	-5,0
5 "	-1,1	-2,9	-5,9	-5,2
7 "	-0,3	-1,1	-2,7	-3,5
9 "	0,6	0,7	2,6	0,6
11 "	1,3	3,1	6,2	4,2
1 p. m.	1,6	3,8	7,6	6,2
3 "	1,3	3,6	6,4	6,2
5 "	0,7	1,2	3,1	4,4
7 "	0,3	0,1	-0,5	0,6
9 "	-0,5	-1,2	-2,9	-1,6
11 "	-1,0	-1,7	-3,9	-3,0
Maximum	1,6°	3,8°	7,7°	6,6°
Minimum	-1,4	-3,1	-6,0	-5,2
Amplitude	3,2	6,9	13,7	11,7
Sum. Ord.	11,8	24,9	51,7	44,9
1. Korrektion	+0,06°	-0,18°	+0,41°	-0,28°
2. Korrektion	-0,05	+0,12	+0,06	-0,08

Aus diesen Tabellen kann man folgende Schlüsse ziehen: Die Amplitude der täglichen Periode der Lufttemperatur ist um so größer, je geringer die Bewölkung, und um so kleiner, je größer die Bewölkung ist. Ein Wolkenhimmel, welcher der Sonne oder den Sternen zu scheinen erlaubt, gibt eine ebenso große Amplitude, wie ein ganz heiterer Himmel. Ganz bedeckter Himmel mit Regen verwischt die tägliche Periode fast ganz. Schneewetter dagegen, welches in größeren Höhen und unter niedrigeren Temperaturen stattfindet, gibt eine ebenso große Amplitude wie ganz bewölktes Wetter. Der Einfluss der Bewölkung ist somit, wie man aus der Tabelle ersieht, sehr bedeutend.

Auch zwischen der Mitteltemperatur des Tages und der täglichen Amplitude besteht eine innige Verbindung. Die höheren Temperaturen geben geringere Amplituden, die niedrigen Temperaturen größere Amplituden. Dies zeigt sich in allen drei Tabellen.

In genauester Verbindung hiermit steht das Verhältnis der Amplitude zu der Höhe über dem Meere. In geringeren Höhen, wo die Temperatur höher ist, sind die Amplituden kleiner. Temperatur und Höhe sind genau voneinander abhängig.

Die Höhe über dem Meere schließt indes einen Faktor ein, dessen Einfluss auf die Temperatur besonders geprüft werden muss, nämlich die Dichte der Luft. Je größer die Höhe, um so dünner ist die Luft. Hierzu kommt noch, dass der Wasserdampfgehalt der Atmosphäre mit der Höhe rasch abnimmt.

Alle Argumente, die Bewölkung, die Temperatur, die Höhe und mit dieser die Düntheit und Dampfarmut der Luft, wiesen darauf, dass die Amplitude der täglichen Periode wesentlich beruht einerseits auf Sonnenstrahlung am Tage und Ausstrahlung in der Nacht und andererseits auf der Bewölkung, welche beiden Arten von Strahlung entgegenwirkt.

Eine wichtige Rolle spielt hier die Bodenbeschaffenheit. Nach Dr. Nansens Beobachtungen ist das hohe Binnenland Grönlands ein zusammenhängendes ausgedehntes Schneefeld. Wie bekannt, hat der Schnee ein starkes Ausstrahlungsvermögen, während seine Temperatur unter der stärksten Sonnenstrahlung 0°C . nicht übersteigen kann. Wärmegrade werden der Luft über einer solchen Schneefläche nur durch südliche Winde zugeführt, und solche Winde sind, wie aus den Beobachtungen hervorgeht, die seltenen. Kalte Winde, von der Mitte des Landes gegen die Küsten wehend, sind am häufigsten. Dr. Nansens Wanderung über das Grönlandeis ging auch so spät im Jahre vor sich, daß sich damals keine solchen Flüsse auf dem Eise zeigten, wie sie Jensen und Nordenskiöld in den Sommermonaten gesehen und gezeichnet haben.

Besonders lehrreich ist das Studium des täglichen Ganges der Temperatur während der Kälteperiode, welche die Expedition in den Tagen vom 11. bis 15. September erlebte. Sie war zu dieser Zeit auf dem westlichen Abfalle Grönlands, in einer Höhe von 2600 bis 2300 m über dem Meere, mit einem Luftdruck von 540 bis 560 mm und hatte Tagesmittel der Temperatur von -31° bis -33° . In der Nacht sank die Temperatur, nach meiner konstruktiven Berechnung, am 12. und 14. bis zu -45° herab, am 13. und 15. bis zu -41° und -42° ; sie stieg zu der wärmsten Zeit des Tages bis etwa -20° und hatte eine Amplitude von durchschnittlich 23° . Die mittlere Bewölkung war nur 1,8.

Hier waren also die Bedingungen für eine starke Sonnenstrahlung und eine starke nächtliche Anstrahlung gegeben. Die Wirkung der erstern war nicht gering, da sie die Temperatur vom Gefrierpunkt des Quecksilbers bis -18° bis -20° zu erhöhen vermochte. Die nächtliche Ausstrahlung aber, von 6 Uhr 30 Minuten abends bis 5 Uhr 30 Minuten morgens, war in dem ersten und größten Teil der Kälteperiode im ganzen überwiegend, da die Mitteltemperatur rasch vom 10. bis 11. sank und ihren tiefsten Wert, $-34,5^{\circ}$, erst am 12.—13. um Mitternacht erreichte. Es ist ein Beweis für die Wirkung der Ausstrahlung, daß Dr. Nansens Minimumthermometer im Innern des Zeltes am Morgen des 11. September unter -35° zeigte.

Die Isobaren für diese Tage zeigen ein barometrisches Maximum, welches sich, mit abnehmendem Luftdruck nach allen Seiten, über dem zentralen Teil Grönlands von Nord nach Süd erstreckte und schwache, meist östliche Winde oder Windstillen auf der westlichen Seite desselben gab, wo die Expedition sich befand. Dies deutet darauf hin, daß die klare Luft auch trocken war, ein Umstand, der in hohem Grade zu der starken Ausstrahlung beitrug.

Ein Seitenstück zu der tiefen Temperatur und der großen Amplitude dieser Tage konnte nur auf einer der internationalen Polarstationen von 1882—83 zu finden sein, und es war mir klar, daß es am vorteilhaftesten unter nahe demselben Breitengrad und entsprechender Tageslänge, sowie im Innern eines schneebedeckten Landes gesucht werden müsse. Das Gewünschte fand sich in den „Observations of the International Polar Expeditions, 1882—83. Fort Rae“. Auf dieser Station war der Boden im September noch nicht mit Schnee bedeckt, aber in dem letzten Teil vom März 1883 finden wir eine Kälteperiode, von Umständen begleitet, welche denjenigen auf Grönland ähnlich waren. Sehen wir nach in den „Synchronous Weather Charts of the North Atlantic and the adjacent Continents for every day from 1st August 1882 to 31st August 1883, published under the authority of the Meteorological Council, London 1886“, so finden wir für die Tage vom 23. bis 27. März 1883 ein Maximum des Luftdrucks am Fort Rae. Stellen wir die übrigen meteorologischen Elemente zusammen, so erhalten wir, indem wir den täglichen Temperaturgang durch eine Freihandkurve ein wenig ausgleichen (siehe Tafel I, Nr. 3, mittlere Reihe):

	Grönland. 1888. Sept. 11.—15.	Fort Rae. 1883. März 23.—27.
Breite	64° 15'	62° 39'
Mittagshöhe der Sonne	29° 17'	29° 17'
Länge des Tages	13h 0m	12h 56m
Länge der Nacht	11h 0m	11h 4m
Mittlerer Luftdruck	549 mm	759 mm
Mittlere Bewölkung	1,8	1,2
Mittlere Temperatur	— 32,6°	— 24,1°
Mittlerer Dunstdruck	unter 0,3 mm	0,52 mm
Mittlere relative Feuchtigkeit	—	81,7 %
Temp. Ordinaten. 1 ^a a. m.	— 8,1°	— 3,1°
3 "	9,7	— 4,3
5 "	— 10,4	— 5,1
7 "	— 7,1	— 4,0
9 "	2,1	— 0,3
11 "	9,2	2,2
1 p. m.	12,6	4,5
3 "	12,1	5,5
5 "	7,8	5,1
7 "	0,8	1,6
9 "	— 3,4	— 0,5
11 "	— 5,8	— 2,0
Maximum	12,6°	5,7°
Minimum	— 10,5	— 5,2
Amplitude	23,0	10,9
Summe der Ordinaten	88,7	38,2

Man sieht hier den großen Unterschied zwischen dem täglichen Gang der Temperatur auf dem hochgelegenen Schneefeld Grönlands und auf dem schneebedeckten Lande am niedrigliegenden Fort Rae. Was an beiden Orten wesentlich verschieden ist, ist die Dichte der Luft und ihr Gehalt an Wasserdampf. Auf Grönland wie am Fort Rae haben die betrachteten Zeiträume in ihrer Mitte eine Maximaldepression der mittleren Tages-temperatur von $-34,5^{\circ}$ bzw. $-26,8^{\circ}$. Auf Grönland geht am Morgen des 12. und 14. September die Temperatur bis unter -45° (berechnet) herab, am Fort Rae den 24. März bis -34° . Die mittlere aperiodische tägliche Schwankung auf Fort Rae ist $13,0^{\circ}$ (Maximum—Minimum).

Wir können somit die Temperatur und ihren Gang im Innern von Grönland als charakteristisch für eine arktische hochgelegene Schneewüste bezeichnen.

In warmen Ländern findet man auch starke tägliche Amplituden der Lufttemperatur, und zwar an Orten, die in Wüsten oder Steppen liegen. Ich erinnere nur an G. Rohlf's Reise in der Sahara und Przewalski's Reise in der Wüste Gobi, wo sie am Morgen Frost hatten und am Mittag $+20^{\circ}$. In Nukuss¹⁾ am Amu Darja ist die Amplitude im Monat Juni 16° mit einer Bewölkung von 8. Am Lone Pine²⁾ in Californien war vom 15. August bis zum 5. September 1881 die Mitteltemperatur $20,9^{\circ}$, der Luftdruck 663 mm und das tägliche Maximum der Temperatur $31,1^{\circ}$, das Minimum $11,6^{\circ}$, die Amplitude somit $19,5^{\circ}$. Der mittlere Dunstdruck war 5,4 mm und die relative Feuchtigkeit 33 Prozent. (Tafel I, Nr. 3, letzte Reihe.)

Um die Abnahme der Temperatur mit der Höhe zu studieren, habe ich die folgenden Tabellen aufgestellt. Sie geben die Nummern der Station, ihre Höhe über dem Meere und die durchschnittliche Mitteltemperatur auf der Station, befreit von der Wirkung der täglichen Periode (Tab. S. 34).

¹⁾ Wild, Die Temperaturverhältnisse des Russischen Reichs I, S. 93.

²⁾ S. P. Langley, Researches on Solar Heat, S. 199.

Die erste Tabelle betrifft die Ostseite, die zweite die Westseite von Grönland. Die Grenze liegt bei der höchsten Station, Nr. 21, welche in beiden Tabellen erscheint. Für die Temperatur im Meeresniveau im Laufe der 40 Tage, welche die Expedition brauchte, um Grönland zu durchqueren, ist eine Abnahme von 5° bis 3° angenommen worden. Die letzte Horizontalreihe gibt die Summe der Höhen, die Summe der Differenzen und deren Quotient, d. h. die Abnahme der Temperatur pro 100m, wobei jeder Bestimmung ihr Gewicht nach der Höhe gegeben wurde.

Ostseite.

Station Nr.	Höhe m	Mittel- Temp. °	Differenz vom Meeresniveau °	Abnahme pro 100 m °
1	0	5,0	—	—
2	173	3,2	1,8	1,04
3	347	2,7	2,2	0,63
4	560	3,6	1,2	0,21
5	871	— 0,5	5,1	0,59
6	973	— 1,6	6,4	0,66
7	1355	— 3,6	8,5	0,63
8	1413	— 5,8	10,5	0,75
9	1570	— 5,5	10,1	0,64
10	1758	— 7,6	12,2	0,69
11	1876	— 8,9	13,4	0,71
12	1884	— 8,8	13,2	0,70
13	1941	— 5,0	9,4	0,48
14	1962	— 6,5	10,5	0,54
15	2093	— 6,2	10,5	0,50
16	2271	— 10,4	14,7	0,66
17	2402	— 11,9	16,1	0,67
18	2493	— 16,4	20,6	0,83
19	2579	— 14,1	18,2	0,76
20	2662	— 17,4	21,5	0,81
21	2718	— 9,4	13,4	0,49
33901		—	219,5	0,647

Westseite.

Station Nr.	Höhe m	Mittel- Temp. °	Differenz vom Meeresniveau °	Abnahme pro 100 m °
21	2718	— 9,4	13,4	0,49
22	2701	— 12,8	16,7	0,62
23	2674	— 21,2	25,1	0,94
24	2641	— 22,2	26,0	0,96
25	2633	— 30,3	34,1	1,30
26	2571	— 33,2	36,9	1,44
27	2514	— 31,1	34,8	1,40
28	2486	— 34,1	37,7	1,51
29	2418	— 31,2	34,8	1,44
30	2299	— 28,2	31,7	1,39
31	2169	— 15,8	19,2	0,89
32	2100	— 12,0	15,4	0,73
33	1977	— 19,5	22,8	1,15
34	1548	— 5,9	9,2	0,80
35	1194	— 5,3	8,5	0,72
36	1079	— 7,4	10,6	0,98
37	972	— 7,1	10,2	1,06
38	895	0,0	3,1	0,35
39	611	1,8	1,2	0,20
40	140	2,0	1,0	0,71
38040		—	392,4	1,081

Rechnet man die Kälteperiode und die derselben vorangehenden Tage nicht mit, sondern nur die Tage von Nr. 31 bis 40, so bekommt man 0,798 pro 100m.

Eine genauere Bestimmung für die Westseite wird man wahrscheinlich erhalten durch die Zusammenstellung der Mitteltemperatur jedes Tages mit der entsprechenden zu Godthaab, wie die folgende Tabelle zeigt.

Mohn u. Nansen, Durchquerung von Grönland.

Tag	Innere Höhe	von Grönland. Temperatur	Godthaab. Temperatur	Differenz.	Abnahme pro 100m
1888	m	°	°	°	°
September 6.	2710	— 9,4	3,4	12,8	0,47
7.	2700	— 12,5	2,4	14,9	0,55
8.	2690	— 18,3	1,3	19,6	0,72
9.	2660	— 21,0	2,4	23,4	0,88
10.	2640	— 25,1	3,5	27,6	1,05
11.	2610	— 31,4	2,4	34,0	1,31
12.	2550	— 32,5	2,8	35,0	1,37
13.	2500	— 32,1	0,8	32,9	1,32
14.	2470	— 32,8	0,2	33,1	1,34
15.	2360	— 31,4	0,6	32,0	1,26
16.	2260	— 33,9	— 0,2	34,1	1,07
17.	2150	— 12,8	1,2	13,8	0,64
18.	2070	— 15,3	0,7	16,0	0,77
19.	1750	— 15,7	0,6	16,2	0,83
20.	1450	— 5,8	2,0	7,8	0,54
21.	1140	— 5,1	0,9	6,0	0,53
22.	1030	— 9,2	1,2	10,4	1,01
23.	945	— 2,9	3,7	6,6	0,71
24.	770	1,0	1,6	0,6	0,08
	39455	—	—	366,8	0,93

Rechnet man nur mit den Tagen nach der Kälteperiode, September 17. bis 24., so erhält man $0,711^{\circ}$ pro 100m.

Während einer Kälteperiode, wie derjenigen, welche die Expedition mitten im hohen Grönlandeise hatte, und während welcher die Oberfläche des Schnees durch die starke nächtliche Ausstrahlung und die geringe Wärmeleitung von unten die Temperatur der tiefsten Luftschichten bis unter -30° erniedrigte, kann man kaum annehmen, daß die Temperatur in einiger Höhe so niedrig gewesen sei wie in Manneshöhe. Es ist wahrscheinlich, daß es nur die der Erde am nächsten lagernden Luftschichten sind, welche so stark abgekühlt wurden. Diese Temperaturen sind daher wenig geeignet, uns eine richtige Vorstellung von der durchschnittlichen Abnahme der Temperatur mit der Höhe auf dem Inlandeise Grönlands zu geben. Behalten wir also die Werte, welche wir außerhalb der Kälteperiode gefunden haben, so erhalten wir die Abnahme der Temperatur mit der Höhe

auf der Ostseite des Höhenrückens . .	$0,647^{\circ}$ pro 100 m
auf der Westseite des Höhenrückens . .	$0,711$ „
Mittel	$0,679^{\circ}$ pro 100 m

Diese Zahl schließt indessen auch die Wirkung des Abstands vom Meer ein, welche hier, wo wir es mit einem schneebedeckten Land zwischen offenen Meeren auf beiden Seiten zu thun haben, bewirken muß, daß die Temperatur in der Horizontalebene von der Küste gegen das Innere abnimmt. In vertikaler Richtung wird also die Abnahme der Temperatur mit der Höhe weniger als $0,68^{\circ}$ pro 100m betragen. Oben, bei der Berechnung der Höhen der Stationen über dem Meere habe ich mit einer Abnahme von $0,5^{\circ}$ pro 100m gerechnet¹⁾. Die horizontale und vertikale Wirkung des Kontinents lassen sich durch Beobachtungen an der Oberfläche derselben nicht voneinander trennen.

Die Beobachtungen aus den innern und höchsten Teilen Grönlands können dazu benutzt werden, um einige Aufschlüsse über das Klima dieser Gegenden zu geben. Werden die in der letzten Tabelle gegebenen täglichen Mitteltemperaturen aus dem zentralen Teil des grönländischen Binneneises, vom 6. bis 16. September, mit dem Faktor $0,5^{\circ}$ pro 100 m auf das Meeresniveau reduziert und dann mit den entsprechenden Temperaturen zu Godthaab verglichen, so bekommen wir die Zahlen der folgenden Tabelle:

¹⁾ Ben Nevis gibt $0,63^{\circ}$ für September (Met. Ztschr. 1891, S. 431), also fast so rasche Abnahme wie Grönland. Aber Schottland ist wärmer als Grönland und Island.

1888.	Mittlere Temperatur.	Innere von Grönland. Reduktion auf das Meeresniveau.	Reduzierte Temperatur.	Godthaab. Mittlere Temperatur.	Differenz.
September 6.	— 9,4°	+ 13,6°	4,3°	3,4°	0,8°
7.	— 12,5	13,9	1,0	2,4	— 1,4
8.	— 18,3	13,5	— 4,8	1,3	— 6,1
9.	— 21,0	13,3	— 7,7	2,4	— 10,1
10.	— 25,1	12,3	— 11,9	2,5	— 14,4
11.	— 31,6	13,0	— 18,6	2,4	— 21,0
12.	— 32,5	12,7	— 19,8	2,5	— 22,3
13.	— 32,1	12,5	— 19,6	0,8	— 20,4
14.	— 32,5	12,3	— 20,5	0,3	— 20,8
15.	— 31,4	11,8	— 19,6	0,6	— 20,2
16.	— 23,9	11,3	— 22,6	— 0,2	— 22,4
Mittel	—	—	— 12,73°	+ 1,67°	— 14,39°

Nach A. Paulsen¹⁾ ist die normale Mitteltemperatur zu Godthaab für die Periode vom 6. bis 16. September + 3,3°. Hiernach sollte die normale Mitteltemperatur, reduziert auf die Meeresfläche, im Innern von Grönland für denselben Zeitraum 3,3° — 14,4° oder — 11,1° sein. Man sieht, daß Godthaab zur selben Zeit eine Depression von 3,3° — 1,7° oder 1,6° unter der normalen Temperatur gehabt hat, also eine Kälteperiode.

Herr Paulsen gibt als die normale mittlere Jahrestemperatur zu Godthaab — 1,9° an. Fügt man zu dieser Zahl die Korrektur für das Binnenland — 14,4°, so erhält man, freilich als eine erste rohe Annäherung, für das Innere von Grönland auf 64° Breite eine mittlere Jahrestemperatur im Meeresniveau von — 16,3°. In einer Höhe von 2000 m würde man — 16,3° — 10° oder — 26,3° als jährliche Mitteltemperatur erhalten.

Die Periode, welche wir hier in Betracht gezogen haben, ist freilich zum Teil eine Kälteperiode, und die berechnete Jahrestemperatur wäre deshalb als zu tief zu erachten. Aber Kälteperioden sind aller Wahrscheinlichkeit nach sehr häufig über einem Lande wie Grönland, wo es immer so ausgezeichnete Bedingungen für die Ausstrahlung der Erde und die Erzeugung niedriger Temperaturen gibt, so daß eine solche Wetterlage einen bedeutenden Einfluß auf die jährliche Mitteltemperatur haben muß.

Setzen wir in runder Zahl die Mitteltemperatur des Jahres im Innern Grönlands unter 64° Breite, auf das Meeresniveau reduziert, zu — 15°, und werfen wir einen Blick auf Dr. J. Hanns Isothermenkarten²⁾, so finden wir es sehr natürlich, eine Jahresisotherme von — 15°, welche den Küsten Grönlands folgt, in der Karte der Jahresisothermen (Nr. 27) einzuzichnen. Innerhalb dieser gibt es noch Raum für die Isothermen von — 15° bis — 20° im nördlichen und nördlichsten Grönland. Die Isotherme von — 10° geht dann vom 72. Breitengrad, etwas südlich von Upnivik, südwärts längs der Westküste, die innersten Teile der langen Fjorde überschreitend oder berührend, biegt im südlichen Grönland südlich von Godthaab nach Osten um und folgt dann weiter der Ostküste, indem sie das Innere des Franz Josefs-Fjords überschreitet und die Küste etwa am 78. Breitengrad erreicht und verläßt. (S. Taf. II, Nr. 1.)

Betrachten wir nun die Karte der jährlichen Wärmeschwankung auf demselben Blatte des Atlas, so finden wir, daß wir, mit Rücksicht auf die kontinentale Natur Grönlands, in der Mitte des Landes und in der Breite von Godthaab eine jährliche Temperaturschwankung von über 20° und, in Analogie mit Lappland, eine solche von etwa 30° annehmen müssen. Dies gibt für die Temperatur des wärmsten Monats etwa — 15° + 15° oder 0°, und für den kältesten Monat — 15° — 15° oder — 30° im Meeresniveau. Eine Isotherme von 0° läßt sich sehr wohl in Hanns Julikarte (Nr. 29) im mittlern Teile von Grönland einzeichnen, und ebenso eine Isotherme von — 30° in die Januar Karte (Nr. 28) parallel den Küsten Grönlands. (S. Taf. II, 2 u. 3.)

Auf die Höhe von 2000 m hinaufreduziert erhalten wir also die folgenden Temperaturen für das Innere von Grönland:

Jahr — 25° | Januar — 40° | Juli — 10°

¹⁾ Observations internationales polaires. Expédition Danaise. Observations faites à Godthaab, S. 71.

²⁾ Atlas der Meteorologie (Berghaus' Physikalischer Atlas III).

Sowohl Nordenskiöld als Peary, welche das Inlandeis im Juli besuchten, weiter nördlich als Nansen, und welche auf dem größten oder einem großen Teil der Reise die Sonne nachts über dem Horizont hatten, hatten wiederholt Kältegrade in Höhen um 1500 m, und diese gingen in der Nacht bis zu -14° und -18° herab. Eine Temperatur von 0° im Meeresniveau entspricht -7° bis -8° in der Höhe von 1500 m, und dies scheint ganz gut mit unsern Berechnungen zu harmonisieren¹⁾.

Mit einer Januartemperatur von -30° oder niedriger im Meeresniveau und von -40° in einer Höhe von 2000 m erhalten wir — siehe Hanns Karte Nr. 28: Winterisothermen um den Nordpol — in Grönland einen Kältepol, dem sibirischen fast gerade gegenüber und im selben Abstände vom Nordpol wie der letztere.

Am sibirischen Kältepol kann die Temperatur der Luft bis gegen -70° herabgehen, d. h. um fast 25° unter die Mitteltemperatur des Januar. In 2000 m Höhe auf Grönland sollte man in Analogie hiermit eine Minimumtemperatur von -40° — 25° oder -65° erwarten können, oder, unter der Ausstrahlung in der dünnen und trocknen Luft, noch tiefer, wenigstens ebenso tief wie in Werchojansk.

Am Meere ist in Grönland beobachtet worden:

In Upernivik . . .	-40° .	In Ivigtut . . .	-29° .
In Jakobshavn . .	-42	Am Sabine Island .	-40 (2. Deutsche Nordfahrt 1870.)
In Godthaab . . .	-28	Am „Alert“ . . .	-59 (Sir George Nares.)

In Anbetracht dieser Temperaturen scheint es nicht unwahrscheinlich, daß das Innere Grönlands mit Ostsibirien in der Erzeugung der tiefsten Temperaturen an der Erdoberfläche konkurrieren kann oder es sogar darin übertrifft. In diesem Fall hat Dr. Nansen den zweiten Kältepol der nördlichen Erdhalbkugel entdeckt.

Die Feuchtigkeit der Luft.

In den folgenden Tabellen wird die absolute und relative Feuchtigkeit sowie die Höhe der Beobachtungspunkte mitgeteilt, gesondert für den östlichen und westlichen Abhang des Landes. Während der strengen Kälteperiode konnten keine Feuchtigkeitsbeobachtungen gemacht werden.

Ostseite:			Westseite:		
Höhe.	absolute Feuchtigkeit	relative. 96 %	Höhe.	absolute Feuchtigkeit	relative. 73 %
173 m	5,5 mm	88	1548 m	2,2 mm	73
173	5,2	88	1194	3,2	98
347	5,7	93	1079	1,7	74
428	5,5	98	972	2,0	95
1355	4,0	94	972	2,3	74
1413	3,9	91	945	3,8	73
1490	3,0	100	895	3,8	74
1570	2,8	79	770	1,9	31
1690	2,5	88	770	2,3	36
2093	3,1	95	611	3,1	56
2170	2,9	83	420	3,3	47
2320	5,0	87			
2400	2,1	97			
2540	1,9	100			
2550	1,5	90			
2579	1,4	100			
2600	1,4	88			
2630	1,9	97			
2630	1,7	97			
2662	0,9	100			
2685	1,7	100			
2718	2,4	100			
2718	1,9	79			

¹⁾ Eine Bearbeitung der auf Nordenskiölds und Pearys Reisen gemachten meteorologischen Beobachtungen, welche bisher nur fragmentarisch aus den populären Reisebeschreibungen bekannt sind, wäre sehr erwünscht.

Auf der Ostseite sieht man deutlich, wie die absolute Feuchtigkeit mit der Höhe abnimmt, während die relative Feuchtigkeit von der Höhe nicht abhängig zu sein scheint. Nimmt man das Mittel von den durch Horizontalstriche abgegrenzten Gruppen, so erhält man:

Mittlere Höhe.	Absolute Feuchtigkeit.	Relative Feuchtigkeit.
273 m	5,5 mm	94 %
1504	3,3	90
2521	2,0	94

Die Abnahme der absoluten Feuchtigkeit mit der Höhe läßt sich nach diesen Zahlen durch folgende, nach Dr. J. Hanns Vorbild berechnete Formel darstellen:

$$e = 6,1 \text{ mm} \times 10^{-\frac{h}{5307}}$$

wo e die absolute Feuchtigkeit in Millimetern Quecksilberdruck und h die Höhe in Metern ist. Man kann auch schreiben:

$$\text{Log } e = 0,78553 - \frac{h}{5307}$$

Hanns Formel¹⁾ ist:

$$p = p_0 \times 10^{-\frac{h}{6517}}$$

Nach unsrer Formel sollte also am Meeresniveau e gleich 6,1 mm und in 5307 m Höhe 0,61 mm sein. Die Formel, welcher übrigens kein besonderer Wert beigelegt werden kann, deutet also eine raschere Abnahme der absoluten Feuchtigkeit mit der Höhe auf Grönland an als in den Gegenden, aus welchen Dr. Hann die Daten für seine Formel geschöpft hat, indem die letzte eine Abnahme bis zum Zehntel des Meeresniveau-Wertes erst in einer Höhe von 6517 m ergibt. Vielleicht trägt das Vermögen des Schnees, die Wasserdämpfe auf seiner Oberfläche zu kondensieren²⁾, dazu bei, die Dampfmenge der Atmosphäre über der grönländischen Eiswüste zu verringern.

In den Zahlen für die Westseite findet man keine Regel für das Verhältnis der Feuchtigkeit zur Höhe. Auffallend sind die verhältnismäßig geringen Werte sowohl für die absolute als die relative Feuchtigkeit. Das Ganze deutet auf einen föhnartigen Charakter bei den hier vorkommenden Luftströmungen.

In den großen Höhen auf dem grönländischen Binneneise ist die relative Feuchtigkeit bedeutend, über 90 Prozent.

Die Winde.

Die Häufigkeit der beobachteten Winde ist in den folgenden Tabellen enthalten. Die Ostseite umfasst die Tage vom 11. August bis 9. September (45° Länge) und die Westseite die Tage vom 10. bis 25. September.

Ostseite. Anzahl der beobachteten Windrichtungen.

Richtung.	Beobachtet.	Reduziert auf 8 Striche.	Prozent.
N	11	15	7,3
NNE	2		
NE	5	6	2,9 Minimum.
ENE	0		
E	8	8,5	4,1
ESE	1		
SE	3	6,5	3,1
SSE	6		
S	8	11,5	5,5
SSW	1		
SW	5	9,5	4,6
WSW	8		
W	17	36,5	17,5
WNN	31		
NW	75	93,5	45,0 Maximum.
NNW	6		
Stillen	21	21	10,1
Summa	208	208	100,0

¹⁾ Österr. Ztschr. f. Meteorologie 1874, Bd. IX, S. 198. — ²⁾ Siehe E. Brückner, Met. Ztschr. 1890, S. 150.

Westseite. Anzahl der beobachteten Windrichtungen.

Richtung.	Beobachtet.	Reduziert auf 8 Striche.	Prozent.
N	5	6,5	7,1
NNE	0		
NE	1	5	5,5
ENE	8		
E	20	26	28,6 Maximum.
ESE	4		
SE	11	19	20,9
SSE	12		
S	3	10	11,0
SSW	2		
SW	0	1,5	1,6
WSW	1		
W	0	1	1,1 Minimum.
WNW	1		
NW	1	3	3,3
NNW	3		
Stillen	19	19	20,9
Summa	91	91	100,0

Wir erblicken hier einen scharf ausgeprägten Unterschied zwischen den beiden Seiten Grönlands. Auf der Ostseite waren die nordwestlichen Winde die häufigsten, während die östlichen ziemlich selten waren. Auf der Westseite dagegen waren die östlichen Winde die häufigsten, während die westlichen sehr selten waren. Die nördlichen und die südlichen Winde waren auf beiden Seiten nicht sehr häufig, doch erreichten die Südwinde 11 Prozent auf der Westseite, während sie auf der Ostseite nur halb so häufig waren.

Die herrschenden Winde waren also Landwinde, die vom Innern gegen die Küsten wehten. Dies weist auf ein Luftdruckmaximum im Innern und auf Luftströmungen hin, welche zu beiden Seiten über den Abfall gegen das Meer herabstießen. Ein solches Herabsteigen muß eine Erwärmung der Luft bewirken, so daß sie die tiefern Gegenden mit einem Zuwachs von Temperatur erreichen, welcher gegen 1° pro 100 m beträgt. Eine im Innern von Grönland in 2000 m Höhe auf -40° abgekühlte Luft z. B. konnte also nach der Küste mit einer Temperatur von -20° herabkommen. Selbstredend würde eine solche Luft sehr trocken sein. Die Temperatur an der Küste wird sonst wesentlich von der Nähe des Meeres bestimmt. Beim Übergang vom Küstenklima zum Inlandeklima kann man starke thermische Gradienten erwarten, was auch Dr. Nansen aus eigener Erfahrung auf seinen Exkursionen im Winter von Godthaab nach dem innersten Teil der Fjorden bestätigen konnte. Hier wurde es plötzlich sehr kalt.

Im Sommer wird freilich die Sonne, namentlich in Nordgrönland, wo sie circumpolar ist, eine bedeutende Wärmewirkung ausüben können, aber auf der Schneewüste des Innern wird sie nur zur Schmelzung von Schnee verwendet. Im ganzen genommen kann also hier die Temperatur in der Luft über dem Schnee kaum über den Gefrierpunkt steigen; im Durchschnitt wird sie infolge der Ausstrahlung unter Null im 24stündigen Mittel sinken. Im Juli ist die Mitteltemperatur in Jakobahavn und Godthaab etwa 7° . Mit $0,5^{\circ}$ Abnahme pro 100 m gibt dies in der Höhe von 2000 m eine Temperatur von -3° . Es scheint also nicht unmöglich zu sein, wie Herr A. Paulsen¹⁾ meint, daß das Inlandeis Grönlands, auf 0° erwärmt, Luftdrucksdepressionen hervorruft, welche Seewinde an den Küsten bedingen. Dies ist aber nur ein seltener Fall. Die Seewinde der Küste scheinen mir kein andres Erwärmungsfeld nötig zu haben, als den schneefreien Teil des Landes zwischen der Küste und dem Inlandeis. Im innersten Teil der Fjorde weht wohl in der Regel der Wind vom Gletscher zum Fjord heraus, auch im Sommer.

Ich habe den Versuch gemacht, thermische Windrosen für die Ost- und Westseite zu berechnen. Die Temperaturen wurden auf das Meeresniveau mit $0,66^{\circ}$

¹⁾ Det danske geografiske Selskabs Tidsskrift, 10. Bd., S. 72.

pro 100 m reduziert und in Gruppen für jede Windrichtung geordnet. Die Beobachtungen sind aber zu wenig an Zahl und die Winde zu wenig gleichmäßig vertreten, um ein Resultat zu erzielen, welches auf Beachtung größern Anspruch machen könnte als bloße Andeutungen. Ich beschränke mich deshalb darauf, die Werte der zu den verschiedenen Windrichtungen gehörigen mittleren Temperaturen zu geben, so wie sie aus Freihandkurven entnommen worden sind.

Approximative thermische Windrosen. — Meeresniveau.

Windrichtung.	Ostseite.	Zentralregion.	Westseite.
N	4,0°	— 16,0°	— 4,5°
NE	3,4 Min.	— 16,5 Min.	— 4,5 Min.
E	3,0	— 15,2	— 1,0
SE	5,5	— 11,0	3,6
S	6,1 Max.	— 5,0	3,7 Max.
SW	5,7	— 3,0 Max.	2,2
W	5,2	— 7,5	0,5
NW	4,7	— 13,7	— 1,0
Still	4,4	— 13,5	— 1,2

Auf der Ostseite ist der kälteste Wind Nordost, der wärmste Süd. Der Unterschied zwischen beiden beträgt 2,7°.

Auf der zentralen, schwach gegen West geneigten Hochebene ist der kälteste Wind Nordost, der wärmste Südwest oder Südsüdwest. Zwischen diesen besteht ein Temperaturunterschied von 13,8°.

Auf der Westseite ist der kälteste Wind Nordnordost, der wärmste Wind Südsüdost; Temperaturunterschied 8,4°.

Nephische Windrose. — Bewölkung.

Windrichtung.	Ostseite.	Westseite.
N	6,7	7,2
NE	8,8	0,0 Min.
E	9,6	2,9
SE	9,8 Max.	5,7
S	9,0	8,7
SW	8,8	10,0
W	5,7	10,0 Max.
NW	5,8 Min.	10,0
Still	6,0	4,3

Die Grenze zwischen der Ost- und Westseite wurde am 9.—10. September erreicht. Die Ostseite hat die größte Bewölkung mit Südost oder Ostsüdost, das klarste Wetter mit Nordwest. Die Westseite dagegen hat ganz bedeckten Himmel mit westlichen Winden und heiteres Wetter mit Nordost. Es sind die vom Meere kommenden Winde, welche die größte Bewölkung bringen, während die Winde, welche vom Innern des Landes kommen, das klarste Wetter bringen.

Windrose für die Häufigkeit der Niederschläge.

Zahl der Beobachtungen von Regen, Schnee, Nebel, Hagel.

Windrichtung.	Ostseite.	Westseite.
N	1	
NE	0 Min.	0 Min.
E	0,5	0,5
SE	4	2
S	0,5	4,5 Max.
SW	2	1,5
W	7	1,0
NW	20 Max.	0,5
Still	6	3

Dividiert man diese Zahlen mit den entsprechenden Zahlen für die Häufigkeit der Winde (Tabelle S. 45 u. 46), so erhält man die folgenden Werte für die Niederschlagswahrscheinlichkeit der einzelnen Windrichtungen:

Windrose für die Niederschlagswahrscheinlichkeit.

Windrichtung.	Ostseite.	Westseite.
N	0,07	0,15
NE	0,40 Min.	0,00 Min.
E	0,06	0,02
SE	0,62 Max.	0,11
S	0,04	0,45
SW	0,21	1,00 Max.
W	0,19	1,00
NW	0,21	0,17
Still	0,29	0,16

Sowohl auf der Westseite wie auf der Ostseite waren die nordöstlichen Winde ohne Niederschlag. Auf der Ostseite brachte der Südost am leichtesten Niederschlag, auf der Westseite der Südwest und West, welche jedesmal, wenn sie wehten, von Niederschlägen begleitet waren. Die niederschlagsreichsten Winde sind also diejenigen, die gerade vom Meere herkommen.

Der verhältnismäßig niederschlagsreiche Nordwest auf der Ostseite erinnert an den ganz entsprechenden Niederschlagscharakter beim Nordost in Christiania. In beiden Fällen ist die Ursache des Niederschlags in einer Luftdrucksdepression zu suchen, welche sich außerhalb über dem Meere befindet, in der Dänemarkstraße bzw. im Skagerrak¹⁾.

Eine Zählung der Tage mit den verschiedenen Wolkenformen, Arten von Niederschlag und Bewölkung auf Grönland gibt folgende Resultate. Im ganzen sind 52 Tage berücksichtigt, vom 11. August bis zum 1. Oktober.

Form der Wolken.	Zahl der Tage.	Prozent.
Stratus	10	19
Cumulostratus	22	42
Cumulus	0	0
Cirrocumulus	11	21
Cirrostratus	17	33
Cirrus	23	44

Die häufigsten Wolkenformen waren Cirrus und Cumulostratus, dann Cirrostratus, Cirrocumulus und Stratus. Cumuluswolken sind nicht ein einziges Mal notiert worden. Die Expedition hat sich in größeren Höhen über dem Meere bewegt, und die höchsten Wolken sind es, welche am häufigsten gesehen wurden.

Niederschlag.	Zahl der Tage.	Prozent.
Regen	7	13
Schnee	12	23
Nebel	4	8
Hagel	1	2

Schnee war häufiger als Regen; fast jeder vierte Tag (23 Prozent) ist ein Schneetag. Nebel war nicht häufig, Hagel äußerst selten.

Wetter.	Zahl der Tage.	Prozent.
Heiter	13	25
Übersogen	23	44

Ein Viertel der Tage sind ganz klar gewesen (Bewölkung < 2) und fast jeder zweite Tag war übersogen (Bewölkung > 8). Fast ein Drittel (31 Prozent) aller Tage hatte eine gemischte Bewölkung. Die mittlere Bewölkung ist 6.

Die synoptischen Karten für jeden Tag, welche von dem dänischen meteorologischen Institut und der Deutschen Seewarte, sowie vom Meteorological Office in London herausgegeben worden sind, zeigen, daß gewöhnlich Luftdruckminima über der Davisstraße,

¹⁾ Siehe meine Abhandlung: „Studier over Nedbørens Varighed og Tæthed i Norge“. Christiania Videnskabselskabets Forhandling 1888, Nr. 12, S. 44—52; angezeigt von W. Köppen in Meteorol. Zeitschrift 1890 [9].

der Baffinsbucht und der Dänemarkstraße liegen, während über dem Innern von Grönland hoher Luftdruck lagert. Am besten kann man dies für die Zeit beurteilen, wo die dänische Ostgrönland-Expedition unter Kapitän Holm bei Angmagalik überwinterte (1884—85). Zu Zeiten scheint der hohe Luftdruck über dem Innern von Grönland als eine von Nord nach Süd sich erstreckende Zunge mit anticyklonischem Windsystem ausgebreitet zu sein, zu andern Zeiten greifen cyclonische Systeme, welche ihre Zentra über den genannten Meeren haben, tief nach Grönland hinein, und der hohe Luftdruck im Innern des Landes beschränkt sich auf einen barometrischen Höhenrücken zwischen einer Depression über der Baffinsbucht oder der Davisstraße auf der einen Seite, und einer Depression über der Dänemarkstraße auf der andern Seite. Im ersten Falle, mit Anticyklone über dem Lande, hat das Innere eine Kälteperiode, im zweiten Falle hat die Westseite mildere südliche und die Ostseite nördliche Winde, welche indessen, als umgebogene Seewinde, oft mild sein können und Niederschlag bringen, wie z. B. vom 17. bis 19. August 1888 Regen mit Nordwestwind.

Sowohl auf der West- wie auf der Ostseite können diese Cyklonen, wie vom Direktor Paulsen¹⁾ nachgewiesen wurde, zu Föhnwinden Veranlassung geben. Es ist nicht so selten Gelegenheit, zu beobachten, daß eine Luftdrucksdepression sich südlich von Grönland fortpflanzt und daß sie sich weit im Innern geltend macht, dafür liefern Dr. Nansens Beobachtungen mehrfache Beweise. Auf eine ganz eigentümliche Weise wurde ich auf diese Erscheinung aufmerksam. Die synoptischen Karten, welche ich für jeden Abend und Morgen zur Berechnung der Meereshöhe der Stationen zeichnete, brachten die Verteilung des Luftdrucks und die Orte und den Gang der Cyklonen und Anticyklonen zur Darstellung, so weit es sich thun ließ, ehe die korrespondierenden Beobachtungen aus Amerika, dem Atlantischen Ozean, Europa und Asien herbeigezogen werden konnten. Indem die Höhen der Stationen nach den Werten des Luftdrucks berechnet wurden, welche diese Karten gaben, ist dabei volle Rücksicht genommen auf die Bewegung der Cyklonen und Anticyklonen. Als ich dann versuchte, die Höhen der Beobachtungspunkte während des Marsches von der einen Station nach der andern durch Interpolation nach den beobachteten Barometerhöhen zu berechnen, ergab es sich, daß die also berechneten Meereshöhen in mehreren Fällen mit Dr. Nansens Beobachtungen über die Beschaffenheit des Terrains gar nicht in Übereinstimmung zu bringen waren, ja sie waren zum Teil, wie am 4. September, ganz unmöglich. In den meisten derartigen Fällen gab die Berechnung eine Erhöhung des Terrains zwischen zwei Stationen, die nicht existierte, in einzelnen Fällen Vertiefungen. Die Änderungen des Barometers im Laufe des Tages waren also nicht nur ein Ausdruck für Niveauänderungen, sondern auch, und das in hohem Grade, für wirkliche Luftdrucksänderungen im selben Niveau. In der Mehrzahl der Fälle ergab das im Verhältnis zur Seehöhe sinkende Barometer, daß eine Depression südlich vom Beobachtungspunkt vorbeiging, und einigemal das relativ steigende Barometer, daß ein Rücken mit hohem Luftdruck die Stelle passierte.

Beispiele des Vorübergangs von Luftdrucksdepressionen haben wir in folgenden Fällen:

24. August. Ein Minimum passiert südlich von Dr. Nansens Weg. Der Wind ist hier nördlich, aber bei bewölktem Himmel und mit einer kleinen Temperatursteigung.

Vom 28. bis 31. August haben wir eine Depression über der Davisstraße und eine über der Dänemarkstraße. Die Expedition ist unter dem Einfluß der letztern, welche die Temperatur zum Steigen bringt, aber der Wind ist nordwestlich, ganz frisch, und der Himmel stark bewölkt. Am 31. zeigt sich die östliche Depression vertieft. Die Expedition ist auf die Rückseite der Depression gekommen. Die Temperatur sinkt.

Am 1. September passiert der hohe Luftdruck die Beobachtungspunkte.

¹⁾ Meteorol. Zeitschrift 1889, S. 241.

Am 3. September abends liegt ein Barometerminimum südlich von Grönland und geht nach Osten. Die Expedition beobachtet Windrichtungen von Ost bis Nord und Nordwest am 4. September. Die Temperatur steigt zuerst und sinkt nachher.

Am 14. September, während der Kälteperiode, geht ein barometrisches Minimum südlich von Grönland vorüber. Die Temperatur ist im Steigen begriffen. Der Wind ist nördlich.

Vom 17.—18. September zieht ein Minimum längs der Westküste Grönlands von Godthaab gegen Süden. Die Expedition hat zuerst südliche Winde mit Schnee und steigender Temperatur, später nördliche Winde mit sinkender Temperatur und zum Teil Schnee.

Wie die genannten Beispiele zeigen, steht das Innere des südlichen Grönland wiederholt unter dem Einfluß von Luftdrucksdepressionen, welche längs oder außerhalb der Küste wandern. Die Frage, ob es jemals sich ereigne, daß wirkliche barometrische Depressionen über die schneebedeckte Hochebene Grönlands sich fortpflanzen, kann Dr. Nansen mit ja beantworten. Seine Expedition hat den Übergang einer solchen erlebt und beobachtet. — Am 5. September morgens ist ein Luftdrucksminimum im Meere westlich von Grönland. Das Barometer steht am tiefsten in Godthaab. Ein andres Minimum steht südlich von Island. Die Expedition befindet sich zwischen den Wirkungskreisen beider. Sie hat Nordwestwind und die Temperatur ist etwas niedrig.

Am 5. September abends kommt die Expedition innerhalb des Wirkungskreises der westlichen Depression. In Jakobshavn, Godthaab und Ivigtut weht frischer bis starker Südost; die Expedition hat starken Südwest. Die Temperatur ist in raschem Steigen begriffen.

Derselbe Zustand dauert bis zum 6. abends. Am 7. morgens hat eine sekundäre Depression sich vom Hauptminimum über der Baffinsbucht abgelöst und steht mit ihrem Zentrum im Nordwesten der Station 22 der Expedition, ihrer zweithöchsten, 2700 m über dem Meere. Ein gewaltiges Schneewehen hat mit starkem südöstlichen Wind und einer Temperatur von -10° angefangen. Die Expedition liegt vom Wetter gebunden und ist genötigt, sich im Zelte zu halten bis zum folgenden Mittag.

Um 2 Uhr ist das Barometer um 7,5 mm seit 7^h 30^m a. m. gefallen. Kurz vor 2 Uhr hört der starke Südostwind plötzlich auf. Es folgt eine kurze Pause, und dann kommt der Wind mit einem Male stark aus Westnordwest und bleibt als solcher anhaltend. (Siehe Tafel II, 4.)

Im Laufe des Nachmittags fällt das Barometer bis 4^h 46^m p. m. auf 525,9 mm und steigt dann bis 526,5 mm um 6^h 46^m p. m. Die Depression mit abnehmendem Luftdruck in ihrem Zentrum entfernt sich nach Osten. Über der Dänemarkstraße liegen starke Gradienten für südliche Winde. Südlich von Island befindet sich ein Luftdrucksmaximum. Am Abend weht Sturm aus Südwest in Stykkisholm. Am 8. September morgens um 6^h 40^m ist das Barometer auf Station 22 bis 529,5 mm gestiegen und steigt weiter bis 532,3 mm um 7^h 30^m a. m. Die Temperatur ist bis -17° gesunken. Der Wind ist West, Stärke 3. Es schneit immer. Die Expedition kann weiter wandern. Die sekundäre Luftdrucksdepression scheint die Dänemarkstraße erreicht zu haben. In Nordwest von Upernivik steht das Zentrum der Hauptdepression der Baffinsbucht.

Es war also nur eine sekundäre Depression, welche sich über das Innere des südlichen Grönland fortpflanzte. Es muß eine offene Frage bleiben, ob Hauptdepressionen sich über das kalte Innere Grönlands fortpflanzen können. Die Wahrscheinlichkeit ist eher dafür, daß wir hier Bedingungen haben für die Bildung von herabsteigenden Luftströmen mit barometrischen Maxima, wozu noch die ansehnliche Breite des nördlichen Grönlands als mitwirkender Faktor kommt.

Es ist oben S. 45 die Bemerkung gemacht worden, daß die Winde auf der Westseite von Grönland oft einen Föhn-Charakter hatten. Werden aus den Beobachtungen diejenigen Fälle herausgenommen, in welchen die relative Feuchtigkeit unter 50 Prozent beträgt, und werden die Temperaturen mit den Faktoren $0,5^\circ$ und $1,0^\circ$ per 100 m auf das Meeresniveau reduziert, so erhält man die Zahlen der folgenden Tabelle, in welcher auch die am nächsten entsprechenden Beobachtungen aus Godthaab aufgenommen sind.

Tag 1888	Inneres von Grönland.										Godthaab.							
	Höhe		Stunde		Lufttemperatur		red. mit		Feuchtigkeit		Wind	Stunde		Temp.		Feuchtigkeit		Wind
					beob.		0,5° 1,0°		abs. relat.							abs. relat.		
	m	h m	o	o	o	o	mm	%	h	m		o	mm	%				
Sept. 24.	770	1	13 p.m.	4,8	8,7	12,5	1,9	31	SSE 1	2 p.m.	3,9	4,9	87	S 2				
" "	770	3	28 "	5,0	8,9	12,7	2,3	36	SSE 1									
" 25.	490	11	56 a.m.	6,0	8,1	10,9	3,3	47	0	2 p.m.	2,2	5,0	93	NE 2				
" "	150	3	36 p.m.	6,8	7,6	8,3	2,6	36	0									
" 26.	140	7	40 a.m.	11,8	12,5	13,2	4,3	41	E 2	8 a.m.	8,0	4,5	57	S 4				
" "	15	11	50 "	14,8	14,9	15,0	3,9	31	E 2									
" "	5	2	53 p.m.	15,3	15,3	15,3	4,3	35	E 2	2 p.m.	7,8	4,6	59	S 4				
" 28.	770	5	42 "	5,9	9,8	13,6	3,7	51	—	8 "	7,0	6,2	82	SE 4				
" 30.	548	11	11 a.m.	9,1	14,8	14,6	3,2	49	0	2 "	5,8	5,8	83	SSE 3				
Oktbr. 1.	420	5	51 "	6,8	8,9	11,0	3,7	50	—	8 a.m.	7,0	6,9	92	S 3				
" "	150	12	1 p.m.	12,7	13,5	14,2	5,1	46	—	2 p.m.	8,7	7,6	91	SE 3				
" 5.	5	12	10 "	16,0	16,0	16,0	6,8	50	ENE 1	2 "	6,7	7,3	100	S 4				
" "	5	1	55 "	15,7	15,7	15,7	6,8	50	SSW 1									

Man sieht, daß die von der Expedition beobachtete trockene Luft von relativ hohen Temperaturen begleitet war. Die betreffenden Winde können also als Föhnwinde charakterisiert werden. Die weiter innen auf dem Grönlandeise vom 20. bis 23. September in Höhen von 1500 bis 900 m gemachten Psychrometerbeobachtungen deuten keinen Föhnwind an. In Godthaab findet sich in den Tagen vom 20. September bis zum 5. Oktober keine Beobachtung mit einer relativen Feuchtigkeit von weniger als 57 Proz. (26. Sept.).

Der Vergleich mit Godthaab zeigt, daß der Föhn häufig drinnen an den Fjordenden, in den Thälern und auf dem Binneneise selbst wehen kann, ohne daß er bis zur Küste reicht oder der Wind als Föhn hier auftritt. Ferner wird ersichtlich, daß die Föhnwinde drinnen im Lande hauptsächlich von der Ostkante, vom Gletscher herab und aus den Thälern heraus wehen, während zur selben Zeit der Wind in Godthaab an der Außenküste südlich und nur in geringem Grade östlich ist. Diese Betrachtungen, sowie auch synoptische Karten, die ich für die Epochen der Godthaabtablelle nach den Beobachtungen in Upernivik, Jakobshavn, Godthaab und Ivigtut zeichnete, stimmen mit der Ansicht des Direktors Paulsen insoweit ganz überein, daß sie als nächste Ursache der hier betrachteten Winde ein über dem Meere im Westen liegendes Luftdruckminimum, westlich oder nordwestlich von Godthaab, angeben. In den vorliegenden Fällen sind die Winde in Godthaab fast ausnahmsweise südliche, starke, relativ etwas warme und feuchte Seewinde, während zur selben Zeit die auf dem Gletscher und im Austmannathal beobachteten Winde absteigende, erwärmte, trockene östliche Landwinde waren. Beide Arten von Winden wehen gegen das barometrische Minimum, aber nur die aus den Höhen des Innern herabsteigenden können Föhneigenschaften bekommen. Sie sind zugleich in ihrer Richtung durch die Richtung des Thals bestimmt und durch die größere Reibung gehemmt, während die Winde an der Außenküste dem barischen Windgesetz freier folgen können, sowohl in Richtung wie in Stärke. Der lokale Charakter des Föhns tritt in diesen Beispielen sehr schön hervor.

An der Ostküste geben die Beobachtungen nur einmal, am 6. August, eine Andeutung eines Föhnwindes. Die Feuchtigkeit der Luft betrug gewöhnlich 90 bis 100 Prozent, und die herrschenden Nordwestwinde waren teils regnerisch, teils aufklärend.

Dr. Nansens Beobachtungen haben uns also zu der Annahme geführt, daß das hohe schneebedeckte Binnenland Grönlands wesentlich dazu geeignet ist, absteigende Luftströme mit hohem Luftdruck zu fördern und zu erzeugen, mit absolut trockner Luft, starker Ausstrahlung, tiefen Temperaturen und starker täglicher Änderung. Die Cyklonen der umliegenden Meere können ihre Wirkung bis nach der Mitte des Landes erstrecken, aber in der Regel bleibt ein hoher Luftdruck zwischen diesen Systemen zurück. Nur äußerst selten zieht ein sekundäres Luftdruckminimum über das Land. Die Cyklonensysteme der Meere können auf beiden Seiten des Landes Föhnwinde veranlassen, aber diese Föhnwinde sind lokale Erscheinungen innerhalb eines einseitigen Cyklonensystems. Ein Übergang der Föhnwinde von der einen Seite Grönlands nach der andern scheint nach dem meteorologischen (anticyklonischen) Charakter des Innern ausgeschlossen zu sein, vielleicht nur mit Ausnahme der Südspitze des Landes.

Im Beobachtungstagebuch findet man Nordlicht nur einmal notiert. Nach dem was Dr. Nansen mir mitgeteilt hat, war die wirkliche Sachlage die, daß er auf dem Grönlandeise fast jede Nacht Nordlicht sah, wenn die Bewölkung es zuließ. Es sind nur die allerstärksten Nordlichter, die im Tagebuche notiert wurden. Ein Geräusch wurde dabei niemals gehört, und in keinem Falle wurde das Nordlicht zwischen Wolken und Beobachter gesehen.

Nachdem die Expedition den Seehundfänger „Jason“ verlassen und sich am 18. Juli gegen den Sermilikfjord hinein gearbeitet hatte, wurde sie vom ostgrönländischen Polarstrom mit dem Meereis von $65^{\circ} 35'$ Nördl. Breite, 38° Westl. Länge, der Mündung des Sermilikfjords, nach Anoretok unter $61^{\circ} 35'$ Breite, 42° Länge getrieben, wo sie das Land am 29. Juli erreichte.

Die Trift dauerte also 11 Tage, und der entsprechende Bogen des größten Kreises, von welchem sie nicht besonders abwich, beträgt $4^{\circ} 22'$ oder 262 Seemeilen. Die mittlere Geschwindigkeit betrug somit fast 24 Seemeilen in 24 Stunden oder fast ein Knoten. Diese starke Geschwindigkeit kann nur in geringem Grade den an Ort und Stelle herrschenden Winden zugeschrieben werden. Nach den Beobachtungen, die allerdings mit Rücksicht auf die Zeit nicht homogen sind, wehte

N	25mal	mit einer durchschnittlichen Stärke von 1,3
NNE	4	„ „ „ „ „ 1,3
SSE	3	„ „ „ „ „ 1,0
S	7	„ „ „ „ „ 1,0
NNW	3	„ „ „ „ „ 1,0

und nahezu 40mal war Windstille. Der resultierende Wind wird fast Nord und seine Stärke äußerst gering. Die Geschwindigkeit des Stromes ist also wesentlich Ursachen zuzuschreiben, welche, was den Wind anbelangt, in andern Gegenden gesucht werden müssen.

II. Teil.

Geologische und hydrographische Ergebnisse.

Von Fridtjof Nansen.

Die Ostküste Grönlands.

Ein Versuch zur Erklärung ihrer Topographie.

Die Ostküste Grönlands ist eine in geographischer wie geologischer Hinsicht sehr interessante Landstrecke; sie ist ein typisches Bild der Küste eines Landes, das sich in der Eiszeit befindet. An vielen Stellen und oft auf lange Strecken geht das Inlandeis oder gehen seine mehr oder weniger lokalen Fortsetzungen gerade bis an das Ufer hinab, und der Küste entlang fließt der Polarstrom südwärts, mächtige Massen von Treibeis mit sich führend. Es ist eine echt arktische Landschaft, wo alle Kräfte in voller Arbeit zu sehen sind, und die einen Anblick darbietet, wie wahrscheinlich die Westküste Norwegens während einer gewissen Periode der Eiszeit ihn dargeboten hat.

Des Treibeises wegen, das die Küste blockiert, ist das Land schwer zu erreichen, und nur wenige Reisende haben es gesehen. Was wir bis jetzt davon wissen, verdanken wir meist der dänischen Küstenexpedition unter Leitung des Kapitäns G. Holm (1883—1885), der in Verbindung mit seinem Nächstkommandierenden, Leutnant Garde, uns eine ausgezeichnete Beschreibung sowie auch Karten der Küste bis zum 66. Breitengrad gegeben hat. Kapitän Holm hat außerdem nach den Berichten und Skizzen der Eskimos in Angmagalik, der nördlichsten von ihm besuchten Gegend, wo er überwinterte, eine Beschreibung und eine Kartenskizze der Küste nördlich vom 66. Breitengrad (bis ungefähr 68° 30' N. Br.) geliefert¹⁾. Diese letzte Strecke kennen wir sonst hauptsächlich nur von der Trift der Hansaleute auf dem Treibeis im Winter 1869/70 und aus den Messungen und Skizzen, die wir der Expedition des dänischen Orlogschoners „Ingolf“ unter Leitung des Kapitäns Mourier und seines Nächstkommandierenden Kapitäns Wandel (1879) verdanken²⁾. Grönlands Ostküste zwischen 69° und 70° N. Br. ist schon öfters besucht worden, dieser Teil der Küste interessiert uns aber hier nicht.

Während unsrer Reise in dem Schiffe „Jason“, besonders aber während unsrer Trift auf dem Treibeis der Ostküste entlang³⁾, hatte ich Zeit genug, dieses Land zu studieren und gelegentlich auch zu zeichnen. Da diese Skizzen, wie ich glaube, eine gute Vorstellung von der Topographie dieses Landes geben, so teile ich sie hier mit. (Taf. IV.) Um die Serien zu ergänzen, habe ich auch einige Skizzen von der Ostküste unter ungefähr 67° N. Br., die ich im Juli 1882 zeichnete, beigelegt. An Bord des norwegischen Robbenfängers „Vikings“ war ich damals 22 Tage lang (vom 25. Juni bis 17. Juli) im Treibeis einge-

¹⁾ Meddelelser om Grönland, Heft IX, Kopenhagen 1889.

²⁾ A. Mourier, Geografisk Tidsskrift IV, S. 47—60, Kopenhagen 1880 — C. F. Wandel, Meddelelser om Grönland VI, S. 1—32. — Eine kurze Darstellung der Entwicklung unsrer Kenntnis von der südlichen Ostküste Grönlands habe ich schon in meinem Buche: Auf Schneeschuhen durch Grönland I, Kap. X, gegeben. Siehe auch eine ähnliche Darstellung von C. Ryder in Geografisk Tidsskrift XI, S. 62—107, Kopenhagen 1891.

³⁾ Siehe davon Nansen, Auf Schneeschuhen durch Grönland, Bd. I, Kap. VII—IX, Hamburg 1891.

schlossen und kam der Küste bis auf etwa 50—60km Entfernung nahe¹⁾. Die hier mitgeteilten Skizzen umfassen sodann mit nur wenig Unterbrechungen die ganze Küste ungefähr von 67° bis 62° 8' N. Br. Die größten fehlenden Küstenstrecken liegen zwischen Skizze 3 und 4, ungefähr einen halben Breitengrad lang, und zwischen Skizze 6 und 7, welche sich ungefähr über einen Breitengrad (zwischen ca 64° 30' und ca 65° 30' N. Br.) erstrecken. Diese Teile habe ich zwar auch gesehen, ja die nördlichen sogar mehrmals, leider erlaubte mir die Zeit aber nicht, sie zu zeichnen. Die Skizzen sind teilweise, wo wir auf dem Treibeise waren, mit der Camera clara ausgeführt worden.

Wirft man einen Blick auf diese Skizzen, so wird es sofort in die Augen fallen, daß man da zwei verschiedene Landschaften vor sich hat. Die eine besteht aus einem stark zerrissenen Gelände mit hohen, kühnen Bergspitzen, tiefen Thälern, engen Fjorden und vielen Inseln, wovon die Skizzen 3, 4, 7, 8 und zum Teil 9 und 10 typische Abbildungen darbieten. Eine andre von ganz abweichender Beschaffenheit findet man in den Skizzen 1 und 5, auf der westlichen oder linken Seite der Skizze 6, zum Teil auch in der südlichen Partie von Skizze 3 (vgl. auch Skizze 2). Diese Teile bestehen aus einem flachen, verhältnismäßig niedrigen und beinahe ganz mit Schnee bedeckten Lande ohne stark zerrissene Formen zu bestehen; nur hier und da lugt die felsige Unterlage aus der Schnee- und Eisdecke hervor, gewöhnlich in abgerundeten und niedrigen Formen, bisweilen aber auch als höhere und kühnere Bergspitzen und Nunataken²⁾. (Vgl. Kiatak auf Skizze 5 und die Nunataken im Hintergrunde auf Skizze 1 etc.)

Die Ostküste zerfällt also in verschiedene Abschnitte. Auch auf einer Karte wird man dieselben Abschnitte, die durch die Gestaltung der Küstenlinie scharf hervortreten, sofort wiedererkennen. Schon Holm (und auch Garde) hat in seiner geographischen Beschreibung der Ostküste Grönlands auf diese merkwürdige Thatsache aufmerksam gemacht, indem er sagt³⁾:

„Wenn man die Ostküste Grönlands bis zum 66. Breitengrade betrachtet, so erscheint es natürlich, sie in 5 Abschnitte zu teilen, nämlich: 1) den südlichen Teil bis Auarket, 2) von Auarket bis Ikermiut, 3) von Ikermiut bis Igdloluarsuk, 4) von Igdloluarsuk bis Inigsalik und 5) die Strecke östlich von Inigsalik. Der südlichste, mittlere und nördlichste Abschnitt zeigen große Übereinstimmung miteinander, so wie auch die beiden dazwischen liegenden Abschnitte einander sehr ähnlich sind. Die Abschnitte 1, 3 und 5 sind von tiefen Fjorden durchschnitten und diese von hohen, gezackten Gebirgen umkränzt, die niemals vom Inlandeise bedeckt waren. — — — In den beiden dazwischen liegenden Partien ist das Verhältniß ein andres. Das Land ist sehr öde und das Inlandeis tritt so gut wie unmittelbar an das Meer und die Fjorde hinaus, nur einzelne abgerundete Berge und insulare Gebirgspartien freilassend. Während die Grenzen der nördlichsten und größten dieser eisbedeckten Partien bei Inigsalik und Igdloluarsuk bestimmt abgesteckt sind, ist bei der südlichen Partie nur die nördliche Abgrenzung bei Ikermiut eine scharfe; im 8 findet dagegen ein allmählicher Übergang von Kap Adelaer bis Iluilek statt — — —“.

Auf unsern hier mitgeteilten Skizzen sind diese Küstenabschnitte Holms sehr leicht zu erkennen, den südlichen Abschnitt, den wir nicht sahen, natürlich ausgenommen. Den nördlichen Teil von Holms Abschnitt 2 sehen wir auf Skizze 1. Holms nördliche Grenze

¹⁾ Siehe Nansen, *Geografisk Tidsskrift* VII, S. 76—79, Kopenhagen 1884. Siehe auch eine deutsche Übersetzung davon in „Die Natur“ desselben Jahres.

²⁾ Nunatak (pl. nunatat) ist die eskimoische Bezeichnung für eine Bergspitze oder eine kleinere oder größere Strecke nacktes Land, das aus dem Inlandeise hervorragt.

³⁾ Meddelelser om Grønland IX, S. 156—157. Vgl. auch S. 169 (Garde).

diesem Abschnitt tritt bei Mogens Heinesens Fjord (bei Ikermiut) in Skizze 1 und 2 sehr scharf hervor, doch sehen wir auf Skizze 3, daß nördlich von diesem Fjord, zwischen ihm und dem Tingmiarmiut-Fjord, noch ein Stückchen Land folgt, wo der Charakter des südlichen Teils noch nicht ganz verwischt ist, trotzdem eine kleinere Partie Alpenlandschaft (Skizze 2) auf der Nordseite von Mogens Heinesens-Fjords schon auftritt. Holms Abschnitt 3 (von Ikermiut oder besser von Tingmiarmiut bis Igdloluarsuk) sehen wir beinahe in seiner ganzen Ausdehnung auf Skizze 3 und 4 (der nördlichste Punkt von Skizze 4 befindet sich nicht weit von Igdloluarsuk). Von Holms Abschnitt 4 (von Igdloluarsuk oder Kap Mösting bis Inigsalik) sehen wir auf Skizze 5 den südlichen Teil, von Kap Mösting bis ungefähr Kap Löwenörn (in $64^{\circ} 30' N. Br.$), und auf Skizze 6 den nördlichsten Teil, westlich von Sermilik-Fjord, wo die scharfe Grenze zwischen dem flachen, eisbedeckten Lande und dem nur wenig ausgedehnten Alpen-terrain auf der Westseite des Sermilik-Fjords ziemlich in die Augen springt. Das zwischen Skizze 5 und 6 fehlende Stück der Küste hat ganz denselben Charakter wie das Land in Skizze 5 und in dem westlichen Teil von Skizze 6 (bei Inigsalik), nur ist es vielleicht noch öder und mehr mit Eis bedeckt, und noch seltener sieht man Nunatakken die weisse und hier auffallend ebene Fläche des Inlandeises durchbrechen¹⁾. Holms Abschnitt 5 (östlich von Inigsalik) zeigen uns die Skizzen 6 und 7. Wir können denselben aber noch weiter gegen N mindestens bis $67^{\circ} N. Br.$ ausdehnen, wie aus den Skizzen 8—11 ersichtlich ist. Das Land zwischen Skizze 8 und 9 hat ziemlich denselben stark zerrissenen Charakter wie Skizze 8. In den Skizzen 9 und 10²⁾ scheint es nicht so zerrissen zu sein wie in der Nähe von Kap Dan und Ingolfs Fjeld, es hat aber auch den typischen alpinen Charakter, und das Inlandeis ist bis in diese Breite vom Meere aus gar nicht sichtbar. Wie aus Skizze 11 hervorgeht, ist dies weiter nördlich (soweit als wir von unsrer Stelle [$66^{\circ} 50' N. Br., 32^{\circ} 35' W. L.$] im Juli 1882 sehen konnten) auch nicht der Fall; das Inlandeis verbirgt sich fortwährend hinter den Küstengebirgen, nur in den Lücken zwischen den Gebirgen sieht man bisweilen Gletscher in das Meer herabsteigen.

Daß das abwechselnde Auftreten zweier verschiedener Landschaftstypen auf Zufälligkeit beruht, erscheint im Vorhinein unannehmbar, es muß vielmehr eine bestimmte Ursache haben, und es liegt dann nahe, dieselbe in den Verschiedenheiten des geologischen Baues zu suchen.

Leider ist unsre Kenntnis der Geologie der Ostküste Grönlands noch mangelhaft; was wir aber davon wissen³⁾, unterstützt eine solche Vermutung kaum. In der Gesteinsbeschaffenheit der Gebirge wenigstens scheinen sich jene beiden Landschaftstypen nicht zu unterscheiden.

Einige Verhältnisse im südlichsten Ostgrönland weisen zwar auf einen derartigen Zusammenhang hin. Eberliens hat schon darauf aufmerksam gemacht⁴⁾, daß auf der Südseite des Kangerdluluk-Fjordes ($61^{\circ} 4' N. Br.$) das äußere Land, das aus Gneiß besteht, ziemlich flach ist und auffallend abgerundete Formen besitzt, während im Innern die Graahs-Berge, die aus Syenit bestehen, sich mit zerrissenen Formen plötzlich zu einer Höhe von 12- bis 1500 m erheben. (Siehe Fig. A, S. 56.) Hier scheinen also die Gebirgsarten teilweise die Topographie der Landschaft zu bedingen. Dasselbe scheint bei Kap Tordenskjold ($61^{\circ} 24' N. Br.$) der Fall zu sein, wo dieses aus Syenit bestehende Vorgebirge über die abgerundete, aus älterm Granit bestehende Umgebung zu einer Höhe

¹⁾ Eine gute Vorstellung von dem Charakter dieses Landes geben Fig. 6 (S. 81) und Fig. 16 (S. 196) in Meddeleiser om Grönland IX.

²⁾ Diese Skizzen sind vom Mast des „Viking“ (Juli 1882) mittels Teleskops gezeichnet, sie erscheinen also vergrößert.

³⁾ Vgl. Knutsens und Eberliens Beschreibung im „Meddeleiser om Grönland“, Heft IX.

⁴⁾ Meddeleiser om Grönland IX, S. 259.

von 677 m ansteigt. (Siehe Med. om Grönl. IX, Taf. X.) Die Gebirge in der Mitte des Lindenows-Fjords ($60^{\circ} 35' \text{ N. Br.}$, $43^{\circ} 48' \text{ W. L.}$) können auch hier genannt werden. Sie bestehen ebenfalls aus Syenit und erheben sich ca 1250 m über ihre, aus Gneifs bestehenden Umgebungen zu einer Seehöhe von 2300 m; sie sind die höchsten bekannten Gebirge in Ostgrönland südlich vom 66. Breitengrade. Dürften wir aus diesen vereinzeltten Beobachtungen einen Schluß ziehen, so wäre es der, daß der jüngere Syenit, der die ältern Gneifse und Granite als Eruptivgestein durchbrochen hat, hohe und zerrissene Formen bedingt. Wenden wir uns aber zu andern Stellen, so werden wir sehen, daß ein solcher Zusammenhang nicht besteht.

Bei Aluk ($60^{\circ} 8' \text{ N. Br.}$) haben wir z. B. eine Syenit-Landschaft (siehe Med. om Grönl. IX, Taf. IX) von ebenso niedrigen und abgerundeten Formen, wie sie irgendeine Gneifs- oder Granitlandschaft zeigt, nur die östlichste Insel, Aluk selbst, die zu einer Höhe von 510 m ansteigt, hat eine etwas mehr zugespitzte Form; aber auch diese muß noch als verhältnismäßig abgerundet bezeichnet werden. Ja selbst das früher genannte Kap Tordenskjold kann eigentlich zu den Rundformen gezählt werden, und erst die viel höhern Graabs-Berge sind mehr gezackt und zerrissen. Unter den Gneifs- und Granit-Gebirgen kann man aber ganz dieselben Formen finden, wenn sie nur hoch genug sind. (Vgl. Skizze 3 und 4.)

Schon hier scheint der Schluß nahe zu liegen, daß die Höhe des Landes den zerrissenen Charakter desselben bedingt. Gehen wir nordwärts der grönländischen Ostküste entlang, so werden wir überall die Richtigkeit dieses Schlusses bestätigt finden.

Das flache, abgerundete und eisbedeckte Land südlich vom Mogens Heinesens-Fjord und südlich vom Tingmiarmiut-Fjord (Skizze 1 und 3) besteht aus demselben Granit, wie die hohe, zerrissene Berggegend bei Tingmiarmiut, Umanak und weiter nordwärts. Ja in dem erstgenannten niedrigen und abgerundeten Küstenabschnitt, z. B. bei Kap Bille ($62^{\circ} \text{ N. Br.}$) und Kap Garde ($61^{\circ} 43' \text{ N. Br.}$), finden wir sogar Teile, die aus jüngerm Syenit bestehen; und dieselbe Gebirgsart sahen wir weiter südlich besonders hohe Gebirge bilden, während sie in der Tingmiarmiut- und Umanak-Gegend kaum nachgewiesen ist. Weiter gegen Norden setzt sich die Küste abwechselnd aus Granit, Gneifs, Gneifschiefer und an ganz vereinzeltten Stellen aus Hornblendeschiefer zusammen. Nirgends wird aber von Knutsen, der die Geologie dieser Gegend beschrieben hat¹⁾, Syenit erwähnt. Auch die Grenze zwischen der ausgeprägt flachen und eisbedeckten Küste von Kap Mösting bis Inigssalik und den hohen, zerrissenen Alpenlandschaften auf beiden Seiten werden durch keinen merkbaren Gesteinswechsel markiert. In den hohen wie in den niedrigen Partien findet man auf dieser Strecke Granit und Gneifs, von denen der letztere besonders vorherrscht. So z. B. scheint beinahe die ganze Angmagssalik-Gegend aus

Gneifs und Gneifsgranit zu bestehen; auf der Westseite des Sermilik-Fjords finden wir wieder Gneifs bis Inigssalik; und doch haben wir hier eine scharfe Grenze zwischen



Fig. A. Die Südküste des Kangerdluk-Fjords. (Nach einer Photographie von H. Knutsen in Med. om Grönl. IX, Taf. IX.)

¹⁾ Meddelelser om Grönland IX, S. 243 ff.

dem Alpenlande bei Sermilik-Fjord und Angmagsalik und dem niedrigen, eisbedeckten Lande bei Inigsalik und weiter südwärts (Skizze 6). In der verschiedenen geologischen Zusammensetzung der Gebirge können wir daher nicht die Ursache des auffallenden Unterschieds zwischen den beiden Küstentypen Ostgrönlands suchen.

Dagegen können wir als Regel für die ganze Küste festsetzen, daßs das Land überall, wo es hoch ist, auch stark zerschnitten und zerrissen ist, mit hohen kühnen Bergspitzen und tiefen engen Thälern und Fjorden dazwischen, während dort, wo es niedrig ist, die Küstenlinie viel weniger Einschnitte zeigt, nur wenige und relativ breite und seichte Fjorde zu finden sind, und das niedrige Land, das aus der Eis- und Schneedecke hervorragt, auffallend abgerundete Formen¹⁾ besitzt, nur daßs die höhern Nunatakken auch hier mehr zugespitzt und gezackt sein können²⁾, wie z. B. Kiatak und Anikitsok bei Umivik, oder die Nunatakken auf Skizze 1 &c. (vgl. auch das Land auf der Südseite von Kangerdluluk, Fig. A, S. 56). Wenn jemand dagegen einwenden würde, daßs dieser Unterschied nur scheinbar ist, daßs das flachere und weniger zerschnittene Aussehen und die weniger eingesechnittene Küstenlinie des niedrigen Landes nur daher kommt, daßs alle Unebenheiten, Thäler und Fjorde mit Schnee und Eis ausgefüllt sind, so mußs man ihm zum Teil recht geben; denn die Eis- und Schneedecke hat wirklich viele Unebenheiten ausgefüllt, und man kann die Küstenlinie des festen Landes an vielen Stellen nicht verfolgen, da sie sich unter der Eisdecke, die sich in das Meer ergießt, verbirgt. Könnte man diese Eisdecke entfernen, so würde die Küstenlinie ganz anders eingesechnitten erscheinen als jetzt. An vielen Stellen können wir aber auch jetzt die Küstenlinie des festen Landes auf lange Strecken hin verfolgen, so z. B. nördlich vom Kap Mösting. Hier können keine bedeutenden Fjorde unter dem Eise vorhanden sein, denn erstens ragt das feste Land zum Teil noch hervor, oder man sieht es unter dem Schnee und Eise liegen; und zweitens würden, wenn größere Fjorde unter dem Eise vorhanden wären, jedenfalls an ihren Mündungen Gletacher in das Meer sich ergießen, wie es bei allen bekannten Fjorden, die bis an das Inlandeis reichen, der Fall ist.

Wie es sich aber auch verhalten möge, soviel steht jedenfalls fest, daßs das niedrige Land überall, wo wir es sehen können, abgerundete, wenig zerrissene Formen zeigt; ja dasselbe ist auch der Fall an solchen Stellen, wo die Eisdecke schon lange verschwunden ist (s. Fig. A, S. 56; vgl. auch Fig. B von der Westküste).

Da alles niedrige Land entweder jetzt unter der Eis- und Schneedecke begraben oder früher einmal davon bedeckt gewesen ist, und da die Küstengebirge mit Höhen von 12- bis 1900 m während der letzten Eisperiode jedenfalls nicht unter der Eisdecke begraben waren, so können wir das oben festgestellte Resultat auch so aussprechen: Alles Land Ostgrönlands, das von der Eis- und Schneedecke bedeckt gewesen ist, ist verhältnismäßig flach und hat abgerundete Formen, während diejenigen Partien, die so hoch sind, daßs sie zum größern Teil über die Eisdecke hervorragen konnten, stark zerschnitten und zerrissen sind und hohe, zugespitzte Formen besitzen.

Nun kommen wir aber zu der schwierigen und viel diskutierten Frage: Welche Kräfte haben dieses hohe Land zerschnitten und die Thäler und Fjorde desselben gebildet?

Daßs hier Falten, Dislokationen und Spalten die Hauptrolle spielten, kann kaum zugegeben werden, denn erstens giebt es keinen Grund anzunehmen, warum diese Kräfte gerade im hohen Land so auffallend viel stärker als im niedrigen gewirkt haben sollten, und zweitens scheinen die faktischen Verhältnisse, wie wir sie jetzt kennen, auch nicht einen solchen Schluss zu erlauben.

¹⁾ Vgl. Meddelelser om Grönland IX, Fig. 6, S. 81; Fig. 16, S. 196.

²⁾ Vgl. Meddelelser om Grönland IX, Fig. 14, S. 185.

Knutsen meint, seinem großen Lehrer Kjerulf folgend, daß die Fjorde Ostgrönlands sich nur als Spalten oder Dislokationslinien erklären lassen. Indem er von der südlichsten Ostküste spricht, sagt er, daß die Fjorde ein System von unter sich parallelen Spalten zu sein scheinen. An einer andern Stelle schreibt er, daß, „als der Syenit im südlichsten Grönland hervorbrach, der schon erstarrte Teil des Granits verschoben und in Gneifs umgewandelt wurde. Die Hauptspalten sind an der Westküste die nach SSW und an der Ostküste die nach OSO streichenden Fjorde. Senkrecht auf diese Fjordrichtungen steht die Richtung der Thäler und der kleinern Seitenfjorde.“ Die ganze Zerspaltung sollte also nach einem Diaklasensystem vor sich gegangen sein. Knutsen scheint aber nicht darauf aufmerksam geworden zu sein, daß die Verhältnisse, die er selbst beschreibt, eine solche Erklärung unmöglich machen. Wäre es der Syenit gewesen, der durch sein Hervorbrechen die umgebenden erstarrten Granitmassen (oder Gneißmassen?) zerspalten und dadurch die Fjorde und Thäler geschaffen hat, so kann doch nicht die Syenitmasse selbst von diesen „Spalten“ durchsetzt werden. Den tiefen Lindenoa-Fjord ($60^{\circ} 30' \text{ N. Br.}$) sehen wir aber zuerst den Gneiß und dann weiter im Innern die 2300 m hohen Syenitmassen durchschneiden. Etwas ähnliches scheint auch bei den südlichen Fjorden Ikerasarsuaq ($60^{\circ} 3' \text{ N. Br.}$) und Kipisako ($59^{\circ} 57' \text{ N. Br.}$) der Fall zu sein; sie durchbrechen beide den an ihren Mündungen liegenden Syenit. Andre Dislokationen, die die Fjorde gebildet haben könnten, sind in Ostgrönland ebenfalls nicht nachgewiesen, und somit muß man wohl vorläufig diese Erklärung fallen lassen und andre Kräfte suchen, um die topographischen Verhältnisse zu erklären. Es bleiben uns aber nur noch übrig die Verwitterung und die Erosion.

Um die Verwitterung zuerst zu erörtern, ist es wahrscheinlich, daß sie allein solche landschaftliche Gegensätze, wie sie wiederholt geschildert wurden, erzeugen kann? Knutsen sagt¹⁾: „In Gegenden, die fern vom Inlandeise liegen, zeichnen sich die Gebirge durch alpine Formen, scharfe, spitze Zacken, verwitterte Gehänge und große Schutthalden (nordwegisch ‚Uren‘) aus. Dagegen waren die Gebirge dort, wo das Inlandeis gerade zurückgegangen war, niedrig, abgerundet, ganz glatt und unverwittert. — — — — — Man erhält unwillkürlich den Eindruck, daß das, was auf die Gebirge zerstörend wirkt, das Klima ist, welches einer Eiszeit vorausgeht und nachfolgt, und zwar durch den Wechsel von Tauen und Frost. Das Eis selbst wirkt nur als Transportmittel und schützt dann den unterliegenden Felsen gegen weitere Zerstörung.“ Wie ist dies aber zu verstehen? Wenn man seine Worte buchstäblich auffassen wollte, könnte man sie dahin deuten, daß das hohe Land zu seiner jetzigen Höhe erst nach dem Schwinden des Inlandeises erhoben und dann durch die Verwitterung zerschnitten wurde. Dies hat er doch wohl eigentlich nicht gemeint, aber doch sollte man erwarten, daß das vom Inlandeise gegen die Vernichtung geschützte Land das höchste sei, während das nackte Land, das der Verwitterung und Zerstörung lange Zeit ausgesetzt war, niedriger sein müßte, vorausgesetzt, daß sie ursprünglich ungefähr dieselben Höhen hatten.

Nach der Meinung Knutsens soll also ein kaltes Klima allein die Bedingung eines zerschnittenen Geländes sein, während das Inlandeis mit seinen Gletschern zwar das durch die Verwitterung losgelöste Material wegführt, aber sonst den Untergrund schützt. Wäre dies aber der Fall, so sollte man erwarten, an andern Stellen, wo zwar ein kaltes Klima herrscht, aber keine Eiszeit war, wie z. B. in Sibirien, auch eine solche Oberflächen-gestaltung zu finden. Dies ist aber durchaus nicht der Fall. Und wie könnte Vergletscherung nach Theorien, wie diejenigen Knutsens und andrer Geologen, die Zerissenheit eines Landes vergrößern? Die Eisdecke schützt ja den niedrigen Untergrund gegen die Denudation, während die hohen Bergspitzen (Nunatakker), die über die Eisdecke hervorragen, einer außerordentlich starken Verwitterung ausgesetzt sind. Auf diese Weise

¹⁾ Meddelelser om Grönland IX, S. 248.

können die Unebenheiten nicht vergrößert werden, im Gegenteil: sie müssen vermindert werden, denn die Nunatakker werden durch die starke Verwitterung schnell erniedrigt, während ihre Umgebung durch die Eisdecke geschützt ist. Daraus würde sich also der Schlufs ergeben: Ein vergletschertes Land ist weniger zerschnitten und zerrissen, als ein nicht vergletschertes; Grönland, Norwegen, die Schweiz müssen flacher und einförmiger sein als andre Länder.

Leider haben wir uns schon ziemlich lange bei dieser Theorie aufgehalten; das hier Gesagte ist hoffentlich hinreichend, um ihre Unhaltbarkeit zu erweisen. Zwar kann die Verwitterung die einzelnen Formen zuspitzen und kühner gestalten, sie reicht aber nicht aus, um die Zerrissenheit der vergletscherten Länder zu erklären.

Meines Erachtens ist die durch das Inlandeis und seine Gletscher bewirkte Erosion und Denudation allein im stande, eine befriedigende Erklärung dieser Verhältnisse zu geben. Wenn man die Ostküste Grönlands mit ihren vielen Gletschern sieht, so wird, glaube ich, kaum jemand im Zweifel sein, daß hier das Eis einen bedeutenden Einfluß auf die Oberflächengestaltung ausgeübt hat. Das Eis hat allerdings nicht allein die Thäler und Fjorde gebildet, denn Grönland war vor der Eiszeit ebenso wenig wie Länder, die keine Eiszeit gehabt haben, ganz flach und eben; es hatte auch damals Gebirge, Thäler und Meerbusen, die aber nicht so tief und lang waren wie die jetzigen Thäler und Fjorde. Durch die Wirkungen der Eisdecke und der davon ausgehenden Gletscher wurden sie ausgetieft und verlängert und erhielten ihre jetzigen Formen, während die Gebirge, welche die Eisdecke nicht überragten, abgerundet und geschliffen wurden.

Was unter der Eisdecke und den Gletschern vor sich geht, entzieht sich freilich der unmittelbaren Wahrnehmung; daß sie aber den Untergrund bearbeiten müssen, beweisen schon die Grundmoränen, die das grönländische Inlandeis an die Küsten führt, und die großen Mengen von Schlamm, die alle vom Inlandeise kommenden Flüsse mitführen, und die Helland für viele grönländische wie norwegische Gletscherflüsse bestimmt hat. Es würde uns hier zu weit führen, die Erosionsweise der Eisdecke zu diskutieren; ich will nur vorläufig als meine Meinung aussprechen, daß wir es hier mit einer kombinierten Eis- und Wassererosion zu thun haben. Das Eis transportiert das lose Material, wie es auch Steine und Blöcke von dem Untergrunde losbricht, und das unter der Eisdecke fließende Wasser übt einen ähnlichen Einfluß aus, indem die in geschlossenen Kanälen und unter einem ungeheuren Druck sich bewegenden Flüsse eine bedeutende Erosionskraft besitzen müssen. Aber wie sich dies auch verhalten möge, wir müssen jedenfalls die Thatsache anerkennen, daß eine Eisdecke eine erodierende Arbeit ausübt¹⁾. Die vorglazialen Unebenheiten mußten aber diese Arbeit regulieren. Das vom Innern des Landes gegen die Küsten sich bewegende Eis wurde vorzugsweise durch die Thäler geleitet, und seine Erosionskraft wurde daher zum großen Teil auf diese Thäler konzentriert.

Wie das Land vor der Eiszeit uneben war, so muß man auch voraussetzen, daß es nicht überall dieselbe Höhe hatte; einige Gegenden, wie bei Angmagalik und Tingmiarmiut, waren hoch, andre, wie bei Inigsalik, Pikiutdlek, Umivik &c., waren niedriger. Als die Eisdecke wuchs, konnte sie in diesen niedrigen Gegenden leicht alles Land bis an die Küste überschwemmen, nur ganz vereinzelte Bergspitzen ausgenommen. Hier wurden also nicht allein die Thäler, sondern es wurde alles Land dem denudierenden Einfluß der Eis-

¹⁾ Darauf, daß mehrere hervorragende Geologen, die aber wesentlich nur die Gletscher in der Schweiz untersucht haben, einer andern Meinung sind und zum Teil sogar bei Vergletscherung eine Stagnation der Thalbildung annehmen, darf, wie ich glaube, nicht zu viel Gewicht gelegt werden; man muß sich nämlich erinnern, daß die Verhältnisse in der Schweiz ganz andre sind als z. B. in Grönland; die Gletscher bewegen sich hier nach ganz andern Prinzipien, und die gewöhnlichen Vorstellungen von der Bewegung der grönländischen Gletscher sind daher auch ziemlich falsch. Die Beweise für die unbedeutende Erosionskraft der Gletscher, die Heim in seinem „Handbuch der Gletscherkunde“, Abchn. VII, beigebracht hat, sind ja auch nur sehr wenig überzeugend.

decke unterworfen; daher die runden Formen der Berge, daher die minder eingeschnittene Küstenlinie in diesen Gebieten.

In den Gegenden mit hohen Küstengebirgen konnte aber das Eis sich nicht über das ganze Land ausbreiten und war auf seiner Wanderung zum Meere gezwungen, sich durch die Thäler als Eisströme oder Gletscher leiten zu lassen. An diesen Stellen wurde also die Wirkung des Eises auf die Thäler beschränkt. Diese wurden fortwährend ausgetieft und Fjorde gebildet, während die Gipfel der Gebirge durch die starke Verwitterung zugespitzte und gezackte Formen erhielten. An ihren Abhängen und besonders auf allen horizontalen Absätzen bildeten sich lokale Gletscher und kleinere Schneeanhäufungen, die ebenfalls den Untergrund erodierten und die Formen noch mehr zerrissen machten¹⁾. Als das Inlandeis sich etwas zurückzog, hinterließ es, wie in der Angmagalik- und Tingmiarmiut-Gegend, ein stark zerschnittenes Gelände mit tiefen Fjorden und Thälern. Diese Gegenden sind daher recht typisch für Landschaften, wo die Erosion der lokalen Gletscher und Schneeanhäufungen im Verein mit dem häufigen Wechsel von Tauen und Frost einen sehr starken Einfluß ausgeübt hat. In den Formen der Skizzen 6 und 7 (wie auch 3, 4, 9, 10) wird man sofort die Wirkungen desselben erkennen können.

In den flachern Gegenden findet man dagegen nur da mehr alpine und zerrissene Formen, wo es Gebirge gibt, die über die Eisdcke hervorragen konnten. Als Beispiele können genannt werden Anikisok und Kiatak bei Umivik²⁾, mehrere Nunatakken auf der Kolberger Heide, die Nunatakken bei Mogens Heinesens-Fjord³⁾, Graahs-Berge &c. Die Umgebungen dieser Gebirge wurden stark denudiert, diese selbst aber nur durch lokale Schnee-Anhäufungen und kleine lokale Gletscher erodiert; dadurch haben sie ihre scharfen alpinen Formen erhalten, während die Umgebungen abgerundet erscheinen. (Fig. A, S. 56.)

Alle Teile dieses Landes werden folglich denudiert, Material wird fortwährend überall ins Meer hinausgeführt, auf die hohen Teile des Landes wirkt die starke Verwitterung wie auch die Erosion durch lokale Gletscher —, auf die niedrigen Teile wirkt die Erosion der Randgletscher des Inlandeises, oder sie hat gewirkt. Da die letztgenannte Denudationsart

die stärkste ist und über das ganze niedrige Land sich ausbreitet, so wird der Höhen-

¹⁾ Wie schon Amund Helland nachwies, haben die kleinen Schneeanhäufungen auf allen horizontalen Absätzen in den Gebirgen eine besondere Bedeutung dadurch, daß sie während der ganzen Zeit der Schneeschmelze die Bergabhänge nafs erhalten. Wo ein häufiger Wechsel von Tauen und Frost ist, hat dieses Schmelzwasser natürlich einen stark erodierenden Einfluß auf die Abhänge, und die Arbeit der Schneeanhäufungen geht folglich dahin, perpendikuläre Bergwände zu schaffen.

²⁾ Vgl. Abbildungen in: Auf Schneeschuhen durch Grönland II, S. 8. 81 und 83.

³⁾ Vgl. Meddelelser om Grönland IX, Fig. 14, S. 185.

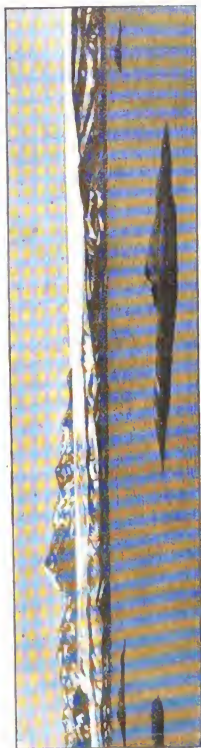


Fig. B. Frederikshaabs Iobliak (oder Gletscher) an der südlichen Westküste Grönlands (ca 68° 30' N. Br.).
Nach einer Photographie von C. Rysberg.

unterschied zwischen diesem und dem hohen Lande, sei er auch vor der Eiszeit noch so bedeutend gewesen, fortwährend vergrößert. In der Weise kann man sich vielleicht auch zum Teil die scharfe Grenze zwischen den verschiedenen Küstenabschnitten erklären, denn als die Küstengebirge noch so hoch waren, daß sie die Eisdecke überragen konnten, waren sie ganz andern Erosionsbedingungen unterworfen. Man vergleiche z. B. Skizze 6 (Taf. IV). Das Land bei Inigalik erscheint hier niedrig und ganz abgerundet, während das höhere Land an der Westseite des Sermilik-Fjords einen alpinen Charakter besitzt. Von welcher großer Bedeutung die Höhenverhältnisse für den Charakter des Landes sind, kann man auch aus Fig. B, S. 60, „Frederikshaabs Isblink“ oder Frederikshaabs-Gletscher an der Westküste Grönlands (auf $62^{\circ} 30' N. Br.$) deutlich ansehen. Das niedrige Land im Vordergrund, das verhältnismäßig kürzlich vom Eise verlassen ist, erscheint hier auffallend abgerundet und poliert, während die etwas höheren Nunataken im Hintergrunde, die den Gletscher eine längere Zeit überragt haben, schon in alpine Formen sich umzuwandeln beginnen, trotzdem sie noch deutlich zeigen, daß sie auch einmal vom Eise bedeckt und abgerundet worden sind.

Ehe ich die Ostküste Grönlands verlasse, will ich noch auf die Bildung der Fjorde und Thäler derselben etwas näher eingehen. Wer einen Blick auf eine Karte der Südspitze Grönlands wirft, muß auf den merkwürdigen Parallelismus der Fjorde und Thäler aufmerksam werden. Wie schon Holm bemerkt¹⁾, gehen alle größeren Fjorde der Ostküste südlich von $61^{\circ} 30' N. Br.$ in einer beinahe parallelen Richtung O zu $S \frac{1}{4} S$, wie Anoritok, Auarket, Ingileit, Kangerdluluk, Iluilek, Patursok, Kutek, Kangerdlugsuatsiak (Lindenows-Fjord) und Ikerasarsuak. Die südlichsten Fjorde Kipisako und Ikek haben eine ein wenig südlichere Richtung. „Diese Fjordrichtung“, sagt Holm, „wird in der Gegend um Kangerdlugsuatsiak ($60^{\circ} 30' N. Br.$) von einer zweiten Richtung, S zu $O \frac{1}{2} O$, geschnitten, welcher alle Seitenarme dieser Fjorde wie auch der See innerhalb Narsak folgen. In derselben Richtung geht das große Gletschererfüllte Thal im Innersten des Ilua-Fjords sowie auch der Seitenarm des letztern, Kangukitsok, in dessen Verlängerung ein großes Thal gegen Tasermiutsiak aufsteigt. Auf dem entsprechenden Teile der Westküste haben die Fjorde dagegen eine ungefähr südwestliche Richtung, die nördlichen SW zu W und die südlichen SW zu S. Die Fjorde Tunugdliarfik, Igaliko und Agdluitsok haben Seitenarme, die derselben Richtung, wie diejenigen Kangerdlugsuatsiaks folgen, nämlich S zu $O \frac{1}{2} O$, und von denen jedes in der Verlängerung des andern liegt, so daß sie nur durch verhältnismäßig niedrige Landstrecken getrennt sind.“

Zwar sind die Karten von Grönland kaum so genau, daß wir die Richtungen der Fjorde und Thäler mit mathematischer Genauigkeit bestimmen können, und besonders ist dies bei den Karten der Ostküste der Fall, da ja dieselben während verhältnismäßig kurzen Expeditionen angefertigt werden mußten, indessen scheint es doch aber, als ob wir hier einen auffallenden Parallelismus haben, und derselbe dürfte wohl kaum auf reinen Zufälligkeiten beruhen. Knutsen hat ihn, wie wir schon gesehen haben, als ein Diaklassensystem erklärt. Die Fjorde wären demnach untereinander parallele Spalten²⁾; aber diese Theorie ist schon oben als unhaltbar dargethan worden.

Knutsen macht aber auf ein scheinbar interessantes Verhältnis aufmerksam, nämlich daß die Diabasgänge, die in Südgrönland in großer Menge auftreten, dieselbe Richtung besitzen wie die Fjorde, „so daß man einen und denselben Gang längs der ganzen Küste des Fjords einwärts verfolgen kann. Es gibt auch ein paar andre Systeme von Gängen, welche die ersten kreuzen und die Richtung der Thäler, welche die Fjorde miteinander verbinden, angeben. Beispiele sind die Kangerdlugsuatsiak- und Nanusek-Fjords und die

¹⁾ Meddelelser om Grönland IX, S. 166.

²⁾ Meddelelser om Grönland IX, S. 241 ff.

Thäler, welche die beiden verbinden⁴. Diese Beobachtung Knutsens glaube ich zum Teil bestätigen zu können. Zwar habe ich kein hinlängliches Material, um eine bestimmte Behauptung aussprechen zu können, und ein solches scheint auch Knutsen nicht zu Gebote zu stehen. Ich glaubte aber öfter einen auffallenden Zusammenhang zwischen den topographischen Verhältnissen des Landes und den Richtungen der deutlichen dunklen Diabasgänge beobachten zu können.

Auf der geologischen Karte der südlichen Ostküste in Meddeleiser om Grönland (Heft IX, Taf. XVI) kann man sehen, wie z. B. die Gänge bei Auarket ($61^{\circ} 19' N. Br.$), Kekertarsuak ($61^{\circ} 38' N. Br.$) und Kap Rantzau ($61^{\circ} 46' N. Br.$) eine bestimmte west-östliche Richtung haben, die derjenigen der Fjorde ziemlich parallel ist. Der Gang bei Kap Rantzau, der auf eine sehr lange Strecke westwärts bis Napasorsuak zu beobachten ist, hat zwar eine um einige Grade nördlichere Richtung, aber der Napasorsuak-Fjord hat auch eine starke Krümmung in dieser Richtung hin. Bei Puitsortok finden wir einen Gang, welcher genau der nördlichen Grenze des Gletschers folgt. Die Gänge bei Ekalungmiut ($62^{\circ} 28' N. Br.$) und Tingmiarmiut stehen auch, wie es scheint, in einem bestimmten Verhältnis zu der Richtung der Küste. Auch weiter gegen Norden beobachteten wir sehr oft Gänge, deren Richtungen wir leider keine Zeit hatten zu untersuchen. Bei Umivik sahen wir einen mächtigen Diabasgang den hohen Berg Kiatak, sowie auch unsern Zeltplatz am Nordenskiöldes Nunatak quer durchsetzen; die Richtung war ungefähr NW—SO, also der Küstenrichtung an dieser Stelle, wie auch dem Kagsortok-Fjord ziemlich parallel. Auf der Nordseite des Pikiutdele-Fjordes ($65^{\circ} N. Br.$) hatten die Diabasgänge nach Knutsen auch eine Richtung von NW—SO, welche Richtung man auch in den Formen des nackten Landes und der Küstenlinie wiederfindet. In der Angmagsalik-Gegend fand Knutsen auf der Erik den Rødes-Insel ($65^{\circ} 48' N. Br.$) Diabasgänge, die NO—SW gingen, einer Richtung, die, wie es scheint, in der Hauptrichtung der Küste wiederkehrt. Auf der Insel Nunakitit ($65^{\circ} 59' N. Br.$) in Sermiligak-Fjord sah er mächtige Pegmatitgänge in der Längsrichtung der Insel, das ist beinahe N—S, also identisch mit der Richtung des Fjordes.

Es darf aber nicht verhehlt werden, daß öfters auch Gänge auftreten, die in keiner Verbindung mit den Richtungen der Fjorde oder der Küstenlinie stehen. Sie scheinen aber doch verhältnismäßig seltener zu sein.

Ist nun das scheinbare häufige Zusammenfallen der Richtungen der Gänge und der der Fjorde, der Küstenlinie oder der Formen des Landes mehr als eine Zufälligkeit? Obschon wir kaum genug Beobachtungsmaterial besitzen, so glaube ich doch, daß die Wahrscheinlichkeit für einen ursächlichen Zusammenhang spricht.

Daß die Richtung der Gänge in einer gewissen Verbindung mit einem Diaklasensystem steht, ist wahrscheinlich, sonst kann man sich wohl die Geradlinigkeit der ganz engen Diabasgänge auf langen Strecken hin kaum erklären. Der Diabas ist vermutlich durch Diaklasen-Spalten ausgeströmt. Die am stärksten hervortretenden Diaklasen sind also eine Art von Schwächelinien, längs welcher jede zerstörende Kraft, sei es Verwitterung, Wasser-Erosion oder Eis-Erosion, vorzugsweise Angriffspunkte finden kann. Besonders muß an solchen Stellen, wo das Gestein sehr leicht spaltbar ist, ein häufiger Wechsel von Tauen und Frost starken Einfluß ausüben. Körnerup hat die Bedeutung der Diaklasen für die Bildung der Fjorde und Thäler scharf hervorgehoben¹⁾. Es scheint aber, als ob die Geologen seinen Anschauungen nicht viel Aufmerksamkeit schenken wollen. Stenstrup, der ja so große Verdienste um die Untersuchung der Westküste Grönlands hat, sagt, daß die Diaklasen für die Bildung der Fjorde keine Bedeutung haben können,

¹⁾ Meddeleiser om Grönland II, S. 162—181.

weil sie alle möglichen Richtungen besitzen; er scheint den Gletschern allein die Bildung der Fjorde überlassen zu wollen.

Ich meine zwar auch, daß das Eis und die Gletscher von großer Bedeutung sind — Stenstrup hat ja das selbst durch seine wichtigen Untersuchungen der jungen Trapp- und Sandsteinformationen in Nordgrönland bewiesen —; aber ich glaube zugleich, daß man diese Diaklassen nicht ganz außer acht lassen darf. Die Diabasgänge an der Ostküste Grönlands dürften vielleicht beweisen, daß an einigen Stellen mehr Regelmäßigkeit in den Richtungen der Diaklassen herrschen kann, als Stenstrup zu glauben scheint.

Es ist wohl auch nicht unwahrscheinlich, daß an vielen Stellen die Diaklassen so stark ausgebildet sind, daß sie der Verwitterung wie auch der Wassererosion einen großen Vor- schub leisteten, indem das Gestein auch in größeren Tiefen den Diaklassen entlang gespalten ist. An solchen Stellen müssen die Verwitterung und die Erosion vorzugsweise längs der Hauptdiaklassen wirken, und schon lange vor der Eiszeit wurden da, sofern die Oberflächenverhältnisse des Landes es sonst erlaubten, Vertiefungen und Rinuen in der Richtung der Diaklassen gebildet. In diese Rinuen wurde nun das Wasser geleitet, die Erosion wurde dadurch vergrößert, und je tiefer die Rinuen wurden, desto stärker die Erosion und die Wirkungen der Verwitterung. Besonders aber strömte durch diejenigen Rinuen, die abwärts gegen die Küste führten, viel Wasser, und hier erreichte folglich die Erosion ihren Höhepunkt. Hier wurden allmählich wirkliche Täler gebildet.

In dieser Weise wurde das Land schon lange vor der Eiszeit verwittert und erodiert, und Vertiefungen und Täler wurden auch da, wo es früher keine gab, ganz langsam und allmählich gebildet. Die Richtungen dieser Vertiefungen und Täler konnten aber nicht allein von denjenigen der Diaklassen abhängig sein, denn sie werden ja u. a. auch durch die Höhenunterschiede sehr stark beeinflusst; auch war vor Beginn der Erosion die Erdrinde in verschiedener Weise gefaltet, Gebirge waren durch Hebungen großer Massen gebildet worden, und von großer Bedeutung für die Bildung vieler präglazialer Täler und Fjorde sind gewiß Dislokationen, Verschiebungen oder Verwerfungen gewesen. In den wenigen Fjorden in Norwegen, die in dieser Beziehung genau untersucht wurden, hat man immer Dislokationen gefunden. So ist es z. B. durch Prof. Brøggers Untersuchung des Christiania-Fjords bewiesen, daß die erste Anlage dieses Fjords zum großen Teil Dislokationen zu verdanken ist. Dislokationslinien folgen natürlich sehr oft die Diaklassen, häufig schlagen sie aber auch andre und davon ganz unabhängige Richtungen ein. Daher können wir nicht erwarten, in der Anordnung der präglazialen Täler eine genau mathematische Regelmäßigkeit zu finden, wenn auch ein gewisser Parallelismus herrschte, wie in den jetzigen Fjorden. Erinnerung muß auch daran werden, daß die Diaklassen in der Regel nicht auf größere Strecken hin parallel sind.

Dann kam die Eiszeit. Auf den Gebirgen im Innern des Landes fingen Gletscher an sich zu bilden. Sie breiteten sich aus; zuletzt war das ganze Innere unter einer Eisdecke begraben, und durch die Täler strömte das Eis gegen die Küste. Von diesen Eisströmen und den unter ihnen laufenden Wasserströmen wurde nun die Ausarbeitung und Austiefung der Täler, die früher von Wasserströmen und Verwitterung allein besorgt wurde, mit noch größerer Kraft fortgesetzt. Die Arbeit des Eises wurde folglich durch die präglazialen Täler und Fjorde reguliert und die Richtung dadurch angegeben. Das Resultat dieser Arbeit war natürlich von den Gebirgsarten sehr abhängig. An Stellen, wo der Untergrund aus weichen oder stark schieferigen Gebirgsarten besteht, kann das Eis viel leichter arbeiten als an solchen Stellen, wo nur harte und widerstandsfähige Gebirgsarten vorhanden sind. Wo verschiedene Gebirgsarten auftreten, kann die ursprüngliche Richtung wie auch Form eines Thales oder Fjords stark verändert werden.

Aber auch die Diaklassen müssen während der Arbeit des Eises von Bedeutung sein; ein solcher Untergrund bietet dem Eise mit seinen von der Verwitterung gebildeten, her-

vorstehenden, eckigen Blöcken viele Angriffspunkte; die Blöcke werden losgerissen, und neue ähnliche Angriffspunkte, von denen neue Blöcke losgerissen werden, erscheinen. Da die Blöcke sich vorzugsweise nach Spaltungsebenen, die den Diaklassen folgen, lösen, so müssen die nächsten Blöcke vorzugsweise in der Verlängerung der vorausgehenden, das ist in der Richtung der Hauptdiaklasse und nicht auf den Seiten derselben, wo keine Angriffspunkte vorhanden sind, losgebrochen werden. Da nun wieder die Thäler zum Teil der Richtung der Hauptdiaklassen folgen, so wird die Eiserosion vorzugsweise in dieser Richtung fortgesetzt. Natürlich wird diese Richtung auch durch andre Verhältnisse modifiziert, besonders durch die Bewegungstendenz der Eisströme. Wenn z. B. ein Thal an der Ostküste ursprünglich eine nordöstliche Richtung hatte und der innere Druck der Masse des Inlandeises die Randgletscher in östlicher Richtung weiterführen wollte, so hätte zwar der Gletscher dieses Thals, wenn er nicht sehr mächtig war, der Thalrichtung folgen müssen, aber er hätte vorzugsweise die südöstliche Seite des Thals bearbeitet, um ihm womöglich eine rein östliche Richtung zu geben. Die Hauptrichtung beinahe aller Fjorde in Grönland geht ja auch direkt vom Innern des Landes gegen die Küste, wie man es auch von dem innern Druck des Inlandeises erwarten muß. Eine bemerkenswerte Ausnahme bildet aber der große Sermilik-Fjord an der Ostküste, der beinahe von NNO nach SSW oder parallel der Hauptrichtung der Küstenlinie verläuft. Wie läßt sich die Bildung eines solchen mächtigen Fjords erklären?

Da dieser Fjord größer ist als alle andern Fjorde, der südlichen Ostküste Grönlands, und außerdem eine von allen andern — nur den benachbarten Sermiligak-Fjord ausgenommen — abweichende Richtung besitzt, so ist wohl schon daraus zu schließen, daß hier besondere lokale Verhältnisse mitgewirkt haben. Leider kennen wir sehr wenig von der Geologie dieser Gegend, aber aus dem Wenigen, was Knutsen davon sagt, geht doch schon hervor, daß die Gneisschichten an der Ostseite des Fjords in der Richtung NNO—SSW, also genau parallel mit dem Fjord streichen. Unmöglich ist es nicht, daß wir schon hierin eine mitwirkende Ursache zu erblicken haben. Wenn man auch nicht den Fjord nur durch Dislokation erklären will, so hat doch wohl die Streichrichtung der Schichten einen noch größeren Einfluß auf die Richtung der Erosion, als die Diaklassen. Ein andres Moment ist vielleicht auch darin zu suchen, daß das Inlandeis früher eine weitere Ausbreitung hatte (es ist ja nicht ganz unmöglich, daß es einmal über die Dänemarkstraße bis nach Island reichte, wenn es auch nicht wahrscheinlich ist). Während einer solchen Periode größerer Ausbreitung mußte der innere Druck der Eismasse den Randgletschern gerade in der Gegend des Sermilik-Fjordes eine viel südlichere Richtung als jetzt geben, und während dieser Periode mit mächtigen Gletschern wurde vielleicht der Sermilik-Fjord wie auch viele der andern kleinern Fjorde dieser Gegend (wie Sermiligak) zum Teil ausgetieft und gebildet. Auf die Fjordrichtung der südlichen Ostküste scheint diese größere Ausbreitung des Inlandeises nicht viel Einfluß ausgeübt zu haben, da die Richtung der Gletscherbewegung auf dieser Küstenstrecke damals beinahe dieselbe war, wie sie jetzt ist.

Soll ich zum Schluß kurz zusammenfassen, was ich oben zu entwickeln versucht habe, so ist es dies: „Viele Fjorde und Thäler an der südlichen Ostküste Grönlands zeigen einen gewissen begrenzten Parallelismus; die Richtung wie auch die Formen der Fjorde können zum Teil von den Diaklassen bedingt sein, und dieses Verhältnis ist von Bedeutung für die Erklärung des teilweisen Parallelismus. Für die Richtung und Form der Fjorde und Thäler sind aber auch die Dislokationen, die Widerstandsfähigkeit und Lage der verschiedenen Gebirgsarten und die Bewegungstendenz der Gletscher von großer Bedeutung, daher der durch die Diaklassen bedingte Parallelismus an den meisten Stellen stark verwischt ist.“

Erklärung zu Tafel IV.

Skizze 1.

Die Küste südwärts von Mogens Heinesens-Fjord (bei Ikermint $62^{\circ} 20' N. Br.$) bis in der Nähe von Puitsortok (ungefähr $62^{\circ} 5' N. Br.$).

Auf dem Treibeise am 27. Juli (1888) um 10 Uhr abends geseichnet.

Skizze 2.

Das Land an der Mündung des Mogens Heinesens-Fjords ($62^{\circ} 20' N. Br.$). Auf der Nordseite der Mündung dieses Fjords werden Gebirge mit ziemlich alpinen Formen sichtbar.

Auf dem Treibeise am 27. Juli (1888) um 4 Uhr 30 Minuten morgens geseichnet.

Skizze 3a und b).

Die Ostküste von Mogens Heinesens-Fjord ($62^{\circ} 20' N. Br.$) bis in die Gegend von Akorninarmint hinein (ungefähr $63^{\circ} 10' N. Br.$). Bei Tingmiarmint-Fjord eine scharfe Grenze zwischen dem niedrigen, schneebedeckten Land im S und dem Alpenland im N. Bei Mogens Heinesens-Fjord aber wieder höhere Gebirge (vgl. Skizze 2).

Auf dem Treibeise am 26. Juli (1888) abends mit Hilfe der Camera clara geseichnet.

Skizze 4.

Die Küste von Skjoldungen (bei Akorninarmint, $63^{\circ} 12' N. Br.$) nordwärts bis in die Nähe von Igdlouarsuk (ungefähr $63^{\circ} 35' N. Br.$). Leider wurde die Zeichnung durch die mitternächtliche Finsternis unterbrochen und die nördlichste Partie wurde nicht vollendet.

Auf dem Treibeise am 25. Juli (1888) abends bis Mitternacht mittels der Camera clara geseichnet.

Skizze 5a und b).

Die Küste von Kap Mösting ($63^{\circ} 42' N. Br.$) nach N an Umivik vorbei bis Kap Löwenörn ($64^{\circ} 30' N. Br.$). Nordenskiölds Nunatak, wo wir unsere Eiswanderung begannen, ist seitlich vom spitzen Kiatak sichtbar.

Auf dem Treibeise am Abend des 23. Juli (1888) durch die Camera clara geseichnet.

Skizze 6a und b).

Die Küste von Igissalik (ungefähr $38^{\circ} 40' W. L.$) westwärts bis in die Gegend von Kap Dan ($37^{\circ} W. L.$). Das Land am innern Ende des Sermilik-Fjords erscheint als eine gerade Linie im Horizont. Nach einer Aquarelle auf dem Treibeise am 19. Juli (nachmittags und abends) gemalt. Für die Zeichnung wurde die Camera clara benutzt.

Skizze 7a und b).

Die Küste von der Ostseite des Sermilik-Fjords östlich und nordwärts bis in die Gegend der Erik Rødes-Insel ($65^{\circ} 48' N. Br.$) und noch weiter nördlich. Hinter Erik Rødes-Insel Ingolfs-Fjeld oder Blasserk²⁾ (ungefähr 1900 m hoch in $66^{\circ} 20' N. Br.$).

Auf dem Robbenfänger „Jason“ außerhalb Kap Dan am 16. Juli (1888) geseichnet.

Skizze 8.

Die Küste nordwärts von der Gegend bei Kap Dan und Erik Rødes-Insel über Ingolfs-Fjeld oder Blasserk (ungefähr bis $66^{\circ} 30' N. Br.$).

Auf dem Robbenfänger „Jason“ in einer Entfernung von ungefähr 40 Seemeilen (70 km) vom Lande am 11. Juni (1888) geseichnet.

Skizzen 9 und 10.

Zwei Skizzen aus der Gegend von ungefähr $67^{\circ} 10' N. Br.$ Sie sind beide vom Mast aus durch das Fernrohr geseichnet; daher vergrößert.

Auf dem Robbenfänger „Viking“ Anfang Juli 1882 geseichnet.

Skizze 11.

Die Küste in ungefähr $67^{\circ} 10' N. Br.$ und nordwärts.

Auf dem Robbenfänger „Viking“ im Juli 1882 geseichnet.

¹⁾ Die Skizzen 3, 5, 6, 7 sind des Platzes wegen in zwei Stücke, a und b, geteilt.

²⁾ Meiner Meinung nach kann es nur wenig zweifelhaft sein, daß Ingolfs-Fjeld mit Blasserk oder Blasserk der alten Norweger und Isländer identisch ist. Ich finde es daher am richtigsten, daß dieser alte, ehrwürdige Name wieder eingeführt werde.

Die Nunatakken in der Umivik-Gegend.

In der Nähe der Ostküste, während der ersten 60—70 km unserer Eiswanderung, sahen wir viele Nunatakken. Die trigonometrischen Bestimmungen und Messungen derselben sind schon von Prof. Mohn gegeben worden (S. 11—12); einige Skizzen derselben teile ich auf Taf. I^a mit¹⁾.

Betrachtet man diese Reihen von Nunatakken, so kann man sofort aus ihren Formen ersehen, daß die meisten einst unter dem Eise lagen und dadurch abgerundet wurden. Nur Anikitsok (wie zum Teil auch die Jomfrua-, Kuns- und Kjerulfs-Nunatakken) hebt sich durch seine zugespitzte und mehr alpine Form hervor und zeigt dadurch, daß er längere Zeit die Eisdecke überragt hat. Damit steht im Zusammenhange, daß er viel höher ist, als seine Nachbarn, nämlich nach den Messungen der dänischen Expedition (unter Kapit. Holm) 1208 m und nach den unsrigen 1424 m über dem Meere (vgl. S. 12), während wir Mohns Nunatak 1116 m, Johnstrups Nunatak 1084 m²⁾ und Kornerups Nunatak 1007 m³⁾ hoch fanden. Es scheint also auch hier das Gesetz zu herrschen, daß die alpine Form von der Höhe des Landes abhängig ist. Mohns Nunatak ist mit seiner Form recht typisch für Nunatakken und Berge, die vom Eise abgerundet sind; der nordwestliche Abhang, die Stofsseite, ist eben und allmählich verlaufend, während der südöstliche Abhang, die Leeseite, schroff und rauh ist. Dieselbe Form findet man zum Teil auch bei mehreren andern Nunatakken wieder, z. B. bei: Baltos Nunatak, Sverdrups Nunatak, dem Nunatak auf der Westseite von Anikitsok, Kornerups Nunatak, Hörrings Nunatak, Rinks Nunatak, Gamels Nunatak.

Ich hatte sehr gewünscht, einige der Nunatakken im Innern besuchen zu können; leider erlaubte die späte Jahreszeit dies nicht, denn wir mußten so schnell wie möglich unser Ziel, die Westküste, zu erreichen suchen. Die einzigen Nunatakken in der Umivik-Gegend, die von uns besucht wurden, waren Nordenskiöld's Nunatak, wo wir unsre Eiswanderung antraten⁴⁾, und Jensens Land, das Sverdrup und ich in der Nacht vom 11. auf den 12. August bestiegen⁵⁾. Auf diesen beiden an der Küste belegenen Nunatakken, die zum größten Teil aus kahlen Felsen bestehen, wuchsen in den Vertiefungen und Spalten zwischen den Steinen verschiedene Pflanzen, ja sogar kleines Weidengebüsch. Die Vegetation auf dem kleinen Nordenskiöld-Nunatak war so reich, daß Schneehühner sich da aufhalten und ernähren konnten; ich sah einen Zug von jungen Küchlein, von denen mehrere geschossen wurden. Diese Nunatakken, die hauptsächlich aus Gneiß bestehen, sind niedrig und erheben sich nur wenig über das umgebende Eis. Ihre Formen und Oberflächen zeigen, daß sie vom Eise abgerundet wurden, und besonders zeigen die abgerundeten Kanten der Ritzen, Spalten und hervorstehenden Grate, wie zum Teil auch ihr Mangel an losem Verwitterungsmaterial, daß sie gerade so, wie man sie jetzt sieht, vom Eise verlassen wurden. Es ist auch kaum wahrscheinlich, daß sie schon sehr lange eisfrei sind, und ich finde dies von besonderem Interesse, da mehrere Geologen behaupten, daß der Untergrund in Grönland jetzt von der Eisdecke so abgeschliffen sei, daß er dem Eise keine Angriffspunkte mehr biete. Jeder, der die oben citierten Abbildungen betrachtet, wird sich überzeugen, wie wenig Grund eine solche Behauptung hat.

¹⁾ Eine Karte mit den Nunatakken ist in „Auf Schneeschuhen“ mitgeteilt.

²⁾ Nach den dänischen Messungen ist die Höhe 973 m.

³⁾ Nach den dänischen Messungen 1083 m.

⁴⁾ Vgl. die Abbildungen in Nansen, Auf Schneeschuhen durch Grönland, Bd. II, S. 3, 18, 72 u. 73. Norweg. Ausg. S. 374, 388, 436 u. 437. Vgl. auch die Karte von Umivik mit Umgegend.

⁵⁾ Vgl. Auf Schneeschuhen durch Grönland, Bd. II, S. 16—17.

Auf der Nordwestseite des Nordenskiöld-Nunataks am Rande des Inlandeises wurde eine kleine Moräne gefunden. Diese kann nur von der aufgeschobenen Grundmoräne her stammen, denn hier, wie auch sonst gewöhnlich hat das Inlandeis keine Oberflächenmoräne, wozu es auch an Material mangelt. Der Nunatak selbst ist so niedrig, daß davon kein Material gekommen sein kann.

Es verdient vielleicht erwähnt zu werden, daß die Oberfläche des Eises sich nicht gegen die genannten Nunatakken abdachte; dieselben sind folglich in keiner Vertiefung zwischen den Gletschern belegen, wie es bei andern Nunatakken oft der Fall ist. Bei mehreren der übrigen Nunatakken glaube ich dieselben Verhältnisse gefunden zu haben; den Hollands- und Rinks-Nunatakken waren wir z. B. so nahe, daß ich ihre Umgebung durch das Fernrohr ganz genau beobachten konnte, ohne aber eine Senkung zu entdecken; an einigen Stellen schien es vielmehr, als ob die Eisoberfläche gegen die Nunatakken ansteige. In der Umgebung von Mohns Nunatak war zwar zum Teil eine Senkung vorhanden, doch war sie bei weitem nicht so groß, wie es bei Nunatakken an der Westküste beschrieben worden ist¹⁾. Während unsrer Reise der Ostküste entlang hatte ich Gelegenheit, viele Nunatakken und ihre Umgebungen zu beobachten, nirgends sah ich sie aber in einer Vertiefung der Eisdecke liegen, wie man es nach der dänischen Beschreibung mehrerer Nunatakken an der Westküste zu erwarten geneigt sein konnte. Die Erklärung dieses Unterschieds ist, glaube ich, nicht schwer zu finden. Es ist eine anerkannte Sache, daß ein Gletscher, der in starker Bewegung ist, unter gewöhnlichen Umständen eine gewölbte Oberfläche hat, die sich gegen beide Seiten senkt²⁾. Dies ist nicht von der Form des Untergrundes abhängig, es ist auch nicht nur durch die größere Abschmelzung an den Rändern bedingt, sondern eine natürliche Folge der Friktion (zwischen dem Eise und dem Untergrunde) und der physikalischen Gesetze, welche die Bewegung visköser oder plastischer Massen bedingen³⁾. Wenn ein Nunatak von solchen Gletschern umgeben ist, muß die Eisoberfläche sich ganz natürlich gegen ihn senken, so daß er in eine Vertiefung zu liegen kommt (vgl. Jensens Nunatakken und diejenigen bei Upernivik, die Ryder abgebildet hat); wenn er aber von einer verhältnismäßig ruhigen Eisdecke umgeben ist, wie es bei den meisten von uns an der Ostküste gesehnen Nunatakken der Fall war, dann tritt keine solche Vertiefung auf. Wäre die stärkere Abschmelzung des Eises in der Nähe der Nunatakken — indem die schwarzen Felsen die Sonnenwärme stärker, als die weiße Schneefläche absorbiert — die Ursache der Senkung, wie die Dänen zu meinen scheinen⁴⁾, dann wäre zu erwarten, daß solche Vertiefungen besonders da auftreten, wo die Eisdecke verhältnismäßig ruhig ist. Das ist aber gerade nicht der Fall.

Wie ich noch später erwähnen werde, senkte sich das Eis überall an der Westküste, wo wir seinen Rand sahen, mit gewölbter Fläche gegen das nächste Land hinab.

Daß es nicht die Abschmelzung, sondern die Bewegung ist, welche die gewölbte Form der Schreitgletscher bedingt, kann man auch daraus schließen, daß selbst dann, wenn ein solcher Gletscher auf beiden Seiten von ruhigem Eise anstatt von Land begrenzt wird, er ebenso wie gewöhnlich gewölbt ist. Dies konnten wir z. B. ganz deutlich in der Nähe des Kangersunek-Fjords an der Westküste beobachten; der Schreitgletscher, der sich in diesen Fjord ergießt, nimmt seinen Ursprung im Innern weit vom Rande des Inlandeises entfernt, er bewegte sich hier durch verhältnismäßig ruhiges Eis, das auf beiden Seiten lag, und von welchem er sehr leicht zu unterscheiden war durch seine zerklüftete Oberfläche wie

¹⁾ Vgl. Kornerup in Meddeleiser om Grønland I, S. 128, 133 und Taf. V, Fig. C', D'. Ryder ibid. VIII, S. 213 und 223, Fig. 11 und 12, Taf. XIII.

²⁾ Vgl. Hammer, Meddeleiser om Grønland IV, S. 13 Fig. 1; K. J. V. Steenstrup ibid., S. 208.

³⁾ Eine visköse Masse, z. B. Schusterwachs, die sich über eine Unterlage ausbreiten kann, erhält immer eine gewölbte Form (siehe darüber später), ebenso wie ein Lavastrom.

⁴⁾ Vgl. Kornerup l. c., S. 128, 130; Ryder l. c., S. 213.

auch gerade durch seine gewölbte Form, indem er sich als ein sehr kennbarer Rücken über die Umgehung erhob¹⁾. Die gewölbte Form kann hier selbstverständlich nicht durch die größere Abschmelzung an den Seiten erklärt werden.

Grönlands Inlandeis.

a) Ausdehnung.

Durch unsere Expedition ist endlich unumstößlich nachgewiesen worden, daß sich das grönländische Inlandeis, jedenfalls in dem von uns bereisten Teil Grönlands, als zusammenhängende Decke über das Land, von einer Küste bis zur andern, erstreckt. Aus dem, was wir gefunden haben, und aus den verschiedenen Beobachtungen an den Rändern des Inlandeises muß man schließen, daß das ganze Innere Grönlands südlich vom 75. Breitengrad in derselben Weise vom Eise bedeckt ist; denn es ist kein Grund vorhanden, anzunehmen, daß hier nicht durchgehends ungefähr dieselben atmosphärischen Verhältnisse herrschen. Wir können jetzt also mit großer Sicherheit sagen, daß sich keine schneefreien Oasen innerhalb dieser ausgedehnten Schneefläche befinden; es ist aber die Möglichkeit nicht ganz ausgeschlossen, daß auch im Innern vereinzelte Felsgipfel oder Nunatakken über die Schneedecke hervorragen, obwohl bisher in Grönland nichts beobachtet worden ist, was darauf schließen ließe. Die letzten Nunatakken, die wir in der Nähe der Ostküste fanden, lagen nicht mehr als ca 45 km vom Rande des Inlandeises entfernt und können ebenso gut als Küstenfelsen betrachtet werden. Überall, wo man von Berggipfeln am Rande des Eises sich gegen das Innere Aussicht verschaffen konnte, war nichts, als eine weiße und ganz ebene Schneefläche zu sehen, und keine Nunatakken wurden außerhalb eines gewissen Abstandes von der Küste entdeckt.

Die Raben, welche Nordenskiöld's Lappen auf ihrer Schneeschuhfahrt in einer ungefähren Entfernung von 120 km vom Rande des Inlandeises erblickten, und die Nordenskiöld als Beweis dafür anführt, daß sich im Norden Oasen befinden müssen, woher sie kamen und wohin sie zurückkehrten²⁾, können in dieser Beziehung kaum einen weitem Wert haben, wenn man bedenkt, daß wir ungefähr in derselben Entfernung von der Küste auf Schneesperlinge (*Plectrophanes nivalis*, L.) stießen³⁾, die wohl kaum von Oasen hergekommen sind und doch weit weniger umherzustreifen pflegen, als Raben.

Ob das Inlandeis sich als zusammenhängende Decke über das Innere des ganzen grönländischen Kontinents bis nach dem äußersten Norden erstreckt, können wir nicht mit Bestimmtheit behaupten, obgleich es nach allem, was wir von den Küsten wissen, annehmbar ist. Soviel scheint aber sicher zu sein, daß die zusammenhängende Eisdecke nördlich bis zum 75. Breitengrad reicht, denn fast in jedem Fjorde an der ganzen Westküste (wenigstens bis zu diesem Breitengrade) schienen sich mächtige Schreitgletscher ins Meer hinaus, und diese nehmen an Mächtigkeit, Schnelligkeit und Häufigkeit gegen Norden nicht nur nicht ab, sondern sogar zu. Ich will nur den Upernivik-Gletscher (in ca 73°

¹⁾ Nachdem das obige geschrieben war, ist mir Drygalski's Abhandlung: „Grönlands Gletscher und Inlandeis“ (Ztschr. d. Gesellsch. f. Erdk. Berlin, Bd. XXVII, 1892, Nr. 1) zufälligerweise in die Hände gekommen. Das S. 16 u. 16 Angeführte (vgl. auch Taf. II) scheint völlig das oben Gesagte zu bestätigen; von besonderem Interesse in dieser Beziehung ist aber, was er S. 29 von dem Itivdliaunuk-Eisstrom sagt: „Die ruhigere Zone am Rande, über welche Bäche in flachen Rinnen hinabfließen, hört an den braunen Streifen auf, und von dort steigt die Oberfläche stark gegen die Mitte an, aufgelöst in ein wildes Gewirr von Spalten und Spalten.“ Man sieht, daß auch hier die sich stark bewegende Eismasse in der Mitte sich durch seine Wölbung oder Quellung scharf von dem ruhigeren Eis in der Randzone unterscheidet.

²⁾ Nordenskiöld, Den anden Dicksonskas Expeditionen till Grönland, Stockholm 1885, S. 235; vgl. auch S. 129, Anm. 1.

³⁾ Auf Schneeschuhen &c. II, S. 105, 138.

N. Br.) anführen, der sich mit einer Geschwindigkeit bis zu 31 m in 24 Stunden bewegt. Diese Schreitgletscher oder Eisströme erheischen eine mächtige, zusammenhängende Eisdecke im Innern des Landes, deren Abfluß sie ebenso bilden, wie Flüsse den Niederschlag eines gewöhnlichen Binnenlandes in das Meer führen. Daß die Gletscher im Norden mächtiger sind, ist natürlich; denn da das Land hier breiter ist, wird ja das Niederschlagsgebiet jedes Eisstroms größer. Zwar ist der Niederschlag im Norden vielleicht geringer, als im südlichen Grönland, aber dergleichen auch die Verminderung der Eismasse durch Abschmelzung; und so wie die Mächtigkeit und Schnelligkeit eines Gletschers in direktem Verhältnis zur Größe des Niederschlags und zur Ausdehnung des Niederschlagsdistrikts, so müssen sie im umgekehrten Verhältnis zur Abschmelzung stehen.

Leider kennen wir nur wenig von dem Rande des Inlandeises an Grönlands Ostküste nördlich vom 66. Breitengrade. Über diese Gegend wird hoffentlich die jetzige dänische Expedition unter Leitung von Leutnant Ryder wichtige Aufklärung geben. Aus den Erzählungen der Eskimos an Angmagalik¹⁾ wissen wir, daß es an mehreren Stellen, ungefähr bis zum 68½. Breitengrade, mit Eisbergen erfüllte Eisfjorde gibt, wo also mächtige Gletscher sich ins Meer ergießen müssen; besonders gilt dies vom Fjord Kangerdlugsuak in ca 68° 20' N. Br. Eine ganze Strecke entlang, in ca 67½° N. Br., reicht das Inlandeis sogar bis an die Küste. Merkwürdigerweise wird aber ausdrücklich gesagt, daß an diesem ganzen Küstenteil nicht so viel Gletschereis und Eisberge vorkommen, wie südlich vom 66. Breitengrad. Daß es aber auch da eine beträchtliche Menge Gletschereis geben muß, kann ich aus eigener Erfahrung bestätigen, denn der Küste entlang, am Kap Dan und nordwärts am Ingolfs-Fjeld vorüber habe ich eine außerordentliche Ansammlung von Eisbergen gesehen. Daß das Inlandeis auch nördlich vom 68½. Breitengrad an das Meer reicht, wissen wir daraus, daß viele große Eisberge da gebildet werden und der Küste entlang südwärts schwimmen; in der Dänemarkstraße habe ich viele solche gesehen, und von der deutschen „Germania“-Expedition wurden ja Gletschereis und Eisberge überall an der Küste und in den großen Fjorden bis zu ihrem äußersten Nordpunkt (77° N. Br.) gefunden²⁾. Fraglich ist es wohl auch, ob nicht im Norden innerhalb der Dove-Bai (77° N. Br.) das Inlandeis selbst gesehen wurde; denn es wird hier ein 1500 m hohes Schneeplateau, von dem „meilenweite zerrissene Gletscherkaskaden zogen“, beschrieben³⁾. Jedenfalls müssen die „Eisberge von ungeheurer Höhe, die wir deshalb anfänglich für Inseln hielten“, welche ebenfalls da beschrieben werden, aus dem Inlandeise stammen, da sie nach dieser Schilderung zu groß waren, um von lokalen Gletschern gebildet zu sein. Wir können also mit ziemlich großer Sicherheit sagen, daß das Inlandeis an der Ostküste nördlich mindestens bis zum 77. Breitengrade reicht. Daß es in diesem nördlichen Teile der Ostküste sich nicht über das Küstenland ausbreitet, wie weiter südlich, läßt sich leicht durch den geringen Niederschlag erklären; das Meer außerhalb dieser Küste ist sehr kalt und auf weite Strecken hin mit Treibeis bedeckt; daher kann kein bedeutender Niederschlag gebildet werden. Es ist sodann auch möglich, daß das Küstenland in dieser Gegend sehr breit ist.

Ob sich das Inlandeis als zusammenhängende Decke auch viel weiter nördlich vom 75. bis zum 77. Breitengrad über das Innere des Landes ausbreitet, ist nicht gewiß, scheint aber annehmbar; denn überall, wo Reisende an der nördlichsten Westküste eine weite Aussicht in das Innere des Landes gewannen, sahen sie nur eine ebene, weiße Schneefläche, ganz wie im südlichen Teile Grönlands⁴⁾. Auch ergießen sich ja an vielen

¹⁾ Meddelelser om Grønland IX, S. 221 ff. und Taf. XVII.

²⁾ Die zweite deutsche Nordpolarfahrt 1869—70, I, S. 488, 490.

³⁾ Ebendas., S. 490.

⁴⁾ Es ist auch die Beschreibung einer Wanderung auf dem Inlandeise in dieser nördlichen Gegend (Porte Foule auf 78° 18' N. Br.) vorhanden. Nach allem, was ich erfahren konnte, ist es aber außerordentlich

Stellen der Küste von Smith-Sund kleine und große Gletscher ins Meer; der bekannteste davon ist der gewaltige Humboldt-Gletscher (zwischen 79° und 80° N. Br.), der eine Breite von beinahe einem Grad besitzt. Über seine Bewegung wissen wir indessen nur wenig, und da er ziemlich stark nach innen zu anzusteigen scheint, so können wir vorläufig kaum annehmen, daß er von so großen Gletschermassen im Binnenlande gespeist wird, wie man auf den ersten Blick und nach seiner Breite und Größe glauben könnte. Weiter gegen Norden sah man keine bedeutenden Gletscher mehr; zwar wird von Lockwood erwähnt, daß er während seiner Schlittenreise nach „the Farthest North“ „einen sehr großen Gletscher und ein oder zwei ganz kleine“ beobachtete¹⁾, es scheinen aber keine Eisberge aus den vielen Fjorden oder „Inlets“, die er passierte, zu kommen, und dies beweist wohl mit Sicherheit, daß hier keine bedeutenden Schreitgletscher vorhanden sind und das Inlandeis in dieser Gegend wenigstens keine bedeutende Mächtigkeit haben kann.

Ob auch im unbekannten Norden Eisberge gebildet werden, ist, glaube ich, zur Zeit schwer zu entscheiden; denn es ist gar nicht ausgemacht, ob das „paleokrystische“ Eis Gletscher- oder Meereis (Treibeis) ist. Wenn man es für bewiesen hält, daß es Gletschereis ist, dann ist es klar, daß solche Eisberge („Floebergs“), wie sie auf der Greely-Expedition gefunden wurden²⁾, und die von Norden gekommen sein müssen, nur von großen Schreitgletschern herkommen können, und es ist dann am wahrscheinlichsten, daß diese auf Grönland liegen, und nicht in einem unbekannten Lande im Norden; denn wenn im nördlichsten Grönland Bedingungen für die Bildung großer Gletscher nicht vorhanden sind, können sie noch weniger weiter im Norden existieren³⁾.

Ich betrachte es aber als gar nicht erwiesen, daß die paleokrystischen Eisberge (Floebergs) wirkliches Gletscher- oder Landeis sind; nach den Beobachtungen der Greely-Expedition finde ich es vielmehr wahrscheinlich, daß sie größtenteils auf dem Meere aus Eisschollen entstanden sind, die durch Eispresungen auf einander geschoben wurden und dann zusammenfroren. In dieser Weise werden ja, wie bekannt, eine große Menge eisberg-ähnliche Hummocks gebildet, und daß das paleokrystische Eis von gleicher Natur ist, geht am deutlichsten aus Sergeant Gardiners Beschreibung (Report &c., Bd. I, S. 268) und besonders aus seiner Zeichnung (ebend., S. 273) hervor. Eine Schichtung, wie sie hier beschrieben wird, ist nie an einem Gletscher oder Eisberg gefunden worden und ließe sich auch kaum erklären; denn wie könnten sich Schichten von 1,8—3 m Dicke, welche durch ganz dünne Zwischenlagen unterbrochen sind, in einem Gletscher bilden? Bei den Hummocks, die aus Eisschollen entstanden sind, sind aber solche Schichten sehr oft zu finden und lassen sich da leicht erklären, sie markieren nämlich die einzelnen Schollen (1,8—3 m dick), und die dünnen Schichten dazwischen sind einfach von den successiven Schneefällen herzuleiten, welche auf den Eisschollen stattfanden. An der Oberfläche dieses Schnees werden während des Sommers Eiskrusten gebildet, auf welche wieder Schnee fällt; diese Eiskrusten treten in den paleokrystischen Eisbergen als dünne, blaue Eisschichten auf, während

zweifelhaft, ob diese Eiswanderung unternommen wurde; jedenfalls ist es ziemlich sicher, daß sie nicht so lange dauerte, wie der Reisende angibt. Seine Beschreibung des Inlandeises kann daher nicht als zuverlässig gelten.

¹⁾ Er sagt: „I could see (from Britannia and Lockwood Island) no glaciers that I recognized as such, though from the floe while traveling I saw a very large one, and one or two quite small“. Report on the Proceedings of the U. S. Exped. to Lady Franklin Bay, Grinnell Land, by A. W. Greely, Washington 1888, Bd. I, S. 188.

²⁾ Vgl. Greely, op. c., S. 44, 163, 268, 269 und Fig. S. 273.

³⁾ Die Möglichkeit besteht ja, daß diese „paleokrystischen“ Eisberge von Franz Josefs-Land gekommen sind, wo ähnliche von der „Tegthoff“-Expedition am Nordende des Austria-Sundes gesehen worden sein sollen. Dies scheint mir aber sehr unwahrscheinlich zu sein; denn es gibt an den Küsten von Grinnell-Land und Nordgrönlands zu viele „paleokrystische“ Eisberge, um die Annahme eines so weit entfernten Ursprungs zu gestatten. Sollten so viele Eisberge von Franz Josefs-Land nach Grönland treiben, so müßte man ja erwarten, daß eine noch größere Menge derselben von dem Polarstrom nach Süden in das Meer bei Spitzbergen und an der Ostküste Grönlands getrieben würden; dies ist aber nicht der Fall, denn in diesem Meere sind keine solchen „paleokrystischen“ Eisberge beobachtet worden.

die dazwischenliegenden dünnen, weißen, mehr schneeähnlichen Schichten den zwischen den Eiskrusten liegenden Schnee repräsentieren. Wenn man solche Schichten Systeme künstlich herstellt, so erhält man Eis von derselben Struktur, wie sie Gardiner beschreibt und abbildet. Er sagt (S. 268), daß er am Cape Baird elf Eisberge sah, die alle eine solche Beschaffenheit hatten; sie müssen also ziemlich gewöhnlich sein. Aus Sergeant Jewells Beschreibung in demselben Buche (S. 163, 268) geht aber hervor, daß es auch paleokrystische Eisberge von etwas verschiedener Struktur, mit Schichten von nur 30—66 cm Mächtigkeit gibt. Hier hat man also eine Schichtung, die derjenigen der Gletscher mehr ähnlich ist, nur sind auch diese Schichten etwas zu dick, um auf Schneefälle zurückgeführt werden zu können. Wie bekannt, ist in den Eisbergen, die vom grönländischen Inlandeis herkommen, in der Regel keine Schichtung zu entdecken; Greely scheint indessen eine solche in den Eisbergen von Grinnell-Land gefunden zu haben (vgl. seine Bemerkung l. c., S. 44). Dies läßt sich auch leicht erklären, denn die Gletscher auf Grinnell-Land sind mehr lokale Bildungen, wahrscheinlich nur mit geringer Bewegung, und in solchen beschränkten Gletschern ist beinahe immer eine deutliche Schichtung vorhanden, während sie bei den Gletschern des Inlandeises, welche eine starke Bewegung haben, noch nicht nachgewiesen ist¹⁾. Schichtung ist überhaupt für Gletschereis nicht allein charakteristisch, denn auch das Meer eis kann geschichtet sein, wie schon aus den obigen Bemerkungen hervorgeht. Der Druck übereinandergestapelter Schollen unterwirft es ähnlichen Bedingungen, wie sie im Innern eines Gletschers wirken; ja es ist wohl noch eine Frage, ob nicht auch eine gletscherkornähnliche Struktur entstehen kann. Auch die Höhen der paleokrystischen Eisberge, welche Greely mitteilt, sprechen nicht gegen ihren maritimen Ursprung. Die höchsten von mir gesehenen Hummocks waren wahrscheinlich nicht höher, als 5—7 m über dem Wasser, und die höchsten Höhen, welche für die paleokrystischen Eisberge in „The Report &c.“ erwähnt werden, sind 25—28 feet (7,5—8,5 m)¹⁾. (Vgl. l. c., S. 268, 273.) Wenn auch vielleicht noch größere Höhen beobachtet wurden, ohne erwähnt zu werden, so fällt dies nicht ins Gewicht, denn es läßt sich ganz gut denken, daß auch noch höhere Hummocks durch sehr starke Eispressungen gebildet werden können. Außerdem muß daran erinnert werden, daß diese Eisberge auf dem Grund lagen; sie könnten da etwa hinaufgeschoben worden sein und daher mehr über das Wasser hervorragen, als sie in freischwimmendem Zustande zu thun pflegen.

Ich halte es also gar nicht als erwiesen, daß die „paleokrystischen Eisberge“ (Floebergs) Gletscher- oder Landeis sind, und glaube daher, daß sie nicht als Beweis für die Fortsetzung des grönländischen Inlandeises gegen Norden angeführt werden können. Aber damit ist die Frage, ob eine solche Fortsetzung stattfindet, noch nicht entschieden.

Man hat sich darauf berufen, daß Grinnell-Land nicht ganz mit Eis bedeckt ist, obwohl es zum Teil dieselben Bedingungen für ein zusammenhängendes Inlandeis zu haben scheint, wie der gegenüberliegende Teil von Grönland. Es ist aber zu beachten, daß das Inlandeis überall an seinen Rändern sich nach auswärts bewegen muß. Wie es sich an der Ostküste gegen Osten und an der Westküste gegen Westen bewegt, so muß es auch in seinem südlichen Teil gegen Süden und in seinem nördlichen Teil gegen Norden ausfließen. Außerdem vermag es sich auch über Gegenden auszubreiten, wo sonst die Bedingungen für seine Ernährung und Existenz fehlen; besonders muß dies der Fall sein, wenn die Jahrestemperatur niedrig ist. Im Süden wird die weitere Ausbreitung durch die starke Abschmelzung gehemmt; im äußersten Norden kann dies nur sehr wenig der Fall sein, und das Inlandeis kann sich folglich hier zum Teil auch über Gebiete ausdehnen, wo der Niederschlag sehr gering ist.

¹⁾ Rückseitlich der Schichtung der Gletscher &c. vgl. weiter unten S. 86.

²⁾ Ungefähr ähnliche Höhen erhält man auch, wenn man auf den Abbildungen Greelys die Höhen der Eisberge mit den Höhen der darunter abgebildeten Männer vergleicht.

Darüber, wie auch über andre interessante Fragen wird hoffentlich die jetzige amerikanische Expedition unter Pearys Leitung wichtige Aufschlüsse geben.

b) Form.

Die Höhenverhältnisse des Inlandeises hat Prof. Mohn nach unsern Beobachtungen berechnet und auf S. 17—22 beschrieben. Die obere Figur auf Taf. I^a stellt einen Querschnitt des Landes nach seinen Berechnungen und meinen Tagebuchnotizen (vgl. S. 22) dar. Der interessanteste Zug in der Form des Inlandeises ist in meinen Augen die regelmässige Wölbung der Oberfläche von der einen Küste zur andern. Wie man aus der Querschnittszeichnung ersehen wird, steigt die Oberfläche des Eises verhältnismässig steil vom Meere auf, besonders an der Ostküste, während sie im Innern ziemlich flach ist. Im grossen und ganzen kann man sagen, daß die Steigung allmählich abnimmt, je weiter man sich von den Küsten entfernt, und die Oberfläche des Eises hat infolgedessen die Gestalt eines Schildes, der von Süden nach Norden breiter und zugleich flacher wird. Die Oberfläche dieses Schildes ist jedoch nicht ganz regelmässig, indem sie sich in schwachen, dem Auge fast unsichtbaren Wellen bewegt, deren Kämme ungefähr in süd-nördlicher Richtung gehen. Die Achse des Schildes scheint auch nicht ganz in der Mitte zu liegen, sondern mehr der Ostküste zu. Wir erreichten unsern höchsten Punkt ungefähr 180 km von Nordenskiöld's Nunatak, wo wir die Küste verliessen, und ungefähr 270 km vom Ende des Ameralikfjords, wo wir abermals das Niveau des Meeresspiegels erreichten. Berücksichtigt man, daß das Ende des Ameralikfjords ungefähr 90 km von dem äussern Scherenkreise oder der äussern Küstenlinie des Landes liegt, während unser Ausgangsort an der Ostküste nur ungefähr 20 km davon entfernt lag, so erhalten wir für den Abstand der Achse von der äussern Ostküste ca 200 km und von der äussern Westküste ca 360 km. Man muß indessen zweierlei mit in Betracht ziehen: erstens stand unsere Route nicht senkrecht auf der Längsachse des Landes, und zweitens scheint nach unsern Beobachtungen das Inlandeis nach Norden anzusteigen. Da wir uns im Anfang unserer Eiswanderung weiter nach Norden zu befanden, als später, und auch unser Kurs nördlicher ging, so hatten wir natürlich eine Steigung, die verhältnismässig grösser war, als die Abschragung während des übrigen Theils unserer Wanderung, die in etwas südlicher Richtung ging. Mit andern Worten: der Höhenrücken muß in Wirklichkeit näher der Mitte des Landes zu liegen, als es nach unserer Route scheinen könnte.

Entfernt man diese scheinbare Unregelmässigkeit, so stellt sich die Eigentümlichkeit heraus, daß die Peripherie des Inlandeises in einem Schnitt senkrecht auf der Längsachse des Landes und in der Breite unserer Route sich einer mathematischen Kurve nähert. Dies entspricht ganz unserer Erwartung; denn das Inlandeis ist als eine ungeheure dickflüssige oder plastische Masse zu betrachten und hat eine solche Mächtigkeit, daß die Form seiner Oberfläche nur in sehr beschränktem Grade von der Form des Untergrundes abhängig sein kann. Untersucht man aber, welche Form eine plastische Masse (z. B. ein grosses Stück Pech) erhält, die auf einer ebenen Unterlage ruht und sich ungestört nach allen Seiten ausbreiten kann, dann wird man sehen, daß ihre Oberfläche allmählich, wenn ihr genug Zeit gelassen wird, eine mathematisch gewölbte Form annimmt und die Oberfläche im Querschnitt sich zu einer ellipsenähnlichen Kurve gestaltet¹⁾. Diese Kurve verändert sich aber fortwährend; denn je länger die Masse liegt, desto flacher wird sie, wenn sie keinen Zuwachs von oben erhält. Läßt man aber ihr einen konstanten, über ihrer Ober-

¹⁾ Für eine visköse Masse (oder ein „ice-cap“), welche sich im Wasser ausbreiten kann, hat Sir William Thomson die folgende Gleichung aufgestellt:

$$y = b \left(1 - \frac{x^2}{a^2} \right)^{\frac{1}{2}},$$

wo b die Höhe und a der Durchmesser der Masse. (Vgl. W. Thomson, Polar Ice-caps and their Influence in Changing Sea Levels. Transactions of the Geol. Soc. of Glasgow. 16th Febr. 1888, S. 532, Anm.)

fläche regelmäßig sich verbreitenden Zuwachs zufließen und schneidet man beständig und in regelmäßiger Weise eine dem Zuwachs entsprechende Menge von ihren Rändern ab, oder, noch besser, läßt man sie an den Rändern der ebenen Unterlage abfließen, so wird man sehen, daß die Oberfläche der Masse eine konstante Form behält, solange der Zuwachs sich nicht verändert. Wenn der letztere bekannt wäre, und auch die Größe der Unterlage, so würde man die Höhe und Form der Masse mathematisch genau bestimmen können, vorausgesetzt, daß man die Viskosität der Masse (und auch ihre Friktion gegen den Untergrund) kennt. Leider ist aber unsere Kenntnis der Bewegung und Mechanik visköser oder dickflüssiger Massen so mangelhaft, daß eine solche Bestimmung zur Zeit kaum möglich ist.

Macht man die Unterlage, über welche die visköse Masse sich ausbreitet, etwas unregelmäßig, so wird auch die Regelmäßigkeit der Oberfläche der Masse beeinflusst; in welchem Grade, das hängt natürlich von ihrer Mächtigkeit ab. Eine solche visköse Masse, die sich über eine unregelmäßige Unterlage ausbreitet oder bewegt, ist aber das Inlandeis¹⁾, und daher können wir nicht erwarten, daß die Oberfläche nach streng mathematischen Gesetzen gewölbt ist. Auf diese Weise können wir also zum Teil die oben erwähnten Unregelmäßigkeiten in der Form der Oberfläche erklären. Eine plastische Masse, die sich nach den Rändern hin bewegt, muß sich da am höchsten anhäufen, wo der Widerstand gegen die Bewegung am größten ist. Wenn sie auf einer ebenen Unterlage ruht, wird dies, wie wir schon gesehen haben, in der Mitte der Masse stattfinden; und die Oberfläche wölbt sich dann ganz regelmäßig von der Mitte nach den Seiten. Unregelmäßigkeiten der Unterlage müssen aber auf die Lage der Achse der Masse einen Einfluss ausüben; denn sie werden die Bewegung entweder fördern oder hemmen, je nachdem sie Senkungen oder Hebungen sind. Die Unterlage des grönländischen Inlandeises ist gewiß sehr unregelmäßig. Da Grönlands zerklüftete, felsige Küsten in hohem Grade an die norwegische Westküste erinnern, so liegt die Annahme nahe, daß das Innere Grönlands, wenn die Eisdecke entfernt würde, dem Norwegens gleichen würde, ja es würde wahrscheinlich noch zerklüfteter sein, wie man aus der Beschaffenheit der Küsten schließen darf. Mit andern Worten, man würde hohe Berge und tiefe Thäler finden, — und dies alles ist unter der Eisdecke verschwunden, und diese bewegt sich darüber hin. Wäre das Inlandeis nicht sehr mächtig, so würde natürlich die Eisscheide mit der Wasserscheide der Unterlage zusammenfallen²⁾; die Eismassen würden wie die Gletscher der Alpen der Abdachung der Unterlage folgend von der Wasserscheide nach beiden Seiten gegen die Küsten fließen, selbst wenn dieselbe nicht in der Mitte des Landes läge. Nun ist aber das Inlandeis so mächtig, daß seine Achse (Eisscheide) nur in untergeordnetem Grade durch die Wasserscheide des Landes bestimmt werden kann. Bei einer sehr mächtigen Eisdecke müßte sie beiläufig die Mitte des Landes einnehmen; ist aber die ursprüngliche Wasserscheide einer der Küsten

¹⁾ Meiner Meinung nach kann das Inlandeis im großen und ganzen als eine ungeheure visköse Masse angesehen werden, deren obere Schichten weniger plastisch sein müssen, als die unteren. Wie bekannt, ist Eis bei tiefer Temperatur sehr hart und brüchig und nur wenig plastisch; starkem Druck ausgesetzt, zerbricht es leicht und läßt sich wenig ausdehnen. Diese Eigenschaften verändern sich schnell, wenn die Temperatur erhöht wird; und wenn sie sich dem Schmelzpunkt des Eises nähert, wird das Eis sehr plastisch, verändert seine Form sehr leicht und ist nur wenig brüchig. Läßt man ein etwas großes Stück solchen Eises von ungefähr 0° C. liegen und untersucht es nach einiger Zeit, so wird man finden, daß es sich unter dem Einfluß der Schwerkraft nach den Seiten hin etwas ausgedehnt hat. Im Inlandeis, wo die Temperatur in außerordentlich niedrigen Graden an der Oberfläche bis zum Schmelzpunkt in der untersten Schicht steigt, muß es alle Arten von Plastizität, die mit der Tiefe zusammen, geben. Man erhält zum Teil ein ähnliches Verhältnis, wie man es für die Erdkugel angenommen hat: der obere, mehr starre Teil des Inlandeises muß auf dem unteren, mehr viskösen Teil gleichsam schwimmen, und die Form des erstern und der Oberfläche muß von dem letztern bestimmt werden. Daraus ergibt sich auch, daß die Bewegung des Inlandeises in den tiefen Teilen stärker sein muß, als an der Oberfläche. Dazu kommt noch die Kornstruktur des Eiseschereises, welche die Plastizität desselben steigert.

²⁾ Ich gehe hier nur von der Mechanik dickflüssiger Massen aus und berücksichtige nicht andre Faktoren von Bedeutung, wie Niederschlagsverhältnisse und Abschmelzung.

näher belegen, z. B. in der Nähe der Ostküste, so wird auf dieser Seite der Bewegung des Eises ein größerer Widerstand geleistet, als auf der Westseite, indem die untersten Schichten der Eismasse während ihrer Bewegung nach der Ostküste gezwungen werden, in die Höhe zu steigen, bis sie die Wasserscheide erreichen. Dies muß nach dem oben Gesagten zur Folge haben, daß die Achse der Eisdecke oder die Eisscheide der Ostküste näher gerückt wird, als der Westküste. Der Betrag dieser Verschiebung hängt von dem Verhältnis zwischen der Höhe der Wasserscheide und der der Eisscheide (das ist der Mächtigkeit der Eisdecke) ab¹⁾.

Ob damit die Thatfache, daß die Achse des Inlandeises in der Breite unsrer Route der Ostküste näher liegt, als der Westküste, schon zur Genüge erklärt ist, scheint mir aber nicht ganz sicher zu sein, denn in der obigen Darlegung habe ich, wie schon gesagt, keine Rücksicht auf andre Faktoren genommen, die auch von Bedeutung sein können. Als solche müssen besonders die Niederschlags- und die Abschmelzungsverhältnisse genannt werden. Es ist klar, daß das Verhältnis zwischen dem Zuwachs der Eismasse durch Niederschlag und der Verminderung derselben durch die Abschmelzung von großer Bedeutung für die Mächtigkeit der Eisdecke ist; wo dieses Verhältnis am größten ist zu Gunsten des Zuwachses, da muß auch die Eisdecke verhältnismäßig am dicksten sein. Über Grönland wissen wir in dieser Beziehung nichts. Daß das Klima an der südlichen Ostküste viel kälter ist, als an der südlichen Westküste, und daß infolgedessen die Abschmelzung der Eismasse auf dieser Seite des Landes geringer ist, als auf der westlichen, ist zwar bekannt, wo aber der Niederschlag am größten ist, wissen wir nicht. Zwischen beiden Küsten besteht insofern ein auffallender Unterschied, als an der Westküste Ausläufer des Inlandeises sich in die Eisfjorde ergießen, während an der Ostküste die Eisfjorde oft tief in das Inlandeis selbst hineinschneiden, und dieses daher hier dem Meere näher liegt, als an der Westküste. Die hohen Küstengebirge der letztern außerhalb des Eisrandes erhalten sehr viel Feuchtigkeit vom Meere her, und die westlichen Luftströmungen müssen daher, wenn sie das Inlandeis erreichen, verhältnismäßig trocken sein, während die vom Meere kommende Luft an der Ostküste mit ihrer Feuchtigkeit größtenteils ohne Hindernis direkt über das Inlandeis hinstreichen kann. Zwar ist das Meer der Ostküste entlang während des größten Teils des Jahres vom Treibeis bedeckt, dieses Eis ist aber im südlichen Grönland niemals sehr breit und kann nur wie ein niedriges Vorland wirken. Außerdem ist die Wassertemperatur außerhalb dieses Gürtels viel höher als an der Westküste — wir haben ja da das warme Atlantische Meer mit dem Golfstrom, während die Davisstraße ziemlich kaltes Wasser enthält. Man kann also vermuten, daß die Ostseite des Inlandeises niederschlagsreicher ist, als die Westseite²⁾; in diesem Falle müßte das Eis dort verhältnismäßig mächtiger sein, als im Westen, und dem entspricht auch das tatsächliche Verhalten³⁾.

Demzufolge sollte man erwarten, daß das Verhältnis im nördlichen Grönland das Umgekehrte wäre, denn hier gibt es ja an der Ostküste nördlich vom 70. Breitengrade ein breites, schneefreies Küstenland mit hohen Gebirgen, wo der Niederschlag sehr gering ist, während das Inlandeis an der Westküste dem Meer ziemlich nahe rückt, und wahrscheinlich ist der Niederschlag da bedeutender, als an der gegenüberliegenden Ostküste⁴⁾. Die

¹⁾ Es ist, wie bekannt, zur Genüge dargelegt, daß die Eisscheide des skandinavischen Inlandeises nicht über der Wasserscheide des Landes lag; sie muß, wenigstens in der spätesten Eisperiode, 160 km weiter nach Südosten zu gelegen haben. Die Eisdecken von Schottland und Irland haben sich nach den Beobachtungen britischer Geologen wahrscheinlich auch in ähnlicher Weise verhalten.

²⁾ Wenn unsere Erfahrung in dieser Beziehung nicht viel zu unbedeutend wäre, könnte man sagen, daß sie diese Annahme bestätigt, denn wir hatten auf dem östlichen Abhang des Inlandeises viel mehr Niederschlag als auf dem westlichen.

³⁾ Es scheint auch, als ob das Inlandeis an der südlichen Ostküste aktiver ist als an der südlichen Westküste, indem es dort mehr Eisströme giebt und mehr Eisbergs gebildet werden.

⁴⁾ Daran erklärt sich vielleicht auch, daß Peary eine stärkere Steigung fand, als Nordenskiöld. Da es

Temperatur an der nördlichen Westküste ist so niedrig, daß die Verminderung der Eismasse durch Abschmelzung nur unbedeutend sein kann. Sofern die Lage der nrsprünglichen Wasserscheide des Landes es erlaubt, ist es nicht unwahrscheinlich, daß die Höhenachse oder Eisscheide des Inlandeises hier der Westküste näher liegt als der Ostküste.

Die Verteilung des Niederschlags muß auch in andern Beziehungen von Bedeutung für die Oberflächenform des Eises sein. Der Niederschlag dürfte von den Küsten gegen das Innere des Landes abnehmen, dann wird aber auch die Eisdecke eine Neigung haben, gegen die Ränder zu dicker zu werden, als die Mechanik visköser Massen es sonst bedingen würde. Dieser Neigung arbeitet aber die stärkere Abschmelzung an den Rändern entgegen, wodurch die letzteren abschüssiger gemacht werden, als sie es sonst sein würden.

Aus dem Gesagten geht hervor, daß die Form des Inlandeises oder die Peripherie seines Querschnittes das Resultat verschiedener Bedingungen sein muß. Wenn wir auch bedeutend mehr Kenntniss von der Mechanik visköser Massen hätten, als es zur Zeit der Fall ist, so würde es doch unmöglich sein, in deduktiver Weise die Kurve der Peripherie der Eisdecke zu berechnen, denn verschiedene Bedingungen, wie die Beschaffenheit der Unterlage, der Niederschlag, die Abschmelzung &c., sind nicht bekannt. Der einzige Weg ist zur Zeit der, ganz empirisch zu untersuchen, mit welcher Kurve unser Profil am nächsten zusammenfällt, wie es mein Freund Dr. Andr. M. Hansen auf Taf. V versucht hat. Er vergrößerte die Höhe des Eises zwanzigmal im Verhältnis zu der Länge und suchte die durch die Routenrichtung (S. 72) hervorgerufenen Unregelmäßigkeiten dadurch zu entfernen, daß er entsprechend unserer Beobachtung eine nördliche Steigung des Inlandeises von 7,5 m per km voraussetzte. Durch Reduktion unserer Höhen nach diesem Maßstab konstruierte er ein Profil des Inlandeises durch den Mittelpunkt unsrer Route und senkrecht auf die Längsachse des Landes, welche in V a dargestellt ist. Die Peripherie des Inlandeises in diesem Profil fällt aber ganz merkwürdig gut mit einem Kreisbogen, a', zusammen, dessen Radius 10382 km ist¹⁾. Die größte Abweichung lag in der Nähe der Küsten, wo das Eis steiler abfällt. Die Sehne des Bogens, 468 km, ist etwas länger als die Breite des Landes zwischen Umivik und dem Ameralikfjord, 445 km, der Unterschied beträgt aber nur 23 km. Wie man sieht, liegt auch in diesem reduzierten Profile die Höhenachse des Eises östlich von der Mitte desselben.

Hansen hat auch die Profile der andern Inlandeis-Expeditionen geometrisch zu konstruieren versucht (Taf. V). Das Profil der dänischen Expedition unter Kapitän Jensen (b; zwischen 62° 40' und 62° 50' N. Br.) ist zwar zu kurz, um eine genauere Bestimmung zu erlauben, es scheint aber, als ob es sich ganz gut mit einem Kreisbogen von 8954 km Radius (b') zusammenbringen ließe. Gleich unserm Profil fällt auch das Jensens nach der Küste zu steiler ab, als der Bogen. Die Sehne des Bogens hatte 386 km, während die Breite des Landes zwischen Frederikshaabs Isblink²⁾, Jensens Aufsteigeort, und Mogens Heinesens-Fjord an der Ostküste 394 km beträgt. Interessant ist, daß die Steigung im innern Teil der Eiswanderung niedriger ist, als sie sein würde, wenn sie genau der Kreisperipherie folgte. Dies ist es gerade, was wir erwarten müssen, denn das Eis liegt hier auf der Leeseite von Jensens Nunatakken und bildet daher eine Einsenkung, während es auf der andern Seite der Nunatakken aufgestaut und folglich höher ist, so daß es bald wieder mit der Kreisperipherie zusammenfällt. Falls sich die Eisfläche nach innen zu in gleicher Weise wölbt, müßte ihre Höhe in der Mitte des Landes ungefähr 2080 m betragen.

Nordenskiölds Profil (unter 68 $\frac{1}{2}$ ° N. Br.; Taf. V c) zeigt eine Steigung der Eisfläche, die

keine Küstengebirge außerhalb der Stelle gibt, von wo aus er seine Expedition unternahm, so ist der Niederschlag da wahrscheinlich größer als weiter südlich, wo Nordenskiöld aufstieg, und wo ein breites Küstenland außerhalb des Randes des Inlandeises liegt.

¹⁾ Die Krümmung der Erdoberfläche ist hier nicht in Betracht gezogen.

²⁾ Vgl. oben Fig. B, S. 60.

beinahe gleich von der Küste ab mit einem Kreisbogen (c') zusammenfällt, dessen Radius sehr groß ist, indem er 23356 km beträgt. Die Sehne dieses Bogens ist 664 km lang, während die Breite des Landes zwischen Sofias Hamn, Nordenskiölds Aufsteigeort, und Sermilik-Fjord an der Ostküste ungefähr 612 km, die Breite zwischen Sofias Hamn und Ingolfs-Fjord aber ca 704 km beträgt. Untersucht man die Steigung auf der angeblichen Route der Lappen (d), so zeigt es sich, daß diese ganz außerhalb des Zirkelbogens liegt und weit niedriger ist; es sieht aus, als wären die Lappen plötzlich auf eine fast horizontale Fläche gelangt. Daß eine solche nicht existiert, können wir nach unsern Erfahrungen und dem oben Gesagten wohl mit ziemlich großer Sicherheit behaupten. Es ist am wahrscheinlichsten, daß die Lappen ihr Barometer richtig abgelesen haben, und daß demzufolge ihre Höhenangabe (1947 m) zuverlässig ist, daß sie aber die von ihnen zurückgelegte Strecke sehr überschätzt haben. Wie leicht man die Entfernungen auf dem grönländischen Inlandeis überschätzen kann, davon können die Teilnehmer unserer Expedition ein Wortchen sprechen, indem wir oft die zurückgelegten Entfernungen auf mehr als das Doppelte anschlugen. Meiner Meinung nach ist nach allem, was oben gesagt wurde, wenig Grund vorhanden, etwas andres anzunehmen, als daß die Steigung des Inlandeises nach innen zu und seine Abschrägung gegen die Ostküste ungefähr denselben Bogen beschreibt, mit dem die Steigung auf Nordenskiölds eigener Route so erstaunlich genau zusammentrifft¹⁾. Falls dies richtig ist, so kann die Höhe des Inlandeises in der Mitte nicht mehr als ungefähr 2360 m betragen, ist also geringer, als die von uns erreichte Höhe. Dies würde andeuten, daß der Niederschlag im Norden bedeutend geringer, oder auch daß der Untergrund niedriger ist; denn falls beide dieselben wären, wie in der Breite unser Route, so müßte die Eisdecke auf dem breitem Lande im Norden höher sein.

Pearys Angaben in Bezug auf Entfernungen und Höhen sind leider so sparsam, daß es unmöglich ist, ein zuverlässiges Profil seiner Route zu konstruieren; soweit man aber nach seinen und Maigaards Berichten schließen kann, scheint die Steigung während des größten Teils ihrer Wanderung (sie wurde unter ca 69½° N. Br. unternommen) ganz gut mit dem Kreisbogen des Nordenskiöldschen Profils zusammenzufallen, sie ist nur ein wenig steiler. Während der ersten 40 km der Wanderung ist indessen die Steigung bedeutend steiler als der theoretische Bogen. Falls dies den Tatsachen entspricht, kann es vielleicht zum Teil seinen Grund darin haben, daß Peary an einem Arm der Disco-Bucht aufstieg, der in das Inlandeis einschneidet, so daß der Anfang seiner Wanderung mehr landeinwärts lag, als der Punkt, von dem Nordenskiöld seine Expedition antrat. Wahrscheinlicher ist mir aber die oben, S. 74, gegebene Erklärung, daß der Niederschlag innerhalb der Disco-Bucht, wo keine Küstengebirge vorhanden sind, größer ist, als weiter südlich innerhalb Sofias Hamn, wo ein breites Küstenland den Rand des Inlandeises begleitet.

Das Resultat dieser Zusammenstellung unser Kenntnisse von den Höhenverhältnissen des Inlandeises ist also folgendes: Das Inlandeis wölbt sich in merkwürdig regelmäßiger Weise, so wie man es von einer solchen ungeheuren plastischen Masse erwarten muß, von der einen Küste bis zur andern. Die Oberfläche des Eises kann mit einem gegen Süden zugespitzten Schilde verglichen werden, dessen Oberfläche transversal wie auch longitudinal gewölbt ist. Die transversale Krümmung fällt mit Kreisbogen zusammen, deren Radius unverhältnismäßig rasch von Süden nach Norden wächst²⁾.

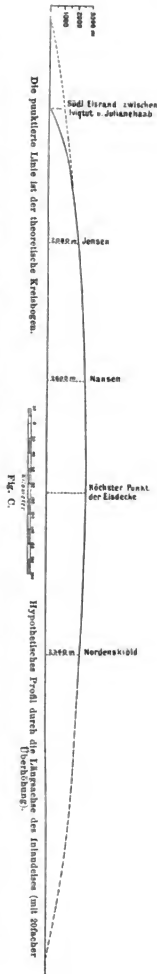
¹⁾ Hiernach müßte die von den Lappen erreichte Höhe (1947 m) ungefähr 65 km von Nordenskiölds innerstem Zeltplatz liegen, und nicht 220 km, wie dies nach ihrer eignen Angabe der Fall sein soll. Auf diese Weise erhält man eine Entfernung, die sie sehr wohl zurückgelegt haben können, selbst bei der schlechten Schneeschuhbahn, die der feine Schnee in Grönlande Inerm darbietet.

²⁾ Der Radius wächst zwischen Jensens Route und unser Route um 6,4 km per km, zwischen unser Route und der Nordenskiölds oder seiner Lappen aber um 28,8 km per km.

Die Schildfläche ist also im Süden stark gewölbt, während sie nach Norden zu sehr rasch flacher wird.

Die Abflachung des Inlandeises nach Norden zu kann außer durch die steigende Breite des Landes vielleicht auch dadurch erklärt werden, daß sie sich ebenso regelmässig, wie von einer Küste zur andern, auch von Süden nach Norden wölbt; in einem Profil in der Richtung der Längsachse muß die Peripherie desselben eine ähnliche Kurve wie auf den Querprofilen darstellen. Ich habe einen Versuch gemacht, unsre Höhe in der Mitte des Landes und die oben vermuteten Höhen, welche von Jensens und Nordenskiölds Profilen erhalten wurden, zu einer derartigen Profilkurve zu kombinieren; das Resultat zeigt Figur C¹⁾. Hiernach sollte also die grösste Höhe des Inlandeises zwischen unserm Profil und dem Nordenskiölds liegen, während das Eis nach Norden zu immer niedriger und flacher wird²⁾. Eine solche Kurve kann natürlich nur ganz hypothetisch sein, denn sie ist auf viel zu wenigen Daten basiert; wie weit sie sich von den wirklichen Verhältnissen entfernt, müssen künftige Expeditionen aufklären. Wenn die Peripherie der Eisdecke nordwärts derselben Kurve folgt, die für den südlichen Teil angenommen ist, so müßte das Inlandeis sehr bald als zusammenhängende Decke aufhören (auf ca 70° N. Br.; vgl. die punktierte Linie in Fig. C). Daß dies nicht richtig sein kann, wissen wir aber schon nach dem, was oben, S. 68, gesagt wurde. Die longitudinale Krümmung muß aber jedenfalls nach Norden zu bedeutend flacher werden, denn das Land ist hier viel breiter, und infolge dessen ist auch die transversale Krümmung flacher.

In der Oberflächenform des Inlandeises gibt es noch eine Eigentümlichkeit, welche unsre Aufmerksamkeit verdient, nämlich die bereits oben erwähnte schwache Wellenbildung. Bei Betrachtung des Querschnittes (Taf. I*) wird man zwei Arten von Wellen bemerken können, einige grössere, die hauptsächlich in der Nähe der Küsten, besonders der Ostküste, vorkommen, und die nach innen zu länger und flacher werden, und viele kleinere, die man den ganzen Weg entlang verfolgen kann, die aber ebenfalls weiter nach innen länger und weniger bemerkbar werden. Ähnliche Wellen haben die meisten Expeditionen, die in das Inlandeis eingedrungen sind, beobachtet, ihre Kämme erstrecken sich scheinbar stets in der Längsrichtung des Landes oder der Küste entlang von Norden nach Süden. Die grössern Wellen müssen mit der Gestalt des Untergrundes zusammenhängen. Wenn ein Wasserstrom über eine unregel-



¹⁾ Dieses Profil ist von einem Punkte zwischen Igigut und Julianehaab an der Südküste nordwärts durch die Mitte des Inlandeises gelegt.

²⁾ Falls diese Kurve ungefähr richtig wäre, so wäre die von Hansen (vgl. oben S. 75) vorausgesetzte nördliche Steigung von 7.5 m per km in der Breite unserer Route zu groß. Sie würde zwischen Hansens Breite und der unrigen Route dann höchstens 3 m per km im Durchschnitt betragen.

mäßige Unterlage, z. B. ein Flußbett mit großen Steinen, fließt, so bilden sich, wie bekannt, an der Oberfläche des Wassers über den Steinen Wellen. Dasselbe ist auch der Fall, wenn eine visköse Masse sich über eine ähnliche Unterlage bewegt; man kann also erwarten, daß die Unregelmäßigkeiten, Höhenrücken und hohen Gebirge des Untergrundes sich als Wellen an der Oberfläche des grönländischen Inlandeises wiederholen. Diese Wellen vergrößern sich mit der Bewegung der Masse, treten also besonders gegen die Küsten hin mehr hervor, wozu wohl auch kommt, daß hier die Unregelmäßigkeiten des Untergrundes größer sind.

Die kleinern Wellen können aber wohl kaum durch diese Unregelmäßigkeiten bedingt sein, ich glaube vielmehr, daß sie mit dem Wind in genetischer Verbindung stehen. In derselben Weise, wie der Wind kleine Schneewellen auf einer Schneefläche hervorbringt, so kann er vielleicht größere Wellen auf dem Inlandeise hervorbringen, wo starke Winde vom Innern des Landes gegen die Küsten während des größten Teils des Jahres wehen. In Verbindung damit muß auch daran erinnert werden, daß, wenn eine schwerflüssige Masse auch über eine ebene Unterlage fließt, oft Wellen an ihrer Oberfläche gebildet werden; dies kann z. B. oft bei Schluttrutschungen beobachtet werden¹⁾. Vielleicht können die kleinern Wellen zum Teil als solche Bewegungswellen erklärt werden.

c) Beschaffenheit der Oberfläche des Inlandeises.

Mit Rücksicht auf die Beschaffenheit der Oberfläche kann man drei Teile unterscheiden, nämlich die zwei schmälern Randzonen in der Nähe der beiden Küsten und den großen mittlern Teil. Die beiden ersten sind mit Spalten und Unebenheiten erfüllt, und ihre Oberfläche besteht aus festem Eise, oder solches ist wenigstens schon in ganz geringer Tiefe zu finden, während die Oberfläche des mittlern Teils eine ganz ebene Schneefläche bildet.

In der östlichen Randzone fanden wir Spalten nur bis zu ca. 15 km Entfernung von der Ostküste (Nordenskiöld's Nunatak)¹⁾. Nach grönländischen Verhältnissen waren sie nicht sehr groß zu nennen. Am zahlreichsten waren sie in der Nähe der Küste (vgl. Fig. D), und hier traten sie besonders da auf, wo die Eisdecke eine starke konvexe Krümmung bildete (d. h. eine Anschwellung des Untergrundes passierte), während sie sich wieder schlossen und oft ganz verschwanden, wenn unterhalb der konvexen Krümmung eine konkave eintrat. In größerer Entfernung von der Küste kamen Spalten nicht vor, selbst wenn die Eisdecke sich über eine Anschwellung des Untergrundes bewegte. Am 23. August (27 km von der Küste), wie auch am 26. August (65 km von der Küste) passierten wir solche ziemlich stark konvexe Stellen, ohne eine einzige Spalte zu sehen. Die Ursache liegt teils darin, daß die Eisdecke zu mächtig ist, um Spalten zu bilden (die Höhe über dem Meere war am 26. August 1800 m), teils vielleicht auch darin, daß die obern Schichten derselben nicht fest genug sind; sie sind mehr schneeähnlich, und Spalten können nur in festem Eise gebildet werden²⁾. Die Spalten waren in der östlichen Randzone meist Querspalten, von

¹⁾ Vgl. Heim, Handbuch der Gletscherkunde, S. 195.

²⁾ Am Fufse von Mohn's Nunatak konnten wir aber auch ein paar Spalten in der Oberfläche der Eisdecke durch das Fernrohr sehen.

³⁾ Aus Drygalski oben (S. 68, Anm. 1) erwähnter Abhandlung ersehe ich, daß er meint, der Mangel an Eisspalten im Innern Grönlands ließe sich durch einen Mangel an kräftigen Unebenheiten des Untergrundes erklären. Er sagt (S. 17): „Holland weist auch mit Recht auf den Vergleich mit andern Fjordküsten hin, wie z. B. Norwegen, wo die Fjorde ebenfalls nur eine der Küstenzone eigene Form sind; und so wird man, ohne die Mächtigkeit des Inlandeises damit herabzusetzen, nicht fehlgehen, wenn man den Mangel an Eisspalten im Innern Grönlands durch einen Mangel an so kräftigen und tiefen Unebenheiten des Untergrundes erklärt, wie sie der Küstenraum zeigt.“ Meiner Meinung nach kann diese Erklärung Drygalski kaum richtig sein, denn daß kräftige Unebenheiten des Untergrundes auch da nicht fehlen, wo keine Spalten auftraten, zeigen unsere oben erwähnten Erfahrungen von der Ostküste. Ein Unterschied zwischen dem Küstenraum und dem Innern, wie Drygalski ihn voraussetzt, kann wohl in keinem Lande nachgewiesen werden, das aus

Radialspalten waren nur sehr wenige zu sehen; dies läßt sich leicht durch die geringe Bewegung der Eismasse und ihre besondere Form an dieser Stelle erklären. Wo die Spalten auftraten, war die Oberfläche des Eises sonst sehr eben, wie in Fig. D zu sehen ist. Außer den Spalten gab es überhaupt nur sehr wenige größere Unebenheiten an der Oberfläche des Eises in dieser Zone. Eine ganz kleine Strecke östlich von Jensens Land ausgenommen, wo keine tiefen Spalten vorkamen, aber das Eis sehr zerklüftet und uneben war, passierten wir keine solche sehr unebene oder stark zerklüftete Strecken mit scharfen, hohen Eiskämmen und Wänden und dazwischenliegenden Schluchten, wie wir ihnen später in der Nähe der Westküste begegneten (vgl. Fig. E, F, G) und wie auch Kapitän Jensen



Fig. D. Die Oberfläche des Inlandeises in der Nähe unser Aufsteigeorts in der Umvik-Gegend. Rechts wird Jensens Land und im Hintergrund Colberger Heide gesehen. (Skizze des Verfassers am 17. August 1886 genommen.)

von Frederikshaabs Isblink beschrieben hat. Die Unebenheiten (vgl. „Auf Schneeschuben &c.“ II, S. 75—82) bestanden nur aus kleinern Eiskämmen oder -wellen (gewöhnlich nicht mehr als $\frac{1}{2}$ —1 m hoch), über welche wir die Schlitten ganz gut ziehen

ähnlichen Bergarten wie Grönland besteht. Falls der Untergrund des Inlandeises Norwegen ähnlich ist, was man gewiß annehmen kann, kann es auch im Innern keinen Mangel an kräftigen und tiefen Unebenheiten geben, denn wenn die Eisdecke sich über Gebirgsgegenden wie Dovre, Jotunheimen oder die Hellingdals-Gebirge bewegt, wird sie da ebenso große Unebenheiten passieren, wie in dem Küstensaum. Um eine Erklärung wie die Drygalskis zu gestalten, hören die Spalten auch in zu geringer Entfernung von der Küste auf, denn es ist doch wohl unnatürlich, daß schon 15 km vom Meere (wie an der Ostküste) ein so wesentlicher Unterschied in der Beschaffenheit des Untergrundes sich einstellen sollte. Die Spalten scheinen erst da aufzutreten, wo die Eisdecke sich in die einzelnen Randgletscher auflöst, welche in die Fjorde, Seen und Thäler anströmen. Meiner Meinung nach darf die Eismasse nur eine gewisse Mächtigkeit haben, wenn sie auch eine gewisse Bewegung und ihre Oberfläche einen gewissen Grad der Festigkeit haben muß, wenn Spalten gebildet werden sollen, und dies ist der Grund, warum Spalten nur in den äußersten Randzonen des Inlandeises gefunden werden. Drygalski widerspricht sich auch selbst, indem er auf S. 30—31 derselben Abhandlung über die Entstehung der Spalten sagt: „Mit Recht ist von K. J. V. Steinstrup die Frage aufgeworfen (Medd. IV, S. 79), ob die Bewegung des Eises der einzige Grund dieser wilden Zerklüftung sei, ob nicht noch andre Faktoren, z. B. die Erkaltung, dabei mitwirkend sind. Bei der großen Mächtigkeit der Inlandeisströme, die man zahlensmäßig allerdings nicht kennt, die man aber aus der sonstigen Tiefe der Fjorde herleiten kann, ist die Erklärung der Spalten durch Bewegung über Unebenheiten des Untergrundes in der That sehr erschwert.“ Diese Frage wird noch später, S. 83, berührt werden, und daher will ich hier nicht darauf eingehen.

konnten¹⁾. In der äußersten Randzone des Eises, ganz in der Nähe von Nordenskiöld's Nunatak, stammen sie vielleicht von Spalten, die wieder zufroren, und deren Kanten durch Schmelzen abgerundet wurden²⁾; eine solche Erklärung kann aber nicht für die kleinern Unebenheiten in etwas größerer Entfernung von der Küste gelten, denn hier gibt es ja keine Spalten. Hier sind sie wahrscheinlich Windwehen oder Wellen, die im Winter gebildet und durch regelmäßige Abschmelzung während des Sommers vergrößert und in Eis verwandelt werden. Die verhältnismäßig ebene Oberfläche der östlichen Randzone beweist, daß die Eisdecke da, wo wir aufstiegen, nur in geringer Bewegung sich befinden kann.



Fig. E. Unebene Oberfläche des Inlandeises innerhalb des Kangarsuak-Gletschers.
(Nach einer Photographie am 23. September 1880.)

Sehr bemerkenswert ist es, daß wir auf dem Inlandeise beinahe keine Bäche sahen. Außer ein paar ganz kleinen, nur einige Kilometer von der Ostküste und in einer Höhe von vielleicht 800 m über dem Meere, die sehr bald in einer Spalte verschwanden, wurden in der östlichen Randzone gar keine gefunden. Diese Eigentümlichkeit kann ihren Grund nicht in der späten Jahreszeit haben, denn die Zeit um Mitte August ist kaum spät zu nennen in bezug auf das Schmelzen des Schnees an der Küste; und außerdem hatten wir ja drei Tage Regen. Sie kann daher nur durch die Beschaffenheit der Oberfläche und dadurch erklärt werden, daß der Tauprozess in dieser Gegend nicht bedeutend genug ist, um Bäche zu bilden, indem das Schmelzwasser durch Infiltration in den unterliegenden Firnschnee sofort verschwindet.

In der westlichen Randzone des Inlandeises trafen wir die innerste Spalte

¹⁾ Am Morgen des 22. August bemerkte ich aber doch in meinem Tagebuche (vgl. „Auf Schneeschuhen &c.“ II, S. 82), daß wir einen guten Frost gehabt hatten (-5°C.); der Schnee war steinhart, aber ungewöhnlich uneben, so daß unsere Schlitten sogar mehrmals umwarfen. Gegen 9 Uhr (vormittags) hatte die Sonne wieder soviel Kraft, daß der Schnee feucht und etwas weich wurde.

²⁾ Vgl. Abb. in „Auf Schneeschuhen &c.“ II, S. 76.

ungefähr 40—50 km vom Rande des Eises entfernt. In diesem Abstand von der Küste traten Spalten nicht in großer Anzahl auf, und waren meist nur Querspalten; ihre Häufigkeit nahm aber gegen den Rand schnell zu. Sie waren oft sehr groß, besonders in der Nähe des Kangarsunek-Fjords; sehr oft verliefen sie da auch in verschiedenen Richtungen, indem Querspalten, die sonst am häufigsten waren, von Radialspalten geschnitten wurden, und „das Eis ragte dann wie kleine viereckige Inseln zwischen den tiefblauen Abgründen empor“ (vgl. „Auf Schneeschuhen &c.“ II, S. 160). Die Spalten waren innerhalb einer gewissen Entfernung von dem Fjorde, d. h. innerhalb des eigentlichen Eisstromes desselben nicht gleichmäßig verbreitet; ebenes Eis mit vielen Spalten wechselte mit sehr unebenen Strecken oder Rücken, die nach abwärts konvergierten und sich auflösten, so daß in der Regel im untern Eisstrom keine Spalten mehr erschienen. Zwischen den Rücken kamen auch ebenere Strecken ohne Spalten vor. Wir passierten mehrere solche Partien mit un-



Fig. F. Unebene Oberfläche des Inlandeises innerhalb des Kangarsunek-Gletschers.
(Nach einer Photographie am 25. September 1888.)

ebenem Eise; besonders hatten wir am 23. September eine sehr mühsame Wanderung über einen Rücken (vgl. „Auf Schneeschuhen &c.“ II, S. 164); steile, hohe Eiskämme und manchmal ziemlich spitze Eisgipfel oder -zacken, die oft eine Höhe von 6—10 m hatten, wechselten hier mit dazwischenliegenden Schluchten. Figg. E, F und G sind Photographien, die von diesem Terrain genommen wurden¹⁾. In Fig. E befindet man sich in der Mitte des Rückens, in Fig. G aber an der Grenze desselben, wo wir auf ebneres Eis hinübergelangen²⁾. In beiden Bildern blickt man nach NO. In Fig. F sieht man dagegen von dem Rücken nach SW; im Vordergrund ist unebenes Eis, im Hintergrund sieht man zum Teil auch über das ebenere Eis hinaus. Nachdem wir diesen zerklüfteten Rücken passiert hatten, kamen wir auf verhältnismäßig ebenes, spaltenfreies Eis, und dieses dauerte an bis wir ans Land kamen, wobei es durchschnittlich besser wurde, je mehr wir uns dem Rande näherten. Zwar war die Oberfläche nicht ganz glatt, aber die Unebenheiten waren so gering, daß wir unsre Schlitten mit Leichtigkeit darüberzogen und ohne Schwierigkeit vorwärts kamen. Wie in meinem Buch („Auf Schneeschuhen &c.“ II, S. 165—66) bemerkt ist, hatte es den Anschein, als ob wir uns hier auf der Südwestseite der innern

¹⁾ Da die originalen Photographieplatten (Eastman's stripping Filme) von Fehlern und Flecken entstellt waren, sind sie vom Verfasser so naturgetreu wie möglich in Tuschzeichnungen kopiert worden.

²⁾ Im Vordergrund und links auf dem Bilde kann man dies schon wahrnehmen.

Fortsetzung des Kangarsunek-Eisstroms befänden, denn die Eisfläche senkte sich nach Südwesten, d. h. nach dem Lande zu, das wir vor uns hatten, während sie nordwärts oder nach der Mitte des Eisstroms zu immer mehr anstieg. Diese ebene Zone ist also verhältnismäßig ruhiges Eis, das den eigentlichen Eisstrom auf seiner südwestlichen Absträgung begrenzt. Spalten, wie auch zerklüftetes unebenes Eis kamen nur in einem begrenzten Terrain vor, welches sich von dem Kangarsunek-Fjord nach dem Innern zu erstreckt und die innere Fortsetzung oder vielmehr den innern Ursprung des großen Kangarsunek-Eisstroms bezeichnet. Die Oberfläche dieser innern Fortsetzung war stärker gewölbt als das umgebende Eis und stieg nach der Mitte zu, wie bei gewöhnlichen Gletschern, an. Sie erhob sich dadurch als ein leicht erkennbarer Rücken über das ruhigere Eis auf den Seiten, das aber auch im Süden, wie wir gesehen, vom Lande schwach anstieg. In dieser innern Fortsetzung des Eisstromes konnte ich mehrere kleinere, stark zerklüftete Rücken unterscheiden, die nach dem Fjorde zu konvergierten,



Fig. G. Unebene Oberfläche des Inlandeises innerhalb des Kangarsunek-Eisstromes.
(Nach einer Photographie am 23. September 1888.)

um weiter abwärts mit ihren unebenen Oberflächen in dem allgemeinen Gewirr der Zacken und Unebenheiten des eigentlichen Eisstroms zu verschwinden. Diese Rücken mit unebenem Eise traten in allen von uns beobachteten Fällen nur bei stärkern Senkungen auf, nachdem die Eismasse eine Bodenschwelle passiert hatte; auf der letztern war das Eis eben und von vielen Spalten (Quer-, wie oft auch Radialspalten) durchschnitten¹⁾; weiter unten, wo die konvexe Krümmung aufhörte und eine Stauung entstand, verschwanden die Spalten und starke Unebenheiten traten auf. Die Bildung dieser Unebenheiten ist wahrscheinlich den Spalten zu verdanken; diese werden zwar wieder geschlossen und frieren zusammen, wenn die Eismasse sich über die Anschwellung des Untergrundes nach abwärts bewegt, die zwischen ihnen liegenden Eismwürfel (vgl. oben S. 81) werden aber durch diese Bewegung und die Stauung in ihrer Stellung zu einander verschoben und halb umgewälzt, so daß ihre scharfen Kanten und Ecken als Kämme und Zacken hervorrage, &c. Dazu kommt noch die Abschmelzung, die die Formen verändert.

Die hier beschriebene Erscheinung, daß oben in einem Gletscher große Spalten vorkommen, während sie eine kurze Strecke weiter unten größtenteils verschwinden und

¹⁾ Am Morgen des 22. September waren Sverdrup und ich (vgl. „Auf Schneeschuhen &c.“ II, Kap. XXI, S. 159) auf der Anschwellung oberhalb des unebenen Eisrückens, den wir am 23. September passierten. Hier war das Eis von vielen breiten Spalten quer durchschnitten. Radiale Spalten kamen auch vor, doch in geringerer Menge.

starke Unebenheiten auftreten, habe ich öfters in den Inlandeiströmen an der West-, wie an der Ostküste bemerkt; besonders war sie sehr auffallend auf einem kleinern Gletscher, der sich auf der Ostseite von Jensens-Land (zwischen diesem und Nordenskiöld's Nunatak) ins Meer ergießt. Dieser Gletscher wurde von Sverdrup und mir am Morgen des 12. August passiert. Wir versuchten erst an einer Stelle hinüberzukommen, wo die Oberfläche des Gletschers ganz eben und nur von Spalten durchschnitten war, doch waren diese zu zahlreich und groß, um einen Übergang zu erlauben. Dann machten wir weiter unten, mehr in der Nähe des Meeres einen Versuch. Hier war die Oberfläche außerordentlich uneben, ein wildes Gewirr von Kämmen, Zacken und Schluchten, aber keine von den tiefen, „bodenlosen“ Spalten kam vor, die wir nur ein paar hundert Meter höher in Menge antrafen, und in welche man leicht für immer verschwinden kann. War auch die Wanderung der Unebenheiten wegen ziemlich mühsam, so konnten wir doch mit Sicherheit vorwärts kommen. Die spaltenähnlichen Schluchten, die in diesem Terrain vorkamen, waren immer mit Wasser gefüllt. Dieser auffallende Unterschied in dem Charakter der Gletscheroberfläche auf einer so kurzen Strecke ist dem oben beschriebenen vollkommen ähnlich und kann meiner Meinung nach kaum anders erklärt werden, als dadurch, daß die Unebenheiten in genetischer Beziehung zu den Spalten stehen von denen nur wenige ihren ursprünglichen Charakter beibehalten. Eine solche Oberflächenbeschaffenheit scheinen die meisten Inlandeiströme in der Nähe ihres untern Endes zu haben, wo sie sich ins Meer ergießen, sie bieten immer ein wildes Gewirr von starken Unebenheiten, hohen, spitzen Zacken und Kämmen und dazwischenliegenden tiefen, blauen Schluchten dar; lange, breite und „bodenlose“ Spalten scheinen aber bei weitem nicht so häufig und regelmäßig vorzukommen, wie weiter nach dem Innern zu.

In dieser Verbindung kann ich auch die Oberfläche des Schreitgletschers erwähnen, der sich in das Langvand (Langwasser) im Austmannathal¹⁾ ergießt, und an welchem wir am 24. und 25. September so nahe vorbeikamen, daß wir eine gute Gelegenheit hatten, seine Oberfläche zu studieren. Diese war in dem mittlern Teil des Gletschers sehr stark zerklüftet, gerade so wie oben beschrieben wurde; wir konnten viele Schluchten zwischen den emporgagenden Zacken sehen, aber keine von den typischen Spalten mit den scharfen Kanten und den senkrechten Wänden, welche wir weiter einwärts in solcher Menge gefunden hatten²⁾. Dieser Gletscher wölbte sich in der gewöhnlichen Weise stark von den Seiten nach der Mitte zu, wie man es in Fig. H deutlich sehen kann. In der östlichen Randzone war die Eisoberfläche auf eine größere Strecke hin verhältnismäßig eben, doch war diese Strecke ziemlich scharf von dem unebenen Eise abgegrenzt. Das Eis ist hier wahrscheinlich in verhältnismäßig geringer Bewegung, trotzdem steigt die Oberfläche ein

¹⁾ Vgl. „Auf Schneeschuhen etc.“ II, S. 170 ff. und die Karte des Austmannathales (an S. 160).

²⁾ Wie schon oben S. 79, Anm., bemerkt, scheint Drygalski in Zweifel zu sein, ob die Zerklüftung der Oberfläche der mächtigen grönländischen Inlandeiströme sich nur durch Bewegung über Unebenheiten des Untergrundes erklären läßt. Oben meine ich schon nachgewiesen zu haben, daß die Bewegung über Bodenschwellen sehr oft Spalten und dadurch wieder Unebenheiten in der Eisoberfläche bilden kann, aber ich meine nicht, daß dies der einzige Grund der Zerklüftung ist. Ich finde es vielmehr ganz natürlich, daß, wenn der untere Teil eines Gletschers bei hoher Temperatur verhältnismäßig sehr plastisch oder viskos ist und sich daher in starker Bewegung befindet, während der obere Teil wegen der niedrigeren Temperatur bedeutend starrer ist, Spalten und Unebenheiten in der Oberfläche entstehen müssen, selbst wenn keine Unebenheiten in dem Untergrund vorhanden wären. Dieser Gegensatz zwischen dem untern und dem obern Teil muß aber gerade in den mächtigen Inlandeiströmen auftreten, denn der Unterschied zwischen der Temperatur an der Oberfläche und am Boden muß hier, besonders im Winter, ziemlich bedeutend sein. Wir brauchen auch nicht neue Zeugnis zu der Zusammenziehung des Eises durch Erkaltung zu nehmen, wenn sie auch, besonders im Winter, kleinere Spalten bilden kann. Eine starke Bewegung ist gewiß allein genügend, um eine neubene Oberfläche zu erzeugen, wenn diese hinlänglich fest oder starr ist. Dies ist aber nur in der Nähe des äußern Randes des Inlandeises, wo es aus festem Eis besteht, der Fall; daher kommen nur hier Spalten und Unebenheiten vor, während sie weiter einwärts, wo die Oberfläche aus weichem Schnee oder Schnee besteht, sich nicht bilden können. Aus den hier entwickelten Gründen finde ich es klar zu Tage liegend, daß alle Inlandeiströme eine sehr neebene Oberfläche haben müssen, wenn sie das Meer erreichen, selbst dann, wenn der Untergrund derselben eben ist, was ja stellenweise möglich ist.



Fig. H. Eisestrom, in der Langvaud (Austmannahal) mündend. (Nach einer Photographie am 26. September 1880.)

wenig nath der Mitte des Gletschers zu an, aber nicht so stark wie in dem zerklüfteten Teile. Auch dieser Gletscher schien¹⁾ sich mit seiner unebenen Oberfläche einwärts in dem Inlandeise fortzusetzen, da wir unebenes Eis weit im S von unsrer Route wahrnehmen konnten.

In der westlichen Randzone des Inlandeises gab es auch verhältnismäßig wenige Bäche. Dies kann natürlich seinen Grund in der späten Jahreszeit haben; doch hätten wir ja, wenn auch die Bäche verschwunden wären, ihre Rinnen gelegentlich antreffen müssen. Davon sahen wir im Innern jedoch nicht das Geringste, nur bis zu einer Entfernung von ungefähr 30 oder 40 km vom westlichen Rande des Eises und bis zu einer Höhe von ca 1300 m wurden Bäche oder Rinnen bemerkt, und desgleichen auch einige zugefrorene kleine Seen²⁾. Dafs wir in beiden Randzonen Spuren von so wenig Wasser fanden,

¹⁾ Wir konnten den Gletscher nicht in seinem ganzen Verlaufe verfolgen, denn er geht mit einer großen Krümmung ausserhalb des Landes südöstlich von Langwasser und ergiesst sich in die See.

²⁾ Die Möglichkeit besteht ja, dafs die Rinnen zum Teil durch den frischgefallenen Schnee und durch Wind schon verwischt waren, und es können daher solche in etwas gröfserer Entfernung vom Rande existiert haben.

muß in Erstaunen versetzen, wenn man sich erinnert, daß Nordenskiöld in 68° 30' N. Br. Bäche wie auch kleine Seen bis zu seinem innersten Zeltplatz in einer Meereshöhe von 1510 m und in einer Entfernung von ungefähr 100 km vom Rande des Eises antraf. Interessant ist der auffallende Unterschied zwischen der Wassermenge auf dem Eise in der östlichen und westlichen Randzone; dies scheint mir zur Genüge zu beweisen, daß die Abschmelzung auf der östlichen Seite des Inlandeises bedeutend geringer ist, als auf der westlichen.

Außer in diesen schmalen Randzonen in der Nähe der Küsten gibt es in dem ganzen mittlern Teil des Inlandeises in der Breite unsrer Reiseroute keine Seen, keine Bäche, keine Spalten, und beinahe keine Unebenheiten. Die Oberfläche ist vom Winde geschauert und geglättet wie der Fußboden einer Stube; nur in der Nähe der Randzonen, wo der Wind stark war, hatte er den trocknen Schnee, wie es gewöhnlich geschieht, zu kleinen Wellen zusammengetrieben. Am 30. August schrieb ich in mein Tagebuch, daß die lose, frischgefallene Schneeschicht, die über dem vollständig hartgefrorenen alten Eisschnee liegt, nur 4—5 Zoll betrage, und daß sie eben und glatt sei, während sie an den vorhergehenden Tagen 1 Fuß hoch und außerdem zu schanzenartigen Erhebungen zusammengeweht war, über welche die Schlitten nur schwer hinweggleiten konnten. Am 30. August waren wir in einer Meereshöhe von ungefähr 2000 m und ca 90 km von Nordenskiölds Nunatak entfernt, wo wir die Küste verließen. Von diesem Tage an war die Oberfläche glatt wie ein Spiegel, ohne andre Unebenheiten, als die Spuren, die wir selber hinterließen¹⁾. Dies dauerte bis zum 19. September, wo wieder Windwehen von verschiedener Größe auftraten²⁾; wir waren da in einer Meereshöhe von ca 2000 m und ca 80 km von dem westlichen Rande des Eises entfernt.

Die Oberfläche der östlichen Randzone des Inlandeises bestand bis ans Meer hinab größtenteils aus grobkörnigem Schnee (Firn Schnee)³⁾, der gegen das Innere zu feiner wurde; blaues Gletschereis war nirgends an der Oberfläche zu sehen, sondern nur in den Spalten. Diese Schneeoberfläche war in der Nähe der Küste gewöhnlich feucht und weich, so daß wir oft recht tief hineinsanken⁴⁾, wenn es aber nachts fro, wurde sie ganz hart; dies geschah schon am 21. August (Station 4) in einer Höhe von 560 m. Am Morgen des 23. August in einer Höhe von 1100 m war die Oberfläche ganz eben und glatt und auch bei Tage ganz hart gefroren⁵⁾. In einer Höhe von ca 1400 m (am Abend desselben Tages) bedeckte aber eine dünne Schicht feinen, frischgefallenen Schnees die harte Schneefläche, und von jetzt ab hatten wir keinen festen Boden mehr. Die lose, weiche Schneeschicht nahm gegen das Innere an Mächtigkeit zu; am 24. August schrieb ich, daß der frischgefallene Schnee tiefer und tiefer werde, und daß wir jetzt oft bis zu 4 Zoll tief versanken. Am 25. August (Höhe 1600 m) hatten wir 6—8 Zoll losen Schnee über dem hartgefrorenen. Am 29. August (Höhe 1950 m) wurde der Schnee so lose und tief, daß drei von uns die canadischen Schneeschuhe unter die Füße schnallten. Am 30. August (Höhe 2000 m) war der frischgefallene Schnee nur 4—5 Zoll dick, während er an den vorhergehenden Tagen bis zu 1 Fuß hoch gewesen war.

„Am Abend des 31. August, als wir die Schneeschuhstäbe einrammen wollten, um das Zelt aufzuschlagen, entdeckten wir zu unserm Erstaunen, daß sich freilich über dem alten Schnee, der unter dem frischgefallenen lag, eine feste Eiskruste befand; durchbrachen wir aber diese Kruste, so konnten wir die 2—3 m langen Stäbe so weit wir wollten einbohren.“

¹⁾ Vgl. „Auf Schneeschuhen &c.“ II, Kap. XVIII, S. 108—109.

²⁾ Vgl. *ibid.* Bd. II, Kap. XX, S. 141 ff.

³⁾ Nur ganz in der Nähe des obern Randes von Nordenskiölds Nunatak passierten wir eine kurze Strecke, wo die Oberfläche aus einem sehr gelockerten und porösen Eise oder Schneeeis bestand, das aus Eisnadeln oder -körnern zusammengesetzt und dicht von Luftkanälen durchzogen war. Es war sehr brüchig und krachte unter den Füßen, während die scharfen Eisnadeln die Schuhsohlen arg mitnahmten.

⁴⁾ Vgl. *ibid.* Bd. II, Kap. XV, S. 5 ff. und Bd. II, Kap. XVII, S. 75 ff.

⁵⁾ Vgl. *ibid.* Bd. II, Kap. XVII, S. 84.

In dieser Höhe von 2270 m (die Entfernung von Nordenskiöld's Nunatak an der Ostküste war ungefähr 110 km) kann also der alte Schnee nicht mehr hart anfrrieren, die Sonne kann nur mitten im Sommer eine dünne Schneeschicht feucht machen, und diese Schicht gefriert dann des Nachts wieder. „Das Schmelzen des Schnees kann folglich die Schneemenge in dieser Höhe nicht im geringsten vermindern, denn das verschwindend kleine Quantum Schmelzwasser, das sich bildet, kann nirgends fortkommen, sondern wird vom Nachtfrost festgehalten.“ Am 1. September lag nach dem Tagebuch zuoberst eine ungefähr 8—9 Zoll hohe Schicht frischgefallenen, losen Schnees, der so fein wie Staub war, und darunter eine ein paar Zoll dicke Eiskruste, welche den alten, ebenfalls losen Schnee bedeckte. Ein ähnliches Verhältnis fanden wir überall im Innern des Inlandeises; das Schmelzen des Schnees war kaum nennenswert.

Der schichtenweise Bau des alten Schnees war hier ganz eigentümlich. Am 3. September (Höhe ca 2550 m) habe ich wiederholt den Versuch gemacht, den Stab durch den Schnee zu stecken, und fand in der Regel oben eine dreizöllige Schicht losen, frischgefallenen Schnees, dann folgte eine Eiskruste, die ungefähr $\frac{1}{2}$ bis $\frac{2}{3}$ Zoll (ca 13 bis 17 mm) dick war, dann 7 Zoll (ca 183 mm) losen Schnee und darunter eine härtere Eisschicht, die sich nur mit Mühe durchbohren ließ; darauf ließ sich der Stab 1 Fuß bis 15 Zoll tief durch immer härter werdenden Schnee bohren, bis er ungefähr eine Elle von der Oberfläche nicht mehr weiter zu bringen war. An einer andern Stelle, wo ich früher an demselben Tage einen gleichen Versuch gemacht hatte, ließ sich der Stab aber 4 Fuß durch Schichten von immer mehr sich verdichtenden Schnee bohren, bis ihn eine ganz feste Schicht am Vordringen hemmte. Überall landeinwärts fanden wir Schichtenbildung im Schnee. In der Regel konnten wir den Stab fast so weit als wir wollten, wenn auch mit Mühe, einrammen. Die Breite dieser mittlern Zone des Inlandeises, wo das Schmelzen so gering ist, daß der Schnee an der Oberfläche niemals hart werden kann, bin ich leider nicht in der Lage genau anzugeben, da wir ihre westliche Grenze nicht beobachteten; wahrscheinlich haben wir sie am 19. September, als wir segelten, passiert.

Diese Schichtung des Schnees im Innern von Grönland ist natürlich der Schichtung des Firms in den europäischen Gletschern, wie auch der Schichtung des Schnees auf den grönländischen Küstengebirgen gleichzustellen¹⁾ und von den jährlichen Schneefällen herzuleiten, nur sind die Jahresschichten nicht durch Staub und Sand führende Lagen getrennt, wie es in Europa und auch in den grönländischen Küstengebieten gewöhnlich der Fall ist, sondern nur durch Eiskrusten, welche im Sommer gebildet werden. Diese Schichtung erinnert stark an die horizontale Eisschichtung in der Endwand der europäischen²⁾ wie auch grönländischen³⁾ Gletscher. In Grönland hat Steenstrup dieselbe in den lokalen Gletschern nachgewiesen; hier ist sie durch dünne Thon- und Sandstreifen oder -lagen markiert, in welchen sogar „größere Steine nicht selten gefunden werden“ (l. c. S. 209). In den Inlandeiströmen scheint es aber bedeutend schwieriger zu sein, eine solche Schichtung nachzuweisen; doch hat Ryder⁴⁾ am Rande des großen Upnivik-Eisstroms an mehreren Stellen eine deutliche Schichtung gefunden, die, wie er und sein Begleiter Ussing meinen, durch dünne Schichten feinen Schmutzes gekennzeichnet war. Falls diese Schichtung des Eises aus der des Schnees herzuleiten ist, was ja wahrscheinlich sein mag, so ist es nur schwer zu erklären, woher die dünnen Staubschichten kommen, denn die Inlandeiströme erhalten ja im wesentlichen ihre Speisung weit aus dem Innern, wo keine sichtbaren Staubschichten auf dem Schnee gebildet werden. Die letztern können

¹⁾ Steenstrup sagt in Medd. om Grönl. IV, S. 78: „Die Schneelage auf den Gebirgen ist in den senkrechten Durchschnitten deutlich geschichtet zu sehen“.

²⁾ Vgl. Heim, Gletscherkunde, S. 129 ff.

³⁾ Vgl. K. J. V. Steenstrup, Medd. om Grönl. IV, S. 78, 79, 208—209, Taf. III, Fig. 3; Taf. IV, Fig. 3.

⁴⁾ C. Ryder, Medd. VIII, S. 225, 227, Taf. XVIII u. XIX.

daher nur aus der äußern Zone des Inlandeises stammen, wo es mehr Staub gibt, und wo die Abschmelzung genügend groß ist, um ihn in deutlichen Schichten zu sammeln. Demnach müßten die Staubbechiten in den Inlandeisströmen hauptsächlich in den obren Lagen derselben vorkommen, die aus der äußern Zone des Inlandeises herkommen, während sie in den tiefen Lagen, die weiter vom Innern kommen (vgl. Fig. J), gar nicht oder in geringem Grade auftreten können. Dafs es sich auch in Wirklichkeit so verhält, kommt mir wahrscheinlich vor und ist meiner Meinung nach durch Ryders Beobachtungen auch nicht widerlegt, denn Ryder hat die Schichtung zum Teil nur am Seitenrande des eigentlichen Gletschers, wo das Eis keine starke Bewegung hat, und in den obren Lagen beobachtet, zum Teil auch in kleinern Gletschern oder Seitenarmen des großen Eisstroms, deren Material wahrscheinlich nicht so weit vom Innern kommt. In der Mitte der großen Inlandeisstrome wie auch in den davon gebildeten Eisbergen ist meines Wissens eine Schichtung noch nicht nachgewiesen worden. Zwar glaube ich, dafs sie auch da vorhanden ist, aber sie mufs verwischt werden, weil die Schichten nicht durch fremdes Material getrennt sind und durch die nach außen und nach der Tiefe wachsende Bewegung der Eismasse ausgewalzt werden. Die ursprüngliche Struktur des Eises wird dadurch wesentlich verändert und die Masse mehr homogen gemacht¹⁾.

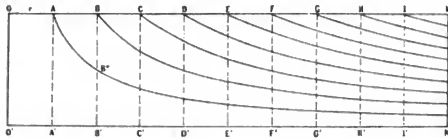


Fig. J.

Denken wir uns, dafs Fig. J einen Querschnitt durch einen Teil des Inlandeises von der Eisscheide OO' bis zum vertikalen Durchschnitt KK' darstelle. Der Einfachheit wegen nehmen wir an, dafs das Inlandeis überall auf dieser Strecke dieselbe Dicke hat, und dafs die Geschwindigkeit der auswärtsgehenden Bewegung in jedem vertikalen Durchschnitt von oben bis unten die gleiche bleibt, sowie auch, dafs der jährliche Niederschlag sich gleichmäfsig auf die ganze Oberfläche verteilt. Auch die Zusammendrückbarkeit der Schnee- und Eismassen, wie die Verminderung derselben durch Verdampfung und Abschmelzung werden wir nicht berücksichtigen. Wenn das Niveau des Inlandeises stationär bleibt, mufs durch jeden Vertikalschnitt jährlich eine Masse passieren, welche dem ganzen jährlichen Niederschlag zwischen dem Vertikalschnitt und der Eisscheide gleich ist. Nennen wir die Niederschlagshöhe s und den Abstand OA r , so ist die Masse, welche jährlich den vertikalen Durchschnitt AA' passiert, $= rs$, und die durch BB' gehende $= 2rs$ ($AB = OA$ und folglich $OB = 2r$). Die Masse, welche durch BB' passiert, ist also doppelt so groß wie diejenige, welche AA' passiert; da aber $AA' = BB'$, so mufs die durchschnittliche Geschwindigkeit der Bewegung durch BB' doppelt so groß sein wie die durch AA' . In derselben

¹⁾ v. Drygalski hat in seiner oben citierten Abhandlung der Schichtung der lokalen Gletscher in Grönland viel Aufmerksamkeit gewidmet (l. c. S. 49 ff.) und teilt einige vorläufige Photographien davon mit (l. c. Taf. IX–XII). „Diese Schichtung ist“, sagt er S. 49, „ein höchst wichtiges und ein höchst interessantes Merkmal der lokalen Gletscher.“ In den Inlandeisströmen findet man, meist er , nicht eine eigentliche Schichtung; der Staub, der also die Schichtung markiert, ist zwar auch hier vorhanden, „aber infolge der heftigen Bewegung und starken Zerklüftung wird er so wirr mit dem Eis vermengt, dafs er , abgesehen von der Oberfläche, wo man ihn sieht, nur ausnahmsweise im Körper des Gletschers zur Geltung gelangt“. Von solchen Ausnahmen, wo durch Staub eine deutliche Schichtung zustandekommt, erwähnt er zwei (S. 12, 49, vgl. auch Taf. I), diese kamen aber an Stellen vor, die „durch Ruhe auffallend“ waren.

Weise ist z. B. die Bewegung durch DD' durchschnittlich vierfach so groß wie die durch AA', durch KK' zehnfach so groß &c.

Die krummen Linien Aa, Bb &c. stellen die Wege dar, welche der an den verschiedenen Stellen A, B, C &c. fallende Schnee passieren muß, um den Durchschnitt KK' zu erreichen¹⁾. Schnee, der auf den Punkt A fällt, wird also den Durchschnitt KK' immer in A erreichen, Schnee, der vom Punkt B kommt, immer in b, &c. Daraus geht hervor, daß z. B. die Masse, welche jährlich durch BB' passiert, die Größe sr haben muß (sr ist nämlich der jährliche Niederschlag auf der Strecke zwischen A und B); eine Masse von derselben Größe muß auch jährlich durch ab passieren. Da die Geschwindigkeit der Bewegung in KK' fünfmal so groß wie in BB' ist, so kann ab nur ein Fünftel von BB' sein.

Nennen wir, wie oben, die Dicke der Schicht, welche der Niederschlag in einem Jahre bildet, s und die Geschwindigkeit eines Teils dieser Schicht an einer bestimmten Stelle v , so muß, da das Produkt von Mächtigkeit und Geschwindigkeit konstant ist, die Dicke s' desselben Teils an einer andern Stelle, wo die Geschwindigkeit v' geworden ist, sein:

$$s' = s \cdot \frac{v}{v'}$$

Nun wissen wir, daß die Geschwindigkeit der Gletscherbewegung an der Oberfläche am westlichen Rande des Inlandeises an vielen Stellen Nordgrönlands 15–30 m erreicht²⁾, während sie im Innern oder in der Mitte des Landes sehr gering sein muß. Die untersten Schichten aller größern Randgletscher müssen indessen aus diesem Innern stammen; denn die Bewegung der verschiedenen Teile des Inlandeises muß ungefähr so, wie es in Fig. J dargestellt ist, vor sich gehen. Denken wir uns jetzt, daß die ursprüngliche Dicke einer Jahres-Eisdecke im Innern 200 mm betrage, was man als Maximum betrachten kann³⁾, und die Geschwindigkeit der nach auswärts gehenden Bewegung an dieser Stelle 1 m in 24 Stunden sei, so muß die durchschnittliche Dicke derselben Schicht am Rande, falls die durchschnittliche Geschwindigkeit in der Tiefe, wo sie sich befindet, auf 20 m in 24 Stunden angewachsen ist, $200 \cdot \frac{1}{20} = 10$ mm betragen. Schichten von so geringer Dicke sind aber im Eis sehr schwer zu entdecken, besonders wenn sie nicht durch dünne Staubschichten markiert werden. In der obigen Berechnung haben wir allerdings zwei Faktoren von Bedeutung außeracht gelassen, welche die Sache etwas komplizierter machen, nämlich die Zusammendrückbarkeit des Gletschereises und das unregelmäßige Ausfließen der Gletschermassen auf begrenzten Stellen (Eisströme) anstatt den ganzen Rand entlang, was wir der Einfachheit wegen vorausgesetzt haben. Der erste Faktor bewirkt eine Verdünnung der Schichten, der letztere aber eine Verdickung, indem die Gletschermassen gegen die begrenzten Eisströme konvergieren und also eine seitliche Zusammenpressung entsteht. Auf die wahrscheinliche Mächtigkeitsabnahme der Schichten

¹⁾ Unter der obigen Voraussetzung, daß das Inlandeis überall dieselbe Dicke hat &c., ist es leicht nachzuweisen, daß diese Kurven gleichseitige Hyperbeln sein müssen, für welche die Eisdecke OO' und die ebene Unterlage O'K' die Koordinaten bilden. Betrachten wir z. B. die Kurve Aa, und nennen wir den Abstand OA = r , die Dicke des Inlandeises d , den Abstand irgend eines Punktes der Kurve von der Unterlage O'K' = y , und von der Eisdecke OO' = x (z. B. ist für Punkt B" $y = B'B$ und $x = O'B$), so erhalten wir die folgende Gleichung für die Kurve:

$$\frac{y}{d} = \frac{r}{x}; \quad xy = rd,$$

was ja eine gleichseitige Hyperbel ausdrückt.

²⁾ In dem südlichen Grönland fand Steenstrup eine Geschwindigkeit nur bis 3,7 m in 24 Stunden. Medd. om Grönl. II, S. 24.

³⁾ Wenn man die oben S. 86 erwähnten Schichten von ca 7 Zoll (183 mm) an der Oberfläche als Jahres-schichten ansieht, und dazu die dazwischenliegenden Eiskrusten von $\frac{1}{2}$ –2 Zoll (ca 13–52 mm) addiert, erhält man also eine Jahresdecke von höchstens 183 mm + 52 mm oder 235 mm. Nach den meteorologischen Untersuchungen an der Westküste Grönlands ist der jährliche Niederschlag in Godthaab 652 mm, in Jakobshavn 217 mm, in Upernivik 228 mm, und wir können mit Sicherheit annehmen, daß der Niederschlag im kalten Innern des Landes bei weitem nicht denjenigen an der feuchten Küste erreicht. Die oben gefundene Jahresdecke von 235 mm Firn- und Eis, welche in Wasser verwandelt vielleicht einen Niederschlag von ungefähr 160 mm repräsentiert, kann also als ganz wahrscheinlich gelten.

in einem Binneneise hat schon O. Fischer aufmerksam gemacht¹⁾, und sie ist in den antarktischen Eisbergen auch direkt nachgewiesen worden. Nach der Mitteilung Wywille Thomsons von der Challenger-Expedition war die Durchschnittshöhe eines antarktischen Eisbergs über der Wasserlinie ungefähr 60 m; ungefähr 24 m unter dem Gipfel waren die Schichten etwa 300 mm dick, in der Nähe der Wasserlinie aber nur mehr ca 76 mm²⁾. Denken wir uns die Abnahme der Schichten in demselben Verhältnis nach abwärts fortgesetzt, und erinnern wir daran, daß der Eisberg wenigstens 500 m unter das Wasser gereicht haben muß, so erhalten wir in dieser Tiefe eine Dicke der Schichten von ca 1,5 mm.

Nach dem Gesagten müssen also die Schichten des grönländischen Inlandeises von oben nach unten, und jede Schicht muß vom Innern nach außen an Mächtigkeit abnehmen.

Durch Veränderungen in der Bewegung müssen auch Veränderungen in diesen Dickenverhältnissen entstehen. Da die Eisdecke sich über einen ungleichmäßigen Untergrund hinbewegt, kann die Bewegung nicht regelmäßig nach außen zu wachsen. Wo der vertikale Durchschnitt der Eisdecke vermindert wird — z. B. durch Gebirge des Untergrundes, die sie passieren muß —, da wird natürlich die Geschwindigkeit in entsprechendem Grade vergrößert, denn dieselbe Eismasse muß ja diesen kleineren Durchschnitt in derselben Zeit, wie an einer andern Stelle einen größern Durchschnitt in derselben Entfernung von der Eisscheide passieren. Durch jeden Vertikalschnitt muß nämlich, wenn das Niveau des Inlandeises stationär bleibt, jährlich so viel Schnee, Eis und, wo es Schmelzung gibt, Wasser hindurchgehen, als in einem Jahre Niederschlag auf der ganzen Strecke zwischen dem Durchschnitt und der Eisscheide fällt³⁾. Wo das Durchgangsprofil vergrößert wird, wie über Vertiefungen des Untergrundes, wird die Geschwindigkeit vermindert. Aus diesem Grunde müssen die Schichten des Inlandeises über Erhöhungen des Untergrundes verdünnt und über Vertiefungen desselben verdickt werden. Dadurch, daß der Niederschlag an den verschiedenen Stellen des Inlandeises verschieden ist, wird auch dieses Verhältnis noch komplizierter. Mit der Zunahme des Niederschlags vom Innern nach außen nimmt auch die ursprüngliche Dicke der Schichten in gleicher Richtung zu, wird jedoch in der Nähe der Ränder durch die starke Abschmelzung an der Oberfläche vermindert.

d) Fremde Gegenstände und Moränen auf der Oberfläche des Inlandeises.

Wie bereits gesagt, wurde im Innern Grönlands kein Staub oder Schmutz auf der Oberfläche des Schnees gefunden. Es kann dies daher kommen, daß die Schneedecke zu frisch war; aber auch in den tiefern Schichten war kein Staub zu beobachten. Möglicherweise ist die Abschmelzung zu gering und sind die Schneeniederschläge zu häufig, um eine Ansammlung von deutlichen Staubschichten zu gestatten, und wird der fallende Staub mehr durch die ganze Schneemasse verbreitet. Einen Beweis für diese Vermutung können wir freilich nicht beibringen, denn wir konnten keine Schneeproben zur chemischen Untersuchung aus dem innern Grönland mitnehmen. Von größerm Interesse ist daher, daß wir auch an der Ostküste oder in der Nähe derselben fast nichts von Staub oder Kryokonit, wie Nordenskiöld ihn nennt, sahen, denn hier ist die Abschmelzung groß genug, um eine Ansammlung von Kryokonit hervorzurufen, wenn er in bemerkbarer Menge vorhanden wäre. Ist derselbe zum großen Teil kosmischen Ursprungs, wie Nordenskiöld meint, so dürfte dieser kosmische Teil überall in derselben Menge auf die Oberfläche des Inlandeises fallen und überall, wo die Abschmelzung genügend groß ist, in Ansammlungen auftreten. Wenn nun aber keine solchen an der Ostküste in der Umvik-gegend vorhanden waren, so beweist dies, daß der Kryokonit keine solche allgemeine

¹⁾ Phil. Mag. and Journ. of Sc. VII (1879), S. 389 ff.

²⁾ Vgl. l. c. S. 392; wie auch „Nature“ XV, S. 102, 120.

³⁾ Auf dieses Verhältnis hat auch Prof. Schiötz in „Nyt Mag. for Natur.“ XXXII (1891), S. 261 aufmerksam gemacht.

Verbreitung besitzt, wie die erwähnte Theorie voraussetzen muß, und daß jedenfalls nur ein sehr geringer Teil desselben kosmischen Ursprungs sein kann. Daß der Kryokonit in so geringer Menge in der Nähe der Ostküste zu sehen war, läßt sich wohl am einfachsten dadurch erklären, daß er zum größten Teil von dem nördlichen Küstenlande stammt; er ist Staub (zum Teil Gletscherschlamm), den der Wind von der Küste auf die Eisfläche führt¹⁾. Wenn es aber, wie in der Umivikgegend, kein solches Küstenland in der Nähe gibt, sondern nur zerstreute, kleine Nunatakken, so ist es klar, daß nur wenig Material für äolische Ablagerungen vorhanden ist, und das Inlandeis kann in dieser Gegend nur einen außerordentlich dünnen Überzug von Kryokonit erhalten²⁾.

In der Nähe der Westküste dagegen fanden wir Kryokonit an mehreren Stellen bis zu 30 km oder mehr vom Rande des Eises. Es waren freilich stets nur sehr geringe Mengen, was zum Teil der späten Jahreszeit zuzuschreiben ist, da die Wasserlöcher, in denen man den Kryokonit hauptsächlich findet, zugefroren waren; auch war die Eisoberfläche hier zum großen Teil mit frischgefallenem Schnee bedeckt.

Im ganzen Innern Grönlands bemerkten wir nirgends auf der Oberfläche des Inlandeises das Geringste von Steinen (erratischen Blöcken) und Moränenschlamm, und ebenso wenig in den Randzonen, ausgenommen an der letzten kleinen Abdachung an der Westküste, nur etwa 100 Ellen von dem alleräußersten Rande entfernt. Dies beweist, daß das grönländische Inlandeis keine Oberflächenmoräne trägt, lokale Mittel- und Randmoränen &c. natürlich ausgenommen. Es stimmt dies vollkommen mit den früher gemachten Beobachtungen überein, widerspricht aber den Behauptungen einiger Geologen, daß die kontinentalen Inlandeise der größeren Eisperioden Europas und Amerikas große Obermoränen aus Kies und Steinen auf ihrem Rücken mit sich fortführten, in ähnlicher Weise, wie es die lokalen und verhältnismäßig kleinen Gletscher der Alpen &c. thun. Eine solche Behauptung, die durch einseitige Studien an lokalen Gletschern entstanden und jetzt auch größtenteils wieder verlassen ist, bedarf kaum einer andern Widerlegung, als des Hinweises auf das grönländische Inlandeis. Die Existenz solcher Obermoränen, außer in den äußeren Randzonen, stimmt auch nicht mit der ganzen Mechanik eines Inlandeises. Daß Nunatakken im Innern des europäischen Inlandeises existiert haben, von welchen z. B. die Moränenmassen Deutschlands herkommen könnten, ist schon an und für sich sehr unwahrscheinlich, wenn nicht unmöglich, denn wo sollten solche existiert haben? Sie müßten in den norwegischen Hochgebirgen gesucht werden, in Jotunheimen, Dovre &c.; wir können aber jetzt mit großer Sicherheit sagen, daß alle diese hohen Gebirge auf der andern (nordwestlichen) Seite der Gletscher- oder Eisscheide lagen, so daß, falls da Nunatakken vorhanden waren, die davon gebildeten Obermoränen in das Atlantische Meer und nicht südwärts nach Deutschland hätten geführt werden müssen. Aber selbst wenn eine Obermoräne im Innern eines Inlandeises wirklich zur Bildung gelangte, könnte sie sich nicht lange an der Oberfläche erhalten. Infolge der Mechanik des Gletschers müssen sie nämlich während der Bewegung der Schnee- und Eismasse nach auswärts ganz allmählich zu Boden sinken, denn die ganze Schnee- und Eismasse ist ja, wie es auch die Schichtung zeigt, in einer stetigen Bewegung von der Oberfläche gegen den Boden und vom Binnenland nach der Küste begriffen, indem sie oben immer neuen Zuwachs bekommt, während unten die Masse nach auswärts gedrückt wird, so daß, was einmal oben war, zuletzt unten liegen muß, wenn es nicht schon früher den Rand des Eises erreicht hat³⁾. Ist dieser Gegenstand ein Stein, der ein viel

¹⁾ Für diese Auffassung sind ja schon von mehreren Geologen gute Beweise angeführt worden.

²⁾ Daß der Kryokonit zum größten Teil lokalen Ursprungs ist, wird meiner Meinung nach auch dadurch bewiesen, daß der Staub auf der Oberfläche des Treibeises von verschiedener Natur ist; vgl. die Abhandlung über denselben im Anhang I.

³⁾ Daß eine Obermoräne auf dem Inlandeis nach einiger Zeit wirklich verschwindet, ist von der dänischen Expedition unter Kapitän Jensen auch direkt beobachtet worden (vgl. Kornerup, Medd. om Grönland I, S. 132—33 und Taf. V). Die von Kornerup gegebene Erklärung, daß Spalten in der Oberfläche des Eises

größeres Eigengewicht besitzt, als Schnee, so wird er sich rascher nach dem Boden zu bewegen, als der Schnee¹⁾. Eine aufwärtsteigende Bewegung durch die ganze Eismasse, wie sie Dr. G. F. Wright²⁾ für die erratischen Blöcke annimmt, kann nicht existieren, sie ist nicht physikalisch begründet, denn sie vernachlässigt alle jene Momente, welche wir soeben besprochen haben, und sie streitet gegen alle Erfahrung. Ich brauche nur auf das grönländische Inlandeis hinzuweisen, wo keine Obermoräne und überhaupt keine fremden Gegenstände im ganzen Innern auf der Oberfläche vorhanden sind, wie ja auch die davon kommenden Eisberge außerordentlich selten Steine einschließen, was ganz gewöhnlich sein müßte, wenn die erratischen Blöcke, die von dem Boden losgerissen werden, sich immer aufwärts bewegen und bewirken würden, daß „der Gletscher einem Plumpudding gleicht, gefüllt mit zerstreutem Kies und Steinen von oben bis unten und von einer Seite bis zur andern“³⁾.

Die enormen Massen von losem Material, Kies und Steinen, welche die kontinentalen Inlandeise gewiß mit sich geschleppt haben, wie das grönländische Inlandeis es noch jetzt thut, wurden hauptsächlich an der Unterseite und in den untersten Schichten der Eisdecke fortgeführt; sie bildeten also eine Grundmoräne. Größtenteils wurde dieses Material vom Eise selbst vorwärts geschoben oder war im Eise eingebettet, zum Teil wurde jedoch der Transport wahrscheinlich auch durch die unter dem Eise fließenden Bäche erleichtert. Daß das Inlandeis in Grönland eine Grundmoräne besitzt, dafür sprechen viele Zeugnisse; ich brauche nur auf die oben (S. 90, Anm. 3) erwähnten Moränen zu verweisen, welche von der dänischen Expedition in der Gegend der Jensens- und Dalagers-Nunataken gefunden wurden. Auch unsere eignen Beobachtungen sprechen dafür. Bei Austmannatjern, an der Stelle, wo wir das Inlandeis verließen, kamen große Moränen vor⁴⁾, wie auch der ganze obere Teil des Austmannathals mit Moränenmaterial erfüllt war. Diese Moränen können nur als Endmoränen aufgefaßt werden: sie bestanden meist nur aus geschliffenen und abgerundeten Steinen, die also nur von dem Inlandeise herbeigeschafft sein können und zwar als Grundmoräne, da es keine Nunataken innerhalb des Eisrandes an dieser Stelle gibt und auch keine Obermoränen zu sehen sind.

Ich habe schon gesagt, daß wir an dem letzten kleinen Abhang des Inlandeises, nur etwa 100—200 Ellen von seinem alleräußersten Rande an Austmannatjern entfernt, Kies und Steine, zum Teil von ziemlicher Größe, auf der Oberfläche des Eises fanden. Auf

immer gebildet und wieder geschlossen werden, in welche die Steine der Moräne hineinfallen und verschwinden, ist kaum haltbar; es erklärt s. B. jedenfalls nicht, warum die Moräne am Rande des Nunatak s. (Taf. V, D, m₂) so bald verschwindet, denn hier ist doch gewiß noch keine Spalte vorhanden. Der Grund muß vielmehr der sein, daß die neuen Schneeschnitten, die fortwährend gebildet werden, die Moräne allmählich bedecken, so daß sie in ein immer tieferes Niveau gelangt, je mehr sie sich von ihrer Ursprungsstätte entfernt, bis sie endlich ganz in der Eismasse verschwindet.

¹⁾ William Thomson hat auch darauf aufmerksam gemacht, daß Kugeln, die auf die Oberfläche eines Stückes Schusterwachs gelegt werden, ganz allmählich (nach einem oder mehreren Jahren) in dem Wachs verschwinden, während Stückchen von Kork, die unter das Wachs gelegt werden, sich allmählich aufwärts nach der Oberfläche zu bewegen (Transact. of the Geol. Soc. of Glasgow 1888, S. 331).

²⁾ G. F. Wright, The Ice Age in North America (1889), S. 220 ff.; vgl. auch die Abbildung S. 168.

³⁾ Vgl. The Ice Age in North America, S. 221. Wright meint, daß das grönländische Inlandeis keinen Beweis gegen seine Behauptung liefere, weil Grönland so lange dem Schmelzen des Eises ausgesetzt war, daß „alle losen Felsenstücke schon aufgeammelt und nach dem Rande getragen sind und der Untergrund jetzt so eben und aus allen Fragmenten ebnflächig ist, daß nichts für den Gletscher anzufassen übrig bleibt“. Diese Einwendung scheint mir nicht viel Wert zu haben, denn erstens ist es ja allgemein bekannt, daß das Inlandeis fortwährend loses Material als Grundmoräne mit sich führt, das aus dem Innern des Landes kommt und nur von dem Untergrund losgerissen worden sein kann, denn es kommt überall am Rande vor, auch da, wo keine Nunataken im Innern existieren. Ein sehr schönes Beispiel bieten die von der dänischen Expedition im Jahre 1878 in der Nähe von Jensens und Dalagers Nunataken gefundenen Moränen (vgl. Medd. om Grönland I, S. 129—136). Ähnliche Moränen fanden wir am westlichen Rande des Eises, die nur von der Grundmoräne her stammen können, da keine Nunataken innerhalb dieses Randes existieren: hier fanden wir ja auch Blöcke auf dem Eise. Zweitens zeigt, wie oben S. 66 bemerkt wurde, der soeben vom Eise verlassene Boden eine Oberfläche, die der Loslösung von Fragmenten durch das Eis gewisse keine Schwierigkeit bietet.

⁴⁾ Auf der Abbildung in „Auf Schneeschuhen &c.“ II, S. 169 ist in dem Vordergrund ein Teil der Moränen zu sehen, welche den Austmannatjern abdämmt. Der auf der Abbildung S. 167 am Eisrande rechts sichtbare kleine Hügel besteht größtenteils aus Moränenmassen.

der Abbildung in meinem Reisewerke II, S. 169 können im Hintergrunde links in der Nähe des Ufers des kleinen Sees (Austmannatjern) einige dieser Steine auf dem Gletschereise gesehen werden; das Bild ist jedoch leider etwas undeutlich ausgefallen¹⁾. Das Vorkommen von Steinen auf dem Eise läßt sich meiner Meinung nach nur dadurch erklären, daß man annimmt, sie seien ursprünglich in den untern Schichten des Eises eingebettet gewesen. Durch die Bewegung des Eises und die Abschmelzung gelangten sie nach und nach an die Oberfläche am untern Rande des Eises, wo sie solange bleiben, bis sie in die Moräne übergehen oder eine neue Moräne auf der Oberfläche des Eises, wie man es oft sieht, bilden. Es ist allgemein bekannt, daß Steine und Kies in der Gletschermasse und besonders in deren untern Schichten eingebettet sind. Nach der gewöhnlichen Annahme stammen sie von irgendeiner Obermoräne, sind in Spalten gefallen und sodann von der Eismasse eingeschlossen worden. Diese Erklärung kann unmöglich da Stich halten, wo es keine Obermoräne gibt; ich finde die wahrscheinlichste Ursache in Unebenheiten des Untergrundes, über welche die Eisdecke hinwegschritt. Wenn eine solche Unebenheit in die Eismasse hineinragt, muß die Bewegung der untern Schichten gestört werden, indem das Eis teils nach den Seiten der Unebenheit, teils über dieselbe geprefst wird. Die Grundmoräne folgt natürlich denselben Richtungen²⁾; ein Teil derselben wird aufwärts über die Unebenheit geschoben und, sobald diese passiert ist, in die Eismasse eingebettet, indem er nicht dem Abhang auf der Leeseite der Unebenheit folgt, sondern eine mehr horizontale Richtung beibehält, da das an den Seiten der Unebenheit fließende Eis sich an der Leeseite zum Teil unter dem den Gipfel übersteigenden Eise schließt. In ganz ähnlicher Weise entsteht in einem Wasserstrom, wo Unebenheiten auf dem Boden vorkommen, eine aufwärtssteigende Bewegung, die sogar eine Welle an der Oberfläche erzeugt. Wie im Wasser an solchen Stellen eine stärkere Strömung entsteht, so auch im Eise über und an den Seiten solcher Unebenheiten, denn nur dadurch kann eine Verminderung des Querschnittes der Masse ausgeglichen werden. Von den Unebenheiten selbst werden natürlich auch oft Blöcke losgerissen und in derselben Weise im Eise eingebettet. Da große wie kleine Unebenheiten unter der Eisdecke allgemein vorkommen müssen, so ist es nicht schwer zu verstehen, daß Kies und Steine in den untersten Schichten des Eises verbreitet sind, und man braucht gewiß nicht zu Hypothesen von einer aufwärtssteigenden Bewegung der Blöcke selbst im Eise &c. seine Zuflucht zu nehmen³⁾. Daß Steine innerhalb des Inlandeises vorkommen, kann man auch daraus schließen, daß solche in Eisbergen bisweilen, wenn auch selten, zu sehen sind; ich kann hier besonders einen Eisberg anführen, dem ich 1882 in der Dänemarkstraße begegnete, und welcher viele große und kleine Steine einschloß⁴⁾. Dieses in den untern Schichten des Eises eingeschlossene Material muß unter normalen Verhältnissen die Tendenz haben, sich wieder mit der Grundmoräne zu vereinigen, indem das Eis durch die Reibung gegen den Untergrund, wie auch durch die Erdwärme und die Wasserläufe langsam, aber stetig an der Unterseite abschmilzt.

Innerhalb Austmannatjern südlich von unsrer Route sahen wir in einer Senkung des

¹⁾ Es ist ganz interessant, daß die erste Expedition nach dem grönländischen Inlandeise, die bekannt ist, und welche gerade in derselben Gegend innerhalb des Ameralik-Fjords den Eisrand besuchte, auch ähnliche Steine auf dem Eise fand und beschrieb. Diese Expedition wurde im Jahre 1729 vom Major und Gouverneur Paars unternommen, und in seinem Bericht an den König sagt er u. a. von dem, was er auf dem Rande des Eises sah: „Das Remarquableste, das zu sehen war, war erstens, daß es große Steine oben auf dem Eise liegend gab außer andern kleinen Steinen, von welchen ich ein paar mit mir nahm“ Diese Steine, meint er, müßten „absolut durch heftige Winde und Wetter hergeführt sein“. Vgl. „Tilskueren“ VI (Kopenhagen 1889), S. 486; vgl. auch „Auf Schneeschuhen &c.“ II, S. 25 ff.

²⁾ Durch Untersuchung der Gletscherschrammen auf hervorstechenden Felsen in Norwegen oder Grönland, die von der Grundmoräne herkommen, kann man sich sehr leicht davon überzeugen.

³⁾ Auf der dänischen Expedition nach Jøssens Nunatakker wurden auch Steine und Moränen auf der Abdachung des Eises nach den Nunatakker g., h und i gefunden (vgl. Medd. om Grøn. I, Taf. IV u. S. 180 ff.). Auch diese müssen ursprünglich im Eise eingebettet gewesen sein. Diese Meinung teilt auch Kornørup; er scheint aber zu glauben, daß dieses Material von Obermoränen herkommt (vgl. l. c., S. 133).

⁴⁾ Vgl. meine Abhandlung in Nyt Mag. for Naturv. Christiania XXVIII, S. 54 ff.

Eises eine Moräne, die sich einwärts erstreckte. Leider erlaubte uns die Zeit nicht, sie näher zu untersuchen. Ich fasse sie als eine Art Mittelmoräne auf, welche dadurch gebildet war, daß die Grundmoräne an der Grenze zweier Gletscher: desjenigen, an dessen Rande wir uns befanden, und des südlich davon ausfließenden, aufgeschoben wurde. Daß hier ein unsichtbarer Nunatak unter der Oberfläche des Eises liegt, von welcher die Moräne stammt, scheint mir weniger wahrscheinlich, aber wie es sich auch damit verhält, so muß die Moräne jedenfalls von der aufgeschobenen Grundmoräne gebildet worden sein.

e) *AbSchmelzung, Bewegung und Dicke des Inlandeises.*

Aus dem, was oben von der Struktur der Oberfläche des Inlandeises gesagt wurde, geht hervor, daß fortwährend neue Schneeschichten gebildet werden und daß im ganzen Innern die Schneemasse nicht im geringsten durch Schmelzen an der Oberfläche vermindert wird, sondern daß dies nur in den Randzonen geschehen kann. Das Inlandeis erhält also einen jährlichen Zuwachs auf seiner Oberfläche, aber trotzdem scheint es nicht merkbar zu wachsen. In meinem Reisewerk (Bd. II, S. 448 ff.) habe ich schon die Frage diskutiert, welche Kräfte das Inlandeis am Wachstum hindern. Ich habe da für das Innere des Landes zweien Faktoren wesentliche Bedeutung beigelegt: der Bewegung der dickflüssigen Eismasse nach auswärts und der Abschmelzung derselben an der Unterseite durch die Erdwärme. Daß eine solche Abschmelzung vor sich geht, kann man mit Sicherheit behaupten, ihre Größe habe ich aber wahrscheinlich überschätzt. Wie Prof. Schiötz in einer spätern Abhandlung nachgewiesen hat¹⁾, kann die Erdwärme höchstens eine 8,23 mm dicke Schicht reinen Eises im Laufe eines Jahres schmelzen, selbst wenn die ganze dem Erdinnern entstömende Wärmemenge dazu verwendet würde²⁾, und die auf diese Weise „bewirkte Abschmelzung beträgt höchstens $3\frac{1}{2}$ Proz. des jährlichen Zuwachses“. Diese Abschmelzung wird zwar etwas größer, da auch durch die Friktion während der Bewegung der Eismassen und durch den Druck derselben Wärme erzeugt wird, kann aber doch, wie Schiötz nachweist, nicht bedeutend werden und alles in allem nicht viele Prozente des jährlichen Zuwachses betragen. Als der wesentlichste Faktor, der das Anwachsen der Eisdecke im Innern Grönlands verhindert, bleibt uns also nur ihre horizontale Bewegung. Die Dicke der Eisdecke muß so lange wachsen, bis die durch den innern Druck bewirkte Bewegung so stark wird, daß sie dem Niederschlage die Wagschale hält; die Sonnenwärme kann in dieser Beziehung im Innern von keiner direkten Bedeutung sein³⁾. Für diese Bewegung kommt indessen die Wärme und besonders die Erdwärme wesentlich in Betracht, indem die Viskosität des Eises mit der Temperatur wächst, besonders wenn sich diese dem Schmelzpunkt nähert. In der Eisdecke muß die Temperatur von der Oberfläche nach unten zunehmen, bis sie an der Unterfläche den Schmelzpunkt des Eises erreicht, welcher wegen des Druckes der überliegenden Masse unter 0° liegt, und zwar um so mehr, je größer der Druck ist⁴⁾. In den untersten Schichten des Inlandeises, wo die Temperatur sich dem Schmelzpunkt nähert, muß die Viskosität und damit auch die Bewegung eine

¹⁾ A. E. Schiötz, Das Schmelzen des Bismuteneises. Forh. i Vid.-Selsk. i Christiania 1891, Nr. 6.

²⁾ William Thomson meint, daß sie höchstens eine 1 cm dicke Eisschicht im Laufe eines Jahres schmelzen kann (vgl. Transact. of the Geol. Soc. of Glasgow, 1888, S. 340), und Peschel-Leipoldt gibt nur 6,8 mm an (Phys. Erdkunde I, S. 214). Unser Kenntnis der Erdwärme ist doch noch zu ungenügend, um eine genaue Berechnung zu gestatten.

³⁾ Die Sonnenwärme kann nur in den äußersten Randzonen eine wirkliche Verminderung der Massen durch Abschmelzung bewirken, und sie spielt hier dieselbe Rolle wie die Bildung der Eiskberge, nämlich die Eismassen zu entfernen, welche durch die Bewegung nach den Rändern geführt wurden.

⁴⁾ Die Ausdrücke in „Anf Schneeschuben &c.“ II, S. 450 sind nicht deutlich genug und können vielleicht so aufgefaßt werden, als ob ich meinte, daß das Eis sich in einem untern Schichtenkomplex von größerer Mächtigkeit auf dem Schmelzpunkte befinden könne, ja Schiötz glaubt sogar nach dem Berichte meines Vortrags in Verhandl. d. Gesellsch. für Erdk. zu Berlin 1890, XVII, S. 452, daß diese Mächtigkeit meiner Meinung nach mehrere Hundert Meter betrage (vgl. seine citierte Abhandlung S. 11). Er hat aber meine Worte unrichtig aufgefaßt, dergleichen habe ich weder an der von ihm citierten Stelle, noch irgendwo sonst gemeint oder gesagt. Was ich gesagt habe und was ich noch meine, ist, daß, wenn man voraussetzt, daß die

verhältnismäßig bedeutende sein. Die Viskosität muß im Inlandeise, wo so große Temperaturdifferenzen zwischen oben und unten bestehen, eine ganz andre vertikale Verbreitung haben, als in einem gewöhnlichen lokalen Gletscher, wo die Temperatur in senkrechter Richtung bedeutend gleichmäßiger ist, und infolgedessen muß das Verhältnis zwischen der Bewegung der obern und untern Schichten im Inlandeise ein andres sein als in den letztern.

Leider brachten wir keine Beobachtungen mit, die einen direkten Schluß in bezug auf die Dicke des Inlandeises erlauben; die bedeutende Höhe desselben über dem Meere berechtigt uns aber doch zu dem Ausspruch, daß sie durchschnittlich ganz beträchtlich sein muß. Ich habe schon öfters bemerkt, daß der Untergrund des Inlandeises ein Bergland sein muß, welches wahrscheinlich große Ähnlichkeit mit Norwegen hat. Wie in diesem Lande, muß es hohe Gebirge und tiefe Thäler geben; ja, da beide Küsten stärker zerklüftet sind, als die Westküste Norwegens, so ist es wahrscheinlich, daß das grönländische Binnenland noch unebener ist, als das norwegische. Wir können also mit großer Sicherheit behaupten, daß die Dicke des Inlandeises nicht gleichmäßig ist; über den Thälern muß sie bedeutend sein, während sie über den höchsten Gebirgen vielleicht verhältnismäßig gering ist. Denken wir uns, daß, wenn die Eisdicke entfernt wäre, in Grönland ungefähr ähnliche Höhenverhältnisse wie in Skandinavien vorhanden seien, oder denken wir uns letzteres mit einer Eisschicht bedeckt, deren Oberfläche eine ähnliche Meereshöhe hat, wie in Grönland, so würde die durchschnittliche Mächtigkeit in der Mitte derselben mindestens 1800—2500 m betragen, und über Stellen, wie die Seen Mjøsen (125 m), Randsfjord (130 m) und andern in der Mitte des Landes, würde die Dicke sogar beinahe die volle Meereshöhe der Oberfläche des Eises erreichen. Da Grönland auf beiden Seiten so steile Felsenküsten hat wie Skandinavien nur im Westen, so ist es wahrscheinlich, daß die durchschnittliche Höhe des von Eis entblößten Binnenlandes in Grönland die Skandinaviens übersteigt; um wieviel ist zwar unmöglich zu sagen, wir können aber mit ziemlich großer Sicherheit annehmen, daß der Boden der Thäler dort in der Regel nicht höher als 700—1000 m über dem Meeresspiegel liegt, denn die Meereshöhen einiger der höchsten Seen in Norwegen, Bygdin und Gjendin, die zwischen unsern höchsten Gebirgen liegen, sind nicht größer als 1060 m und 1025 m, und Vagnsmjøsen, der am obersten Ende in Valders ganz in der Nähe derselben Gebirge liegt, hat eine Meereshöhe von nur 465 m¹⁾. Daß die Thäler in Grönland durchschnittlich

Temperatur des Eises nach unten um 1° C. auf je 33 m steige, und daß die Durchschnittstemperatur der Oberfläche im Innern des Landes zwischen + 20° und + 30° C. betrage, man erwarten müßte, in einer Tiefe von 700—1000 m eine Temperatur von 0° zu finden. Wie es sich mit den Temperaturen in der Eisdicke verhält, ist indessen „zu wenig bekannt, als daß man dieser oder irgendeiner andern Schlußfolgerung den geringsten Wert beilegen könnte: nur soviel läßt sich scheinbar mit Bestimmtheit sagen, daß die Temperatur in einer gewissen Tiefe unter der Oberfläche des Schnees 0° betragen muß“. („Auf Schneeschichten &c.“ II, S. 450.) Dies kann natürlich nicht in der Eisdicke selbst sein, denn bevor diese Tiefe erreicht ist, müssen die Bedingungen für das Schmelzen des Eises vorhanden sein; wegen des Druckes der oben liegenden Massen wird nämlich der Schmelzpunkt des Eises in der Tiefe unter 0° liegen. Wenn die Eisdicke eine bestimmte Dicke überschreitet, muß die Temperatur der Unterseite auf dem Schmelzpunkt stehen, welcher dem da herrschenden Drucke entspricht, und wenn man sich erinnert, daß das Inlandeise an vielen Stellen wenigstens eine Dicke von 1500—2000 m hat, so kann man sicher sein, daß jedenfalls in dieser Tiefe ein fortwährendes Schmelzen an der Unterfläche des Eises stattfindet. Wenn ich von einer Schicht sprach, „in welcher die Temperatur auf dem Schmelzpunkt steht“, so ist dies gewiß ein sehr schlechter Ausdruck, der nicht buchstäblich aufgefaßt werden darf; die Temperatur der untern Schicht der Eisdicke liegt indessen dem Schmelzpunkt so nahe, daß eine Erhöhung des Druckes und der innern Reibung der Masse durch Stauungen in der Bewegung u. dgl. genügt, um ein partielles Schmelzen des Eises auch oberhalb der Unterfläche zu bewirken. Die Dicke der Schicht, in welcher dies geschehen kann, ist wahrscheinlich im Inlandeise, wo die Temperatur der Oberfläche so niedrig ist, nicht bedeutend, sie muß aber mit der Dicke der Eisdicke wachsen. Wenn ich sage, daß die Temperatur der Eisdicke von der Unterfläche bis zu einem gewissen Abstand von der Oberfläche allmählich abnimmt, so meine ich nicht, daß dies überall gleichmäßig geschieht, denn der Untergrund der Eisdicke ist nicht regelmäßig, und infolgedessen auch nicht die Bewegung. In den untern Schichten müssen kleinere oder größere Unregelmäßigkeiten in der vertikalen Temperaturabnahme auftreten, besonders in den tiefen Thälern des Untergrundes, über welchen die Eisdicke am dicksten ist.

¹⁾ Die durchschnittliche Höhe unsers höchsten „Amtes“ in Norwegen, des Kristians Amtes, beträgt nicht mehr als 905 m, und doch sind da unsere höchsten Gebirge belegen; die durchschnittliche Höhe Norwegens ist nur 500 m.

bedeutend höher seien, als diese Gebirgsseen in Norwegen, die hoch über dem Boden unsrer Thäler liegen, scheint mir beinahe unmöglich, denn die Gebirge können dort nicht viel höher, sein, als unsre höchsten Gebirge, da sie sonst über die Eisdecke hätten emporragen müssen; und das Grönland ebener und weniger zerklüftet sei, als Norwegen, habe ich schon früher als außerordentlich unwahrscheinlich dargethan. Wir sind folglich berechtigt, zu behaupten, daß die grönländische Eisdecke an vielen Stellen über den Thälern mindestens 1700 bis 2000 m dick sein muß, und wahrscheinlich ist es wohl auch, daß sie an mehreren Stellen noch dicker ist. Daß das skandinavische Inlandeis wenigstens eine ähnliche Mächtigkeit gehabt hat, können wir mit ziemlich großer Sicherheit annehmen, wie es sich schon aus den vielen hohen Fundstellen erratischer Blöcke ergibt. Es scheint daher vergebens zu sein, wenn einige Geologen zu beweisen versuchen, daß die kontinentalen Inlandeise der Glazialzeit keine große Mächtigkeit gehabt haben. Ein Gletscher von 2000 m Dicke übt einen Druck von wenigstens 160 Atmosphären auf den Untergrund aus, über welchen er hinwegschreitet, und es ist nicht schwer zu verstehen, daß er eine beträchtliche Erosionsarbeit ausführen muß.

Eine ausführbare Methode zur Berechnung der ungefähren Dicke des Inlandeises wäre die: erst die Temperatur der Oberflächenschicht zu bestimmen, die von der jährlichen Amplitude nicht mehr beeinflusst wird, und darauf durch Bohrungen festzustellen, wie rasch die Temperatur nach unten zu wächst. Da diese Steigerung wahrscheinlich ziemlich regelmäßig ist, obgleich sie sich bei dem Übergang der Masse von Schnee zu Firnschnee, Schneeeis, Eis &c. etwas verändern mag, so könnte man daraus berechnen, in welcher Tiefe der Schmelzpunkt des Eises liegt; und da der Schmelzpunkt nur auf der Unterseite sein kann, so wäre damit die Mächtigkeit des Eises gegeben. Es wurde aber schon erwähnt, daß die Zunahme nicht überall dieselbe sein kann, denn über den tiefen Thälern ist sie gewiß eine ganz andre, als über den hohen Gebirgen, wo die Eisdecke verhältnismäßig dünn ist.

Zum Schluß, ehe ich das Inlandeis verlasse, wäre es vielleicht billig, die Frage aufzuwerfen, ob es sich jetzt in einem Stadium des Wachstums, der Abnahme oder des Gleichgewichts befinde. Darauf können aber unsre Beobachtungen keine Antwort geben. Zwar haben wir konstatiert, daß die Eismasse von oben immer Zuwachs erhält, zur Entscheidung aber, ob demselben durch die Faktoren, welche eine Verminderung des Eises bewirken, das Gleichgewicht gehalten wird, fehlt uns jeder Anhaltspunkt. Es darf aber vielleicht darauf aufmerksam gemacht werden, daß einige frühere Beobachtungen es wahrscheinlich machen, daß das Inlandeis sich wenigstens an einigen Stellen ausgebreitet hat. Ich will hier besonders daran erinnern, daß es nach den Beobachtungen von Jensens Expedition im Jahre 1878 wahrscheinlich ist, daß Frederikshaabs Isblink jetzt eine größere Ausbreitung hat, als früher einmal, denn es bewegt sich über eine Meeresterrasse mit enkrustierten Seetieren, welche einst im Meere vor dem Eisrande gebildet worden sein muß¹⁾.

Die Eisberge.

Während unsrer Fahrt entlang der Ostküste Grönlands begegneten wir einer großen Menge von Eisbergen und hatten gute Gelegenheit, dieselben zu studieren; ein großer Eisberg wurde auch bestiegen¹⁾.

¹⁾ Medd. om Grönl. I, S. 137. Ganz interessant ist, daß die Sage von dem Wachsen des Inlandeises unter den Eskimos an beiden Küsten allgemein verbreitet war, so wie an vielen Orten auch die Meinung verbreitet ist, daß das Land sinke. Solche Sagen genügen jedoch nicht, um daraus wissenschaftliche Schlusfolgerungen zu ziehen, wenn sie auch nicht immer ganz zu verachten sind.

¹⁾ Vgl. „Auf Schneeschuhen &c.“, Schluß von Kap. VII, Kap. VIII, XIII, XIV.



Fig. K. Eisberge an der Ostküste Grönlands außerhalb Colbergen Holde. (Nach einer Photographie am 10. August 1888.)

Wie ich schon in meinem Reise-
werke (Bd. I, S. 394) bemerkt habe,
kann man besonders zwei Formen von
Eisbergen unterscheiden. Die bei weitem
gewöhnlichste ist nahezu würfelförmig,
regelmäßig und wenig oder gar nicht
zerklüftet; es sind kolossale Eisblöcke
mit lotrechten Seitenwänden und ebener
und verhältnismäßig glatter Oberfläche
ohne die Zacken und Schluchten, welche
die Oberfläche der ins Meer hinaus-
fließenden Schreitgletscher charakteri-
sieren. Die Eisberge dieser Art haben,
in einiger Entfernung gesehen, eine
mehr weißlich-blaue Farbe und machen
einen weit solidern Eindruck, als der
obere sichtbare Teil der Schreitglet-
scher. Typische Eisberge dieser Art
sind in Fig. K zu sehen. Vergleicht
man die Oberfläche derselben mit der-
jenigen des Gletschers in Fig. H, so
springt der oben erwähnte Unterschied
sofort in die Augen, und doch ist die
Oberfläche des Gletschers in Fig. H
verhältnismäßig ruhig und wenig zer-
klüftet. Ein Eisberg dieser Art war
es auch, den wir am 8. August 1888
bestiegen; wir waren erstaunt, eine
ganz glatte Oberfläche zu finden, eine
förmliche Hochebene mit niedrigen,
abgerundeten Hügeln. Es war, wie
wir sagten, ein zum Skilaufen ganz
ungewöhnlich geeignetes Terrain; nur
fehlte der lose Schnee, denn die Ober-
fläche war hart gefroren¹⁾.

Die Eisberge der andern Art sind
weit seltener, als die eben erwähnten.
Ihr Aussehen ist ein so verschiedenes, daß
sie leicht von weitem erkannt werden
können. Sie haben oft ziemlich unregel-
mäßige und phantastische Formen, sind
an der Oberfläche wild zerklüftet und
auch sonst reich an Zacken, Schluchten
und Rissen. Ihre Oberfläche gleicht der-
jenigen der Inlandeiströme, die ans Meer
kommen, und von welchen sie her-
stammen; sie haben auch dasselbe bläu-
liche Aussehen, besonders an den Wän-
den der Schluchten und Zacken.

¹⁾ Vgl. „Auf Schneeschuhen &c.“ I, S. 393.

Woher stammt der Unterschied dieser beiden Typen? Jedenfalls ist er kein ursprünglicher, denn beide Typen kommen von denselben Gletschern her, man kann sie überall leicht Seite an Seite in einem und demselben Eisfjord sehen, ja die ebenen Eisberge liegen sogar oft vor den stark zerklüfteten Gletschern, von welchen sie gebildet worden sein müssen. Andererseits ist es eine Unmöglichkeit, daß die Gletscher jemals eine so ebene Oberfläche wie die Eisberge haben, sie können unmöglich so ruhig und still ins Meer ausströmen, daß nicht eine zerklüftete Oberfläche mit einem Gewirr von Rissen, Spalten und Zacken entstehen müßte. Die einzige annehmbare Erklärung dieser Erscheinung, sagte ich in meinem Reisewerk, ist meiner Ansicht nach die, daß bei den zerklüfteten Eisbergen die ursprüngliche Oberfläche des Gletschers fortwährend nach oben gerichtet ist, während die ebenen Eisberge entweder gleich bei der „Kalbung“¹⁾, oder auch später umgekippt sind, so daß sie mit einer der ziemlich ebenen Bruchflächen oder auch mit dem abpolierten Fuß in die Höhe ragen. Daß dies die einzige annehmbare Erklärung ist, ist vielleicht etwas zu viel gesagt. Zwar meine ich noch, daß sie in vielen Fällen die richtige ist, es gibt aber auch eine andre. Daß Eisberge oft umkippen, ist allgemein bekannt und wurde auch von uns mehrmals beobachtet; daß bei der Kalbung der Eisberge sehr oft eine Umkipfung stattfindet, muß wohl auch als sicher angesehen werden. In dem einzigen Falle, wo eine größere Kalbung wirklich beobachtet wurde (von Amund Helland im Jahre 1875), wälzen sich die gebildeten Eisberge zum Teil um und blieben, wie es scheint, auf der Seite liegen²⁾. Daß dadurch der scheinbare Widerspruch zwischen der verhältnismäßig ebenen Oberfläche vieler neugebildeten Eisberge und der zerklüfteten Oberfläche des Gletschers erklärt werden kann, ist ja klar³⁾; für ältere Eisberge kommt aber auch ein andres Moment dazu, nämlich der nivellierende Einfluss des Schnees. Wenn ein zerklüfteter Eisberg lange Zeit in der See schwimmt, so wird der während des Winters fallende Schnee sich in den Schluchten und Vertiefungen anhäufen, die Oberfläche wird durch den Wind allmählich nivelliert und abgeglättet. Im Sommer wird zwar der Schnee von der Sonnenwärme angegriffen, dabei aber allmählich in Eis verwandelt, und verschmilzt mit der ursprünglichen Masse des Eisbergs. Wenn sich dies mehrere Jahre nach einander wiederholt und die Oberfläche des Eisbergs jeden Winter aufs neue durch Wind und Schnee sorgfältig nivelliert und geebnet wird, so ist es leicht zu verstehen, daß die ursprünglichen Unebenheiten mehr oder minder vollständig verschwinden können und an ihrer Stelle eine ebene Oberfläche entsteht. Demnach müssen die stark zerklüfteten Eisberge mit stark bläulicher Oberfläche ziemlich jung sein; denn wenn sie längere Zeit im Meere schwimmen, gehen sie in den andern Typus über. Man sieht wirklich Übergangsformen zwischen den beiden, wenn sie auch ziemlich selten sind, was ich mir dadurch erkläre, daß an der äußersten Küste, wo der Niederschlag verhältnismäßig bedeutend ist, schon ein Jahr genügt, um das ursprüngliche zerklüftete Aussehen stark zu verändern. Die quer abgechnittenen lotrechten Seiten der ebenen Eisberge lassen sich leicht auf die später zu erwähnenden allmählichen Abstürze zurückführen.

Ich will hier nicht die Diskussion über die Entstehungsweise der Eisberge⁴⁾ aufnehmen,

¹⁾ Dieser Ausdruck ist in der deutschen Ausgabe meines Buches („Auf Schneeschuhen &c.“ I, S. 395) unrichtig mit „Herabstürzen“ und „Hinausgleiten“ übersetzt, was leicht Vorstellungen von der Art und Weise, in welcher die Kalbung geschieht, erwecken könnte, die zwar von mehreren Reisenden geteilt werden, die aber meiner Ansicht nach nur in einzelnen Fällen richtig sind.

²⁾ A. Helland, Om de isfyldte Fjorde og de glacielle Dannelser i Nordgrønland, S. 41 ff.

³⁾ E. v. Drygalski teilt in seiner öfters erwähnten Abhandlung (Taf. VIII) eine ebene und in dieser Beziehung sehr lehrreiche Photographie mit, in welcher man einen eben gebildeten Eisberg sieht, der mit seiner verhältnismäßig ebenen Oberfläche sich stark von dem Gletscher abhebt. Es ist leicht zu sehen, daß er nur durch Umwälzung eine solche Form erhalten konnte; und daß es so geschehen ist, geht auch daraus hervor, daß der Berg bei weitem nicht die Höhe des Gletschers erreicht. Dies wird auch von Drygalski S. 42—43 erwähnt.

⁴⁾ Vgl. Rink in: „Grønland, geogr. og stat. beskr.“ I, S. 17, und in vielen andern Arbeiten, z. B.: Meld. om Grøn. VIII, S. 273 ff.; Verh. d. Ges. f. Erdk. zu Berlin 1892, S. 65 ff.; siehe auch „Himmel und

da ich meine Ansicht durch keine neuen Beobachtungen stützen kann; nur soviel darf ich vielleicht sagen, daß die Eisberge gewiß nicht immer in ganz gleicher Weise gebildet werden. Bisweilen geht es dabei wahrscheinlich verhältnismäßig ruhig zu, ohne den furchtbaren Lärm und die „schreckliche Verwirrung“, die man gewöhnlich mit einer Kalbung verbindet, und ohne daß das Gleichgewicht der Eismassen stark gestört oder sogar merkbar verändert wird, indem der eben entstandene Eisberg ungefähr in seiner ursprünglichen Lage verbleibt und erst später allmählich wegschwimmt. Wenn der Gletscher in der Nähe seines Endes auf irgend eine Weise eine Spalte erhält¹⁾, welche ihn seiner ganzen Dicke nach durchschneidet, und das dadurch losgerissene Stück so groß ist, daß es frei auf dem Wasser schwimmend in seiner ursprünglichen Lage sein Gleichgewicht findet, so kann keine Umwälzung stattfinden, und der Eisberg entsteht in verhältnismäßig ruhiger Weise. Man muß nur im Auge behalten, daß der Gletscher, wenigstens an seinem äußersten Ende, auf dem Wasser schwimmen muß, denn wenn das Wasser nicht so tief ist, können ja die größten Eisberge auch nicht schwimmen und folglich überhaupt nicht entstehen. Wenn aber das losgewordene Stück des Gletschers nicht so groß ist, daß es in seiner ursprünglichen Lage das Gleichgewicht finden kann, wenn z. B. sein Horizontaldurchmesser kleiner ist, als der vertikale (d. h. die Mächtigkeit), so muß es umkippen. Es braucht dies aber nicht sofort zu geschehen, denn es kann von dem umgebenden Eise des Gletschers oder von dem festgefrorenen Fjordeise während des Winters noch aufrecht erhalten werden, bis eine Störung eintritt, worauf die Umwälzung plötzlich vor sich geht, das Wasser des Fjords in heftige Bewegung gerät, ähnliche Eisberge in der Nachbarschaft auch umkippen oder neue gebildet werden. Wir haben dann eine Kalbung mit Verwirrung und Getöse, die wir uns gewöhnlich damit verbunden denken. Zwischen diesen beiden Arten von Kalbungen gibt es natürlich alle mögliche Übergänge. Unter Umständen wälzen sich die Eisberge nicht ganz um, sondern verändern nur ihre Lage mehr oder minder, wie auch eine Störung des Gleichgewichts und folglich eine Umwälzung gewiß oft nur dadurch bewirkt wird, daß kleinere oder größere Stücke von den Seiten der Eisberge oder von der Endwand des Gletschers abstürzen.

Aus dem oben Gesagten geht hervor, daß gerade die größten Eisberge in verhältnismäßig ruhiger Weise ohne heftige Revolutionen gebildet werden, und daraus läßt sich leicht erklären, warum es so schwer ist, Zeuge ihrer Kalbung zu sein, abgesehen davon, daß sie viel seltener gebildet werden als die kleinern. Diese entstehen natürlich auch sehr oft direkt durch Absturz, was ja öfters beobachtet wurde, und was wir auch sahen.

Erde“ 1891; A. Helland, Om de isf. Fjorde &c., S. 40; Hammer, Medd. om Grönl. IV, S. 19 ff.; VIII, S. 16; Steenstrup, Medd. IV, S. 92 ff.; Ryder, Medd. VIII, S. 224; v. Drygalski, Zeitschr. d. Ges. f. Erdk. zu Berlin XXVII, S. 34 ff.

¹⁾ Wo ein Gletscher in den Fjord hinausfließt und im Wasser zu schweben anfängt, wird eine Spannung besonders auf der Unterseite der Eismassen entstehen, und Spalten müssen da von unten und nicht von oben gebildet werden. Durch größere Veränderungen im Wasserstand wird diese Spannung erhöht, was eine vermehrte Spaltenbildung hervorruft. Bei starker Ebbe ist es allerdings denkbar, daß bisweilen eine Spannung und folglich eine Spaltenbildung auch an der Oberfläche des Gletschers entsteht. Sobald ein Gletscher den Boden verliert oder auf dem Wasser zu schwimmen anfängt, müssen fortwährend vertikale Bewegungen in seiner Masse, bald aufwärts, bald abwärts, stattfinden, was mit dem Abbrechen größerer und kleinerer Stücke endet, selbst wenn der Zusammenhang der Gletschermasse nicht früher durch Spalten gelockert worden wäre. Es ist behauptet worden, daß an der Oberfläche des Gletschers eine allgemeine Neubildung von Spalten gerade bis an das Ende desselben stattfindet, und das dadurch bewiesen wird, daß da immer eine Spannung und keine Kompression vorhanden ist, was nicht der Fall sein könnte, wenn das Gletscherende auf dem Wasser schwöme oder vom Wasser vollständig getragen würde (vgl. v. Drygalski l. c., S. 39 u. 40; s. auch Ryder, Medd. VIII, S. 224). Diese Behauptung ist aber kaum berechtigt, denn wie ich schon oben (S. 83) erwähnt habe, werden wahrscheinlich in der Regel nicht viele neue Spalten in der Nähe des Endes der größeren Gletscher gebildet, wie auch nicht viele typische „bodenlose“ Spalten da zu finden sind. Die Zacken und Schluchten sind Produkte der weiter einwärts entstandenen Spalten, die aber wenigstens in der Tiefe wieder geschlossen werden. Diese Unebenheiten gehören folglich, so zerküffelt sie auch sind, größtenteils nur der Oberfläche an und können unmöglich durch eine Kompression geschlossen werden, welche durch den Übergang des Gletscherendes in den schwimmenden Zustand in der Oberfläche entstehen könnte.

Dafs die grössten Eisberge in der ursprünglichen Lage schwimmen müssen und folglich nur in ruhiger Weise gehildet werden können, wird schon daraus klar, dafs die grösste Dicke, die ein Eisberg erreichen kann, die Dicke des ursprünglichen Gletschers ist, und diese Dicke kann er nur haben, wenn er seine ursprüngliche Lage nicht verändert hat; denn er kann nur umkippen, wenn, wie gesagt, der horizontale Durchmesser kleiner ist, als die Dicke. Zacken und Kanten, welche durch partielle Umwälzung in die Höhe gehoben werden können, rechne ich hier natürlich nicht mit. Der grösste Horizontaldurchmesser, welchen die Masse eines umgewälzten Eisbergs haben kann, übersteigt also niemals die Dicke des Gletschers, während er bei nicht umgewälzten dieselbe selbstredend weit überschreiten kann.

Bei der Form der Eisberge will ich nur noch die horizontalen Hohlkehlen erwähnen, die an den Seiten derselben so sehr oft über dem Wasser zu sehen sind, und welche auch auf den beiden Bergen in Fig. K deutlich ausgeprägt sind, besonders kommen auf demjenigen rechts mehrere — auf der Vorderseite drei und auf der rechten Seite wenigstens vier — übereinander vor; auf dem hintern Eisberge sind nur zwei solche Hohlkehlen sichtbar, eine, die quer über den ganzen sichtbaren Teil desselben geht, und eine, von welcher man nur links einen kurzen Abschnitt sieht. Diese Hohlkehlen werden in der Wasserlinie gebildet, indem das Wasser, besonders in der Nähe seiner Oberfläche, wo es am wärmsten ist, durch seine stark abschmelzende Kraft sich in das Eis einfrisst. Eine jede Hohlkehle zeigt somit Niveauveränderungen des Eisbergs und der Abstand zwischen zweien die genaue Grösse derselben an¹⁾. Niveauveränderungen können entweder durch Losbrechen oder Abstürzen von Stücken oder durch Abschmelzung bewirkt werden. Durch Losbrechen eines Stückes unter dem Wasser wird eine Senkung, durch Abstürzen eines Stückes über dem Wasser dagegen eine Steigung hervorgerufen; dafs dies wirklich der Fall ist, haben wir, wie viele andre, öfters beobachtet; ein solches Losbrechen oder Abstürzen hat aber oft auch eine ganze Umwälzung des Eisbergs zur Folge. Natürlich wird besonders im Sommer ein fortwährendes Abstürzen von den Seitenwänden der Eisberge stattfinden. Da das Wasser sich in der Nähe seiner Oberfläche stark einfrisst, so wird um den ganzen Eisberg herum die Unterlage mehr und mehr entzogen, es entsteht eine immer gröfsere Spannung, welche endlich dazu führt, dafs die überhängenden Teile nach und nach abstürzen und lotrechte Bruchflächen hinterlassen, welche wir als die typischen quer abgeschnittenen Seitenwände der kubischen Eisberge kennen gelernt haben. Seitenwände, welche in dieser Weise entstanden sind, können in Fig. K deutlich gesehen werden; es ist evident, dafs die horizontalen Hohlkehlen rechts sich auch über die Vorderseite des Eisbergs fortgesetzt haben, hier aber durch mehrere Abstürze verschwunden sind, von welchen wir noch Spuren wahrnehmen können. Auf dem andern Eisberge können wir auch deutliche Spuren eines Absturzes auf der Vorderseite sehen. Dafs solche Abstürze eine Steigung des Eisbergs bewirken müssen, ist klar; es erscheint aber überraschend, dafs diese Niveauveränderungen so regelmäfsig vor sich gehen, wie die vielen nahezu parallelen Hohlkehlen in Fig. K andeuten. Allerdings sind die Hohlkehlen gar nicht immer so regelmäfsig parallel wie in diesem Falle, sie kreuzen sich sehr oft und bilden gröfsere oder kleinere Winkel mit der jetzigen Wasserlinie. Es mufs auch daran erinnert werden, dafs das Wasser ziemlich gleichmäfsig auf allen Seiten des Eisbergs einfressen kann, und sodann auch das Abstürzen verhältnismäfsig regelmäfsig erfolgt und der Berg, ohne seine horizontale Stellung auffallend zu verändern, in die Höhe steigen kann. Trotzdem genügt diese Annahme kaum, den hier vorliegenden Fall, wie viele andre zu erklären; die Abstürze müssen sehr bedeutend gewesen sein, um solche Niveauveränderungen zu bewirken, wie

¹⁾ Auch v. Drygalski erwähnt in seiner angeführten Abhandlung (S. 61 ff.) diese Hohlkehlen. Er meint, sie deuten Veränderungen in der Gleichgewichtslage der Eisberge an, welche durch Losbrechen von Eisteilen über oder unter dem Wasser bewirkt werden.

die Abstände zwischen den Hohlkehlen andeuten, und können dann nicht so gleichmäßige Hebungen hervorrufen. Die Regelmäßigkeit der Hohlkehlen deutet auf regelmäßig wirkende Kräfte hin, und ich glaube eine solche Kraft in der Sonnenwärme gefunden zu haben. Es ist von Steenstrup¹⁾ nachgewiesen worden, daß in dem Wasser ein lebhaftes Abschmelzen vor sich geht, sogar auch dann, wenn die Temperatur des Wassers unter 0° (—1,5° bis —1,6° C.) sinkt. Daraus folgt, daß unter gewöhnlichen Umständen die Abschmelzung unter dem Wasser bedeutend stärker ist als über demselben; womit aber gar nicht bewiesen ist, daß es immer so der Fall sein muß; im Gegenteil ist es klar, daß, wenn die Temperatur des Wassers sehr niedrig und diejenige der Luft und die Sonnenstrahlung genügend hoch sind, das Verhältnis sich umkehren muß. Dies muß meiner Ansicht nach der Vorgang im Sommer an der Ostküste Grönlands sein, wo die Temperatur des Wassers in dem kalten, von Norden kommenden Polarstrom sehr niedrig, die der Luft und die Sonnenstrahlung aber hoch sind. Hier muß die Abschmelzung an der Oberfläche so bedeutend sein, daß eine aufsteigende Niveauperänderung des Eisbergs bewirkt wird. Im Winter gibt es beinahe keine Abschmelzung an der Oberfläche, während unter dem Wasser eine solche, wenn auch in verhältnismäßig kleinem Maßstab, noch stattfinden kann; es muß also im Winter ein sehr langsames Sinken des Eisbergs erfolgen. Da aber die negative Niveauperänderung im Sommer größer ist, als die positive im Winter, so muß jedes Jahr eine neue Hohlkehle über das Wasser emportauchen. Zum Schluß muß noch daran erinnert werden, daß bei Eisbergen, die auf Grund liegen, noch die Wirkungen von Ebbe und Flut dazu kommen, die in der Form von Hohlkehlen Spuren hinterlassen; und da Ebbe und Flut an der grönländischen Ostküste bedeutend sind, so muß der Abstand zwischen den entsprechenden Strandlinien wohl merkbar sein.

Die Eisberge an der Ostküste Grönlands schwimmen alle südwärts, wenn sie nicht auf Grund liegen, was oft der Fall ist. Bisweilen scheint noch die Meinung zu bestehen, daß die Ostküste nur verhältnismäßig wenige Eisberge entsendet, und daß fast alle, die in den Atlantischen Ozean kommen, von der grönländischen Westküste stammen. Es verhält sich aber gewiß nicht so; denn erstens werden an der Ostküste eine große Menge Eisberge von ansehnlicher Größe gebildet, wie auch die dänischen Reisenden stark betont haben, — ja es entsteht an der südlichen Ostküste eine weit größere Menge, als an der gegenüberliegenden Westküste, die ja beinahe keine Eisberge von Bedeutung produziert —, und zweitens werden diese Eisberge am Kap Farvel vorbei von dem kalten Polarstrom nach Süden geführt, scheinen hier aber nicht, wie das Meereis, der Küste nordwärts zu folgen, sondern nehmen ihren eignen Kurs und gehen mehr oder minder direkt über die Davis-Straße und südwärts nach Newfoundland zu. Auf unsern Rückreise mit dem Schiffe „Hvidbjørnen“ sahen wir in der Davis-Straße mehrere solche Eisberge, die meiner Ansicht nach nur von der Ostküste Grönlands gekommen sein können, und schon am 27. und 28. Juli 1888 hatten wir im Treibeis außerhalb dieser Küste auf ca 62° N. Br. Gelegenheit zu beobachten, wie die Eisberge ihren eignen Kurs nahmen, der von demjenigen des Oberflächenstroms und des Treibeises verschieden war und mehr seewärts ging, wie sie auch schneller trieben. Es sind wahrscheinlich Tiefenströmungen, welche Richtung und Geschwindigkeit der Eisberge bestimmen.

Steine, Sand und Kies sahen wir, ebenso wie frühere Reisende, auf den Eisbergen nur sehr selten. Der einzige Eisberg von den vielen von mir gesehenen, der eine größere Ladung von solchem Material trug, wurde 1882 in der Dänemarkstraße angetroffen²⁾.

¹⁾ Medd. om Grönl. IV, S. 98 ff.

²⁾ Vgl. meine Beschreibung desselben in Nyt Mag. for Naturv. XXVIII, S. 54 ff.

Der Polarstrom und das Treibeis an der Ostküste Grönlands.

In meinem Reisewerke habe ich schon eine ausführliche Beschreibung unsrer Trift im Eise entlang der grönländischen Ostküste gegeben (Kap. VIII u. IX) und da (in dem letzten Teil von Kap. X¹⁾) auch die von uns gefundene erstaunliche Geschwindigkeit des Stroms von fast 24 Seemeilen in 24 Stunden mit den früher gefundenen Geschwindigkeiten verglichen. Dieser Gegenstand ist auch von Prof. Mohn (oben S. 62) behandelt worden, ich brauche daher hier nicht wieder darauf einzugehen.

Ich werde aber einem andern Problem, das für mich von besonderm Interesse ist, einige Worte widmen, nämlich dem Ursprung des Stroms und des von ihm mitgeführten Eises. Schon früher habe ich an mehreren Stellen dargelegt, daß der ostgrönländische Polarstrom meiner Ansicht nach die Fortsetzung eines Stroms ist, der quer über den unbekannten Teil des Polarmeeres von der sibirischen Seite desselben herkommt²⁾. Diesen Strom kann eine Expedition benutzen, um die unbekannte Gegend zu durchqueren, und dies ist, was die von mir geleitete norwegische Expedition, die nächstes Jahr ausgeht, versuchen wird. Daß dieser Strom einen solchen Kurs haben muß, meine ich aus mehreren entscheidenden Zeugnissen schließen zu dürfen. Als solche Zeugnisse habe ich die jährliche Trift des Treibholzes von Sibirien nach Grönland, die Trift von Gegenständen der „Jeannette“, die nördlich von den neusibirischen Inseln sank, nach der Südwestküste Grönlands, die ähnliche Trift eines eskimoischen Wurfbretts von Alaska nach Grönland &c. erwähnt; ich habe auch darzulegen versucht, wie unsre ganze Kenntnis der Strömungsverhältnisse des nördlichen Meeres die Existenz eines solchen Polarstroms so wahrscheinlich macht, daß wir sie als eine Thatsache ansehen müssen.

Einen in dieser Beziehung sehr interessanten Beweis liefert aber besonders das Treibeis an der Ostküste Grönlands. Schon die Dicke und Mächtigkeit dieses Eises deuten auf ein hohes Alter hin, das Eis muß lange im Wasser und durch kalte Gegenden geschwommen sein, um eine solche Dicke zu erreichen. Da das Eis fortdauernd in großen Massen vom Norden kommt, so ist es nicht wahrscheinlich, daß es auf der kurzen Strecke von dem Nordpol nach dem 80. Breitengrad, wo man ihm in beständiger Trift gegen Süden begegnet, gebildet wird; es muß einen bedeutend längern Weg gemacht haben; und da das Treibeis an der Nordküste Sibiriens, welches viel dünner ist, fortdauernd nach dem Norden zu treiben scheint, so liegt der Schluss nahe, daß es dasselbe Eis ist, welches quer über die Polargegend schwimmt und auf dem langen Weg durch diese kalte Gegend sich dick wächet. Dies habe ich schon an einer andern Stelle hervorgehoben³⁾, jetzt habe ich aber ein Zeugnis erhalten, der diese Annahme beinahe zur Sicherheit erhebt.

Ein jeder, der das Treibeis an der Ostküste Grönlands oder noch mehr im Meere zwischen Grönland und Spitzbergen sieht, muß sich darüber wundern, daß die Oberfläche desselben oft so außerordentlich schmutzig ist, daß sie eine gräuliche oder bräunliche Farbe besitzt, die schon von weitem kennbar ist. Es muß überraschen, daß Eis, welches in den Gegenden des ewigen Schnees gebildet ist und nur einige wenige meist schneebedeckte Küsten passiert hat, eine Schmutzschicht auf seiner Oberfläche trägt, und besonders muß es in Erstaunen versetzen, wenn man sieht, daß solche Schmutz- oder Schlamm-schichten bisweilen einen oder sogar mehrere Zoll Dicke erreichen. Auf dieses merkwürdige Verhältnis wurde meine Aufmerksamkeit schon im Jahre 1882, als ich dieses Eis zum erstenmal sah, hingelenkt⁴⁾. Da ich dachte, daß eine Untersuchung dieses Schmutzes viel-

¹⁾ Auf „Schneeschuhen“ &c. I, S. 293—301; Norw. Ausg. S. 274—281. Es werden auch da einige Unregelmäßigkeiten des Stroms erwähnt, die vielleicht zum Teil gewisse periodische Veränderungen in demselben andeuten können.

²⁾ Vgl. „Naturen“ XIV (Bergen 1890), S. 71 ff.; Det Norske Geogr. Selsk. Aarbog I (1890), S. 59 ff.; Longmans Magazine (London), November 1890, S. 41 ff.; The Forum XI (New York 1891), S. 694 ff.

³⁾ The Forum XI, S. 704.

⁴⁾ Vgl. „Naturen“ XI (1887), S. 214 ff.

leicht wichtige Aufklärungen verschiedener Art geben könnte, so sammelte ich während unserer Reise mit dem Schiff „Jason“ in der Dänemarkstraße einige Proben davon¹⁾.

Diese Proben habe ich als Nr. I und Nr. II bezeichnet. Nr. I wurde von einer verhältnismäßig sehr dicken Schmutzschicht genommen; der Schlamm konnte mit einem Spaten in großen Quantitäten abgehoben werden, die zwei große Flaschen füllten. Nr. II wurde von der Oberfläche des auf dem Eise liegenden Schnees genommen, die oberste bräunliche Schicht des Schnees von einem größeren Areal eingesammelt und in einem Gefäße geschmolzen, worauf der Schlamm zu Boden sank und aufgesammelt wurde. Die Schlammmenge, die ich auf diese Weise erhielt, war aber nicht bedeutend.

Ein Teil dieser Proben wurde Herrn Dr. A. E. Törnebohm in Stockholm gesandt, welcher die außerordentliche Güte hatte, sie einer genauen Untersuchung zu unterziehen; für diesen wertvollen Beistand sei mir gestattet, ihm, wie auch den andern unten erwähnten Forschern, die ihn unterstützten, meinen erkenntlichsten Dank auszusprechen. Dr. Törnebohms Beschreibung der interessanten Resultate seiner Untersuchung habe ich das Vergnügen als Anhang I hier mitteilen zu können.

Wie aus der Untersuchung Törnebohms hervorgeht, sind die Schlammartikel in Probe Nr. I bedeutend gröber als in Nr. II, und schon danach scheint es, als ob sie keine lange Strecke von dem Winde mitgeführt worden wären. Dies wird noch weniger wahrscheinlich, wenn man bedenkt, daß dieser Schlamm eine verhältnismäßig mächtige Anhäufung bildete und nicht über die ganze Eisscholle gleichmäßig verbreitet war. Solche dicke Schlamm-schichten kamen nur an mehr oder minder scharf begrenzten Stellen einiger Eisschollen vor, und es hatte das Ansehen, als ob sie da durch Flüsse abgelagert wären. Es könnte nahe liegen zu vermuten, daß es glazialer Schlamm sei, welcher durch Gletscherbäche an der ostgrönländischen Küste auf das Eis hinausgeführt wurde. Daß dies aber kaum der Fall ist, darüber gibt uns Törnebohms Untersuchung sehr deutlichen Aufschluß. Besonders sind in dieser Beziehung die von ihm gefundenen „flockigen Klümpchen“ organischer Natur sehr interessant, die — „wenigstens dem Volumen nach — den größten Teil des Pulvers“ ausmachen, und welche seiner Ansicht nach wohl „als Partikelchen eines humusreichen Erdbodens zu deuten sein dürften“. Hieraus geht hervor, daß diese Ablagerung kein Glazialschlamm ist, denn in diesem Falle könnte er ja keine organischen Teile von Bedeutung enthalten. Es scheint dadurch auch erwiesen zu sein, daß der Schlamm weder von Grönland, noch von einem andern bekannten oder unbekannten Polarland her stammt, denn es ist doch sehr unwahrscheinlich, daß irgendwo da ein humusreicher Erdboden zu finden ist. Die Produktionsstätte derartigen Schlammes müssen wir gewiss in Länder mit weit reicherer Vegetation suchen, und solche können nur außerhalb der eigentlichen Polargebiete liegen, und zwar, da das Polareis keine andern Küsten berührt, entweder in Amerika oder in Asien; und davon ist natürlich Asien, d. h. Sibirien, am wahrscheinlichsten. Der Schlamm ist durch die großen sibirischen Flüsse von dem humusreichen Erdboden auf das Eis an der Küste geführt worden. Daß der Schlamm von einer Küste stammt, oder daß die Eisscholle eine Küste berührt hat, ist wahrscheinlich, denn nur dadurch kann ich mir erklären, daß der Schlamm Nadeln von Salzwasserspöngien enthält²⁾.

¹⁾ In „Naturen“ XIV, S. 75 (vgl. auch Det Norske Geogr. Selsk. Aarbg. I, S. 64) sage ich: „Auf dem Treibeis in der Dänemarkstraße (zwischen Island und Grönland) habe ich Beobachtungen gemacht, die vielleicht darauf deuten können, daß auch dieses Eis von Sibirien stammt. Ich habe nämlich Mengen von Schlamm auf ihm gefunden, der von sibirischen oder möglicherweise nordamerikanischen Flüssen zu stammen scheint. Es ist aber doch denkbar, daß der Schlamm von Glazialbächen her stammt, welche unter dem Gletscher in dem nördlichen Grönland oder in andern unbekannten Polarländern ausfließen, und dieser Beweis ist daher weniger entscheidend (den Kurs des Polarstroms betreffend), als die andern, die ich früher erwähnt habe.“ Am 18. Februar 1890, als das hier Citierte in einem Vortrag der Geogr. Gesellschaft in Christiania gesagt wurde, war dieser Schlamm noch nicht mikroskopisch untersucht, durch die spätere, hier mitgeteilte, Untersuchung ist die da ausgesprochene Vermutung vom sibirischen Ursprung des Treibeises bestätigt.

²⁾ Vgl. Anhang I, S. 106, Anm. 2. Friedt sagt auch da, daß einige Spöngienadeln wahrscheinlich irgendwo in uttiefem Wasser wachsenden Art, d. h. einer Küstenart angehört.

Aber nicht nur die organischen Bestandteile dieses Schlammes, sondern auch die mineralischen deuten wahrscheinlich auf ein größeres Landgebiet außerhalb der Polargegend hin. Die große Verschiedenheit derselben ist schwer mit der Annahme eines enger begrenzten Ursprungsgebietes zu vereinigen. Dafs der Schlamm kaum aus Grönland stammen kann, geht auch aus Törnebohm's Bemerkung in seiner Abhandlung hervor, wo er sagt, dafs das reichliche Vorkommen von verschiedenen Mineralien anzeige, dafs kristallinische Schiefer einen Hauptteil der mineralischen Bestandteile geliefert haben; denn kristallinische Schiefer kommen, wie bekannt, in Grönland sehr spärlich vor. Dafs die Herkunft dieses Schlammes in andern Gegenden zu suchen sei, scheint auch für Törnebohm festzustehen, denn in einem Briefe schreibt er mir: „Kann es denkbar sein, dafs die terrestrischen Teile des Staubes aus dem nördlichen Sibirien stammen, dafs er teilweise Schlamm ist, der von den großen sibirischen Flüssen in das Meer hinausgeführt wurde? Die Verschiedenartigkeit der Mineralbestandteile, die in dem Staube vorkommen, scheint mir darauf hinzudeuten, dafs er von einem weitausgedehnten Landgebiet her stammt, und dann liegt es am nächsten, an das nördliche Sibirien zu denken.“ Diese Meinung spricht der schwedische Forscher aus, ohne durch meine Ansichten in dieser Frage beeinflusst zu sein, ja er kennt sie nicht einmal, wie aus seinem Briefe hervorzugeht; aber um so viel mehr Wert hat diese Äußerung eines so hervorragenden Geologen. Nach dem, was oben gesagt wurde, brauche ich kaum zu erwähnen, dafs ich ihm völlig beistimme.

Hat auch, wie wir gesehen haben, die Untersuchung der Probe I wichtige Aufklärungen über die wahrscheinliche Herkunft der Treibeisschollen gegeben, so ist in dieser Beziehung die Untersuchung der Probe Nr. II von noch größerer Bedeutung. Dieser Schlamm oder vielmehr Staub besteht aus einem außerordentlich feinen Pulver, das gewifs sehr leicht von dem Winde fortgetragen werden kann, und da er auch über den Schnee gleichmäfsig verbreitet war, so ist es nur denkbar, dafs er durch die Luft dahin gebracht wurde. Das Merkwürdigste bei diesem Staube sind die darin gefundenen Diatomeen, die von Professor Cleve bestimmt worden sind. Es ist außerordentlich interessant, dafs die Diatomaceenflora in diesem Staube ganz eigentümlich und verschieden ist von allen den vielen Tausenden Proben, die Cleve untersucht hat, mit Ausnahme von einer, mit welcher sie die vollständigste Übereinstimmung zeigt. Es ist dies eine Probe, welche Kjellman auf einer Eisscholle bei Kap Wankarema¹⁾ in der Nähe der Bering-Strafse einsammelte. Cleve konnte in dem von mir in der Dänemark-Strafse gesammelten Staub 16 Arten und Varietäten bestimmen (vgl. S. 107). Alle sind auch bei Kap Wankarema gefunden worden, und 12 sind nur von da und von nirgends sonst bekannt²⁾, trotzdem verhältnismäfsig reichhaltige Sammlungen von der Kara-See, von Franz Josephs-Land, wie auch von Grönland untersucht worden sind. Cleve hat gewifs Recht, wenn er seinen Brief, in welchem er die interessanten Resultate seiner Untersuchung mitteilt, mit den folgenden Worten schließt: „Es ist ja ganz eigentümlich, dafs die Diatomaceenflora auf Eisschollen in der Nähe der Bering-Strafse und an der Ostküste Grönlands einander so vollständig ähnlich und allen andern unähnlich sind. Dies deutet auf eine offene Verbindung zwischen den Meeren östlich von Grönland und nördlich von Asien hin.“

Durch diese offene Verbindung wird also jährlich Eis quer über das unbekannte Polarbecken geführt; denselben Weg mufs mit diesem Eise auch ein Schiff getrieben werden können, und dies ist es, was die künftige norwegische Polarexpedition versuchen wird.

¹⁾ Kap Wankarema liegt an der Nordküste Sibiriens auf 68° 7' N. Br. und 176½° W. L., ungefähr 196 Seemeilen westlich von der Bering-Strafse.

²⁾ Vgl. auch Cleve's Abhandlung in: Vega-Exp. vetensk. Iagt., III, S. 457 ff. (Stockholm 1883).

Anhang I.

Mikroskopische Untersuchung von Schlammproben, eingesammelt von Dr. F. Nansen auf dem Eise an der Ostküste von Grönland.

Von Dr. A. E. Törnebohm
in Stockholm.

Probe Nr. I. Ein ziemlich feines, thongraues Pulver. Mit Wasser gekocht entwickelt es einen deutlichen Thongeruch. Kochende Salzsäure löst ziemlich viel Eisenoxyd, ein wenig Kalkerde und eine nicht unbeträchtliche Quantität organischer Substanz heraus; kochende Kalilauge wird bräunlich gefärbt. Bei Luftzutritt geglüht schwärzt sich das Pulver zuerst, nimmt aber nach anhaltendem Glühen eine rötlich-braune Farbe an, welche sich durch Kochen mit Salzsäure entfernen läßt. Wenn das Pulver mit Flußsäure anhaltend gekocht wird, bleiben als Rückstand kleine, schwarzbraune Flocken organischer Substanz und einige winzige Mineralkörnchen. Mit Magnet konnte aus dem Pulver nur ganz wenig herausgezogen werden.

Unter dem Mikroskop erweist sich das Pulver sofort als ein Gemenge wesentlich zweier Hauptteile, nämlich einerseits Mineralkörnchen verschiedener Art, und andererseits graubrauner, flockiger, nur wenig durchsichtiger Klümpchen, in welchen jedoch oft deutlich erkennbare Mineralkörnchen eingebettet sind. Einen fernerer, aber mehr untergeordneten Bestandteil des Pulvers bilden kleine Fragmente tierischer und pflanzlicher Organismen.

Die *Mineralkörnchen* sind teils scharfkantig, teils mehr oder weniger abgerundet. Die größten von ihnen erreichen in der Regel circa 0,2 mm, einzelne jedoch 0,3 bis 0,4 mm in größtem Durchmesser. Die am häufigsten vorkommenden Mineralarten sind Quarz, Feldspat, Glimmer, Chlorit, Epidot, Amphibol und Augit. Weniger häufig sind andre Pyroxenarten, Zirkon, Turmalin und Titanit. Nur in einzelnen Körnern wurden Kalkspat, Apatit, Granat, Flußspat und Pleonast gefunden; dazu kommen noch vereinzelte Körnchen von Mineralarten, welche nicht näher bestimmt werden konnten.

Quarz ist das am häufigsten vorkommende Mineral, und seine Körnchen sind oft relativ groß. Ein Teil von ihnen ist sehr reich an Flüssigkeitseinschlüssen, mitunter mit beweglichen Libellen, ein anderer Teil ist von solchen Einschlüssen vollständig frei; dies zeigt an, daß Quarz von wenigstens zweierlei Herkunft vorhanden ist. An beiden Quarz-varietäten konnten in mehreren Fällen die Einachsigkeit und der optisch-positive Charakter konstatiert werden.

Feldspat. Sowohl Orthoklas und Mikroklin, als auch Plagioklas sind vorhanden. Recht häufig ist der Orthoklas; seine Körnchen sind bald ziemlich frisch, bald recht stark angegriffen. Weniger häufig, aber in der Regel sehr frisch, sind die Körnchen von Mikroklin und Plagioklas. Die Körnchen von Orthoklas und Mikroklin sind ungefähr von der Größe der Quarzkörnchen; die Plagioklaskörnchen sind in der Regel etwas kleiner. Einige Feldspatkörnchen ohne erkennbare Zwillingstreifung beherbergten dunkle punkt- und stabförmige Interpositionen, jenen ähnlich, welche im Feldspat grobkörniger Gabbrogesteine häufig vorkommen.

Glimmer. Sowohl Biotit als Muscovit kommt vor, beide jedoch nicht sonderlich häufig, aber als verhältnismäßig große, nicht selten rundliche Blättchen.

Chlorit findet sich häufiger als Glimmer, aber seine Schüppchen sind in der Regel klein.

Epidot. Als Epidot wurden angesehen zahlreiche und oft relativ große, hell grünlich-gelbe Körnchen mit ziemlich starkem Lichtbrechungsvermögen, starker Doppelbrechung und mitunter merkbarem Pleochroismus. Nicht selten besitzen diese Körnchen eine ausgesprochen längliche Form, und sie löschen da immer mit der Längsrichtung parallel aus. Ein solches längliches Körnchen zeigte den Austritt einer optischen Achse, was ja auch mit der Annahme von Epidot gut stimmt.

Pyroxen. Nicht selten sind grünliche oder braun-grüne, meist längliche, stark lichtbrechende Körnchen, welche auf Grund ihres Mangels an Pleochroismus und großer Auslöschungsschiefe (häufig $> 40^\circ$) wohl als Augit zu deuten sind. Meistens sind diese Körnchen sehr klein; einzelne können jedoch eine Länge von 0,3 bis 0,35 mm erreichen. Nur sehr selten wurden Körnchen von rein braunem Augit beobachtet. Einige bläugrüne Pyroxenkörnchen waren plagioklasähnlich aus dünnen Zwillingslamellen aufgebaut, wie es an Kokkolith in körnigem Kalkstein nicht selten der Fall ist. Ein einziges Mal wurde ein Körnchen mit jenen für Diallag charakteristischen dunklen Interpositionen gefunden. Es zeigte parallele Auslöschung, aber keinen merkbaren Pleochroismus. Einige rötlich-braune, schwach pleochrotische, interpositionsfreie Körnchen mit paralleler Auslöschung dürften wohl als Hypersthen zu deuten sein.

Zirkon ist nicht selten, und zwar in zwei verschiedenen Typen, vorhanden. Einerseits kommt nämlich dieses Mineral als relativ ziemlich große Körner vor, welche in der Regel so gut abgerundet sind, daß die Kristallform nur ausnahmsweise erkenntlich ist, und andererseits findet es sich als ganz kleine, aber modellscharf ausgebildete, bald kurz-, bald langprismatische Kriställchen.

Turmalin wurde auch keineswegs selten gefunden. Dieses an seiner Formausbildung und an seinen optischen Eigenschaften leicht erkenntliche Mineral kommt teils als Stengelfragmente, teils als niedliche, ringsum ausgebildete Kriställchen vor.

Titanit. Als solche wurden aufgefaßt einzelne, mitunter relativ große, bräunliche Körnchen eines optisch zweiachsigen Minerals mit starkem Lichtbrechungsvermögen und sehr starker Doppelbrechung.

Kalkspat. Einige seltene Körnchen zeigten die charakteristischen Interferenzerscheinungen des Kalkspats.

Apatit. Nur ein paar Körnchen wurden aufgefunden, welche als Apatit gedeutet werden konnten. Es waren parallel auslöschende, farblose Stengelfragmente eines ziemlich stark lichtbrechenden Minerals mit schwachen Interferenzfarben und optisch negativem Charakter.

Granat von schwach rötlicher oder rötlich-brauner Farbe findet sich — obwohl nicht häufig — als Splitterchen und rundliche Körnchen.

Flussspat. Einige wenige isotrope, in der Regel farblose, fleckenweise aber violette Körnchen dürften ohne Zweifel als Flussspat aufzufassen sein.

Pleonast. Gefunden wurden zwei Körnchen eines dunkelgrünen, isotropen Minerals mit ziemlich starkem Lichtbrechungsvermögen, die ich nicht anders als Pleonast zu deuten vermochte.

Von den nicht näher bestimmbar Mineralkörnern mögen nur einige erwähnt werden, die im Rückstand nach der Behandlung mit Flusssäure gefunden wurden. Sie besaßen ziemlich starkes Lichtbrechungsvermögen, lebhaft Interferenzfarben und eine lamellare Struktur (Corund?). Ein paar bräunliche, isotrope Splitterchen könnten vielleicht vulkanisches Glas sein. Solches ist aber — wenn überhaupt vorhanden — jedenfalls nur in ganz geringfügiger Quantität an der Zusammensetzung des Pulvers beteiligt.

Die *flockigen Klümpchen* machen — wenigstens dem Volumen nach — den größern Teil des Pulvers aus. In ihrem ursprünglichen Zustand sind sie zu wenig durchsichtig, um mikroskopisch untersucht werden zu können; sie stellen sich als braun-graue, nur in den Kanten etwas durchscheinende Massen dar, in welchen jedoch hier und da einzelne Mineralkörnchen, namentlich von Quarz, Feldspat, Chlorit und Amphibol, erkenntlich sind. Wenn aber eine kleine Quantität des Pulvers mit Wasser ausgerührt und dann zwischen zwei Glasplatten vorsichtig gerieben wird, so zerteilen sich die Klümpchen leicht zu kleinen, ziemlich gut durchsichtigen Flocken. An ihnen läßt sich als wesentlicher und das Ganze zusammenhaltender Bestandteil eine bräunliche, amorphe Substanz erkennen, in welcher kleine, schwarze oder dunkelbraune Pünktchen unregelmäßig verteilt sind. Diese bräunliche Substanz bildet den Hauptteil des Rückstands nach der Behandlung mit Flusssäure, läßt sich aber da durch Glühen leicht entfernen; sie muß also organischer Natur sein. Es kommen auch in ihr deutlich erkennbare Fragmente pflanzlicher Gewebe vor, ebenso wie größere, schwarze Splitterchen, welche an solche von Steinkohlen sehr erinnern. Die in Rede stehenden Klümpchen dürften wohl demnach als Partikelchen eines humusreichen Erdbodens zu deuten sein.

Die *Fragmente pflanzlicher und tierischer Organismen*, welche in dem Pulver gefunden wurden, sind mancherlei Art. Da ihre nähere Bestimmung ganz außerhalb des Bereiches meiner Kompetenz liegt, so will ich sie hier nur kurz erwähnen unter Beifügung einiger Angaben, welche mir von kundigen Freunden gefälligst darüber mitgeteilt wurden.

Fragmente von pflanzlichen Zellgeweben. Diese scheinen hauptsächlich von Moosen zu stammen¹⁾; solche von Algen und phanerogamen Gewächsen wurden aber auch beobachtet.

Diatomaceen, in dieser Probe nur spärlich vorhanden, reichlicher in der Probe Nr. 2 (vgl. diese).

Spongienspiculae, häufig und in mehreren Varietäten vorhanden, teils ganz, teils in Bruchstücken. Sie liegen immer lose, nie wurden sie in die Humusklümpchen eingebettet gefunden. Zufolge gefälliger Bestimmung von Dr. C. Fristedt rühren sie von Salzwasserspongien her²⁾.

¹⁾ Die Fragmente von Moosen hat Dr. H. Arnell in Jönköping gefälligst durchmustert und darüber mitgeteilt, daß er mit sehr großer Wahrscheinlichkeit unter ihnen Blätter zweier Arten habe erkennen können, nämlich: *Amblystegium fluitans* (L.) De N. und *Tortula brevirostris* H. Gr., und außerdem noch zur Artbestimmung unbrauchbare Blätter von einem *Dicranium*, sowie auch Blätter von einem andern *Amblystegium*, möglicherweise *A. revolvens*. Alle diese Moose sind circumpolar und geben also keine Aufklärung über die Herkunft des Staubs.

²⁾ Dr. C. Fristedt spricht sich über die Spongiennadeln folgendermaßen aus: Die gefundenen Spongiennadeln sind folgender Arten:

„1) „Aenata“ (ich benutze Bowerbous Benennungen in „British Spongiadeae“ als die gewöhnlichsten). Diese Nadeln sind glatt, etwas gebogen, zugespitzt an dem einen und abgestumpft an dem andern Ende. Diese kommen am gewöhnlichsten vor.

Fragmente von Insekten, sehr spärlich. Gefunden wurden nur ein Stückchen einer Antenne eines sehr kleinen Insekts und einige eigentümlich gebaute, gegliederte Börstchen.

Gefunden wurden noch mehrere kleine, rundliche Körperchen, die zum Teil Sporen, zum Teil Foraminiferen sein können.

Bei Durchmusterung einer größern Quantität des Pulvers dürfte wohl noch verschiedene zu finden sein, denn bis jetzt brachte fast jedes neue Präparat etwas Neues zum Vorschein.

Probe Nr. 2. Ein der Hauptsache nach der Probe Nr. 1 ähnliches, aber noch bedeutend feineres Pulver. Die humusartigen Klümpchen scheinen hier noch mehr vorherrschend, aber vielleicht nicht ganz so reich an organischer Substanz zu sein. Die Mineralkörnerchen sind meistens zu klein, um ihrer Art nach bestimmt werden zu können; sicher erkannt wurden Quarz, Feldspat, Glimmer, Amphibol, Epidot und Turmalin. Fragmente von Moosen und von Spongiaspizulae kommen auch hier, obwohl mehr spärlich, vor. Dahingegen sind Diatomaceen viel reichlicher und in mehr wechselnden Formen vorhanden. Herr Professor P. T. Cleve in Upsala, welcher in freundlichster Weise ihre Bestimmung übernahm, äußert sich über sie folgendermaßen: „Die Diatomaceen sind entschieden marine, jedoch mit einigen wenigen Süßwasserformen, welche wohl mit dem Winde vom Land gekommen sein mögen. Die Diatomaceenflora in diesem Staub ist ganz eigentümlich und ungleich allen den vielen Tausenden Proben, die ich untersucht habe, mit Ausnahme von einer, mit welcher sie die vollständigste Übereinstimmung zeigt, nämlich einer Probe, welche Kjellman (während der Vegafahrt) auf einer Eisscholle bei Kap Wankarema in der Nähe der Beringstraße einsammelte. Arten und Varietäten sind in beiden Proben vollständig dieselben.“ Professor Cleve hat 16 verschiedene Arten bestimmen können.

Diese sind:

- Navicula Stuxbergii* Cl. — Ausbreitung: Frana-Josepha-Land, Kara, Kap Wankarema.
- Navicula imperfecta* Cl. — Kap Wankarema, Kara.
- Navicula transilans* Cl. — Kap Wankarema.
- Navicula (Rhoiconeis) superba* Cl. — Kap Wankarema.
- Navicula (Rhoiconeis) superba* var. *elliptica* Cl. — Kap Wankarema.
- Navicula (Rhoiconeis) Sibirica* Grun. — Kap Wankarema.
- Navicula subinflata* Grun. — Bessels Bay (Grönland), Kap Wankarema.
- Navicula algida* Grun. — Kap Wankarema.
- Navicula aestiva* var. — (Kosmopolit.)
- Navicula kryophila* Cl. — Kap Wankarema.
- Navicula kryophila* var. *gelida* Cl. — Kap Wankarema.
- Navicula Baculos* Cl. — Kap Wankarema.
- Amphipora kryophila* Cl. — Kap Wankarema.
- Nitzschia gelida* Cl. u. Grun. — Kap Wankarema.
- Coscinodiscus lacustris* var. *hyperborea* Grun. — Kap Wankarema.
- Coscinodiscus polyacanthus* var. *intermedia* Grun. — Kap Wankarema.

Auf Grund der mineralischen Bestandteile läßt sich eigentlich nichts in Bezug auf die Herkunft des Pulvers schließen. Ob die gefundenen organischen Reste darüber bessere Auskunft geben, darüber vermag ich nicht zu urteilen. Das reichliche Vorkommen von

2) „Spinulate“, stecknadelförmig mit einer Verdickung an dem abgestumpften Ende.

3) „Acrata“, schwach gebogen und an beiden Enden zugespitzt.

4) „Obtuse“, an beiden Enden abgestumpft.

5) „Spined aceta“, wie Nr. 1, aber mit feinen Zacken besetzt. Diese sind vielleicht die seltensten.

Von diesen Nadeln gehören 1—3 wahrscheinlich irgendeiner in untiefem Wasser wachsenden Art von der Gattung *Amorphina* O. S. an. Die Nadeln 4—5 kommen oft bei Arten von der Gattung *Hastatus* Voism. sens. lat. Fristedt vor. Dies sind natürlich nur Vermutungen. Daß die Nadeln Salzwasser-spongien angehören, ist dagegen sicher.“

Epidot, einschlusfreiem Quarz, Chlorit und Turmalin zeigt an, daß kristallinische Schiefer einen Hauptteil der mineralischen Bestandteile geliefert haben. Daneben dürften wohl Granit und grobkörnige Grünsteine auch mit beteiligt sein. Mit dem grönländischen Kryokonit hat das in Rede stehende Pulver zwar eine gewisse Ähnlichkeit, es läßt sich aber mit diesem keineswegs ohne weiteres identifizieren. Der Kryokonit ist nämlich wesentlich nur ein Mineralienstaub mit einer ganz unbedeutenden Einmischung organischer Partikelchen, und unter den Mineralien sind solche, welche auf eine Herkunft von kristallinen Schiefen hinweisen, in viel geringerer Menge vorhanden, als es in dem oben beschriebenen Pulver der Fall ist.

Anhang II.

Untersuchung des Kohlensäuregehalts in den von Dr. Nansen während seiner Grönlandreise eingesammelten Luftproben.

Mitteilung von Dr. Otto Pettersson,
Professor an der Hochschule in Stockholm.

Dr. Fridtjof Nansen hat den Wunsch ausgesprochen, eine kurze Mitteilung von mir zu erhalten über die Resultate der Untersuchung der von ihm während seiner grönländischen Forschungsreise geschöpften Luftproben, wie auch über die Art und Weise, wie diese Untersuchung in dem hiesigen Laboratorium ausgeführt wurde.

Die Luftproben wurden mittelst vorher evakuierter Glasröhren genommen welche an den betreffenden (in der untenstehenden Tabelle näher angegebenen) Orten geöffnet und nachher wieder zugeschmolzen wurden. Dr. Nansen führte fünfzig solche Röhren, in einem dazu eingerichteten Kasten verpackt, auf seiner Reise mit. Mit Ausnahme von drei Röhren, welche er auf der Wanderung über das Binneneis mitnahm, wurden sämtliche Luftproben während der Seereise nach Grönland genommen, und trafen größtenteils in unbeschädigtem Zustande hier ein, wo sie von Fräulein A. Palmqvist nach der von uns im Ber. d. Deutsch. Chem. Ges. XX, p. 2129 angegebenen Methode analysiert wurden.

Für eine Analyse sind nur 60 ccm Luft erforderlich, und da jedes Rohr 150 ccm faßt, so konnte man gewöhnlich von jeder Luftprobe zwei Analysen ausführen.

Sofern kein Fehler in den Operationen begangen wird, stimmen beide Analysen gewöhnlich auf 0,001 Proz. überein. Um Resultate von dieser Genauigkeit mit irgendeiner der gewichts- oder maß-analytischen Kohlensäure-Bestimmungsmethoden zu erhalten, müßte man nach unsrer Erfahrung wenigstens 5—6 Liter Luft analysieren.

Da es von Interesse wäre, den Kohlensäuregehalt der Atmosphäre in verschiedenen Höhen zu messen, so bin ich bereit, die nötige Anzahl von evakuierten Röhren zur Verfügung zu stellen, falls der Vorstand irgendeiner der höchstgelegenen meteorologischen Stationen in Europa Beobachtungen über den Kohlensäuregehalt auszuführen wünscht. Nötigenfalls würde ich auch die Ausführung einer Serie von Analysen übernehmen können. Über die in Skandinavien ausgeführten Beobachtungen wird Frln. Palmqvist nächsten in den Akten der Schwedischen Akademie der Wissenschaften eine Abhandlung publizieren.

Die folgende Tabelle enthält die Analysen der von Dr. F. Nansen genommenen Luftproben.

Luftproben, während Dr. Nansens Expedition nach Grönland genommen.

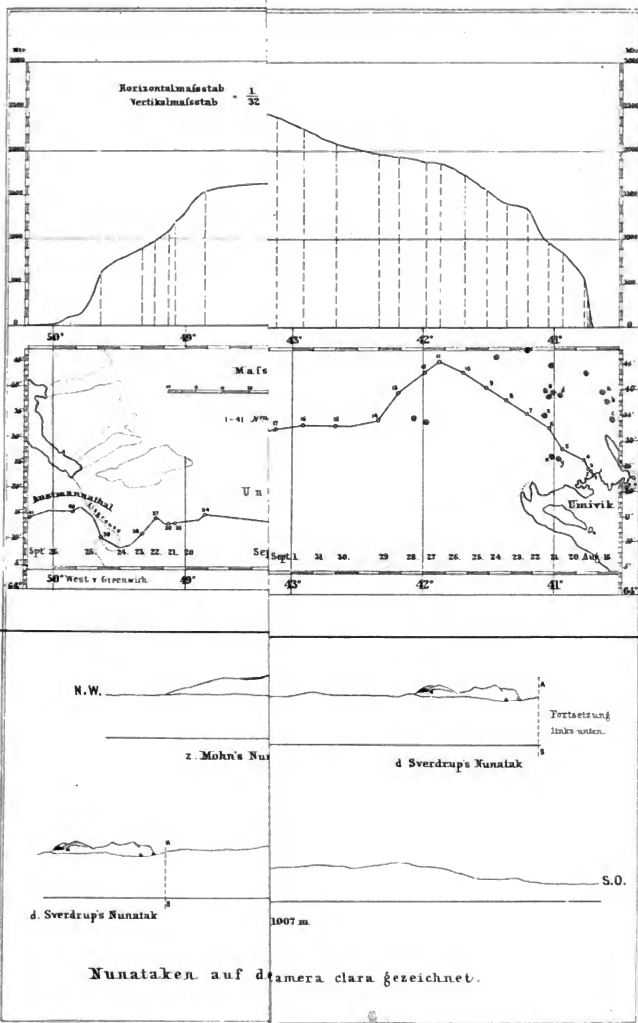
Tag 1888	Zeit Greenw.	O ₂ CO ₂ auf 1 Liter Luft	Breite N	Länge W	Barom. inkorrigiert	Temp. C.	Wind Richtung magn.	St.	Anmerkungen.
	h. m.				mm				
Mai 11.	10 10 a.	1) 0,25 2) 0,24	59 48	3	779	+ 8,5	N	2	
„ 11.	8 52 p.	1) 0,23 2) 0,22	60 44	4 22	777	+ 9,5	NW	2	
„ 14.	3 15 p.	0,245	62 25	7	761,2	+ 4	ENE	1	
„ 14.	10 05 p.	1) 0,28 2) 0,27	63 5	8 15	760,1	+ 4,1	NE	2	
„ 15.	11 55 a.	1) 0,26 2) 0,25	64 10	11	761,7	+ 3,0	NE E	3	
„ 15.	5 40 p.	1) 0,20 2) 0,29	64 45	11 10	762,3	+ 0,5	NE	2	In der Nähe des Treibeises.
„ 15.	8 37 p.	1) 0,27 2) 0,28	65 7	11 58	763,6	+ 1,4	NNE	2	Am Rande des Treibeises.
„ 16.	10 50 a.	0,29	64 25	12	765	+ 0,3	NNE	2-3	
„ 17.	9 40 p.	1) 0,25 2) 0,25	64 5	23	763	+ 2,3	NE E	4	
„ 18.	8 a.	1) 0,215 2) 0,21	64 10	22	762,1	+ 0	SE	0-1	Reikjavik auf Island.
„ 18.	10 35 p.	1) 0,265 2) 0,26	64 56	24 8	763,5	+ 0,4	ENE	4	
„ 19.	11 35 a.	1) 0,26 2) 0,23	66 2	23 30	761,9	+ 2,7	SE E	5-6	Ösundar Fjord auf Island (Wind wahrscheinlich NE oder E auf dem Meere).
„ 19.	10 05 p.	1) 0,27 2) 0,26	66 2	23 30	762,8	+ 1,5	SE E	2-3	
„ 20.	10 50 a.	1) 0,19 2) 0,185	66 4	23 10	763,1	+ 1,4	NE	2	Isafjord auf Island.
Juni 5.	1 05 a.	1) 0,29 2) 0,25	66 15	23 30	769	+ 5	W	1	
„ 5.	10 55 a.	1) 0,205 2) 0,19	66 3	24 25	766	+ 5,4	SSW	2	Am Rande des Treibeises.
„ 5.	3 50 p.	1) 0,20 2) 0,205	66 8	25 2	764,5	+ 6	SW	2	
„ 5.	9 40 p.	1) 0,22 2) 0,215	65 58	25 46	763	+ 5	WSW	1	Am Rande des Treibeises.
„ 6	1 20 p.	0,20	65 48	25 59	763,6	+ 4,4	WSW	1	In der Nähe des Treibeises.
„ 6.	9 20 p.	1) 0,29 2) 0,28	65 40	27 30	764	+ 3,7	W	1	Im Treibeise.
„ 7.	9 45 a.	0,235	65 30	28 10	763	+ 3,2	W	0	Im Treibeise.
„ 7.	10 40 p.	1) 0,09 2) 0,09	65 26	28 53	759	+ 3,3	SSW	0	
„ 8.	2 50 p.	1) 0,205 2) 0,21	65 22	29 12	752,1	+ 5,2	SSE	2	
„ 9.	12 30 a.	1) 0,225 2) 0,215	65 15	29 40	752	+ 5	SSW	1	Am Rande des Treibeises.
„ 9.	2 45 p.	1) 0,18 2) 0,19	65 9	30 18	751,3	+ 3,6	ES	0-1	Am Rande des Treibeises.
„ 10.	12 30 a.	0,23	65 8	33	751	+ 2,2	NE	1	
„ 10.	1 50 p.	1) 0,28 2) 0,26	65 15	34 30	753,3	+ 0,5	E	1	Am Rande des Treibeises.
„ 11.	4 10 p.	1) 0,215 2) 0,215	65 18	34 10	757	+ 1	NE E	2	In einem tiefen Bassen im Treibeise.
„ 12.	2 50 p.	1) 0,245 2) 0,20	65 20	33 30	759	+ 1,8	ENE	3	
„ 13.	2 10 p.	1) 0,22 2) 0,22	65 30	33	759,5	+ 2,4	ENE	3	
„ 15.	2 20 p.	1) 0,24 2) 0,22	65 20	32 49	746,5	+ 5,5	ES	2	
Juli 15.	2 25 p.	0,24	65 50	33 20	765,2	+ 2,5	EN	1	Auf dem Inlandeise. Meereshöhe 2499 m.
„ 16.	8 10 p.	1) 0,24 2) 0,235	65 17	36 40	767,5	+ 2,2	NE	1	
„ 17.	12 50 p.	1) 0,22 2) 0,22	65 20	37 53	770	+ 3,5			
Sept. 9.	1 15 p.	0,21	64 21	44 46	536,5	-19,4	W	1	Auf dem Inlandeise. Höhe über dem Meere 2674 m.
„ 16.	12 30 p.	1) 0,22 2) 0,22	64 12	46 26	558,5	-24	SE E	1	Auf dem Inlandeise. Meereshöhe 2499 m.
„ 24.	5 45 p.	1) 0,205 2) 0,205	64 8	49 30	692,1	+ 5	SW	1	Auf dem Lande am westl. Rande des Inlandeises. Meereshöhe 770 m.

Nach den drei von Grönland zurückgebrachten Luftproben mit einem Kohlensäuregehalt von 0,31, 0,32 und 0,395⁰/₁₀₀ zu schließen, sollte die Atmosphäre über dem Inlande vollständig denselben Kohlensäuregehalt haben, welcher in der Regel an verschiedenen Stellen in Schweden und Norwegen vorkommt, deren Luft wir zu untersuchen Gelegenheit gehabt haben.

Ein ganz verschiedenes Bild boten indessen die Luftproben, die während der Reise nach Grönland eingesammelt wurden. Sie haben alle einen ungewöhnlich niedrigen Kohlensäuregehalt. Den höchsten Kohlensäuregehalt, 0,31⁰/₁₀₀, zeigt eine Probe, die in der Stadt Reikiavik auf Island genommen wurde. Alle die andern stammen aus dem nördlichsten Teil des Atlantischen Ozeans oder aus dem Meere zwischen Island und Grönland (Dänemarkstraße). Dafs der Kohlensäuregehalt der Luft über diesen verhältnismäfsig kalten Meeren ausserordentlich niedrig ist, konnte man schon ahnen. Nach Th. Schlösing ist nämlich der Kohlensäuregehalt des Meerwassers von dem Partialdruck der atmosphärischen Kohlensäure abhängig, und das Meer ist also eine Art Regulator für die Kohlensäure der Atmosphäre. Die Theorien Schlösings sind später von A. Hamberg praktisch bewiesen und weiter entwickelt worden. Dieser hat gefunden, dafs der Kohlensäuregehalt des Meerwassers nicht nur von dem Partialdruck der atmosphärischen Kohlensäure, sondern auch von der Temperatur abhängig ist. Je niedriger die Temperatur des Wassers ist, desto gröfser wird das Vermögen desselben, Kohlensäure zu absorbieren. Daraus schliesst Hamberg, dafs die Polarmeere reicher an Kohlensäure sind, als die wärmeren Meere, und dafs im Gegenteil die Luft über jenen ärmer an Kohlensäure sein mufs, als die Luft über diesen.

Von dem südlichen Eismeere haben wir auch einige Bestimmungen, die diese Annahme bestätigen. Während der französischen Expedition nach Kap Horn wurden viele Luftproben genommen, die später von Müntz und Aubin analysiert wurden. In diesen Proben fanden sie einen ungewöhnlich niedrigen Kohlensäuregehalt; besonders gilt dies von den Proben, welche bei Temperaturen unter + 5° genommen wurden; diese hatten nur einen Kohlensäuregehalt von 0,253⁰/₁₀₀. Merkwürdigerweise haben die Luftproben, welche Dr. Nansen während seiner Reise durch das nördliche Eismeer einsammelte, im Durchschnitt vollständig denselben Kohlensäuregehalt von 0,253⁰/₁₀₀. Von diesen 33 Proben waren es nur drei, die bei einer Temperatur von + 6° oder darüber genommen wurden, und man kann sie also mit vollem Recht am nächsten mit denjenigen Proben vergleichen, die bei Kap Horn bei niedrigeren Temperaturen genommen wurden.

Es dürfte somit jetzt erwiesen sein, dafs die Luft über dem südpolaren wie dem nordpolaren Eismeere aussergewöhnlich arm an Kohlensäure ist.



Als Ergänzungshefte zu den „Mitteilungen“

sind erschienen:

- Nr. 1. **Vibe**, Küsten und Meer Norwegens. 1 M.
 Nr. 2. **Tschudi**, Reise durch die Andes von Süd-Amerika, 1858. 1 M.
 Nr. 3. **Barth**, Reise durch Kleinasien, 1858. 3 M.
 Nr. 4. **Lejean**, Ethnographie der Europäischen Türkei (deutscher und französischer Text). 3 M.
 Nr. 5. **Wagner**, N., Physikalisch-geographische Skizze des Isthmus von Panama. 1 M.
 Nr. 6. **Petermann und Hassenstein**, Ost-Afrika zwischen Chartum und dem Roten Meere. 80 Pf.
 Heft 1—6 bilden den I. Ergänzungsband (1860—1861). 6 M. 80 Pf.
- Petermann und Hassenstein**, Inner-Afrika:
 Nr. 7. „ „ „ „ *Beurmanns Reise 1860, Kotacky 1839, Brun-Bollet 1856.* 3 M.
 Nr. 8. „ „ „ „ *Bohm, Land und Volk der Tebu, Beurmanns Reise nach Murzuk 1862.* 3 M.
 Nr. 10. „ „ „ „ *Antinoris Reise zum Lande der Djur 1860 und 1861, Beurmanns Reise nach Wau.* 3 M.
 Nr. 11. „ „ „ „ *Mémoire sur les Karén: Reisen von Heuglin, Morlang, Harnier.* 4 M. 60 Pf.
 Heft 7, 8, 10, 11 bilden den II. Ergänzungsband (1862—1863). 12 M. 60 Pf.
- Nr. 9. **Halpold und Tschudi**, Minas Geraes. 2 M.
 Nr. 12. **Korietka**, Die Hohen Tauern in den Zentral-Karpathen. 8 M.
 Nr. 13. **Hugelin, Kinzelbach, Munzinger, Steudner**, Die Deutsche Expedition in Ost-Afrika, 1861 und 1862 (Sudan und Nord-Abessinien). 4 M. 60 Pf.
 Nr. 14. **Richthofen**, Die Metallproduktion Kaliforniens und der angrenzenden Länder. 1 M. 60 Pf.
 Nr. 15. **Hugelin**, Die Tunesische Expedition im westlichen Nil-Quellgebiet, 1863 und 1864. 2 M.
 Heft 9, 12—15 bilden den III. Ergänzungsband (1865—1866). 18 M. 20 Pf.
- Nr. 16. **Petermann**, Spitzbergen und die arktische Zentral-Region. 2 M.
 Nr. 17. **Payer**, Die Adamello-Presanella-Alpen. 2 M.
 Nr. 18. **Payer**, Die Ortler-Alpen, Suldungebiet. 2 M.
 Nr. 19. **Bohm**, Die modernen Verkehrsmittel: Dampfschiffe, Eisenbahnen, Telegraphen. 3 M. 60 Pf.
 Nr. 20. **Tschichatsch**, Reisen in Kleinasien und Armenien, 1847—1863. 4 M. 60 Pf.
 Heft 16—20 bilden den IV. Ergänzungsband (1865—1867). 13 M. 20 Pf.
- Nr. 21. **Spörer**, I., Nowaja Semla in geographischer, naturhistorischer und volkswirtschaftlicher Beziehung. 3 M. 60 Pf.
 Nr. 22. **Fritsch**, Reisebilder von den Canarischen Inseln. 1 M. 80 Pf.
 Nr. 23. **Payer**, Die westlichen Ortler-Alpen (Trafoiergebiet). 3 M. 60 Pf.
 Nr. 24. **Jeppe**, Die Transvaalse Republik. 2 M. 80 Pf.
 Nr. 25. **Rohlf**, Reise durch Nord-Afrika von Tripoli nach Kuka. 3 M.
 Heft 21—25 bilden den V. Ergänzungsband (1867—1868). 14 M. 80 Pf.
- Nr. 26. **Lindeman**, Die arktische Fischerei der Deutschen Seeslädie 1830—1868. 3 M. 60 Pf.
 Nr. 27. **Payer**, Die südlichen Ortler-Alpen. 3 M. 80 Pf.
 Nr. 28. **Koldewey und Petermann**, Die Erste Deutsche Nordpolar-Expedition, 1868. 3 M.
 Nr. 29. **Petermann**, Australien in 1871. Mit geographisch-statistischem Kompendium von Meinicke. 1. Abt. 3 M. 60 Pf.
 Heft 26—29 bilden den VI. Ergänzungsband (1869—1871). 13 M.
- Nr. 30. **Petermann**, Australien in 1871. Mit geographisch-statistischem Kompendium von Meinicke. 2. Abt. 3 M. 60 Pf.
 Nr. 31. **Payer**, Die zentralen Ortler-Alpen, Martell etc. 3 M.
 Nr. 32. **Sonklar**, Die Zellerthaler Alpen. 3 M. 60 Pf.
 Nr. 33. **Bohm und Wagner**, Die Bevölkerung der Erde. I. 2 M. 60 Pf.
 Nr. 34. **Rohlf**, Reise durch Nord-Afrika von Kuka nach Lagos. 4 M. 60 Pf.
 Heft 30—34 bilden den VII. Ergänzungsband (1871—72). 17 M. 40 Pf.
- Nr. 35. **Bohm und Wagner**, Die Bevölkerung der Erde. II. 5 M.
 Nr. 36. **Dr. G. Radde**, Vier Vorträge über den Kaukasus. 4 M.
 Nr. 37. **Manoh**, Reisen im Innern von Süd-Afrika, 1865—1873. 3 M. 60 Pf.
 Nr. 38. **Wejckhoff**, Die atmosphärische Zirkulation. 3 M.
 Heft 35—38 bilden den VIII. Ergänzungsband (1873—1874). 14 M. 60 Pf.
- Nr. 39. **Petermann**, Die südamerikanischen Republiken Argentina, Chile, Paraguay und Uruguay in 1875. Mit einem geographischen Kompendium von Barmelster. 4 M. 20 Pf.
 Nr. 40. **Waltenberger**, Die Ebnitz-Kette, Lechtal und Forarberger Alpen. 4 M. 40 Pf.
 Nr. 41. **Bohm und Wagner**, Die Bevölkerung der Erde. III. 4 M. 40 Pf.
 Nr. 42. **N. Sowerzows**, Erforschung des Thian-Schan-Gebirgs-Systems 1867. I. Hälfte. 4 M. 40 Pf.
 Heft 39—42 bilden den IX. Ergänzungsband (1875). 17 M. 40 Pf.
- Nr. 43. **N. Sowerzows**, Erforschung des Thian-Schan-Gebirgs-Systems 1867. II. Hälfte. 4 M. 40 Pf.
 Nr. 44. **Corniks** technische Studien-Expedition durch die Gebiete des Euphrat und Tigris. I. Hälfte. 4 M.
 Nr. 45. **Corniks** technische Studien-Expedition durch die Gebiete des Euphrat und Tigris. II. Hälfte. 4 M.
 Nr. 46. **Bretschneider**, Die Pekinger Ebene und das benachbarte Gebirgsland. 3 M. 20 Pf.
 Nr. 47. **Haggensmachers** Reise im Somali-Lande. 1 M. 80 Pf.
 Heft 43—47 bilden den X. Ergänzungsband (1875—1876). 16 M. 40 Pf.
- Nr. 48. **Czerrey**, Die Wirkung der Winde auf die Gestaltung der Erde. 2 M. 20 Pf.
 Nr. 49. **Bohm und Wagner**, Die Bevölkerung der Erde. IV. 5 M.
 Nr. 50. **Zsppritz**, Prussagacres Reisen im Nigrogebirge. I. Hälfte. 3 M. 80 Pf.
 Nr. 51. **Zsppritz**, Prussagacres Reisen im Nigrogebirge. II. Hälfte. 3 M.
 Nr. 52. **Foreyth**, Ost-Turkestan und das Pamir-Plateau. 4 M.
 Heft 48—52 bilden den XI. Ergänzungsband (1876—1877). 17 M.

- Nr. 53. *Przewalskys Reise an den Lob-Nor und Altyn-Tag 1876–1877.* 2 M.
 Nr. 54. *Die Ethnographie Rufelands, nach A. F. Rittich.* 5 M.
 Nr. 55. *Behm und Wagner, Die Bevölkerung der Erde.* V. 5 M.
 Nr. 56. *Credner, Die Deltas.* 4 M.
 Heft 53–56 bilden den XII. Ergänzungsband (1877–1878). 16 M.
- Nr. 57. *Soetheer, Edelmetall-Produktion.* 5 M. 60 Pf.
 Nr. 58. *Fischer, Studien über das Klima der Mittelmeerländer.* 4 M.
 Nr. 59. *Rein, Der Nakasendō in Japan.* 3 M. 20 Pf.
 Nr. 60. *Liedeman, Die Seefischerei.* 5 M.
 Heft 57–60 bilden den XIII. Ergänzungsband (1879–1880). 17 M. 60 Pf.
- Nr. 61. *Rivoli, J., Die Serra da Estrella.* 2 M.
 Nr. 62. *Behm und Wagner, Die Bevölkerung der Erde.* VI. 5 M.
 Nr. 63. *Mohn, Die norwegische Nordmeer-Expedition.* 2 M.
 Nr. 64. *Fischer, Die Dattelpalme.* 4 M.
 Nr. 65. *Serlespach, Die Gotthard-Bahn.* 4 M. 60 Pf.
 Heft 61–65 bilden den XIV. Ergänzungsband (1880–1881). 17 M. 60 Pf.
- Nr. 66. *Dr. P. Schreiber, Die Bedeutung der Windroten.* 2 M. 20 Pf.
 Nr. 67. *Blumentritt, Ferd., Versuch einer Ethnographie der Philippinen.* 5 M.
 Nr. 68. *Berndt, G., Das Val d'Anniviers und das Bassin de Sierr.* 4 M.
 Nr. 69. *Behm und Wagner, Die Bevölkerung der Erde.* VII. 7 M. 40 Pf.
 Nr. 70. *Bayborger, Der Inngletscher von Kuffstein bis Haag.* 4 M.
 Heft 66–70 bilden den XV. Ergänzungsband (1881–1882). 22 M. 60 Pf.
- Nr. 71. *Cheresobin und v. Stein, Die russischen Kosakenheere.* 2 M. 20 Pf.
 Nr. 72. *Juan Maria Schuber, Reisen im oberen Nijgebiet.* 4 M. 40 Pf.
 Nr. 73. *Dr. Carl Schomann, Kritische Untersuchungen über die Zimtländer.* 2 M. 60 Pf.
 Nr. 74. *Dr. Oscar Drude, Die Florareiche der Erde.* 4 M. 60 Pf.
 Nr. 75. *Dr. R. v. Lendenfeld, Der Tasman-Gletscher und seine Umrandung.* 5 M. 40 Pf.
 Heft 71–75 bilden den XVI. Ergänzungsband (1883–84). 19 M. 40 Pf.
- Nr. 76. *Dr. Fritz Regel, Die Entwicklung der Ortschaften im Thüringercald.* 4 M. 40 Pf.
 Nr. 77. *F. Stölze und F. C. Andreas, Die Handelsverhältnisse Persiens.* 4 M.
 Nr. 78. *Dr. H. Fritzsche, Ein Beitrag zur Geographie und Lehre vom Erdmagnetismus Asiens und Europas.* 5 M.
 Nr. 79. *Prof. H. Mohn, Die Strömungen des europäischen Nordmeeres.* 2 M. 60 Pf.
 Nr. 80. *Dr. Franz Bosse, Baffin-Land. Geographische Ergebnisse einer 1883 und 1884 ausgeführten Forschungsreise.* 5 M. 40 Pf.
 Heft 76–80 bilden den XVII. Ergänzungsband (1885–1886). 21 M. 40 Pf.
- Nr. 81. *Franz Bayborger, Geographisch-geologische Studien aus dem Bihmercalde.* 4 M.
 Nr. 82. *Robert v. Schlagelwilt, Die Pacificchen Eisenbahnen in Nordamerika.* 2 M. 60 Pf.
 Nr. 83. *Dr. Gustav Berndt, Der Alpenführer in seinem Einflusse auf Natur und Menschenleben.* 3 M. 60 Pf.
 Nr. 84. *Alexander Supan, Archiv für Wirtschaftsgeographie. I. Nordamerika, 1880–1885.* 5 M.
 Nr. 85. *Gustav Radde, Aus den Dagistanischen Hochalpen, vom Schah-dagh zum Daulty und Bogos.* 4 M. 40 Pf.
 Heft 81–85 bilden den XVIII. Ergänzungsband (1886–1887). 19 M. 60 Pf.
- Nr. 86. *Dr. Rudolf Credner, Die Reliktseen.* I. Teil. 5 M. 60 Pf.
 Nr. 87. *Dr. R. v. Lendenfeld, Forschungsreisen in den Australischen Alpen.* 3 M.
 Nr. 88. *Dr. J. Partsch, Die Insel Korfu.* 5 M. 40 Pf.
 Nr. 89. *Dr. Rudolf Credner, Die Reliktseen.* II. Teil. 5 M. 40 Pf.
 Heft 86–89 bilden den XIX. Ergänzungsband (1887–1888). 17 M. 40 Pf.
- Nr. 90. *H. Blanckenhorn, Die geognostischen Verhältnisse von Afrika.* I. Teil. 4 M.
 Nr. 91. *Hermann Michaelis, Von Hankau nach Su tchou (Reisen im mittlern und westlichen China 1879–1881).* 4 M.
 Nr. 92. *Dr. W. Junkers Reisen in Zentralafrika 1880–1885. Wissenschaftliche Ergebnisse. I.* 4 M.
 Nr. 93. *Dr. W. Junkers Reisen in Zentralafrika 1880–1885. Wissenschaftliche Ergebnisse. II u. III.* 4 M. 80 Pf.
 Nr. 94. *W. v. Diest, Von Fergana über den Dindymus zum Fouta.* 6 M. 40 Pf.
 Heft 90–94 bilden den XX. Ergänzungsband (1888–1889). 23 M. 20 Pf.
- Nr. 95. *Dr. J. Partsch, Die Insel Leukas.* 2 M. 60 Pf.
 Nr. 96. *Max Bechoren, São Pedro do Rio Grande do Sul.* 5 M.
 Nr. 97. *Dr. Karl Dove, Kulturreisen von Nord-Abyssinien.* 2 M. 60 Pf.
 Nr. 98. *Dr. Joseph Partsch, Kephallenia und Ithaka. Eine geographische Monographie.* 6 M.
 Nr. 99. *V. Hühnel, Ostäquatorial-Afrika zwischen Pungani und dem neuesten entdeckten Rudolf-See.* 4 M. 20 Pf.
 Nr. 100. *Dr. Gustav Radde, Karabagh.* 4 M.
 Heft 95–100 bilden den XXI. Ergänzungsband (1889–1890). 24 M. 40 Pf.
- Nr. 101. *Wagner und Supan, Die Bevölkerung der Erde.* VIII. 10 M.
 Nr. 102. *Johannes Walther, Die Adamaberge und die Korallenriffe der Palästrafu.* 2 M. 60 Pf.
 Nr. 103. *Dr. Paul Schnell, Das marokkanische Atlasgebirge.* 5 M.
 Nr. 104. *Dr. Alfred Hettner, Die Kordillere von Bogotä.* 6 M.
 Heft 101–104 bilden den XXII. Ergänzungsband (1891–1892). 23 M. 60 Pf.



Dr. A. Petermanns Mitteilungen

aus

Justus Perthes' Geographischer Anstalt.

Herausgegeben von

PROF. DR. A. SUPAN.



Ergänzungsheft Nr. 106.

Die Entwicklung
der
Kartographie von Amerika
bis 1570.

Von
Dr. Sophus Ruge.



GOTHA: JUSTUS PERTHES.

1892.

Preis 5 M.

Als Beiträge für diese Zeitschrift

werden *Abhandlungen, Aufsätze, Notizen, Literaturberichte und Karten* in ausgeführter Zeichnung oder skizziert, welche sich auf die Gebiete der Geophysik, Anthropogeographie, speziellen Landeskunde, astronomischen Geographie, Meteorologie, Nautik, Geologie, Anthropologie, Ethnographie, Staatenkunde und Statistik beziehen, erbeten. Ganz besonders sind verlässliche Notizen oder briefliche Berichte aus den *aufereuropäischen* Ländern, wenn auch noch so kurz, nicht nur von Geographen von Fach, sondern auch von offiziellen Personen, Konsuln, Kaufleuten, Marine-Offizieren und Missionaren, durch welche uns bereits so wertvolle und mannigfaltige Berichte zugegangen sind, stets willkommen.

Reisejournale zur Einsicht und Benutzung, sowie die bloßen *unberechneten Elemente astronomischer, hypsometrischer und anderer Beobachtungen* und *Nachrichten über momentane Ereignisse* (z. B. Erdbeben, Orkane), sowie über *politische Territorialveränderungen* etc. werden stets dankbar entgegengenommen. Ferner ist die Mitteilung *gedruckter*, aber seltener oder schwer zugänglicher *Karten*, sowie *aufereuropäischer*, geographische Berichte enthaltender *Zeitungen* oder anderer mehr ephemerer *Flugschriften* sehr erwünscht. — Für den Inhalt der Artikel sind die Autoren verantwortlich.

Die Beiträge sollen womöglich in deutscher Sprache geschrieben sein, doch steht auch die Abfassung in einer andern Kultursprache ihrer Benutzung nicht im Wege.

Originalbeiträge werden pro Druckbogen für die Monatshefte mit 68 Mark, für die Ergänzungshefte dementsprechend mit 51 Mark, **Übersetzungen oder Auszüge** mit der *Hälfte dieses Betrages*, **Literaturberichte** mit 10 Pf. pro Zeile in Kolonell-Schrift, jede für die „Mitteilungen“ geeignete **Originalkarte** gleich einem Druckbogen mit 68 Mark, **Kartenmaterial und Kompilationen** mit der *Hälfte dieses Betrages* honoriert. In außergewöhnlichen Fällen behält sich die Redaktion die Bestimmung des Honorars für Originalkarten vor.

An *Verlagsbuchhandlungen* und *Autoren* richten wir die Bitte um Mitteilung ihrer Verlagsartikel bzw. Werke, Karten oder Separatabdrücke von Aufsätzen mit Ausschluss derjenigen lediglich schulgeographischen Inhalts behufs Aufnahme in den Literatur- oder Monatsbericht, wobei wir jedoch im vorhinein bemerken, daß über Lieferungswerke erst nach Abschluss derselben referiert werden kann.

FÜR DIE REDAKTION: PROF. DR. A. SUPAN. JUSTUS PERTHES' GEOGRAPHISCHE ANSTALT.

Die Entwicklung
der Kartographie von Amerika
bis 1570.

Festschrift
zur 400jährigen Feier der Entdeckung Amerikas

VON

Dr. Sophus Ruge,
Professor an der Technischen Hochschule zu Dresden.

Mit 32 Kärtchen auf 2 Tafeln

(ERGÄNZUNGSHEFT No. 106 ZU „PETERMANNS MITTHEILUNGEN“.)

GOTHA: JUSTUS PERTHES.
1892.



INHALT.

	Seite
I. Allgemeiner Teil	1
Die Seekarten	2
Die Landkarten und Globen	10
Litteratur	12
II. Besonderer Teil	14
A. Die wichtigsten Entdeckungen und Kriegszüge von 1492—1570	14
B. Die Karten von Amerika aus der Zeit von 1500—1570, nebst einigen Vorläufern aus den Jahren 1380 (?), 1427, 1467 (?), 1492	33

KARTEN:

Taf. 1 und 2: Die Entwicklung der Kartographie von Amerika bis 1570.

I. Entdeckungen 1493—1570.

1492—1500; 1501—1510; 1511—1520; 1521—1530; 1531—1540; 1541—1550;
1551—1560; 1561—1570.

II. Seekarten 1500—1570.

1. Juan de la Cosa 1500; 2. Canerio nach 1502; 3. Portugiesische Seekarte um
1520; 4. Diego Ribero 1529; 5. Peter Martyr 1534; 6. Nicolas Desliens 1541;
7. Baptista Agnese um 1550; 8. Diego Homem 1568.

III. Landkarten 1467—1570.

1. Zamoiski Codex 1467; 2. Martin Behaim 1492; 3. Ruysch (im Ptolemäus 1508);
4. Waldseemüller (?) 1509; 5. Waldseemüller 1513; 6. Schöners Globus 1515; 7. Franciscus
Monachus 1526; 8. Thorne 1527; 9. Oronce Finé 1531; 10. Gerard Mercator 1538;
11. Caspar Vopell 1543; 12. J. Gastaldi 1546; 13. Demongenet 1552; 14. Ramusio (III)
1556; 15. Zaltieri 1566; 16. G. Mercator 1569.

I. Allgemeiner Teil.

Die Entdeckung Amerikas und die Entdeckungen in Amerika bilden den Kern des Zeitalters der Entdeckungen. Um nun das allmähliche Auftauchen einer neuen Welt im Kartenbilde leicht verfolgen zu können und zu gleicher Zeit die Aufnahmen der entdeckten Piloten vergleichen und die daraus gewonnenen Vorstellungen der Gelehrten übersichtlich beurteilen zu können, habe ich die Form eines größeren Tableaus gewählt, auf dem in Kolonnen von links nach rechts der Fortschritt der Entdeckung von Jahrzehnt zu Jahrzehnt vorgeführt wird. Diese kartographische Entwicklung findet hier ihren Abschluss mit dem Jahre 1570, weil in diesem Jahre die erste Ausgabe von Ortelius' „Theatrum orbis“ erschien, des ersten modernen Atlas, mit dem nunmehr in zahlreichen Auflagen und verschiedenen Sprachen eine leicht zugängliche Sammlung neuer Karten geliefert war, während früher, abgesehen von der seltenen Sammlung Lafreria, in der Karten von verschiedenen Stechern und aus verschiedenen Jahren vereinigt waren, nur einzelne Blätter gedruckt wurden, oder in Werken der verschiedensten Wissenschaften einzelne Karten eingefügt waren.

Das Tableau enthält vier Reihen von Darstellungen.

Die erste Reihe zeigt im modernen Kartenbilde, welche Küsten- und Binnenländer entdeckt sind.

Die zweite Reihe gibt uns die Auffassung der Piloten, denen wir die Aufnahme verdanken. Allerdings können, mit Ausnahme der Karte Cosas, keine Originalaufnahmen vorgelegt werden. Vielmehr sind nur Abschriften und Abschriften von Abschriften oder gar Zusammenstellungen aus verschiedenen Quellen vorhanden, so daß nur der zeitgemäße Gesamteindruck gewahrt bleibt, aber im einzelnen, und besonders in den Ortsnamen, viele Irrtümer unterlaufen.

Die dritte und vierte Reihe endlich führen uns die wissenschaftlichen Auffassungen der Geographen und die von gewissen Theorien über die Stellung der neuen Welt zu der bekannten Welt beeinflussten Darstellungen der Gelehrten vor. Hier sind die Originale fast ausnahmslos durch den Druck vervielfältigt, also entweder Holzschnitt oder Kupferstich, doch kommen auch Kopien von handschriftlichen und gemalten Globen vor. Wenn einzelne Karten einfach den Seekarten nachgestochen sind, was aber selten vorkommt, dann erscheinen sie gewissermaßen farblos, ohne Doktrin, ohne Schulmeinung. Für die Auffassung der Gelehrten, die sich in der dritten und vierten Reihe aussprechen sollte, waren zwei Reihen erforderlich, teils um den Reichtum der verschiedenen rasch auftauchenden und oft auch rasch wechselnden Meinungen zum Ausdruck zu bringen, teils auch, um alle in der Geschichte dieser Kartographie vertretenen bedeutenden Namen vorzuführen.

Um nun sowohl zu den Entdeckungen, als auch zu den Karten, wie sie im Tableau nur übersichtlich, summarisch gegeben werden konnten, die notwendigen Erklärungen beizufügen, enthält der zweite, besondere Teil die Geschichte der Forschungsreisen und das vorhandene Kartenmaterial chronologisch geordnet. Es handelt sich bei der Entdeckungsgeschichte nicht nur um Betonung der wichtigsten Ergebnisse (bei den frühesten Reisen, namentlich bei denen Colons, auch um die einzelnen Namen, die den entdeckten Lokalitäten

beigelegt wurden), sondern auch um den Quellennachweis und gelegentlich auch um die kritischen Arbeiten. Je mehr im Laufe des 16. Jahrhunderts die eigentlichen Entdeckungen aufhören, um so kürzer werden im allgemeinen die Mitteilungen und kritischen Bemerkungen sein. Die chronologische Reihe der vorhandenen Karten ist, soweit diese überhaupt geographisch einen gewissen Wert besitzen, mit möglichster Vollständigkeit gegeben, wobei namentlich die hervorragenden Arbeiten von Harrisse die allerbedeutendste Förderung boten. Erschöpfend ist, das fühle ich wohl, diese Reihe noch lange nicht, aber trotzdem wird sie, hoffe ich, allen denen, die sich mit der bisher noch zu wenig gepflegten Geschichte der Kartographie beschäftigen, willkommen sein. Auch sind, soweit sie mir bekannt geworden, die Werke genannt, in denen sich die betreffenden Karten im Faksimile oder in Nachbildung finden.

Zur Kritik und Würdigung der einzelnen Karten und zur Erkenntnis der Verwandtschaft der Karten untereinander waren synoptische Tabellen aller Namen und Legenden erforderlich, deren mühevoller Herstellung zwar in den kurzen Angaben nicht zu sehen, deren Wert aber aus einigen kritischen Bemerkungen hierüber wohl zu erkennen ist.

Wenn in der dritten und vierten Reihe die erste Kolonne noch vor die Entdeckung Amerikas durch Columbus 1492 zurückgreift, so geschieht es, um Vorstellungen und Theorien über die Länderverteilung zum Ausdruck zu bringen, die für die Folgezeit von großem Einfluß gewesen sind, wie der Zamoiski-Kodex 1468 für den Norden und Behaims Globus 1492 für den Osten Asiens. Auch die fragwürdige Zenokarte von 1380 (?) ist in der Liste mit aufgenommen, weil nach ihrer Veröffentlichung im Jahre 1558 nicht bloß die italienischen Ptolemäusausgaben, sondern selbst noch Mercator 1569 ihrer Darstellung des Nordens folgen.

Die Seekarten.

Die Kunst, Seekarten zu entwerfen, ist bei den Italienern entstanden. Als der portugiesische Prinz Heinrich seine Entdeckungen begann, suchte er Italiener für seine Unternehmungen zu gewinnen; so wurden auch im Kartenentwerfen die Italiener die Lehrmeister der Portugiesen, und neben diesen traten bald auch die Basken als geschickte Seeleute und Kartographen hervor. Erst gegen die Mitte des 16. Jahrhunderts fand die nautische Kartographie auch in Frankreich Eingang, nach England und Deutschland kam sie in der Zeit der großen Entdeckungen überhaupt nicht. In Spanien aber, dem für die älteste Kartographie Amerikas wichtigsten Lande, nahm man Anleitung und Lehre von den Italienern, Basken und Portugiesen an.

Somit besteht das Material für die amerikanische Kartographie aus spanischen, portugiesischen, italienischen und später französischen Seekarten oder Portulanen. Die Sprache dieser Karten ist ausschließlich romanisch.

Aber leider sind Originalblätter kaum noch vorhanden. „Unglücklicherweise existiert der größte Teil der alten Portulane nicht mehr. Was sich im Laufe der Zeit aus den Schiffbrüchen und aus den Händen der Goldschläger gerettet hat, ist noch nicht alles bekannt, sehr wenig ist beschrieben worden. Man kann also die Entwicklung der Seekarten noch nicht genau schildern“ (Harrisse, Cabot, S. 139). So rasch, wie sich das Bild der auftauchenden neuen Welt in den ersten Jahrzehnten änderte, so rasch veralteten die Karten, ja sie konnten sogar gefährlich werden. Es empfahl sich daher aus Nützlichkeitsgründen, aus Vorsicht, das Veraltete zu beseitigen, zu vernichten. So kommt es denn, daß man in ganz Spanien und Portugal außer der erst aus Frankreich wieder erworbenen ältesten Weltkarte, worauf die neue Welt dargestellt ist, der berühmten Karte des baskischen Piloten Juan de la Cosa, aus den ersten fünfzehn Jahren des 16. Jahrhunderts keine Karte von Amerika mehr findet. Die ältesten nächst Cosa erhaltenen Seekarten von Cantino, Canerio und die von Kunstmann in seinem Atlas veröffentlichten Blätter Nr. 2

und 3 befinden sich in den Sammlungen Italiens, Frankreichs und Deutschlands. Und auch diese sind sämtlich bereits nicht mehr Originale, sondern Nachbildungen, Zusammenstellungen aus verschiedenen Vorlagen. Und wenn auch Cosa bei der Darstellung Amerikas seine eignen Aufnahmen mit verwertet hat, so ist doch auch seine Karte im ganzen nur eine Kompilation.

Eine mühsame, in die Einzelheiten eindringende Kritik, wie sie vor allen Harrissee¹⁾ geübt hat, ist nun zwar imstande gewesen, in einzelnen Fällen die Originale nachzuweisen, nach denen eine Karte entworfen ist, aber wie weit Originale und Nachbild sich decken, das läßt sich nicht mehr erkennen.

So sind also auch die ältesten Urkunden für eine Geschichte der Kartographie Amerikas nicht mehr die Originale, sondern nur die Abschriften oder gar willkürliche Verbindungen verschiedener Kopien, die nicht gleichwertigen Originalen entnommen sind; denn der Wert einer ersten Aufnahme ist doch stets von der Geschicklichkeit des Piloten abhängig. Jeder Kopist ist der Gefahr ausgesetzt, aus Verlesen oder aus Flüchtigkeit Fehler zu begehen, und das bei Karten um so leichter, weil hier nicht, wie bei der Abschrift eines literarischen Werkes, ein zusammenhängender Text vorliegt, sondern einzelne Namen zusammenhanglos an den Faden der Wasserlinie des Meeres aufgereiht sind. Die Kosmographen bedienten sich vielfach der damals sehr beliebten Abkürzungen in der Schrift, die benannten Küstenpunkte waren in manchen Gebieten so dicht gedrängt, daß bei ihrer Wiedergabe leicht ein Irrtum unterlaufen konnte: nicht bloß daß ein Name falsch gedeutet, oder, weil er schlecht oder unleserlich geschrieben war, ganz weggelassen wurde, es lassen sich auch Wiederholungen von Namenreihen nachweisen, die an einer Küste unmöglich so dicht aneinander zweimal erteilt sein können. Wurden dann vollends nach den auf Pergament geschriebenen Karten Kupferstiche oder gar Holzschnitte entworfen, so erforderte schon das spröde Material, von dem gedruckt werden sollte, die Zahl der Namen einzuschränken. Man kann nicht sagen, daß diese gedruckten Blätter mit Geschick immer nur das Unwesentliche ausgelassen hätten.

Den Hauptanteil an der Erforschung der Küsten Amerikas nehmen ohne Widerspruch die spanischen oder in spanischen Diensten stehenden Piloten; aber daraus darf man keineswegs folgern, daß der spanische Einfluß für die Entwicklung der Kartographie von Amerika maßgebend gewesen sei. Es hatte damit seine eigne Bewandnis.

Zwar beginnt die spanische Kartographie schon nach der ersten Reise Colons, und zahlreiche Spuren in der Litteratur und den Urkunden der Archive geben Kunde von der rasch sich entwickelnden Kunst, Seekarten zu entwerfen und zu zeichnen; trotzdem läßt sich die Verbreitung derselben über Spanien hinaus nach den nördlichen Ländern und ihr Einfluß auf die kartographischen Anschauungen Mitteleuropas im ersten Viertel des 16. Jahrhunderts nicht nachweisen.

Columbus hatte versprochen, von den Entdeckungen seiner ersten Fahrt eine Karte zu entwerfen, hatte sie nach der Heimkehr den Majestäten in Aussicht gestellt; am 5. September 1493 wurde er von der Königin Isabella noch einmal darum gemahnt (Navarr. II. 122. 2. Ausgabe 1859); indes melden die Akten von einer Absendung und einem Empfang der Karte nichts.

Daß von der dritten Reise eine Karte vorhanden war, wird mehrfach bezeugt. Hojeda sah sie zuerst beim Bischof Fonseca und erhielt von diesem eine Kopie für seine erste Reise (Navarr. III, 539 u. 586), aber von allen seinen Karten hat sich nichts erhalten.

So ist denn die von Juan de la Cosa 1500 hergestellte Karte das älteste erhaltene kartographische Denkmal, in dem dieser geschickte baskische Pilot die bisher gemachten

¹⁾ „Names, when methodically interrogated, yield very useful results, which reach even distant questions.“ (Harrissee, Disc. of N. America, S. 325.)

einzelnen spanischen Entdeckungen, ja sogar vielleicht die Entdeckungen Giovanni Cabotos in Nordamerika zu einer Darstellung vereinigte.

Die Ergebnisse der vierten Fahrt des Admirals von 1502—4 fanden raschere Verbreitung, da nicht bloß Columbus selbst und sein Bruder Bartolomeo, sondern auch die andern Piloten Karten entworfen hatten. Dabei konnte es vorkommen, daß die Darstellungen und auch die Namen in Einzelheiten von einander abwichen. Karten waren kein Geheimnis und konnten unbedenklich kopiert oder auch käuflich erworben werden. Auch in Portugal war Kartenindustrie und Kartenvertrieb bis auf eine Ausnahme freigegeben: Darstellungen von dem Seewege nach den Molukken zu entwerfen, war bei schwerer Strafe verboten. Und so finden wir denn, daß später ein italienischer Zeichner, der nur Luxusatlanten entwarf, Baptista Agnese, gleichsam als Reklame allen seinen überaus zierlich gemalten Kartensammlungen eine Weltkarte beigab, auf welcher der Molukkenweg deutlich eingezeichnet und als solcher benannt war.

Als die portugiesische Indienflotte unter Cabral 1500 Brasilien entdeckt hatte und in den nächsten Jahren portugiesische Schiffe einen großen Teil der Ostküste Südamerikas befuhren, da schien es, als ob man in Portugal das Bekanntwerden dieser Tatsachen, die höchstens den Spaniern unangenehm sein konnten, begünstigte und den Italienern in Lissabon bereitwillig Kopien gestattete. Nach Lissabon kamen auch eher, als nach Spanien, so scheint es, Karten von Cabotos Fahrten, jedenfalls aber von den Forschungen Cortereals, und so stammen denn die nächsten erhaltenen Blätter, die von Cantino und Canerio, aus Portugal. Zu weiterer Verbreitung der Ergebnisse seiner eignen Reisen auf portugiesischen Schiffen trug Vespucci selbst, wie man jetzt sagen würde, „durch Bild und Wort“ bei; und so hatte der Einfluß der durch Italiener kopierten portugiesischen Karten auf die Anschauung Mitteleuropas schon begonnen, ehe die spanische Kartographie in geregelte Bahnen geleitet war. Der erste Grund zur Ordnung wurde durch die Errichtung des Indischen Amtes in Sevilla 1503 gelegt. Von der Casa de Contratacion de las Indias ging die Leitung aller überseeischen Unternehmungen aus. Hier mußten notwendigerweise auch die Karten von den neuen Entdeckungen gesammelt werden. Aber es mußte sich nun auch bald herausstellen, daß bei den oft sehr von einander abweichenden Küstenbildern der Neuen Welt solche Karten den Schiffen eher Gefahr bringen als Sicherheit gewähren konnten. Es mußte an den vorhandenen Karten fachgemäße Kritik geübt werden, es mußte dafür gesorgt werden, daß die Seefahrer möglichst korrekte Karten, nach einheitlichen Grundsätzen entworfen, erhielten.

Dieser Fortschritt knüpfte sich an die Berufung Amerigo Vespuccis 1508 zum Pilotmajor in Spanien. Damals wurde der Plan zuerst ins Auge gefaßt, unter seiner Leitung eine wichtige Generalkarte von den entdeckten Gebieten zu entwerfen. (Navarr. III, 300.) Neben ihm waren Juan Diaz de Solis und Vincente Yañez Pinzon tätig. Von den damals vorhandenen Karten wurde die des Andres de Morales für die beste erklärt und vorläufig zum Range einer offiziellen Karte, eines Padron real erhoben. Bei Strafe von 50 Dublonen (960 Mark) sollte kein Schiffer eine andre Karte an Bord haben. Aber das Gebot war leichter gegeben als gehalten. Als Amerigo Vespucci am 22. Februar 1512 starb, folgte ihm als Pilotmajor Diaz de Solis. Dieser erhielt noch in demselben Jahre zusammen mit dem Neffen Amerigos, Juan Vespucci, den Auftrag, eine offizielle Karte zu entwerfen. Beide sollten dafür auch das Recht haben, den Padron real zu kopieren und zu verkaufen. Aber die andern Kartographen kehrten sich an das Privilegium nicht. Wenn nun in den folgenden Jahren bis zum Tode Diaz' de Solis mehrfach von der Einberufung einer Junta berichtet wird, durch welche die Herstellung einer offiziellen Karte beschleunigt werden sollte, so scheint die Anfertigung doch auf bedeutende Schwierigkeiten gestoßen zu sein. Und in der That ist auch von derartigen empfohlenen Karten nichts erhalten.

Es handelte sich dabei namentlich auch um genaue Längenbestimmung des Kaps

S. Augustin in Brasilien, nach dessen Lage man die Grenze der portugiesischen Ansprüche auf Südamerika hoffte festlegen zu können; denn die Portugiesen waren entschlossen, jeden Spanier, der hier die Demarkationslinie überschritt, gefangen zu setzen. Ungenaue Karten brachten hier also die Schiffer in Lebensgefahr.

Man hat nun vermutet, daß die Blätter IV und V in Kunstmanns Atlas aus den Ergebnissen der Junta von 1515 hervorgegangen seien (Kohl, Generalkarten, S. 30), denn diese Karten sind nach 1513 entstanden, da Balboas Südsee darauf angegeben ist. Allein diese beiden Karten vertreten verschiedene Standpunkte; Nr. IV vertritt die portugiesischen Ansprüche in Brasilien, wie der Verlauf der Demarkation durch Brasilien und die lange Legende auf der portugiesischen Seite beweist, während Nr. V für die spanischen Ansprüche eintritt, wonach die Grenzlinie nur den äußersten Vorsprung Brasiliens als portugiesisch gelten läßt. Die erste Karte bedient sich der portugiesischen, die zweite der italienischen Sprache.

Die Unsicherheit in der Gesamtauffassung der neuen Länder dauerte noch einige Jahre fort, bis die Küsten des mexikanischen Golfes durch Pinedo aufgenommen waren und bis Sebastian d'Elcano vom Geschwader Magalhães' die ersten Karten vom südlichen Ende Südamerikas heimbrachte. Dann erst, um 1522 oder 1523, befestigte sich die spanische Küstenzeichnung von Amerika und wurde nur noch im Westen durch die Forschungen am Großen Ozean, wie sie von Cortes' und Pizarros Zügen geliefert wurden, ergänzt. Nun kam man auch wieder auf den Plan eines allgemeingültigen Padrons zurück.

Im Jahre 1526 erhielt Ferdinand Columbus den Auftrag, eine neue genaue Karte herzustellen, die nach einem spätern Erlasse des Kaisers Padron general heißen sollte. Wenn aber nach 9 Jahren an den Sohn des Admirals der wiederholte Befehl erging, die Karte zu vollenden, so darf doch sicher daraus geschlossen werden, daß er bis dahin die Arbeit nicht abgeschlossen und keine Karte geliefert hatte; dann läßt sich auch die Annahme, daß die Weinmannsche Generalkarte von 1527, die erste uns erhaltene „Generalkarte“, von ihm herrühre, nicht wohl aufrecht erhalten. Die zweite, von Ribero entworfene, jener von 1527 durchaus verwandte Generalkarte von 1529 hat sich ebenfalls erhalten. Der auf diesen beiden Karten ausgesprochene Typus wurde von da ab im allgemeinen festgehalten.

Wenn die Portugiesen, was den Umfang ihrer Leistungen für die Kartographie Amerikas betrifft, auch erst in zweiter Linie stehen, so gebührt ihnen doch das Verdienst, zuerst Nordamerika in seinen richtigen Umrissen, natürlich abgesehen vom polaren Norden, aufgefaßt und dargestellt zu haben. Sie waren ebenso tüchtige Piloten wie geschickte Kartenzeichner und haben nicht bloß durch ihre Arbeiten, sondern auch durch ihre Methode einen großen Einfluß namentlich auf die geographischen Arbeiten in Deutschland ausgeübt. Manche ihrer Kartenzeichner und Piloten giengen heimlich von Portugal nach Spanien in den Dienst Karls V., wie Francisco und Ruy Faleiro, Jorge und Pedro Reinel, Simon de Alcazaba de Sotomayor. Neben ihnen traten aber in Spanien, und noch mehr als die Portugiesen, die Italiener hervor. Es sei hier außer an Columbus nur an Amerigo und Juan Vespucci und an Sebastian Caboto erinnert. (Harrisse, Cabot, S. 219.)

Zwei der wichtigsten und ältesten kartographischen Urkunden, die Karten von Cantino und Canerio, wenn sie auch durch Italiener vermittelt oder gezeichnet waren, sind Kopien portugiesischer Originale. Beide haben, wie auch die von Vespucci an den Herzog René von Lothringen gesandten Küstenbilder der Neuen Welt, einen weittragenden Einfluß auf die gelehrte Kosmographie gehabt.

Dieser Einfluß rührte aber von Italienern im Auslande her. Dem gegenüber macht Harrisse (Discov. of N. Am., S. 270) darauf aufmerksam, daß die in Italien lebenden Kartographen verhältnismäßig erst spät von den Entdeckungen der Spanier und Portugiesen in der Neuen Welt Notiz nahmen, und daß, abgesehen von Johann Ruysch, einem Deutschen, der für den römischen Ptolemäus 1508 eine portugiesische Karte der Neuen

Welt im wesentlichen kopierte, erst Vesconte de Maggiolo in Neapel 1511 eine Darstellung der neuentdeckten Gebiete brachte. Bis 1527 blieb die kartographische Thätigkeit in Italien von portugiesischen Vorbildern abhängig. Spanischen Einfluß erkennt man erst in Maggiolos Karte von 1527. Viel später, als die drei südlichen romanischen Völker: Italiener, Spanier und Portugiesen, beteiligten sich die Franzosen an diesen nautischen und kartographischen Arbeiten. Auch hier war ein Italiener, Giov. Verrazzano, 1524 der Bahnbrecher. Ihm folgte 10 Jahre später die Fahrt des ersten Franzosen, Jacques Cartier, und wenn sich auch von seinen Originalaufnahmen nichts erhalten hat, so findet sich doch das Ergebnis seiner ersten Entdeckungsfahrten auf der Weltkarte Nicolas Desliens' v. Dieppe, 1541, der ältesten bekannten französischen Karte. Dieselbe wird in der königl. Bibliothek zu Dresden aufbewahrt.

Aber großen bestimmenden Einfluß konnte die französische Kartographie nicht mehr ausüben, ihre Kosmographen zeigten sich vielmehr vielfach von Deutschland abhängig. Die erste Seekarte in modernem Sinne, in usum navigantium, die berühmte Weltkarte Mercators, erschien 1569, also am Ende des von uns gewählten Zeitraums. Die Jahrzehnte andauernde Unsicherheit in der Zeichnung der neugefundenen Küsten wurde vornehmlich durch die ungenauen astronomischen Bestimmungen herbeigeführt. Breitenbestimmungen gelangen natürlich eher als die Längenbestimmungen. Und wenn man nun sieht, daß auch in dieser Beziehung in der Mitte der Neuen Welt, in den westindischen Gewässern, wo allein die Spanier thätig waren, am längsten die Schwankungen andauerten, während im Norden und Süden, in Neufundland und Brasilien, wohin in dem nämlichen Jahre 1500 portugiesische Schiffe kamen, viel eher sich die geographische Breitenlage befestigte, dann kommt man notgedrungen zu dem Schluß, daß die Portugiesen den Spaniern in dieser nautischen Geschicklichkeit nicht unbeträchtlich überlegen waren.

Und selbst Columbus hob sich mit seinem Wissen und Können nicht über seine Gefährten hervor. Was von seinen Breitenbestimmungen durch die zweite Hand überliefert ist, verrät ein Schwanken zwischen den eignen Versuchen und den Positionen auf der Karte Toscanellis, der er blindlings folgte. H. Harrisse hat sich in seinem neuesten Werke (*Disc. of N. Am.*, S. 401) der Ansicht Humboldts angeschlossen, daß Columbus die Karte Toscanellis nicht an Bord gehabt habe, denn sonst wäre er unter dem Parallel von Lissabon über den Ozean gegangen. Ich halte den angegebenen Grund für nicht stichhaltig; denn erstens mußten die reichen Länder Ostasiens, die das Ziel der Westfahrt waren, in der Heißen Zone oder in der Nähe dieser Zone gesucht werden und es fragte sich, ob es nicht geratener war, in bekannten Gewässern, also von Spanien bis zu den Kanarien an die Grenze der Tropen zu gehen, als sich dahin in unbekannten Gewässern Ostasiens seinen Weg zu suchen. Zweitens waren nach der Karte, wie aus der Kopie Behaims zu ersehen ist, auf dem Westwege von den Kanarien nach Zayton in ziemlich gleichen Abständen zwei sehr willkommene Ankerplätze, auf Antilia und Zipangu, zu erwarten, wodurch eine Seefahrt von unbestimmter Länge in willkommenster Weise unterbrochen wurde. Drittens geht auch aus dem Tagebuch des Admirals hervor, daß er diese Punkte zu erreichen hoffte. Antilia wollte er, weil es sich nicht gleich fand, wo er es nach seiner Karte vermuten mußte, auf dem Rückwege aufsuchen, Zipangu meinte er gefunden zu haben, als er Haiti erreicht hatte. Alle Bemerkungen des Entdeckers über seine Vorstellungen von der Land- und Wasserverteilung werden durch diese Karte verständlich. Viertens tritt aber das hier sehr gewichtige Zeugnis des Bischofs Las Casas ein, das, weil es mehrmals von ihm mit derselben Bestimmtheit wiederholt worden ist, in diesem Falle nicht als ein gewöhnlicher Irrtum, wie er ihm sonst begegnet ist, behandelt werden darf. Nachdem Las Casas lib. I, Kap. 12 (Bd. I, S. 96) von dem geographischen Irrtum Toscanellis gesprochen hat, wonach man bei einer Westfahrt zuerst auf die Länder des Grofschans stoße — Bemerkungen, die sich in verkürzter Form, zum Teil auch wörtlich in den Historien, Kap. VIII, wieder-

finden¹⁾ —, fügt der Bischof einige gewichtige Sätze hinzu, die von den Historien, weil bedenklich für den Ruhm des Genuesen, ausgelassen sind: „La carta de marear (Toscanelli) que le invié, yo, que esta historia escribo, tengo en mi poder, y della se hará más mención abajo“ (Die Seekarte, die er ihm schickte, habe ich, der Schreiber dieser Geschichte, in meiner Verwahrung, und es wird weiterhin noch mehrfach von ihr die Rede sein), und einige Zeilen weiter: „Y ausi creo que todo su viaje sobre esta carta fundó“ (Auch glaube ich, daß seine [des Columbus] ganze Reise auf dieser Karte fußte). Dann kommt Las Casas wieder auf die Karte bei der Schilderung der ersten Fahrt über den Ozean zurück, als Columbus am 25. Sept. 1492 die Seekarte von Martin Alfonso Pinzon zurückerhielt, auf der die ozeanischen Gewässer, die sie durchsegelten, eingetragen waren. Es handelte sich um die Lage von Antilia. Da bemerkte Las Casas im 38. Kapitel (S. 279): „Esta carta es la, que envío Paulo, ffsico, el florentin, la cual yo tengo en mi poder“ (Das ist die Karte, die der Florentiner Arzt Paulo [Toscanelli] schickte, und die ich in Verwahrung habe). Toscanellis Karte stand in hohem Ansehen bei Columbus, darüber kann kein Zweifel sein; eine andre Karte, die den ganzen Ozean bis zum Gestade Asiens darstellte, gab's nicht. Er mußte Toscanelli an Bord haben und konnte nach keiner andern Karte sich richten, und hat nur nach dieser gesteuert.

Die Unsicherheit der Breitenbestimmungen, die ich auf Toscanellis Einfluß zurückführe, läßt sich sogar noch auf einer erhaltenen Karte aus ältester Zeit erkennen. Es ist Tafel II in Kunstmanns Atlas. Hier verlaufen die Küsten der Großen Antillen von Puerto Rico bis Cuba steil nach Nordwesten, so daß das nordwestliche Ende von Cuba den 50. Breitenkreis erreicht. Solche Fehler verschwanden erst allmählich nach dem Tode Colons; erst allmählich rückte der Wendekreis in seine richtige Lage zu den Großen Antillen. Richtig tritt uns das Kartenbild erst auf der ersten Generalkarte von 1527 entgegen. Dagegen war die Mündung des Amazonenstroms von Anfang an richtig unter den Äquator verlegt. Auch der östliche Vorsprung Brasiliens, das Kap S. Augustin, kam bald in schickliche Lage.

Weitaus schwieriger als die Breitenbestimmung war die Bestimmung der Länge. Astronomisch vermochte man sie noch nicht zu berechnen. Besser gelang es, die ungefähre Lage einer Küste nach Schätzung aus der Schnelligkeit der Fahrt zu ermitteln; aber daß auch hier verschiedene Urteile laut wurden, sieht man aus den verschiedenen Schätzungen der Piloten auf der ersten Fahrt Colons. Seine eignen Längenbestimmungen oder -schätzungen sind nicht besser als die seiner Zeitgenossen. Ich glaube auch nicht, daß die wenigen astronomischen Versuche einer Längenbestimmung in amerikanischen Gebieten auf die Kartenbilder einen Einfluß geübt haben. Somit ist's nicht zu verwundern, wenn die östlichen Küsten der Neuen Welt, namentlich Süd- und Mittelamerika, um 3—5° zu weit nach Osten gerückt waren. Noch schlimmer stand es anfangs in Nordamerika. Die zuerst inselartig auftauchenden Küsten von Neufundland, Labrador und Grönland (?) lassen die richtige Lage kaum ahnen. Ganz bedenklich aber war der Verlauf der Ostküste der jetzigen Vereinigten Staaten, der sich so wagerecht von Westen nach Osten zog, als sollte der Ozean dadurch im Norden völlig abgedämmt werden. Neufundland lag infolgedessen um 14° zu weit östlich. Diese Fehler haben im 16. Jahrhundert kaum eine Milderung erfahren.

Die seit 1494 bestimmte Demarkationslinie diente auf den Generalkarten häufig als Anfangsmeridian. Wir treffen sie zuerst auf dem Blatt IV in Kunstmanns Atlas, also etwa ums Jahr 1518. Sie liegt hier 21—22° westlich von der kapverdischen Insel S. Antonio, also etwa 370 Leguas davon entfernt, wie es im Vertrage von Tordesillas 1494 ausgemacht war. Aber die spanischen Kosmographen rückten sie gern in Südamerika

¹⁾ Ich sage absichtlich wiederfinden, denn ich halte hier Las Casas für das Original, aus dem die Historien geschöpft haben.

möglichst weit nach Osten, um das portugiesische Gebiet zu schmälern. Zu völliger Übereinstimmung kam man nicht.

Eine sichere wissenschaftliche Benutzung können die alten Karten, seien es See- oder Landkarten, gemalte Portulane oder durch den Druck vervielfältigte Karten, nur dann gewähren, wenn die Zeit der Herstellung von den Verfassern angegeben ist, wenn also eine genaue Zeitbestimmung gemacht ist, oder wenn dieser Zeitpunkt mit größter Wahrscheinlichkeit aus dem Inhalte ermittelt werden kann. Die Mehrzahl aller erhaltenen älteren kartographischen Urkunden sind ohne Datum.

Von den 12 ältesten Blättern, die wir noch aus der Zeit von 1500—1509 besitzen, sind vier datiert und acht undatiert. Wir dürfen es als ein großes Glück schätzen, daß die älteste erhaltene Karte von Juan de la Cosa ein genaues Datum trägt und daß die sogenannte Cantinokarte durch den Begleitbrief auch mit Sicherheit einem bestimmten Jahre zugeschrieben werden kann. Sonst ist die Zeitbestimmung undatiert Karten immerhin eine äußerst schwierige Aufgabe. Es ist zwar in vielen Fällen möglich, nachzuweisen, welche der eingetragenen Entdeckungen die jüngste gewesen ist; aber daraus folgt nur, daß die Karte nicht vor dem Ereignis dieser Entdeckung entworfen sein kann. Dagegen läßt sich daraus noch nicht ersehen, um wieviel Zeit später der Kartograph gearbeitet hat. Wenn alle in Italien ansässigen Kartographen vor 1508, oder richtiger vor 1511, von Amerika noch keine Notiz nehmen, so kann eine solche Wahrnehmung nur zu äußerster Vorsicht mahnen.

Da die Originalaufnahmen mit wenigen Ausnahmen aus späterer Zeit nicht auf uns gekommen sind und die Arbeiten verschiedener Piloten wohl auch aus verschiedenen Jahren zu einer Karte zusammengetragen sind, so wird dadurch schon die Zeitbestimmung erschwert, und doch läßt sie sich bei Portulanen, die in den Hafenstädten gemacht sind, noch eher ermitteln, als bei den danach gedruckten Blättern. Der Stich oder Schnitt der Blätter erforderte längere Zeit, der Druck verzögerte sich oft um Jahre; und dazu muß auch noch mit der Möglichkeit gerechnet werden, daß den Gelehrten, von denen diese Karten ausgingen, nicht immer die neuesten Aufnahmen zu Gebote standen. So kommt es denn, daß solche undatierte Blätter oft um Jahre zu früh angesetzt worden sind. So weiß man, daß die Vorlagen zu den Karten zum Ptolemäus (Straßburg 1513) mindestens sechs Jahre in den Händen des Kollegiums zu St. Dié waren, ehe sie veröffentlicht wurden. Denn schon Herzog Renatus († 1508) war in den Besitz der neuen Seekarten von Südamerika und Südafrika gelangt, die später die Ptolemäusausgabe, wenn auch nur in Holzschnitt, zieren sollten; und Martin Waldseemüller kündigte schon 1507 in einem Briefe an Amerbach, St. Dié den 5. April, an, daß demnächst die Karten in Druck erscheinen würden. Ein andres Beispiel bietet der von Nordenskiöld zuerst bekannt gemachte Globus (Faksimile-Atlas, Tafel XXXVII^b), dessen Entstehungszeit Nordenskiöld glaubte in die Jahre 1510—15 setzen zu müssen, während Harrissee aus einer bei Haiti befindlichen Inschrift nachgewiesen hat, daß man den Globus nicht vor 1518 ansetzen dürfe. Ebenso wurde die von Descaliers entworfene Weltkarte, die sogenannte Karte Heinrichs II., um Jahre zu früh angesetzt, bis man auf dem Original Inschrift und Jahr eingeschrieben fand. Wenn in der Liste der bekanntgewordenen Kartenblätter (siehe zweiten, speziellen Teil) bei undatierten Blättern eine Jahreszahl bestimmt oder nur annähernd gegeben ist, so müssen diese Zahlen immer noch mit Vorsicht behandelt werden, wenn ich mich auch bestrebt habe, den besten Gewährsmännern zu folgen.

Eine andre Schwierigkeit beim Studium der alten Seekarten erhebt sich, wenn es gilt, die alten Namen zu deuten und mit der jetzt üblichen Benennung der Lokalitäten zu identifizieren. Denn nur ein Teil der von den Entdeckern selbst gegebenen Namen hat sich bis in unsere Zeit erhalten, manches ist daneben verstümmelt und entstellt, andres noch bei Lebzeiten der ersten Besucher durch andre Benennungen verdrängt worden. Portugiesen

ignorierten die Bezeichnungen der Spanier und umgekehrt; ja noch mehr: auf einer und derselben Expedition konnten von verschiedenen Piloten in den Küstennamen abweichende Karten heimgbracht werden, und wenn auf diesen Originalen die Namen abgekürzt oder undeutlich geschrieben waren, dann traten schon in den ersten Kopien nicht unbedeutende Abweichungen hervor.

Erschwert wird die Deutung der Namen auch noch dadurch, daß die Entdecker selten in ihren schriftlichen Berichten eine genaue Küstenbeschreibung geben, daß nur sehr selten, wie bei Columbus, die Schifftagebücher, wenigstens im Auszuge, vorhanden sind. Oft sind die Berichte zu allgemein abgefaßt, wie bei den vier Schifffahrten des Vespecci, um einen Anhalt für die Deutung zu bieten.

Nimmt man dann noch dazu, daß auch die Küstenzeichnung sehr oft abweichende Darstellung zeigt, dann ist die Deutung der Namen vollends ungewiß, dann ist es nur natürlich, daß neue Forscher über die Erklärung der Lokalitäten stark abweichende Ansichten äußern.

Nach H. A. Schumachers Mitteilung (Kohls Amerikanische Studien, in den Deutschen geographischen Blättern Bd. XI, S. 106, Bremen 1888) schreibt J. G. Kohl über die alten Karten, mit denen er sich jahrelang eifrigst beschäftigt hatte: „Vor einer zu eifrigen Benützung dieser Sachen ist zu warnen. Freilich präntieren die Karten das Bild des Landes in seinen Hauptzügen so darzustellen, wie man es zur Zeit ihrer Anfertigung sich dachte; allein das Geschäft des Kartenzeichnens, das nur eine Arbeit sehr eingeweihter und gelehrter Männer hätte sein sollen, ist oft in höchst ungebildeten Händen gewesen und zum Teil auf äußerst nachlässige Weise betrieben worden, während die Entwerfung eines in allen Punkten richtigen Kartenbildes eine so außerordentliche Masse von Kenntnissen voraussetzt, daß erst in neuerer Zeit jene Kunst gedeihlicher aufblühen konnte. Erst in neuerer Zeit waren alle jene Kenntnisse in gehöriger Weise beisammen.“

Man mag dies zugeben und ist doch gezwungen, wenn es sich um die Entwicklung der Kartographie, wie hier von Amerika, handelt, auch das geringste Blatt zu beachten, und hat jedenfalls die Deutung der Namen zu versuchen. Aber leider läßt sich von manchen wichtigen Entdeckungsfahrten, z. B. Gomez', Ayllons, mit Sicherheit, trotz der spanischen Karten eines Ribeiro, kaum angeben, welche Küstenpunkte mit den alten Namen gemeint sind, an welchen Orten eine Landung oder gar eine Niederlassung versucht ist.

Wenn auch nicht für die Orte, so doch für die Zeit der Entdeckung sind die Heiligen des katholischen Kalenders wichtig. Der Tag der Entdeckung wird damit festgelegt, und schon danach hat manchmal bewiesen werden können, daß eine Entdeckung nicht einem Seekapitän zuzuschreiben sei, dessen Fahrt zwar dem Jahre nach, aber nicht den Monaten nach paßte.

Es mag dienlich sein, für dahin einschlagende Forschungen hier die am meisten verwendeten heiligen Namen in alphabetischer Ordnung einzufügen:

Alexius	17. Juli.	Bernhard	20. Mai
Allerheiligen (de todos os santos)	1. November.	Blasius	3. Februar.
Ambrosius	4. April.	Bonaventura	14. Juli.
Andreas	30. November.	Bonifacius	5. Juni.
Anna	26. Juli.	Catharina	25. November.
Anunciatio Mariae	25. März.	Christoph, Cristoval	18. Dezember.
Antonius	7. Januar.	Circumcisio Dom.	1. Januar.
Apollonia	9. Februar.	Clara	12. August.
Ascensio Domini	Himmelfahrt.	Conceptio Mariae	8. Dezember.
Ascensio Mariae	15. August.	Crucis	14. September.
Assumptio St. Johannis	27. Dezember.	Dionysius	9. Oktober.
Assumptio Mariae	15. August.	Dominica = Sonntag.	
Augustin	28. August.	Dominicus	5. August.
Balthasar	4. Januar.	Dreikönigstag (de Reis, Epiphän.)	6. Januar.
Barbara	4. Dezember.	Eilftausend Jungfrauen (Once mil virgines)	21. Oktober.
Bartolomeus	24. August.	Elena = Helena.	
Beata	22. Dezember.	Elias	20. Juli.
Benedictus	21. März.		

Ferdinand	19. Januar.	Martha	27. Juli.
Franciscus	4. Oktober.	Martin	11. November.
Gallas	16. Oktober.	Martyres	22. Junl.
Georg	23. April.	Matthaeus	21. September.
Germanus	31. Juli.	Matthias	24. Februar
Gregorius	19. März.	(Im Schaltjahr 25. Februar).	
Heilige 3 Könige	6. Januar.	Michael	29. September.
Helenä	18. August.	Nativitas Christi (Nativität, Natal)	25. December.
Hyacinthus — Jacinto.		Nicolaus	6. December
Hieronymus	20. September.	Omnium Sanctorum	1. November.
Jacobus	25. Juli.	Pantaleon	27. Juli.
Januarius	19. September.	Paulus	25. Januar.
Jacinto	11. September.	Peter Paul	29. Juni.
Johannes Baptista	24. Juni.	Petrus	1. August.
Julian	27. und 28. Februar.	Philippus und Jacobus	1. Mai
Kreuzerhöhung (Exaltatio)	14. September.	Raphael	24. Oktober.
Laurentius	10. August.	Roehus	16. August.
Lazarus	17. December.	Romanus	9. August.
Lucas	18. Oktober.	Sebastian	20. Januar.
Lucia	13. December.	Severinus	26. Aug. u. 23. Okt.
Ludwig	25. August.	Stephanus	26. December.
Luise	2. März.	Thomas	21. December.
Magdalena	22. Juli.	Trinitatis (Trinidad)	Donntag n. Pfingsten.
Margareta	13. Juli.	Triunfo de la Cruz	16. Juli.
Maria	8. September.	Vincentina	22. Januar.

Außer den heiligen Namen, die zwar meist auf den Festtag selbst zu setzen sind, zuweilen aber in die Nähe des Tages fallen, besteht die Nomenklatur der alten Karten aus charakteristischen Merkzeichen an der befahrenen und zuerst aufgenommenen Küste. Die üblichsten Benennungen sind:

Aguada — Wasserplatz.	bahia — Bai.	rio doce — Süßwasserflus.
aldeä — Dorf.	fondra — Tiefe.	rio salado — Salzflus.
arenas — Sandstrand.	furna — Bucht.	rio escondido — versteckter Fluß.
anegadas — überschwemmtes Gebiet.	mar baxa — seichtes Meer.	rio verde — grüner Fluß.
ancon — Bucht.	medanos — Hügel, Dünen.	Salinas — Salzgewinnung.
arboledas — Wald, Gebüsch.	plata — Flachküste.	tierra llana — Flachland.
arefios — Riffe.	prael — Sandbank.	

Dergleichen allgemeine Bemerkungen über die Natur der Küsten finden sich seltsamerweise auch auf den Kupferstich- und Holzschnittkarten, namentlich wenn sie getreue Kopien von Seekarten sind.

Das sprüdeste Material lieferte der Holzschnitt, der allein bei allen deutschen Karten in Anwendung kam. Hier kommen am leichtesten Verstümmelungen von Namen vor, hier erforderte die Art der Herstellung eine Beschränkung in der Aufnahme der Ortsbezeichnung. Die Holzschnitte sind den Seekarten gegenüber arm und roh und spiegeln die Kenntnis der Zeit nur unvollkommen wieder. Und doch ist eine solche ganz allgemeine Bezeichnung wie *bahia* zu einem Erkennungszeichen für eine ganze Gruppe von Karten geworden. Die bekannte Allerheiligenbai an der Küste Brasiliens, *bahia de todos os santos*, wurde durch Namensentstellung zu einer Abatia de todos os santos, also zu einer Allerheiligen-Abtei. Es war die mit Waldseemüllers Karten 1513 anhebende deutsche Kosmographie, die diesen merkwürdigen Irrtum beging, der von Schöner weitergepflanzt wurde. (Harris, *Disc. of N. Am.*, p. 275.)

Die Landkarten und Globen.

Es verdient besonders hervorgehoben zu werden, daß in den Ländern, denen wir die Entdeckungen in der Neuen Welt zu allermeist verdanken, eine kosmographische Wissenschaft nicht existierte, daß in Spanien und Portugal kein Globus entworfen und damals nur sehr selten eine Holzschnittkarte ans Licht getreten ist.

Welche Stellung die neuentdeckten Inseln (denn aus solchen bestand anscheinend das nordamerikanische Gebiet) und das große Festland auf beiden Seiten des Äquators einnehmen, wie sie sich zu den bekannten Erdteilen verhielten, ob das neue Land zu Asien

in weiterem Sinne zu rechnen sei, ob es überhaupt mit Asien zusammenhänge, oder ob, was wir jetzt Nord- und Südamerika nennen, unter sich im Zusammenhange stehe: alle diese Fragen sind in Deutschland und Italien und weiterhin auch in Frankreich, aber nicht in Spanien und Portugal erörtert. Die verschiedenen Ansichten und Lehrmeinungen traten darüber zutage und beherrschten das allmählich entstehende Bild der Neuen Welt.

Von Italien war die neue Entwicklung der Geographie mit der Wiederbelebung des Ptolemäus ausgegangen, deutsche Astronomen und Mathematiker saßen wieder als begeisterte Schüler zu Füßen des alten alexandrinischen Geographen. Darum sind auch die ersten gedruckten Karten fast ausnahmslos mit den sich rasch folgenden Ausgaben des Ptolemäus verknüpft. In Genauigkeit der Zeichnung und in dem Reichtum der Namen ragten die italienischen Ausgaben weit über die deutschen hinaus, denn dort wurde der Kupferstich, in Deutschland dagegen der Holzschnitt zur Herstellung der Karten verwendet.

Es war zunächst noch eine vereinzelte Erscheinung, daß im römischen Ptolemäus (1508) eine Karte der Neuen Welt von Johann Ruysch erschien. Fünf Jahre später bot der Straßburger Ptolemäus die ersten nördlich von den Alpen nach Seekarten geschnittenen Karten der Neuen Welt. Dazwischen waren aber schon in Holz geschnittene Globen getreten.

Trotz des geringern, spröderen Materials zur Vervielfältigung der Karten gewann doch von Anfang an Deutschland den bestimmtesten Einfluß auf die Vorstellung von den Ländergestalten jenseits des Ozeans und hat auch diesen Einfluß ein halbes Jahrhundert uneingeschränkt geübt.

Der Anlaß dazu war sehr merkwürdig. Eine kleine Vogesenstadt, St.-Dié, der Sitz des lothringischen Herzogs Renatus († 1508), wurde der Vorort für die Entwicklung der Kartographie von Amerika. Portugiesische Seekarten und die Berichte von den vier Schifffahrten Amerigo Vespuccis gaben etwa 1506 den Anstoß. Die an den Herzog gelangten Neuigkeiten wurden im Hofe des Gymnasialkollegiums, zu dem Walther Lud, Ringmann und Waldseemüller gehörten, alsbald gewürdigt und verwertet. Zunächst erschienen die vier Schifffahrten in lateinischer Übersetzung und in Begleitung einer von Martin Waldseemüller verfaßten *Cosmographiae introductio*, worin der Verfasser 1507 bekanntlich für die Neue Welt den Namen Amerika vorschlug. Zu gleicher Zeit wurde geplant, die ebenfalls an den Herzog gelangten Seekarten zu einer neuen Ptolemäusausgabe zu verwenden. Die Herstellung der Karten wurde in die Hand Waldseemüllers gelegt; aber das Werk erschien nach manchen Hemmnissen erst 1513. Wie sehr diese Ptolemäusausgabe einschlug, ersieht man daraus, daß 1520 eine zweite Auflage nötig wurde und die Auflagen von 1522 und 1525 Nachbildungen der Karten an denselben Orte und sogar die Ptolemäusausgaben von Lyon (1535) und Wien (1541) die Karten Waldseemüllers wiederbrachten.

St.-Dié aber verlor bald nach dem Wegzuge Waldseemüllers seine Bedeutung, sein Ptolemäus erschien schon in Straßburg. Auf Straßburg folgte Nürnberg mit den Schönerschen Globen, und so verbreitete sich das Interesse an den kosmographischen Arbeiten immer weiter über das deutsche Land, um endlich am Ende unsres Zeitraums in den Niederlanden und am Niederrhein seinen Höhepunkt in den Arbeiten Mercators zu finden.

Überblickt man den ganzen Zeitraum, in dem die deutschen Kosmographen die Vorstellungen beherrschen, so lassen sich von 1508—1569 mehrere Typen teils neben-, teils nacheinander zur Geltung gebrachter Darstellung der neuen Länder erkennen. Die Theorien sind schon auf der ersten gedruckten Karte eines Deutschen, Joh. Ruysch, 1508 scharf ausgeprägt und sind auch nicht von Mercator auf seiner großen Seefahrerkarte 1569 vermieden.

In dem gegebenen Zeitraum lassen sich 7 Typen unterscheiden:

I. Joh. Ruysch, 1508. Die im nördlichen Amerika bekannten Gebiete Grönland, Labrador und Baccalaos (Neufundland) sind als die Ostküsten von Asien angesehen, deren

weiterer südlicher Verlauf ganz nach Behaim — Toscanelli gegeben ist. Südamerika hängt damit nicht zusammen.

II. Waldseemüller, 1509. Der „Globustypus“ mit dem Namen Amerika. Die Neue Welt gehört nicht zu Asien, sondern besteht aus zwei durch Meere getrennten Teilen. Charakteristisch ist die mittelamerikanische Meerenge. Dieser Auffassung folgen Boulenger, Schöner, der sogen. Leonardo da Vinci und Nordenskiölds Globus (Taf. XXXVII), ferner Apian, Grynius, Houterus.

III. Amerika bildet eine zusammenhängende Landmasse und liegt in schicklicher Entfernung von Ostasien und Westafrika.

Stobnicza 1512. Waldseemüller 1513.

IV. Nordamerika hängt auf weiter Strecke mit Asien zusammen. Es ist zum Teil eine Anlehnung an den ersten Typus. Nach Harriase (Disc. of N. Am., p. 284) ist die Idee auf Peter Martyrs Enchiridion (De nuper sub D. Carolo repertis insulis simulque incolarum moribus. Basel 1521) zurückzuführen. Möglicherweise hat schon Jöh. Schöner auf seinem verschollenen Globus von 1523 diesen Vorstellungen gehuldigt, wie es zweifellos in seinem opusculum geographicum (Nürnberg 1533) geschehen ist, wo er auf Blatt 12 schreibt: *unde longissimo tractu occidentem versus ab Hispali terra est quae Mexico et Temistitan vocatur, in superiori India, quam priores vocaverunt Quinsay*. Nachweisbar vor Schöners opusculum hat diesen Gedanken der niederländische „Franciscus Monachus“ 1526 auf der von ihm entworfenen Hemisphäre zum Ausdruck gebracht. Diese Vorstellung wurde durch Oronce Finé und namentlich durch die italienischen Ptolemäusausgaben (Venedig 1548, 1561, 1562) weiter verbreitet und fand auch in Deutschland lange Zeit Beifall.

V. Nordamerika ist nicht mit Asien verbunden, sondern wird davon durch ein nach Norden immer schmaler werdendes Meer, das nördlich von Amerika sich gegen Osten fast zu einer Straße verengt, geschieden. Die Westküste Nordamerikas verläuft halbkreisförmig gegen das nördliche Atlantische Meer. Die ehemals inmitten der Neuen Welt geforderte Meeresstraße ist nach dem Norden verlegt und wird in der Polarregion durch Asien begrenzt, das über ganz Amerika hinweg bis Grönland reicht.

VI. Typus Sebastian Münsters, bei dem der Einfluß der Karten Verrazzanos und Maggiolos im Norden besonders durch den Isthmus südlich von Neufundland sichtbar wird. Südamerika bekommt eine plumpe, phantastische Gestalt.

VII. Nordamerika und Nordasien liegen ostwestlich, nicht nordsüdlich zu einander, wie in V. Eine Meeresstraße, in der Gestalt und Lage an die Beringsstraße erinnernd, trennt beide Erdteile und heißt Fretum Anian. Diese Darstellung treffen wir zuerst auf Zaltieris Karte 1566, ihr folgen Mercator 1569 und Ortelius 1570.

Litteratur.

- d'Avesac. Martin Hyacinthos Waltseemüller. (Paris 1867.)
 H. H. Bancroft. The history of the Pacific states. North West Coast. Vol. I.
 Berchet. Portolani esistenti nelle principali biblioteche di Venetia. (Venedig 1866.)
 Breusing. Leitfaden durch das Wiegandalter der Kartographie bis zum Jahre 1600. (Frankfurt 1883.)
 J. C. Brevoort. Verrazano the navigator. (New York 1874.)
 ———. Notes on the Verrazano map. (Journ. Amer. geogr. Soc. [New York] t. IV, p. 172.)
 C. Desimoni. Verschiedene Abhandlungen, die bei den einzelnen Karten erwähnt sind.
 C. F. Duro. Verschiedene Abhandlungen über Seekarten im Bolet. soc. geogr. Madrid t. VII, 253; XI, 334; XII, 80, 153, 446; XV, 134; XVII, 280; Bol. Acad. de la historia t. XII, XIII, XV.
 L. Gallois. De Orontio Pinaeo. (Paris 1890.)
 ———. Le portulan de Nicholas de Canerio. (Extr. Bull. soc. géogr. Lyon 1890.)
 ———. Les géographes Allemands de la renaissance. (Paris 1890.)
 Ghillany. Der Ritter Martin Behaim. (Nürnberg 1853.)
 Hackluyt Society:
 Vol. 7. R. Hackluyt. Divers voyages touching the discovery of America. 1850.
 Vol. 9. R. Hackluyt. Discovery and conquest of Terra Florida by Don Fernando de Soto. 1851.
 Vol. 21. Benzoni. Hist. of the New World. 1541—1556.

- Vol. 24. Expeditions into the Valley of the Amazons 1539—1540.
 Vol. 28. Expedition of P. de Ursua and L. de Aguirre in search of Eldorado and Omagua 1560—1561.
 Vol. 33. Pedro de Cieza. *Travels I.* 1532—1550.
 Vol. 34. Pascual de Andagoya.
 Vol. 47. Reports on the discovery of Peru.
 Vol. 51. Hans Stade. 1547—1555.
 Vol. 52. Magellan.
 Vol. 68. Pedro de Cieza. II.
- Hamy. Notice sur une mappe portugaise de 1502. (Bull. géogr. hist. et descriptive 1886, no. 4.)
- H. Harrisse. Notes pour servir à l'histoire, à la bibliographie et à la cartographie de Nouvelle France. (Paris 1872.)
- Jean et Seb. Cabot. (Paris 1882.) Darin p. 139—252: Notes pour servir à une classification des oeuvres cartographiques de la première moitié du XVI^e siècle, concernant l'Amérique septentrionale.
- The discovery of N. America . . . with an essay on the early cartography of the New World. (Paris und London 1892.)
- Außerdem von demselben Verfasser:
 Bibliotheca americana vetustissima. (New York 1866.)
 Bibliotheca, additions. (Paris 1872.)
 Les Corte-Real et leurs voyages au nouveau monde. (Paris 1883.)
 Christophe Colomb. (Paris 1884.)
- A. v. Humboldt. Über die ältesten Karten des neuen Kontinents in Ghillany's Geschichte M. Behaims. (Nürnberg 1853.)
- Kritische Untersuchungen über die histor. Entwicklung der geogr. Kenntnisse m. d. neuen Welt. (Berlin 1852—1854.)
- Jomard. Monuments de la géographie. (Paris.)
- J. G. Kohl. A history of the discovery of Maine. 1869. (Hist. soc. of Maine, Vol. I.) Mit 23 unter Kohl's Leitung facsimilirten und lithographirten Karten.
- Descriptive Catalogue of those maps, charts and surveys, relating to America, which are mentioned in vol. III of Hakluyt's great Work. (Washington 1857.)
- On the plan of a cartographical depot for the history and geogr. of the American Continent. (Smithsonian Instit. Annual report for 1856, p. 93—147.)
- Die beiden ältesten Generalkarten von Amerika, ausgeführt in den Jahren 1527 u. 1529. (Weimar 1860.)
- Geschichte der Entdeckungsreisen und Schiffahrten zur Magellanstraße. (Zeitschr. d. Ges. f. Erdkunde Berlin 1877.)
- K. Kretschmer. Die Entdeckung Amerikas in ihrer Bedeutung für die Geschichte des Weltbildes, mit Atlas. Berlin 1892.
- Fr. Konstatmann. Die Entdeckung Amerikas. Mit einem Atlas alter Karten. (München 1859.)
- G. de Luca. Carte nautique del medio evo disegnata in Italia. (Atti dell' Accad. Pontaniana 1866, Neapel 1866.)
- J. Lelewel. Géographie du moyen age, accompagnée d'Atlas et de cartes. (Brüssel 1852.)
- P. Matkovic. Alte handschriftliche Schifferkarten in der Bibliothek zu Venedig. (Venedig 1863.)
- A. E. Nordenskiöld. Facsimile Atlas to the early history of cartography. (Stockholm 1889.)
- C. Schmeller. Über einige der älteren handschriftl. Seekarten. (Sitzber. d. K. A. d. W. in München 2. December 1843. Bd. IV der Abhandlungen S. 247.)
- Stevens. Hist. and geogr. notes. (New York 1869.)
- Studi biografici e bibliografici sulla storia della geografia in Italia. 2. ed. Vol. II. Mappa mundi, carte nautiche, portolani . . . per G. Uzielli e P. Amat di S. Filippo. (Rom 1882.)
- H. Th. Thomassy. Les papes géogr. et la cartographie du Vatican. (Nouvelles annales des voyages, t. III, p. 269. Paris 1853.)
- G. Uzielli (siehe Studi).
- E. Uribecochea. Mapoteca colombiana. Colección de los títulos de todos los mapas, planos, vistas etc. relativos a la America española, Brasil e islas adyacentes. (London 1860.)
- Fr. Wiesner. Magalhães-Straße und Austral-Kontinent auf den Globen des Johannes Schöner. (Innsbruck 1881.)
- J. Winsor. Narrative and critical history of America. 8 Vol., mit zahlreichen Kartenkopien und Kartenskizzen. (London 1886—1889.)
- The Kohl Collection of maps relating to America. Bibliogr. Contributions. N. 19. (Cambridge, Mass., 1886.)
- A bibliography of Ptolemy's geography. Ebenda Nr. 18. (Cambridge, Mass., 1884.)

II. Besonderer Teil.

A. Die wichtigsten Entdeckungsreisen und Kriegszüge von 1492—1570.

I. Christoph Columbus.

Erste Fahrt, vom 3. August 1492 bis 15. März 1493.

Mit drei Schiffen: S^a Maria, Pinta, Niña, und 90 Mann, darunter Juan de la Cosa, Pero Alonso Niño, Martin Alonso Pinzon, Vincente Yañez Pinzon.

Erste Entdeckung am 12. Oktober 1492: Guanahani oder San Salvador, wahrscheinlich Watlings-Insel; Cuba 28. Oktober, Haiti 5. Dezember.

Namen, die Columbus erteilte oder ermittelte:

Bancque (= Jamaika, nach Las Casas vol. 63, p. 52).	Cabo Tajado.	Puerto de S. Nicolas (Haiti).
Cabo del Becerro.	„ de Padre e hijo.	„ de la Concepcion (Haiti).
„ de Caribata.	„ del Enamorado (Cuba).	Punta del Hierro.
„ alto y bajo.	El Careño (Haiti).	„ roja.
„ de Torres.	Cuba.	„ santa.
„ de Sierpe (Haiti).	Guanahani.	„ seca.
„ S. Thermano (Samana).	Golfo de las Flechas.	„ Lanzada.
„ fermoso.	dos Hermanos (Haiti).	„ Aguada.
„ de la Laguna (Saomete).	Islas de Arena.	„ Pierma.
„ del isteo.	Juana (= Cuba).	„ del Serañ (Cuba).
„ de Palmas (Cuba).	Isla de la tortuga (bei Haiti).	Rio y puerto de S. Salvador (Cuba).
„ de Cuba.	Isla Espagnola (einheimisch Bohio oder Caribata, nach einer Landschaft).	„ de la Luna (Cuba).
„ del Pico (Cuba).	Los Lucayos.	„ de Mares (Cuba).
„ de Campana (Cuba).	Martinico (Martinique).	„ del Sol (Cuba).
„ Lindo (Cuba).	La mar de nuestra Señora.	„ Guadalquivir (Haiti).
„ del Estrella (Haiti).	Monte Caribata (Haiti).	„ del Oro.
„ del Elefante.	„ Christi (Haiti).	„ de Gracia.
„ de Cinquin (Haiti).	„ de Plata (Haiti).	San Salvador.
„ Belprado (Haiti).	Puerto de la mar de S. Tomas.	Samoeto oder Saometo oder Jumeta
„ de la Tortuga (Haiti).	„ del principe (Cuba).	„ Imbella.
„ del Angel.	„ de S ^a Catalina (Cuba).	Santo Tomas.
„ redondo.	„ sacro.	S ^a Maria de la Concepcion.
„ franco.	„ santo (Cuba).	„ Valle del paraiso (Haiti).
„ del buen tiempo.	„ S. Maria (Haiti).	Villa de la Navidad.
		Yamaye = Jamaica.

Navarrete, Colecc. I, 1—166 (II. edit.). — Las Casas I, cp. 35, p. 261

2. Christoph Columbus.

Zweite Fahrt, vom 25. September 1493 bis 11. Juni 1496.

Mit 25 Schiffen. Das erste Land war die Insel Desirada (Deseada) am 3. November, Dominica und Marigalante an demselben Tage, Guadalupe 4. November, Monserrat 11. November &c., Jamaika 13. Mai 1494.

Vgl. Navarr. I, 198 (II. edit.). — Las Casas, lib. I, cp. 44.

Namen (nach Las Casas):

Antigua, S ^a Maria de la Antigua.	Cabo de Cuba (= Alpha y Omega, der einheim. Name
Angel, Cabo de (Haiti).	Bayatiquiri).
Alpha y Omega oder Fin de Oriente (Cuba).	Contentiquim (Plata in Haiti).
Boriquen oder S. Juan (Puerto rico).	S ^a Cruz (einheim. Ay-Ay).
Beata isleta (Haiti).	Dominica.
P. Bueno (Cuba).	Egaño, C. (Haiti), das Colon auf der ersten Reise
Cibao (Provinz Haiti).	C. de S. Rafael nennt (Las Casas vol. 63. 68):
Cañas, Rio de las (einheim. Yaqui).	aber nach der Beschreibung von Las Casas (vol. 63,
Ciba (Plata in Haiti).	p. 222) lag das Cap Egaño an der Südostspitze von
Cabo de Cruz (Cuba).	Haiti und mußte dem Espada Pl. entsprechen.

Española, „que en lengua della y de las comarcas se llamaba Haiti“. Haiti bildete den westlichen Teil der Insel; Bohio und Xamaná waren andere Landschaften. Evangelista, Insel südlich von Cuba, wahrscheinl. I. de Pinos.

Farol, Cabo de (Haiti).

Grande, Puerto (Cuba).

Guadalupe, „a montis Guadalupi similitudine“ (P. Martyr, p. 15 [ed. Colon. 1574]). Madama nannten die Eingeborenen die „grande terre“ v. Guadalupe (ibid. p. 17).

Puerto de Gracia, jetzt Po oder Rio de Martin Alonso, wo sich Pinzon befand, als er von Colon entwich (Las Casas). Hídalgo, Po de los (Haiti).

Hayna, Rio (Haiti).

Juan Baptista, San (= Puerto rico).

Isabella, Stadt auf Haiti.

Jardin de la reyna (südl. v. Cuba).

Miguel, Cabo de S., jetzt Tiboro, Ostspitze von Haiti.

Maria, Sa, Insel im Jardin de la Reyna.

Marigalante.

Monserate, „porque parece que tenia la figura de las penas de Monserate“.

Marien, Prov. in Haiti.

Mas, Fins in Haiti.

Mona, nach der altengl. Insel benannt.

Naridad, puerto de la (Haiti).

Oro, Rio del (einheim. Nica-yagua oder Moa).

Redonda, Sa Maria la.

Samana (Xamana, Landschaft auf Haiti).

Seco, Rio (einheim. Buenicín).

Saona, Insel (einheim. Adamaney). Dieser Name ist von Colon oder seinen Brüdern gegeben.

Tomas, San, Fortaleza auf Haiti.

Ursula, Sa.

Once mil Virgines.

Alto Velo, una isla, que parece desde la mar como vela (Las Casas, vol. 63, p. 66).

Xanique, Fins auf Haiti.

Castelle, auf Haiti nach der zweiten Fahrt Colon erbaut:

Castella enim ab Isabella recto itinere ad Sum Dominicum, id est, a septentrione ad meridiem, per insulam haec exerxunt.

Von Isabella ad lapidem sextum et trigesimum, also 36 Millien. Speranciam arcem condidit. A Sperancia vero ad lapidem 24. divam Catharinam, a Catharina ad 20 lap. Sum Jacobum arcem, a So Jacobo ad alia 20 Millaria Turritam condidit munitionem, quam Conceptionem appellavit, quod in radice Cibonorum montium . . . Aliam deinde mediam inter Conceptionem et S. Dominicum condidit. (P. Martyr I, ep. 5.)

3. Giovanni Caboto (John Cabot).

Erste Fahrt von Bristol an, Anfang Mai bis Ende Juli 1497.

Mit dem Schiffe Matthew und 18 Mann.

Caboto berührte nach H. Harrisse (Discovery of N. America pl. 1) die Küste von Labrador nördlich der Belle-isle-Straße und sah somit das Festland von Amerika eher als Columbus. Das erste Land, prima vista, wurde am Johannistage (24. Juni) 1497 gesehen, es war die Insel St. Johann und dahinter die „terra ferma“, an der Caboto 300 „lige“, vielleicht bis zum Eingange der Hudsonsstraße nach Nordwesten segelte, wo er auch die reichen Fischgründe entdeckte. Die von ihm entworfenen Karte hat sich nicht erhalten.

Der älteste Chronist für die Fahrt ist Peter Martyr (Dec. III, lib. VI u. Dec. VII), dann Gomara, Hist. de las Indias I, 177, Ramusio I, 374.

Nach der 1544 erschienenen Weltkarte Seb. Cabotos wäre die Landung allerdings weiter südlich erfolgt, und zwar etwa am Cap Percé, an der Nordostküste von C. Breton. Es galt dem Kartographen vermutlich, da seit 1534 die Entdeckungen Jacques Cartiers am Lorenzstrom erfolgten, die englischen Ansprüche auf jene Gebiete zu stützen.

Vgl. H. Harrisse, Jean et Sebast. Cabot. Paris 1882.

Namen:

Baccallaos, tierra de los.
Buena vista, prima vista.

Cabo del Labrador (58° N.).
Terra nova.

4. Giovanni Caboto. (John Cabot.)

Zweite Fahrt, mit fünf Schiffen.

Abfahrt nach dem 1. April 1498, vielleicht erst im Mai, Rückkehr im September.

Über die Ausführung der Fahrt liegen zeitgenössische Berichte nicht vor. Da auf der Karte Juan de la Cosa (1500) an der Ostküste Nordamerikas englische Wimpel gezeichnet sind, so könnte die Fahrt, wie Kohl (Disc. of Maine p. 155) meint, vielleicht bis Cap Cod, oder nicht weit darüber hinaus nach Süden gegangen sein. Nach Harrisse (Disc. of N. Am. p. 1 u. 39) dürfte Caboto sogar Florida erreicht haben. Es ist nämlich nicht unmöglich, daß, wenn nicht das ganze Geschwader, so doch eins der Schiffe bis in die westindischen Gewässer gelangt ist. Thatsache ist es, daß Hojeda 1499 von der spanischen Regierung den Auftrag bekam, die Engländer, die sich in der neuen Welt des Columbus hatten sehen lassen, zu vertreiben.

Möglicherweise, was mir aber nicht sehr wahrscheinlich ist, müßte die Landzeichnung in den portugiesischen Karten von Cantino (1502) und Canerio nordwestlich von Cuba auf Cabotos Aufnahmen zurückgeführt werden.

5. Christoph Columbus.

Dritte Fahrt, vom 30. Mai 1498 bis 25. November 1500.

Mit drei Schiffen. Am 31. Juli wurde die Insel Trinidad und am 1. August 1498 das Festland von Südamerika am Delta des Orinoko entdeckt. Von hier erstreckte sich die Entdeckung nordwestlich nur bis Cumana und Margarita. Die Karte (pintura de la tierra), die Colon an die spanischen Majestäten sandte, ist verschollen.

Navarr. I, 242 (2. ed.); Las Casas, lib. I, cp. 127 u. 132, u. vol. II, p. 210 u. 226; P. Martyr, Dec. 1, lib. VI; Oviedo, Hist. gen. III, 3.

Von den Namen, die Columbus vorzüglich an der Küste des Festlandes gab (er blieb allerdings nur vom 1. bis 15. August in der Nähe des Landes), haben sich nur wenige im Gebrauch erhalten. Las Casas, vol. II, p. 262, sagt darüber: Finalmente, de todos los nombres, que puso á islas y cabos de la tierra firme que tenía por isla de gracia, no han quedado ni se platican hoy sino la isla de la Trinidad y la boca del Drago, y los testigos y la Margarita. Indessen sind es doch mehr als diese vier; oder sollten sie erst später wieder aufgenommen sein? Ein Vergleich mit den späteren Karten gibt darauf, weil fast alle Originalaufnahmen fehlen, keine bejahende Antwort.

Namen:

Abre el ojo.	Curiana (régio, ebenda).	el Martinet, bei Margarita.
Arenal, punta del (Trinidad), jetzt Iscaea.	Delfin, ialeta bei Trinidad (= Mono, nach Harriese, Colomb II, 85).	Nueva, isla, vor der Stadt S. Domingo.
Aguja, punta del (Paria).	Drago, boca del.	Playa, punta de la, gegenüber von Trinidad.
Asuncion, isla de la (Pariagolfe).	Conehas, Cabo de, am Pariagolfe.	Perlas, golfo de las (Pariagolfe).
Blanca, Insel bei Margarita.	Conception, isla, am Pariagolfe.	Paria, punta de.
Ballena, Golfo de la (Westseite von Trinidad).	Coche, Insel bei Margarita.	el Romero, Insel, bei den Testigos.
Bellaforma, Hohe Insel (nordöstl. vom Druchenschlund), nach Harriese, Colomb II, 83: „la presquite étranglée à la Baie Celeste, qui termine la terre de Paria au nord est“.	Gatos, puerto de (Trinidad).	Rico, Cabo (Paria).
Boto, Cabo, Nordwestspitze von Trinidad.	Gales, Cabo de la (= Galeota), Südostspitze von Trinidad.	Pa Sara.
Cabañas, Puerto, bei Trinidad.	Gracia, isla oder tierra de (Festland an der Mündung des Orinoko).	Pa Seca.
Catharina, Sa, Insel bei Haiti.	las Guardias, Inseln bei Margarita.	Santa, isla, Festland an der Orinokomündung.
Caracol, ialeta bei Trinidad (= Chaca chacane, Harriese, Colomb II, 85).	Jardines (Südküste Parias).	Sierpe, boca de la, bei Trinidad.
Cubagua, Insel.	Isabella, Insel (Südküste Parias).	Sabeta, Insel, westl. von Aguja.
Cumana (reginucula, nach Martyr p. 76).	Lana, punta.	Sabor, Cabo (Paria).
	Lapa, Cabo de, bei Trinidad.	Trinidad, isla de la.
	Luengo, Cabo (Paria).	Tramontana, Insel an der Küste von Südamerika.
	Manacapaná (reginucula, Martyr 76).	los Testigos, drei Inselchen.
	Margarita, Insel.	Ynapuri (= Orinoko).

6. Alonso de Hojeda.

Vom 20. Mai 1499 bis Ende Juni 1500 oder bis April 1500.

Vier Schiffe, mit Juan de la Cosa und Vespucci als Kaufmann, „por mercader“, wie Herrera (I lib. IV, p. 125. 1601) sagt. Cosa hatte Colons erste Reise, Hojeda dessen zweite Reise mitgemacht.

Der Bischof Fonseca teilte seinem Neffen Hojeda die Karte und den Bericht mit, den Colon von seiner dritten Reise 1498 eingeschickt hatte, und Hojeda beschloß, die Entdeckung von Trinidad südwärts weiter zu fördern.

Wenn Amerigo Vespucci später in seinen vier Schiffahrten behauptete, er sei am 20. Mai 1497 von Cadix ausgefahren, so erklärt Las Casas das an mehreren Stellen als absichtliche Fälschung, um sich dadurch das Verdienst Colons, das Festland von Südamerika zuerst gesehen zu haben, anzumafsen (vgl. Las Casas, vol. II, 273 u. 390).

Mau erreichte die Küste der Gynana unter 3° N. und ging dann nordwestlich an

der Nordküste Südamerikas entlang bis zum Cabo de la Vela, von wo die Schiffe sich am 30. August nach Haiti wandten.

Las Casas, vol. II, p. 268 u. 389. — Oviedo III, cp. 3.

Namen:

Aldea veneida, später Ensenada de Cor-sarios.
S. Bartolomé, lago y puerto, am Golf von Venezuela, jetzt Laguna von Maracaibo.
Cariaco, Golfo de.

Centinela, el farallon.
Coquibacoa, Golf u. Landschaft.
Curacao, isla — Gigantes.
Dulce, río (= Essequibo).
Gigantes, islas de los (= Curacao).
Plechado, puerto (= Chichirivichi).
Prailles, los.

Cabo Ialeos, später C. Codera.
S. Roman, Cabo de, östl. vom Mara-caibosee.
Vela, Cabo de la.
Venezia, Golfo de.
Venezuela.

7. Peralonso Niño und Cristóbal Guerra.

Vom Juni 1499 bis April 1500.

Ein Schiff. Niño hatte die zweite und dritte Fahrt Colons mitgemacht.

Sie landeten am Orinokodelta, gingen nordwestlich, zwei Längengrade weiter nach Westen als Columbus, aber ohne besondere neue Entdeckungen zu machen.

Las Casas, vol. II, p. 435. — Grynaeus, Novus Orbis 1532, p. 117. — Navarr. III, 11 u. 543.

8. Vicente Yañez Pinzon.

Vom 18. November 1499 bis 30. September 1500.

Vier Schiffe. Mit seinem Neffen Arias Perez Pinzon und den Piloten Juan de Umbria und Juan de Jerez. In den amerikanischen Gewässern die erste Fahrt über den Äquator, sah am 20. Januar Land unter 8° S. Br., nahe dem Kap Augustin, das damals auch noch S^a Cruz und S^a Maria de la Consolacion genannt wurde. Von hier ging die Fahrt nordwestlich am Marañon vorbei, durch den Drachenschlund nach Haiti und von dort zu den Bahamainseln Jumeto oder Saometo und zu den ojos de la Babura, wo auf den Riffen zwei Schiffe zugrunde gingen.

Navarr. III, 547. — P. Martyr IX, p. 119.

9. Diego de Lepe.

Von Ende Dezember 1499 bis Juni (?) 1500.

Zwei Schiffe; auf dem ersten war Juan Rodriguez der Pilot, das zweite befehligte Velez de Mendoza, der nachweisbar am 5. Juni 1500 wieder in Sevilla war.

Sie gingen von den Kapverdischen Inseln aus über den Ozean, folgten der Fahrt Pinzons, berührten in Brasilien zuerst eine Bucht, die S^a Julia (16. Februar) genannt wurde, südlich vom Kap Augustin, das den Namen Rostro hermoso erhielt, dublierten dieses Kap und gingen am Amazonenstrom nach Nordwesten.

Das Kap S. Augustin ist der erste Punkt in der Neuen Welt, dessen Lage man wegen der Demarkationslinie astronomisch genau zu bestimmen suchte. Juan Vespucci sagte später aus, sein Oheim Amerigo Vespucci sei zweimal an diesem Kap gewesen, „e alli tomó el altura“ (Navarr. III, 319). Wichtig war auch die Wahrnehmung, daß, vom Kap Augustin aus, die Küste der „neuen Tierra firme“ nach Südwesten verlief. Die Karte de Lepes ist leider verloren gegangen. Nur aus den gerichtlichen Aussagen Arias Perez Pinzons (Navarr. III, 555) wissen wir, daß Alonso Velez de Mendoza, dem er den Vornamen Francisco gibt, diese Fahrt mitmachte. Die Reise ging sehr rasch von stattem, da Alonso Velez am 5. Juni 1500 bereits wieder über eine neue Expedition in Spanien verhandelte.

Las Casas, vol. II, 442 u. 453. — Navarr. III, 23 und 553.

10. Pedralvarez Cabral.

Am 9. März von Lissabon mit 13 Schiffen nach Indien, entdeckte zufällig am 22. April die Küste Brasiliens unter 17° S. Br. und benannte das Land Monte Paschoal (Pascoal) zur Erinnerung an das am 19. April begangene Osterfest. Unter stürmischem Wetter

Ruge, Die Entwicklung der Kartographie von Amerika bis 1570.

nordwärts zum Hafen Porto Seguro ($16^{\circ} 26'$ S. Br.). Am 3. Mai, dem Tage der Kreuzerhöhung, wurde das Land Ilha da Vera Cruz genannt. Kapitän Gaspar de Lemos wurde von Cabral mit der Meldung der Entdeckung nach Portugal entsendet, worauf König Manuel denselben noch einmal zur weiteren Erforschung des Landes ausschickte.

Vgl. Brief des die Expedition Cabrals begleitenden Notars Pero Vaz de Caminha an König Manuel.

Auszüge daraus bei Varnhagen, Hist. geral do Brazil; p. 14 vollständig abgedruckt in Corografia brasileira, Tom. I, p. 12. Lissabon 1817.

Ramusio I, p. 132. Navigation del Capitan Pedro Alvarez, scritta per un pilotto portoghese. Navarr. III, 94.

II. Gaspar und Miguel Cortereal.

Vom Mai bis Dezember 1500.

Gaspar C. ging 1500 mit einem Schiffe von Lissabon ab (Damian de Goes), mit zwei Schiffen (Ant. Galvam), kam unter 50° N. an die Küste (Galvam) und entdeckte in sehr kalter Gegend ein Waldland, „terra verde“ (Goes).

Vgl. Harrisse, Cortereal, p. 151. Paris 1883. — Ders., Disc. of N. Am., p. 59.

Cortereal berührte vermutlich Labrador und Neufundland.

12. Rodrigo de Bastidas und Juan de la Cosa.

Vom Oktober 1500 bis September 1502.

Zwei Schiffe, mit den Piloten Andres de Morales und Juan Rodriguez, sahen zuerst die Isla verde zwischen Guadelupe und Tierra firme, fuhren an der Nordküste Südamerikas über die bisherige Grenze Cabo de la Vela hinaus nach Westen 150 leguas weit, drangen über den Golf von Darien bis zum Cabo San Blas an der Landenge von Panama vor und endigten ihre Fahrt erst unter 10° N. im Puerto del Retrete oder de Escribanos (Bastidas war escribano de Sevilla). Auf dem Rückwege fanden sie zwischen Jamaica und Haiti die kleine Insel Contramaestre.

Namen:

Bara, isla de.	Cartagena, puerto de.	Galera, puerto de.	Tiburón.
S. Bernardo, islas de.	Cispata, puerto de.	S.ª Marta.	la Tortuguilla.
S. Blas, Cabo.	Darien.	Magdalena, Rio de la.	Uraba.
Canongia, Cabo de.	Escribanos, puerto de.	Retrete, puerto de.	Zamba, puerto de.
Caribana, Punta.	Puerto, isla.	Sinu, Rio oder Cñu.	

Vgl. Navarr. III, 25. — Oriedo, vol. I, p. 76 (Lib. III, ep. 9).

13. Gaspar und Mig. Cortereal.

Zweite Entdeckung. Vom 15. Mai 1501 bis 8. Oktober 1501, wo ein Schiff von den drei ausgegangenen zurückkam; am 11. Oktober kam das zweite Schiff; das dritte, mit Gaspar an Bord, kam nicht zurück. Sie befuhren Neufundland, Labrador und kamen vielleicht an die Südspitze Grönlands, die Ponta de Asia benannt wurde.

14. Amerigo Vespucci.

Zweite (?) Fahrt. Der Kapitän wird nicht genannt. Kohl (Generalkarten, S. 25) vermutet, daß Christovão Jaques der Leiter des Geschwaders von drei Schiffen gewesen sei, das Cabrals Entdeckung weiter verfolgen sollte. G. Correa (Lendas da India I, 152) nennt André Gonçalves.

Im Mai von Lissabon ab und im September 1502 zurück. Vespucci traf am Grünen Vorgebirge mit der von Indien zurückkehrenden Flotte Cabrals zusammen. Am 7. August wurde die Küste Brasiliens erreicht und bis zum 15. Februar 1502 gegen Süden, bis Cananea (25° S. Br.) verfolgt. Daß Vespucci gegen Süden bis zu 50 oder 52° S. Br.

gekommen sei, wie er selbst behauptet, ist nicht erweislich. Canerios Karte, 1502, beruht auf Vespuccis Aufnahmen, und nach ähnlichen Vorlagen ist auch Waldseemüllers Karte im Ptolemäus 1513 gearbeitet. Hierauf beruht wieder Schöners Darstellung.

Nach HARRISSE (Disc. of N. Am., p. 335) läßt sich auf diesen Karten der Verlauf von Vespuccis Reise folgendermaßen festlegen, nach den heiligen Tagen, die zur Ortsbenennung verwandt wurden:

S. Rocho (Canerio, Waldseemüller)	16. August.	R. de Virgine (Caneo, S.)	21. Oktober.
H. de S. (E) lens (dieselben)	18. August.	R. de S. Lucia (Caneo, W., S.)	13. Dezember.
R. de S. Augustin (Caneo, Walda, Schöner) 28. August.		Serra de S. Thoma (Caneo, W., S.)	21. Dezember.
R. de Jacinto (Schöner)	11. September.	Baia de Reis (Caneo, S.)	6. Januar.
San Miguel (Cantino, Canerio, W., S.)	29. September.	H. de S. Antonio (Caneo, W., S.)	7. Januar.
R. de S. Jeronymo (Caneo, S.)	30. September.	R. de S. Sebastian (Caneo, W., S.)	20. Januar.
R. de S. Francisco (Cantino, W., S.)	4. Oktober.	P. de S. Vientio (Caneo, W., S.)	22. Januar.

Vgl. Navarr. III, 310. Lettera di Amerigo Vespucci in Bibl. Amer. vetust. no. 87. Cosmographie introductio.

15. Hojeda.

Zweite Reise, vom Januar 1502 bis Januar 1503.

Vier Schiffe, mit Juan de Vergara und Garcia de Ocampo. Zum Pariagolf und von da weiter an der Nordküste entlang; am 14. März am C. Lazarus, das nach dem Heiligen des Tages benannt wurde (?) (Navarr. III, 104); aber der Lazarustag fällt auf den 7. Dezember. Das ganze Geschwader ging westwärts zum Puerto de S^a Cruz (jetzt Bahia Honda) und ging von da nach Haiti.

16. Christoph Columbus.

Vierte Reise, vom 11. Mai 1502 bis 7. November 1504. Drei Schiffe: Santiago de Palos unter Diego Tristan, Viscaina unter dem Genuesen Fieschi und Gallega unter Pedro de Torrores. Am 15. Juni sahen sie die erste Insel Matinino. Von hier über Haiti nach der Ostküste von Yukatan, zur Insel Guanaja und von da an der Küste Mittelamerikas, eine Wasserstraße nach den Gewürzländern suchend, bis zur Landenge von Panama und von hier nach Jamaika, wo Columbus die nicht mehr seetüchtigen Schiffe auf den Strand laufen liefs. Auf fremden Schiffen nach Europa zurück.

Namen:

Aburema bai (Laguna von Chiriqui).	(Navarr. III, 557). El Almirante nombro de Pinos,
Asaburo, Provinz bei Cariay.	sagte später der Pilot Pedro de Ledema aus (Navarr.
Barcina, islas, bei Darien.	III, 556).
Bastimentos, Po de.	Guyga, Rio (Rio de Veragua).
Belen, Po de S ^a Maria de.	Kiebra, Rio — Yebra.
Carambara, Provinz — Cerabaro.	Matinino.
Cariay, Provinz an der Moskitoküste.	Tierra de Maya (= Yukatan).
Cativa, Provinz.	Portobelo (= Belpuerto).
Caxina, Po de (Po de Trujillo?).	Poseion, Rio de la (= R. Tinto).
Cobaba, Provinz bei Veragua.	Retrete, Po del (= Po Escribasos).
Gordo, Po.	Urura, Provinz.
Gracias a dios (14. September 1502).	Veragua, rio de.
Guanaja, kl. Insel, liegt frontiero de la bahia de Caxina	Yebra — Kiebra.

17. Juan Bermudez. 1502.

Fünf Schiffe; entdeckt die Bermudas-Inseln.

(HARRISSE, Disc. of N. Am. p. 691.)

18. Gonçalo Coelho.

Am 10. Juni 1503 ab von Lissabon. Sechs Schiffe, nach Brasilien.

Goes, Chronica do Rey Emanuel cp. CXV, p. 170.

19. Seit 1504 fuhren Bretonen, Basken und Normannen zum Fischfang nach Neufundland und den Nachbarküsten; daher die Benennung „Kap Breton“. Dafs Neu-

fundland nicht eine Inselgruppe, sondern eine große Insel sei, wurde erst sehr spät erkannt.

20. Jean Denis

von Honfleur, 1506, mit seinem Piloten Camart von Rouen nahm zuerst die Küsten von Neufundland auf.

21. Juan Diaz de Solis und Vincente Yañez Pinzon.

29. Juni 1508 bis 14. November 1509. Pilot Pedro de Ledesma. Sie stiegen zuerst nach der Küste von Honduras, nach Guanaja hinüber, gingen von da bis zur Landschaft Camarona und weiter bis zu den Sierras de Caria (Navarr. III, 558), wandten sich dann nach Südamerika und gingen vom Kap S. Augustin südwärts bis zum Laplata-Strom oder gar bis zum Rio Colorado, 40° S. Br. (nach Kohl).

Vgl. Zeitung aus dem Presilgland, Navarr. III, 47, und Schöners Globus 1515.

22. Sebastian de Ocampo. 1508.

Zwei Schiffe. Ocampo umsegelte auf Befehl Ovandos, des Gouverneurs von Haiti, Westcuba mit dem Kap San Antonio, einheimisch Aguaniguanigo.

Herrera II, lib. III, cp. 1. — Las Casas, vol. III, p. 209.

23. Juan Ponce de Leon.

Vom 3. März bis 21. September 1513. Pilot Anton de Alaminos aus Palos; drei Schiffe, von Puerto Rico aus, steuerten durch die Bahama-Inseln nach Florida, kamen am 8. März zu den Untiefen von Babueca (22½° N. Br.), dann zu den Inseln Caicos, Yagüna, Amaguayo und Manigua, berührten am 14. März Guanahani und fanden am Ostertage, 27. März, das Festland von Florida (Pascua de flores), hielten es aber für eine Insel und gingen dann bis zum 2. April gegen Nordosten am Lande hin, angeblich bis zum 30.° N. Br. Die Indianer nannten das Land Cautio. Dann kehrte man um, dublierte das Kap Florida, das Cap de Corrientes benannt wurde, und lief wahrscheinlich in die Tampabay ein. Nun zurück nach Bimini und Bahama, wo sie den Piloten Diego Miruelo strafen, der von Haiti aus mit einer Barke auf Abenteuer ausging. Gegen Ende September wieder in Puerto Rico.

Schon frühzeitig ist behauptet, daß nicht Ponce, sondern Caboto der Entdecker von Florida sei. „Floridam, qui primus invenerit, inter scriptores ambigitur. Hispani gloriam Joanni Pontio Legionensi deferunt; verum, quod et certius est, plerique affirmant, jam ante Sebast. Cabotum . . . primum in eam Indiarum provinciam venisse“. (De Thon, Historia sui temporis, 1609, lib. XCIV). Statt Sebastian müßte allerdings Giovanni Caboto genannt werden; der Sohn hat sich später manche Verdienste des Vaters angerechnet.

Namen:

Achecamby-Insel.
Bahama-Insel.
Bimini-Insel.
Cañaveral, Cabo de.
Cautio (Cario?).

Chequescha.
Cruz, Rio de la.
Florida.
Guanima.
Marta, Sa.

los Martires, Inseln.
Matanza-Insel.
Pola, la.
las tortugas, Inseln.
Vieja, islas de la.

Navarr. III, 80. — Herrera I, lib. 9, cap. X, p. 302 der Angabe von 1601. — H. Harriette, Diacov. of N. Am., p. 142, 801.

24. Vasco Nuñez Balboa. 1513.

Brach am 1. September d. J. von Antigua an der Landenge von Panama auf, zog durch Careta und sah am 25. September die Südsee, den Golf von S. Miguel.

Die Entdeckung der Südsee war von großem Einfluß auf die Kartographie, sie

bereitete die Auffassung vor, daß Südamerika ein selbständiger Erdteil sei. Nordamerika dagegen wurde 13 Jahre später mit Asien verknüpft.

P. Martyr, Dec. II, 4, p. 142—180, 205—237; Dec. III, p. 256—271.

25. Juan Diaz de Solis.

8. Oktober 1515 mit drei Schiffen nach Brasilien, Cap Frio, und von da zum La Plata, an dessen Ufer Solis erschlagen wurde. Die Schiffe kehrten am 4. Septbr. 1516 zurück. An der Mündung des La Plata hatte man gehofft, die schon lange gesuchte Strafe nach den Gewürzländern zu finden. Solis nannte den Fluß Rio de Sa Maria, nach seinem Tode hieß dieser Rio de Solis, und seit 1528 kam der Name Rio da prata auf. Auf den Karten findet er sich, soweit ich es habe ermitteln können, zuerst 1541 bei Mercator und Desliens.

Namen:

Candelaria, Po de Nva Gra de la.

Corrientes, C. de los.

Frio, C.

Genero, Rio.

Innocentes, bahia de los, und Rio (23° 15' S. Br.).

Lobos, isla de los (35° S. Br.).

Maria, Rio de Sa (= La Plata).

Martin Gracia, Isla.

Navidad, C.

La Plata, Insel.

Perdidos, bahia de los (27° S. Br.).

San Sebastian de Cadix.

26. Gonzalo de Badajoz

fuhr 1516 von Darien nach Nombre de Dios und drang ins Land nach Chiru und Nata vor. (Navarr. III, 408.)

27. Diego Miruelo

ging 1516 von Cuba zum Handel nach der Westküste von Florida und entdeckte eine Bucht, die, wie Oviedo (Hist. gen., ed. Madrid, II, 143) behauptet, auf spanischen Karten nach Miruelo benannt sein soll; aber der Name läßt sich auf den noch vorhandeneu Karten nicht nachweisen. Der Ort muß westlich von der Apalacheebai liegen.

Winsor, Hist. of Amer. II, 236.

28. Francisco Hernandez de Córdoba.

8. Februar 1517 von Cuba. Drei Schiffe, Pilot Anton Alaminos, ausgesandt von Diego Velasquez, der seit 1511 Statthalter in Cuba war.

Landung an der Punta de las Mngeres südlich vom Kap Catoche nach einer Fahrt von 21 Tagen. Unfern lag der Ort „Gran Cairo“. Kap Catoche erhielt seinen Namen daher, daß die Eingebornen riefen: conex catoche (con escatoch), was nach Bernal Diaz hieß: „komm mit in mein Haus dort!“ Weiter ging die Fahrt um Yukatan herum nach Campeche, einem Indianerdorfe Namens Quimpech, das von den Spaniern San Lazaro genannt wurde, weiter zum Dorfe Potonchan (= Champoton) und der Bahia de mala paea (nach einem unglücklichen Gefechte genannt). Von dem Estero de los lagartos, einer der drei Mündungen eines Flusses, kehrte die Expedition über Florida nach Cuba zurück. Wir hielten, sagt Bernal Diaz (I, cap. 3), das Land (Yukatan) für eine Insel, weil es der Steuermann Anton de Alaminos behauptete. (Navarr. III, 53.)

29. Gaspar de Espinosa. 1517.

Drei Schiffe, Pilot Juan de Castañeda, vom Golfe von Panama nordwärts bis zum Nicoyagolf. Entdeckung der Halbinsel Parita, der Insel Coiba, der Punta Burica, des Golfs de Osa (G. dulce). (Herrera II, III, X. — Oviedo, lib. XXIX, cp. 13 u. 14.)

30. Juan de Grijalva.

8. April 1518 bis 9. Oktober 1518. Vier Schiffe, Pilot Anton Alaminos, von Velasquez abgesandt, segelten am 8. April von St. Jago de Cuba ab, sahen am 3. Mai die

Insel Cozumel, die sie nach dem Tage der Kreuzeserfindung *Sa Cruz* nannten, entdeckten am Himmelfahrtstage, 13. Mai, die *Bahia de la Ascension*, am 31. Mai den *Puerto deacado*, dessen Einfahrt *Alaminos* für eine Meeresstrasse hielt und später *Boca de Terminos* nannte, 18° N. Br. und weiterhin die *isla de Catoche*, die östliche Spitze von *Yukatan*. Am 9. Juni erreichte man den *Rio Grijalva*, jetzt *Rio Tabasco*, den *Rio Guazacualcos* (*Rio de Alvarado*), und nun erblickte der Soldat *San Martin* zuerst die hohen Schneegebirge Mexikos, weshalb man das Gebirge nach ihm *Sierra de S. Martin* nannte. Während man *Yukatan* für eine Insel hielt und *Sa Maria de los remedios* nannte, erkannte man nun in der Nähe des heutigen *Vera Cruz*, das man eine *tierra firme* vor sich habe, die den Namen *San Juan* bekam. Am 19. Juni ging *Alvarado* mit einem Schiffe und den Kranken nach *Cuba* zurück; *Grijalva* verfolgte die Küste noch weiter nordwärts bis nach *Tampico*, bis zum *Rio Panuco*, und wandte sich dann erst nach *Cuba* zurück. Erst nach dieser Fahrt befestigte sich die Vorstellung von einem nordamerikanischen Festlande und bekam auch auf den Karten die entsprechende Darstellung, während bis dahin *Neufundland* und *Labrador*, *Florida* und *Yukatan* für einzelne Inseln angesehen waren.

Namen:

Alvarado, Rio de.	Grijalva, Rio.	Sacrificios, isla de los.
San Antonio, Puerto de.	Guazacualcos, Rio.	Tabasco, Rio.
Ascension, bahia de la.	S. Juan, Provincia de.	Terminos, boca de.
Cozumel.	S. Maria de los remedios.	Tuspan.
S. Cruz, isla de.	S. Martin, sierra de.	Villarica, puerto de.
Deacado, Po.	Panuco, Rio de.	

31. Alonso Alvarez de Pineda (Pinedo).

Februar oder März 1519 bis Oktober 1819. Vier Schiffe, abgesandt von *Francisco Garay*, seit 1516 Statthalter von *Jamaika*, eine Meerenge zwischen dem von *Grijalva* entdeckten Festlande und der Insel *Florida* zu suchen. Als Pilot ging *Diego Miruelo* mit. Die Erforschung begann an der Westgrenze der Entdeckung *Juan Ponce* und erstreckte sich von da nach Westen an der ganzen Nordküste des Mexikanischen Golfes entlang bis über *Tampico* hinans, bis zum 21.° N. Br. Nur die *Apalacheebai* wurde noch nicht untersucht. Der *Mississippi* erhielt den Namen *Rio del Espiritu Santo*; in Mexiko stiefs man mit den Leuten von *Cortes* zusammen. Die Kartenskizze, die *Navarrete* (III, 148) mitteilt, darf als eine Kopie der Karte *Pinedos* angesehen werden. Die Anfangs- und Endpunkte der Entdeckungspunkte sind bezeichnet, z. B. *Desde aqui comenzo a descubrir Francisco Garay*. *Pinedas* Fahrt ist auch auf *Riberos* Karte (1529) wohl zu erkennen.

Navarr. III, 147. — *Harrisse*, *Disc. of N. Am.*, p. 163.

32. Hernan Cortes.

1519 von *Cuba* aus. Eroberung Mexikos. *Cortes* drang am 16. August von der Küste ins Innere, war am 23. September in *Tlascala*, 8. November in *Mexiko*; 13. August 1521 Eroberung der Stadt. 15. Oktober 1522 als Statthalter bestätigt.

Cortes hörte schon 1520 von einem südlichen Meere, 1522 kamen seine Boten an den *Großen Ozean*.

Seine Versuche, die angebliche mittelamerikanische Meerenge zu finden, führten ihn zuerst nach *Tehuantepek*. In *Zacatula* wurden 1523/24 für Erforschung der westlichen Küsten Schiffe gebaut, 1523 *Olid* zur See auf der Ostseite nach *Honduras* gesandt; *Alvarado* ging zu Lande nach *Guatemala*, und *Cortes* selbst folgte ihm, am *Petensee* vorbei, nach *Honduras*.

Vgl. *Col. de doc. ined. para la hist. de España*, vol. 1—4. — *Harrisse*, *Bibl. Am. Vetust.*, p. 203. — *Winsor*, *Hist. of Am.* II, 402.

33. Antonio de Alaminos,

16. Juli 1519 von Vera Cruz über Cuba durch den Bahamakanal nach Spanien segelnd, war der erste, der diesen kurzen Weg mittels Golfstrom einschlug.

Harris, *Disc. of N. Am.*, p. 189.

34. F. Magalhães.

20. September 1519 von S. Lucar ab. Fünf Schiffe. Unter den Piloten Andres de S. Martin und Estevan Gomez. Am 10. Januar 1520 am Cabo de S. Maria an der Mündung des La Plata, westlich vom Cap des Monte vidi. Am 7. Februar Cabo de S. Antonio (= C. Blanco), 8. Februar C. de S. Polonia, 24. Februar Bahia de S. Matias, 27. Februar Bahia de los Patos, 31. März Puerto de S. Julian, Überwinterung bis 24. August; 26. September Rio de S. Cruz, 21. Oktober Cabo de las Virgines am Eingang der Magalhãesstraße, die damals Estrecho de todos os santos benannt wurde. Weiter wurden benannt Cabo Victoria, Cabo Deseado, Tierra del fuego und Mar Pacifico. Am 27. Novbr. 1520 verließ Magalhães die Gestade Amerikas und steuerte mit drei Schiffen über den Großen Ozean nach den Molukken.

Vgl. Navarr. IV. Anton Pigafetta, *Navigation et decouvrement de la Indie superieure faite par moi Antoine Pigafete*. Manuskr. i. d. Nationalbibl. zu Paris. *Primo viaggio intorno al globo terraqueo*. Mailand 1800. — Hugues, *Giornale di viaggio di un Piloto genovese in Atti dell' acc. lig. de stor. patria*, vol. XV. Genua 1881, p. 5—104.

35. Lucas Vasquez de Ayllon

sandte 1520 ein Schiff unter Francisco Gordillo und dem Piloten Alonso Fernandez Sotil an die Ostküste von Nordamerika. Sie erreichten die Mündung eines großen Flusses, den sie nach dem Johannistage 1521 San Juan Baptista nannten, angeblich in 33½° N. Br. Gordillo besetzte das Land im Namen Ayllons, licenciado in S. Domingo.

Winsor, *Hist. of Amer.* II, 238 (Ancient Florida von J. G. Shea).

36. Joam Alvares Fagundes

erhielt am 10. März 1521 vom König Manuel von Portugal ein Patent auf die von ihm am Lorengolf (baya d'Anguade) entdeckten Länder und Inseln, worunter auch Kap Breton und Neuschottland zu verstehen sind. (Vgl. H. Harris, *Disc. of N. Am.*, p. 182 und Pl. IX.)

Die hier namhaft gemachten Orte, die Inseln Sam Joam, Sam Pedro, Santa Ana und Santo Antonio, der Archipel de San Pantelon und die ilha de pitiguem, sowie der Archipel der 11000 Jungfrauen und die Insel S. Cruz kommen teilweise auf der Karte Maggiolos 1527 zuerst vor und teilweise bei Verrazzano 1529. Dadurch wird Fagundes' Fahrt festgelegt, ohne daß man über sie andre Vermutung als über die Tage der Entdeckung machen könnte, nämlich:

S. Joam	am 24. Juni	S. Pedro	am 1. August
S. Ana	„ 26. Juni	S. Cruz	„ 14. September
S. Antonio	„ 13. Juli	Archipel der 11000 Jungfrauen .	„ 21. Oktober.
S. Pantelon	„ 27. Juli		

37. Gil Gonzales de Avila.

21. Januar bis 23. Juni 1522. Vier Schiffe mit Pilot Andres Niño gingen von den Perlen-Inseln bei Panama ab und segelten 100 Leg. an der Küste nordwärts zuerst bis zum Nicoyagolfe, von wo Gonzales zu Lande an den Nikaragua-See vordrang, während Niño inzwischen die pazifische Küste noch über die Fonsecabai hinaus aufnahm. Durch Gonzales erfolgte die erste Aufnahme des Nikaragua-Sees.

Harris, *Disc. of N. Am.*, p. 537. — *Itinerario y cuentas de Gil Gonzales d'Avila*

por il tesorero Andres de Cereceda in M. de Peralta, Costarica, Nicaragua y Panama (Madrid 1883), p. 27. — Col. de doc. ined. rel. al descubr. VIII, p. 17 (Madrid 1867).

38. Cortes

sucht nach einer mittelamerikanischen Meerenge 1524.

Pedro de Alvarado brach im Dezember 1523 von Mexiko auf und ging an der pazifischen Seite durch Guatemala bis nach San Salvador, das 1525 gegründet wurde.

Cristóval de Olid wurde nebst Hurtado de Mendoza am 11. Januar 1524 zu Schiff von Vera Cruz angesandt nach Honduras, Mendoza sollte bis nach Darien hin die Meerenge suchen. Diese Fahrt unterblieb, weil Olid sich von Cortes lossagte.

Cortes selbst brach im Oktober 1524 mit einem Heere auf und zog an der Ostseite, von Vera Cruz nach Honduras, wohin er am 15. April 1525 gelangte.

Als Cortes sich von Montezuma die große Küstenkarte des Reiches verschafft hatte, glaubten die spanischen Piloten in der Nähe des Coazacoalcos die Meerenge suchen zu müssen. Dann faßte man die Bahía de la Ascension an der Ostseite Yukatans ins Auge, „como porque hay opinion de muchas pilotes, que por aquella bahia sale estrecho à la otra mar“ (Col. de doc. ined. rel. al descubr. XIII, p. 62). Später suchte Cortes die Strafe zwischen dem Rio Panuco und Florida. Auch von der Westküste sandte er später Schiffe aus, um sie zu suchen. Diese Meerenge spielte lange Zeit auf den amerikanischen Karten eine große Rolle.

39. Giovanni Verrazzano.

17. Januar 1524 mit einem Schiff von Madeira aus im Auftrage Frankreichs über den Ozean. 7. März Land in der Nähe des heutigen Wilmington bei Kap Fear, 34° N. Br., von hier nordwärts bis Neufundland, am 8. Juli 1524 wieder in Dieppe. Zweck: Seeweg nach Katai zu finden. Die Ergebnisse der Reise finden sich in den Karten von Maggiolo 1527 und Verrazzano 1529. Die Chesapeakebai ist nicht gesehen. Die „grandissima fumara“ Verrazzanos wird auf den breiten Eingang zum Hafen von New York gedeutet, der „bellissimo lago“ auf den innern Hafen der Stadt. Die Isla Luisa heißt jetzt Martha's Vineyard. Ionise von Savoyen, die Mutter Franz I., war 1524 Regentin. Seit Mercators Karte, 1569, machte man aus Luisa auf den Karten eine Claudia-Insel. Der weiter westlich liegende „bellissimo porto“ wird Newport sein.

P. Martyr, Op. epist. 1670, No. 771, 779, 800. — Murphy, The voyage of Verrazzano. New York 1875. — C. Desimoni, Il viaggio di G. Verrazzano. Florenz 1877. — Derselbe, Intorno al Florent. G. Verrazzano. Genua 1881 und 1882. — de Costa, Verrazzano the Explorer. New York 1880. — Lechner, Verrazzano (i. Globus 1890, Nr. 8—10). — H. Harris, Disc. of N. Am., p. 214.

40. Estevan Gomez.

Im Februar 1525 von Coruña, zurück im November; ein Schiff, die Strafe nach China zwischen Neufundland und Florida zu suchen, „iter ad Cataiam inter Bacalao et Floridam se reperturum inquit“ (P. Martyr, Dec. VI, ep. 10). Gomez fuhr an der Küste von Norden nach Süden, bis 38° 41' N. Br. Neu-England, das er genauer aufnahm, erhielt bei den spanischen Kartographen den Namen Gomezland. Über Westindien kehrte er heim. Seine Entdeckungen sind auf Riberos Karte, 1529, verzeichnet. Sein Rio S. Antonio ist der Hudson, die Bahía S. Cristóval der Delaware, das Cabo de Arenas das Kap Henlopen unter 38° 41' N. Br., wo wahrscheinlich die Küstenfahrt endigte. Durch Gomez' Küstenaufnahmen wurden die nördlichen portugiesischen Entdeckungen mit den südlichen spanischen verknüpft.

Der älteste Bericht über Gomez' Reise findet sich in *Oviedos Summario de la natural y general historia de las Indias*, Toledo 1526, fol. XIV verso.

Vgl. H. Harrisse, *Disc. of N. Am.*, p. 229.

41. Francisco Pizarro und Almagro. 1524—1527.

Erste Fahrt. 14. November 1524 von Panama mit dem Piloten Hernando Penate; Almagro folgte mit dem Piloten Bartolome Ruiz, fand Pizarro nicht, sondern segelte an ihm vorbei bis zum Rio de San Juan (4° N. Br.) und kehrte dann nach Panama zurück, wo er Pizarro antraf.

Zweite Fahrt 1526 im Frühling, zwei Schiffe, Pilot Ruiz, zum Rio de S. Juan, von wo Ruiz weiter südwärts ging. Er fand die Insel Gallo, die Bucht S. Mateo, überschritt als der erste auf der Westseite den Äquator und gelangte bis zum C. de la vuelta, später Passado. Dann gingen sie gemeinschaftlich von R. de S. Juan nach Süden, und Pizarro setzte sich an der Insel Gallo fest, von wo er erst nach siebenmonatlichem Harren unter Ruiz' Leitung weiter südwärts vordringen konnte. Sie erreichten die Bai von Tumbez in Nordperu, dublierten C. blanco und kamen schließlich bis Santa, 9° S. Br. Von da kehrten sie nach Panama zurück, Ende 1527 oder Anfang 1528.

Vgl. Francisco de Xeres, *Verdadera relacion de la conquista del Peru in Barcia*, *Historiadores primitivos de las Indias*, Madrid 1749. Übersetzt in Ramusio III, 378 verso, Venedig 1556.

42. Lucas Vasquez de Ayllon. 1525 und 1526.

1. Zweite Expedition mit zwei Schiffen unter Pedro de Quexos (Queja) kam zum Jordanflusse (33½° N. Br.) im Lande Chicora und erforschte von da die Küste noch etwa 250 Leguas weit nach Norden, vielleicht bis zum 38. oder 39° N. Br., bis zu der Südgrenze der Aufnahme, die Gomez gemacht hatte.

2. Die dritte Expedition 1526 mit vier Schiffen führte Ayllon selbst in der Absicht, in jenem entdeckten Gebiet, wahrscheinlich zwischen 33 und 34° N. Br., eine Kolonie anzulegen; aber mit dem Tode Ayllons, der am 18. Oktober 1526 dem Fieber erlag, hörten die Unternehmungen auf.

Das Küstenland behielt noch längere Zeit auf den Karten den Namen „Ayllons Land“.

43. Guevara,

Kapitän in der Flotte Loaysas, die 24. Juli 1525 von La Coruña zur Magalhãesstraße abging, um die Molukken zu erreichen, wurde mit seinem Schiffe Santiago am 1. Juni 1526 während eines Sturmes am Ausgange aus der Magalhãesstraße von den übrigen Fahrzeugen getrennt und ging allein nordwärts, um die Westküste Mexikos zu erreichen. Er war am 10. Juli unter 13° N. Br., sah 11. Juli eine kleine Insel und dahinter Land, ohne zu erkennen, ob es Festland oder Insel sei, landete am 20. Juli an einer kleinen Insel Magdalena und gelangte Ende des Monats nach Macatán bei Tehnantepek. Durch diese Fahrt wurde die Ausdehnung Südamerikas gegen Westen näher begrenzt.

Navarrete V, 181.

44. Adelantado Francisco de Montejo,

der schon 1518 die Reise Grijalvas mitmachte, begann 1527 die Eroberung Yukatans.

Col. d. doc. ined. rel. al descub. VIII, p. 20 (Madrid 1867). — Herrera, vol. II, lib. III, cp. 1.

45. John Rut von Ratcliff

ging mit zwei Schiffen 10. Juni 1527 von Plymouth ab, um auf Anregung R. Thornes (s. dessen Karte) den Weg nach China zu suchen. Es war die letzte englische Expedition

Ruge, Die Entwicklung der Kartographie von Amerika bis 1570.

4

in diese Gewässer. Rut traf unter 53° N. Br. auf Eis, ging nach C. Race zurück und dann in einen Golf nördlich von Neufundland (?), berührte weiter südlich die Küste von Aranbec, später Norumbega genannt. Aranbega erscheint zuerst auf der Karte Verrazzanos. Allefonseca kennt einen Fluß von Norumbega (= Penobscot). Ein Schiff kam im Oktober nach England zurück.

Kohl, *Disc. of Maine*, p. 28. — Purchas, *Pilgrimage III*, 809.

46. Pamfilo de Narvaez

in Florida, März 1528 mit vier Schiffen von Cuba ab zur Kolonisation, Pilot Diego Miruelo. Landet am 15. April in der Bahia de la Cruz, „aquí desembarco Panfilo de Narvaez“. Es ist zweifelhaft, ob die Apalacheebai oder die Tampabai gemeint ist. Am 25. Juni in der Indianerstadt Apalachee, am 31. Juni wieder an der Küste, Bahia de Cavallos, dann Fahrt nach Westen zur Mündung des Mississippi. Nachdem die Expedition durch Indianer vernichtet war, kamen nach sechsjähriger Gefangenschaft, am 1. April 1536, Alvar Nuñez Cabeça de Vaca, Castillo und Dorantes über den Rio Grande del Norte nach S. Miguel in Sinaloa und von da nach Mexiko. Die Wegroute läßt sich nicht mehr festlegen.

La relación que dio Alvar Nuñez Cabeça de Vaca (Zamora 1542). — La relacion y comentarios del governador Alvar Nuñez Cabeça de Vaca (Valladolid 1555). — Barcia, *Historiadores primit.*, vol. I, no. 6. — Ramusio III, p. 310 (Venedig 1556). — Relacion del viaje de Panfilo de Narvaez al Rio de las Palmas, hasta la punta de la Florida, hecho por el tesoreo Cabeça de Vaca. 1527. (Col. de doc. ined. rel. al descubr. XIV. 265.)

47. Nicolaus Federmann. 1529—1531.

Kriegszüge in Venezuela, östlich vom Maracaibosee.

N. Federmanns Indianische Historia (Hagenau 1557). (Neudruck in der Bibl. des Litter. Vereins Stuttgart 1859. Bd. XLVII.)

48. Nuño de Guzman. 1528—31.

Kriegszug nach Neu-Galicien, Eroberung von Jalisco und Culiacan.

Vgl. Doc. ined. rel. al desc. XIV, 347. 411; XIII. — Ramusio III, 333 (Venedig 1556). — Matias de la Mota Padilla, *Conquista del Reino de la Nueva Galicia* (Mexiko 1870).

49. Francisco Pizarro.

1531—1532 Eroberung Perus. Von Panama 28. Dezember 1531 mit drei Schiffen nach Tumbes. Von hier 18. Mai 1532 ins Land nach Tangarara, Cajamarca, Pachacamac, Cuzco. 1535 Lima gegründet am Rimacflusse.

Litteratur bei Harris, B. A. V. 317. — Winsor, *Hist. of. Am.* II, 563.

50. Diego Ordas

drang 1531 auf dem Orinoko ins Innere, fiel aber in einer Meuterei. Einer seiner Offiziere, Martinez, gelangte ins Innere und wurde zur Stadt Manoa geführt; er berichtet zuerst vom Eldorado.

Winsor l. c. II, 579.

51. Diego Hurtado de Mendoza. 1532.

Vom 30. Juni an. Zwei Schiffe, von Cortes ausgerüstet, von Acapulco ab zur Sinaloa-küste. Mendoza wurde in einer Meuterei am Rio fuerte erschlagen, sein Gefährte Mazuela kehrte mit einem Schiffe nach Banderasbai in Jalisco zurück.

Banoroff, *Hist. of pacif. states. The Northwest Coast I*, 14.

52. Francisco de Heredia

gründet Cartagena 1532.

Col. de doc. ined. VIII, 24.

53. Diego Bezerra (Becerra).

Vom 29. Oktober 1533 an. Zwei Schiffe: Concepcion und S. Lazaro, vom Hafen S. Jago ab nach Kalifornien. Pilot Ximenes.

Das zweite Schiff, unter Hernando de Grijalva und Pilot Martin de Acosta, wurde schon am 31. Oktober durch Sturm getrennt.

Die Concepcion kam am 18. Dezember unter $29\frac{1}{2}^{\circ}$ N. Br. auf die Küste Kaliforniens, Grijalva dagegen entdeckte am 25. Dezember die Revillagigedo-Gruppe, deren Hauptinsel damals S. Thomas, jetzt Socorro, genannt wurde.

Col. de doc. ined. rel. al descubr. XIV, p. 128.

54. Diego de Guzman

drang von Culiacan 1533 nach Sinaloa vor; seine Hauptleute gelangten über Durango zum Yaquiflusse.

Winsor, Hist. of Am. II, 503.

55. Simon de Alcazaba. 1534—1535.

Zug durch Patagonien.

Col. de doc. ined. rel. al descubr. V, 97—117.

56. Georg von Speier. 1534.

Drang von Coro ins Innere von Venezuela ein und kehrte nach Zurücklegung von 1500 miles an die Küste zurück.

Col. de doc. ined. X, 47—52: „Sucesos de los Alemanes Fúcares en Venezuela“. — Winsor, Hist. of Am. II, 579.

57. Pedro de Alvarado

landete im März 1534 in Puerto Viejo am Äquator und drang bis nach Riobamba vor.

Benalcazar in Quito.

58. Jacques Cartier.

Erste Reise 20. April bis 5. September 1534.

Abfahrt von St. Malo mit zwei Schiffen, 10. Mai an der Küste von Neufundland unter $48^{\circ} 20'$ N. Br. Drang durch die Belle-isle-Straße, damals golfe des chateaux, in den Lorengolf ein. Isle de St. Catherine, nahe dem Eingang der Straße, nach dem einen Schiffe genannt. Die von Cartier am Lorengolf erteilten Namen sind meist vergessen: Port Brest, harbour de St. Antoine, St. Servans, Jacques Cartier. Cap Double ist jetzt C. Rich an der Westseite von Neufundland. C. de Thienot, nach einem indianischen Häuptlinge benannt, ist jetzt C. Montjoli. Am 24. Juni am C. St. Jean (jetzt Anguille). Die Isles des Margaulx heißen jetzt Bird rocks. Isle de Brion hat ihren Namen behalten. Cartier, der auch den Seeweg nach Asien suchte, bemerkt hier: „Ich glaube, es gibt eine Passage zwischen Neufundland und Bretonenland“. Aber trotzdem kehrte er später durch die Belle-isle-Straße zurück. Die heutige Prinz Eduard-Insel erhielt durch Cartier den Namen Alezay-Insel, sein C. Orleans ist der North Point derselben Insel. Die Miramichibi nannte er S. Lunario. Am 8. Juli fand er die Chaleurbai (Biggestbay).

Der Originalbericht der Reise, lange verschollen, ist 1867 in der Nationalbibliothek zu Paris wiedergefunden und veröffentlicht: Relation originale du voyage de Jacques Cartier

au Canada en 1534, publiée par Michelant et A. Ramé (Paris 1867). Die älteste Übersetzung findet sich in Ramusio III, 435 (Venedig 1556). Außerdem vgl. M. H. Michelant, Voyage de Jacq. C. en Canada en 1534, publiée d'après l'édition de 1598 et d'après Ramusio (Paris 1865). — P. Gaffarel, Les decouvreurs français (Paris 1888), p. 157—230.

59. Jacques Cartier.

Zweite Reise, vom 19. Mai 1531 bis 6. oder 16. Juli 1536.

Weitere Untersuchung des Lorenz-Golfes und -Stromes mit drei Schiffen. 10. August am R. de S. Jean; die Mündungsbucht des von Norden kommenden Flusses nannte er St. Lorenzbai, nach dem Heiligen des Tages, ein Name, der später auf den ganzen Golf übertragen wurde; 21. August Insel Assumption, einheimisch Natiscotec, jetzt Anticosti, Insel und Fluß Saguenay, Isle aux Coudres (hat noch diesen Namen), weiter das Indianerdorf Stadaconna (= Quebec), bei Desceliers 1544 Stadin (?), Bacchusinsel, später Orleansinsel (Mercator 1569: ye d'Orleans, alias de Baccho), havre de St. Croix nahe der Bacchusinsel (wegen der einheimischen Rebe, die bis hier vorkommt). Hier begann Cartiers Land Canada, das auch Nova Francia benannt wurde. Vom Heiligenkreuzhafen ging Cartier mit dem kleinsten Schiffe L'Emérillon allein weiter flussaufwärts und kam am 28. September zum lac d'Angoulesme (= St. Peters lake); 19. Oktober nach Hochelaga (damals Mont royal), im November zurück zur Überwinterung im Heiligenkreuzhafen. Abfahrt 6. Mai 1536.

Die Ptolemäus-Ausgabe (Basel 1540) zeigt zuerst Kenntnis von dieser Reise; Mercators Globus 1541 weiß noch nichts davon, wohl aber Desliens 1541.

Brief Recit et succinte narration de la navigation faicte es ysls de Canada &c. Paris 1545. (Brit. Museum.) — Brief Recit et succinte narration de la navigation faicte en 1535 et 1536 précédée d'une brève et succinte introduction historique par M. d'Avezac. Paris 1863. — Ramusio III, 441.

60. Cortes. 1535.

15. April von Chiametlan, 23° N. Br., Expedition nach Kalifornien. 3. Mai Landung in der Bucht von St. Cruz, jetzt La Paz. Die notariellen Akten der Besitzergreifung waren von einer Karte begleitet, wovon sich in Winsor (Hist. of Am. II, 443) ein Faksimile befindet. Die Karte enthält die Namen:

C. de Corrientes de la pascua, banderas, xalisco, astatam, chiametla, R. de spirito sto, de la Sal, R. de S. Migel, Culucacm, R. grande de los trabajos, petatam de los Remédios, S. Pedro, S. Pablo. An der Halbinsel von Süden nach Norden: S. Felipe, S. Jago, St. Cruz und Perlas.

61. Almagro

dringt 1535 von Cusco aus durch Bolivien und an der Ostseite der Anden bis Salta vor und übersteigt das Hochgebirge, erreicht Copiapo und kehrt von da durch die Atacamawüste zurück.

62. Pedro de Mendoza. 1535.

Statthalter am La Plata, Gründung von Buenos Aires.

Relacion de Gregorio de Acosta sobre el gobierno de las provincias del Río de la Plata, und Col. de doc. ined. X, 525.

63. Juan de Ayolas

geht 1536 den Paraguay bis 25° 38' S. Br. hinauf und gründet Assumption.

1537 geht er bis 21° S. Br. den Fluß hinauf und erreicht von hier durch Gran Chaco und das Land der Chiquitos Peru.

Herrera V, 10. 15; VI, 3. 17.

64. Coronado

gelangt 1537 nach Amatepeque. (Muñoz, Msr., Madrid, Acad. of hist. LXXX., fol. 34, zitiert in Winsor, Hist. of Am. II, 503.)

65. Gonzalo Ximenes Quesada

gelangt am Magdalenaenstrom aufwärts nach Bogota 1537 und gründet Sa Fé de Bogota 1538.

66. Pero Anzures

gründet 1538 Chuquisaca.

67. Fray Marco di Nizza. 1538—1539.

Geht zu Lande von Mexiko nach Culiacan und von dort 7. März 1539 mit Fray Onorato, einem Franziskaner, und Estebanico nach Petatlan in Sonora, wo Onorato krank zurückblieb, während Marco durch Wüsteneien noch bis in die Nähe von Cibola vordrang, das er so groß wie Mexiko ausgab.

Col. de doc. ined. rel. al descubr. III, 329. — Ramusio III, 554 (Venedig 1556).

68. Nicolaus Federmann

erreichte 1529 das Hochland von Bogota.

69. Hernan de Soto.

Kriegszug in Florida 1539—1542. Am 12. Mai 1539 von Havana nach Florida in eine Bai, 10 Leguas westlich von der Juan Ponce-Bai; Soto nannte sie Espiritu santo, weil er zu Pfingsten, am 25. Mai, landete. Dann in die Landschaft Apalachee, wieder zurück zum Hafen Pensacola, wieder ins Binnenland bis in die Gegend des heutigen Silver-Bluff am Savannah unterhalb Augusta, dann nordwestwärts beinahe bis nach Dalton in Georgia und von da gegen Südosten bis zur Mobilebai. Am 26. Mai 1540 nicht weit von der Arkansas-Mündung über den Mississippi, zur Stadt Guaxule mit 300 Häusern, vermutlich an der Stelle von Coosawattie Old Town; weiter über mehrere Flüsse und dann einmonatige Rast an der Stelle, wo jetzt Rom liegt. Von da nach Coca, wahrscheinlich am Coosafusse, zwischen den Mündungen des Talladega und Tallasehatchee (nach Annahme Pitkins, Geschichtsschreibers von Alabama, nach dem Citat von Winsor, II, 248). Von da nach Ulibahali am Hatchet Creek und weiter nach Talisse, Tastaluza, Mauala, den Alabama abwärts zur Stadt Piache durch das Land Pafallaya (jetzt die Grafschaften Clarke, Marengo und Green) zu den Städten Taliepatua und Cabusto (d. i. Erie am Black Warrior), dann Chicaca am westlichen Ufer des Yazoo (17. Dezember 1540). Im April 1541 zog Soto gegen den feindlichen Häuptling Alibamo nach Quizquiz am Mississippi, ging beim untersten Chicasaw-Bluff über den Fluß und zur kleinen Prärie, um Pacaha und Chiaca aufzusuchen, und dann ins Land von Calica und nun wieder 110 Leguas südöstlich zur Stadt Quiguate an einem Mississippi-Arm. Soto überwinterte in Viranque oder Autiamque (Washita?), kam im Frühjahr 1542 an die Mündung des Redriver und starb am 21. Mai 1542.

Sein Nachfolger, Luis de Muscoso, drang, um Mexiko zu erreichen, bis Xacatin vor, ging dann aber an den Mississippi zurück, überwinterte noch einmal und fuhr dann den Fluß hinab in den Golf und an der Küste entlang zum Rio Panuco.

Wenn auch die Hauptpunkte dieser Expedition geographisch zu bestimmen sind, so bleiben doch die Einzelheiten der Reiselinie schwer zu deuten.

Relaçam verdadeira dos trabalhos que ho governador don Fernão de Souto . . . passaram no descobrimento da provincia da Frolida (Evora 1557). Neudruck durch die K. Akad. in Lissabon 1844. — Englische Übersetzung in Hakluyt Soc. 1851: „Discovery and Conquest of Fl. — Relacion del suceso de la jornada que hizo Hernando de Soto,

von Luis Hernandez de Biedma (in B. Smith, Col. de varios documentos para la hist. de la Florida. 1857). — Garsilasso de la Vega, Florida del Ynoa (London 1605). — Ein kurzer Bericht Rodrigo Rangils, Sotos Sekretärs, in Oviedos Hist. gen. I, 562, ed. A de los Rios. — J. Winsor II, 245, Kritik der Reiselinie, p. 291; Deliales Karte, p. 294.

Der Name Florida erhielt von nun an eine große Ausdehnung und breitete sich über den ganzen Südosten von Nordamerika aus.

70. Francisco de Ulloa.

8. Juli 1539 von Acapulco aus, ging den Kalifornischen Golf hinauf fast bis zum nördlichen Ende, kehrte dann um und verfolgte die Westküste der Halbinsel bis zum Kap Engaño, 28° Nr. Br. Bei dieser Fahrt kommt zuerst der Name Kalifornien vor, der für die Bucht von St Cruz gebraucht wurde und von da sich auf die ganze Halbinsel übertrug.

Ramusio III, 349 (Venedig 1556). — Winsor, Hist. of Amerika II, 443.

71. Alonso de Camargo

befuhr 1540 die Westküste Südamerikas von der Magalhãesstraße bis zum Rio Maule in Chile.

72. Pedro de Valdivia

brach im März 1540 von Cusco auf nach Chile, legte im Februar 1541 am Ufer des Mapocho den Grund zur Stadt Santiago. Weiter folgten die Gründungen von Valparaiso 1544, Concepcion 1550 und Valdivia 1552.

Col. de doc. inedit. rel. al descubr. IV, p. 5—84.

73. Francisco Vasquez de Coronado.

Feldzug nach Cibola und Quivira 1540—1542. Hernando Alarcon sollte die Expedition zu Schiff unterstützen. Sein Pilot Dominico de Castillo zeichnete eine Karte, die sich erhalten hat. Die Flotte segelte am 9. Mai 1540 ab und erreichte das Ende des Golfes von Kalifornien; Alarcon ging den Colorado del Occidente noch in Böten hinauf. Sein Bericht im Ramusio III, 363. Die Halbinselnatur Kaliforniens wurde festgestellt.

Das Heer versammelte sich in Compostella, der Hauptstadt von Neu-Galicien, und brach im März 1540 von da auf. Der Zug ging nach NO. Cibola erwies sich als ein Dorf mit 200 Einwohnern (in der Nähe von Zuñi). Das Land Tusayan liegt nördlich vom Rio Vermejo, Acaco ist Acoma, Tiguex wird von Bandelier (Hist. introduction to studies among the sedentary Indians of New Mexico) westlich vom Rio grande del Norte verlegt, Cicuyé ist Old Pecos, Quirex oder Queres ist ein Distrikt von Cochito. Von Cibola ging Cardenas westwärts zum Colorado-Cañon, Coronado ging ostwärts über den Rio Grande in die Prärien bis 40° N. Br. nach Quivira, das an der Grenze von Nebraska und Kansas oder am Missouri zu suchen ist.

Coronados Bericht in Doc. ined. rel. al descubr. III, 363, sein Brief an den Kaiser XIII, 261—68. — Bericht des Kapitäns Pedro de Castañeda bei Ternaux Compan. — Relacion hecha por el Capita Juan Juramillo in Doc. ined. XIV, 304. — Ramusio III, 359 (Venedig 1556). — Neue Litteratur über den Zug in Winsor, Hist. of Am. II, 501. — Coronados Marsch, kritisch beleuchtet von General J. H. Simpson in Smithsonian Report 1869, p. 309—340.

74. Jacques Cartier.

Dritte Fahrt nach Canada 23. Mai 1541 bis 21. Oktober 1542, von St. Malo, 5 Schiffe. Roberval folgte 22. August 1541 von Honfleur nach — sein Pilot war Alfonse aus Saintonge — und kehrte erst im Mai 1544 zurück.

Der Originalbericht ist verloren gegangen. Fragmente bei Hakluyt (I, 232). Jean

Alfonse erforschte den Saguenay und hat wahrscheinlich auf der Rückreise die Ostküste der Vereinigten Staaten nach einer Strafe, die nach Indien führen sollte, abgesucht. Seine Kosmographie (Manusk. in der Nationalbibl. zu Paris) verrät Kenntnis von jenen Küsten. Unter 42° N. Br. fand er wahrscheinlich die Massachusettsbai und hoffte die Strafe zwischen Norumbega und Florida zu finden. Alle diese Länder rechnete Alfonse übrigens zu Asien. „Ces terres tiennent à la Tartarie et pense que ce se soit le bout de l'Asie selon la rondeur du monde“. (Winsor, Hist. of Am. III, 60.) Derselbe Gedanke findet sich auch in dem königlichen Auftrage für Cartier, wonach die Ansicht ausgesprochen ist, dafs das „grand pais des terres de Canada et Hochelaga un bout de l'Asie du côté de l'Occident“ bilde. (Lescarbot, Hist. de la Nouvelle France, p. 412, Paris 1612.)

Vgl. Harriase, Notes sur la Nouv. France, p. 4. — Harriase, Cabot, p. 211.

75. Phil. v. Hutten

landete 1541 zu Barburate in Veneznela und drang bis zu den Städten der Omaguas vor.

76. Francisco de Orellana

ging 1541 den Rio Napo hinab, schiffte sich im Dezember an der Mündung des Flusses in den Amazonenstrom ein und liefs sich den Strom hinabtreiben, bis er am 26. August 1542 den Ozean erreichte.

Col. de doc. ined. VII, 552 (Madrid 1867). — Herrera VI, 8. 7., 9. 2., VII, 9. 8. — Markham, Expeditions into the Valley of the Amazons (Hakluyt Soc. 1859).

77. Juan Rodriguez Cabrillo.

27. Juni 1542 von Puerto de Navidad, nordwestlich von Manzanillo (19° N. Br.), mit drei Schiffen zur Erforschung der Westküste von Kalifornien. Die Expedition kam angeblich bis 44° N. Br., wahrscheinlich aber nur bis 43° N. Br., während Cabrillo selbst, der 3. Januar 1543 starb, nur die Breite von 38° 40' erreichte. Der Pilot Bartolome Ferrel oder Ferrer setzte die Fahrt fort über Cap Mendocino (40° 26' N. Br.) hinaus. Harriase (Disc. of N. Am., p. 365) läfst ihn bis 43° N. Br. gelangen.

Der Reisebericht findet sich in Pacheco, Col. de doc. ined. XIV, 165, danach in Bancroft, North Mex. States I, 133. — Vgl. Alex. S. Taylor, The first voyage to the coast of California (S. Francisco 1853). — Bancroft, California I, 69. — Derselbe, Northwest Coast I, 137.

F. W. Petnam veröffentlichte auch das Tagebuch von Cabrillos Reise im Report upon U. St. geogr. surveys west of the 100th merid. V, II, 4 u. 497. (Washingt. gov. print. offic. Mag. VII, 394.)

Wheeler, List of reports and maps of the U. St. geogr. surveys w. of the 100th merid. 2. ed. (Wash. 1881.)

78. Martinez de Irala. 1542—1543.

Folgte auf Ayolos und ging bis zum See Yaiba (Gaiba), 17° 57' S. Br., den Paraguay hinauf, gelangte aber nicht bis nach Peru.

Sein Bericht in Cartas de Indias, p. 571—633 (Madrid 1877). — Col. de doc. ined. VIII, 29.

79. Juan Bautista Pastene,

ein genuesischer Pilot, segelte im Juli 1544 von Callao an der Westküste von Südamerika südwärts im Schiffe San Pablo, langte im August zum Valparaiso, wohin Valdivia zu Lande gedrungen war, um eine Stadt anzulegen, ging dann weiter im September nach Süden bis 41° S. Br. und benannte den Hafen Valdivia, die Insel Mocha und die Bucht von Penco.

32. Ruge, Die Entwicklung der Kartographie von Amerika bis 1570.

Valdivias Berichte an den Kaiser finden sich in: Coleccion de Historiadores de Chile, vol. I (Santiago 1864); Claudio Gaye, Historia de Chile (Paris 1846).

80. Irala. 1548.

Zweiter Versuch, von Paraguay nach Peru zu kommen. Irala ging vom Zuckerhut (Pan de Azucar), $21\frac{1}{2}^{\circ}$ S. Br., aus bis zum Flusse Guapay und nach Chuquijaca. Nuño de Chaves, den Irala von da nach Lima gesandt hatte, kam 1549 nach Assumption zurück.

Col. de doc. ined. rel. al descubr. IV, 378.

81. Garcia Hurtado de Mendoza,

Gouverneur von Chile, drang 1557 siegreich gegen Süden vor, gründete südlich von Valdivia die Stadt Osorno und entdeckte den Archipel von Chiloë.

82. Nuño de Chaves,

1557 von Irala gesandt, um das Gebiet der Xarayes-Indianer zu besetzen (17° S. Br.), kam zum Guapay und traf in der Ebene von Guelgorigota mit Andres Manso zusammen, der mit einer Kompanie von Peru gekommen war. Chaves liefs sich in Lima mit dem Gebiet belehnen und gründete 1560 die Stadt Sa Cruz de la Sierra $18^{\circ} 4' 4''$ S. Br., die 1575 nach dem jetzigen Orte, $17^{\circ} 49'$, verlegt wurde.

83. Guido de Labazares

untersuchte als der erste nach Pinedo 1558 die Nordküste des Golfs von Mexiko und ging der großen militärischen Expedition des Admirals Don Tristan de Luna (1559—1561) voraus.

Seine Ergebnisse sind im Atlas Dourado zu finden.

Winsor, Hist. of Am. II, 256.

84. Pedro de Ursua

fuhr 1559 den Huallaga hinab in den Amazonenstrom bis Machiparo und suchte den Goldkönig (Eldorado). Er fiel durch Mörderhand am 1. Januar 1561. Sein Gefolge ging wahrscheinlich den Strom hinab zum Meere.

Relacion hecha por Pedro de Monguia de la jornada del gobernador Pedro de Orsua in Col. de doc. ined. rel. al descubr. IV, 191—215. — Rel. de todo lo sucedido en el Rio de Marañon, en la provincia del Dorado al gobernador Pedro de Orsua y de su muerte. — Vgl. auch Col. de doc. VIII, 38, und VI, 561.

85. Kapitän Jean Ribault.

18. Februar bis 20. Juli 1562. Segelte an der Ostküste von Florida, Georgia und Süd-Carolina entlang, landete zum Zweck der Ansiedelung in der Nähe des jetzigen Hafens S. Augustin, ging dann nordwärts, fand am 1. Mai den Maifluß (Rivière de May) und unter $32^{\circ} 30'$ einen schönen Hafen, Port royal (jetzt Broad river), wo er Charlesfort gründete.

Kohl, Hist. of Disc. of Maine, p. 421. — Hakluyt III, 308 (London 1600).

86. Kapitän René Laudonnière

ging 22. April 1564 von Havre nach Florida, verlegte Ribaults Ansiedelung nach dem Maifluß, jetzt St. Johnsriver, und gründete Fort Caroline. Er blieb zwei Sommer und einen Winter dort.

J. le Moyne, Brevis narratio eorum, quae in Florida . . . acciderunt . . . duce R. de Laudonnière (Frankfurt 1591). — Kohl, Hist. of disc. of Maine, p. 434.

87. Jean Ribault.

Zweite Reise 1565 nach Florida. Seine Niederlassung wurde durch den Spanier Pedro Menendez vernichtet. (Hakluyt III, 349.)

Über Menendez vgl. Col. de doc. ined. rel. al descubr. III, 441—480.

88. Francisco Ortiz de Vergara

zog 1565 vom Laplata nach Peru.

Col. de doc. ined. rel. al descubr. IV, 378—390.

89. John Hawkins. 1565.

Fahrt von Florida bis Neufundland; der erste bekannte englische Seefahrer in Westindien, im Karibischen Meere. 1569 im Mexikanischen Golf.

Hawkins hatte einen französischen Piloten, Martin Atinas von Dieppe, der 1562 die Fahrt mit Ribault gemacht hatte. (Hakluyt III, 500.)

90. Diego Fernandez de Serpa

eroberte das Gebiet von Neu-Cordoba (Cumana) 1569.

Rel. de Lope de las Varellas sobre la conquista y poblacion de nueva Cordoba (in Col. de doc. ined. IV, 489—491).

91. Pedro Marquez

machte 1573 mit vier Schiffen die ersten genauen Küstenaufnahmen am Atlantischen Ozean von C. Florida bis nördlich von der Chesapeakebai. (Barcia, Historiadores, p. 447.)

B. Die Karten von Amerika aus der Zeit von 1500—1570, nebst einigen Vorläufern aus den Jahren 1380 (?), 1427, 1467 (?), 1492.

1380. Zeno.

„Carta da navegar de Nicolo et Antonio Zeni furono in Tramontana l'ano 1380“, gedruckt in Venedig 1558. — Faksimile in Nordensk. Atlas no. 29, p. 53, Grönland als Halbinsel Nordeuropas dargestellt. — Cf. Kohl, Hist. of discov. of Maine, p. 97—106. — Lelewel, Géogr. du Moyen-âge, tom. III, p. 79.

Dafs der jüngere Zeno, der 1558 die Karte veröffentlichte, eigene Zuthaten gemacht, darüber vgl. zum Jahr 1558 die Zenokarte.

1427. Claudius Clavius.

Karte von Nordeuropa,

a) genauer farbiger Faksimiledruck in Nordenskiöld's Studien und Forschungen (Leipzig 1885),

b) schwarze Kopie in Nordenskiöld's Atlas no. 27, p. 49,

enthält Grönland, Gronlandia provincia, als Halbinsel Europas.

1467. Zamoiski-Kodex.

Tabula regionum septentrionalium e codice Ptolemei (Warschau). — Faksimile in Nordenskiöld's Atlas, Tafel XXX. Karte von Grönland, ebenda no. 34, p. 61.

1492. Martin Behaim.

Globus in Nürnberg, im Besitz der Familie v. Behaim. — Murr, Diplom. Gesch. des Ritters M. Behaim. Nürnberg 1779. — Ghilany, Der Ritter Martin Behaim. Mit Faksimile. Nürnberg 1853. — Jomard, Monuments de la géogr. Unvollständig. — Kohl, Hist. of disc. of Maine, p. 147—150. — Humboldt, Krit. Unters., Bd. 1, 31. 44. 201 ff. — Vgl. auch Doppelmayr, Histor. Nachrichten von den Nürnbg. Mathematikern und Künstlern. Nürnberg 1730. — Rev. Mytton, On Martin Behaim's

Ruge, Die Entwicklung der Kartographie von Amerika bis 1570.

globe and his influence upon geogr. science. — Henry Harrisse, *Discov. of N. Amer.*, p. 391. — *Journal of the Americ. geogr. soc. of New York*, vol. IV, 1873, p. 446 f. — Kopie der ozeanischen Seite des Globus in Ruge, *Zeitalter der Entdeckungen*, S. 330. — K. Kretschmer, *Entdeckung Amerikas*, Taf. VI, 2.

Die Darstellung des Ozeans ist darum wichtig, weil die Zeichnung der Ostküste Asiens unverkennbar auf der Darstellung Toscanellis von 1474 beruht. In diesem Jahre sandte Toscanelli eine Karte des Ozeans und einen erläuternden Brief an den Beichtvater des Königs von Portugal, um den Portugiesen den Westweg nach Indien, statt der Fahrt an der afrikanischen Küste nach Süden, zu empfehlen. Nach der bestimmten Erklärung des Bischofs Las Casas hatte Columbus diese Karte (eine Kopie) bei seiner ersten Entdeckungsfahrt an Bord: „Das ist die Karte, die der florentinische Arzt Paul schickte und die ich mit anderen Sachen des Admirals im Besitz habe, nebst Schriften von seiner eignen Hand, die mir übergeben sind. Auf der Karte sind viele Inseln und das Festland von Indien und die Staaten des Grofschans gemalt, und nach dieser Darstellung von Land und Inseln befand man sich ohne Zweifel davor, und es waren auch alle diese Inseln in einiger Entfernung eingetragen“. Bei der Vertrauensstellung, die sich Behaim in Portugal erworben hatte, konnte er ohne Zweifel die Karte Toscanellis einsehen und kopieren. Ebenowenig darf bezweifelt werden, dafs Behaim seinen Globus in Nürnberg 1492 nach mitgebrachten Kartenvorlagen entwarf. Toscanellis Darstellung von Ostasien war die neueste von jenem Gebiet und die einzige, die auf Erkundigungen und kritischer Verwertung des Ptolemäus in Verbindung mit den neueren Reiseberichten beruhte. Bei dem Ansehen Toscanellis behielt seine Auffassung über 50 Jahre ihre Gültigkeit und fiel erst, als die Portugiesen zu Schiff um Indien herum nach China gelangten. Behaims Zeichnung beeinflusste zunächst die Auffassung der deutschen Kosmographen.

„A Copy of it should be added to every work treating on the discovery of America.“ (Kohl, *Hist. of Disc. of Maine*, p. 150.)

1500. Juan de la Cosa.

Älteste Karte von Amerika: Pergament 1,85:0,96 m. Juan de la cosa lafizo en el puerto de S. mja en añ^o de 1500. Das Original im Marine-Museum zu Madrid.

Kopien: 1. Ramon de Sagra, *Hist. física de Cuba*. Paris 1837.

2. Jomard, *Mon. de la géogr.*, pl. 16.

3. Ghillany, M. Behaim. Diese Kopie enthält nicht alle Namen.

4. Kohl, *Hist. of disc. of Maine*, p. 151 und Karte no. 5.

5. Ruge, *Zeitalter der Entdeckungen*, S. 324.

6. In *Centenario* no. 6 (p. 245—256) verkleinert, farbig, die kleinen Namen unleserlich.

7. Winsor, *History III*, 9, nach Jomard.

8. Harrisse, *Disc. of N. Am.*, p. 90, Westindien. Doppelte Größe.

9. K. Kretschmer, *Die Entdeckung Amerikas*, Taf. VII u. S. 319.

Juan de la Cosa stammte aus Sa Maria del Puerto (jetzt Santona), machte die erste Reise Colons an Bord der Sa Maria mit als erster Maat — dieses Schiff gehörte ihm (Harrisse, *Disc. of N. Am.*, p. 89, note 22) — und dann die zweite Reise Colons an Bord der Niña, ging 1499 mit Ojeda, 1501 mit Rodrigo de Bastidas und wurde 1510 in Südamerika durch vergiftete Pfeile getötet. 1503 überreichte er der Königin in Segovia zwei Seekarten von Indien Cf. Enrique de Leguina, *Juan de la Cosa, estudio biografico* (Madrid 1877).

Seine Karte fand Humboldt 1832 in der Bibliothek Walkenaers, 1853 wurde sie für 4020 Fr. an Spanien verkauft.

Die letzte geographische Entdeckung, die auf der Karte steht, ist die Entdeckung Brasiliens.

Litt.: Humboldt, Über die ältesten Karten des neuen Kontinents in Ghillany M. Behaim. — Kohl, *Die ältesten Generalkarten*, S. 25. — Ders., *Hist. of Disc. of Maine*, p. 151. — C. F. Duro, *Mapamundi de Juan de la Cosa* (*Centenario*, p. 245—256). — H. Harrisse, *Disc. of N. Am.*, p. 89 u. 412—415.

Cosa gab die älteste Zusammenstellung aller bisherigen Spezialkarten von Amerika und beendigte sie im Oktober 1500. Er benutzte die Karten des Columbus (Humboldt, *Krit.*

Untersuch. I, 90), Pinzon, Hojeda, Niño und Lepe, die alle die Karte von der dritten Reise Colons kopieren durften (cf. Navarr. III, 555 u. 587). Gewiss hat Cosa auch Originalaufnahmen gemacht. Er weiß von Cabots Entdeckung: „Mar descubierta por Ingleses“. Breitengrade außer Äquator und Wendekreis fehlen.

Cuba hat dieselbe Gestalt wie bei Canerio und Cantino und heißt Cuba, nicht Isabella. Man sieht deutlich, wie weit die Insel bekannt war. Die merkwürdig aufgerollte Gestalt von Westcuba ist dadurch entstanden, daß man Isla de Pinos mit zum Festlande rechnete. „The earliest and, for more than half-a-century, the most complete description of Cuba is the one which that celebrated mariner (Cosa) has inserted in his famous planisphere, designed during the autumn of 1500.“ (Harrisse, Disc. of N. Am., p. 89.)

Da so viele Namen keinen Sinn geben, also entstellt sind, so ist von Harrisse (l. c. p. 415) mit Recht die Frage aufgeworfen worden, ob wir das Original von Cosas Karte, also seine eigene Arbeit, oder nur eine Kopie vor uns haben.

Die Malereien der Karte, die drei Könige aus dem Morgenlande, die Königin von Saba, den heiligen Christophorus hat Duro im Centenario in natürlicher Größe gegeben.

Das Gebiet von Labrador und weiter südlich ist noch unsicher dargestellt. Wo Humboldt die Nordküste des Lorenz golfes erkennt, sieht Kohl die Südküste von Neufundland (Harrisse, Cabot, p. 157). Jener deutet das Cavo de Ynglaterra auf ein Vorgebirge bei der Belle-isle-Straße, dieser auf Cap Race. Cosas Rio de la posesion ist nach Humboldt (S. 2) der Orinoko. Der Äquator läuft richtig durch die Mündung des Amazonasstromes; aber die westindischen Inseln liegen zu weit nördlich, der Wendekreis läuft südlich von Haiti. Der Fehler beträgt etwa 5°. Sollte das, wie Kohl (Generalkarten, S. 8) vermutet, mit der Annahme Colons, Guanahani liege unter dem Parallel Ferros (Navarr. I, 174), zusammenhängen? Aber Colons Breitenangaben weichen zu sehr von einander ab. Die eine Angabe von Guanahani kann nicht maßgebend sein, wenn man auch erkennt, daß auf den späteren Karten die westindischen Inseln allmählich unter ihrer richtigen Polhöhe gesetzt werden. Dann müßte auf Kunstmans Blatt II bei der steilen Aufrichtung der Axe von Haiti und Cuba gegen Nordwesten Colons Ansicht zur Geltung gekommen sein, daß Cuba unter 42° N. liege.

1502. Die Karte Cantinos.

Cantino war Agent des Herzogs Herkules von Este († 1505).

Carta da nauigar per le isole nouam. trovate in le parte de l'India.

Original in Bibl. Estense in Modena. Pergament 2,30:1,65 m.

Faksimile in Farbendruck in Harrisse, Les Corte-Real.

Verkleinerte Kopie in Disc. of North Am., p. 78.

Litt.: Harrisse, Les Corte-Real, p. 77–90. — Ders., Disc. of N. Am., p. 77–133 u. 422–425. — Giuseppe Boni, Cenni storici della Reale Biblioteca Estense in Modena 1873. — K. Kretschmer, Die Entdeckung Amerikas, S. 372.

Für diese Karte sind verwertet die Ergebnisse der dritten Reise Colons (1498), Corte-Reals nach Neufundland (1501) und Cabrals nach Brasilien (1500). Es fehlt die Fahrt des Vincente Yañez Pinzon (1499) an der Nordostküste Brasiliens, die schon auf Cosas Karte eingetragen ist; dagegen ist die Fahrt Hojedas und la Cosa nach Venezuela bekannt. Cantinos Karte von der Nordküste Südamerikas, wo nur Hojedas Fahrt gemacht war, beruht gewiss auf einer Karte Vespuccis, der die Reise mitmachte. Sie weicht in den Namen von Cosa sehr ab. Cf. Harrisse, Disc. of N. Am., p. 334. Cantinos Darstellung beruht demnach hauptsächlich auf portugiesischen Quellen.

An der Nordküste von Südamerika hat Cantino 29 Namen, Cosa dagegen 45; aber nur drei Namen sind gemeinsam. Die westindischen Inseln haben hier zuerst den Namen Antilhas.

Die Küste nordwestlich von Cuba halte ich für die Küste Asiens nach Toscanelli. Die dort angegebenen Namen haben sich zum Teil bis auf Mercator, 1541, erhalten.

Die an der Küste Südamerikas nördlich und südlich von Porto Seguro auf der Karte eingetragenen Namen, in Kursivschrift von anderer Hand als der des Zeichners in portugiesischer Sprache, also in Lissabon, nicht in Italien eingeschrieben, deutet HARRISSE (Disc. of N. Am. 422) auf eigenhändige Zusätze Vespucis zu seinen Entdeckungen.

Weltkarte nach 1502.

Vgl. Schmeller, Cod. iconogr. 133 250. — Kunstmann, Taf. II, bringt den amerikanischen Teil. — K. Kretschmer, Die Entdeckung Amerikas, Taf. VIII, 2, u. S. 378.

Die falsche Orientierung im Norden und falsche Breitenlage im Süden weist auf frühe Zeit. Numerierte Breitengrade fehlen. Da Madagascar noch fehlt, ist die Herstellung der Karte vor 1506 zu setzen. Terra de Laurador ist eine langgestreckte, von Ost nach West laufende Insel etwa unter 60° N. Die Terra de Corte Reall ist eine von Nord nach Süd laufende Küste ohne Namen.

Bei Westindien die Inschrift: „Omnes iste insule ac Terre innente fuerunt ab uno genuensi nomine Columbo et in istis insulis non sunt animalia alienis nature preter serpentes. Item inventur aurum in multis locis. omnes iste insule nominantur le Antille.“ Die Antillen streichen von Nordwest nach Südost, so daß das Nordende Cubas bis unter den Parallel von Mittel-Irland reicht, während Dominica am 15.° N. liegt.

Von Südamerika ist die Küste vom Golf von Maracaibo bis zum Amazonenstrom und, nach einer Lücke, weiter von C. San roche bis Rio de Cananor dargestellt. Manche Schreibfehler in den Namen; besonders der für viele nachfolgende Karten verhängnisvolle Fehler „abacia di tutti santi“, statt baia di t. a. (Allerheiligenbai).

1503—1504. Salvat de Pilestrina: Weltkarte.

Nach dem „Katalog über die im Kgl. bayr. Haupt-Konservatorium der Armee befindlichen Landkarten und Pläne“ (München 1832, S. 6 u. 7) ist diese Karte von derselben Hand wie die mit Salvats Namen bezeichnete vom Jahre 1511.

Kopie des Amerikanischen Teils in Kunstmanns Atlas, Taf. III. (K. Kretschmer, Taf. IX, 1.)

Nach H. HARRISSE (Cabot, p. 161) ist die Karte in 1503—1504 zu verlegen und ist der Verfasser Salvatore de Palestrina, also ein römischer oder venetianischer Kartograph; denn Pilestrina sei weder ein Personen- noch ein Ortsname in Mallorca. Die Sprache zeigt eine Mischung von Italienisch und Portugiesisch mit einzelnen spanischen Formen. In Disc. of N. Am., p. 425 will sich HARRISSE für kein bestimmtes Jahr erklären.

Diese Karte enthält die Entdeckungen Cortereals und Vespucis. Im Norden ragt eine Halbinsel herein, die an Grönland erinnert und gegen Süden, etwa unter 59° N. endigt. Die Namen an der Küste zeigen, daß Labrador gemeint ist, wie bei Kunstmann, Taf. II.

Terra de Corte-Reall erinnert in Lage und Form an die Länder auf beiden Seiten des Einganges der Belle-isle-Straße in den Lorengolf, also an Labrador und Neufundlandküste. Die Baya de S. Cyria scheint (nach Kohl, S. 175) die gegenwärtige Trinity-Bai zu sein, Cabo de San Antonio unserem Kap Bona Vista (48° 42' N. Br.) zu entsprechen, und die Ilha de frey Luis hat sich verstümmelt in Cap Freels erhalten. Die Deutungen Kunstmanns (Entdeckung Amerikas, S. 128) sind offenbar falsch. Westindien fehlt.

In Südamerika ist die Küste von San Roq bis Rio de Cananea zuerst auf einer Karte gegeben. Nördlich vom Äquator sind die einzelnen Breitengrade von 1—68 angegeben, südlich nicht.

Über den Nordamerika betreffenden Teil der Karte vgl. Kohl, Hist. of disc. of Maine, p. 174—177.

Peschel (Gesch. des Zeitalters der Entd., S. 331) nahm für die Karte das Jahr 1502/3, Kohl 1504/5 an.

Nach 1502. Nicolas de Canerio.

Weltkarte mit Angabe der Breitengrade von 71° N. Br. bis 57° S. Br.
Original im Archiv der Service hydrogr. de la Marine, Paris. Größe 225:115 cm.
„Opus Nicolai de Canerio Jauensis“, ohne Jahr. Die Arbeit eines Italieners, aber in portugiesischer Sprache, also wohl in Lissabon gezeichnet.

Litt.: Gallois, Portulan de Nicolas de Canerio. Lyon 1890. (Bull. soc. géogr. de Lyon.) Mit Umrisskopie und Namen. — Harrisse, Disc. of North America, p. 305 u. 428—430. Plate XIV. Die Nordostküste Amerikas und Cubas in Faksimiledruck. — Für die Küste Südamerikas dienten die Aufnahmen Vespucci als Grundlage. — Cf. Harrisse, Disc. of N. Am., p. 335. — K. Kretschmer, Die Entdeckung Amerikas, Taf. VIII, 1, u. S. 376.

Die Darstellung ist verwandt mit der Cantinos. Die Karte ist ohne Jahreszahl. Da man aber vor 1502 keine Karte mit Angabe der Breitengrade findet, so wird sie in dieses Jahr frühestens zu verlegen sein; auch ist keine Entdeckungsfahrt nach 1502 auf der Karte verzeichnet.

Das sogenannte Florida (Ostasien nach Toscanelli) hat dieselbe Gestalt wie bei Cantino; es endigt mit dem Kap „vom Ende April“.

Für Brasilien ist sie die vollständigste Karte, sie hat die größte Zahl der Namen. Die Sprache ist portugiesisch und italienisch, in einzelnen Formen spanisch. Die Karten der neuen Welt im Ptolemäus 1513 fußen auf dieser Darstellung.

Um 1503. Manusk.-Karte der Insel Hispaniola,

die Harrisse in Ferd. Colons eigner Kopie von Peter Martyrs Dekade von 1511 in der Colombischen Bibliothek zu Sevilla fand. Pergament 41:29 cm.

Cf. Harrisse, Disc. of N. Am., p. 433.

1503. Portugiesischer Portulan vom nordatlantischen Ozean.

Kohl, Collection no. 101. — J. G. Kohl, History of the discovery of Maine. Portland 1869.

Um 1504 (?). Portugiesische Weltkarte,

früher im Besitz von Rich. King in London.

Cf. E. T. Hamy, Notice sur une mappemonde portugaise anonyme de 1502, récemment découverte à Londres. (Bull. de géogr. hist. et descr. Paris 1887, no. 4.) Mit Faksimile des amerikanischen Teils.

Die Karte entspricht Kunstmann, Taf. II, hat aber nur sehr wenige Namen. Hamy verlegt sie ins Jahr 1502.

Harrisse, Disc. of N. Am., p. 293. 431.

1504. Vesconte de Maggiolo.

Atlas, ausgestellt beim geogr. Kongress zu Venedig 1881 (Katalog no. 433).

Das früheste Werk dieses Kartographen, aber leider nach dem Tode des Besitzers verschwunden.

Harrisse, Disc. of N. Am., p. 434.

Um 1505. Pedro Reinel,

ein portugiesischer Kartograph, der 1522 in spanische Dienste trat.

„Pedro Reinel a fez“. Original in München, Hof- und Staatsbibliothek.

Kunstmann, Atlas, Taf. I. — Kohl, Discovery of Maine, Bl. IX, p. 177—179. — K. Kretschmer, Taf. IX, 2.

Diese Karte enthält nur portugiesische Entdeckungen und zwar die Darstellung der Entdeckungen der zweiten Fahrt Caspar Cortereals, nach dem Berichte Pasqualigos, die Ostküste von Neufundland und das heutige Labrador bis vielleicht zum Anfang der Hudsonsstraße (aber nicht bis zur Hudsonsbai, wie Kunstmann S. 127 schreibt) in zusammenhängender Zeichnung, wie es die Vorstellung der Entdecker erheischte. Die Namen an der Küste bis C. Raso stimmen mit Ribero (1529), sind aber zahlreicher. Die Insel Sam Johan bei Neufundland erinnert an Cabots Reise 1497. Vgl. Loks Karte.

Das bei Cosa „Co de Ynglaterra“ benannte Vorgebirge heisst hier zum erstenmal

C. Raso, jetzt entsetzt Race. Die Y. dos bacalhas = Baccalieu I. (48° 9' N. Br.), Isla de frey Luis = Cap Freels (49° 15' N. Br.), C. St. Francis (47° 48' N. Br.) = R. de sam francisco.

1508. Johann Ruysch.

„Universalior cogniti orbis Tabula, ex recentibus confecta observationibus“ im Ptolemaeus, Roma 1508. Kopien: Ghillany, Martin Behaim. — Santarem, Atlas, 3e partie, fol. 45. — Kohl, Hist. of disc. of Maine, no. 6 u. p. 156. — Stevens, Notes, pl. 2. — Winsor, Hist. of Amer. III, 8. — Nordenskiöld, Facsimile Atl., Taf. XXXII u. p. 63. — HARRISSE, Disc. of N. Am., pl. XVI, p. 249. — K. Kretschmer, Taf. IX, 3, u. S. 380.

Die erste gestochene Karte von den Entdeckungen in der neuen Welt; nach portugiesischen Vorlagen. Grönland und Neufundland bilden den am weitesten vorspringenden Teil Ostasiens; weiter südlich verläuft die asiatische Küste nach Toscanelli, auch die Insel Antilia noch in Toscanellis Weise. Die Darstellung von Südamerika, bis R. de Cananor, stimmt am meisten mit Kunstmann, Taf. II. Im Norden ist C. Race allein genannt als: C. de Portogesi. Die angebliche Halbinsel Florida, nach Cantino und Canerio, mit einigen verstümmelten Namen, erscheint als Inselgebiet, dessen Westgrenze noch unbekannt ist. Die dahinterliegende Küste Ostasiens wiederholt dieselbe Gestalt.

„La mappemonde de Ruysch sépare les possessions espagnoles des régions septentrionales par un énorme bras de mer, et lorsque la terre reparait, c'est bien sous la forme de notre Terre-Neuve, dont l'extrémité méridionale, correspondant à ce que les cartes modernes appellent le cap Race, porte ici le nom de Cabo de Portogesi“ (HARRISSE, Les Carte-Real, p. 146).

Südamerika heisst Terra sanctae Crucis sive mundus novus. Die Insel Haiti wird für das Zipangu Marco Polos gehalten. Westlich von Cuba liegt der „Plisacus (?) sinus“.

Südamerika tritt entschieden als ein großes bisher unbekanntes Gebiet hervor, dessen Westküste aber noch fraglich ist. An der Ostküste hier zum erstenmal gedruckt der Fehler Abatia omnium sanctorum.

Auf der Karte von Ruysch kommt nicht ein Name vor am Festlande, der sich bei Juan de la Cosa findet. (HARRISSE, Disc. of N. Am., p. 302.)

1509. Martin Waldseemüller.

Globus in Holzschnitt in 12 Segmenten. Dafs Waldseemüller der Verfasser sei, wird nur vermutet, ist aber noch nicht bewiesen. Einziger Abdruck im Besitz des Fürsten von Liechtenstein (früher Feldzeugmeister Hauslab).

Kopien: Erster gedruckter Globus. Martin Hylacomylus. Phot.-lith. K. K. Militär-Comité. Wien 1879. — Gallois, Les géogr. allemands, Pl. II. Paris 1890.

Nach d'Avezac (Bull. Soc. Géogr. 1872, p. 16) gehört die Darstellung ins Jahr 1509. Vgl. auch Gallois, p. 48. Dafs sie vor 1511 erschienen sei, hatte schon Kunstmann (S. 141 nota) ausgesprochen. Dies ist die erste Karte, die den Namen AMERICA trägt.

Die Ostküste Asiens wie bei Toscanelli-Behaim. Die Umrisse Amerikas sind roher als auf der sogenannten Admiralskarte im Ptolemäus, Strafsburg 1513, haben aber denselben Küstenverlauf. Man vergleiche dazu Cuba und die danebenliegende Küste (Florida), wie sie schon bei Cantino und Canerio gegeben ist. Die Rückseite der neuen Welt und die mittelamerikanische Meerenge, die schon Columbus suchte, ist nach Gntdünken entworfen.

HARRISSE hält den Globus nicht für Waldseemüllers Arbeit, weil 1513 im Ptolemäus Nord- und Südamerika vereinigt, hier aber getrennt sind. Die pyramidale Form von Südamerika findet sich auch nur hier, nicht 1513 in der Tabula Terre Nove. Doch nimmt er auch etwa das Jahr 1509 an (l. c. 467).

Dafs Waldseemüller einen Globus um diese Zeit entworfen hat, steht fest. Dafs er einer der ersten sein würde, die den von ihm vorgeschlagenen Namen Amerika auch anwendeten, ist sicher anzunehmen. Die Abweichungen zwischen seinen Darstellungen von 1509 (?)

und 1513 können aus einer Änderung seiner Auffassung gedeutet werden, wie uns Ähnliches bei Schöners Arbeiten hegegnet.

1511. Vesconte de Maggiolo aus Genua.

Atlas von 10 Karten auf Pergament. „Vesconte de Maiolo civis janue composui in Neapoles de anno 1511, die XX Januarii.“ Original im Besitz des Don Riccardo de Heredia in Madrid.

Litt.: d'Arvazac in Bnll. soc. géogr. Paris 1870, p. 404. — Desimoni in Giornale Ligustico, 1875, Februar und März. — Studi biogr. e bibl. della soc. geogr. Ital. II, 106. — Winsor, Bibliogr. of Ptolemy, sub 1511. — Harriase, Cabot, p. 166. — Ders., Discov. of N. Amer., p. 468

Die Küsten Amerikas von Labrador bis zum C. St. Augustin.

Auf dem 6. Blatte, den Norden darstellend, die Inschriften: Terra de los Ingres, Terra de Lavorador de rey de portugall, Terra de corte reall de rey de portugall, terra de pescaria.

1511. Ptolemaeus, ed. Bernard. Sylvanus (Venedig).

Herzörmige Weltkarte. — Kopien: Nordenskiöld, Atlas, Taf. XXXIII. — Lelewel, Géogr. du M.-A., pl. XIV und vol. II, p. 151. — K. Kretschmer, Taf. X, 1 in stereograph. Planiglobenkonstruktion. ✓

Vgl. Winsor, Bibliogr. of Ptolemy geogr.

Südamerika, nur der Ostrand, eine zusammenhängende Landmasse, ist als Terra sanctae crucis bezeichnet und nach portugiesischen Vorlagen entworfen. Nordwärts folgen einzelne Inseln und getrennte Küstenlinien mit den Benennungen: Ispaniarum insu., terra Cube (mit demselben kolbigen Abschlusse im Westen wie bei Canerio), dann regalis domus (als Übersetzung von Corte real) und Terra laboratorum.

1510—1512. Globus Lenox,

aus Kupfer, 127 mm Durchmesser. In der Lenox-Bibliothek zu New York.

Kopien: Mag. of Amer. hist. Sept. 1879. — Encyclop. Brit. X, 681 (1879). — Winsor, Hist. of Amer. II, 123. 170. III, 212. — Nordenskiöld, Atlas no. 43, p. 75. — K. Kretschmer, Taf. XI, 1, u. S. 385. ✓

Der Lenox-Globus zeigt die dreieckige Gestalt Südamerikas ähnlich wie Waldseemüllers Globus, nur etwas voller, und mit den drei Namen Terra de Brazil (in Ecuador), Mundus novus und Terra sanctae crucis. Außerdem die Namen der drei größern Inseln Spagnola, Isabel (Cuba) und Zipangri, dieses in der Gegend des heutigen Yukatans. Die Entdeckungen Cortereals und Cabots in Nordamerika treten als einzelne namenlose Inseln auf.

1512. Joh. de Stobnicza.

Introductio in Claudii Ptholomei Cosmogr. Cracov. 1512.

Kopien: Nordenskiölds Atlas, Taf. XXXIV. — Winsor, Hist. of Amer. II, 116. III, 13. — K. Kretschmer, Taf. X, 3, u. S. 386. ✓

Rohe Holzschnittkarte der westlichen an den Polen abgestutzten Hemisphäre bis südwärts zum 40.° S. Br., nordwärts zum 70.° N. Br., die Darstellung wohl nach derselben Vorlage wie die Karte im Ptolemäus von 1513. Amerika erscheint durchaus selbständig, in sich zusammenhängend, von Asien getrennt. Es gibt keine mittelamerikanische Meerenge. Zipangu Insula liegt gleich hinter Mexiko; Ostasien nach Toscanelli. Die Umrisse von Nordamerika, Cuba und Haiti wie bei Canerio. Die nördlichste Inschrift hat man gelesen: ortus de bona ventura; es heist aber: caput de b. v. Nur ist das mittlere Stück aus dem Buchstaben t ausgebrochen, wie ein Vergleich mit dem caput deseado in Südamerika zeigt. Das Caput bona-ventura findet sich zuerst bei Reinell 1505. Stobnicza spricht, wie schon Waldseemüller, von vier Erdteilen.

Außerdem findet sich in Nordamerika noch in der Halbinsel Florida der Name isabella; ferner spagnola. In Südamerika: arcay caput destado (statt deseado), Gorffo ffreoso, Caput s. crucis, monte fregoso. Die von Harriase (Disc. of N. Am., p. 473) gegebenen Lesarten weichen etwas ab; endlich Allapego; arcay findet sich vollständig bei

Canerio als arcaz bacoia; cabo deseado und golfo fremoso bei Cantino und Canerio; cabo sta croce, monte fregoso und Allepego (de sam paulo) i. e. Pagus S. Pauli, wie Schöner und Waldseemüller es übersetzen, bei Canerio.

Nach 1512. Karte von Westindien.

Holzschnitt, in einer spätern Angabe von Peter Martyrs erster Dekade seines Werkes de rebus oceanicis, die zuerst 1511 in Sevilla erschien. Die Karte ist nur in einigen Exemplaren erhalten; vielleicht ist sie unterdrückt.

Kopien: Nordenskiöld, Atlas no. 38, p. 67. — Winsor, Hist. of Amer. II, 110. — K. Kretschmer, Taf. X, 2, u. S. 283. — Eine modernisierte, nicht fehlerfreie Nachbildung in Schumacher, Petrus Martyr, New York 1879. — Andre Nachbildungen nach Winsor (l. c.) in: 1. Carter Brown Catalogus; 2. Stevens notes, pl. 4; 3. J. H. Lefroys Memorials of the Bermudas. London 1877.

Vgl. HARRISSE, Bibl. Am. Vet. no. 66. — Additions, p. VIII u. no. 41. — HARRISSE, Disc. of Am., p. 474.

Diese Karte ist nach einer spanischen Seekarte entworfen.

Hier erscheinen zuerst die Bermudas. Folgende Namen stehen auf der Karte: los iucaios, sant juā (Puertorico), illa española, iamaica, ilha de cuba, illa de beimeni (Florida), guanasa, c. gracia de dios, abnrema, veragua, el marmol, tariene (Daríen), uraba, C. de la vela, coquibacoa, la margarita, y de las perlas, g. de paria, la trinidad, R. grande, C. de la cruz. Die Zeichnung der Küste von Bimini scheint auf eine spätere Zeit als 1511 zu weisen.

1513. M. Waldseemüller.

Tabula terre nove, die sogenannte Admiralskarte im Ptolemäus (Straßburg 1513). Das Original zu dieser Holzschnittkarte ist Canerio. Die Namen gehen nicht weiter nach Westen als Hojedas Reise 1499 und Vespuccis Fahrt nach Süden 1503.

Lelewel (II, 143) vermutet, daß die Karte schon 1507 geschnitten ist.

Kopien: Varnhagen, Premier voyage de Vespucci. — Stevens, Hist. and geogr. notes, pl. 2. — Winsor, Hist. of Amer. II, 112; IV, 34. — Nordenskiöld, Atlas, Taf. XXXVI. — K. Kretschmer, Taf. XII, 1, u. S. 386.

Vgl. H. HARRISSE, Disc. of N. Am., p. 310 u. 477. — Lelewel, Géogr. dn M. Age, vol. II, 147 u. 158.

1513. M. Waldseemüller.

„Orbis typus universalis juxta hydrographorum traditionem“ im Ptolemäus (Straßburg 1513).

Holzschnittkarte, das Bild der Erde nach Art der Plattkarten dargestellt. Die neuere Kenntnis von Südasien reicht bis Malaka, Ostasien ist im Stil Toscanellis gehalten. Grönland bildet eine langgestreckte Halbinsel von Europa. Die Küsten Südamerikas sind nur angedeutet.

Kopien: Nordenskiöld, Atlas, Taf. XXXV. — Ruge, Zeitalter der Entdeckungen, S. 6. — Winsor, Hist. of Am. II, 111.

1513. (?)

Skizze einer portugiesischen Karte, von Sumatra bis zu den Molukken und jenseits derselben im Osten der ziemlich gerade Verlauf der amerikanischen Westküste.

Original in München, Hauptkonservatorium der Armee; nach Winsor.

Umrisszeichnung bei Winsor, Hist. of Am. II, 440.

1515. G. Reisch.

Weltkarte in Margarita Philos. (Straßburg 1515. 4^o.) Holzschnitt.

Kopien: Nordenskiöld, Atlas, Taf. XXXVIII^a. — Stevens, Hist. and geogr. notes, pl. 4. — Winsor II, 114. — K. Kretschmer, Taf. X, 4, u. S. 388.

Die Zeichnung der Neuen Welt erinnert an Waldseemüllers Darstellung. Der amerikanische Teil nachgebildet in der Zeitschr. für wiss. Geogr. V, 1. In der dazu gehörigen Abhandlung „Zoonia Mela“ erklärt Wieser diesen merkwürdigen Namen in Nordamerika, der auf Joanna, d. h. Cuba hinweist.

Sowohl in Cuba als in Haiti steht der Name Isabella. In Südamerika liest man:

Bacea, *Antropophagorum maxima gens hio est. Caput S. Crucis. Paria seu Prailia* als Bezeichnung für Südamerika.

Ostasien und Zipangu nach Toscanelli.

Vgl. Harriase, *Disc. of N. Am.*, p. 481 u. 313.

1515. Joh. Schöner.

Globus in Frankfurt und Weimar (Militärbibl.). 27 cm Durchmesser.

Kopien: Jomard, *Monuments de géogr.* no. 15 u. 16. — Wieser, *Magalhãesstraße*, Taf. II. — Nordensköld, *Atlas* (nach Jomard), no. 46 u. 47, p. 78 u. 79. — Harriase, *Disc. of N. Am.*, p. 484 bis 489. — Winsor, *Hist. of Am.* II, 118. — K. Kretschmer, *Taf. XI*, 4.

In den Inseln von Nord- und Südamerika ist durch Grenzlinien angedeutet, welche Teile der Küsten angeblich noch nicht erforscht sind.

Nordamerika heisst *Parias*, Südamerika *AMERICA*; Zipangri und Ostasien nach Toscanelli; vor der mittelamerikanischen Meerenge ein Schiff. Südlich von Südamerika tritt hier zum erstenmal das unbekannte Südländ: *Brasilie regio*, entworfen nach der Zeitung aus Presilgland, auf. Engroneland erscheint noch wie 1513, als Halbinsel von Nordeuropa. Die Namen an der Ostküste Südamerikas stammen sämtlich aus dem Ptolemäus von 1513, merkwürdigerweise sind aber die Namen nicht bis Cananor fortgeführt, sondern halten bei St. Thomae inne, um für das untere Brasiland Raum zu gewinnen.

Zu dem Globus gehört Schöners Schrift *Luculentissima quaedam terrae totius descriptio* (Nürnberg 1515), worin er bestimmt erklärt, daß die drei Erdteile der Alten Welt einen Kontinent für sich bilden, aber die neue Welt rings vom Meer umgeben, eine Insel sei, „sed quarta est insula“. Die Gestaltung der Ostküste von Nordamerika ist wie bei Canerio, Ruysch und Waldseemüller. Die Namen, die Harriase p. 487 in Südamerika angibt, sind zwar meistens auf dem Globus Schöners von 1520, aber nicht auf Jomards Kopie des Globus von 1515 angegeben. Harriase nennt seine Quelle nicht.

1515. J. Schöner.

Globus in Wien, Sammlung des Fürsten von Liechtenstein. 36 cm Durchmesser.

Litt.: Varnhagen, J. Schöner u. P. Apianus (Wien 1872). — M. J. Luksch in Mitteilungen der K. K. geogr. Gesellschaft in Wien 1886, S. 364, mit Nachbildung des amerikanischen Teils. — Gallois, *Les géogr. Allemands*, p. 80 u. Taf. III. — Harriase, *Disc. of N. Am.*, p. 491.

Hier fehlt noch das Südländ, *Brasiliae regio*. In Nordamerika steht nur, wie auf dem Globus von Weimar, *Parias*.

Um 1515. Joh. Schöner.

Globus, auf Holz gemalt, Durchmesser 24 cm, seit 1879 in der Nationalbibl. zu Paris. Darchaus dem Globus von 1515 ähnlich, auch das Südländ ist vorhanden.

Kopien: Gallois, *Les géogr. Allem.*, Taf. IV. — H. Harriase, *Disc. of N. Am.*, p. 489–491. — G. Marcel, *Un globe manuscrit de l'école de Schoener* (*Bull. de Géogr. hist. et descr.* (Paris 1889, p. 173).

Viermal ist der Name *America* eingeschrieben, zweimal in Nordamerika, auch in der südlichen Halbinsel dieses Gebiets, die in dem Globus von Weimar *Parias* hieß, und zweimal in Südamerika. Die Namen in der nordamerikanischen Insel stammen alle von Canerio.

In Südamerika wird der Name *America* mit Hinweis auf den (angeblichen) Entdecker erläutert: „*America ab inventore nuncupata*“.

Harriase, p. 491, macht auch noch auf eine Eigentümlichkeit aufmerksam, daß in Südamerika mehrere (vier) Gegenden als *regio* bezeichnet sind, nämlich *Regio grande*, *Regio de S. Antonio*, *Regio Santi Hieronimi* und *Regio de Cananorino*, dieses in der Südspitze des Landes. Offenbar liegt eine Entstellung aus Rio vor, wie es namentlich beim Rio grande am meisten auffällt. Wenn man ferner die Legende findet: *Hic reperiuntur rubei pitici*, wofür sonst gewöhnlich das Papageienland (*Papagalli terra*) genannt ist, so weist das auf eine Vorlage hin, in der, wie schon auf der Cantinokarte, dieser Schmuckvogel in prächtigen Farben gemalt war. Man kann gern zugeben, daß dieser Globus nicht das

eigenhändige Werk Schöners ist, aber es bleibt zweifellos eine Kopie seiner Darstellung von 1515.

1514—1518. Lud. Boulenger.

Globuscalotten, früher als „the Trois-gores“ bekannt.

Kopien: Katalog von Trofs (Paris 1881), Nr. 4924. — Winsor, Hist. of Am. II, 120. — Nordenskiöld, Atlas, Taf. XXXVIII. — K. Kretschmer, Taf. XI, 2.

Harrisse (Cabot, p. 182) schreibt die Arbeit dem französischen Kosmographen Boulenger zu. Das einzige Exemplar, in einer Lyoneser Ausgabe von Waldseemüllers *Cosmographiae introductio* gefunden, ist im Besitz von C. H. Kalbfleisch in New York.

Diese Ausgabe der *Cosmographiae introductio* ist ohne Jahr, aber dem Bischof Jacques Robertet von Alby gewidmet, der vom 22. November 1517 bis 26. Mai 1518 den bischöflichen Stuhl innehatte. Danach könnte der Globus nur in diese Zeit fallen.

Aber neben demselben findet sich noch ein Kupferstich in dem Schriftchen, das „Artificio Ludovici Boulengier, Allebie 1514“ bezeichnet ist. Jedenfalls muß also der Globus zwischen 1514 und 1518 gestochen sein. Die Zeichnung weist auf Waldseemüllers Globus; selbst die Inschrift: *Universalis cosmographiae descriptio tam in solido quam plano* findet sich bei Waldseemüller. Die Inschrift *Cod* in einer Insel östlich von Nordamerika, in der Lage von Haiti, hat wohl auf die Fischgründe bei Neufundland hinweisen sollen. Auf dem Festlande steht dort *Nova*.

Südamerika ist wie bei Waldseemüller (1513) dargestellt: „America noviter reperta“. Nördlich von der mittelamerikanischen Enge verläuft die Küste ähnlich rechtwinkelig wie im Ptolemäus 1513. Westlich von der Meerenge liegt Zipangri, und die Ostküste Asiens ist wie bei Toscanelli dargestellt. Winsor (III, 214) verlegt den Globus nicht früher als 1518.

1518. Weltkarte in 12 Globussegmenten,

Holzschnitt (Nordenskiölds Sammlung, Fürst Liechtenstein in Wien und Nationalbibliothek zu Paris).

Dieser Globus ist wahrscheinlich in Ingolstadt entworfen, der einzigen in ganz Europa, außer S. Jacobus (S. Jago) in Spanien, namhaft gemachten Stadt. Außerdem finden sich noch die Städtenamen Hierusalem, Mecha und Calliout. Amerika zerfällt in drei Gruppen: 1. Nordamerika (hier Terra Cuba und Parias genannt), 2. die Antillen, von denen aber nur Hispaniola benannt ist und 3. Südamerika. Bei Hispaniola findet sich der wichtige Zusatz: *in qua reperitur lignum Guaiaco*. Diese Droge, die gegen Venerie angewandt wurde, ist, wie Harrisse (*Disc. of N. Am.*, p. 496) nachweist, nicht vor 1517 in Deutschland bekannt geworden. Demnach kann auch der Globus nicht früher angesetzt werden. In Südamerika steht: *America, terra noua inventa est 1497*. Diese Jahreszahl ist auf Vespuccis *quatuor navigationes* zurückzuführen und erscheint hier zuerst. Danach folgt die Weltkarte Apians 1520. Die Anführung des Namens Ingolstadt legt die Vermutung nahe, daß der Globus eine Arbeit Peter Apians ist.

Vgl. Nordenskiöld, *Om en märklig Globakarta från början af sextante seklet*. Stockholm 1884. — Derselbe, Atlas, p. 76 u. Taf. XXXVII. — Harrisse, *Disc. of N. Am.*, p. 496, 497.

1519. Vesconte de Maggiolo.

Atlas von 7 Karten auf Pergament, in München. Getreue Nachbildung der Karte der Küste von Mittelamerika bis zum Laplata in Kunstmann, Taf. V, vgl. S. 135 u. 76. Kopie in Santarems Atlas. „Vesconte de Maiollo civis Janue composuit hanc cartam in Janua de anno Domini 1519“.

Vgl. *Atti soc. Lig. rend.* 1867, p. 92, 271. — Desimoni, *Giorn. Ligust* II, 54. — Kohl, *General-karten* S. 30, 146. — *Studi biogr. e bibliogr.* II, 108.

Diese Karte ist besonders merkwürdig durch die Aufzählung fast aller kleinen Antillen; die Liste ist vollständiger als auf allen vorhergehenden Karten. Auch die Inseln unter dem Winde sind fast alle genannt. Maggiolo nennt zuerst Mona, Negada, Sa Crux, Sonbrero, Langoilla, Barbada, Retonta, St. Vincent; einige allerdings an falscher Stelle. Die abweichenden Formen: Montes, Aruba, Boiaj, Brana malgaica für Monjes, Oruba, Buen ayre

Tortuga, zeigen, daß, abgesehen von dialektischen Verschiedenheiten, seine Vorlagen zum Teil nicht gut leserlich waren. Die Küstenumrisse, besonders Mittelamerikas, sind weniger getreu als bei frühern; Haiti ist gegen Cuba viel zu groß, Spagnola ist ihm die Insel Antilla.

Die Küsten Südamerikas von Trinidad bis Kap S. Roque sind unbestimmbar; die Namen finden sich auf frühern Karten nicht, es fehlen die originellen Bezeichnungen.

Von Kap San Roque bei Cananea stimmt Maggiolo oft in ganzen Namenreihen mit Canerio, dann aber kommen Sprünge dazwischen, wo er Namen ausläßt. Hin und wieder aber weiß er auch neue Namen einzuschieben, so daß Canerio nicht allein sein Vorbild gewesen sein kann. Von Cananea bis Kap S. Maria verläßt die Küste wieder ziemlich charakterlos und ist schwer bestimmbar.

1519 (?). Karte von Mittelamerika und Westindien.

Bibliothek zu Wolfenbüttel. — H. Harrisse, *Disc. of N. Am.*, p. 502.

1519. Pinedas Karte vom Golf von Mexiko.

Original im Ind. Archiv zu Sevilla. — Kopien: Winsor, *Hist. of Am.* II, 218. — Weise, *Discoveries*, p. 278. — K. Kretschmer, *Taf. XIV*, 6 u. S. 392.

Pineda nahm auf Befehl F. Garays die Nordküste des Golfs von Mexiko auf. Die Karte wurde 1521 dem Kaiser Karl vorgelegt (Navarr. III, 148). Eine Kopie des Originals in Navarrete, I. c.

Auf Pinedas Aufnahme beruht die Darstellung in der Karte von F. Cortes 1524 und in den Generalkarten von 1527 und 1529, die Kohl herangezogen hat.

Yukatan erscheint nicht als Insel, sondern als Halbinsel, südlich davon im Lande die Inschrift *Tierra firme*. Das Co y Pta de la Higuera ist wohl identisch mit dem Cape the three points am Golfo Amatique. Im heutigen Honduras steht der Name Pinzones.

Im Folgenden sind die Inschriften vollständig angegeben:

La Florida que decian Biminf que descubrió Juan Ponce.

An der westlichen Wurzel der Halbinsel steht: *Hasta aqui descubrió Juan Ponce.*

Auf halbem Wege zur Mündung des Mississippi (Rio del espiritu santo): *Desde aqui comenzo a descubrir Francisco Garay.*

Südlich vom Rio Panuco: *Tamahox provincia, und etwas unter 21° N. Br.: Hasta aqui descubrió Francisco de Garay hacia el ueste, y Diego Velasquez hacia el Leste hasta el cabo de las Higuera que descnbrieron los Pinzones, y se les ha dado la poblacion.*

Daß das Original aus dem Jahre 1519 stammt, darüber vgl. Harrisse, *Disc. of N. Am.*, p. 152 und 502—503.

Nach 1519 (?). Leonardo da Vinci (?).

Zeichnung zu 8 Globusenloten.

Original in Queens collection in Windsor (zuerst veröffentlicht in R. H. Major, *Memoir on a nappemonde by Leonardo da Vinci in the Archaeologia*, vol. 40 (London 1865).

Kopien: Wieser, *Magalhãesstraße*, *Taf. III*. — Winsor II, 126. — Nordenskiöld's Atlas, Nr. 45, p. 77. — K. Kretschmer, *XI*, 3 u. S. 389.

Die Gestalt Südamerikas erinnert an Waldseemüller und Schöner. In Südamerika steht der Name: *America*, nördlich davon liegen die Inseln Zipangu, Terra Florida, Cuba und Isabella, und fern im Norden Bacalar.

J. P. Richter (Da Vinci) bezweifelt, daß die Darstellung von Leonardo sei, ebenso d'Adda (Leonardo da Vinci e la cosmografia [Perseveranza 1870, Mailand]) und G. Govi (Leonardo letterato e scienziato [Saggio delle opere di Leonardo da Vinci, Mailand 1872, p. 12]).

H. Harrisse (*Disc. of N. Am.*, p. 504) weist auf die in neuen Namen hervortretende Verwandtschaft mit der Turiner Karte und andern spanischen Karten hin und glaubt für die Zeit der Entstehung ein noch späteres Jahr als 1519 (Todesjahr da Vincis) ansetzen

zu müssen. Übrigens zeigen die Namen America und Abatia (für Bahia) auch die Beziehung zur deutschen Kartographie.

1520. Peter Apianus.

Herzförmige Weltkarte: Holzschnitt 42:29 cm: *Tipus orbis universalis iuxta Ptolomei cosmographi traditionem et Americi Vesputii aliorumque Illustrationes a Petro Apiano Leynico elucebratus año Dominis 1520 in Camers, Solinus (Viennae Austriae 1520) und Vadianus, Pomp. Mela (Basel 1522).*

Kopien in Carter Brown, Catalogue. — Santarem, Atlas. — Nordenskiöld, Atlas, Taf. XXXVIIIb.

Ostasien und Japan ganz nach Toscanelli. Nordamerika als schmale Insel, im Süden der Name Parias, wie bei Schöner. Die Küsten nach Canerio, Cuba in alter Gestalt, mittelamerikanische Meerenge. In Südamerika, in America provincia, dieselbe Inschrift wie in Ptolem. 1513, „Anno 1497 hec terra cum adiacentibus insulis inventa est per Columbum Januensem ex mandato regis Castelle“. Auch hier, wie auf dem Ingotstadter Globus von 1518 (?), die auf das Guajakholz bezügliche Inschrift.

Vgl. HARRISSE, Disc. of N. Am., p. 505.

1520. J. Schöner.

Globus in Nürnberg, german. Museum.

Dieser Globus ist viel größer und ausführlicher als der von 1515. Der Durchmesser beträgt ca 36 cm. Hier allein ist die Jahreszahl eingetragen.

Kopien: Ghillany, Martin Behaim. — Santarem, Atlas, Nr. 75. — Lelewel, Atlas — Kohl, Hist. of discov. of Maine, Karte 7 (Nordamerika) und p. 158. — Derselbe, Geschichte der Entdeckungsreisen zur Magellanstraße. Berlin 1877. — Harpers Magazin, Dez. 1882, p. 731. — Wieser, Magalhãesstraße, Taf. 1. — K. Kretschmer, Taf. XIII u. S. 394. — Vgl. HARRISSE, Disc. of N. Am., p. 316 und 506.

Abweichungen vom Globus 1515:

1. Terra Corterealis als besondere Insel: haec terra inventa est ex mandato regis Portugallie per capitaneum Gaspar Cortereal. Anno Christi 1501.
2. Die große südliche Bucht in Brasilia inferior ist Land geworden.
3. Die Namen an der Ostküste Südamerikas gehen nicht bloß bis C. de S. Thome, sondern bis Cananor.
4. Nordamerika heißt im Norden Terra de Cuba, im Süden Parias.
5. Südamerika heißt America vel Brasilia sive Papagalli terra.

Wenn auch vorherrschend der Ptolemäus 1513 als Vorlage gedient hat, so doch nicht ausschließend. Den Rio de Don Diego findet man nur bei Canerio und Cantino. Auch ist auffällig, daß viele Namen in Nordamerika gerade so entstellt sind wie bei Canerio.

Die Namen lix leo am Golf von Darien, monte rotondo, Rio de flagranza, Rio de foro seco kommen auch bei Ruysch vor.

Der Verlauf der nördlichen und östlichen Küsten von Südamerika ist zwar bei Schöner richtiger als bei Apian (vgl. Humboldt bei Ghillany, S. 9), allein die Zeichnung bleibt schablonenhaft. Alle Flüsse laufen nach Nordost.

Die Sera de S. Maria entspricht in der Lage dem C. de S. Maria bei Juan de la Cosa. Die Namen Rio de pereza, Rio de mezo, Rio S. Jacobi und Rio S. Augustin, Rio de virgin u. a. hat nur Canerio.

Es ist lehrreich, auf der Strecke von Kap Roque bis Cananea die Namen bei Canerio, Ruysch, Ptolemäus 1513 und Schöner zu vergleichen. Die Legenden des Globus sind noch auf keiner Nachbildung vollständig wiedergegeben.

Um 1520. Portugiesische Karte,

irrtümlich früher als Saluat de Pilestrina en Mallorques bezeichnet. Original in München (Katalog über die im Kgl. bayr. Haupt-Konservatorium der Armee befindlichen Landkarten und Pläne, München 1882, S. 6 und 7).

Genaue Nachbildung in Kunstmanns Atlas, Taf. IV. — K. Kretschmer, Taf. XII, 2. — Die Küsten von Neuschottland und Labrador in Winsor, Hist. of Amer. III, 56; vgl. Kohl, Disc. of Maine, p. 179 und Karte X, Harrisse, Disc. of N. Am., p. 508.

Die erste bekannte Karte, auf der die Entdeckung des Großen Ozeans durch Balboa dargestellt ist, was in großen Buchstaben gemeldet wird: MAR VISTO PELOS CASTELHANOS, während sonst durch gleiche Formen nur Ländernamen ausgezeichnet sind: TERA BIMINI, ATILHAS DE CASTELA, BRASILL und endlich weit nordöstlich im Ozean: BACALNAO und DO LAVRADOR.

Die zusammenhängende Darstellung reicht von Yukatan bis zum Laplata.

Die Küsten Yukatans zeigen, daß die Karte nicht vor 1517, nicht vor Hernan Cordobas Fahrt anzusetzen ist; aber die eingetragenen Küstennamen passen nicht zu Cordobas Reise. Von den Entdeckungen Grijalvas ist noch nichts bekannt. Nach der Nomenklatur könnte man vermuten, es lägen hier Zeugnisse und Spuren einer noch früher uns unbekannten Expedition vor (vgl. Kohl, Generalkarten, S. 102). West-Cuba hat richtige Gestalt bekommen. Die Bahama-Inseln und die südamerikanischen Namen weisen auf ganz andre, vielleicht spanische Quellen, als in den bis dahin uns bekannten Karten vorkommen. Die Namen weichen sehr ab. Von Yukatan bis Trinidad und bis zum Äquator finde ich nur folgende schon bekannte Namen: Darien, I. fuerte, tortuga, Kap de la Vera (Vela) und Las peilas (i. e. perlas). Es müssen verschiedene Karten als Vorlage gedient haben. Harrisse (l. c.) hat die Vermutung ausgesprochen, es könnte das Original von Colons vierter Reise, allerdings nicht unmittelbar, zu Grunde liegen. Dagegen meint Kohl:

„The latitude and longitude, given on our map to the portuguese discoveries, are much more correct, than those given to the Spanish dominions; which fact proves, that the Portuguese map-maker had not very good authority for his spanish insertions“ (Kohl, p. 181).

Aus den häufigen Fahrten nach Brasilien stammen die Namen der Felseninseln S. Paul (nördlich vom Äquator), ascensam (ascension), atrindade, martim vaz.

Die Demarkationslinie (nach dem Vertrag von Tordesillas, 7. Juni 1494) teilt die Karte, auf ihr sind die Breitengrade angegeben.

1521. Lazaro Luis.

Ihm wird eine äußerst zweifelhafte Karte von Canada zugeschrieben.
Winsor, Hist. of Am. IV, 37.

1522. Laurentius Friefs aus Kolmar.

Orbis typus universalis, gez. L. F. im Ptolemäus (Straßburg 1522), nachgebildet nach dem Ptolemäus 1513 und etwas abgeändert im Ptolemäus 1525 und 1535.

Kopie: Nordenskiöld's Atlas, Taf. XXXIX^a. — K. Kretschmer, Taf. XIV, 1.

1522. L. Friefs-Waldseemüller.

Tabula Terre Nove, nach der gleichnamigen Karte Waldseemüllers für den Ptolemäus (Straßburg 1522) nachgebildet, mit einigen unbedeutenden Änderungen in Namen und mit Hinzufügung längerer auf die Entdeckung bezüglichen Legenden.

Harrisse, Disc. of N. Am., p. 515.

1522. Karte der Magalhãesstraße

im Manuskript von Antonio Pigafettas Reisebericht (Nationabibl. Paris). Hier zuerst der Name „Mer pacifique“.

Vgl. Harrisse, Disc. of N. Am., p. 516.

Um 1523. Turiner Weltkarte.

Auf Pergament, 202:100 cm. Der amerikanische Teil zuerst von Harrisse (Disc. of N. Am., p. 528 und Bl. XIX) veröffentlicht.

Die Legenden sind spanisch und lateinisch, selten portugiesisch. Die Zeichnung reicht von Florida, das aber noch als Insel dasteht, bis zum Feuerlande. Ob Yukatan als Insel gedacht ist, bleibt unentschieden. Die Küsten des Golfs von Panama sind schon eingetragen. Nordwestlich von der Magalhãesstraße am Großen Ozean steht die Inschrift: „Tierra de diziembre“. Diese Benennung steht auf keiner andern Karte, aber sie kann nur durch Sebastian del Cano nach seiner Erdumsegelung (er landete in Spanien 6. September 1522) bekannt geworden sein.

Diese Karte, nach Cosa die erste, die auf spanischen Aufnahmen beruht, bringt zahlreiche bisher nicht vorgekommene Ortsnamen, und ist daher sehr wichtig. Dazu sind die meisten Namen richtig geschrieben, — auch ein seltener Vorzug. Man darf vermuten, daß der Zeichner nach den Quellen oder höchstens aus zweiter Hand schöpfte.

Vom Rio de S. Francisco bis Rio de S. Augustin stimmen die Legenden fast wörtlich mit Canerio. Was Canerio Alapego de San Paulo nennt und von Deutschen zu einem Gau (pagus) gemacht war, heißt hier Arceipelago de S. Pablo. Der letzte Name im Süden: Tierra de diziembre weist auf den Aufenthalt Magalhães an der Küste des Großen Ozeans hin. M. verließ die nach ihm benannte Straße am 28. November und hielt sich an der amerikanischen Küste nordwärts bis zum 16. Dezember, wo er westwärts steuerte. (Harrisse, l. c. 533).

Um 1523. Juan Vespucci.

Eine kleine gestochene Weltkarte in äquidistanter Polarprojektion, vermutlich in Venedig gearbeitet, mit dem Titel: *Totius orbis descriptio tam veterum quam recentium geographorum traditionibus observata novum opus Joannis Vespucci Florentini macoleri regis Hispaniarum mira arte et ingenio asolutum*. Mit flüchtigen Umrissen und wenig Namen.

Kopie von H. Harrisse (Disc. of N. Am., pl. XX) zuerst mitgeteilt.

Eine verbesserte Auflage erschien 1524 (Sammlung des Fürsten v. Liechtenstein in Wien) 1879 photolithographisch vervielfältigt.

1524. P. Cortes.

Eine Holzschnittkarte vom Golf von Mexiko, beigegeben seinem zweiten Briefe an den Kaiser vom 30. Oktober 1520. Gedruckt mit dem Brief in Nürnberg 1524.

Kopien: Stevens, Amer. Bibliogr., p. 86. — Derselbe, Notes, pl. IV. — Winsor, Hist. of Am. II, 404.

Die Karte stellt die Küsten des Golfs von Mexiko als von einem Festlande umschlossen dar, Yukatan als Insel. Die Namen der Flüsse und Vorgebirge, von Yukatan bis zum Rio Panuco, sind nicht ganz in gleicher Reihenfolge, nicht vollständig, und nicht richtig in der Schreibweise wie bei Pineda.

Vgl. Harrisse, Disc. of N. Am., p. 509.

1524. Peter Apian.

Cosmographicus Liber (Landshut 1524), darin 2 kleine Kärtchen in stereogr. Polarprojektion. Die nördliche Erdhälfte in Nordenskiöld's Atlas Nr. 57, p. 93.

Grönland neben Norwegen. Nordamerika fehlt. Südamerika hat rohe Umrisse, ähnlich wie im Ptolemäus 1513; darin die Namen: Bacoia, Canibales und Caput S. Cru, außerdem die beiden Inseln ysabella und spagnola.

Ostasien ähnelt der Darstellung Toscanellis.

1525—1530. Laur. Friefs (Frisius) aus Kolmar.

Ein Atlas von Karten, die zu der „Underweisung und ufselegunge der Cartha Marina oder die Mercarten“ (Straßburg 1530) gehören.

1. Carta marina navigatoria Portugalien. etc. generaliter monstrat. 1525.

Eine Skizze davon in Winsor, Hist. of Amer. II, 127.

Die Küste westlich von Cuba ist ähnlich gezeichnet wie bei Canerio, trägt aber die Inschrift: Terra de Cuba, partis Affricae. Diese Karte findet sich schon in der Ausgabe von 1525.

Eine Skizze vom Golf von Mexiko in Winsor II, 128.

2. Am Ende des untersten Blattes der vierten Karte die Inschrift: Carta marina universalis emendata et veritat. restituta a Laur. Frisio anno 1530.

Es sind verkleinerte Kopien der ursprünglich von Waldseemüller gefertigten Karten.

Vgl. Kohl, Collection Nr. 93 u. 102 (Okt. 1884, Cambridge, Mass.).

1525. Spanische Planisphäre.

Im Besitz des Marquis Castiglioni in Mantua, der, wie Harrisse (p. 539) mitteilt, nicht gestattet, daß von der Karte eine Kopie gemacht wird.

Bei den Entdeckungen des Estevan Gomez zeigt die Inschrift: „Tierra que descubrio Estevan Gomez este año de 1525“ deutlich an, daß die Karte in „diesem Jahre 1525“ entstanden ist.

Vgl. Portioli, Carte e memorie geogr. in Mantova (1875). p. 24. — Studi II, 412.

1525. Ruiz de Estrada und Peñate,

Piloten Franz Pizarros und Almagros. Karte vom Golf von Panama.

Faksimile in Oviedo, Hist. general ed. A. de los Rios (Madrid) I, 56 und IV, pl. IV^a, p. 117.
Harrisse, Disc. of N. Am., 540.

1525. Karte vom Golf von Nicoya.

Faksimile in Oviedo, Hist. gen. III, pl. 2, ed. A. de los Rios (Madrid).

1525 (1560). Alonso de S. Cruz.

Karte der Entdeckungen Estevan Gomez' in 1524—1525 in dem Isolario general del Mundo. Manuskript in Wien. Tierra que descubrio el piloto Estevan Gomez.

Kopie in Harrisse, Disc. of N. Am., Pl. XI.

1525. Ptolemäus

von Wilibald Pirkheimer, Straßburg, zwei Karten:

1. Universalkarte,

2. Karte der Neuen Welt,

die dem Ptolemäus von 1522 gleichen und Nachbildungen Waldseemüllerscher Karten sind.

1526. Franciscus Monachus aus Mecheln. (François Le Moine?).

Zwei kleine Hemisphären in Holzschnitt in der Abhandlung De orbis situ ... Francisci Monachi ordinis Franciscani. (Antwerpen 1526). Faksimile in Harrisse, Disc. of N. Am., p. 282 u. 548. Veränderte Nachbildung bei Lelewel, pl. XCVI und K. Kretschmer, Taf. XVIII, 2.

Hier hängt zum erstenmal Amerika auf breiter Strecke mit Asien zusammen.

In Nordamerika, das bei Baragua von Südamerika durch eine Straßee getrennt ist, stehen die Namen: Mongallia, Bergia (das Bargu Marco Polos), Tamago und Covacatia (nicht Covacala, wie in Kretschmers Atlas steht); in Südamerika: Dabaiba, Parias und America.

Harrisse (p. 550) vermutet, daß Schöner auf seinem bis jetzt verlorenen Globus von 1523 schon den Gedanken der festen Verbindung von Asien und Nordamerika zum Ausdruck gebracht habe.

Derselben Vorstellung huldigten weiter: der vergoldete Globus um 1528, die Sloane-Karte um 1530, doppelherzförmige Karte von O. Finé, 1531, Schöners Globus von 1533 in Weimar, der Holzglobus um 1535 in Paris, der Globus von Nancy um 1535, herzförmige Karte von O. Finé, 1536, Globus von Kaspar Vopell, 1542 und 1543 und seine Weltkarte 1536, die Weltkarten Gastaldin von 1546, 1548 (Universale) und die Kopien Forlanis 1562, 1570, Camotius 1562, Duchets 1570, Weltkarte Honters 1561, Globus von Prätorius in Nürnberg 1566, Cimerlinos Ausgabe der Karte Finés von 1536 aus dem Jahre 1566.

1527 (?). Carta nautica.

Eine Weltkarte auf Papier in der Laurenziana zu Florenz. Verf. unbekannt. Vgl. Studi II, 114.

Nur die Ostküste Amerikas ist von Labrador bis zum Feuerlande gezeichnet. Die Inschriften sind spanisch und lateinisch. Das Schiff Victoria von Magalhães' Expedition, das eingezeichnet ist, trägt die Inschrift: *Haec ratis e quinque est totumque circuit orbem.*

Das Blatt trägt das Wappen der Salviati; Kardinal Giovanni Salviati war Nuntius in Spanien von 1525—1530.

Die Darstellung steht zwischen der Turiner Karte und der Weimaraner von 1527. Es sind wenig neue Namen vorhanden. Zu dem Namen *La Garcia* bemerkt Harrisse (Disc. of N. Am., p. 540), derselbe sei zuerst den Bermudas gegeben; allein dieser Name findet sich schon auf Martyrs Karte von 1511. Harrisse verlegt vorliegende Seekarte ins Jahr 1525.

1527. Vesconte di Maggiolo.

„Vesconte de Maiollo composuy hanc cartam in Janna anno dny. 15(2)7, die XX decembris“. Pergamentkarte in der Ambrosiana zu Mailand auf 2 Blättern 170:60 cm, enthält Angaben aus der Entdeckungsfahrt Giov. Verrazzanos.

Kopien: Getreue Nachbildung nur bei Harrisse, Disc. of N. Am., pl. X. — Winsor, Hist. of Am. II, 219, gibt eine Skizze von ganz Amerika, IV, 39 die Küste von Labrador bis Florida. — Desimoni, Giov. Verrazzano (atti della soc. Ligure di storia patria XV, 355) gibt eine Zeichnung der nordamerikanischen Küste. Ebenso K. Kretschmer, Taf. XIV, 7 u. 8, 341. — Harrisse, Disc. of N. Am., 553, 217. — Studi II, 113 no. 153.

Die Beziehungen zur Entdeckungsfahrt Verrazzanos finden sich in manchen italienischen und französischen Benennungen: Valle unbrosa (Vallombrosa bei Florenz, dem Geburtsort des Entdeckers), Anguileme, Longavilla, Normanvilla, Diepa, San Germano, Insel Luisa. Statt Nova Gallia heißt das Land Francesca. Auch der von Verrazzano vermeintlich entdeckte Isthmus an der Ostküste Nordamerikas ist eingetragen. Yukatan ist noch als Insel dargestellt und hat daneben die Inschrift: *streto dubitoso*. Harrisse (Cabot p. 177) bemerkt zu dieser Karte: „Les contours, particulièrement aux abords du ‚C. de bertoní‘ et du ‚rio de S. Paulo‘ (aestuaire méridional du golfe St. Laurent?) montrent ce que les cartographes italiens les plus habiles connaissaient de ces parages en 1527, même après les découvertes présumées de Verrazzano pour le compte de la France“.

In seinem neuesten Werke, Disc. of N. Am., p. 554, äußert sich Harrisse dahin: „Our theory is that the present map of Maggiolo represents closely a prototype, still unknown, on which were inscribed Verrazzanian data, shortly after the return of the Florentine navigator“.

Dafs die Reise Verrazzanos stattgefunden hat, wird jetzt allgemein zugestanden.

Die Ostküste Amerikas läuft von Lavoratore (Grönland) bis zur „*Streito donde pasao Magaianes*“. Die Zeichnung der atlantischen Seite und die Breiten weichen von den gleichzeitigen Arbeiten der Kartographen in Sevilla ab.

Besonders merkwürdig ist die Westküste (hypothetisch), die von der zweifelhaften Straße in Mittelamerika fast parallel dem Bogen des Mexikanischen Golfs um Mexiko wieder nach Nordosten läuft und sich in der Gegend von C. Hatteras oder südlicher mit der atlantischen Seite fast vereinigt, so dafs hier nahezu eine zweite Durchfahrt geboten ist. Hier bleibt nur eine Landenge bestehen. In dem gegen Norden wieder breiter werdenden Lande, das Francesca heißt, haben wir auf der Ostküste eine reiche neue Nomenklatur, die offenbar, wenn auch italianisiert, französisch ist; z. B.: Diepa, Anaflor (Honfleur), S. Ludovico

(St. Louis), Anguileme (Angoulême), Luisa (Louise), *Le figole de navarin* (Les fils de la Navarre) u. a. Am Lande das Lilienbanner Frankreichs. Diese Namen erscheinen auch auf G. Verrazzanos Karte von 1529 wieder.

Maggiolos Darstellung der Entdeckungen Verrazzanos ist auf der Sloane-Karte, der ersten Karte Seb. Münsters und der ovalen Weltkarte von Bapt. Agnese wiederzufinden. (Harrisse, *Disc. of N. Am.*, p. 543.)

1527. Robert Thorne aus Bristol

war in Sevilla als Kaufmann ansässig. Die Karte wurde in Sevilla entworfen und nach England geschickt, wo sie von Hakluyt in den „*Divers Voyages*“ 1582 veröffentlicht wurde.

Kopien: 1. Ausgabe der *Divers Voyages* durch die Hakluyt Soc. London 1852, Vol. VII. — 2. Nordenskiöld, *Atlas*, Taf. XLIIa. — 3. Winsor, *Hist. of Amer.* III, 17. — 4. Brown, *Cap Breton*, p. 22. — K. Kretschmer, Taf. XIV, 2.

Südamerika nähert sich durch vollere Form seiner wahren Gestalt; die mittelamerikanische Landenge ist recht wohl erkennbar, Yukatan eine Halbinsel. Von Nordamerika sind nur die östlichen Küsten vorhanden und nicht erkennbar, die Küste Ostasiens nach Toscanelli, aber Zipangu fehlt. Die wenigen Inschriften sind lateinisch; zwischen 40° und 60° N. Br. steht: *Terra hec ab Anglis primum inventa*. Thorne verlegt Cabots Entdeckung nicht nach C. Breton, sondern nach Labrador. Florida wird hier zuerst *Terra Florida* genannt.

Vgl. Harrisse, Cabot, p. 516. — Kohl, *Hist. of Disc. of Maine*, p. 299. — Harrisse, *Disc. of N. Am.*, p. 555.

1527. Ferd. Colon oder Nuño Garcia de Torenó.

Weltkarte auf Pergament, 216:86 cm, in der Großherzogl. Bibliothek zu Weimar.

Da diese Karte den Namen des Verfassers nicht nennt, so herrscht über denselben noch Meinungsverschiedenheit. J. G. Kohl, der sie nach dem Original in Weimar in seinen „*Generalkarten*“ in getreuer Nachbildung herausgab, erklärte sich für Ferd. Columbus, den Sohn des Admirals. Nachdem diese Ansicht lange gegolten, ist neuerdings Harrisse für Nuño Garcia eingetreten; allein für erwiesen kann diese Annahme noch nicht gelten. Der Titel lautet: *Carta universal, en que se contiene todo que del mundo se a descubierto fasta aora, hixola un cosmographo de Su Magestad. Anno MDXXVII en Sevilla.*

Nach Kohl (S. 20) bekam Ferd. Colon 1526 vom Kaiser Karl den Auftrag, eine Weltkarte zu entwerfen, auf der die Inseln und Kontinente, die bis dahin entdeckt waren (que asta entonces estaban descubiertas, Herrera III, X, XI), in ihrer richtigen Lage eingetragen wären. Dieser Auftrag klingt in dem Titel der vorliegenden Karte wieder. (Aber auch Riberos Karte hat fast denselben Titel.) Die Italianismen der Karte weisen auch darauf hin, daß ein Italiener dabei thätig gewesen ist. Ferd. Colon sah sich stets als Italiener an, sprach auf Reisen nur italienisch, verkehrte mit Italienern und lebte meist in Sevilla.

Harrisse (Cabot, p. 172) bemerkt dagegen, daß nach dem Titel ein Kosmograph des Königs die Karte entworfen habe, daß aber Ferd. Colon diesen Titel nicht führte.

Im Jahre 1527 gab es in Spanien folgende Kosmographen Sr. Maj.: 1. Diego Ribeiro, Verf. der Generalkarte von 1529 (a. d.); 2. Simon de Alcazaba de Sotomayor, ein Portugiese; 3. Giov. Vespucci; 4. Miguel Garcia; 5. Sancho de Salaya (Celaya); 6. Pedro Ruiz de Villegas; 7. Juan Rodriguez de Matra; 8. Vasco Gallego; 9. u. 10. Jorge e Pedro Reinel; 11. Nuño Garcia. Nur von den zuletzt genannten Kosmographen sind Karten erhalten, von den andern nicht. Der Typus der spanischen Karten befestigte sich um 1522 und blieb sich von da ziemlich gleich. Die Karte Garcias, in Martyr 1534, ist der anonymen Karte von 1527 außerordentlich ähnlich. Nun werden aber die von Kohl

erwähnten Italianismen von Harrisse nicht berührt; auch bleibt die ganz auffällige Behandlung des Guanaxo-Archipels bei Honduras in bezug auf einen Ausspruch in den „Historie“ (vgl. Kohl 21) unerklärt.

Es ist die erste erhaltene, offizielle spanische Seekarte.

Litt. v. Lindenau in Zachs monatl. Korrespondenz 1810, S. 342. — Kohl, Die beiden ältesten Generalkarten von Amerika (Weimar 1860). — Harrisse, Cabot, p. 172. — Derselbe, Disc. of N. Am., p. 557. — Atti Soc. Lig. rendic. 1867, p. 176. — Desimoni, Giorn. Lig. II, 55.

Die zusammenhängende Küstenlinie läuft von Neufundland bis zum Feuerlande. Zum erstenmal erscheint die ganze Neue Welt als eine Landmasse, die im Norden Mundus novus, im Süden Brasil genannt wird (vgl. die Karte von Thorne).

Auch ist die Demarkationslinie eingetragen und zum erstenmal die Magalhãesstraße richtig eingezeichnet. Überall sind die Hauptpunkte nach der Polhöhe gut festgelegt; auch der nördliche Wendekreis verläuft hier richtig zwischen Cuba und Florida, aber Yukatan ist noch als Insel behandelt.

Die Südküste von Neufundland, vielleicht nach Gomez (?), ist recht gut, doch fehlen weiterhin die Entdeckungen Verrazzanos. An der Küste Mexikos sind die Namen unrichtig gestellt.

An der Westküste Mittelamerikas gibt diese Karte zuerst die Benennungen vom Golf von S. Miguel bis zu den Sierras de Gil Gonzales d'Avila.

1528. Benedetto Bordone, Isolario (Venedig).

Weltkarte, Karte der Antillen, Amerika mit phantastischen Umrissen. Ostasien, zum Teil nach Toscanelli.

Kopien: Lelewel, pl. 46, u. II, p. 114. — Nordenskiöld, Taf. XXXIX^b (Weltkarte); vgl. Harrisse, Disc. of N. Am., p. 559. — K. Kretschmer, Taf. XIV, 4 Umriss Amerikas.

1528. Pietro Coppo.

Weltkarte 13:7 cm, in dem seltenen Werke: Portolano delli lochi maritimi ed isole de mar (Venedig 1528). Ein Exemplar im Brit. Museum, Greenville Collect. no. 7292.

Amerika ist in eine Reihe wunderlicher Inseln aufgelöst: Isola verde, Cuba, Jamaïqua, Spagnola, mondo nuovo; rohe Zeichnung.

Kopien: Nordenskiöld, Atlas, No. 65, p. 103. — Winsor, Hist. of Am. II, 127. — K. Kretschmer, Taf. XIV, 5. — Vgl. Harrisse, Disc. of N. Am., p. 561.

1528. Der vergoldete Globus.

Nationalbibl. zu Paris.

Nova et integra universi orbes descriptio. Inschriften lateinisch.

Kopie der westlichen Hemisphäre bei Harrisse, Disc. of N. Am., pl. XXI u. p. 562.

Das jüngste Datum liegt in der Inschrift „Terra francesca, nuper lustrata“, wonach der Globus um 1528 von Harrisse angesetzt ist.

Die Entdeckungen Pizarros sind noch nicht eingetragen, daher muß die Abfassung vor 1530 liegen. Der durch die Canarischen Inseln gelegte Nullmeridian weist auf Ptolemäuskarten hin, wie auch die durchweg lateinischen Inschriften, Citate aus den Dekaden Martys und aus Cortes' Briefen auf Deutschland als Ursprungsland zu weisen scheinen. Auch die Beziehungen zu den Karten Waldseemüllers und Schöners führen darauf hin, ferner die drei deutschen Namen: Baden, Braunschweig und Wien. Wenn Schöner, wie es wahrscheinlich ist, um diese Zeit schon der Ansicht beigetreten war, daß Amerika mit Asien zusammenhänge, so könnte der Globus von oder nach ihm gemacht sein, denn auch hier erscheint Amerika als der östlichste Teil von Asien.

Harrisse spricht es geradezu aus, der verlorengegangene Globus Schöners von 1523 müsse als das Vorbild für den vergoldeten Globus angesehen werden (p. 565). Die Nomenklatur ist hier und bei Schöner 1533 identisch.

Der Globus von Nancy, der Holzglobus von Paris, die einfachherzförmige Karte O. Finés und der Globus Schöners von 1533 gehören mit dem vergoldeten Globus zu einer Familie, wie die zahlreichen gleichen Namen (Harrisse 566 u. 567) beweisen.

1529. Diego Ribero, Portugiese, seit 1519 in span. Diensten († 16. Aug. 1533).

Weltkarte in Weimar, 6' 9" rhein. breit, 2' 9" hoch. „Carta universal en que se contiene todo lo que del mundo se ha descubierto fasta agora: Hizola Diego Ribero Cosmographo de Su Majestad Año de 1529. La qual se divide en dos partes conforme a la capitulació que hizieron los catholicos Reyes de españa y el Rey don Juan de Portugal en la villa de Tordesillas: Año de 1494.

Über sein Leben vgl. Kunstmann, S. 144.

Litt. und Kopien: Sprengel, Über Riberos älteste Weltkarte, gez. v. Gümefeld, Weimar 1795, im Anhang zu Muñoz, Geschichte der Neuen Welt, Teil I. — Bull. soc. géogr. Paris 1847, p. 309. — Santarem, Atlas. — Ruge, Geschichte des Zeitalters der Entdeckungen, S. 438. — Kohl, Die beiden ältesten Generalkarten, mit getreuer Nachbildung Amerikas. — Derselbe, Hist. of Disc. of Maine. Karte XVI (Nordamerika), vgl. p. 299–307. — Harrisse, Cabot, p. 178. — K. Kretschmer, Taf. XV.

Ribero gilt als einer der ausgezeichnetsten Kosmographen seiner Zeit. Loaysa hatte Riberos Karten an Bord. Seine Darstellung stimmt meist mit der Weltkarte von 1527 überein. Er nennt zuerst die Flüsse Parana, Paraguay und Uruguay. In Westamerika sind die Namen von Panama bis zu den Sierras de Gil Gonzales d'Avila mit der Generalkarte von 1527 gleichlautend. Nach Süden erstreckt sich die Kenntnis bis Peru; auch dieser Name ist eingetragen.

Die eingehendste Erklärung hat die Karte durch Kohl erfahren.

Vgl. auch Harrisse, Disc. of N. Am., p. 569–573.

1529. Diego Ribero.

Weltkarte im Museum der Propaganda in Rom, ähnlich der Weimariischen Weltkarte, aber in größerem Maßstabe.

Vgl. Hamys Memoir über diese Karte im Bull. géogr. hist. et descript. 1887, p. 57.

Oviedo II, 149 (ed. Madrid 1852) erwähnt la carta del cosmographo Diego Rivero und sagt: „Este en sus patrones é cartas pone desde el rio de los Bacallao al Norueste quarenta leguas hasta un ancon, desde el qual torna la costa veynte é cinco leguas al Oriente hasta un cabo de la Tierra firme, que se llama Cabo de Março“. Weiterhin wird die Küste bis Labrador geschildert; dann heißt es: „É lo postrero dessa pintura de la carta de Diego Rivero está en sessenta grados desta parte de la linea equinoçial“.

Auf der Karte selbst lautet die Inschrift in Labrador: Tierra del Labrador la qual descubrieron los Ingleses de la villa de Bristol, mit Beziehung auf Cabots Reise 1497.

Die auf Ayllon bezügliche Legende ist ausführlicher und giebt zuerst Nachricht von dem unglücklichen Ausgange seiner letzten Unternehmung.

Vgl. Harrisse, Disc. of N. Am., p. 573.

1529. Girolamo Verrazzano aus Florenz, Bruder des Entdeckers.

Planisphäre in der Bibliothek der Propaganda in Rom. 260 cm lang, 130 cm breit. „Hieronemus Deverrazano faciebat“. Photographie von Alessandri in Rom.

Litt.: Thomas, Les papes géographes, p. 112. — Derselbe, Nouv. Annales 1852, gab die erste Beschreibung. — Brevoort, Verrazzano the navigator, New York 1874, m. verkleinerter Photolithographie — J. Carson Brevoort im Journal of the Amer. geogr. Soc. of New York 1873, IV. — H. C. Murphy, The voyage of Verrazano, New York 1875, p. 91, mit Kopie der Karte. — de Costa, Verrazzano the navigator, N. Y. 1881. — Desimoni im Arch. storico XXVI (1877). — Ders., Intorno al Verrazzano (Gemma 1881) et appendice terza. — Harrisse, Disc. of N. Am., 575–577, u. 219–221; die Literatur bei Harrisse, Cabot 279–281, und 1524 Verrazzano in der Übersicht der Entdeckungsfahrten.

Nach Harrisse (p. 180) gehört die Karte ins Jahr 1529 und bringt die Entdeckungen des Bruders Giov. Verrazzano zur Darstellung. Darauf weist die Inschrift in Nordamerika:

„Verrazana sive nova Gallia quale discopri 5 anni fa Giovanni da Verrazano fiorentino per ordine et comandamento del cristianissimo Re di Francia.“

Die Umrisse von Amerika, aber ohne Inschriften, gibt Winsor, Hist. of Am. IV, 26. Der Globus Ulpianus, 1542, zeigt Abhängigkeit von der Darstellung Verrazzanos.

Unter 40—41° N. Br. ist an der Küste ein Isthmus (vgl. Maggiolo 1527) dargestellt, hinter dem ein Mare occidentale liegt, mit der Bemerkung, man könne dieses Meer jenseit der 6 Meilen breiten Landenge sehen. Auch hier spukt die postulierte Meerenge, die Columbus auf seiner vierten Reise in Mittelamerika zuerst suchte. Der Isthmus, wie bei Verrazzano, findet sich noch bei Agnese, 1536, und Seb. Münster, 1540, wieder. Eine genaue Untersuchung der Karte bei Desimoni l. o., p. 165. Die Namen sind konfus und wiederholen sich sogar reihenweise.

Für Nordamerika ist die Karte ähnlich der Darstellung Maggiolos von 1527. Auf beiden finden sich zahlreiche italianisierte französische Namen.

Verrazzanos Karte ist die erste italienische Karte, die den Namen „Tierra America“ führt.

1529. Baptista Agnese.

Pergament-Atlas im Brit. Museum.

Vgl. Studi II, 116, Nr. 150.

Weitere Mitteilungen sind nicht gegeben.

1530. Peter Apianus.

Universalior cogniti orbis tabula (Ingolstadt) 1530. 55 : 39 cm.

Nordenaskiöld, Atlas, p. 104^b gibt von dem einzigen bekannten Exemplar eine kurze Mitteilung.

1530. Sloane-Karte.

In einem Manuskript des Brit. Mus. (Sloane-Manuskript 117) de principiis astronomicae, 2 Bl. je 21 : 29 cm. Die Darstellung ist nach Harrisse (Disc. of N. Am., p. 579) der Schönerschen von 1523 verwandt. Die Inschrift „terra franciscana nuper lustrata“ weist auf die Zeit der Entstehung hin. Die Karte hat nur wenig Inschriften.

J. Winsor, Kohl Collection no. 43, 44.

1530. Karte von Nordamerika,

in Riberos Art, Teil einer Planisphäre, 221 : 75 cm, i. d. Bibliothek zu Wolfenbüttel.

Die Nomenklatur ist portugiesisch, aber spanisch beeinflusst.

Inschriften: „Tiera de Estevan Gomez. Lo que descubrio el anno de 1525 por mandado de su magestad dar pá (sio) y buone (sic) muchos (sic) abundancia.“

„Tiera nueva de los bacallaos: Esta tiera fue scubierta (sic) por los portogesos no ay en ella cosa de provecho mas q los bacallaos q es pescado y muy bueno. Aqui se perdieró los corte Reales.“

„Tiera del Labrador. La qual fue descubierta por los Yngleses de la uila de Bristol e por q el q dio lauiso della era labrador de las illas de los acares (Azoren) le quido este nombre“ (sc. Labrador).

Das Land wurde durch Engländer aus Bristol entdeckt, und weil derjenige, welcher es zuerst meldete, ein Arbeiter von den Azoren war, nannte man es Arbeiterland. Das ist die erste Deutung des Namens Labrador; gewöhnlich schreibt man den Namen dem Gaspar Cortereal, 1501, zu, weil Pasqualigo schrieb, in jenem Lande seien die Eingebornen vorzüglich zu Sklavenarbeit zu verwenden.

Merkwürdig ist noch die Zeichnung des Lorenzgolfs, der bis dahin auf keiner spanischen Karte vorkommt.

Harrisse (Cabot, p. 185) verlegte sie ins Jahr 1534, neuerdings dagegen in seiner Disc. of N. Am., p. 581, ins Jahr 1530.

1530. Diego Homem.

Im Brit. Museum unter Lord Lumbeys († 1609) Karten.

Die Westküste Amerikas ist nicht angedeutet, die Ostküste wie bei Ribero. Die einzigen Namen sind: „Timistitan“ und „Mundus novus“ in Südamerika.

J. Winsor, Kohl Collection no. 45.

1531. Oronce Finé.

Doppelherzförmige Weltkarte, siehe 1536. *Nova et integra universi orbis descriptio*. Die Karte ist in der Bemerkung „ad lectorem“ vom Juli 1531 datiert. Der Inhalt der Karte ist von Schöner (?) (1523) und Franciscus Monachus entlehnt, das Verdienst Finés liegt nur in der Projektion. Das Hauptmerkmal ist die enge Verbindung Amerikas mit Asien.

Harrisse, *Disc. of N. Am.*, p. 582—585. Faksimile in *Nordenskiölde Atlas*, Taf. XLI. Dieselbe Karte erschien in *Nov. Orbis v. Grynaeus* (Paris 1536) und in *Pomponius Mela* 1540.

1532. Bartolomeo Olives.

Karten von Mittel- und Südamerika in einem Atlas auf der Universitäts-Bibliothek zu Pisa, Bl. 7, 8, 9 und 10. Jedes Bl. 29:37 cm. Auf dem einen die Inschrift: 1532 in Messina nel Castello del Salvador, Bartolomeo Olives, Maiorchino.

Auf den Karten sind spätere Notizen eingetragen, vermutlich von dem Kartographen selbst, wodurch das Alter der Darstellung alteriert wird.

Vgl. Harrisse, *Disc. of N. Am.*, p. 585. — *Studi* II, no. 414.

1532. Sebastian Münster.

(Typus) *cosmographiae universalis* in *Grynaeus, Novus Orbis* (Basel 1532) wieder abgedruckt in den Ausgaben 1537 und 1555.

Kopien: *Nordenskiölde Atlas*, Taf. XLII. — Winsor, *Hist. of Am.* II, 121. — Stevens, *Notes*, pl. IV, no. 4. — K. Kretschmer, Taf. XIV, 3.

Ostasien nach Toscanelli; hinter der schmalen, von Nord nach Süd gestreckten Insel von Nordamerika, Terra de Cuba genannt, liegt in alter Weise Zipangri. Südamerika trägt die Namen Asia und America terra nova, seine Gestalt ist phantastisch. Zwischen beiden Erdteilen die mittelamerikanische Enge. Magalhães' Entdeckungen fehlen noch. Münster arbeitete nach veralteten Vorlagen.

Dasselbe Blatt wurde mit wenig Änderungen in den Ausgaben von 1537 und 1555 wiederholt, doch ist in der letzten Ausgabe der Name Asia in Südamerika weggelassen.

Harrisse, *Disc. of N. Am.*, p. 587.

1532. Oviedo.

Die Mündungen des Orinoco (Huyapari) nach der Erforschung von Diego de Ordaz, Alonso de Herrera und Geronimo Dortal (d'Ortal) im Jahre 1532.

In der Madrider Ausgabe von Oviedos *Hist. general*, vol. II, p. 216—223. — Harrisse, *Disc. of N. Am.*, p. 588.

1532. Jacob Ziegler.

Eine Karte vom Norden Europas enthält außer Skandinavien Grönland und Terra Bacallao, mit glatt verlaufender Küste, im Norden mit Skandinavien zusammenhängend.

Nordenskiölde Atlas, no. 31, p. 57.

1532. Die Laguna de Maracaybo.

Eine Spezialkarte aus der Zeit des Ambrosius Alfinger, die von der Darstellung Alonso de Chaves' abweicht.

Kopie in der Madrider Ausgabe von Oviedos *Hist. general*, vol. II, p. 270—284. — Harrisse, *Disc. of N. Am.*, p. 592.

1533 (?). Jacques de Vaulx, pilote pour le roi.

Nach Santarem (Atlas IV, pl. 64) soll die Karte aus dem Jahre 1533 sein; allein die Karte muß um etwa 50 Jahre später angesetzt werden, wie daraus hervorgeht, daß die Nationalbibliothek zu Paris zwei autographische Blätter von Vaulx (Fonds français, 150 und 9175) besitzt, mit den Inschriften: „en la ville française de Grace (Le Havre) l'an MDLXXXIII und MDLXXXIV“.

Harrisse, Cabot, p. 205.

1533. Joh. Schöner.

Globus in der Militärbibliothek zu Weimar. 26 cm Durchmesser. Dazu gehört der Kommentar: Joannis Schoneri Carolostadii Opusculum geographicum, datiert ex urbe Norica Id. Novembris Anno XXXIII.

Eine Kopie der südlichen Hemisphäre gibt Wieser, Magalhãesstraße Taf. V. Vgl. dazu im Text S. 76.

Kopie der westlichen Hemisphäre in Harrisse, Disc. of N. Am., pl. XVII. Dazu p. 592–594.

Die Darstellung ist ähnlich wie bei Oronce Finés Herzkarte von 1531; aber Finé hat wohl nach Schöners Karte von 1523 gearbeitet, wie er sich auch sonst auf den Nürnberger Gelehrten stützt.

Auf dem Globus von 1533 bildet Mexiko einen Teil Chinas und Kattigara liegt an der Westküste Südamerikas.

1534. Globus in Weimar

(vgl. Santarem im Bulletin soc. géogr. Paris, VII, 322) ist Schöners Globus von 1533. Am Gestell die Jahreszahl 1534.

Nach dem Faksimile von J. Harris befindet sich ein Exemplar im Brit. Museum (Katalog I, 79, Nr. 69810 [17]).

Andres Faksimile bei Nordenskiöld, Nr. 67, p. 107, und in Stevens, Notes; Winsor, Hist. of Am. II, 223 (verkleinert).

1534. Karte der Neuen Welt.

Ein Exemplar in der Bibliothek Lenox in New York. Links oben die Legende: MDXXXIII. Del mese di Dicembre. La carta universale della terra ferma et Isole delle Indie occidentali, cio è del mondo nuouo fatta per dichiarazione delli libri delle Indie, cauata da due carte da' nauicare fatte in Sibilia da li piloti della Maiesta Cesarea. Con gratia et privilegio della illustrissima Signoria di Venetia per anni XX.

Danach gehört die Karte zu Ramusios Libri delle Indie und ist nach zwei spanischen Seekarten gestochen, von denen die eine, wie Ramusio angibt, von Nuño Garcia de Torenó gezeichnet, im Besitze Peter Martyrs gewesen war. Da Martyr aber schon am 23. oder 24. September 1526 starb, muß die Karte noch älter sein. Da nun die Küste von Peru bis Tumbes reicht, muß für diesen Teil der Karte die andre Zeichnung von einem unbekannten Piloten gedient haben.

Es ist eine der ersten spanischen Karten mit Längen- und Breitenkreisen.

Nach Kohl (Generalkarten, S. 44) liegt ihr hauptsächlich die Weltkarte von 1527 zu Grunde, von der Harrisse vermutet hat, sie sei auch von Nuño Garcia gezeichnet.

Yukatan ist noch Insel, Südamerika heißt mondo nuovo, Mittel- und Nordamerika Indie occidentali.

Vgl. Harrisse, Cabot, p. 168, id. Disc. of N. Am., p. 596.

1534. Benedetto Bordone.

Isolario (Venedig 1534), Weltkarte mit den Inschriften: Terra de lavoratore und Mondo Novo.

Kohl, Collection, No. 48.

1534. Gaspar Viegas.

Kopie in Kohls Hist. of disc. of Maine. pl. XVIII*, p. 348.

Über die Person des Verfassers ist nichts bekannt.

Bruchstück eines Portulans in der Nationalbibliothek zu Paris (Nr. 18772) mit der Inschrift: Gaspar Viegas, dato 1534. Die Karte enthält nur noch den Lorenzgolf und Neufundland. Alle Namen sind portugiesisch, aber vielfach entstellt, z. B.:

R. das poblas entspricht den malvas andrer Karten, bei Cabot go de maluasi, rollas (tourterele),

dos polvos (poulpes),

R. de Jo Vaas (bei Desliens: terre de Jehan Vaz),

Rio pria (?) vielleicht frio oder praia,

C. do Mazcato (Mascoto = maillet, pilon),

C. do Batal (Batel, canot).

Vgl. Harrisse, Cabot, p. 77, 183

Die zahlreichen neuen Namen gibt Harrisse, Disc. of N. Am., p. 600.

Nach Kohls Darstellung beginnen die Namen in Neufundland im Norden mit „S. feo“, dann C. de Boavista, C. Frey Luis, Ceiria. Neu sind die Namen: Baia das Rojas, Rio Real etc. Am Südostende C. Rasso.

Die Südküste läuft richtig nach WNW, und die große Bucht in der Mitte, die jetzt Fortunebay heisst, ist richtig gezeichnet, ebenso Placentia- und St. Marysbay östlich von Fortune, aber nicht in ihrer richtigen Lage. Westlich von Fortunebay sind keine großen Buchten wie sie wirklich sind gezeichnet. Die dort angegebenen Namen S. Maria, S. Andre, C. da tormenta, C. de piloto, XI virges sind fast alle neu.

Die Südküste endet mit C. Volta (vielleicht = C. Ray), auf der Westseite des Canso-sundes kommen die Namen C. do Bretan, S. Po. (d. h. Petro), S. Paulo, R. da gente vor. Sie gehören aber östlich von Canso. S. Paulo kommt auf alten Karten oft an der Ostküste von C. Breton vor.

Für die Namen am Lorenzgolf: Rio fremoso, Rio da traveça, Rio pria, Costacha etc. weifs Kohl keine Erklärung.

1534. Weltkarte von Joachim Vadianus.

Typus cosmographicus universalis, gedruckt in Zürich (Tiguri) 1534 zum „Epitome“. Elliptische Projektion, ähnlich der Karte Münsters in Novus Orbis, Basel 1532.

Kopie: Nordenakiöld, Atlas, Nr. 66, p. 105. Amerika und Ostasien genau wie bei Münster. — Harrisse, Disc. of N. Am., p. 598.

1534. Hispaniola.

Karte der Insel in der Ausgabe von Martyr und Oviedo von 1534.

Vgl. Stevens, Amer. Bibliographer. — Harrisse, Disc. of N. Am., p. 598.

Nach 1534. Der Katalanische Atlas von Havre.

Stadtbibl. Havre, 13 Karten, 40:23 cm. Sprache vorwiegend katalanisch. Fünf Karten beziehen sich auf Amerika. Zeichnung und Schrift sind roh. Die Region von Neufundland ist nach einer in Spanien kopierten portugiesischen Karte entworfen. Yukatan erscheint als Insel.

Während die Portugiesen anfänglich Yukatan als Halbinsel behandelten, faßten die Spanier das Land als Insel auf. Bernal Diaz beruft sich schon 1517 auf die Ansicht ihres Piloten Anton de Alaminos, daß Yukatan eine Insel sei. Eine Änderung trat erst nach 1529 ein. Im Havre-Atlas ist Yukatan aber noch eine landferne Insel.

Am La Plata die Inschrift Rios de Plata; bei Mercator 1541 „os rius da plata“.

Harrisse, Disc. of N. Am., p. 601.

Zwischen 1534 u. 1540. Seb. Münster.

Karte von Amerika.

Holzschnitt, erschien unter verschiedenen Titeln als Beigabe zum *Novus Orbis*, zum Baseler Ptolemäus (1540, 1545, 1551) und zur *Kosmographie* (1544), als:

1. *Tabula novarum insularum, quas diversis respectibus Occidentales et Indianas vocant*. In der ältesten Ausgabe steht in Südamerika *Nou(us) orbis*, in den spätern *Nouus orbis*, in allen deutschen Ausgaben „Die Nüw Welt“ mit deutschen Lettern.

2. *Novae insulae*. XVII, nova tabula (1540).

3. *Novae insulae*. XXVI, nova tabula (1545).

4. Die neue Inseln so zu vnsern zeiten durch die König von Hispania im großen Ocen gefunden sindt (*Kosmographie* 1544).

Für Nordamerika war, wie der Name *Francisca* und die Zeichnung des Isthmus nördlich von Florida zeigt, die Darstellung Maggiolos und Verrazzanos maßgebend. Nordamerika ist von Asien durch ein schmales Meer vollständig getrennt. Harriase (*Disc. of N. Am.*, p. 609) verlegt die Entstehungszeit der Karte in die Zeit zwischen 1534 und 1540. Kopie in Kretschmer, Taf. XIX, 1.

Um 1534. Giacomo Gastaldi.

Nuova Francia, um 1534; in Ramusio 1556, III, 424.

Kopien: Winsor, *Hist. of Amer.* IV, 91. — Weise, *Disc. of Amer.*, p. 356. — Kohl, *Hist. of disc. of Maine*, p. 227 u. Karte XI.

In der Vorrede (*Discorso*) zum 3. Bande (fol. 5 verso) sagt Ramusio, daß die Karten aus Paris gekommen sind und die Aufnahmen von Nova Francia bringen. Diese Vorrede ist 1553 datiert, aber dem Inhalte nach schon 1539 geschrieben.

Die Karte hat darum ebensowenig wie der *Discorso* eine Andeutung von den Entdeckungen Cartiers, sie gibt uns also den Zustand der Kenntnis jener amerikanischen Küsten etwa um 1534. Kohl vermutet, daß die Karte zum großen Teil auf Aufnahmen des französischen Cpt. Jean Denys (1506) beruhen (p. 229).

Der Name *Narumbega*, von den Eingebornen gegeben, erstreckte sich ursprünglich auf die ganze Ostküste Nordamerikas bis nach Florida, zog sich dann auf Neu-England zurück und beschränkte sich weiter auf Maine und endlich auf das Land am Penobscot. Die Illustrationen im Binnenlande entsprechen den Mitteilungen, die Jean Parmentier, „der große französische Seekapitän“, an Fracastoro, den Verfasser des *Discorso*, machen ließ.

Die *Isola della rena* soll richtiger *della arena*, also Sandinsel bedeuten und heißt gegenwärtig „Sable-Island“, schon früh von portugiesischen und französischen Fischern besucht (Kohl, 232).

Die Karte gleicht keiner andern; zwar fehlt der Lorenzgolf, aber die Belle-Isle-Straße und der Cansosund sind angegeben.

Etwa wo Angoulesme steht, befindet sich der Eingang der Passamaquoddybai.

Nach Harriase, p. 238, ist diese Karte nur eine schlechte Nachbildung von dem Prototyp Harley. Vgl. Kohl, *Hist. of discov. of Maine*, p. 226.

1535. Ptolemäus. (Lyon 1535.)

Drei Karten, neu abgedruckt aus dem Straßburger Globus von 1522.

1. *Orbis Typus universalis juxta Hydrographorum traditionem exactissime depicta* 1522. L. F.

2. *Oceani occidentalis seu Terre nove tabula*.

3. *Tabula moderna Gronlandiae et Russiae*.

1535. Ferd. Cortes.

Karte des Golfes von Kalifornien, Original in dem Indischen Archiv zu Sevilla, enthält die Westküste von Mexiko vom 20. bis 26.° N. Br. und die Südspitze der Halb-

insel Kalifornien. Die Karte bildete die offizielle Beigabe zu dem notariellen Akte der Besitzergreifung am 3. Mai 1535 (nicht 1536). Über die Namen vgl. die chronologische Übersicht der Entdeckungen.

Ein Faksimile erschien in Madrid, davon eine Kopie: in Winsor, Hist. of Amer. II, 442. — Harrisse, Disc. of N. Am., p. 611.

1535. Weltkarte in Reisch, Margarita (Basel).

Typus universalis terrae iuxta modernorum distinctionem et extensionem per regna et provincia.

Kopie der Karte aus der Straßburger Ausgabe von 1515 mit Weglassung der meisten Legenden und Ausmerzung des „Zoana Mela“.

1536. Oronce Finé.

Doppelherzförmige Weltkarte: Nova et integra universi orbis descriptio. O. F. Delph. 1531. ✓

Diese Karte erschien wieder in Novus orbis des Grynaeus (Paris 1536).

1536. Oronce Finé.

Einfachherzförmige Weltkarte: „Recens et integra orbis descriptio. Orontius F. Delph. regis mathematicus faciebat“. 52 : 56 cm. ✓

Ein Exemplar in dem Archiv des Auswärtigen Amtes in Paris.

Photolith. Faksimile in L. Gallois, De Orontio Finaeo, Paris 1890, pl. I.

Daß die Karte aus 1536 stammt, darüber vgl. Gallois, l. c. p. 38 und Harrisse, Disc. of N. Am., p. 616.

Verquickung von Nordamerika mit Asien. Mexiko grenzt im Norden an Mangi, Catay und Tangut. Der Panuco, nördlicher Grenzfluß von Mexiko, kommt aus der Wüste Lop. Yukatan ist eine kleine Insel, östlich davon Zipanga siue Hispaniola. In Südamerika steht mit großen Buchstaben AMERICA. An der unbekannten Westküste nur Cattigora. Peru ist noch nicht erwähnt.

Im Südlände die Landschaften Regio patalis westlich von Südamerika und Brasilia regio östlich von Madagaskar. Im ganzen Gebiet die Inschrift Terra australis nuper inventa sed non plene examinata.

Die Karte wurde 1566 in Italien nachgestochen, s. d.

1535—1540. Turiner-Atlas.

Die Umrisse in Wuttkes Arbeit: Zur Geschichte der Erdkunde, Taf. VII, i. im Jahresber. des Ver. f. Erdkunde zu Dresden 1870.

Vgl. Peschel, Jahresber. des Ver. v. Freunden der Erdkunde zu Leipzig 1871.

1536. Baptista Agnese.

Kgl. Bibl. zu Dresden. — Atlas von 11 Blättern, ohne Namen des Zeichners.

Auf dem ersten Blatte, den Tierkreis vorstellend, steht die Jahreszahl 1536.

Bl. 2. Der Große Ozean von den Molukken bis Amerika.

Bl. 3. Amerika und Afrika.

Den Schluß bildet die Weltkarte, die sich für die Küsten des Mittelmeers und Südasiens ebenso wie für den östlichen Auswuchs von Schottland an die Ptolemäischen Formen hält, während die Spezialkarten nach modernen Vorbildern entworfen sind. Yukatan ist noch Insel. Die Namen an der Ostseite von Nord- und Mittelamerika stimmen mit denen der Weltkarte von 1527 überein, nur sind einige ausgelassen; dagegen sind die portugiesischen Entdeckungen in Brasilien abweichend dargestellt. Da findet sich ein rio de los colmos,

Ruge, Die Entwicklung der Kartographie von Amerika bis 1570.

rio de brazil, rio de las gostias (statt ostias). Dagegen stimmt die Darstellung vom La Plata südwärts wieder genau mit der Weltkarte von 1527.

Kohl (Hist. of disc. of Maine) hat in no. XIV des Atlas aus dem Dredener Portulan Agneses Nordamerika kopiert; vgl. p. 293.

1536 (?). Baptista Agnese.

Atlas von 12 Bl. im Brit. Museum, Addit. msc. no. 19927.

Baptista Agnessius ianuensis fecit Venetijs 1536 die 13 octobr.

Vgl. Winsor, Hist. of Amer. IV, p. 40. — Desimoni, Giorn. Lig. II, 56.

Die Zeitbestimmung der nicht datierten Karten ist annähernd aus der Darstellung der Westküste Mexikos und Kaliforniens zu gewinnen.

Harrisse (Cabot, p. 193) spricht sich über Agnese dahin aus, daß die Umrisse Amerikas ebenso wie die ganze Nomenklatur spanischen Karten (aus Sevilla) entnommen sind, aber weder mit der Generalkarte von 1527, noch mit der von 1529 stimmen.

1536. Baptista Agnese.

Atlas in der Bodleian Bibl. zu Oxford, ohne Namen, 1536 die martii.

Vgl. Kohl, Hist. of discovery of Maine, Taf. XV^e. u. p. 298. — Harrisse, Cabot, p. 189, note 1.

1536. Baptista Agnese.

Weltkarte im Brit. Museum, no. 5463 der Manusk.-Sammlung.

„Baptista Agnese Venetijs.“

Amerika hat ganz die Konfiguration wie auf den Generalkarten von 1527 u. 1529.

Kohl, Generalkarten, S. 46.

1536. Baptista Agnese.

In der Bibl. Barberiniana zu Rom.

„1536, Principium Martii aequinoctialis.“ Drei Portulane.

Vgl. Harrisse, Disc. of N. Am., p. 625.

1536. Baptista Agnese.

Atlas in der Sammlung Sir Thomas Phillips zu Cheltenham.

Harrisse, Disc. of N. Am., p. 629.

1536. Baptista Agnese.

Atlas von 9 Karten, datiert „Aequinoctialis 1536“ in der Trivulziana zu Mailand. Cod. 2160.

Harrisse, Disc. of N. Am., p. 629.

1536. B. Agnese.

Atlas von 12 Karten, früher in Padua, jetzt in Venedig im Museo Correr, datiert vom 10. März 1536, aber ohne Namen.

Vgl. Studi II, p. 120 no. 167 und p. 119 no. 166; sind ein und derselbe Atlas.

Carta III. L'oceano pacifico e le coste dell America. PERV PROV'TIA.

Carta IV. Terra de Bacalaos, Scotia e Tartaria (Karte des Atlantischen Ozeans), terra che descobrio steven comes y de zuá steues. Lo iucatan ist noch Insel.

Carta XII. Die Weltkarte mit der Legende: „vizio per andare a le Moluche e al tornar da le Moluche“. Eine Goldlinie bezeichnet el vizio de peru, eine schwarzpunktirte Linie el vizio de fransa (Canada).

Dieser hineingemalte Molukkenweg findet sich auf allen Weltkarten Agneses und verrät seine Arbeit, auch wenn er sich nicht nennt.

1536. Alonso de Chaves, von 1528 bis 1584 Kgl. Kosmograph in Spanien.

Weltkarte, verschollen.

Vgl. HARRISSE, Cabots 70.

Oviedo beschreibt (Hist. gen., Madrid 1852, lib. XXI, cp. 9—11; tom. II, p. 148) die Karte für die Küste von Nordamerika und macht auf die Abweichungen und Irrtümer der Karte aufmerksam.

Kohl (Hist. of disc. of Maine, p. 307) gibt dazu folgende Erläuterungen:

Im Jahre 1536 befahl Kaiser Karl, daß die Seekarten von kundigen Männern geprüft und verbessert werden sollten, und Alonso de Chaves bekam den Auftrag, eine Weltkarte nach den neuesten Entdeckungen zu entwerfen (Oviedo, tom. I, p. 150, Madrid 1852).

Oviedo beschrieb die Karte 1537, fast alle seine Entfernungsangaben sind zu groß. Er beginnt an der

Punta de la Florida (Cap Florida), als in
25° 40' N.

Cabo de Cañaveral = Ponce C. de Corrientes,
ca 28° N.

Cabo de S. Cruz = etwas nördlich vom
St. Johnsriver.

Mar baxa = Altamaha.

Rio seco = Savannah (?).

C. Trafalgar = C. Hatteras.

Rio de St. Elena = St. Helena-Sund.

Rio Jordan = Port Royal.

C. St. Roman (32½° N.) = C. S. Romain.

Rio de las Canoas = Pedee oder Santee.
Rio del Principe, } wahrseheinl. Kanäle des
Rio de Trafalgar, } Pamlicosundes.

Bahia de Sa Maria (36° 40' N.) = Chesapeake-
bai, entdeckt von Ayllon 1526 und zuerst
auf der Karte eingetragen 1529 von Ribero.

Rio del espiritu Santo = James River.

Cabo de St. Johan = Insel oder Vorgebirge
auf der Halbinsel Delaware.

Cabo de las Arenas = C. Hinlopen.

Cabo de Santiago = ?

Bahia de San Cristobal = ?

Rio de San Antonio = Hudsonstrom, der
Name wohl von Gomez gegeben.

Rio de buena madre = Eingang in den
Longislandend.

Bahia de St. Joh. Baptista = Narragansetbai.

Bahia de St. Johan = Montania.

Cabo de Arcifes = C. Cod.

Cabo de Sa Maria = C. Ann.

Cabo de muchas islas = C. Elizabeth (?)
43° 33' N.

Rio de las Gamas = Penobscot.

Ya de S. Johan = Cape Breton (der nörd-
lichste Punkt auf Chaves' Karte).

1536. Alonso de Chaves.

Die Namen der Karte vom Golf von Mexiko an südwärts hat HARRISSE (Disc. of N. Am., p. 633—635) zusammengestellt.

1536. Golf von Mexiko.

Manusk.-Karte im Brit. Museum, teils spanisch, teils französisch; also wohl französische Kopie eines spanischen Originals.

Die Umrissse gibt Winsor, Hist. of Amer. II, 225.

Ist das dieselbe Karte, die von HARRISSE (Cabots, p. 197) in 1546 verlegt wird, weil Spuren der Entdeckungen Cartiers von 1541 (Fluß Saguenay) darauf eingetragen sind? Brit. Mus. Msc. no. 5413.

1535. Der Pariser Holzglobus.

20 cm Durchmesser. (Nationalbibl.) Die Namen sind kursiv geschrieben, offenbar nicht von einem Kartographen von Fach.

Die Verbindung von Asien und Amerika im Sinne Seböners verlegt nicht bloß Chatai in den Norden Mexikos, sondern belegt auch den Golf von Mexiko mit dem Namen Mare Cathaium. Die Inschriften in Nordamerika greifen bis auf Canerio zurück. Jenseits des

fretum magellanicum steht im Südlande die Inschrift: Terra australis recenter inventa anno 1499.

Eine Nachbildung der amerikanischen Hemisphäre gibt Harrisse, *Disc. of N. Am.*, pl. XXII; vgl. p. 613.

1535—1540. Globus von Nanoy.

Deutsche Arbeit, im Lothringer Museum zu Nancy.

Kopie in Winsor. *Hist. of Amer.* II, 433. — Vgl. *Compte rendu du congrès des Améric.* 1877, p. 359. *Mémoires de la Société Royale de Nancy* 1836, p. LXI u. 97.

Asien hängt mit Nordamerika auf breiter Fläche zusammen, wie auf dem Pariser Holzglobus.

Harrisse, *Disc. of N. Am.*, p. 614.

1538. Gerb. Mercator.

Herzförmige Weltkarte. Das einzige bekannte Exemplar im Besitz von J. Carson Brevoort in Brooklyn.

Vgl. *Bull. Amer. geogr. Soc.* 1878, p. 196. — Nordenskiöld, *Atlas*, Taf. XLIII. — Derselbe, *Atlas* no. 54, p. 91; das findet sich eine Kopie nach dem römischen Druck der Karte von 1560.

In der Auffassung von Amerika sehr stark von O. Finé abweichend. Amerika ist ein selbständiger Erdteil, der sowohl gegen Westen als gegen Norden durch Moore und Meeresstraßen von Asien geschieden ist.

Die Westküste Südamerikas ist noch nicht jenseits des 10.° S. Br. bekannt. In beiden Landmassen, in Nord- und Südamerika, steht Americae.

1540 (?). Weltkarte in Globus-Calotton.

Nürnberger Arbeit; Nürnberg ist als einzige Stadt in Europa angegeben; ferner Mecha, Jerosolima, Alexandria, Mosalia (Mossul), Goa und Calcut.

Die Sundawelt ist bis Silolo bekannt. Die Fahrt Magalhães' und die Demarkationslinie sind eingetragen; aber die Molukken liegen auf spanischer Erdhälfte. Die Schreibweise Antigie insule weist vielleicht auf italienische Vorbilder hin.

Über Nordamerika hin führt eine Wasserstraße, die sich ebenso 1552 bei Domongenet wiederholt. Dann folgen Bacalao, la Florida, Senotormus (?) (Mexiko) und Darienus. In Südamerika steht statt „America“ terra firma non minus continens, Brisilii terra, C. S. Crucis, C. S. Marie.

Diese Weltkarte ist eins der ersten Beispiele des fünften Typus (s. o. S. 12).

Wieser machte auf diesen Globus zuerst in den Sitz.-B. d. K. Ak. d. W. (phil.-hist. Kl., CXVII, Wien 1888) aufmerksam, irrte aber darin, daß er ihn für den verschollenen Globus Schöners von 1523 erklärte. Die Ostküste Nordamerikas von Florida bis Neufundland bildet eine zusammenhängende Küstenlinie, wie sie 1523 noch nicht bekannt war.

Nordenskiöld, *Faksimile-Atlas*, p. 80 u. Taf. XL. — Harrisse, *Disc. of N. Am.*, p. 520. — H. Stevens of Vermont, Joh. Schöner, a reproduction of his globe of 1523, edited by C. H. Coote (London 1888). — K. Kretschmer, Taf. XIX, 4.

1540. Seb. Münster.

Typus universalis im Ptolemäus (Basel 1540).

Kopien: Nordenskiöld, *Atlas*, Taf. XLIV^a; dazu vgl. die Darstellung Amerikas allein, no. 73. p. 113. — Winsor, *Hist. of Am.* IV, p. 41.

Hier die erste Andeutung einer nordwestlichen Durchfahrt zwischen Bacalhos im Norden und Francisca im Süden (Canada). „Per hoc fretum iter patet ad Molucas“. Das Bacalhosland hängt mit Skandinavien zusammen. Nordamerika heißt Terra florida, der westliche Teil gegen Ostasien: Temistitan, westlich davon in alter Lage „Zipangri“, viel näher an Amerika als an Ostasien. Sechster Typus. Das plumpe Festland von Südamerika ist als America seu insula Brasili bezeichnet. Südlich davon Fretum Magaliani.

1540. Seb. Münster.

Nouus orbis in Ptolemäus (Basel 1540).

Kopien: Nordenskiöld, Atlas, Nr. 73, p. 113. — K. Kretschmer, Taf. XIX, 1.

Ähnliche, nur ausführlichere Darstellung des Typus universalis von 1540. In Südamerika die Inschrift: „Insula Atlantica quam vocant Brasili et Americam“.

1540. Peter Apianus.

Weltkarte in der Kosmographie (Antwerpen 1540), ferner in der französischen Ausgabe (1544), in der lateinischen (1545) und der spanischen (1548).

Kopie: Lelewel, pl. 46.

Süd- und Mittelamerika haben schon annähernd richtige Gestalt; dagegen verläuft die Westküste von Nordamerika von Kalifornien an gegen Nordosten und endigt in Labrador bei Neufundland. Dadurch wird Nordamerika zu einer schmalen Halbinsel, hinter der der gleich schmale Große Ozean in derselben Richtung flutet. Jenseits desselben verläuft im Westen die Ostküste Asiens in ähnlicher Weise wie bei Toscanelli. Zwischen Grönland und Labrador zieht sich also die nordwestliche (richtiger südwestliche) Durchfahrt zum asiatischen Ozean. Fünfter Typus.

1540. Diego Homem: Nordamerika.

Brit. Museum.

Kopie: Kohl, Hist. of discov. of Maine, pl. XV4; vgl. p. 298.

1541. Domingo del Castillo, Pilot auf der Flotte Alarcons, 1540.

„Domingo del Castillo, piloto me fecit en Mexico, año del nacimiento de N. S. Jesu Cristo de MDXLI.“

Karte vom Kalifornischen Meerbusen, veröffentlicht vom Bischof Lorenzana in „Nueva España“ (Mexico 1770), p. 325.

Kopien: Photolithographie in Revista científica Mexicana (Mexico 1880), vol. 1. — Winsor, Hist. of Amer. II, 444. — H. H. Bancroft, Cent. Amer. I, 153. — Ders., North mex. States I, 81.

Die neuen Namen am Kalifornischen Golf beginnen nördlich von San Po und Pablo; alle Punkte der Besitzergreifung erscheinen auf der Karte mit der Bezeichnung p^o †, hinter dem Namen des Ortes, bis zum Nordende des Golfes 14 mal angegeben.

1541. Nicolas Desliens.

Weltkarte auf Pergament, „faite à Dieppe par Nicolas Desliens, 1541“.

Vgl. Bibl. zu Dresden, sign.: Geogr. A. 52. m. 104:57,5 cm.

Jacques Cartiers Entdeckungen am Lorenzstrom heißen La nouvelle Franceze. Für Nordamerika gibt die alte französische Karte, die Winsor (II, 224) veröffentlicht hat, ein ähnliches Bild.

Wenn Kohl daraus, daß Kalifornien auf den alten französischen Karten fehlt, hat beweisen wollen, daß sie vor 1533 gezeichnet sein müssen, so ist der Schluss aus dem Fehlen einer Entdeckung unzulässig. Auch bei Desliens 1541 fehlt Kalifornien. Neufundland besteht aus 9 Inseln, Anticosti ist namenlos. Am Lorenzstrom folgen dann die von Cartier gegebenen Namen: Jacques Cartier, Brest, C. de nenot (statt Tienot), Bai S. Laureus, 7 isles, R. de Saguy, ye d'Orleans, C. de Challenr, La nouvelle Franceze.

Daß der Amazonenstrom, vor Orellana, von der Mündung her befahren ist, beweisen die Zeichnung und die Namen Tapajoz, Negro und Rio grande (Madeira).

Die Nomenklatur Brasiliens, nach portugiesischen Quellen, ist sehr reich, hat aber doch Lücken, während anderes doppelt steht.

Hier kommt zum erstenmal Buenos Aires vor. Auch an der Küste von Peru kennt Desliens neue Namen, doch geht seine Kenntnis lange nicht so weit nach Süden wie bei Cabot 1544.

Desliens' Karte von 1541 ist die älteste bekannte französische Pergament-

karte im Stil der Portulane. HARRISSE (Cabot, p. 194) schreibt über die älteste französische Kartographie:

Malheureusement on ne connaît pas d'oeuvres françaises contemporaines du premier voyage de Jacques Cartier. Selon Desmarquetz, Estancelin et Vitet, l'art de pointer les cartes nautiques ne daterait même en France que du milieu du XVI^e siècle, puisque ces écrivains qualifient Pierre Desceliers de „créateur de l'hydrographie française“. A notre avis, les cartes anciennes dieppoises — et nous en connaissons une qui porte la date de 1546, laquelle n'est pas la plus vieille, qu'on possède, — sont trop savantes et d'un travail trop supérieur, pour ne pas avoir été précédées d'une longue série d'oeuvres de ce genre, dues à plusieurs générations de cosmographes habiles et instruits. Comment supposer que le port de Dieppe, alors le premier du royaume, et où avaient été armées les flottes de Joan Ango, n'ait pas créé, dès le commencement du XVI^e siècle, une école de pilotes et de cartographes? Ce qu'on doit reconnaître, c'est que les Dieppois s'inspirèrent de l'hydrographie lusitanienne, soit par l'influence directe de cosmographes portugais établis dans des ports de Normandie ou de Bretagne, soit par des cartes importées du Portugal. Ainsi, seulement, peut-on s'expliquer cette transmission servile de contours dont les premiers exemples se voient sur des cartes dressées dans ce dernier pays, et la nomenclature absolument portugaise qui sert de base à toutes les mappemondes dieppoises de la première moitié du XVI^e siècle.

(Diese sklavische Abhängigkeit zeigt sich bei Desliens 1541 nicht. R.)

Nous possédons encore quatre planisphères dieppoises construits sous le règne de François I^{er}, lesquels étaient très probablement les monuments cartographiques les plus beaux et les plus complets qu'on eut vus jusqu'alors. Ce sont les mappemondes manuscrites dites de Harley, de Vallard, de Henri II et celle de Desceliers. Elles sont toutes sorties de France, trois depuis vingt ans seulement.

Afin de classer ces cartes précieuses, nous avions d'abord espéré pouvoir prendre pour base les configurations anciennement attribuées à l'île du Cap-Breton et aux îles adjacentes. Mais, en cosmographie, on ne peut guère s'appuyer sur des données imaginaires, bien que souvent renforcées par des réalités, car alors le tracé dépend, en une certaine mesure, de l'imagination ou du caprice de chaque cartographe. Cette île de „Sam Joham“ ou de Saint Jehan, par exemple, placée dans l'Atlantique, à proximité de la Nouvelle-Ecosse, sur toutes les cartes lusitaniennes et lusitano-françaises, est certainement chimérique en sa conception première.

Nous ne pouvons y voir, comme la plupart des historiens de la géographie, l'île du Cap-Breton, non plus que dans l'étroit passage qui la sépare du continent, nous ne reconnaissons le détroit de Canso. Si les Portugais, qui, les premiers, marquèrent cette île, avaient autrefois franchi ce canal, on verrait aussi sur leurs cartes l'île du Prince-Edward, qu'ils ne pouvaient manquer d'apercevoir en débouchant dans le golfe Saint Laurent par cette voie.

Le canal qui sépare l'île de la terre ferme ne se prolongerait pas du nord au sud, comme sur les cartes de Viegas, de Desceliers et de Gutierrez. Enfin, ce détroit ne se trouverait pas non plus dans l'Atlantique, parallèlement au continent même, ainsi qu'on le remarque sur la carte Harleienne. Situé de l'est à l'ouest, il partirait de l'Océan pour déboucher dans le golfe, comme l'auraient divulgué des observations aussi élémentaires qu'inévitables. D'ailleurs, dans l'Harleienne, on voit tout à la fois cette grande île océanienne de Saint Jehan, et un canal séparant l'île du Cap-Breton de la péninsule. On n'a aussi qu'à examiner l'île imaginaire que nous discutons, sa forme, ses dimensions, sa position, et en suivre la filiation depuis les premières cartes lusitaniennes, pour s'assurer que les anciens cosmographes n'ont pas eu en vue la Nouvelle-Ecosse, mais une île supposée, transmise par des modèles d'abord servilement copiés, puis modifiés à la suite de renseigne-

ments incomplets ou erronés fournis par des pilotes portugais. Il suffit de rappeler les îles fantastiques des Sept-Cités, de St. Brandan, de Juan Estevanez, qui continuent à figurer sur les meilleures cartes jusqu'à la fin du XVI^e siècle, pour se rendre compte de la persistance des erreurs de ce genre en cartographie.

On ne peut donc prendre cette partie de la carte comme base d'une classification, surtout, lorsque, en outre, le critique s'aperçoit que la fameuse île océanienne ne se trouve pas sur la carte de Rotz, datée de 1542, tandis qu'elle reparait, dans sa forme et ses dimensions lusitaniennes, sur la mappemonde dressé par Pierre Desceliers en 1546.

Nous pensons avoir trouvé un guide relativement plus sûr dans les configurations attribuées à l'île de Terre-Neuve. Il suffit, à notre avis, de partir du principe, que la proximité des grands bancs de morues (seul attrait alors des expéditions septentrionales) a porté les pêcheurs à explorer le littoral de la grande île, de préférence aux côtes de la Nouvelle-Ecosse, où le poisson est beaucoup plus rare. Il s'ensuit, qu'à la suite d'échanges d'observations et d'épures, selon l'usage, les pilotes ont graduellement éliminé les parties de cet archipel imaginaire dont l'existence n'était pas confirmée par l'expérience, et à reconnaître, mais tard, l'insularité absolue de l'île. En un mot, selon nous, plus Terre-Neuve est morcelée, plus sa délimitation est ancienne. C'est pour cette raison que nous plaçons la mappemonde Harleyenne avant les autres cartes d'origine dieppoise.

1541. G. Mercator.

Globuscartotten. — Kopie: Sphère terrestre et sphère céleste de Gérard Mercator de Rupelmonde. Edition nouvelle de 1875 d'après l'original appartenant à la Biblioth. roy. de Belgique (Brüssel 1875).

Nach Wieser (Der Portulan Phil. II, S. 8, Anm. 2) kommt auf dieser Karte zuerst in Nord- und Südamerika der Name Ame-rica, verteilt, vor. In Südamerika darunter noch die Bemerkung: a multis hodie Nova India dicta. Für die Ostküste Nordamerikas bis C. Breton (hier unter 50° N. Br. gelegen) ist Mercator in Zeichnung und Namen originell, ich finde keinen Vorgänger. Bei ihm zuerst Norumbega, dort der große Fluß, der breit, mit vielen Inseln besät ist und früher als S. Joh. Baptista benannt ist. Von der Chesapeakebai an hält sich M. an Ptolemäus 1513, selbst in falschen Wortbildungen, wie z. B. rio de los garlatos (statt lagartos), dagegen liest er mit Canerio „Camello“ und nicht Contello, wie Ptolemäus 1513. Außerdem hat er einige Namen, die bei jenen Vorgängern nicht genannt sind.

Von den Entdeckungen Cartiers ist noch nichts bekannt. Die Küste verläuft wie auf seiner Karte von 1538; auch dieselbe Inschrift: Hispania maior capta anno 1530 findet sich wieder. Vielfach lehnt M. sich an Ribero, aber nicht slavisch.

In Südamerika hat er zuerst das C. Codera in der Form C. lancodera und das C. el aguja (11° 20' S. Br.). Viele Namen sind entstellt, offenbar nach schlechten Kopien. Hier ist auch Maggiolo 1519 benutzt, z. B. in Erwähnung von Aruba. Die Namen der Bahamas sind fast alle entstellt. Auf Cuba treten zuerst die Namen Xagua und Trinidad auf; auch finden sich Namen wie Isabella und p. real auf Haiti, die nur bei Cosa 1500 vorkommen. Ferner kommen bei M. zuerst die Namen Zeeho Cap und Insel (Descho) bei Puertorico, und C. rox (C. rubium), unter den Kleinen Antillen S. Martin, an der Nordküste Südamerikas Blanca bei Margarita, jetzt Blanquilla, sowie le aues zwei- oder dreimal in Varianten vor.

Für Brasilien ist M. konfus, die identischen Kaps Sa Crucis und S. Augustin stellt er nebeneinander und die Allerheiligenbai dazwischen. Die Inseln Aoencan und Atridade kommen vorher nur bei Salvati 1517 vor. Weiter südwärts hat er zuerst R. Janeiro, os rius da plata und die Bai S. Matthias. Auf der Westseite Amerikas ist Ribero maßgebend. Gegen Norden geht die Kenntnis nicht über die Fonsecabai hinaus, doch liegt noch nörd-

lich vom Wendekreise an der Westküste Mexikos ein Matonohel sive petra portus. Ostasien ist nach Toscanelli und Ptolemäus gezeichnet.

1541. Ptolemäus (Lyon).

Die Neue Welt, ähnlich wie in der Ausgabe von 1513, nach Waldseemüller.

1542. Caspar Vopell.

Erdglobus im Kölner Stadtarchiv, 28 cm Durchmesser.

Nova et integra universi orbis descriptio. — Caspar Vopelleus Medebach geographicam sphaeram hanc faciebat Coloniae. A. 1542.

Kopie in Michow, C. Vopell in der Hamb. Festschrift zur Erinnerung an die Entdeckung Amerikas. Bd. I Hamburg 1892.

Hier sind die West- und Südhemisphäre wiedergegeben in Globularprojektion. Fester Zusammenhang Amerikas mit Asien wie bei Franciscus Monachus. Cartiers Entdeckungen sind unbekannt, die Ostküste Nordamerikas phantastisch, Yukatan noch Insel, Halbinsel Californien fehlt, phantastisch aufgebautes Südland.

1542. Euphrosynus Ulpius.

Kupferner Globus, in Italien gefertigt, im Besitz der Historical soc. zu New York. Ulpius hängt für Nordamerika von Verrazzano und Maggiolo ab, aber er gibt auch neue Namen, die anderswo nicht vorkommen: Piaggia de Calami, C. de Terra ferma, R. do Braço, Baia dos Moros, Costa de Corsales (Korsarenküste). Desliens (1541) hat für letztere Coste de caracollas. Andre Namen finden sich bei Mercator (1541) und in der Generalkarte von 1527, so daß daraus folgt, daß der Globus verschiedene Vorlagen benutzt hat.

Vgl. Winsor, Hist. of Am. IV, 19 und Globus p. 42. — Lit. bei Winsor III, 214.

1542, 1546, 1561. Joh. Honter (Honterus).

J. Honterus, Rudimenta cosmographica. Kleine Weltkarte (Zürich).

Kopie: Stevens, Notes.

1542. Jean Rotz.

Manuskript im Brit. Museum. Mss. charts I, p. 22 (London 1844).

„John Rotz, boke of Idrography“, mit einzelnen Kartenskizzen:

1. Die Nordostküste von Amerika (vgl. Kohl, Collect., 104 [Okt. 1884]).

2. Canada.

3. Vom C. Breton bis Florida (Umrisse bei Winsor, Hist. of Am. IV, 82).

4. Die Antillen. „The Indis of occident, quahaz the Spaniards doeth occupy.“

Vgl. Winsor, Hist. of Am. II, 226.

Neufundland, „the new fonde Illande“, zerfällt in fünf Inseln (Manuskript von Rotz, fol. 29). Man erkennt darin den Einfluß der Entdeckungen Cartiers.

Alle Namen sind portugiesisch, aber ebenso entstellt wie bei Harley.

Vgl. Harriette, Cabots, p. 201.

1542. Harley-Weltkarte.

Im Brit. Mus. mss. maps. add. 5413. Pergament, 2,85 m breit, 1,30 m hoch, französische Arbeit, aus dem Portugiesischen übersetzt. Vgl. Harriette, Cabot, p. 197.

Über dem Wappen von Frankreich eine offene Krone. Die geschlossene Krone wurde erst im März 1547 angenommen (Grandmaison, Dictionn. héraldique, Paris 1861, 80, Col. 193). Das Wappen des Dauphins weist auf Heinrich II., der damals noch Herzog der Bretagne war.

Harriette verlegt die Karte in 1542, während der Verf. des Katalogs vom Brit. Mus. (London 1844, p. 23) das Jahr 1536 annahm.

Neufundland zerfällt in 11 größere Stücke und in etwa ein halbes Dutzend kleiner Eilande.

Die Namen zeigen (nach HARRISSE, Cabot, p. 200) arge Entstellungen; die Vorlagen müssen herzlich schlecht gewesen sein. Übrigens hat die Darstellung der Ostküste der Vereinigten Staaten noch lange unter den flüchtigen Aufnahmen gelitten.

Vgl. HARRISSE, *Disc. of N. Am.*, p. 647.

1542. Alonso de Santa Cruz

begleitete Seb. Cabot 1526—1530 zum La Plata, wurde 1536 *Cosmografo real*, verfaßte ein noch nicht veröffentlichtes *Isolario* (Manusk. i. d. Kais. Bibl. zu Wien) und starb 1572 zu Sevilla.

Weltkarte auf Pergament in der Kön. Bibl. zu Stockholm, soeben von E. W. Dahlgren herausgegeben in phototyp. Faksimile und beschrieben.

„Nova verior et integra totius orbis descriptio nunc primum in lucem edita per Alfonso de Sancta Cruz Caesaris Caroli V archicosemographo A. D. MDXLII“. Die nördliche und südliche Hemisphäre in Polarprojektion. Cartiers Entdeckungen sind noch unbekannt. Die letzten Daten auf der Karte beziehen sich auf die Besitzergreifung Californiens 1535 und die Reise des Mönchs Marcos de Niza 1539. Ein großes Südländ fehlt, Verbindung mit Asien besteht nicht. Neues bietet in Namen vor allem die Brasilianische Küste.

Vgl. E. W. Dahlgren, *Map of the world by Alonzo de Santa Cruz 1542*. Stockholm 1892.

1543. Bapt. Agnese.

Atlas von 13 Karten in der Bibliothek Laurenziana in Florenz.

„Baptista Agnese Januensis fecit venetiis 1543 die 12. Februari.“

Vgl. Strdi II, 130, no. 174. — Bandini III, 710. — Baldelli Boni, *Storia del Mil. LLXV.* — Zuria, *M. Polo II*, 369. — *Atti Soc. Lig.* IV, 492. — Desimoni, *Giorn. Lig.* II, 57.

1543, 18. Febr. Bapt. Agnese.

Atlas in der Henry Huth-Bibl. zu London.

„Baptista Agnese fecit Venetiis 1543 die 18. Febr.“

HARRISSE, Cabot, p. 189.

1532—1540. Bapt. Agnese.

Atlas von 13 Karten in der K. Universitäts-Bibliothek zu München.

Kopie in Kunstmans Atlas, VI n. VII. Vgl. Desimoni in *Giorn. Lig.* II, 57.

Bapt. Agnese.

Sogenannter Atlas Philipps II., früher im Besitz Karl Spitzers in Paris. 1875 in zwei Größen durch Photographie vervielfältigt.

Vgl. Malte Brun in *Bull. soc. géogr. Paris* 1876, p. 625 u. 1877, I, p. 557. — Spitzer und Wiener, *Portulan de Charles Quint donné a Philippe II.* Paris 1875. — Wieser, *Der Portulan des Infanten.* Wien 1876.

Die Blätter 4, 13 und 14 enthalten Karten von Amerika (vgl. den Atlas Agneses 1544 [Dresden]).

Nach HARRISSE, Cabot 194, ins Jahr 1542 zu verlegen, wo den spanischen Kartographen die französischen Entdeckungen Cartiers noch nicht bekannt waren.

1543. Bapt. Agnese.

Atlas von 17 Bl. „Baptista Agnese fecit Venetiis 1543 die 18 februarii.“ Herzogl. Bibl. zu Gotha. Cod. mem. II, 146.

Bl. 3—5 betreffen Amerika, 13 und 14 die Weltkarte, 14 und 15 die atlantische Hemisphäre.

Kohl, *Hist. of Disc. of Maine*, p. 316 u. Taf. XVII, 3.

Ruge, *Die Entwicklung der Kartographie von Amerika bis 1570.*

1543. Bapt. Agnese.

Atlas von 12 Karten in der Nationalbibl. zu Paris, B. 2624.

„Baptista Agnese Jannensis fecit venetiis anno Domini 1543, die 25 junij.“

Vgl. Desimoni, Giorn. Lit. II, 57.

Nach 1543. Golfo y costa de la Nueva España.

Im Indischen Archiv zu Sevilla, enthält die Forschungszüge von Soto und Moscoso 1539—1543. Die Karte umfaßt das Gebiet der Golfstaaten in der nordamerikanischen Union.

Kopie der Karte bei Harrisse, Disc. of N. Am., pl. XXIII und p. 643.

1543. Casp. Vopell.

Globus im altnordischen Museum zu Kopenhagen.

„Caspas Vopell Medebach.“ — „Nova et universalis orbis descrip.“

Nordenskiöld, Atlas, Tafel XI.^a u. p. 83.

1543. Casp. Vopell.

Ein ähnlicher Globus (Ringkugel) in Hamburg im Besitz des Herrn L. Friederichsen. Handzeichnung und -Malerei Vopells mit den Inschriften: „Caspas Vopell artii profes. hanc sphaeram faciebat Coloniae 1543.“ — „Nova ac generalis orbis descriptio“.

Vgl. Michow, C. Vopell, in der Hamb. Festschrift zur Erinnerung an die Entdeckung Amerikas, Bd. I, S. 15.

Fester Zusammenhang Asiens mit Amerika, phantastisch ausgebildetes Südland.

1544. Sebastian Cabot.

Weltkarte in der Nationalbibliothek zu Paris.

„Sebastian Caboto . . . hizo esta figura extensa in plano, anno del nascim^o de nro saluador Jesu Christo de MD.XLIIII annos.“

Kopie: Jomard, Monuments. — K. Kretschmer, Taf. XVI.

Litt.: Kohl, Hist. of discov. of Maine, p. 358 u. Karte XX. — Stevens, Hist. and geogr. notes, pl. 4. — Studi II, 213. — d'Avezac beschrieb sie zuerst in Bull. Soc. géogr., 4me sér., XIV, 268 (Paris 1857). — Winsor, Hist. of Amer. III, 20. — Harrisse, Cabots, p. 151. — Ders., The discov. of North Am., p. 11, p. 23.

Die erste gedruckte Karte, in der Cartiers Entdeckungen eingetragen sind. Die Sprache ist lateinisch und spanisch. Ob in der Kopie Jomards alle Namen genau wiedergegeben sind, ist mir fraglich. Es finden sich manche merkwürdige Namensentstellungen, die auch Cabot selbst veranlaßt haben kann.

An der Küste von Nordamerika, zwischen 45 und 40° N. Br., ist folgende Reihe zweimal eingetragen: montagnas, rio de buena madre, rio de s. anto, rio de s. xpoual. Die meisten dieser Namen kommen schon auf der Generalkarte von 1527 vor.

Auf Cuba findet sich zuerst barasoa und matama statt mança (Matanzas), anana für habana, marien für mariel. Unter den Kleinen Antillen sind zuerst genannt S. Bartolome, nioes, estatio, Saba. Zwischen Mississippi und Rio Panuco sind die Namen arg verwirrt und teilweise wiederholt. Für Mittelamerika lagen die Generalkarten von 1527 und 1529 vor. Zuerst sind genannt R. de tuspa, rio de lagartos an der Halbinsel Yukatan, ya de arenas, C. Camaron in Honduras, die Riffe von Quita suegno, aber fälschlich an die Küste von Yukatan statt östlich von C. Gracias a dios gelegt, Sabanilla-Bank, Roncador-Riff, die S. Bernardo-Inseln beim Magdalenenstrom, im südlichen Binnenlande die ersten Städte Neyra und Bagottan. Östlich von Tabago liegt eine große Fabelinsel, I^a de S. Bernardo. Zuerst sind hier die Nebenflüsse des Orinoco, Rio de meta und Rio de huy apari (Apure), genannt. Cabot verlegt wie Mercator den R. Vincentannez („rio de unnenanes“) nördlich vom Amazonenstrom. In Chile geht die Kenntnis bis über den Rio Maule nach Süden.

Vermutlich ist die Karte in Antwerpen gestochen. Nach Harriase (*The discovery*, p. 23) ist dies die erste Karte des 16. Jahrhunderts, auf der Cabots Landung 1497 so weit nach Süden (nach C. Breton) verlegt ist. Alle früheren Karten weisen auf Labrador. Harriase (*Discov. of North Am.*, p. 23) nimmt an, daß die Legenden auf der Weltkarte nicht von Cabot selbst stammen können. Die spanischen Legenden rühren von Dr. Grajales her, die lateinischen Übersetzungen sind wahrscheinlich an dem Druckorte hinzugefügt und enthalten Sätze, die unmöglich von Seb. Cabot geschrieben sein können; doch fügt er hinzu: „The cartographical data, however, which served as a basis for those tabular explanations, were certainly furnished by Seb. Cabot, or published with his assent, particularly as regards the configuration of the north-east coast of the American continent and the alleged land-fall at Cape Breton“.

Die Karte wurde 1549 von Clement Adams in Greenwich nachgestochen.

1544. Seb. Münster.

Weltkarte in der Kosmographie.

Kopien bei Santarem und Lelewel, p. 46.

Nach 1544. Carta de las Antillas seno Mejicano y costas de Tierra firme y de la America setentrional.

Veröffentlicht in *Cartas de Indias*. Madrid 1877.

An der Nordostküste beginnt die Darstellung mit „ancones R. de buelta“ und endigt bei der Insel Margarida, an der Nordküste Südamerikas.

Die Westküste reicht von Tehuantepek bis Panama.

In den nördlichen Teilen ähnlich wie bei Ribero 1529.

Nach Harriase können manche Notizen erst nach 1544 eingetragen sein (*Disco. of N. Am.*, p. 646).

1544. Bapt. Agnese.

Atlas von 15 Bl. „Baptista Agnese Januensis fecit Venetiis 1544 die 5 februarii.“ Kgl. Bibl. zu Dresden. Msc. F. 140a.

Die Taf. IV—VI betreffen Amerika, XII und XIII ist Weltkarte.

Vgl. Wieser im Sitz.-Ber. d. Kgl. Akademie zu Wien, Bd. XXXV (1876), S. 82.

Für die Westküste von Mittel- und Nordamerika liegen zwei verschiedene Karten vor, von denen die eine von Panama bis rio serrado, die andere von Guatemala bis C. euguno (Eugenio) geht. Beide greifen ineinander über, so daß Sacatula (Cacatola) doppelt erscheint. Im übrigen ist die Darstellung identisch mit dem Atlas Philipps II., so daß beide Werke in dieselbe Zeit zu setzen sind.

1545. Bapt. Agnese.

Atlas von 15 Bl. „Baptista Agnese fecit. Venetiis 1545 die 8 Maii.“ Bibl. Marciana zu Venedig. Msc. cl. IV, cod. 499.

Blatt 4 und 5 betreffen Amerika, 13 ist Weltkarte.

Vgl. Studi II, 132, no. 176. — Matkovic, Schifferkarten zu Venedig, S. 10 (Wien 1863). — Atti Soc. Lig. rendic. 1867, p. 175. — Desimoni, Giorn. Lig. II, 57.

1545. Iean Allefonsce (Alfonce).

Alfonce stammt aus Saintonge, nahe bei Cognac; er war Seekapitän und Pilote du roy unter Franz I., leitete das Geschwader Robervals nach Canada 1541, erforschte den Lorengolf von Belle-Isle bis C. rouge und blieb dort zwei Jahre.

Manuskript in der Nationalbibl. zu Paris (fonds franç. no. 676).

„Cosmographie avec espere et regime du Soleil et du Nord en notre langue françoise, composée par Jehan Allefonsce et Paullin Secalart cosmographe de Honnefleur.“ 1.5.4.5.

Vgl. Harriase, Cabot, 209. — Umrisskizzen bei Winsor, Hist. of Am. IV, 74–77. — Weise, Discoveries of America, 355.

Es sind vier Karten von ihm vorhanden in seinem „Routier“, Bl. 178, 180, 184, 186; diese Skizzen haben eine Größe von 0,20:0,7 m. Er sagt, daß C. Breton früher C. St. Jehan genannt sei und daß man glaubte, am Saguenay den Seeweg nach China gefunden zu haben. Das C. Noroveregue ist nach HARRISSE (Cabot, p. 209) das C. Sable. In seiner Kosmographie beschreibt er den R. de Noroveregue, nach Winsor (IV, 70) identisch mit dem Penobscot. Daran liegt 15 Leguas landeinwärts die Stadt Norombergue. Von hier läuft die Küste 200 Leguas gegen Südwesten zu einer breiten Bucht, die 20 Leguas ins Land zieht, und die 29 Leguas breit ist. Es ist der Long Island Sound. Sein C. Franciscan entspricht C. Cod. Von dem Golfe läuft die Küste westnordwestlich 46 Leguas bis zu einem großen Flusse, in dessen Mündung eine Sandinsel liegt (Sandyhook). Dies ist die erste Erwähnung des Hudsonflusses.

Seine Skizzen sind nicht so genau wie seine Beschreibung. (Nach HARRISSE.)

1545. Seb. Münster.

Weltkarte im Novus Orbis, zuerst in der Ausgabe 1540.

1545. Seb. Münster.

Weltkarte im Ptolemäus, wiederholt abgedruckt im Ptolemäus 1552 und in der Kosmographie 1554.

Vgl. Winsor, Hist. of Amer. IV, 84.

1545. Karte von Nordost-Amerika

in einem nautischen Atlas. Museum Correr zu Venedig.

Vgl. HARRISSE, Notes sur la nouv. France. no. 188.

1545. Pedro de Medina.

Karte von Amerika in „Arte de navegar“. (Sevilla 1545.)

Bemerkenswert durch die korrekte Zeichnung der Landenge von Panama und die Demarkationslinie. Eine der wenigen vor 1570 in Spanien gedruckten Karten.

Dieselbe Karte auch in Medinas Werk: Libro de grandezas y cosas memorables de España (Alcala de Henares 1548—1566).

Nordenskizze, Faksimile-Atlas, p. 50. Faksimile p. 117, no. 75. — Dasselbe Werk erschien auch in Lyon 1553 u. 1569, in Venedig 1564 und 1555.

1546. Pierre Desceliers.

Weltkarte, die sogenannte Karte Heinrichs II. „Faicte à Arques par Pierre Desceliers, prebtre 1546.“ Ehe die Inschrift gefunden wurde, hatte d'Avezac die Karte dem Jahre 1542, Kohl 1543 zugewiesen.

Kopie in Jomard, Monuments, Taf. XIX.

Litt.: Gaffarel, Bréail Français. Paris 1878. — Guilbert, Ville de Dieppe I, 348. — Malte Brun, Un géogr. français du XVI siècle in Bull. soc. géogr. Paris 1876. Sept. — Bull. Acad. d'Inscr. et B. Lett., août 1867. — Winsor, Hist. of Amer. IV, 85. 86. — Kohl, Collect. no. 156 (Jan. 1885). — Ders., Hist. of disc. of Maine, Karte XVIII u. p. 351. — HARRISSE, Cabot 210.

Desceliers gilt als createur de l'hydrographie française.

Die Nomenklatur bleibt im ganzen noch portugiesisch. Kohl hat einen Teil der für Canada wichtigen Namen gedeutet. Oft gehen diese auf Maggiolo und Ribero zurück; an der Ostküste Brasiliens hat er dieselben Quellen wie Desliens. Südlich von La Plata findet sich die eigentümliche Bemerkung, daß diese Küsten noch nicht besucht seien.

Wenn die Lesarten, was mir zweifelhaft erscheint, bei Jomard richtig sind, dann hat Desceliers für die Westküste Südamerikas, die er nicht so weit kannte wie Cabot, schlechte Vorlagen gehabt und sich oft verlesen, z. B. parmonga für Barranca, Terragillo für Trujillo. Bei ihm findet sich zuerst St. Claire bei Tumbes, die Plata- und Gorgona-Insel. Gorgona gegenüber kennt Desceliers eine Pe de Peru, die Desliens (1541) auch gehabt zu

haben scheint, die aber unleserlich geworden ist. In Mittelamerika ist ye St. Marie doppelt angegeben, die östliche muß getilgt werden. Die Westküste Nordamerikas ist genau so schablonenmäßig wie die Desliens. Die Halbinsel Kalifornien fehlt, wie bei Desliens.

1546. Giacomo Gastaldi.

Universale, gestochene Weltkarte in elliptischer Form. „Giacomo cosmographo in Venezia MDXXXXVI“; 53:38 cm; in meiner Sammlung; ferner citiert in Castellani, Catalogo ragionato delle più rare opere geogr. a stampa (Roma 1876) und beim Antiquar Rosenthal in München 1890; außerdem in der Bibliothek der Kapstadt.

Amerika hängt breit mit Asien zusammen. Die Entdeckungen Cartiers am Lorenzstrom sind noch unbekannt. Neufundland zerfällt in sieben Inseln. Westlich von der Halbinsel Kalifornien liegt noch die Insel Cipango. Nordwestlich von Kalifornien beginnt bereits die ostasiatische Nomenklatur. Yukatan ist Insel. An der Küste Südamerikas folgt Gastaldi den Generalkarten von 1527 und 1529, doch hat er an der Magelhaesstraße die jenen unbekannte campana de Roldan. Für die Ostküste Nordamerikas ist Agnese sein Vorbild; auch die Zeichnung der Stadt Temistitan in einen See erinnert daran.

In Südamerika ist der phantastische von Süden nach Norden gerichtete Schlangenlauf des Amazonenstromes merkwürdig, wobei das Quellland des Stromes, Quito, westlich von der Mündung des La Plata zu liegen kommt. Südamerika ist ausgezeichnet durch eine Reihe großer Landschaftsnamen: Castilla de loro government de Bastidas, Government de la compaña de los Belzares, Government de P. de Heredia, Governacio de Francesco Pizaro el Peru, Colao (Provinz zwischen 25 und 30° S. Br.), Quito (Provinz unter 35° S. Br.).

1546. João Freire.

Atlas von 7 Karten auf Pergament. 34:27 cm. „Joham Freire a fez era de 546.“ London, Brit. Museum. Faksimile im Catalogue of the extraordinary collection of splendid manuscripts (London 1859), p. 184, no. 827.

Vgl. Harris, Cabot, p. 220. — Santarem, Recherches sur la priorité de la découverte de la côte occidentale d'Afrique (Paris 1842), p. 127. — Ders., Essai sur l'histoire de la Cosmographie (Paris 1852), tom. III, Einleitung.

1. Canada und Labrador.

Kopien: Santarem. — Winsor, Hist. of Am. IV, 86; Skizze des Lorengolfes. —

Kohl, Collect. no. 152 (Jan. 1885).

2. Neufundland, das siebente Blatt im Atlas.

Kohl, Collect. no. 153.

3. Oberkalifornien mit teils lateinischer, teils spanischer Nomenklatur.

Die Expedition Cabrillos noch nicht angedeutet.

4. Unterkalifornien.

Eine dürftige Skizze vom Küstenverlauf, fast ohne Namen, findet sich in Winsor, Hist. of Am. II, 448.

1546. Joh. Honterus.

„Universalis Cosmographia“ in Rudimenta cosmographica (Zürich 1546) zeigt uns nur ein kleines Bild von Amerika, wie es etwa Schöner 25 Jahre früher entworfen hat.

Nordenskiöld, Atlas, Taf. XLIV.

1547. Nicol. Vallard von Dieppe.

Manusk.-Atlas in der Sammlung von Sir Thomas Philipps. „Nicholas Vallard de Dieppe, dans l'année 1547.“

Dieser Atlas wurde zuerst von Barbié du Bocage in einer Sitzung der Akademie 1807 besprochen und später beschrieben im Magasin Encyclopédique (von Millin), t. IV (1807),

p. 107. Vgl. R. H. Major, *Early Voyages to Terra Australia*, Introd. p. XXXV. Damals war der Atlas im Besitz des Fürsten Talleyrand.

Kohl (Hist. of discov. of Maine, p. 355) meint, Vallard sei nur der Besitzer gewesen, nicht der Verfasser, und der Atlas datiere infolge dessen vor 1547, also 1543; möglicherweise rühren die Karten von Desliens her.

Kopie in Winsor, Hist. of Am. IV, 86. 87; von der Ostküste von Nordamerika.

Vgl. Kohl, Generalkarten, S. 58. — Ders., Collection no. 154 (Jan. 1885). — Ders., Descript. Catalogue, p. 38. — Ders., Hist. of disc. of Maine, Karte XIX u. p. 354. — Harriase, Cabot, p. 219.

Der Titel des einen Blattes, das Kohl reproduziert, lautet: Terre de Bacalos. Im Norden beginnt die Karte mit „Labrador“, dann folgt „Terra nova“ in teils portugiesischen, teils französischen Namen. Im Süden C. de Rax (Race). Am besten ist der Lorenzgolf und die Nordküste von Maine dargestellt, nach Cartiers Aufnahmen. Der Lorenzstrom heißt Rio de Canada. Die Namen, nach Cartier, sind zuweilen falsch geschrieben, z. B. C. trenot, statt tienot, rio douche (douce), Ile de coudre, statt Isle aux coudres, tadacone statt Stadacone, lago de golesme statt Angoulême.

Manche Namen finden sich bei Cartier nicht am Flusse: totomag, estadacoe (ist identisch mit Stadacona), agochonda, canoche. Daraus soll, meint Kohl, hervorgehen, daß der Atlas von einem Portugiesen gezeichnet ist. Illustrationen am Lorenzstrom scheinen sich auf die Expeditionen Cartiers und Robervals 1541/42 zu beziehen.

Weiter südlich ist der Rio de la buena madre in einen Rio de buena madeira verändert.

1548. Giac. Gastaldi. (Ptolemäus, Venedig.)

Unter den 60 Karten sind 26 Ptolemäuskarten und 34 neue, darunter folgende von Amerika:

No. 54. Terra nuova. Südamerika.

No. 55. Nova Hispania.

No. 56. Terra nova Bacalaos. Die Ostküste von Nordamerika von Florida bis Labrador. Der Lorenzgolf ist als ein Archipel dargestellt, von Cartiers Entdeckungen ist nichts bekannt.

Winsor, Hist. of Am. IV, 88. — Ders., Kohl Collect. 104 (Oktober 1884).

No. 57. Isola Cuba nuova.

No. 58. Isola Spagnola.

No. 59. Universale nuova. Ähnlich wie das Universale von 1546. (Nordenskiölds Atlas, Taf. XLVa.)

No. 60. Carta marina universale. Die Zeichnung Nordamerikas verrät den Einfluß Maggiolo-Verrazanos.

Nordenskiöld, Taf. XLV^a. — K. Kretschmer, Taf. XVIII, 3.

1549 (?). Diego Homem.

Amerika. Pergamentkarte. Manuskript Brit. Museum.

Ähnliche Darstellung wie bei B. Agnese.

1549. Vesconte Maggiolo.

Atlas von 4 Karten in der Bibl. Comunale zu Treviso. Taf. II u. IV betreffen Amerika. „Vesconte de Maiollo composuit in Janua anno domini 1549, die X Decembris.“

Um 1550. Antonius Floreanus.

In Lafreris Atlas. Weltkarte.

Kopie in Nordenskiölds Atlas, no. 48, p. 81.

Die Westküste Nordamerikas verläuft ebenso glatt wie bei Desliens und Desceliers. Amerika hat mit Asien keinen Zusammenhang. Nördlich von der Baccalaearum regio zieht sich eine gegen West und Südwest breiter werdende Meeresstraße, fretum arcticum, die

nach China führt; Ostasien ist nach Toscanelli dargestellt, auch sein Cipango ist noch vorhanden. Yukatan ist immer noch Insel, und die Entdeckungen Cartiers fehlen.

1550. Pierre Desceliers.

Weltkarte im Brit. Mus. Add. Msc. no. 22065. Größe 2,15:1,35 m. „Faicte à Arques par Pierre Desceliers. PBR^E: l'an 1550.“

Vgl. de Challayes in Bull. soc. géogr. Paris, Sept. 1852, p. 235. — HARRISSE, Cabot, p. 229.

Der Kartograph kufert sich in einer Kartusche bei Island über den Zusammenhang von Amerika mit Asien: „Aulcuns cosmographes ont conjoint l'Asie avec la Floride, neufue Espagne, Terre ferme et Amérique, et disent icelle estre partie de l'Asie, mais l'opinion di ceulx n'est à ensuyuir autant qu'elle n'appert par certaine expérience, ne par raison“.

HARRISSE p. 230 nennt die Nomenklatur sehr reich, sie gibt sogar einige Andeutungen und Aufklärungen über dunkle Namen in Desceliers 1546 und Desliens 1541/46, z. B. Les montagnes de Cartier (mit Beziehung auf seine Niederlassung am C. Rouge). In Labrador wird Desliens' „manuel“ vollständiger in G. de manuel pinho verwandelt. Die Prinz Edwards-Insel heist wie bei Desliens Ie des arenes. Die Insel ye brion findet sich auch schon bei Desceliers 1546. Neufundland besteht nur noch aus drei Inseln, dagegen fehlt noch die Enge von Canso, die sich schon bei Rotz und Harley findet.

Zwischen 1540 u. 1550. Portugiesischer Atlas

in der Bibl. Riccardiana zu Florenz. Codex no. 1813. Ein Atlas von 25 Karten.

Kopie der 8 Amerika betreffenden Karten zuerst in K. Kretschmer, Taf. XXXIII—XL.

Die Ostseite der Neuen Welt von Labrador bis Neufundland und im Westen die Küste von Tehuantepek bis Callao darstellend. Zwar sind die Entdeckungen Cartiers am Lorenzstrom noch nicht eingetragen, doch sind die Eingänge in den Lorenzgolf im Norden und Süden von Neufundland angedeutet, und merkwürdigerweise ist die Ostküste Neufundlands, welches hier einen Teil des Festlandes bildet, in ununterbrochenem Küstenzuge dargestellt. Wenn diese Auffassung auch keine spätere Zeit verrät, da sie schon bei Reinel vorkommt, so doch um so mehr die eigentümlich schlanke Gestalt Floridas, die sich gerade so bei Pedro de Medina 1548, Demongenot 1552 und noch später bei Ortelius 1570 wiederfindet. Die Ostküste Nordamerikas von Neufundland an bis Florida hat denselben Verlauf wie auf den Generalkarten von 1527—1529, sowie bei Peter Martyr 1534 und Ortelius 1570.

Man sieht daraus, wie lange gewisse Küstenstriche ihre erste, wenn auch unrichtige Zeichnung beibehielten.

Die Westküste ist scheinbar nur vom C. S. Roman im Norden bis Callao im Süden bekannt, was wieder auf frühere Zeit als 1550 hinweist. Ganz auffällig ist, worauf auch K. Kretschmer aufmerksam macht, die ziemlich richtige Zeichnung des Feuerlandes, das hier vollständig als umsegelt dargestellt ist. Ob man an Hoces' Fahrt (1526) denken kann, wage ich nicht zu entscheiden.

Die erste Küstenstrecke im Norden, die sich von Osten nach Westen erstreckt und über der der portugiesische Wimpel weht, ist die Küste von Labrador. Sie verläuft ähnlich wie auf der Karte Pedro Reinel's (Kunstmans Atlas, Taf. I). Aber dort ist an dem langen Küstensaum kein Name angegeben. Hier dagegen ist das Gestade dicht mit Namen besetzt und diese begegnen uns seltsamerweise nicht früher unter den erhaltenen Karten als auf dem Weltbilde Desliens von 1541 und wiederholen sich noch auf der berühmten Mercator-karte von 1569.

Desliens 1541.

Terre du Laborador.
Caramello.
C. de terre ferme.
playne.
R. grande.

Karte der Riccardiana.

Costa perdida.
C. da espera.
Rio grande.

Mercator 1569.

Dafs diese Karte später als Riberos Karte gemacht sein muß, erkennt man auch aus der Darstellung der Insel Cap Breton, die hier aber noch den alten Namen *fam. Joâ* trägt und durch einen schmalen Sund von dem gegenüberliegenden C. Bertâ (Breton) getrennt ist. Joh. Alfonse sagt 1544/45, dafs das C. Breton früher den Namen C. St. Johann gehabt habe (Harrisse, Cabot, p. 209). Da wir nun auf den Blättern der Riccardiana die Namen C. bertâ und b. dos bertoes ziemlich nahe bei einander haben, so darf der Atlas nicht in frühere Zeit hinaufgerückt werden, wie man vielleicht aus der alttümlichen Darstellung von Labrador und Neufundland schließen könnte. Der Name C. Breton erscheint zuerst bei Desliens 1541, dann auf der Harleyschen Zeichnung 1542 (C. do bertâ), bei Cabot 1544 (del bertô) und in der Folge fast auf allen Karten. In dieselbe Zeit des 5. Jahrzehnts des 16. Jahrhunderts werden wir auch durch das Vorkommen des Namens Anorobegua geführt, der sich mit diesem Anfangsbuchstaben vor Desliens nicht nachweisen läßt, von da aber ebenso beliebt ist als der Name des C. Breton; während wir Oronbega schon 1529 bei Verrazano und Norembegue bei Harley antreffen. Die Küstenzeichnung bis zur Halbinsel Florida folgt der Darstellung der beiden Generalkarten von 1527 und 1529; aber die Namengebung zeigt auch hier keine unmittelbare Abhängigkeit von irgendeiner erhaltenen Seekarte. Am meisten stimmen die Riccardische Karte und Desceliers 1546 überein.

Ohne den Vergleich des Riccardischen Atlas noch weiter fortzuführen, glaube ich doch nach den bisherigen Wahrnehmungen annehmen zu dürfen, dafs diese in den Inschriften reichhaltigen und in den Namen wenig entstellten Blätter in der Zeit von 1540 bis 1550 entstanden sind.

Um 1550. Giac. Gastaldi.

Karte von Amerika in Ramusio 1556, vol. III, gezeichnet von Gastaldi um 1550 nach Materialien, die Oviedo an Ramusio sandte. Der Titel lautet: „Universale della parte del mondo nuovamente ritrovata“.

Amerika zum erstenmal als westliche Halbkugel dargestellt. Die Grenzen der Küsten liegen im Osten in der terra del Laborador, im Westen an der Sierra Nevada.

Hypothetische Landverbindungen mit Asien oder Meeresstraßen im Norden sind nicht angegeben.

Nordamerika heifst La Nova Spagna, Südamerika El Peru. Gegen die Darstellung von 1546 ist der Fortschritt nicht zu verkennen. Cabrillos Entdeckungen 1542/43 sind berücksichtigt. Stichfehler sind Liëna statt Lima, ya de fernando Iorogna (statt Lorogna). Mississippi und Lorenzstrom sind nicht angedeutet.

Köple in Winsor, Hist. of Amer. II, 228. — Über die Entstehung der Karte vgl. Ramusio III. discorso. „The general map of America is a very accurate production, the result of the study of Spanish original maps and reports of the time. It is one of the best, most complete and correctly printed of the maps published near the middle of the sixteenth century.“ (Köhl, Hist. of disc. of Maine, p. 227.)

Die Karte erschien in der 2. Auflage Ramusios 1565 wieder.

1550. Pierre Desceliers.

Portulan im Brit. Mus. (Cat. of Mss. no. 24065).

Vgl. Harrisse, Cabot, p. 230. — Bull. soc. géogr. Paris, Sept. 1852 u. Sept. 1856.

Der Lorenzstrom ist noch unbenannt, aber die Chaleurbai trägt schon diesen Namen. Winsor, Hist. of Am. IV, 87.

1550 (?). A map of part of North-America, from 28° N. northwards. (Rome [?] 1550.) Brit. Museum, Kartenkatalog I, p. 87, S. 69 (13).

1550. Diego Gutierrez (junior).

Pergamentkarte im Dépôt des cartes de la Marine, Paris. Gröfse 1,30:0,85 m. „Diego gutierrez Cosmographo de Su magd. me fizo en seuilla. Año de 1550.“

Ruge, Die Entwicklung der Kartographie von Amerika bis 1570.

10

Harrisse (Cabot, p. 231) hält sie für eine Kopie von Alonso Chaves' Weltkarte von 1536, die Oviedo in seiner Hist. general XXI, cp. X, t. II, p. 148 beschreibt, die aber verlorengegangen ist.

Um 1550. Atlas mit Karten von Nordamerika.

Im Riccardi-Palast zu Florenz.

Vgl. Jahrb. d. Ver. f. Erdkunde Dresden 1870, pl. 6—9.

Die Umrisse der Karte sind zu wenig charakteristisch wiedergegeben.

1551. Peter Apianus.

Weltkarte in seiner Cosmographia (Paris 1551), verschieden von der Weltkarte 1541 (Antwerpen).

Kopien: Nordenskiölds Atlas, Taf. XLIV. — K. Kretschmer, Taf. XIX, 2.

Die Darstellung Nordamerikas ist bedeutend hinter der Kenntnis der Zeit zurückgeblieben.

155 (?). Joannes Martines.

Planisphäre. Manusk.-Atlas im Brit. Mus., no. 9, 814.

Winsor (Hist. of Amer. II, 450) gibt eine flüchtige Umrisskizze, die schon die später sogenannte Anianstraße in ihrem vermuteten Verlaufe darstellt. Die Nomenklatur ist vorzugsweise italienisch, mit spanischen Formen. Kohl vermutet nur, daß Martines der Verfasser ist, denn sein Atlas von 1578 stimmt damit überein. Aber die so frühe Angabe der Anianstraße müßte uns eigentlich warnen, die Karte schon in die fünfziger Jahre zu setzen.

Kohl Collection no. 63.

1552. Franc. Demongenet.

Globus-Calotte. „Faciesbat Franciscus Demongenet anno 1552.“

Nordenskiölds Atlas, Taf. XI.

Die Zeichnung Nordamerikas, namentlich der Verlauf der Westküste, erinnert an Apian 1551 und Desliens.

In Nordamerika stehen die Worte: *baccalea, hispania maior, H. nova a F. Cortesio bis devicta*; in Westindien: *Cuba, hisp.*; in Südamerika: *AMERICA, domus tota aurea hic inventa est. brasilica*. Unter 60° N. Br. geht eine Wasserstraße um Nordamerika herum, so daß sich das arktische Asien darüber hinlagert.

1552. Gomara.

Historia general de las Indias (Saragossa). Enthält eine Karte von Amerika.

J. Winsor, Bibliography of Ptolemy's geography (Cambridge, Mass., 1884), p. 30*.

? Giac. Gastaldi.

Universalis exactissima atque non recens modo verum et recentioribus nominibus totius orbis insignata descriptio; quo nomine studiosis omnibus non tam utilis quam maxime necessaria, per Jacobum Castaldum Pedemont, apud Venetos; Prostant Antuerpiae apud Gerardum de Jode in Borsia nova.

Diese große Weltkarte in 2 Blättern mißt 0,80:0,47 m. Nationalbibl. zu Paris no. 20168, 2 Exemplare.

Vgl. Harrisse, Cabot, p. 237.

1553. Giac. Gastaldi.

Karte von Brasilien in Ramusio 1556, III, p. 427/8.

Brasilien ist im Westen durch den Marañon und La Plata begrenzt, die aus benachbarten Quellseen in der Provinz Mullobanba, der eine nach Norden, der andere nach Süden fließen.

1553. Nicolas de Nicolay.

Weltkarte, 30:20 cm, enthalten in der französischen Übersetzung von *Medinas Arte de navegar*, die Nicolay 1553 zu Lyon herausgab als: *L'Art de naviguer de Pierre de Medine*. Lyon, fol.

Die Karte trägt die Inschrift: N. Nicolay du daulphine, Géogr. du Roy.

Vgl. Harriase, Cabot, p. 239.

Etwa 1553. Portugiesische Weltkarte.

1,80:1,10 m, im Dépôt des cartes de la marine, Paris, archives de 1^{er} étage, portefeuille I, no. 4.

Sehr schöne Arbeit, bei der auch französische Quellen für Canada benutzt sind. Eine breite Meeresstraße zieht sich von der Davisstraße etwa zum Großen Ozean, wie auf französischen Karten.

Harriase, Cabot, p. 238.

1553. Pierre Desceliers.

Weltkarte auf Pergament, ähnlich denen von 1546 und 1550. „Faite à Arques par Pierre Desceliers. Probstre 1553.“ Im Besitz des Abbé Sigismond de Bubics zu Wien.

1553. Bapt. Agnese.

Atlas von 32 Karten. „Baptista Agnese in Venezia al 10 settembre 1553.“ Im Besitz des Conte Dona zu Venedig.

Vgl. G. Berchet, *Portolani esistenti nelle principale bibl. de Venezia*, p. 4 (Venedig 1866). — Desimoni, *Giorn. Lig.* II, 59. — *Atti Soc. Lig. Rend.* 1867, 176

1554. Bapt. Agnese.

„Baptista Agnese, fecit Venetiis anno Domini 1554 die 15 Julii.“ Citirt in Zuria, *M. Polo II*, 369 (Venedig 1818).

1554. Bapt. Agnese.

Atlas von 36 Karten in der Bibl. Marciana zu Venedig, Cod. LXII. „No Baptista palnese fecit uenetiis anno domini 1554, die 20 octobris rab.“ (sic).

Photogr. vervielfältigt und in der Sammlung von Theob. Fischer, pl. XVII (Venedig 1881, Ongania). — Vgl. Matkovic, S. 13. — Canale, *St. des Comm.*, p. 475. — *Atti Soc. Lig.* IV, 492. — Desimoni, *Giorn. Lig.* II, 59.

Amerika ist dargestellt wie 1545.

1554. Bapt. Agnese.

16 Karten in der Sammlung des Grafen Gio. Batt. Giustiniani. Venedig.

Harriase, *Disc. of N. Am.* 629.

1554. Framhezini.

Weltkarte von Framhezini, gestochen von Julius de Musis.

J. Winsor, *Bibliography of Ptolemy's geography* (Cambridge, Mass., 1884), p. 30^a.

1554. Joh. Bellero.

„Brevis exactaque totius novi orbis ejusque insularum descriptio recens. Joan. Bellero edita.“ Kleiner Holzschnitt in Gomaras, *Hist. general de las Indias*.

Vgl. Kunstmann, S. 150. — Uricoechea, no. 12.

Dieselbe Karte erschien auch in *Cieça de Leon's Chronica del Peru*, 1556. — *Darinel de Tirel's La Sphère des deux mondes* 1555. — *Levinus Apollonius, De Peruvia*. 1565–1567. — Vgl. J. Winsor, *A bibliography of Ptolemy's geography* (Cambridge, Mass., 1884), p. 30^a.

155(?) Atlas von Bologna.

Universitäts-Bibliothek. Cod. 997. Die Amerika betreffenden Blätter sind zuerst von K. Kretschmer, Taf. XXIII—XXVI, veröffentlicht und für Arbeiten B. Agneses erklärt.

„Der Atlas (schreibt Kretschmer S. 418, Anm. 3) umfaßt 20 Karten und ist das vollständigste Exemplar, welches mir von diesem Kartographen zu Gesicht gekommen ist. Die von ihm erhaltenen Kartenwerte, welche er fabrikmäßig in Groß-, Mittel- und Klein-Format herstellte, und die meist schon am Einband (braunes Leder mit Goldverzierungen) kenntlich sind, sind zallos. Die von Uzielli-Amat und Harriese (Cabot) gegebenen Verzeichnisse sind nicht im entferntesten vollständig. Es gelang mir in Italien eine große Anzahl von Atlanten, die bisher als Anonyma gegolten hatten, als Werke Agneses zu erkennen.“

Ich kann nach den im Atlas gegebenen Kopien keine Ähnlichkeit mit den bekannten und mit Agneses Namen belegten Kartenwerken erkennen. Darstellung und Schreibweise weichen von den echten Arbeiten sehr ab, und die Gleichartigkeit des Einbandes kann vorläufig noch nicht als Beweis dienen. Daß die vorliegenden Karten nicht vor 1550 zu setzen sind, deuten Inschriften an den Westküste Amerikas an, in Nordamerika die Bemerkung: „Fin qua scoperso franco Vasquez de coronado“ und in Südamerika: „p^o de Valdivia“. Die Entdeckungen Cartiers am Lorenzstrom sind zwar eingetragen aber ganz falsch dargestellt.

Wie sehr die Legenden der echten Agneses von dem Bologneser Atlas abweichen, zeigen folgende Reihen aus Nord- und Südamerika. Auf den Agneses lauten diese Namenreihen zwischen 1536—1546 auf vier Karten fast ganz gleich, und wenn man weiß, daß der Kartograph lange mit veralteten Darstellungen sich begnügte und z. B. Yukatan noch in den vierziger Jahren als Insel darstellte, so wird man sich schwer zu der Annahme entschließen, daß Agnese alle seine früheren Vorlagen plötzlich über Bord geworfen und ganz andre Vorbilder gewählt habe.

1. Küstennamen vom Gomezlande bis Florida:

Agnese 1536 1546.

C. de muchas islas.
montanas.
san xuan baptista.

rio de buena madre.
montana verte.
B. de S. Antonio.
B. de xpouall.
C. de S. Maria.

rio de san xuan.
terra de leccenciato ailon.

Atlas in Bologna.

C. de Molte isole.
C. de s. Maria.
Arcipelago.
C. Basso.
R. de bona madre.

R. de S. ant^o.
P. de S. crestofolo.
C. de S. Tiago.
C. de arenas.
C. Saiuar.
P^o del principe.
Rio Jordan.
R. Jordan.
R. de S. helena.
C. Secco.
Rio seco.
C. della cruz.
(R.) la cruz.

2. Küstennamen vom C. S. Augustin bis Cananea.

Agnese (Kunstmann).

C. de S. Agostin.
R. de S. Francisco.
porto reali.

B. de todos S.
rio de los colmas.
rio de brazil.
rio de las gostias.
bayos de los pargos.

Atlas von Bologna.

C. de S. agustino.

P^o Real.
B. de todos santos.
R. dubida (Turin 1523).
R. angio (R. de Juan gaye, Cabot).
R. de prao (Desliens).
R. di S. piero.
P^o seguro (Canerio).

Sierra de S. Lucia.
† rio.
† rio.
rio de Iestremo.
P. de S. saluad.
rio de la cananea.

B. de S. Salvador (1527).
B. de los Reyes (Canerio).
pe de S. vicente (Canerio).
Bonnbrigo.
Is fedonda.
Is de S. sebastian (Canerio).
Is de S. Katalina (Mercator 1511).
pe de los patos.

1555 (?). Eine Karte vom Orinoko und Amazonas.

Mapa de los rios Amazonas Esequivo o dulce y Orinoco y las comarcas adyacentes.
Nach einer Handzeichnung nachgebildet in Cartas da India. ✓

1555 (?). Französische Karte vom Golf von Mexiko.

Die Küstenlinie geht von Maine bis Honduras. Die Westküste Nordamerikas ganz wie
bei Desliens 1541. ✓

Vgl. Winsor, Hist. of Am. II, 224.

1555. Bapt. Agnese.

Citiert im Catalogue des cartes géogr. de la bibl. du prince Labanoff (Paris 1823),
no. 2067.

Harrisse, Cabot, p. 189, note 7.

1555. Guillaume le Testu.

Atlas von 59 Bl. auf Papier, 53:37 cm, im Kriegsministerium zu Paris. D. $\frac{2}{12}$ 14.
„Cosmographie universelle selon les navigations, tant anciens que modernes, par Guillaume
le Testu pilote en la mer du ponent: De la ville Francoyse de grace“ (Le Havre).

Auf Bl. VIII: Le livre fvi achevé par Guillaume le Testu. Le cinquiesme jour
d'april 1555 auant pasques.

Man sieht noch den portugiesischen Einfluss auf die französische Kartographie.

Vgl. Harrisse, Cabot, p. 241. — J. Winsor, Bibliography of Ptolemy's geography, p. 30^a.

1556. Cieça.

Dessen Werke (Antwerpen 1556) enthalten eine Karte von Amerika, s. Bellerio 1554.

1556 (?). Neufundland.

Winsor (Hist. of Am. IV, 87) gibt nur Umriss einer Manusk.-Karte aus dem Brit.
Museum. ✓

1556. Angelo Freducci aus Ancona.

Atlas in der Biblioteca comunale zu Mantua (Codex E. v. 10, Nr. 646).

K. Kretschmer (Taf. XX und XXI) hat zuerst die Karten von Westindien und der
Küste Brasiliens bis zur Allerheiligenbai veröffentlicht. Wertvoller und origineller in den
Namen ist die Karte von Westindien. Hier treffen wir deutliche Spuren der Karte
Vespucis an der Nordküste Südamerikas. Nur auf dieser Karte habe ich westlich von
C. Codera die beiden Namen ual ermoso und ual de amerigo gefunden. ✓

1556. G. Vopell.

Herzförmige Weltkarte in Giravas Cosmographia (Mailand 1556).

Kopien: Nordenskiöld's Atlas, Taf. XLVb. — Winsor, Hist. of Amer. II, 436 (verkleinert). —
H. Stevens, Notes. — Brit. Museum, Catalog 920 (207). ✓

Für die Auffassung ist beachtenswert, daß dicht neben Tierra de Baccalaos steht „Asia oriental“ und daß südöstlich von Mexiko an der Stelle, wo sich sonst Cipango befand, nun neben einer großen Insel „Malucas“ zu lesen ist.

Im unbekannten Südlände, südlich von der Magalhãesstraße, steht: Tierra meridional descubierta el año de 1499. Hindeutung auf Vespucci's Ansprüche.

Am obren Rande der Karte die Inschrift: Typo de la carta cosmographica de Gaspar Vopellio Medeburgense.

Dieselbe Karte ist in der Ausgabe 1570 wiederholt.

1556. Hieron. Girava.

✓ Dos libros de Cosmographia (Mailand 1556), s. G. Vopell 1556.

1557. Antonio Millo veneziano.

Atlas im Brit. Museum. (Bibl. Cotton. Julius E. II.)

Studi biogr. e bibliogr. II, p. 140, no. 193.

1558. Caspar Vopell.

Weltkarte, aus 12 Holzschnitten bestehend. Früher in der Sammlung des verstorbenen Feldzeugmeisters Ritter v. Hauslab, jetzt im Besitz des Fürsten v. Liechtenstein. Herzförmige Projektion, also ähnlich der Karte von 1556.

Vgl. Michow, Caspar Vopell, S. 9, in der Hamb. Festschrift zur Erinnerung an die Entdeckung Amerikas. Hamburg 1892. Bd. I.

1558. Diego Homem, Portugiese (lebte in Venedig).

Atlas im Brit. Museum. Add. 5415 A. „Diegus Homem, cosmographus fecit hoc opus año salutis 1558.“

Harrison, Cabot, p. 243. Kohl, Discov. of Maine, p. 377 u. Karte XXI. — Winsor, Hist. of Amer. IV, p. 92.

No. 4, 10, 11 und 12 beziehen sich auf Amerika. No. 4: Weltkarte. No. 10: Ostküste von Nordamerika. No. 11: Südküste von Nordamerika und Ostküste von Südamerika. No. 12: Nord- und Ostküste von Südamerika.

Im spanischen Amerika zeichnet Homem zuerst die Halbinsel Kalifornien.

Winsor, Hist. of Amer. II, 229.

Im Norden beginnt die Karte mit der Küste Terra agricule, die wie Grönland unter 60° N. endigt. Nördlich davon ein desertum Busor(um). Das Polarvolk der Busi erwähnt Adam v. Bremen in seiner Hist. eccles., cp. 228. Etwa am Eingange der Hudsonstraße — 60° N. — liegt eine I. da fortuna. An der Küste von Labrador und Neufundland sind die meisten Namen portugiesisch, nur an der Belle-isle-Straße französisch. Die Westküste Neufundlands ist unbestimmt gelassen.

Der Norden von Canada löst sich in Inseln auf und westlich davon liegt das Meer Mare leparamantium. Nur Homem kennt diese Namen. Kohl vermutet, er möchte ebenso mythisch sein wie Busi, und weist auf die Lebersee in demselben Kapitel Adams v. Bremen, was doch zu fern liegt, wenn auch die ersten Silben ähnlich klingen. Weiterhin für Neuschottland hat Homem gute Kartenvorlagen gehabt, seine Zeichnung ist richtiger als bei Mercator 1569 (Kohl 381). Auch die Fundybai hier zuerst, wenn auch noch mit unbestimmten Linien.

Um 1558. Diego Homem.

Atlas von 8 Karten, ohne Namen. 1,25:1,10 m. In der Nationalbibl. zu Paris, no. 1021 A.

Harrison, Cabot, p. 243.

1558. Diego Homem.

Atlas. Im Arsenal zu Venedig.

Atti Soc. Lig. IV, CLXVII. — Harrisse, Cabot, 244.

1558. Zenos Karte des nordatlantischen Ozeans

in dem Werke: *Relazione dello scoprimento dell' isole Frislanda, Eslanda, Engroveland, Estotilanda et Icaria, fatta da due fratelli Zeni, M. Nicolo il cavaliere e M. Antonio. Venetia per Franc. Marcolini 1558.*

Dafs die Karte der angeblichen Entdecker aus dem 14. Jahrhundert in manchen Teilen die Darstellung des Olaus Magnus (1539) nur kopiert hat, ist nach der Wiederauffindung dieser Karte unwiderleglich dargethan.

Zenos Karte wurde in den italienischen Ptolemäus-Ausgaben von Ruscelli 1561 und Moletti 1562 nachgestochen und äufserte noch bei Mercator 1569 und Ortelius 1570 ihren Einflufs.

Die Literatur über die Karte und angebliche Reise siehe in J. Winsor, *Bibl. of Ptolem. geogr.* 1884, p. 31.

1559. Andreas Homem.

Weltkarte in 10 Bl. auf Pergament, 77:62 cm. Ministerium der Auswärtigen Angelegenheiten in Paris.

Vgl. Harrisse, Cabot, p. 244.

Universa ac navigabilis totius terrarum orbis descriptio cum omnibus portubus ynsulis fluviis.

In einer Kartusche: *Andreas Homo, cosmographus Lusitanus me faciebat. Antverpiae año 1559.*

Die Karte ist denen Diego Homems ähnlich, die Nomenklatur ganz portugiesisch oder portugiesisch gemacht, wie Sequanoa (Saguenay), Golesme (Angoulesme), horleans (Orleans). Doch kommen im Norden mehrere französische Benennungen vor.

1559. Diego Homem.

Atlas. Nat.-Bibl. Paris, Carton C. 4877. *Diegus Homẽ Cosmographus me fecit año salutis 1559.*

Vgl. Harrisse, Cabot, 244.

1559. Bapt. Agnese.

Atlas. In der Sammlung von Perez Junquera, Madrid. „Hecho en Venezia en 1559, por Baptista Agnose“ (sic). (Vgl. *Lista de los objetos de la exposicion americanista. B. 858.*)

Harrisse, Cabot, 189, Note 8.

1560. Nicollo del Dolfinatto.

Cosmographo de christianissimo Re. Gedruckte Karte von Amerika in „Navigationi del mondo novo . . . opera di N. del D. etc. 1560“.

Brit. Museum, S. 30 (2). — Kopie der nordamerikanischen Küste in Kohl, *Hist. of disc. of Maine*, Taf. XVII, 4 u. p. 317. — Kohl, *Collection*, no. 68.

1560. Diego Homem.

Atlas. Bibl. Marciana in Venedig. Classe IV, Codex 64. „*Diegus Homem cosmographus me fecit anno Domini 1560.*“

Vgl. Harrisse, Cabot 243.

1560. Furlani-Gastaldi.

Amerika. Paulus de Furlanis Veronensis opus hoc ex^{mi} Cosmogr. Dⁿⁱ Jacobi Gastaldi Pedemontani instauravit . . . Venetiis, Joanni Francis Camotii aeneis formis 1560.

Brit. Mus., Katalog S. 10 (1). — Eine Skizze davon in Winsor, *Hist.* II, 488.

Nordamerika steht im engsten Zusammenhange mit Asien. Im Mississippithale sind Elephanten und Chinesen dargestellt. Nordwestlich von der Halbinsel Kalifornien liegt Zangar, weiter südwestlich davon Tebet, Quisai, die Insel Cimpaga, Mungi u. a.

1560. Forlani, Paoli di.

Navigazioni del Mondo novo. P. di F. fecit 1560.

Brit. Mus., Katalog S. 30 (2).

Furlani, siehe Forlani.

1560 (?). Fern. Bertelli.

L'isola Spagnola. F. B. exc. 1560 (?). Venedig.

Brit. Mus., Kat. I. 953, S. 10 (1).

1560. F. Bertelli.

L'Isola Cuba. F. B(ertelli). Venedig 1560 (?).

Brit. Mus., Kat. I. 953, S. 10 (1).

1560 (?). Die große Insel Cuba mit der umbliegenden Landschaft.

(Augsburg [?] 1560 [?]).

Brit. Mus., Kat. I. 953, S. 10 (2).

1560 (?). Forlani, Paoli di.

La descrizione di tutto il Peru . . . di P. di F.

Brit. Mus., Kat. S. 30 (2).

1560. Gastaldi, Giacomo di.

Weltkarte. Opus J. G. 1560.

Brit. Mus., Kat. S. 10 (1).

1560. Globus.

Im Mathem. Salon zu Dresden.

Vgl. Wieser, *Magalhãesstraße*, p. 70.

1561. Diego Homem.

Atlas. Bibl. Parma. Invent. Nr. 40.

Vgl. Harrisse, *Cabot*, 244.

Nach 1560. Bruchstücke einer spanischen Karte von Nordamerika.

Kopie in Duro, *Arca de Noé*, Madrid 1881. Original in der Bibl. der Akademie der Geschichte zu Madrid. — Vgl. Harrisse, *Cabot*, p. 245.

1561. Girol. Ruscelli.

Eine Planisphere, nicht veröffentlicht, im Museum der Propaganda in Rom.

Vgl. Thomassy, *Les papes géographes*, p. 26.

1561. Joh. Honterus.

De cosmographiae rudimentis. Basel 1561. Herzförmige Weltkarte. Faksimile in *Nordenskiölds Atlas*, Nr. 76, S. 119.

Zusammenhang von Nordamerika und Asien im Stile Schönörs. Quinsay und Mangi liegen westlich von Kalifornien.

1561. Girolamo Ruscelli aus Viterbo († 1569 zu Venedig).

Ptolemäus, Venedig 1561.

Die Karten dieser Ausgabe, erweiterte Kopien der Karten Gastaldis zum Ptolemäus 1548, wiederholen sich in den folgenden Ausgaben 1562, 1564, 1574.

Sie bildeten das Modell für die gemalten Wandkarten, die unter Pius IV. im Vatikan ausgeführt wurden. Vgl. Thomassy, *Les papes géogr. in Nouv. Annales de Voyages* 1853, p. 155.

Statt des schon 1546 von Gastaldi entworfenen Universale ist eine

1. *Orbis descriptio* in zwei Hemisphären gegeben. Yukatan und Kalifornien sind Halbinseln, Nordamerika und Asien hängen zusammen. Grönland heißt *Terra de lavorad* und hängt im Norden nicht mehr mit Europa zusammen.
2. „*Carta Marina nuova tavola*“ ist Nachbildung der Karte Nr. 60 aus dem Ptolemäus von 1548.
3. *Septentrionalium partium nova tabula* ist Nachbildung der Zeno-Karte von 1558, doch hängt auf der Originalkarte Grönland mit Lappland zusammen, auf der Kopie nicht.
4. *Tierra nova*, Südamerika.
5. *Nueva Hispaniae tabula nova*. Yukatan und Kalifornien als Halbinseln.
6. *Tierra nueva*. Neufundland und Umgebung.
7. *Brasil nuova tavola*.
8. *Isola Cuba nova*.
9. *Isola Spagnola nova*.

Die *Tierra nueva* ähnelt Ramusios *Nova Francia*, aber erstreckt sich weiter, bis 40° N., und enthält noch mehr französische Namen als bei Ramusio. C. de S. Maria ist hier wahrscheinlich das C. Cod. Hier erscheint zuerst der Name *Larcadia*¹⁾ vom indianischen *Acadie*, was in der Mikmaksprache einen Platz bedeutet. (Kohl, *Disc. of Maine*, p. 235.)

Auf der Karte *Nueva Hispania* finden sich die Namen am Mexikanischen Golfe alle auf der Generalkarte von 1527, aber mit manchen Entstellungen, ebenso auf der Karte von Südamerika.

1561. Bartolomeo Olives di Majorca.

Atlas im Kgl. Archiv zu Neapel. Bl. 2 u. 3 beziehen sich auf Amerika.
Stadi II, 428.

1562. Diego Gutierrez jun.

Americae sive quartae orbis partis nova et exactissima descriptio. Auctore D. Gutiero, Phil. regis cosmographo. H. Cock excude (Antwerpen 1562), 6 Bl.

Katalog, Brit. Mus. I, 79, Nr. 69810 (18). — Winsor (*History IV*, 90) macht aufmerksam auf die „curious confusion of names and localities in its canadian parts“. — Harriase, Cabot, p. 152.

1562. Gastaldi (Forlani, Camotii).

Planisfero universale, 30:50 cm, citiert in Castellani, *Catalogo ragionato*, Roma 1876. Fiorini citiert in seinem Werke über die Kartenprojektionen, p. 601, folgende Karten:

1. *Universale descriptione di tutta la terra conosciuta fin qui*. In Venetia al segno del Pozzo. 1562.
2. *Paulus de Forlanis Veronensis opus hoc cosmographi Jacobi Gastaldi pedemontani instauravit et dedicavit Paulo Michaeli Vicentino. Venetiis Joan. Francisci Camotii aereis formis*. MDLXII.

1562. Girolamo Ruscelli.

Ptolemäus (Venedig 1562) enthält dieselben Karten wie 1561, ebenso die Ausgaben von 1564 und 1574.

1562. Bartolomeo Olives.

Atlas in der Vatikan. Bibliothek, Codex Urbinas, Nr. 283.
Kopie in K. Kretschmer, Taf. XXXI u. XXXII.

¹⁾ *Acadie* steht auch auf einer Karte des Atlas von Bologna (K. Kretschmer, Taf. XXIII).

Diese beiden Karten umfassen die Antillen und Teile von Südamerika. In einer Legende auf Taf. XXXII liest man die Worte: „la nueva description que traxo el S. D. Garcia este Año 1562 de toda la costa de Chile asta el Estrecho . . .“

1562—1566. Paolo Forlani.

Carta nautica in der Nationalbibliothek zu Paris.

Vgl. Santarem, p. CXII—CXVII. — Bull. soc. géogr. Paris 1839. — Studi II, 142.

1563. Giorgio Sideri, detto Callapoda di Candia.

Atlas von 10 Karten, in der Marciana, Codex IV, 148, Venedig.

Kopie der Karte von Amerika in K. Kretschmer, Taf. XXII.

Fester Zusammenhang Nordamerikas mit Asien. Nordamerika heisst *Bacalan regio*, Südamerika *Peru*.

Vgl. Studi II, 433. — Kohl Collection no. 69, S. 17.

1563. Lazaro Luiz.

Amerika. Faksimile, veröffentlicht in E. A. de Bethencourt, *Descobrimentos, guerras e conquista dos Portugueses em terras de Ultramar*. Lissabon 1881.

Im Norden die Inschrift: „La terra dos laurador que descobrio Joam Alvarez“ (i. e. Fagundes). Die Reise des Fagundes fällt vor 1521.

Citiert nach H. Harrisse, *Disc. of N. Amer.*, p. 184, und Harrisse, *Cabot*, 276.

1564. Bapt. Agnese.

Atlas von 9 Blättern. „Baptista Agnese fecit uenetijs anno dm 1564 die 25 Mai“. Brit. Mus., add. Msc. no. 25442.

1564. Baptista Agnese.

In der Marciana (?).

Vgl. Matkovic, *Alte handschriftl. Seekarten*, S. 10. — Harrisse, *Cabot*, 189.

Bapt. Agnese.

Eine Anzahl Atlanten ohne Jahr.

1. Bibliothek der medizinischen Fakultät zu Montpellier. 22 Bl.

2. Kgl. Bibliothek zu Stockholm. 10 K.

3. Herzogl. Bibliothek in Wolfenbüttel. 14 K.

4. Sammlung des Barons Edmund Rothschild in Paris. 9 K.

5. Sammlung des Herrn H. Y. Thompson in London. 14 K.

6. Sammlung des Grafen Malartic in Dijon. 10 K.

7. Archiv der Propaganda in Rom. 14 K.

8. Nationalbibliothek zu Florenz. Cl. XIII, P. codex 5(?).

9. Königl. Bibliothek zu Turin. 15 Bl.

10. Bibl. Barberiniana zu Rom. Nr. XLVIII. 81.

11. Bibl. Barberiniana zu Rom. Nr. XLVIII. 125.

12. Privatbibliothek des Kaisers von Österreich. Nr. 7984. 12 K.

13. Universitätsbibliothek Glasgow (?).

14. K. K. Hofbibliothek in Wien. Cod. membr. no. 623. „Aptista Agnese ianuensis fecit uenetijs 15. — die February.“

K. Kretschmer, Taf. XVIII, 5, hat eine Karte von Amerika aus der Bibl. Nazionale zu Neapel VIII. D. 6, veröffentlicht, die er für eine Arbeit Agneses hält. Ich kann der Ansicht nicht beipflichten; ich finde keine Ähnlichkeit mit den Karten Agneses. Das vorliegende Blatt stammt aus der sechsziger Jahren des 16. Jahrhunderts und ähnelt der Darstellung Sideris 1563 und Bassus' von 1570.

Vgl. Harrisse, *Disc. of N. Am.*, p. 629.

1564. Forlani.

Descrittione dell Isole di Cuba da Paolo Forlani. 1564.

Brit. Museum, Katalog I, 953. K. 123, 19.

1564. P. Forlani, Veronese.

Gedruckte Karte von Hispaniola. „In Venetia, Paulo Forlano Veronese, fec. 1564.“

1565. F. Bertelli.

Universale descrittione di tutta la terra conosciuta fin qui 1565 F. Berteli exo.

Brit. Mus., Kat. S. 10 (2).

1565. Forlani (Gastaldi).

Universale descrittione di tutta la Terra conosciuta fin qui. P. F. Veronese fecit 1565.

Brit. Mus., Kat. S. 10 (2).

Nachstich der Karte von 1562.

Zwischen 1560—1570. Paulo di Forlani.

Südamerika. „La descrittione di tutto il Peru.“ Aus Laferis Atlas.

Faksimile in Nordenskiöld's Atlas, Nr. 80, S. 127.

Das ganze Innere mit Zeichnungen von Flüssen und Bergen ausgefüllt; aber von Westen her rücken die Orta- und Landnamen weit über die Berge, so daß Quito von der Ost- und Westküste gleich weit entfernt liegt. Nördlich vom Maragnon fließt noch ein R. de Oregliana.

1565. Lemoine.

Florida, gedruckt in Brevis narratio der Expedition von Laudonnière (de Bry, 1591).

Kopie in Gaffarel, Floride Française. — Shipp's, De Soto and Florida. — Vgl. Winsor, Hist. of Am. II, 274.

1566. Guillaume le Testu.

23. Mai 1566. Karte im Auswärtigen Amt in Paris. 118:79 cm, Pergament.

„Cette carte fut pourtraicte en toute perfection tant de latitude que longitude par moi Guillaume Le Testu pilote royal natif de la ville Francoyse de grace. Fut achevé le 23 jour de May 1566.“

Harrisse, Cabot, p. 242.

1566. Joh. Prätorius.

Globus, in Nürnberg, Stadtbibliothek.

Vgl. Ghillany, M. Behaim, S. 60.

1566. Oronce Finé (Cimerlinus).

Herzförmige Weltkarte vom Jahre 1536. Nachgestochen von Joh. Paul. Cimerlinus in Verona als „Cosmographia universalis ab Orontio olim descripta“. Joannes Paulus Cimerlinus Veronensis in aetate incidebat anno 1566.

Faksimile in Nordenskiöld's Atlas Nr. 53, p. 89.

1566. N. Desliens von Dieppe.

Manuskript-Karte in der Nationalbibliothek zu Paris.

Winsor, Hist. of Am. IV, 79. — Kohl, Collection sub 1566, p. 17.

1566. Zaltieri (Zalterius) von Bologna.

Nordamerika, aus Laferis Atlas.

„Il disegno del discoperto della nova Franza il quale s'è hauuto ultimamente della novissima navigatione de' Franzesi in quel luogo: Nel quale si vedono tutti l'isole, porti,

capi et luoghi fra terra che in quella sono. Venetiis aeneis formis Bolognini Zalterii. Anno MDLXV.“

Faksimile in Norrienskilds Atlas Nr. 81, p. 129. — Kopie in K. Kretschmer, Taf. XIX, 3.

Die Karte ist besonders merkwürdig dadurch, daß hier zuerst der Name *Fretum Anian* erscheint, und daß von nun an fast ganz allgemein Nordamerika und Asien wieder getrennt dargestellt wird. Diese Karte wird schon von R. Willes in seiner Abhandlung (*Hakluyt III*, p. 26 [London 1600]) als die älteste Karte mit dem Namen „Anian“ genannt.

Winsor (*Hist. of Am. II*, 450) gibt eine Skizze der Weltkarte von Martinez, ohne Jahr, die von Kohl zu früh, nach 155 (?) verlegt wird. Das Original findet sich im Brit. Museum unter Nr. 9814 in der Sammlung des Herzogs Cassano Serra.

Auf der Karte Zalterii sieht man, wie weit die Kenntnis des Landes geht, und wo die Phantasie anfängt, namentlich an den Namen Quivira, Civola, Apalachen, ein Name, den Soto zuerst hörte, und Nova Franza. Die französischen Entdeckungen am Lorenzstrom sind noch nicht richtig eingetragen.

1568. Diego Homem.

Atlas in der Kgl. Bibliothek zu Dresden.

„Diegus homē cosmographus Lusitanus fecit venetiis año a partu virgines 1568.“

Der Atlas beginnt mit Amerika und bringt 1. Mittelamerika, 2. Peru, 3. Brasilien, 4. Nova Francia und die Kleinen Antillen, 5. Terra Agricule.

Die Neufundlandküste ist vollständiger als bei allen Vorgängern und gibt, nach portugiesischen Vorbildern, die Küste von J. de Fortuna bis C. Raso, Belle isle und Lorenzgolf. Dann sind die Namen von Verrazzano und Maggiolo entnommen. Weiter im Süden sind ganz originelle Namen, die sonst nirgend vorkommen, z. B.: Cap de S. Jaques (an ganz anderer Stelle), Ribera de jardins. Weiterhin kommen Anklänge an die Cartas da India. Die Südküste von Haiti hat viel neue Namen, die auch mit dem Ptolemäus von 1561 nicht stimmen.

Für die Nordostküste Südamerikas diente Desliens als Vorbild. Südlich von R. Janeiro wird die Nomenklatur unsicher bis zum Laplata. Die Kenntnis der Westküste reicht gegen Süden bis nahe zur Insel Chiloe.

1569. Ant. Sal.

Doppeltherzförmige Weltkarte, gedruckt, exc. Romae.

Brit. Mus. — Kohl, Collection, no. 71.

1569. G. Mercator.

Weltkarte in usum navigantium, Originale in Paris und Breslau.

Nach dem Exemplar in Breslau ist die Karte von der Gesellschaft für Erdkunde zu Berlin photolithographisch vervielfältigt in „Drei Karten von G. Mercator, 41 Tafeln, Berlin 1891“. — Kopie in Jonard, *Monuments de la géogr.*

Für den höchsten Norden kopiert M. die Karte Zenos, namentlich Grönland, das unter dem Polarkreis endigt. Darunter folgt das wirkliche Grönland, das bis zum 60.° N. herabreicht, als terra Agriculae oder Labrador der Spanier, dem er den Namen Estotiland gibt, das nicht wie bei Zeno eine Insel ist, sondern zum Festlande von Nordamerika geschlagen ist.

Gut gezeichnet ist dagegen Labrador als Terra Corterealis. Die Breitenbestimmungen für Neufundland sind zum Teil richtig, z. B.: C. Race; im Innern Canadas weist eine Inschrift auf ein Süßwassermeer hin, von dem die Anwohner des Saguenay wissen; jedenfalls die erste Kunde vom Huronsee.

Weiter im Süden zuerst der Name Golfo Mexicano. Nordwestlich von Hispania nova,

also in Nordmexiko, beginnt bereits India, und doch sind Asien und Amerika durch die Anianstraße getrennt. In Südamerika nennt er Copiapo zuerst. M. kennt die Westküste ebensogut wie Homem, aber seine Zeichnung ist falsch.

1570. Francisco Basso.

Globus in Mailand.

Kopie der amerikanischen Seite in K. Kretschmer, Taf. XXIX.

Basso vertritt wieder die Ansicht von dem engen Zusammenhange Asiens mit Europa.

Harrisse, Cabot, 217.

1570. Giov. Martines von Messina.

Atlas von 18 Karten.

Brit. Museum. — Desimoni, Giorn. Ligust. II, 62, 265.

1570. Jehan Cossin von Dieppe.

Manuskript-Karte in der Nationalbibliothek zu Paris.

Harrisse, Cabot, p. 217.

1570. G. Gastaldi.

Weltkarte, gestochen von Forlani.

1570. G. Gastaldi.

Weltkarte, gestochen von C. Duchet.

1570. A. Ortelius.

Theatrum orbis terrarum (Antwerpen 1570, 20. Mai.) 53 Karten.

1. Typus orbis terrarum.

2. Americae sive novi orbis, nova descriptio.

Die Umrisse, die Mercator und Ortelius dem Erdteil Amerika gaben, hielten sich lange.



Druck der Engelhard-Reyherschen Hofbuchdruckeret in Gotha.

Als Ergänzungshefte zu den „Mitteilungen“

sind erschienen:

- Nr. 1. Vibe, *Küsten und Meer Norwegens*. 1 M.
 Nr. 2. Tschudi, *Reise durch die Anden von Süd-Amerika, 1858*. 1 M.
 Nr. 3. Barth, *Reise durch Kleinasien, 1855*. 3 M.
 Nr. 4. Lejoux, *Ethnographie der Europäischen Türkei* (deutscher und französischer Text). 2 M.
 Nr. 5. Wagner, M., *Physikalisch-geographische Skizzen des Isthmus von Panama*. 1 M.
 Nr. 6. Petermann und Hassestein, *Ost-Afrika zwischen Charium und dem Roten Meer*. 60 Pf.
 Heft 1–6 bilden den I. Ergänzungsband (1860–1861). 8 M. 60 Pf.
Petermann und Hassestein, Inner-Afrika:
 Nr. 7. „ „ „ *Beurmanns Reise 1860, Kotschy 1859, Brun-Kollet 1856*. 2 M.
 Nr. 8. „ „ „ *Behm, Land und Volk der Toba, Beurmanns Reise nach Murzuk 1869*. 3 M.
 Nr. 10. „ „ „ *Antinoris Reise zum Lande der Djur 1860 und 1861, Beurmanns Reise nach Wau*. 3 M.
 Nr. 11. „ „ „ *Mémoire zu den Karten: Reisen von Heuglin, Morlang, Harmer*. 4 M. 60 Pf.
 Heft 7, 8, 10, 11 bilden den II. Ergänzungsband (1862–1863). 13 M. 60 Pf.
 Nr. 9. Haifeld und Tschudi, *Minas Geraes*. 2 M.
 Nr. 12. Kofitzka, *Die Hoke Tatra in den Zentral-Karpathen*. 6 M.
 Nr. 13. Heuglin, Kleiselbach, Mauzinger, Steudner, *Die Deutsche Expedition in Ost-Afrika, 1861 und 1862* (Sudan und Nord-Absessien). 4 M. 60 Pf.
 Nr. 14. Hiebfhofen, *Die Metallproduktion Kaliforniens und der angrenzenden Länder*. 1 M. 60 Pf.
 Nr. 15. Heuglin, *Die Tinneco-Expedition im westlichen Nil-Quellgebiet, 1863 und 1864*. 3 M.
 Heft 9, 12–15 bilden den III. Ergänzungsband (1863–1864). 15 M. 30 Pf.
 Nr. 16. Petermann, *Spitzbergen und die arktische Zentral-Region*. 2 M.
 Nr. 17. Payer, *Die Adamello-Fraasella-Alpen*. 3 M.
 Nr. 18. Payer, *Die Orlier-Alpen, Südtirolgebiet*. 3 M.
 Nr. 19. Behm, *Die modernen Verkehrsmittel: Dampfschiffe, Eisenbahnen, Telegraphen*. 3 M. 60 Pf.
 Nr. 20. Tschibatsch, *Reisen in Kleinasien und Armenien, 1847–1863*. 4 M. 60 Pf.
 Heft 16–20 bilden den IV. Ergänzungsband (1865–1867). 15 M. 30 Pf.
 Nr. 21. Spörer, J., *Novaja Semla in geographischer, naturhistorischer und volkswirtschaftlicher Beziehung*. 3 M. 60 Pf.
 Nr. 22. Fritsch, *Reisebilder von den Canarischen Inseln*. 1 M. 60 Pf.
 Nr. 23. Payer, *Die westlichen Orlier-Alpen (Trafoirergebiet)*. 3 M. 60 Pf.
 Nr. 24. Joppe, *Die Transvaalsche Republik*. 3 M. 60 Pf.
 Nr. 25. Rohlf, *Reise durch Nord-Afrika von Tripoli nach Kuka*. 3 M.
 Heft 21–25 bilden den V. Ergänzungsband (1867–1868). 14 M. 80 Pf.
 Nr. 26. Lindeman, *Die arktische Fischerei der Deutschen Seesäthe 1820–1868*. 3 M. 60 Pf.
 Nr. 27. Payer, *Die südlichen Orlier-Alpen*. 3 M. 60 Pf.
 Nr. 28. Koldewey und Petermann, *Die Erste Deutsche Nordpolar-Expedition, 1868*. 3 M.
 Nr. 29. Petermann, *Australien in 1871. Mit geographisch-statistischem Compendium von Meinicke*. 1. Abt. 3 M. 60 Pf.
 Heft 26–29 bilden den VI. Ergänzungsband (1869–1871). 13 M.
 Nr. 30. Petermann, *Australien in 1871. Mit geographisch-statistischem Compendium von Meinicke*. 2. Abt. 3 M. 60 Pf.
 Nr. 31. Payer, *Die zentralen Orlier-Alpen, Martell etc.* 3 M.
 Nr. 32. Socklar, *Die Zillerthaler Alpen*. 3 M. 60 Pf.
 Nr. 33. Behm und Wagner, *Die Bevölkerung der Erde*. I. 3 M. 60 Pf.
 Nr. 34. Rohlf, *Reise durch Nord-Afrika von Kuka nach Lapes*. 4 M. 60 Pf.
 Heft 30–34 bilden den VII. Ergänzungsband (1871–72). 17 M. 40 Pf.
 Nr. 35. Behm und Wagner, *Die Bevölkerung der Erde*. II. 5 M.
 Nr. 36. Dr. G. Radde, *Vier Vorträge über den Koukassu*. 4 M.
 Nr. 37. Masch, *Reisen im Innern von Süd-Afrika, 1868–1872*. 2 M. 60 Pf.
 Nr. 38. Wejckhof, *Die atmosphärische Zirkulation*. 3 M.
 Heft 35–38 bilden den VIII. Ergänzungsband (1872–1874). 14 M. 60 Pf.
 Nr. 39. Petermann, *Die südamerikanischen Republiken Argentina, Chile, Paraguay und Uruguay in 1875. Mit einem geographischen Compendium von Burmeister*. 4 M. 20 Pf.
 Nr. 40. Waltenberger, *Die Khätkon-Kette, Lechtaler und Voralberger Alpen*. 4 M. 40 Pf.
 Nr. 41. Behm und Wagner, *Die Bevölkerung der Erde*. III. 4 M. 40 Pf.
 Nr. 42. H. Sowerzows, *Erforschung des Thian-Schan-Gebirgs-Systems 1867*. I. Hälfte. 4 M. 60 Pf.
 Heft 39–42 bilden den IX. Ergänzungsband (1875). 17 M. 40 Pf.
 Nr. 43. H. Sowerzows, *Erforschung des Thian-Schan-Gebirgs-Systems 1867*. II. Hälfte. 4 M. 40 Pf.
 Nr. 44. Cornika, *technische Studien-Expedition durch die Gebiete des Euphrat und Tigris*. I. Hälfte. 4 M.
 Nr. 45. Cornika, *technische Studien-Expedition durch die Gebiete des Euphrat und Tigris*. II. Hälfte. 4 M.
 Nr. 46. Brutschnelder, *Die Peking Ebene und das benachbarte Gebirgsland*. 3 M. 20 Pf.
 Nr. 47. Hagenmachers, *Reise im Somali-Lande*. 1 M. 60 Pf.
 Heft 43–47 bilden den X. Ergänzungsband (1875–1876). 16 M. 40 Pf.
 Nr. 48. Oerny, *Die Wirkung der Winde auf die Gestaltung der Erde*. 3 M. 20 Pf.
 Nr. 49. Behm und Wagner, *Die Bevölkerung der Erde*. IV. 5 M.
 Nr. 50. Zippert, *Frugensmaeres Reisen im Nilgebiete*. I. Hälfte. 3 M. 60 Pf.
 Nr. 51. Zippert, *Frugensmaeres Reisen im Nilgebiete*. II. Hälfte. 3 M.
 Nr. 52. Forsyth, *Ost-Turkestan und das Pamir-Plateau*. 4 M.
 Heft 48–52 bilden den XI. Ergänzungsband (1876–1877). 17 M.

Nr. 53. *Przewalsky's Reise an den Lob-Nor und Altyn-Tag 1876-1877.* 2 M.

Nr. 54. *Die Ethnographie Rußlands, nach A. F. Rittich.* 5 M.

Nr. 55. *Behm und Wagner, Die Bevölkerung der Erde.* V. 5 M.

Nr. 56. *Credner, Die Deltas.* 4 M.

Heft 53-56 bilden den XII. Ergänzungsband (1877-1878). 16 M.

Nr. 57. *Sootbeor, Edelmetall-Production.* 5 M. 60 Pf.

Nr. 58. *Fischer, Studien über das Klima der Mittelmeerländer.* 4 M.

Nr. 59. *Reis, Der Nakasendö in Japan.* 8 M. 30 Pf.

Nr. 60. *Lissman, Die Seefischerei.* 5 M.

Heft 57-60 bilden den XIII. Ergänzungsband (1879-1880). 17 M. 80 Pf.

Nr. 61. *Rivelli, J., Die Serra da Estrella.* 2 M.

Nr. 62. *Behm und Wagner, Die Bevölkerung der Erde.* VI. 5 M.

Nr. 63. *Wohls, Die Norwegische Nordmeer-Expedition.* 2 M.

Nr. 64. *Fischer, Die Dattelpalme.* 4 M.

Nr. 65. *Berlepsch, Die Gotthard-Bahn.* 4 M. 80 Pf.

Heft 61-65 bilden den XIV. Ergänzungsband (1880-1881). 17 M. 60 Pf.

Nr. 66. *Dr. P. Schreiber, Die Bedeutung der Windroten.* 2 M. 20 Pf.

Nr. 67. *Blumentritt, Ferd., Versuch einer Ethnographie der Philippinen.* 6 M.

Nr. 68. *Berndt, O., Das Val d'Anniviers und das Bassin de Siere.* 4 M.

Nr. 69. *Behm und Wagner, Die Bevölkerung der Erde.* VII. 7 M. 40 Pf.

Nr. 70. *Bayberger, Der Jungtischer von Kuffstein bis Haag.* 4 M.

Heft 66-70 bilden den XV. Ergänzungsband (1881-1882). 22 M. 80 Pf.

Nr. 71. *Chorschohin und v. Stein, Die russischen Kosakenheere.* 2 M. 20 Pf.

Nr. 72. *Juan Maria Schuber, Reisen im oberen Nilgebiet.* 4 M. 40 Pf.

Nr. 73. *Dr. Carl Schumann, Kritische Untersuchungen über die Zimtländer.* 2 M. 80 Pf.

Nr. 74. *Dr. Oscar Druce, Die Florenze der Erde.* 4 M. 40 Pf.

Nr. 75. *Dr. R. v. Lendenfeld, Der Tasman-Gletscher und seine Umrandung.* 5 M. 40 Pf.

Heft 71-75 bilden den XVI. Ergänzungsband (1883-84). 19 M. 40 Pf.

Nr. 76. *Dr. Fritz Rogel, Die Entwicklung der Ortschaften im Thüringerwald.* 4 M. 40 Pf.

Nr. 77. *F. Stolz und F. C. Andreas, Die Handelsverhältnisse Periens.* 4 M.

Nr. 78. *Dr. H. Fritzsche, Ein Beitrag zur Geographie und Lehre vom Erdmagnetismus Asiens und Europas.* 5 M.

Nr. 79. *Prof. H. Wohls, Die Strömungen des europäischen Nordmeeres.* 2 M. 60 Pf.

Nr. 80. *Dr. Franz Boss, Baffin-Land. Geographische Ergebnisse einer 1883 und 1884 ausgeführten Forschungsreise.* 5 M. 40 Pf.

Heft 76-80 bilden den XVII. Ergänzungsband (1885-1886). 21 M. 40 Pf.

Nr. 81. *Franz Bayberger, Geographisch-geologische Studien aus den Böhmerwäldern.* 4 M.

Nr. 82. *Robert v. Schlegel, Die Parischen Eisbahnen in Nordamerika.* 2 M. 60 Pf.

Nr. 83. *Dr. Gustav Berndt, Die Alpenflora in seinem Einfluß auf Natur und Menschenleben.* 3 M. 60 Pf.

Nr. 84. *Alexander Supan, Archiv für Wirtschaftsgeographie. I. Nordamerika, 1880-1885.* 5 M.

Nr. 85. *Gustav Radde, Aus den dagestanischen Hochalpen, vom Schak-dagh zum Dalty und Bogos.* 4 M. 40 Pf.

Heft 81-85 bilden den XVIII. Ergänzungsband (1886-1887). 19 M. 60 Pf.

Nr. 86. *Dr. Rudolf Credner, Die Reliktenseen. I. Teil.* 5 M. 60 Pf.

Nr. 87. *Dr. R. v. Lendenfeld, Forschungsreisen in den Australischen Alpen.* 3 M.

Nr. 88. *Dr. J. Partsch, Die Insel Korfu.* 5 M. 40 Pf.

Nr. 89. *Dr. Rudolf Credner, Die Reliktenseen. II. Teil.* 3 M. 40 Pf.

Heft 86-89 bilden den XIX. Ergänzungsband (1887-1888). 17 M. 40 Pf.

Nr. 90. *H. Blanckenhorn, Die geognostischen Verhältnisse von Afrika. I. Teil.* 4 M.

Nr. 91. *Hermann Michaelis, Von Hankau nach Su tschou (Reisen im mittleren und westlichen China 1879-1881).* 4 M.

Nr. 92. *Dr. W. Junkers Reisen in Zentralafrika 1880-1885. Wissenschaftliche Ergebnisse. I.* 4 M.

Nr. 93. *Dr. W. Junkers Reisen in Zentralafrika 1880-1885. Wissenschaftliche Ergebnisse. II u. III.* 4 M. 80 Pf.

Nr. 94. *W. v. Oest, Von Tripkanon über den Dindymos zum Pontus.* 6 M. 40 Pf.

Heft 90-94 bilden den XX. Ergänzungsband (1888-1889). 23 M. 80 Pf.

Nr. 95. *Dr. J. Partsch, Die Insel Leukas.* 2 M. 60 Pf.

Nr. 96. *Max Boschoron, São Pedro do Rio Grande do Sul.* 5 M.

Nr. 97. *Dr. Karl Dove, Kulturreisen von Nord-Absessien.* 2 M. 60 Pf.

Nr. 98. *Dr. Joseph Partsch, Kephallenia und Ithaka. Eine geographische Monographie.* 6 M.

Nr. 99. *v. Hühnel, Ostäquatorial-Afrika zwischen Fungani und dem neu entdeckten Rudolf-See.* 4 M. 30 Pf.

Nr. 100. *Dr. Gustav Radde, Karabagh.* 4 M.

Heft 95-100 bilden den XXI. Ergänzungsband (1889-1890). 24 M. 40 Pf.

Nr. 101. *Wagner und Supan, Die Bevölkerung der Erde. VIII.* 10 M.

Nr. 102. *Johannes Walther, Die Adamsbrücke und die Korallenriffe der Fulktrafen.* 3 M. 60 Pf.

Nr. 103. *Dr. Paul Schnell, Das marokkanische Atlasgebirge.* 5 M.

Nr. 104. *Dr. Alfred Hettner, Die Kordillere von Bogotä.* 6 M.

Heft 101-104 bilden den XXII. Ergänzungsband (1891-1892). 23 M. 60 Pf.

Nr. 105. *Wohls und Nansen, Wissenschaftliche Ergebnisse von Dr. F. Nansens Durchquerung von Grönland 1888.* 6 M.



Dr. A. Petermanns Mitteilungen

aus

Justus Perthes' Geographischer Anstalt.

Herausgegeben von

PROF. DR. A. SUPAN.

Ergänzungsheft Nr. 107.

Die

Bevölkerung der Erde.

IX.

Herausgegeben von

Hermann Wagner und **Alexander Supan**
Göttingen. Gotha.



GOTHA: JUSTUS PERTHES.

1893.

Preis 7 M.

Als Beiträge für diese Zeitschrift

werden *Abhandlungen, Aufsätze, Notizen, Litteraturberichte* und *Karten* in ausgeführter Zeichnung oder skizziert, welche sich auf die Gebiete der Geophysik, Anthropogeographie, speziellen Landeskunde, astronomischen Geographie, Meteorologie, Nautik, Geologie, Anthropologie, Ethnographie, Staatenkunde und Statistik beziehen, erbeten. Ganz besonders sind verlässliche Notizen oder briefliche Berichte aus den *aufseruropäischen* Ländern, wenn auch noch so kurz, nicht nur von Geographen von Fach, sondern auch von offiziellen Personen, Konsuln, Kaufleuten, Marine-Offizieren und Missionaren, durch welche uns bereits so wertvolle und mannigfaltige Berichte zugegangen sind, stets willkommen.

Reisejournale zur Einsicht und Benutzung, sowie die bloßen *unberechneten Elemente astronomischer, hypsometrischer und anderer Beobachtungen* und *Nachrichten über momentane Ereignisse* (z. B. Erdbeben, Orkane), sowie über *politische Territorialveränderungen* etc. werden stets dankbar entgegengenommen. Ferner ist die Mitteilung *gedruckter*, aber seltener oder schwer zugänglicher *Karten*, sowie *aufseruropäischer*, geographische Berichte enthaltender *Zeitungen* oder anderer mehr ephemerer *Flugschriften* sehr erwünscht. — Für den Inhalt der Artikel sind die Autoren verantwortlich.

Die Beiträge sollen womöglich in deutscher Sprache geschrieben sein, doch steht auch die Abfassung in einer andern Kultursprache ihrer Benutzung nicht im Wege.

Originalbeiträge werden pro Druckbogen für die Monatshefte mit *68 Mark*, für die Ergänzungshefte dementsprechend mit *51 Mark*, **Übersetzungen** oder **Auszüge** mit der *Hälfte dieses Betrages*, **Litteraturberichte** mit *10 Pf.* pro Zeile in Kolonels-Schrift, jede für die „Mitteilungen“ geeignete **Originalkarte** gleich einem Druckbogen mit *68 Mark*, **Kartenmaterial** und **Kompilationen** mit der *Hälfte dieses Betrages* honoriert. In aussergewöhnlichen Fällen behält sich die Redaktion die Bestimmung des Honorars für Originalkarten vor.

An *Verlagsbuchhandlungen* und *Autoren* richten wir die Bitte um Mitteilung ihrer Verlagsartikel bzw. Werke, Karten oder Separatabdrücke von Aufsätzen mit Ausschluss derjenigen lediglich schulgeographischen Inhalts behufs Aufnahme in den Litteratur- oder Monatsbericht, wobei wir jedoch im vorhinein bemerken, daß über Lieferungswerke erst nach Abschluß derselben referiert werden kann.

FÜR DIE REDAKTION: PROF. DR. A. SUPAN. JUSTUS PERTHES' GEOGRAPHISCHE ANSTALT.

Die Bevölkerung der Erde.

Periodische Übersicht

über

neue Arealberechnungen, Gebietsveränderungen, Zählungen und Schätzungen
der Bevölkerung auf der gesamten Erdoberfläche.

Herausgegeben von

Hermann Wagner
Göttingen.

und

Alexander Supan
Gotha.

IX.

(ERGÄNZUNGSHEFT No. 107 ZU „PETERMANN'S MITTHEILUNGEN“.)

GOTHA: JUSTUS PERTHES.

1893.



Vorwort.

Die Herausgeber der „Bevölkerung der Erde“ haben sich entschlossen, den IX. Jahrgang nur auf die Ortsstatistik zu beschränken, da die Neubearbeitung der Länderstatistik das Erscheinen allzusehr verzögert hätte.

Das vorliegende Heft, das ausnahmslos von dem Unterzeichneten bearbeitet wurde, ist vor allem den großen Volkszählungen gewidmet, die im Laufe der letzten Jahre in den meisten Kulturstaaten zur Ausführung gelangten. Von den wichtigsten fehlen nur noch die indische und die canadische; von der letztern sind zwar die vorläufigen Ergebnisse bekannt, aber sie zeigen einige Lücken, die es geboten erscheinen ließen, die Veröffentlichung des abschließenden Censuswerkes abzuwarten. Schätzungen und Berechnungen wurden nur von einigen wenigen Staaten aufgenommen, von denen in absehbarer Zeit keine Zählungen zu erhoffen sind.

Auch ältere Zählungen wurden berücksichtigt, soweit sie in der „Bevölkerung der Erde“ noch nicht Aufnahme finden konnten. Es geschah dies nicht bloß deshalb, um den Zusammenhang mit den frühern Jahrgängen herzustellen, sondern auch in der Überzeugung, daß bei allen statistischen Untersuchungen die einzelnen Zahlen nur als Glieder einer Entwicklungsreihe Wert und Bedeutung erhalten.

Wie in den frühern Bearbeitungen, so ist auch jetzt wieder die Herstellung einer wirklichen Ortsstatistik im topographischen Sinne angestrebt worden, ohne daß darüber die für viele praktische Zwecke unentbehrliche Gemeindestatistik, wenigstens in den europäischen Staaten, vernachlässigt worden wäre. Wo die amtlichen Quellen sich nur auf Gemeindestatistik beschränken, kann man sich damit helfen, daß man die städtischen Gemeinden herausucht, in denen die zerstreute Bevölkerung gegenüber der agglomerierten nicht sehr ins Gewicht fällt; freilich ist auch das nicht immer möglich, wie in Spanien, und in Ländern mit starker Industrie, wie in Belgien, auch gar nicht statthaft, weil hier der Unterschied von Dorf und Stadt vielfach gänzlich verwischt ist. Am schlimmsten ist es jedenfalls mit der Ortsstatistik Spaniens und seiner Kolonien bestellt.

Als untere Grenze bei der Auswahl der Orte wurde bisher gewöhnlich eine Ortsbevölkerung von 2000 festgehalten; wir haben dieselbe in allen Ländern mit einer mittlern Dichtigkeit von ca 50 (pro qkm) auf 5000 hinaufgeschraubt, zunächst wohl, um das Heft nicht übermäßig anschwellen zu lassen, aber auch aus einem sachlichen Grunde. Man nennt gewöhnlich im wirtschaftlichen Sinne Orte mit mehr als 2000 Bewohnern kurzweg Städte; auch die amtliche französische Statistik hat sich diesem Gebrauche angeschlossen. Wir sind dagegen der Ansicht, daß die ziffermäßige Grenze zwischen städtischer und ländlicher Bevölkerung eine durchaus flüssige ist und mit steigender Dichtigkeit immer höher hinaufdrückt. In dünner bevölkerten Staaten haben wir alle Orte über 2000, in noch spärlicher bewohnten alle über 1000 Einw. oder sogar noch kleinere aufgenommen.

Besonders lag es uns am Herzen, das Prinzip der kombinierten Ortszahl soweit als möglich durchzuführen. Unter kombinierten Orten verstehen wir solche, die aus mehreren zusammenhängenden Orten, in der Regel auch aus mehreren Gemeinden bestehen. Wir legen auf den wirklichen Zusammenhang besonderes Gewicht, im Gegensatz zu Reclus u. a., die mehr die wirtschaftliche Zusammengehörigkeit betonen und nach diesem Gesichtspunkte auch Orte einbeziehen, die wir noch als selbständig betrachten. Es ist dagegen nichts einzuwenden, außer daß die Durchführung dieses Grundsatzes auf ernsthafte Hindernisse stößt. Zu topographischen Ortskombinationen genügen zuverlässige Karten in großem Maßstabe, zu wirtschaftlichen ist aber eine sehr genaue Kenntnis aller einschlägigen Verhältnisse notwendig, die man sich wohl kaum anders, als durch Studien an Ort und Stelle selbst erwerben kann. Aber auch richtig durchgeführt, bietet die wirtschaftliche Kombination zwar unstreitig viel Interesse, hat aber nicht dieselbe praktische Bedeutung, wie sie der topographischen, besonders in unsrer Zeit gewaltigen Städtewachstums zukommt. Die Verschmelzung zweier Städte von ähnlicher Größe, die Aufsaugung kleinerer Vororte, das Anschwellen dieser Vororte selbst durch die Arbeiter- und Villenbevölkerung, das sind Erscheinungen, denen wir in industriellen Ländern immer wieder begegnen, und die nicht bloß deshalb unsre besondere Beachtung verdienen, weil sie von der amtlichen Statistik — die australische ausgenommen — ignoriert werden, sondern auch deshalb, weil sie über kurz oder lang einschneidende politische Maßregeln fordern. Der Widerspruch zwischen dem tatsächlichen Zusammenhang und der administrativen Trennung wird immer schwer empfunden, wenn auch die meisten Städte nur zögernd sich entschließen, Gemeinden, mit denen sie schon längst verwachsen sind, in ihren Verband aufzunehmen, während andre, wie Wien und Leipzig, die ganze Frage kühn in einem Zuge lösen. Staatsgrenzen, die einen kombinierten Ort durchschneiden, müssen freilich respektiert werden, und wir haben in den Haupttabellen auch daran Halt gemacht, in den Anmerkungen und in der Schlusftabelle aber auch in diesen Fällen dem topographischen Ortsbegriffe zu seinem Rechte verholfen. Grundsätzlich haben wir bei jeder Kombination alle einzelnen Elemente aufgeführt; dadurch ist es dem Benutzer unsrer Tabellen möglich gemacht, jeden Fall selbst zu prüfen und, wenn nötig, Fehler zu verbessern. Denn daß manche Kombination mangelhaft ist, dessen sind wir uns wohl bewußt, weil unser Kartenmaterial nicht immer ausreichte. Aus demselben Grunde, oder wegen der Unzulänglichkeit unsrer statistischen Quellen sahen wir uns auch genötigt, in vielen Ländern auf diese Operation überhaupt zu verzichten.

Gotha, Ende Februar 1893.

A. Supan.

Inhaltsverzeichnis.

Ortsstatistik, bearbeitet von A. Supan.

Europa.

	Seite
Deutsches Reich 1885 und 1890: Gemeinden und Wohnplätze über 5000 Einw.	1
Preußen	2
Königreich Sachsen	12
Thüringische Staaten	14
Norddeutsche Kleinstaaten	14
Bayern	15
Württemberg	16
Baden	17
Großherzogtum Hessen	18
Elsaß-Lothringen	18
Österreichisch-ungarische Monarchie 1890	19
Österreichische Reichshälfte: Gemeinden und Ortschaften über 5000 Einw.	19
Ungarische Reichshälfte: Gemeinden über 5000 Einw.	22
Liechtenstein 1886 und 1891	26
Schweiz 1888: Gemeinden über 5000 Einw.	26
Frankreich 1881, 1886, 1891: Gemeinden und Hauptorte über 5000 Einw.	27
Belgien 1880 und 1890: Gemeinden über 5000 Einw.	38
Luxemburg 1885 und 1890: Gemeinden und Orte über 5000 Einw.	40
Niederlande 1889: Gemeinden und Wohnplätze über 5000 Einw.	40
Großbritannien und Irland 1881 und 1891	41
England und Wales: Städtische Sanitätsdistrikte über 5000 Einw.	41
Schottland: Orte über 5000 Einw.	47
Irland: Städtische Sanitätsdistrikte über 5000 Einw.	49
Inseln in den britischen Gewässern	49
Dänemark 1890: Gemeinden über 5000 Einw.	50
Schweden und Norwegen: Städte	50
Schweden 1890 und 1891	50
Norwegen 1891	51
Spanien 1887: Gemeinden über 5000 Einw.	52
Monaco 1888	56
Italien 1881 (s. Teil 1891): Gemeinden und Orte über 5000 Einw.	56
Griechenland 1889: Gemeinden und Orte über 2000 Einw.	70
Bosnien und Herzegovina 1885: Ortschaften über 2000 Einw.	71
Serbien 1890: Gemeinden und Orte über 2000 Einw.	71
Bulgarien 1881 bzw. 1885 und 1888: Gemeinden und Orte über 2000 Einw.	73
Rumänien 1889/90: Städte über 2000 Einw.	75
Russisches Reich	76
Rußland 1889 bzw. 1885: Städte und Flecken über 2000 Einw.	76
Polen 1890: Städte und Flecken über 5000 Einw.	80
Finnland 1890: Städte	81

Asien.

Asiatisches Rußland: Städte und Flecken	82
Kaukasus 1889 bzw. 1891	82
Zentralasien 1885 bzw. 1888 und 1889	82
Sibirien 1889	83
Japan 1886 bzw. 1887 und 1890: Orte über 5000 Einw.	83
Philippinen 1887: Gemeinden über 5000 Einw.	87

Afrika.

	Seite
Ägypten 1882: Orte über 5000 Einw.	90
Algerien 1881, 1886 und 1891: Gemeinden und Hauptorte über 2000 Einw.	91
Spanische Besitzungen in Nordafrika 1887	93
Presidien	93
Canarische Inseln: Gemeinden über 5000 Einw.	93
Kapland 1891: Orte	93
Natal 1891: Städte	94
Oranje-Freistaat 1890: Orte	94
Südafrikanische Republik 1890 und 1892: Orte bzw. Townships	95

Amerika.

Vereinigte Staaten 1880 und 1890: Ortschaften über 2000 Einw.	96
Nen-England-Staaten (Gemeinden)	96
Mittlere atlantische Staaten	99
Nordöstliche Zentralstaaten	103
Nordwestliche Zentralstaaten	106
Südöstliche Staaten	108
Südwestliche Zentralstaaten	109
Felsengebirge	111
Plateau	111
Pazifische Staaten	112
Alaska 1890: Orte über 100 Einw.	112
Mexico um 1882: Orte über 6000 Einw.	113
Spanisches Westindien 1887: Gemeinden über 5000 Einw.	114
Venezuela 1881: Städte	115
Peru 1882: Städte über 2000 Einw.	115
Bolivia: Hauptorte (meist 1880—86)	116
Chile 1885: Ortschaften über 1000 Einw.	116
Paraguay 1887: Städte	117
Argentinien 1889: Orte	118

Australien (mit Neuseeland).

Queensland 1886 und 1891: Städte und Gemeinden über 1000 Einw.	120
Nen-Süd-Wales 1881 und 1891: Städte über 1000 Einw.	121
Victoria 1891: Orte über 1000 Einw.	122
Süd-Australien 1891: Orte über 1000 Einw.	123
West-Australien 1881 und 1891: Orte über 1000 Einw.	123
Tasmanien 1881 und 1891: Orte über 1000 Einw.	123
Neu-Seeland 1886 und 1891: Orte über 1000 Einw.	124

Die Großstädte der Erde	125
Geographische Verteilung der Großstädte	126
Index zur Ortsbevölkerungstatistik der Jahrgänge I—IX	129

Berichtigungen.

- S. 48: Statt Edingburgh lies Edinburgh.
 S. 57: Statt Irren lies Ireen.
 S. 78: Nach Zeitungsnachrichten hat die russische Regierung folgende Namensänderungen verfügt:
 Narwa (Govv. St. Petersburg) in Iwangerod.
 Rewel oder Rewal (Govv. Estland) in Kolywan.
 Dorpat (Govv. Livland) in Jurjew.
 Dünaburg (Govv. Witbek) in Dwinsk.
 S. 82: Zu Kankasus vgl. S. 127, Anm. 25.

Ortsstatistik,

bearbeitet von A. Supan.

Europa.

Deutsches Reich 1885 und 1890.

Die Grundlage unseres Verzeichnisses bildet die Publikation im zweiten Vierteljahrheft zur Statistik des Deutschen Reichs 1892, wozu ergänzend noch die amtlichen Verzeichnisse einiger kleinerer Staaten treten. Da in der zuerst genannten Quelle nicht bloß für die Gemeinden, sondern auch für die Wohnplätze wenigstens der meisten Staaten die Zählungsergebnisse von 1890 angeführt werden und für Preußen inzwischen auch das Gemeindelexikon für 1885 vollständig erschienen ist, so glaubte ich auf Grund derselben eine wirkliche Ortsstatistik Deutschlands herstellen zu können in ganz derselben Weise, wie sie im Jahrgang III versucht worden ist. Ich fand aber das Ergebnis so wenig befriedigend, daß ich die nahezu schon durchgeführte Arbeit wieder verwarf. Es bedarf dies einer kurzen Erklärung, und wir werden dabei die beiden Hauptfälle gesondert betrachten.

1) Der Ort ist kleiner als die Gemeinde oder fällt mit derselben zusammen. In diesem Falle haben wir also amtlich gegeben die Zahlen für die Gemeinde und die dazu gehörigen Wohnplätze, und es ist daraus die Ortsbevölkerung zu ermitteln. Enthält die Gemeinde nur einen einzigen Wohnplatz, so liegt die Sache einfach; dann ist nämlich auch der Ort identisch mit der Gemeinde. Die Schwierigkeit beginnt erst, wenn die Gemeinde mehrere Wohnplätze umfaßt, und dies ist, wenigstens in Preußen, der häufigste Fall. Welche Wohnplätze sind zum Ort zu rechnen, welche nicht? Wo es sich nur um unbedeutende Annexe, einzelnstehende Häuser, wie Bahnhöfe, industrielle Etablissements (besonders Mühlen), Villen, Vergnügungsorte &c., handelt, wird man im allgemeinen geneigt sein, die Orts- mit der Gemeindebevölkerung zu identifizieren. Man muß sich eben vor Augen halten, daß man unter Ort nicht bloß eine topographisch, sondern auch eine wirtschaftlich zusammengehörige Ansammlung von Menschen versteht; aber gerade wegen dieses wirtschaftlichen Momentes wird der Begriff „Ort“ so schwankend, daß er in vielen Fällen versagt. So namentlich in der Rheinprovinz und in Westfalen, wo die Gemeinden außerordentlich ausgedehnt und die größern Ortschaften häufig von einem Kranz industrieller Anstalten umgeben sind. Je nachdem man dem topographischen oder dem wirtschaftlichen Moment den Vorrang einräumt, wird man die Grenzen des Ortes sehr verschieden ziehen; eine feste Regel läßt sich da nicht angeben. Aber selbst dann, wenn eine solche bestände, wird man in der Studierstube nur allzu häufig zu keiner Entscheidung gelangen können. Die Karten versagen sehr oft den Dienst, und selbst Pläne lassen nicht immer alle diejenigen Wohnplätze erkennen, die das Gemeindelexikon anführt. Das sind die Gründe, die mich bestimmten, einfach das amtliche Material zu publizieren. Der Unterschied zwischen meinem Vorgehen und dem des Referenten im III. Jahrgang besteht also darin, daß ich es im Allgemeinen vermied mich darüber auszusprechen, ob diese oder jene Zahl, bald die Gemeinde-, bald die Wohnplatz-, bald eine dazwischenliegende Zahl, als Ortsbevölkerung anzusehen sei. Nur in einigen sichern und wichtigern Fällen habe ich meine Ansicht in Form einer Anmerkung dargelegt. Wo die Differenz zwischen Wohnplatz und Gemeinde nicht bedeutend ist, kann man meist die Gemeinde- für die Ortszahl gelten lassen; wo aber der Unterschied eine beträchtliche Höhe erreicht, da wird der Geograph am besten thun, beide Zahlen neben einander zu gebrauchen. Es mag dies unbequem sein, ist aber das einzige Mittel, um Mißverständnissen vorzubeugen. Man kann diesen Grundsatz selbst im Schulunterricht befolgen, wenn sich nur der Lehrer von dem Vorurteil freimacht, daß alle Zahlen, welche im Lehrbuch stehen, auch auswendig gelernt werden müssen.

Übrigens scheint im Statistischen Reichsamt auch über den Begriff „Wohnplatz“ eine uns unerklärliche Unsicherheit einzureisen. Eine Anzahl von Gemeinden werden als je ein Wohnplatz bezeichnet, die nach dem preussischen Gemeindelexikon von 1885 mehrere Wohnplätze enthalten. Beispiele sind: Wilhelmsburg bei Hamburg mit 41, Ibbenbüren mit 10, Lengerich mit 11, Recklinghausen mit 18, Annen-Wullen mit 15, Braubauerschaft mit 7, Blumke mit 8, Weidenau mit 7, Lüdenscheid sogar mit 224 Wohnplätzen! Auch Fälle entgegengesetzter Art kommen vor, wie bei Emmerich und Krefeld, die jetzt in zwei oder mehrere Wohnplätze aufgelöst erscheinen.

2) Der Ort umfasst zwei oder mehrere Gemeinden. Diesen Fall berücksichtigt die amtliche Statistik grundsätzlich nicht, und da muß allerdings der Geograph verbessernd eingreifen. Es ist aber diese Aufgabe zweifellos nur unvollständig von uns erfüllt worden, und wir möchten daher an alle unsere Leser die Bitte richten, uns nach ihrer Lokalkenntnis gütigst zu unterstützen. Wo ein Hauptort die umliegenden Siedlungen aufgesogen hat, da sind die letztern, die zwar noch nicht politisch, aber thatsächlich schon ihre Unabhängigkeit eingebüßt haben, durch Einrückung und Kursivschrift kenntlich gemacht; wo aber zwei oder mehrere Orte von ziemlich gleicher Größe allmählich mit einander verschmolzen, wird nur durch eine Klammer ihre Zusammengehörigkeit angezeigt. Da die Resultate der 1890er Zählung in den meisten Staaten nur für Wohnplätze von 2000 Einwohnern und darüber bekannt gemacht sind, so konnte die Ortssumme häufig nur für 1885 angegeben werden.

Alle Gutsbezirke, Dörfer und Marktflecken sind mit * bezeichnet.

Preußen.

Name.	1885.	Gemeinde 1890.	Wohnplatz 1890.
Ostpreußen.			
Reg.-Bez. Königsberg.			
Allenstein	11555	19375	18822
Bartenstein	6629	6442	5998
Braunsberg	10759	10851	10629
<i>Braunsberger Schloßstamm</i> *	226	?	(1885: 10985)
Heilsberg	5705	5501	4428
Königsberg	115151	161666	161303
Memel	18748	19282	19023
Osterode	7123	9410	8898
Rastenburg	7189	7304	6855
<i>Domäne Rastenburg</i> *	160	?	(1885: 7349)
Wehlau	5280	5385	4973
Wormditt	5169	5118	4488
Reg.-Bez. Gumbinnen.			
Goldap	6247	7161	6638
Gumbinnen	10453	12207	11918
Insterburg	20914	22227	19350
Lützen	5117	5486	5272
Lyck	8624	9981	9682
Tilsit	22422	24545	23657
Westpreußen.			
Reg.-Bez. Danzig.			
Danzig	114805	120338	98148
<i>Ohra</i> *	5712	6567	6567
Dirschau	11146	11897	11541
<i>Zeugendorf</i> *	1304	?	(1885: 12450)
Elbing	38278	41567	41495
<i>Pangritz</i> *	2541	2888	2888
<i>Pangritz</i> *	10136	10279	9624
<i>Hoppenbruch</i> *	814	?	?
<i>Schloß Kaldome</i> *	716	?	(1885: 12064)
<i>Dammfelde</i> *	219	?	?
<i>Vogelsang</i> *	179	?	?
Neufahrwasser	zu Danzig.	6598	6598
Neustadt	5176	5546	5103
<i>Ohra</i> * s. Danzig.			
Preussisch-Stargard	6634	7080	6859

1) Ohne die selbständige Ortschaft Neufahrwasser.

Name.	Gemeinde		Wohnplatz
	1885.	1890.	1890.
Reg.-Bez. Marienwerder.			
Briesen	4654	5042	5042
Deutsch-Eylan	4570	5701	5340
Deutsch-Krone	6652	6964	5782
Graudenz	17386	20385	20385
<i>Festung Graudenz</i> *	2072	2202	2202
<i>Kunsterstein</i> *	606	?	?
Jastrow	5046	5288	4798
Konitz	10042	10107	8840
Kulm	9975	9762	9668
Kulmsen	4968	6327	5800
<i>New-Kulmsen</i> *	140	?	?
Marienwerder	8079	8552	8295
Mocker * s. Thorn.			
Schwetz	6348	6716	6558
Strasburg	5462	6122	5696
<i>Antsgrund Strasburg</i> *	458	?	?
Thorn	23906	27018	27108
<i>Mocker</i> *	6826	10042	10042
<i>Podgorz</i> *	1927	2489	2305

Brandenburg.**Berlin.**

Berlin	1 315287	1 578794	1 578794
<i>Boxhagen-Rummelsburg</i> *	5618	11038	10635 ²⁾
<i>Charlottenburg</i>	42371	76859	74885
<i>Lichtenberg</i> *	15847	22770	19593 ³⁾
<i>Nieder-Schönhausen</i> *	2251	2661	2661
<i>Pankow</i> *	5061	6998	6945
<i>Rixdorf</i> *	22775	35702	35697
<i>Schöneberg</i> *	15872	28721	26546

Reg.-Bez. Potsdam.

Angermünde	6692	6712	6518
Bernau	7279	7725	7665
Boxhagen-Rummelsburg s. Berlin.			
Brandenburg	33129	37817	37444
<i>Burg Brandenburg</i> *	250	?	(1885: 34156)
<i>Dom Brandenburg</i> *	777	?	
Britz *	4146	5494	5494
Charlottenburg s. Berlin.			
Dahme	5393	5166	5068
<i>Antefreiheit Dahme</i> *	532	?	(1885: 6057)
<i>Gut Dahme</i> *	132	?	
Deutsch-Wilmersdorf *	3616	5164	4718
Eberswalde	13241	16114	15977
Freienwalde a. Oder	6818	7259	7115
Friedrichshagen *	4764	7903	7890
Groß-Lichterfelde *	5899	8745	6080
Havelberg ⁴⁾	6936	6975	6776
Jüterbog	6797	7181	7128
<i>Damm</i> *	909	?	(1885: 8549)
<i>Neumarkt</i> *	843	?	
Köpenick	11357	14619	14279
Kyritz	5056	5086	4841
Lichtenberg * s. Berlin.			
Luckenwalde	16148	18398	18008
Nauen	7498	8120	7748
Neu-Ruppin	14677	14584	14025
Neu-Weissensee *	7308	18032	18032
Nowawes *	7773	8859	8859
<i>Neuendorf bei Potsdam</i> *	2735	3283	3102
Oranienburg	4885	5977	5607
<i>Amt Oranienburg</i> *	589	?	(1885: 5474)
Pankow * s. Berlin.			
Perleberg	7698	7565	7452
Potsdam	50877	54125	54125
<i>Potsdamer Etablissements</i> *	160	?	(1885: 51353)
<i>Sanssouci</i> *	316	?	

²⁾ Hauptwohnplatz Klein-Rummelsburg. — ³⁾ Hauptwohnplatz Klein-Friedrichshagen. — ⁴⁾ Dom und Domamt Havelberg sind im Gemeindelexikon von 1885 nicht mehr aufgeführt.

Name.	Gemeinde		Wohnplatz 1890.
	1885.	1890.	
Prenzlau	17281	18019	15573
Pritzwalk	6089	6369	6055
Rathenow	13072	16353	16302
Reinickendorf*	7219	10064	9956
Rixdorf* s. Berlin.			
Schöneberg* s. Berlin.			
Schwedt a. Oder	9760	9801	9801
Spandau	32009	45365	45238
<i>Amt Spandau*</i>	158	?	?
<i>Citadelle Spandau*</i>	340	?	?
Steglitz*	8501	12530	12530
Strasburg i. Uckermark	5894	6241	5737
Strasberg	6565	6703	5722
Tempelhof*	3522	5248	4719
Velten*	3914	5679	5672
Werder b. Potsdam	5277	5914	5783
Wittenberge	10931	12587	12404
Wittstock	6840	6895	6748
<i>Landarmenhaus*</i>	464	?	?
Wriezen	7241	7132	7088

Reg.-Bez. Frankfurt.

Arnewalde	7378	7507	6962	
Berge s. Forst.				
Berlinchen	5076	5405	5035	
Driesen	4871	5104	5104	(1885: 5259)
<i>Kiets b. Driesen*</i>	388	?	?	
Drossen	5277	5058	4781	
Finsterwalde	7564	8133	7946	(1885: 8265)
<i>Naundorf*</i>	701	?	?	
Forst	18641	23539	23539	28694
<i>Berge*</i>	4176	5155	5155	
Frankfurt a. O.	54085	55738	55437	
Friedeberg i. Neumark	6306	6431	5671	
Fürstenwalde	11363	12934	12775	
Guben	27091	29328	28803	
Königsberg i. Neumark	5958	5864	5600	
Kottbus	28249	34910	34910	39061
<i>Sandow*</i>	3636	4151	4022	
Krossen a. O.	6810	6857	5802	(1885: 7348)
<i>Amtsfacherei Krossen*</i>	538	?	?	
Küstrin	15105	16672	16551	(1885: 15750)
<i>Kiets b. Küstrin*</i>	645	?	?	
Landenberg a. d. Warthe	24893	28065	26825	
Lübben	6071	6198	6109	
Schwiebus	8400	8355	8249	
Soldin	6168	6261	5768	
Sommerfeld	11362	11401	?	⁵⁾ (1885: 11478)
<i>Schlöfs Sommerfeld*</i>	116	?	?	
Sonnenburg	6226	5906	4798	(1885: 6277)
<i>Reutamt Sonnenburg*</i>	51	?	?	
Sorau	13665	14456	14069	(1885: 14519)
<i>Schlöfs Sorau*</i>	854	?	?	
Spremberg	10999	10591	10393	
Zielenzig	5769	5958	5801	
Züllichau	7875	7700	6802	
<i>Krauschow*</i>	417	?	?	(1885: 8674)
<i>Krummendorf*</i>	382	?	?	

Pommern.

Reg.-Bez. Stettin.

Aldamm	4840	5241	5167
Anklam	12786	12917	12917
Bredow* s. Stettin.			
Demmin	10546	10652	10504
Gollnow	8426	8462	7744
Grabow s. Stettin.			
Greifenberg	5634	5293	5109
Greifenhagen	6605	6692	6521

⁵⁾ Die Angabe von 3848 ist offenbar ein Irrtum, da der Wohnplatz Sommerfeld schon 1885 10659 Einw. zählte.

Name.	Gemeinde		Wohnplatz 1890.
	1885.	1890.	
Kammin	5680	5681	5681
Labes	5225	5232	4826
Pasowalk	9514	9400	9308
Pyrity	8062	8247	8247
Stargard a. Ihna	22112	23785	23733
Stettin	99228	116228	115993
<i>Bredow</i> *	12715	13835	13835
<i>Grabow</i>	14541	15703	15703
<i>Pommernsdorf</i> *	1879	2363	2344
<i>Zülchow</i> *	5396	6757	6666
Swinemünde	8626	8508	8428
<i>Hafengrund</i> *	771	?	?
<i>Westwiese</i> *	1267	?	?
Treptow a. Rega	6943	6258	6258
Ückerkmünde	5458	6112	5766
Wollin	5097	4965	4962
Zülchow * a. Stettin.			

Reg.-Bez. Köslin.

Belgard	7117	7046	6880
Bütow	4929	5011	4820
<i>Rittergut Bütow</i> *	180	?	?
Dramburg	5722	5723	5647
Köslin	17277	17810	17810
Kolberg	16557	16999	15467
Lauenburg	7214	8050	7827
Neustettin	8389	8695	8401
Rügenwalde	5331	5296	5250
Rummelsburg	5152	5080	4728
Schivelbein	5784	5923	5923
Schlawe	5503	5431	5273
Stolp	22442	23862	23655

Reg.-Bez. Stralsund.

Barth	5714	5578	5444
Bergen auf Rügen	3739	3821	3792
Greifswald	20345	21624	21624
Stralsund	28984	27814	27814
Wolgast	7485	7880	7880

Posen.

Reg.-Bez. Posen.

Fraustadt	7381	6873	6851
<i>Pritschen (Ober- und Nieder-)</i> *	1410	?	?
<i>Tillendorf (Groß- und Klein-)</i> *	340	?	?
Jersitz (Jersyce) * a. Posen.			
Kempen	5787	5465	5337
Krotoschin	9959	10646	10174
Lissa	11943	13116	13040
Meeritz	5141	5167	4936
<i>Winnice</i> *	642	?	?
Ostrowo	9128	9718	9689
<i>Krempa</i> *	934	?	?
Pleschen	6036	6126	6008
Posen	68315	69627	69627
<i>Jersitz</i> *	7945	11709	11709
<i>St. Lazarus</i> *	671	2068	2068
<i>Wida</i> *	2707	4120	4095
Rawitsch	12919	12437	12437
<i>Sierakowo</i> *	912	?	?
Rogasen	5075	5035	4747
Schrömm	6333	6095	6095
Schwerin a. d. Warthe	6814	6560	6270
Wreschen	5035	5227	5227
<i>Zawodze</i> *	444	?	?

Reg.-Bez. Bromberg.

Bromberg	36294	41399	41390
Gnesen	15757	18088	18088
Inowrazlaw	13548	16503	16057
Nakel	6430	6766	6766
Schneidemühl	12406	14443	14075

Name.	1886.	Gemeinde 1890.	Wohnplatz 1890.
Schlesien.			
Reg.-Bez. Breslau.			
Altwasser *	8672	9549	9549
Breslau	299640	335186	335186
Brieg	18899	20154	20154
Dittersbach *	6573	7302	6410
Frankenstein	8017	8140	8127
Freiburg	9015	8991	8520
Glatz	13588	13501	11643
Gottesberg	6897	7201	6721
Habelschwerdt	5598	5586	5551
Langenbielau *)	14410	15860	15768
Münsterberg	6136	6162	6149
Namslau	5890	6167	6167
Neumarkt	5928	5860	5766
Neurode	6864	6654	6153
Nieder-Hermsdorf *	6554	7614	6129
Öls	10276	10167	10167
Ohlau	8575	8632	8555
Ober- * I	2546	2577	2556
Ober- * II	1108	?	?
Mittel- *	630	?	?
Peilau	709	?	?
Nieder- *	747	?	?
Nieder-Mittel- *	731	?	?
Ober-Mittel- *	758	?	?
Gnadenfrei *	4042	3964	3960
Mittel- *	1415	?	?
Peterswaldau	1711	?	?
Ober- *	249	?	?
Königlicher Anteil	13465	13040	13040
Reichenbach	23669	24725	24664
Schweidnitz	8854	9016	9016
Striegau	11784	12380	12296
Gräben *	1129	?	?
Trebnitz *)	4920	5333	5219
Waldenburg	13000	13553	13553
Ober-Waldenburg *	3614	3987	3967
Weißstein *	6123	6915	5557
Wüste-Giersdorf { Nieder- *	3509	3281	3281
Ober- *	1601	?	?
Reg.-Bez. Liegnitz.			
Bunzlau	11562	12921	12699
Glogau	20027	20529	20529
Goldberg	6734	6437	6437
Görlitz	55702	62135	62135
Grünberg	14395	16092	15661
Hainau	6433	8115	8082
Hirschberg	15622	16214	16214
Herschedorf *	2138	2222	2222
Kunnersdorf *	2566	2836	2836
Warmbrunn *	3406	3357	3079
Jauer	11178	11576	11446
Landeshut	7106	7572	7572
Laubau	11336	11956	11921
Liebau	5018	5036	5036
Liegnitz *)	43347	46874	46874
Lüben	5869	6131	5566
Neusalz a. O.	7716	9073	9073
Sagan	12010	12623	12444
Sprottau	7552	7644	7602
Reg.-Bez. Oppeln.			
Antonienhütte *	5116	5481	4901
Beuthen	30602	36965	30840
Rofsborg *	4933	6127	6094

*) Aus 4 Wohnplätzen bestehend, die mit I—IV bezeichnet werden. — 7) Polnischdorf, das im Jahrg. 111, S. 9, als zu Trebnitz gehörig angeführt wurde, erscheint im neuen Gemeindelexikon nicht mehr. — 8) Karthaus (Jahrg. 111) gehört jetzt zur Gemeinde Liegnitz; Töpferberg steht im neuen Gemeindelexikon nicht mehr. — 9) Für Beuthen kommt nur der Wohnplatz in Betracht, da der Schwarzwald in keinem Zusammenhang mit dem Ort steht.

Name.	Gemeinde		Wohnplatz 1890.
	1885.	1890.	
Gleiwitz	17660	19667	19488 { 23554
Trynek *	3346	3887	3887 {
Groß-Strehlitz	4113	5112	5112 {
Kattowitz	14200	16513	16072 {
Königshütte	32072	36502	23402 ¹⁰⁾ {
Kesel	5461	5761	5612 {
Kreuzburg	6578	7558	7550 { (1885: 6874)
Schloß Elguth *	266	?	? {
Laurahütte	9644	10572	10572 { 16862
Siemianowitz *	4481	6290	5093 {
Leobschütz	12239	12686	12559 {
Lipine *	10454	12823	5386 {
Mysewitz	8322	9392	6612 {
Neisse	21837	22444	22255 { (1885: 23298)
Mährengasse *	1461	?	? {
Neustadt in Oberschlesien	16093	17577	17520 {
Nikolai	5741	5633	5311 {
Ober-Glogau	5408	5514	5514 {
Oppeln	15975	19206	19206 {
Patachkau	5861	5757	5676 {
Radzionkau *	4463	6244	5796 {
Ratibor	19524	20737	20737 {
Rößberg * s. Benthien.			
Rybnik	4081	5156	4139 { (1885: 4925)
Smolna *	844	?	? {
Siemianowitz * s. Laurahütte.			
Tarnowitz	8618	9982	9977 {
Zaborze *	12552	16232	(5813 ¹¹⁾ {
Zabrze Alt *	9390	10646	9419 { 16081 ¹²⁾
Zabrze Klein *	6237	6662	5704 {
Ziegenhals	6557	6774	6193 {

Provinz Sachsen.

Reg.-Bez. Magdeburg.

Aken	5571	6109	6109
Aschersleben	21519	22865	22625
Barby	5522	5471	5289
Burg a. d. Ihle	16414	17572	17231
Egeln	5075	5497	5494
Gardelagen	7258	7340	7263
Groß-Ottersleben *	5727	6169	6169
Halberstadt	34025	36786	36688
Kalbe	8850	9609	9396 {
Bernburger Vorstadt *	2429	2209	2209 { (1885: 12062)
Schloßvorstadt *	783	?	? {
Magdeburg	159520	202234	177598 ¹³⁾ {
Neuhaldensleben	7415	8657	8504 {
Oschersleben	9671	10682	10501 {
Osterwieck	4613	5586	5426 {
Quedlinburg	19323	20761	20345 {
Seitzedel	8883	9008	8900 { (1885: 9929)
Perrers *	1046	?	? {
Schönebeck	13319	14189	14185 {
Staßfurt	16459	19104	19060 {
Stendal	16184	18472	18412 {
Tangermünde	5852	7419	6927 {
Thale *	4498	6292	5249 {
Wernigerode	9085	9966	9957 {

Reg.-Bez. Merseburg.

Bitterfeld	7596	9047	9025
Delitzsch	8342	8949	8935
Eilenburg	11032	12447	12447
Eisleben	23175	23897	23465
Giebiichenstein * s. Halle.			
Halle a. S.	81982	101401	101317 { 115855
Giebiichenstein *	10718	14454	14376 {

¹⁰⁾ Trotz der bedeutenden Unterschiede zwischen Gemeinde und Wohnplatz dürfte doch der erstere als Ort aufzufassen sein. — ¹¹⁾ Kolonie B. Das Dorf Zaborze hat nur 2669 Einw. — ¹²⁾ Für Alt-Zabrze nur der Wohnplatz gerechnet. — ¹³⁾ Die Ortsbevölkerung von Magdeburg fällt jetzt entschieden mit der Gemeindebevölkerung zusammen.

Name.	Gemeinde		Wohnplatz 1890.
	1885.	1890.	
Helbra*	5913	6986	6728
Hettstedt	8678	8641	8166
Mersaburg	16828	17669	17641
Naumburg	19107	19793	19282
Querfurt	5255	5280	5262
Sangerhausen	10188	10676	10210
Schkeuditz	4591	5020	5003
Torgau	10988	10860	10663
Weissenfels	21782	23779	23713
Wittenberg	13865	14458	9504 ¹⁴⁾
Zeitz	19797	21680	21646
Moritzburg*	826	?	?

(1885: 20623)

Reg.-Bez. Erfurt.

Erfurt	58386	72360	71220
Ilversgehofen*	4279	6648	6648
Heiligenstadt	5861	6183	5932
Ilversgehofen* s. Erfurt.			
Langensalza	10924	11501	11466
Mühlhausen i. Thür.	25141	27538	27427
Nordhausen	27083	26847	26596
Snhl	10602	11533	11334

79008

Schleswig-Holstein.

Altona	126306	143249	139521 ¹⁵⁾
Apenrade	6069	5361	5151
Eckernförde	5604	5896	5896
Borby*	1162	?	?
Elmhorn	8712	9803	9533
Flensburg	33313	36894	36444
Gaarden*	9246	10452	10452
Glücksstadt	5483	5958	5703
Hadersleben	7637	8397	8397
Heide	7354	7444	7354
Husum	6267	6761	6332
Itzehoe	10772	12481	12092
Sude*	768	?	?
Kiel	51706	69172	69172
Lauenburg a. E.	4749	5213	5196
Neumünster	13695	17539	17539
Rendsburg	12154	13195	11092 ¹⁶⁾
Schleswig	15187	15123	13867 ¹⁶⁾
Sonderburg	5266	5120	4894
Öttersen	5058	5311	5311
Wandsbek	17760	20571	20571
Hinschenfelde*	1676	2072	2001

(1885: 6764)

(1885: 11540)

22643

Hannover.

Reg.-Bez. Hannover.

Hann.	11830	13675	13454
Hannover	139731	163593	163593
Schloß und Gartenbezirk*	50	?	?
Linden	25570	28035	28035
List*	2684	3250	3250
Linden s. Hannover.			
Nienburg a. d. Weser	7059	7808	7808

194878 ¹⁷⁾

Reg.-Bez. Hildesheim.

Einbeck	7091	7676	7676
Goslar	11736	13311	13179
Göttingen	21561	23689	23689
Hildesheim	29386	33481	33463

¹⁴⁾ Nach den Angaben des Gemeindelexikons kann hier die Ortszahl nur mit der Gemeindegrenzlinie identifiziert werden. — ¹⁵⁾ Von den jetzt mit der Stadtgemeinde Altona vereinigten Gemeinden Ottensen, Övelgönne, Othmarschen und Bahrenfeld sind die beiden letzteren jedenfalls noch als gesonderte Ortschaften zu betrachten; es ist aber wahrscheinlich, daß bei der Feststellung der Wohnplatzbevölkerung Altonas auch Övelgönne in Abrechnung kam. — ¹⁶⁾ Ortsbevölkerung = Gemeindebevölkerung. — ¹⁷⁾ List ist nach den neueren Plänen schon völlig mit Hannover verschmolzen; ob auch Vahrenwald und Hainholz, konnte nicht mit Sicherheit ermittelt werden. Mit diesen Dörfern würde die Ortsbevölkerung von Hannover auf 202043 steigen.

Name.	Gemeinde		Wohnplatz 1890.
	1885.	1890.	
Klausthal	8871	8736	8654
Zellerfeld	4407	4305	4255
Münden a. d. Werra	7053	7227	6972
Northeim	6952	6695	6632
Osterode a. Harz	6435	6757	6572
Peine	7868	10105	10050
Reg.-Bez. Lüneburg.			
Celle	18782	18901	18893
Harburg	26320	35081	35081
Hafengemeinde*	201	?	?
Schloßgemeinde*	57	?	?
Lüneburg	19336	20665	20327
Ulsen	7412	7700	7687
Reg.-Bez. Stade.			
Geestmünde ¹⁹⁾	14200	15452	15018
Lehe	11011	14483	14483
Stade	9997	10190	9669
Verden	8594	8719	8713
Reg.-Bez. Osnabrück.			
Lingen	6010	6304	6304
Osnabrück	35699	39929	39929
Papenburg	6916	6933	6855
Reg.-Bez. Aurich.			
Aurich	5395	5640	5640
Emden	14019	13695	13424
Leer	10399	11075	11075
Norden	6878	6759	6759
Wilhelmshaven	13972	15471	14929 ²⁰⁾
Westfalen. ²¹⁾			
Reg.-Bez. Münster.			
Bocholt	10576	13034	5751
Kösfeld	4839	5614	5614
Münster	44060	49340	49340
Recklinghausen	9199	14041	7640
Rheine	5648	7356	6945
Warendorf	5111	5639	5639
Reg.-Bez. Minden.			
Bielefeld	34931	39950	39950
Gütersloh	5355	5917	5917
Herford	15902	19255	12284
Höxter	6046	6645	6481
Minden	18592	20223	19345
Paderborn	16624	17986	17062
Warburg	4883	5043	4820
Reg.-Bez. Arnberg.			
Altena	9387	11147	10488
Aplerbeck*	5704	6221	6221
Arnberg	6733	7414	6402
Bochum	40767	47601	47601
Dortmund	78435	89663	89663
Geisenkirchen	20289	28057	28057
Gevelsberg	7792	9379	9379
Hagen	29614	35428	35428
Altenhagen		zur Gemeinde Ekeesey	4488
Hemm	22520	24969	10503
Hamme*	5444	6129	5075
Haspe	8903	9743	9743
Hattingen	6732	7248	5884

¹⁹⁾ Seit 1885 wurden Wilstorf und Teile einiger anderer Vororte mit Harburg vereinigt. Die Zahl von 1885 entspricht schon diesem neuen Umfang, und es ist fraglich, ob die Hafen- und Schloßgemeinde nicht auch schon mitgerechnet sind. — ²⁰⁾ Mit dem inzwischen vereinigten Geestendorf. — ²¹⁾ Für die Ortsbevölkerung ist jedenfalls die Gemeindefizier zu nehmen. — ²²⁾ Vergl. Vorbemerkungen. Orte, bei denen es zweifelhaft ist, ob die Gemeinde- oder Wohnplatzfizer zu gelten hat, sind aufgenommen worden, wenn auch letztere unter 5000 heruntergeht.

Name.	Gemeinde		Wohnplätze 1890.
	1885.	1890.	
Herne *	9906	13920	12387
Hörde	14598	16346	16346
Hohenlimburg	5836	6704	2335
Iserlohn	20102	22117	20687
Kamen	4850	7063	5349
Langendreer *	10151	12335	6608
Lippstadt	10504	10406	10183
Lüdenscheid	15067	19457	16169
Lütgendortmund *	4891	7139	5315
Menden	5911	6654	4744
Nehlem	4904	6236	6208
Schalke *	11857	14887	13295
Schwelm	18019	13534	13534
Schwerte	6496	8454	6163
Siegen	16676	18242	12312
Soest	14846	15071	13294
Ückendorf *	8878	13128	13128
Unna	8904	11119	8209
Wattenscheid	11673	13394	13394
Werl	5023	5336	4938
Witten	23879	26310	25857

Hessen - Nassau.

Reg.-Bez. Kassel.

Eschwege	9492	9787	9776	
Fulda	12784	13125	13125	
Hasau	24377	25019	24653	
Hersfeld	7262	6758	6758	
Kassel	64083	72477	72269	
<i>Beutenhausen *</i>	1781	2226	2084	60345 ²⁹⁾
<i>Wehlheiden *</i>	5361	6577	5992	
Marburg	12668	14320	13851	
Schmalkalden	6729	7318	7780	
Wehlheiden * s. Kassel.				

Reg.-Bez. Wiesbaden.

Biebrich-Moebach	9669	11023	10942	
Bockenheim a. Frankfurt a. M.				
Ems	6731	6356	5472	
Frankfurt a. M.	154513	179985	179798	198436
<i>Bockenheim</i>	17457	18675	18638	
Höchst a. Main	6517	8455	8171	
Homburg v. d. Höhe	8857	8863	8655	
Limburg a. d. Lahn	6485	6866	6866	
Niederrad *	5181	5440	5252	
Oberlahnstein	5833	6180	5474	
Oberrad *	5868	6476	6418	
Wiesbaden	55454	64670	64426	

Rheinprovinz.

Reg.-Bez. Koblenz.

Andernach	5785	6153	5290 ²⁹⁾	
Bendorf	4494	5016	4965	
Boppard	5594	5610	5503	
Ehrenbreitstein s. Koblenz.				
Kirn	4852	5166	5135	
Koblenz	31669	32664	31448	37942 ³⁴⁾
<i>Ehrenbreitstein</i>	5299	5278	5271	
Kreuznach	16414	18143	17843	
Mayen	8440	9599	9449	
Neuwied	10192	11062	11062	
Wetzlar	7844	8144	7754 ³⁵⁾	

²⁹⁾ Bei der Berechnung der Gesamtbevölkerung von Kassel sind nur die Wohnplätze berücksichtigt worden, da nur diese wirklich zusammenhängen. Für die beiden Vororte könnten auch die Gemeindefzahlen genommen werden, bei Kassel aber nicht, da der Philippenhof doch ziemlich weit abliegt. Wahrscheinlich ist auch das Dorf Rothenditmold schon zu Kassel zu rechnen. — ³⁴⁾ Bei der Wohnplatz-Bevölkerung sind vor allem die beiden etwas abseits liegenden Irrenanstalten nicht mitgerechnet. — ³⁵⁾ Mit den Forts. — ³⁶⁾ Hier scheint ein Irrtum vorzuliegen, denn 1885 zählten die 6 separaten Wohnplätze von Wetzlar zusammen nur 75 Einwohner.

Name.	1885.	1890.	Wohnplatz 1890.
Reg.-Bez. Düsseldorf.			
Altendorf*	25693	31892	17815
Altenessen*	15599	18062	12295
Altstadt*	4707	5727	5727
Barmen s. Elberfeld.			
Beeck*	10060	12785	6252
Borbeck*	24601	28707	4765
Bocholt*	zur Gemeinde Borbeck		7793
Duisburg	47519	59285	24779
Dülken	7487	8526	8493
Dümpten*	4520	5316	5316
Düsseldorf	115190	144642	144642 ²⁶⁾
Elberfeld	109218	125899	120043
Barmen.	103068	116144	115670 242043
Emmerich	9759	9622	8237
Essen	65064	78706	78706
Geldern	5691	5536	5536
Goeh	5635	6729	6504
Hochfeld*	zur Gemeinde Duisburg		11378
Holsterhausen*	zur Gemeinde Altendorf		9624
Homburg*	4631	5099	4887
Hülse*	6271	6148	5435
Kempen a. Rhein	5952	5878	5878
Kettwig	4234	5293	5099
Kleve	10170	10409	10322
Krefeld	90236	105376	105276
Langenberg	6775	7491	6824
Lennepe	8844	10427	6455
Lobberich*	6411	7264	5041
Meiderich*	16105	20417	20417
Merscheid	12646	15600	8542
Mörs	4503	5159	4977
Mühlheim a. d. Ruhr	24465	27903	27695
Bröck*	3376	4513	4513 32416
München-Gladbach, Stadt	44230	49628	49628
München-Gladbach, Landgemeinde*	7247	10302	9277
Neudorf*	zur Gemeinde Duisburg		7368
Neufs*	20074	22635	20182
Neuwirk*	5748	6301	6146
Oberhausen	20371	25249	25249
Ratingen	5586	6766	5475
Remscheid	33986	40371	18641
Rheydt	22658	26830	16290
Ronsdorf	10542	11762	7470
Ruhrort	9866	11099	11099
St. Tönis*	7449	7459	6346
Solingen	31926	36540	16147
Speldorf*	4627	5326	5326
Steele	8237	9115	7614
Sterkrade*	7164	8831	8658
Styrum*	8896	10677	10677
Velbert	10588	13932	5348
Viersen	22228	22198	13466
Werden a. d. Ruhr	7970	8858	8838
Wesel	20677	20724	17910
Reg.-Bez. Köln.			
Bonn	35989	39805	37878
Poppelsdorf*	3918	5187	5165 43043 ²⁷⁾
Ehrenfeld* s. Köln, Anmerkung.			
Euskirchen	8087	8963	8820
Kalk	11418	13555	13555
Köln	239510	281681	197081 ²⁸⁾
Mülheim a. Rhein	24975	30996	28496
Nippes* s. Köln, Anmerkung.			
Poppelsdorf* s. Bonn.			
Siegburg	7514	8328	8295

²⁶⁾ Das Gemeindelexikon zählt 1885 noch 8 Vororte, zusammen mit 6443 Einw., auf, und auch nach neueren Plänen scheinen sie noch nicht mit der Stadt verschmolzen zu sein. — ²⁷⁾ Bei beiden die Wohnplatzbevölkerung berücksichtigt. — ²⁸⁾ Von den 60 Vororten, die bis zu einer Entfernung von 8 km vom Wall den Stadtkreis Köln nun bilden, kann nur Deutz als eigentlicher Ortsbestandteil betrachtet werden, doch dürfen

Name.	Gemeinde		Wohnplatz 1890.
	1885.	1890.	
Reg.-Bez. Trier.			
Dudweiler *	11550	12256	8515
Malstadt-Burbach	14950	18378	18134
Mersig	4932	5392	4502
Neunkirchen *	17667	19090	17770
Püttlingen *	8662	9699	5355
Saarbrücken	10453	13812	13484
St. Johann	13598	14631	14072
Saarlouis	6788	6844	6844
St. Johann e. Saarbrücken.			
St. Wendel	5068	4972	4799
Sulzbach *	11177	11263	5804
Trier	38019	36166	31606
Völklingen *	6447	8320	6996
Wiebelskirchen *	4489	5114	5035
Reg.-Bez. Aachen.			
Aachen	95725	103470	101833
Burtscheid	12139	13388	12889
Düren	19802	21731	21551
Eschweiler	16889	18119	7581
Eupen	15441	15445	14515
Stolberg b. Aachen	11853	12792	12792
Hohenzollern.			
Sigmaringen	4146	4307	2672

Königreich Sachsen.
(Gemeinden.)³⁰⁾

Name.	1886.	1890.		Name.	1886.	1890.
Kreis Dresden.				Löbtau * e. Dresden.		
Brand	3024	3387	5742	Meißen	15474	17875
Erbisdorf *	2288	2355		Cölln a. d. Elbe * ³¹⁾	4556	5923
Cölln a. d. E.* ³¹⁾ e. Meißen.				Fischergrasse *	752	956
Cotta *	4848	6080		Nieder-Meisa *	358	417
Dennewitz *	6496	6864		Ober-Meisa *	471	767
Dresden ³²⁾	256180	269844		Questenburg *	389	470
Löbtau *	10090	12908	322633	Pieschen * e. Dresden.		
Pieschen *	7950	12422		Pirna	11899	13852
Plauen *	5192	7459		Planen * e. Dresden.		
Freiberg	27042	28995	31337	Radeberg	7387	8740
Freibergsdorf *	2266	2342		Riesa	7390	9389
Großenhain	11544	11938	12935	Sebnitz	7108	7959
Naundorf *	976	997				

schon in naher Zukunft die innern Vororte in unmittelbare Verbindung mit der Stadt treten, Nachstehende Tabelle gibt über diese Verhältnisse Aufschluß.

	1885.	1890.
I. Ort Köln.	179138	214762
Köln	161401	197081
Köln-Dents	17737	17681
II. Vororte.	60372	66919
1. Innere Vororte	49754	?
Nippes	13047	16094
Ehrenfeld	18243	21745
Bickendorf	3074	3324
Lindenthal	2758	3306
Sülz	2495	3638
Bayenthal	2438	2825
Poll	1761	2147
Kleinere Orte	5938	?
2. Äußere Vororte	10618	?
Niel	2529	2825
Kleinere Orte	8089	?
Stadtkreis Köln	239510	281681

³⁰⁾ In beiden Städten die zahlreichen äußern Wohnplätze meist nur einzelstehende Häuser und Häusergruppen. — ³¹⁾ Die Begriffe Gemeinde und Wohnplatz fallen in Sachsen so ziemlich zusammen; wo eine Gemeinde aus mehreren selbständigen Teilen besteht, werden diese in der amtlichen Veröffentlichung der Volkszählung von 1890 (Ztschr. d. Kgl. stat. Bureau 1891, Bd. XXXVII, Heft 3 und 4) getrennt angeführt. — ³²⁾ Aus den früher selbständigen, aber mit einander zusammenhängenden Gemeinden Cölln, Niederfähr und Vorbrücke gebildet. — ³³⁾ Einschließlich der 1892 mit der Stadt vereinigten Landgemeinden Strehlen und Striesen. Ohne dieselben hatte Dresden 1885: 246086 und 1890: 276522 Einw.

Name.	1885.	1890.	Name.	1885.	1890.
Kreis Leipzig.			Kreis Bautzen.		
Borna	7350	7485	Limbach	10494	11834
Altstadt-Borna *	1241	1364	Lösmitz	5766	5886
Burgstädt	5981	6639	Lugau *	5064	6204
Burkersdorf *	2116	2542	Marienbergr	6139	6300
Dübels	11972	13862	Marienthal *	3996	5324
Grimma	8292	8957	Markneukirchen	5922	8652
Großsach	4914	5391	Meerane	22013	22446
Hainichen	8053	8260	Mörsdorf St. Jacob *	4041	3978
Hartmannsdorf bei Burg- städt *	4802	5066	Mörsdorf St. Michael *	1679	1696
Leipzig	291050	357147 ²⁰⁾	Mörsdorf St. Nicola *	3211	3153
Leisnig	7315	7944	Mylau	5261	6353
Mittweida	9461	11298	Netzschkau	4854	6589
Oschatz	8711	9392	Nieder-Planitz *	7331	8868
Pögn	4888	5289	Ober-Lungwitz *	7277	8459
Penig	6046	6559	Ober-Planitz *	5208	6126
Rochlitz	5943	6186	Öderan	5656	5669
Rolsweia	6443	7599	Ölanitz	8832	9426
Süßtritz *	4980	5924	Ölanitz * b. Lichtenstein	8228	10345
Waldheim	8443	9215	Olbernhau *	5419	6206
Wursen	12006	14635	Planen	42848	47007
Kreis Zwickau.			Reichenbach	18320	21496
Alt-Chemnitz * s. Chemnitz.			Reinsdorf *	4921	5859
Annaberg	13824	14960	Schedewitz *	5728	6081
Aue	4385	6004	Schneeberg	7949	8213
Auerbach	6835	7481	Schönheide *	5882	6227
Buchholz	6888	7808	Stollberg	6561	6939
Chemnitz ²⁰⁾	110817	138954	Thalheim *	4428	5284
Alt-Chemnitz *	4400	6398	Treuen	5878	6492
Gablenz *	9119	9857	Werdau	14661	16253
Harthau *	2072	2688	Wilkau *	5316	6804
Kappel *	3433	5245	Zschopau	7869	7441
Schöna *	2825	3155	Zwickau	39243	44198
Crimmitschau	19755	19972	Zwönitz Stadt	2707	2890
Elbenstock	6913	7166	Zwönitz Nieder *	2532	2577
Falkenstein	6174	7068	Kreis Leipzig.		
Frankenberg	10898	11369	Bautzen	19098	21516
Gablenz * s. Chemnitz			Seidenau	2802	2907
Gelenau *	5572	5698	Bischofswerda	5219	5618
Gersdorf *	5167	5940	Ebersbach *	7497	7833
Geyer	4859	5305	Gersdorf All *	3434	3966
Glanbach	21715	23405	Gersdorf Neu *	4470	4972
Hohenstein	6827	7546	Großröhrsdorf *	5543	5862
Ernstthal	4409	4620	Großschönau *	5934	6328
Johannegeorgenstadt	4815	5124	Kamenz	7211	7749
Kappel * s. Chemnitz.			Löbau	7035	7523
Kirchberg	6949	7730	Altöbau *	793	855
Lengenfeld	5294	5213	Mittel *	916	923
Lichtenstein	5395	5837	Oderwitz	2643	2534
Callenberg	2853	2967	Oderwitz	3707	3665
			Reichenau *	5561	5698
			Markersdorf *	1013	1066
			Seihennersdorf *	6841	6998
			Zittau	23215	25394

²⁰⁾ Seit 1889 sind nicht weniger als 17 Landgemeinden mit Leipzig vereinigt worden, von denen aber derzeit nur 9 mit dem Hauptorte völlig verschmolzen erscheinen. Deutlich lassen sich zwei Hauptgruppen, eine östliche und eine westliche, unterscheiden, die durch die Wiesen- und Waldflächen des Elsterthales getrennt sind. Jede Hauptgruppe besteht wieder aus mehreren Untergruppen oder mehr oder minder zusammenhängenden Häuserkomplexen; die Zwischenräume sind zwar schon mit einem vollständigen Straßennetze versehen, aber noch nicht besiedelt. Die erst am 1. Januar 1891 einverleibten Gemeinden sind in der Zählung von 1890 noch besonders angeführt.

Gruppe A	1885.	1890.	Gruppe B	1885.	1890.
Leipzig	232444	—	Neureudnitz	1737	—
Reudnitz	170340	—	Thonberg	3740	—
Neustadt	18824	—	Gruppe C	20608	—
Neuschönfeld	7656	—	Gohlis	12996	—
Volkmarsdorf	6131	—	Entritzsch	7612	—
Sellerhausen	12696	—	Gruppe D	8253	11145
Neusellerhausen	4884	—	Connewitz	7756	10596
Anger-Crottendorf	1798	2223	Lösmitz	497	519
	4608	—	Östliche Hauptgruppe	261275	308393

(Fortsetzung s. 8. 15.)

Bayern.

Name.	1885.	1890.	Wohnplatz 1890.
Oberbayern.			
Freising	9125	9486	9486
Ingolstadt	16388	17646	17646
Landsberg	5125	5470	4300
Lechhausen * 40)	8250	10365	10341
München 40)	281673	350594	350594
Rosenheim	9257	10090	10090
Trannstein	4909	5407	5260
Niederbayern.			
Deggendorf	6367	6250	6250
Landshut	17873	18862	18862
Passau	15583	16633	16633
Stranbing	13210	13856	13856
Oberpfalz.			
Amberg	15812	19126	18983
Neumarkt	5451	5703	5703
Regensburg	36093	37934	37934
Stadtamhof	3449	3682	3682
Sulzbach	4670	5015	5015
Weiden	5459	5818	5691
Oberfranken.			
Bamberg	31521	35815	35815
Bayreuth	23559	24556	24556
Forchheim	5041	5971	5971
Hof	22257	24455	24287
Kulmbach 51)	6303	6999	6999
Selb	5206	5426	4926
Westliche Hauptgruppe			
Gruppe A	1885.	1890.	
Lindenau	24512	38636	
Plagwitz	15342	20591	
Gruppe B	9170	13045	
Klein-Zoocher	4398	8681	
Gruppe C	4398	8681	
Schleufsig	865	1437	
Westliche Hauptgruppe			
Leipzig im Umfang von 1891	291050	367147	
Westliche Hauptgruppe			
Blankenburg	5985	7755	
Braunschweig	85111	6891	
Helmstedt	9744	13429	
Holzminden		7755	
Schöningen		6891	
Wolfenbüttel		13429	
Westliche Hauptgruppe			
Hamburg (s. o.)	569260	734625	
Altona (s. S. 8)	189521	22643	
Wandabek (s. S. 8)		5201	
Schiffbek		5201	

34) Die Schloßgemeinde ist jetzt mit der Stadt vereinigt. — 35) Altanaal ist seit 1889 mit Snaalfeld vereinigt. — 36) Einschließlich der ehemaligen Gemeinde Altstadt-Frankenhansen. — 37) Nach Gemeinden. — 38) Über die Bestandteile einzelner Gemeinden s. Jahrg. III, S. 16. — 39) Für 1885 läßt sich nach dem Ortschaftsverzeichnis des Herzogtums Braunschweig (1886) eine genaue Wohnplatzstatistik herstellen. Wir haben darnach:

Wie man sieht, ist der Unterschied gegen die Gemeindebevölkerung sehr gering. — 40) Das preussische Gemeindelexikon von 1885 enthält auch die Wohnplätze von Waldeck. Bei Arolsen und Pyrmont fallen die Wohnplätze mit den Gemeinden zusammen; bei Holzhansen werden 2 Mühlen mit 13 Einw., bei Osdorf zwei Etablissements mit 104 Einw. angeführt. — 41) Nach Wohnplätzen. — 42) Einschließlich Amtsfreiheit. — 43) S. Ortschaftsverzeichnis des Großherzogtums Oldenburg, herausgeg. v. Stat. Bureau 1891. — 44) Im Fürstentum Birkenfeld. — 45) Nach Gemeinden; die wirkliche Ortsbevölkerung der beiden Dörfer ist daher fraglich. — 46) Mit dem preussischen Geestemünde (s. S. 9) zählte die Mündungsstadt der Weser 1890 31866 Einw. — 47) Eine Aufzählung der 15 Vororte, die mit Hamburg völlig verschaffen sind und auch in mehreren amtlichen Beziehungen schon als städtisches Gebiet angesehen werden, ist überflüssig. Man muß aber auch im Auge behalten, daß die Elbe-Hafenstadt auch preussische Gebiete umfaßt, die ebenso, wie die Vororte, unmerkbar mit Hamburg zu einer einzigen Ortschaft verbunden sind. Die Teile derselben sind:

	1890.		1890.
Hamburg (s. o.)	569260	Wandabek (s. S. 8)	22643
Altona (s. S. 8)	189521	Schiffbek	5201

Für Anfang Dezember 1891 wurde die Bevölkerung Hamburgs zu 579884 ermittelt. — 48) Ob die tatsächliche Vereinigung mit Angsburg sich schon vollzogen hat, konnten wir nicht ermitteln. — 49) Die ehemaligen Vororte sind nun auch politisch mit der Stadt vereinigt. Die Zahlen stammen aus d. Ztschr. d. Kgl. bayer. stat. Bureau, 1891, S. 285, und sind etwas größer als die im Vierteljahrsheft d. Stat. d. Deutschen Reichs (1885: 280373, 1890: 349024). Der Grund dieser Differenz konnte nicht ermittelt werden. — 50) Im Jahrg. III, S. 18 werden noch Rainhausen, Steinweg und Weihs in Regensburg gerechnet; uns scheint es den tatsächlichen Verhältnissen entsprechender, nur Stadtamhof als Bestandteil von Regensburg anzufassen. — 51) Über die Bewohnerzahl der Plassenburg, die topographisch zu Kulmbach gehört, ist nichts bekannt.

Name.	Gemeinde		Wohnplatz 1890.
	1885.	1890.	
Mittelfranken.			
Ansbach	13925	14258	14207
Eichstätt	7655	7546	7546
Erlangen	15828	17559	17559
Fürth	35455	43206	43206
Nürnberg	114891	142590	142590
Rothenburg a. d. Tauber	6826	7001	6401
Schwabach	7670	8104	8027
Weissenburg	6025	6112	5895

Unterfranken.			
Aschaffenburg	12393	13630	13404
Kitzingen	7177	7507	7507
Schweinfurt	12502	13472	13439
Würzburg	55010	61039	60414

Schwaben.			
Augsburg	65905	75629	75629
Dillingen	5862	5775	5734
Kaufbeuren	6495	7381	7327
Kempten	14368	15760	15760
Lindau	5329	5349	5349
Memmingen	8688	9600	9600
Neuburg a. d. Donau	7485	7807	7807
Neu-Ulm	7593	7921	7745
Nördlingen	8095	8004	8004
Oberhausen*	5384	6417	6417
Pfaffenhofen*	4169	5330	5330

Rheinpfalz.			
Dürkheim	6110	6080	5902
Frankenthal	10907	13008	12901
Germersheim	6128	6137	6038
Halsbach*	5666	5788	5656
Kaiserslautern	31449	37047	36398
Landau	9395	11136	11047
Ludwigshafen a. Rhein ⁽⁵²⁾	24710	33216	28768
Neustadt a. Haardt ⁽⁵³⁾	13371	15016	12821
Pirmasens	14938	21041	20827
St. Ingbert	10321	10847	8482
Scheffelsstadt	4865	5002	4819
Speyer	16238	17587	17364
Zweibrücken	10665	11204	11029

Württemberg.

Name.	Gemeinde		Wohnplatz 1890.
	1885.	1890.	
Neckarkreis.			
Backnang	6003	6767	6099
Cannstatt	18031	20265	19817
Efvingen	20865	22234	17849 (53)
Feneberg *	5085	5956	5956
Heilbronn	27758	29941	29743
Ludwigsburg	16201	17418	17332
Stuttgart.	125901	139817	125212 (54)

⁽⁵²⁾ Die Gemeindegliederungen sind dem bayrischen Bericht entnommen, wo die wahrscheinlich erst nach 1890 ein-
 verlebten Gemeinden mitgezählt wurden. Friesenheim, das zu Ludwigshafen gekommen ist, ist ziemlich
 entlegen, so daß die Wohnplatzbevölkerung nach der Angabe der Reichsstatistik verlassen werden kann, und
 dasselbe ist wahrscheinlich auch bei Neustadt der Fall. — ⁽⁵³⁾ Vergl. Jahrg. III, S. 19, Anm. 29. — ⁽⁵⁴⁾ Berg
 und Halsbach können jetzt wohl auch schon topographisch zu Stuttgart gerechnet werden, nicht aber Gailen-
 berg. Die Ortsbevölkerung von Stuttgart beträgt daher 1890: 136861.

Name.	Gemeinde		Wohnplatz
	1885.	1890.	1890.
Schwarzwaldkreis.			
Elbingen	6124	6864	6796
Freudenstadt ⁵⁵⁾	6204	6271	5695
Metzingen	5350	5311	5304
Nürtingen	5370	5479	5474
Pfullingen	5247	5586	5582
Reutlingen	17319	18542	18436
Rottenburg	7310	7027	6953
Rottweil	6052	6912	5594
Schramberg	5302	6185	4612
Schwenningen *	5195	6483	6429
Tübingen	12551	13273	13193
Tutlingen	8659	10092	9780
Jagstkreis.			
Aalen	6804	7155	6997
Gmünd	15321	16817	16051
Hall	9126	9000	8926
Heidenheim	6709	8001	7942
Donaukreis.			
Biberach ⁵⁶⁾	7938	8264	8173
Geislingen ⁵⁷⁾	4779	5722	5276
Göppingen	12102	14352	14337
Kirchheim unter Teck	6647	7029	6984
Ravensburg	11483	12367	11137
Ulm	33610	36191	36042
Weingarten	5448	5738	5558

Baden.

Name.	Gemeinde		Wohnplatz 1890.
	1885.	1890.	
Bez. Mannheim.			
Heidelberg	29364	31739	27451 ⁵⁸⁾
Mannheim	61273	79058	79133 ⁵⁹⁾ u. ⁶⁰⁾
Neckarau *	5283	6209	5509
Schwetzingen	4944	5109	4860
Weinheim	7595	8243	8162
Bez. Karlsruhe.			
Baden	12779	13884	12926 ⁵⁹⁾
Bruchsal	11662	11909	11824
Durlach	7656	8241	7999
Ettlingen	6199	6547	5922
Karlsruhe	61066	73684	73679
Pforzheim	27201	29988	30417 ⁵⁹⁾
Rastatt	11743	11557	11266
Bez. Freiburg.			
Freiburg	42596	48909	47392
Kehl { Stadt	2559	3234	5890
{ Dorf	3091	3322	
Lahr	9937	10805	10214
Lörrach	6795	8121	9147 ⁵⁹⁾
Offenburg	7765	7765	8481
Bez. Konstanz.			
Konstanz	14601	16235	16175
Villingen	6140	6423	6383

⁵⁵⁾ Die Einwohnerzahl von Christophthal ist unbekannt. — ⁵⁶⁾ Es ist fraglich, ob die Vorstadt Birken-
dorf hier schon einbezogen ist. — ⁵⁷⁾ Die Bewohnerzahl von Rorgensteig ist nicht bekannt. — ⁵⁸⁾ Ohne
Neuenheim, das aber jetzt einen integrierenden Bestandteil von Heidelberg bildet. — ⁵⁹⁾ Einschließlich von
Gemarkungen, daher in 3 Fällen der Wohnplatz größer erscheint, als die Gemeinde. Dieser Umstand, sowie
besonders das Beispiel Kehl zeigt uns, daß in Baden (mit Ausnahme von Heidelberg) die Begriffe Wohn-
platz und Ort zusammenfallen. — ⁶⁰⁾ Mit dem gegenüberliegenden bayrischen Ludwigshafen zählt
Mannheim 107901 Einw.

Großherzogtum Hessen⁶¹⁾.

Name.	Gemeinde		Wohnplatz 1890.
	1845.	1890.	
Starkenburger.			
Bensheim	6091	6414	6277
Darmstadt	51302	56399	55883 ⁶²⁾
Lampertheim *	6418	6737	6218
Neu-Isenburg *	5056	5873	5873
Offenbach	31704	35079	35064
Pfungstadt	5534	5771	5666
Viernheim *	5245	5801	5744
Rheinhessen.			
Alzey	5932	6066	5801
Bingen	7215	7654	7627
Kastel a. Mainz			
Mainz	66321	72059	71395 77898
Kastel	6918	7521	6503
Worms	21903	25474	25444
Oberhessen.			
Friedberg	4998	5308	5276
Gießen	18962	20535	20416

Elsafs-Lothringen.

Name.	1845.	Gemeinde 1890.	Wohnplatz 1890.
Unter-Elsafs.			
Barr	5646	5678	5652
Bischheim *	5340	6009	6009
Bischweiler	6815	7014	6495
Brumath	5628	5548	4416
Hagenau	13469	14752	10102
Neudorf *	zur Gemeinde Straßburg		8130
Ruprechtstun *	"	"	6936
Schiltigheim *	7140	7758	7705
Schlettstadt	9172	9418	7959
Straßburg	111987	123500	94094 ⁶³⁾
Weissenburg	5968	5846	5376
Zabern	6936	7341	6943
Ober-Elsafs.			
Colmar	26537	30399	30185
Dornach * s. Mülhausen.			
Gebweiler	12388	12367	12297
Markirch	11407	11870	8419
Mülhausen	69759	76892	76672 82042
Dornach *	5445	5655	5370
Münster	5390	5664	4682
Rappoltweiler	5904	5920	5483
Thann	7464	7425	7420
Lothringen.			
Diedenhofen	8111	8923	7053
Dieuze	2767	5786	5769
Forbach	7839	9575	7327
Gros-Moyenre *	5013	5441	5410
Metz	54072	60186	60186 ⁶⁴⁾
Saarburg	3869	5445	5408
Saargemünd	10719	13076	12162

⁶¹⁾ Die Gemeindefzahlen sind entnommen der Mitteil. d. Großherz. Hess. Zentralstelle f. Landesstatistik 1891, Nr. 504. — ⁶²⁾ Bessungen ist 1888 auch politisch mit Darmstadt vereinigt worden. — ⁶³⁾ Hier ist offenbar die Wohnplatzziffer für den Ort zu wählen. — ⁶⁴⁾ In Jahrg. III, S. 22 ist das Dorf von Montigny zu Metz gerechnet worden. Mit demselben Rechte könnte man auch Le Sablon und Devant les Ponts hinzuzählen, aber in allen diesen Fällen ist ein topographischer Zusammenhang nicht vorhanden.

Österreichisch-ungarische Monarchie, 1890.

Österreichische Reichshälfte.

Alleinige Quelle ist hier das „Vollständige Ortschaftenverzeichnis der im Reichsrath vertretenen Königreiche und Länder nach den Ergebnissen der Volkszählung vom 31. Dezember 1890“, herausgegeben von der K. K. Statistischen Zentral-Kommission, Wien 1892. In demselben werden die Gemeinden und Ortschaften angeführt; es ist aber bekannt, daß man unter Ortschaft hier nur die Katastralgemeinden zu verstehen hat, die zum Teil selbst wieder aus Orten im topographischen Sinne bestehen. Eine Auflösung dieser „Ortschaften“ in Orte bzw. Wohnplätze läßt sich für 1890 noch nicht durchführen, es ist also auch unsere österreichische Ortsstatistik mit der deutschen nicht streng vergleichbar. Aber zum Teil ist unsere Aufgabe hier eine einfachere; die Wahl zwischen den Gemeinde- und Ortschaftszahlen ist leichter, als die Entscheidung über die Zusammengehörigkeit von „Wohnplätzen“. Zum Verständnis der Tabellen sind nur ein paar Bemerkungen nötig, wobei wir wieder die beiden Hauptfälle unterscheiden:

1. Der Ort ist kleiner oder ebenso groß, als die Gemeinde. a) Wenn nichts weiter bemerkt ist, so ist — natürlich mit derjenigen Reserve, die durch die Unvollständigkeit unserer Quelle geboten erscheint — die Ortschaftszahl als wirkliche Ortszahl zu betrachten. Bei Städten, wo das amtliche Verzeichnis auch die Unterteilung in Bezirke oder in Stadt und Vorstädte anführt, ist einfach die Gemeinde- auch als Ortschaftszahl wiederholt worden. b) Entspricht die Gemeindezahl der Ortszahl, so ist die Ortschaftszahl eingeklammert. c) Besteht der Ort aus mehreren Ortschaften, aber nicht aus sämtlichen der Gemeinde, so ist den beiden amtlichen Zahlen noch eine dritte, die wirkliche Ortszahl, in Klammern angefügt.

2. Der Ort besteht aus mehreren Gemeinden. Dieser Fall ist genau in derselben Weise behandelt worden wie bei den übrigen Ländern (vgl. S. 2).

Städte mit eigener Verwaltung sind durch * kenntlich gemacht.

Name.	Gemeinde.	Ortschaft.
Niederösterreich.		
Atzgersdorf	5813	5813
Baden	11263	(7673)
Donaufeld	10507	10507
Floridsdorf	6125	6123
Groß-Edersdorf	7834	7834
Hainburg	5075	5075
Klosterneuburg	8988	8988
Kornneuburg	7271	7271
Krems	10584	10584
Liesing	5455	5455 ¹⁾
Mödling	11120	10598
Neunkirchen	8795	8795
St. Pölten	10906	10906
Schwechat	6031	6031
Stockerau	6793	6531
Wien*	1 364 548	1 364 548
Wiener-Neustadt*	25040	24780

Oberösterreich.		
Gmunden	6476	(1750) ²⁾
Linz*	47685	43275 ²⁾
Urfahr	8289	6429 49704
Steyr*	21499	21499
Urfahr a. Linz		
Wele	10118	10118
Salzburg.		
Salzburg*	27244	27244

Name.	Gemeinde.	Ortschaft.
Steiermark.		
Cilli*	6264	6264
Graz*	112069	112069
Knittelfeld	5785	5785
Leoben	6513	6513
Marburg*	19898	19898
Kärnten.		
Klagenfurt*	19756	19756
Villach	7687	6765
Krain.		
Laibach*	30505	29072 ⁴⁾
Tirol.		
Bogen*	11744	11744
Brixen	5525	5243
Hall	5763	5763
Innsbruck*	23320	23320
Hötting	4718	4718
Pradl	— ⁵⁾	1247
Walden	6515	6515
Meran	7176	7176
Riva	6480	5052
Rovereto*	9030	9030
Trient*	21486	21486
Witten a. Innsbruck		

¹⁾ Ober- und Unter-Liesing werden im amtlichen Verzeichnis noch als besondere Ortschaften angeführt. — ²⁾ Die einzelnen Teile der Gemeinde Gmunden sind schon so nahe aneinandergerückt, daß sie auch geographisch als ein Ort angeführt werden können. — ³⁾ Einschließliche Militär. — ⁴⁾ Die Vororte stehen mit der Stadt nicht in unmittelbarem Zusammenhang und sind zum Teil weit entlegen. — ⁵⁾ Zur Gemeinde Ambras-Pradl.

Name.	Ge- meinde.	Ort- schaft.	Name.	Ge- meinde.	Ort- schaft.
Vorarlberg.					
Bregenz	6739	6739	Komtau	13060	12930
Dornbirn	10678	10678	Kögelgräta	7816	7816
Lustenau	5054	5054	Königinhof	8635	8635
Küstenland.			Koehlf	5126	5126
Capodistria	10706	8191	Krumau	8331	8331
Dignano	9151	5269	Kuttenberg	13563	(10172)
Görs *	21825	17956 (21317) ⁹⁾	Landkron	5843	5843
Leme ?)	—	8174	Laun	6346	6346
Pirano	12326	7224	Leitmeritz	11342	11342
Polz	38937	31623	Leitomischl	8012	5576 (7809) ¹²⁾
Rovigno *	9662	9662	Lieben	12536	(9000)
Triest *	157466	120333 (145073) ⁹⁾	Morchenstern	6277	5919
Dalmatien.			Nachod	6364	(5304)
Biatta	8837	5049	Neu-Bydžow	7289	7167
Rugusa	11177	7143	Neubaus ¹³⁾	8502	8502
Sebenico	20360	7014	Niemes	5598	5598
Spalato	22752	15697	Nimburg	6659	6659
Zara	28230	11496	Nixdorf	6704	6201
Böhmen.			Nürschau	5159	5159
Asch	15557	15557	Nusle	11740	(7693)
Ausfig	23646	23646	Ober-Leutensdorf	7502	5167
Beneschau	5589	5589	Pardubitz	12367	12096
Beraun	7265	7265	Pilsen	50221	50221
Billu	6651	(5896)	Pisek	10950	10528
Birkenberg	5124	5124	Poiaun	5012	5012
Böhmisch-Leipa	10406	9269 (9588) ⁹⁾	Prag *	182530	182530
Braunau	7052	(3503) 7052	Karolinenthal	19540	19540
Brüx	14894	14136 (14784) ¹⁰⁾	Smichow	32646	32646
Budweis	28491	28491	Weinberge (Kgl.)	34531	34531
Caslau	8396	8105	Zizkow	41236	41236
Chrudim	12128	12128	Přibram	13412	13412
Deutsch-Brod	5735	5735	Rakonitz	5629	5629
Dux	10141	10141	Raudnitz	6615	3349 (6031) ¹⁰⁾
Eger	18658	18658	Reichenberg *	30890	30890
Falkenau	5450	5450	Rochlitz	7391	5471 ¹⁶⁾
Fischern	5237	5237	Rokitsan	5010	5010
Friedland	5282	(4771)	Rumburg	10178	10178
Gablons	14653	14653	Saaz	13234	13234
Georgswalde	8754	5808 (6415) ¹¹⁾	Schlan	9115	9115
Graslitz	10009	9780	Schönlands	6843	5205
Haida	2985	2985	Schüttelhofen	6469	6152 ¹⁷⁾
Arnsdorf	2576	2576	Smichow s. Prag	5038	5038
Hohenelbe	5736	(4057)	Steinschönau	5419	5419
Hohenmanth	7751	7751	Strakonitz	2036	2036
Hofitz	6910	6910	Neu-Strakonitz	8440	8440
Humpelitz	5913	5913	Tabor	7703	7703
Jaromeř	6925	6455	Teplitz	17526	17526
Jičín	8457	8457	Schönan	2736	2736
Joachimthal	7046	5726	Tetschen	7299	6701 (6849) ¹⁸⁾
Josefstadt	6097	6097	Theresienstadt	7315	7215
Jung-Bunzlau	11518	11518	Trautenu	13290	11235
Kaden	6889	6889	Turn	5666	5666
Karlsbad	12033	12033	Turnau	5963	5904
Karolinenthal s. Prag			Warnsdorf	18268	18268
Kladuo	17215	17215	Weinberge s. Prag		
Klattau	10811	10104	Weipert	8351	8196
Kolín	13566	13268	Wrehowitz (Bez. Wein- berge)	8624	8624
			Wittingau	5421	5421
			Zizkow s. Prag		
			Zwickau (Bez. Gabel)	5567	5567

⁹⁾ Nach Jahrg. IV, S. 118 (Anm. zu S. 39) stehen von den Ortschaften der Gemeinde Görs nur Rosenthal und Staragora (ausammen 608 Einw.) nicht im unmittelbaren Zusammenhang mit Görs. — ⁷⁾ Gehört zur Gemeinde Orsera (11956 Einw.). — ⁸⁾ Mit den Vororten; diese Zahl mag auch für den Ort Triest angenommen werden, obwohl über die Zugehörigkeit des Vorortes Barcola (1710 Einw.) und über die Abtrennung von Serrvo (2629 Einw.) noch Zweifel bestehen. — ⁹⁾ Mit Alt-Leipa. — ¹⁰⁾ Mit Taschenberg. — ¹¹⁾ Alt- und Neu-Georgswalde. — ¹²⁾ Mit Lauß, Zahaj und Zährad. — ¹³⁾ Bezirk Neubaus. — ¹⁴⁾ In diesem Umfang wird Prag auch von der „Statistischen Kommission der Königl. Hauptstadt und Vororte“ behandelt. — ¹⁵⁾ Von der Gemeinde Raudnitz ist nur Hracholus ausschließen, nicht aber auch Bezdůk, wie es in den früheren Jahrgängen geschah. — ¹⁶⁾ Ober- und Nieder-Rochlitz. — ¹⁷⁾ Stadt und Vorstädte. — ¹⁸⁾ Mit dem Schloßhezkir.

Name.	Ge- meinde.	Ort- schaft.	Name.	Ge- meinde.	Ort- schaft.
Mähren.					
Boškovitz	4709	4709 (5814) ¹⁹⁾	Thomasdorf	3028	2642
Brünn *	94462	94462	Adelsdorf	1485	1485
Frankstadt ²⁰⁾	5767	5767	Buchelsdorf	2212	1499
Göding	8482	8482	Troppan *	22867	22867
Groß-Meseritsch	5401	5401	Katharin	5043	5043
Hollschau	4726	4726	Wigstadt Stadt	3232	3232
Wachtel	622	622 6261 ¹⁹⁾	Oberdorf	1830	(1477)
Hussowitz	6958	6958	Gallzien. ²⁶⁾		
Iglau *	23716	23716	Bala	4960	(773)
Kojetein ²¹⁾	5605	5605	Witkow	251	251
Königsfeld	6688	(6984)	Biala	7622	7622
Kremsier *	12480	12480	Boehnia	8849	8849
Leipnik	5389	5204 (6207) ²²⁾	Bolechów	4402	4402
Lundenburg	5968	5968 (6430) ¹⁹⁾	Bolechów ruski	2070	2070
Mährisch-Neustadt	5019	5019	Salamonova Gorka	271	271
Mährisch-Ostau	19243	19243	Boryslaw	10424	(9886)
Pivov	5250	5250 34787	Boraczin	4989	(4212)
Witkowitz	10224	10224	Brody	17534	(17534)
Mährisch-Schönberg	10493	10493	Stare Brody	1556	(1430)
Mährisch-Trübau	7417	7417	Brzeżany	11221	(6028)
Mistek	4922	4187 5615	Buczacz	11096	11096
Kolleredau	1428	1428	Nagórzanka	2389	2389
Neutitschein	11562	11562	Budanów	5363	5363
Kunewald	2159	2159 18007	Busk	6347	6347
Schönan	2105	2105	Chorostków	6261	6261
Schle	2181	2181 (8210) ¹⁹⁾	Chrzanów	7713	7713
Nikolsburg	6101	6101	Czortków	4531	4531
Olmütz *	19761	19761 ²³⁾	Stary Czortków	1639	1639
Prerau	12955	12955 (18172) ¹⁹⁾	Wyganka	4017	4017
Proßnitz	19512	19512 (21192) ¹⁹⁾	Dolina	8344	8032
Pivov s. Mähr.-Ostau	15395	15395	Drohobycz	17916	17916
Sternberg	4719	4719 (5211) ¹⁹⁾	Garlice	5653	5653
Strasensitz	9382	9382 (10802) ¹⁹⁾	Grodzie	10742	10742
Trebitsch	3482	3482 5613	Grodziako Grodzisko	683	683
Wallachisch-Meseritsch	2131	2131	(Bes. Dolna-G.	2844	2707
Krasa	7795	7795 (8136) ¹⁹⁾	Laheut Gorne-G.	2220	2220
Walfkirchen	5567	5567	Horodenka	11162	11162
Wischau	6057	6057	Husiatyn	6060	6060
Witkowitz s. Mähr.-Ostau	14516	14516	Jagielnica	3201	3201
Wetin	7787	7786	Chomiakówka Jagiel- nicka	766	766
Znaim *	14516	14516	Dolina	845	845
Zwittau	7787	7786	Nagórzanka	1039	1039
Schlesien.			Salorka	674	674
Bialitz *	14573	14573	Szulhanowka	1016	1016
Freiwalda	6223	(3764)	Jaroslau ²⁴⁾	18065	18065
Friedeck *	7374	(5515)	Jaworów	9219	9219
Freudenthal	7800	7800	Jaworzno	6637	5419
Hennersdorf	2736	2671	Jezierna	5275	5275
Johannenthal	1517	1517	Katusz	7526	7526
Petersdorf	1301	1301 5923	Nowy Katusz	706	706
Arnsdorf	369	369	Kamionka strumilowa	6483	6483
Jägersdorf	14757	13837 ²⁴⁾	Katy	5235	(4033)
Karwin	7746	7047	Kolomea	30235	29992 ²⁵⁾
Katharin a. Troppan	13176	(6899) ²⁵⁾	Komarno	5239	5239
Polnisch-Ostau	15220	10787	Kopyczáco	6967	6967
Toschen	15220	10787			

¹⁹⁾ Einschließlich der politisch selbständigen Judengemeinde. — ²⁰⁾ Bezirk Mistek. — ²¹⁾ Bezirk Prerau. — ²²⁾ Ortschaft mit Judengemeinde. — ²³⁾ Die Zurechnung der Neu- und Greinergasse erscheint nicht gerechtfertigt. — ²⁴⁾ Gemeinde mit Ausschluss der Kolonie Marienfeld. — ²⁵⁾ Mit dem mährischen Anteil (s. o.) hat Ostau 47963 Einw. — ²⁶⁾ In einigen Fällen sind wir in bezug auf die Zusammengehörigkeit von Gemeinden zu etwas andern Ergebnissen gelangt, als der Bearbeiter der Zählung von 1880, was zum Teil davon herrührt, dass das neue Ortschaften-Verzeichnis der Statistischen Zentralkommission viel detaillierter ist, als das frühere. Bei dieser Gelegenheit mag bemerkt werden, dass ein paar Komplexe, wie Kamionka woloka oder Żabie, nicht aufgenommen wurden, weil hier von einem wirklichen Zusammenhang der einzelnen Ansiedlungen nicht die Rede sein kann. — ²⁷⁾ Einschließlich der Gutsgebiete, deren Aufzählung aus viel Raum in Anspruch nehmen würde. — ²⁸⁾ Gemeinde ohne Broczków, aber mit dem Gutsgebiet (10). — ²⁹⁾ Bezirk Jaroslau. — ³⁰⁾ Ohne Mariashiff.

Name.	Ge- meinde.	Ort- schaft.	Name.	Ge- meinde.	Ort- schaft.
Kosów	3037	3037	Sokal	8007	6175 (6990) ²⁰⁾
Stary Kosów	1357	1357	Stancianu	23591	23591
Manastersko	2403	2403	Stryj	16515	16515
Moskalówka	1873	1873	Tarnopol	27405	(26217)
Krakau *	74593	74593	Tarnów	27574	27574
Czarna Wied	1666	(1675)	Tłumacz	4713	4713 6072 ³¹⁾
Krowodza	2620	2620	Tremblowa	7335	7335
Lobów	817	(456)	Trembołowska Wólka	289	289 7663 ³¹⁾
Nowa Wied Narodowa	1822	1822	Turka ³²⁾	5330	5131 5249 ³¹⁾
Podgorze	13144	13144	Tyśmienica	7654	7654 7757 ³¹⁾
Kuty	6353	6353	Wadowice	5374	5374
Stare Kuty	3895	3895	Wieliczka	6037	6037
Lemberg *	127943	127943	Zablów	4054	4054
Lipnik	7172	6686	Demycze	2071	2071 6125
Monasteryska	4400	4400	Zaleszczyki	5751	5751
Berezowska	920	920	Stare Zaleszczyki	870	870 6799 ³¹⁾
Nadwórna	7227	7227	Zalożce	6928	(4750) 7295 ³¹⁾
Nen-Sandec	12722	(8744)	Zawoja	5122	5122 5282 ³¹⁾
Neumarkt	5878	5878	Zbaraz	8785	(8109)
Obertyn	5219	5219	Złoczów	10113	(7015)
Oświęcim	5414	5414	Zolkiew	7143	7143
Peczenizyn	5867	5867	Zolynia { Markt	1800	1800
Peresichino	5432	(5243)	{ Dorf	4428	3916 5730 ³¹⁾
Podgorze s. Krakau					
Podhajce	5646	5646			
Przemyl	35209	35209 ³³⁾			
Rawa Ruska	7476	5863 (6309) ³³⁾			
Rohatyn	7188	(5616)			
Kutec	209	209			
Zaluzie	735	422			
Rożnów (Bez. Sniatyn)	6058	6058			
Rzeszów	11953	11953			
Ruska Wied	2226	1963			
Sambor	14324	8313 ³⁴⁾			
Sanok	5559	5559			
Posada Sanocka	1583	1583			
Skala	6163	(5160) 6507 ³¹⁾			
Skalet	5889	5889			
Sniatyn	10939	10519 ³⁵⁾			

Bukowina.

Bojan	6194	6194	6442 ³¹⁾
Czernowita *	54171	38179	(51624) ³⁰⁾
Kimpelung	6402	6402	
Kuczurmare	8566	8566	8677 ³¹⁾
Ober-Wikow	5939	5939	6202 ³¹⁾
Radauts	12895	12895	
Sadagóra	4816	4816	
Neu Zuczka	2339	2339	11222 ³¹⁾
Rohozina	3967	3967	
Serech	7159	7159	
Storozynetz	5674	5674	5960 ³¹⁾
Suczawa	10221	(5584)	
Toporoutz	5108	5108	5216 ³¹⁾

Ungarische Reichshälfte.

Quelle: „A magyar Korona Országainak Helységnevtára“ (Ortslexikon der Länder der Ungarischen Krone, von Dr. J. v. Jekelfalussy, herausgegeben vom Königl. ungar. statist. Landesbureau, Budapest 1892).

In Ungarn wird nur die Civilbevölkerung der Gemeinden amtlich veröffentlicht, während in der österreichischen Reichshälfte auch das Militär mitgezählt ist. Im Tiefland treten die Gemeinden meist als geschlossene Ortschaften auf, denen nur vereinzelte Pufsten-Wohnplätze zugezählt werden, so daß hier der Mangel eines Ortsverzeichnisses nicht gefühlt wird, während für die Ortsstatistik der Gebirgslandschaften die amtliche Quelle allerdings ganz unzureichend ist. Für Kroatien und Slavonien sind nur die Steuer-gemeinden, die aus dem alphabetischen Teil des Ortslexikons entnommen werden müssen, zu gebrauchen, da die politischen Gemeinden hier, wie überhaupt in den südlichen Ländern der Monarchie, außerordentlich ausgedehnt sind. Die Hauptaufgabe der Bearbeitung bestand darin, die örtlich zusammenhängenden Gemeinden, deren es hier mehrere gibt, an der Hand der Spezialkarte ausfindig zu machen.

* zeigt Städte mit selbständiger Verwaltung an.

³¹⁾ Einschließlich der Gutsgebiete, deren Aufzählung zu viel Raum in Anspruch nehmen würde. —
³²⁾ Die Zugehörigkeit von Wilna (454) ist zweifelhaft. — ³³⁾ Ort Rawa R. und Karty einschließlich des Gutsgebietes. — ³⁴⁾ Die vier eigentlichen Stadtbezirke; die Vororte schlossen sich gegen NO und SW in 4 bis 5 km langen Streifen an, die ober unter sich und mit der Stadt ohne größere Lücken zusammenhängen. —
³⁵⁾ Ohne Angstdorf. — ³⁶⁾ Sokal mit Bobieniec. — ³⁷⁾ Bezirk Turka. — ³⁸⁾ Kaliczanka und Horecka sind von Czernowita jedenfalls abzutrennen, und man erhält dann die oben angeführte Zahl, die aber auch noch zu groß ist, da ein beträchtlicher Teil von Rosch mit Czernowita in keinem Zusammenhang steht. Eine so feine Unterscheidung läßt sich aber nach dem Ortschaften-Verzeichnisse nicht durchführen.

Ungarn.

Westliche Komitate.			
Pestburg (Pozsony).			
Pestburg (Pozsony)*	52411	Csegléd*	27548
Szered	5227	Duna-Pataj	5899
Tyrnan (Nagy Szombat)*	11500	Félegyháza (Kis-Kun-H.)*	30322
Ödenburg (Sopron).		Halas (Kis-Kun-H.)*	17136
Ceorna	6090	Jász-Karajenő	5333
Kapuvár	6078	Kalocsa	18176
Ödenburg (Sopron)*	27213	Kecskemét*	48493
Raab (Győr).		Kecsel	5984
Raab (Győr)*	22795	Kis-Kőrös	7878
Komorn (Komárom).		Kun-Szent-Miklós	8239
Gúta	7088	Lajos-Missa	7561
Komorn (Komárom)*	13076	Majsa (Kis-Kun-M.)	12221
Tetis (Tata)	6925	Monor	7027
Gran (Esztergom).		Nagy-Káta	6028
Gran (Esztergom)*	9349	Nagy-Kőrös*	24584
Stuhlweissenburg (Fejér).		Promontor (Budaörs)	5243
Bicske	6035	Rácskeve	5861
Ercsi	5673	Rákospalota s. Uj-Pest.	6502
Herezsefalva	7316	Solt	12143
Moor (Mór)	9309	Soroksár	7161
Stuhlweissenburg (Stúkes-Fejérvár)*	27548	Szabadszállás	5571
Veszprém (Veszprém).		Tápió-Szele	6723
Pápa*	14261	Uj-Kénese	23521
Palota (Várpalota)	5181	Uj-Pest	29785
Veszprém (Veszprém)*	12655	Rákospalota	6264
Eisenburg (Vas).		Vadkert	5568
Güna (Kőszeg)*	7076	Waitzen (Vác)*	14450
Kőrmend	5334	Bács-Bodrog.	
Steinamanger (Szombathely)*	16133	Ada	11074
Zala.		Almás	8438
Groß-Kanizsa (Nagy-Kanizsa)* ³⁰⁾	20619	Apatin	12818
Köszeg	6195	Baja*	19485
Sümeg	5384	Bajmok	7151
Tapolca	5839	Budán	8566
Zala-Egerszeg*	7811	Brestovác	5205
Somogy.		Csanádvér	6212
Kaposvár*	12544	Cserenka	7429
Szigetvár	5078	Csonopla	5125
Tolna.		Csanó	7773
Bátaszék	8153	Feketehegy	5169
Bonyhád	6295	Fittak O (Alt)-	5520
Duna-Földvár	12364	Uj (Neu)-	3351
Föld	5513	Jankovác	9116
Fek	11803	Keresztúr	5038
Szegszárd	14325	Kernyáza	7088
Tolna	7954	Kis-Hegyész	5559
Baranya.		Kül	8480
Duna-Szekes	5385	Madaras	5442
Fünfkirchen (Pécs)*	34067	Maria-Theresiopel (Szabadka)*	72737
Mohács	14403	Martonos	5725
Zentrale Komitate.		Mélykút	7919
Pest-Pilis-Solt und Klein-Kumanien		Mohol	9609
(Pest-Pilis-Solt-Kis-Kun).		Monostorszeg	5424
Abony	12012	Neusatz (Ujvidék)*	24717
Budaörs	5281	O-Becse	16965
Budapest ⁴⁰⁾	491938	O-Kanizsa	15494
		O-Moravica	6285
		O-Satapar	5503
		Palánka Német (Deutsch)-	5310
		O (Alt)-	5251
		Uj (Neu)-	1774
		Petrovác	7857
		Petrovozellő	8616
		Szent-Tamás	11728
		Sivács O (Alt)-	7264
		Uj (Neu)-	2381
		Satanics	7221

³⁰⁾ Im tabellarischen Teil des Ortslexikons, S. 746, sind Groß-Kanizsa und Zala-Egerszeg mit einander verwechselt. — ⁴⁰⁾ Im alphabetischen Teil des Ortslexikons wird die Bevölkerungszahl von Budapest mit 492237 angegeben, die Häuserzahl stimmt aber mit der Angabe im Tabellentheil. Die Detailangaben für Muttersprache und Konfession ergeben die von uns angenommene Zahl.

Temerin	8543	
Tisza-Földvár	5716	
Topolya	10816	
Vaskút	5258	
Verbász { Ó (Alt)-	4252	10111
Uj (Neu)-	5859	
Zenta*	25725	
Zombor*	26435	
Zsablya	6697	

Torontal.

{ Aracs (Franjova)	7550	14826
{ Türkisch-Becse (Török-B.)	7276	
Banat-Komló (Nagy-K.)	5235	
Csanád { Német (Deutsch)-	1842	7427
Szerb (Serbisch)-	5585	
{ Német (Deutsch)-	3401	7506
Szerb (Serbisch)-	4105	
Dolovo	6434	
Hatsfeld (Zsombolya)	9580	
Ittebe { Magyar (Ungarisch)-	2243	7045
Szerb (Serbisch)-	4802	
Kumán	5463	
Melenze	8691	
Mokrin	8723	
Nagy-Becskerek*	21934	
Nagy-Kikinda*	22768	
Nagy-Szent-Miklós { Német (Deutsch)-	1971	12311
Szerb (Serbisch)-	10340	
Neudorf (Réva-Ujfalu)	7391	
O-Bessenyő	6331	
Osora (Uadin)	5935	
Pancsova*	17948	
Perjámos	5953	
Petrovossello	6018	
Torak { Kis-	2963	6558
Nagy-	3595	
Türkisch-Becse s. Aracs.		

Csanád.

Apátfalva	5158
Battonya	12018
Csanád-Psota	5610
Makó*	32663
Mezőhegyes	5379
Nagy-Lak	12800

Csongrád.

Csongrád	20802
Dorossama	12325
Hódmező-Vasárhely*	55476
Horgos	5503
Kistelek	7459
Mindaszent	12033
Süvénháza	5290
Szegedin (Szeged)*	85569
Szegvár	6810
Szentes*	30791

Békés.

Békés	25087
Csaba (Békés-C.)	34243
Endrőd	10898
Füzes-Gyarmat	7829
Gyoma	10867
Gyula*	19991
Kőrös-Ladány	7122
Kőrös-Tarcsa	5396
Mező-Berény	12469
Ócsád	7875
Oroszlás	19956
Sarvas	24593
Szeghalom	8952
Szent-András (Békés-Sz. A.)	6735

Tót-Kolmós	9636
Vécsd	7577

Jásy kien—Graf—Kumanisn—Szolnok
(Jász—Nagy-Kun—Szolnok).

Arokszállás (Jász-A.)	11189
Déaványa	12154
Pegyvernek	5636
Jász-Ápáti	10401
Jász-Bérény*	24331
Jász-Kis-Ér	5973
Jász-Ladány	8149
Karcag*	18197
Kenderes	5944
Kis-Ujszállás*	12627
Kunhegyes*	8465
Kun-Szent-Márton*	12554
Madaras	7673
Mező-Tur*	23757
Szolnok*	20748
Tisza-Földvár	7752
Török-Szent-Miklós	18772
Turkeve*	13092

Hajdúken (Hajdú).

Balmaz-Ujváros	10262
Debrecen	56940
Hajdú-Boszörmény*	21238
Hajdú-Dorog	8720
Hajdú-Hadháas	7954
Hajdú-Nándas*	14457
Hajdú-Szeboszió*	14728
Kaba	6364
Nádasdvár	7835
Páspök-Ladány	9824

Szabolcs.

Kis-Várda	6458
Nagy-Kálló	5632
Nyir-Bátor	5061
Nyiregyháza*	27014
Szent-Mihály	6903
Tisza-Polgár	9387
Uj-Fehértó	7898

Szatmár.

Nagy-Bánya*	9838
Nagy-Károly*	13475
Szatmár-Németi*	20736

Sárlágy.

Zilah*	6474
------------------	------

Bihar.

Berettyó-Ujfalu	6913
Derecke	8272
Diósegy	5681
Großwardein (Nagy-Várad)*	38557
Komád	6387
Nagy-Léta	5739
Nagy-Szalonta	12650
Sarkad	8244

Arad.

Arad*	42052	47607
Uj-Arad (Kom. Temesvár)	5555	
Boros-Jenő	5126	
Elek	6629	
Kurtics	6582	
Pécska { Magyar (Ungar.)-	8336	16079
{ Ó (Alt)-	7743	
Szemlak	6321	
Szent-Anna { Ó (Alt)-	4458	10040
{ Uj (Neu)-	5587	

Temes.			
Bayaniste	5988		
Gyarmata	5607		
Lippa	7000		
Temes-Kubin	5030		
Temesvár*	39884	44849 ⁴¹⁾	
Mehala	4965		
Uj-Arad s. Arad.			
Varjas	5003		
Vasceca*	21859		
Weiskirchen (Fehértéplom)*	9041		
Krássó-Saörény.			
Karássebes*	5464		
Lugos*	12489		
Oravica { Deutsch- ⁴²⁾	4115	6352	
{ Romanisch	2237		
Resica { Deutsch- ⁴²⁾	10164	12819	
{ Romanisch	2655		
Steyerdorf (Steyerlak) - Anina	12144		
Nördliche Komitate.			
Neutra (Nyitra).			
Bresova	5689		
Freistadt (Galgócs)	7216		
Holles	5747		
Milva	9997		
Nouhüsel (Érsékújvár)*	11299		
Neustadt a. d. Waag (Vág-Ujhely)	5075		
Neutra (Nyitra)*	13538		
O-Túra	6120		
Trentschin (Trencsén).			
Trentschin (Trencsén)*	5100		
Turazvka	7599		
Liptau (Liptó).			
Rosenberg (Rózsashegy)	6879		
Sohl (Zólyom).			
Altsohl (Zólyom)*	5125		
Detva (Gyetra)	6268		
Hirinyova (Herencsölgy)	6083		
Neusohl (Besztercebánya)*	7485		
Bars.			
Kremnitz (Kőrmöcsbánya)*	9179		
Léva*	7400		
Hont.			
Schemnitz (Selmecz-és Belabánya)*	15280		
Neograd (Nógrád).			
Balassa-Gyarmat	7738		
Loosca*	7460		
Malinec (Malnaspatak)	5319		
Salgó-Tarján	9478		
Héves.			
Erlau (Eger)*	22427		
Gyöngyös	16124		
Hatvan	6979		
Héves	7271		
Pánsz	5111		
Poroszló	5012		
Tisza-Füred	8024		
Bereod.			
Dió-Győr	6537		
Kereates { Mező-K.	4378	5484	
{ K.-Páspöki	1106		
Meső-Cadt	5215		
Meső-Kövesd	12674		
Miskolca*	30408		
Gömör.			
Rima-Sombat*	5562		
Zips (Saepes).			
Iglau (Igló)*	7345		
Leutschau (Lőcsö)*	6318		
Sáros.			
Bartfeld (Bártfa)*	5069		
Eperjes*	10371		
Abaúj-Torna.			
Kaschau (Kassa)*	28884		
Zemplén (Zemplén).			
Sáros-Patak	6350		
Satoralja-Ujhely	13017		
Ung.			
Ungvár*	11793		
Bereg.			
Beregszász*	8078		
Munkacs*	10531		
Ugocsa.			
Nagy-Szöllös	5187		
Mármaros.			
Borsa	6219		
Felső-Visó	6385		
Huszt	7461		
Körösmeső	7620		
Rachova (Rachó)	5767		
Salgot (Mármaros-Sa.)*	14758		
Siebenbürgen.			
Bistrita-Nassod (Beszterce-N.).			
Bistritz (Beszterce)*	9109		
Szolnok-Doboka.			
Dés*	7728		
Samos-Ujvár*	5793		
Klausenburg (Kolozs).			
Klausenburg (Kolossvár)*	32756	35855	
Kolozs Monostor	3099		
Torda-Aranyos.			
Álbák	5312		
Skarisiora (Sakerisóra)	5275		
Torda*	11079		
Unter-Weissenburg (Alsó-Fehér).			
Karlsburg (Gyulafehérvár)*	8167		
Nagy-Enyed*	5932		
Hunyad.			
Broos (Szászváros)*	5650		
Hermannstadt (Szeben).			
Hermannstadt (Nagy-Szeben)*	21465		
Mühlbach (Szász-Sebes)*	6692		
Resinar	5235		
Grofs-Kökel (Nagy-Küküllő).			
Mediasch (Medgyes)*	6766		
Schäfsburg (Segesvár)*	9618		

⁴¹⁾ Temesvár besteht aus drei Siedlungsgruppen, die halbmondförmig die Festung umgeben. Mit demselben Rechte, womit man die Südgruppe, Maierhöfe und Josefstadt, zu Temesvár zählt, muß man auch die Westgruppe, Mehala, hinaurechnen. — ⁴²⁾ Auch Oraviczabánya genannt. — ⁴³⁾ Resiczabánya.

Udvarhely.			Háromszék.		
Székel-Udvarhely*		5438	Sepsi-Szent-György*		5665
Maros-Torda.			Kronstadt (Brassó).		
Maros Váradhely*		14212	Bácsfalu		1862
Regen { Magyar (Ungar.)	1131	7188	Csernattfalu		2628
{ Szász (Sächa.)*	6057		Hossúfalu		6420
			Türkös		3277
			Kronstadt (Brassó)*		30739
Csik.			Fogaras.		
Alfalu (Gyergyó-A.)		5175	Fogaras		5861
Ditro (Gyergyó-D.)		5811			
Szent-Miklós (Gyergyó-Sz.-M.)		6104			

Kroatien und Slavonien mit Fiume.

Agram (Zagrab)	37529	Mitrowitz (Mitrovica)	9541
Alt-Pasau (Pazova stara)	5838	Ruma	9582
Brod	4938	St. Georgen (Gjurgjevac)	7246
Dalje (Dalj)	5609	Semlin (Zimony)	13823
Eszeg (Eszek)	19778	Sisak (Salisek)	6129
Fiume	29494	Virje	7615
Irig	5333	Vinkovci	5946
Karlowitz (Karlócsa)	5490	Virovitica (Verőce)	6586
Karlstadt (Károlyváros)	5559	Vukovar	9494
Kopreinitz (Koproncsa)	6512	Varasdin (Varasd)	9994

Liechtenstein 1886 und 1891.

Resultate der Zählungen nach brieflicher Mitteilung an die Redaktion des Hofkalenders.

	1886	1891
Vaduz	1099	1139.

Schweiz 1888.

Quelle: „Die Ergebnisse der eidgenössischen Volkszählung vom 1. Dezember 1888“, Bd. I, Bern 1892 (84. Lief. der schweiz. Statistik). Bekanntlich werden in der Schweiz nur die Gemeindezahlen veröffentlicht; Gemeinden ohne größeres Centrum haben wir nach dem Vorgang des Referenten im Jahrgang I (S. 72) mit einem nachgesetzten † kenntlich gemacht. In Kantonen, wo keine Gemeinde 5000 Seelen erreicht, haben wir die größte Gemeinde aufgenommen. Alle Zahlen beziehen sich auf die ortsanwesende Bevölkerung.

Basel (2 Kantone).		Winterthur	
Basel	70303	Zürich	28225
Liestal	4927	Aufersuhl	19918
Solethurn.		Engel	5123
Olten	4932	Fönstern	3580
Solethurn	8460	Hirslanden	3650
Aargau.		Hottingen	6986
Aarau	6809	Oberstraf	4278
Luzern.		Rig/sbach	10690
Luzern	20571	Unterstraf	4178
Zug.		Wiedikon	4671
Zug	5160	Schaffhausen.	
Zürich.		Schaffhausen	12402
Horgen	5518	Feuerthalen (Kanton Zürich)	1252
Uster	7042	Thurgau.	
Wädenswil	6346	Frauenfeld	3664
Wädth	6370	Kurzdorf	659
Wetzikon†	5421	Langdorf	819
		Appenzell (2 Kantone).	
		Appenzell	4477
		Herisau	12970

St. Gallen.					
Altstätten	8430	Thun	5505		
Gossau †	5412	Wälen †	5134		
Rorschach	5863	Neuenburg (Neuchâtel).			
St. Gallen	27824	La Chaux-de-fonds	25835		
Straubenzell	6127	Le Locle	11312		
Tablat †	9861	Neuchâtel	16504		
Wattwil	5255	Freiburg (Fribourg).			
Glarus.		Fribourg	12244		
Glarus	5401	Waadt.			
Schwis.		Lausanne	34049		
Einsiedeln †	8506	Le Châtelard †	7194		
Schwis	6663	St. Croix †	6009		
Uri.		Vevey (Vivis)	8144		
Altdorf	2551	Yverdon (Iferten)	6350		
Unterwalden (2 Kantone).		Genf (Genève).			
Sarnen †	3926	Genf	52638		
Stans †	2458	Carouge	5708		
Bern.		Eaux-Vives	7907		
Bern	47150	Plainpalais	12234	78482	
Biel (Bienne)	15414	Wallis.			
Burgdorf	6875	Sion (Sitten)	5513		
Köniz †	6455	Graubünden.			
Langnau	7643	Chur	9380		
Porrentruy (Pruntrut)	6509	Davos	4779		
St. Imier (St. Immer)	7613	Tessin.			
Summiswald *	5744	Lugano (Lauis)	7169		

Frankreich 1881, 1886, 1891.

Die letzte ausführliche Ortstabelle von Frankreich, die die „Bevölkerung der Erde“ enthielt, bezog sich auf die Zählung von 1876; wir haben also hier drei Zählungen nachzuholen. Für die beiden ersten stellen wir nur die Gemeindezahlen ein, für die letzte aber außerdem noch die Bevölkerung des Hauptortes (population agglomérée au chef-lieu). Diese Ortszahl besteht aus zwei Teilen: der population municipale agglomérée und der population comptée à part, wozu das Militär, die Gefängnisse und Arbeitshäuser, die Irrenhäuser und Hospitäler, die Gemeinde-Lyceen und -Collèges, die Spezialschulen und Seminarien, die Pensionate, die Klöster, die auf Staatskosten erhaltenen Flüchtlinge und die bei öffentlichen Unternehmungen beschäftigten Arbeiter, die sich nur zeitweise in der betreffenden Gemeinde aufhalten, gehören. Man darf annehmen, daß diese abgesondert gezählte Bevölkerung in den meisten Fällen innerhalb der „Agglomeration“ wohnt, also zur letztern zu rechnen ist — ein Vorgang, der nicht nur schon in den früheren Jahrgängen der „Bevölkerung der Erde“ üblich war, sondern auch von französischen Statistikern (z. B. Levasseur) befolgt wird. Ob die population agglomérée mehr dem geographischen Ortsbegriff oder dem Begriff „Wohnplatz“ im Sinne der preussischen Statistik entspricht, läßt sich nicht entscheiden, weil die übrigen Teile der Gemeinde in den vom Ministerium des Innern herausgegebenen Censuserken (Dénombrement de la population) nicht genannt sind; es scheint aber, daß das erstere der Fall ist. Wo die Gemeinde- und Ortszahl nur wenig von einander abweichen, mag aber doch auch die zerstreute Bevölkerung in engeren Beziehungen zu der agglomierten stehen, und es sind in diesen zweifelhaften Fällen auch jene Gemeinden über 5000 Bewohner aufgenommen worden, deren agglomerierte Bevölkerung etwas unterhalb unseres Grenzwertes steht.

Das Censuserken von 1891 enthält auf S. 818 ff. zum erstenmal auch die „Sections de commune non chefs-lieux“ mit mehr als 1000 Bewohnern. Der Zusatz „non chefs-lieux“ ist für denjenigen, der in die französischen Rechtsverhältnisse nicht eingeweiht ist, irreführend. Nach einer gültigen Mitteilung des Herrn E. Levasseur sind diese Sektionen nicht topographische, sondern politische Einheiten und zum Teil nur Abteilungen des Hauptortes. So besteht z. B. Cognac aus vier Sektionen: Centre, Cagnillet, Saint-Martin und Saint-Jacques.

Auf die Durchführung des Prinzips der kombinierten Ortszahl wurde möglichst Sorgfalt verwendet, und der Bearbeiter stützte sich dabei besonders auf Reclus' La France (II. Bd. der Géographie universelle) und Joannes Dictionnaire géographique et admini-

strative de la France, das leider erst bis zum Buchstaben E gediehen ist. Ob bei befestigten Orten (z. B. Paris) die Anwendung dieses Prinzips berechtigt ist, mag freilich nicht allgemein zugestanden werden.

Die mit * bezeichneten Städte bestehen aus zwei oder mehreren Gemeinden.

Name.	1881	Gemeinden 1886	1891	Hauptort 1891
Nord-Departements.				
Nord.				
Aniches	5861	6253	6765	6296
Anzin s. Valenciennes.				
Armentières	25089	27985	28638	27515
Avesnes*	5714	6092	6495	6446
Bailleul*	12712	13335	13276	8777
Bergues	5385	5435	5380	5380
Cambrai*	23448	23881	24122	17359
Candry	5334	7389	8045	7954
Comines	6637	7035	7422	5435
Croix s. Roubaix.				
Denain	17202	17832	18258	16663
Douai*	26172	30030	29909	24472
Dunkerque*	37328	38025	39498	39481
Saint Paul-sur-Mer	4406	5200	6312	5378
Rouendail	6223	7702	7432	7432
Fourmies	15052	14771	15895	13469
Freene	6342	6698	6369	4653
Halluin	14020	14678	14841	9856
Haubourdin	6409	7083	7457	6875
Hautmont	9204	9317	10238	10026
Hazebrouck*	10595	11332	11672	7796
Houplines	6230	7602	7499	6615
La Madeleine s. Lille.				
Le Cateau	9564	10007	10544	10269
Lille*	178144	188272	201211	160966
La Madeleine	8504	9060	9689	9607
Loos	6617	7753	7924	6808
Loos s. Lille.				
Marcq-en-Baroeul s. Roubaix.				
Maubeuge	17221	18329	18863	13343
Rouendail s. Dunkerque.				
Roubaix*	91757	100299	114917	105191
Tourcoing*	51898	58008	65477	48139
Croix	8081	9528	12438	11950
Marcq-en-Baroeul	9266	9418	9752	5986
Wasquehal	3275	3688	4405	1427
Wattrelos	15725	17118	19770	5967
Saint-Amand*	11184	12187	12043	8703
Saint-Paul-sur-Mer s. Dunkerque.				
Seclin	5379	5858	6141	5313
Soiesmes	6390	6413	6241	5883
Somain	5590	5796	6043	5290
Tourcoing s. Roubaix.				
Valenciennes*	27607	27575	28700	24520
Anzin	10043	10656	11538	11415
Wattrelos s. Roubaix.				
Wignehies	5232	5705	6463	5571
Pas-de-Calais.				
Aire	8238	8375	8409	5165
Arras*	27041	26914	25701	25701
Berck	4590	5187	5752	5752
Béthune	10374	10917	11098	11098
Boulogne*	44842	45916	45205	45205
Bray	5335	7031	9647	6385
Calais*	46819 ¹⁾	58969	56867	52522
Carvin	7759	7808	8000	6805
Hénin-Liétard	6546	7848	9467	8971
Leas	10515	11780	13862	13862
Liévin	8309	10718	12417	11704
Lillers	7353	7473	7609	5249
Saint-Omer*	21556	21266	21661	20829

¹⁾ Einschließlich Saint-Pierre-lès-Calais, das erst durch Geests vom 29. Januar 1885 mit Calais zu einer Gemeinde verbunden wurde.

Name.	1881.	Gemeinden. 1886.	1891.	Hauptort 1891.
Somme.				
Abbeville *	19283	19837	19851	19772
Albert	5473	5821	6169	5967
Amiens *	74170	80288	83654	76069
Villers-Bretonneux	5911	5939	5625	5582
Aisne.				
Bohain	6684	6705	6980	6590
Château-Thierry	7015	7396	6863	6519
Charany	8852	9052	9315	9106
Guise	7131	7677	8153	8141
Hirson	4809	5743	6994	6150
La Fère	5109	4951	5394	5368
Laon	13623	13677	14129	12959
Saint-Quentin	45838	47353	47551	46323
Soissons	11112	11850	12074	11352
Oise.				
Beauvais *	17535	18441	19382	19275
Clermont	5628	5529	5617	5617
Compiègne	14008	14375	14498	14022
Creil	7182	7418	8183	8143
Montataire	5801	5376	5396	5176
Noyon	6252	6204	6144	5812
Senlis	6888	7127	7116	7101
Seine-et-Marne.				
Coulommiers	5520	6218	6158	5105
Fontainebleau	12463	13340	14322	14078
Meaux	12525	12291	12833	12704
Melun *	12145	12564	12792	12733
Monterau-faut-Yonne	7306	7709	7672	7479
Provins	7728	8240	8340	7975
Seine.				
Alfortville	— ²⁾	6603	7984	7754
Arcueil	6067	6465	6088	6056
Asnières	11352	15203	19575	19575
Aubervilliers	19437	22223	25022	25032
Bagnolet s. Paris.				
Boulogne s. Paris.				
Charanton-le-Pont s. Paris.				
Choisy-le-Roi	6978	7853	8449	8433
Clamart	4187	5112	5491	5181
Clichy s. Paris.				
Colombes	9877	14254	18918	18918
Courbevoie	15112	15937	17597	17597
Fontenay-sous-Bois	4365	5839	5836	5357
Gentilly s. Paris.				
Issy s. Paris.				
Ivry s. Paris.				
Le Perreux			6699	5965
Nogent-sur-Marne }	9491 ²⁾	12972 ²⁾	8399	8399
Le Pré-Saint-Gervais s. Paris.				
Les Lilas s. Paris.				
Levallois-Perret	29519	35649	39857	39837
Maisons-Alfort	9174 ²⁾	7034	7853	7537
Malakoff s. Paris.				
Montreuil	18692	21541	23986	23986
Montrouge s. Paris.				
Nanterre	4984	5592	10430	9093
Neuilly s. Paris.				
Nogent-sur-Marne s. Le Perreux.				
Noisy-le-Sec	3897	4823	5772	5698
Pantin s. Paris.				
Paris	2 269023	2 344550	2 447957	2 447957
Bagnolet	3839	5280	6124	6124
Boulogne	25825	30084	32569	32569
Charanton-le-Pont	11826	13535	15306	15306
Clichy	24320	26741	30698	30698

²⁾ Die Gemeinden Alfortville und Maisons-Alfort wurden erst durch Gesetz vom 1. April 1885 getrennt. —

³⁾ Die Abtrennung der Gemeinde Le Perreux von Nogent-sur-Marne erfolgte durch Gesetz vom 2. März 1887.

Name.	1881.	Gemeinden. 1886.	1891.	Hauptort 1891.
<i>Gentilly</i>	13396	14278	15017	15017
<i>Isy</i>	11111	13080	12830	12830
<i>Ivry</i>	18442	21076	22357	22357
<i>Le Pré-Saint-Gervais</i>	6396	7433	8138	8138
<i>Les Lilas</i>	5690	5887	6417	6405
<i>Malakoff</i>	— 4)	8118	9144	9144
<i>Montrouge</i>	8595	10334	11992	11992
<i>Neuilly</i>	25235	26596	29444	29444
<i>Pantin</i>	17887	19170	21847	21847
<i>Saint-Mandé</i>	9398	10492	11329	11329
<i>Vanves</i>	13005 4)	5936	6815	6815
<i>Vincennes</i>	30530	22337	24626	24626
<i>Puteaux</i>	15586	15786	17646	17646
<i>Saint-Denis</i>	43895	48009	50992	50957
<i>Saint-Mandé s. Paris.</i>				
<i>Saint-Meur</i>	10492	15802	17333	17333
<i>Saint-Maurice</i>	5576	6508	6653	6653
<i>Saint-Ouen</i>	17718	21404	25969	25969
<i>Suresnes</i>	7011	7683	8404	8404
<i>Vanves s. Paris.</i>				
<i>Vincennes s. Paris.</i>				
<i>Vitry</i>	5284	6122	7161	7101
Seine-et-Oise.				
<i>Argenteuil</i>	11849	12809	13339	11799
<i>Corbeil</i>	6719	7541	8184	8184
<i>Essonne</i>	6081	6825	7351	5698
<i>Etampes</i>	7710	8461	8573	8270
<i>Le Raincy</i>	4091	5428	5477	5477
<i>Mantes-sur-Seine</i>	6056	6607	7032	7032
<i>Moulin</i>	6080	7621	8005	7950
<i>Neuilly-sur-Marne</i>	4794	6097	6374	5691 5)
<i>Poissy</i>	5600	6403	6432	5980
<i>Pontoise</i>	6675	7192	7422	7298
<i>Rambouillet</i>	5186	5633	5897	5307
<i>Rueil</i>	8208	9364	9937	9483
<i>Saint-Cloud</i>	4126	5380	5660	5660
<i>Saint-Germain-en-Laye</i>	15790	16312	14262	14076
<i>Sèvres</i>	6834	7620	6902	6902
<i>Versailles*</i>	48324	49852	51679	51354
Nordwest-Departements.				
Seine-Inférieure.				
<i>Bois-Guillaume s. Rouen.</i>				
<i>Bolbec</i>	11575	12007	12028	11125
<i>Caudecès-lès-Elbeuf s. Elbeuf.</i>				
<i>Darnétal s. Rouen.</i>				
<i>Déville s. Rouen.</i>				
<i>Dieppe</i>	22003	23050	22771	22359
<i>Elbeuf</i>	23152	22104	21404	21097
<i>Caudecès-lès-Elbeuf</i>	11290	11038	10434	10434
<i>Saint-Aubin-Jouxté-Boulleng.</i>	3291	3268	3189	2912
<i>Saint-Pierre-lès-Elbeuf</i>	4104	3899	3667	3446
<i>Yécamp</i>	12299	13247	13577	12835
<i>Le Havre*</i>	105867	112074	116369	116369
<i>Sainte Adresse</i>	1975	2241	2511	2432
<i>Sanvic</i>	4541	5783	6880	6187
<i>Le Petit-Quevilly s. Rouen.</i>				
<i>Lillebonne</i>	6108	6789	6500	5705
<i>Rouen*</i>	105906	107163	112352	112109
<i>Bois-Guillaume</i>	5021	5460	5510	5349
<i>Darnétal</i>	6154	6609	6460	6376
<i>Déville</i>	5114	5281	5264	5264
<i>Le Petit-Quevilly</i>	7680	10273	10688	10688
<i>Maromme</i>	3092	3359	3433	3096
<i>Sotteville-lès-Rouen</i>	13092	15304	16384	15258
<i>Sanvic s. Le Havre.</i>				
<i>Sotteville-lès-Rouen s. Rouen.</i>				
<i>Yvetot</i>	8397	7972	7617	7007

4) Malakoff wurde durch Dekret vom 8. November 1883 von der Gemeinde Vanves abgetrennt. —

5) Als Municipalbevölkerung des Hauptortes wird 1409 angegeben; dies ist wohl ein Druckfehler für 4409, denn für 1886 lautet die entsprechende Zahl 4827.

Name.	1861.	Gemeinden. 1886.	1891.	Hauptort 1891.
Eure.				
Bernay	7989	8310	8016	6564
Évreux*	15847	16755	16932	13917
Louviers	10753	10553	9979	9273
Pont-Audemer	6168	6163	6084	5911
Vernon	7881	8164	8288	7017
Calvados.				
Bayeux	8357	8347	8102	7583
Caen*	41508	43809	45201	43462
Condé-sur-Noireau	7279	7252	6764	6151
Falaise*	8486	8518	8313	8109
Honfleur	9601	9726	9450	9004
Lisieux*	16039	16267	16260	16260
<i>Saint-Désir</i>	1190	1160	1129	258
<i>Saint-Jacques</i>	1303	1306	1219	967
Trouville	6263	6308	6243	5627
Vire	6597	6736	6635	6635
Orne.				
Alençon*	17237	17550	18319	17141
Argentan	6800	6285	6247	5728
Fiers	12304	14013	13860	11511
La Ferté-Macé	9398	8908	8121	5514
Laigle	5303	5155	5078	4408
Manche.				
Avranches	8057	8000	7785	7764
Cherbourg	35691	37013	38554	38540
<i>Équeurdreville</i>	4872	5035	5481	3224
<i>Tourlaville</i>	6207	6831	7382	3940
Coutances	8187	8107	8145	8145
Granville	11040	11620	12721	12625
Saint-Lô	10121	10580	11445	11249
Valognes	6782	5718	5791	4845
Eure-et-Loir.				
Chartres*	21080	21903	23108	22762
Châteaudun	7036	7284	7147	6576
Dreux	8254	8719	9364	8520
Nogent-le-Rotrou	7778	8372	8668	7566
Sarthe.				
La Ferté-Bernard ⁹⁾	4133	—	5239	4563
La Flèche	9424	9841	10249	8375
Le Mans*	55347	57591	57412	53282
Mamers	6070	6478	6016	5799
Sablé	6085	6183	6047	5458
Nordost-Departements.				
Ardennes.				
Charleville	16185	16906	17390	17344
<i>Mézières</i>	6119	6674	6700	6551
Fumay	5231	5176	5065	4869
Givet	6972	7820	7083	6818
<i>Mézières a. Charleville.</i>				
Nouson	7069	6992	6741	6473
Rethel	7403	7432	7136	7079
Sedan*	19556	19306	20292	20138
Meuse.				
Bar-le-Duc	17485	18860	18761	18634
Commercy	5262	5514	7483	7218
Ligny-en-Barrois	4512	4930	5101	4845
Saint-Mihiel	5915	6003	8126	8051
Verdun-sur-Meuse	16053	17755	18852	18195

⁹⁾ Mit Saint-Antoine-de-Rochefort, das durch Dekret vom 23. Juli 1886 mit La Ferté-Bernard vereinigt wurde und auch bei unserer Gemeindefahl von 1881 schon eingerechnet ist. Das gleichzeitig einverleibte Chérré ist aber am 18. Mai 1888 wieder abgetrennt worden; es kann also für 1886 keine dem heutigen Umfang entsprechende Zahl angegeben werden.

Name.	1881.	Gemeinden. 1886.	1891.	Hauptort 1891.
Meurthe-et-Moselle.				
Baccarat	6013	5823	5723	5213
Écrouves ⁷⁾	811	1747	6838	6411
Longwy	5064	6811	6978	6448
Luséville*	18136	20500	21542	20906
Nancy*	73225	79038	87110	87092
Pont-à-Mousson	11293	11585	11595	11261
Saint-Nicolas	5117	5544	5654	5623
Toul*	10012	10459	12138	11728
Vosges.				
Épinal	16445	20932	23223	21431
Mirecourt	5333	5455	5141	5035
Rambervillers	5153	5691	5735	5398
Raon-l'Étape	3962	3973	4036	3719
La Neuvéglise-lès-Raon	1833	1997	2149	1617
Remiremont	8126	8756	9374	9123
Saint-Dié	15342	17145	18136	15135
Territoire de Belfort.				
Belfort	19336	22181	25455	25282
Marne.				
Ay	5396	6075	6701	5174
Châlons-sur-Marne	23199	23648	25863	25854
Epernay	16388	17907	18361	18252
Mourmelon-le-Grand	4222	5421	5329	4796
Reims*	93823	97903	104186	101699
Vitry-le-François	7760	7670	8022	7984
Haute-Marne.				
Chaumont	12160	12852	13280	12796
Langres	11790	11189	10719	9840
Saint-Dizier	12773	13458	13372	10571
Aube.				
Romilly-sur-Seine	5283	6938	7244	7041
Sainte-Savine s. Troyes				
Troyes*	46087	46972	50330	49808
Sainte-Savine	3802	4614	5253	5124
Yonne.				
Auxerre*	16986	17456	18036	17368
Avallon	6139	6336	6076	5571
Joigny	6468	6494	6218	5971
Sens*	13515	14035	14006	13942
Côte-d'Or.				
Auxonne	6849	7164	6695	5108
Beaune*	12038	12146	12470	11755
Châtillon-sur-Seine	5265	5317	5127	4955
Dijon	55453	60855	65428	62307
Ort - Departements.				
Saône-et-Loire.				
Autun	14049	14895	15187	13593
Chalon-sur-Saône*	21618	23768	24686	24294
Le Creusot	28125	27301	28635	18467
Mâcon*	19567	19669	19573	18497
Montceau-les-Mines	13108	15313	19612	6680
Haute-Saône.				
Gray	7254	6826	6908	6739
Arc-ès-Gray	2699	2744	2758	2714
Vesoul	9553	9733	9770	9642
Doubs.				
Besançon*	57067	56511	56055	44793
Montbéliard	8784	9531	9561	9168
Pontarlier	6118	8098	7187	6709

⁷⁾ Das plötzliche Anwachsen von Écrouves (westlich von Toul) erklärt sich aus militärischen Maßnahmen. Die Municipalbevölkerung der Gemeinde betrug auch 1891 nur 872.

Name.	1881.	Gemeinde. 1886.	1891.	Hauptort 1891.
Jura.				
Dôle	13190	13293	14253	12573
Lons-le-Saunier	12373	12290	12610	12427
Moréas	5542	5443	5124	4944
Saint-Claude	8216	8932	9782	8729
Salins	6419	5833	6068	5392
Ain.				
Belley	5622	6160	6295	5385
Bourg	18233	18113	18968	17716
Rhône.				
Caluire-et-Cuire s. Lyon.				
Givors	11470	10974	10857	10098
Lyon*	376613	401930	438077	398027
Caluire-et-Cuire	9740	9854	9988	9391
La Mulatière	5732 ⁹⁾	3315	3377	3377
Sainte-Foy-lès-Lyon		3105	2907	1952
Villeurbanne	11176	14715	17940	17008
Oullins	7536	7189	8327	8283
Taras	13352	12580	12387	11738
Villefranche	13074	12518	12928	12463
Villeurbanne s. Lyon.				
Loire.				
Firminy	13707	13992	14511	13104
Le Chambon-Feugerolles	8160	8532	9016	4950
Montbrison	7006	7369	7086	6882
Rive-de-Gier	16816	14304	13134	13070
Roanne	25425	30402	31380	30996
Saint-Chamond	14149	14383	14963	14963
Saint-Etienne*	123813	117875	133443	123769
Haute-Loire.				
Le Puy*	18825	19031	20306	20038
Ardèche.				
Annonay	17291	17308	17626	14971
Aubenas	8260	8112	7824	5671
Privas	7921	7600	7312	5528
Alpen-Departements.				
Haute-Savoie.				
Annecy*	11334	11817	11947	11331
Savoie.				
Albertville	5086	5460	5854	4863
Chambéry*	19622	20916	20922	19755
Isère.				
Bourgoin	6138	6345	7217	5811
Jallieu	4085	4373	4386	3503
Grenoble*	51371	52484	60439	56878
Vienna*	26060	25480	24817	22814
Voiron	11955	11954	11604	8287
Drôme.				
Montélimar	12894	14014	13764	11121
Romans	13806	14733	16545	14720
Bourg-de-Péage	4806	4869	5022	4305
Valence	24502	24671	25283	22947
Bourg-lès-Valence	3572	3995	3928	2780
Hautes-Alpes.				
Gap	10765	11621	10478	8398
Basses-Alpes.				
Digne	6771	7083	7261	5584
Manosque	5775	5450	5572	4854

⁹⁾ La Mulatière wurde durch Gesetz vom 26. Juli 1885 von Sainte-Foy abgetrennt. — ⁹⁾ Recluz rechnet auch das entlegene Venissieux zu den Vororten von Lyon. Mit demselben würde die kombinierte Ortszahl auf 431309 steigen.

Name.	1881.	Gemeinde. 1886.	1891.	Hauptort 1891.
Alpes-Maritimes.				
Antibes	5923	6461	7401	6332
Cannes	19385	19959	19983	15140
Grasse	12087	12157	14015	9786
Menton (Mentone)	11000	9387	9050	8319
Nice (Nizza)*	66279	77478	88273	74250

Südost- und Mittelmeer-Departements.

Var.				
Draguignan	9133	9753	9816	8604
Hyères	13849	13485	14962	8349
La Seyne-sur-Mer	12072	13166	14332	9643
Toulon*	70103	70122	77747	74134

Bouches-du-Rhône.				
Aix*	29257	29057	28357	22924
Arlès*	23480	23491	24298	13876
Aubagne	7885	8229	8154	5498
La Ciotat	9702	10689	12223	10474
Marseille*	360099	376143	403749	321499
Salon	7503	8598	9152	6465
† Tarascon	9833	9314	9263	6597
† Beaucaire (Dep. Gard)	9724	9824	8947	7906

Vaucluse.				
Avignon*	37657	41007	43453	37500
Carpentras*	9699	9685	9778	7694
Cavaillon	8591	9144	9077	4757
Orange*	10301	10280	9859	6804

Gard.				
Alais*	22255	22514	24356	18961
Beaucaire a. Tarascon (Dep. Bouches-du-Rhône).	11404	10653	8673	8068
Bessèges	12138	11341	13141	7152
La Grand-Combe	63552	69898	71623	68735
Nîmes*	5268	5503	5947	5094
Saint-Gilles				

Hérault.				
Agde	8170	8446	7389	6705
Bédarieux	6923	7320	6578	6046
Béziers*	42915	41785	45475	42436
Cette	35517	37058	36541	36179
Clermont-d'Hérault	5450	5191	5079	4813
Lodève	10185	9532	9060	8761
Lunel	6487	6667	6793	6494
Mézès	6067	5807	6326	5965
Montpellier*	56005	56765	69258	65503
Pézenas	7364	6927	6720	6191

Aude.				
Carcassonne*	27512	29339	28235	25306
Castelnau-dary*	10059	10105	10059	8598
Limoux	6283	6810	6371	5310
Narbonne	28134	29702	29566	27150

Pyrenées-Orientales.				
Perpignan*	31735	34183	33878	27613
Rivesaltes	6980	6235	6016	5878

Obere Zentral-Departements.

Tarn.				
Albi	20370	21224	20903	17230
Carmaux	6905	8059	9591	8091
Castres	27408	27427	27509	22549
Gaillac	8308	8334	7709	5910
Graulhet	6945	6924	7477	5011
Mazamet	14429	14666	14361	10588

Name.	1881.	Gemeinde. 1880.	1881.	Hauptort 1881.
Aveyron.				
Decazeville	9625	10702	8871	6684
Millau	16628	16139	17429	16181
Rodes	15333	15375	16122	15295
Saint-Affrique	7598	7177	7223	5163
Villefranche	10366	9836	9734	7588
Lozère.				
Mende	7202	8033	7878	7000
Lot.				
Cahors*	15524	15622	15369	13451
Figeac*	7205	7396	6680	5070
Cantal.				
Aurillac*	13727	14613	15824	14756
Saint-Flour*	5745	5477	5308	4775
Corrèze.				
Brive	14182	15707	16803	13445
Tulle*	16196	16277	18964	15364
Puy-de-Dôme.				
Clermont-Ferrand*	43033	46718	50119	45083
Issoire	6303	6265	6162	6029
Riom*	10304	10309	11189	10560
Thiers	15333	16754	16814	11993
Untere Zentral-Departements.				
Creuse.				
Aubusson	6782	6733	6672	6248
Guéret	6749	7065	7799	6776
Allier.				
Commentry	12416	12515	12618	9316
Cusset	6330	6762	6454	5125
Gannat	5728	5606	5764	5187
Montluçon*	26079	27816	27878	26029
Moulins*	21156	21721	22665	22219
Vichy	8486	10344	10670	10605
Nièvre.				
Clamecy	5536	5307	5318	4646
Cosne	7401	7790	8672	7269
Fourchambault	5959	6147	6090	5810
La Charité	4826	5453	5443	5077
Nevers	23846	25006	26436	25062
Cher.				
Bourges	40217	42829	45342	41224
Mehun-sur-Yèvre	6350	6591	6572	5466
Saint-Amand-Mont-Rond	8815	8476	8673	7895
Vierzon } - Ville	9969	10514	10559	10559
} - Village	7830	6995	7799	1437
Indre.				
Argenton	5909	6388	6270	5657
Châteauroux	21179	22860	23924	22553
Issoudun*	14928	15231	13564	11331
Le Blanc	6558	7140	7389	6065
Indre-et-Loire.				
Tours*	52209	59585	60335	60335
Loir-et-Cher.				
Blois*	21077	22150	23457	21241
Romorantin	8010	7545	7812	7049
Vendôme	9420	9325	9538	7864
Loiret.				
Briare	5590	5894	6684	5651
Gien	8267	8181	8519	7069
Montargis	11164	10984	11600	11600
Orléans*	57264	60826	68705	61073
<i>Saint-Jean-de-la-Buelle</i>	1231	1809	1360	693
<i>Saint-Jean-le-Blanc</i>	1283	1461	1426	484
Pithiviers	5181	5509	5480	5389

Name.	1881.	Gemeinde, 1886.	1891.	Hauptort 1891.
West-Departements.				
Finistère.				
Brest*	69110	70778	75854	75854
Lambézellec	12502	15641	16084	1989
Concarneau	5191	5684	5991	5845
Douarnenez	9809	10985	10021	10031
Landerneau	9078	8927	8487	7530
Morlaix	15346	16013	16300	14855
Quimper	15288	17171	17406	17406
Quimperlé	6821	7156	8049	5417
Côtes-du-Nord.				
Dinan*	9964	10105	10444	9788
Guingamp	8404	8744	9196	9181
Lannion	5998	6205	6002	5693
Saint-Brieuc*	17833	19240	19948	16741
Ille-et-Vilaine.				
Fougères*	14325	15578	18221	17381
Redon	6537	6428	6929	5700
Rennes*	60974	66139	69232	65102
Saint-Malo	11212	10500	11896	11503
Saint-Servan	12867	12163	11608	10179
Vitré*	10314	10447	10607	9207
Morbihan.				
Anray	5870	6392	6236	5517
Hennebont	5988	6519	6972	5354
Lorient*	37812	40055	42116	41065
Pontivy	8164	9466	9175	7240
Vannes*	19284	20036	21504	19625
Loire-Inférieure.				
Ancenis	5361	5544	5141	4538
Chantenay-sur-Loire s. Nantes.				
Châteaubriant	5564	6177	6523	5469
Nantes*	124319	127482	122750	115608
Chantenay-sur-Loire	11808	12524	14139	13086
Saint-Nazaire	19626	25575	30935	26461
Mayenne.				
Château-Gontier	7107	7334	7281	7281
Laval*	29889	30627	30374	28405
Mayenne*	11188	11106	10428	9369
Maine-et-Loire.				
Angers*	68049	73044	72669	70508
Cholet	15916	16855	16891	15051
Saumur*	14186	14187	14867	14400
Mittlere West-Departements.				
Vendée.				
Fontenay-le-Comte	9333	10164	9864	8968
La Roche-sur-Yon	10634	11773	12215	11390
Les Sables-d'Olonne	10420	11070	11557	10293
Luçon	6339	6506	6536	6301
Deux-Sèvres.				
Niort*	22254	23015	23225	22313
Parthenay	6305	6646	7297	6474
Saint-Maixent*	4790	5565	5036	5036
Thonars	3535	4992	5169	4885

¹⁰⁾ Lambézellec, die industrielle Vorstadt von Brest, besteht aus mehreren Ortschaften, von denen zwei mehr als 4000 Einwohner haben. Nur auf Karten von sehr großem Maßstab ließe sich über die topographische Zugehörigkeit jeder einzelnen Ortschaft zu Brest entscheiden, und es ist daher bis auf weiteres am zweckmäßigsten, die ganze Gemeindeganzheit zu der von Brest hinzuzuschlagen.

Name.	1881.	Gemeinde. 1886.	1891.	Hauptort 1891.
Vienne.				
Châtellerault	18280	17402	22522	18112
Poitiers *	36210	36878	37497	34374
Haute-Vienne.				
Limoges *	63765	68477	72697	67815
Saint-Junien	8092	8479	9376	5968
Charente.				
Angoulême *	32567	34647	36690	34188
Cognac	14087	15200	17392	17052
Charente-Inférieure.				
La Rochelle *	22464	23829	26808	23467
Rochefort *	27854	31256	33334	32445
Royan	5445	6702	7247	6253
Saintes *	15763	17327	18461	15595
Saint-Jean-d'Angély	7279	7255	7297	6578
Dordogne.				
Bergerac	15042	14353	14785	12485
Périgueux	25969	29611	31439	30725
Sarlat	6457	6069	6615	4599
Südwest-Departements.				
Gironde.				
Arcachon	7133	8201	7910	7841
Bigles s. Bordeaux				
Bordeaux	221305	240583	252415	247890
<i>Bigles</i>	7238	8919	10535	10535
<i>Caudéran</i>	6431	7963	8670	8670
<i>Le Bouscat</i>	4534	4463	8223	8223
<i>Talence</i>	4621	6642	7921	7825
Candéran s. Bordeaux				
La Teste	6063	6200	6480	4778
Le Bouscat s. Bordeaux				
Libourne	15981	16736	17867	15245
Talence s. Bordeaux				
Lot-et-Garonne.				
Agou *	20485	22055	23234	21316
Marmande	9857	9391	10341	7329
Tonneins	8073	7643	7090	4877
Villeneuve-sur-Lot	14560	14693	13798	9339
Tarn-et-Garonne.				
Moissac	9202	9232	8797	5241
Montauban *	28335	29863	30388	22616
Landes.				
Dax	10218	10858	10240	8716
<i>Saint-Paul-lès-Dax</i>	3240	3514	3614	1699
Mont-de-Marsan	10878	11760	12031	10954
Gers.				
Auch *	14188	15090	14782	12334
Condom	8555	7902	7405	4745
Haute-Garonne.				
Saint-Gaudens	6312	6602	7007	4942
Toulouse *	140289	147617	149791	136292
Ariège.				
Foix	7076	7369	7568	6177
Pamiers	11726	11944	11143	9537
Hautes-Pyrénées.				
Bagnères-de-Bigorre	9498	9248	8638	6986
Lourdes	5864	6517	6976	6182
Tarbes *	23273	25146	25087	24784

Name.	1881.	Gemeinde 1886.	1891.	Hauptort 1891.
Basses-Pyrénées.				
Bayonne*	26261	27289	27192	24982
Biarritz	8527	8444	9177	7159
Oloron-Saint-Marie*	9117	8931	8758	7266
Pau*	29971	30624	33111	31029
Corsika.				
Corse.				
Ajaccio	18005	17576	20197	18846
Bastia*	20100	20765	23597	22895
Corte	5136	5002	5029	4819

Belgien 1880 und 1890.

Für Belgien besitzen wir nur eine Gemeindestatistik; der stete Vergleich der Tabellen mit der Generalstabkarte (1:40 000) lehrt aber, daß auch die meisten ländlichen Gemeinden über 5000 Einwohner größere Centra besitzen. Das Prinzip der kombinierten Ortszahl wurde auch hier soweit als möglich durchgeführt. Da die Ergebnisse der Zählung vom 31. Dezember 1880 in der „Bevölkerung der Erde“ noch nicht veröffentlicht wurden, so sind auch sie neben den Resultaten der Zählung vom 31. Dezember 1890 aufgenommen worden. Beide Zahlenreihen sind dem *Annuaire statistique de la Belgique, 1891*, entnommen.

Name.	Gemeinde 1880.	1890.	Name.	Gemeinde 1880.	1890.
Antwerpen.			Forest		
Antwerpen (Anvers) . . .	169112	224012	Hal	4182	5885
Berchem	9384	15503	Ixelles s. Brüssel	9277	10441
Borgerhout	20968	28882	Jette	4712	6635
Boom	12657	13892	Kessel-Loo	4978	6115
Bornhem	5119	5463	Koekelberg s. Brüssel		
Deurne ¹⁾	5252	6702	Laeken s. Brüssel		
Duffel	5060	6934	Leeuw-Saint-Pierre . .	5257	5940
Gheel	10468	12026	Löwen (Louvain) . . .	35893	40624
Hérentshale	4838	6007	Heverle	3684	4585
Heyst-op-den-Berg . . .	5130	5310	Molenbeek - Saint - Jean		
Hoboken	4147	4987	s. Brüssel.		
Lier (Lierre)	17133	20133	Nivelles	10168	10642
Mecheln (Malines) . . .	42381	51014	Overyasse	5396	5830
Merxem ¹⁾	5056	8453	Saint-Gilles s. Brüssel.		
Moll	5884	6311	Saint-Josse - ten - Noode		
Niel	5173	6090	s. Brüssel.		
Turnhout	16670	18747	Schaerbeek s. Brüssel		
Willebroeck	6011	8164	Tienen (Tirlemont) . .	13951	15985
Wilryck	3908	5495	Uccle	10744	13400
Brabant.			Vilvorde	8202	11138
Aerschot	5378	6234	Watermaal-Boitsfort . .	3658	5084
Anderslecht s. Brüssel.			Waveren (Wavre) . . .	6847	7575
Asseche	6392	7063	Ost-Flandern.		
Braine-l'Alleud	6370	7296	Aalst (Alost)	20679	25544
Brüssel (Bruxelles) . .	162498	176138	Aeltre	7080	7019
Anderslecht	22812	32311	Andenarde	5545	6141
Etterbeek	11753	17735	Beveren	7858	8637
Ixelles	36324	44497	Buggenhout	4983	5236
Koekelberg	4893	6272	Cruyshaute	5586	5589
Laeken	17856	20289	Calcken	5280	5312
Molenbeek-St.-Jean . .	41737	48723	Dendermonde (Termonde)	8544	9606
Saint-Gilles	33124	40289	Eccloo	10741	11642
St.-Josse-ten-Noode . .	28052	29709	Evergem	6524	6948
Schaerbeek	40784	50826	Geertsbergen (Grammont)	9395	10891
Diest	7399	8531	Gent	131451	148729
Etterbeek s. Brüssel			Ledeberg	10124	12362
			Mont-Saint-Amand . .	7429	10836

¹⁾ Deurne und Merxem können als äußere, ländliche Vororte von Antwerpen angesehen werden.

Name.	Gemeinde	
	1880.	1890.
Gentbrugge ²⁾	4298	8262
Hamme	11437	12039
Lebbeke	5889	6573
Ledeberg a. Gent.		
Lokeren	17770	19667
Maldegem	8385	9011
Moerbeke	5250	5345
Mont-St.-Amand a. Gent.		
Ninove	6581	6870
Rensse (Rensix)	14370	16912
Saint Nicolas	25914	28250
Selsate	4882	5241
Somergem	5732	5611
Stokem	7124	7512
Tamse	9943	11039
Tronchiennes	4809	5006
Wachtebeke	5035	5103
Wavrechot	5234	5329
Waesmunster	5789	5843
Wetteren	10863	11923
Zele	12721	12293

West-Flandern.

Ardoye	6086	6144
Brügge (Bruges)	44501	47497
Conckelaere	4863	5069
Deerlyck	4920	5244
Harlebeke	6008	6478
Ingelmünster	5749	6224
Iseghem	9113	9965
Kortrijk (Courtrai)	26943	30383
Langemark	6813	7037
Lichtervelde	6334	6524
Mennin	11749	13710
Meulebeke	9042	9035
Moorlede	6438	6965
Mousseron	11042	13764
Oedelem	4716	5143
Oostcamp	5711	5932
Ostende	19307	24688
Pitthem	4610	5003
Poperinghe	11007	11112
Rousselaere (Roulers)	17219	20339
Ruddervoortde	4850	5012
Rumbeke	5983	5768
Ruyselede	6700	6714
Staden	5073	5323
Swezezele	5102	5503
Thielt	9779	9821
Thouront	8746	9464
Venrae (Furnes)	5083	5577
Waereghem	7164	7628
Werriek (Wervicq)	7032	7484
Wervighem	5235	5962
Wyngheue	8026	7877
Ypern (Ypres)	15753	16605

Name.	Gemeinde	
	1880.	1890.
Hennegau (Hainaut). ²⁾		
Auderues	5940	7112
Ath	9301	9868
Binche	8252	10104
Bonsau	8722	9704
Braine-le-Comte	7638	8790
Carrières	5787	6348
Chapelle-lez-Herlaimont	5036	5592
Charleroy	16372	20668
Châtelet	10286	11176
Châtelineau	8290	10188
Couillet	7142	8326
Courcelles	11190	12654
Cuesmes	7079	8369
Dampremy	7895	8941
Dour	10163	10608
Ecaussinnes	5864	6489
-d'Enghien	1039	1068
-Lalain g.	5814	5267
Ellezelles	5024	6066
Farciennes	3134	5148
Fleurus	5005	5550
Fountain-l'Evêque	9935	10831
Frameries	17716	20449
Gilly	8268	9118
Gosselies	8306	8854
Hornu	5921	6820
Houdeng	5374	6033
-Aimeries	10741	11682
-Goeignies	20707	23927
Jemappes	6177	6552
Junet	11859	14257
La Bouverie	7274	8225
La Louvière	6257	5837
Lessines	6622	7629
Leuze	12153	15137
Lodelinsart	6306	7151
Marchienne-au-Pont	9238	11187
Monceau-sur-Sambre		
Marcinelle		
Monceau-sur-Sambre a. Marchienne.	24049	25237
Mons	13396	15479
Montignies-sur-Sambre	6432	6752
Mont-sur-Marchienne	6500	7307
Morlanwelz	10090	10739
Pâturages	8007	8272
Peruwels	12406	14361
Quaregnon	5592	6748
Ransart	7515	8430
Roux	8144	9007
Solignies	4130	5070
Stripy	5431	5632
Thulin	32566	34442
Tournai	4667	5012
Wanfercée-Banlet	12274	13105
Waesmes		

²⁾ Jetzt vielleicht schon zu Gent zu rechnen, wofür auch die starke Bevölkerungszunahme spricht. —

³⁾ Selbst nach der neuesten Ausgabe der topographischen Karte in 1:40000 ist es außerordentlich schwierig, über die Zusammengehörigkeit von Gemeinden sich ein Urteil zu bilden, und ist daher größere Zurückhaltung angezeigt. Dagegen treten große Gemeindekomplexe deutlich hervor, d. h. eng benachbarte Gruppen von Ansiedlungen, die zum Teil wohl schon verwachsen sein werden, zum Teil aber der Verzeichnung erst entgegengehen. Besonders zwei Komplexe sind hier zu nennen:

I. Die Charleroy-Gruppe.

Charleroy	20668
Marcinelle	11187
Montignies-sur-Sambre	15479
Couillet	8326
Gilly	20449
Lodelinsart	7629

Dampremy	8941
Junet	23927
Roux	8430
Monceau-sur-Sambre	7151
Marchienne-au-Pont	15157
Mont-sur-Marchienne	6752

Summa 1890: 154096

II. Die Mons-Gruppe (südwestlich von Mons).

Waesmes	13105
Warquignies	1271
Pâturages	10739
La Bouverie	6552
Eugies	2450
Frameries	10821

Summa 1890: 44938

Name.	Gemeinde	
	1880.	1890.
Namur.		
Andenne	7253	7075
Dinant	6342	7048
Namur	25354	30087
Jambes	2982	3883
St.-Servais	2366	3212
		37182
Lüttich (Liège).		
Angleur ⁴⁾	4357	5902
Aus ⁴⁾	5644	6875
Chênée ⁴⁾	5765	7043
Dison s. Verviers.		
Ensaival s. Verviers.		
Grivegnée ⁴⁾	7171	9569
Herstal	11378	13877
Hodimont s. Verviers.		
Huy	12496	14486
Jemeppe s. Seraing.		
Lüttich (Liège)	123131	147660
Marchin	4592	5204
Montegnée	4896	6103

Name.	Gemeinde	
	1880.	1890.
Ougrée s. Seraing.		
Saint-Georges	5709	5915
Saint-Nicolas ⁴⁾	4536	6547
Seraing	27407	33495
Jemeppe	6255	8400
Ougrée	7978	10241
Tilieur	4311	5679
Spa	6732	7109
Theux	4731	5282
Tilieur s. Seraing.		
Verviers	40944	48907
Dison	11842	13221
Ensaival	5815	6494
Hodimont	4372	5073
		73695
Limburg (Limbourg).		
Hasselt	12192	13250
St.-Truijen (St.-Trond)	11542	12895
Tongera (Tongres)	8225	8596
Luxemburg (Luxembourg).		
Arion	7149	8029

Luxemburg 1885 und 1890.

Der Bericht über die „allgemeine Volkszählung im Großherzogtum Luxemburg, aufgestellt am 1. Dezember 1890“ (Luxemburg 1891) enthält detaillierte Angaben über die Gemeinden und die Orte. Unter den letzteren sind offenbar Wohnplätze im Sinne der preussischen Statistik verstanden. Die Bevölkerung ist die ortsanwesende, nur sind bei den Orten die vorübergehend Anwesenden nicht mitgezählt; daher z. B. die Differenz zwischen Ort und Gemeinde Luxemburg.

Name.	Gemeinde		Ort 1890.
	1885.	1890.	
Düdelingen	3556	5123	4520
Esch a. d. Alzette	6772	6871	6765
Luxemburg	17964	18187	17972

Niederlande 1889.

Die endgültigen Ergebnisse der Zählung vom 31. Dezember 1889 haben in den „Uitkomsten der zevente tienjaarlijksche Volkstelling etc.“ (12 Foliobände [Haag, Van Welden & Mingelen, 1891]) eine so detaillierte Bearbeitung gefunden, daß wir — ebenso wie der Bearbeiter der Zählung von 1869 in Jahrgang III, S. 33 — in der Lage sind, eine genaue Ortsstatistik aufzustellen. Jede Gemeinde, die mehrere Orte enthält, ist in ihre Bestandteile aufgelöst, und bei jedem Bestandteil, sei er ein selbständiger Ort oder bloß eine Gemeindeabteilung (Wijk), wird die agglomerierte (binnen de Kom) und zerstreute Bevölkerung (buiten de Kom) unterschieden. Ich habe die erstere als Wohnplatz-Bevölkerung bezeichnet, weil sie allem Anschein nach am meisten diesem Begriff im Sinne der preussischen Statistik entspricht. Im Gegensatz zu den „Uitkomsten“ wurde aber in den meisten Fällen die Schiffsbevölkerung zur agglomerierten Bevölkerung hinzugezählt. Das Censuswerk unterscheidet ferner: a) anwesende Gemeindeglieder, b) zeitweise abwesende Gemeindeglieder, c) zeitweise anwesende Fremde. a + b gibt die rechtliche Bevölkerung, die in offiziellen statistischen Übersichten angeführt wird; a + c gibt die ortsanwesende Bevölkerung, und diese ist es allein, die wir hier zu berücksichtigen haben. — Alle ländlichen Orte sind durch ein * bezeichnet.

⁴⁾ Ländliche Vororte von Lüttich (dazu noch Glain mit 2150 Einw.) und zum Teil vielleicht schon zur Stadt zu rechnen.

Name.	Gemeinde.	Wohnplatz.	Name.	Gemeinde.	Wohnplatz.
Nordbrabant.			Zeeland.		
Bergen op Zoom	13031	11108 1)	Goes	6643	5211
Breda	22549	22549	Middeburg	17288	15180 1)
Helmond	9057	5574 1)	Neuen	6264	5333
's Hertogenbosch	27103	26413 1)	Vlissingen	13079	12489 1)
Oosterhond	10425	4398 2)	Zierikzee	7011	6754
Roosendaal*	11197	6118 1)			
Tilburg	33929	9224			
Geldern.			Utrecht.		
Arnhem	49869	47068	Amersfoort	15449	10646
Culenburg	7653	6607	Utrecht	84696	83342
Harderwijk	7318	6058			
Nijmegen	32194	26858 3)			
Tiel	9856	9430			
Velp* zur Gemeinde Rheden	5462	5462			
Zutphen	17044	14030 1)			
Südholland.			Friesland.		
Delft	28383	28272	Bolward	6001	5789 1)
Dordrecht	32375	30662 1)	Franeke	7143	6347 1)
Gorinchem	11966	11224 1)	Harlingen	10250	10050 1)
Gouda	20213	16674	Leeuwarden	30976	29279 1)
's Gravenhage	158436	140730	Speck	11502	10940 1)
Katwijk aan Zee*	6781 4)	5043			
Leiden	43127	42227			
Maassluis	6240	6169			
Rotterdam	203701	203701			
Scheveningen zur Gemeinde 's Gravenhage	17277	17277			
Schiedam	25937	25728			
Vlaardingen	12398	12093			
Nordholland.			Overijssel.		
Alkmaar	15803	11850 1)	Almelo	8354	8354
Amsterdam	407176	406582	Deventer	22842	22293 1)
Enkhuizen	6301	5780 1)	Enschede	15072	7079
Haarlem	50247	50247 1)	Kampen	18005	14352 1)
Helder*	21984	20733 1)	Steenwijk	5373	5087 1)
Hilversum*	12393	11854 1)	Zwolle	26604	23918 1)
Hoorn	11170	10307 1)			
Purmerend	5643	4532			
Zaandam	15459	14916			
			Groningen.		
			Groningen	55714	54828
			Veendam*	9824	6377 2)
			Wildervank*	8181	4297
			Winschoten*	7714	5837 2)
			Drenthe.		
			Aesen	9148	5498
			Meppel	8866	8229 1)
			Limburg.		
			Maastricht	32312	31270
			Roermond	11088	8984 1)
			Venlo	11394	8336

Großbritannien und Irland 1881 und 1891.

England und Wales.

Die vorläufigen Ergebnisse der Zahlung vom 6. April 1891 sind im Blaubuch C-6422 (Preliminary Report and Tables &c., London 1891) veröffentlicht. Die Zahlen beziehen sich mit Ausnahme von London auf die städtischen Sanitätsdistrikte, die im großen und ganzen dem topographischen Stadtbegriff entsprechen. Wo dies nicht zutrifft, konnte mit Zuhilfenahme von Bartholomew's „Gazetteer of the British Isles“ (Edinburgh 1887) in den meisten Fällen der wirkliche Sachverhalt aufgedeckt werden. Die vollständige Durchführung des Prinzips der kombinierten Ortszahl scheiterte an unserm mangelhaften Kartenmaterial; indes ist hierin wenigstens ein Anfang gemacht worden.

Die Zahlen von 1881, derselben Quelle entnommen, sind die endgültigen (die vorläufigen wurden schon im Jahrgang VII veröffentlicht) und beziehen sich auf den Umfang der Distrikte im Jahre 1891.

1) Einschließlich der vom Censuserk als „beuten de Kom“ bezeichneten Schiffsbevölkerung. — 2) Nach der Generalstabkarte scheint das Ostquartier ganz mit dem Orte zusammenzuhängen; die Ortsbevölkerung würde damit auf 6719 steigen. — 3) Ohne die Dörfer St. Anna und Hatert. — 4) Mit Katwijk a. d. Rijn. — 5) Die drei Abteilungen des Dorfes kann man als einen Ort auffassen, da sie mit einander in Verbindung stehen. — 6) Diese Zahl gilt nur unter der Voraussetzung, daß Wijk 2 wirklich zum Dorf gehört; ist dies nicht richtig, so beträgt die Bevölkerung des Wohnplatzes nur 3928. Die Generalstabkarte gibt leider keinen Aufschluß.

Name.	1881.	1891.	Name.	1881.	1891.
Metropolitan-Grafschaften.					
London.					
London ¹⁾	3 815 544	4 211 056	Bexley	8793	10605
West Ham (Essex)	128 953	204 902	Broadstairs and St. Peter's	4322	5266
Middlesex.					
Aetou	17126	24207	Bromley	15154	21685
Brentford	11805	13736	Canterbury	21848	23026
Chiswick	15975	21964	Chatham	26424	31711
Ealing	15769	23978	Rochester ²⁾	21307	26309
Edmonton	15174	25380	Dartford	10163	11962
Enfield	18944	31532	Deal	8500	8898
Finchley	11191	16639	Dover	30270	33418
Friern Barnet	6424	9174	Erith	9812	13411
Hampton	4776	5822	Faversham	9347	10478
Hanwell	5178	6139	Folkstone	18916	23700
Harrow	5558	5725	Gillingham	20745	27813
Hendon	10484	15835	Gravesend	23302	24067
Heston und Isleworth ³⁾	22727	26271	Maidstone	29423	32150
Hornsey	22485	44512	Margate	16030	18419
Southall und Norwood	6681	7627	Milton-next-Sittingbourne	4219	5213
Southgate	8289	10970	Northfleet	8790	11717
South Hornsey	14593	16892	Ramsgate	22683	24676
Staines	4628	5060	Rochester s. Chatham.	6296	7514
Teddington	6599	10025	Sevenoaks	14786	13841
Tottenham	36574	71336	Sheerness	7856	8302
Twickenham	12479	16026	Sittingbourne	4059	5416
Uxbridge	7669	8206	Southborough	9317	10123
Willowden	27613	61266	Tonbridge Wells	24119	27895
Wood Green	9882	25830	Sussex.		
Surrey.					
Carshalton	4841	5425	Beshill	2452	5089
Croydon	78811	102697	Brighton	107546	115402
Dorking	6328	7132	Hove	20804	26097
Epsom	6916	8417	Chichester	8114	7842
Farnham	4846	5545	Eastbourne	22014	34977
Guildford	10858	14319	East Grinstead	4783	5180
Kingston-on-Thames	20648	27059	Hastings	42258	52340
Surrey	9406	10052	Horsham	6874	8637
Reigate	18662	22646	Hove s. Brighton	11199	10997
Richmond	19066	22684	Lewes	11821	16606
Surrey s. Kingston.	10334	13977	Worthing	11821	16606
Sutton	15950	25758	Hampshire (ohne Wight).		
Wimbledon	15950	25758	Aldershot	20155	25595
Südöstliche Grafschaften.					
Kent.					
Ashford	9693	10728	Andover	5653	5852
Beckenham	13045	20705	Basingstoke	6681	7960
Essex.					
Barnet	11191	16639	Bournemouth	18607	37650
Barnet	11191	16639	Farham	7183	7934
Barnet	11191	16639	J Gosport ⁴⁾	21581	25457
Barnet	11191	16639	Portsmouth	127989	159255
Barnet	11191	16639	Shirley und Freemantle	12939	15899
Barnet	11191	16639	Southampton	60051	65325
Barnet	11191	16639	Winchester	17780	19073

¹⁾ Nach verschiedenen Begrenzungen betragen die Flächen- und Einwohnerzahlen Londons wie folgt:

	ha	Einw. 1881.	Einw. 1891.
City	270	50401	37694
Inner-London (Registration London)	30226	3 815 544	4 211 056
Verwaltungsgebiet (Administrative County)	30537	3 834 194	4 231 431
Greater London (Polizeidistrikt)	178686	4 766 661	5 633 333

Von diesen politischen Abgrenzungen entspricht Inner-London noch am besten dem topographischen Begriff. Es sind aber auch hier einige Vororte mitgezählt, die zwar nach den neuesten Plänen mit London bereits unmittelbar zusammenhängen, aber von manchen Kartographen (s. B. von Bartholomew in seiner neuesten „Reduced Ordnance Map of the British Isles“) noch zur Umgebung gerechnet werden. Es sind dies:

Fulham	188877	Einw.	Lewisham	94335	Einw.
Wandsworth	307389	„	Woolwich	107324	„
Greenwich	165417	„			

Summa 863342 Einw.

Ohne diese Vororte hätte also London (1891) nur 3 347 714 Einwohner. Mit demselben Recht wie Woolwich muß aber auch — wie wir es gethan haben — West Ham zu London gerechnet werden, zu dem es auch als Metropolitan Parliamentary Borough gehört. Weiter wollen wir vorläufig nicht gehen, obwohl Orte wie Leytonstone, Tottenham, Acton, Chiswick u. a. mit London wahrscheinlich schon völlig verwachsen sind. —

²⁾ Ob die beiden Orte bereits zu verwachsen anfangen, ist aus unsern Karten nicht ersichtlich. 1881 hatte Isleworth 12973 und Heston 9754 Einw. — ³⁾ Mit Strood. — ⁴⁾ Mit Alverstoke.

Name.	1881.	1891.
Insel Wight.		
Cowes { East	2512	2880
West	6772	7768
Newport	9341	10216
Ryde	11461	10952
Ventor	5504	5817

10648

Berkshire.		
Abingdon	6755	6557
Maidenhead	8220	10607
Newbury	10144	11002
New Windsor	12273	12327
Eton	3464	2499
Reading	48769	60054

14826

Südliche Binnengrafschaften.

Hertford.		
Barnet	4095	5410
Bishop Stortford	6704	6594
Cheshunt	7735	9620
East Barnet Valley	6133	7712
Hertford	7747	7232
Hitchin	8434	8860
St. Albans	10931	12895
Ware	5277	5121
Watford	12162	16819

Buckingham.		
Aylesbury	7795	8674
Chipping Wycombe	10618	13435
Chesham	6502	8018
Slough	5095	5427

Oxford.		
Banbury	12072	12767
Oxford	40872	45741

Northampton.		
Hardingstone	4866	6341
Kettering	11095	19454
Northampton	51881	61016
Peterborough	21228	25172
Rushden	3657	7443
Wellingborough	13794	15068

Bedford.		
Bedford	19533	28023
Luton	23960	30005

Cambridge.		
Cambridge	35363	36983
Chesterton	5706	7526
Ely	8171	8017
March	6190	6995
Wisbech	9249	9395

44509

Östliche Grafschaften.

Essex.		
Barking Town	9203	14301
Braintree	5182	5303
Chelmsford	9793	11008
Colchester	28374	34559
East Ham	10706	32710
Grays Thurrock	5327	12217
Halstead	5804	6056
Harwich	7842	8191
Ilford	7645	10913
Leyton	27026	63106
Malden	5488	5397
Romford	7176	8408

Name.	1881.	1891.
Saffron Walden	6060	6104
Southend	7979	12333
Waltham Holy Cross	5368	6066
Walthamstow	21715	46346
Wanstead	5404	7042
West Ham s. London	7154	11024
Woodford		

Suffolk.		
Beccles	5721	6669
Bury St. Edmunds	16111	16630
Ipswich	50546	57260
Lowestoft	19702	23347
Newmarket	5093	6213
Sudbury	6584	7059

Norfolk.		
East Dereham	5640	5524
Great Yarmouth	46767	49318
King's Lynn	18539	18265
Norwich	87842	100964

Südwestliche Grafschaften.

Wilt.		
Devizes	6645	6426
Salisbury	14792	15980
Swindon { New	17678	27295
Old	4696	5545
Trowbridge	11040	11717
Warminster	5563	5562

32840

Dorset.		
Bridport	6795	6611
Dorchester	7567	7946
Poole	12310	15405
Portland	10061	9541
Sherborne	5053	3741
Weymouth und Melcombe Regis	13715	13769

Devon.		
Barnstaple	12282	13058
Bideford	6312	7908
Dartmouth	5725	6038
Devonport s. Plymouth.		
Exeter	37665	37580
St. Thomas-the-Apostle	6115	8940
Exmouth	6245	8097
Ilfracombe	6255	7692
Lower Brixham	5566	6224
Northam	4454	5043
Paignton	4613	6783
Plymouth	73794	84179
Devonport	48959	54736
Stonehouse (od. East St.)	15041	15502
St. Mary Church	5759	6653
St. Thomas-the-Apostle s. Exeter		
Stonehouse s. Plymouth.		
Teignmouth	8496	8292
Tiverton	10462	10892
Torquay	24767	25534
Wolborough ⁵⁾	7662	8525

45820

151417

Cornwall.		
Bodmin	5061	5171
Camboe	13601	14700
Falmouth { Borough	5973	4273
Township	6158	7500
Paul	6005	5961
Penzance	12409	12448

11773

⁵⁾ Wolborough enthält den größern Teil der Stadt Newton Abbot nordwestlich von Torquay.

Name.	1861.	1891.	Name.	1861.	1891.
Redruth	9355	10324	Stiafford	19977	20270
St. Ives	6445	6094	Stoke-upon-Trent	19261	24027
Truro	10619	11131	Stone	5669	5754
Somerset.			Tamworth	5778	6614
Bath	51814	51843	Tettenhall	4636	5145
Bridgewater	12007	12429	Tipton	30013	29314
Clevedon	4869	5418	Tunstall	14244	15730
Frome	9517	9613	Walsall	59402	71791
Midsomer Norton	4422	5041	Wednesbury	24566	25342
Shepton Mallet	5333	5501	West Bromwich	56295	59489
Taunton	16614	18026	Willenhall	16067	16852
Wellington	6360	6808	Wolverhampton	75766	82620
Weston-super-Mare	13037	15873	Worcester.		
Yeovil	8479	9648	Balsall Heath s. Birmingham (Warwick).		
Westliche Blauengrafschaften.			Bromsgrove (Town District County „	4853	7934
Gloucester.			Dudley	46252	45740
Bisley	5169	5202	Evesham	5112	5836
Bristol ⁶⁾	206874	221665	Kidderminster	24270	24803
Cheltenham	43972	42914	Malvern	5846	6107
Cirencester	7658	7441	Oldbury	18937	20348
Gloucester	36542	39444	Redditch	9961	11295
Horfield	4766	6934	Stourbridge	9257	9386
Kingwood	6914	9824	Worcester	38270	42905
St. George	26433	36718	Warwick.		
Stapleton	10833	14589	Aston Manor s. Birmingham.		
Stroud	9535	9818	Birmingham	400774	429171
Tewkesbury	5100	5269	Aston Manor	53842	68639
Hereford.			Balsall Heath (Worcester)	22497	30581
Hereford	19821	20267	Handsworth (Stafford)	22896	32756
Leominster	6044	5675	Saltley	6422	9313
Shropshire.			Coventry	44831	52720
Bridgnorth	5885	5723	Leamington ⁷⁾	25856	26930
Dewley	9260	6996	Nuneaton	8465	11580
Ludlow	5035	4460	Rugby	9891	11262
Oswestry	7847	8496	Saltley s. Birmingham.		
Shrewsbury	26481	26967	Stratford-upon-Avon	8054	8318
Wellington	6217	5831	Sutton Coldfield	7737	8686
Wenlock	17557	15703	Warwick	11800	11905
Stafford.			Leicester.		
Andley	11215	12631	Belgrave	7260	11453
Biddulph	5557	5290	Hinckley	7673	9638
Bilston	22730	23453	Leicester	122376	142051
Brierley Hill	11603	11831	Loughborough	14552	18196
Brownhills	11059	13703	Market Harborough ⁸⁾	5351	5876
Burslem	26522	30862	Melton Mowbray	5766	6392
Burton-upon-Trent	39288	46047	Lincoln.		
Cannock	17125	20613	Barton-upon-Humber	5339	5226
Coseley	21700	21899	Boston	14941	14593
Darlaston	13563	14422	Gainsborough	10873	14372
Fenton	13830	16998	Grantham	16886	16746
Handsworth s. Birmingham (Warwick).			Grimsby	40010	51876
Hanley	48361	54846	Holbeach	5190	4771
Herborne	6433	7935	Lincoln	37313	41491
Heath Town	8245	7075	Louth	10691	10040
Leek	12863	14128	Spalding	9218	9014
Lichfield	8349	7864	Stamford	8773	8358
Longton	29915	34327	Nottingham.		
Newcastle-under-Lyme	17508	18452	Arnold	5745	7769
Quarry Bank	6238	6732	Beeston	4479	6948
Rowley Regis	27385	30791	Carlton	4622	6627
Sedgley	14874	14961	East Retford	9748	10603
Smallthorne	4615	5279	Hucknall Torkard	10023	13094
Smethwick	25084	36170			

⁶⁾ Mit Bedminster (Somerset). — ⁷⁾ Voller Name Royal Leamington Spa. — ⁸⁾ Mit Little Bowden.

Name.	1861.	1891.
Mansfield	13653	15925
Newark-upon-Trent	14018	14457
Nottingham	186675	211984
Sutton-in-Ashfield	8523	10563
Worksop	11625	12734

Derby.

Alfreton	13885	15355
Belper	9875	10420
Brampton und Walton	7567	8339
Buxton	6025	7424
Chesterfield	12221	13242
Clay Lane	6879	7727
Derby	81168	94146
Glossop	19574	22414
Heanor	6822	9779
Ilkeston	14122	19744
Long Eaton	6217	9638
Matlock	4395	5285
Newbold und Dunston	6158	6877
New Mills	6552	6661
Ripley	6087	6815
Whittington	7271	8798

Nordwestliche Grafschaften.

Chester.⁷⁾

Birkenhead	84006	99184
Cheshire und Gt.	7338	8252
Chester	36794	37105
Congleton	11116	10744
Crews	24385	28761
Dukinfield	16942	17408
Hyde	28630	31682
Lower Bebington	4050	5069
Macclesfield	37514	36009
Nantwich	7495	7412
Northwich	12246	14914
Runcorn	15126	20050
Sale	7915	9644
Sandbach	5493	5824
Stalybridge s. Ashton- under-Lyne(Lancaster).	59553	70253
Stockport	5664	6344
Wilmslow	10041	10440
Winsford		

Lancaster.

Accrington	31435	38603
Ashton-in-Makerfield	9824	13379
Ashton-under Lyne	37040	40494
Stalybridge (Chester)	25977	26783
Aspall	8113	8952
Atley Bridge	5613	6293
Atherdon	12602	15833
Audenshaw	5936	6547
Bacup	25034	23498
Barrow-in-Furness	47259	51712
Barton, Eccles, Winton s. Moston ⁷⁾	21786	29606
Birkdale	8705	12387
Blackburne	104014	120064
Blackpool	14229	23846
Bolton	105414	115002
Bootle s. Liverpool.		

Name.	1861.	1891.
Brierfield	4088	5888
Burnley	63339	87058
Bury	54717	57206
Chadderton	16899	22087
Chorley	19478	23082
Church	4850	5870
Clayton-le-Moors	6695	7155
Cliitheroe	10176	10815
Clone und Marsden	11971	16774
Crompton	9797	12901
Dalton-in-Furness	13339	13300
Darwen	29744	34192
Denton und Haughton	12711	13993
Droylades	8687	9482
Failsworth	7912	10425
Farworth	20708	23758
Fleetwood	6733	9274
Garston	12271	13444
Gorton	12031	15215
Great Crosby	5033	6400
Great Harwood	6287	9073
Haslingden	16298	18225
Haydock	5863	6535
Heaton Norris	5797	7164
Heywood	22979	23286
Hindley	14715	18973
Horwich	3761	12850
Hurst	6384	6772
Ince-in-Makerfield	16007	19255
Kearsley	7253	7993
Lancaster	24239	31038
Leigh	21734	28702
Levernshulme	3557	5506
Leyland	4961	5972
Littleborough	10406	10878
Little Hulton	5714	6697
Little Lever	4413	5168
Liverpool	552508	517951
Bootle	27374	49217
Toxteth Park	10368	21046
Walton-on-the-Hill	18536	40304
Waterloo	9118	17328
Wavertree	11097	13764
West Derby	33614	38291
Manchester	462303	505343
Salford	176235	198136
Middleton	18953	21310
Milnrow	7013	8046
Morecambe	3931	6476
Mossley	13850	14162
Moss Side	18131	23833
Nelson	10381	22700
Newton-in-Makerfield	10580	12861
Oldham	111343	131463
Ormskirk	6651	6298
Oswaldtwistle	12206	13296
Padiham und Hapton	8974	11311
Pemberton	13762	18400
Prasoot	6419	6745
Preston	96537	107523
Prestwich	8627	7869
Radcliffe	16267	20020
Ramsbottom	16142	16726
Rawtenstall	28913	29507
Reddish	5557	6854

697901

703479

67277

⁷⁾ Folgende Gemeinden oder Kirchspiele umfassen mehrere Ortschaften, deren Einwohnerzahlen nicht bekannt sind:

	1861	1891
Bredbury und Romiley	5553	5821
Wallasey	21192	33227
West Kirby und Holykirk	3681	6545

¹⁰⁾ Der Hauptort dieses umfangreichen Sanitätsdistrikts ist Eccles, das schon 1861 11143 Bewohner zählte.

Name.	1881.	1891.
Riehton	4055	6010
Royton	11433	13395
St. Helens	57403	71288
Salford s. Manchester.		
Skelmersdale	5707	6627
Southport	32206	43026
Standish mit Langtree .	4261	5416
Stretford	19018	21751
Swinton und Pendlebury	18107	20197
Toxteth Park s. Liverpool.		
Turton	5653	6354
Tyldesley mit Shakerley .	9954	12891
Ulverston	10008	9948
Walton-le-Dale	9286	10556
Walton-on-the-Hill s. Liverpool.		
Warrington	42552	52742
Waterloo mit Seaforth s. Liverpool.		
Wavertree s. Liverpool.		
West Derby s. Liverpool.		
Westboughton	9197	11077
Whitefield	9516	10781
Whitworth	11892	9766
Widnes	24935	30011
Wigan	48194	55013
Withington	17109	25729

Grafschaft York.

West Riding.

Baildon	5430	5785
Barnsley	29790	35427
Batley	27505	28719
Bingley Lokal Gov. Dist.	9465	10023
Improv. Act Dist.	8972	9261
Birstal	6766	6528
Bradford	194495	216361
Brighouse	7965	10276
Castleford	10530	14143
Cleckheaton	10653	11826
Darton	6014	7013
Dewsbury	29637	29847
Doncaster	21139	25936
Ecclehill	7037	7928
Elland	8278	9991
Farsley	4434	5328
Fetherstone	5901	7528
Golcar	7653	9108
Goole	10418	15413
Halifax	73630	82864
Handsworth	7645	10295
Harrogate	9482	13917
Haworth	3816	5034
Hebden Bridge	5007	6658
Heckmondwike	9282	9709
Holmfirth	8860	8888
Honley	5070	5466
Horbury	5050	5673
Horsforth	6346	7102
Hoyland (Neither H.) .	9822	11006
Huddersfield	86502	95472
Idle	6643	7118
Ilkley	4736	5767
Keighley	25247	30611
Knarsborough u. Tentersgath	5000	4649
Leeds	309119	367506
Linthwaite	6068	6666

19284

Name.	1881.	1891.
Liversedge	12757	13668
Mexborough	6319	7734
Mirfield	11508	11707
Morley	15011	18725
Normanton	8038	10934
North Bierley	20935	22178
Oakworth	5762	5870
Osselt	10957	10984
Otley	6806	7838
Ovenden	7487	6969
Pontefract	8798	9702
Pudsey	12314	13444
Queensbury	6824	6740
Rastrick	8039	9279
Ravensthorpe	4364	5134
Rawmarsh	9823	11983
Ripon	7390	7512
Rotherham	34782	42050
Rothwell	5143	6205
Sandal Magna	4264	5082
Selby	6057	6022
Sheffield	284508	324243
Shipley	15093	16043
Skipton	9091	10376
Soothill Nether	5240	5645
Upper	5155	5848
Sowerby	6179	5675
Sowerby Bridge	8724	10408
Stainland mit Old Lindley	4933	5002
Stockbridge	4660	5727
Swinton	7968	9697
Thornhill	8843	9606
Thornton	6084	5680
Todmorden	23862	24725
Tong	5591	6899
Wakefield	30854	33146
Wath-upon-Deane	5491	7048
Windhill	6732	7344
Wombwell	8451	10942
Worsborough	8443	9905
Yeadon	6534	7396
York	61789	66984

11493

East Riding.

Beverley	11425	12539
Bridlington	8343	8916
Great Driffield	5939	5703
Hull (Kingston-upon-Hull)	165690	199991

North Riding.

Eaton	6297	10695
Guisborough	6616	5623
Loftus	6699	6208
Malton	5272	4910
Middlesbrough	55934	75516
Normanby	7714	9128
Ormesby	7719	8629
Scarborough	30604	33776
Skelton und Brotton ¹¹⁾ .	13558	11842
South Stockton s. Stockton-on-Tees (Durham).		
Whitby	14086	13274

Nördliche Grafschaften.

Durham.

Benfieldside	5703	6259
Bishop Auckland	10097	10527
Blaydon	10687	13371

¹¹⁾ Brotton und Skelton liegen ca 3½ km auseinander. 1881 hatte Skelton 9374 und Brotton 4184 Einwohner. Da die Gesamtsumme abgenommen hat, so ist hier wahrscheinlich nur Skelton zu nennen.

Name.	1881.	1891.
Brandon und Byshottles .	10850	14239
Consett	7163	8175
Darlington	35104	38060
Durham	14932	14863
Felling	16376	17473
Gateshead u. Newcastle (Northumberland).		
Hartlepool	16998	21521
West Hartlepool	29448	42492
Hebburn	11802	16638
Houghton-le-Spring	6041	6476
Jarrow u. South Shield.		
Ryton	4568	5553
Seaham Harbour ¹²⁾	7714	8856
Shildon und East Thickley	8704	9537
Southwick	8103	10296
South Shields	56876	78431
Jarrow	25483	33682
Spennymoor	5917	6041
Stockton-on-Tees	41660	49731
South Stockton (York, N. R.)	10665	15476
Sunderland	116542	130921
Tow Land	5005	4564
West Hartlepool u. Hart- lepool		
Whickham	7976	9174
Willington	7238	7804
Northumberland.		
Alewick und Canongate	6693	6746
Bedlington	14510	16996
Benwell und Fenham	4893	10515
Berwick-upon-Tweed	13998	13378
Cowpen	10003	12982
Cramlington	5744	5967
Hexham	5919	5945
Morpeth	4968	5219
Newcastle-on-Tyne	145359	186345
Gateshead (Durham)	65803	85709
South Gosforth	4126	6674
Tynemouth	44118	46267
Walker	9527	11341
Wallsend	6351	11620
Willington Quay	4974	6340
Cumberland.		
Arlecdon und Frisington	6489	5596
Carlisle	36585	39176
Cleator Moor	10420	9464
Cockermouth	5353	5464
Egremont	6049	6243
Maryport	8126	8784
Millom	6228	8895
Penrith	9268	8981
Whitehaven	19295	18044
Workington	14109	23522

Name.	1881.	1891.
Westmorland.		
Kendal	13696	14430
Monmouth and Wales.		
Monmouth. ¹³⁾		
Abergavenny	6941	7640
Aberystwyth	13496	15296
Abertillery	6003	9138
Blisnavon	9522	11454
Ebbw Vale	14700	17095
Monmouth	6111	5470
Nantyglo und Blaina ¹⁴⁾	9267	12360
Newport	38469	54695
Pontypool	5244	5842
Rhymney	8663	7733
Risca	5556	7780
Tredegar	18771	17484
Süd-Wales.		
Aberavon	4859	6281
Aberdare	33804	38513
Aberystwyth	7088	6696
Barry und Cadoxton	494	13268
Brecknock	6372	5794
Briton Ferry	6061	5778
Brynmawr	5591	6330
Cardiff	82761	128849
Carmarthen	10514	10338
Haverfordwest	6398	6179
Llanelli	19760	23997
Maesteg	8316	9417
Margam	5708	6274
Merthyr Tydfil	48861	56080
Monstant Ash	10995	17495
Neath	10409	11157
Ogmore und Garw ¹⁵⁾	6894	13860
Pembroke	14156	14978
Penarth	6328	12422
Pontypridd	12517	19971
Swansea	76430	90425
Ystradgynodwg	55632	88350
Nord-Wales. ¹⁶⁾		
Bangor	9005	9892
Bethesda	6969	5799
Carnarvon	10258	9804
Denbigh	6535	6412
Festiniog	11274	11073
Flint	5096	5247
Holyhead (Anglesey)	8680	8726
Llandudno	4839	7333
Rhyl	6029	6491
Welshpool	7107	6489
Wrexham	10978	12552

Schottland.

Die endgültigen Ergebnisse der Zählung von 1891 sind im Blaubuch C-6755 („Tenth Decennial Census of the Population of Scotland, taken 5th April 1891“, Vol. I,

¹²⁾ Früher Dawdon genannt. — ¹³⁾ Der Sanitätsdistrikt Panteg, 1881: 4982, 1891: 5763 Einw., besteht aus verschiedenen Ortschaften. — ¹⁴⁾ 3,2 km von einander entfernt. — ¹⁵⁾ Ogmore und Garw bestehen wahrscheinlich aus verschiedenen Ortschaften. Bartholomew's Gazetteer führt Ogmore nur als Hundertschaft an. — ¹⁶⁾ Zwei Sanitätsdistrikte sind in die Tabelle nicht aufgenommen worden: a) für Newtown und Llanllwchaearn wurden 1891 6610 Einw. angegeben; 1881 hatte Newtown 4279 und Llanllwchaearn 2891, zusammen 7170 Einw.; es ist also anzunehmen, daß keiner der beiden Orte in unsere Liste gehört. b) Ynysybairn, 1881: 5506, 1891: 5224 Einw., umfaßt Portmadoc und Tremadoc, ist also nicht als Ortschaft im geographischen Sinne aufzufassen.

London 1892) veröffentlicht; hier sind auch die Zahlen von 1881 wiederholt, die wir ebenfalls aufnehmen, weil sie in der „Bevölkerung der Erde“ bisher noch nicht berücksichtigt werden konnten. In der dritten Abteilung des Blaubuchs (S. 136 ff.) sind sämtliche Städte und Dörfer aufgeführt; nur die nicht in geschlossenen Ansiedelungen Lebenden werden als „ländliche Bevölkerung“ bezeichnet. Alle grössern schottischen Orte fallen in die Kategorie der Städte. Bei den meisten wichtigeren Städten werden auch die einzelnen Teile derselben namhaft gemacht, so daß sich abseitsliegende Ansiedelungen ausscheiden lassen (vgl. Aberdeen); wir haben also hier gediegene Grundlagen für eine wirkliche Ortsstatistik. Von Städten mit weniger als 5000 Einwohnern sind nur die Hauptorte der drei großen Inselgruppen aufgenommen worden.

Name.	1881.	1891.	Name.	1881.	1891.
Northern Division.			South Western Division.		
Kirkwall (Orkney)	3947	3926	Airdrie	16335	19135
Lerwick (Shetland)	4045	3930	Ardrossan	4036	5294
Wick	8053	8512	Ayr	21384	25213
North Western Division.			Barrhead	7495	8215
Inverness	17385	20855	Cambuslang	5538	8323
Stornoway (Hebriden)	2693	3386	Coatbridge	24812	30034
North Eastern Division.			Glasgow	577419	658198
Aberdeen ¹⁷⁾	101174	119573	Govan	50492	63625
Banff	7871	7598	Kinning Park	11652	13679
Buckie	4176	5849	Partick	27410	36538
Elgin	7533	7894	Govan s. Glasgow.		
Fraserburgh	6583	7466	Greenock	66704	63423
Peterhead	10953	12226	Hamilton	18517	24859
Woodside ¹⁷⁾	5223	5370	Irvine	8517	9086
East Midland Division.			Johnstone	9267	9668
Alloa	10601	12643	Kilmarnock	25844	28447
Arbroath	21785	22821	Kinning Park s. Glasgow.		
Brechin	9031	8955	Larkhall	6503	8349
Bronghty Ferry	7923	9256	Maybole	4474	5470
Dundee	140239	153587	Motherwell	12949	18726
Dunfermline	17084	19647	Paisley	55638	66425
Forfar	12817	12057	Partick s. Glasgow.		
Kirkcaldy	23315	27155	Pollokshaws	9363	10405
Montrose	14994	13079	Port Glasgow	13294	14685
Perth	28980	29919	Renfrew	4855	6777
St. Andrews	6458	6853	Rutherglen	11265	13083
West Midland Division.			Saltcoats	5096	5895
Alexandria	6173	7796	Shettleston	3608	5430
Bonhill	2940	3843	Stonefield	4511	5581
Alva	4961	5225	Uddington	3542	5099
Campbeltown	7693	8291	Wibaw	18112	15252
Clydebank	3830	10589	South Eastern Division.		
Dumbarton	14172	17626	Bathgate	4887	5331
Dunoon	4692	5283	Borrowstonness	5384	6866
Falkirk	15599	19769	Broxburn	3066	5898
Grangemouth	4560	6354	Dalkeith	6931	7085
Helensburgh	7693	8409	Edinburgh	236002	263646
Killeyth	5405	6073	Leith	59485	68707
Kirkintilloch	8029	10312	Granton (Dorf)	927	915
Renton	4319	5256	Galashiels	15380	17367
Rothessay	8329	9108	Musselburgh	7636	8588 ¹⁸⁾
Stirling	16012	16781	Inveresk (Dorf)	308	440
			Portobello	6928	8684
			Selkirk	6090	6397
			Southern Division.		
			Dumfries	17092	17821
			Hawick ¹⁹⁾	16184	19204
			Stranraer	6415	6193

¹⁷⁾ Offiziell wird Woodside an Aberdeen gerechnet, obwohl es eine selbständige Ortschaft ist. Die amtlichen Zahlen für Aberdeen lauten also 1881: 106297, 1891: 124943. — ¹⁸⁾ Musselburgh (mit Fisharrow) hatte offiziell 1881: 7880 und 1891: 8888 Einw., doch müssen topographisch die Westpans (1881: 244, 1891: 300 Einw.) in Abrechnung kommen. — ¹⁹⁾ Mit Wilton.

Irland.

Die endgültigen Ergebnisse der Zählung vom 5. April 1891 wurden, soweit es die Ortsstatistik betrifft, im Blaibuch C-6780 („Census of Ireland“, Part II, General Report [Dublin 1892]) in zwei Tabellen mitgeteilt: in Tab. 71 (S. 327) die Städte über 1000 Einwohner, nach der Größe geordnet, und in Tab. 136 (S. 459) die Städte über 1500 Einwohner in alphabetischer Ordnung mit Angabe der religiösen Verhältnisse. Die nicht mit * bezeichneten Orte sind Urban Sanitary Districts; über die Ausdehnung derselben läßt sich bei der Dürftigkeit der irischen Ortsstatistik, die alle Dörfer ausschließt, nichts Genaueres ermitteln. Die Zahlen für 1881, dem betreffenden Censuswerk (1882) entnommen, sind aus dem gleichen Grunde wie bei Schottland hinzugefügt.

Name.	1881.	1891.
Provinz Leinster.		
Athlone	6755	6742
Blackrock ²⁰⁾	8902	8401
Bray	6535	6888
Carlow	7185	6619
Clontarf ²⁰⁾	4201	5104
Drogheda	12297	11873
Drumcondra etc. a. Dublin	249602	245001
Dublin		
Drumcondra, Clontarf und Glanerin	4878	7624
New Kilmainham	5391	6519
Pembroke	23222	24269
Rathmines u. Rathgar	24370	27796
Dundalk	11913	12449
Enniscorthy	5666	5648
Kilkenny	12299	11048
Kingstown ²⁰⁾	18586	17352
Mullingar*	4787	5323
New Kilmainham e. Dublin		
New Rofs	6670	5847
Pembroke e. Dublin		
Rathmines etc. a. Dublin		
Tullamore	5098	4522
Wexford	12163	11545
Provinz Munster.		
Carriek-on-Suir	6583	5608
Clonmel	9325	8480
Cork	80124	75345

Name.	1881.	1891.
Dungarvan	6306	5263
Ennis	6307	5460
Fermoy	6454	6469
Killarney	6651	5510
Limerick	38562	37155
Queenstown	9755	9082
Tipperary*	7274	6591
Tralee	9910	9518
Waterford	22457	20652
Yonghal	6396	4317
Provinz Connaught.		
Ballina*	5760	4846
Galway	15471	13800
Sligo	10808	10274
Provinz Ulster.		
Armagh	10070	7438
Ballymena	8883	8655
Banbridge	5609	4901
Belfast	208122	255050
Carrickfergus ²⁰⁾	10009	8923
Coleraine	5899	6845
Enniskillen	5712	5570
Lisburn	10755	12950
Londonderry	29162	33800
Lurgan	10135	11429
Newry	14808	12961
Newtownards	8676	9197
Portadown	7850	8430
Strabane*	4196	5013

Inseln in den britischen Gewässern.

Name.	1881.	1891.
Man.²⁰⁾		
Douglas Town	15719	19515
Ramsey	4025	4866
Jersey.²⁰⁾		
St. Helier	28020	?
Guernsey.		
St. Peter Port	16658	?

²⁰⁾ Von dem „Preliminary Report“ (Blaibuch C-6379, 1891) werden auch Clontarf, Blackrock und Kingstown an den Vorstädten von Dublin gezählt, obwohl sie, wenigstens die beiden letzteren, in gar keinem Zusammenhang mit der Hauptstadt stehen. — ²¹⁾ Carrickfergus gehört eigentlich nicht in unsere Liste; der Sanitätsdistrikt umfaßt 16702 acres, und die Stadt selbst hatte 1881 nur 4792 Einwohner. — ²²⁾ „Isle of Man. Statistical Abstract in each Year from 1881/2 to 1890/1“, 1892 (S. 12). Auch die Zahlen für 1891 sind endgültig. — ²³⁾ Nach Bartholomew's „Gazetteer“.

Dänemark 1890.

Quelle: „Folkemaengden i Kongeriget Danmark for Kjøbstaederne og Landsognene &c., Tællingen den 1. Februar 1890“, herausgegeben vom Statistischen Bureau, Kopenhagen 1892. Von den vier Landgemeinden (*), die über 5000 Bewohner zählen, sind nur die beiden in der unmittelbaren Nähe der Hauptstadt aufgenommen; die beiden andern (Gjenterfte auf Seeland und Dronninglund auf Jütland) bestehen aus weitverstreuten Ansiedelungen.

Jütland.		Falster.	
Aalborg	19503	Nykjøbing	6087
Aarhus	33306		
Fredericia	10042		
Hjørring	6055		
Horsens	17290		
Kolding	9658		
Randers	16617		
Thisted	5421		
Vejle	9015		
Viborg	8352		
Fünen.		Seeland.	
Nyborg	6049	Frederiksberg* s. Kopenhagen	
Odense	30268	Helsingør	11076
Svendborg	8755	Kopenhagen (Kjöbenhavn)	312859
		Frederiksberg*	46954
		Sundbyernes Sogn*	13310
		Naestved	5502
		Roskilde	6974
		Singelse	6816
		Sundbyernes Sogn s. Kopenhagen	
Laaaland.		Bornholm.	
Nakskov	6722	Rønne	8281

Schweden und Norwegen.

Für die beiden skandinavischen Staaten müssen wir ein ganz anderes Verfahren einschlagen, als für die übrigen Länder. Wir scheiden alle ländlichen Ortschaften aus und berücksichtigen nur die wirklichen Städte. Bei Norwegen nötigt uns dazu schon die Lückenhaftigkeit unserer Quelle; für Schweden haben wir zwar eine vollständige Gemeindestatistik, aber die Gemeinden sind hier so ausgedehnt und die ländlichen Ansiedelungen so zerstreut, daß sich nur dann eine Entscheidung über die Aufnahme von Dörfern treffen ließe, wenn wenigstens nach Art der französischen Statistik die Bevölkerung des Hauptortes der Gemeindebevölkerung hinzugefügt würde. Einige Ausnahmen in der unmittelbaren Nähe der größten Städte (z. B. wahrscheinlich Brännkyrka bei Stockholm) abgerechnet, dürfte aber kein schwedisches oder norwegisches Dorf, soweit es eine geschlossene Ansiedelung darstellt, eine Bevölkerung von 2000 erreichen. Die Städte sind hier wirklich noch das, was sie in früherer Zeit in ganz Europa waren: die Menschenansammlungen auf engem Raum gegenüber der ländlichen Zerstreung. Daher haben auch die kleinen Städte noch ihre Bedeutung bewahrt, und aus diesem Grunde haben wir uns entschlossen, dieses Mal sämtliche Städte ohne Rücksicht auf die Bevölkerungszahl aufzunehmen.

Schweden 1890 und 1891.

Quelle für die Zählung vom 31. Dezember 1890 (endgültige Ergebnisse): „Befolkningstatistik för år 1890“, Tab. IB; für die Berechnung für den 31. Dezember 1891: „Uppgift å Folkmängden“ &c. (Stockholm 1892), beide herausgegeben vom Königl. Statistischen Centralbureau.

Name.	Zählung 1890.	Berechnung 1891.	Name.	Zählung 1890.	Berechnung 1891.
Götarike.			Falköping	2799	2829
Älvsåsa	2712	2810	Göteborg	104657	106518
Ämål	2756	2794	Grenna	1169	1136
Borås	8106	8564	Halmstad	11825	12282
Borgholm	840	847	Helsingborg	20410	20897
Ekås	3218	3252	Hjo	1445	1456
Engelholm	1890	1956	Jonköping	19682	19776
Falkenberg	1760	1842	Kalmar	11772	11822
			Karlshamn	7191	7116

Name.	Zählung 1890.	Berechnung 1891.	Name.	Zählung 1890.	Berechnung 1891.
Karlakrona	20613	20892	Eskilstuna	10909	11083
Kristinestad	10670	9652	Falun	8010	8085
Kungälv	989	947	Filipstad	3209	3167
Kungälv	771	816	Gefle	23484	24337
Laholm	1591	1536	Hedemora	1586	1628
Landskrona	12255	12491	Hudiksvall	4804	4683
Lidköping	5180	5228	Karlstad	8716	8794
Linköping	12649	12968	Köping	3865	3961
Lund	15023	15091	Kristinehamn	5983	5976
Malmö	48504	49402	Lindesberg	1532	1530
Mariefeld	3097	3179	Mariefeld	977	970
Marstrand	1480	1495	Nora	1373	1472
Motala	2616	2715	Norrteige	2477	2476
Norrköping	32826	33431	Nyköping	5978	5949
Oskarshamn	5853	5831	Örebro	14547	14674
Ronneby	1899	1886	Öregrund	945	938
Simrishamn	1966	1982	Östhammar	725	698
Skara	3813	3829	Sala	5753	5878
Skene	1363	1318	Säters	552	562
Skarö och Falsterbo	1078	1082	Sigtuna	552	512
Skövde	4297	4364	Söderhamn	10093	10054
Söderköping	1840	1795	Södertelge	4590	4795
Sölvesborg	1531	1557	Stockholm	246454	250528
Strömstad	2548	2608	Strengnäs	1754	1772
Trelleborg	2360	2410	Torsåkra	1356	1386
Uddevalla	7643	7735	Trosa	600	620
Ulricehamn	1162	1190	Uppsala	21511	21441
Wadstena	2198	2213	Waxholm	1591	1536
Warberg	4387	4387	Westerås	8122	8288
Wärnersborg	5613	5565			
Westervik	6872	6959			
Wexjö	6606	6673			
Wimmerby	2045	2071			
Wisby (Gotland)	7102	7138			
Ystad	8235	8242			

Svearike.

Arboga	4576	4513
Åkersund	1508	1567
Enköping	3289	3374

Norrländ.

Haparanda	1252	1276
Härnösand	5789	6029
Luleå	4755	5032
Östersund	5333	5332
Piteå	2691	2754
Skellefteå	1166	1193
Sundsvall	13215	13780
Umeå	3223	3465

Norwegen 1891.

Vorläufige Ergebnisse der Zählung vom 1. Januar 1891 im „Statistisk Aarbog for Kongeriget Norge“, 1891. Wir berücksichtigen auch hier nur die ortsanwesende Bevölkerung.

Stift Kristiania.					
Aasgaardstrand	372	Egersund	2615	Kongsvinger	1308
Dræm	20441	Farsund	1518	Lillehammer	1866
Dröbak	2152	Flakkefjord	1541		
Fredrikshald	11183	Grimstad	2894	Stift Bergen.	
Fredrikstad	12307	Haugesund	5383	Aalesund	8383
Hölen	191	Koperik	785	Bergen	52756
Holmesstrand	2287	Kragerø	5509	Florø	676
Holmsbu	437	Kristiansund	12541		
Hönsfoss	1505	Langsund	1234	Stift Trondhjem.	
Horten	6555	Lillesand	1376	Kristiansund	10130
Hvitsten	138	Mandal	3614	Leranger	902
Kongsberg	5297	Österås	3004	Molda	1663
Kristiania	148319	Porsgrund	3819	Namsos	1824
Larvik	10932	Sandness	1660	Stenkjær	1883
Moss	8030	Skien	8928	Trondhjem (Dronheim)	24746
Sandfjord	3902	Skudenesbavn	1123		
Sarpsborg	3036	Sogndal	461	Stift Tromsø.	
Son	741	Statthelle	348	Bodø	3822
Stelvik	1348	Stavanger	29478	Hammerfest	2239
Tönsberg	6817	Tvedestrand	1661	Mosjøen	1162
				Tromsø	6079
Stift Kristiansand.		Stift Hamar.		Vadsø	1768
Arendal	4447	Gjøvik	1394	Vardø	2216
Brevik	1998	Hamar	4013		

Spanien 1887.

Die endgültigen Ergebnisse der Zählung vom 31. Dezember 1887 sind enthalten im I. Band des „Censo de la población de España“, Madrid 1891. Es wird sowohl die ortsanwesende wie die rechtliche Bevölkerung für jede Gemeinde mitgeteilt, in unsere Tabellen ist nur die erstere aufgenommen. Wie außerordentlich die Ortsstatistik von der Gemeindestatistik in Spanien abweicht, ist nicht nur in den früheren „Bevölkerungs“-Heften, sondern neuerdings auch wieder von Richard Kiepert in den „Verhandlungen der Berliner Gesellschaft für Erdkunde“ (1889, S. 527) dargelegt worden, zugleich aber auch die Unmöglichkeit, eine wirkliche Ortsstatistik zu konstruieren. Die Gemeinden sind von einer enormen Ausdehnung, ihre durchschnittliche Fläche beträgt 54 qkm (in Frankreich 15, in Belgien 11,4 qkm). Aber auch hierin bestehen beträchtliche Unterschiede zwischen den einzelnen Provinzen, wie man aus nachstehender Tabelle ersieht:

Mittleres Areal einer Gemeinde in qkm.

Galicien und Asturien:		Guadalejara:	30	Valencia:	
Coruña	82	Toledo	74	Allesente	41
Pontevedra	67	Cuenca	60	Valencia	40
Orense	72	Ciudad Real	806	Castellón	46
Lugo	154	Extremadura:		Catalonien:	
Oviedo	138	Cáceres	89	Tarragona	35
Leon und Alcastilien:		Badajoz	135	Barcelona	23
Leon	66	Andalusien:		Gerona	25
Zamora	35	Huelva	132	Lérida	37
Salamanca	32	Sevilla	145	Aragonien:	
Palencia	34	Cádiz	177	Huesca	43
Valladolid	32	Córdoba	191	Zaragoza	57
Ávila	29	Jacán	187	Teruel	53
Segovia	24	Granada:		Navarra u. die baskischen	
Soria	30	Granada	62	Provinzen:	
Burgos	27	Málaga	71	Navarra	39
Logroño	27	Almería	87	Álava	36
Santander	53	Murcia:		Guipúzcoa	21
Neucasilien:		Murcia	265	Vizcaya	18
Madrid	41	Albacete	175	Balearen	85

Die Gemeinden des asturisch-galicischen Berglandes sind viel größer, als die der Hochebene nördlich vom Tajo, im S sind die Gemeinden wieder sehr ausgedehnt, im O dagegen wieder verhältnismäßig klein. An der Hand dieser Zahlen können wir einigermaßen den Wert der Gemeindestatistik für die Ortsstatistik ermessen; wir dürfen annehmen, daß sich die Ortsstatistik um so mehr von der Gemeindestatistik entfernt, je größer das Gemeindeareal ist. Es ist auffallend, daß gerade die galicischen Provinzen so viele Gemeinden mit mehr als 5000 Einwohnern haben, aber es ist erklärlich, wenn man die Ausdehnung der Gemeinden ins Auge faßt. Eine wirkliche Ortsstatistik würde diese Zahl vielleicht auf ein Viertel herabsetzen und die Rangordnung der Provinzen in Bezug auf die Zahl größerer Orte von Grund aus umgestalten.

Galicien und Asturien.

La Coruña.		Laracha	7625	Riole	5848
Abegondo	7046	Lousame	4977	Sada	6269
Ames	6584	Mazariecos	5859	San Saturnino	8424
Arteijo	7981	Mellid	6336	Santa Comba	8521
Arda	8693	Monfelo	5580	Santiago	24300
Bergondo	5362	Mugardos	5308	Serantes	7096
Belanzos	8120	Mugía	6565	Son	7537
Boiro	7705	Muros	9068	Tro	6896
Brion	3756	Narón	7674	Tonro	6407
Cambre	6595	Negreira	5787	Valdoviño	5873
Carballo	11550	Noya	9257	Vedra	5692
Carnota	3588	Oleiros	6400	Vimianzo	7764
Conjo	6306	Ordenez	8471	Zas	5535
Coristanco	8050	Ortigueira	17563		
Coruña	37151	Outes	9060	Pontevedra.	
Culleredo	6794	Osa (Part. de la Coruña)	8032	Arbo	5961
El Porrol	25701	Padrón	7664	Bouzas	7733
El Pino	6192	Puebla del Caramiñal	6168	Buñ	6442
Fans	5033	Puerto-Ceso	6240	Caldas de Reyes	5153
La Baña	5603	Puenteume	8508	Cambados	5274
		Rianjo	7553	Cangas	7602
		Ribeira	10352	Carbia	9910

Cerdedo	5179
Cotovad	8039
Covelo	7253
Creciente	5089
Cuntia	6308
Forearey	8378
Goiada	5142
Gondomar	7875
Guardia	6036
La Cañisa	7773
La Estrada	24891
Lalín	16336
Lama	5798
Lavadores	12443
Marín	8804
Moaña	5665
Mondariz	5309
Morña	5261
Mos	5967
Nigrán	6610
Pontevedra	19996
Porriño	7264
Poyo	4992
Puentearas	13286
Puente-Caldeas	7356
Redondea	11399
Rodelro	6660
Rosal	5414
Salvaterra	9171
Sangoño	7327
Setados	5456
Silleda	12434
Tomíño	10699
Tá	11284
Vaiga	5773
Vigo	15044
Villagarcía	6274
Villanueva de Arosa	6784

Orense.

Allariz	9115
Bande	3738
Boborás	7110
Caneado	5748
Carballino	8334
Cartelle	6926
Castro-Caldeas	5257
Cea	6916
Coles	5391
El Barco	6355
El Bello	5378
Ginsó de Limia	5531
Irijó	6529
La Peroja	6706
La Vega	6863
Leiro	5141
Maside	6841
Nogueira de Ramuín	7671
Orense	14168
Pereiro de Aguilar	6406
Puebla de Trives	5642
Riós	5730
Verín	4991
Viana	8308

Lugo.

Becerreá	8097
Begonte	5603
Carballido	9533
Castro de Rey	6856
Castroverde	5754
Caurel	6189
Cervantes	5634
Chantada	14707

Corgo	6616
Cospeito	6324
Fonsagrada	16419
Fos	6090
Friol	8612
Guntín	5719
Incio	7751
Lorenzana	5099
Lugo	19952
Mondoñedo	10391
Monforte	11325
Navia de Suarna	5526
Neira de Jesús	5234
Orol	5751
Otero de Rey	5571
Palas de Rey	8629
Pantón	11552
Pastoriza	7750
Puebla del Brollón	7588
Quiroga	8821
Ribadeo	8706
Samos	6941
Sarria	11518
Saviñao	10313
Sober	8491
Taboada	8190
Trasparga	9413
Villelba	11990
Vivero	13369

Oviedo.

Allande	8117
Alier	11973
Avilés	10235
Boal	5965
Candamo	5278
Cangas de Onie	10301
Cangas de Tineo	22361
Carreño	7091
Caso	5455
Castroñón	6030
Castropol	7837
Colunga	7965
Cudillero	10278
Gijón	35170
Gozón	8178
Grado	16489
Ibias	6565
Labiana	7913
Langreo	14014
Lena	13064
Llanera	7691
Llanes	18808
Mieres	12897
Miranda	7460
Nava	5834
Navia	6330
Oviedo	42716
Parres	8268
Pemambiera	5297
Piloña	17832
Pravia	9234
Quirós	6147
Ribadesella	7343
Salas	15821
San Martín del Rey Au- relío	6057
Siero	22218
Somiedo	5298
Tapia	5044
Tineo	22053
Vaidés	21486
Vega de Ribadeo	6645
Villaviciosa	21037

Leon und Alcastillen.

León.

Astorga	5350
León	13446
Ponferrada	7324

Zamora.

Fermoselle	5395
Toro	8721
Zamora	15292

Salamanca.

Béjar	12120
Ciudad-Rodrigo	6330
Salamanca	22199

Palencia.

Palencia	15028
--------------------	-------

Valladolid.

Medina del Campo	5581
Nava del Rey	6095
Valladolid	62012

Ávila.

Ávila	10935
-----------------	-------

Segovia.

Segovia	14389
-------------------	-------

Soria.

Soria	7784
-----------------	------

Burgos.

Aranda de Duero	5719
Burgos	31301
Valle de Mena	6310

Logroño.

Alfaro	5038
Calahorra	8821
Cervera del Río Alhama	4966
Haro	7549
Logroño	15567

Santander.

Castro-Urdiales	9466
Santander	42125
Santón	5444
Torrelavega	7452
Valderredible	7378
Valle de Pílagos	5505

Neuenstillen.

Madrid.

Alcalá de Henares	13543
Aranjuez	9649
Chinchón	4961
Colmenar de Oreja	5813
Madrid	470283
Vallecas	5611

Guadalajara.

Guadalajara	11235
-----------------------	-------

Toledo.

Consuegra	7621
La Puebla de Montalbán	6067
Los Yébenes	5019
Madridejos	6579

Mora	7954
Ocaña	6046
Quintanar de la Orden	7443
Talavera de la Reina	10497
Toledo	20837
Villacañas	5474

Cuenca.

Cuenca	9747
Tarancón	5066

Ciudad-Real.

Alcázar de San Juan	9557
Almadén	8165
Almagro	8712
Almodóvar del Campo	12008
Alameda de Calatrava	6080
Campo de Criptana	7151
Ciudad-Real	14702
Daimiel	11508
Herencia	5924
Infantes ó Villanueva de los Infantes	6871
La Solana	7508
Malagón	4987
Manzanera	9699
Miguelturra	6524
Moral de Calatrava	5957
Puertollano	5061
Tomelloso	9997
Valdepeñas	15404
Villarrubia de los Ojos	5840

Extremadura.**Cáceres.**

Arroyo del Puerco	6074
Brossas	5186
Cáceres	14880
Garrovillas	4992
Plasencia	8044
Torrejoncillo	5280
Trujillo	10773
Valencia de Alcántara	8230

Badajoz.

Alburquerque	7585
Almendralejo	12906
Anuaga	8253
Badajoz	27279
Barcarrota	5242
Berlanga	5080
Burguillos	5032
Cabeza del Buey	8167
Campanario	7007
Castuera	7133
Don-Benito	16987
Fregenal de la Sierra	8824
Fuente de Cantos	7593
Fuente del Maestre	6500
Guareña	6382
Higuera la Real	5384
Jerez de los Caballeros	8953
Llarena	6179
Los Santos	6509
Mérida	10063
Montijo	6681
Oliva de Jerez	6413
Olivencia	8177
San Vicente de Alcántara	7507
Villafraña de los Barros	9634
Villanueva de la Serena	12074
Zafra	6120
Zalamea de la Serena	5297

Andalusien.**Huelva.**

Almonte	6246
Aloso	12045
Araena	6040
Ayamonte	6585
Bollallos par del Condado	7257
Calañas	9644
Cartaya	5217
Cortegana	6038
Huelva	18195
Isla-Cristina	5187
La Palma	5897
Lepe	5505
Minas de Riotinto	10671
Moguer	8750
Nerva	6431
Trigueros	5293
Valverde del Camino	6038
Zalamea la Real	6240

Sevilla.

Alcalá de Gnadaira	9055
Castillana	5141
Carmona	17459
Casalla de la Sierra	8558
Constantina	11953
Coria del Rio	4984
Dos Hermanas	6898
Écija	23615
El Arabal	8266
El Coronil	5020
El Vialo del Alcor	5067
Estepa	9059
Fuentes de Andalucía	7161
Guadalcanal	6242
Herres	5559
La Puebla de Cazalla	6212
Las Cabezas de San Juan	5043
Lebrija	11933
Lora del Rio	8341
Los Palacios y Villafraña	5247
Marchena	14752
Montellano	7291
Morón de la Frontera	16103
Osuna	19376
Parada	6161
Sevilla	143182
Utrera	15010

Cádiz.

Alcalá de los Gausos	9802
Algeciras	12381
Algondales	5397
Arco de la Frontera	16199
Bornos	5211
Cádiz	62531
Conil	5375
Chiclana de la Frontera	12348
Grasalema	6389
Jerez de la Frontera	61708
Jimena de la Frontera	8622
La Línea	13862
Los Barrios	5472
Medina-Sidonia	11705
Olvera	8613
Puerto de Santa María	20590
Puerto Real	9494
Rota	7858
San Fernando	29287
Sanlúcar de Barrameda	22667
San Roque	8793
Tarifa	13206
Utrique	6276

Véjar de la Frontera	11001
Villamartin	6151

Córdoba.

Adamna	6485
Aguilar	12451
Baena	12036
Belalcázar	7470
Belmes	19046
Bujalance	9967
Cabra	13391
La Carlota	5458
Castro del Rio	11290
Córdoba	55614
Espejo	5719
Fernán-Nuñez	5483
Fuenteovejuna	8744
Hinojosa del Duque	9470
Iznájar	6960
La Rambla	6197
Lucena	21271
Montilla	13790
Montero	12563
Palma del Rio	7696
Posadas	5328
Posoblanco	11556
Prado de Córdoba	15766
Puente-Genil	11407
Rute	10553
Villanueva de Córdoba	6971

Jáén.

Alcalá la Real	15802
Alcáudete	9188
Andújar	15214
Arjona	7232
Baena	13911
Bailén	8580
Beas de Segura	5931
Castillo de Locubín	5817
Cazorla	6197
Jáén	25706
Jódar	5454
La Carolina	8460
Linares	29692
Mancha Real	6059
Martos	16356
Porcuna	9334
Quevedo	7028
Santiago de la Espada	5482
Santisteban del Puerto	5966
Torre del Campo	5369
Torreordóñez	9399
Torreperogil	5671
Ubeda	18713
Villacarrillo	9785
Villanueva del Arzobispo	5236

Granada.**Granada.**

Albuñol	9372
Algarinejo	6216
Alhama	7899
Almúñécar	8842
Baza	11998
Caniles	5217
Cáñar de Baza	7631
Granada	73006
Guadix	11989
Huécscar	7528
Ilora	9007
Loja	19120
Montefrio	10963

Motril	17122
Pueblo de don Fadrique .	6482
Santafé	4985

Málaga.

Alhaurin el Grande . . .	8408
Almogía	8346
Alora	10543
Antequera	27070
Archidona	7810
Ardales	5080
Campillos	6094
Cártama	5702
Casares	5460
Coin	9825
Cortes de la Frontera .	5007
Cuevas de San Marcos .	5023
Estepona	9771
Málaga	134016
Marbella	8811
Mijas	6625
Nerja	7577
Ronda	18350
Torrox	7010
Vélez-Málaga	23425

Almería.

Adra	9029
Albox	10101
Almería	36200
Berja	13582
Cuevas de Vera	20027
Dalias	6254
Hércules-Overa	15631
Lubrín	6294
Níjar	14221
Oria	5749
Serón	7006
Sorbas	7462
Tabernas	6563
Vélez-Blanco	6704
Vélez-Rubio	10437
Vera	8610

Murcia.**Murcia.**

Abanilla	5617
Águilas	10042
Alhama	7203
Bullas	6727
Calasparra	5175
Caravaca	15063
Cartagena	84230
Cebegín	10417
Cieza	10905
Fortuna	5690
Fuente-Alamo	8922
Jumilla	14334
La Unión	20966
Lorca	58827
Masarrón	16445
Molina	7667
Moratala	11926
Mula	10768
Murcia	96538
Torre-Pacheco	8074
Totana	11021
Yecla	17706

Albacete.

Albacete	20794
Almansa	9686

Candete	5485
Chinchillode-Monte-Aragón	6096
El Bonillo	5059
Hallín	13679
La Roda	6569
Tobarra	7646
Villarrobledo	9279
Yeste	6584

Valencia.**Alicante.**

Alicoy	30373
Alicante	40115
Altea	5790
Aspe	7297
Beniss	5288
Cocentaina	7758
Crevillente	9972
Denia	11591
Elche	23854
Jávea	7441
Jijona	6198
Monóvar	8795
Novelda	9654
Orihuela	24564
Pedreguer	5053
Pego	6507
Pinoso	6726
Torre Vieja	7724
Villajoyosa	8763
Villena	14450

Valencia.

Alicia	18448
Aigemesí	7441
Carguente	12503
Carlet	5015
Catarroja	5541
Cullera	11713
Cheste	5548
Chiva	5073
Énguera	6256
Gandia	8723
Játiva	14099
Liria	9089
Oliva	8779
Onteniente	11165
Pueblo Nuevo del Mar .	11291
Requena	14457
Sagunto	6466
Sueca	13613
Tabernes de Valldigna .	6529
Torrente	7539
Utiel	10638
Valencia	170763
Villanueva del Grao . .	5619

Castellón de la Plana.

Alcalá de Chisbart . . .	5751
Almanora	6070
Benicarló	7916
Burriana	10237
Castellón de la Plana .	25193
Morella	6812
Onda	5673
Segorbe	7440
Vail de Uxó	8506
Villafamé	5789
Villarreal	13750
Vinaroz	9851

Catalunien.**Tarragona.**

Montblanch	5964
Pernelló	5018
Rens	28780
Tarragona	27225
Tortosa	25192
Ulldescona	6564
Valls	13274
Vendrell	5010

Barcelona.

Badalona	15974
Bercelona ¹⁾	272481
Gracia ¹⁾	45042
Granollers	6208
Igualada	10201
Manlleu	5322
Manresa	22685
Mataró	18425
Sabadell	19645
San Andrés de Palomar ²⁾	14971
San Gervasio de Cassolas .	8206
San Martín de Provensals ²⁾	32695
Sana	19105
Tarrasa	13182
Vich	11640
Villafranca del Panadés .	8344
Villanueva y Geltrú . . .	13811

Gerona.

Bañosas	5021
Bianes	5401
Figuera	11912
Gerona	15497
Olot	8158
Palafrugell	6603
San Felix de Guixols . .	9219
Santa Coloma de Farnés .	4987

Lérida.

Lérida	21885
------------------	-------

Aragónien.**Huesca.**

Barbastro	8280
Fraga	7158
Huesca	13041

Zaragoza.

Borja	5909
Calatayud	11055
Caspe	8439
Tarazona	8538
Zaragoza	92407

Teruel.

Alcañiz	7781
Teruel	9423

Navarra und die baskischen Provinzen.**Navarra.**

Bastán	8619
Corella	6649
Estella	5974
Pamplona	26663
Tafalla	6496
Tudela	9213

¹⁾ Barcelona und Gracia hängen jetzt wahrscheinlich schon zusammen. — ²⁾ San Andrés und San Martín bilden jetzt wahrscheinlich einen einzigen Ort.

Wo die Gemeinde einen selbständigen Namen trägt, ist die Gemeindezahl eingeklammert.

In manchen Fällen wurden auch die Bevölkerungscentra aus politischen und administrativen Gründen in Fraktionen geteilt; wenn der Zusammenhang schon im Censuswerk deutlich gemacht ist, wurden nur die Hauptsommen aufgenommen, im andern Falle aber, unsern Prinzipien gemäß, auch die einzelnen Bestandteile unserer kombinierten Ortszahl namentlich angeführt. Die Grenz- und Namenveränderungen der Gemeinden in der Zeit vom 1. Januar 1882 bis 31. Dezember 1892 sind einem Sonderabdruck aus dem XXIX. Jahrgang des „Movimento della Stato Civile“ entnommen.

Orte unter 5000 Einwohner wurden mit Ausnahme von Hauptstädten nur dann aufgenommen, wenn nach der Zunahme von 1871—81 oder aus andern Gründen angenommen werden kann, daß sie jetzt bereits unsere Grenzzahl überschritten haben.

Die Gemeindebevölkerung der Provinzialhauptstädte wird für den Schlufs jedes Jahres berechnet; der Census von 1881, die natürliche Volksbewegung, die Ein- und Auswanderung und die Zahl der am 31. Dezember anwesenden Fremden wurden dabei zugrunde gelegt. Unsere Zahlen für Ende 1891 sind der „Gazetta ufficiale“ vom 2. November 1892 entnommen.

Märkte sind mit †, Dörfer mit * gekennzeichnet; m. V. bedeutet „mit Vorstädten“.

Nome.	Zählung 1891.			Berechnung für Ende 1891. Gemeinde.
	Gemeinde.	Ort mit Umgebung.	Ort allein.	
Piemont.				
Prov. Alessandria.				
Acqui	11283	9399	7411	—
Alessandria	62464	—	30761	75000
Asti	33233	20916	17340	—
Casale Monferrato	28711	18573	17096	—
Castellazzo Bormida*	6296	g. G.	5332	—
Castelnovo Scrivia†	7240	—	5378	—
Novi Ligure	13783	—	9917	—
San Salvatore Monferrato*	7271	—	4958	—
Tortona	14441	9230	7147	—
Valenza	9835	8945	6466	—
Prov. Cuneo.				
Alba ¹⁾	12259	10936	8961	—
Brà	14540	—	9856	—
Cuneo	24853	13272	12413	29000
Fossano	18349	—	7959	—
Mondovì	17902	8738	5213	—
Racconigi	9665	g. G.	7875	—
Saluzzo	15641	—	9716	—
Savigliano	17160	13789	9932	—
Prov. Novara.				
Biella	14717	12095	11662	—
Cerano*	5440	5285	4939	—
Ciglianof	6111	—	5591	—
Gallistef	7600	g. G.	7422	—
Intra	5745	—	5745	—
Novara	33077	—	15232	40000
Vorst. Bicocca	Gem. Novara	2812	869	19577
„ San Martino	—	4245	2553	
„ Sant' Agabio	—	1324	664	
„ Sant' Andrea	—	1866	401	
„ Torricion Quartara ²⁾	—	727	358	—
Treccate†	7680	g. G.	5259	—
Trino	10791	8620	8267	—
Vercelli	28999	21169	20165	—
Prov. Turin (Torino).				
Aosta	7437	5951	5672	—
Chieri	12888	—	9494	—
Giavenof ²⁾	10117	6379	5692	—
Irrea (m. V.)	10413	8711	5883	—
Moncalieri	11379	3472	3463	—
Borgo Aje	Gem. Moncalieri	1026	887	5180
„ Mercato	—	761	408	
„ Navile	—	508	422	

¹⁾ Mit Borgo di Porta Savona. — ²⁾ Diese Vorstadt scheint nach der Karte ganz abseits zu liegen. —

²⁾ Mit Buffa, Sala und Villa.

Name.	Zählung 1881.			Berechnung für Ende 1881. Gemeinde.
	Gemeinde.	Ort mit Umgebung.	Ort allein.	
Pinerolo	17039	—	12003	—
Rivoli	6304	g. G.	5314	—
Turin (Torino)	253648 ⁴⁾	253124	230183	329000

Ligurien.**Prov. Genua (Genova).**

Camogli†	8912	—	5108	—
Chiavari	11940	—	7859	—
<i>Saline</i>	Gem. Chiavari	1086	923	8582
Genua	179515	139366	138081	210000
<i>Foce</i>	Gem. Genua	—	3851	—
<i>Marassi</i>	"	6454	6317	—
<i>San Francesco d'Albano</i>	"	11872	11856	193639
<i>San Fruttuoso e Incrociati</i>	"	9999	9924	—
<i>San Martino d'Albano</i>	"	4269	4107	—
<i>San Pier d'Arena</i>	22028	—	19501	—
Savona	29614	23479	19130	—
<i>Vorst. Fornaci</i>	Gem. Savona	—	1289	—
<i>Lavagnola</i>	"	2859	2085	24481
<i>Legino e Zinola</i>	"	—	986	—
<i>San Bernardo</i>	"	—	1001	—
Sestri Ponente	10872	g. G.	10686	—
Spezia	30732	20947	19884	—
Voltri†	13621	11599	6358	—

Prov. Porto Maurizio.

Oneglia	7433	g. G.	7286	—
Porto Maurizio	6827	6534	6309	7400
San Remo	16055	14309	12285	—

Lombardel.**Prov. Bergamo.**

Bergamo	39704	—	23819	42000
<i>Vorst. Canale</i>	Gem. Bergamo	2230	510	—
<i>Palazzo</i>	"	2904	2791	311375
<i>Porta Broseta</i>	"	1360	866	—
<i>Porta Nuova</i>	"	—	1593	—
<i>Santa Caterina</i>	"	1993	1558	—
Caravaggio†	7909	6920	6089	—
Treviglio	13231	g. G.	9854	—

Prov. Brescia.

Brescia	60630	—	43354	67000
Chiari	10414	—	5999	—

Prov. Como.

Como (m. V.)	30349 ⁵⁾	—	25560	35000
Lecco	8042	6159	6075	—
<i>Malpensata</i>	Gem. Lecco	369	290	7775
<i>Pescarenico</i>	"	1514	1410	—
Varese	13966	—	5872	—
<i>Biumo inferiore</i>	Gem. Varese	3537	1364	—
<i>Biumo superiore</i>	"	1103	440	84557
<i>Bosto e Cartabbia</i>	"	1576	443	—
<i>Giubiano</i>	"	749	336	—

Prov. Cremona.

Crema	9111	—	8251	—
Cremona	31930	—	29041	38000
<i>Corpi Santi</i>	Gem. Cremona	2889	2042	—
Soresina ⁶⁾	8922	8555	6765	—

Prov. Mailand (Milano).

Abbiategrosso†	10481	—	5258	—
<i>Vorst. S. Pietro</i>	G. Abbiategrosso	3352	1003	6261

⁴⁾ Einschließlich der Gemeinde Cavourto (816 Einw.), die seit 28. Juli 1889 mit der Gemeinde Turin vereinigt ist. — ⁵⁾ Im Jahrgang IV wird noch eine Vorstadt S. Giorgio genannt, die im neuen Censuserk nicht mehr erscheint. — ⁶⁾ Einschließlich der seit 7. Dezember 1884 einverleibten Gemeinden Monte Olimpino (2272 Einw.) und Camerlata (2517 Einw.). — ⁷⁾ Casbueno, das im Jahrgang IV auch unter den Vororten aufgeführt wurde, scheint noch ziemlich selbständig zu sein.

Name.	Zählung 1881.			Berechnung für Ende 1891. Gemeinde.
	Gemeinde.	Ort mit Umgebung.	Ort allein.	
Busto Arsizio	13233	g. G.	9291	—
Casale Pusterleno†	6304	"	5513	—
Codogno	11444	9775	8935	—
Cuggiono†	5364	4862	4793	—
Desio†	6347	g. G.	5228	—
Legnano†	7883	5622	5378	—
Lodi	25804	19299	18689	—
Magenta†	6225	5247	5002	—
Milano (Milano; m. V.)	321839	304557	295543	425000
Melegnano†	6022	g. G.	5438	—
Monza	28012	23149	17077	—
San Colombano al Lambro†	6956	5891	5573	—
Sant' Angelo Lodigiano†	8415	g. G.	6586	—
Saronno†	6497	5869	5099	—
Seregno†	7846	g. G.	6139	—
Prov. Mantua (Mantova).				
Mantua (Mantova)	28048	—	28048	30000
Cittadella	G. Porto Mantovano	389	381	—
Viadana†	15699	6227	5550	—
Prov. Pavia.				
Broni†	6510	6015	5147	—
Gambolò†	7268	5197	5062	—
Garlasco†	7300	5556	5325	—
Meda†	6783	5725	5111	—
Mortara	8085	6783	5058	—
Pavia	34286 ^{b)}	29941	29836	38000
Stradella	8540	6482	6544	—
Vigevano	20096	14794	13684	—
Voghera	16376	—	10785	—
Vorst. Sant' Ilario	Gem. Voghera	1288	137	10922
Prov. Sondrio.				
Sondrio	6990	4014	3989	8000
Venetien.				
Prov. Belluno.				
Belluno	15660	5766	5190	18000
Prov. Padua (Padova).				
Keto	10608	8612	5979	—
Padua (Padova)	72174	—	47334	79000
Bassanello	Gem. Padua	2313	1175	48509
Prov. Rovigo.				
Adria	15806	11456	7642	—
Rovigo	11460	—	7272	11000
Prov. Treviso.				
Ceneda (Vittorio)	16325	5834	5590	—
Conegliano	8938	5191	4682	—
Treviso	31249	—	18301	34000
Sant' Ambrogio di Piera	Gem. Treviso	—	1950	20251
Prov. Udine.				
Pordenone	9788	7065	5072	—
San Daniele del Friuli†	5615	—	4883	—
San Vito al Tagliamento	8839	5140	4707	—
Udine	32020	—	23234	36000
Chiavris e Vat	Gem. Udine	894	693	—
Gemona e Planis	"	501	164	—
Pocetle e S. Rocco	"	497	253	24364 ^{b)}
Stazione	"	261	—	—
Villalta	"	158	—	—

^{b)} Einschließlich der seit 23. Juni 1883 einverleibten Teile: a) der Gemeinde Corpi Santi di Pavia mit Ausnahme des Territoriums von Cà de' Tedoli (4011 Einw.), b) einiger Territorien der Gemeinde Mirabello ed Uniti di Pavia (334 Einw.). — ^{c)} Die kombinierte Ortszahl von Udine ist sehr unsicher. Ersetzt man uns zuverlässige Anhaltspunkte in Bezug auf die Zahl der eigentlichen Vorstädte — auch der I. Band der Guida del Friuli (1886), der nur Udine gewidmet ist, läßt uns dabei im Stiche —, und zweitens haben zwei Vororte nur zerstreute Bevölkerung. Das genannte Werkchen gibt auf S. 114 nur summarisch an: Udine mit Vorstädten 28235 Einw.

Name.	Gemeinde.	Zählung 1881. Ort mit Umgebung.	Ort allein.	Berechnung für Ende 1891. Gemeinde.
Prov. Venedig (Venezia).				
Chioggia	28015	20436	20381	—
Venedig (Venezia)	134810 ¹⁰⁾	132826	129445	159000
Prov. Verona.				
Verona	68741	—	60768	73000
<i>S. Stefano et S. Giorgio extra</i>	Gem. Verona	2152	1063	—
<i>S. Paolo et S. Nazario extra</i>	„	1301	—	61831 ¹¹⁾
Prov. Vicenza.				
Bassano	14524	7657	6086	—
Schio	11263	9894	7392	—
Thiene	6484	g. G.	5217	—
Vicenza	39431	—	27694	40000
Emilia.				
Prov. Bologna.				
Bologna (m. V.) ¹²⁾	193274	110509	103998	147000
Imola	29343	11501	11372	—
Prov. Ferrara.				
Cento	19682	—	4975	—
Comacchio	9974	7630	7535	—
Ferrara	75553	—	28814	85000
<i>Borgo San Giorgio</i>	Gem. Ferrara	3378	865	30695
<i>Borgo San Luca</i>	„	1790	1016	—
Prov. Forlì.				
Cesena (m. V.)	38223	17201	11435	—
Forlì	40934	—	16016	44000
<i>Vorst. Ravallino</i>	Gem. Forlì	6160	1065	17425
<i>„ Schiavonia</i>	„	4036	344	—
Rimini	37078	—	10838	—
Prov. Modena.				
Carpi	18788	—	5987	—
Modena	58058	—	31053	65000
Prov. Parma.				
Parma	45217	—	44492	52000
Prov. Piacenza.				
Piacenza	34987	—	34987	37000
Prov. Ravenna.				
Faenza	36042	—	13998	—
<i>Imperatore</i>	Gem. Faenza	2641	405	—
<i>Marini</i>	„	4734	869	15670
<i>San Giuliano</i>	„	2278	398	—
Lugo	25659	—	9198	—
<i>Vorst. S. Francesco di Paola</i>	Gem. Lugo	891	77	—
<i>„ SS. Francesco e Ilario</i>	„	1135	75	9481
<i>„ SS. Petronio e Prospero</i>	„	1070	131	—
Ravenna (m. V.)	60573	21237	18571	65000
Prov. Reggio nell' Emilia.				
Reggio nell' Emilia	50651	—	18634	58000
Marken.				
Prov. Ancona.				
Ancona	47729	—	28557	55000
<i>Vorstadt</i>	Gem. Ancona	—	2730	31277
Fabriziano	17154	7154	5593	—
Jesi	19462	12934	12118	—
Senigallia	22499	11361	9602	—

¹⁰⁾ Einschließlich der seit 16. Januar 1883 einverleibten Gemeinde Molamocco (1984 Einw.) — ¹¹⁾ Die Verhältnisse könnten hier nur auf einem großen Plane klargelegt werden. Soweit aus der Karte im 1:100000 hervorgeht, sind Santa Lucia extra und Tomba mit Tombetta doch noch nicht im unmittelbaren Zusammenhang mit der Stadt. — ¹²⁾ Die Vorstädte haben hier keine besondern Namen, sondern sind nur nach Quartieren geteilt.

Name.	Gemeinde.	Zählung 1881. Ort mit Umgebung.	Ort allein.	Berechnung für Ende 1891. Gemeinde.
Prov. Ascoli Piceno.				
Ascoli Piceno	23225	18077	12582	29000
Fermo	18383	15182	6692	—
Prov. Macerata.				
Macerata	20249	17980	10063	23000
Recanati	19524	12386	5824	—
Prov. Pesaro e Urbino.				
Fano	21341	—	9484	—
Pesaro	20909	12913	12547	24000
Urbino	16812	—	5087	—
Umbrien.				
Prov. Perugia.				
Città di Castello	24002	5608	5433	—
Foligno	22905	—	8753	—
Gubbio	23316	—	5540	—
Orvieto	15931	—	7304	—
Perugia	51354	—	17395	55000
Rieti	16822	13679	9618	—
Spoleto	21507	9026	7896	—
Terni	15853	13141	9415	—
Toscana.				
Prov. Arezzo.				
Arezzo	38950	14511	11816	43000
Prov. Florenz (Firenze).				
Empoli*	17487	7310	6719	—
Florenz (Firenze) { Centrale (Stadt)	169001	—	134992	190000
{ Meridionale		18351	18294	
{ Settentrionale		15658	15629	
Pistoja	51552	26512	20190	—
Prato in Toscana	42190	16641	15510	—
Sesto Fiorentino*	14224	5303	4996	—
Prov. Grosseto.				
Grosseto	7371	4626	3962	8700
Prov. Livorno.				
Livorno	97615	—	78998	106000
Porta alle Colline	Gem. Livorno	1208	671	86586
San Jacopo		5195	4221	
S. Matteo a Lucia		3770	2106	
Torretta		693	590	
Portoferraio (Elba)	5633	5617	3737	—
Prov. Lucca.				
Lucca	68116 ¹³⁾	29819	20421	76000
Pescia	13073	11863	6091	—
Viareggio	12735	11187	10190	—
Prov. Massa e Carrara.				
Carrara	30094	14606	11869	—
Massa	20032	9339	8998	23000
Prov. Pisa.				
Pisa (m. V.)	53957	44518	37704	61000
Pontedera	11701	8595	6687	—
Volterra	14063	5844	5347	—
Prov. Siena.				
Colle di Val d'Elsa	8639	5166	5090	—
Siena	25204	g. G.	23445	29000

¹³⁾ Seit 22. Juni 1884 ist ein kleiner Teil der Gemeinde Borgo a Mozzano (53 Einw.) mit Lucca vereinigt.

Name.	Zählung 1881.		Berechnung für Ende 1891. Gemeinde.	
	Gemeinde.	Ort mit Umgebung.		Ort allein.
Latium.				
Prov. Rom (Roma).				
Alatri	13244	—	5483	—
Albano Laziale	7095	6961	6560	—
Anagni	8023	g. G.	6347	—
Caprarola*	5050	"	4899	—
Ceccano	7256	"	5955	—
Civitavecchia	11980	—	9210	—
Cori	6300	5812	5450	—
Corneto Terquinia	6175	—	4797	—
Ferentino	10042	—	7679	—
Frascati	7510	g. G.	7134	—
Frosinone	9768	—	7018	—
Genzano di Roma	5571	5356	5291	—
Marino	6862	g. G.	6071	—
Palestrina	6119	"	5855	—
Rom (Roma)	300337 ¹⁴⁾	284544	273268	436000
Ronciglione	5806	g. G.	5434	—
Segni	5686	—	5608	—
Sezze	8835	6317	6114	—
Subiaco	7017	g. G.	6503	—
Terracina	8572	"	6294	—
Tivoli	10297	—	9730	—
Velletri	16493	14785	13532	—
Viterbo	19654	17066	15279	—
Zagarolo	5517	g. G.	5326	—
Abruzzen und Molise.				
Prov. Aquila.				
Aquila degli Abruzzi	18426	—	14720	20500
Avezzano	7380	6485	6166	—
Celano	8314	7262	6638	—
Popoli†	7157	g. G.	7015	—
Pratole Peligna†	7436	"	7077	—
Solmona	17601	—	14171	—
Prov. Campobasso.				
Agnone	10687	6243	6179	—
Campobasso	14824	13992	12774	17000
Casacenda†	6852	g. G.	6653	—
Guglionesi†	6120	—	5153	—
Isernia	9015	g. G.	7678	—
Larino	6872	"	5879	—
Riccia†	8235	—	8235	—
Ripabottoni†	4930	g. G.	4925	—
Santa Croce di Magliano†	4801	—	4801	—
Sant' Elia a Pianisi†	4946	g. G.	4940	—
Prov. Chieti.				
Atessa	10111	g. G.	5066	—
Chieti	21835	20282	18273	25000
Lanciano	17199	g. G.	8234	—
Ortona	12122	6894	6366	—
Vasto	13883	g. G.	9761	—
Prov. Teramo.				
Teramo	20309	9586	8634	23000
Campanien.				
Prov. Avellino.				
Aitavilla Iripina	5199	g. G.	4725	—
Ariano di Puglia	14398	"	12522	—
Atripalda	6221	"	4586	—
Avellino	22920	20485	16376	26000
Bisaccia	6189	—	6189	—
Calitri	6974	—	6974	—

¹⁴⁾ Abgerechnet ist das Gebiet von Molara (ca 130 Einw.), das am 27. August 1884 an die Gemeinde Grottaferata überging.

Name.	Gemeinde.	Zählung 1881.		Berechnung für Ende 1881. Gemeinde.
		Ort mit Umgebung.	Ort allein.	
Lacedonia	5822	—	5822	—
Montella	7643	g. G.	7582	—
Orsara di Puglia ¹⁵⁾	5434	„	5295	—
Prov. Benevent (Benavento).				
Benevent (Banavento)	21631	—	17406	—
Cerreto Sannita	5343	g. G.	5129	26000
Colle Sannita†	5271	—	5271	—
Guardia Sanframondi†	4848	g. G.	4786	—
Montesarchio*	7206	5844	5283	—
Moreona*	7422	g. G.	6539	—
San Bartolommeo in Galdo	7655	—	7655	—
Prov. Caserta.				
Acerra	15205	g. G.	14121	—
Arpino	11368	„	5145	—
Aversa	21473	—	20183	—
Capua	13623	12241	11291	—
Casagiove	4705	g. G.	4600	—
Caserta	30550	17354	17257	36000
Cassinio	11888	8212	6380	—
Fondi	7520	g. G.	6773	—
Formia	8565	„	8551	—
Gaeta	16901	6429	6392	16848
Borgo Gaeta	Gem. Gaeta	10472	10456	—
Itri	6375	g. G.	6342	—
Maddaloni	19270	18079	17072	—
Marcianise	11112	g. G.	11083	14031
Capodrise	2948	—	2948	—
Marigliano	11487	6310	4714	—
Noia	11931	10062	7496	—
Palma Campania†	7720	6476	5858	—
Piedimonte d'Alife	7013	6256	5935	—
Pontecorvo	10191	9484	5172	—
Santa Maria Capua Vetere	19989	18569	18470	—
Sessa Aurunca	19940	5980	5319	—
Sora	13208	7330	5411	—
Teano	12722	5752	4969	—
Prov. Neapel (Napoli).				
Afragola	19367	18949	18942	—
Annunziata†	(9732 ¹⁶⁾)	5132	4924	—
Oratorio	Gem. Boscorecase	2527	2455	7379
Arzano†	6017	g. G.	6005	—
Barrs	9743	—	8464	—
Boscoreale†	8756	5697	5190	—
Caivano	11511	10836	10832	—
Casoria a Arpino	9791	7966	7551	—
Castellammare di Stabia	33102	24914	22207	23437
Botteghe	G. Castellammare	2039	1230	—
Prattamaggiore	10848	—	10848	—
Paeirogrotta	Gem. Neapel	8412	6505	—
Giuliano in Campania	12394	g. G.	11748	—
Gragnano	13902	—	8611	—
Grumo Nevano†	5008	—	5008	—
Marano di Napoli†	8602	g. G.	5642	—
Meta†	7163	—	6093	—
Neapel (Napoli)	494314	471050	463172	536000
Pomigliano d'Arco	9436	8250	7730	8369
Paciano	Gem. Pomigliano	913	639	—
Ponticelli†	7824	g. G.	5853	—
Portici ¹⁷⁾	12709	10197	9963	—
Pozzuoli	17869	12937	11987	—
Resina ¹⁷⁾	15593	g. G.	13626	—
Sancello Cattelico (Procida)	(13131) ¹⁸⁾	3612	3488	—
Sanf Antonio Abbate	Gem. Procida	1939	767	7507
Santissima Annunziata	„	2448	1461	—
Terra Murata	„	—	1803	—

¹⁵⁾ Vor 8. August 1884 hieß die Gemeinde Orsara Dauno Iripina. — ¹⁶⁾ Die Gemeinde heißt Boscorecase. — ¹⁷⁾ Portici und Resina sind wahrscheinlich jetzt schon als ein einziger Ort zu bezeichnen. —

¹⁸⁾ Die Gemeinde heißt Procida; anch der Hauptort ist unter diesem Namen bekannter als unter seinem offiziellen.

Name.	Gemeinde.	Zählung 1881.		Berechnung für Ende 1881. Gemeinde.
		Ort mit Umgebung.	Ort allein.	
San Giovanni a Teduccio	14583	—	5406	—
Casale	Gem. S. Giovanni	645	578	—
Pozzigno	"	3165	3129	14397
Villa S. Giovanni	"	5367	5284	—
Sant' Anastasia†	7220	5590	4766	—
Sant' Antimo	9263	g. G.	9238	—
Secondigliano†	7494	6596	6387	—
Sorrent (Sorrento)	7889	—	6089	—
Torre Annunziata	25013	21076	20060	—
Torre del Greco	27562	g. G.	21688	—

Prov. Salerno.

Amalfi	7409	g. G.	4792	—
Agri	11193	"	10243	—
Buccino†	6123	—	6123	—
Campagna	9028	g. G.	6896	—
Cava de' Tirreni	21363	—	6339	—
Eboli	11235	9089	8405	—
Nocera Inferiore	15858	12830	12522	—
Padula	7936	g. G.	7874	—
Pagani	13290	"	12780	—
Sala Consilina	6107	"	5949	—
Salerno	31245	23010	22328	39000
Sarno	16793	11519	11445	—
Scafati	11068	—	8152	—
Tegiano	5745	g. G.	5001	—

Puglie.

Prov. Bari.

Acquaviva delle Fonti	8527	g. G.	7980	—
Alberobello†	5692	"	5075	—
Altamura	19983	"	19817	—
Andria	37182	"	36795	—
Bari delle Puglie	60575	59686	58266	72000
Barletta	33179	g. G.	31994	—
Bisceglie	23877	"	21765	—
Bitetto	5763	"	5579	—
Bitonto	26207	23812	22726	—
Canosa di Puglia	18843	g. G.	18422	—
Carbonara di Bari†	6036	"	5997	—
Casamassima†	7385	"	7265	—
Castellana	9407	"	8092	—
Conversano	11890	"	11006	—
Corato	30552	"	30428	—
Fasano	17973	"	13941	—
Gioia del Colle	17016	"	16573	—
Giovinazzo	9797	"	9665	—
Gravina in Puglia	16905	16574	15612	—
Grumo Appula	9303	g. G.	9230	—
Minervino Murge	15132	"	14972	—
Modugno	9880	8676	8525	—
Mola di Bari	12435	g. G.	12070	—
Molfetta	30056	"	29697	—
Monopoli	20918	"	13154	—
Noci	9985	"	8343	—
Noicattaro	7373	"	7306	—
Palo del Colle	10278	—	10278	—
Polignano a Mare	7818	g. G.	6976	—
Putignano	12098	"	11831	—
Rentigliano	7663	"	7077	—
Ruvo di Puglia	17956	"	17728	—
San Nicandro di Bari	5871	—	5871	—
Santeramo in Colle	11220	g. G.	11213	—
Spinazzola	10623	"	10353	—
Terlizzi	20592	"	20442	—
Toritto†	6608	—	6608	—
Trani	25647	g. G.	25173	—
Triggiano	8316	"	8217	—
Turi†	6169	"	5552	—

Name.	Z a h l u n g 1881.			Berechnung für Ende 1881. Gemeinde.
	Gemeinde.	Ort mit Umgebung.	Ort allein.	
Prov. Foggia.				
Apricena	5719	g. G.	5271	—
Ascoli Satriano	9906	"	6478	—
Bovino	7544	"	7388	—
Candela	6286	"	6192	—
Carpino	6058	"	5951	—
Cerignola	24446	"	22659	—
Deliceto	5263	"	5203	—
Foggia	40283	"	36852	44000
Ischitella †	4784	"	4766	—
Lucera	15330	"	14067	—
Manfredonia	9323	8941	8324	—
Monte Sant' Angelo	19015	16353	15109	—
Rodi Garganico †	5726	g. G.	5172	—
Roseto Valfortore †	5503	"	5503	—
San Giovanni Rotondo	8470	g. G.	8098	—
San Marco in Lamis	15440	"	15345	—
San Nicandro Garganico	8257	—	8257	—
San Severo	20382	g. G.	19756	—
Sant' Agata di Puglia	5585	—	5585	—
Serracapriola †	5616	g. G.	5494	—
Torre Maggiore	8425	"	8234	—
Trinitapoli	8061	"	7789	—
Troja	7245	"	6722	—
Vico del Gargano	8365	"	7628	—
Vieste	7124	"	7003	—
Prov. Lecce.				
Brindisi	16719	16198	14508	—
Campi Salentina †	5581	g. G.	5246	—
Carovigno	5089	"	4943	—
Casarano †	6434 ¹⁹⁾	"	4586	—
Castellaneta	8918	"	7903	—
Ceglie Messapica	14557	"	13865	—
Copertino †	6039	"	5510	—
Francavilla Fontana	18209	16328	15856	—
Galatina	11163	9680	8720	—
Galatone †	6198	g. G.	5671	—
Gallipoli	10687	9012	8083	—
Ginosa	8013	g. G.	7846	—
Grottaglie	9431	"	8880	—
Laterza	6430	"	6219	—
Latiano †	6867	"	6502	—
Lecce	25934	24676	21742	29000
Maglie †	6705	6554	6366	—
Manduria	10308	9373	8865	—
Martina Franca	19257	—	14454	—
Massafra	10149	g. G.	9463	—
Messagne	9229	"	8382	—
Mottola	6871	"	5611	—
Nardò	10683	—	8662	—
Oria	8173	g. G.	7765	—
Ostuni	18226	"	15199	—
San Vito dei Normanni	8512	7192	6887	—
Sava †	5881	g. G.	5834	—
Teront (Teranto)	33942	26611	25246 ²⁰⁾	—
Basilicata.				
Prov. Potenza.				
Avigliano	19399 ²¹⁾	—	12949	—
Beila †	5558	g. G.	5132	—
Bernalda	6997	"	6940	—
Corleto Perticara †	5141	—	5141	—
Ferrandina	7545	g. G.	7325	—
Forenza †	7553	"	7538	—

¹⁹⁾ Einschließlich von Melissano (1595 Einw.), das bis 31. Dez. 1884 zur Gemeinde Tavianò gehörte. —²⁰⁾ Die im Jahrgang IV genannten „Vorstädte“ sind in Wirklichkeit weit abliegende Dörfer. — ²¹⁾ Mit Einschluß von Sterpeto (515 Einw.), das bis 25. Juni 1882 zur Gemeinde Atella gehörte.

Name.	Zählung 1881.			Berechnung für Ende 1881. Gemeinde.
	Gemeinde	Ort mit Umgebung.	Ort allein.	
Genzano†	7650	—	6230	—
Grassano†	6107	—	6107	—
Laurenzana†	6201	—	6201	—
Lauria.	10220	g. G.	10170	—
Lavello	6288	—	6288	—
Matera	15700	—	15700	—
Melfi	12657	12212	11765	—
Moliterno.	6326	—	6326	—
Montepeloso.	7013	—	7013	—
Montescaglioso	7509	g. G.	7233	—
Muro Lucano	8895	—	7547	—
Palazzo San Gervasio†	7111	—	7111	—
Pietragalla†	6711	g. G.	6293	—
Pisticci	8306	—	7647	—
Pomarico*	5183	—	5183	—
Potenza	20281	g. G.	17978	21000
Rionero in Vulture ²³⁾	11383	—	11383	—
San Fele†	9240	g. G.	6859	—
Sant' Arcangelo†	4847	—	4847	—
Senise†	5602	—	5602	—
Stigliano†	6435	—	6435	—
Tricarico	7600	g. G.	7482	—
Venosa	8014	—	8014	—
Viggiano	5448	—	5448	—

Calabrien.

Prov. Catanzaro.

Catanzaro.	28594	22206	20931	30000
Cotrone	9649	7734	6484	—
Marina ²⁴⁾	Gem. Cotrone	896	367	6851
Monteleone di Calabria	12047	9811	9704	—
Nicastro	14067	—	10254	—
Nicotera	6978	5189	4941	—
Pettilia Policastro†	5684	g. G.	5234	—
Pizzo	8055	7096	7048	8005
Marina ²⁴⁾	Gem. Pizzo	959	957	—
Sambiase	8587	g. G.	7477	—
Tropè†	5836	5200	4844	—

Prov. Cosenza.

Cassano al Jonio	9030	—	7407	—
Castrovillari.	10505	—	10505	—
Corigliano Calabro.	13272	g. G.	12271	—
Cosenza	16686	14961	12590	20000
Lungro†	5348	g. G.	5155	—
Morano Calabro	8259	—	8259	—
Mormanno	5556	g. G.	5003	—
Paola	8465	8097	5793	—
Rossano	17979	16224	14686	—
San Giovanni in Fiore	10744	g. G.	10500	—
Verbicaro†	5108	—	5108	—

Prov. Reggio di Calabria.

Bagnara Calabra	9233	6811	6749	—
Cittanova.	11648	g. G.	11399	—
Mammola†	7679	—	6369	—
Palmi	11082	—	9705	—
Polistena.	8359	—	6974	—
Radicena†	5475	g. G.	5283	—
Reggio di Calabria	39296	24291	23853	44000
Santa Caterina	Gem. Reggio	1621	1147	—
Sant' Elia di Condera	—	1052	725	29776 ²⁴⁾
Sbarre	—	4316	3622	—
Spirito Santo.	—	617	429	—
Roccella Jonica.	6628	g. G.	6533	—
San Giorgio Morgeto†	5005	—	5005	—
Sant' Eufemia d'Aspromonte	5861	g. G.	5697	—
Scilla	7364	5802	5522	—

²³⁾ Die Umänderung des Namens aus Vulture in Vulture erfolgte am 8. August 1884. — ²⁴⁾ Wir folgen Jahrgang IV und nicht dem Censuserk, weil die betreffenden Orte auf der Generalstabkarte nicht angeführt sind, also — wie wir annehmen — in unmittelbarer Nähe des Hauptortes liegen. — ²⁴⁾ Im Jahrgang IV ist unter den Vorstädten auch Archi aufgeführt, das aber ziemlich weit von der Stadt entfernt liegt.

Name.	Gemeinde.	Ort mit Umgebung.	Ort allein.	Berechnung für Ende 1881. Gemeinde.
Sizilien.				
Prov. Caltanissetta.				
Aidone	7592	g. G.	6664	—
Barrafranca	9091	8948	8914	—
Butera	5877	5511	5327	—
Calascibetta	6867	g. G.	6615	—
Caltanissetta	30480	—	25027	35000
Castrogiovanni	18981	g. G.	18450	—
Massarino	13213	—	12964	—
Massanelli	9770	—	9770	—
Niscemi	12149	g. G.	11962	—
Piazza Armerina	19591	—	17038	—
Pietraperzia	11284	—	10836	—
Riesi	11914	—	11914	—
San Cataldo	15557	g. G.	15105	—
Santa Caterina Villarmosa	7169	—	6979	—
Serradifalco	7800	—	7731	—
Sommatino †	5375	—	5375	—
Terranova di Sicilia	17173	g. G.	16440	—
Valguarnera Caropepe	11485	—	11341	—
Vallelunga Pratameno †	6105	—	5998	—
Villerosa	9652	9021	8915	—
Prov. Catania.				
Acireale ²⁰⁾	38547	28859	22431	—
Adernò	20163	g. G.	19180	—
Agira	13788	—	13498	—
Belpaese *	7704	—	7328	—
Blancavilla	13319	—	13021	—
Bronte	14577	—	14427	—
Castagione	32323	—	28119	—
Castiglione di Sicilia	9479	—	8114	—
Catania	100417	98529	96017	112000
Centuripe	8897	8797	8711	—
Cerami	5001	—	4916	—
Giarre ²⁰⁾	20781	12769	7819	—
Gramsciale †	11804	—	11804	—
Leonforte	16009	g. G.	15645	—
Lecida Eubea †	6159	—	6159	—
Linguaglossa	10421	g. G.	9952	—
Militello in Val di Catania	10623	—	10505	—
Mineo	9332	—	9274	—
Misterbianco †	7456	—	7107	—
Nicosia	15460	—	14941	—
Palagonia †	5372	g. G.	5350	—
Paternò	17353	—	16230	—
Randazzo	10210	g. G.	9908	—
Regalbuto	10017	—	9610	—
Riposto	9743	7490	7200	—
Scordia	7693	—	7693	—
Troina	10109	g. G.	10072	—
Vissini	14191	—	13966	—
Prov. Girgenti.				
Alessandria della Rocca †	5791	g. G.	5786	—
Aragona	11286 ²⁰⁾	9647	9571	—
Bivona	4636	g. G.	4603	—
Burgio †	5153	—	5153	—
Calascibetta †	6900	6185	6178	—
Cammarata †	5987	g. G.	5745	—
Campobello di Licata	7577	7674	7481	—
Casestri	19679	g. G.	19599	—
Casteltermini †	9205	—	9205	—
Cattolica Eraclea	6591	—	6591	—
Cianciana †	8691	—	8691	—
Favara	16051	g. G.	15983	—

²⁰⁾ Die im Jahrgang IV als Vorstädte genannten Orte sind nach der Generalstabkarte ganz selbständig. —
²⁰⁾ Joppolo (1335 Einw.), das bisher zur Gemeinde Aragona gehörte, wurde durch Dekret vom 3. Juli 1893 der Gemeinde Raffadali zugewiesen.

Name.	Zählung 191.			Berechnung für Ende 1891. Gemeinde.
	Gemeinde.	Ort mit Umgebung.	Ort allein.	
Girgenti	21274	20008	19380	24000
Grotte	8808	g. G.	8775	—
Licata	17565	—	17478	—
Menfi	10062	10003	9944	—
Naro	10395	—	10395	—
Palma di Montechiaro	11760	g. G.	11702	—
Porto Empedocle	8173	—	7908	—
Racalmuto	13440	—	13133	—
Raffadali	8968 ²⁶⁾	—	7633	—
Ravenna	8481	—	8481	—
Ribera†	8122	—	8122	—
Sambuca Zabut†	9354	—	9354	—
Santa Margherita di Belice†	7523	g. G.	7485	—
Santo Stefano Quisquina†	6283	—	6283	—
Sciacca	22195	21451	19965	—
Siculiana†	6239	g. G.	6227	—
Prov. Messina.				
Barcellona Pozzo di Gotto	20961	14755	13948	—
Cearo†	4723	—	4723	—
Messina	126497	74424	73781	142000
Nordvorstadt	Gem. Messina	4166	3557	—
Südvorstadt	—	2459	1100	—
Milazzo	13545	8427	7971	—
Mistretta	12535	g. G.	12235	—
Patti	9374	5999	5185	—
San Fratello	7928	—	7554	—
Santo Stefano di Camastra†	5130	g. G.	5027	—
Prov. Palermo ²⁷⁾ .				
Alia†	6203	g. G.	6186	—
Alimena	5215	—	5126	—
Bagheria ²⁶⁾	14027	13272	12650	—
Bisacchino	9602	g. G.	9588	—
Borgetto	6829	—	6829	—
Caccamo	7964	—	7964	—
Caltavuturo	5638	g. G.	5571	—
Carini ²⁶⁾	12037	—	11667	—
Castelbuono	8467	g. G.	8439	—
Cefalù	14173	13227	12714	—
Cerda	4844	g. G.	4794	—
Chiusa Sclafani	7129	6879	6874	—
Ciminna	6442	g. G.	6434	—
Cinisi	5474	—	5474	—
Collesano	6064	5374	5163	—
Corleone	15686	15495	15441	—
Gangi	17021	g. G.	11935	—
Lercara Friddi	13423	—	13324	—
Marone	9631	—	9617	—
Mazzone	7683	—	6398	—
Misilmeri	10489	10234	10170	—
Monreale ²⁶⁾	19543	14081	13898	—
Montelepre	5453	g. G.	5443	—
Montemaggiore Belsito	7856	—	7856	—
Palazzo Adriano†	5849	g. G.	5810	—
Palermo	244991	206829	205712	278000
Partinico ²⁶⁾	21584	21263	21000	—
Petralia Sottana ²⁶⁾	8528	8390	8244	—
Piana dei Greci	8849	g. G.	8847	—
Polizzi Generosa	7239	—	7108	—
Prizzi	10384	—	10384	—
San Giuseppe Jato†	6579	g. G.	6530	—
San Mauro Castelverde	5564	—	5579	—
Termini Imerose	25148	22972	22733	—
Terrasini Favaretta	6142	—	6142	—

²⁷⁾ Zur Gemeinde Palermo gehören noch zwei Fraktionen mit mehr als 5000 Einw., welche deshalb nicht in die Tabelle aufgenommen wurden, weil sie aus je zwei ziemlich weit voneinander entfernten Dörfern bestehen. Es sind dies:

	Ort mit Umgebung.	Ort.
Brancaccio und Conte Federico	8269	7982
Zisa und Uditore	9742	9506

Name.	Zählung 1881.			Berechnung für Ende 1891. Gemeinde.
	Gemeinde.	Ort mit Umgebung.	Ort allein.	
Trabia†	5179	4976	4929	—
Valledolmo	7984	—	7984	—
Ventimiglia di Sicilia†	5209	g. G.	5200	—
Vicari†	5028	„	4880	—

Prov. Syrakus (Siracusa).

Augusta	13180	12634	12210	—
Avola	12478	g. G.	12286	—
Canicattini†	7030	—	7030	—
Caricattini†	7179	6730	6191	—
Chiaromonte Gulfi	9770	g. G.	9364	—
Comiso	19333	—	19333	—
Floridia†	10266	g. G.	10145	—
Francoforte†	6064	„	5746	—
Lentini	13462	„	12740	—
Melilli†	6822	6044	5649	—
Modica	41231	g. G.	38390	—
Monterosso Almo	8836	„	8747	—
Noto	18239	—	15925	—
Pachino	8282	7418	7413	—
Palazzo Acreide	11154	g. G.	11069	—
Ragusa	24341	24279	24183	—
Ragusa Inferiore	6380	g. G.	6260	30443
Rosolini†	7475	„	7082	—
Santa Croce Camerina	5100	„	5020	—
Scicli	12041	11880	11681	—
Sortino†	8972	g. G.	8962	—
Spaccaforno	8698	„	8588	—
Syrakus (Siracusa)	23507	21157	19389	27500
Vittoria	23889	22995	21755	—

Prov. Trapani.

Alcamo	37697	—	37697	—
Calatafimi	10419	g. G.	9785	—
Campobello di Mazara	6690	„	6454	—
Camporeale†	4835	—	4835	—
Castellammare del Golfo	15303	g. G.	14800	—
Castelvetrano	21550	—	20053	—
Gibellina	6350	—	6350	—
Marsala	40251	g. G.	19732	—
Mazara del Vallo	13505	„	13074	—
Paceco	6111	„	4724	—
Partanna	13144	—	13144	—
Salemi	15422	g. G.	11512	—
Santa Ninfa	7442	„	7270	—
Trapani	38231	—	32020	45000
Vita†	5175	g. G.	5151	—

Sardinien.

Prov. Cagliari.

Bosa	6696	—	6696	—
Cagliari	38598	g. G.	35588	42000
Carloforte*	6259	„	6072	—
Giupini*	6348	„	5833	—
Iglesias	12094	—	7885	—
Oristano	7031	g. G.	6953	—
Quarto Sant' Elena*	6638	—	6638	—
Villacidro*	5384	g. G.	5014	—

Prov. Sassari.

Alghero	10117	9171	8995	—
Bonorva*	6116	6015	5831	—
Ittiri*	5516	g. G.	5501	—
Nuoro	6212	5981	5967	—
Ozieri	8569	g. G.	8413	—
Sassari	36317	—	31596	40000
Sorso*	5844	g. G.	5833	—
Terranova	(11188) ²⁶⁾	—	5452	—

²⁶⁾ Der Name der Gemeinde ist Tempio Pausania, den auch der Ort Terranova manchmal führt.

Griechenland 1889.

Die Ergebnisse der Zählung vom 15. und 16. April (a. St.) 1889 sind als Beilage des Regierungsanzeigers (*Εφημερίς τῆς Κυβερνήσεως*) 1890 erschienen. Wo die Gemeinde einen andern Namen führt als der Ort, ist derselbe (mit G.) dem Ortsnamen beigelegt.

Name.	Gemeinde.	Ort.	Name.	Gemeinde.	Ort.
Mittel- und Nordgriechenland.					
Attika und Böotien.					
Aigina	7137	4232	Hermione	2396	2070
Arachoba	3138	3138	Hydra	6478	6413
Athen (Athenai)	114355	107251	Korinthos	11150	4124
Ergasteria (G. Laurion)	11366	3802	Kranidion	6442	5500
Korope (G. Kropia)	8087	2820	Nauplion	10879	5459
Lebadeia	6465	4990	Poros (G. Troizen)	6430	4579
Mandra (G. Eleusis)	4354	2625	Spetsai	5192	5172
Megara	6324	6249	Arkadien.		
Menidion (G. Acharnai)	3965	2650	Demetsana	5517	2488
Piräus (Peiräeus)	34569	34327	Hagios Petros (G. Parnon)	4067	3347
Salamis	6254	3718	Lagadia	6235	5375
Thebai	5879	3228	Lebidion (G. Orchomenos)	4888	2012
Phthiotis und Phokis.			Leonidion (G. Limnaion)	4911	3426
Amphissa	8374	5180	Stemnitsa (G. Trikolono)	4791	2737
Dadion (G. Drymia)	4367	3289	Tripolis	15521	10698
Desphina (G. Antikyra)	2239	2212	Taipinga (G. Mantinea)	6395	1959
Galaxeidion	4594	4594	Achaja und Elis.		
Lamia	11458	6888	Aigion	16579	7001
Ätolien und Akarnanien.			Amaliss (G. Elis)	11347	4285
Agrinion	9972	7430	Lechais (G. Myrtilioi)	10683	2452
Aitolikon	5492	4963	Patras (Patrai)	44970	33529
Bonitsa (G. Anaktorion)	8812	2275	Pyrgos (G. Letrinoi)	25515	19647
Karbasaras (G. Ambrakia)	5953	2246	Messenien.		
Messologion	11735	9476	Agulinitsa (G. Bolax)	4262	2395
Naupaktos	6935	2296	Andritsanis	7649	2089
Arta.			Gargalianoi (G. Platamodes)	7591	5528
Arta	9090	7048	Kalamata (Kalamai)	15479	10696
Trikkala.			Korona (G. Kollontides)	7321	2367
Karditsa	13291	6798	Kyparissia	7652	4707
Palamas (G. Titanion)	7086	3337	Ligudista (G. Phleissia)	3995	2661
Phanasion (G. Ithome)	8279	2032	Messene (G. Pamisos)	8032	6325
Trikkala	21622	14820	Philistra (G. Erans)	10421	8973
Larissa.			Pylos	5949	2128
Agria (G. Dotion)	9072	2050	Lakonien.		
Anakassia ¹⁾ (G. Jolkos)	4014	3505	Georgitsaion (G. Pellane)	4872	1960
Argolaste (G. Spalathra)	3695	2325	Gythion	5211	3686
Belestinos (G. Pheral)	4599	2389	Sparte	12995	3982
Bolos (G. Pagassi)	11029	11029	Inseln.		
Drakia (G. Nelsis)	8160	2463	Euböa.		
Halmiros	6272	3859	Chalkis	15713	9919
Kasakler	G. Tyrnabos	2076	Kyme	6551	4417
Larisa	15859	13610	Skiathos	2804	2796
Laukos (G. Sepias)	3271	1957	Skopelos	3995	3978
Makrynitza	5472	3682	Skyros	3188	3184
Pharallos	4996	2293	Xerochorion (G. Hintina)	6712	8027
Portaria (G. Horminion)	3963	2544	Kykladen.		
Tyrnabos	11845	6305	Andros	8186	2030
Zagora	4705	3261	Ano Syros	9469	8102
Peloponnes.			Hermupolis	22104	22104
Argolis und Korinth.			Jo	2043	2043
Argos	12057	9814	Kea	3863	3863
Hagios Georgios (G. Nemea)	4404	1974	Mykonos	4525	3382
			Paroikia (G. Paros)	3048	2838
			Seriphos	2731	2306
			Tenos	4530	2400

¹⁾ Mit Umgebung.

Name.	Gemeinde.	Ort.	Name.	Gemeinde.	Ort.
Kerfu (Kerkyra).			Kephallenia.		
Kerfu (Kerkyra) . . .	28372	19025	Argostolion (G. Kranioi) . .	10241	9085
Anemomyliou . . .	G. Kerkyra	699	Deliminata	3577	1996
Hagios Rhokos . . .	"	1992	Ithake (Vathy)	4605	3638
Gorizia	"	2183	Lexurion	6058	5740
Mandukion	"	3690	Zante (Zakynthos).		
Kloster Platytiras . .	"	13	Zakynthos (Zante)	18906	16603
Loukas	7873	5559			

Bosnien und Hercegovina 1885.

Die „Ortschafts- und Bevölkerungs-Statistik von Bosnien und der Hercegovina nach dem Volkszählungsergebnis vom 1. Mai 1885“ (Sarajevo 1886) enthält detaillierte Bevölkerungsangaben für alle Ortschaften nach Geschlecht, Religion, Stand und Beruf. Die Ortschaften decken sich nur zum Teil mit den Katastralgemeinden, da viele der letztern in ihre topographischen Bestandteile zerlegt werden, und soweit es Städte und Märkte (mit * bezeichnet) betrifft, können wir hier von einer wirklichen Ortstatistik im geographischen Sinne des Wortes sprechen. Anders verhält es sich aber mit den Dörfern, von denen allerdings nur fünf (Mala Kladuša, Todorovo, Ratkovo und Dolnja Mahala in Bosnien und Rakitno in der Hercegovina) etwas über 2000 und eins (Kola) nahezu 2000 Einwohner zählen. Diese bilden, wie sich aus der Generalkarte (1:150 000) ergibt, ausgedehnte Katastralgemeinden mit zerstreuten Ansiedelungen und sind daher in die Tabelle nicht aufgenommen worden.

Bosnien.		Gradiška (Bosn.-G.) . . .		Sarajevo	
Banjaluca	11357	Jacze	3706	Tešanj	5807
Bihac	3506	Janje*	3488	Travnik	5933
Bjelina	7807	Krupa*	2096	Viseko	4994
Brčka	4281	Livno	4535	Vlasenica	1957
Dervent	4449	Maglaj	3210	Zenica	3073
Dolnja Tuzla	7189	Modrić*	2264	Zvornik	3030
Dolnji Vakuf*	1967	Novi	2147		
Dubica (Bosn.-D.)* . .	2816	Peći	5228	Hercegovina.	
Foča	4360	Petrovac	2518	Ljubuški	3464
Gračanica	3350	Priedor	4746	Mostar	12665
Gradačac	3076	Rogatica	2013	Stolac	3397

Serbien 1890.

Die endgültigen Ergebnisse der Zählung vom 31. Dezember 1890 sind in drei starken Quartbänden in serbischer und französischer Sprache erschienen (Statistique du Royaume de Serbie, Belgrad 1892). Die Trennung von Gemeinde- und Ortstatistik¹⁾ ermöglicht es uns, auch die größern Dörfer in unsere Tabelle aufzunehmen, und es fällt sofort auf, daß sie in überraschend großer Anzahl vertreten sind, wenn auch vorwiegend nur im nördlichen Flach- und Hügelland und in den breiten Thälern. Das Studium der serbischen Generalstabkarte in 1:75 000 belehrt uns, daß wir es hier wirklich mit geschlossenen Ortschaften zu thun haben, wenn auch die Anordnung der Häuser recht verschieden ist, bald stadtähnlich geschlossen, wie z. B. im Kreis Crna Reka, bald radial, wie in Azanja, bald linear, wie in Golobok, bald in parallelen Linien, wie in Selevac, bald in eng benachbarten Haufen, wie in Ratara. Nur in drei Fällen ist die Zerstreutheit der Wohnungen so groß, daß wir Anstand nehmen, die betreffenden „Orte“ (Koraćica im Kreis Podunavlje, 2167 Einw., Trnava im Kreis Kragujewac, 2765 Einw., und Vlasina im Kreis Vranja, 2885 Einw.) in die Tabelle aufzunehmen²⁾.

Alle Dörfer sind mit * bezeichnet.

¹⁾ Diese Trennung ist jetzt allerdings nicht mehr so notwendig, seit durch das neue Gemeindegesetz jedem Orte gestattet ist, eine eigene Gemeinde zu bilden, sobald die Zahl der Steuerpflichtigen eine gewisse Höhe erreicht hat. Die Zahl der Gemeinden ist auf diese Weise seit 1889 von 625 auf 1271 gestiegen. —

²⁾ Bemerkenswert ist, daß (nach Mitteilung des Direktors des Statistischen Büurens in Belgrad, Herrn Jovanović) die zum erstemal angewendete Methode bei der letzten Volkszählung über 1000 neue Ortsnamen zu Tage förderte, die zwar schon 1820 bei Vuk Karadžić erwähnt wurden, dann aber so völlig in Vergessenheit gerieten, daß sie auch die Generalstabkarte ignorierte.

Name.	Gemeinde.	Ort.
Kreis Podunavlje.		
Azanja*	5976	5976
Belgrad	54249	54249
Golobok*	2052	2052
Grocka*	2235	2235
Koračevac*	3060	2673
Krnjevo*	4026	4026
Kusadak*	4546	4546
Lipe*	2521	2521
Losovik*	4987	4987
Lugarčina*	2501	2501
Markovac*	2530	2530
Mihalovac*	3205	2542
Miloševac*	3132	3132
Osipovica*	3124	3124
Palanka	2750	2750
Ratara*	2440	2440
Selvac*	5166	5166
Smederevo	6726	6726
Stari Adžibegovac*	2848	2674
Velika Krpa*	3109	3109
Velika Plana*	3521	3521
Vrčin*	2212	2212

Kreis Požarevac.		
Boževac*	3245	3245
Kušljevo*	3474	3474
Laznica*	2934	2706
Lučica*	2160	2160
Melnica*	2272	2272
Neresnica u. Komča*	2147	2147
Petrovac	5121	2558
Pojana*	3102	2957
Porodin*	3264	3264
Požarevac	11376	11134
Pr'ovo*	2102	2102
Rakinac*	2553	2553
Rauovac*	3004	2156
Smoljinae*	2866	2866
Veliko Gradište	3118	3118
Veliko Lađe*	2914	2244
Vlaški Dž*	2627	2063
Zagubica*	2541	2541

Kreis Krajina.		
Bukorče*	2653	2031
Dušanovac*	2237	2237
Gornjaane*	2015	2015
Jabukovac*	3831	3831
Kladovo und Fetislam	2001	2001
Kobiljica*	2200	2200
Negotin	5386	5386
Radujevac*	2278	2278
Sikole*	2009	2009
Urovice*	2251	2251

Kreis Valjevo.		
Obrenovac	3636	2303
Valjevo	6006	5643

Kreis Podrinje.		
Badovinci*	3800	3800
Bogatić*	3875	3875

Name.	Gemeinde.	Ort.
Crna Bara*	2211	2211
Drenovac*	2022	2022
Dublja*	2720	2720
Glaczi*	2009	2009
Klenja*	2866	2866
Lipolist*	2317	2002
Lomnica	3643	2319
Prnjavor*	2037	2037
Šabac	10518	9669

Kreis Užice.		
Užice	6627	6627

Kreis Rudnik.		
Čačak	3869	3869
Gornji Milanovac	2024	2024
Kraljevo	3525	3525

Kreis Kragujevac.		
Branj*	2864	2864
Kragujevac	12669	12669
Lapovo*	5144	5144

Kreis Morawa.		
Baćina*	2919	2083
Bobovo*	2623	2081
Čuprija	4636	4631
Jagodina	4619	4619
Katun*	2034	2034
Obrež	3033	2429
Paraćin	5486	5486
Svilajnac	5105	5105

Kreis Crna Reka.		
Grijan*	2157	2157
Krivelj*	2613	2613
Podgorac*	2607	2607
Rgotina*	2410	2410
Valakonje*	2423	2423
Veliki Iavor*	3739	3739
Vražogrnac*	2159	2159
Zaječar	5858	5858
Zlot*	3830	3830

Kreis Timok.		
Banja	2210	2210
Knjaževac	5026	5026

Kreis Kruševac.		
Aleksinac	5762	5762
Čičevac*	3162	2085
Kruševac	6681	5998
Medvedja*	2415	2415
Velika Drenova*	3186	2429

Kreis Toplica.		
Gornji Matejevac*	2764	2459
Niš	19877	19877
Prokuplje	4856	4856

Kreis Pirot.		
Pirot	9930	9930
Vlasotinci	4041	3808

Kreis Vranja.		
Leskovac	12132	12132
Vranja	10713	9500

Bulgarien 1881 bzw. 1885 und 1888.

Die amtlichen Censuswerke, die der nachstehenden Tabelle zu Grunde gelegt wurden, sind: 1) für die Zählung in Donaubulgarien am 1./13. Januar 1881 das „Ortsverzeichnis“, 89, Sofia 1885; 2) für die Zählung am 1./13. Januar 1885 in Ost-Rumelien die „Resultate &c.“ in 6 Quartheften, von denen die drei ersten 1885 in Philippopol, die andern 1888 in Sofia erschienen; 3) für die Zählung am 1./13. Januar 1888 im ganzen Fürstentum die „Resultate &c.“ in 23 Quartheften, Sofia 1888. In dem Werke für 1888 sind auch die Gemeindezahlen ausgewiesen, so daß wir die Tabellen für 1888 in genau derselben Weise wie für Griechenland und Serbien entwerfen können, d. h. mit Gemeinde- und Ortsstatistik. Alle drei Zählungen wurden in regelrechter Weise vorgenommen, nach dem Urteil des Prinzen Franz Josef von Battenberg (Bulgarien, Leipzig 1891, S. 21) können aber die Resultate für 1881 nicht auf Genauigkeit Anspruch machen. Zu derselben Ansicht sind auch wir durch den Vergleich mit der Zählung von 1888 gelangt; aber der Grad der Ungenauigkeit ist in verschiedenen Kreisen sehr verschieden (hoch z. B. im Kreise Sevlijevo). Wenn viele Orte, die das Verzeichnis für 1881 mit mehr als 2000 Einwohnern aufführt, von uns nicht berücksichtigt wurden, so liegt der Grund aber nur zum Teil in der Ungenauigkeit, zum Teil aber auch darin, daß die Gliederung der Gemeinden in Ortschaften damals noch nicht solche Fortschritte gemacht hatte wie 1888. In der Schreibweise der Namen zeigen die Censuswerke mancherlei Abweichungen; in zweifelhaften Fällen haben wir uns an die neue Karte von Bulgarien in 1:420 000 von A. Krivokiev gehalten. Märkte sind mit †, Dörfer mit * bezeichnet.

Name.	1881 Ort.	1888 Ge- meinde.	Ort.
Bulgarien.			
Kreis Sofia.			
Etropole	3263	3486	3486
Godeč†	2308	2510	2510
Pirdop	3294	3431	3431
Samokov	9970	9658	9658
Sofia	20501	30428	30428 ¹⁾
Vakare†	3472	3803	3803
Zlatica	1570	1971	1971
Kreis Trn.			
Trn	1552	3325	2170 ²⁾
Kreis Kötendil.			
Božica*	1957	2674	2050
Dupnica	7529	7919	7919
Kötendil	9590	10689	10689
Radomir	2381	2684	2391
Rila†	2569	3310	2709
Kreis Vidin.			
Boinica†	2690	2984	2984
Bregovo†	2726	3171	3171
Gramada†	2180	3918	2331
Kula	2913	3510	3510
Novoselo†	2224	2729	2729
Rakovica†	2705 ³⁾	2989	2210
Vidin	13714	14772	14772
Kreis Lom-Palanka.			
Berkovica	5429 ²⁾	6238	4977
Čiporovci*	1901	2503	1985
Gukanci*	1940	2711	1961
Lom-Palanka	7508	8564	8199
Viečedroma†	3181	3946	3399
Kreis Vratca.			
Lutakovo*	1892.	2226	2226
Orchanie	2297	2744	2744
Name.	1881 Ort.	1888 Ge- meinde.	Ort.
Ostkovica†	2917	2180	2180
Praveč†	2254	2486	2486
Skrevena*	1675	2029	2029
Vračev†	1985	2288	2288
Vratca	11190	11323	11323
Kreis Rachofo.			
Bjela Slatina†	2014	2531	2531
Borovan†	2656	2976	2976
Brjenica†	2658	2954	2954
Bukjavec†	1621	2234	1958
Galice*	1912	2218	2218
Kneža†	4389	4988	4988
Kojnare†	2886	3520	3520
Kozlodui†	2962	2429	2429
Krusevane*	1548	2049	2049
Rachovo ⁴⁾	3837	4379	4379
Seljanovci†	2376	2872	2872
Kreis Plevena.			
Bjezanovo†	2107	2580	2580
Dramaci†	3249	2739	2739
Lukovit†	2292	3020	3020
Machlata†	2204	2601	2601
Plevna (Plevna)	11474	14307	14307
Rakita†	3002	2249	2249
Toros†	2343	2078	2078
Trotenik†	2203	2570	2570
Kreis Loveč.			
Goljema Željazna†	2012	2058	2058 ²⁾
Lesidren*	1987	2076	2076
Letniza†	2636	3030	3030
Loveč	5978	7092	7092
Novoselo†	6156	4728	4728
Radjaveni*	1655	2363	2178
Teteven	5594	5967	5967
Trojan	6289 ²⁾	6167	3029
Ugřurcin†	3616	4070	4070 ²⁾
Vidrare†	3815	2249	2249

¹⁾ Nach amtlicher Mitteilung an die Redaktion des Hofkalenders wird die Bevölkerung von Sofia für 1890 auf 42000 berechnet. — ²⁾ Berichtigte Zahl, im Original durch Druckfehler entsteht. — ³⁾ Gemeinde. — ⁴⁾ Nach der neuen Karte: Orchovo.

Name.	1881 Ort.	1888 Ge- meinde.	Ort.
Kreis Sevlijevo.			
Gabrovo	7646	8216	7988
Gorsko-Slivovo†	2591	2855	2855
Kramolint	2054	1957	1957
Sevlijevo	8373	8859	8859
Suebin-Delf	2908	3169	3012

Kreis Trnova.			
Debelece *	1675	1966	1966
Dolnja Lipnica†	2023	1982	1982
Dolnja Orzechovica†	2830	3075	3075
Draganovo†	3872	3856	3856
Drenovo	8009	3665	3297
Gornja Orzechovica	5071	5689	5689
Jelena	5611	3411	3005
Kilifarevo†	2428	2821	2650
Ljeskovec	6423	7090	7090
Michalci†	2133	2238	2238
Polski-Senovec†	2031	2217	2217
Resen *	1970	2090	2090
Samovodeni†	2265	2662	2662
Starzica† ⁵⁾	2355	2267	2267
Sušica (Šumnica) ⁶⁾ †	2392	2125	2125
Trnjeva	2234	2286	2286
Trnova	11247	11314	11314
Zlatarica†	2293	2737	2547

Kreis Svišov.			
Bjelene†	2197	2528	2528
Brjest†	2558	2565	2565
Gigen	2189	2433	2433
Koslovec *	1775	1995	1995
Nikopol	4662	5156	4811
Svišov	11540	12482	12482
Trstenik† ⁷⁾	2628	3006	3006

Kreis Russe (Rušenk).			
Bjela†	3733	4512 ⁸⁾	4046
Glozdovo†	2288	2437	2437
Russe (Rušenk)	26163	27194	27194
Ščerklevo *	1036	3204	2457
Tetovo *	1980	2123	2123
Tutranken	7172	7926	7926
Vjetovo *	1083	2170	2170

Kreis Siliatra.			
Alfatar†	2039	2847	2400
Babuk *	1849	5397	2075
Kalipetrovo†	2216	2498	2798
Rachman-Abiklar†	2045	4410	2262
Siliatra	10642	11414	11414

Kreis Rasgrad.			
Jezerče†	2175	2330	2330
Kalovo *	1975	2085	2085
Opaka†	2359	2734	2734
Palamaren†	2204	2304	2304
Rasgrad	11625	12974	11840
Sadina†	2637	2333	2333
Torlak†	2471	2768	2768
Zarjet *	1551	2189	2189

Kreis Šumen (Šumla).			
Bjela-Rjeka * ⁹⁾	1960	4876	2128 ⁹⁾
Eski-Džumaja	9197	8616	8519

Name.	1881 Ort.	1888 Ge- meinde.	Ort.
Kreis Varna.			
Novi-Pazar	2267	3934	2420
Osman-Pazar	3832	3755	3755
Prjeslav	2770	3265	2818
Smjedovo†	2329	3685	2680
Šumen (Šumla)	23093	23161	23161
Vrbica†	2602	2834	2627

Kreis Varna.			
Baldik	3855	4272	4272
Dobrič	9567	10717	10717
Kosindia†	2033	2055	2055
Provalia	4700	5088	5088
Türkisch-Arnaut	2251	2297	2297
Varna	21555	22526	22526

Name.	1881 Ort.	1888 Ge- meinde.	Ort.
Ostrumelien.			

Kreis Tatar-Pasardžik¹⁰⁾.			
Bauja *	2095	2112	2112
Batk *	1815	1956	1956
Bracigovo *	3154	3232	3232
Doganeko-Konare * ¹¹⁾	1894	2016	2016
Ichtiman	3321	3462	3462
Kostenec ¹²⁾	2517	2625	2625
Panagurište	8510	8757	8757
Peščera	4704	4448	4448
Poibrene *	2470	2627	2627
Rakitovo *	1915	1980	1980
Tatar-Pasardžik	15425	15659	15659
Vasilica *	2654	2770	2770
Vjetren *	3135	3678	3270

Kreis Philippopol (Plovdiv).			
Baldadžii *	2089	2011	2011
Brjostovica *	1765	2113	1963
Brjesovo (Abradžar)	2170	2548	2309
Calapica *	2677	2847	2847
Goljemo-Konare	3547	3928	3492
Kalofer *	3928	3899	3899
Kalčičii * ¹³⁾	2318	2169	2045
Karlovo	7545	8036	8036
Koprivčica * ¹⁴⁾	4811	4686	4686
Kuklen *	2244	2276	2276
Perničica *	2053	2358	2230
Philippopol (Plovdiv)	33442	33032	33032
Sopet *	3775	3686	3686
Stanimaka	11784	12191	12191
Staro-Novo-Selo *	1815	1968	1968
Široka-Laka * ¹⁵⁾	2095	2100	2100

Kreis Chaskovo.			
Charmanli	2995	3214	3214
Chaskovo	13797	14191	14191
Chabibovo	2465	2732	2732
Dervent *	2342	2619	2619
Kara Alan *	2173	2269	2269
Karadžilar *	2417	2592	2515
Konbunar *	2070	2508	2224
Knučeime *	1875	2270	1985

Kreis Stara-Zagora.			
Cirpan	11573	11024	11024
Goljemo Selo *	1936	2054	2054

⁵⁾ Alter Name: Kadja-Koi. — ⁶⁾ Diesen Namen gibt das Censuserwerk, nach dem Ortsverzeichnis von 1881 wie nach der neuen bulgarischen Karte beifast aber der Ort Sušica. — ⁷⁾ Auch Türkisch-Trstenik genannt. — ⁸⁾ Auch Stara-Bjela-Rjeka. — ⁹⁾ Die Gemeinde Muchovo (2169 Einw.) ist nicht in die Tabelle aufgenommen, weil sie nach der Karte aus zerstreuten Siedelungen besteht. — ¹⁰⁾ Auch Konare. — ¹¹⁾ In dem Gebiet, das jetzt zum Kreis Solja geschlagen ist. — ¹²⁾ Im Censuserwerk von 1885 werden Kalčičii (2032 Einw.) und Bekirli (296 Einw.) getrennt angeführt, im Censuserwerk von 1888 steht aber für beide Orte nur eine Zahl. — ¹³⁾ Fraglich, ob ein zusammenhängender Ort.

Name.	1885 Ort.	1888 Ge- meinde.	Ort.	Name.	1884 Ort.	1888 Ge- meinde.	Ort.
Jelchovo*	2049	2115	2115	Kotel	6010	5668	5668
Jenina*	2259	2418	2418	Kosladža*	2120	2279	2279
Kasauluk	9469	9480	9480	Silven	20248	20893	20893
Magliž*	3072	3301	3301	Zeravna*	2146	2126	2126
Nova-Zagora	3647	3771	3771				
Selmen*	1909	1973	1973	Kreis Burgas.			
Stara-Zagora	15258	16222	16039	Aitos	3933	4444	3539
Kreis Slivan.				Anehjelo	4922	4954	4954
Gradec*	2538	2537	2537	Burgas	5865	6543	5749
Jambol	10771	11241	11241	Karnobat	5039	5811	5096
Karakli	7064	7282	7282	Sosopol*	2958	2956	2956

Rumänien 1889/90.

Der letzte Zählungsversuch Rumäniens im Jahre 1889 ist so wenig befriedigend ausgefallen, daß am 28. Juni 1890 das Ministerium des Ackerbaues und Handels, „um den Verlangen einiger auswärtigen Gesandtschaften nach Mitteilung der Zahl der betreffenden Landesunterthanen zu genügen“, eine neue Erhebung anordnete, indem „in Ermangelung anderer Mittel“ die Präfekten aufgefordert wurden, „ungesäumt“ für jede Gemeinde die „statischen Elemente“ zu erheben. Die Resultate dieser beiden Versuche sind nun in den „Date privitoare la Populațiunea Romaniei in 1889—90“ im ersten Heft des Buletin statistic general al Romaniei (Bukarest 1892) tabellarisch verarbeitet. Es ist die erste vollständige Gemeindestatistik aus der neuern Zeit. Daß die einzelnen Zahlen nicht auf Genauigkeit Anspruch machen können, steht außer Zweifel, wenn man bedenkt, daß man nicht einmal sicher weiß, wieviel Einwohner die beiden größten Städte, Bukarest und Jassy, haben. Trotzdem ist es das Beste, was wir über Rumänien haben. Dr. Paul Lehmann, ein trefflicher Kenner des Landes, schreibt uns darüber: „Die Redaktion der Ziffern, die mir recht wahrscheinlich vorkommen, ist besser, als ich es bisher gefunden habe“.

Der Umstand, daß nur Gemeindezahlen angegeben werden, die ländlichen Gemeinden zum Teil aber wohl recht ausgedehnt sein dürften, ließe es uns zweckmäßig erscheinen, nur die Städte über 2000 Einw. aufzunehmen. Rumänien ist also in gleicher Weise behandelt wie Rußland. Die Aussprache ist mit annähernder Richtigkeit in Klammern beigelegt.

Kleine Walachei.				Miail (Masil)	5198	Jasf (Jaschj, Jassy) ¹⁾	72859
Calafat	5372	Oltenita (Oltenitan)	5344	Mihaileni	3910		
Canal	10915	Pitești (Piteschtj)	12128	Neamtu (Neamtzu)	7653		
Corabia	4580	Ploesti (Ploeschj)	34474	Odobesti (Odobeschj)	3594		
Craiova	30081	Râmnicu-Sărat (Serat)	10533	Panciu (Pantschju)	2190		
Drăgășani (Dragaschani)	4145	Roșiori-de-Vede (Roschiori)	6143	Piatra	20000		
Ocnele-Mari (Oena)	3995	Slănicu (Sleniku)	4051	Roman	14157		
Râmnicu-Vâlcea (Râmniku-Valtscha)	4488	Slătina	5283	Teceuți (Tekutschi)	9261		
Târgu-Jiu (T. Zi)	4076	Târgoviște (Targovischt)	8299	Târgu-Frumos	4485		
Turnu-Severin	14669	Turnu-Măgurele (Megurele)	5995	Târgu-Oena	6525		
		Urliști (Urlists)	3619	Valului (Vaului)	7454		
		Văleni (Veleni)	3101				
		Zimnicea (Simnitscha)	4901	Dobruddscha.			
Große Walachei.				Moldau.			
Alexandria	12308	Bacău (Beko)	12675	Babadag	3101		
Brăila	46715	Bierid	20008	Chilia-Vechi (Kilia-Veko)	3075		
București (Bukureschj, Bukarest) ¹⁾	194633	Botoșani (Botoschani)	31024	Constanța (Konstansa)	7994		
Buzău (Buse)	17307	Dorohoi (Dorohoi)	9313	Hârșova (Harschowa)	2171		
Călușeni (Keleraschi)	8125	Fălticeni (Faltitschenj)	8477	Iasceva (Iasktscha)	3072		
Câmpina (Kämpina)	3538	Focșani (Fokschani)	17039	Micin (Matechin)	3360		
Câmpu-Lung (Kämpulung)	10180	Galati (Galats)	59143	Mangalia	7888		
Curtea-de-Argeș (Argesch)	2881	Hârșiliu (Hürlio)	4132	Medgidia (Medeschia)	1942		
Olăsești (Gaseschtj)	2221	Herța (Hertsan)	2919	Ostrovu	2194		
Giurgiu (Dschirudschiu)	12559	Huși (Huschj)	12660	Sulina	4317		
				Tulcea (Tultsches)	17257		

¹⁾ Nach amtlicher Mitteilung an die Redaktion des Hofkalenders hat Bukarest wahrscheinlich 220000 und Jassy 80- bis 90000 Einw.

Russisches Reich.

Rufland 1889 bzw. 1885.

Unsre Tabelle beruht zum weitaus größten Teil auf amtlichem Originalmaterial. Die Zahlen für 1889 sind entnommen dem „Jahresbericht des Medizinal-Departements des Ministeriums des Innern für 1889“ (St. Petersburg 1891, russ.). Die in manchen Gouvernements zahlreichen Lücken wurden durch die „Sammlung von Nachrichten über Rufland für 1884—85“, herausgegeben vom Statistischen Komitee des Ministeriums des Innern (St. Petersburg 1887, russ.), ausgefüllt. Es ist dies jedenfalls die vollständigste Ortsstatistik, die wir von Rufland besitzen, und sie bildet wohl auch die Grundlage für die spätern Berechnungen vonseiten des Medizinal-Departements. Alle daraus entlehnten Zahlen sind mit * bezeichnet. Was noch mangelte, wurde aus Suworins Russischem Kalender für 1892 genommen; bei den betreffenden Zahlen steht entweder ein Verweis, oder sie sind, wenn die im Jahrgang VII mitgeteilten Zahlen sich nicht verändert haben, eingeklammert.

Von der Zuverlässigkeit der amtlichen Quellen darf man keine zu hohe Meinung haben. Die Berechnungen des Medizinal-Departements sind wohl vorzugsweise nur auf Grund der natürlichen Volksbewegung ausgeführt, und es ist jedenfalls ganz unsicher, wie weit auch die Wanderungen berücksichtigt wurden. Manchmal findet man, wenn man die Sammlung des Statistischen Komitees und den Medizinalbericht für 1888 zum Vergleich heranzieht, ganz unerklärliche Sprünge; auf einige der krassesten Beispiele (besonders im Gouvernement Samara) wird in den Fußnoten hingewiesen werden. Hier und da werden 1889 einfach die Zahlen für 1888 wiederholt (z. B. im Gouvernement Orenburg), ohne daß irgendeine Bemerkung darüber aufklärt. Über die Herkunft derjenigen Bewohnerzahlen, die nur in Suworins Kalender stehen, weiß man gar nichts.

Ein Vergleich mit der Tabelle im Jahrgang VII ist in zahlreichen Fällen unstattbat. Dieselbe stammt aus Suworins Kalender für 1882, und dessen Angaben stehen häufig in schroffem Widerspruch mit jenen des deutschen St. Petersburger Kalenders. Durch die oben genannte Arbeit des Statistischen Komitees ist es nun erwiesen, daß vor 1887 der russische Kalender viel unzuverlässiger war, als der deutsche.

Nachdem die südslawische Orthographie für die slawischen Balkanländer auch auf den Karten Eingang gefunden hat, muß man sich derselben wohl auch für die russischen Namen bedienen, schon aus dem Grunde, um die greuliche Konsonantenhäufung zu vermeiden. Man beachte also besonders, daß das weiche s mit z und ts (oder z) mit o wiedergegeben wird (ck also zk), nur das w haben wir statt v beibehalten.

Alle Marktstellen sind mit * kenntlich gemacht.

Nördliches Großrussland ¹⁾ .		Gouv. Wologda.		Nowgorod	
Gouv. Archangelsk.		Grjazowec	2337	Staraja-Russa	14376
Archangelsk	17802	Jarensk	1302	Tichwin	6399
Cholmogory	1116	Kadnikow	1415	Ustjužna	7748
Kem	2218	Krasnoborsk	676*	Waldai	4465
Kola	765*	Lalok	695*	Gouv. Pskow.	
Luda*	619*	Nikolok	1957	Alexandrowsk*	2944*
Mezen	1731	Solwyčegodsk	1357	Cholm	5360
Nenokss*	1154*	Totma	3449	Noworžew	2372
Onega	2768	Ust-Sysolsk	4417	Opocka	5845
Pinega	1113	Welikij-Ustjug	8912	Ostrow	4946
Šenkursk	1301	Welsk	1485	Porchow	4409
Suma*	1472*	Werchowazsk*	585*	Pakow	23721
Una (Unskij)*	478*	Wologda	17795	Soley*	5903*
Gouv. Olonec.		Zentrales Großrussland.		Toropeč	6873
Kargopol	2592	Gouv. Nowgorod.		Welikije-Luki	7591
Lodeinoje Pole	1449	Bjelozersk	4561	Gouv. Twer.	
Olonec	1576	Borowici	10944	Bjelezk	6965
Petrosawodsk	10920	Čerepowec	6055	Kaljazin	8152
Powjenc	776	Kirilow	4450	Kašin	6833
Pudož	1227	Krestcy	2876	Korčowa	3438
Wytegra	3085	Malo-Wisrskij*	4076*	Ostakow	11914

¹⁾ Nur hier sind alle Städte und Flecken ohne Rücksicht auf die Bewohnerzahl aufgenommen.

Pogorjeloeje Gorodišče *	2129 *
Riżew	30130
Starica	4689
Toržok	14629
Twer	40657
Wesjegonsk	2818
Wyšnj-J-Wolodek	15909
Zubcow	4435

Gouv. Jaroslaw.

Danilow	3816
Jaroslaw	81504 ³⁾
Ljubim	3498
Mologa	6883
Myškin	2877
Poščonja	3925
Romanow-Borisoglebsk	8698
Rostow	17462
Ryblensk	32486
Uglič	13892

Gouv. Kostroma.

Buj	2232
Cuchloma	2027
Galič	5908
Jurjewec Powolskij	2961
Kinesma	4085
Kologriw	2118
Kostroma	31981
Luch	1995 *
Makarjew a. d. Unsa	5756
Nerechta	3327
Ples	2461 *
Pučeš *	2315 *
Soligalič	3372
Wetluga	4523

Gouv. Nižagorod.

Ardalow	5312
Arzamas	10365
Balschna	4581
Gorbatow	3216
Lykowo	7817 ³⁾
Nižnij-Newgorod	73196 *
Počiuki	7614 *
Semenow	3084
Wasiljursk	2946
Worsma	3413 ⁴⁾
Wykunnskij	5902 ⁵⁾

Gouv. Wladimir.

Alexandrow	5692
Gawrilow *	2033 *
Gorochowec	2735
Iwanow-Woznesensk	20910
Jurjew-Polskij	5261
Kiržac	3431
Kowrow	6547
Melenki	5993
Murem	13992
Pereslawl	8642
Pokrow	4634
Sudogda	2324
Sudal	6991
Suša	18920
Werkucy	(5327)
Wjarniki	4762
Wladimir	20709

Gouv. Moskau.

Bogorodsk	2716
Bronnicy	7854

Dmitrowak	9298
Klin	5415
Kolomna	26682
Moskau (Moskwa)	798742
Možaisk	4540
Pawlowskij *	6898 *
Podolsk	10934
Rusa	6028
Sergijewskij *	29342 *
Sorpuchow	23018
Werjeja	5483
Zwenigorod	2411

Gouv. Smolensk.

Bjelyi	9199
Dorogobuž	8486
Duchowščina	3847
Gżatsk	7009
Jelnja	4820
Juchnow	3662
Krasnyj	4388
Porcieje	5901
Roslavl	10885
Smolensk	36873
Syčewka	5269
Wjazma	16801

Gouv. Kaluga.

Alexandrowsk	(2734)
Borowak	10091
Keluga	40489
Kozelsk	5926
Lichwin	2700
Malojaroslawec	4479
Medyn	8139
Mežowsk	5129
Mosalsk	2412
Peremyšl	3142
Serpejsk	1978
Suchtschi	6520
Taruska	2549
Žizara	11892

Gouv. Tula.

Alexin	5713
Bjelsk	9869
Bogorodick	7993
Čern	3749
Jafromow	10088
Jepifan	6429
Kahira	5070
Krasplwna	2449
Nowosil	4522
Odojew	5665
Tula	65452
Wenew	3496

Gouv. Rjasen.

Dankow	2745
Djediniowo	(6596)
Jegorjewsk	6690
Kasimow	15769
Michailow	3882
Pronsk	1971
Ranenburg	4484
Rjasen	30437
Rjażak	4773
Sapożok	3461
Skopin	10904
Spassk	4524
Zareisk	6017

Gouv. Penza.

Čember	5242
Gorodišče	4443
Insar	4647
Kerensk	11705
Krasno-Slobodsk	8372
Mokšan	13162
Narowčat	4855
Nižnij-Lomow	9482
Penza	47463
Saranak	13712
Šikkejew	4038
Troick	6285
Werchnij-Lomow	7438

Gouv. Tambow.

Borisoglebsk	17665
Jelatma	8336
Kedow	7258
Kirsanow	7193
Kozlow	34986
Lebedjan	6382
Lipeck	15068
Morjansk	21951
Spassk	6929
Šack	7881
Tambow	39704
Temnikow	6930
Umen	7990

Gouv. Orel.

Bolchow	26165
Brjansk	19669
Dmitrowak	6878
Jelec	35027
Karačew	14852
Kromy	3078
Liwny	20358
Malo-Archangelsk	4036
Mezensk	16028
Orel	76496
Sjewsk	8255
Trubčewsk	5090

Gouv. Kursk.

Bjelgorod	22957
Borisowka	(16288)
Dmitrijew a. d. Swapa	4652
Fatež	6011
Grajworon	5686
Koroča	9726
Kursk	52386
Lgow	4511
Mitropolje	3289 *
Newyj-Oskol	2413
Obojan	9750
Putiw	11791
Rylka	14713
Ščigry	5766
Stary-Oskol	9742
Sudža	5604
Tim	5147

Gouv. Woronež.

Alexjewka ²⁾	(14069)
Birjuč	4463
Bobrow	3536
Bogučar	4116
Buturlinowka ⁴⁾	(21694)
Gorodišče	3052 ⁴⁾
Kalita	6496 ⁴⁾

²⁾ Diese Zahl erregt Bedenken. Die offiziellen Statistiken geben für 1865 34799 und für 1866 59102 Einw. — ³⁾ Suworin, 1866. — ⁴⁾ Suworin, ohne Angabe des Jahres. — ⁵⁾ Auf Petermanns Karte in Stielers Handatlas: Alekŭjewka. — ⁶⁾ Ebendasselbst: Petrowskoje.

Nitnedjewiek	2694
Nowocheperak	5720
Ostrogolsk	8112
Pawlowak	5692
Waluki	4396
Woronez	61336
Zadonak	6774
Zemljansk	3869

Ostseeprovinzen.

Gouv. St. Petersburg.	
Carakoje-Selo	16838*
Gadino	11587*
Gdow	2184
Jamburg	4238
Kolpino*	8076*
Kronstadt	42603*
Luga	3324
Narwa	11197
Nowaja-Ladoga	4159
Oranienbaum	3350
Pawlowak	3702*
Peterhof	9516*
St. Petersburg	9544007)
Schiffselburg	3670

Gouv. Estland⁹⁾

Hapsal	2865
Rewel	52108
Weissenstein	2039
Wesenberg	3719

Gouv. Livland⁹⁾

Arensburg	3568
Dorpat	31218
Fellin	5352
Pernau	13529
Riga	178990
Walk	4484
Wenden	4372
Werro	2947
Wolmar	2575

Gouv. Kurland⁹⁾

Bauke	7085
Friedrichstadt	6806
Goldingen	9192
Hasenpot	4083
Jakobstadt	6091
Libau	32538
Mitau	28133
Tuckum	7100
Windau	6609

West-Rußland.

Gouv. Kowno.

Kowno	51624
Nowo-Alexandrowak	6927

Ponewjez	17662
Rossieny	16630
Šadow	4063*
Šawii	21267
Taurogen	(4720)
Telši	11601
Widsy	6052*
Wilkomir	16370

Gouv. Wilna.

Diana	7989
Draja	5524*
Lida	7546
Osmjany	5166
Radoškowiči	2631*
Swencjany	8014
Troki	2421
Wileika	4076
Wilna	109526

Gouv. Witebsk.

Drissa	3716
Dünaburg	72286
Gorodok	5739
Lepel	6768
Ljucien	6167
Newel	8555
Poiock	20064
Rječica	12119
Sebež	3109
Suraz	5067
Weliš	17976
Witebsk	58495

Gouv. Mohilew.

Bjehow	6331
Causai	5695
Cerikow	4606
Czeresk	(3396)
Gorki	6597
Homel (oder Gomel) ¹¹⁾	29437
Kimelowi	3576
Kopy	3561
Mohilew	44183
Metislaw	8447
Orša	6022
Rogačew	6095
Sjenno	5196
Sklow	(10630)

Gouv. Minsk.

Bobruisk	58056
Borisow	18103
Dokleij	5103
Igumen	4381
Minsk	70765
Mozyr	11089
Neuwiž	8658

Nowogrudok	13565
Pinsk	28981
Rječica	7245
Sluck	19687

Gouv. Grodno.

Bjelostok	56611
Bjelsk	6918
Brest-Litowsk	45137
Brjansk	2314*
Goniendz	4346*
Grodno	45191
Janow	2727*
Kieščeli	1998*
Knyšin	6840*
Kobrin	9345
Narew	2826*
Prużany	8025
Slonim	23064
Sokoika	5696
Suchowolja	3503*
Wasilkow	2690*
Wolkowsk	6584

Gouv. Wolhynien.

Dubno	7482
Kowel	14517
Kremenec	11398
Luck	14165
Nowograd-Wolynsk	14308
Ostrog	16891
Owruc	6770
Radiwiliw	(7350)
Rowno	7946
Starokonstantinow	18921
Wladimir-Wolynsk	8185
Zaslavl	10757
Zitomir	57224

Gouv. Podolien.

Balta	27419
Bar	13434*
Bracław	10087
Chmelnik	12228*
Gajein (oder Hajsin)	9696
Jampol	5744
Kamenec-Podolak	35067
Letiŭec	7327
Litja	10115
Mohilew	20970
Nowaja-Ušica	4783
Olgopel	8264
Proskuraw	20029
Salnica	2451*
Stara-Ušica	4346*
Tulčin	(1217)
Werbowec	2036*
Winnica	20002

7) Endgültiges Ergebnis der Zählung vom 15./27. Dezember 1890. Das Censusergebnis ist 1891 und 1892 in 5 Foliobüchern mit Karten und Diagrammen erschienen. Die Zählung bezog sich nur auf die eigentliche Stadt. 1891 hatte diese 961303, und 1892 667963 Einw. Mit den Vorstädten hat St. Petersburg jedenfalls schon die Million überschritten; das Medizinische Departement gibt auch für 1889 1 003 679 Einw. an, aber diese Zahl kann dem Censusergebnis nicht vorgesogen werden, weil man nicht weiß, auf welchen Umfang sie sich bezieht. — 8) Krähnbühl (1 km oberhalb Narwa), das im Jahrgang VII mit 7938 Bew. aufgeführt wird, erscheint in keinem Verzeichnisse und ist vielleicht mit Narwa vereinigt. — 9) Die „Ergebnisse der Hivändischen Volkszählung vom 29. Dezember 1881“ sind von Fr. v. Jung-Stilling und W. Andérsen bearbeitet worden und 1882—84 in Riga erschienen. An der Hand derselben können wir bei einigen Städten die Bewohner der dazugehörigen Patrimonialgebiete (P. G.) auscheiden und unsere Liste durch die größeren ländlichen Ansiedlungen (*) vervollständigen.

Arensburg	3454	Pernau	12966	Wenden	3457 (mit P. G. 4269)
Dorpat	29974	Riga	163529	Werro	2697
Dünabünde und Boiderna*	4248	Tschorna*	2679	Wolmar	2364 (mit P. G. 2504)
Fellin	5325	Walk	3695 (mit P. G. 4200)	Zintebuf*	2015

¹⁰⁾ Selburg, nach Jahrg. VII mit 8482 Einw., steht in keinem neuen Verzeichnisse mehr und ist nach Semenowa Geogr.-Stat. Lexikon d. Russ. Reichs (Bd. II, S. 270) nur ein Schloß. — ¹¹⁾ Mit der Vorstadt Bjelsk.

Kleinrussland.**Gouv. Kijew.**

Berditſew	78287
Boguslaw	(8923)
Cerkasy	21425
Cigirin	16841
Kanew	8887
Kijew	186041
Lipowec	7691
Radomysl	7620
Skwira	15712
Taraſſa	15055
Uman	22842
Wasilkow	17794
Zwenigorodka	12515

Gouv. Černigow.

Baturin	(3580)
Berensaje	11086*
Borzna	10262
Cernigow	26815
Čorowic*	4092*
Dobryjanka	9368*
Gluchow	16969
Gorodnja (od. Horodnja)	3829
Jelionka*	3709*
Klimow*	6605*
Klincy*	11635*
Konotop	18420
Korop	5463*
Koseloc	4882
Krowec	12706*
Laſky*	5701*
Mglin	8412
Mitkow*	2380*
Njeſin	44582
Nowgorod-Sjewersk	8005
Nowozybkow	14348
Oster	3285*
Pogor	3944*
Sosnica	6723
Starodub	24841
Smraſt	5187
Swjackij*	2991*
ſelomy	2842*
Sostna	(3690)
Timoſin-Perewos*	2304*
Wornock	5771*
Zlynka*	9948*

Gouv. Poltawa.

Chorol	6631
Gudjač (Hadjač)	10278
Glinak (Hlinak)	4575*
Gradiſkač (Hradiſkač)	10586*
Kohalskij	15421
Konstantinograd	8320
Kremenčug	58730
Lochwin	10409
Lubny	10569
Mirgorod	12352
Perjanlaw	13196
Pirjatin	6356
Poltawa	43001
Priluki	16733
Romny	19955

Zenkow	14431
Zolotonos	9552

Gouv. Charkow.

Achtyrka	25870
Bjelopolje	12803*
Bjelowodak	(7904)
Bogoduchow	11525
Charkow	194702
Čugujew	10147*
Iſjum	21533
Krasnokntak	6087*
Kupjansk	3319
Lebedin	12123
Nedrigajlow	6694*
Slawjansk	16183*
Starobjelsk	11804
Sumy	19818
Walki	6032
Wołčansk	6023
Zmijew	6235
Zoločew	6584*

Südrussland.**Gouv. Bessarabien.**

Akterman	43943
Ataki	(5930)
Bondery	31005
Bjelej	10057
Boigrad	8179*
Čhotin	20070
Ismail	34308
Kagul	9880*
Kilija	8014*
Kikins	116355
Loowo	(2422)
Nowossilica	(3009)
Orgjejew	6689
Papnol	2916*
Reni	6077*
Soroki	11944
Šaby*	4043*
Turiaki	5702*
Wilkow	2784*

Gouv. Cherson.

Alexandrija	9930
Ananjew	13812
Beresnegowaty*	4297*
Beresowka	28754
Berislawl	11093
Bobrinec	10680*
Bogojawlenskoje*	6970*
Cherson	64749
Dnubosary	9697*
Grigorjopol	8656*
Jelissenawograd	60217
Kalinowka*	3277*
Majaki	3740*
Nikolajew	75840
Nowaja Praga	10421*
Nowogorogiwsk	8694*
Nowomirgorod	3280*
Očakow	8032*
Odeſsa	284985
Oliwopol	5368*

Owidiopol	5776*
Tiraſopol	21585
Wisunsky*	5057*
Wołkresensk*	3094*
Wosnesensk	11629*

Gouv. Taurien.

Aleſki	9925
Bachčisaraj	15644
Belaklaw	2347*
Berdjansk	23593
Dejaprowsk	(8187)
Eupatoria	17314
Feodosia	16172
Jalta	4764
Karasubazar	13843
Kerč-Jenikole	30892
Melitopol	8707
Nogajak	3676
Orjechow	5078
Perekop	4801
Sewastopol	33803*
Simferopol	41339
Starj-Krym	3264*

Gouv. Jekaterinoslaw.

Alexandrowek	15079
Bachmat	15377
Jekaterinoslaw	49201
Lugansk	16046
Marinopol	18607
Nikopol*	8144*
Nowomoskowsk	19106
Pawlograd	15519
Slawjanoserbsk	5049*
Werchne-Dnjeprowsk	8057

Province des Donischen Heeres¹²⁾.

Aksajkaja St.	56444)
Alexandrowsk-Grusnewskij	13157*
Alexjewskaja St.	(4791)
Azow*	16581*
Berezowakaja St.	(5701)
Besrgenewskaja St.	37814)
Bogjewskaja St.	30814)
Cimljanskaja St.	23364)
Čerkaskaja St.	50704)
Filinowakaja St.	22114)
Grusnewskaja St.	30734)
Jegorjckaja St.	27134)
Jalanskaja St.	(11275)
Jesaulowakaja St.	23004)
Jetrowskaja St.	24794)
Kačalinskaja St.	31204)
Kagalnickaja St.	38384)
Kamenskaja St.	43034)
Kasanskaja St.	42394)
Kobylinskaja St.	(3677)
Konstantinowakaja St.	23174)
Kremenskaja St.	98734)
Luganskaja St.	(14699)
Manyčanskaja St.	37304)
Mečtanskaja St.	34374)
Melechowskaja St.	42514)
Michailowakaja St.	(17848)
Migulinskaja St.	(18689)

¹²⁾ Das Statistische Komitee hat in seiner Sammlung von 1885 die Kosakenkolonien (Stanizen, in der Tabelle ist Stanica mit St. bezeichnet) nicht berücksichtigt; dasselbe thut auch der deutsche Kalender. Alle Zahlen sind aus Bzworin genommen; sie beziehen sich angeblich auf das Jahr 1885, was aber ganz unsicher ist, da sich darunter viele ältere Angaben befinden. Zu beachten sind die oft bedeutenden Abweichungen gegen die Zahlen im Jahrgang VII; über den Grund derselben sind wir freilich gar nicht unterrichtet. Die Tabelle enthält nicht weniger als 17 neue Stanizen. Durch die Einverleibung des untern Dongebiete (s. Jahrgang VIII, S. 49) hat übrigens die Provinz auch mehrere große Städte gewonnen.

Nachicewan a. D.	17347 *
Nikolajewskaja St.	28664
Nižnecirskaja St.	40554
Nowo-Cerkask	32984
Nowonikolajewskaja St.	25564
Olginskaja St.	28974
Raspopsinskaja St.	(10353)
Rasdotskaja St.	34934
Rostow a. D.	66781
Taganrog	48999
Urjupinskaja St.	32664
Ust-Bjeloe-Kolltzenskaja St.	21874
Ust-Medwedjickaja St.	34624
Werchnecirskaja St.	(10105)
Wesinskaja St.	20864

Cartum Kazan.**Gouv. Wjatka.**

Glasow	1986
Iżewski	21500 ¹³⁾
Jaransk	3171
Jelabuga	10191
Kotelnič	4163
Malmja	3666
Nolinsk	5967
Orlow	2546
Sarapal	15751
Slobodskoj	7523
Urżum	6187
Wjatka	25795

Gouv. Perm.

Alapsjewsk	8384
Čerdyn	3858
Dedjuchin	4826
Dolmatow	2103
Irbit	5741
Jekaterinburg ¹⁴⁾	36750
Kamyšlow	4636
Krasno-Ufimsk ¹⁵⁾	5294
Kungur	12106

Osa	3251
Perm ¹⁶⁾	35729
Solikamak	4782
Šadrinsk	16338
Werchotweje	2712

Gouv. Ufa.

Belebey	4464
Birak	8091
Menselinsk	6562
Sterlitamak	10113
Ufa ¹⁷⁾	29914
Zlatoust	19916

Gouv. Kazan.

Čeboksary	4818
Cistopol	25102
Jadrin	2915
Kazan	135577
Kosmodemjansk ¹⁸⁾	5291
Laičew	5447
Mamady	5279
Maritsinsk ¹⁹⁾	4796 *
Spassk	2243
Swižžak	2952
Tetjuch	4801
Troick ²⁰⁾	2583 *

Gouv. Simbirsk.

Alstyr	10092
Aratow	4652
Buinak	5452
Karsun	5621
Kurmyš	2488
Sengilaj	5195
Simbirsk	59064
Syzran	30580

Gouv. Samara.

Bugulma	12895
Buguruslan ²¹⁾	20511
Besuluk ²²⁾	13606
Melekes ²³⁾	6834 *

Nikolajewsk	13795
Nowyj-Uzenak	12497
Pokrowskaja St. ²⁴⁾	200004
Samara ²⁵⁾	75127
Sergijewsk	2710 *
Stawropol	5165

Cartum Astrachan.**Gouv. Saratow.**

Atarsk	7915
Balanda (Dorf)	(6659)
Balašow	11030
Chwalynsk	22642
Čarjyn	37526
Dnbowka ²⁶⁾	14543 *
Jelan	(6964)
Kamyšin	15015
Kuneck	23051
Petrowak	16885
Saratow	119522
Sarepta	(5647)
Serdobak	7659
Welak	38550
Znamenskoe	(5695)

Gouv. Astrachan.

Astrachan	73710
Carew	6860
Černyj Jar	5070
Jenotajewsk	2450
Krasnyj Jar	6230
Nikolajewskaja Sloboda	(14429)

Gouv. Orenburg.

Čaljabinsk	10719
Iletskij-Gorodok	7355 *
Orenburg	52719
Orak	21788
Saitowkij ²⁷⁾	6775 *
Troick	19036
Werchne-Uralak	13345

Polen 1890.

Quelle: „Stand der Bevölkerung der 10 Gouvernements des Cartums Polen am 1. Januar 1890“, herausgegeben vom Statistischen Komitee in Warschau 1890 (russ.). Die städtische Bevölkerung ist hier von der ländlichen geschieden; von der letztern wird nur die Bevölkerung der Gemeinden angegeben, die jedenfalls, wie man aus den Zahlen ersieht, sehr ausgedehnt sind und mit den Städten nicht in eine Linie gestellt werden dürfen²⁸⁾. Wir haben sie daher nicht berücksichtigt, außer für ein paar Marktflecken (*), während wir für andre, die dort fehlen, die Ortsstatistik des russischen statistischen Komitees (s. S. 76) zur Ergänzung heranziehen mußten. Diese Zahlen beziehen sich aber auf 1885 und sind mit * bezeichnet.

Polen gehört seiner mittlern Dichtigkeit nach noch zu denjenigen Ländern, für die wir als untere Grenze 5000 angenommen haben; als Zeitpunkt ist dabei die Gegenwart gedacht, so daß auch Orte nahe an der untern Grenze aufgenommen wurden. Die Orthographie ist die polnische.

¹³⁾ Der russische Kalender von 1882, welcher der Tabelle im Jahrgang VII zu Grunde liegt, gab fälschlich 2048 an; die jetzt aufgenommenen Zahl bezieht sich nach einer Bemerkung im Kalender von 1885 auf das Jahr 1879, aber auch das ist offenbar unrichtig, denn nach Semenows stat. Lexikon (Bd. II, S. 309) hatte Iżewski schon 1859 21487 Seelen. Unsere Zahl ist offenbar nur durch Abrundung daraus entstanden. — ¹⁴⁾ Eine Revision ergab 1887 37309 Einw.; 1888 war die Zahl der Todesfälle größer als die der Geburten. — ¹⁵⁾ Nach einer Zählung am 18. (30.) Nov. 1887: 5285. — ¹⁶⁾ Nach dem deutschen Kalender 1890: 39281. — ¹⁷⁾ Eine Zählung am 16. April 1886 ergab 26976. — ¹⁸⁾ Bei der Angabe für Kosmodemjansk dürfte ein Druckfehler vorliegen. Für 1888 gibt das Medziandepartement 9652, für 1885 die Statistik 9205 Einw. — ¹⁹⁾ Im Original 10511, ohne Zweifel Druckfehler (1888: 20296, 1885: 20062). — ²⁰⁾ Zweifelhafte Angabe: 1888: 19665, 1885: 19562. — ²¹⁾ Vgl. Anm. 15. — ²²⁾ Im Original 95127, offenbar ein Druckfehler, denn für 1888 gibt das Medziandepartement 73790, für 1885 die Statistik 75478. — ²³⁾ Um nur ein Beispiel zu erwähnen, so sind die beiden großen Fabriksorte Alexandrow und Konstantinow bei Lodz in der polnischen Statistik gar nicht erwähnt.

Gouv. Warschau.		Gouv. Siedlee.	
Gombin	5205	Biala	9975
Gostynin	5457	Luków	7156
Kowal*	4541*	Międzyrzecz	9858
Kutno	10056	Ostrów*	5353
Lowicz	8740	Parzew	5594
Maszczenow	5526	Siedlee	14499
Nowy-Dwor	5641	Sokolów	7151
Radymin	5015	Węgrow	7950
Skiernewice	6625	Włodawa	8132
Sochaczew	7022	Żelechów	6098
Warschau (Warsawa)	443426		
Włocławek	20135		
Gouv. Kalisz.		Gouv. Łomża.	
Działoszyń*	4792*	Kolno	5322
Kalisz	20060	Łomża	18405
Kolb	7536	Maków	6432
Konin	7143	Nasielsk	4847
Leszcy	8638	Ostroleka	6435
Oleśnica	10152	Ostrów	8380
Sieradz	7267	Pultusk	9224
Turek	7438	Tykoćcin	5303
Warta	4884		
Wieluń	5675		
Zdółka	9656		
Gouv. Piotrków.		Gouv. Plock.	
Alexandrów*	5893*	Ciechanów	7664
Bondsin	9222	Lipno	6046
Brzeziny	6993	Mława	10078
Censtochowa	27032	Plock	23568
Konstantynów*	5283*	Pionak	8291
Łask	5677	Przasnysz	8426
Łódź	125227	Sierpe	6266
Nowo-Radomsk	8832	Zakroczym	5211
Olsztyn*	4673*		
Pabianice	12795		
Piotrków	23568		
Gouv. Lublin.		Gouv. Suwałki.	
Bylgoray	7221	Augustów	9496
Chełm	11240	Kalwarya	10087
Hrubieszów	9406	Maryampol	6797
Janów	5533	Suwałki	16863
Krasnik	5090	Wilkowski	5662
Krasnostaw	7951		
Lubartów	5183		
Lublin	48475		
Szczubieszyn	5418		
Tarnobrod*	5401		
Tomaszów	7148		
Zamość	9255		

Finnland 1890.

Nach handschriftlicher Mitteilung des statistischen Zentralbureaus in Helsingfors. Aus denselben Gründen, wie in Skandinavien (vgl. S. 50), nehmen wir auch hier nur die Städte auf, aber diese ohne Rücksicht auf die Einwohnerzahl. Die Zahlen beruhen, mit Ausnahme der sechs bedeutenderen Städte, nur auf Berechnung nach den Civilstandsregistern und beziehen sich auf den 31. Dezember 1890.

Åbo	31671 ²⁴⁾	Jyväskylä	2597	Nykarleby	1097
Björneborg	9077 ²⁴⁾	Kajana	1220	Nyslott	1543
Borgå	4214	Kaskö	815	Nystad	3908
Brahestad	3339	Kemi	632	Raumo	3920
Ekenäs	1953	Kexholm	1109	St. Michel	2517
Fredrikshamn	2778	Kotka	3571	Sordavala	1336
Gamlakarleby	3302	Kristinestad	2687	Tammerfors	20489 ²⁴⁾
Hangö	2378	Kuopio	8882	Tavastehus	4644
Heinola	1292	Lovisa	1755	Tornell	1250
Helsingfors	65535 ²⁴⁾	Mariehamn	618	Uleåborg	10589 ²⁴⁾
Jakobstad	2168	Närsdal	687	Wiborg	20348 ²⁴⁾
Jocunsun	2819	Nikolaistad (Wasa)	10297	Willmansstrand	1703

²⁴⁾ Zählung der anwesenden Bevölkerung am 1. Dezember 1890.

Kokčetau	5755	Anlie-Ata	5700	Prov. Samarkand.	
Kokpekty	3503	Cimbal (1881)	1620	Chebidzent	34800
Kopal (1889)	2826	Cimkent	9080	Džinsk	21800
Lepsinsk (1889)	2133	Cinas	3006 ⁶⁾	Katta-Kurgan	16000
Omak (1889)	38008	Cust	8027	Pendikent	5896
Pawlodar (1888)	4224	Kasailinsk	5772	Samarkand (1883)	33117
Petropawlowak (1889)	16794	Kokand	54043	Ura-Tjube	14600
Pišpek (1889)	2942	Namangan	31074	Urgut	(6000) ⁸⁾
Przewalsk ⁹⁾ (1889)	3556	Nowj-Margelen (1888)	3251		
Semipalatsinsk (1888)	19310	Os	13527	Transkaspische Prov.	
Sergipol	(1044) ⁹⁾	Perowsk	5280	Alexandrowski-Fort	644 ⁶⁾
Tokmak	(1770) ⁹⁾	Petro-Alexandrowsk (1881)	820	Ašabad	10945
Ust-Kemenogorsk (1888)	6819	Starj-Margelan	25354	Kisil-Arwat	1755
Wernyi (1889)	21132	Surachan (1881)	230	Krasnowodak	665
Zaisanaki post ⁷⁾ (1888)	2515	Taškent	121410	Merw	11070
		Turkestan	3700	Uzun-Ada	561
Gen.-Gouv. Turkestan ⁸⁾					
Andiän	30620				

Sibirien 1889.

Quellen: 1) Jahresbericht des Medizinaldepartements für 1889; 2) Sammlung von Nachrichten für 1884—85 (mit * bezeichnet), die für Sibirien meist ältere Daten enthält; 3) Suworins russischer Kalender für 1892 (S). Näheres darüber findet man auf S. 76.

Gouv. Tobolsk.	Zmeinogorsk	61638	Gen.-Gouv. Amur ¹¹⁾ .	
Berezow	Zyrjanowski	(44483.)	Akša	704
Išim	Gen.-Gouv. Irkutsk ¹⁰⁾ .		Barguzin	1548
Jalutorowsk	Ačinsk	5145	Blagowiesensk	9340 *
Kurgan	Balaganak	1118	Bolserejeck ¹²⁾	(4878.)
Surgut	Ilimek	616	Chabarowka (1880)	2500 *
Tara	Irkutsk	47403	Čita	6985
Tjukalinsk	Jakutak	6499	Marinsk	(4508.)
Tjumen	Jeniseisk	6907	Nercinsk, Stadt	4906
Tobolsk	Kanak	4160	Nercinsk, Bergwerk	(2688.)
Turinsk	Kirensk	1118	Nikolajewsk (1880)	2043 *
	Krasnojarsk	16235	Ochotak (1880)	200 *
	Minusinsk	5535	Petropawlowsk ¹²⁾ (1881)	330 *
Gouv. Tomsk.	Nižne-Kolymak	192 S.	Seleginsk	910
Barnaul	Nižne-Udinsk	3998	Sofjak (1881)	922 *
Bijsk	Nochtinsk	(2508.)	Sretensk	(3058.)
Kainsk	Olekminsk	611	Troickosawsk	7838
Kolywan	Sredne-Kolymak	495	Udak (1880)	75 *
Kurneck	Turuchansk	139 *	Werchne-Kamčatsk ¹²⁾	(2108.)
Marinsk	Werchojansk	244	Werchne-Udinsk	5233
Narym	Wercholenk	993	Wladiwostok (1885)	13050 *
Tomsk	Wiljuisk	475		
	Witumak	(2108.)		

Japan 1886 bzw. 1887 und 1890.

Nach dem, was im Jahrgang VIII, S. 115 f. von der Bevölkerungsstatistik Japans gesagt wurde, kann es nicht wunder nehmen, daß auch die Ortsstatistik noch sehr wenig zuverlässig ist. Für das Ende jedes Jahres werden wenigstens für die Städte über 10000 Einw. Berechnungen angestellt, die aber stellenweise ganz seltsame Resultate zutage fördern. So hatte Sendai in der alten Provinz Rikuzen:

Anfang 1884	55321 Einw.	Ende 1889	90231 Einw.
Ende 1886	91709	„ 1890	66310 „
„ 1887	71517	„	„

⁶⁾ Früher Karakol. — ⁷⁾ Aus Suworins russischem Kalender für 1892. Die eingeklammerten Zahlen stehen schon im VII. Jahrgang. Auf welches Jahr sich die andern beziehen, ist unbekannt. — ⁸⁾ Saisan-Poeten. — ⁹⁾ Umfasst die Gouvernements Syr-Darja und Ferghana. — ¹⁰⁾ Im Original steht 33098, es muß dies aber ein Druckfehler sein, der sich allerdings auch schon in den Jahresbericht von 1888 eingeschlichen hat. 1885 hatte Tjumen 13948 Einw., und seit 4 Jahren hat es infolge hoher Sterblichkeit abgenommen. Der entscheidende Beweis für unsre Korrektur ist aber die Frequenz der Geburten und Sterbefälle 1888 636 bzw. 771, während Tobolsk mit nur 21032 Einw. 862 bzw. 922 hatte. — ¹¹⁾ Umfasst die Gouv. Irkutsk, Jeniseisk und Jakutsk. — ¹²⁾ Umfasst die Prov. Amur und Transbaikalien und das Küstengebiet. — ¹³⁾ In Kamčatska.

Derartige Sprünge sind in Wirklichkeit selbstverständlich nicht möglich und können nur auf fehlerhafte Berechnung zurückgeführt werden; es muß aber betont werden, daß obiges Beispiel nahezu vereinzelt dasteht. Trotzdem mahnt es uns zur Vorsicht, und manche auffällige Abweichungen zwischen unserer Tabelle und der im Jahrgang VI, S. 112 (für 1877), können auf mangelhafte Berechnungen zurückgeführt werden, andre aber vielleicht auch auf Unvollständigkeit unserer Quelle. Indes müssen viele Orte in den letzten Jahrzehnten auch wirkliche durchgreifende Wandlungen erfahren haben. Muya auf Schikoku, gerade gegenüber von Awaji, soll z. B. 1877 nur 1225 Einw. gehabt haben und steht weder auf Haasensteins Karte von Japan, noch wird es in Reins Werk über Japan erwähnt. 1886 hatte es aber 17075, 1887 18382 Einw., und diese Zahlen stimmen zu gut überein, als daß man da grobe Fehler vermuten könnte.

Unsre Tabelle bezieht sich auf drei Jahre; seit 1886 sind nämlich keine Bevölkerungs-zahlen für Orte unter 10000 Einw. mehr veröffentlicht worden. Die Zahlen für Ende 1887 sind mit einem *, die für Ende 1890 mit zwei * bezeichnet. Die letztern sind dem VI. Jahrgang des „Resumé statistique de l'Empire du Japon“ (Tokio 1892), die beiden ersten dem „Concise Dictionary of the Principal Roads, Chief Towns and Villages of Japan“ von W. N. Whitney, Dolmetsch bei der Gesandtschaft der Vereinigten Staaten in Japan (Tokio und London 1889), entnommen. Die alte Provinzeinteilung ist beibehalten worden, nicht nur weil sie auf unsern bedeutendsten Japankarte (Haasensteins Atlas, 1885) durchgeführt ist und daher das Aufsuchen der Orte erleichtert, sondern weil sie auch allem Anschein nach in dem Bewußtsein des japanischen Volkes noch festhätet.

Yesso ¹⁾ .					
Esaschi ²⁾	12545 *	Tateoka	5302	Nagoyasu	7353
Fukuyama ³⁾	11355 *	Tsurugasaki	19568 *	Niigata	47019 **
Hakodate ²⁾	55677 **	Yamagata	27312 *	Nuttare	7369
Nemuro ³⁾	5191	Yonezawa	28695 *	Ojiya	8429
Otarunai ⁴⁾	10818 *			Sanjo	8953
Sapporo ⁵⁾	13816 *			Schibata	12729 *
		Rikuzen.		Schirane	4908
		Furukawa	6614	Senda	5741
		Ischinomaki	15159 *	Takata	24511 ¹⁾
		Iwanuma	5040	Teradomari	5420
		Kesennuma	5140	Tokamatschi.	5531
		Sanuma	5820	Yeita	5442
		Sandai	66310 **		
		Tome	5408	Insel Sado.	
		Wakayanagi	5803	Aikawa	11431 *
		Wakuya	7793	Etchu.	
				Ikuji	5012
			Iwaki.	Imaisrugi	7828
		Miharu	6050	Inami	5164
		Schiratschi	5251	Iwase (Higashi-1.)	6208
		Schirakawa	9600	Mizuhashi	6230
		Taira	5828	Mizumi (Himi)	10595
			Iwaachiro.	Namerikawa	8896
		Fukuschima	9721	Takasaka	19865 *
		Kitakata	5478	Tomari	4846
		Koriyama	6412	Toyama	58585 **
		Motomiya	5948	Utsun	11406 *
		Nihonmatsu	8015	Yatsuo	6267
		Sugakawa	6780		
		Wakamatsu	20487 *	Noto.	
				Nanao	8965
			Etschigo.	Wajima	10034 *
		Gosen	4834	Kaga.	
		Itoigawa	5275	Daischoji	8944
		Isumotaki	5093	Kanatschi	9254 *
		Kamo	5109	Kanazawa	94666 **
		Kaschiwasaki	8545	Komatsu	12793 *
		Kataaki	4953	Matanto	5154
		Murakami	10805 *	Mikawa	5524
		Muramatsu	7190		
		Nagaoka	15572 *		
Nippon ⁶⁾ .					
Mutsu (Rikuoku).					
Ajtsawa	4806				
Aomori	15163 *				
Gonoha	4846				
Hatschinohe	10632 *				
Hirosaki	30316 **				
Knrotschi	6197				
Schitschinohe	4997				
Rikutschiu.					
Hanawa	5780				
Iwal	4969				
Midauaawa	5408				
Morioka	31868 **				
Ugo.					
Akita	30343 *				
Honjio	7080				
Noschiro	10167 *				
Odote	7165				
Omagari	5131				
Sakata	20476 *				
Tentschianski	9274				
Yokote	8111				
Yusawa	6667				
Uzen.					
Sagaye	5395				
Sehinjo	10546				
Tanitschi.	7902				

¹⁾ Die Provinzen Kusehiro, Kidami, Tosechio, Tokatschi, Hidaka und Iburi haben keine Orte mit 5000 Einw. — ²⁾ Prov. Oshima. — ³⁾ Prov. Nemuro. — ⁴⁾ Prov. Schiribetschi. — ⁵⁾ Prov. Ischikari. — ⁶⁾ In den Provinzen Schima und Kawatschi fehlen größere Orte. — ⁷⁾ Takata soll 1887 nach Whitney 36370 Einw. gehabt haben, eine solche enorme Steigerung ist aber um so unwahrscheinlicher, als es von dem Resumé stat. nicht mehr unter den Städten mit mehr als 30000 Einw. angeführt wird.

Etschisan.		Sekiyado	4066	Okasaki	13226 *
Fukui	40159 **	Tschiba	19185 *	Toyohaschi	11506 *
Katsuyama	6583	Tachoschi	25298 *	Owari.	
Ono	9864	Yokatschiba	4824	Atsuta	17025 *
Sakai	9466	Yuki	7999	Biwaschima	5750
Takefu	11964 *	Kazusa.		Handa	5100
Tsuruga	11621 *	Kisaratsu	5625	Inagi	6682
Mino.		Naka-Uotschigo	5759	Itachinomiya	9548
Gifu	24699 *	Awa.		Kamezaki	6012
Hatschiman	5047	Schirahama	4815	Nagoya	170433 **
Kamo	4949	Musaschi.		Narumi	6278
Kasamatsu	5507	Fukaya	5256	Seto	5076
Ogaki	16248 *	Hatschoji	17359 *	Tokoname	6078
Seki	6688	Honjo	7721	Ise.	
Tajimi	5014	Iwatsuki	5800	Kameyama	5414
Takegahana	5340	Kanagawa	11897 *	Knwana	16348 *
Hida.		Kasukabe	5288	Metsusako	12575 *
Funatsu	10166	Kawagoye	15839 *	Tan	15597 *
Funakawa	5050	Konosu	5887	Yamada	21607 *
Kami-Takaramura-Zaiko	5301	Kumagaya	10461	Yokkatschi	12767 *
Takayama	13579 *	Naito-Schinjuku	6140	Iga.	
Schinano.		Omori	9040	Uyeno	12856 *
Ida	13463 *	Sate	4939	Yamato.	
Iyama	6175	Schinagawa	17186 *	Koriyama	13242 *
Matsumoto	21859 *	Senji	13115 *	Nera	23288 *
Matsuschiro	7404	Tokio	1155290 **	Yamashiro.	
Nagano	25698 *	Tokoroazawa	5734	Fuschimi	20574 *
Uyeda	16099 *	Urawa	6415	Kioto	289588 **
Kotsuke.		Yokohama	127987 **	Yawata	5809
Fujioka	5098	Sagami.		Oni.	
Iesaki	5947	Fajisawa	6596	Hatschiman *)	6610
Mayebaschi	32129 **	Odawara	14249 *	Hikone	18357 *
Takasaki	18756 *	Uraga	7450	Minakutschi	4969
Tatebayaschi	8439	Yokosuka	23037 *	Nagahama	8322
Schimotoauke.		Kai.		Otsu	31127 **
Aschikaga	13854 *	Katsuramura-Kounma	6224	Takamiya	5075
Aschio	6309	Kofu	32052 **	Wakasa.	
Kanuma	8922	Suruga.		Obama	9649
Mibu	4845	Ejiri	5500	Tango.	
Sano	6815	Fujieda	7066	Maldsura	8258
Totachigi	5591	Numazu	10352 *	Miyata	8380
Utsunomiya	30831 **	Schimada	8599	Tamba.	
Hitatschi.		Schinoka	38246 **	Fukutechiyama	5309
Itschloka	8937	Izu.		Sasayama	4884
Kasama	4991	Mieschima	8694	Setau.	
Minato	9691	Schimoda	4883	Amgasaki	12756 *
Mito	19582 *	Totomi.		Hirano	7086
Ota	5474	Hamamatsu	13190 *	Ikeda	5977
Toschimo	5103	Kakagawa	5546	Itami	5816
Teutschlura	10295	Kanaya	4880	Kobe (Hiogo)	136968 **
Schimosa.		Mitenke	5119	Nischinomiya	11231 *
Funabaschi	10639 *	Mikawa.		Osaka	473541 **
Koga	8647	Nischio	5433		
Sakura	5593	Ohama	5441		
Sawara	9138				

*) Diese Zahl bezieht sich nur auf die eigentliche Stadt, d. h. auf die 15 Ku; Whitney rechnet dazu noch 6 vorstädtische Distrikte (Gori), über die wir nichts Näheres wissen, und merkwürdigerweise sogar die Sieben- und Boniu-Inseln! Danach hätte Tōkio 1886 1 538 121 Einw. gehabt, was aber nicht mit der Summe der Ku und Gori übereinstimmt. Nach dem Prinzip der kombinierten Ortszahl sollten auch die Städte Senji, Schinagawa, vielleicht auch Itabashi hinzugegerechnet werden (vgl. Refn. Japan II, S. 555), und wir hätten dies auch getan, wenn wir für alle Orte gleichzeitige Angaben hätten. Nur für Ende 1886 läßt sich eine solche Tabelle nach Whitney aufstellen, wobei aber die Zahlen für Tōkio zweifelhaft sind:

Tōkio (Ku)	1 121 883	Senji	12505
Tōkio (Gori)	416 298	Schinagawa	15874
Itabashi	4349		

Summa 1 570 849

Demnach dürfte Tōkio im weitesten Sinne schon 2 000 000 Einw. zählen. — *) Auf Hassenscheins Karte Yawata.

Isumi.		Hiroschima	91000**	Nobeoka	13578
Kaidauka	5098	Kure	11160	Obi	4963
Kiechiwada ¹⁰⁾	12879*	Otake	5524	Satsuma.	
Sakai	45563**	Tadanoumi	6253	Kagoshima	56643**
Sano	6080	Yano	5944	Yusuki (Ibusuki)	5465
Kii.		Suo.		Higo.	
Owaschi	5483	Iwakuni	10209*	Goryo	5688
Schingu	9590	Kuga	8129	Goshonoura	5547
Tanabe	6281	Mitajiri	6098	Kumamoto	54357**
Wakayama	56049**	Tokuyama	11511*	Nagasu	6762
Yuwasa	9295	Yamagutschi	12640*	Noboritate	5276
Issel Awaji.		Nagato.		Schimo-Matsukama	5670
Fukura	5771	Akamagasaki	30787**	Uchihuka	7687
Iwaya	4886	Hagi	21048*	Yamaki	5542
Sumoto	8948	Nako	5138	Yatsushiro	10069
Yura	7069	Toyouura	6324	Tschikugo.	
Harima.		Schikoku.		Hoschino	5600
Akeshi	11) 18824*	Awa.		Kurumo	23982*
Himeji	25724*	Miya	18382*	Sedaka	5429
Miki	4877	Tokuschima	61167**	Yanagawa	18931*
Takasago	6519	Sauuki.		Tschikuzen.	
Tatsuno	5840	Kotohira	6342	Amagi	5429
Tajima.		Kwanonji ¹²⁾	11135*	Aschiya	5520
Idasuchi	5253	Marugame	18048*	Fukooka	53792*
Toyouka	6325	Nio	7849	Hakata	27954
Iuaba.		Sakaide	5425	Hizen.	
Tottori	25875*	Tadotsu	6198	Arita	5938
Hoki.		Takamatsu	34616**	Fukuye	8976
Kurayoshi	7095	Tonoscho	5007	Higuchi-Ariye	6272
Yoneko	12468*	Iyo.		Hirado	10775
Mimasaka.		Imaharu	13547*	Imari	6982
Tsuyama	15241*	Kawanoye	5269	Ishaya	4865
Bizeu.		Matsuyama	34563**	Kami-Hasami	5727
Okayama	45871**	Mitsugahama	6465	Karatsu	7718
Schimotsu	4933	Saijo	5595	Katsusa	7828
Bitschiu.		Uwadajima	10933*	Kawadana	6136
Kasaka	7465	Yoschida	5920	Kisebuku	6123
Karaschiki	6975	Tosa.		Kutechinotsu	6498
Nieschinoura	6104	Kotschi	32042**	Miye	6018
Takahaschi	5282	Sagawa	5272	Moki	8653
Tamaschima	16325	Takaoka	6361	Nagasaki	58142**
Bingo.		Kiusechiu¹³⁾.		Ohama	6614
Fukuyama	14598*	Buzsu.		Omura	9814
Mihara	8265	Kokura	14212*	Saga	25481*
Miyoshi	5522	Nagasu	6885	Saseho	4844
Onomitschi	18707*	Nakatsu	15452*	Schikimi	5433
Tomio	5063	Bungo.		Schimabara	18123*
Isumo.		Beppu	6366	Beto	4978
Imaitachi	4904	Kidsuki	5502	Takaschima	6415
Kidsuki	8286	Oita	15181*	Tokitsu	5407
Matsuye	35565**	Sayeki	5830	Tomiyae	8917
Iwami.		Segi (Sagonosaki)	5406	Tschitschiwa	6904
Tsuwano	5959	Takata	5200	Yagami	5309
Aki.		Takeda	7959	Tenuechima.	
Etajima	9562	Usuki	11381*	Ideubara	7562
Hiromura	13377	Hinga.		Kiu-Kiu.	
		Hirose	5888	Issel Okinawa.	
		Miyakonoyo	10118	Nafa	42250**
				Schuri	25604*

¹⁰⁾ Auch Kiechinowada. — ¹¹⁾ Das Jahr vorher nur 10269 Einw.; ein Druckfehler also nicht ausgeschlossen. — ¹²⁾ Wohl identisch mit Kanonji in Hassenstein's Atlas. — ¹³⁾ Die Provinz Osumi und von den benachbarten kleinen Inseln Iki haben keine größeren Orte.

Philippinen 1887.

Das Censuswerk (s. Spanien S. 52) spricht hier zwar ausdrücklich von Pueblos und stellt diese also in einen gewissen Gegensatz zu den Ayuntamientos, an denen es für Spanien und die übrigen Kolonien als unterster Einheit festhält; es kann aber keinem Zweifel unterliegen, daß man auch unter den philippinischen Pueblos nicht Orte im topographischen Sinne, sondern Gemeinden zu verstehen hat. Als untere Grenze setzen wir daher im allgemeinen eine Bewohnerzahl von 5000 fest; auch mit dieser Beschränkung wird unsere Tabelle umfangreicher, als es der Bedeutung der Inselgruppe an und für sich zukommen würde.

Luzón ¹⁾ .		Nueva Reija.		Bolinno		6861
Ilocos Norte.		Aliaga	20637	San Narciso		7260
Bacarra	13947	Cabanatuan	9587	Santa Cruz		5168
Badoc	11665	Cabiao	7949	Bataan.		
Banguí	7814	Cayapó	8834	Balanga		8424
Batac	16842	Gapán	20264	Orani		5944
Dingraa	11876	Jacán	6432	Orión		7384
Laosag	30642	Peñaranda	6924	Tarlac.		
Panay	12122	Rosales	7469	Camiling		17127
Panquin	7273	San Antonio	8276	Concepción		13582
Piddig	7838	San Isidro	9723	Gerona		7804
San Miguel	9529	San Juan	6216	Paniquí		5608
San Nicolás	12832	San Quintín	7705	Tarlac		8580
Vistar	9189	Talavera	6436	Victoria		10263
		Umingán	5117	Pampanga.		
		Zaragoza	5958	Ángeles		9614
Ilocos Sur.		Pangasinán.		Apalit		10447
Bantay	5808	Alcalá	8952	Arayat		14182
Cabagao	11877	Asingán	11817	Bacolor		12978
Candón	18048	Binalonan	9121	Candaba		11527
Casaysán	5145	Binalalay	14048	Florida blanca		6785
Lapo	6826	Celasio	14993	Guagua		10156
Magsilgal	9444	Cayambán	11376	Lahao		20792
Narvacán	18308	Dagupan	16550	Mabalacat		9101
San Vicente	5424	Lingsayán	16196	Macabebe		12329
Santa	8546	Malasique	12782	Magalang		8845
Santa Catalina	4978	Manaoag	9331	Méjico		14890
Santa Cruz	7653	Mangaldán	12724	Minalin		6194
Santa Lucia	7667	Mangatarón	10841	Porac		8610
Santa Maria	12499	Pozorrubio	9657	San Fernando		16307
Santo Domingo	7925	Salasa	5784	San Luis		10061
Sinit	7497	San Carlos	28744	San Miguel		5550
Tagudin	13769	San Fabián	9465	San Simón		6817
Vigán	13905	San Manuel	10404	Santa Ana		6274
Abra.		San Nicolás	12742	Santa Rita		8273
Bangued	16596	Santa Bárbara	9651	Sesinoán		6273
Bucay	5185	Santa Maria	4950	Bulacán.		
Cagayan.		Tayug	9954	Angat		8170
Abulug	6306	Urbistondo	6139	Baling		17165
Alcalá	6054	Urdaneta	16978	Barasoin		9304
Amulung	6652	Villasis	7383	Bigná		7967
Aparri	7822	Unión.		Bocane		8592
Erzile	5203	Agó	9186	Bulacán		12180
Pamplona	4995	Aringay	7195	Bustos		6793
Solana	6074	Bacnotán	6842	Calumpit		11455
Tuguegarao	19446	Balaón	12104	Guiguinto		5092
Isabela.		Bangar	9610	Hagonoy		18187
Cabagán Nuevo	5851	Bauang	7944	Malolos		15666
Iligan	12131	Naguilián	9587	Meycauayan		9193
Lepanto und Tiagán ²⁾ .		Namasepán	8816	Norazgaray		6091
Cervantes	16152	San Fernando	12131	Obando		7257
Tiagán	7793	San Juan	9715	Paombong		8177
Nueva Vizcaya.		Tubao	6461	Polo		10163
Solano	5331	Alaminos	6630	Pulilan		9833

¹⁾ Von den 30 Provinzen der Insel Luzón haben die drei nördlichen Benguet, Bontoc und Principe und die kleine Provinz Corregidor bei Manila keine Gemeinde von 5000 Einw. — ²⁾ Früher Distrikt von Lepanto.

Quingua	7380	Tayau	7161	Balabac.	
San Ildefonso	7425	Tóy	10510	Balabac	2110
San Miguel de Mayumo	19713				
San Rafael	10142	Tayabas.		Romblón.	
Santa Isabel	6517	Atimonán	9508	Looc	5989
Santa María	9471	Guinaca	7501	Odióngan	6382
		López	7827	Romblón	6022
Manila.		Lucbán	10220		
Calocacán	8854	Lucena	5479		
Manila	154062	Maubán	9050	Panay.	
Mariquina	9509	Sariaya	7187	Antique.	
Navotas	12802	Tayabas	16065	Antique	7609
Paránaque	10161	Tisón	7217	Bagsán	8896
Paig	18407			Culasi	9069
Pateros	5761	Camaringes (Nord- u. Süd-).		Dao	6840
Pineda	7762	Baao	7024	Pandán	10484
San Felipe Neri	7500	Buhí	7232	Patungón	6344
Taigui	9928	Calabanga	5555	San José de Buenavista	6718
Tambohong	21827	Caramoán	5414	San Pedro	6828
		Daet	8034	Sibaldón	12627
Mórong.		Goa	5568	Tibiao	6175
Binangotán	7862	Indán	6164		
Mórong	6660	Iriga	15404	Cápiz.	
Taytay	7492	Lagonoy	10276	Bangá	7115
		Libmanán	14630	Batán	9983
Infanta.		Magarao	5748	Calvo	11999
Binangotán	6006	Milaor	5037	Cápiz	16864
		Nabúa	17045	Dao	5264
La Laguna.		Nueva Cáceres	9260	Dumalag	7342
Bináu	15126	San José	7891	Dunarrao	5107
Cabinte	5728			Ibajay	11868
Cabuyao	9029	Albay.		Macatú	6584
Calamba	8835	Albay	11986	Malinao	6586
Lillo	5975	Bacacay	10319	Mambasao	8518
Majajay	7132	Bacán	14059	Numanca	6055
Negcarian	13565	Bián	8111	Panay	19266
Pagsanjan	7192	Caganua	20311	Panitan	6455
Pila	6243	Camalig	14489	Ponterredra	6891
San Pablo	19450	Casiguran	5520	Sigma	4943
Santa Cruz	13452	Catanduanes Bató	6740		
Santa Rosa	9427	Donsol	5746		
Siniloán	5449	Gubat	12113	Ilo-Ilo.	
		Guinobatan	19518	Ajuy	9378
Cavite.		Legaspi	7150	Almodian	10194
Alfonso	7072	Libog	7246	Banate	6252
Bacood	11571	Ligao	17178	Barotac Nuevo	12749
Cavite Viejo	6182	Malilipot	5231	Barotac Viejo	6569
Imus	12134	Malinao	11854	Buenavista	6048
Indán	10837	Oas	10924	Cabatrán	20221
La Caridad	5994	Polangui	9113	Calinog	7562
Maragondon	8320	Sorsogón	10349	Carles	10275
Nai	8906	Tabaco	16911	Dingle	12848
Rosario	6086	Titul	10194	Duenas	6333
San Francisco	8499	Virac	5427	Dunangas	16860
San Roque	5617			Guimbal	11567
Santa Cruz	7452	Batan und Babuyan-Inseln.		Igbardá	9008
Silán	7272	Santo Domingo de Basco	3234	Ilo-Ilo	11884
				Janinay	25568
Batangas.		Burias.		Jaro	11200
Balayán	16243	San Pascual	1708	Lambunao	7456
Batangas	35587			León	13041
Baván	35598	Masbate und Ticao.		Lucena	5414
Calaca	12683	Milagros	2989	Masén	10165
Cuenca	5643	San Jacinto	2475	Mandurriao	5380
Ibáñ	9016			Miagao	18890
Lemery	14154	Mindoro.		Mina	5507
Lipa	43408	Boac	13392	Molo	8224
Lobo	5118	Calapán	4431	Nagaba	5791
Nasugbú	7849	Gasa	5442	Olón	15779
Rosario	14375	Mogpog	5149	Pasi	8621
San José	9851	Santa Cruz de Napo	15429	Pavia	7894
San Juan	11044			Pototán	22338
San Luis	5892	Calamianes.		San Joaquin	12583
Santo Tomás	11043	Cuyo	8520	San Miguel	7086
Taal	22024			Santa Bárbara	15373
Talisay	6787	Paragua.		Sara	6542
Tanauan	20326	Puerto Princessa	1823		

Tigbauán	9505	Minlanilla	17868	Baybay	11444
Tubangán	5181	Moalboal	5917	Buran	13939
Zarraga	6411	Naga	10521	Carigara	12686
Negros.		Nueva Cáceres	5104	Dagami	23604
Bacolod	7075	Opón	10267	Dnlag	9089
Bacón	7048	Oslab	5634	Hilongos	13669
Bago	8449	Pardo	9440	Hinanangan	6758
Bala	4983	Poró	6880	Jaro	9228
Binalbagan	5228	Sanboán	7088	Maasin	14456
Calancalan	5944	San Fernando	12942	Mac-crohon	4985
Calatrava	12160	San Francisco	6486	Malitbog	7464
Danin	6751	San Nicolás	21580	Ormoc	13302
Dumaguete	13240	San Remigio	6676	Palo	16054
Guinigarán	8969	Sibonga	22947	Palompón	5772
Isabela	9163	Sogod	5866	Tauuán	14610
Jimamayán	7314	Tabogón	7765	Samar.	
La Carlota	6392	Talambay	7213	Basey	12155
Minulán	7671	Talisay	16055	Borongan	9749
Nueva Valencia	5576	Toledo	8513	Calbayog	20637
Ponteredra	6904	Tuburán	8272	Catarman	6757
Sarabia	9596	Bohol.		Catbalogan	6701
Siatón	8211	Albuquerque	6075	Catbig	9361
Sibulan	5851	Antequera	5772	Gadara	9018
Silay	7762	Badayón	7820	Gulván	10583
Tanjay	10293	Calape	8149	Laonang	7315
Valladolid	10239	Canoán	8828	Orás	5068
Cebu.		Dania	7132	Pambujan	5397
Alegria	8857	Dimiao	7864	Paranas	5879
Argao	23116	Duero	5710	Villa Real	5297
Asturias	6951	García Hernández	5760	Zumarraga	5464
Badian	7377	Gunduhuan	6737	Mindanao²⁾.	
Balambán	11106	Inabangan	10342	Balingasag	4947
Bantayan	13818	Jagna	12175	Cagayan	6708
Barili	18363	Lasj	7188	Cantilan	6022
Ego	15158	Loay	6312	Gigaquit	5519
Boljoón	5056	Loboc	10629	Jiménez	5990
Carcar	25981	Loón	12203	Langarán	5644
Carmen	6289	Marla	4976	Mambajao	9142
Catmon	5429	Maribojoc	10101	Oroquieta	7432
Cebú	11984	Paminuitán	5161	Surigao	5142
Córdoba	6326	San Juan	5428	Tagoloan	5806
Daan Bantayan	9630	Sevilla	5503	Zamboanga	5388
Dalagute	19250	Siquijor	9211	Basilan.	
Danao	13466	Tagbilarán	7635	Isabela	1119
Dumanjug	9721	Tubigón	11516	Joló.	
Ginatilán	9410	Valencia	7010	Joló	2515
Liloan	8016	Vilar	6243	Leyte.	
Malaboyoc	6947	Leyte.		Alang-alang	6105
Mandana	10073	Barugo	8312	Joló.	
Medellín	5004	Joló.		Joló.	

²⁾ Die geringe Zahl größerer Gemeinden macht die Gliederung nach Provinzen überflüssig.

Afrika.

Ägypten 1882.

Der nachstehenden Tabelle liegt der I. Band des Censuserwerkes für die Zählung vom 3. Mai 1882 (Recensement général de l'Égypte, Kairo 1884) zu Grunde. Für jeden Ort wird in Tab. 8 die agglomerierte und zerstreute Bevölkerung, letztere mit allen Details, aufgeführt; dem entsprechen in unserer Tabelle die beiden Zahlenreihen „Ort mit Umgebung“ (zum Teil wohl identisch mit unsern Gemeinden) und „Ort allein“. Ist keine zerstreute Bevölkerung vorhanden, so bleibt die erste Kolonne unausgefüllt. Von den Orten mit einer agglomerierten Bevölkerung unter 5000 sind nur diejenigen aufgenommen, die jetzt wahrscheinlich schon diese Grenzzahl überschritten haben oder deren Erwähnung aus andern Gründen wünschenswert erschien. Die Schreibweise des Originals haben wir in deutscher Transcription beibehalten und abweichende Schreibweisen in Klammern beigelegt. Alle Dörfer sind mit * bezeichnet.

Name.	Ort mit Umgebung.	Ort allein.	Name.	Ort mit Umgebung.	Ort allein.
Unterägypten.					
Gubernorate.					
Alexandria	227064	213010	Dalgamon*	6339	5877
Damiette	—	34044	Gansur*	—	5922
Kairo	—	374938	May (Mai)*	—	5480
Matariye ¹⁾	9572	9404	Melig (Meletig)*	—	7729
Rosette	—	16666	Mennf	16700	16293
Prov. Behere.			Samadun*	5481	5193
Damanhur ²⁾	23353	19624	Schanawan*	6709	6470
Edkn*	—	5751	Schebin-el-Kom (Schibin-el-Kam)	16337	16250
Rahmaniye*	6311	6079	Sers-el-Lyana (Liyana)*	—	10631
Prov. Gharbiye.			Tala (Talia)	9861	9653
Abuair*	5641	5359	Wat*	—	5075
Berma*	6270	6165	Prov. Dakahliye.		
Hasain (Besiyun)*	6018	5683	Atmida*	5711	5653
Biyaia*	6333	5112	Dandit*	—	5002
Desuk	8464	6853	Fareakor (Fareakur)	5327	5040
Ebiar (Ebyar)*	8483	8449	Kom-el-Nur*	5989	5869
Fua	10390	9902	Mananta	30439	26942
Kafr-es-Saiyat*	—	5581	Mensala (Menzale-el-Hayit)	14256	8447
Kafr Kela-el-Bab	4928	4853	Mit-Ghamr	11375	11233
Mehalla-el-Kobra (Mehallet-el-Kebir)	27851	27823	Sahrage-el-Kobra*	—	4978
Mehallet-Marhum*	7410	7222	Sinbellawin (Sinbelawin)	6479	4983
Nabaro (Nabruwe)	—	6017	Prov. Scharkiye.		
Samannud (Semennud)	—	11550	Belbes	8257	7392
Sanhur-el-Medina*	6171	5273	Korin (Karaim)*	6313	6240
Schubra-Buchum*	6953	6769	Maschtul-es-Suk*	6573	5574
Sifta (Sifte)	—	11087	Sagasiq (Sakasik)	—	19815
Talcha	5212	5153	Sansfin*	5751	5216
Tanta	—	33750	Prov. Kalyabiye.		
Prov. Menufiye.			Benha-el-Asl	11776	8354
Aschmun	7868	6752	Kaliub (Kalyub)	9246	8644
Bagnr*	7305	7157	Prov. Gise.		
Batanun (Betannun)*	8688	8552	Aussim	7839	7170
			Gise	13339	11410
			Kerdassa*	—	7087

¹⁾ Matariye, zum Gubernorat Damiette gehörig, besteht aus den Dörfern Ghassana (5262 Elaw.) und Okbiye (4142 Elaw.), ist aber nach der Beschreibung ein zusammenhängender Ort. — ²⁾ Diese Provinzhauptstadt besteht eigentlich aus 5 Dörfern:

	Ort m. Umg.	Ort allein.		Ort m. Umg.	Ort allein.
Schubra wel Damanhuriye	6175	5511	Saknida	3435	2794
Kerta	6331	4943	Tamus	2060	1713
Nakera	5352	4663			

Name.	Ort mit Um- gebung.	Ort allein.	Name.	Ort mit Um- gebung.	Ort allein.
Oberägypten.			Banga *	—	5191
Prov. Fayum.			Bardia (Berdia) *	—	8063
Agamiya (Agamiye) *	7459	5315	Bindar-el-Tabbanat *	—	4917
Fadma (Fidimin) *	5715	5601	Beni-Hemel *	—	5903
Medinet-el-Fayum	27996	25799	Edfa *	—	6395
Minia *	5373	4938	Gehena (Gehine) *	—	14437
Sanhur (Senhur) *	6667	6314	Gesiret-Schendaui (Schendaui) *	—	7386
Senures (Seennuria)	10190	9956	Gerga (Girge) *	—	14819
Prov. Beni-Suef.			Kom-el-Saïda *	—	4940
Beni-Suef	11076	10085	Koran (Koraye?) *)	—	5167
Bosch (Busch)	7552	7091	Maragha (Margbat) *	—	8658
Prov. Minya.			Minschat (Menschchiye) *	—	8044
Faschn (Feschna)	6058	5991	Nassa *	—	9430
Minia (Minye)	17145	15900	Rayan-Bel-Kotkata *	—	5800
Prov. Siut.			Subag (Sohag)	11718	8774
Abutig	—	10770	Tahla (Tachta)	—	13787
Badari (Bedari) *	6507	6116	Tama (Teme)	9694	7871
Beni-Reng *	—	4872	Tawader-wel-Wasliye (Tawadar) *	—	5912
Delga (Delge)	8356	8209	Prov. Kene.		
Derat	—	5588	Farachut	9436	7988
Duer	6207	6137	Kena (Kene)	17455	15402
Ghanayem *	9835	8048	Kus	10585	10282
Kosiyé (Kusiye) *	—	6511	Prov. Esne.		
Manfalut (Menfalut)	—	13232	Arman (Erment)	8480	6866
Matia *	—	6261	Asuan	—	6421
Mallawi (Melsui-el-Ariach)	—	10777	Edfa	9675	5790
Mueha	—	7820	Esna (Esne)	10451	9422
Neeha (Neehile)	9936	9619	Gouv. Koser.		
Ruwana	5237	4857	Koser	2430	2205
Sanbawa *	—	5529	Isthmus etc.		
Sarabi *	—	6022	El Ariach	2936	2700
Siut	31575	31398	Ismaïliye	4) 4238	3364
Prov. Girge.			Port-Saïd	17058	16560
Achmim	—	18792	Sues	10919	10559
Arabe-el-Madfun *	—	6234	Oasen.		
Asind-Osbara *	—	5469	Bawiti* (Oase Baharie)	—	1675
Asind-Hanna *	—	6807	Charga (Charge) *	—	3787
Asind-Yehia *	—	6410	Farafa *	—	446
			Ksar* (Oase Dachel)	3539	2491
			Siwa *	—	3346

Algerien 1881, 1886 und 1891.

Über die Quellen und die Art der Benutzung derselben vgl. Frankreich S. 27. Für die ausgedehnten gemischten und Eingebornen-Gemeinden der Militärterritorien bedarf das Censuserwerk aber einer Korrektur, da es die agglomerierte Bevölkerung sämtlicher Orte dieser oft 1000 und mehr qkm umfassenden Gemeinden zusammenfaßt. Wenn es z. B. für die Gemeinde Ghardaïa eine agglomerierte Bevölkerung von 28782 Seelen anführt, so darf man nicht glauben, daß der Ort (Ksar) Ghardaïa soviel zähle, wir haben hier vielmehr 14 Ksare und die Stadt Ouargla, auf die sich jene Bevölkerung verteilt, und dasselbe gilt auch für manche andere Gemeinden. Diese Berichtigung verdanken wir dem unten citierten Gemeindelexikon.

Name.	Gemeinde.			Ort.
	1881.	1886.	1891.	1891.
Dep. Constantine.				
Aïn-Beldja	2206	2753	4059	2173
Batna	4833	6514	5292	2819
Biskra	7085	7910	7166	2609

3) Wahrscheinlich identisch mit Koraye auf Baedekers Karte. — 4) Im Censuserwerk fälschlich 3238.

Name.	Gemeinde.			O r t.
	1881.	1886.	1891.	
Bône	28536	29640	30606	27227
Bougie	10898	12167	12381	6403
Constantine	42721	44960	46581	40690
Djidjelli	4648	5673	5843	3899
Guelma	6396	6728	6709	4595
Jemmapes	2310	2785	3027	2051
La Calle	6495	6197	5835	3086
M'sila	22572	21798	29489	3442
Philippeville	18329	22177	21962	19950
Sétif	12026	11553	12131	6473
Souk-Ahras	5961	5997	5365	4584
Tébessa	3048	3504	4340	2599
Dép. Alger.				
Alger	70747	74792	82585	82585
Aumale	5601	5675	5706	2296
Beni Isguen (Ksar)	—	Gem. Ghardaia	—	5189 ¹⁾
Berryan (Ksar)	—	—	—	2811 ¹⁾
Blida	22844	24304	23686	11404
Boghari	3121	2308	2873	2108
Boufarik	9231	7331	8064	4290
Bou-Saïda	5532	5337	5453	6448
Cherchel	7785	8131	8786	3812
Dellya	13010	13288	13104	4038
El Golea (Ksar)	—	Gem. Ghardaia	—	1168 ¹⁾
Ghardaia (Ksar)	—	37969	38967	8709 ¹⁾
Guerrara (Ksar)	—	Gem. Ghardaia	—	3732 ¹⁾
Hussein-Dey	2668	3109	3742	2302
Kolée	5439	5791	4988	2593
Laghouat	4547	5384	4009	3991
Maïson-Carrée	3031	4340	5184	3206
Médéa	15391	14211	15563	3873
Miliana	6901	7426	7406	3741
Mustapha	13556	17729	24349	23439
Orléansville	8242	8737	11132	3096
Ouargla	—	Gem. Ghardaia	—	2436 ¹⁾
Saint-Eugène	2346	3418	3534	3125
Ténia	4744	4966	4937	2077
Dép. Oran.				
Aïn-Témouchent	5518	6126	5038	4135
Arzew	3176	4405	5607	5127
Beni-Saf	—	4434	5768	2403
Mascara	14320	15453	16482	14763
Mera-el-Kébir	1876	2409	2956	1986
Missenghin	4496	3880	4456	2267
Mostaganem	13422	13794	14374	13895
Nedroma	20453	22477	26523	4534
Nemours	2727	2769	2828	2648
Oran	59377	67681	74510	73839
Perrégaux	4520	4609	5883	2132
Relizane	5302	6316	7019	5380
Saïda	4070	4841	4542	3532
Saint-Clond	2691	3558	3994	2725
Saint-Denis-du-Sig	9862	10268	10344	7139
Sidi-bel-Abbès	16840	21595	20191	18568
Tiaret	3875	4541	4026	3450
Tlemcen	25370	28204	29544	19831

¹⁾ Entommen aus Accardo, Tableau général des Communes de l'Algérie au 1^{er} janvier 1892 (Alger-1892). Das Buch gibt in detailliertester Weise die Bestandteile der Gemeinden mit Flächeninhalt und Bevölkerungszahl nach der Zählung von 1891, so daß es auch zur Konstruktion einer Dichtigkeitskarte vorzügliche Dienste leistet. Als Mangel ist nur zu bezeichnen, daß die agglomerierte und verstreute Bevölkerung nicht unterschieden ist; wo es sich aber um Kaare handelt, wie in unserm Falle, kann nur die erstere gemeint sein.

Spanische Besitzungen in Nordafrika 1887.

Über die Quelle vgl. Spanien S. 52. Auf den Canarischen Inseln hat die Gemeinde durchschnittlich eine Ausdehnung von 81 qkm, es ist also auch hier das Festhalten der höhern Grenzzahl gerechtfertigt.

Presidios.

Ceuta	10744
Melilla	3539

Canarische Inseln.

Arucas	7902	La Laguna	11406	Santa Cruz de Tenerife.	19722
Gáldar	5078	La Orotava	8876	Telde	94003
Guia (Gran Canaria).	5065	Las Palmas	20756	Valverde	5897
Icod	5840	Los Llanos	5919	Vallichermoso	4919
		Santa Cruz de la Palma	6695		

Kapland 1891.

Die „Results of a Census of the Colony of the Cape of Good Hope, as on the night of Sunday, the 5th April, 1891“ (Cape Town 1892) enthalten keine eigentliche Ortsstatistik. Für jeden Censusedistrikt werden die Zahlen nach den Field-cornets mitgeteilt und dabei zwischen städtischen und ländlichen unterschieden. Da aber unter den städtischen Unterabteilungen nicht bloß Städte, sondern auch Dörfer beiderlei Kategorie (die „under the Village Management Act“ und die nicht unter diesem Verwaltungsgesetz stehenden) und Missionsstationen zusammengefaßt werden, so haben hier die Bezeichnungen städtisch und ländlich offenbar die Bedeutung von geschlossenen Orten und zerstreuter Bevölkerung. Wir haben in der nachstehenden Tabelle alle „städtischen“ Unterabteilungen aufgenommen, die Dörfer sind mit * bezeichnet. In einzelnen Fällen sind bedauerlicherweise mehrere Orte zu einer Unterabteilung zusammengefaßt. Wenn innerhalb des eigentlichen Kaplandes (mit Ausnahme des Kapdistrikts) der Name des Ortes nicht identisch ist mit dem des Distrikts, zu dem er gehört, so ist letzterer in Klammern dem erstern beigefügt.

Klitenstuf.		Bredasdorp *	600	Lady Grey* (Robertson)	767
Westküste.		Caledon	1279	Montagu* (Robertson)	1297
Darling* (Malmesbury)	437	George Town	2385	Oudshoorn	4386
French Hook (Paarl)	647	Great Brak River *		Prince Alfred's Hamlet (Ceres)	501
Hopefield* (Malmesbury)	555	Blanco* (George)	643	Roxonville* (Worcester)	168
Malmesbury	2461	Greyton (Caledon)	432	Rawsonville	2121
Paarl	7668	Hankey* (Hammansdorp)	639	Saron* (Tulbagh)	1326
Piquetberg	470	Heidelberg (Swellendam)	898	Tulbagh	659
Porterville* (Piquetberg)	621	Hammansdorp *	554	Uniondale	894
Riebeck West* mit R.		Kanyana	956	Von Rhynsdorp* (Clanwilliam)	109
Kasteel* (Malmesbury)	648	Malagas* (Swellendam)	110	Worcester	5404
Vredenburg* (Malmesbury)	82	Mosselbay	2061		
Wellington (Paarl)	2725	Napier* (Bredasdorp)	539	Mittlere Stufe.	
		Pacaladort* (George)	632	Aberdeen	1255
Kapdistrikt.		Riversdale	1802	Beaufort West.	2791
Cape Town.	51251	Somerset West* mit Strand		Laingsburg* (Prince Albert)	174
Claremont	6252	(Stellenbosch)	2544	Murraysburg	1045
Durbanville*	484	Stellenbosch	3462	Prince Albert *	1444
Green Point and Sea Point	2926	Swellendam.	1727	Steylerville* (Willowmore)	437
Kalk Bay*	1456	Vielliersdorp (Caledon)	364	Willowmore	828
Midland	2035	Zuurbraak* (Swellendam)	1078	Obero Stufe.	
Mowbray	3098			Bristowen* (Richmond)	688
Robben Island*	702	Karru.		Calvinia*	688
Rondebosch.	3378	Untere Stufe.		Carnarvon	925
Simonetown.	3576	Berghville* mit Steintal *		Coleberg	1841
Woodstock	4974	u. Goedegevoonden* (Tulbagh)	950	Fransburg	574
Wynberg	4952	Calitzdorp* (Oudtshoorn)	991	Hanover	874
		Ceres	1596	Hope Town.	751
Südküste.		Clanwilliam*	708	Kenhardt* (Carnarvon)	364
Barrydale* (Swellendam)	352	Haarlem* (Uniondale)	558	O'oklep* (Namaland)	1901
Belvidere* mit Millwood*		Ladismith	596	Petrusville* mit De Aar*	
(Kanyana)	328			(Phillipstown)	1201

Südafrikanische Republik 1890 und 1892.

Dem „Uitslag van de Volkstelling, 1890“ (Pretoria 1891) sind mit Sicherheit nur folgende Ortazahlen zu entnehmen, und ist hier nur die weiße Bevölkerung berücksichtigt:

Bethal	334	Pretoria	5055	Vrijheid	513
Middelburg	563	Rustenburg	508	Zeerust	787

Für die Witwaters-Goldfelder, Distrikt Johannesburg, liegt für 1892 eine angeblich genaue Berechnung der weißen und eingebornen Bevölkerung vor. Für die Townships werden folgende Zahlen genannt:

Braamfontein	3310	Fordsburg	1847	Location	1134
Fawcusdorp	46	Georgedorp	95	Marshallstown	3114
Ferreira's	1679	Jeppesdorp	920	Troyville	31
		Johannesburg	9539		

Amerika.

Vereinigte Staaten 1880 und 1890.

Die Ergebnisse der Zählung von 1890 sind in den verschiedenen Census-Bulletins für die untersten Verwaltungseinheiten mitgeteilt. Diese heißen meist Town oder Township, führen aber auch andre Namen (Hundred, District, Precinct, Beat, Ward) oder sind nur nummeriert. Sie entsprechen annähernd unsern Gemeinden und sind in der Regel sehr ausgedehnt. Mit Ausnahme der Neu-England-Staaten sind aber innerhalb dieser Verwaltungsbezirke auch die meisten Ortschaften von ein paar Hundert Einwohnern und darüber ausgeschlossen; ihr Charakter als City (C.), Town (T.), Borough (B.) oder Village (V) ist stets beigefügt. Für viele dieser Ortschaften enthält das Censuswerk von 1880 keine Bevölkerungsangaben; einige sind auch erst nach 1880 entstanden oder organisiert worden.

Die Neu-England-Staaten haben dagegen nur eine Gemeindestatistik (hier heißt die Gemeinde Town, was also nicht mit den Towns in andern Staaten zu verwechseln ist), und auch die Cities umfassen eine ausgedehnte ländliche Bevölkerung, wie für einige besonders drastische Fälle noch näher nachgewiesen werden soll. Nur in Connecticut und Vermont sind ein paar Boroughs bzw. Villages ausgeschlossen. Wir haben nun alle diejenigen Gemeinden über 2000 Einw., die unzweifelhaft nur eine zerstreute Bevölkerung besitzen, weggelassen, die übrigen Towns aber mit einem * bezeichnet, wenn die Bevölkerung sich vorwiegend in einem einzigen Orte konzentriert, und mit einem † in dem Falle, wenn zwar mehrere Orte vorhanden sind, aber wahrscheinlich ein Ort über 2000 Einw. zählt. Als Hilfsmittel dienten uns dabei die Colanges National Gazetteer (London 1884) und die bisher erschienenen Blätter der neuen Karte in 1:62500, die aber nur für die drei südlichen Staaten fast vollständig sind. Für Maine und New Hampshire enthält unsre Tabelle aller Wahrscheinlichkeit nach noch einige Towns ohne bedeutendere Ortschaft.

Das Prinzip der kombinierten Ortzahl ist nur soweit durchgeführt worden, als es das Kartenmaterial gestattete. Wenn wir hierin vielfach von Reclus abweichen, so erklärt sich dies zur Genüge aus der verschiedenen Auffassung, von der schon im Vorwort die Rede war.

Zur leichtern Orientierung und um Mißverständnisse zu vermeiden, haben wir den Orten auch die betreffenden Counties in allen denjenigen Fällen beigeetzt, wo Ort und County nicht den gleichen Namen führen.

Die Zählung von 1880 ist im Jahrgang VII noch nicht vollständig berücksichtigt worden. Gerade in den Vereinigten Staaten ist es aber sehr lehrreich, den Entwicklungsgang der Städte zu verfolgen; wir wollen nur hoffen, daß die Zweifel, die gegen die Ergebnisse des letzten Census erhoben wurden, sich als unbegründet erweisen mögen.

Neu-England-Staaten.

Name.	1880.	1890.	Name.	1880.	1890
Maine.			Calais C. (Washington) . . .	6173	7290
[Anburn C. (Androscoggin) . . .	9555	11250]	Camden (Knox) * . . .	4366	4621 ²⁾
[Lewiston C. (Androscoggin) . . .	19083	21701]	Cape Elizabeth s. Portland . . .		
Angusta C. (Kennebec) . . .	8665	10527	Chelsea (Kennebec)† . . .	1537	2356
Bangor C. (Penobscot) . . .	16856	19103]	Deering s. Portland . . .		
Brewer C. (Penobscot) . . .	3170	4193]	Dexter (Penobscot)† . . .	2563	2732
Beth C. (Sagadahoc) . . .	7874	8723	Ellsworth C. (Hancock) . . .	5052	4804
Belfast C. (Waldo) . . .	5308	5294	Fairfield (Somerset)† . . .	3044	3510
Berwick (York)† . . .	2774	2294	Gardiner C. (Kennebec) . . .	4439	5491
Biddeford C. (York) . . .	12651	14443]	Randolph (Kennebec) * . . .	—	1281]
Saco C. (York) . . .	6389	6075]	Gorham (Cumberland)† . . .	3233	2886
Brewer s. Bangor . . .			Hallowell C. (Kennebec) . . .	3154	3181
Brunswick (Cumberland)* . . .	5384	6012 ¹⁾	Houlton (Aroostook)† . . .	3228	4015
			Kennebunk (York)† . . .	2852	3172

1) 1880 zählte der Ort Brunswick ca 4000 Einw. — 2) Camden hatte 1880 ca 2500 Einw.

Name.	1880.	1890.
Lewiston s. Auburn.		
Lube (Washington)†	2109	2069
Machias (Washington)†	2203	2035
Oldtown (Penobscot)†	3395	5312
Orono (Penobscot)†	2245	2790
Pittsfield (Somerset)†	1909	2503
Poland (Androscoggin)†	2442	2472
Portland C. (Cumberland)	33810	36425
Cape Elizabeth (Cumberland)†	5302	5459
Deering (Cumberland)†	4324	5363
Richmond (Sagadahoc)*	2658	3082
Rockland C. (Knox)	7599	8174
Saco s. Biddeford		
Sanford (York)†	2734	4201
Skowhegan (Somerset)†	3860	5068
South Berwick (York)†	2677	3434
Thomaston (Knox)†	3017	3009
Tremont (Hancock)†	2011	2036
Turner (Androscoggin)†	2285	2016
Vassalboro (Kennebec)†	2621	2052
Waldoboro (Lincoln)†	3758	3505
Warren (Knox)†	2166	2037
Waterville C. (Kennebec)	4672	7107
Winslow (Kennebec)*	1467	1814
Westbrook (Cumberland)†	3981	6632 ³⁾

4787

8921

New Hampshire.

Claremont (Sullivan)†	4704	5565
Concord C. (Merrimack)	15943	17004
Dover C. (Strafford)	11687	12790
Exeter (Rockingham)	3569	4284
Farmington (Strafford)†	3044	3064
Hinsdale (Cheshire)	1868	2258
Keene C. (Cheshire)	6784	7446
Laconia (Belknap)†	3790	6143
Lancaster (Coos)†	2721	3373
Lebanon (Grafton)†	3354	3763
Lisbon (Grafton)†	1807	2060
Littleton (Grafton)†	2956	3365
Manchester C. (Hillsborough)	39630	44126
Milford (Hillsborough)†	2398	3014
Nashua C. (Hillsborough)	15397	19311
New Market (Rockingham)†	3268	2742
Newport (Sullivan)†	2812	2623
Pembroke (Merrimack)†	2797	3172
Peterborough (Hillsborough)†	2206	2507
Pittsfield (Merrimack)†	1974	2605
Portsmouth C. (Rockingham)	9690	9827
Rochester (Strafford)	5784	7396
Somersworth (Strafford)*	5586	6207 ⁴⁾
Walpole (Cheshire)†	2018	2163
Whitefield (Coos)†	1829	2041
Winchester (Cheshire)†	2444	2584
Wolfeborough (Carroll)†	2222	3020

Vermont.

Barre V. (Washington)	1025	4146
Bellevue V. (Windham)	2229	3092
Bennington V.	3971	—
Brandon (Rutland)*	3280	3310 ⁵⁾
Brattleboro V. (Windham)	4471	5467

Name.	1880.	1890.
Burlington C. (Chittenden)	11565	14590
Derby (Orleans)†	2548	2900
Fair Haven (Rutland)†	2211	2791
Hartford (Windser)*	2954	3740
Montpelier V. (Washington)	1847	3617
Poultney (Rutland)†	2717	3031
Rutland V.	7502	8239
Saint Albans (Franklin)†	7193	7771
Saint Johnsbury V. (Caledonia)	3360	3857
Swanton (Franklin)†	3079	3231
West Rutland (Rutland)†	—	3680
Winoochi V. (Chittenden)	2833	3659

Massachusetts.

Abington (Plymouth)†	3697	4260
Adams (Berkshire)*	5591	9213
Amesbury (Essex)*	3355	3798
Natick (Essex)*	4079	1316
Amherst (Hampshire)†	4298	4512
Andover (Essex)*	5169	6142
Arlington (Middlesex)†	4100	5629
Ashland (Middlesex)*	2394	2532
Athol (Worcester)*	4307	6319
Attleborough (Bristol)*	11111	7577
Ayer (Middlesex)*	1981	2148
Beverly (Essex)*	8456	10621
Hillieria (Middlesex)*	2000	2380
Blackstone (Worcester)†	4907	6138 ⁷⁾
Boston C. (Suffolk)	362839	448477
Brookline (Norfolk)*	8057	12103
Cambridge C. (Middlesex)	52669	70028
Chelsea C. (Suffolk)	21782	27909
Somerville C. (Middlesex)	24933	40152
Bradford s. Haverhill.		
Bridgewater (Plymouth)*	3620	4249
Brockton C. (Plymouth)	13608	27294
Brookfield (Worcester)*	2820	3352
Brookline s. Boston.		
Cambridge C. a. Boston.		
Canton (Norfolk)†	4516	4538
Chelsea C. a. Boston		
Chicopee (Hampden)†	11886	14050
Clinston (Worcester)*	8029	10424
Concord (Middlesex)*	3922	4427
Dalton (Berkshire)†	2052	2885
Danvers (Essex)*	6598	7454
Dedham (Norfolk)†	6233	7123
Easthampton (Hampshire)*	4206	4595
Easton (Bristol)†	3902	4493
Everett (Middlesex)*	4159	11068
Fairhaven (Bristol)*	2875	2919
Fall River C. (Bristol)	48961	74398
Fitchburg C. (Worcester)	19429	23037
Foxborough (Norfolk)†	2950	2933
Framingham (Middlesex)†	6235	9239
Franklin (Norfolk)*	4061	4631
Gardner (Worcester)*	4988	8424
Gloucester C. (Essex)	19329	24651
Great Barrington (Berkshire)*	4653	4612
Greenfield (Franklin)*	3903	5252
Haverhill C. (Essex)*	18472	27412
Bradford (Essex)*	2643	3720
Hingham (Plymouth)†	4485	4564

11114

59969⁸⁾

31132

³⁾ Hauptort Saccarappa am Presumpscot River, mit Cumberland Mills (1880: 265 Einw.) zusammenhängend. — ⁴⁾ Hauptort Great Falls am Salomon Falls River 1880 ca 4500 Einw. — ⁵⁾ Brandon hatte 1880 ca 2000 Einw. — ⁶⁾ Die Gemeinde Attleborough war 1880 mit North Attleborough vereinigt. — ⁷⁾ Blackstone hatte 1880 ca 1500 Einw.: es dürfte also auch die Ortsbevölkerung schon 2000 überschritten haben. — ⁸⁾ Seitdem Charlestown mit Boston vereinigt ist, ist die unmittelbare Verbindung mit Somerville-Cambridge hergestellt. Übrigens umfasst Boston noch mehrere abseits liegende Dörfer, darunter sogar die durch Brookline vollständig von der Stadt getrennten Ortschaften Brighton und Allston.

Name.	1880.	1890.
Holbrook (Norfolk)†	2130	2474
Holliston (Middlesex)†	3098	2619
Holyoke C. (Hampden)	21915	35637
Hopkinton (Middlesex)*	4601	4088
Hudson (Middlesex)*	3739	4670
Hyde Park (Norfolk)*	7088	10193
Ipswich (Essex)*	3699	4439
Lawrence C. (Essex)	39151	44654
Lee (Berkshire)†	3939	3785
Lenox (Berkshire)†	2043	2889
Leominster (Worcester)*	5772	7269
Lexington (Middlesex)†	2460	3197
Lowell C. (Middlesex)	59475	77696
Lynn C. (Essex)	38274	55727
Swampscott (Essex)*	2500	3198
Malden C. (Middlesex)	12017	23031
Mansfield (Bristol)†	2765	3432
Marblehead (Essex)*	7467	8202
Marlborough (Middlesex)*	10127	13805
Maynard (Middlesex)*	2291	2700
Medford (Middlesex)†	7573	11079
Melrose (Middlesex)*	4560	8519
Merrimac (Essex)*	2237	2633
Methuen (Essex)*	4392	4814
Middleborough (Plymouth)*	5237	6065
Milford (Worcester)*	9310	8780
Millbury (Worcester)†	4741	4428
Monson (Hampden)†	3758	3650
Nantucket*	3727	3268
Natick (Middlesex)*	8479	9118
Needham (Norfolk)†	9592	3035
New Bedford C. (Bristol)	26845	40733
Newburyport C. (Essex)	13538	13947
Newton C. (Middlesex)	16995	24379
Watertown (Middlesex)*	5426	7073
North Adams (Berkshire)	10191	16074
Northampton C. (Hampshire)	12172	14990 ¹¹⁾
North Andover (Essex)†	3217	3742
North Attleborough (Bristol)*	— ⁶⁾	6727
North Brookfield (Worcester)*	4459	3871
Norwood (Norfolk)*	2345	3733
Orange (Franklin)*	3169	4568
Palmer (Hampden)†	5504	6520
Peabody s. Salem.		
Pittsfield (Berkshire)*	13364	17281
Plymouth*	7093	7314
Provincetown (Barnstable)*	4346	4642
Quincy C. (Norfolk)	10570	16723
Randolph (Norfolk)†	4027	3946
Reading (Middlesex)*	3181	4088
Revere (Suffolk)*	2263	5668
Rockland (Plymouth)*	4553	5213
Rockport (Essex)†	3912	4087
Salem C. (Essex)	27563	30801
Peabody (Essex)*	9028	10158
Saugus (Essex)†	2625	3673
Somerville C. s. Boston.		
Southbridge (Worcester)*	6464	7655
South Hadley (Hampshire)†	3538	4261
Spencer (Worcester)†	7466	8747
Springfield C. (Hampden)	33340	44179 ¹²⁾

Name.	1880.	1890.
Stoneham (Middlesex)*	4890	6155
Stoughton (Norfolk)†	4875	4852
Swampscott s. Lynn.		
Taunton C. (Bristol)	21213	25448
Uxbridge (Worcester)†	3111	3408
Wakefield (Middlesex)*	5547	6982
Waltham C. (Middlesex)	11712	18707
Ware (Hampshire)†	4817	7329
Warren (Worcester)†	3889	4681
Watertown s. Newton.		
Webster (Worcester)*	5696	7031
Westborough (Worcester)*	5214	5195
Westfield (Hampden)*	7587	9805
Westport (Bristol)†	2894	2599
West Springfield (Hampden)†	4149	5077 ¹³⁾
Weymouth (Norfolk)†	10570	10866
Whitman (Plymouth)*	3024	4441
Williamstown (Berkshire)†	3394	4221
Winchendon (Worcester)*	3722	4390
Winchester (Middlesex)*	3802	4861
Winthrop (Suffolk)*	1043	2726
Woburn C. (Middlesex)*	10931	13499
Worcester C.	58291	84655
Wrentham (Norfolk)*	2481	2566

Connecticut.

Ansonia (New Haven)*	—	10542
Bethel B. (Fairfield)	1767	2335
Birmingham B. (New Haven)	3026	4413
Shelton B. (Fairfield)	1362	1952
Brantford (New Haven)	3047	4460
Bridgeport C. (Fairfield)	27643	48866
Bristol (Hartford)*	5347	7382
Danbury C. (Fairfield)	— ¹⁵⁾	16552
East Hartford (Hartford)†	3500	4455
Enfield (Hartford)†	6755	7199 ¹⁴⁾
Farmington (Hartford)†	3017	3179
Greenwich (Fairfield)†	7892	10131
Groton (New London)†	5128	5639 ¹⁶⁾
Guilford (New Haven)†	2782	2780
Haddam (Middlesex)*	2419	2095
Hartford C.	42551	53230
Killingly (Windham)†	6921	7027 ¹⁰⁾
Manchester (Hartford)†	6462	8222
Meriden C. (New Haven)	15540	21652
Middletown C. (Middlesex)	6826	9013
Milford (New Haven)*	3347	3811
Naugatuck (New Haven)†	4274	6218 ¹⁷⁾
New Britain (Hartford)*	13979	19007
New Canaan (Fairfield)*	2673	2701
New Hartford (Litchfield)†	3302	3160
New Haven C.	62882	81298
New London C.	10537	13757
New Milford (Litchfield)*	3907	3917
Norwalk (Fairfield)*	13956	17747
Norwich C. (New London)	15112	16156
Portland (Middlesex)†	4157	4687
Putnam (Windham)*	5827	6512
Ridgfield (Fairfield)†	2028	2235
Rockville C. (Tolland)	5903	7772

⁹⁾ Die Townships Needham und Wellesley waren 1880 noch miteinander vereinigt. — ¹⁰⁾ Die City Newton umfasst außer der eigentlichen Stadt nicht weniger als acht selbständige Ortschaften. Watertown ist mit der Stadt enger verknüpft, als die Bestandteile der City. — ¹¹⁾ Die Orte Florence und Bay State Village, die zur City gehören, sind noch selbständig. — ¹²⁾ Springfield wäre mit West Springfield zu kombinieren, wenn nicht die letztere Gemeinde sehr zerstreut wäre. — ¹³⁾ Gemeinde 1880: 11666, 1890: 19473. — ¹⁴⁾ Thompsonville, der Hauptort von Enfield, hatte 1880 ca 2000 Einw. — ¹⁵⁾ In Groton haben jetzt wahrscheinlich beide Orte: Groton und Myrtle River (1880: 1800 Einw.) über 2000 Einw. — ¹⁶⁾ Hauptort Danielsonville 1880: 3000 Einw. — ¹⁷⁾ Union City (1880: 1207, 1890: 1438 Einw.), die zu dieser Gemeinde gehört, wird an Größe beträchtlich übertroffen von dem Orte Naugatuck.

Name.	1880.	1890.
Seymour (New Haven)*	2318	3300
Southington (Hartford)*	5411	5501
Stafford Springs B. (Tolland)	2081	2353
Stamford (Fairfield)*	11297	15700
Stonington (New London)*	7355	7184
Stratford (Fairfield)†	— ¹⁹⁾	2608
Thompson (Windham)†	5051	5580
Torrington B. (Litchfield)	—	4283
Wallingford B. (New Haven)	3017	4230
Waterbury C. (New Haven)	17806	28646
Wethersfield (Hartford)†	2173	2271
Willimantie B. (Windham)	6608	8648
Windsor (Hartford)†	3058	2954
Windsor Locke (Hartford)*	2332	2758
Winsted B. (Litchfield)	4195	4846

Name.	1880.	1890.
Rhode Island¹⁹⁾		
Bristol*	6028	5478
Burrillville (Providence)†	5714	5492 ²⁰⁾
East Greenwich (Kent)*	2887	3127
East Providence s. Providence.	—	—
Hopkinton (Washington)†	2952	2864
Lincoln (Providence)	13765	20355 ²¹⁾
Newport C.	15693	19457
Pawtucket C. (Providence)	19030	27633
Providence C.	104857	132146
East Providence (Providence)†	5056	8422
Warren (Bristol)†	4007	4489 ²²⁾
Westerly (Washington)†	6104	6813
Woonsocket C. (Providence)	16050	20830

Mittlere atlantische Staaten.

Name.	1880.	1890.
New York.		
Addison V. (Steuben)	1596	2166
Albany C.	30758	94923
Greenbush V. (Rensselaer)	3295	7301
Bath on the Hudson V. (Rensselaer)	2046	2399
Albion V. (Orleans)	—	4586
Amityville V. (Suffolk)	1063	2293
Amsterdam C. (Montgomery)	9466	17336
Athens V. s. Hudson.	—	—
Attica V. (Wyoming)	1935	1994
Auburn C. (Cayuga)	21924	25858
Baldwinsville V. (Onondaga)	2121	3040
Balleton Spa V. (Saratoga)	3011	3527
Batavia V. (Genesee)	4845	7231
Bath V. (Steuben)	3183	3261
Bath on the Hudson V. s. Albany.	—	—
Bayshore V. (Suffolk)	1615	2290
Binghamton C. (Broome)	17317	35005
Brookport V. (Monroe)	4039	3742
Brooklyn C. s. New York.	—	—
Buffalo C. (Erie)	155134	255664
Canajoharie V. (Montgomery)	2013	2089
Canandaigua V. (Ontario)	5726	5868
Canarsie V. (Kings)	1760	2452
Canastota V. (Madison)	1569	2774
Canisteo V. (Steuben)	1907	2071
Canton V. (St. Lawrence)	2049	2580
Carthage V. (Jefferson)	1912	2278
Catekill V. (Greene)	4320	4920
Clyde V. (Wayne)	2826	2638
Cohoes C. (Albany)	19416	22509
Cold Spring V. (Putnam)	2111	— ²³⁾
College Point V. (Queens)	4192	6127
Coney Island V. (Kings)	1184	3313
Cooperstown V. (Otsego)	2199	2657

Name.	1880.	1890.
Corning V. (Steuben)	4802	8550
Corona V. (Queens)	750	2362
Cortland V.	4050	8590
Danville V. (Livingston)	3625	3758
Dobbs Ferry V. (Westchester)	—	2083
Dunkirk C. (Chautauqua)	7248	9416
East Syracuse V. (Onondaga)	1099	2231
Edgewater V. (Richmond)	8044	14265
Ellenville V. (Ulster)	2750	2881
Elmira C. (Chemung)	20541	30893
Fairport V. (Monroe)	1920	2552
Far Rockaway V. (Queens)	—	2288
Fishkill on the Hudson V. (Dutchess)	2503	3617
Finishing V. (Queens)	6683	8463
Fort Edward V. (Washington)	2988	— ²⁴⁾
Fort Hamilton V. (Kings)	—	2617
Fort Plain V. (Montgomery)	2443	2864
Frankfort V. (Herkimer)	1085	2291
Fredonia V. (Chautauqua)	2692	3399
Fulton V. (Oswego)	3941	4214
Genesee V. (Livingston)	1925	2286
Geneva V. (Ontario)	5878	7557
Glens Falls V. (Warren)	4900	9509
South Glens Falls V. (Saratoga)	1083	1606
Gloversville C. (Fulton)	7183	13864
Goshen V. (Orange)	2557	2907
Gouverneur V. (St. Lawrence)	2071	3458
Greenbush V. s. Albany.	—	—
Green Island V. (Albany)	4160	4463
Haverstraw V. (Rockland)	3506	5170
Hempstead V. (Queens)	2521	4831
Herkimer V.	2359	— ²⁵⁾
Highland Falls V. (Orange)	1976	2237
Homer V. (Cortland)	2331	2526
Hoosick Falls V. (Rensselaer)	4530	7014
Hornellsville C. (Steuben)	8195	10996

¹⁹⁾ Mit West Stratford, das seitdem mit Bridgeport vereinigt wurde, 4251 Einw. — ²⁰⁾ Rhode Island besitzt einige stark bevölkerte Gemeinden mit vielen Ortschaften, aber ohne größere Centren; die wichtigsten sind:

	1880.	1890.
Coventry (Kent)	4519	5068
Cranston (Providence)	5940	8099
Cumberland (Providence)	6445	8090
Johnston (Providence)	5765	9778

	1880.	1890.
North Kingston (Washington)	3949	4193
South Kingston (Washington)	5114	4823
Warwick (Kent)	12164	17761

²⁰⁾ Von den vielen Orten dieser Gemeinde hatte nur Pascog 1880 2000 Einw. — ²¹⁾ Hauptort Central Falls mit Pawtucket schon verwachsen, 1880: 3500 Einw. — ²²⁾ Verschiedene, aber zum guten Teil eng benachbarte Ortschaften. — ²³⁾ Nur die Gemeindegahl bekannt. — ²⁴⁾ Früher Fishkill Landing.

Name.	1880.	1890.
Hudson C. (Columbia) . . .	8670	9970
Athens V. (Greene) . . .	2106	2024
Huntington V. (Suffolk) . .	2952	3028
Ilion V. (Herkimer) . . .	3711	4057
Irrvington V. (Westchester) .	1904	2299
Ithaca C. (Tompkins) . . .	9105	11079
Jamieson V. (Queens) . . .	3922	5361
Jamestown C. (Chautauqua) .	9357	16038
Johnstown V. (Fulton) . . .	5013	7768
Keesville V. (Clinton) . . .	2181	2103
Kingston C. (Ulster) . . .	18344	21261
Lansburg V. (Rensselaer) . .	7432	10550
Leroy V. (Genesee) . . .	—	2743
Little Falls V. (Herkimer) . .	6910	8783
Lockport C. (Niagara) . . .	15522	16038
Long Island C. s. New York.	—	2511
Lowville V. (Lewis) . . .	—	2511
Lyons V. (Wayne) . . .	3820	4475
Malone V. (Franklin) . . .	4193	4986
Matteawan V. (Dutchess) . .	4411	4278
Mechanicville V. (Saratoga) .	1265	2679
Medina V. (Orleans) . . .	3632	4492
Middletown C. (Orange) . . .	8494	11977
Mount Morris V. (Livingston)	1899	2286
Mount Vernon V. (Westchester)	4586	10630
Newark V. (Wayne) . . .	2450	2824
New Brighton V. (Richmond)	12679	16423
Newburg C. (Orange) . . .	18049	23067
New Rochelle V. (Westchester)	—	8217
New York C.	1 206299	1 515801
Brooklyn C. (Kings) . . .	566663	806343
Long Island C. (Queens) . .	17129	30506
New York Mills V. (Oneida) . .	1833	2552
Niagara Falls V. (Niagara) . .	3320	5502
North Tarrytown s. Tarrytown.	—	—
North Tonawanda V. (Niagara)	1492	4793
Norwich V. (Chenango) . . .	—	5212
Nyack V. (Rockland) . . .	3881	4111
Ogdensburg C. (St. Lawrence)	10341	11662
Olean V. (Cattaraugus) . . .	3036	7358
Oneida V. (Madison) . . .	3934	6085
Oneonta V. (Otsego) . . .	3002	6272
Oswego C.	21116	21842
Owego V. (Tioga) . . .	5525	—
Palmyra V. (Wayne) . . .	2308	2131
Peeckskill V. (Westchester) . .	6893	9676
Penn Yan V. (Yates) . . .	3475	4254
Plattburg V. (Clinton) . . .	5245	7010
Port Chester V. (Westchester)	3254	5274
Port Henry V. (Essex) . . .	2494	2436
Port Jefferson V. (Suffolk) . .	1724	2026
Port Jervis V. (Orange) . . .	8678	9327
Port Richmond V. (Richmond)	3561	6290
Potsdam V. (St. Lawrence) . .	2762	3961

Name.	1880.	1890.
Poughkeepsie C. (Dutchess) . .	20207	22206
Rochester C. (Monroe) . . .	89366	133896
Rome C. (Oneida) . . .	12194	14991
Salamanca V. (Cattaraugus) . .	2531	3692
Sandy Hill V. (Washington) . .	2487	2895
Saratoga Springs V. (Saratoga)	8421	11975
Saugerties V. (Ulster) . . .	3923	4237
Schenectady C.	13655	19902
Seneca Falls V. (Seneca) . . .	5880	6116
Sing Sing V. (Westchester) . .	6578	9352
Suspension Bridge V. (Niagara)	2476	4405
Syracuse C. (Onondaga) . . .	51792	88143
Tarrytown V. (Westchester)	3025	3562
North Tarrytown V. (Westchester)	2684	3179
Ticonderoga V. (Essex) . . .	—	2267
Tonawanda V. (Erie) . . .	3864	7145
Troy C. (Rensselaer) . . .	56747	60956
West Troy V. (Albany) . . .	8820	12967
Utica C. (Oneida) . . .	53914	44007
Walden V. (Orange) . . .	1804	2132
Walton V. (Delaware) . . .	1389	2299
Wappinger Falls V. (Dutchess)	—	3718
Warsaw V. (Wyoming) . . .	1910	3120
Waterloo V. (Seneca) . . .	3893	4350
Watertown C. (Jefferson) . . .	10697	14725
Waterville V. (Oneida) . . .	—	2024
Watkins V. (Schenyler) . . .	3716	—
Waverly V. (Tioga) . . .	2767	4123
Wellsville V. (Allegany) . . .	2049	3435
Westfield V. (Chautauqua) . .	1924	1983
West Troy V. s. Troy . . .	—	—
Whitehall V. (Washington) . .	4270	4434
White Plains V. (Westchester)	3381	4042
Whitestone V. (Queens) . . .	2520	2808
Yonkers C. (Westchester) . . .	18892	32033

Pennsylvania.

Allegheny C. s. Pittsburgh.	18063	25228
Allentown C. (Lehigh) . . .	19710	30337
Altoona C. (Blair) . . .	1156	2156
Apollo B. (Armstrong) . . .	3049	4032
Archbald B. (Lackawanna) . .	519	2205
Ardmore V. (Montgomery) . .	6052	7346
Ashland B. (Schuylkill) . . .	2799	3192
Ashley B. (Luzerne) . . .	1592	3274
Athens B. (Bradford) . . .	1913	3031
Avoca B. (Luzerne) . . .	1328	2509
Bangor B. (Northampton) . .	5104	9755
Beaver Falls B. (Beaver) . . .	2011	2242
Bedford B.	3026	3946
Bellefonte B. (Center) . . .	564	2009
Beltzhoover B. (Allegheny) . .	2095	2701
Berwick B. (Columbia) . . .	5193	6762
Bethlehem B. (Northampton)	4925	10302
South Bethlehem B. (Northampton)	1705	2261
Birdeboro B. (Berks) . . .	1162	3126
Blairsville B. (Indiana) . . .	871	2452
Blakely B. (Lackawanna) . . .	3702	4635
Bloomsburg B. (Columbia) . . .	2140	3568
Blossburg B. (Tioga) . . .	3310	8561
Braddock B. (Allegheny) . . .	—	—

²⁰⁾ Wenn man alle Städte um die innere Hudsonbay als eine Gruppe auffassen will, so thut man am besten, das ganze County Hudson von New Jersey in die Rechnung einzustellen, weil hier nahezu ein Zusammenhang zwischen den Orten besteht und die zerstreute Bevölkerung nicht sehr ins Gewicht fällt. Wir haben dann folgende Bestandteile:

New York-Brooklyn (s. S. 100) . . .	2 352150
County Hudson	275126
Newark mit Orange und S. Orange (s. S. 102) . .	203780

Elizabeth City (s. S. 102)	37764
New Brighton, Staten Island (s. S. 100) . . .	16423

Summa 2 865243

²¹⁾ Nur Schätzung.

Name.	1890.	1890.	Name.	1890.	1890.
Bradford C. (McKean)	9197	10514	Lock Haven C. (Clinton)	5845	7358
Bridgeport B. s. Norristown	—	—	Luzerne B.	—	3398
Bristol B. (Bucks)	5273	6553	Lykens B. (Dauphin)	2154	2450
Brookville B. (Jefferson)	2136	2478	MacKeesport B. (Allegheny)	8212	20741
Butler B.	3163	8734	Mahanoy City B. (Schuylkill)	7181	11286
Canonsburg B. (Washington)	699	2113	Manheim B. (Lancaster)	1666	2070
Carbondale C. (Lackawanna)	7714	10833	Mansfield B. (Allegheny)	1172	2352
Carlisle B. (Cumberland)	6209	7620	Marietta B. (Lancaster)	2503	2402
Catasauqua B. (Lehigh)	8065	3704	Mauch Chunk B. (Carbon)	3752	4101
Centralia B. (Columbia)	1886	2761	Meadville C. (Crawford)	8860	9520
Chambersburg B. (Franklin)	6877	7863	Mechanicsburg B. (Cumberland)	3018	3691
Chartiers B. (Allegheny)	1852	3983	Media B. (Delaware)	1919	2736
Chester C. (Delaware)	14997	20226	Mercer B.	2344	2138
South Chester B. (Delaware)	3664	7076	Middletown B. (Dauphin)	3351	5080
Upland B. (Delaware)	2028	2275	Millvale B. (Allegheny)	1824	3809
Clarion B.	1169	2164	Milton B. (Northumberland)	2102	5317
Clearfield B.	1809	2248	Minersville B. (Schuylkill)	3249	3504
Coatesville B. (Chester)	2766	3680	Monongahela C. (Washington)	2904	4096
Columbia B. (Lancaster)	8312	10599	Morrellville V. (Cambria)	559	2827
Connellsville B. (Payette)	3609	5629	Mount Carmel B. (Northumberland)	2378	8254
Conshohocken B. (Montgomery)	4561	5470	Monot Pleasant B. (Westmoreland)	1197	3652
Corry C. (Erie)	5277	5677	Nanticoke B. (Luzerne)	3884	10044
Danville B. (Montour)	8346	7998	New Brighton B. (Beaver)	8653	5616
Riverside B. (Northumberland)	336	394	New Castle C. (Lawrence)	8418	11600
Darby B. (Delaware)	1779	2972	Norristown B. (Montgomery)	13063	19791
Dickson City B. (Lackawanna)	838	3110	Bridgeport B. (Montgomery)	1802	2651
Doylestown B. (Bucks)	2070	2519	Northumberland B.	2293	2744
Du Bois B. (Clearfield)	2718	6149	Oil City, C. (Venango)	7315	10932
Dunmore B. s. Scranton	—	—	Olyphant B. (Lackawanna)	2094	4083
Easton C. (Northampton)	11924	14481	Parsons B. (Luzerne)	1498	2412
South Easton B. (Northampton)	4534	5616	Pen Argyl B. (Northampton)	572	2108
Edwardsville B. (Luzerne)	—	3284	Philadelphia C.	847170	1 046 964 ²⁸⁾
Emporium B. (Cameron)	1156	2147	Phillipsburg B. (Center)	1779	3245
Erie C.	27737	40634	Phoenixville B. (Chester)	6682	8514
Etna B. (Allegheny)	2334	3767	Pittsburg C. (Allegheny)	156389	238617
Forest City B. (Susquehanna)	—	2319	Allegheny C.	78682	105287
Frackville B. (Schuylkill)	1707	2520	Pittston B. (Luzerne)	7472	10302
Franklin C. (Venango)	5010	6221	West Pittston B. (Luzerne)	2544	3906
Gallitzin B. (Cambria)	799	2392	Plymouth B. (Luzerne)	6065	9344
Gettysburg B. (Adams)	2814	3221	Pottstown B. (Montgomery)	5305	13285
Gilberton B. (Schuylkill)	3098	3687	Pottsville B. (Schuylkill)	13253	14117
Girardville B. (Schuylkill)	2730	3584	Ponxstantown B. (Jefferson)	674	2792
Glenlyon V. (Luzerne)	—	2255	Quakertown B. (Bucks)	1769	2169
Greensburg B. (Westmoreland)	2500	4202	Reading C. (Berks)	43278	58661
Greenville B. (Mercer)	3007	3674	Renovo B. (Clinton)	3708	4151
Hamburg B. (Berks)	2010	2127	Reynoldsville B. (Jefferson)	1410	2789
Hanover B. (York)	2317	3746	Rochester B. (Beaver)	2552	3649
Harrisburg C. (Dauphin)	30762	39385	Bridgewater B. (Beaver)	1112	1177
Haselton B. (Luzerne)	6935	11872	Saint Clair B. (Schuylkill)	4149	3680
Hollidaysburg B. (Blair)	3150	2975	Schuylkill Haven B. (Schuylkill)	3052	3088
Homestead B. (Allegheny)	592	7911	Scottsdale B. (Westmoreland)	1275	2693
Honesdale B. (Wayne)	2620	2816	Scranton C. (Lackawanna)	45850	75215
Houtdale B. (Clearfield)	2060	2231	Dunmore B. (Lackawanna)	5151	8315
Huntingdon B.	4125	5729	Sewickley B. (Allegheny)	2053	2776
Irwin B. (Westmoreland)	1444	2428	Shamokin B. (Northumberland)	8184	14403
Jeanette B. (Westmoreland)	—	3296	Sharon B. (Mercer)	5684	7459
Jermyn B. (Lackawanna)	1541	2650	Sharpsburg B. (Allegheny)	3466	4898
Johnstown C. (Cambria)	8380	21805	Sharpville B. (Mercer)	1824	2330
Kane B. (McKean)	—	2944	Shenandoah B. (Schuylkill)	10147	15944
Kingston B. (Luzerne)	1418	2381	Shippenburg B. (Cumberland)	2213	2188
Kittanning B. (Armstrong)	2624	3095	Slatings B. (Lehigh)	1654	2716
Lancaster C.	25769	32011	South Bethlehem B. s. Bethlehem.	—	—
Lansford B. (Carbon)	2206	4004			
Latrobe B. (Westmoreland)	1815	3589			
Lebanon C.	8778	14664			
Lewisburg B. (Union)	3080	3248			
Lewistown B. (Mifflin)	3222	3273			

²⁷⁾ Mit Easton hängt auch Phillipsburg in New Jersey (s. S. 102) zusammen; Summe der Bevölkerung: 28741. — ²⁸⁾ Mit dem gegenüberliegenden Camden im Staat New Jersey hat Philadelphia 1 052 771 Einw., Gloucester steht noch in keinem Zusammenhang mit Philadelphia.

Name.	1860.	1890.
South Chester B. s. Chester.		
South Easton B. s. Easton.		
South Williamsport B. (Lycoming)	—	2900
Steele B. (Dauphin)	2447	9250
Stroudsburg B. (Monroe)	1860	2419
Sugar Notch B. (Luzerne)	1582	2586
Sunbury B. (Northumberland)	4077	5930
Susquehanna Depot B. (Susquehanna)	3467	3872
Tamaqua B. (Schuylkill)	5730	6054
Tarentum B. (Allegheny)	1245	4627
Titusville C. (Crawford)	9046	8073
Towanda B. (Bradford)	3814	4169
Tower C. (Schuylkill)	—	7053
Tremont B. (Schuylkill)	1785	2064
Tyrons B. (Blair)	2678	4705
Union City B. (Erie)	2171	2261
Uniontown B. (Fayette)	3265	6359
Upland B. s. Chester.		
Warren B.	2810	4332
Washington B.	4292	7063
Watson B. (Northumberland)	1481	2157
Waynesboro B. (Franklin)	1888	3811
Waynesburg B. (Greene)	1208	2101
Wellsboro B. (Tioga)	2228	2961
West Bethlehem B. (Lehigh)	1414	2759
West Chester B. (Chester)	7046	8028
West Newton B. (Westmoreland)	1475	2285
West Pittston B. s. Pittston.		
Wilkesbarre C. (Luzerne)	23339	37718
Wilkesburg B. (Allegheny)	1529	4662
Williamsport C. (Lycoming)	18934	27132
Williamstown B. (Dauphin)	1771	2324
York B.	13940	20793

New Jersey.

Atlantic City	5477	13055
Bayonne C. (Hudson)	9372	19033
Benton C. (Morris)	2277	(2981) ²⁰⁾
Bordentown C. (Burlington)	4258	4232
Bridgeton C. (Camden)	8722	11474
Burlington C.	6090	7264
Camden C.	41659	58313 ²⁰⁾
Cape May C.	1699	2136
Clinton T. (Hunterdon)	842	1975
Elizabeth City (Union)	28229	37764
Freehold T. (Monmouth)	2432	2932
Gloucester C. (Camden)	5347	6564
Hackensack T. (Bergen)	4248	6004
Hackettstown T. (Warren)	2502	2417
Haddonfield B. (Camden)	1480	2502
Harrison C. s. Newark		
Hoboken C. s. Jersey City		
Jersey City (Hudson)	120722	163003
Hoboken C. (Hudson)	30999	43648 ^{206651²⁰⁾}
Keyport T. (Monmouth)	— ²⁰⁾	3411
Lambertville C. (Hunterdon)	4183	4142
Long Branch T. (Monmouth)	3833	7231

Name.	1860.	1890.
Millville C. (Cumberland)	7660	10002
Morristown C. (Morris)	5418	8156
Newark C. (Essex)	136508	181830
Harrison C. (Hudson)	6898	8338
Orange C. (Essex)	13207	18844
South Orange B. (Essex)	2178	3106
New Brunswick C. (Middlesex)	17166	18603
Newton T. (Sussex)	2513	3003
Ocean Grove T. (Monmouth)	620	2754
Orange C. s. Newark.		
Passaic C.	6532	13028
Paterson C. (Passaic)	51031	78347
Perth Amboy C. (Middlesex)	4808	9512
Phillipsburg C. (Warren)	7181	8644
Plainfield C. (Union)	8125	11267
Princeton B. (Mercer)	3209	3422
Rahway C. (Union)	6455	7105
Raritan B. (Somerset)	2046	2556
Red Bank T. (Monmouth)	2684	4145
Rutherford B. (Bergen)	2299	2293
Salem C.	5056	5516
Somerville B. (Somerset)	3105	3861
South Amboy B. (Middlesex)	3648	4330
South Orange B. s. Newark.		
Swedesboro T. (Gloucester)	1974	2035
Trenton C. (Mercer)	35347	57458
Union T. (Hudson)	5849	10643
Vineland B. (Cumberland)	2519	3822
Washington B. (Warren)	2142	2834
Woodbury C. (Gloucester)	2298	3911

Delaware.

Dover T. (Kent)	2811	3061
Laurel T. (Sussex)	1022	2388
New Castle C.	3700	4010
Smyrna T. (Kent)	2423	2455
Wilmington C. (New Castle)	42478	61431

Maryland.

Annapolis C. (Anne Arundel)	6642	7604
Baltimore C.	352313	434339 ²¹⁾
Cambridge T. (Dorchester)	2262	4192
Cantonville V. (Baltimore)	1712	2115
Chestertown T. (Kent)	2359	2632
Cumberland C. (Allegany)	10693	12729
Easton T. (Talbot)	3005	2939
Elkton T. (Cecil)	1752	2318
Frederick C.	8659	8193
Frostburg T. (Allegany)	—	3804
Hagerstown C. (Washington)	6627	10118
Havre de Grace C. (Harford)	2816	3244
Laurel T. (Prince George)	1206	1984
Salisbury T. (Wicomico)	2581	2905
Sparrow Point T. (Baltimore)	—	2507
Westminster T. (Carroll)	2507	2903

Distrikt Columbia.

Washington	147293	188932 ²⁰²⁹⁷⁸
Georgetown	12578	14046

²⁰⁾ Die Bevölkerungszahl des zum Township Hanover gehörigen Teils ist nicht bekannt. — ²¹⁾ Einschließlich des inzwischen einverleibten Chambersburg. — ²²⁾ Die Grenzen der City Baltimore umfassen auch ein paar Dörfer, die noch nicht mit der Stadt verschmolzen sind.

Nordöstliche Zentralstaaten.

Name.	1860.	1890.	Name.	1860.	1890.
Michigan.			Wisconsin.		
Adrian C. (Lenawee)	7849	8756	Saint Louis V. (Gretiot)	1975	2246
Albion C. (Calhoun)	2716	3763	Sault Sainte Marie C. (Chippewa)	1947	5760
Allegan V.	2305	2669	Stargis V. (St. Joseph)	2060	2489
Alpena C.	6153	11283	Tecumseh V. (Lenawee)	2111	2310
Ann Arbor C. (Washtenaw)	8061	9431	Three Rivers V. (St. Joseph)	2525	3181
Au Sable C. (Jocoe)	1328	4328	Traverse City V. (Grand Traversse)	1897 ¹	4353
Battle Creek C. (Calhoun)	7063	13197	West Bay City a. Bay City.		
Bay City (Bay)	20693	27839	Wyandotte C. (Wayne)	3631	3817
West Bay City (Bay)	6397	12981 ¹	Ypsilanti C. (Washtenaw)	4984	6129
Benton Harbor V. (Berrien)	—	3692			
Bessemer C. (Gogebic)	—	2566	Wisconsin.		
Big Rapids C. (Macostota)	3552	5303	Antigo C. (Langlade)	—	4424
Buchanan V. (Berrien)	1894	1994	Appleton C. (Outagamie)	8005	11869
Cadillac C. (Wexford)	2213	4461	Ashland C.	—	9956
Charlotte C. (Eaton)	2910	3867	Baraboo C. (Sauk)	3266	4605
Choboygan C.	2269	6235	Beaver Dam C. (Dodge)	3416	4222
Coldwater C. (Branch)	4681	5247	Beloit C. (Rock)	4790	6315
Detroit C. (Wayne)	116340	205876	Berlin C. (Green Lake und Waushara)	3353	4149
Dowagiac C. (Cass)	2100	2806	Black River Falls C. (Jackson)	1427	2261
East Tawas V. (Jocoe)	1086	2226	Burlington V. (Racine)	1611	2043
Escanaba C. (Delta)	3026	6808	Chippewa Falls C. (Chippewa)	3982	8670
Fentonville V. (Genesee)	2152	2182	Delavan V. (Walworth)	1798	2038
Flint C. (Genesee)	8409	9803	Eau Claire C.	10119	17415
Grand Haven C. (Ottawa)	4862	5023	Fond du Lac C.	13094	12024
Grand Rapids C. (Kent)	32016	60278	Fort Atkinson C. (Jefferson)	1969	2283
Greenville C. (Montcalm)	3144	3056	Fort Howard C. (Brown)	3083	4754
Hastings C. (Barry)	2531	2972	Green Bay C. (Brown)	7464	9069
Hilledale C.	3441	3915	Hudson C. (St. Croix)	2298	2885
Holland C. (Ottawa)	2620	3945	Hurley V. (Ashland)	—	9267
Houghton V.	1438	2062	Janeville C. (Rock)	9018	10836
Howell V. (Livingston)	2071	2387	Jefferson C.	2115	2287
Hudson V. (Lenawee)	2254	2178	Kaukauna C. (Outagamie)	834	4667
Ionia C.	4190	4482	Kenosha C.	5039	6532
Iron Mountain C. (Menominee)	—	8599	La Crosse C.	14505	25090
Ironwood C. (Gogebic)	—	7745	Lake Geneva C. (Walworth)	1969	2297
Ishpeming C. (Marquette)	6039	11197	Madison C. (Dane)	10324	13426
Jackson C.	16105	20798	Manitowoc C.	6367	7710
Kalamazoo C.	11937	17853	Marinette C.	2750	11523 ²⁾
Lansing C. (Ingham)	8319	13102	Marshfield C. (Wood)	669	3450
Lapeer C.	2911	2753	Menasha C. (Winnebago)	3144	4581
Ludington C. (Mason)	4190	7517	Menomonie C. (Dunn)	2589	5491
Manistee C.	6930	12812	Merrill C. (Lincoln)	—	6809
Manistique V. (Schoolcraft)	—	2940	Milwaukee C.	115587	204468
Marine C. (St. Clair)	1673	3268	Mineral Point C. (Jowa)	2915	2694
Marquette C.	4690	9093	Monroe C. (Green)	3293	3768
Marshall C. (Calhoun)	3795	3968	Neenah C. (Winnebago)	4202	5083
Menominee C.	3288	10630 ²⁾	New London C. (Outagamie und Waupaca)	1808	2050
Midland C.	1529	2277	Oconomowoc C. (Waukesha)	2174	2729
Mount Clemens C. (Macomb)	3057	4748	Oconto C.	4171	5219
Mount Pleasant C. (Isabella)	1115	2701	Oshkosh C. (Winnebago)	15748	22836
Monroe C.	4930	5258	Platteville C. (Grant)	2687	2740
Muskegon C.	11262	22702	Portage C. (Columbia)	4346	5143
Nagaunee C. (Marquette)	3931	6078	Prairie du Chien C. (Crawford)	2777	3131
Niles C. (Berrien)	4197	4197	Racine C.	16031	21014
Osceola V. (Jocoe)	1951	3593	Rhineland V. (Oneida)	—	2658
Ossosco C. (Shiawassee)	2501	6564	Rice Lake C. (Barron)	362	2130
Petoskey V. (Emmet)	1815	2872	Ripon C. (Fond du Lac)	3117	3558
Pontiac C. (Oakland)	4509	6200	Shoboygan C.	7314	16359
Port Huron C. (St. Clair)	8883	13543	Sparta C. (Monroe)	2387	2795
Red Jacket V. (Houghton)	2140	3073	Stevens Point C. (Portage)	4449	7896
Saginaw C.	29541	46322	Stoughton C. (Dane)	1353	2470
Saint Clair C.	1923	2355	Sturgeon Bay C. (Door)	1199	2195
Saint Ignace C. (Mackinac)	934	2704	Superior C. (Douglas)	—	11983
Saint Johns V. (Clinton)	2370	3127	Tomah C. (Monroe)	1245	2199
Saint Joseph V. (Berrien)	2603	3733			

²⁾ Menominee (Mich.) mit dem gegenüberliegenden Marinette (Wisc., S. 103) 22153 Einw.

Name.	1880.	1900.	Name.	1880.	1900.
Brookville T. (Franklin) . . .	1813	2028	Wabash C.	3800	5105
Butler T. (DeKalb)	1056	2521	Warsaw C. (Kosciusko) . . .	3123	3574
Cannelton C. (Perry)	1834	1991	Washington C. (Davies) . . .	4323	6064
Columbia City (Whitley) . . .	2244	3027	West J. Ind. (Dearborn) . . .	290	3201
Columbus C. (Bartholomew) . .	4813	6719	Herrierson T. } Ohio (Hamilton)	1560	16901
Connersville C. (Fayette) . . .	3228	4548	West Indianapolis T. (Marion)	—	3527
Crawfordsville C. (Montgomery)	5251	6089	Winchester T. (Randolph) . .	1958	3014
Decatur C. (Adams)	1905	3142			
Edinburg T. (Johnson)	1814	2031			
Elkhart C.	6953	11360			
Elwood T. (Wadison)	751	2784			
Evansville C. (Vanderburg) . .	29280	50766			
Fort Wayne C. (Allen)	26880	35393			
Frankfort C. (Clinton)	2803	5919			
Franklin C. (Johnson)	3116	3781			
Garrett T. (DeKalb)	1268	2767			
Goshen C. (Elkhart)	4123	6033			
Greencastle C. (Putnam)	3644	4390			
Greenfield C. (Hancock)	2013	3100			
Greensburg C. (Decatur)	3138	3596			
Hammond C. (Lake)	699	5428			
Hartford City T. (Blackford) . .	1470	2287			
Hanghville T. (Marion)	70	2144			
Huntingburg C. (Dubois)	781	3167			
Huntington C.	3836	7328			
Indianapolis C. (Marion)	70556	105436			
Jeffersonville C. (Clark)	9357	10666 ³⁰⁾			
Kendallville C. (Noble)	2373	2960			
Kokomo C. (Howard)	4042	8261			
Lafayette C. (Tippecanoe)	14860	16243			
Laporte C.	6195	7126			
Lawrenceburg C. (Dearborn) . .	4668	4784			
Lebanon C. (Boone)	2625	3682			
Ligonier T. (Noble)	2010	2195			
Logansport C. (Cass)	11198	13328			
Madison C. (Jefferson)	8945	8936			
Marion C. (Grant)	3182	8769			
Martinsville C. (Morgan)	1943	2680			
Michigan City (Laporte)	7366	10776			
Mishawaka T. (St. Joseph) . . .	2640	3371			
Mount Vernon C. (Posey)	3730	4705			
Muncie C. (Delaware)	5219	11345			
New Albany C. (Floyd)	16423	21059 ³⁰⁾			
New Castle T. (Henry)	2299	2697			
Noblesville C. (Hamilton)	2221	3054			
North Manchester T. (Wabash) . .	1585	2384			
North Vernon C. (Jennings) . . .	1842	2012			
Pera C. (Miami)	5280	7028			
Plymouth C. (Marshall)	2570	2723			
Portland C. (Jay)	1694	3725			
Princeton C. (Gibson)	2566	3076			
Richmond C. (Wayne)	12742	16608			
Rochester T. (Fulton)	1869	2467			
Rockport T. (Spencer)	2382	2314			
Rushville C. (Rush)	2615	3475			
Salem T. (Washington)	1615	1975			
Seymour C. (Jackson)	4250	5337			
Shelbyville C. (Shelby)	3745	5451			
South Bend C. (St. Joseph) . . .	13280	21819			
Sullivan T.	2161	2222			
Tell City (Perry)	2112	2094			
Terre Haute C. (Vigo)	26042	30217			
Tipton C.	1250	2697			
Union City (Randolph)	2478	2681			
Valparaiso C. (Porter)	4461	5090			
Vincennes C. (Knox)	7680	8853			

Ohio.

Ada V. (Herdin)	1760	2079
Akron C. (Summit)	16512	27601
Alliance C. (Stark)	4636	7607
Ashland V.	3004	3566
Ashtabula V.	4445	8338
Athens V.	2457	2620
Avondale V. (Hamilton) s. Cincinnati.		
Barnesville V. (Belmont)	2435	3207
Bellaire C. (Belmont)	8025	9934
Bellefontaine V. (Logan)	3998	4245
Bellevue V. (Huron u. Sandusky)	2169	3052
Berea V. (Cuyahoga)	1682	2533
Bowling Green T. (Wood)	1539	3467
Bridgeport V. (Belmont)	2395	3369
Brooklyn V. (Cuyahoga)	1295	4585
Bryan V. (Williams)	2952	3068
Bueyrus C. (Crawford)	3855	5974
Cambridge C. (Guersey)	2863	4361
Canal Dover V. (Tuscarawas) . . .	2206	3470
Canton C. (Stark)	12258	26189
Carthage V. (Hamilton)	—	2257
Celina V. (Mercer)	1346	2702
Chillicothe C. (Ross)	10938	11288
Cincinnati C. (Hamilton)	235139	296908
Avondale V. (Hamilton)	2552	4473 ³⁰⁾
Circleville C. (Pickaway)	6046	6556
Cleveland C. (Cuyahoga)	160146	261353
Clyde V. (Sandusky)	2380	2327
Columbus C. (Franklin)	51647	88150
Conneaut V. (Ashtabula)	1256	3241
Coshocton V.	3044	3672
Crestline C. (Crawford)	2848	2911
Cuyahoga Falls V. (Summit) . . .	2294	2614
Dayton C. (Montgomery)	36678	61220
Defence C.	5907	7694
Delaware C.	6894	8224
Delphos C. (Allen u. Van Wert) . .	3814	4516
Dennison V. (Tuscarawas)	1518	2925
East Cleveland V. (Cuyahoga) . .	2876	— ³⁰⁾
East Liverpool C. (Columbiana) . .	5568	10956
Eaton V. (Preble)	2143	2934
Elyria V. (Lorain)	4777	5611
Findlay C. (Hancock)	4633	18553
Postoria C. (Hancock u. Seneca) . .	3569	7070
Franklin V. (Warren)	2385	2729
Freemont C. (Sandusky)	8446	7141
Galion C. (Crawford)	6535	6326
Gallipolis C. (Gallie)	4400	4498
Geneva V. (Ashtabula)	1903	2194
Greenfield V. (Highland)	2104	2460
Greenville C. (Darke)	3535	5473
Hamilton C. (Butler)	12122	17565
Harrison V. s. West Harrison, Staat Indiana.		
Hicksville V. (Defiance)	1212	2141
Hillsboro V. (Highland)	3234	3620

³⁰⁾ Jeffersonville und New Albany liegen gegenüber von Louisville im Staate Kentucky (s. S. 106); mit diesen hat Louisville 192854 Einw. — ³⁰⁾ Von Cincinnati Vorstädten, Clifton, Avondale, Mt. Auburn, Price's Hill und Walnut Hills, werden im Census-Bulletin nur die beiden erstern genannt und nur von Avondale eine Bewohnerzahl angeführt. Jenseits des Ohio liegen im Staate Kentucky die ebenfalls zu Cincinnati zu rechnenden Städte (s. S. 106) Covington-Newpart, Dayton-Bellview und Ludlow; mit diesen steigt die Bevölkerungszahl auf 373566.

Name.	1860.	1890.
Ironton C. (Lawrence) . . .	8857	10989
Jackson V.	3021	4320
Keet V. (Portage)	3309	3501
Kenton C. (Hardin)	3940	5557
Lancaster C. (Fairfield)	6803	7555
Lebanon V. (Warren)	2703	3060
Leetonia V. (Columbiana)	2552	2826
Lima C. (Allen)	7567	15981
Lockland V. (Hamilton)	1884	2474
Logan C. (Hocking)	2666	3119
London C. (Madison)	3067	3313
Lorain V.	1595	4863
Madisonville V. (Hamilton)	1274	2214
Mansfield C. (Richland)	9859	13473
Marietta C. (Washington)	5444	8273
Marion C.	3899	8327
Martin Ferry C. (Belmont)	3819	6250
Marysville V. (Union)	2061	2810
Massillon C. (Stark)	6836	10092
Medina V.	1484	2073
Miamisburg V. (Montgomery)	1936	2952
Middleport V. (Meigs)	3032	3211
Middletown C. (Butler)	4538	7681
Mount Vernon C. (Knox)	5249	6027
Napoleon V. (Henry)	3032	2764
Nelsonville V. (Athens)	3095	4558
Newark C. (Licking)	9600	14270
New Lisbon V. (Columbiana)	2028	2278
New Philadelphia C. (Tuscarawas)	3070	4456
New Richmond V. (Clermont)	2545	2379
New Straitsville V. (Perry)	2782	2782
Niles C. (Trumbull)	3879	4289
North Baltimore V. (Wood)	701	2857
Norwalk C. (Huron)	5704	7195
Oberlin V. (Lorain)	3242	4376
Painesville V. (Lake)	3841	4755
Piqua C. (Miami)	6031	9090
Pomeroy C. (Meigs)	5560	4726
Port Clinton V. (Ottawa)	1600	2049
Portsmouth C. (Scioto)	11321	12394
Ravenna V. (Portage)	3255	3417
Ripley V. (Brown)	2546	2483
Riverside V. (Hamilton)	1268	2169
Saint Mary V. (Anglaise)	1743	3000
Salem C. (Columbiana)	4041	5780
Salineville V. (Columbiana)	2302	2369
Sandusky C. (Erie)	15838	18471
Shawnee V. (Perry)	2770	3266
Sidney V. (Shelby)	3823	4850
Springfield C. (Clark)	20730	31895
Stuebenville C. (Jefferson)	12093	13394
Tiffin C. (Seneca)	7879	10801
Toledo C. (Lucas)	50137	81434
Toronto V. (Jefferson)	—	2536
Troy V. (Miami)	3803	4494
Uhrichville C. (Tuscarawas)	2790	3842
Upper Sandusky V. (Wyandot)	3540	3572
Urbana C. (Champaign)	6252	6510
Van Wert C.	4079	5512
Wapakoneta V. (Anglaise)	2765	3616
Warren C. (Trumbull)	4428	5973
Washington C. (Payette)	3798	5742

Name.	1860.	1890.
Wauseon V. (Fulton)	1905	2060
Wellington V. (Lorain)	1811	2049
Wellston C. (Jackson)	952	4377
Wellsville C. (Columbiana)	3377	5247
West Cleveland V. (Cuyahoga)	1781	4117
Wilmington C. (Clinton)	2745	3079
Wooster C. (Wayne)	5840	5901
Xenia C. (Greene)	7026	7301
Youngstown C. (Mahoning)	15435	33220
Zanesville C. (Muskingum)	18113	21009

West Virginia.

Name.	1860.	1890.
Benwood T. (Marshall)	—	2934
Charleston C. (Kanawha)	4192	6742
Charlestown T. (Jefferson)	2016	2287
Clarksburg T. (Harrison)	2307	3008
Grafton T. (Taylor)	3030	3159
Hinton T. (Summers)	879	2570
Huntington C. (Cabell)	3174	10108
Keyser T. (Mineral)	1693	2165
Martinsburg T. (Berkley)	6335	7226
Moundsville C. (Marshall)	1774	2688
New Cumberland T. (Hancock)	1218	2305
Parkersburg C. (Wood)	6582	8408
Wellburg C. (Brooke)	1815	2235
Weston T. (Lewis)	1516	2143
Wheeling C. (Ohio)	30737	34522

Kentucky.

Name.	1860.	1890.
Ashland T. (Boyd)	3280	4195
Bellevue T. a. Dayton	—	—
Bowling Green C. (Warren)	5114	7803
[Covington C. (Kenton)	29720	37371
[Newport C. (Campbell)	20433	24918
Cynthiana C. (Harrison)	2101	3016
Danville T. (Boyle)	3074	3766
[Dayton C. (Campbell)	3210	4264
[Bellevue T. (Campbell)	1460	3163
Elizabethtown C. (Hardin)	2526	2260
Frankfort C. (Franklin)	6958	7892
Franklin T. (Simpson)	1686	2324
Glasgow T. (Barren)	1510	2051
Henderson C.	5365	8835
Hopkinsville C. (Christian)	4229	5833
Lebanon C. (Marion)	2054	2816
Lexington C. (Payette)	16656	21567
Louisville C. (Jefferson)	123758	161129
Ludlow T. (Kenton)	—	2469
Mayfield C. (Graves)	1839	2909
Maysville C. (Mason)	5220	5558
Middleboro T. (Bell)	—	3271
Mount Sterling C. (Montgomery)	2087	3629
Newport C. a. Covington	—	—
Nicholasville T. (Jesseamine)	2303	2157
Owensboro C. (Davies)	6231	9837
Paducah C. (McCracken)	8036	12797
Paris C. (Bourbon)	3204	4218
Richmond T. (Madison)	2909	4753
Russellville T. (Logan)	2058	2253
Shelbyville T. (Shelby)	2393	2679
Somersett C. (Pulaski)	805	2625
Winchester T. (Clark)	2277	4519

Nordwestliche Zentralstaaten.

Name.	1860.	1890.
Minnesota.		
Albert Lea C. (Freeborn)	1966	3305
Alexandrie V. (Douglas)	1355	2118
Anoka C.	2706	4252

Name.	1860.	1890.
Austin C. (Mower)	2305	3901
Brainerd C. (Crow Wing)	1863	5703
Chaska V. (Carver)	1068	2210
Cloquet V. (Carlton)	—	2530
Crookston C. (Polk)	1227	3457

Name.	1880.	1890.
Duluth C. (St. Louis) . . .	838	33115
Faribault C. (Rice) . . .	5415	6520
Pergus Falls C. (Ottertail) . . .	1635	3772
Hastings C. (Dakota) . . .	3809	3705
Lake C. (Wabasha) . . .	2596	2128
Little Falls V. (Morrisen) . . .	508	2354
Mankato C. (Blue Earth) . . .	5550	8838
Minneapolis C. (Hennepin) . . .	46887	164738
Port Snelling V. (Hennepin) . . .	352	550
Saint Paul C. (Ramsey) . . .	41473	133156
South St. Paul C. (Dakota) . . .	489	2242
West St. Paul C. (Dakota) . . .	—	1596
Moorhead C. (Clay) . . .	—	2088 ³⁷⁾
New Ulm C. (Brown) . . .	2471	3741
Northfield C. (Rice) . . .	2296	2659
Owatonna C. (Steele) . . .	3161	3849
Red Wing C. (Goodhue) . . .	5876	6294
Rochester C. (Olsted) . . .	5103	5321
Saint Cloud C. (Benton, Sherburne und Stearns) . . .	2462	7686
Saint Paul C. s. Minneapolis . . .	—	—
Saint Peter C. (Nicollet) . . .	3436	3671
South Saint Paul C. s. St. Paul . . .	—	—
Stillwater C. (Washington) . . .	9055	11260
Wabasha C.	2088	2487
Waseca C.	1708	2482
West Duluth V. (St. Louis) . . .	—	3368
Winona C.	10208	18208

North Dakota.

Bismarck C. (Burlingame) . . .	1758	2186
Fargo C. (Cass) . . .	2693	5664 ³⁷⁾
Grand Forks C.	1705	4979
Jamestown C. (Stutsman) . . .	393	2296

South Dakota.

Aberdeen C. (Brown) . . .	—	3182
Deadwood C. (Lawrence) . . .	3777	2366
Huron C. (Beadle) . . .	164	3038
Lead City (Lawrence) . . .	1437	2581
Mitchell C. (Davison) . . .	320	2217
Pierre C. (Hughes) . . .	—	3235
Rapid City (Pennington) . . .	292	2128
Sioux Falls C. (Minnehaha) . . .	2164	10177
Watertown C. (Codington) . . .	746	2672
Yankton C.	3431	3670

Nebraska.

Beatrice C. (Gage) . . .	2447	13836
Blair C. (Washington) . . .	1317	2069
Columbus C. (Platte) . . .	2131	3134
Crete C. (Saline) . . .	1870	2310
David C. (Butler) . . .	1000	2028
Fairbury C. (Jefferson) . . .	1251	2630
Falls C. (Richardson) . . .	1583	2102
Fremont C. (Dodge) . . .	3013	6747
Grand Island C. (Hall) . . .	2963	7536
Hastings (Adams) . . .	2817	13564
Holdrege (Phelps) . . .	—	2601
Kearney (Buffalo) . . .	1782	8074
Lincoln (Lancaster) . . .	13003	55154
McCook C. (Redwillow) . . .	—	2346
Nebraska City (Platte) . . .	4183	11494
Norfolk C. (Madison) . . .	547	3038

Name.	1880.	1890.
North Platte C. (Lincoln) . . .	363	3055
Omaha C. (Douglas) . . .	31396	140452
South Omaha C. (Douglas) . . .	—	8062 ¹⁴⁰⁴⁵²⁾
Plattsmouth C. (Cass) . . .	4175	8392
Schuyler C. (Colfax) . . .	1017	2160
Seward C.	1525	2108
South Omaha C. s. Omaha . . .	—	—
Wahoo City V. (Saunders) . . .	1064	2008
Wymore V. (Gage) . . .	—	2420
York C.	1259	3405

Kansas.

Abilene C. (Dickinson) . . .	2360	3547
Argentine C. (Wyandotte) . . .	—	4732
Arkansas City (Cowley) . . .	1012	8347
Atchison C.	15105	13963 ⁴⁰⁾
Beloit C. (Mitchell) . . .	1835	2455
Burlington C. (Coffey) . . .	2011	2239
Chanute C. (Neosho) . . .	887	2826
Cherryville C. (Montgomery) . . .	690	2104
Chetopa C. (Labette) . . .	1305	2365
Clay Centre C. (Clay) . . .	1758	2802
Coffeyville C. (Montgomery) . . .	753	2282
Columbus C. (Cherokee) . . .	1164	2160
Concordia C. (Cloud) . . .	1853	3184
Council Grove C. (Morris) . . .	1042	2211
Eldorado C. (Butler) . . .	1411	3339
Emporia C. (Lyon) . . .	4631	7551
Enreka C. (Greenwood) . . .	1127	2259
Fort Scott C. (Bourbon) . . .	5372	11946
Galeana C. (Cherokee) . . .	1463	2496
Garnett C. (Anderson) . . .	1389	2191
Girard C. (Crawford) . . .	1289	2541
Great Bend C. (Barton) . . .	1071	2450
Hiawatha C. (Brown) . . .	1375	2486
Holton C. (Jackson) . . .	—	2727
Horton C. (Brown) . . .	—	3316
Hutchinson C. (Reno) . . .	1540	8682 ⁴¹⁾
Independence C. (Montgomery) . . .	2915	5127
Junction C. (Geary) . . .	2684	4502
Kansas City s. Staat Missouri . . .	—	—
Kingman C.	—	2390
Lawrence C. (Douglas) . . .	8510	9997
Leavenworth C.	16546	19768
MacPherson C.	1590	3172
Manhattan C. (Riley) . . .	2105	3004
Marion C.	857	2047
Newton C. (Harvey) . . .	2601	5605
Olathe C. (Johnson) . . .	2285	5294
Ossage City	2098	3469
Osawatomie C. (Miami) . . .	681	2662
Oswego C. (Labette) . . .	2351	2574
Ottawa C. (Franklin) . . .	4032	6248
Paola C. (Miami) . . .	2312	2943
Parsons C. (Labette) . . .	4199	6736
Pittsburg C. (Crawford) . . .	624	6697
Rosedale C. (Wyandotte) . . .	962	2276
Salina C. (Saline) . . .	3111	6149
Seneca C. (Nebraska) . . .	1203	2032
Topeka C. (Shawnee) . . .	15452	31007
Weir C. (Cherokee) . . .	376	2138
Wellington C. (Sumner) . . .	2694	4391
Wichita C. (Sedgwick) . . .	4911	23853
Winfield C. (Cowley) . . .	2844	5184

³⁷⁾ Die einander gegenüberliegenden Städte am Red River, Moorhead in Minnesota und Fargo in North Dakota, haben zusammen 7752 Einw. — ³⁸⁾ Einschließlich des Saratoga Precinct, das erst nach 1880 der City einverleibt wurde. — ³⁹⁾ Die Kombination mit South Omaha nach Reclna. Das gegenüberliegende Council Bluffs (Iowa) liegt noch durch eine weite Flussebene von Omaha getrennt. — ⁴⁰⁾ Mit dem gegenüberliegenden Winthrop T., Miss. (Buchanan), das 1880 496 und 1890 1164 Einw. zählte, hatte Atchison 1890 15127 Einw. — ⁴¹⁾ Für South Hutchinson C., das auf dem rechten Ufer des Arkansas liegt, gibt das Census-Bull. für 1890 keine Zahl (1880: 321 Einw.).

Name.	1880.	1890.
Iowa.		
Albia C. (Monroe)	2435	2359
Algona C. (Keeuth)	1359	2068
Anamosa C. (Jones)	2083	2078
Atlantic C. (Case)	3662	4351
Belle Plaine C. (Benton)	1889	2823
Boone C.	3330	6520
Burlington C. (Des Moines)	19450	22565
Carroll T.	1385	2448
Cedar Falls C. (Blackhawk)	3020	3459
Cedar Rapids C. (Linn)	10104	18020
Centerville C. (Appanoose)	2475	3668
Chariton C. (Lucas)	2977	3129
Charles C. (Floyd)	2421	2802
Cherokee T.	1523	3441
Clarinda C. (Page)	2011	3362
Clinton C.	9052	13619
Lyons C. (Clinton)	4095	5789
Council Bluffs C. (Pottawat-		19418 ⁴⁹⁾
tamia)	18063	21474
Cresco T. (Howard)	1875	2018
Creston C. (Union)	5081	7200
Davenport C. (Scott)	21831	26873 ³⁸⁾
Decorah C. (Winnebago)	2951	2801
Des Moines C. (Polk)	22408	50093
Dubuque C.	22254	30311
Fairfield C. (Jefferson)	3086	3391
Fort Dodge C. (Webster)	3566	4871
Fort Madison C. (Lee)	4679	7901
Grinnell C. (Poweshiek)	2415	3352
Hampton T. (Franklin)	1598	2067
Independence C. (Buchanan)	3128	3163
Indianola C. (Warren)	4110	2254
Iowa City (Johnson)	7123	7016
Keokuk C. (Lee)	12117	14101
Knoxville C. (Marion)	2577	2632
Le Mare C. (Plymouth)	1895	4036
Lyons C. s. Clinton.		
Manchester C. (Delaware)	2275	2344
Maquoketa C. (Jackson)	2467	3077
Marion C. (Linn)	1939	3094
Marshalltown C. (Marshall)	6240	8914
Mason City (Cerro Gordo)	2510	4007
Miesouri Valley T. (Harrison)	1154	2797
Mount Pleasant C. (Henry)	4410	3997
Muscataine C.	8295	11454
Newton C. (Jasper)	2607	2564
Oseola C. (Clarke)	1769	2120
Oskaloosa C. (Mahaska)	4598	6558
Ottumwa C. (Wapello)	9004	14001
Pella C. (Marion)	2480	2408
Perry C. (Dallas)	952	2880
Red Oak C. (Montgomery)	3755	3321
Shenandoah T. (Page)	1387	2440
Sionx City (Woodbury)	7366	7806
Stuart T. (Adair and Guthrie)	1994	2052
Vinton C. (Benton)	2906	2865
Washington C.	2949	3235
Waterloo C. (Blackhawk)	5630	6674
Waverly C. (Bremer)	2345	2346
Webster C. (Hamilton)	1848	2829

Name.	1880.	1890.
Whet Cheer C. (Keokuk)	719	3246
Winterset C. (Madison)	2583	2281
Missouri.		
Aurora C. (Lawrence)	—	3482
Bonne Terre V. (St. Francois)	—	3719
Boonville C. (Cooper)	3854	4141
Brookfield T. (Linn)	2264	4547
Butler, C. (Bates)	2162	2812
Cameron C. (Clinton)	2109	2917
Canton T. (Lewis)	2632	2241
Cape Girardeau C.	3889	4297
Carrollton C. (Carroll)	2313	3678
Cartersville C. (Jasper)	483	2884
Cartersville C. (Jasper)	4167	7981
Chillicothe C. (Livingston)	4078	5717
Clinton C. (Henry)	2668	4737
Columbia T. (Boone)	3326	4000
De Soto C. (Jefferson)	1989	3960
Excelsior Springs C. (Clay)	—	7034
Fayette C. (Howard)	1247	3247
Fulton C. (Callaway)	2409	4314
Hannibal C. (Marion)	11074	12857
Higginsville V. (Lafayette)	797	2342
Holden C. (Johnson)	2014	2520
Independence C. (Jackson)	3146	6380
Jefferson C. (Cole)	5271	6742
Joplin C. (Jasper)	7038	9943
Kansas City (Mo. Jackson)	55785	132716
Kansas City (Kan. Wyandotte)	42) 9349	38316
Kirkville C. (Adair)	2314	3510
Lamar T. (Barton)	907	2860
Lebanon T. (Laclede)	1419	2218
Lexington C. (Lafayette)	3996	4537
Liberty C. (Clay)	1476	2558
Louisiana C. (Pike)	4326	5090
Macon C.	3046	3371
Marcelline T. (Linn)	—	1977
Marshall C. (Saline)	2701	4297
Maryville O. (Nodaway)	3485	4037
Mexico C. (Andrain)	3835	4789
Moberly C. (Randolph)	6070	8215
Montgomery City T.	1165	2199
Neosho C. (Newton)	1631	2198
Nevada C. (Vernon)	1913	7262
Palmyra C. (Marion)	2479	2515
Pierce C. (Lawrence)	1350	2511
Pleasant Hill T. (Cass)	2372	2217
Poplar Bluff C. (Butler)	791	2187
Rich Hill C. (Bates)	—	4006
Richmond C. (Ray)	1424	2895
Saint Charles C.	5014	6161
Saint Joseph C. (Buchanan)	32431	52324
Saint Louis C.	350518	451770 ⁴⁴⁾
Sedalia C. (Pettie)	9561	14068
Slaters City T. (Saline)	771	2400
Springfield C. (Greene)	6522	21850
Stanberry C. (Gentry)	1207	2035
Trenton C. (Grundy)	3312	5039
Warrensburg C. (Johnson)	4049	4706
Webb City (Jasper)	1588	5043
West Plains C. (Howell)	351	2091

Südatlantische Staaten.

Name.	1880.	1890.
Virginia ⁴⁵⁾		
Alexandria C.	13659	14339
Bedford ⁴⁶⁾ C.	2191	2897

Name.	1880.	1890.
Berkley T. s. Norfolk.	—	3902
Bristol T. Va. (Washington)	—	3324
Tenn. (Sullivan)	1647	6226

⁴²⁾ Clinton und Lyons sind schon durch eine Häuserreihe verbunden. Mit dem gegenüberliegenden Fulton (Illinois) beträgt die Bewohnerzahl 21517. — ⁴³⁾ Mit dem seit 1880 einverleibten Wyan-

Name.	1880.	1890.	Name.	1880.	1890.
Charlottesville C. (Albemarle)	2676	5591	Chester T.	1899	2703
Danville C. (Pittsylvania)	7528	10305	Clifton T. (Spartanburg)	—	2639
Farmville T. (Prince Edward)	2058	2404	Columbia C. (Richland)	10036	15353
Fredericksburg C. (Spotsylvania)	5010	4528	Darlington T.	940	2389
Hampton T. (Elizabeth City)	—	2513	Florence T.	1914	3395
Harrisonburg C. (Rockingham)	2831	2792	Georgetown T.	2557	2895
Lexington T. (Rockbridge)	2771	3059	Greenville C.	6160	8607
Lynchburg C. (Campbell)	15959	19709	Laurens T.	752	2245
Manchester C. s. Richmond	—	—	Newberry T.	2342	3020
Newport News T. (Warwick)	—	4449	Orangeburg C.	2140	2964
Norfolk C.	21966	34871	Piedmont T. (Greenville und	—	—
Berkley T. (Norfolk)	—	3899	Anderson)	565	2436
Portsmouth C. (Norfolk)	11390	13268	Rock Hill T. (York)	809	2744
North Dauville T. (Pittsylvania)	1200	3799	Spartanburg C.	3253	5544
Petersburg C. (Dinwiddie)	21656	22680	Summersville T. (Berkley und	—	—
Pocahontas T. (Tazewell)	—	2953	Colleton)	1371	2219
Portsmouth C. s. Norfolk	—	—	Sumter C.	2011	3865
Palaski T.	—	2112	Georgia.		
Radford T. (Montgomery)	—	2060	Albany T. (Dougherty)	3216	4008
Richmond C. (Henrico)	63600	61388	Americus C. (Sumter)	3635	6398
Manchester C. (Chesterfield)	5729	9246	Athens C. (Clarke)	6099	8639
Roanoke C.	—	16159	Atlanta C. (Fulton)	37409	65583
Salem T. (Roanoke)	1759	3279	Augusta C. (Richmond)	21891	33300
Staunton C. (Augusta)	6664	6975	Brownsville C. (Glynn)	2891	8459
Suffolk T. (Nansemond)	1963	3354	Cartersville C. (Bartow)	2037	3171
West Point T. (King William)	557	2018	Columbus C. (Muscogee)	10123	17303
Winchester C. (Frederick)	4958	5196	Cuthbert T. (Randolph)	2129	7328
Wytheville T. (Wythe)	1885	2570	Dalton C. (Whitefield)	2516	3046
North Carolina.			Dawson T. (Terrell)	1576	2284
Asheville C. (Baucombs)	2616	10235	Gainesville C. (Hall)	1919	3202
Beaufort T. (Carter)	2009	2007	Griffin C. (Spalding)	3620	4503
Charlotte C. (Mecklenburg)	7094	11557	Lagrange C. (Troup)	2295	3090
Concord C. (Cabarrus)	1264	4339	Macon C. (Bibb)	17749	22746
Durham C.	2041	5486	Madison C. (Morgan)	1974	2131
Edenton T. (Chowan)	1382	2205	Marietta C. (Cobb)	2227	3384
Elizabeth City T. (Pasquotank)	2315	3251	Milledgeville C. (Baldwin)	3800	3322
Fayetteville T. (Cumberland)	3485	4222	Newnan C. (Coweta)	3006	2859
Goldboro C. (Wayne)	3286	4017	Rome C. (Floyd)	3877	6957
Greensboro C. (Guilford)	2105	3317	East Rome T. (Floyd)	—	514
Henderson T. (Vance)	1421	4191	Forestville T. (Floyd)	529	771
Hickory T. (Catawba)	—	3023	Savannah C. (Chatham)	30709	43189
New Berns C. (Craven)	6443	7843	Thomasville T. (Thomas)	2555	5514
Oxford T. (Granville)	1349	2907	Valdosta T. (Lowndes)	1815	2854
Raleigh C. (Wake)	9265	12678	Washington V. (Wilkes)	2199	2631
Reidsville T. (Rockingham)	1316	2969	Waycross T. (Ware)	638	3364
Salem C. s. Winston	—	—	Florida.		
Salisbury C. (Rowan)	2728	4418	Apalachicola C. (Franklin)	1336	2727
Statesville C. (Iredell)	1062	2318	Fernandina C. (Nassau)	2562	2803
Washington T. (Beaufort)	2462	3545	Gainesville C. (Alachua)	—	2790
Wilmington C. (New Hanover)	17350	20056	Jacksonville C. (Duval)	7650	17901
Wilson T.	1475	2126	Key West C. (Monroe)	9890	18080
Winston C. (Forsyth)	2854	8018	Lake City T. (Columbia)	1379	2090
Salem C. (Forsyth)	1340	2711	Ocala C. (Marion)	803	2904
South Carolina.			Orlando C. (Orange)	—	2856
Aiken T.	1817	2362	Palatka C. (Putnam)	1616	3089
Auderson T.	1850	3018	Pensacola C. (Escambia)	6845	11750
Beaufort T.	2549	3587	Saint Augustine C. (St. Johns)	2293	4742
Camden T. (Kershaw)	1780	3533	Sanford C. (Orange)	—	2016
Charleston C.	49984	64955	Tallahassee C. (Levy)	2494	2984
			Tampa C. (Hillsborough)	720	5532

Südöstliche Zentralstaaten.

Name.	1880.	1890.	Name.	1880.	1890.
Tennessee.					
Athens V. (McMinn)	1100	2224	Brownsville C. (Haywood)	—	2516
Bristol T. s. Staat Virginia	—	—	Chattanooga C. (Hamilton)	12892	29100
			Clarksville C. (Montgomery)	3880	7924

dote C. — ⁴⁵) Mit dem gegenüberliegenden East St. Louis (Illinois) hat St. Louis 466939 Einw. — ⁴⁶) Da nie das Census-Bulletin über Virginia nicht bekam, so haben wir die Tabelle aus dem Bull. Nr. 165, die alle Orte über 1000 Einw. in alphabetischer Reihenfolge enthält, ausgesogen. — ⁴⁷) Früher Liberty T.

Name.	1880.	1890.
Cleveland T. (Bradley) . . .	1874	2863
Columbia T. (Maury) . . .	3400	5370
Dayton C. (Rhea) . . .	200	2719
Dyersburg C. (Dyer) . . .	1010	2009
Fayetteville T. (Lincoln) . . .	2104	2410
Franklin T. (Williamson) . . .	1632	2250
Gallatin T. (Sumner) . . .	1938	2078
Jackson C. (Madison) . . .	5377	10039
Johnson C. (Washington) . . .	685	4161
Knoxville C. (Knox) . . .	9693	22535
Memphis C. (Shelby) . . .	33592	64496
Murfreesboro C. (Rutherford) . . .	3800	3739
Nashville C. (Davidson) . . .	43350	76168
North Knoxville T. (Knox) . . .	—	2297
Pinckney T. (Giles) . . .	2089	2274
Rockwood T. (Roane) . . .	1011	2429
Saint Elmo V. (Hamilton) . . .	—	2577
Tallahoma V. (Coffee) . . .	1083	2439
Union City T. (Obion) . . .	1879	3441
West Knoxville T. (Knox) . . .	—	2114

Alabama.

Anniston C. (Calhoun) . . .	942	9998
Bessemer T. (Jefferson) . . .	—	4544
Birmingham C. (Jefferson) . . .	3086	26178
Decatur C. (Morgan) . . .	1063	2765
Eufaula C. (Barbour) . . .	3836	4394
Florence C. (Lauderdale) . . .	1359	6012
Fort Payne C. (DeKalb) . . .	—	2698
Gadsden T. (Etowah) . . .	1697	2901
Greenville C. (Butler) . . .	2471	2806
Huntsville T. (Madison) . . .	4977	7995
Marion T. (Perry) . . .	2074	1982
Mobile C.	29132	31076

Name.	1880.	1890.
Montgomery C.	16713	21883
New Decatur T. (Morgan) . . .	—	3565
Opelika C. (Lee) . . .	3245	3703
Phoenix C. ⁴⁷⁾ (Lee) . . .	2224	3700
Selma C. (Dallas) . . .	7529	7622
Sheffield C. (Colbert) . . .	—	2731
Talladega C.	1233	2063
Troy C. (Pike) . . .	2294	3449
Tuscaloosa C.	2418	4215
Tuscumbia C. (Colbert) . . .	1369	2491
Union Springs T. (Bullock) . . .	1862	2049

Mississippi.

Aberdeen C. (Monroe) . . .	2339	3449
Bay Saint Louis C. (Hancock) . . .	1978	1974
Biloxi C. (Harrison) . . .	1540	3234
Brookhaven T. (Lincoln) . . .	1615	2142
Canton C. (Madison) . . .	2083	2131
Columbus C. (Lowndes) . . .	3955	4559
Corinth C. (Alcorn) . . .	2275	2111
Greenville T. (Washington) . . .	2191	6658
Grenada T.	1914	2416
Holly Springs C. (Marshall) . . .	2370	2246
Jackson C. (Hinds) . . .	5204	5970
McComb City T. (Pike) . . .	1982	2583
Meridian C. (Lauderdale) . . .	4008	10624
Natchez C. (Adams) . . .	7058	10101
Okolona T. (Chickasaw) . . .	1858	2099
Vicksburg C. (Warren) . . .	11814	13373
Water Valley T. (Yalobusha) . . .	2220	2832
Wesson T. (Copiah) . . .	1707	3168
West Point T. (Clay) . . .	1786	2762
Yesso C.	2542	3286

Südwestliche Zentralstaaten.

Name.	1880.	1890.
Arkansas.		
Arkadelphia T. (Clark) . . .	1506	2455
Batesville T. (Independence) . . .	1264	2150
Camden C. (Ouachita) . . .	1503	2571
Eureka Springs C. (Carroll) . . .	3984	3706
Fayetteville C. (Washington) . . .	1788	2942
Fort Smith C. (Sebastian) . . .	3099	11311
Helena C. (Phillips) . . .	3652	5189
Hot Springs C. (Garland) . . .	3554	8086
Jonesboro T. (Craighead) . . .	—	7065
Little Rock C. (Pulaski) . . .	13138	25874
Pine Bluff C. (Jefferson) . . .	3203	9952
Texarkana C. } Ark. (Miller) . . .	1390	3528
} Tex. (Bowie) . . .	1833	2852
Van Buren C. (Crawford) . . .	1029	2291

Louisiana.

Alexandria T. (Rapides) . . .	1800	2861
Baton Rouge C. (East Baton Rouge) . . .	7197	10478
Donaldsonville T. (Ascension) . . .	2600	3121
Franklin T. (St. Mary) . . .	1702	2127
Gretna T. s. New Orleans . . .	—	2106
Lafayette T.	838	3442
Lake Charles T. (Calcasieu) . . .	—	—
McDonoughville T. s. New Orleans . . .	—	—
Monroe C. (Ouachita) . . .	2070	3256
Morgan C. (St. Mary) . . .	2015	2291

Name.	1880.	1890.
New Iberia T. (Iberia) . . .	2709	3447
New Orleans C.	216090	243039
Gretna T. (Jefferson) . . .	2396	3332
McDonoughville T. (Jefferson) . . .	—	2235
Plaquemine T. (Iberville) . . .	2061	3232
Shreveport C. (Caddo) . . .	8009	11979
Thibodaux T. (Lafourche) . . .	1515	2078

Texas.

Ablene T. (Taylor) . . .	—	3194
Austin C. (Travis) . . .	11013	14575
Beaumont C. (Jefferson) . . .	—	3296
Belton C. (Bell) . . .	1797	3000
Bonham T. (Pannin) . . .	1880	3361
Brenham C. (Washington) . . .	4101	5209
Brownville C. (Comeron) . . .	4938	6134
Brownwood C. (Brown) . . .	725	2176
Bryan C. (Brazos) . . .	—	2979
Calvert C. (Robertson) . . .	2880	2632
Cleburne T. (Johnson) . . .	1855	3278
Columbus C. (Colorado) . . .	1959	2199
Corpus Christi C. (Nueces) . . .	3257	4387
Corrigan C. (Navarro) . . .	3373	6285
Dallas C.	10358	38067
Del Rio T. (Valverde) . . .	50	1980
Denison T. (Grayson) . . .	3975	10958
Denton C.	1194	2558
Dublin C. (Brazh) . . .	264	2025
El Paso C.	736	10338

⁴⁷⁾ Früher Brownville oder Lively.

Name.	1860.	1890.
Ennis C. (Ellis)	1351	2171
Fort Worth C. (Tarrant)	6663	23076
Gainesville C. (Cooke)	2667	6594
Galveston C.	22748	29084
Georgetown T. (Williamson)	1354	2447
Greenville T. (Hunt)	—	4330
Henrietta T. (Clay)	—	2100
Hillsboro C. (Hill)	—	2541
Honeton C. (Harris)	16513	27557
Jefferson C. (Marion)	3260	3072
Lampasas T.	653	2408
Laredo C. (Webb)	3521	11319
Longview T. (Gregg)	1525	2034
Mackinney C. (Kollin)	1479	2489
Marlin T. (Falls)	—	2058
Marshall C. (Harrison)	5624	7207
Navasota C. (Grimes)	1611	2997
Oak Cliff V. (Dallas)	—	2470
Orange C.	—	3173
Palestine C. (Anderson)	2997	5838
Paris C. (Lamar)	3980	6254

Name.	1880.	1890.
San Angelo T. (Tom Green)	—	2615
San Antonio C. (Bexar)	20550	37673
San Marcos T. (Hays)	—	1232
Sherman C. (Grayson)	6093	7335
Sulphur Springs T. (Hopkins)	1854	3038
Taylor T. (Williamson)	—	2584
Temple C. (Bell)	—	4047
Terrell C. (Kaufman)	2003	2988
Texarkana C. s. Staat Arkansas.		
Tyler T. (Smith)	2423	6908
Vernon T. (Wilbarger)	—	2857
Victoria C.	—	3046
Waco C. (McLennan)	7295	14445
Waxahachie T. (Ellis)	1354	3076
Weatherford C. (Parker)	2046	3369
Wichita Falls T. (Wichita)	—	1987
Oklahoma.		
East Guthrie T. (Logan)	—	2141
Guthrie T. (Logan)	—	2788
Oklahoma C.	—	4151

Felsengebirge.

Name.	1880.	1890.
Montana.		
Anaconda C. (Deerlodge)	—	3975
Bozeman C. (Gallatin)	894	2143
Butte City (Silverbow)	3363	10723
Great Falls C. (Cascade)	—	3979
Helena C. (Lewis and Clarke)	3624	13834
Livingston C. (Park)	—	2850
Missoula C.	—	3426
Wyoming.		
Cheyenne C. (Laramie)	3456	11690
Evanston T. (Uinta)	1277	1995
Laramie C. (Albany)	2696	6388
Rawlins C. (Carbon)	1451	2235
Rock Springs T. (Sweetwater)	763	3406
Colorado.		
Aspen C. (Pitkin)	—	5108
Beesemer T. s. Pueblo.		
Boulder C.	3069	3330
Canon City (Fremont)	1501	2825
Central City (Gipps)	2626	2480

Name.	1880.	1890.
Colorado Springs C. (El Paso)	4226	11140
Colorado City (El Paso)	1788	847
Denver C. (Arapahoe)	35629	106713
Highlands T. (Arapahoe)	—	5161
Durango T. (La Plata)	—	2726
Fort Collins T. (Larimer)	1356	2011
Georgetown T. (Clear Creek)	3294	1927
Golden C. (Jefferson)	2730	3583
Grand Junction C. (Mesa)	—	2030
Greeley T. (Weld)	1297	2395
Highlands T. s. Denver.		
Leadville C. (Lake)	14820	10384
Oray T.	864	2534
Pueblo C.	3217	24558
Beesemer T. (Pueblo)	—	27875
Salida T. (Chaffee)	—	2586
Trinidad C. (Las Animas)	2226	5623
New Mexico.		
Albuquerque T. (Alte Stadt)	2315	1733
Bernalillo (Nene Stadt)	—	3785
East Las Vegas T. (S. Miguel)	—	2312
Las Vegas C. (S. Miguel)	—	2385
Santa Fe C.	6635	6185
Silver City (Grant)	1800	2102

Plateau.

Name.	1880.	1890.
Idaho.		
Boise City (Ada)	1899	2311
Utah.		
Brigham C. (Bozelder)	1877	2139
Logan C. (Cache)	3396	4565
Manti C. (Sanpete)	1748	1950
Mount Pleasant C. (Sanpete)	2004	2254
Nophi C. (Juab)	1797	2034
Ogden C. (Weber)	6069	14889
Park City (Summit)	1542	2850
Payson C. (Utah)	1788	2185
Provo City (Utah)	3432	5159

Name.	1880.	1890.
Salt Lake City	20768	44843
Spanish Fork C. (Utah)	2304	2214
Springville C. (Utah)	2312	2849
Nevada.		
Carson City (Ormsby)	4229	3950
Eureka T.	4207	1609
Virginia City (Storey)	10917	8511
Arizona.		
Phoenix C. (Maricopa)	1708	3152
Tombstone C. (Cochise)	973	1875
Tucson C. (Pima)	7007	5150

Pazifische Staaten.

Name.	1880.	1890.	Name.	1880.	1890.
Washington.			Eureka C. (Humboldt) . . .	2639	4858
Centralia C. (Lewis) . . .	—	2026	Fresno C.	1112	10818
Ellensburg C. (Kittitas) . . .	—	2768	Los Angeles C.	11183	50395
Fairhaven C. (Whatcom) . . .	—	4076	Marysville C. (Yuba) . . .	4321	3991
Olympic C. (Thurston) . . .	1232	4698	Merced C.	1446	2009
Port Townsend C. (Jefferson) . .	917	4558	Modesto T. (Stanislaus) . .	1693	2402
Seattle C. (King)	3533	42837	Napa C.	3731	4395
Spokane Falls C. (Spokane) . .	149	1993	Nevada C.	4002	2524
Spokane C.	350	19922	Oakland C. (Alameda) . . .	34555	48682
Takoma C. (Pierce)	1098	36006	Passadena C. (Los Angeles) .	391	4882
Vancouver C. (Clarke)	1722	3545	Petaluma C. (Sonoma) . . .	3326	3692
Walla Walla C.	3588	4709	Pomona C. (Los Angeles) . .	—	3634
Whatcom C.	—	4059	Red Bluff C. (Tehama) . . .	2106	2608
Oregon.			Riverside C. (S. Bernardino) .	—	4683
Albany C. (Linn)	1867	3079	Sacramento C.	21420	26386
Albina C. s. Portland.	—	—	Salinas C. (Monterey) . . .	1854	2339
Astoria C. (Clatsop)	2803	6184	San Bernardino C.	1673	4012
Baker C.	1258	2604	San Buena Ventura C. (Ventura)	1370	2320
East Portland C. s. Portland. . .	—	—	San Diego C.	2637	16159
Lagrange C. (Union)	—	2583	San Francisco C.	238959	298997
Oregon City (Clackamas)	1263	3062	San José C. (S. Clara) . . .	12567	18060
Pendleton T. (Umatilla)	730	2506	San Luis Obispo C.	2243	2995
Portland C. (Multnomah)	17577	46385	San Rafael T. (Marin) . . .	2276	3290
East Portland C. (Multnomah)	2934	10532	Santa Anna C. (Orange) . . .	711	3628
Albina C. (Multnomah)	143	5129	Santa Barbara C.	3460	5864
California.			Santa Clara T.	2416	2891
Alameda C.	5708	11165	Santa Cruz C.	3898	5596
Bakersfield T. (Kern)	801	2626	Santa Rosa (Sonoma)	3616	5220
Benicia C. (Solano)	1794	2361	Stockton C. (S. Joaquin) . .	10282	14424
Berkeley T. (Alameda)	—	5101	Tulare C.	447	2697
Chico C. (Butte)	3300	2894	Vallejo C. (Soleno)	5987	6543
			Visalia T. (Tulare)	1412	2885
			Watsonville C. (S. Cruz) . .	1799	2149
			Woodland C. (Yolo)	2257	3069

Alaska 1890.

Eine genaue Parallelisierung der Listen für 1880 und 1890 ist nicht durchführbar, wir versichten daher auf die Ergebnisse des vorletzten Census. Alle Orte mit mehr als 100 Einw. sind aufgenommen, Zahlen, die ausdrücklich für mehrere Ortschaften zusammen gelten, aber nicht berücksichtigt. P. O. bedeutet Post Office.

Südöstlicher Distrikt.		Kadiak (St. Paul)		Nushagak-Distrikt.	
Burrough Bay	134	Kaguak	495	Bradford	166
Chilkat	153	Karikuk	1123	Carmel	189
Chilkoot Mission	106	Kassilof	117	Koggiung	133
Douglas City	402	Katmai	132	Millerton	165
Hindastneke	143	Kenai	264	Nushagak	268
Hooehino	391	Kink	160	Uyashik	154
Hoonah	438	Lake Village (Cooper River) .	136	Unangashik	190
Hoonkan (Jackson P. O.) . . .	105	Nuchek	145		
Juneau	1253	Odiak	273	Kuskokwim-Distrikt.	
Klawan	326	Sushetno	142	Ahglugamute	106
Klawak	287	Toyonok	115	Ahpokagamute	210
Loring	200	Uyak	246	Askinghamute	138
Medakakhtla	823	Wingham Island	150	Challimute	358
Point Ellis	170			Kailwigmute	157
Sitka	1190	Unalaska-Distrikt.		Kashunahmte	232
Wrangell	316	Atka	132	Kennachananghamute . . .	181
Yakutat	308	Atta	101	Kikikhtagmte	119
		Belkovsky	185	Koot	117
Kadiak-Distrikt.		Popof Island	244	Kuskokhagamute	115
Afognak	409	Saint Paul	146	Mumtrahamute	162
Alitak	430	Sannak	132	Nunachananghamute . . .	135
Ayakalik	106	Thin Point	231	Nunavokank-chlugamute .	107
Chignik Bay	193	Unalaska	517	Queletochamute	119
English Bay	107	Unga	159	Quinaghamute	109

Tefakneghamute	195	Mitchell P. O. (Yukon diggings)	238	Kingahghee	488
Vinissahle	140	Naklukeyet	120	Point Barrow	159
Yukon-Distrikt.		Nulsto	118	Point Belcher	114
Ankehegmute	103	Pastolik	113	Point Hope	301
Anvik	191	Saint Michael	101	Port Clarence	485
Holikitak	114	Unalaklik	175	Saint Lawrence Island	267
Ikogmute	140	Arktischer Distrikt.		Ukevo	200
Kooserevsky	131	Cape Smythe	246		

Mexico um 1889.

Orte mit einer geschätzten Einwohnerzahl von 6000 und darüber nach einer Zusammenstellung in A. G. Cubas „Étude géographique, statistique, descriptive et historique des États unis Mexicains“ (Mexico 1889, S. 9 ff.). Ein erschöpfendes Urteil über den Wert dieser Zahlenangaben läßt sich nicht abgeben; sie sind etwas zuverlässiger als die in der spanischen Ausgabe von Cubas Werk (1884), wo z. B. Leon mit 120000 Einw. angeführt wurde, aber noch lange nicht zuverlässig genug, das zeigt schon ihr vielfacher Widerspruch gegen die amtlichen Angaben in betreff der Hauptstädte, die der Redaktion des Hofkalenders zuzugingen und die wir im Zweifelsfalle stets vorgezogen haben (mit * bezeichnet). Wie schleuderisch der Autor verfuhr, beweist schon die Thatsache, daß er Parras in Coahuila zweimal anführt, einmal mit 13500 und das andre Mal mit 10000 Einw.! Die nachstehende Tabelle kann also höchstens nur eine Vorstellung von den relativen Größenverhältnissen der Städte geben. Die Pueblos sind mit * gekennzeichnet.

Pazifische Staaten.		Oaxaca.		Guanajuato.	
Sonora.		Juchitan	6100	Acámbaro	6000
Alamos	8000	Oaxaca	27856*	Allende San Miguel	15000
Hermosillo	7071*	Tehuantepec	8000	Celaya	21000
Ures	8000	Tlaxiaco	7000	Dolores Hidalgo	7000
Sinaloa.		Chilapas.		Guanajuato	52112*
Culiacan	8000	Comitan	7000	Irapuato	15000
Manatlan	16000	Pichucalco	6000	La Luz (mit Bergwerk)	11000
Tepic.		San Cristóbal	16050*	Leon	50000
Tepic	14000	Tapachula	6000	Morelos	6500
Jalisco.		Tonalá	7000	Pénjamo	7600
Ameca	10000	Tuxtla Gutiérrez	7000	Salamanca	10000
Antón	7000	Innere Staaten.		Salvatierra	10300
Coahuila	7000	Chihuahua.		San Felipe	6700
Etaslan	8000	Chihuahua	25000	San Francisco del Rincon	7000
Guadalupe	95000*	Coahuila.		San Luis de la Paz	7500
La Barca	10000	Parras	13500	Santa Cruz*	7200
Lagos	13500	Saltillo	22801*	Silao	15000
Mascota	6000	Nuevo Leon.		Valle de Santiago	10500
Sayula	12000	Caderoyta Jiménez	12000	Yuriria	6500
Tecatlilte	7500	Linares	10000	Queretaro.	
Teapotlen el Grande	18000	Montemorelos	10000	Queretaro	36000*
Colima.		Monterey	46000*	San Juan del Rio	8500
Colima	25124*	Durango.		Hidalgo.	
Michoacán.		Durango	24800*	Metatlitan	8000
Jiquilpan*	6200	Lerdo	7000	Pachuca	32815*
La Piedad	10000	Papasquiaro Santiago	12000	Toluca	6000
Morelia	30000	Zacatecas.		Mexico u. Bundesdistrikt.	
Pátzcuaro	8000	Fresnillo	15000	Mexico	329535*
Puruándiro	7000	Jerez	6000	Tacubaya	12000
Tacambaro	10000	Zacatecas	60000*	Tenancingo	8500
Uruapan	8000	San Luis Potosí.		Toluca	17000*
Zamora	12000	San Luis Potosí	62573*	Morelos.	
Guerrero.		Aguascalientes.		Cuernavaca*	8500*
Chilpancingo	5500*	Aguascalientes	32355*	Yantepec	6000
Iguala	7000			Tlaxcala.	
Tixtla	6000			Tlaxcala*	7000*
				Puebla.	
				Atlixco	8000

Chalchicomula	10000
Matamoros Idicar	12000
Puebla	110000*
Tehuacan	8000
Tzucitlan	7500

Atlantische Staaten.

Tamaulipas.

Ciudad Victoria	8000
Matamoros	13000
Tampico	8000
Tula	14000

Veracruz.	
Coatepec	6000
Córdoba	6000
Huatusco St. Antoine	6000
Jalisco	6000
Jalapa	18000*
Orizaba	30000
Papantla	10000
Tlaxotalpan	10000
Tuxtla San Andrés	13000
Tuxtla Santiago	11000
Veracruz	24000

Tabasco.	
San Juan Bautista	8000

Campeche.

Campeche	18730*
Isla del Carmen	6000

Yucatan.

Izamal	6000
Merida	53000*
Tekax	6000
Yucalid	14000

Spanisches Westindien 1887.

Nach dem Censuserbericht von S. 52. Auch hier sind nur die Gemeinden berücksichtigt, die auf Cuba eine durchschnittliche Fläche von 900 qkm umfassen, also beiläufig so groß sind wie ein Fürstentum Schwarzburg. Auf Puerto Rico sind sie beträchtlich kleiner (128 qkm im Durchschnitt). Wir beschränken uns auch für Cuba trotz seiner geringen Dichtigkeit auf die Gemeinden von 5000 Einw. aufwärts.

Cuba.

Prov. Pinar del Río.

Artemisa	9276
Bahía Honda	8506
Cabañas	8560
Candelaria	6297
Cayajabos	6549
Consolidación del Norte	7934
Consolidación del Sur	15792
Guanajay	9512
Guanne	23708
Guayabal	6337
Los Palacios	6501
Mantua	6636
Mariel	7902
Pinar del Río	29497
San Diego de los Baños	6317
San Juan y Martínez	17974
San Luis	7327
Vinales	11550

Prov. La Habana.

Alquizar	8314
Batabanó	8016
Bauta	8070
Bejuel	7902
Catalina	6112
Guantanamo	28043
Güines	12618
Güira de Melena	8721
Jaruco	12182
La Habana	200448
Madrugá	7514
Managua	5850
Marianao	7352
Melena del Sur	5275
Nueva Paz	9571
Regla	10316
San Antonio de los Baños	12423
San Antonio del Río Blanco	5477
San José de las Lajas	6218
San Nicolás	6784
Santiago de las Vegas	12081
Tapaste	6143

Prov. Matanzas.

Alfonso XII	9711
Belondrón	11816

Cabezas	8802
Cárdenas	23354
Cimarrones	6879
Colón	16679
Cueritas	6323
El Roque	8216
Guamacaro	10245
Guamutas	11589
Guanajayabo	8132
Jorellanos	8518
Lagunillas	5349
La Macagua	5410
Macuriges	13374
Matanzas	56379
Palmillas	8818
Sabanilla del Encomendador	8871
San José de los Ramos	9031
Santa Ana	6219
Unión de Reyes	8135

Prov. Santa Clara.

Amaro	7251
Caibarién	5106
Calabazar	12957
Camajuani	10537
Camarones	6688
Cartagena	7029
Ceja de Pablo	9723
Cienfuegos	40964
Esperanza	12759
Las Cruces	6490
Las Lajas	8014
Placetas	9337
Quemado de Güines	11467
Rancho Velos	6391
Remedios	15474
Rodas	8153
Sagua la Grande	18330
San Antonio de las Vueltas	15656
Saueti Spiritus	29278
San Diego del Valle	9831
San Juan de los Yeras	7702
Santa Clara	32491
Santo Domingo	13667
Trinidad	29448
Yaguajay	6280

Prov. Puerto-Príncipe.

Ciego de Avila	7929
--------------------------	------

Morón	8919
Novitas	6618
Puerto-Príncipe	40958

Prov. Santiago de Cuba.

Alto Songo	10221
Baracoa	18057
Bayamo	17876
Caney	8686
El Cobre	8261
Guantanamo	23741
Holgún	32238
Jibara	26342
Jiguani	7808
Manzanillo	34290
Mayarí	7990
Sagua de Tanamo	5476
Santiago de Cuba	59614
Victoria de las Tunas (früher Dos Caminos)	12049

Puerto-Rico.

Adjuntas	16288
Aguada	9536
Aguadilla	16140
Agua-Buenas	6787
Albionito	6329
Abasco	12413
Arecibo	29557
Arroyo	5908
Barceloneta	6183
Barranquitas	5735
Barros	11660
Bayamón	15164
Cabo-Rojó	16659
Caguas	14603
Camuy	9130
Carolina	10804
Cayey	12389
Ciales	12948
Cidra	6001
Coamo	10495
Corozal	9618
Fajardo	8779
Guayama	13472
Guayanilla	7790
Gurabo	7088
Hatillo	9585
Hato-Grande	12676

Humacao	14726	Maunabo	5725	Rio Piedras	10806
Isabela	12450	Mayaguez	27901	Sábana del Palmer	6623
Isla de Vieques	5975	Moca	11076	Sábana Grande	9580
Juana Diaz	20966	Morovia	8172	San Germán	19877
Juncos	7317	Naguabo	9876	San Juan de Puerto-Rico	26387
Lajas	9081	Naranjito	6647	San Sebastián	13961
Lares	17097	Patillas	10376	Tos Alta	6711
Las Marias	9669	Peñuelas	10001	Utusado	31209
Loíza	9549	Piedras	7951	Yega Alta	5427
Luquillo	6529	Ponce	42388	Vega Baja	10586
Manatí	11479	Quebradillas	5902	Yabucoa	12862
Maricao	7673	Rincón	5836	Yanco	24327
		Rio Grande	6150		

Venezuela 1881.

In dem handschriftlichen Nachlaß von Dr. Behm fand sich nachstehender Auszug aus dem „Segundo Censo de la Republica de Venezuela“, Caracas 1881, mit der Bemerkung, daß „die Bearbeitung der Zählungsergebnisse nicht in einer Weise geschah, daß sich die Einwohnerzahlen der Orte erkennen ließen; nur für wenige hier aufgeführte Städte wurde die Bewohnerzahl der Stadt deutlich genug von dem des Bezirks, in welchem sie liegt, getrennt“. Von der Zählung von 1891 sind erst einige spärliche Daten in die Öffentlichkeit gelangt. Die eingeklammerten Namen sind die der betreffenden Staaten.

Barquisimeto (Barquisimeto)	28918	Concepcion (Cojedes)	9805	Puerto Cabello (Carabobo)	10145
Bolívar (Guayana)	10861	Cumaná (Cumaná)	12057	San Juan (Cojedes)	8767
Caracas	55638	Egido (Guzman)	5930	San Miguel (früher Rio Carribe, Cumaná)	5732
Carora (Barquisimeto)	7953	La Guaira (Bolívar)	7428	Valencia (Carabobo)	36145
Caripano (Cumaná)	12389	Maracaibo (Zulia)	22224		
		Merida (Guaman)	10747		

Peru 1889.

Schätzung der Bevölkerungszahlen der Städte über 2000 Einw. für Ende 1889; entnommen dem anlässlich der Pariser Weltausstellung erschienenen Werke „Le Pérou en 1889“ von A. de Ydiazquez, peruanischem Konsul in Frankreich (Havre 1890, S. 54 f.). Die Liste ist sehr unvollständig, denn es fehlen darin nicht weniger als 33 Städte, welche 1876 über 2000 Einw. zählten, darunter ein paar bedeutendere. Wir führen daher keine Gliederung nach Departementen durch, sondern fügen die letztern nur in Klammern bei, wenn sie einen andern Namen haben als die betreffende Stadt. In Lima hat 1891 eine Zählung stattgefunden, in Callao, wie es scheint, eine solche 1890.

Abancay (Aparimac)	3000	Chachapoyas (Amazonas)	5000	Huaraz (Ancachs)	17000
Arequipa	30000	Chancay (Lima)	2500	Huari (Ancachs)	3500
Ayacucho	12000	Chiclayo (Lambayeque)	13000	Ica	9000
Balsapuerto (Loreto)	2500	Chincha alta (Ica)	4000	Iquitos (Loreto)	3000
Barranco (Lima)	2200	Chorrillos (Lima)	3000	Lamas (Loreto)	4000
Cajabamba (Cajamarca)	4000	Chota (Cajamarca)	2500	Lambayeque	8000
Cajamarca	12000	Concepcion (Junin)	4000	Lampa (Puno)	2500
Cajatambo (Ancachs)	3500	Corongo (Ancachs)	3000	Lamud (Amazonas)	2200
Callao (1890)	¹⁾ 35492	Cuzco	22000	Lima (1891)	²⁾ 103556
Camaná (Arequipa)	6000	Eten (Lambayeque)	3000	Mollendo (Arequipa)	2200
Cañete (Lima)	3500	Huacho (Lima)	5000	Moquegua	5000
Caravel (Arequipa)	3500	Hualgayoc (Cajamarca)	3000	Moyobamba (Loreto)	9500
Caraz (Ancachs)	3500	Huamachuco (Libertad)	4000	Otuzco (Libertad)	3500
Casma (Ancachs)	2200	Huancabamba (Piura)	2200	Pallanca (Ancachs)	5000
Catacas (Piura)	4000	Huancavelica	5000	Payta (Piura)	3500
Celendin (Cajamarca)	3000	Huancayo (Junin)	6000	Pisco (Ica)	4500
Cerro de Pasco (Junin)	14000	Huánuco	7500	Piura	8000

¹⁾ Réclat, Géogr. universelle, Bd. XVIII, S. 584. — ²⁾ Almanaque de el Comercio, 1892, S. 165.

Pomabamba (Ancacha)	4000	Santiago de Chucos (Libertad)	5000	Tiabaya (Arequipa)	2500
Puno	5000	Saposoa (Loreto)	3500	Trujillo (Libertad)	11000
Recuay	3000	Sullana (Piura)	3500	Túmbes (Piura)	2200
Rioja (Loreto)	3500	Tarapoto (Loreto)	9000	Yungay (Ancacha)	4500
San Pedro de Lloco (Libertad)	4500	Tarma (Junin)	6000		

Bolivia.

Die VI. Ausgabe von Morenos „Nociones de Geografía de Bolivia“ (Sucre 1891) enthält wie die frühere Bevölkerungsangaben der Hauptorte des Departements und Provinzen. Schon im Jahrgang VIII, S. 228 ist über diese statistische Quelle eingehender gesprochen worden, und es braucht hier nur darauf verwiesen zu werden. Die Zahlen beziehen sich meist auf die Jahre 1880—86. Die Pueblos sind mit * bezeichnet.

Dep. La Paz ¹⁾ .		Dep. Oruro.		Dep. Santa Cruz.	
Apolobamba	704	Corque	500	Lagunitas*	500
Aroma	848	Oruro	8520	Pertacheto*	1718
Corocoro	4000	Poopó	1758	San Ignacio*	1200
Inquisivi	416			San José*	1500
La Paz	56849	Dep. Potosí ¹⁾ .		Santa Cruz	10288
Lanza	2511	Coiquechaca*	10000	Vallegrande	2139
Lealtad	1100	Cotagaita*	2715		
Libertad	2090	Potosí	11944	Dep. Chiquisaca.	
Mocomeco*	405	Puna	1426	Camargo	1246
		San Cristóbal*	1000	Padilla	6000
Dep. Cochabamba ²⁾ .		San Pablo*	100	Sauesca*	1155
Alquile*	1200	San Pedro de Buenavista*	2000	Sucre	19000
Capinota*	960	Tapias	3000	Yotala*	1740
Cochabamba	19507			Dep. Tarija.	
Punata	3300	Dep. El Beni.		Concepción	1146
Quillacollo*	1536	Magdalena*	1500	San Bernardo de Tarija	8380
Sacaba*	3000	Santa Ana*	800	San Lorenzo	500
Tarata	4000	Trinidad	4535	San Luis	815
Totora*	8042			Yacura*	300

Chile 1885.

Quelle: Sexto censo jeneral de la población de Chile levantado el 26 de noviembre de 1885 (Valparaíso 1889), Bd. I, S. 867 ff. Wir haben hier sämtliche Ortschaften über 1000 Einw. aufgenommen; ländliche Ortschaften sind mit * bezeichnet.

Prov. Taena.		Prov. Atacama.		Compañía*	1880
Arica	3900	Cachinal*	1512	Coquimbo	8440
Taena	14183	Caldera	2129	Cus Cus	993
Tarata*	1337	Chañaral	2613	El Oro*	1765
		Copiapó	9816	El Saucó*	1342
Prov. Tarapacá.		Carrisal Alto*	1656	Gusayacán*	1347
Camilón*	1236	Freirina	2147	Higuera*	2296
Guantillos	1580	Juan Godoi	1985	Illapel	4703
Iquique	15391	Labrar*	1266	Máquinas*	1107
La Noria*	1560	Taltal	4761	Ovalle	5426
Pica*	1160	Tierra Amarilla*	1522	Panifelle*	2415
Pisagua	4262	Vallenar	5129	Punitaqui*	1620
Tarapacá*	1407			Salamanca	2297
				San Julian*	1159
Prov. Antofagasta.		Prov. Coquimbo.		Serena	17230
Antofagasta	7588	Algarrobito*	1048	Tongoi*	1547
Caracoles*	2279	Andacollo*	1061	Union*	1114
Loa*	1101	Chalinga	1699	Vicña	3882
Tecopilla	1818	Combarbala	1157		

¹⁾ Für den Hauptort der Prov. Larecaja ist keine Zahl angegeben. — ²⁾ Divisions-Hauptort. — ³⁾ Die Bevölkerung von Morochata*, seit 1888 Hauptort der Prov. Ayopaya, ist nicht bekannt. — ⁴⁾ Dasselbe gilt von Yuni, seit 1890 Hauptort der Prov. Potosí.

Prov. Aconcagua.					
Almendral*	1663	Olivar	1146	Penco	1857
Andes	7533	Palmeira*	1527	Quilón*	1300
Bucalema*	1119	Panlabue*	1055	Rafael	1336
Cabildo*	1191	Puñoya*	1311	San Luis Gonzaga	2142
Calle Larga*	1632	Rengo	5560	Santa Juana	2758
Chincolecó	3138	San Fernando	6959	Talcahuano	5030
Curimen	2752	San Vicente*	1079	Talcahuán	1043
Ligua	2047	Prov. Curicó.		Tomé	5530
Petorca	1957	Chépica	1800	Vega de Itata	1099
Putendo	2932	Coricó	10110	Yumbel	3393
Queb de Herrera*	1198	Licanten*	1040	Prov. Aranco.	
Rosario	1550	Ráncos*	1058	Arauco	3452
San Felipe	11768	Santa Cruz*	1428	Cañete	1918
San Rafael*	1285	Teno*	1275	Carampangue	1339
Santa María*	1658	Tutuquén*	1505	Lebu	2699
		Vichuquén	2719		
Prov. Valparaíso.		Prov. Talca.		Prov. Bio-Bio.	
Casablanca	1497	Colín*	1461	Anjeles	8279
Conceball	2246	Curepto	2916	Mulchen	7958
Limache	6442	Lo Valdivia*	1360	Nacimiento	1818
Lisi-Lisi	2431	Molina	4599	Santa Bárbara	1055
Nogales*	1397	Patú*	1002	Prov. Malleco.	
Olmé*	1518	San Clemente*	1578	Angol	6331
Pucalan*	1561	Talca	23432	Collipulli	4030
Puchuncaví	1485	Prov. Linares.		Ercilla*	1321
Quillota	9214	Linares	7711	Sauce*	1116
Quilpné	1800	Parral	5913	Traiguén	2981
S. Francisco de Limache	3232	San Javier	2960	Victoria*	2550
Valparaíso	104952	Villa Alegre*	1119	Prov. Cautín.	
Vina del Mar	4859			Nueva Imperial	1717
Prov. Santiago.		Prov. Maule.		Temuco	3445
Cuncumén*	1431	Conquehue	6511	Tolén	1505
Curacaví	1000	Chanco	1984	Prov. Valdivia.	
Lampa	1231	Constitucion	6533	Rio Bueno	1144
Melipilla	3341	Quirihue	2978	San José	1257
Peñaflor*	1326	Prov. Ñuble.		Union	1454
Quilicura*	1255	Báñez	2908	Valdivia	5680
San Bernardo	5222	Chillán	20755	Prov. Llanquihue.	
Santiago	189332	Chillán Viejo	4759	Osorno	3097
Prov. O'Higgins.		Coihueco	1348	Puerto Montt	2787
Buía	2313	El Carmen*	1573	Prov. Chiloé.	
Codegua	2346	Pinto	1013	Achao	1137
Coltanco*	1320	San Carlos	7277	Ancond	3665
Doñihue	2107	Temuco	1471	Castro	1262
Machali*	1832	Yumbel	2733	Litlin (Insel)	1882
Maipo	1798	Prov. Concepcion.		Paquidón	1268
Peumo	1720	Colema	1235	Quencó	1699
Rancagua	5757	Concepcion	24180	Tensun	1020
Prov. Colchagua.		Coronel	2292	Terr. Magallanes.	
Chimbarongo	2489	Florida	1759	Punta Arenas	850
Coinco	1101	Gualqui	1160		
Mallos	1182	Lota	3956		

Paraguay 1887.

Der „Anuario estadístico de la República del Paraguay“ für 1887 (Asuncion 1889) enthält die Ergebnisse der Zählung von 1886 mit einem Zuschlag von $37\frac{1}{2}$ Proz., der zum Teil der Volksvermehrung von 1886 auf 1887 entspricht, zum Teil als Korrektur der Zählung, der sich viele entzogen, aufzufassen ist. Eine ausführliche Ortsstatistik besteht nicht, doch werden innerhalb der Wahlbezirke für die Städte mit Ausnahme von Florida die Einwohnerzahlen mitgeteilt (S. 69 ff.).

Asuncion	34152	Hayes	1190	Rica	14757
Concepcion	9953	Humaitá	3283	Rosario	1790
Encarnacion	4921	Oliva	946	San Pedro	5619
France	486	Pilar	6740		

Argentinien 1889.

Es sind in nachstehender Tabelle sämtliche ortsstatistische Schätzungen zusammengestellt worden, welche sich in der „Géographie de la République Argentine“ von F. Latzina, Generaldirektor der argentinischen Statistik (Buenos Aires 1890), finden, und es ist Grund, anzunehmen, daß auch Latzina über keine weiteren Zahlen mehr verfügt. In den meisten Fällen sind nur die Departements-Hauptorte genannt; da aber diese in der Regel die größten Orte sind, so gibt auch ihre Zusammenstellung schon einigen Aufschluß über die Besiedelung der Provinzen. Allen Orten, die ausdrücklich als Dörfer bezeichnet sind, ist ein * beigegeben. Eine vollständige Ortsstatistik besitzen wir nur von der Provinz Santa Fé; darüber Näheres in den Fußnoten.

Prov. Buenos-Aires ¹⁾			
Almirante Brown	1500	San Antonio de Areca	2500
Alvear*	840	San Fernando	4000
Arceifes	3600	San Isidro	2000
Ayacucho	3200	San Justo	1500
Azul	7800	San Martin (früher Santos	
Bahia Blanca	5000	Lugares)	2000
Balcarce*	1800	San Nicolas de los Arroyos	14000
Baradero	3500	San Pedro	4500
Barracas	6000	San Vicente	1800
Bolivar*	700	Suipacha	1000
Bragado	5000	Tandil	6000
Buenos-Aires (1892)	554713 ²⁾	Tapalqué	1000
Campana	2500	Veinte y Cinco de Mayo	3000
Cañuelas	3600	Zarate	2500
Capilla del Señor	3200	Prov. Entre-Rios.	
Carmen de Arco	4000	Colon	2500
Carmen de las Flores	3000	Concepcion del Uruguay	10000
Carmen de Patagonas	2000	Concordia	11500
Checabuco	1500	Diamante	2000
Chascomus	5000	Federacion	2500
Chivilcoy	11000	Gualeguay	11000
Dolores	7500	Gualeguaychu	14000
Ferrari*	1000	La Pas (früher Caballin	
Hornos	1800	Cuatia)	7000
Juarez	3300	Nogoya	3500
La Plata	65000 ³⁾	Parana	18000
Lavalle*	2400	Rosario del Taia	1700
Lincoln*	600	San José de Feliciano	1000
Lomas	2000	Victoria	6000
Lujan	4000	Villaguay	3500
Magdalena	4000	Prov. Corrientes.	
Marcos Paz	3000	Alvear	1000
Mar del Plata	2000	Bella Vista	8000
Mercedes	9500	Caacati	3500
Moreno	1300	Concepcion*	500
Moron	4300	Corrientes	14000
Navarro	2500	Carran-Cuatia	2000
Nuevo de Julio	4000	Empedrado	1500
Olaverria	1500	Raquina	2000
Pergamino	7500	Goya	4000
Pilar	2000	Itati	1500
Quilmes	3600	La Cruz	2000
Ramallo	1200	Mburucuya	800
Ranchos	1200	Mercedes	3000
Ranch	1700	Monte Caseros	2500
Rodriguez	1300	Paso de los Libres	2500
Rojas	3000	Saladas	3500
Saladillo	4000	San Cosme	1500
Salto	5000	San Miguel	800
San Andrés de Giles	2000	San Luis del Pelmar	1000
		San Roque	1500
		Santo Tomé	2000
		Prov. Santa Fé (1887 ⁴⁾).	
		Avellaneda	1413
		Belgrano	1404
		Buenos	1345
		Cañada de Gomez†	2365
		Caracraña (Dep. S. Geronimo)	2387
		Caracraña (Dep. S. Lorenzo)	1081
		Coronda†	2255
		Esperanza†	2652
		Felicia	1095
		Holvecia	1062
		Irigoyen	2891
		Iriondo	1330
		Jesús Maria	980
		Lehmann	1317
		Melincé (oder San Urbano)†	463
		Ocampo	1457
		Pilar	1438
		Rafaela	1514
		Reconquista	1499
		Rosario†	50914
		San Augustin	1191
		San Genaro	1210
		San Geronimo	1147
		San Javier	1002
		San José†	621
		San Lorenzo†	1852
		Santa Fé†	15099
		Santa Maria	960
		Santa Teresa	1463
		Susana	1168
		Teodolina	1792
		Tortugas	971
		Prov. Córdoba.	
		Bell-Ville	5000
		Córdoba (1887)	35711 ⁵⁾
		Dolores	2000
		Rio Cuarto	12000
		Rio Seco	1500
		Rosario	2000
		San Pedro	1800
		Santa Rosa	3500
		Totoral	1000
		Villanueva	4000
		Prov. San Luis.	
		Dolores	1200
		Renca	1500

¹⁾ Mit der Hauptstadt der Republik. — ²⁾ Berechnung für Ende Dezember 1892 (Bull. mensuel de Statist. Municipale, 1892, Nr. 12). Das Stadtgebiet von Buenos Aires umfaßt seit 1887 die ong benachbarten, aber darselbst noch selbständigen Städte Belgrano und San José de Flores, für die keine besondern Ausweise gegeben werden. — ³⁾ Mit der Vorstadt Tolosa und dem Hafen Ensenada. — ⁴⁾ Ergebnisse der Zählung im Juni 1887. Hier sind nur die Orte mit 1000 oder nahezu 1000 Einw. aufgenommen; Melincé und San José machen eine Ausnahme, weil sie Departementshauptstädte (†) sind. Die meisten Orte dürften Dörfer sein. — ⁵⁾ Zählung im Oktober 1887. Die Zahl bezieht sich nur auf die eigentliche Stadt, mit der nächsten Umgebung hat Córdoba 66247, mit Vorstädten und Villen allein 49754 Einw. Vielleicht ist die letztere Zahl als die richtigere Ortsbevölkerung anzusehen.

San Francisco	2000	Loreto	1500	Iruya	600
San Luis	8000	Mailin	800	Metan	1800
Villa Mercedes	7000	Matara	800	Mollinos	800
Prov. Mendoza.		Ojo de Agua	1200	Oran	3500
Mendoza	18000	Punta de Maquijata	600	Piquete	800
Rivadavia	2000	Quebrachos	1000	Poma	1100
Prov. San Juan.		Robles	600	Rivadavia	500
Independencia	800	Salavina	1500	Rosario de la Frontera	1000
Jechal	1600	Santiago	10000	Rosario de Lerma	1500
Salvador	1000	Silipica	600	Salta	20000
San Agustin	1200	Sumamao	500	San Bernardo de Dias	500
San Juan	15000	Sumampa	1000	San Carlos	1500
Prov. Rioja.		Prov. Tucuman.		Santa Victoria	500
Guadacol	1500	Barraza	500	Prov. Juny.	
Rioja	6000	Chieligasta	2500	Cochinoca*	300
Villa Argentina	4000	Concepcion	1200	Humahuaca*	600
Prov. Catamarca.		Graneros	1000	Juny	5000
Ancasti	1500	La Cocha	1000	Ledema	2000
Belén	3000	Lesles	500	Perico del Carmen	700
Catamarca	7500	Lules	1500	Rinconada*	400
Copacabana	1500	Montegudo	600	San Antonio	500
El Alto	1500	Monteros	4000	San Pedro	700
Poman	1500	Sinoca	250	Santa Catalina*	350
Tinogasta	2000	Tapia	500	Tilcara	700
Prov. Santiago.		Trancas	250	Tumbaya*	300
Atamisqui	1200	Tucuman	25000	Valle Grande*	300
Bracho	500	Vipos	700	Yavi*	400
Choya	400	Prov. Salta.		Territorien ⁶⁾ .	
Copo	500	Cachi*	600	Formosa (Terr. Formosa)	1000
Figueras	600	Cafayate	2200	General Acha (Terr. Pampa)	1500 ⁷⁾
Guasaysn	500	Campo Santo	900	Posadas (Terr. Misiones)	3000
Jimenez	400	Cerrillos	1200	Realteucia (Terr. Chaco)	3000
		Chicoana	1000	Viedma (Terr. Rio Negro)	1500
		Gnachiapas	500		

⁶⁾ Von folgenden, jedenfalls ganz unbedeutenden Hauptorten werden keine Einwohnerzahlen genannt: Chosmalal (Terr. Neuquen), Gallegos (Terr. Santa Cruz), Rawson (Terr. Chubut) und Ushuaia (Fenerland). —
⁷⁾ In neuester Zeit ist die kleine Stadt Santa Rosa de Toay zur Hauptstadt des Pampa-Territoriums erhoben worden.

Australien (mit Neuseeland).

Die endgültigen Ergebnisse der Zählung vom 5. April 1891 haben wir folgenden amtlichen Censusergebnisse entnommen:

1. Eighth Census of the Colony of Queensland 1891 (Brisbane 1892), Tab. XXIX—XXXIV, S. 42 ff.
2. Results of a Census of the Colony of New South Wales 1891, I. Teil (Sydney 1892), Tab. VIII, S. 8 ff.
3. Census of Victoria 1891, I. Teil, Tab. XI und XII, S. 23 ff.
4. South Australia, Census of 1891, I. Teil (1891), Tab. XI, S. 40 ff.
5. Von Westaustralien ist uns kein Censusericht zugegangen, glücklicherweise enthält aber bereits der Jahrgang 1892 des Australian Handbook von Gordon und Getch die (definitiven?) Zählungsergebnisse von 1891.
6. Results of a Census of the Colony of Tasmania 1891, I. Teil (1892), Tab. XV, S. 23 ff.
7. Results of a Census of the Colony of New Zealand (Wellington 1892), Tab. XX, S. 24 ff.

Die früheren Zählungen sind nur soweit berücksichtigt worden, als sie im Jahrg. VII noch nicht enthalten sind. Ob die Zahlen von 1881, bzw. 1886, und 1891 durchaus vergleichbar sind, mag dahingestellt bleiben; namentlich ist in allen denjenigen Fällen, wo ein Ort seinen offiziellen Charakter geändert hat, Vorsicht geboten. Ferner bleibt es häufig unklar, ob die australische Statistik auch die nächste Umgebung den Stätten zurechnet, denn der Begriff Municipality oder Borough hat ja zunächst keine topographische, sondern eine administrative Bedeutung. In der Mehrzahl der Fälle aber dürfte die australische Statistik ebenso wie die des Mutterlandes doch mehr Orts- als Gemeindestatistik (in unserm Sinne) sein. Als untere Grenze wurde im allgemeinen eine Bewohnerzahl von 1000 festgehalten.

Queensland 1886 und 1891.

Städte (Municipalities) und Gemeinden (Towns, mit † bezeichnet) über 1000 Einw.

Name.	1886.	1891.	Name.	1886.	1891.
Allora	758	994	Hughenden	²⁾ 572	1516
Barcaldine†	59	2482	Ipswich	7576	7625
Bowen	982	1082	Mackay	4106	3597
Brisbane	32567	25889	Maryborough	9281	9700
South Brisbane	13364	22849	Mount Morgan	—	3514
Booroodabin Division	5197	6853	Normanton	871	1251
Schiffsbevölkerung	561	484	North Rockhampton s. Rockhampton.		
Bundaberg	2323	3982	Queentown†	1574	2060
Cairns	1376	2460	Ravenwood†	1468	1167
Charleville†	479	1456	Rockhampton	10793	11629
Charters Towers	3313	4597	North Rockhampton	1629	1751
Clermont	1109	1442	Roma	1727	1696
Cooktown	2482	2620	Sandgate	1598	1756
Croydon†	—	1231	South Brisbane s. Brisbane.		
Dalby	1317	1378	Toowoomba	6270	7007
Eidsvold†	—	1258	Townsville	7860	8564
Gladstone	444	932	Warwick	3073	3402
Gympie	7659	8449			
Heberton	²⁾ 785	1175			

¹⁾ Mit der zerstreuten Bevölkerung in einem Umkreise von 5 miles (8 km) vom Hauptpostamt 93657. —
²⁾ 1886 noch nicht Municipality.

Neu-Süd-Wales 1881 und 1891.

Städte (Boroughs and Municipalities) über 1000 Einw. Ein * bei den Zahlen von 1881 zeigt an, daß die betreffenden Orte damals noch nicht städtisch organisiert waren. Bei der großen Zahl von Ortschaften ist eine Gliederung erwünscht; dieselbe wurde nach den Wahldistrikten durchgeführt, die sich allerdings nicht ganz genau den natürlichen Grenzen anschließen.

Name.	1881.	1891.	Name.	1881.	1891.
Küstenzone.			Petersham^{b)}		
Adamstown	* 561	2030	Plattsburg	1898	3301
Alexandria s. Sydney.	—	—	Prospect & Sherwood	—	2075
Ashfield ^{b)}	4087	11697	Randwick ^{b)}	2079	6236
Auburn	—	2026	Redfern s. Sydney.	—	4908
Ballina	* 359	1084	Rockdale ^{b)}	—	2084
Balmain s. Sydney.	—	—	Rookwood	—	1673
Bega	* 1634	2023	Ryde ^{b)}	1673	3225
Botany ^{b)}	858	2060	St. Mary's	—	608
Botany North ^{b)}	—	2407	St. Peter's ^{b)}	2272	4860
Burwood ^{b)}	2472	6227	Shellharbour	1400	1587
Campbelltown	688	2381	Smithfield & Fairfield	—	1392
Camperdown s. Sydney.	—	—	Stockton	866	2417
Canterbury ^{b)}	1175	2426	Strathfield ^{b)}	—	1820
Carrington s. Newcastle.	—	—	Sydney	100152	107652
Casino	590	1486	Alexandria	3449	7505
Concord ^{b)}	—	2107	Balmain	15063	23475
Darlington s. Sydney.	—	—	Camperdown	3522	6658
Drumoyne ^{b)}	—	1451	Darlington	2036	3465
Dundas	—	1566	Glebe	10500	17075
East Kiama	—	2302	Macdonaldtown	1870	5275
East Maitland	2302	2919	North Sydney	—	17106
Enfield ^{b)}	—	2050	Paddington	9808	18392
Five Dock ^{b)}	888	1250	Redfern	10868	21322
Gerringsong	1047	1534	Waterloo	5782	8701
Glebe s. Sydney.	—	—	Woolahra	6168	10023
Grafton	3891	4445	Ulladulla	1615	1582
Granville	—	4248	Ulmara	1560	1592
Greta	* 570	1751	Wallend	2156	3644
Hamilton	2215	4844	Waratah	1714	2718
Hunter's Hill ^{b)}	2282	3633	Waterloo s. Sydney	—	3365
Hursville ^{b)}	—	3175	Waterley ^{b)}	5703	7295
Illawarra { Central	2550	3247	West Maitland	—	—
{ North	1011	2515 ^{b)}	Wickham s. Newcastle	—	—
Kempsey	1321	2194	Willoughby ^{b)}	1411	3411
Kiama	457	2235	Windoor	1990	2033
Kogarah ^{b)}	—	2328	Wollongong	1635	3041
Lambton	2906	3436	Woolahra s. Sydney.	—	—
Leichhardt ^{b)}	1866	17087	Gebirgszone.		
Lismore	999	2925	Albury	5715	5447
Liverpool	1768	4463	Armidale	2187	3826
Macdonaldtown s. Sydney.	—	—	Bathurst	7321	9162
Manly ^{b)}	1827	3296	Blaney	* 192	1254
Marrickville ^{b)}	3501	13507	Bombala	1000	1101
Merewether	1372	1138	Bowral	* 133	2258
Morphy	829	1936	Braidwood	1066	1496
Moruya	8986	12914	Camden	805	1305
Newcastle	—	2137	Cooma	642	1739
{ Carrington	2399	6883	Cowra	* 628	1546
{ Wickham	—	1548	Cudgong	2533	2519
New Lambton	8307	17870	East Orange	—	1827
Newtown ^{b)}	—	—	Glen Innes	1327	2532
North Sydney s. Sydney.	886	1705	Goulburn	6839	10916
Norwa	—	—	Gulgong	1842	1283
Paddington s. Sydney.	8432	11677	Inverell	1965	2534
Parramatta	3310	3797	Katumba	—	1592
Parrith	—	—	Lithgow	* 2112	3865

^{b)} In der Nähe von Sydney und daher als Vorort betrachtet, obwohl sie mit der Hauptstadt nicht unmittelbar zusammenhängen. Mit allen Vororten hatte Sydney 1891: 353263 Einw. — ^{c)} Diese Kombination ist noch ungenügend.

Name.	1881.	1891.
Mittagong	* 291	1468
Molong	874	1112
Moss Vale	* 570	1240
Mudgee	2492	2410
Murrarundi	* 311	1254
Musclebrook	1074	1298
Orange	2701	3237
Queanbeyan	* 939	1262
Richmond	1239	1242
Singleton	1951	1793
Tenterfield	1816	2477
Tamut	* 787	1275
Wellington	1563	1545
Yase	1804	1770

Binnenland.

Bourke	1378	3149
Broken Hill	—	19789
Cobar	* 1859	1189

Name.	1881.	1891.
Coonamble	1226	1141
Cootamundra	* 938	2026
Deniliquin	2506	2273
Dubbo	3334	4555
Forbes	2191	3011
Gunnedah	* 1331	1362
Hay	9073	2741
Junee	* 538	1682
Moree	—	1143
Murrumburrah	* 1620	1226
Narrabri	* 832	1977
Narrandera	* 1142	1815
Nyngan	—	1355
Parke	* 1961	2449
Quirindi	* 278	1139
Silverton	—	1397
Tamworth	4096	4602
Wagga Wagga	3975	4596
Wilcannia	1424	1287
Young	1517	2746

Victoria 1891.

Cities (C.), Towns (T.), Boroughs (B.) und Townships über 1000 Einw. Unter Townships hat man hier offenbar Dörfer zu verstehen; es ist kein Verwaltungsbegriff, denn die unterste Verwaltungseinheit der ländlichen Ansiedlungen sind die Ridings (Unterabteilungen der Shires). Die Townships sind nicht nur häufig in verschiedenen Shires gelegen, sondern zum Teil auch in verschiedenen Counties. Die Grenze zwischen unsern Hauptabteilungen verläuft, soweit es die Countyeinteilung gestattet, entlang der Hauptwasserscheide. Von den nördlichen Counties haben wir Gunbower, Tatchera, Karakara, Borung, Lowan, Weeah, Karkaroo und Milleva als innere Counties abgegrenzt.

Südliche Counties.

Ararat B.	3151	Geelong T.	11666	Newtown & Chillwell B.	
Bairnsdale	3270	Geelong West B.	5779	s. Geelong.	
Bellarat C.	24257	Newtown & Chilwell B.	5249	Northcote T. s. Mel-	
Bellarat East T.	16592	Hamilton B.	8373	bourne.	
Balwyn ⁵⁾	1283	Hawthorn C. s. Melbourne.		North Melbourne T.	
Blackwood ⁵⁾	1099	Kew B. ⁵⁾	8462	s. Melbourne.	
Box Hill ⁵⁾	1542	Koroit B.	1694	Oakleigh B. ⁵⁾	1236
Brighton T. s. Melbourne.		Malvern ⁵⁾	5085	Port Fairy B.	1864
Brunswick T. s. Melbourne.		Melbourne C.	73361	Portland B.	2284
Bunninyong B.	1183	Brighton T.	9858	Port Melbourne B. s.	
Camperdown	1627	Brunswick T.	21961	Melbourne.	
Caulfield ⁵⁾	5243	Collingwood C.	35070	Prahran C. s. Mel-	
Coburg ⁵⁾	4599	Fitzroy C.	32453	bourne.	
Colac	2204	Flemington & Ken-		Preston ⁵⁾	3563
Collingwood C. s. Mel-		sington B.	9956	Queenscliff B.	1905
bourne.		Hawthorn C.	19589	Richmond C. s. Mel-	
Dandenong	1134	Northcote T.	7458	bourne	
Essendon T. ⁵⁾	14411	North Melbourne T.	20997	St. Kilda C. s. Mel-	
Fitzroy C. s. Melbourne		Port Melbourne B.	13067	bourne.	
Flemington & Keesington		Prahran C.	39703	Sale B.	3442
B. s. Melbourne.		Richmond C.	38797	Sebastopol B.	3578
Footscray C. ⁵⁾	19149	St. Kilda C.	19838	South Melbourne C. s.	
		South Melbourne C.	41724	Melbourne	
		Schiffsbewölkerung	1965	Sarrey Hills ⁵⁾	2069

⁵⁾ Alle diese Orte (statt der Townships die ganzen Shires) werden zu „Greater Melbourne“ gezählt, während wir uns nur auf diejenigen Orte beschränken, die nach den neuesten Plänen unmittelbar zusammenhängen. Freilich lassen auch diese Pläne manchen Zweifel ungelöst, so z. B. in Bezug auf die Zugehörigkeit von Brighton, Brunswick und Northcote. Das „Greater Melbourne“ können wir in folgende Teile zerlegen:

Melbourne als topographische Einheit (ohne Schiffsbewölkerung)	383830
Angrenzende Städte, Flecken und Shires	93019
Melbourne innerhalb des Amtsbezirks der hauptstädtischen Baukommission (under metropolitan Board of Works)	476849
Umgebung und Schiffsbewölkerung	14047

Greater Melbourne 490896

⁵⁾ Mit den umliegenden Goldbergwerken.

Walhalla	1771	Creewick B.?)	3095	Seymour	1740
Warragul	1634	Daylesford B.?)	3839	Shepparton	1679
Warrnambool T.	6582	Dunolly B.	1451	Talbot B.?)	1439
Williamstown T.?)	15960	Eaglehawk B.	7315	Wangaratta B.	2051
Nördliche Counties.		Echuca B.	4354	Woodend	1021
Allandale?)	1562	Heathcote B.	1090	Yarrawonga	1278
Beechworth	2628	Inglewood B.	1367	Innere Counties.	
Benalla	2509	Kilmore	1122	Horaham B.	2678
Bendigo C.	26774	Kyneton	3371	Kerang	1082
Carisbrook B.?)	1135	Majors B.?)	1005	Mildura	1243
Castlemaine B.?)	4770	Malden?)	1692	St. Arnaud B.	3045
Chevron B.?)	1212	Malmesbury B.?)	1367	Stawell B.	5183
Chiltern	1351	Maryborough B.?)	4994	Warracknabeal	1313
Clunes B.?)	3486	Mooroopna	1246		
		Numurkah	1011		

Süd-Australien 1891.

Die mit * bezeichneten Orte (oder Gemeinden, mit Ausnahme von South Gawler alle in der Umgebung von Adelaide) sind ländliche Ansiedelungen, die übrigen Städte. Vom Nordterritorium sind die Ergebnisse des letzten Census noch nicht bekannt, jedenfalls erreicht aber kein Ort 1000 Bewohner.

Adelaide	37837	Glenelg	3650	Port Augusta	1274
Hindmarsh	8042	Hindmarsh s. Adelaide		Port Pirie	4006
Kensington & Nor-		Jamestown	990	Queensdown*	1355
wood,	11747	Kadina	1446	St. Peters s. Adelaide.	
St. Peters	5740	Kapunda	1942	Semaphore s. Port Ade-	
Thebarton	3927	Kensington & Norwood		laidale.	
Unley	11429	s. Adelaide.		South Gawler	1085
Alberton*	983	Moonta	1487	Thebarton & Adelaide.	
Burra	2174	Mount Gambier	3655	Unley s. Adelaide.	
Eastwood*	1008	Petersburg	1071	Wallaroo	1685
Gawler	2122	Port Adelaide	5005	Yatala*	1432
		Semaphore	7159		

West-Australien 1881 und 1891.

Name.	1881.	1891.	Name.	1881.	1891.
Albany	1024	2665	Greenough	1557	1044
Freemantle	3641	5607	Perth	5044	8447 ²⁾
Geraldton	911	1218	York	757	1199

Tasmanien 1881 und 1891.

Die Statistik unterscheidet nur zwischen Cities (nur Hobart und Launceston) und Towns oder Villages; die ländlichen Orte sind also nicht besonders bezeichnet. Die Ortsstatistik von 1881 ist unvollständig.

Name.	1881.	1891.	Name.	1881.	1891.
Beaconsfield	455	1584	Launceston	1275 ¹⁾	17208 ¹²⁾
Burnie	305	981	Lougford	1286	1084
Devonport East	—	559	New Norfolk	1036	1072
Devonport West	—	1246	New Town s. Hobart		
Dundas	—	1080	Sandy Bay s. Hobart.		
Hobart ¹⁰⁾	21118	24905	Ulverstone	—	1129
New Town	1720	2286	Waratah	874	1430
Sandy Bay	—	1443	Westbury	1156	1104
Glebe	—	643	Zeehan	—	1965
Latrobe	711	1560			

¹⁾ Im County Talbot. — ²⁾ Die hier zu Adelaide gezählten Orte sind zwar durch Streifen von „Park Lands“ von der Stadt getrennt, aber nicht durch breitere als die Nord- und Südhälfte der Stadt selbst. — ¹²⁾ Mit den Vororten und kleinen beschriebenen Weilern 9617 Einw. — ¹³⁾ Vor dem 1. Januar 1881 Hobart Town ge-

Neu-Seeland 1886 und 1891.

Die größern Ortschaften werden unterschieden in Boroughs und Town Districts (*); bei den letztern ist jedenfalls auch die Umgebung im größern Umfang hinzugerechnet. Die fünf Cities sind nur als Wahlbezirke aufzufassen; sie bestehen aus den gleichnamigen Boroughs, die hier allein berücksichtigt werden, samt Umgebung. In bezug auf die Kombination der Orte mußten wir uns wegen Mangels an detaillierten Plänen hauptsächlich an das Australian Handbook halten. Die * bei den Zahlen von 1886 zeigen an, daß der betreffende Ort damals noch nicht als Borough organisiert war.

Name.	1886.	1891.	Name.	1886.	1891.
Nordinsel.			Dunedin	23243	22376
Auckland	33161	28613	Caversham	4448	4690
<i>Newmarket.</i>	1842	1586	<i>Maori Hill.</i>	1388	1426
<i>Newton.</i>	1833	2067	<i>Mornington.</i>	3334	3523
<i>Parnell.</i>	4672	3967	<i>North-east Valley.</i>	3221	3337
<i>Carterton.</i>	* 758	1112	<i>Roslyn.</i>	3609	3845
<i>Devonport</i> ¹²⁾	* 2650	2455	<i>St. Kilda.</i>	1078	1153
<i>Feilding.</i>	1297	1583	<i>South Dunedin.</i>	3902	4222
<i>Poxten.</i>	* 736	1223	<i>West Harbour</i> ¹⁴⁾	1295	1297
<i>Giaborne.</i>	2194	2158	Gore	—	1618
<i>Greytown.</i>	1105	1141	<i>Greymouth.</i>	3133	3787
<i>Hamilton.</i>	1201	1212	<i>Hampstead*</i> (früher Haketera)	1003	1076
<i>Heatings.</i>	* 1504	2303	<i>Hokitika.</i>	2687	2178
<i>Hawera.</i>	1026	1284	<i>Invercargill.</i>	5212	4950
<i>Lower Hutt.</i>	* 852	1329	<i>Invercargill East.</i>	814	786
<i>Masterton.</i>	3160	3114	<i>North.</i>	785	717
<i>Melrose.</i>	—	1224	<i>South.</i>	1440	1559
<i>Napier.</i>	7680	8341	<i>Arenal.</i>	364	302
<i>Newmarket s. Auckland.</i>	—	—	<i>Gladstone.</i>	324	287
<i>New Plymouth.</i>	3093	3350	<i>Kaipoi.</i>	1514	1371
<i>Newton s. Auckland.</i>	—	—	<i>Kaitangata.</i>	* 925	1145
<i>Onehunga.</i>	2866	2924	<i>Kumara.</i>	1079	1176
<i>Palmerston North.</i>	2606	4303	<i>Lawrence.</i>	1084	1026
<i>Parnell s. Auckland.</i>	—	—	<i>Linwood* s. Christchurch.</i>	—	—
<i>Petone.</i>	* 1046	2178	<i>Lytelton.</i>	3996	4087
<i>Tauranga.</i>	1148	1055	<i>Maori Hill s. Dunedin.</i>	—	—
<i>Thames.</i>	4444	4618	<i>Milton.</i>	1177	1158
<i>Wanganui.</i>	4901	5011	<i>Mornington s. Dunedin.</i>	—	—
<i>Wellington.</i>	25945	31021	<i>Moegiel.</i>	1181	1304
Südinsel.			<i>Nelson.</i>	7315	6626
Ashburton	1769	1900	<i>North-east Valley s. Dunedin.</i>	—	—
Blenheim	3094	3294	<i>Osmarn.</i>	5330	5691
Bruner	* 696	2231	<i>Port Chalmers.</i>	2235	2098
Caversham s. Dunedin.	—	—	<i>Rangiora.</i>	1579	1763
<i>Christchurch.</i>	15265	16223	<i>Roslyn s. Dunedin.</i>	—	—
<i>Linwood*.</i>	4051	4580	<i>St. Albans s. Christchurch.</i>	—	—
<i>St. Albans.</i>	4925	5247	<i>St. Kilde s. Dunedin.</i>	—	—
<i>Sumner*.</i>	411	614	<i>South Dunedin s. Dunedin.</i>	—	—
<i>Sydenham.</i>	9465	9660	<i>Sydenham s. Christchurch.</i>	—	—
<i>Woolston*.</i>	925	992	<i>Timaru.</i>	3754	3668
<i>Clinton*.</i>	495	1052	<i>Waimate.</i>	1330	1379
			<i>West Harbour s. Dunedin.</i>	—	—
			<i>Westport.</i>	1859	2622

nannt. — ¹¹⁾ Offiziell werden als Vororte noch bezeichnet: Belliver, auf der andern Seite des Hafens gelegen (625 E.), und die Wellington Hamlets (704 Einw.); mit diesen hätte Hobart (1891) 30608 Einw. — ¹²⁾ Als Vororte von Launceston bezeichnet der Censuserbericht von 1891: Invermay (882 Einw.), St. Leonard's (254 Einw.) und Trevallin (256 Einw.). Die Bewohnerzahl Launcestons würde damit auf 18600 steigen, doch scheint nur Invermay in nächster Nähe der Stadt zu liegen. — ¹³⁾ Devonport wird von Manchen auch zu den Vororten Aucklands gerechnet. — ¹⁴⁾ West Harbour ist auf den uns angelegenen Karten nicht auffindbar, nach seiner Stellung im Censuserbericht gehört es aber zu den Vorstädten von Dunedin.

Die Großstädte der Erde.

Wie es in den frühern Jahrgängen der „Bevölkerung der Erde“ üblich war, stellen wir auch hier alle Städte der Erde mit 100000 Einw. und darüber zusammen, zunächst nach ihrer Rangordnung, wobei nur stets im Auge behalten werden muß, daß die Zahlen weder gleichwertig noch gleichzeitig sind und die Rangordnung daher nur ein beiläufig richtiges Bild gibt. Schätzungen sind mit *, Berechnungen mit † bezeichnet. Den kombinierten Zahlen ist stets der Vermerk K. Z. und die Seite, wo man sich über die Elemente der Kombination unterrichten kann, beigelegt. Die zweite Tabelle stellt die geographische Verteilung der Großstädte dar; die eingeklammerten Zahlen in der letzten Kolonne sind die Summen mit Hinzurechnung derjenigen Großstädte, die mit andern kombiniert sind.

Abkürzungen der Ländernamen: Ar. Argentinien, Au. Australien, Äg. Ägypten, Bl. Belgien, Br. Brasilien, B. I. Britisch-Indien, C. Canada, Ch. China, Chl. Chile, Cl. Ceylon, D. Dänemark, D. R. Deutsches Reich, F. Frankreich, G. Griechenland, G. B. Großbritannien und Irland, H. Hongkong, I. Italien, J. Japan, Jv. Java, K. Korea, Kk. Kankasien, M. Mexico, Md. Mandchurie, Mg. Madagaskar, N. Niederlande, Nw. Norwegen, Ö. U. Österreich-Ungarn, P. Portugal, Pe. Peru, Ph. Philippinen, Pr. Persien, R. Rußland, Rm. Rumänien, R. C. A. Russisch-Centralasien, S. Siam, Sch. Schweden, Sp. Spanien, St. S. Straits Settlements, T. Türkei, Tk. Tonking, Tu. Tunis, T. A. Türkisch-Asien, U. Uruguay, V. St. Vereinigte Staaten, W. I. Westindien, Y. Yoruba.

1. London, G. B., 1891. 4 415958 (K. Z. 42)	23. Hamburg-Altona, D. R., 1890 734625 (K. Z. 14)
2. Paris, F., 1891. 2 712598 (K. Z. 29)	24. Manchester-Salford, G. B., 1891 703479 (K. Z. 45)
3. New York-Brooklyn, V. St., 1890 2 352150 (K. Z. 100)	25. Liverpool, G. B., 1891 697901 (K. Z. 45)
4. Berlin, D. R., 1890 1 763543 (K. Z. 3)	26. Futschon, Ch., 1891 636000 *)
5. Canton, Ch., 1891 1 600000 *)	27. Boston, V. St., 1890 598669 (K. Z. 97)
6. Wien, Ö. U., 1890 1 364548	28. Birmingham, G. B., 1891 570460 (K. Z. 44)
7. Wntschang - Hanjang - Hanken, Ch. 1 200000 *)	29. Buenos Aires, Ar., 1892 554713 †
8. Tokio, J. 1890 1 155290 †	30. Peking, Ch. 500000 *)
9. Philadelphia, V. St., 1890 1 105277 (K. Z. 101)	31. Sutschou, Ch. 500000 *)
10. Chicago, V. St., 1890 1 099850	32. Tschongtschou, Ch. 500000 *)
11. Siangtan, Ch. 1 000000 *)	33. Schachow, Ch. 1871 500000 *)
12. Singan, Ch. 1 000000 *)	34. Lantschow, Ch., 1879 500000 *)
	35. Fatschan, Ch. 500000 *)
13. St. Petersburg, R., 1890 954400	36. Budapest, Ö. U., 1890 491938 ¹⁰⁾
14. Tientsin, Ch., 1891 950000 *)	37. Osaka, J., 1890 473541 †
15. Konstantinopel, T. 1885 873565 †	38. Brüssel, Bl., 1890 471789 (K. Z. 38)
16. Bombay, B. I., 1891 821764 †	39. Madrid, Sp., 1887 470283
17. Calcutta, B. I., 1891 810686 †	40. St. Louis, V. St., 1890 466939 (K. Z. 106)
18. Hangtschou, Ch. 800000 *)	41. Neapel, I., 1881 463172
19. Tschingtu, Ch. 800000 *)	42. Madras, B. I., 1891 452518 †
20. Rio de Janeiro, Br., 1892 800000 †	43. Warschan, R., 1890 443426 †
21. Moskau, R., 1889 798742 †	44. Baltimore, V. St., 1890 434439
22. Glasgow, G. B., 1891 772040 (K. Z. 48)	45. Lyon, F., 1891 429295 (K. Z. 33)
	46. Hyderabad, B. I., 1891 415039 †)

¹⁾ Trade Reports für 1891, herausgegeben vom Generalinspektor der Zölle, Schanghai 1892, S. 27. Die europäische Bevölkerung ist dabei nicht berücksichtigt. — ²⁾ Die vereinigten drei Städte haben nach G. Kreitner (Im fernem Osten, Wien 1881, S. 372): Hankou 300000, Hanjang 400000, Wntschang 4 bis 500000 Einw. Nach den Trade Reports für 1891 soll Hankou allein 800000 Einw. zählen; sollte da nicht Hanjang mitgerechnet sein? — ³⁾ Diese Zahl steht schon im Jahrg. VI. Eine neuere Schätzung liegt nicht vor. — ⁴⁾ Nach einer Zählung, die von dem Ministerium des Innern angeordnet wurde. Wenn sechs Jahre vorher eine Zählung nur 331000 Einw. ergab, so erklärt dies die Zeitung „La Turquie“ durch die Mangelhaftigkeit derselben. (Vgl. La Gaz. géogr. et l'Exploration, 1885, Bd. II, S. 136). — ⁵⁾ Vorläufige Ergebnisse der indischen Zählung von 1891 a. Statement exhibiting the moral and material Progress and Condition of India during the year 1890—91, S. 266. Bei Bombay ist die Insel, bei Calcutta und Madras sind die Vorstädte, bei Hyderabad die Vorstädte einschließlich Secunderabad, bei Bangalore die britische Station hinzugegerechnet. Calcutta allein zählte 681560 Einw. — ⁶⁾ Mitteilung an die Redaktion des Hofkalenders. Die Bevölkerungszahl für Rio de Janeiro ist wohl stark übertrieben, denn für 1889 berechnete man die Bevölkerungszahl des neutralen Ministeriums nur auf 406958 (f. J. de Santa-Anna Nery, Le Brésil en 1889, Paris 1889, S. 193). — ⁷⁾ Für diese alte Annahme trat in neuester Zeit u. a. auch wieder Exner (China, 1889, S. 141) ein. — ⁸⁾ Reclams, Nouvelle Géogr. universelle, Bd. VII. — ⁹⁾ Kreitner, Im fernem Osten, S. 541. — ¹⁰⁾ Mit Einrechnung des Militärs würde Budapest jedenfalls in eine höhere Kategorie rücken.

47. Amsterdam, N., 1889	406532	98. Turin, I., 1881	230183
48. Schanghai, Ch., 1891	400000 * ¹⁾	99. Tientsin, Ch.,	230000 * ²⁾
49. Siangyang, Ch.,	400000 ¹¹⁾	100. Smyrna, T. A.,	225000 * ¹²⁾
50. Bangkok, S.,	400000 ¹²⁾	101. Bristol, G. B., 1891	221665
51. Melbourne, Au., 1891	385795 (K. Z. 122)	102. Bukarest, Rm., 1890	220000 *
52. Keiro, Äg., 1882	374838	103. Benares, B. I., 1891	219467 ³⁾
53. Cincinnati, V. St., 1890	373566 (K. Z. 105)	104. Montreal, C., 1891	216650 ¹⁷⁾
54. Kopenhagen, D., 1890	373123 (K. Z. 50)	105. Bradford, G. B., 1891	213631
55. Leeds, G. B., 1891	367506	106. Kifu, D. R., 1890	214762 (K. Z. 12)
56. Jangtschen, Ch., 1868	360000 * ²⁾	107. Alexandria, Äg., 1882	213110
57. Leipzig, D. R., 1890	357147	108. Newark, V. St., 1890	212018 (K. Z. 102)
58. München, D. R., 1890	350594	109. Nottingham, G. B., 1891	211984
59. Pittsburg-Allegheny, V. St., 1890	343904 (K. Z. 101)	110. Teheran, Pr.,	210000 ¹²⁾
60. Breslau, D. R., 1890	335186	111. Jersey City, V. St., 1890	204651 (K. Z. 102)
61. Edinburgh, G. B., 1891	333268 (K. Z. 48)	112. Detroit, V. St., 1890	205876
62. Mexico, M., 1889	329535†	113. Palermo, I., 1881	205712
63. Sheffield, G. B., 1891	324243	114. Milwaukee, V. St., 1890	204468
64. Dresden, D. R., 1890	322638 (K. Z. 12)	115. Rotterdam, N., 1889	203701
65. Marseille, F., 1891	321499	116. Washington, V. St., 1890	202978 (K. Z. 102)
66. Dublin, G. B., 1891	311209 (K. Z. 49)	117. Magdeburg, D. R., 1890	202234
67. Prag, Ö. U., 1890	310483 (K. Z. 20)	118. La Habana, W. I., 1887	200448
68. Minneapolis-St. Paul, V. St., 1890	309282 (K. Z. 107)	119. Beha, Br., 1892	200000 * ⁶⁾
69. Hukon, Ch.,	300000 * ⁶⁾	120. Lanki, Ch., 1850	200000 * ⁶⁾
70. Suifu, Ch.,	300000 * ⁶⁾	121. Tschengkiaku, Ch.,	200000 * ²⁾
71. Tschengscha, Ch.,	300000 * ⁶⁾	122. Tsinan, Ch.,	200000 * ²⁾
72. San Francisco, V. St., 1890	298997	123. Kaifeng, Ch.,	200000 * ¹²⁾
73. Mailand, I., 1881	295543	124. Jansing, Ch.,	200000 * ⁶⁾
74. Kioto, J., 1890	289588†	125. Scheking, Ch.,	200000 * ²⁾
75. Odessa, R., 1889	284985†	126. Kiangtschen, Ch.,	200000 * ⁶⁾
76. Bordeaux, F., 1891	283143 (K. Z. 37)	127. Wutschen, Ch.,	200000 * ¹²⁾
77. Rom, I., 1881	273268	128. Kirin, Md.,	200000 * ¹²⁾
78. Lucknow, B. I., 1891	273028 ⁵⁾	129. Victoria, H.,	200000 * ¹²⁾
79. Barcelona, Sp., 1887	272481	130. Hull, G. B., 1891	199991
80. Newcastle-on-Tyne mit Gateshead, G. B., 1891	272054 (K. Z. 47)	131. Frankfurt a. M., D. R., 1890	198436 (K. Z. 10)
81. Antwerpen, Bl., 1890	268397 (K. Z. 38)	132. Hannover, D. R., 1890	194878 (K. Z. 8)
82. Cleveland, V. St., 1891	261353	133. Charkow, R., 1889	194702†
83. Belfast, G. B., 1891	255980	134. Genua, I., 1881	193639 (K. Z. 58)
84. Buffalo, V. St., 1890	255664	135. Saoul, K., 1890	192940† ¹²⁾
85. Mukden, Md., 1886	über 250000 * ¹²⁾	136. Louisville, V. St., 1890	192854 (K. Z. 106)
86. Lienkong, Ch.,	250000 * ²⁾	137. Delhi, B. I., 1891	192579 ⁹⁾
87. Ningpo, Ch., 1891	250000 * ¹⁾	138. Pernambuco, Br., 1892	190000 * ⁶⁾
88. Taijien, Ch.,	250000 * ²⁾	139. Santiago, Chl., 1885	189332
89. Tschungking, Ch.,	250000 * ¹⁾	140. Mandalay, B. I., 1891	188815 ⁵⁾
90. Weihen, Ch.,	250000 * ²⁾	141. Cawnpore, B. I., 1891	188712 ⁵⁾
91. New Orleans, V. St., 1890	247606 (K. Z. 110)	142. Kijew, R., 1889	186041†
92. Sydney, Au., 1891	246649 (K. Z. 121)	143. Portsmouth-Gosport, G. B., 1891	184712 (K. Z. 42)
93. Stockholm, Schw., 1890	246454	144. Singapore, S. B., 1891	184554 ²⁰⁾
94. Liabon, P., 1878	246343 (K. Z. 14)	145. Toronto, C., 1891	181220 ¹⁷⁾
95. Elberfeld-Barmen, D. R., 1890	242043 (K. Z. 11)	146. Bangalore, B. I., 1891	180366 ⁵⁾
96. Taiwan, Ch., 1891	235000 * ¹⁾	147. Rangoon, B. I., 1891	180324 ⁵⁾
97. Montevideo, U., 1891	234688† ¹²⁾	148. Riga, R., 1889	178990†
		149. Roubaix-Tourcoing, F., 1891	178660 (K. Z. 28)
		150. Lila, F., 1891	177381 (K. Z. 28)
		151. Lahore, B. I., 1891	176854 ⁵⁾

¹¹⁾ Mit Fantscheng 4- bis 500000 Einw. (Kreitzer, im fernem Osten, S. 407). — ¹²⁾ Mitteilung an die Redaktion des Hofkalenders. — ¹³⁾ Für die Mandcharei liegen uns eine Reihe neuerer ortstatistischen Angaben vor: 1. Gardners Bericht von 1885 in den Commercial Reports by Her Majesty's Consuls in China, 1884 (Blaubuch C. 4594), II. Teil, S. 166 ff.; 2. Fulfords Bericht über seine Reise, Blaubuch C. 5048, 1887; 3. James, The Long White Mountain, London 1888; 4. Missionsberichte der United Presbyterian Church, 1886, S. 369 ff. und 1888, S. 340. Wir stellen die Angaben über die Großstädte hier zusammen, siehe aber die der Missionare vor, denn diese hatten sich längere Zeit an einem Orte auf und haben ein sachliches Interesse an statistischen Ermittlungen.

	Gardner.	Fulford.	James.	Miss.-Ber. 1886.	Miss.-Ber. 1888.
Mukden	400000	—	über 250000	—	—
Kirin	200000	100000	—	200000	über 150000
Kwangtschingtan	150000	70000	—	125000	—
Yuschitschingtan	125000	—	—	100000	—
Atschihlo (Altachuk)	100000	—	—	100000	—

¹⁴⁾ Jahrg. VII, S. 119. — ¹⁵⁾ Anuario estadístico del Uruguay für 1891, S. 17. — ¹⁶⁾ Rougon, Smyrna, 1892. — ¹⁷⁾ Census of Canada, Bull. No. 1. — ¹⁸⁾ Matusowaki, Geogr. Skizzen des chines. Reiches, St. Petersburg 1888 (russisch). — ¹⁹⁾ Colonial Office List 1892, S. 120. — ²⁰⁾ Stateman's Yearbook 1893.

152. Allahabad, B. I., 1891	175246 ²⁾	207. Colombo, C., 1891	126928 ²⁰⁾
153. Gent, B.I., 1890	171927 (K. Z. 38)	208. Bremen, D. R., 1890	125684
154. Kansas City, V. St., 1890	171032 (K. Z. 108)	209. Lodz, R., 1890	125227 ²⁾
155. Valencia, Sp., 1887	170763	210. Kwangtschingten, Md.,	125000 ¹²⁾
156. Nagoya, J., 1890	170433 [†]	211. Le Havre, F., 1891	124968 (K. Z. 30)
157. Florena, I., 1881	188915 (K. Z. 81)	212. Saint-Etienne, F., 1891	122769
158. Agra, B. I., 1891	168622 ²⁾	213. Tskkent, R. C. A., 1889	121410 [†]
159. Damaskus, T. A.,	168000 ²¹⁾	214. Bareilly, B. I., 1891	121039 ²⁾
160. Chemnitz, D. R., 1890	166297 (K. Z. 13)	215. Danaig, D. R., 1890	120307 (K. Z. 2)
161. Patna, B. I., 1891	165192 ²⁾	216. Blackburne, G. B., 1891	120064
162. Poona, B. I., 1891	161390 ²⁾	217. Hwangjan, Ch.,	120000 ²⁾
163. Königsberg, D. R., 1890	181303	218. Tschifu, Ch.,	120000 ²⁾
164. Tsingtschou, Ch., 1879	160000 ²²⁾	219. Tungkung, Ch.,	120000 ²⁾
165. Jeypora, B. I., 1891	158905 ²⁾	220. Aberdeen, G. B., 1891	119573
166. Rouen, F., 1881	158140 (K. Z. 30)	221. Saratow, R., 1889	119522 [†]
167. Stettin, D. R., 1890	154886 (K. Z. 5)	222. Meerut, B. I., 1891	119390 ²⁾
168. Plymouth-Devonport, G. B., 1891	154417 (K. Z. 43)	223. Srinagar, B. I., 1891	118460 ²⁾
169. Manila, Ph., 1887	154082	224. Dacca, B. I., 1891	118408 ²⁾
170. Dundee, G. B., 1891	153587	225. Nagpur, B. I., 1891	117014 ²⁾
171. Tâbris, Pr., 1871	150559 ²³⁾	226. Aachen, D. R., 1890	116858 (K. Z. 12)
172. Salonicchi, T.,	150000 ¹²⁾	227. Howrah, B. I., 1891	116808 ²⁾
173. Paoting, Ch.,	150000 ²⁾	228. Baroda, B. I., 1891	116420 ²⁾
174. Hanoi, Tk.,	150000 ²⁾	229. Kishnew, R., 1889	116353 [†]
175. Ibadan, Y.,	150000 ²⁴⁾	230. Halle a. S., D. R., 1890	115855 (K. Z. 7)
176. Omaha, V. St., 1890	148514 (K. Z. 107)	231. Bolton, G. B., 1891	115002
177. Ahmadabad, B. I., 1891	148412 ²⁾	232. South Shields-Jarrow, G. B., 1891	112113 (K. Z. 47)
178. Kristiania, Nw., 1891	148319	233. Graz, Ö. U., 1890	112069
179. Lüttich, B.I., 1890	147660	234. Denver, V. St., 1890	111874 (K. Z. 111)
180. Tiflis, Kk., 1892 (?)	145731 ^{† 25)}	235. Puebla, M., ca 1889	110000 [†]
181. Trieste, Ö. U., 1890	145073 (K. Z. 20)	236. Aleppo, T. A.,	110000 ¹²⁾
182. Düsseldorf, D. R., 1890	144642	237. Wilna, R., 1889	109526 [†]
183. Sevilla, Sp., 1887	143182	238. Surat, B. I., 1891	109219 ²⁾
184. Nürnberg, D. R., 1890	142590	239. Mannheim-Ludwigshafen, D. R., 1890	107901 (K. Z. 17)
185. Leicester, G. B., 1891	142051	240. Surabaya, Jr., 1890	107878 ¹²⁾
186. Brighton, G. B., 1891	141499 (K. Z. 42)	241. Preston, G. B., 1891	107573
187. Gravesend, N., 1889	140730	242. Athen, G., 1889	107251
188. Providence, V. St., 1890	140568 (K. Z. 99)	243. Porto, F., 1878	105838
189. Kobe, J., 1890	136968 [†]	244. Indianapolis, V. St., 1890	105436
190. Stuttgart, D. R., 1890	136861 (K. Z. 16)	245. Krefeld, D. R., 1890	105276
191. Amritsar, B. I., 1891	138766 ²⁾	246. Karachi, B. I., 1891	105199 ²⁾
192. Toulon, F., 1891	136292	247. Batavia, Iv., 1890	105128 ¹²⁾
193. Kazan, R., 1889	135577 [†]	248. Valparaiso, Chl., 1885	104952
194. Tschingkiang, Ch., 1891	135000 ²⁾	249. Göteborg, Sch., 1890	104857
195. Tunis, Tu, um 1891	135000 ¹²⁾	250. Albany, V. St., 1890	104623 (K. Z. 99)
196. Malaga, Sp., 1887	134016	251. Gwallor, B. I., 1891	104083 ²⁾
197. Rochester, V. St., 1890	133896	252. Bologna, I., 1881	103998
198. Oldham, G. B., 1891	131463	253. Lima, Pe., 1891	103556
199. Sunderland, G. B., 1891	130921	254. Baku, Kk., 1892 (?)	103000 ²⁵⁾
200. Naeking, Ch., 1878	130000 ²⁶⁾	255. Croydon, G. B., 1891	102697
201. Abeokuta, Y.,	130000 ²⁶⁾	256. Reims, F., 1891	101699
202. Venedig, I., 1881	129445	257. Braunschweig, D. R., 1890	101047
203. Cardiff, G. B., 1891	128849	258. Norwich, G. B., 1891	100984
204. Nantes, F., 1891	128692 (K. Z. 36)	259. Bagdad, T. A.,	100000 ²⁷⁾
205. Yokohama, J., 1890	127987 [†]	260. Hantschou, Ch.,	100000 ²⁾
206. Lemberg, Ö. U., 1890	127943		

²¹⁾ Angabe Dr. Dieners (Jahresber. Geogr. Ges. München für 1887, S. XXXVII). — ²²⁾ Kreitzer, Im fernem Osten, S. 758. — ²³⁾ Amtliche Ermittlung (Mitteil. von Houtum-Schinder in Zeitschr. d. Ges. f. Erdk. Berlin, 1883, S. 334). — ²⁴⁾ Blaubach C. 5144 (Karte). Millson nennt Ibadan das Niger-London und gibt ihm wenigstens 120000, mit den umliegenden 163 Dörfern über 200000 Einw. (Proc. R. G. Soc. 1891, S. 583). — ²⁵⁾ Nachdem unsere Tabelle von Kankasen auf S. 82 auch im Druck schon abgeschlossen war, erhielten wir den kankasischen Kalender für 1893, der außer den üblichen statistischen Tabellen auch ein alphabetisches Verzeichnis aller Orte über 500 Einw. enthält. Wir ersahen daraus, daß unsere Tabelle sehr lückenhaft ist, und werden für den nächsten Jahrgang der „Bevölkerung der Erde“ eine neue entwerfen; für jetzt genügt es, die neuen Zahlen für Tiflis und Baku einzustellen, da die übrigen Zahlen sich nicht geändert haben. Tiflis gibt allerdings auch jetzt noch ein Rätsel auf, das wir nicht au lösen vermögen; denn während es auf S. 3 der II. Abteil. nur 77344 Einw. hat (alte Zahl), hat es nach S. 193 der I. Abteil. 145731 Einw.! Die Zeit ist zu kurz, um uns an maßgebender Stelle über diesen Widerspruch Aufklärung zu verschaffen; wir glauben aber, daß im zweiten Falle die Vorstädte hinzugechnet wurden, während es sich im ersten nur um die eigentliche Stadt als Verwaltungseinheit handelt. — ²⁶⁾ Wir behalten die alte Zahl bei, obwohl der Missionar Pind, der 1891 Abeokuta passierte, die Bevölkerung auf 300000 schätzte. (Les Missions catholiques, 13. Mai 1892, S. 235). Derselbe Gewährsmann gibt aber auch Oyo eine Bewohnerzahl von 100000, während es nach Millson (Proc. R. Geogr. Soc. 1891, S. 585) nur 40- bis 60000 hat. — ²⁷⁾ Nach Le Plat 80- bis 120000

261. Tamsui, Ch., 1891.	100000* ¹⁾	266. Yschitachingtan, Md.	100000* ¹²⁾
262. Tsongan, Ch.	100000* ⁹⁾	267. Ilorin, Y.	100000* ²⁰⁾
263. Tungtscho, Ch.	100000* ⁹⁾	268. Antananarivo, Mg.	100000* ²⁰⁾
264. Schilling, Ch.	100000* ⁹⁾	269. São Paulo, Br.	100000* ⁹⁾
265. Atschiho, Md.	100000* ¹²⁾	270. Catania, I., 1881	96017* ²⁰⁾

Geographische Verteilung der Großstädte.

	Millionen- städte.	$\frac{1}{2}$ — 1 Mill.	400000.	300000.	200000.	100000.	Summe.
Europa	4	8	7	11	20	66	116 (120)
Deutsches Reich	1	1	—	4	3	15	24 (26)
Österreich-Ungarn	1	—	1	1	—	3	6
Italien	—	—	1	—	4	5	10
Spanien	—	—	1	—	1	3	5
Portugal	—	—	—	—	1	1	2
Frankreich	1	—	1	1	1	8	12
Belgien	—	—	1	—	1	2	4
Niederlande	—	—	1	—	1	1	3
Großbritannien und Irland	1	4	—	4	5	16	30 (32)
Skandinavische Staaten	—	—	—	1	1	2	4
Russland	—	2	1	—	1	8	12
Rumänien und Balkanhalbinsel	—	1	—	—	1	2	4
Asien	5	12	6	4	23	55	105 (107)
Russisches Asien	—	—	—	—	—	3	3
Vorderasien	—	—	—	—	2	4	6
Britisch-Indien (mit Ceylon)	—	2	2	—	2	24	30
Übriges Ostindien	—	—	1	—	—	5	6
China (mit Mandchurei und Hongkong)	4	10	2	4	18	15	53 (55)
Japan und Korea	1	—	1	—	1	4	7
Afrika	—	—	—	1	1	5	7
Amerika	3	3	2	4	13	15	40 (43)
Canada	—	—	—	—	1	1	2
Vereinigte Staaten	3	1	2	3	9	8	26 (29)
Mexico und Westindien	—	—	—	1	1	1	3
Südamerika	—	2	—	—	2	5	9
Australien	—	—	—	1	1	—	2
Summe	12	23	15	21	58	141	270 (279)

(Revue de géogr., März 1886, S. 170); nach dem Bericht des englischen Konsuls Tweedie (1886) übersteigt die Bevölkerung wahrscheinlich 100000 und ist nicht weit von 120000 entfernt. — ²⁰⁾ Blaubeuch C. 4957, S. 84. — ²⁰⁾ Sibree, Madagaskar, Leipzig 1881, S. 158. — ²⁰⁾ Catania hat, nach der berechneten Gemeindeganzahl für 1891 (s. S. 67) zu schließen, jedenfalls auch als Ort schon die 100000 überschritten.

Index zur Ortsbevölkerungsstatistik der Jahrgänge I—IX.

Die Länder sind innerhalb der Erdteile in alphabetischer Reihenfolge angeordnet. S. bedeutet Schätzung (v. J. = aus verschiedenen Jahren), B. Berechnung, Z. Zählung. Die vorläufigen Ergebnisse einer Zählung sind nicht berücksichtigt, wenn die endgültigen später aufgenommen wurden. Die römischen Ziffern geben den Jahrgang, die arabischen die Seitenzahl des betreffenden Jahrgangs an.

Europa.		B. 1876 V, <u>29.</u>	B. um 1880 VII, <u>126.</u>	Philippinen.
Belgien.	B. 1877 VI, <u>109.</u>	B. 1890 IX, <u>80.</u>	Z. 1870 VII, <u>129.</u>	Z. 1887 IX, <u>87.</u>
B. 1873 IV, <u>84.</u>	B. 1878 „	B. 1872 III, <u>49.</u>	Russisch-Asien.	B. 1867 I, <u>81.</u>
B. 1874 „	Z. 1881 IX, <u>26.</u>	B. 1873 III, <u>68.</u>	B. 1876 (?) V, <u>103.</u>	B. um 1880 VII, <u>127.</u>
Z. 1876 V, <u>87.</u>	B. 1891 „	B. 1875 IV, <u>85.</u>	B. 1885—91 IX, <u>82.</u>	
Z. 1880 IX, <u>38.</u>	Liechtenstein.	B. 1876 V, <u>87.</u>		
Z. 1890 „	Z. 1886 IX, <u>26.</u>	B. 1878 VI, <u>27.</u>		
Bosnien und Herzegovina.	Z. 1891 „	Z. 1880 VII, <u>123.</u>	Samos.	B. 1864 IV, <u>29.</u>
S. — III, <u>52.</u>	Luxemburg.	Z. 1890 IX, <u>80.</u>	B. 1875 „	
Z. 1879 VI, <u>110.</u>	Z. 1871 III, <u>35.</u>	Schweiz.	Türkisch-Asien.	S. v. J. III, <u>58.</u>
Z. 1885 IX, <u>71.</u>	Z. 1875 IV, <u>84.</u>	Z. 1870 I, <u>72.</u>	S. um 1879 VI, <u>110.</u>	
Bulgarien.	Z. 1880 VII, <u>100.</u>	Z. 1880 VII, <u>87.</u>		
S. — III, <u>51.</u>	Z. 1885 IX, <u>40.</u>	Z. 1888 IX, <u>26.</u>		
Z. 1861 IX, <u>73.</u>	Z. 1890 „			
Z. 1888 „	Monaco.			
Ostrumelien.	Z. (?) 1888 IX, <u>56.</u>	Serbien.		
S. — III, <u>51.</u>	Niederlande.	Z. 1866 III, <u>82.</u>	Afrika.	
Z. 1885 IX, <u>74.</u>	Z. 1869 III, <u>83.</u>	Z. 1874 V, <u>100.</u>	Ägypten.	B. 1872 III, <u>64.</u>
Z. 1888 „	B. 1875 IV, <u>84.</u>	Z. 1878 VI, <u>109.</u>	B. 1888 IX, <u>90.</u>	
Dänemark.	B. 1876 V, <u>85.</u>	Z. 1890 IX, <u>71.</u>	Algerien.	Z. 1872 III, <u>63.</u>
Z. 1870 I, <u>74.</u>	Z. 1879 VII, <u>29.</u>	Spanien.	Z. 1881 IX, <u>21.</u>	Z. 1886 „
Z. 1880 VII, <u>122.</u>	Z. 1889 IX, <u>40.</u>	B. 1870 V, <u>29.</u>	Z. 1886 „	Z. 1891 „
Z. 1890 IX, <u>50.</u>	Norwegen.	Z. 1877 VI, <u>102.</u>	Azoren und Madeira.	Z. 1878 VII, <u>119.</u>
Deutsches Reich.	B. 1870 III, <u>42. 68.</u>	Z. 1887 IX, <u>82.</u>	Canaren.	Z. 1877 VI, <u>103.</u>
Z. 1871 III, <u>5.</u>	Z. 1876 VI, <u>27.</u>	Türkei.	Z. 1887 IX, <u>93.</u>	
Z. 1875 V, <u>71.</u>	Z. 1891 IX, <u>61.</u>	S. — III, <u>50.</u>		
Z. 1880 VII, <u>88.</u>	Österreich-Ungarn.			
Z. 1885 IX, <u>1.</u>	Z. 1869 I, <u>62.</u>			
Z. 1890 „	„ III, <u>36²⁾.</u>	Asien.		
Finnland s. Rußland.	Z. 1880 VII, <u>100.</u>	Arabien.		
Frankreich.	Z. 1890 IX, <u>19.</u>	S. v. J. III, <u>56.</u>	Kepland.	Z. 1875 V, <u>107.</u>
Z. 1872 III, <u>23.</u>	Ostrumelien s. Bulgarien.	S. um 1880 VII, <u>128.</u>	Z. 1891 IX, <u>23.</u>	
Z. 1876 V, <u>88.</u>	Polen s. Rußland.	Belutschistan.	Marokko.	S. 1878 VI, <u>116.</u>
Z. 1881 IX, <u>27.</u>	Portugal.	S. v. J. VI, <u>110.</u>	Natal.	Z. 1891 IX, <u>24.</u>
Z. 1886 „	Z. 1878 VII, <u>118.</u>	Britisch-Indien.	Oranje-Freistaat.	Z. 1880 VII, <u>133.</u>
Z. 1891 „	Rumänien.	Z. 1867—72 IV, <u>29.</u>	Z. 1890 IX, <u>94.</u>	Presidios.
Griechenland.	S. um 1870 III, <u>82.</u>	„ VI, <u>111.</u>	Reunion.	B. 1877 VI, <u>103.</u>
Z. 1870 III, <u>69.</u>	„ IV, <u>28.</u>	China.	B. 1887 IX, <u>23.</u>	
Z. 1879 VII, <u>121.</u>	Rußland.	S. v. J. III, <u>61.</u>		
Z. 1889 IX, <u>70.</u>	B. 1867 I, <u>76.</u>	Dardistan.		
Großbritannien u. Irland.	B. 1876 (?) V, <u>100.</u>	S. vor 1880 VII, <u>128.</u>		
Z. 1871 III, <u>42. 68.</u>	B. um 1880 VII, <u>123.</u>	Japan.		
„ V, <u>88.</u>	B. 1885 bzw. <u>89. IX. 76.</u>	B. 1877 VI, <u>112.</u>		
B. 1876 IV, <u>85.</u>	Finnland.	„ VII, <u>129.</u>		
B. 1877 V, <u>87.</u>	B. 1867 I, <u>80.</u>	B. 1886, bzw. <u>87</u> und <u>90 IX, 83.</u>		
B. 1878 VI, <u>28.</u>	B. 1870 IV, <u>22.</u>	Java und Madura.		
B. 1879 „	B. 1875 V, <u>103.</u>	B. 1880 VII, <u>129.</u>		
Z. 1881 IX, <u>41.</u>	B. u. Z. 1880 VII, <u>127.</u>	Kafristan.		
Z. 1891 ¹⁾ „	B. u. Z. 1890 IX, <u>81.</u>	S. vor 1880 VII, <u>128.</u>		
Italien.	Polen.	Persien.		
Z. 1871 IV, <u>85.</u>	B. 1867 I, <u>79.</u>	S. v. J. III, <u>57.</u>		
B. 1872 I, <u>76.</u>	B. 1876 (?) V, <u>102.</u>	S. 1875—79 VII, <u>128.</u>		

¹⁾ Ohne die Kanalinseln. — ²⁾ Berichtigungen s. IV, 83.

Sudan.

S. 1872—74 IV, 109.

Tripolis.

S. 1869 IV, 108.

Amerika.

Argentinien.

Z. 1869 III, 67.S. 1889 IX, 118.

Bolivien.

S. 1850—86 IX, 116.

Brasilien.

S. v. J. III, 66.Rio 1872 V, 107.

Canada.

Z. 1871 III, 64.Z. 1881 VII, 133.

Chile.

Z. 1875 V, 108.Z. 1885 IX, 118.

Columbia.

S. v. J. III, 66.Z. 1870 VI, 119.

Costarica.

S. v. J. III, 65.

Ecuador.

S. v. J. III, 67.

Grönland.

Z. 1874 IV, 109.

Guatemala.

S. um 1870 III, 65.Z. 1880 VII, 136.

Guayana.

B. 1866—72 III, 66.

Z. 1877 (Franz. - G.)

VI, 117.

Honduras.

S. v. J. III, 65.

Labrador.

Z. 1876 V, 107.

Mexico.

S. 1868 III, 65.S. vor 1880 VI, 116.

S. und B. 1877—80

VII, 136.S. um 1889 IX, 113.

Neufundland.

Z. 1869 III, 64.

Nicaragua.

S. um 1870 III, 65.

Paraguay.

B. 1887 IX, 117.

Peru.

S. um 1870 III, 66.Z. 1876 VI, 117.S. 1889 IX, 115.

Salvador.

S. um 1870 III, 65.Z. 1878 VII, 136.

Venezuela.

Z. 1873 III, 66.V, 107.Z. 1881 IX, 116.

Vereinigte Staaten.

Z. 1870 I, 83.Z. 1880 IX, 96.

Z. 1890

Westindien, Britisches.

B. 1878 VI, 132.

Westindien, Französisches.

B. 1879 VII, 137.

Westindien, Spanisches.

Z. v. J. III, 66.Z. 1887 IX, 114.

Australien und Poly-

nesien.

Marianen.

B. 1873 IV, 108.

Neu-Caledonien.

Z. 1876 VI, 115.

Neuseeland.

Z. 1871 I, 82.Z. 1874 IV, 108.B. 1876 V, 107.Z. 1878 VI, 115.

B. 1879

Z. 1881 VII, 132.Z. 1886 IX, 134.

Z. 1891

Neu-Süd-Wales.

Z. 1871 III, 63.Z. 1881 IX, 121.

Z. 1891

Queensland.

Z. 1871 I, 82.B. 1872 III, 63.Z. 1876 V, 106.Z. 1881 VII, 132.Z. 1886 IX, 120.

Z. 1891

Sandwich-Insein.

Z. 1872 III, 63.Z. 1878 VI, 115.

Süd-Australien.

Z. 1871 I, 82.Z. 1876 V, 106.Z. 1881 VII, 132.Z. 1891 IX, 123.

Tasmanien.

Z. 1870 I, 82.V, 106.Z. 1881 IX, 123.

Z. 1891

Victoria.

Z. 1871 I, 81.B. 1874 IV, 107.B. 1876 V, 106.B. 1878 VI, 115.Z. 1881 VII, 132.Z. 1891 IX, 122.

West-Australien.

S. um 1875 V, 106.Z. 1881 IX, 123.

Z. 1891

Städte der Erde mit mehr als 100000 Einw. 1, 86." " " " " " 50000 " 11, 85." " " " " " 100000 " IV, 109." " " " " " 50000 " VI, 120." " " " " " 100000 " IX, 125.

Als Ergänzungshefte zu den „Mitteilungen“

sind erschienen:

- Nr. 1. *Vibe, Küsten und Meer Norwegens.* 1 M.
 Nr. 2. *Tschudi, Reise durch die Anden von Süd-Amerika, 1858.* 1 M.
 Nr. 3. *Barth, Reise durch Kleinasien, 1858.* 3 M.
 Nr. 4. *Lejean, Ethnographie der Europäischen Türkei (deutscher und französischer Text).* 2 M.
 Nr. 5. *Wagner, M., Physikalisch-geographische Skizze des Isthmus von Panama.* 1 M.
 Nr. 6. *Petermann und Hassenstein, Ost-Afrika zwischen Chartum und dem Roten Meer.* 80 Pf.
 Heft 1-6 bilden den I. Ergänzungsband (1860-1861). 8 M. 80 Pf.
- Petermann und Hassenstein, Inner-Afrika:**
 Nr. 7. " " " *Beurmanns Reise 1860, Kotschy 1859, Brun-Rollet 1866.* 2 M.
 Nr. 8. " " " *Behm, Land und Volk der Tebu, Beurmanns Reise nach Mureuk 1859.* 3 M.
 Nr. 10. " " " *Antinoris Reise zum Lande der Djur 1860 und 1861, Beurmanns Reise nach Wau.* 3 M.
 Nr. 11. " " " *Mémoire zu den Karten: Reisen von Heuglin, Morlang, Harnier.* 4 M. 60 Pf.
 Heft 7, 8, 10, 11 bilden den II. Ergänzungsband (1862-1863). 12 M. 60 Pf.
- Nr. 9. *Halford und Tschudi, Minus Gerau.* 2 M.
 Nr. 12. *Korlatka, Die Hohe Tatra in den Zentral-Karpathen.* 3 M.
 Nr. 13. *Heuglin, Kinzelbach, Munzinger, Steudner, Die Deutsche Expedition in Ost-Afrika, 1861 und 1862 (Sudan und Nord-Abessinien).* 4 M. 60 Pf.
- Nr. 14. *Richtshofen, Die Metallproduktion Kaliforniens und der angrenzenden Länder.* 1 M. 60 Pf.
 Nr. 15. *Heuglin, Die Tunesische Expedition im westlichen Nil-Quellgebiet, 1863 und 1864.* 2 M.
 Heft 9, 12-15 bilden den III. Ergänzungsband (1863-1864). 13 M. 20 Pf.
- Nr. 16. *Petermann, Spitzbergen und die arktische Zentral-Region.* 2 M.
 Nr. 17. *Payer, Die Adamello-Fresanella-Alpen.* 2 M.
 Nr. 18. *Payer, Die Ortler-Alpen, Südtirolgebiet.* 2 M.
 Nr. 19. *Behm, Die modernen Verkehrsmittel: Dampfschiffe, Eisenbahnen, Telegraphen.* 2 M. 60 Pf.
 Nr. 20. *Tschitschatsch, Reisen in Kleinasien und Armenien, 1847-1863.* 4 M. 60 Pf.
 Heft 16-20 bilden den IV. Ergänzungsband (1865-1867). 15 M. 30 Pf.
- Nr. 21. *Spörer, J., Nowaja Semla in geographischer, naturhistorischer und volkswirtschaftlicher Beziehung.* 3 M. 60 Pf.
 Nr. 22. *Fritsch, Reisebilder von den Canarischen Inseln.* 1 M. 60 Pf.
 Nr. 23. *Payer, Die westlichen Ortler-Alpen (Trafalgargebiet).* 3 M. 60 Pf.
 Nr. 24. *Jeppe, Die Transvalische Republik.* 2 M. 60 Pf.
 Nr. 25. *Rohlf, Reise durch Nord-Afrika von Tripoli nach Kuka.* 3 M.
 Heft 21-25 bilden den V. Ergänzungsband (1867-1868). 14 M. 60 Pf.
- Nr. 26. *Lindeman, Die arktische Flockerei der Deutschen Seefahrer 1620-1868.* 3 M. 60 Pf.
 Nr. 27. *Payer, Die südlichen Ortler-Alpen.* 3 M. 60 Pf.
 Nr. 28. *Koldewey und Petermann, Die Erste Deutsche Nordpolar-Expedition, 1868.* 5 M.
 Nr. 29. *Petermann, Australien in 1871. Mit geographisch-statistischem Kompendium von Meisicke.* 1. Abt. 5 M. 60 Pf.
 Heft 26-29 bilden den VI. Ergänzungsband (1869-1871). 15 M.
- Nr. 30. *Petermann, Australien in 1871. Mit geographisch-statistischem Kompendium von Meisicke.* 2. Abt. 3 M. 60 Pf.
 Nr. 31. *Payer, Die zentralen Ortler-Alpen, Martell etc.* 3 M.
 Nr. 32. *Sonklar, Die Zillerthaler Alpen.* 3 M. 60 Pf.
 Nr. 33. *Behm und Wagner, Die Bevölkerung der Erde. I.* 2 M. 60 Pf.
 Nr. 34. *Rohlf, Reise durch Nord-Afrika von Kuka nach Lagos.* 4 M. 60 Pf.
 Heft 30-34 bilden den VII. Ergänzungsband (1871-72). 17 M. 60 Pf.
- Nr. 35. *Behm und Wagner, Die Bevölkerung der Erde. II.* 5 M.
 Nr. 36. *Dr. G. Radde, Vier Vorträge über den Kaukasus.* 4 M.
 Nr. 37. *Mauch, Reisen im Innern von Süd-Afrika, 1865-1872.* 2 M. 60 Pf.
 Nr. 38. *Wojelke, Die atmosphärische Zirkulation.* 3 M.
 Heft 35-38 bilden den VIII. Ergänzungsband (1873-1874). 14 M. 60 Pf.
- Nr. 39. *Petermann, Die südamerikanischen Republiken Argentinien, Chile, Paraguay und Uruguay in 1875. Mit einem geographischen Kompendium von Harnelster.* 4 M. 20 Pf.
 Nr. 40. *Waltenberger, Die Khätikon-Kette, Lechtaler und Voralberger Alpen.* 4 M. 40 Pf.
 Nr. 41. *Behm und Wagner, Die Bevölkerung der Erde. III.* 4 M. 40 Pf.
 Nr. 42. *H. Sowerzows, Erforschung des Thian-Schan-Gebirgs-Systems 1867. I. Hälfte.* 4 M. 40 Pf.
 Heft 39-42 bilden den IX. Ergänzungsband (1875). 17 M. 40 Pf.
- Nr. 43. *H. Sowerzows, Erforschung des Thian-Schan-Gebirgs-Systems 1867. II. Hälfte.* 4 M. 40 Pf.
 Nr. 44. *Cornike technische Studien-Expedition durch die Gebiete des Euphrat und Tigris. I. Hälfte.* 4 M.
 Nr. 45. *Cornike technische Studien-Expedition durch die Gebiete des Euphrat und Tigris. II. Hälfte.* 4 M.
 Nr. 46. *Brotschneider, Die Pekinger Ebene und das benachbarte Gebirgsland.* 2 M. 20 Pf.
 Nr. 47. *Hagenmachers Reise im Somali-Lande.* 1 M. 80 Pf.
 Heft 43-47 bilden den X. Ergänzungsband (1875-1876). 16 M. 40 Pf.
- Nr. 48. *Czerney, Die Wirkung der Winde auf die Gestaltung der Erde.* 2 M. 20 Pf.
 Nr. 49. *Behm und Wagner, Die Bevölkerung der Erde. IV.* 5 M.
 Nr. 50. *Zöppritz, Prussens Reisen im Nilgebiete. I. Hälfte.* 2 M. 40 Pf.
 Nr. 51. *Zöppritz, Prussens Reisen im Nilgebiete. II. Hälfte.* 3 M.
 Nr. 52. *Forst, Ost-Turkestan und das Pamir-Plateau.* 4 M.
 Heft 48-52 bilden den XI. Ergänzungsband (1876-1877). 17 M.

- Nr. 53. *Przewalskys Reise an den Lob-Nor und Altyn-Tag 1876—1877.* 3 M.
 Nr. 54. *Die Ethnographie Rußlands, nach A. F. Ritsch.* 5 M.
 Nr. 55. *Behm und Wagner, Die Bevölkerung der Erde.* V. 5 M.
 Nr. 56. *Credner, Die Deltas.* 4 M.
 Heft 53—56 bilden den XII. Ergänzungsband (1877—1878). 16 M.
- Nr. 57. *Soellbeer, Edelmetall-Produktion.* 5 M. 60 Pf.
 Nr. 58. *Fischer, Studien über das Klima der Mitteleländer.* 4 M.
 Nr. 59. *Reis, Der Nakasendō in Japan.* 3 M. 20 Pf.
 Nr. 60. *Lindeman, Die Seefischerei.* 5 M.
 Heft 57—60 bilden den XIII. Ergänzungsband (1879—1880). 17 M. 80 Pf.
- Nr. 61. *Rivoli, La Serra da Estralla.* 3 M.
 Nr. 62. *Behm und Wagner, Die Bevölkerung der Erde.* VI. 5 M.
 Nr. 63. *Mohn, Die Norwegische Nordmeer-Expedition.* 2 M.
 Nr. 64. *Fischer, Die Dattelpalme.* 4 M.
 Nr. 65. *Berlepsch, Die Gotthard-Bahn.* 4 M. 60 Pf.
 Heft 61—65 bilden den XIV. Ergänzungsband (1880—1881). 17 M. 60 Pf.
- Nr. 66. *Dr. P. Schreiber, Die Bedeutung der Windrosen.* 2 M. 20 Pf.
 Nr. 67. *Blumentritt, Ferd., Versuch einer Ethnographie der Philippinen.* 5 M.
 Nr. 68. *Bernst, G., Das Val d'Anniviere und das Bassin de Sierr.* 4 M.
 Nr. 69. *Behm und Wagner, Die Bevölkerung der Erde.* VII. 7 M. 40 Pf.
 Nr. 70. *Sayberger, Der Jangtseher von Kuffstein bis Hong.* 4 M.
 Heft 66—70 bilden den XV. Ergänzungsband (1881—1882). 22 M. 60 Pf.
- Nr. 71. *Chorosochin und v. Stein, Die russischen Kosakenheere.* 3 M. 20 Pf.
 Nr. 72. *Juan Maria Schaver, Reisen im oberen Nilgebiet.* 4 M. 40 Pf.
 Nr. 73. *Dr. Carl Schumann, Kritische Untersuchungen über die Zimtländer.* 2 M. 80 Pf.
 Nr. 74. *Dr. Oscar Dredt, Die Florenze der Erde.* 4 M. 60 Pf.
 Nr. 75. *Dr. R. v. Lendenfeld, Der Tasman-Gletscher und seine Umrandung.* 5 M. 40 Pf.
 Heft 71—75 bilden den XVI. Ergänzungsband (1883—84). 10 M. 40 Pf.
- Nr. 76. *Dr. Fritz Regel, Die Entwicklung der Ortschaften im Thüringerwald.* 4 M. 40 Pf.
 Nr. 77. *F. Steitz und F. C. Andreas, Die Handelsverhältnisse Persiens.* 4 M.
 Nr. 78. *Dr. H. Friliche, Ein Beitrag zur Geographie und Lehre vom Erdmagnetismus Asiens und Europas.* 5 M.
 Nr. 79. *Prof. H. Mohn, Die Strömungen des europäischen Nordmeeres.* 2 M. 60 Pf.
 Nr. 80. *Dr. Franz Boss, Baffin-Land. Geographische Ergebnisse einer 1883 und 1884 ausgeführten Forschungsreise.* 5 M. 40 Pf.
 Heft 76—80 bilden den XVII. Ergänzungsband (1885—1886). 21 M. 40 Pf.
- Nr. 81. *Franz Sayberger, Geographisch-geologische Studien aus dem Böhmerwalde.* 4 M.
 Nr. 82. *Robert v. Schlagintweit, Die Pacificen Eisenbahnen in Nordamerika.* 2 M. 60 Pf.
 Nr. 83. *Dr. Gustav Bernst, Der Alpenföhn in seinem Einfluß auf Natur und Menschenleben.* 3 M. 60 Pf.
 Nr. 84. *Alexander Supan, Archiv für Wirtschaftsgeographie. I. Nordamerika, 1880—1885.* 5 M.
 Nr. 85. *Gustav Radde, Aus den Dagestanischen Hochalpen, vom Schak-dagh zum Dailj und Bogos.* 4 M. 40 Pf.
 Heft 81—85 bilden den XVIII. Ergänzungsband (1886—1887). 10 M. 60 Pf.
- Nr. 86. *Dr. Rudolf Credner, Die Reliktsseen. I. Teil.* 5 M. 60 Pf.
 Nr. 87. *Dr. R. v. Lendenfeld, Forschungsreisen in den Australischen Alpen.* 3 M.
 Nr. 88. *Dr. J. Partsch, Die Insel Korfu.* 5 M. 40 Pf.
 Nr. 89. *Dr. Rudolf Credner, Die Reliktsseen. II. Teil.* 3 M. 40 Pf.
 Heft 86—89 bilden den XIX. Ergänzungsband (1887—1888). 17 M. 40 Pf.
- Nr. 90. *M. Blanckenhorn, Die geognostischen Verhältnisse von Afrika. I. Teil.* 4 M.
 Nr. 91. *Hermann Michaelis, Von Hankau nach Su tschau (Reisen im mittlern und westlichen China 1879—1881).* 4 M.
 Nr. 92. *Dr. W. Junkers Reisen in Zentralafrika 1880—1885. Wissenschaftliche Ergebnisse. I.* 4 M.
 Nr. 93. *Dr. W. Junkers Reisen in Zentralafrika 1880—1885. Wissenschaftliche Ergebnisse. II u. III.* 4 M. 80 Pf.
 Nr. 94. *W. v. Diest, Von Erpanon über den Dindymos zum Pontus.* 5 M. 40 Pf.
 Heft 90—94 bilden den XX. Ergänzungsband (1888—1889). 23 M. 20 Pf.
- Nr. 95. *Dr. J. Partsch, Die Insel Leukas.* 2 M. 80 Pf.
 Nr. 96. *Max Bescheron, São Pedro do Rio Grande do Sul.* 5 M.
 Nr. 97. *Dr. Karl Dove, Kulturreisen von Nord-Absessien.* 3 M. 60 Pf.
 Nr. 98. *Dr. Joseph Partsch, Kephallenia und Rhaka. Eine geographische Monographie.* 6 M.
 Nr. 99. *v. Höhnelt, Ostäquatorial-Afrika zwischen Tanganjika und dem neu entdeckten Rudolf-See.* 4 M. 20 Pf.
 Nr. 100. *Dr. Gustav Radde, Karabagh.* 4 M.
 Heft 95—100 bilden den XXI. Ergänzungsband (1889—1890). 24 M. 40 Pf.
- Nr. 101. *Wagner und Supan, Die Bevölkerung der Erde. VIII.* 10 M.
 Nr. 102. *Johannes Walther, Die Adambrücke und die Korallenriffe der Polarküste.* 3 M. 60 Pf.
 Nr. 103. *Dr. Paul Schnell, Das marokkanische Atlasgebirge.* 5 M.
 Nr. 104. *Dr. Alfred Hettner, Die Kordillere von Bogotá.* 6 M.
 Heft 101—104 bilden den XXII. Ergänzungsband (1891—1892). 28 M. 60 Pf.
- Nr. 105. *Mohn und Hansen, Wissenschaftliche Ergebnisse von Dr. F. Nansen's Durchquerung von Grönland 1888.* 6 M.
 Nr. 106. *Dr. Sophus Rupe, Die Entwicklung der Kartographie von Amerika bis 1870.* 5 M.

UNIVERSITÄT
OCT 7 1893
LIBRARY

Dr. A. Petermanns Mitteilungen

aus

Justus Perthes' Geographischer Anstalt.

Herausgegeben von

PROF. DR. A. SUPAN.

Ergänzungsheft Nr. 108.

Neue Beiträge

zur

Geologie und Geographie Japans.

Von

Dr. Edmund Naumann.



GOTHA: JUSTUS PERTHES.

1893.

Preis 3 M. 60 Pf.

Als Beiträge für diese Zeitschrift

werden *Abhandlungen, Aufsätze, Notizen, Litteraturberichte* und *Karten* in ausgeführter Zeichnung oder skizziert, welche sich auf die Gebiete der Geophysik, Anthropogeographie, speziellen Landeskunde, astronomischen Geographie, Meteorologie, Nautik, Geologie, Anthropologie, Ethnographie, Staatenkunde und Statistik beziehen, erbeten. Ganz besonders sind verlässliche Notizen oder briefliche Berichte aus den *außereuropäischen* Ländern, wenn auch noch so kurz, nicht nur von Geographen von Fach, sondern auch von offiziellen Personen, Konsuln, Kaufleuten, Marine-Offizieren und Missionaren, durch welche uns bereits so wertvolle und mannigfaltige Berichte zugegangen sind, stets willkommen.

Reisjournale zur Einsicht und Benutzung, sowie die bloßen *unberechneten Elemente astronomischer, hypsometrischer und anderer Beobachtungen und Nachrichten über momentane Ereignisse* (z. B. Erdbeben, Orkane), sowie über *politische Territorialveränderungen* etc. werden stets dankbar entgegengenommen. Ferner ist die Mitteilung *gedruckter*, aber seltener oder schwer zugänglicher *Karten*, sowie *außereuropäischer*, geographische Berichte enthaltender *Zeitungen* oder anderer mehr ephemerer *Flugschriften* sehr erwünscht. — Für den Inhalt der Artikel sind die Autoren verantwortlich.

Die Beiträge sollen womöglich in deutscher Sprache geschrieben sein, doch steht auch die Abfassung in einer andern Kultursprache ihrer Benutzung nicht im Wege.

Originalbeiträge werden pro Druckbogen für die Monatshefte mit *68 Mark*, für die Ergänzungshefte dementsprechend mit *51 Mark*, **Übersetzungen** oder **Auszüge** mit der *Hälfte dieses Betrages*, **Litteraturberichte** mit *10 Pf.* pro Zeile in Kolonell-Schrift, jede für die „Mitteilungen“ geeignete **Originalkarte** gleich einem Druckbogen mit *68 Mark*, **Kartenmaterial** und **Kompilationen** mit der *Hälfte dieses Betrages* honoriert. In außergewöhnlichen Fällen behält sich die Redaktion die Bestimmung des Honorars für Originalkarten vor.

An *Verlagsbuchhandlungen* und *Autoren* richten wir die Bitte um Mitteilung ihrer Verlagsartikel bzw. Werke, Karten oder Separatabdrücke von Aufsätzen mit Ausschluss derjenigen lediglich schulgeographischen Inhalts behufs Aufnahme in den Litteratur- oder Monatsbericht, wobei wir jedoch im vorhinein bemerken, daß über Lieferungswerke erst nach Abschluss derselben referiert werden kann.

FÜR DIE REDAKTION: PROF. DR. A. SUPAN. JUSTUS PERTHES' GEOGRAPHISCHE ANSTALT.



Neue Beiträge

zur

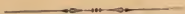
Geologie und Geographie Japans.

Von

Dr. Edmund Naumann.

Mit drei Karten und zwei Skizzen im Text.

(ERGÄNZUNGSHEFT No. 108 ZU „PETERMANN'S MITTHEILUNGEN“.)



GOTHA: JUSTUS PERTHES.

1893.

INHALT.

	Seite
I. Dampfausbrüche der japanischen Vulkane Shirane und Bandai	1
1. Der Shirane-Ausbruch	1
2. Die Bandai-Katastrophe	9
3. Schlußbetrachtungen	15
II. Die Fossa magna	16
1. Reisen in die Fossa magna	16
2. Morphologische Charakteristik der Fossa magna	23
3. Die Fossa magna als Gebirgs- und ihre Dentung	24
4. Zur Gebirgsbildung	34
III. Skizze der Orographie von Japan	37
1. Nordflügel des Japanischen Bogens	43
A. Die Außenzone	43
B. Die Innenzone	44
2. Die Fossa magna	44
3. Südflügel des Japanischen Bogens	45
A. Die Außenzone	45
B. Die Innenzone	45

Karten und Skizzen im Text:

- Taf. 1. Der Krater des Shiranesan bei Ksats. Von Dr. Edmund Naumann. Maßstab 1:65 000. — — Drei Ansichten des Bandai.
- Taf. 2. Stereographische Darstellung der Geologie Japans. Von Dr. Edmund Naumann.
- Taf. 3. Höhenschichtenkarte von Japan. Von Dr. Edmund Naumann. Maßstab 1:2 600 000.
- S. 28. Geotektonische Gliederung der Japanischen Inseln. Von Dr. Edmund Naumann, 1885—87.
- S. 29. Geotektonische Gliederung der Japanischen Inseln nach T. Harada, 1888.

Seinem

hochverehrten Lehrer und Freund

Herrn Oberbergdirektor Prof. Dr. **Wilhelm Ritter von Gumbel**

zum siebzigsten Geburtstag

dankbarst gewidmet

vom

Verfasser.



I.

Dampfausbrüche der japanischen Vulkane Shirane und Bandai.

Es war am 15. Juli des Jahres 1888, als sich um die achte Morgenstunde der Gipfel des Vulkans Bandai, eines 1840 m hohen, felsigen Kegels, der am Ufer des kristallklaren Sees Inawashiro aufsteigt, plötzlich öffnete, um das Land nach Nord und Ost mit einer kolossalen Masse von Schlamm und Felstrümmern zu überschütten. Nicht weniger als 461 Menschen verloren bei dieser furchtbaren Katastrophe das Leben. Über eine Fläche von 7000 ha hatte der Berg seine breiigen Massen ausgebreitet. Berichte und Abhandlungen von Augenzeugen haben ein ziemlich klares Bild über den Verlauf der Erscheinung geliefert. Es mag Wunder nehmen, wenn ich mich, ohne den Vorteil eines direkten Einblickes genossen zu haben, an den Versuch wage, die Katastrophe zu schildern und ihre Bedeutung klarzulegen. Ich glaube jedoch ein gewisses Recht zu diesem Versuch beanspruchen zu dürfen, da ich den Vulkan im Jahre 1878 selbst bestiegen habe. Durch diese Besteigung bin ich nämlich in den Stand gesetzt, die Verhältnisse, wie sie vor dem Ausbruch lagen, vielleicht besser zu beurteilen, als andre. Auch dürfte es von Interesse sein, hier die Eruption des Vulkans Shirane bei Kusats, welche am 6. August 1882 statt hatte, in Betracht zu ziehen. Auf Grund der seinerzeit an Ort und Stelle durchgeführten Studien vermag ich eine Darlegung dieses jüngsten Shirane-Dampfausbruches, über den noch nichts Ausführliches bekannt geworden ist, zu bieten. Die beiden Dampferuptionen sind auf das Innigste verwandt; sie müssen auf dieselben Ursachen zurückgeführt werden. Schon deshalb dürfte es sich empfehlen, sie gemeinschaftlich zu behandeln.

1. Der Shirane-Ausbruch.

Über die Lage des Shiranesan und die topographischen und geologischen Verhältnisse seiner Umgebung liefern zwei Sektionen der 200000 teiligen Gradabteilungskarte der Kais. japan. Geologischen Reichsanstalt: Blatt Ueda, Zone 11, Col. XI, und Blatt Nagano, Zone 12, Col. XI, ein anschauliches, gutes Bild.

Folgt man von der bekannten, am Rande der Ebene von Yeddo gelegenen Nakasendostadt Takasaki aus einer nordwestlichen Richtung, um das Thal des Karasugawa hinaufzuziehen, so macht sich schon bei Kameyama das Gebirge geltend. Aus tertiärem Hügellande tauchen hie und da jäh emporsteigende, felsige, waldgekrönte Pyramiden vulkanischen Gesteins auf, oder auch hochzackige, schnell endende Rücken und runde Dome. Gar wundersame Bilder zeigen sich dem staunenden Auge, wenn diese fremdartigen Berggestalten durch irgendeine Seitenschlucht nach unten schauen. Nicht lange dauert es, so befinden wir uns im Zentrum eines riesigen, nach Osten offenen Halbkreises mächtiger Vulkane. Im Südwesten liegt der rauchende, flache Kegel des Asama (2480 m), gegen Westen erscheint der gewaltige, in einer schlanken Felspitze gipfelnde Adzuma (2357 m), weiter der breite, plump geformte Manza, und zuletzt, nordwestlich von unserm Standpunkt, der bleiche, von grünen Rücken getragene Shirane (2253 m), über dem sich eine dünne weißle Dampfsäule

von dem blauen Himmel abhebt. Durch das Adzumagawa-Thal, in dessen schattige Felsen-schluchten wir nun hinabsteigen, wälzte sich vor 100 Jahren ein dem Asama entquollener Lavastrom, der Wälder und Dörfer verschlang. Er floß bis zum Tonegawa, also vom Krater aus nicht weniger als 63 km weit.

Kusats ist ein altes, berühmtes Schwefelbad, das sich in jedem Sommer großer Frequenz erfreut. Der Ort hat umfangreiche Badeanlagen und zahlreiche Theehäuser. Aus den Bädern steigen große Dampfmassen auf. Heiße Quellen finden sich in Unzahl über die ganze Umgegend zerstreut. Kusats verdient in vollem Maße den Namen einer Solfatare. Einige der Quellen setzen Schwefel ab, an vielen Punkten macht sich ein starker Geruch nach Schwefelwasserstoff bemerkbar. Die meisten Thermen folgen dem von Westen her einmündenden Thale. Hier reihen sie sich in Form einer langen Kette aneinander. Das Thal trägt den Namen Sainokawara, d. i. „Trockener Fluß der Seelen“, — eine Benennung, welche auf religiöse Beweggründe zurückzuführen ist. Steinhanfen, welche sich in dem Thale vielerorts finden, sind von buddhistischen Pilgern aufgetürmt. Die Steine werden den verstorbenen Kindern dargebracht, um sie vor der alten Hexe Shōdzkano Baba zu retten, die am Ufer des buddhistischen Styx ihrer wartet, um die armen Opfer zum Steinaufhäufen ohne Ende anzutreiben.

Von großer Verbreitung ist in Kusats und Umgegend eine weiße Breccie mit faust-bis kopfgroßen Einschlüssen eines durch Zersetzung weißen Augitandesits. Die Breccie wird von Brauneisenerzkernen, in denen sich unzählige Blätterabdrücke und sonstige Pflanzenüberreste finden, überlagert. Die Limonitbänke, offenbar Ablagerungen von Thermen-wässern, sind außen härter, innen weicher und bilden malerische, knorrige, gelbschwarze oder sepiabraungefärbte Felsen. Die Quellen treten überall im Liegenden des Erzes auf. In gewissen Lagen zeigen die letztern eine eigenthümliche Textur, die auf den ersten Blick einfach querfasrig erscheint. Bei genauer Untersuchung erweisen sich jedoch die Querfasern als Ketten übereinandergestülpter winziger Kegelchen.

Der Weg nach dem Shirane folgt dem Bache des Dorfes kaum ebenso weit, wie die Häuser reichen, wendet sich schnell am Hange rechts bergauf und führt so auf den Rücken einer weit ausgedehnten Hara, einer jener sanft ansteigenden Ebenen mit heideartiger Vegetation, deren es, besonders in der Umgegend der Vulkane, viele im Lande gibt. Bald geht es nun wieder hinab in die Schlucht des Yasawagawa, an dessen jenseitigem Ufer steile, pfeilerförmige, mit Nadelhölzern gekrönte Felsen emporwachsen. Solche aus pfeiler-artigen Felsen gebildete Wände treten in der Umgegend des Vulkans sehr viel auf. Sie gehören zu alten Lavaströmen. Wir betreten von neuem den Rücken der Hara, die sich nun mehr und mehr zusammenschnürt. Durch das Aneinandertreten der vor uns liegenden Bergriegel werden dann zwei Thalwege eng aneinandergezwängt, so daß man bei Verlassen der Hara einen scharfen, brückenartigen Grat betritt, während beiderseits tief unten die brausenden Wässer hörbar werden. Bald stehen wir einer Schlucht gegenüber, die sich in ein Gewirr von, wie es scheinen will, an- und durcheinandergeschobenen, großenteils bewaldeten Massen und Kuppen verläuft. Die Krone dieses Gewirrs von Bergen bildet eine kahle, flache, lichtfarbige Schwelle: der Shirane, der weiße Berg. Der Weg führt weiter in nordnordöstlicher Richtung bis zu einem Theehaus, dem Shirane Chaya, auf der Yoshigadaira, einer kleinen Hochebene, gelegen. Wir haben uns nun links zu wenden, um die kahlen, rauchenden Höhen des Berges zu besteigen. Der Vulkan markiert sich hauptsächlich durch sein bleiches Gewand und hebt sich durch seine Form kaum von den umgebenden Erhebungen, mit denen er innig verwachsen ist, ab. Selbst hier oben erscheint er wie ein lang hinziehender Wall. Er ist einem sehr stark abgestumpften, lang-elliptischen Kegel zu vergleichen. Die Gipfelregion ist plateauförmig. In sanft geschwungenen Wellen taucht die Oberfläche auf und nieder, so daß es schwer hält, den höchsten Punkt ausfindig zu machen. Südöstlich vom Shirane ist auf der Karte der Reichsanstalt ein 2143 m

hoher Gipfel mit Namen Moto-Shirane verzeichnet. Dieser Gipfel soll nach der Karte einen Krater tragen. Der Gipfel des eigentlichen Shirane liegt in einer Entfernung von 6 km westnordwestlich von Kusatsu.

So einformig die Gestaltung des Vulkans und besonders die Form seiner Gipfelregion auf den ersten Blick erscheinen mag, so interessant sind die Kraterbildungen, von denen drei in der Richtung Südwest—Nordost aneinandergereiht sind. Die mittlere der drei kesselförmigen Vertiefungen, Yugama genannt, ist die größte und tiefste, die nordöstlichste, Mizugama, mit einem Teich versehene, die kleinste. Der südwestliche Kessel trägt den Namen Karagama. Die Terrainverhältnisse sind auf der der Abhandlung beigelegten Karte zur Anschauung gebracht.

Auch in der Mitte von Yugama soll sich früher ein Wasserbecken befunden haben; jetzt ist dieser kesselartige Krater der Schauplatz einer sehr seltsamen Thätigkeit. Aus mächtigen Spalten, die an den felsigen und schlammigen Wänden klaffen, pfeifen unter Zischen und Sausen Dampfstrahlen und Dampfwolken hervor. In einigen rauchenden Tümpeln am Grunde des Kessels quirlt und sprudelt es, wie wenn das Wasser kocht. Am Fuße der östlichen Steilwand aber bäumt sich die Flut in riesigem Schloße, um nach jedesmaligem Aufsteigen unter wildem Gewoge und Schäumen nach allen Seiten zu stürzen. Immer von neuem verkündet das Anwachsen des Geheuls ein wiederholtes Aufsteigen der gewaltigen Fontäne.

Der höchste Gipfel dürfte der auf der Nordseite sein, derselbe, dessen flach abfallende, in den Krater eintretende Rippe zwischen die beiden nordöstlichen Trichter des ganzen Kratersystems zu liegen kommt. Er erhebt sich 74 m über den Yugamaboden. Der felsige Gipfel östlich vom Mizugama, südlich vom Eingang zum ganzen Kratersystem, ist 70 m über demselben Niveau gelegen. Der südliche Kratertrand ist relativ niedrig und steigt ziemlich gleichmäßig in nordöstlicher Richtung an. Sehr hoch und felsig erscheint dagegen die nördliche Wand von Yugama. Mizugama liegt 20 m über Yugama. Karagama dürfte nicht viel höher als Yugama liegen. Steigt man von Mizugama über den trennenden Sattel nach Yugama hinunter, so gilt es zunächst, an einer aus Schlamm und Felsmassen bestehenden Steilwand hin zu klettern, um in die nordöstliche Ecke des Kessels hinab zu gelangen. Hier befindet sich eine Dampföffnung, welche mit großer Gewalt und unter heftigem Getöse kolossale Dampfmassen ausstößt. Die Öffnung gehört zu einer großen, unterhalb des höchsten Gipfels hinziehenden Spalte, an deren Grunde sich siedendes Wasser zu befinden scheint. Ich vermochte der Öffnung ziemlich nahe zu kommen, mußte aber zurückprallen, als sich die Richtung des Stoßes plötzlich änderte, um mich in einen glühend heißen Dampfstrahl zu versetzen.

Wir begeben uns nun weiter hinab und gelangen auf den Boden einer kreuzförmigen Vertiefung, welche die nordöstliche Ecke des Mittelkessels einnimmt. Dieselbe ist fast durchgehend durch steile Wände begrenzt. Der östliche verbreiterte Arm der kreuzförmigen Vertiefung führt direkt in den im Horizontalschnitt hufeisenförmigen Eruptionsschlot hinein. Eine breite Spalte mündet in die westliche Bucht des Schlotes. Der Boden dieser Spalte liegt dort, wo sie an dem steilen Rande des Kraters abbricht, in ca 5 m Höhe über der Oberfläche des scheinbar siedenden Wassers. Ich operierte von hier aus, um Proben der schlammigen Flüssigkeit zu gewinnen und die Temperatur zu bestimmen. Leider mißlang die Temperaturbestimmung, da das Maximumthermometer an einer aus dem Krater aufragenden, nur von Zeit zu Zeit auf einen kurzen Augenblick sichtbaren Fels Spitze zerschellte. Dagegen glückte die Füllung einiger Flaschen mit Kraterwasser. Es war nicht ungefährlich, diese Versuche in der ebenso abschüssigen wie schlüpfrigen Spalte auszuführen. Ich wurde durch meine hinter und über mir stehenden Gehilfen an einem Seile gehalten. Nur von Zeit zu Zeit, in kurzen Intervallen, gestattete der sich in dichten Wolken ballende Dampf freien Ausblick. Die in den Pfuhl geworfenen Flaschen waren wie die daran be-

festigten Steine so heiß, daß man sie nicht mit bloßer Hand zu fassen vermochte, obwohl sie nur ganz kurze Zeit mit dem erhitzten Wasser in Berührung gewesen waren. Dennoch glaube ich nicht, daß die Temperatur im Krater den Stand von 100 Grad erreichte. Das Siedegeräusch, welches nach dem Zusammensinken des Wassers plötzlich eintritt, entsteht durch das Entweichen der Luft, mit der sich das Wasser beim Aufsteigen und Zurücksinken gemischt hat, und die heftigen Bewegungserscheinungen in dem Wasser rühren nicht vom Kochen, sondern davon her, daß sich große Massen ausgestoßenen Dampfes durch das Wasser hindurchzuarbeiten haben.

Was die Aufeinanderfolge der geysirartigen Eruptionen betrifft, so kann nicht mit voller Sicherheit angegeben werden, nach welchen Zwischenräumen dieselben statt hatten, der riesigen Dampf Wolken wegen. Über eine sehr schnelle Aufeinanderfolge besteht allerdings kein Zweifel. Die Zwischenräume sind manchmal länger, manchmal kürzer. In einem Falle vermochte ich ein Intervall von einer Minute festzustellen.

Der östliche Teil des Eruptionsschlotes enthält milchiges Wasser, das sich in fließender Bewegung befindet. Es strömt fortwährend nordwärts, zeigt aber keineswegs das Kochen und Sprudeln, Aufwallen und Aufbäumen des westlichen Teiles. Auch ruht auf dieser Wasserfläche keine konstante Dampfsäule, so daß sie meist sichtbar ist.

Das periodische Aufsteigen der Riesenfontäne erfolgt in der westlichen Abtheilung. Es ist jedesmal, als ob sich die ganze, in unergründlichem Schlothe enthaltene Wassermasse hoch emporbäumte, um gleich darauf ohnmächtig in sich selbst zurückzusinken, wobei sich das mit dem Aufbäumen verbundene Geheul und Gehraus allmählich zu zischendem Siedegeräusch herabstimmt.

Durchschreitet man den Kessel, um sich in die südwestliche Ecke zu begeben, so kreuzt man zunächst das Zentralgebiet des Yugama, welches vor seiner jetzigen Eruption von einem seichten Wasserbecken eingenommen wurde. An Stelle des Teiches ist jetzt eine Schlammwüste getreten, die durch eine lavastromartig zerrissene Oberfläche ausgezeichnet ist. Rechts von ihr im nordwestlichen Teil vom Yugama finden wir einen kalten Tümpel, der bis zum Fuße der felsigen Hauptkraterwand heranreicht. In der Spitze des nördlichen Zipfels dieses Tümpels klappt eine kurze Spalte, gleichfalls der Sitz vulkanischer Thätigkeit. Unter hohem Druck strömt Dampf mit lautem Getöse aus einigen Öffnungen der steilen Felswand. Im untersten weiten Teile der Spalte siedet und kocht es wie im Eruptionsschlote.

Der Krater des Shiranese ist schon seit langer Zeit ein Gewinnungsort für Schwefel. Auch bei Gelegenheit meiner zweimaligen Besteigung fand ich Leute im Krater mit der Schwefelgewinnung beschäftigt. Eine kleine, kaum mannshohe Hervorragung in der nördlichen Hälfte des Yugama zeigte eine kompakte Masse sehr reinen Minerals. Jetzt dürfte sie schon längst dem Abbau unterlegen sein. Die meisten Stellen des Schwefelhügels zeigen noch die von der letzten Eruption herrührende Schlammkruste. Ein kreisrundes tiefes Loch befindet sich südlich vom jetzigen Yugama-Teich; dasselbe wurde früher zum Zwecke der Schwefelgewinnung abgeteufelt.

In der südlichen Ecke befinden sich einige heiße Sprudel; unter ihnen zeichnet sich der eine durch etwas größere Dimensionen aus. In diesen kleinern Eruptionsschlöchern zeigt sich die in der Hauptvertiefung so großartig auftretende Erscheinung im kleinen, nur mit dem Unterschiede, daß hier das periodisch wiederkehrende Aufbäumen des Wassers nicht so deutlich hervortritt¹⁾. Besonders ist es in den kleinern Herden nur eine wirbelnde, sprudelnde Bewegung. Das Entweichen von heißem Wasserdampf erfolgt hier aus einer

¹⁾ Die Erscheinung des stufenweisen periodischen Austritts der Dampfmassen findet in sehr vielen Solfataren statt, in der Regel da, wo der Eruptionskanal der Dämpfe mit Wasser gefüllt ist. Außer solchen Miniaturgeysiren habe ich auch die Bildung kleiner Schlammkegel beobachten können (Tateyama), die dadurch emporwachsen, daß bei Gelegenheit der Dampfzäune jedesmal schlammiges Wasser emporgeschleudert wurde, welches sich beim Niederfallen um die Öffnung ausbreitete.

von erhittem schlammigen Wasser gefüllt, in der Regel kreisrunden, trichterförmigen Öffnung. In einem dieser kleinern Sprudel wurde die Temperatur mit Hilfe des Maximumthermometers zu 83,5° C. bestimmt. Hier lag also bestimmt kein kochendes Wasser vor. Die kleinern Sprudeltrichter erinnerten mich lebhaft an die Solfatare des Tateyama. Hinter den kleinern Sprudeln liegen auf dem Rücken zwischen Karagama und Yugama verschiedene Dampföffnungen, auch direkt südlich von den Sprudeln ist dies der Fall. In der Nähe der Sprudel (östlich davon) liegt ein kleiner Teich mit kaltem Wasser.

Der Kocho (Schulze) von Kusats hat sich in hohem Maße um die Kenntnis des jüngsten Shirane-Ausbruchs verdient gemacht. Er zeichnete in ein von frühern Vermessungen des Kraters herrührendes Croquis (Maßstab 1 : 6000) die Veränderungen ein, die infolge des neuen Ausbruchs mit dem Krater vorgegangen waren, und begleitete diese Darstellung mit einem Bericht an das Guma-Kencho, dessen Übersetzung nachstehend folgt:

„Wind und Regen herrschten vom 5. August bis zum folgenden Tage, an welchem sie mit immer größerer Heftigkeit auftraten. Am 6. vernahm man um die erste Stunde nachmittags eine heftige Detonation; Shiraneyama am Gipfel des Shirane, der früher zur Schwefelgewinnung gedient hatte, explodierte und stieß Dampf, Schlamm und Steine hoch in die Luft. Der Schlamm ergofs sich zur Tiefe, mündete in den Dokusuigawa am Shibutoge (Weg nach Shinshiu) und riß viele Brücken fort, so daß die Straße für einige Zeit unpassierbar wurde. Die Schäden fanden baldige Ausbesserung, aber Rauchmassen entstiegen fortdauernd dem Gipfel des Shirane. Ich begab mich in Begleitung weniger Personen selbst nach dem Gipfel und sah ungefähr neun Stellen, an welchen Dampf, Schlamm und Steine emporgeschleudert wurden. Die größten Auswürflinge erreichten 0,6 m im Durchmesser und kamen in ungefähr 2000 m Entfernung zu Boden. Als ich die Erscheinung beobachtete, wurden viele Steine ungefähr 60 m hoch emporgeschleudert, so daß es sehr gefährlich erschien, den Öffnungen nahe zu kommen, und von einer Untersuchung dieser Öffnungen Abstand genommen werden mußte. Ich kann daher nur auf die beigezeichnete rohe Kartenskizze verweisen.“

Nach den mündlichen Mitteilungen des Kocho habe ich Folgendes festgestellt:

„Am 6. August, nachdem es am 4. und 5. stark gewelt und geregnet hatte, wurde zu Yoshigadaira ein gewaltiger Donnerschlag vernommen, der vom Krater des Shirane kam. Am Abend desselben Tages begab sich ein Einwohner von Kusats, der auf dem Wege nach Shinshiu war, nach dem Gipfel, kehrte aber, auf dem Kraterlande angekommen, wieder um, da ihn die Furcht faßte; er sah nichts als Dampf. Am Morgen des 7. kam der Sekretär des Kencho in Kusats an, um die Straße zu inspizieren. Folgenden Tages bestiegen Kocho und Sekretär den Berg. Es war unmöglich, den Kraterboden zu begehen, da der Schlamm zu weich war und die Gefahr des Versinkens zu groß. Der Schlamm hat früher nicht existiert, der ganze Krater war vielmehr mit einem weißen Sande ausgekleidet. Der Schlamm entstammt dem großen neugebildeten Wasserkrater. Der Kocho sah Dampf und emporgeschleuderte Steine; letztere wurden ungefähr 60 m hoch geworfen. Kleine Steine sind ungefähr 2000 m weit geschleudert worden, große Steine ca 550 m weit. Die größten der ausgeworfenen Steine waren ungefähr 0,60 m lang, 0,30 m breit. Die meisten wurden nach NW geworfen und fielen auf dem Abhange des Berges nieder. Nur während der ersten 5—6 Tage wurden Steine ausgeworfen. Am 10. ging ein Mann hinunter in den Krater; die Leute sagten, er könne nicht recht bei Sinnen sein, da er das Leben so leichtsinnig aufs Spiel setze. Vor der Eruption war von heißem Wasser und von Dämpfen am Gipfel nicht die Spur vorhanden, da herrschte vollständige Ruhe. An der Südseite des Berges bildeten sich am Mittag des 9. August vier Öffnungen; diesen entquoll heißes Wasser. Die größte der Öffnungen hatte einen Durchmesser von 5,5 m. Die Öffnungen, jetzt noch zu sehen, liegen in der Nähe der Kraterkante. Das ihnen entströmende Wasser war sehr heiß. Diese heißen Quellen flossen nur bis zum 16. August, jetzt stoßen sie Dampf aus.

Die Dampföffnungen sind jetzt weniger zahlreich als ehemals. Einige neue wurden gebildet, mehr jedoch gingen ein. Vor 70—80 Jahren soll eine ganz ähnliche Eruption stattgefunden haben.

Am 9. stieg Yamaguchi Kobachi in den Krater hinab und umging einen Teil des Schlotess. Der südwestliche Teil des Kessels war ganz unpassierbar.“

Auch bei den Bewohnern des Theehauses von Yochigadaira zog ich Erkundigungen ein; sie sagten Folgendes aus:

Am 6. 1 Uhr nachmittags erscholl kolossales Getöse, von lebhaften, im Theehause sich mit großer Heftigkeit fühlbar machenden Erschütterungen begleitet. Das Getöse glich mächtigen Kanonenschlägen. Im Laufe einer Stunde erfolgten vier Detonationen. Die Steine sind nicht bis Yochigadaira geschleudert worden, doch hörte man im Theehause das Niederfallen der Blöcke in der Nähe, auch war ein lebhaftes Geheul vernehmbar. Beim Theehause fiel übrigens nicht einmal Schlamm. Die Kleider der Reisenden, die von Shinshiu kamen, waren mit Schlamm bedeckt. Nach den Mitteilungen dieser Leute regnete es Schlamm, als sie sich etwa 1100 m von hier nach Shinshiu zu befanden.

Der 5. war durch reichliche Niederschläge ausgezeichnet, der 6. ging regenlos vorüber, dagegen herrschte starker Nebel an diesem Tage, so daß man nichts zu sehen vermochte. Vom 7. an war das Wetter schön. Nach Angabe des Theehauswirts in Yochigadaira bäumte sich das Wasser im Krater über 30 m hoch.

In dem Thermenbade Shibu (7 Ri von Kusatsu) hielt sich eine Amerikanerin auf, die sich vorher in Kusatsu befunden hatte. Selbige teilte mir mit, daß sie den Berg am 10. bestiegen und noch an diesem Tage die Steinauswürfe beobachtet habe.

In verschiedenen Zeitungsberichten ist seinerzeit von flammendem Feuer, glühender Lava und Aschenregen die Rede gewesen. Man sieht hieraus, mit wie großer Vorsicht solche Berichte beurteilt werden müssen, und daß auch das Material über historische Eruptionen nicht ohne die strengste Kritik hingenommen werden darf. Vorgänge wie der beschriebene haben an andern Vulkanen unzweifelhaft in großer Häufigkeit stattgefunden. Es fehlen darüber bestimmte Überlieferungen, weil die Beobachtungen unzureichend oder übertrieben sind.

Die Gesteinsmasse, welche vor der Eruption den Raum des Yugamaschlotes eingenommen hat, muß wie ein Champagnerpfropfen in die Luft getrieben worden sein, um in tausend und abertausend Splitter zu zerstoßen. Das fein zerriebene Material senkte sich wie ein Regen von Asche auf die weiter abgelegenen Regionen nieder. Die Steinklötze fielen meist auf den Kegelmantel und bohrten sich hier in den Boden ein. Als ich den Berg bestieg, sah ich noch viele solcher in die Erde eingewühlten Blöcke.

Merkwürdigerweise zeichnet sich die Gegend von Kusatsu, also das Land am Fuße des Berges, seit Langem durch eine sehr rege Solfatarenthätigkeit aus. Am Gipfel, wo die Explosion stattfand, hat es indessen bis zur Katastrophe weder Fumarolen noch Thermen gegeben; das ganze Kratersystem lag vollständig ruhig. Der jüngste Ausbruch ist ebenso wie der weiter unten zu beschreibende des Bandai auf eine Explosion zurückzuführen. Auf dem alten verstopften Kanal des Shiranokraters müssen sich Dämpfe emporgearbeitet haben. Diese Dampfmassen müssen schließlich auf die den Kraterboden auskleidenden, zum Teil schlammigen, einen sehr dichten Verschluss bildenden Sedimentmassen einen so gewaltigen Druck ausgeübt haben, daß sie imstande waren, sich frei zu machen. Eine cylindrische Masse, aus Fels, Schutt, Schlamm und Sand bestehend, ca 200 m im Durchmesser, flog in die Luft. Die scharfe und bestimmte Abgrenzung des Eruptionsschlotes und die senkrecht abfallenden Wände desselben mit ihren frischen Aufreißungen sind Beweis für die paroxysmische Entstehung. Die Explosion muß mit einer furchtbaren Energie erfolgt sein. Keine Schuttmassen, keine Felsblöcke finden sich in der Nähe des Schlotes. Es macht ganz den Eindruck, als sei die ausgesprengte Masse zu Staub zerstoßen.

Die Schlammüberzüge auf Gras, Gesträuch und Bäumen, welche vom Ausbruch herrühren, konnte ich auf dem Wege nach Shibu noch in ca 5 km Entfernung vom Krater nachweisen. Die Gesteinsblöcke sind bis 2 km weit geschleudert worden. Auf dem Shirane-Abhang zeigen die Pflanzen, welche sich hier in spärlicher Entwicklung finden, weißfe bis bläuliche Überzüge, wodurch der sehr mangelhaften Vegetation eine ganz eigentümliche Physiognomie verliehen wird. Die größten Massen des feiner zerriebenen Materials sind in größerer Entfernung vom Krater ausgebreitet worden.

Der Shirane-Gipfel zeigt drei ihrer Entstehung nach verschiedenartige Massen: Schutt, Schlamm und Fels. Ersterer, aus dem stark geklüfteten Andesitgipfel hervorgegangen, bedeckt Höhen und Hänge und ist von grober Beschaffenheit. Besonders ist es an den äußern Hängen des Kegels, wo er meist aus größeren eckigen Fragmenten besteht. Der Schlamm (wir fassen unter diesem Namen alle geschichteten Bildungen des Shirane-Gipfels zusammen) füllt die tiefern Teile, d. h. die drei Kessel Mizugama, Yugama und Karagama, und wir könnten wohl unterscheiden zwischen solchen Schlammmassen, die durch frühere Eruptionen gebildet wurden, solchen, die sich aus den kalten Teichen der Kessel niederschlugen, und ferner den neuesten Bildungen dieser Art, die ihre Entstehung dem jetzigen Ausbruche verdanken. Deutlich geschichtete Massen finden sich nicht nur als Kesselfüllungen; auch die südliche Wand des Yugama zeigt unverkennbare Schichtung. Doch weisen die Kraterkliffe dieser Teile recht grobe Materialien auf, wahrscheinlich gebildet durch eine Mischung von Schlamm und Schutt bei Gelegenheit früherer mächtiger Wassereruptionen. Die kreuzförmige Vertiefung in der Nordostecke des Yugama zeigt an den steilen Wänden interessante Profile, die einen höchst belehrenden Einblick in die Struktur der Yugamafüllung bieten. Es ist hier allenthalben alter geschichteter Schlamm zu sehen, stellenweise mit Sand gemischt, oder in einzelnen Schichten mit Sand wechselnd, andre Schichten dicht gefüllt mit kleinern Fragmenten oder vereinzelte größere Blöcke aufweisend. In diesen Schlammablagerungen tritt Schwefel auf, entweder in Form von Lagern, die bis ca 0,2 m mächtig werden und in der Regel mit Schlamm vermischt an der Schichtung teilnehmen, oder in der Form von Gängen, wie es in dem weiter oben erwähnten künstlichen Schwefelloch in der Nähe des Teiches sehr schön beobachtet werden kann. Etwas verzweigte, zum Teil ziemlich dicke Querschnitte schön gelb gefärbter Schwefelgänge ziehen an den Wänden steil aufwärts. Die Schwefelablagerungen müssen durch Solfatarendämpfe erzeugt worden sein. Die Bildung von Schwefel aus Dämpfen kann man in verschiedenen Solfataren Japans direkt beobachten; so sah ich eine Dampföffnung in der Tateyamasolfatare (Ojigoku), die sich mit einem herrlichen, halbmannshohen, schlankgestalteten und aus zahllosen Tausenden glitzernder Schwefelkriställchen aufgebauten Kelch geschmückt hatte.

Jetzt ist von derartigen Vorgängen am Shirane-Gipfel nichts zu bemerken. Der Schwefel spielt hier, wenn er überhaupt in irgend nennenswerter Quantität als Exhalation vorkommt, eine durchaus untergeordnete Rolle. Aus dem Hauptschlote sowohl wie aus den kleinern Öffnungen und Sprudeln entsteigen gasförmige Massen, wahrscheinlich reine Wasserdämpfe.

Die Gesamtmächtigkeit der den Yugama füllenden Schlammablagerungen wird an die 12 m betragen. Was die Lagerungsverhältnisse betrifft, so sind die Schichten durchgehend horizontal; Dislokationen wurden nicht beobachtet.

Ein Zuwachs der Yugama-Schlammfüllung hat infolge der letzten Eruption stattgefunden. Die Kratertiefen, nach Aussage des Kochos früher mit einem feinen Sand ausgekleidet (jedenfalls ist es der Wind gewesen, der diese Sandauskleidungen erzeugte, indem er die feinem Bestandteile des an der Oberfläche sich häufenden Zertrümmerungsschuttes in die Tiefe hinabwehte), sind jetzt allenthalben mit einer meist noch weichen, überall mit Austrocknungsrisse versehenen Schlammkruste überzogen. Die Dicke dieser Schlammkruste ist in verschiedenen Teilen des Kraters sehr verschieden. Der Stellen, an denen sie gemessen

werden kann, gibt es freilich nur wenige, doch dürfte die Mächtigkeit im Durchschnitt nicht unter 0,30 m betragen. Durch Studium der Austrocknungsrisse ist es möglich, zu einem ungefähren Begriff über die Dicke der Schlammkruste zu gelangen. Dieselben reichen an den meisten Stellen sehr tief hinein. Sonst sind, eine Anzahl von Punkten ausgenommen, an welchen direkte Messungen durchführbar sind, wenig Anhaltspunkte vorhanden, da sich die jüngsten Auswurfsmassen von den ältern kaum unterscheiden. Auch tritt der Umstand hinderlich heran, daß die obersten Schichten der ältern Schlammabsätze durch die wiederholt stattgehabten Überflutungen etwas durchweicht erscheinen. Am mächtigsten tritt die Überdeckung jedenfalls im Westen vom Eruptionsschlote auf, wo sich die oben erwähnte Schlammwüste in radialer Richtung zu dem Ausbruchszentrum ausdehnt. Die Dicke erreicht hier 1—1,3 m.

Das eigentliche Gefels des Shirane versteckt sich meist unter Schutt und Schlamm. Wo es hervorschaut, zeigt es sich in außerordentlich hohem Grade zerklüftet. So an der Felswand südlich vom Eingang. Fest und trotzig steigen die steilen, von den schäumenden Wellen der heißen Flut bekämpften Felsen der südlichen Schlotwand empor. Auch unten im Schlote zeigt sich Gefels, die Ufer bildend und dem überlagerndem Schlamm eine Stütze bietend. Felsen finden wir am Fusse des höchsten Gipfels, längs der Steilwand, zu deren Füßen sich der größere kalte Teich ausbreitet, sowie in der südöstlichen Ecke. Es ist bemerkenswert, daß sich die Dampföffnungen immer da zeigen, wo die Schlammausfüllung an das Felsenmark des Berges grenzt. Dies beweist, wie schwer der Widerstand, den die zähe, thonartige Masse des Yugama der von unten ankämpfenden Kraft entgesetzte, zu überwinden war.

Ich bestieg den Shirane zweimal, erst am 5., dann am 7. September. Am 6. hatte sich die ganze Gegend in dichten Nebel gehüllt, so daß ich es vorzog, in Kusats zu bleiben, um dem Sainokawara einen Besuch abzustatten. Die Besteigung am 7. verband ich mit dem Marsch nach Shibu (22 km von Kusats entfernt). Es war dies eine ziemlich anstrengende Tour, da ich die Strecke bis Shibu topographisch und geologisch aufzunehmen hatte.

Am 5. stieg die Yugama-Fontäne etwa 4 m hoch, am 7. 6 m. Die große Dampfspalte unter dem höchsten Gipfel arbeitete am 7. viel heftiger.

Die letzte Eruption scheint Niveauveränderungen herbeigeführt zu haben. Früher befand sich ein Wasserbecken im mittleren Teile des Yugama. Jetzt ist der mittlere Teil nicht mehr der tiefste, sondern höher als die peripherischen Abschnitte. Ohne Zweifel haben auch die in verschiedenen Teilen des Kessels mit sehr verschiedener Mächtigkeit erfolgten Schlammablagerungen das ihrige dazu beigetragen, den Kraterboden in verschiedener Weise zu erhöhen. Dennoch muß das Bersten des Kessels eine, wenn auch geringe, Erhebung des mittleren Teiles zur Folge gehabt haben. Es darf dies als durchaus sicher hingegenommen werden, da an einer zentral gelegenen Stelle die Sedimente des alten Yugamateiches höher liegen, als der Grund des nordwestlichen Teiches.

Die chemische Untersuchung der dem Shirane entnommenen Proben ergab folgende Resultate:

Schlammwasser des Yugama-Schlotes.

Spezifisches Gewicht der Mischung	1,079
Prozentgehalt der Mischung an festen Bestandteilen	7,94
mit einem spezifischen Gewicht von	2,434

Flüssige Teile:

Gesamtrückstand bei 150°	= 2,18 %
Cl	= 1,86 %
SO ₃	= 0,93 %

Analyse des in dem Yugama-Schlote suspendierten Schlammes.

Si O ₂	==	67,67
Al ₂ O ₃	==	15,73
Fe ₂ O ₃	==	0,84
Ca O	==	0,94
Mg O	==	0,82
K ₂ O	==	0,55
Na ₂ O	==	0,68
Glühverlust	==	12,96
	==	100,16

In 100 Teilen der Flüssigkeit waren enthalten an gelösten Bestandteilen:

Al ₂ (SO ₄) ₃	==	1,39
Al ₂ Cl ₃	==	0,79
Ca Cl ₂	==	0,72
Na Cl	==	0,88
	==	3,32
Freie HCl	==	0,57
Rückstand	==	2,15

Dies stimmt mit der obigen Zahl 3,22^{0/10} überein, da beim Eindampfen die Schwefelsäure die Salzsäure austreibt und Thonerde als solche zurückbleibt.

Von großem Interesse ist hier der hohe Gehalt an freier Salzsäure¹⁾.

2. Die Bandai-Katastrophe.

Vor 17 Jahren — in der Mittagstunde des 15. August 1876 — stand ich auf dem Gipfel des Bandai, eines Vulkans, der auf dem Nordflügel der japanischen Hauptinsel (Honshiu) unter 37° 35,6' N. Br. und 140° 2,8' O. L. gelegen ist, etwa gleichweit von den beiderseitigen Küsten entfernt, ungefähr 200 km nördlich von Tokio. Es war ein sonnenklarer, drückend heißer Sommertag. Kein Lüftchen regte sich. Rings unten lag alles so ruhig da, als ob die Natur in tiefem Schläfe liege. Nordöstlich und östlich vom Gipfel, tief am Fuße der jäh abstürzenden Felswand, lag, von waldigen Zacken und Hügeln umkränzt, ein weiter, flacher, mit dunkelblauen bis schwarzen Seen und Lachen übersäter Kessel. Nach Aussage des Führers sollten nicht weniger als 48 dieser Miniaturseen vorhanden sein. Wie zerbrochene Zähne des Vulkanrachens entstiegen dem Abgrunde zu meiner Linken zwei rissige, schlanke Felsensäulen. An die höchste Spitze des Berges, an den sogenannten O-Bandai, den großen Bandai, schloß sich nach Nord und Nordost eine bogenförmige Reihe andrer Gipfel. Alle diese Gipfel schmolzen zusammen zu einem nach innen, nach dem Kessel zu steil abstürzenden, fast halbkreisförmigen Wall. Der O-Bandai selbst bildete gegen Osten einen fast senkrechten Absturz und verband sich dann mit einem scharfen, ostwärts ziehenden, den Kessel gegen Süden abgrenzenden Grat, der in einem

¹⁾ Da Postail fand in 1000 Teilen des gelben, klaren, sehr sauer reagierenden Wassers der Kratersees auf Wakari oder White Island (Neuseeland):

Ca SO ₄	==	1,339
Al ₂ (SO ₄) ₃	==	0,755
Mg SO ₄	==	0,169
K ₂ SO ₄	==	0,210
Na ₂ SO ₄	==	0,969
Mg Cl ₂	==	0,666
Fe ₂ Cl ₃	==	2,757
F ₂ O ₅	==	0,227
H Cl	==	10,868
Si O ₂	==	0,005
Spuren von Mangan und Borsäure	==	—
	==	15,866

„Ein so bedeutender Gehalt an freier Salzsäure“, sagt Biehoff (Lehrbuch der chem. und phys. Geologie, I. Bd.), „ist eine sehr auffallende Erscheinung. Es ist nicht anders zu denken, als daß diese Bestandteile Produkte der Wirkungen von vulkanischen Gasexhalationen auf das Gestein sind.“

stumpfen Höcker, dem Higashi-Bandai oder östlichen Bandai, auch Akahaniyama genannt seinen Abschluß fand. Nördlich vom Akahaniyama lag der Kushigamine, ein plumper Gipfel, und zwischen diesen beiden Erhebungen öffnete sich der Kessel, die Numanotaira oder Ebene der Seen, gegen Ost, um in das Thal des nach dem Dorf Mine hinunterführenden Biwasawa auszulaufen.

Das flache Becken unten mit dem großen gezackten Felsenwall sah aus wie ein in sich zusammengesunkener riesenhafter Krater, der größten Achse nach gegen 2 km messend. Die Seen in der Tiefe mußten als mit Wasser gefüllte, durch die Dämpfe einer großen, Solfatare gewühlte Löcher angesehen werden. Einst, ehe die Solfatare ausgebrannt war, mochte das Geheul und Gebrodel in der Tiefe, das wilde Gewühl der Dämpfe an die Hölle „O-Jigoku“, erinnern¹⁾, nun lag dort unten ein stiller, friedvoller Erdenfleck, dem die blitzenden oder tief schwarzen Wasserbecken einen ganz eignen Reiz verliehen. Wer mochte bis vor 15 Jahren ahnen, daß der so ruhig daliegende Berg sich je wieder aufthun werde?

Da erfolgt am 15. Juli 1888 um die achte Stunde des Morgens eine furchtbare Explosion. Am Kobandai, einer Erhebung, die nach den mir vorliegenden Karten am nordwestlichen Rande des Kessels liegt und den zweithöchsten nach Norden gelegenen Gipfel des Vulkans darstellt, schießt ein ganzes Bergstück in die Luft. Das anliegende Land, besonders das Land gegen Ost, wird mit einem Regen mächtiger Blöcke und mit „Asche“, wie es in den Berichten heist, überschüttet.

Werfen wir, um dieses großartige Ereignis besser beurteilen zu können, vorerst einen Blick auf die Umgebung des Bandai. Der Vulkan liegt in unmittelbarer Nähe der großen Meridianspalte, welche longitudinal, mit dem ganzen Gebirge, verläuft, auf der Innenseite des Abukuma-Berglandes. Er setzt seinen westlichen Fuß in die sich nur ca 200 m über den Meeresspiegel erhebende Ebene von Wakamats. Im Süden reicht er an das Uferland des Inawashiroko heran, eines bergumrahmten, gegen 500 m hoch gelegenen großen Wasserbeckens. Nach Osten und Norden verwächst er mit den Bergen. Andere große Vulkane, wie z. B. der Adzuma und der Osho, liegen in der Nähe. Die Aidzutaira ist außerordentlich fruchtbar. Bäche, Flüsse und Ströme durchschneiden das von der Kultur in einen Ziergarten verwandelte, reich gesegnete Land. Da liegen am Rande Rettigfelder im frischesten lachenden Grün, weiß blüht der Buchweizen und goldgelb prangen die Hirsefelder. In der eigentlichen Ebene deckt weithin der Bestand der erntereifen strohfarbenen Reisähren die Felder, aus waldigen Flecken lugen die Dächer von Häusern hervor, und hier und da beschattet ein ernster, stolzer, tiefgrüner Hain einen kleinen Tempel und seine Heiligtümer.

In der Nähe von Wakamats liegt das Daimio-Schloß mit seinen großen Gräben, Cyklopenmauern und verfallenen Thorwegen, die jetzt von mächtigen Kiefern überwachsen sind. Dieses Schloß war das letzte Bollwerk in den Kämpfen, die im Jahre 1868 den Fall des Shogunats herbeiführen sollten.

Wakamats liegt 218 m über dem Meeresspiegel. Wo früher von der Stadt aus ein steiniger Weg nach Osten führte, da zieht sich jetzt seit etwa 12 Jahren eine schöne breite Straße in vielfachen Schlangenwindungen zur Höhe. Wir gelangen nach anderthalbstündiger Wanderung auf ein breites, gewelltes, grasiges Plateau. Nicht lange dauert es nun, so stehen wir in 520 m Meereshöhe vor dem blitzenden See. Etwa 15 km dehnt sich die spiegelglatte Fläche von Nordnordwest nach Südsüdost, 10 km in der hierzu senkrechten Richtung. Das Wasserniveau liegt nur wenig — kaum 20 m — tiefer als der breite Randwall, auf dessen Höhe wir uns befinden. Hier entrollt sich ein anmutiges, entzückend schönes Landschaftsbild. Dort im Nordosten, im Norden vom See reckt O-Bandai das stolze

¹⁾ Die Japaner pflegen die Schauplätze der Solfatarenthätigkeit mit dem Namen O-Jigoku (Hölle) zu bezeichnen. In der Nähe solcher Örtlichkeiten hat die Priesterschaft Tempel errichtet, da die imposanten Ausfaltungen der Naturkräfte die Phantasie und den Aberglauben des Volkes auf das Mächtigste anregen.

Zackenhaupt über grauen Felsenhängen, über Klüften und Schluchten. Ein Kranz waldiger Hügel und Berge schmiegt sich an den lachenden See, wie grüne Arme des Bandai, die den silbernen Spiegel in zarter Umschlingung festhalten. Wir steigen hinab zum Ufer. An die Wasseroberfläche schließt sich hier in der Nordwestecke des Sees eine kleine sumpfige Ebene. Still und verstohlen schleichen die Wasser durch Schilf und Gras, an kleinen Theehäusern und einigen Gehöften, an knorrigen Kiefern vorbei, um der Gefangenschaft der Berge zu entgehen und gar bald in das Thal des Nippashigawa hineinzurauschen. Das Wasser des Sees ist so klar wie Kristall und so grün wie funkelnder Smaragd. Große Lachsforellen und andre Fische, die man vom Boot aus in ihren Bewegungen beobachten kann, gedeihen vortrefflich in dem klaren Wasser. Kleine klappernde Dampfer fahren jetzt von Ufer zu Ufer. Der See soll 150 m tief sein. Am Nordostufer zieht ein Kanal gegen die Hügel hin. Hier ist ein künstlicher Ausfluß geschaffen, welcher dem Zwecke der Bewässerung wasserarmer Strecken des Abukuma-Thales treffliche Dienste leistet. Der Kanal führt das Wasser in einen Tunnel hinein. Wo die Hügel beginnen, setzt dieser Tunnel in etwa 2 km Entfernung vom Seeufer an. An einer Steilwand stürzt das Wasser, nachdem es die finstere Straße geflossen, in das enge Thal des Gohyakugawa. Der See hat also jetzt einen Abfluß nach dem Japanischen Meere und nach dem Pacificchen Ozean. Die Wasserleitung, ein ebenso interessantes wie wirtschaftlich bedeutungsvolles Werk, wurde vor 6 Jahren eröffnet.

Der Bandai ist 1840 m hoch. Er gehört also nicht zu den höchsten Bergen des Landes. Selbst in seiner Nachbarschaft gibt es Gipfel, die über 2000 m ansteigen. Aber er erscheint, weil er von fast allen Seiten frei ansteigt — denn nur im Norden verwächst er durch niedrigere Verbindungen mit dem eigentlichen Gebirge —, gewaltig und imposant. Der Hauptkrater des Vulkans, zu dessen Umrandung ja auch der O-Bandai gehört, wurde schon oben beschrieben. An den stark deformierten, verstürzten und verbrochenen Kegel dieses Systems, der östlich vom Nagasegawa umflossen wird, schließt sich westlich ein flacher und außerordentlich stark abgestumpfter, mit großem, prachtvollem Krater ausgestatteter Konus. Dieser letztere Krater wird von einem See eingenommen. Während der vom O-Bandai unmittelbar überragte Kessel einen Durchmesser von kaum 2 km hat, misst der tiefere, in etwa 1000 m Meereshöhe gelegene westliche 2,7 km. Von Westen gesehen, erscheint der Bandai doppelgipflig und wird vom Nekomagadake, wie mein Führer den stumpfen westlichen Kegel nannte, im untern Teile verdeckt. Die entschieden schönste Ansicht genießt man von Süden aus; denn von dieser Seite markiert sich die zahnförmige Gipfelzacke am besten. Die tiefeingerissenen Schluchten ziehen wie breite, schwarze Straßen von der Höhe zur Tiefe, und der Hauptkegel sondert sich hier deutlicher vom Nekomagadake. Ziemlich steil ist die Neigung der Gehänge, 11—17° in den untern Theilen, 17—30° oben, auf der Südseite wächst die Neigung in den höchsten Theilen des Berges bis 35°.

Kurz nach der Eruption haben sich wissenschaftliche Experten in ziemlich großer Zahl nach dem Schauplatz der Katastrophe begeben. Unter allen entsandten Expeditionen ist indessen die von den Professoren Sekiya und Kikuchi, welche von dem Präsidenten der Tokio-Universität abgeordnet wurde, die bedeutungsvollste¹⁾. Die Genannten verließen die Hauptstadt am 15. Juli und brachten die Zeit vom 31. Juli bis 8. Oktober auf dem Gipfel zu. In der Abhandlung, welche die Resultate der Expedition vorführt, ist für uns zunächst von Interesse, was über die Gipfelbildung des Bandai gesagt wird. Hier werden als Spitzen des Berges genannt: O-Bandai, Kobandai (bei der Eruption zerstört), Kushigamine und Akahaniyama. In ihrer Mitte liegt die Hochebene Numanotaira. Als ich mich selbst auf dem Gipfel des Bandai befand, nannte mir mein Führer alle die eben angeführten Namen

¹⁾ Sekiya and Kikuchi, The Eruption of Bandai-San. Transact. Seismol. Soc. of Japan. Read, Oct. 11th 1888.

mit Ausnahme des Kobandai. An Stelle des letztern wurde mir ein im Rücken der Numataira aufragender Berg als Yugeta bezeichnet. Bezüglich dieser Benennung besteht nun in den über den Bandai publizierten Karten keineswegs die erwünschte Klarheit. So ist bei Wada¹⁾ sowohl wie bei Sekiya und Kikuchi in den Kartenbeigaben der Yugetayama angeführt, bei erstem sogar Yugeta und Kobandai. Wie ich mich seinerzeit überzeugt habe, sind am Gipfel des Bandai nicht mehr als vier Emporragungen vorhanden gewesen, und es wird bei Sekiya und Kikuchi der Yugetayama gelegentlich als Teil des Kobandai bezeichnet. Auch aus der topographischen Skizze S. 24 geht diese Auffassung hervor. In der That muß es scheinen, als ob die beiden Namen auf einen und denselben Berg angewandt worden wären. Über die Beschaffenheit des Gipfels vor der Eruption liefern die beigegebenen Skizzen (Taf. 1 dieser Beiträge) Anhaltspunkte. Es würde interessant sein, diese Darstellungen mit korrespondierenden zu vergleichen, welche den Zustand der Gipfelregion des Bandai nach der Eruption wiedergeben. Eine Prüfung des verfügbaren Materials, besonders der zahlreichen graphischen Beilagen zu dem Berichte der Universitätsexpedition ergibt nun, daß, wo früher vier Spitzen vorhanden waren, jetzt nur noch drei zu sehen sind. Yugeta oder Kobandai ist hinweggeblasen. Schon hierdurch gewinnen wir einen rechten Begriff von der Großartigkeit der Katastrophe. Mit der Behauptung, daß der Kobandai (Yugeta) fast genau die gleiche Höhe mit dem O-Bandai gehabt habe, kann ich mich allerdings nicht einverstanden erklären. Sekiya und Kikuchi haben ihren Berechnungen eine Höhe des Kobandai zu Grunde gelegt, welche der des O-Bandai (1840 m) vollständig gleichkommt. Auf Grund meiner Skizzen und Aufzeichnungen möchte ich den Gipfel, der mir seinerzeit als Yugeta bezeichnet wurde, auf mindestens 100 m niedriger veranschlagen als den O-Bandai. Es würde also nicht ein ganzer Berg, wie man zu beweisen versucht hat, in die Luft geflogen sein, sondern nur ein halber, und die Berechnungen würden einer nicht unwesentlichen Korrektur zu unterziehen sein. Sekiya und Kikuchi geben als Gesamtvolumen der weggeblasenen Masse 1,213 obkm an. Nimmt man mit ihnen das Areal des verwüsteten Landes zu 70 qkm, so würde auf dieser Fläche mit dem angeführten Massenbetrag eine Schicht von 17,3 m Mächtigkeit ausgebreitet werden können. Das scheint doch etwas zu viel, selbst wenn man bedenkt, daß der berechnete Kubikinhalt des verschwundenen Bergteils auch die Staub- und Aschenmassen in sich begreift, welche weiter fortgetragen wurden. Das Gewicht des zerstörten Bergteils wird von Sekiya und Kikuchi auf 2782 Millionen Tonnen geschätzt.

Von Interesse sind die von Sekiya und Kikuchi mitgetheilten Erlebnisse eines Augenzeugen. Tsurumaki, ein Priester aus Echigo, befand sich zur Zeit des Ausbruchs in den Bädern von Nakanoyu. Er ist dem Tode wie durch ein Wunder entgangen und hat folgenden Bericht über seine Erlebnisse geliefert: „Am 8. Juli brach ich in Gesellschaft von vier Freunden aus meinem Heimatdorfe auf, um mich nach dem Bandai zu begeben, wo ich am 12., also drei Tage vor der Katastrophe, anlangte. Ich war schon früher, im Juli 1885, auf dem Berge gewesen. Jetzt erschien mir der Nebel ungewöhnlich dicht, auch kam es mir vor, als ob zu Kaminoyu weniger Dampf ausgestoßen würde. Am 13. war der Nebel noch dicker und blieb so bis zum Abend. Der 14. war schön und klar. Ungefähr von 10 Uhr morgens an verminderte sich der Ausfluß der Quelle. Wir schenkten jedoch diesem Umstande keine weitere Beachtung, da wir wußten, daß der Ausfluß bei schönem Wetter ab- und bei bewölkttem Himmel zunähme. Der Morgen des 15., des Unglückstags, brach an mit klarem, schönem Himmel. Die Quelle floß wie gewöhnlich. Da ereignete sich ungefähr um 8 Uhr eine furchterliche Zuckung des Bodens, so daß wir alle aus den Häusern stürzten. Nach ungefähr 10 Minuten (Sekunden?), während wir uns

¹⁾ Wada, T., Direktor der geol. Reichsanstalt, Der Ausbruch des Bandai-San im Juli 1888. Mitt. der deutschen Gesellsch. f. Natur- u. Völkerk. Ostasiens, Bd. V, Heft 42. Juli 1889.

angstvoll fragten, was da vorging, brach an der Flanke des Kobandai etwa 100 m über einer Stelle, an welcher sich seit nundenklichen Zeiten Dampfmassen zutage gearbeitet hatten, eine furchtbare Explosion los. Darauf folgte eine dichte Masse schwarzen Rauches, die sich schnell erhob, um den Himmel zu bedecken. Zu gleicher Zeit fielen rings um uns ganze Schauer großer und kleiner Steine nieder, Donnerschläge vermehrten den Schrecken, und die Zerstörung der Berge und Wälder bot einen so schrecklichen Anblick, daß ich ihn nicht vergessen werde so lange ich lebe. Wir flohen in allen Richtungen, waren aber kaum wenige Schritte weit gekommen, als wir alle der Länge nach zu Boden geworfen wurden. Es war pechschwarz um uns her, die Erde bebte unter uns, Mund, Nase, Augen und Ohren waren mit Schlamm und Asche verstopft. Wir vermochten weder zu schreien, noch uns zu bewegen. Kaum wußte ich, ob ich tot war oder träumte. Da fiel ein Stein auf meine Hand und ich merkte, daß ich verwundet war. Überzeugt, vor dem Tode zu stehen, betete ich zu Buddha. Später erhielt ich noch Wunden an der Lende, am Fuß und auf dem Rücken. Nach Verlauf einer Stunde hörte der Steinregen auf, und an Stelle der Nacht war ein mondscheinähnliches Licht getreten. Ich glaube nun, die Gelegenheit zur Flucht sei gekommen, stand auf und schrie: „Freunde, folgt mir!“ Aber niemand gab mir Antwort. Nachdem ich etwa 220 m bergab gestiegen war, erfolgte eine zweite und nach weitem 100 m eine dritte Explosion. Hierbei wurden Sand und Asche ausgeworfen, keine Steine. Um Mittag langte ich in Odera an, wo meine Wunden Pflege fanden.“

Die kolossalen Trümmermassen, welche von dem Berge ausgeworfen wurden, um sich dann stellenweise in Form von Strömen der Tiefe zuzuwälzen, müssen sich überall dort, wo sie noch nicht das Gleichgewicht erlangt hatten, wie fließendes Wasser verhalten haben. Die Schlamm- und Sandströme hinterließen an den Thälrändern deutliche Spuren ihres Wogenganges, und die Beobachtungen beweisen, daß sie an Hindernissen, die sich ihnen in den Weg stellten, hoch aufbrandeten. Mit furchtbarer Geschwindigkeit erfolgte das Abfließen durch die Thäler. Sekiya und Kikuchi schätzen die Bewegung auf 77 km per Stunde. In einem Falle — bei Karakami, wo sich ein Hügel dem Trümmerstrom entgegenstellte — schwoh dieser zu nicht weniger als 40 m an. An einer andern Stelle brandete die Masse, wo sich ihr ein Hügelausläufer entgegenstellte, 30—60 m hoch.

Der größere Teil des ausgeworfenen Materials befand sich in trockenem Zustande. Eine Durchfeuchtung hatte allerdings durch den verdichteten Dampf stattgefunden.

Die vollständige Verdunkelung der Atmosphäre hielt nur eine Stunde an. Der „Aschenregen“ hörte erst 8 Stunden nach der Explosion auf. Staub fiel bis zum Pazifischen Ozean in 100 km Entfernung von der Ausbruchsstelle. Die staubüberstreute Fläche gleicht der Form nach einem halbgeöffneten Fächer und ist der westnordwestlichen Windrichtung entsprechend ostwärts gerichtet. Die Windstöße, welche mit der Explosion im Zusammenhang standen, müssen furchtbar gewesen sein. J. Wada schätzt ihre Geschwindigkeit auf nicht weniger als 40 m per Sekunde. Merkwürdigerweise hielten sich die verheerenden Wirkungen der aufgeregten Atmosphäre an außerordentlich scharf ausgeprägte Grenzen. Wurden ganze Wälder niedrigerissen, so blieben solche Bäume vollständig verschont, welche sich nur in einer Entfernung von wenigen Metern von den Stellen befunden hatten, in denen die Wirkungen am furchtbarsten aufgetreten waren.

Sehr große Meinungsverschiedenheiten sind bezüglich der kegelförmigen Vertiefungen aufgetaucht, welche sich zu Tausenden in der Nachbarschaft des Kraters sowohl wie auf den Abhängen des O-Bandai und Akabani finden. Die Größe dieser Löcher schwankt zwischen 0,2—3,0 m im Durchmesser und von wenigen Dezimetern bis über 1 m in der Tiefe. Es ist die Ansicht aufgestellt worden, daß diese Vertiefungen nichts andres sein könnten als Miniaturkrater, durch Explosionen entstanden. Man hat ihnen eine seismische Entstehung zuschreiben wollen. Andre wieder, vor allem Sekiya und Kikuchi, sowie Odum, halten die Löcher für die Spuren niedergefallener Auswürflinge, und diese Auf-

fassung ist jedenfalls die richtige. Sind doch Steine am Grunde der Löcher nachgewiesen worden.

Das durch den Ausbruch hervorgerufene Schallphänomen scheint sich über 160 km weit erstreckt zu haben. Der Durchmesser des Schüttergebietes beträgt 100 km. Was die Zerstörungen anbetrifft, so beträgt das verschüttete Areal nach Wada:

Bebautes Land	83 ha,
Waldungen	4228 „
Unbebautes Land	2279 „
Felsiger Boden	540 „
zusammen 7130 ha.	

Mit Ausschluss der infolge von Verletzungen Umgekommenen fanden 461 Menschen unter den Auswurfstrümmern ihren Tod.

C. G. Kuott und C. Smith haben dem Schauplatz des Bandai-Ausbruchs Ende Mai 1889 einen Besuch abgestattet. Nach ihren Berichten sind seit dem Ausbruch große bemerkenswerte Veränderungen in der Beschaffenheit des den Vulkan umgebenden Landes eingetreten. Die durch Abdämmung entstandenen Seen von Hibara und Osuzawa hatten sich zu einem riesigen See vereinigt. Von besonderem Interesse sind nun die Beobachtungen, welche die Genannten über Erosion anstellen konnten. Der kleine, das Biwasawa-Thal herunterströmende Wasserlauf hatte in der Thalfüllung bereits eine V-förmige Furche ausgewühlt. An manchen Stellen lief diese Furche die außerordentliche Tiefe von 40—60 m erkennen.

Es erübrigt, der Resultate zu gedenken, welche die japanischen Beobachter bezüglich der chemischen Natur der Gesteine und des Kraterwassers erzielt haben. T. Wada¹⁾ liefert einige hochinteressante Mitteilungen über Gesteinsumwandlungen, welche durch die aufdringenden Dämpfe hervorgerufen worden sind. Der braunrote oder graue Augitandesit des Bandai geht in ein schneeweißes, poröses Umwandlungsprodukt über, welches durch einen auffallend hohen Gehalt an Kieselsäure (91,66%) ausgezeichnet ist. Wada vergleicht dieses Zersetzungsprodukt mit dem Porzellanstein von Arita. Schon v. Richthofen hat die für die japanische Porzellanindustrie so bedeutungsvollen weißen Aritasteine als Resultate der Einwirkung von Solfatarendämpfen auf vulkanische Gesteine angesehen.

Das Kraterwasser enthält sehr viel Ca SO_4 (1,13656 pro mille, Si O_2 0,17858, Na Cl 0,15407 pro mille). Ganz verschieden hiervon zeigt sich, wie sich der freundliche Leser erinnern wird, die Zusammensetzung des Shirane-Kraterwassers.

Der durch die Katastrophe vom 15. Juli 1888 erzeugte Eruptionskrater ist von Hufeisenform. Er kehrt seine offene Seite nach Nordwestnord. Eine schroffe Felswand, welche sich im Süden etwa 500 m über die 1170 m hohe Sohle des Explosionskraters erhebt, stellt die große Ruine des Yugeta vor. Der Steilabbruch umzieht die ganze Kratertiefe, die offene Nordseite natürlich ausgenommen. Der größte Durchmesser des neugebildeten Kraters beträgt 2234 m. Eine mächtige klaffende Spalte zieht sich durch die westliche Hälfte des Kraters von der Senke zwischen Kushigamine und der Yugeta-Ruine ausgehend nach Nordwest. Nach der von Wada mitgetheilten Karte beträgt der Durchmesser des alten, des sogenannten Numanotaira-Kraters etwas über 1 km. Dagegen erscheinen die Dimensionen des dem Bandai anhängenden Nekomatake-Kraters ganz bedeutend. Derselbe misst 2,3 km im Durchmesser und ist dabei so ziemlich kreisrund. Während der letztgenannte seine Entstehung unzweifelhaft echt vulkanischen Ausbrüchen zu verdanken hat, müssen die Numanotaira-Gebilde ähnlichen Vorgängen zugeschrieben werden, wie die, welche jüngst stattgefunden haben. Denn auch hier am Rande des Numanotaira-Kessels finden sich hoch aufragende Felswände und Steilabbrüche. Aus der Tiefe schauen zahlreiche Lachen und Seen herauf, die Spuren einstmaliger Solfatarenthätigkeit, die letzte Folge einer Explosion.

¹⁾ T. Wada, Der Ausbruch des Bandaisan im Juli 1888.

3. Schlussbetrachtungen.

Wenn wir jetzt die Dampfausbrüche des Shirane und des Bandai noch einmal überblicken, so zeigen beide Vorgänge eine höchst merkwürdige Analogie. In beiden Fällen haben wir es mit Vulkanen zu thun, die allem Anschein nach ausgebrannt sind; in beiden Fällen fand im Krater des Vulkans urplötzlich eine gewaltige, durch unterirdische Dampfsammlungen hervorgerufene Explosion statt. Die Bandai-Katastrophe war freilich viel gröfsartiger als das Ereignis am Shirane. Bei letzterm war auch kein Verlust an Menschenleben zu beklagen, und ebensowenig hatte die Explosion in Wald und Feld nennenswerten Schaden angerichtet. Stand doch selbst das am Fusse des obern Kegels errichtete, in so großer Nähe des Explosionsherdes befindliche Theehaus noch vollständig unversehrt! In den Berichten über den Shirane-Ausbruch sowohl wie über die Bandai-Eruption war anfangs von Aschenregen die Rede. Was den Shirane betrifft, so waren die Beschreibungen der Vorgänge überhaupt so gefärbt, dafs man sehr wohl annehmen konnte, es hätte ein Lavaergufs stattgefunden, wenigstens ein normaler Vulkanausbruch. Es kamen Mitteilungen über einen Feuerschein, den man von Ikao aus gesehen haben wollte. Als ich dann am Shirane anlangte, war ich angesichts der Verhältnisse, die ich fand, nicht wenig enttäuscht; denn ich hatte erwartet, flüssige Lava zu sehen, und nun bot sich dem Blicke nichts als Dampf, Schlamm und Felsentrümmer.

Die beiden Explosionen haben bedeutungsvolle Abänderungen der Oberflächengestaltung, wichtige Modifikationen der Bergformen hervorgerufen. Am Gipfel des Shirane finden wir jetzt an Stelle des flachen Kratersees einen Minentrichter, einen Explosionskrater, ein Maar. Ich darf bei dieser Gelegenheit auf die merkwürdigen, meist kesselförmigen Schachtöffnungen der Eifel hinweisen, jene im Schiefer oder Sandstein ganz unvermittelt auftretenden, mit Steilwänden versehenen Löcher von gröfsen oder geringen Dimensionen. Über die Entstehung der Eifelmaare hat man sich schon viel den Kopf zerbrochen. Behaupten die einen, dafs man es hier mit Formerscheinungen zu thun habe, welche durch Einstürze in unterirdische Hohlräume erzeugt wurden, so wollen die andern die Entstehung durch Explosion beweisen. Nach der einen Theorie wäre also die Masse, welche einst den Raum füllte, der jetzt entweder leer oder mit Wasser gefüllt ist, einfach der Schwere folgend nach unten gesunken, nach der andern wäre sie nach oben getrieben worden. Der Shirane-Schlot liefert einen prächtigen Beweis für die Stichhaltigkeit der letztern Annahme. Wir lernen, dafs die Maare wenigstens in einer Anzahl von Fällen durch Explosion entstanden sein müssen, wir lernen ferner, dafs ein Maar in einem Vulkankrater entstehen kann und dafs derselbe Vorgang, welcher ein Maar erzeugt, auch die Bildung großer Spalten, wie am Gipfel des Bandai, bedingen kann.

Zum Schlufs möchte ich nun noch einmal hinweisen auf die schön geschichteten Ablagerungen, welche im Schofs des Shirane-Kraters nachgewiesen werden konnten. Solche Bildungen sind nicht zum mindesten deshalb von Interesse, weil bisher, meines Wissens wenigstens, kein ähnliches Beispiel bekannt geworden ist. In einem durchaus jugendlichen Vulkankrater am Gipfel eines echten Lavaberges würde man wohl schön geschichtete Schlamm-Ablagerungen, unter Mitwirkung der vulkanischen Thätigkeit entstanden, zuletzt erwartet haben.

II.

Die Fossa magna.

1. Reisen in die Fossa magna.

Am 17. August 1875 war ich in Japan angekommen; am 4. November unternahm ich meinen ersten Ausflug ins Innere. Bei Durchmusterung der auf dieser Reise gesammelten Notizen muß ich bekennen, daß ich damals noch ein rechter Neuling war. Aber die Eindrücke haben in jener Zeit so mächtig auf mich gewirkt, daß sie sich fest mit mir verbunden haben und daß sie mir jetzt in voller Frische, mit allen Einzelheiten wieder vor Augen treten. Früh 5 Uhr 20 Minuten verließen wir in einem jener elenden Pferdegespanne, welche damals eben angefangen hatten, den Djinrikisbas¹⁾ auf den großen Landstraßen ernstlich Konkurrenz zu machen, die Hauptstadt und fuhren auf dem Nakasendo in den frischen, tauigen Morgen hinein. Das Sonnenlicht glänzte auf Wald, Busch und Feld, auf Häusern und Hecken. Auch über die erbärmlichsten, vom Alter grauen, morschen Holzhütten floß das Gold und täuschte selbst über Armut und Elend hinweg. Ein fröhliches Gesicht und ein freundlicher Gruß fehlte bei keinem der uns entgegenziehenden Landleute, Pferdetreiber und Wanderer. Das saubere Städtchen Urawa hatte den bunten Flaggen- und Laternenschmuck, den es zwei Tage vorher am Geburtstage des Kaisers angelegt, noch nicht abgestreift. In Kumagaye, wo wir mittags 1 Uhr anlangten, merkte man weniger von der kaum verklungenen Festfreude, um so mehr aber von Handel und Verkehr. Die Straßen waren gefüllt mit Packpferden, Ninsokus, Kaufleuten und Reisenden. Abends 7 Uhr erfolgte die Ankunft in Takasaki, woselbst uns ein wenig erfreulicher Empfang zu teil wurde — eine ziemlich niederschlagende Erfahrung nach dem schönen Tage. In den Theehäusern, wo wir uns auch vorstellen mochten, war angeblich kein Platz. Die mürrischen Mienen der Wirte zeigten, daß man von den Fremden nichts wissen wollte. Nach langem Hin- und Herziehen mußte ich mich an die Ortsbehörde wenden, und endlich gelang es dem Bürgermeister, nachdem er so etwa eine Stunde herumgelaufen war, uns, die wir lange genug müde und hungrig gewartet hatten, ein im hintern Teile eines Geböfies über dem Magazin gelegenes, recht unangstlich aussehendes Gemach zu verschaffen. Dafür ging es nun am andern Morgen unter der freundlich leuchtenden Sonne westwärts dem Gebirge zu. Nordöstlich lag der breite, flache Vulkanriese Akagi, nordwestlich der zackengipflige, gleichfalls durch Feuerskraft entstandene Bergstock Haruna, westwärts am Grunde der zipfelförmigen Bucht, welche die Ebene in das Gebirge hineinschiebt, der vielzackige, merkwürdige Rücken des Miogi, und linker Hand nach Süden und Südwesten ruhten hinter hügeligen Geländen aus Tuff die breiten ineinandergewachsenen Massen des alten Berglandes von Kuantō mit ihren sanft geschwungenen Konturen. Jetzt führt eine Eisenbahn bis Yokogawa. Sie kreuzt auf einer hohen Brücke aus Eisen bei Matsuida das tief eingeschnittene Thal des

¹⁾ Die Djinrikisbas, zweirädrige von Menschen gezogene Karren, haben sich von Japan aus über sämtliche Küstenplätze Ostasiens verbreitet. Man sieht sie jetzt in Hongkong, Saigong, Singapur &c.

Usuigawa. Früher überstieg man den Bergwall im Usuitoge, einem 1200 m hohen Paß. Jetzt tritt man an einer Stelle, welche 3 km südlich vom alten Passe liegt und nur 966 m hoch ist, durch eine Scharte in der wallförmigen Umgrenzung der Hochebene in die letztere ein und befindet sich sofort am Anfangspunkte der Eisenbahn, welche nach der Westküste führt, über Ueda und Nagano nach Takata. Die Dampfverbindung zwischen Takata und Tokio weist also im Usuitoge immer noch eine durch Trambahnverbindung allerdings einigermaßen ausgeglichene Unterbrechung auf. Diese Lücke von 9 km Länge in gerader Entfernung wird wohl nicht so bald überwunden werden. Sie entspricht einer Höhendifferenz von nahezu 600 m¹⁾.

In Oiwake, dem Rastplatz der alten Daimio- (Fürsten-) Züge, welcher noch zur Zeit meiner ersten Reise wenig von den rauschenden Lustbarkeiten und gewissermaßen auch von dem Glanze der alten Zeit eingebüßt hatte, quartierten wir uns für einige Tage ein, und ich unternahm eine Besteigung des direkt nördlich vom Dorfe aufwachsenden Asamayama. Dann wandten wir uns von Oiwake aus südwärts, um das Thal des Chikumagawa hinaufzuziehen. Auf der linken Seite der Straße werden die felsigen, zackentrückigen und vielgipfeligen Decken und Gänge aus Vulkangestein bald abgelöst von den Wällen des alten Berglandes. Sobald wir an das letztere herantreten waren, hatte sich auch das Thal verengt, und der Weg führte am Fuße einer rechter Hand hoch aufsteigenden, mächtigen, nicht weniger als 20 km langen Kette vulkanischer Gipfel hin, der Kette des Tatehina (2530 m) und Yatsugatake (2982 m). Uminokuchi ist 36 km südlich von Oiwake gelegen, 1072 m hoch. Nachdem man erstgenannten Ort und mit ihm das Thal verlassen hat, kommt man auf eine Hara, die sich ins Endlose zu dehnen scheint. Ich langte mit meinem Dolmetsch gerade bei einbrechender Dunkelheit hier oben an. Es war am 12. November. Erst am Ende dieser weiten, vollständig unbebauten Einöde stießen wir nach mehrstündiger Wanderung auf einige dürftige Häuser. Hinter den Häusern erhob sich in einiger Entfernung das Terrain wieder zu einem ziemlich scharfen Gebirgsrücken, über den wir noch hinweg mußten. Als wir oben auf dem ca 1300 m hohen Paß angelangt waren, brach gerade der Vollmond durch die tief herabhängenden, schweren Wolkenschleier und goß sein silbernes Licht über die Landschaft. Rechts traten aus den Wolken hervor die Zacken des Yatsugatakastockes, der sich mondbeglänt mit seinen schneegefüllten Schluchten, von dicht geballten Dampfmassen getragen gar wundersam ausnahm. Links eine Felswand des Passes, darunter das tiefe Thal mit seinen schwarzen Schatten. Wir standen über einer unabsehbaren Flut von Wolken. Dabei jagte der Sturm mit wildem Gebrause über die Bergeshöhen. Stumm, überwältigt von den großartigen Eindrücken, stiegen wir hinunter nach Hirasawa, einem elenden Dorfe, das noch in 1123 m Höhe liegt. Die verwahrlosten Hütten sahen wenig einladend aus, und es war trotz großer Ermüdung nicht gerade erfreulich, zu erfahren, daß wir unser Reiseziel vor Augen hatten. Unsere Ankunft erweckte einiges Aufsehen. Der Lärm lockte sofort meinen schon bei Sonnenuntergang angekommenen Diener aus einem elenden Hause hervor, das auch uns, den neuen Ankömmlingen, als Obdach dienen sollte. Ich zwängte mich durch die enge Eingangsöffnung hindurch und richtete mich zwischen vier schmutzigen Wänden so gut wie möglich ein. Der orkanartige Sturm rüttelte gewaltig an dem lockern Gebäude. Das gastlichste Dach des Dorfes hatte übrigens alle Ursache, stolz zu sein, denn es durfte sich von früher her hoher Gäste rühmen. Eine Inschrift an der Wand erinnerte an einen fürstlichen Herrn, der hier einmal Unterkunft gefunden. Kaum hatte ich mich schlafen gelegt und mit Hilfe ganzer Barrikaden von Kissen gegen den auf den

¹⁾ Lange ehe die Bahn bis zum Fuße des Usuitoge projektiert wurde, habe ich der Regierung vorge-schlagen, den Aufstieg zum Hochland von Shinshu über den Wamitoge, einen südlich vom Usuitoge gelegenen Paß, zu bewerkstelligen. Auf dieser südlichen Linie wären viel weniger Schwierigkeiten zu überwinden ge-wesen. Allein die betreffenden Berichte und Aufnahmen sind wohl nie in die Hände der Ingenieure gelangt. Jedenfalls sind sie in Vergessenheit geraten.

Wegen zahlloser Luken und Ritzen einbrechenden, durch das Zimmer pfeifenden Wind eine Schutzwehr herzustellen gesucht, so erhob sich rings um mich ein fürchterliches Getöse. Der Sturm hatte die Bretterumwandung des Hauses eingedrückt, stürzte mit voller Gewalt ins Innere, wirbelte Papierbüren und die verschiedensten Gegenstände der Haus-einrichtung durcheinander und liefs uns die ganze Nacht keine Ruhe.

Als der Morgen anbrach, sah ich mit Stannen, dafs sich das Bild der Oberfläche während der nächtlichen Wanderung von gestern vollständig geändert hatte. Fast war mir zu Mute, als ob ich mich in einer ganz neuen Welt befände. Ich stand am Rande einer breiten Einsenkung. Drüben wuchsen Bergriesen in dichtem Gedränge auf, Berge von 3000 m und darüber. In scharf ausgeprägter, gerader Linie setzten die steilen Hänge auf der andern Seite ihren Fuß an die Senke, und es war kein Zweifel, am Saume der Berge mußte ein Fluß aus Nordwesten nach Südosten ziehen. Linker Hand schob das Bergland, aus dem ich herausgetreten, noch Ausläufer und Riegel gegen die Senke vor. Nach Süd-südwesten stieg der gewaltige Fuji zum Himmel auf. Wohl wurde mir damals klar, dafs ich einer in hohem Grade auffallenden Oberflächenbildung gegenüberstand, aber ich konnte noch nicht ahnen, was es mit der quer über den ganzen Inselbogen verlaufenden Furche, deren Schofs zahlreiche Vulkane entstiegen, unter ihnen der größte des Landes, für eine Bewandnis habe, auf welche gebirgsbildende Vorgänge die langgestreckte, transversaal gestellte, durch vulkanische Schmarotzer ausgezeichnete Depression zurückzuführen sei. Im Laufe meiner Aufnahmen hat sich der Schleier, welcher damals noch über den grundlegenden Vorgängen ausgebreitet war, allmählich gehoben. Ich habe den großen Graben, der mich schon bei meiner ersten Reise in Erstaunen setzte, als die sich in der Form der Oberfläche deutlich ausprägende Spur einer großen Querspalte deuten können und für ihn, weil er einen besondern Namen verdient, mit Rücksicht auf die Oberflächengestaltung und in dem Bestreben, einen Namen aufzustellen, der Aussicht auf internationale Anwendung hat, die Bezeichnung *Fossa magna* vorgeschlagen. Kein andres Gebirge der ganzen Erde hat eine Erscheinung aufzuweisen, die sich mit der *Fossa magna* vergleichen könnte. Ihre Verhältnisse sind für die Entstehungsgeschichte des Japanischen Gebirges wie für die Wissenschaft der Gebirgsbildung überhaupt von allergrößter Bedeutung. Ehe wir die geologischen Verhältnisse einer Betrachtung unterziehen, wollen wir der graben-förmigen Senke des Terrains noch von einer andern Seite nahetreten, und es möge mir so gestattet sein, vorerst die auf einigen andern Streifzügen durch das Land gesammelten Erfahrungen darzulegen.

Wir kehren nach Oiwake zurück und ziehen von hier aus ein Stück dieselbe Straße, die uns nach Hirasawa führte, 20 km weit bis nach Takano. Der Weg zieht zuerst auf dem flachen, kahlen, nur spärlich mit Gras bewachsenen Abhang des Vulkans hin. Blöcke und Bomben sind über den Hang zerstreut. Der Untergrund besteht überall aus vulkanischem Tuff. Längs der Flüsse ziehen prächtige Terrassenwände hin. Vor Takano stehen paläozoische Hornsteine an. Dicht bei Takano stoßen wir am linken Ufer des Flusses auf bedeutende Massen vulkanischer Breccien. Dieses Gestein ist im Thal vielerorts zu finden und gehört den Lavaergüssen der Tateshina—Yatsugatake-Kette zu. Auch große Massen vulkanischen Tuffs treten dicht bei Takano auf. Am 18. Juli 1876 sollte der große Vulkanstock des Tateshina überschritten werden. Der Weg führt erst im Hauptthal fort, ungefähr 4 km weit in südlicher Richtung, dann biegt er südwestwärts ab und läuft im Seitenthale anfwärts. In diesem Thale, das sich in einer Entfernung von 3 km vom Hauptthale gabelt, ragen beiderseits Felsen der vulkanischen Breccie hervor. Dann folgt aber bald Andesit. Im Dorfe Yakorimura wurden die Pferde gewechselt. Die Kaisha, das konzessionierte Speditionsinstitut, hatte uns nur bis zu diesem Punkte verholfen, und ich war am vorübergehenden Abend genötigt gewesen, einen Mann hierher zu schicken, der die Pferde und Leute bei den Banern bestellen sollte. Der Dorfschulze von Yakorimura zeigte sich

schon am Eingang des Ortes, empfing uns in ehrerbietiger Weise, und ihm folgend gelangten wir an das nicht übel aussehende Theehaus. Nach halbstündigem Aufenthalt ging es weiter. Viel vulkanische Breccie lag am Wege, auch Obsidiane traten auf, Andesit in großen Massen. Breccien und Andesit setzten das ganze Gebirge zusammen. Waren die tiefer liegenden Hänge nur spärlich bewachsen, so führte der Weg weiter oben durch prächtige Tannenwäldchen über das Wurzelwerk der Bäume. Blöcke und Brocken lagen in großer Zahl umher. Wir befanden uns bereits im Sattel zwischen zwei Bergspitzen. Der Wald war feucht und der Weg nass. Faulende Baumstämme waren über den Pfad gestürzt und lagen im dichten Gehölz eines japanischen Urwaldes, dem die Axt noch nichts angethan hatte. Plötzlich hob sich das Dunkel über dem Wurzelfpade, das ungezwungene Tageslicht strahlte uns entgegen und wir befanden uns auf freier, freundlich grüner Halde, die, vom Dunkelgrün des Waldes umrahmt, zur Rast einlud. Das war die Höhe des Passes, nahezu 2000 m über dem Meeresspiegel. Hier lagerten schon Pferdetreiber. Die ihrer Hut anvertrauten Tiere grasteten, sich selbst überlassen, die schwere Bürde auf dem Rücken kaum beachtend. Zu meiner Truppe gehörten 9 Mann (3 Pferdetreiber, ein Führer, mein Diener und 4 Schüler). Freudige Zurufe wurden gewechselt, und auch wir lagerten uns auf der waldumkränzten Matte.

Ein kleines Stück weiter und wir stehen auf einem freien Aussichtspunkt. Zu unsern Füßen liegt ein weiter, von hohen Ketten umschlossener Kessel, ein Teil der Fossa magna. Die tiefste Einsenkung des Terrains, welche direkt vor uns, aber ziemlich weit weg liegt, füllt der See von Suwa. Etwas verworrengeestaltig ragen die Bergrücken weit im Hintergrunde empor. Die von Nordwest nach Südost ziehende Flußlinie auf der andern Seite der Einsenkung ist auch hier scharf ausgeprägt.

Der Abstieg auf der Westseite ist dem Aufstieg auf der Ostseite so ziemlich gleich. Der Spiegel des Suwa-Ko und Takano liegen beinahe in gleicher Höhe. Ersterer ist sogar 60 m höher gelegen als das Dorf, das den Ausgangspunkt unsers Fafsübergangs bildete. Auf dem Wege zur Tiefe steht ausschließlich Trachyt an. Unser Führer zeigte eine auf sehr schwachen Füßen stehende Ortskenntnis, und wir mußten mehrfach auf das Gepäck warten, um einen besser Bescheid wissenden Pferdetreiber zu Rate zu ziehen. Nach so manchem Ungemach kamen wir schließlich in Takinoyu, einem südlich vom Tateshinagipfel gelegenen Badeort, an. Das Bad liegt im Thalriss und besteht aus zwölf sehr kümmerlich beschaffenen Häusern. Am obern Ende der Ortschaft steht eine Reismühle am Bache, unten schließt das Dorf mit einer Brücke und einem Vorrathshaus ab. Am obern Ende der Ortschaft befindet sich das Häuslein mit den für sämtliche Gäste berechneten Fremdenzimmern. Das Volk der Ratten war empört über die Eindringlinge und raste in wilder Jagd in den Wandschränken herum. Später kamen andre Plagegeister: Flöhe und Mosquitos.

Die Quellen von Takinoyu verdienen eigentlich ihren Ruf, als heiße Quellen heilkräftig zu wirken, nicht. Sie sind offenbar noch vor kurzem durch eine höhere Temperatur ausgezeichnet gewesen, aber zur Zeit meines Besuchs waren sie so gut wie ganz erkaltet. In der Nähe liegen übrigens noch verschiedene andre Quellen, die warm sein sollen. Auf der andern Seite des Tateshina-Zuges befindet sich Motoyu, eine heiße Schwefelquelle. Unterhalb Takinoyu genießt man einen guten Blick auf die Yatsugatakekette, auf das Achtgipfelgebirge. Mein Führer nannte mir, ohne einen Augenblick zu stocken, die Namen der acht Gipfel, belog mich aber dabei, wie sich bald herausstellte, auf das schändlichste. Er hatte keine Ahnung von den Namen der Berge und wies auch sonst keine hervorragenden Eigenschaften an, ausgenommen die, daß er nie in Verlegenheit geriet, wenn er nach etwas gefragt wurde. Nach einer japanischen Geographie sind die Namen der acht Gipfel von Süden nach Norden: Akatake oder rote Spitze, Nskatake oder Mittelspitze, Amida, Jizo, Kokuso, Mikabori, Yokatake, Iwo. Der Tateshina gehört nicht zum Achtgipfelgebirge, er bildet einen besondern Kegel. Auf der Karte der geologischen Aufnahme

sind im Yatsugatakestocke fünf Gipfel aufgeführt, nämlich Amigasatake, Gogentake, Niahitake, Amidatake und Akagatake. Atkinson, der den Yatsugatake im Jahre 1879 bestiegen hat, gibt Mikaboriyama, Jizo und Akatake als Namen der Gipfel an. Dieses Beispiel zeigt, welchen Schwierigkeiten es unterliegt, die Bergnamen Japans festzustellen.

Vor dem Suwa-See liegt ein Bergriegel aus Granit, der sich bis zu 200 m Höhe über das umgebende Land erhebt. Zwischen diesem Granitriegel und dem gegenüberliegenden Rande der Fossa ziehen die Gewässer durch eine Art Berghor dem See zu. Hier verrät schon ein Block von Gneifs das Auftreten kristallinischer Schiefer. In der freundlichen Stadt Takashima oder Kami no Suwa fanden wir ein gutes Unterkommen. Das in der Nähe des Sees gelegene Theehaus besteht aus zwei geräumigen Bauten, die durch einen hübschen Garten voneinander getrennt werden. Über dem Garten führt eine Brücke aus dem einen Haus in das andre, und unter der Brücke befindet sich das durch heiße, den Bergen bei Takashima entspringende Wasser gespeiste Bad. Die heißen Quellen liegen gleich nördlich von der Stadt am Fuße der Berge, zu Yunowaki. Aber auch am Nordwestende des Sees zu Shimo no Suwa ist eine heiße Quelle, Yunowaki, gelegen.

Am folgenden Morgen holte uns ein mit Matten beladener Schiffer vom Theehause ab. Er führte uns nach einem Kanal. Dort stiegen wir in eine zierliche Gondel, und es ging dem See zu, an dem alten, westlich von der Stadt dicht am Wasser gelegenen Schloß vorbei. Während unsre heimischen Schloßbauten mit vielen Türmen und Zinnen hoch in die Lüfte ragen, dehnen sich die japanischen mehr in der Breite aus. Auch das Schloß von Kami no Suwa hat seine breiten und tiefen Festungsgräben, seine Cyklopenmauern und an den Ecken der Festungsanlage seine gedrungenen, aus mehreren Stockwerken bestehenden Turmbauten. Der See hat fast durchgängig flache Ufer. Seine größte Tiefe soll nur 30 Fuß betragen. Nach einem erfrischenden Bade brachte uns das Boot ans Land, und wir kamen nach kurzer Wanderung in Shimo no Suwa an. Nach diesem Dorfe folgt bald ein Paß von 1060 m Meereshöhe, der Shiojiritage. Die Berge bestehen aus Andesit. Die Höhe bietet einen herrlichen Blick auf das vorliegende Terrain. Ein Zug steigt hinter dem andern an, immer neue wachsen auf, bis in weiter Ferne die Riesen der Hidakette in Wolken gehüllt das Ganze abschließen. Unten liegt eine Ebene, fernab durch einen N—S streichenden Bergzug begrenzt.

In der weiten, von einigen kurzen und niedern Rücken durchsetzten Fläche liegt Matsumano, die Hauptstadt der Provinz Shinano. Von hier aus geht es weiter nach Nordwest, nach Omachi und von Omachi aus dann links in die Berge hinein, in die Gebirgswildnis des Tateyama und der andern benachbarten Riesen der Hidakette der Küste zu. Bei Omachi sind wir aus der Fossa magna herausgetreten.

Es erübrigt, meiner dritten größeren Reise in die Fossa magna, die ich im Jahre 1883 ausführte, zu gedenken. Ich verließ Tokio am 22. Juli und übernachtete am Rande der Ebene in dem wohlhabenden Städtchen Hachuocho, westlich von der Hauptstadt und in 36 km Entfernung davon. Hinter der Stadt geht es noch ein Stück durch ebenes Land. Die Berge rücken näher und näher. Bei Kamikunogita tritt man ins Thal. Die Straße führt hier zwischen zwei Reihen hölzerner Hütten durch. Rechts und links erheben sich die kegelförmig gegliederten, mit Gebüsch und Mischwald überzogenen Ausläufer des Berglandes. In dieser Gegend wird viel Seidenzucht getrieben. Überhaupt scheint es, als ob in der ganzen Ebene von Tokio die Maulbeerbäume am Rande des Flachlands am besten gediehen. Bald verraten Schiefer und Grauwacken, daß es paläozoische Gebilde sind, welche die vorliegenden Höhen und die ringsum auftauchenden Hügel zusammensetzen. Wir betreten auf steilem Pfad einen Damm des Gebirges, einen Ausläufer des alten Berglands von Kuanto, der hier sich allmählich verflachend südwärts zieht. Der Paß Kobotoke ist 521 m hoch. Er bietet eine herrliche Aussicht auf das vorliegende, reich gegliederte Gebirgland. Es ist ein schwer zu entwirrendes Gedränge zahlloser Gipfel, das sich da aufthut. Der

Gipfel des Fuji, das vorläufige Ziel unserer Reise, verbirgt sich in Wolken. Unten im Vordergrund lagern höckerige, zerrissene Hügel. Wir wandern hinab zum Ufer eines zwischen hohen Steilwänden hinausgehenden, sich hie und da in tiefgrünen Grotten sammelnden Flusses, zum Ufer des Sagami-gawa. Die Straße folgt nun, indem sie sich am linken Ufer des genannten Flusses hält, auf eine Strecke hin ziemlich genau der Grenze zweier Formationen. Der vorerwähnte paläozoische Damm grenzt nämlich an tertiäres Gebiet, das sich hier hufeisenförmig nach Nordosten hin dem Kegel des Fuji anschließt. Innerhalb dieser tertiären Umrandung finden sich eigentümliche grüne Tuffe, welche von den Geologen der japanischen Aufnahme unter dem Namen der Misaka Series zusammengefaßt werden, und das zentrale Gebiet wird angefüllt von dioritischen Eruptivgesteinen. Bei Yoshino, das unterhalb Kobotoke gelegen ist, lehnen sich die Flussterrassen dicht an die Berge. Weiter westwärts werden sie breiter und höher, auch flacher, plateauartig. Uenohara, ein sehr langes Dorf, liegt am Ende des weiten Plateaus. Das Wasser hat sich überall tief eingeschnitten und Schluchten mit scharfen Abrissen gegraben. Zwischen Uenohara und Saruhashi gleicht das Terrain einer wogenden See. Runde Hügel, buckelartige Hervorragungen, kurze Rücken mit geschwungenem Grat tauchen wir durcheinander auf. Unten an den Ufern der Bäche, im Grunde der Schluchten, steht meistens noch altes Schiefergestein an. Oben aber zeigen sich mächtige Geröll- und Schuttablagerungen mit großen Blöcken. Auch horizontal geschichtete Sande kommen zum Vorschein, und vulkanische Aschen nehmen teil am Aufbau. Die Straße führt bergauf und bergab, oft dicht am Rande eines Abgrunds hin. Ich hatte in Uenohara einen Omnibus gemietet, der von einem altersschwachen Klepper gezogen und von einem schläfrigen Kutscher gelenkt wurde. Die Fahrt war wenig erbaulich, denn das müde Tier taumelte oft am Rande der tiefen Abstürze, und es kostete viel Mühe, den Kutscher wachzuhalten. Zu Saruhashi, 23 km westlich von Kobotoke, kreuzt die Straße den durch eine großartige, enge Felsenschlucht brausenden Fluß. Eine hölzerne Brücke führt in schwindelnder Höhe von einem Ufer zum andern. Bis hierher hat sich ein großer Lavastrom des Fuji ergossen, bis in die Klamm des Katsuragawa hinein, die wir auf der hohen Brücke überschreiten. Diesem Lavastrom, dessen Spuren allerdings nur hie und da sichtbar werden, folgt nun in der Richtung SW der Weg zum Fuji. Je mehr wir uns dem Fuße des eigentlichen Kegels nähern, um so deutlicher wird der Strom. Er zeigt in der Regel eine platte Oberfläche, die hoch kultiviert ist, an manchen Stellen aber taucht es wunderbar in sackigen Formen auf und nieder. Bei Tokaichiwa ist der Fluß auf einer Brücke zu überschreiten. Hier stürzt sich das Wasser mit Ungestüm über das Lavagefels und bildet einen kleinen Wasserfall. Das jetzige Flußbett scheint an dieser Stelle mit dem alten zusammenzufallen. Sonst dürfte der zu Stein erstarrte Strom das alte Bett unter sich begraben haben. Bei Shimoyoshida verläßt der Weg plötzlich die Thalsohle und wendet sich aus der Richtung SW nach W, führt etwa 160 m am Hang aufwärts und wir befinden uns in dem langgestreckten, direkt auf den südwestlich gelegenen Fujigipfel loszielenden, nicht weniger als 2½ km langen Pilgerdorf Kamiyoshida.

Am 26. Juli früh 8 Uhr brachen wir zur Fujibesteigung auf; 5 Uhr nachmittags waren wir oben. Vom Gipfel aus bot sich eine großartige Aussicht über ein bedeutendes Stück des Landes. Im Westen lagen die Riesen des über 3000 m ansteigenden Akaishi-gebirges, nach NW öffnete sich, einer großen Scharte gleich, das Thor der Fossa magna. Dann kam der Yatsugatakestock, der zackige Kimposan rechts davon, weiter hinter diesem, gleich einer Krone des entzückenden Gebirgs-panoramas, der rauchende Asama. Zwischen den letztgenannten Gipfeln hoben die breiten Massen des Berglandes von Kanto an, nach O zu allmählich abschwellend und schließlich in der Ebene untertauchend. Fern im O und SO das Meer. Die Kontur der Küste zeichnete sich in zarten Linien, manchmal verlor sie sich auf ihrem vielfach aus- und einspringenden Wege ins Unbestimmte. Noch

unbestimmter erschien die Grenze der zartgrauen Meeresfläche am Horizont. Die Inseln tauchten wie umflorte Häupter des überfluteten Landes aus dem Meere auf. Zu Füßen des großen Vulkankegels, auf dessen Spitze wir uns befanden, lag ein wallförmiger Bergkranz, der in SW anhebt und sich dann um die nördliche und östliche Seite des Berges herumzieht. Die Bildung erinnert auffallend an die großen Einsturzkrater gewisser Vulkane. Wir haben es jedoch mit etwas ganz anderm zu thun, denn die ringförmige Umwallung unten besteht keineswegs aus Fujilaven, sondern aus Faltenzügen eigentümlicher, grüner Tuffe mit Porphyritinjektionen und Hervorragungen älterer, dioritischer Ergüsse. Es ist schon vorher des Dioritkernes im NOO des Fuji gedacht worden, der von einem Ringe grüner Tuffe wie von einer hufeisenförmigen Klammer tertiärer Gebilde umschlossen wird. Ich kann nicht umhin, diese konzentrische Anordnung in der Oberflächenverbreitung gleichalteriger Gesteine um den Stock des Tanzawa — so nennen wir nämlich den vorerwähnten dioritischen Nachbar des Fuji —, dann die ringförmige Anordnung der Tuffalten und streichenden Porphyritzüge am Fusse des Fuji, sowie das halbringförmige Gebiet von Dioriten, welche das mit alluvialen Bildungen ausgekleidete Becken von Kofu im O umrandet, als Spuren verschiedenalteriger, aneinandertretender Einsturzkessel aufzufassen. Der jüngste dieser Einsturzkessel hat den Fuji geboren. Die Fossa magna erweitert sich nach der Außenseite des Gebirges hin und keilt sich aus auf der Innenseite. So können die drei erwähnten Einsturzkessel einen sehr breiten Raum in Anspruch nehmen. Ganz kolossal sind die Eruptivmassen, welche sich im S und SO des Fuji häufen. Die Halbinsel Idzu besteht fast ausschließlich aus Eruptivgebilden, und zwar aus solchen jüngern Alters. So chaotisch das Gewirr der vulkanischen Gipfel und Rücken auf den ersten Blick erscheinen mag, so verraten sich doch einige Spaltenwege, welche geeignet erscheinen, den Zusammenhang der Erscheinungen in der Fossa magna klarzustellen. Im SO des Fujigipfels liegt der Hoi, südsüdöstlich liegen Washinosu, Banjiro und Ashitaka. Die drei letztgenannten Gipfel bilden gleichsam eine sich aus dem Fujikörper hervorschiebende Kette. Sie gehören einem NNW—SSO gerichteten Spaltenweg an. Die größte Achse des elliptischen Ringkraters von Hakone fällt ebenso in die angegebene Richtung wie die Reihe der zentralen Gipfel, welche von diesem Ringkrater umschlossen werden. Ebenso findet sich diese Richtung durch die Lage und Form des Porphyritgebiets auf Idzu ausgeprägt, und die größte Achse der vulkanischen Insel Oshima bildet gleichsam einen Wegweiser nach der Fossa magna.

Aber wir müssen von diesem Abscheif, zu dem uns der Rundblick vom Gipfel aus verleitet hat, zu unserm Standpunkt zurückkehren, um dann wieder hinabzusteigen in das tiefere Land. Wenn wir uns von Kamiyoshida nach Nordwesten wenden, so gelangen wir nach halbstündiger Wanderung an das Ufer eines jener außerordentlich reizvollen Seen, welche in der durch das Herantreten des Ringwall's gebildeten Rinne am Fusse des Kegels ihr Wasser gesammelt haben. Der See Kawaguchi liegt in 800 m Meereshöhe. Am Seeufer steht fester, grobkörniger tertiärer Sandstein an, mit Konglomerat wechselagernd. Streichen N 65 O, Fallen NW ca 30. Ein Boot führt über das klare Wasser. Drüben bei Kawaguchi zeigen sich noch tertiäre Gebilde. Es geht nun nordwärts zum Misakotoge hinauf (1570 m). Der Bergrücken setzt sich zusammen aus den grünen Tuffen der sogenannten Misaka Series. Graue, steile Felswände zu beiden Seiten des Passes bestehen aus zerklüfteten Porphyriten. Von hier aus ist Kofu leicht zu erreichen. Das in der Tiefe dahin-eilende Wasser, welches dem Becken von Kofu zuströmt, bietet sich als Wegweiser an. Erst bricht es durch das ringförmige Band dioritischer Gesteine, dann tritt es bald in die Ebene, vereinigt sich mit dem Fuefukigawa, und wo diese Vereinigung erfolgt, haben wir die von Tokio hierher ziehende große Bergstraße erreicht, der wir nur noch ein kurzes Stück zu folgen brauchen, um in der durch fortschrittliche Bestrebungen weit im Lande berühmten Stadt ein gastliches Dach zu finden.

Die Ebene von Kofu führt viele Flüsse zusammen. Sie sammelt alle Wasser, damit diese zum Fujikawa vereint in den Felsenthoren zwischen dem Akaishi-Gebirge und Fuji alle Widerstände brechen können. Auffallend sind die großen Schuttkegel, welche die tief eingegrabenen kurzen Flüsse des hohen Akaishi-Sphenoids an ihrer Eintrittsstelle in die Ebene angehäuft haben. Bei Nirasaki, einem großen Orte 10 km nordwestwestlich von Kofu, strömen zwei breite, sandige Flüsse zusammen. Besonders der Kamanashigawa, der westliche von beiden, derselbe Fluß, der genau den Westrand der Fossa magna bezeichnet, führt kolossale Massen von Geröll und Sand. Am rechten Ufer des Kamanashi zieht eine etwa 100 Fuß hohe Terrasse hin. Die Straße nach dem Suwa-See hält sich nun ziemlich genau an den Kamanashi-Fluß und an den Rand der Fossa. Suwa haben wir schon oben kennen gelernt. Im Jahre 1883 verlief ich den See in einer andern Richtung als bei der früheren Gelegenheit, nämlich an der Stelle, an der sich der Ausfluß befindet, um dann mit dem gegen Süden fließenden Tenriugawa nach der Küste zu ziehen. Mit dem Tenriugawa trat ich damals aus der Fossa heraus.

2. Morphologische Charakteristik der Fossa magna.

In keinem Teile des ganzen Landes drängen sich die Bergmassen so dicht zusammen, in keinem andern Teile steigen sie zu so gewaltiger Höhe an wie innerhalb der Gebiete, die wir auf den vorbeschriebenen Reisen kennen gelernt haben. Und doch kann man gerade hier von einer Seite der Hauptinsel zur andern gehen, ohne sich in die Notwendigkeit beschwerlicher Paßübergänge versetzt zu sehen. Die grüßte Höhe, die man bei der Querung von der Mündung des Fujikawa aus bis an die des Himegawa zu überschreiten hat, ist die des Shiojiritoge am Suwa-See (1025 m). Es gibt noch zahlreiche andre Querschnitte der Gebirgskette, deren Maximalerhebung über das Meeresniveau viel weniger beträgt. Es gibt ja sogar zwei quere Durchbrechungen des Meeres in der Gebirgskette, eine in der Straße von Shimonoseki, die andre in der Straße von Tsugaru. Aber in diesen Fällen hat man zu bedenken, daß sich das ganze benachbarte Gebirge an tiefe Niveaus hält. Die höchsten Gipfel des Landes liegen mit Ausnahme des Fuji am Rande jener transversalen Depression, welche wir als Fossa magna bezeichnen. Das Becken von Kofu liegt an seiner tiefsten Stelle in kaum 230 m Meereshöhe, Kofu selbst 260 m. Der Fuji, der höchste Berg des Landes, misst 3728 m. Im Westen der Fossa erheben sich im Akaishi-Sphenoid der Akaishi zu 3093 m, der Notorisan zu 3041 m und der Komagatake zu 3000 m. Der Akatake im Yatsugatake-Stock ist 2982 m hoch. Der granitische Kimpusan ragt mit 2531 m über seine Umgebung empor, und sein Nachbar, der Kokushitake, mit 2571 m. Während die drei letztgenannten Gipfel ebenso wie der große Fuji eigentlich in der Fossa liegen, steigen die höchsten Erhebungen des Berglandes von Kuanto nur in einigen wenigen Fällen, z. B. in dem Kokushiyama, zu nahe 2500 m Höhe an. Sonst halten sie sich in der Nähe der Fossa an Niveaus zwischen 2200 und 2000 m und werden nach Norden von der Fossa aus und auch nach Osten zu allmählich niedriger. Die Gegend von Matsumoto liegt schon bedeutend niedriger als der Suwa-See. Ihr Niveau bestimmt sich zu 690 m. Der Weg von Omachi nach Itoigawa führt über einen Paß von nur wenig über 600 m Höhe. Direkt westlich aber von dieser Straße wachsen wieder riesenhohle Berge in langer Kette auf: der Renge mit 2990, der Tate mit 2850 und der nadelförmige Fels des Yarigatake mit 3050 m. Östlich von der tief einschneidenden Rinne beansprucht ein großer Vulkanstock breiten Raum. Er hat Gipfel von nahezu 2200 m. Auch diese Vulkane entwachsen wie Yatsugatake, Fuji u. a. der Fossa magna.

Es erscheint bemerkenswert, daß sich unter allen vulkanischen Gipfeln der Fossa magna und ihrer Nachbarschaft nur der Fuji durch eine ganz besonders hervorragende Höhe auszeichnet. Auf den Fuji folgen der Höhe nach eine Reihe von Bergspitzen, welche dem west-

lichen Rande der Fossa angehören und nicht vulkanisch sind. Es sind also hier in der Bruchregion die äußersten Hervorragungen des alten Gebirges etwas höher als die vulkanischen Spitzen, wobei der Fuji die einzige Ausnahme bildet. In den übrigen Abschnitten der japanischen Inseln überragen die Vulkane in der Regel weitaus das umliegende Land. Wenn wir uns aus der Fossa magna sämtliche Vulkanberge entfernt denken, so bleibt eine sehr breite transversale Depression übrig mit sehr scharfer westlicher Begrenzung, mit Scharen von Bergriesen auf der Westseite. Auf der Ostseite ist die Begrenzung etwas verworren, jedenfalls ziemlich unregelmäßig, und auf dieser Seite liegen keine so großen Höhen des alten Gebirges. Die breite Depression erinnert in ihrer Gestaltung an die Form eines Grabens. Deshalb habe ich die Bezeichnung „Fossa“ in Anwendung gebracht. Durch die lateinische Version der Benennung, mit welcher nur auf eine Formenerscheinung hingewiesen werden soll, durchaus nicht auf die Entstehung, ist jedenfalls einer Verwechselung mit dem geologischen Begriff einer Grabenbildung vorgebeugt, und außerdem wird sich der Name Fossa magna leichter in den verschiedenen Sprachen, besonders in der japanischen, Eingang verschaffen können, als es ein deutsches Wort im stande wäre.

3. Die Fossa magna als Gebirgs- und ihre Deutung.

Versuchen wir es, den innern Bau des ganzen Gebirges an der Hand des beigegebenen Stereogramms zu durchschauen, so wird uns zunächst das eine klar, daß sich vom äußersten Südwesten her, von Amakusa durch Kiusiu und Shikoku, durch die Kii-Halbinsel, am Rande des Akaishi-Sphenoids, dann nach einer Unterbrechung der Fossa magna längs des Berglandes von Kanto über die Takuba-Berge, ferner am Rande des Abukuma und das Kitakami-Thal hinauf ein Streifen kristallinischer Schiefer verfolgen läßt, der, wie ich schon mehrfach hervorgehoben habe, nichts anderes vorstellt, als das Analogon des Zentralmassivs der Alpen und anderer Gebirge. Diese lange, wie eine große Mauer durch das ganze Land ziehende, gleichsam das Rückgrat des ganzen Gebirges bildende Zone hat eine Art Brustwehr gegen das Emporquellen heißflüssiger Massen gebildet, denn neben ihr herlaufend finden wir nach innen zu, auf der Seite des Japanischen Meeres, die weit ausgedehnten Spuren massiger Emporquellungen aus den verschiedensten Zeitaltern. Das ganze Gebiet, welches die Mauer kristallinischer Schiefer und alles was außerhalb davon gelegen ist, umfaßt, ist arm an eruptiven Quellen. Wo sich die Anordnung der Eruptivmassen an langgestreckte Linien bindet, da sind Spalten der Erdkruste zu suchen. Eine Längsspalte begleitet unzweifelhaft das ganze Japanische Gebirge. Auf der Außenseite dieser Spalte ist der ganze Bau in so hohem Maße verdichtet und verfestigt, daß Kommunikationen mit den tiefer gelegenen Herden heißflüssiger Masse nur ausnahmsweise eröffnet werden konnten. Für das Bestehen einer sehr tiefen Spalte längs der Inlandsee und auch weiter über das Gebiet dieses Binnenmeeres hinaus, westwärts bis Amakusa hin und östlich bis in die Nachbarschaft von Hiogo und bis zum Futagoyama, liefert auch die Verbreitung petrographisch hochinteressanter vulkanischer Gesteine einen Beweis. Es sind Granat führende Andesite und Trachyte, sowie eigentümliche Bronzitgesteine (Sanukit), welche sich an diese lange Linie binden¹⁾. Ebensovienig wie an der Längsspalte gezweifelt werden kann, ebensovienig kann man sich der Thatsache verschließen, daß die gebirgsbildenden Bewegungen im Japanischen Gebirge einseitig gewesen sein müssen, und daß die Bewegungen von der Seite des Japanischen Meeres her erfolgt sind. Eine Prüfung des Streifens kristallinischer Schiefer wird das beweisen. Der Streifen ist zerrissen und die verschiedenen Stücke sind ungleich weit gegen den Ozean vorgeschoben. Den deutlichsten Beweis für eine Vorwärtsbewegung in dem angegebenen Sinne, für eine Stauung der Schichtenmassen durch einseitigen Schub,

¹⁾ Weinschenk, E., Beiträge zur Petrographie Japans. Neues Jahrb. f. Min. &c. Beilage, VII. 1890. S. 133.

gibt aber die eigentümliche Hemmung der Falten in der Fossa magna. Suez¹⁾ deutet diese Hemmungserscheinung als Scharung. Darunter versteht er die Erscheinung, welche eintritt, wenn vorrückende Gebirge aneinandertreten, um sich gegenseitig in ihrer Vorwärtsbewegung zu hemmen, so daß scharf einspringende Winkel entstehen, wie z. B. bei Hindukusch und Himalaya. Ich habe schon früher betont, daß an eine solche Erklärung im Falle des japanischen Gebirges nicht gedacht werden könne. Nord- und Südfügel der ganzen Kette lassen sich nicht voneinander trennen. Aneinandertreten zweier Gebirge, Hemmung an der Berührungsstelle, Scharung, das alles ist nur denkbar, wenn die Mittelrichtungen der faltenbildenden Kräfte konvergieren, nur dann kann ein Zusammentreten erfolgen. Im Falle des japanischen Gebirges findet nun Divergenz der Kraftrichtungen statt. Es ist, als ob nur die Annahme übrig bleibe, der Bogen müsse ursprünglich einmal einen ungestörten Verlauf eingehalten haben. Erst später kann ein Hemmnis eingetreten sein, welches die Fossa magna erzeugte. Das Herantreten der Shichito-Kette an das Japanische Gebirge gerade dort, wo die Fossa magna von einer Seite zur andern läuft, wird schwerlich als Zufall hinzunehmen sein. Auch können die Sieben Inseln und ihre südlichen Schwärmer nicht als die Spitzen eines vulkanischen Seegebirges aufgefaßt werden. So große Massen vulkanischen Gesteins, wie sie bei Annahme eines so großen vulkanischen Gebirges herauskommen würden, existieren nicht über dem Wasser, warum sollen sie unter dem Wasser existieren? Man verfällt sehr leicht in den Fehler, einen tektonischen Unterschied anzunehmen für solche Teile der Erdkruste, die über dem Wasser liegen, und solche, die unter dem Wasser liegen. Das ist aber durchaus ungerechtfertigt. Das Meeresniveau spielt hier die Rolle der Zufälligkeit. Warum sollten sich unter dem Meeresboden nicht dieselben faltenbildenden Vorgänge abspielen können wie in den Gebirgen der Kontinente? Es mag ja Senkungsfelder geben innerhalb der Ozeangebiete, aber deshalb brauchen wir durchaus noch nicht überall dort Senkungsgebiete zu suchen, wo die Meeresflut die Erdkruste verhüllt. Ist die Shijito-Kette nicht vulkanisch, sondern liegt hier ein Faltengebirge vor, so muß irgend einmal ein Zusammentreten der Bewegungen des Japanischen Gebirges und des Shichito-Gebirges erfolgt sein. Welche Erscheinungen standen nun im Gefolge dieses Zusammenwirkens? Ich kann mir die Fossa magna auch jetzt nur als die Spur einer großen Zerreißung, einer großen Querspalte erklären, bedingt durch das Herantreten der Bewegung in dem durch die Sieben Inseln angezeigten Faltenzuge²⁾. Die Anordnung der Vulkane in der Fossa deutet unbedingt auf eine Spalte hin. Und wenn im Becken von Kofu, in der wallförmigen Umgrenzung des Fuji und im Tanzawa-Stock die Anzeichen kesselförmiger Senkungen vorliegen, so schließen diese Kesselbrüche eine Spalte keineswegs aus. Erinnert man sich des großen Längsrisse, welcher in der Mitte des Japanischen Gebirges hinzieht und dort, wo die Fossa magna über das Gebirge setzt, eine energische Rückbiegung beschreibt, ebenso wie es die Falten thun, und würdigt man die Unterbrechung des Längsrisse durch die Fossa — eine solche Unterbrechung liegt unleugbar vor —, so bestimmt sich das Alter der Querspalte auf dieselbe Weise, wie sich das relative Alter zweier sich kreuzender Verwerfungen bestimmt: die Querspalte ist jünger als die Längsspalte.

Ich halte die Rückbiegung der Falten und der Eruptionszüge für eine Folge der Fossa magna. Suez hält den zurückspringenden Winkel der Falten für die Ursache der Fossa magna.

Die Fossa magna ist da. Sie kann von niemand geleugnet werden. Aber sie wird

¹⁾ Antlitz der Erde, Bd. II, S. 225.

²⁾ Vgl. meine früheren Darlegungen in: Bau und Entstehung der japan. Inseln (Berlin 1885). Über die Geologie Japans. Extrait du Compte rendu de la III^{ème} Session du Congrès Géol. international (Berlin 1885). Die Erscheinungen des Erdmagnetismus in ihrer Abhängigkeit vom Bau der Erdrinde (Stuttgart 1887). Geol. Karte in dem Mitteil. der Wiener Geogr. Ges. (Wien 1887).

verschieden erklärt. Nach Suez ist sie Einbruch in der Scharungstelle, nach meiner Auffassung Spalte, Ursache der Faltenhemmung. Die Suezsche Erklärung läßt die Frage offen, wie die Scharung entstanden sei. Denn durch ein Aneinandertreten verschiedener Gebirge kann sie nicht entstanden sein. Die Bewegungsrichtungen divergieren ja nach außen hin.

Schon im Jahre 1887 veröffentlichte Suez in dem akademischen Anzeiger der Wiener Akademie einen Brief Haradas ¹⁾, in welchem letzterer der Suezschen Auffassung zustimmt. Harada betont dabei, daß ihn die genauere Untersuchung des Gebietes seit meinem Abgang von Japan zu dieser Auffassung geführt habe. In dieser ersten Publikation sowohl wie in der spätern faßt Harada die technischen Ausdrücke nicht immer so genau, wie es notwendig erscheint. Den Suwa-See z. B. bezeichnet er als Maar, womit bei dem mit japanischen Verhältnissen nicht ganz eingehend vertrauten Leser der Eindruck hervorgerufen werden muß, als ob wir es im Falle des Suwa-Ko mit einer Bildung zu thun hätten analog denen, die für die Eifel so charakteristisch sind. Der See stellt einfach ein sehr flaches Becken dar mit sanft geböschten Ufern und ist als eine durch Abdämmung entstandene Wassersammlung anzusehen. Maare finden sich ja sonst in Japan sehr vielfach. Ich will da hinweisen auf das schöne Maar am Fuße des Kaimontake, auf ein Maar im Tateyama-Kessel, die eigentümlichen Bildungen des Bandai und das erst in ganz neuer Zeit entstandene Maar des Shirane bei Kusata. Letzteres ist im Jahre 1881 durch Explosion gebildet worden, erscheint also für die Entstehungsgeschichte verwandter Bildungen von höchster Bedeutung. Ein Maar von 5 km Durchmesser — so groß ist der Suwa-See — ist mir auf der ganzen Erde nicht bekannt.

Schon als ich nach vierjähriger angestrengter Arbeit und nach neunjährigem Aufenthalte in Japan eine Zusammenstellung meiner Beobachtungen unternahm, war mir der ringförmige Wall des Fuji mit seinen konzentrischen Dioritzügen wohl bekannt. Später, gelegentlich eines in der Deutschen Gesellschaft gehaltenen Vortrags, versuchte ich, die dioritischen Durchbrechungen als peripherische Brüche eines Senkungsfeldes zu deuten, und ich bin auch jetzt noch der Ansicht, daß sie als solche Bildungen anzufassen sind. Die konzentrischen Fujibogen bilden den einzigen Stützpunkt, der für eine Verbindung des Akaishiphenoids mit dem Kuantogebirge beigebracht wird. Sie dürfen aber nicht als beweiskräftig gelten; denn eine faktische Verbindung wird nicht hergestellt. Die Misaka Tenshufalten, wie sie von Harada genannt werden, und die zugehörigen Gangmassen zeigen sehr innige Abhängigkeit vom System des Fuji. Eine Prüfung der Karten wird ergeben, daß sie mit diesem Berge sehr eng verbunden sind, während die gleichalterigen Tuffe, die Gebilde der Misaka Series im Westen des Fujikawa und Kamanashikawa, ein ganz anderes nordsüdliches Streichen bekunden. Warum lenken denn die Falten, wo sie westlich von der Fossa an diese herantreten, nicht so um, wie es die Scharung verlangt? Da sollte doch ein Parallelismus mit den konzentrischen Bogen des Fuji zu erkennen sein. Warum brechen denn die Faltengänge nicht so am Rande der Fossa ab, daß sie in diese hineinstreichen würden? Warum erscheinen sie an diese angedrückt wie eine Stahldegenklinge gegen ein festes Widerlager? Was die nach Harada am Süd- und Westfüße des Yatsugatake unter tertiären und posttertiären Auswurfmassen hervorblickenden paläozoischen Thonschiefer und Grauwacken betrifft, so sind mir solche nur im Südosten bekannt, sobald die alten Sedimente des Akaishiphenoids nicht in Betracht kommen sollen.

¹⁾ Akad. Anzeiger Nr. XVII (Wien 1887). Vgl. auch Naumann, Fujisan. Jahresbericht der Geogr. Ges. in München für 1887 (München 1888), S. 9. Ferner Naumann u. Neumayr, Zur Geologie und Paläontologie von Japan, LVII. Bd. der Denkschr. der math.-naturw. Klasse der K. Ak. d. Wissensch. Wien (1890), S. 24. Harada, Versuch einer geotektonischen Gliederung der japan. Inseln (Tokio 1886). Ders., Die japan. Inseln. Eine topogr.-geol. Übersicht, 1. Lief. (Berlin 1890). Naumann, Neuere Arbeiten der Kaiserl. japan. geol. Reichsanstalt. Das Ausland 1891, S. 357 u. 374. Die letztere Abhandlung enthält eine Kritik über Haradas „Japanische Inseln“.

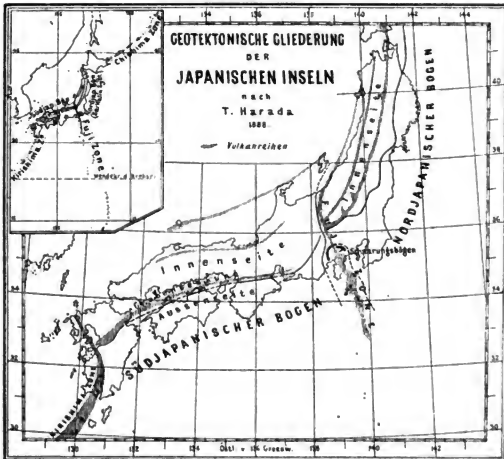
Wenn behauptet wird, das Verhältnis der „Scharung“ des süd-japanischen Außenbogens mit dem nord-japanischen sei ganz das Miniaturbild der Scharung des Hindukusch und des Himalaya im unteren Indusgebiet, so ist dem vor allem entgegenzuhalten, daß die Falten am Jhelam und Indus aus dem einen Gebirge in das andre ohne Unterbrechung verfolgt werden können, und daß hier keine Eruptiverscheinungen an der Begegnungsstelle wahrzunehmen sind, während zwischen Nord- und Südfügel des japanischen Gebirges eine Lücke unbedingt vorhanden ist und die großartigsten Eruptiverscheinungen gerade längs der Linie auftreten, welche die beiden Flügel voneinander trennt. Jeder Einbruch setzt eine Raumerweiterung voraus. Aber bei Gebirgen, welche sich scharen, ist eine Raumerweiterung jedenfalls dort am allerwenigsten geboten, wo die Scharung erfolgt. So suchen wir denn an der Berührungslinie von Hindukusch und Himalaya vergebens nach sekundären Einbrüchen und vulkanischen Ergüssen. In Japan dagegen mag das Eingreifen der Schichtbewegungen zuerst eine Spalte erzeugt haben, deren Ausfüllung durch Eruptivgebilde sich dann wie ein keilförmiges Widerlager den vorrückenden Falten entgegensetzte, und der fortdauernde Einfluß des Wachstums im Nachbargebirge mag dann auch die Bedingung geboten haben für die Entstehung jener merkwürdigen, halbzerstörten oder von Erdblutungen überwucherten Einbrüche, wie wir sie im Becken von Kofu, im Fudzibezirke und im Tanasawastock vor uns sehen.

In seinem „Versuch einer geotektonischen Gliederung der japanischen Inseln“ gräbt Harada den so ziemlich ad acta gelegten Begriff des Sinischen Gebirgssystems wieder aus. Dazu stellt er ein neues „System“, das „Sachalinssystem“, auf. Nach seiner Auffassung würde jede Anschwellung der Erdoberfläche, welche sich durch eine besondere Richtung auszeichnet, als „System“ aufzufassen sein. Nun lehrt aber die Erfahrung, daß es Richtungen gibt, die sich in der Horizontale unablässig ändern, und bogenförmig sind ja die meisten Gebirge. Wer einen Bogen, wie den japanischen, in geradlinige Elemente auflösen sucht, ehe er die innern Verhältnisse beleuchtet und durchschaut hat, der thut der Natur einen Zwang an, der schematisiert. Nord- und Südfügel des japanischen Bogens zeigen einen ganz gleichmäßigen Aufbau. Sie setzen sich aus genau denselben Gebilden zusammen, und die gleichalterigen Gebilde der beiden Flügel waren in der Hauptsache genau denselben tektonischen Beeinflussungen unterworfen. Daran ist nicht zu zweifeln und nicht zu deuteln. Harada hat mich offenbar falsch verstanden. Er hat den Namen „Großer Graben“ oder „Fossa magna“ so aufgefaßt, als ob ich darunter einen zwischen zwei Sprüngen zu tief gesenkten Streifen verstanden wissen wollte. Es ist mir aber durchaus nicht darauf angekommen, die Unterordnung der Erscheinung unter einen geologischen Begriff vorzunehmen. Ich habe bei den verschiedensten Gelegenheiten ausdrücklich hervorgehoben, daß ich die Fossa magna als Spalte ansehe.

Wenn nun Harada bei seinem Versuch einer Gliederung des Japanischen Gebirges eine Fudzizone aufstellt, so sollte er sich vor allem daran erinnern, daß Zone Gürtel ist, daß es etwas sein muß, was sich dem ganzen Gebirge anschließt, und daß es nichts sein kann, was als fremdes Element nur in das Gebirge eingreift. „Das japanische Gebirge ist ein Gebirge von zonalem Typus.“ Bei der Zerlegung des ganzen Gebirgstreifens in Zonen bin ich nur frühern Beispielen getolgt und habe mich z. B. daran erinnert, daß man in den Alpen von einer Kalkzone, von einer Flyschzone &c. spricht. Harada nun vermeidet in seiner ersten Publikation (Versuch &c.) auf das ängstlichste, den Begriff Zone auf die Gliederung des japanischen Bogens selbst anzuwenden, und appliziert ihn auf die fremden Bogen, welche von Süden oder Osten her an ihn herantreten. Er spricht von einer Kirishimazone, und zu seiner „Fudzizone“ gehört nicht nur das, was ich Fossa magna genannt habe, sondern auch das ganze Shichitogebirge. Die Kette der Liukiu-Inseln stellt ebensowohl ein selbständiges Gebirge vor wie die Kette der sieben Idzu-Inseln, die Kette der Shichito und ihre Verlängerung. Wenn wir diese beiden letztgenannten Anschwellungen

genommen. Ich habe die genannten Vulkane früher mit Früchten verglichen, welche den Seitenästen des Hauptstammes entwachsen.

„Die Fujizone“, sagt Harada, „stellt sich als eine an vulkanischem Leben reiche Zone dar. Wo sie den Rumpf von Honshiu durchsetzt, charakterisiert sie sich in schönem Einklang mit dem, was Ed. Suets ausgesprochen hat, als eine an Einbrüchen und vulkanischen Ausbrüchen reiche Scharungsstelle des nord- und südjapanischen Bogens, welche nur gegen das Ostende des letztern durch einen scharfen Bruchrand abgegrenzt wird. Sie ist keineswegs als eine typische Grabensenkung oder Fossa magna, wie sie Edmund Naumann be-



zeichnet, aufzufassen und bedingt keine abrupte Scheidung zwischen den beiden Bogen der japanischen Inseln.“

Ich führe diese Worte an, um mich gegen eine falsche Auslegung meiner früheren Darlegungen zu verwahren, um meinen Standpunkt deutlicher kennzeichnen zu können und künftigen Verwirrungen vorzubeugen. — „Die Schubrichtungen, welche die Faltungen beider Flügel des japanischen Gebirges erzeugt haben“, sagte ich früher, „weisen auf die zentralen Gegenden des Japanischen Meeres zurück und schneiden sich in diesen Gegenden. Ich kann mir den Fall der ‚Scharung‘ nur dann vorstellen, wenn die Schubrichtungen nach rückwärts divergieren, nach vorwärts konvergieren. Bei dem japanischen Gebirge ist das umgekehrte der Fall. Ich glaube jetzt wie vorher behaupten zu dürfen, daß die Fossa magna eine Spalte, eine Zerreißung darstelle, keinen jugendlichen Einbruch, eine Spalte sogar, die von hohem Alter ist, wenn auch jünger als der longitudinale Hauptbruch des ganzen Gebirges.“ — Diese Worte haben Harada vorgelegen. Er citiert meine Abhandlung, in der sie enthalten sind, dennoch schiebt er mir die Auffassung einer typischen Graben-

senkung unter. Ich habe Nordflügel und Südflügel nie als verschiedene Gebirge aufgefaßt, sondern immer und immer wieder auf die Analogie in bezug auf Zusammensetzung und Bau der beiden Seiten hingewiesen. Wenn Harada mit Suets übereinstimmen will, so muß er zwei Gebirge annehmen, die aneinander treten, um sich zu scharen, und er hat ja auch zwei verschiedene Systeme, das Sinische und das Sachalin-system, aufgestellt.

Es möge mir nunmehr gestattet sein, die Übereinstimmungen und Abweichungen zwischen meiner und Haradas Darstellung noch etwas eingehender zu behandeln. Ich glaube um so weniger hiervon Abstand nehmen zu sollen, als eine gewisse Verwirrung in der Terminologie sowohl wie bezüglich der gebirgsbildenden Vorgänge, welche den japanischen Bogen und seine Gliederung erzeugt haben, hereinzubrechen droht. Zum Zwecke klarer Einsicht in die hier zu berührenden Verhältnisse gebe ich die folgenden graphischen Darstellungen, welche für sich reden mögen.

Aus diesen Skizzen dürfte zunächst soviel hervorgehen, daß sich meine Auffassung einfach und ungezwungen den Thataschen anschmiegt, und daß meine Terminologie konsequent ist. Das Weitere ergibt sich aus folgender Zusammenstellung:

Naumann.

Wenn man die Vulkane mit Perlen vergleicht, und die Inselreihen mit Blumenguirlanden, so sind die Vulkane nicht mehr als den Blumenguirlanden eingestreute Perlen. Auch im Meere sind Vulkane Attribute großer Gebirge. Die Bausteine der japanischen Inselkette ordnen sich nach Zonen, welche der Hauptsache nach aus gefalteten Schichtenmassen bestehen. Der Rinkubogen und der Kurilenbogen müssen von sehr jungem Alter sein.

Die fremden Bogen der Rinku und Kurilen bringen allerdings Modifikationen des Baues hervor, aber sie sind nicht im stände, die fundamentalen Gesetze des Baues zu stören. Die Aufsenzone des japanischen Bogens greift in beiden Fällen durch.

Mit dem Himalaya und dem Ural bildet der japanische Bogen einen großen kreisförmigen Wall. Er stellt eines der größten Gebirge unsers Planeten vor und bildet den eigentlichen Grenzdamm des asiatischen Erdteils.

Der breite Gebirgsbogen zerlegt sich durch eine in dem Oberflächenbild der Verbreitung der Formationen deutlich ausgeprägte mediane Linie in zwei Streifen (Zonen), die wir als äußeren und inneren Streifen (Zone) unterscheiden wollen¹⁾.

Länge des ganzen Bogens verläuft eine mediane Linie (an der Innengrenze des Zentralmassivs), welche einen durch großartige Eruptionen aus den verschiedensten Zeitaltern ausgezeichneten inneren Streifen von einem äußeren, an Eruptionen außerordentlich armen scheidet. Was liegt näher, als hier unter diesem Bogen eine mächtige, tief in die Erdkruste eindringende, Länge des ganzen Gebirges hinziehende alte Spalte zu suchen? Direkt innerhalb der Medianlinie ist eine weitgehende Zerstückelung zu bemerken.

Harada.

O. Peschel vergleicht die vulkanischen Kurilen mit einer Perlenkette, ebenso die Rinkuinseln. Unter den vier Gebirgsbögen (Kurilen, Rinkuinseln, nord- und süd-japanischer Bogen) tragen die beiden japanischen den Charakter eines zonalen Faltengebirges am deutlichsten zur Schau, während in den Rinkuinseln vorwiegend nur Stöße der Aufsenzone und in den Kurilen nur die vulkanischen Aufschüttungen der versenkten inneren Zone einer Kordillere, deren Aufsenzone an der Ostküste von Kamtschatka sichtbar ist, über dem Meere hervorragen.

Während die Scharung der drei südlichen Bogen thatsächlich festgestellt ist, ist das Verhältnis zu den Kurilen und dem nord-japanischen Bogen noch nicht klargestellt.

Die japanischen Inseln gehören zu jenem großen Halbkreis von Gebirgslinien, welcher in dem merkwürdigen Gebirgsnoten von Pamir beginnt, über den Himalaya, über Süd-China und den japanischen Archipel bis Kamtschatka hinzieht und den eigentlichen Körper gegen außen, d. h. gegen das indische und pazifische Becken abschließt.

Man kann drei große Zonen unterscheiden: eine äußere Sedimentsone, eine mittlere Zone von Gneiss und kristallinen Schiefern und eine innere Sedimentsone²⁾.

Eine zum größten Teil durch topographische Furchen und durch Längsbrüche bezeichnete Linie zieht sich mitten durch die ganze Längserstreckung des Inselbogens hindurch. Sie scheidet eine durch Regelmäßigkeit des gefalteten Aufbaues und durch Armut an Eruptivmassen ausgezeichnete ozeanische oder Aufsenzone von einer durch das gegenteilige Verhältnis charakterisierte Innenseite, welche an den zerissensten und zerbrochensten der Erde gezählt werden muß.

¹⁾ Anfangs habe ich eine Aufsenzone, eine Mittelzone (dem durch eine weitgehende Zertrümmerung und Zerstückelung ausgezeichneten Binnenmeere entsprechend) und eine Innenseite unterschieden. Diese Einteilung habe ich jedoch aufgegeben, weil sich die Mittelzone nicht durch den ganzen Bogen verfolgen läßt und weil dort, wo sie entwickelt ist, ihre Abgrenzung gegen die Innenseite (im früheren Sinne) zu verworren erscheint.

²⁾ In seiner ersten Publikation „Versuch einer tektonischen Gliederung etc.“ wendet Harada die Be-

Naumann.

Dort, wo im Scheitel des Gebirgsbogens die Kette dem Ozean entgegentritt, und wo der Anschluss des nach den Bonininseln hinunterziehenden Gebirges der sieben Inseln (Shichitō) erfolgt, sieht eine große Depression quer von einer Küste zur andern. Ich habe die Fossa magna genannt. Sie zeigt einen mächtigen Keil von Eruptivgesteinen an, der sich in das Gebirge hineindrückt und an dem sich die vordrückenden Faltenzüge an dichtgedrängten und wenigstens an der Südwestseite hoch aufsteigenden Massen gestaut haben. Diese Fossa ist nichts andres, als eine tief einrissende, blutende Wunde der Erdkruste, eine quere Zerspaltung des Inselbogens. Die Zerspaltung hat gerade dort stattgefunden, wo ein andres großes Gebirge, das ich mit dem Namen „Shichitōkette“ belegt habe, an den japanischen Bogen herantritt und mit ihm verwächst. Den Bewegungserscheinungen, die dieses Gebirge hervorriefen, die sein Wachstum bedingten, haben wir die Zerspaltung des japanischen Inselbogens zuzuschreiben.

In dem westlich von der medianen Kette gelegenen Inselstreifen von Nord-Japan liegen vier große Kessel mit je einem Vulkan. Der mediane Hauptstamm des Gebirges entsendet Äste nach Westen, welche aus alten Gesteinen aufgebaut sein müssen. Es kann keinem Zweifel unterliegen, daß die vier großen kesselförmigen Depressionen von Nord-Japan durch Einbrüche entstanden sind. Sie bilden die Analoga der Einbruchskessel, welche am Innenrande von Chugoku liegen.

Die Tenishio-Misakafalten schließen sich den Peripheriesprünge des Fudji-Einbruchskessels an. Eine Verbindung zwischen nord- und süd-japanischem Flügel ist nicht nachgewiesen²⁾.

Harada.

Ein zweites mächtig in die Bodengestaltung Japans eingreifendes tektonisches Moment ist die zu vulkanischen Erscheinungen außerordentlich reiche Fudji-Bruchzone. Sie kann als eine quere Zone von Bruchsystemen aufgefaßt werden, längs welcher die nördliche Scholle gegenüber der südlichen abgesunken ist¹⁾, und erstreckt sich über 25 Breitengrade bis zu den vulkanischen Marianen. In dem vom Fudji nördlich gelegenen Teile dieser Störungszone findet die Scharung des Sachalin- und des Siniechen Systems statt.

Es ergibt sich für die Innenseite des nord-japanischen Bogens eine rostförmige Anordnung der Oberflächenformen. Die mittlere Depressionszone bildet deshalb keine fortlaufend einheitliche Mulde, sondern verteilt sich vielmehr in eine Anzahl von kesselförmigen Senken. Die Vulkane, welche in so großer Anzahl und in so hohem Maße zur Charakteristik der Innenseite Nord-Japans beitragen, zeigen auf Honshiu eine Anordnung in drei Parallelsreihen²⁾.

Das Misakagebirge ist ein Ausläufer des Quantengebirges, das Tenishiogebirge eine Vorkette des Akaishigebirges; die von diesen beiden Gebirgen gebildete bogenförmige Linie wäre also nichts andres als ein Scharungsbogen der nord- und süd-japanischen Außenseite.

zeichnung „Zone“ auf die longitudinale Gliederung des Gebirges nicht an. Er spricht hier nur von einer Fudji- und einer Kirishimazone. Die Durchführung der mittlern kristallinen Zone durch das ganze Gebirge gelingt nicht, da der Gürtel an dem Nordflügel nicht mehr verfolgt werden kann. Auch aus diesem Grunde wäre also die vorgeschlagene Gliederung zu beanstanden.

¹⁾ Liegen denn für eine solche Absenkung der „nördlichen Scholle“ irgendwelche Beweise vor? Es wäre interessant, etwas von solchen Beweisen zu hören.

²⁾ Sämtliche Vulkanreihen der Karte sind durchaus unberechtigt. Es liegt nicht der mindeste Grund vor, die Vulkanreihen so aus der Fossa magna herauszuheben zu lassen, wie es Harada gethan hat. Die Vulkane der Innenseite des Nordens und des Südens sind eben, wie ich nachdrücklich betont habe, Wucherungen aus Einbruchskesseln. Die Kessel sind deutlich genug entwickelt, um in dieser Beziehung keinen Zweifel aufkommen zu lassen, und auch die Entwicklung der einzelnen Vulkane in den Kesseln ist deutlich genug. Harada scheint sich nicht, Verbindungen zwischen Ausbruchspunkten herzustellen, welche über 200 km auseinanderliegen! Das ist doch etwas zu kühn. Die hellroten, als Vulkanreihen bezeichneten dünnen Streifen der Karte sollen wohl Spalten bezeichnen? Wenn dem so ist, dann liegt ja das Teile der Haradaschen Fudji- zone, welcher meiner Fossa magna entspricht, eine Spalte zu Grunde. Also die Scharung würde erscheinlich sein durch eine Spalte. Hat es nicht den Anschein, als ob meine Darlegungen nicht richtig erfasst worden wären, und als ob gerade die Haradasche Karte einen unbewussten Anschluss an meine Auffassung bekundete? Die Verzweigung der Idzu-Shichitōspalte in der Gegend des Suwako- und Asamagahis mufs entschieden fallen, denn auch die von Harada redigierte II. Sektion der Übersichtskarte gestattet so und so viele andre Verbindungen der Eruptionszentren zu Spaltenwegen. Wie soll man sich übrigens das eigentlich gabelförmige Eingreifen der vulkanischen Spalten in das japanische Faltengebirge vorstellen und erklären? Mufs aus die dreizackige Gestalt des Spaltensystems fallen, und läßt man die Spalte der „Fudji- zone“ gegen das Japanische Meer hinauslaufen, so kommt die Haradasche Darstellung im wesentlichen ganz und gar auf das hinaus, was ich bezüglich der tektonischen Gliederung der japanischen Inseln schon bei so und so vielen Gelegenheiten vertreten habe. Betreffend der Einbruchskessel am Innenrande des ganzen Gebirges möchte ich noch darauf hinweisen, daß ich diese Kesselbildungen mit nur zwei Ausnahmen kenne. Ich habe sie durchschritten und von hohen Berggipfeln aus übersehen genossen. Schon aus diesem Grunde verdient wohl mein Urteil über die merkwürdigen Bildungen, das von Harada vollständig ignoriert wird, einige Beachtung. Soviel mir bekannt ist, kennt Harada die Kessel nicht aus eigener Anschauung, und ich mufs dies auch deshalb stark bezweifeln, weil eine so große Übereinstimmung der Haradaschen Karte mit der meinen doch schwerlich hervortreten könnte, wenn auch er überall da gewesen wäre, wo ich gewesen bin.

³⁾ Dieser Passus entspringt einem Vortrage, welchen ich in der Ostasiatischen Gesellschaft über den Pseudokreis des Fudji gehalten habe.

Naumann.

Wo sich longitudinale und transversale Spalten schneiden, muß die Vulkanität am größten sein.

Die Zerstückelung der Binnenmeerszone hat, wie die wahrscheinlich pliocänen Brecciendecken der Gegend von Shosuehima beweisen, in sehr junger Zeit stattgefunden. Das bruchstückweise Absinken kann als ein wesentliches Merkmal des mittleren der drei Streifen, in die sich das südliche Japan nach dem geologischen Bau gliedert, hingecommen werden¹⁾.

Harada.

Die intensive Vulkanität, wie sie sich um den Asama und Yakeyama kundgibt, hat wahrscheinlich ihre Ursache in dem Vorhandensein eines Spaltensystems, an welchem die nordjapanische Innenseite am Oufuße des Hidagebirges in die Tiefe gebrochen ist.

Nicht in der Fudjizone, sondern in dem dem Binnenmeers entsprechenden Streifen hätten wir es mit einem ausgezeichneten Typus der Grabensenkung an thun²⁾. Die sehr mächtigen, große Andeithölzer enthaltenden tertiären Brecciaschichten, welche auf Shotoahima und bei Yashima und am Gokensan auf Shikoku in ziemlich gleicher Höhe auf dem Granitsockel ruhend sich als Reste einer zusammenhängenden Tafel erwiesen, und die starke Benäffung der Tertiärschichten der Senkungszone durch dislocierende Bewegungen gegenüber der im allgemeinen ruhigen Lagerung der gleichalterigen Gebilde an der Nordseite von Shikoku sprechen für das jugendliche Alter der Grabensenkung des Setouchi³⁾.

Aus der vorgeführten Zusammenstellung ist ersichtlich, daß nicht gerade selten eine sehr weitgehende Übereinstimmung in unsern Darlegungen hervortritt. Im Falle derartiger Übereinstimmungen fehlt es jedoch an einer Bezugnahme auf meine vorgängigen Publikationen. Ich könnte die Zusammenstellung noch weiter führen, um auf derartige Verwandtschaften hinzuweisen. Doch soll es ja hier hauptsächlich auf die Präzision der Differenzen ankommen. Ich würde mich freuen, wenn es mir gelingen sein sollte, diesen Zweck zu erreichen, ganz besonders eine kritische Betrachtung der sogenannten „Fujizone“ in den Kreisen meiner frühern Mitarbeiter und in japanischen Kreisen überhaupt anzuzeigen. Unsre Bestrebungen haben ja ein und dasselbe Ziel vor Augen: die Wahrheit.

Versuchen wir es jetzt, die Grenzen der Fossa magna zunächst lediglich nach geologischen Gesichtspunkten näher zu bestimmen. Von Shizuoka zieht eine gangartige Eruptivmauer nach Norden bis zum Anfang der Misaka-Stufe. Die Westgrenze des Ganges sowohl wie die Westgrenze des grünen Streifens der geologischen Übersichtskarte der II. Sektion bezeichnet auch die Westgrenze der Fossa. Auch der Komagatake-Granitstock würde als Eruptivgebilde noch zur Fossa zu rechnen sein. Nun biegt die Richtung der Randlinie nach Nordwesten um und folgt dem Miyagawa bis zum Suwako. Die hier angehäuften vulkanischen Eruptionsprodukte gehören soweit zur Fossa, als sie nach Süden ausgreifen. Weiterhin hätten wir die ganze Ebene von Matsumoto als ein Glied der Hohl-gasse zu bezeichnen. Ein erneutes Umbiegen, diesmal aus Nordwest nach Nord, ist schon durch die westliche Umrandung genannter Ebene angedeutet. Der Fuß des Hidagebirges bis zur Himegawamündung läßt dann den plötzlichen Abbruch des Südfußes bis zum Japanischen Meer auf das deutlichste erkennen. Wenn man die beschriebene Linie auf den Karten verfolgt, so wird man erkennen, daß ihr Verlauf ein keineswegs regelmäßiger ist. Sie läßt nämlich vorerst ein zweimaliges, wenn auch flaches Umbiegen hervortreten, und dann beschreibt sie im Detail ziemlich komplizierte Ausbuchtungen. Nichtsdestoweniger prägt sich orographisch eine Reihe von Tiefenlinien aus, welche den allgemeinen Verlauf der Grenzlinie auf dieser Seite recht deutlich machen. Es sind dies die Tiefenlinien des Fujikawa, des Miyagawa und des Himegawa. Auch der plötzliche Abbruch der großen Faltenzüge, welche aus West und Süd heranziehen, markiert sich sehr deutlich längs einer

¹⁾ Ich habe, wie schon oben bemerkt, nie behauptet, daß in der Fossa magna eine Grabensenkung vorliege, sondern habe die quers Depression der Zersprengung einfach mit dem Namen Fossa magna belegt.

²⁾ Ich beanstande die Bezeichnung des Setouchi als Grabensenkung. Eine Grabensenkung ist ein zwischen zwei Parallellinien hinziehendes, gesenktes, streifenförmiges Stück der Erkruste. Der Setouchistreifen ist dagegen eine Trümmerzone, in der die Zerstörung längs einer Mittellinie am stärksten hervorstrahlt scheint. Die Begrenzung dieser Trümmerzone nach außen ist scharf, geradlinig, während sie nach innen ganz unregelmäßig erscheint.

Parallelen zu den bezeichneten Tiefenlinien. Die Fossa magna läßt sich überhaupt geologisch und topographisch abgrenzen. Der letztere Weg ergibt ein einfacheres Resultat und ist, da die Einteilung eines Gebirges nie eine rein geologische, sondern immer eine geographisch-geologische sein sollte, vorzuziehen. Ich befinde mich mit Harada vollkommen in Einklang, wenn er die Fossa als eine große, an Einbrüchen und vulkanischen Ausbrüchen reiche Störungsregion (den Ausdruck „Zone“ vermeide ich absichtlich) ansieht. Mit der Zerspaltung, wie ich sie von Anfang an vertreten habe, sind eben Eruptionen und Einbrüche notwendig verbunden gewesen. Solche Phänomene sind für die Fossa in eminenter Weise charakteristisch, und wo ihre Spuren an den Rändern auftreten, da liefern diese, falls es sich immer noch um die geologische Abgrenzung handelt, den erwünschten Anhalt. Streng genommen würde freilich zu berücksichtigen sein, daß die vulkanischen Ergüsse von den Spaltenwegen aus seitlich übergeflossen sind. Die Überfließungen müßten noch zur Spalte, also zur Fossa gerechnet werden; die eigentliche Grenze der Fossa aber wäre streng genommen die Außenkluft der Spalte.

Schwieriger als auf der Westseite liegen die Verhältnisse im Osten. Hier begegnen wir zunächst neben dem Fudji einem von Misaka-Ablagerungen konzentrisch umrandeten Stock von Dioriten. Der grüne Hof wird wieder von einem Kreis vulkanischer Tuffe umschlossen. Im Norden bezeichnet dann der Katsuragawa die ungefähre Grenze gegen die Ablagerungen des Berglandes von Quantō. Durch den bogenförmigen Abbruch der älteren Schichten des Kobotoke gegen die jugendlichen Tuffe und die kreisförmige Umrandung des Dioritkerns ist es augenscheinlich, daß wir hier einen Kesselbruch vor uns haben. Solcher Kesselbrüche sind in der Nachbarschaft noch mehrere vorhanden. Ihre Ränder bezeichnen die Grenzen der Fossa gegen das Bergland von Quantō. Auf diese Weise entstehen große Ausbuchtungen. Eine schmale Halbinsel schiebt das Bergland von Quantō zwischen der Jazugatakekette und dem Kokuchi-Kimpustock aus Nordost in die Fossa herein. Nicht weniger merkwürdig als dieser zungenförmige Vorsprung des Nordflügels, welcher eine sehr enge Zusammenschnürung der Fossa bedingt, erscheint jene von Dioriten an der östlichen Umrandung des Kofubeckens umklammerte Ruine alter Grauwacken und Schieferberge. Alle derartige in hohem Grade auffälligen Erscheinungen bekunden indessen nur die sehr komplizierte Gestaltung der Spaltenwege. Es wird einleuchten, daß die Zerspaltung des Inselbogens, des ganzen breiten Gebirges nicht in sehr regelmäßiger Weise vor sich gehen konnte, daß die Hauptspalte sekundäre Risse im Gefolge haben mußte, und daß das Auftauchen einer übrigen etwas seitwärts gerückten Ruine des alten Gebirges in der Fossa nicht dazu angethan ist, die hier vertretene Ansicht, die transversale Terrainsenke, welche im Scheitel des Japanischen Bogens auftritt, müsse als eine sehr alte, durch die Bewegung des Shichitogebirges erzeugte Auseinanderreißung betrachtet werden, zu nichts zu machen.

Nordwestlich von der Einschnürung wächst über der Mittellinie der Fossa eine sehr regelmäßig gebildete Kette hoher vulkanischer Gipfel auf. Es sind dies die Gipfel vom Yatsugatake bis zum Tateshina. Die Kammlinie der hochwichtigen jungen Eruptivaufbürmung fällt genau mit der Mittellinie der Fossa zusammen, und es erscheint überhaupt beachtenswert, daß fast überall dort, wo derartige langgestreckte Ergüsse vulkanischen Materials vorliegen, ihre Achse mit der Fossa magna-Achse zusammenfällt. Die Ostgrenze wird in diesem Teile durch den Oberlauf des Chikumagawa gebildet, und auch weiterhin dürfen wir diesen Fluß bis in die Gegend von Asano als Grenzfluß hinnehmen. Von Asano führt jetzt eine Eisenbahn nach Takata zur Mündung des Sekigawa. Der Paß, den sie in der Nähe des Nojiriko überschreitet, ist nur ca 730 m hoch. Wir betrachten diese Linie als weitere Grenzscheide der Fossa. Westlich von ihr liegt noch der große Stock vulkanischer Hochgipfel des Takatsuma, Yakeyama, Akakura &c.

Die eigentliche Bildung, mit der wir es hier zu thun haben, ließe sich nach v. Richt-

hofen¹⁾ als Tiefmuldensenke bezeichnen. Was ihre orographische Eigentümlichkeiten betrifft, so fällt zunächst die schmale, gestreckte Form und die Begrenzung durch Steilränder des normalen Gebirges ins Auge. Allerdings könnte dem entgegengehalten werden, daß der Abbruch auf der Ostseite kein so hochansteigender ist wie im Westen, aber mögen hier die Erhebungen des alten Berglandes von Quanto auch um etwa 1000 m niedriger sein als im Akaishi-Sphenoid, die Massen müssen noch immer sehr bedeutend erscheinen. Auch ist hier ein plötzliches Absinken gegen die Tiefe der Mulde zu konstatieren. Die lange Erstreckung bei geringem Durchmesser (Länge über 200 km, Breite im mittlern Teile, wo die Yatsugatakekette aufsteigt, ca 26 km) und die wenigstens auf lange Strecken hin steilen Wände lassen die Senke im großen und ganzen grabenförmig erscheinen. Daher die Bezeichnung Fossa magna.

Geologisch charakterisiert sich die Fossa magna zunächst als eine Lücke des zonalen Faltengebirges. Eine mitten hindurchziehende Kette großer Vulkanberge mit sehr dicht geschlossener Aneinanderreihung an einigen Stellen verrät einen großen Spaltenweg im Schoße der Lücke. Durch die vulkanischen Überflutungen und Aufschüttungen wird übrigens die Gestalt der Senke in sehr wesentlicher Weise modifiziert. Wir müssen vor allem die Vulkanberge eliminieren, wenn wir uns eine rechte Vorstellung von der Form der Fossa machen wollen. Es ist augenscheinlich, daß die Mulde bei Weglassung der Vulkane viel tiefer ausfällt. Auch die Auskleidung mit jugendlichen Sedimenten, welche z. B. im obern Abschnitt zwischen Matsumoto und Nagano auftritt, haben wir uns wegdenken. Große kesselförmige Einbrüche mit gewaltigen Eruptivmassen machen sich auf der Seite des Pazifischen Ozeans geltend. Diese Erscheinungen sind als sekundäre aufzufassen und haben gleichfalls beträchtliche Modifikationen in der Gestaltung herbeigeführt.

4. Zur Gebirgsbildung.

Der lange bogenförmige Zug großer Inseln, welcher von Kiushiu aus über Sachalin bis hinauf zur Amurmündung führt, ist nichts anderes als der über das Meer emporragende Teil eines großartigen Kettengebirges, eines der größten der Erde. Dieses Gebirge erscheint ebenso großartig wie der Himalaya und steht sowohl seinen Bildungsgesetzen wie auch seiner Struktur nach zum vorliegenden Gebiete des Großen Ozeans in ganz derselben Beziehung wie das größte Gebirge des asiatischen Festlands zur vorderindischen Halbinsel. Während der Himalaya ein Gebiet von 500000 qkm einnimmt, beläuft sich das von den Inseln des japanischen Bogens beanspruchte Areal auf 432000 qkm. Doch gilt ja die letzte Ziffer nur für die oberste Schicht des Gebirges. Würden wir auch den Sockel dazu nehmen, so käme eine Zahl heraus, die das Areal des Himalaya weit überträfe. Die Alpen bedecken ein Gebiet von ca 220000 qkm. Auch der Längenerstreckung nach steht das Japanische Gebirge — der äußere Saum von Kiushiu bis hinauf zum Kap Elisabeth mißt nicht weniger als 3200 km — dem Ural und dem Tianschan weit voran. Der äußere Saum der Alpen mißt nur 1300 km. Was schließlich die vertikale Erhebung betrifft, so gewinnen wir einen Maßstab durch die Niveaudifferenz zwischen dem tiefsten Abgrunde des Tuskarorobeckens östlich von den Kurilen (8500 m) und der Meereshöhe des höchsten Gipfels im japanischen Archipel, des Fujisan. Diese Niveaudifferenz beträgt nicht weniger als 12280 m, während sich die größte Niveaunverschiedenheit der Erde überhaupt auf 17340 m beläuft (den höchsten Berg der Erde, den Gaurisankar, zu 8840 m angenommen) und der Betrag der Abplattung auf 21318 m zu veranschlagen ist.

Das Japanische Gebirge gehört zu der von v. Richthofen unterschiedenen Klasse der heteromorphen Faltungengebirge. Es zeigt nach den Gesetzen seiner Struktur unverkennbare

¹⁾ Führer für Forschungsreisende, S. 638.

Verwandtschaft mit dem Himalaya, dem Ural, den Alpen und andern großen bogenförmigen Kammgebirgszügen der Erde. Auf der vordern, äußern oder konvexen Seite liegt eine verfestigte Zone stark gefalteter Sedimente, auf der innern, konkaven oder Rückseite dagegen eine Zone von Trümmern, Ruinen, Schollen, langhinziehenden Spaltenergüssen, Einbruchkesseln und Vulkanen. Nun ist aber der Rückseite das Merkmal der Faltung nicht nur nicht fremd, es treten vielmehr auch hier Stauungen und Quetschungen der Schichten auf, welche kaum weniger intensiv genannt werden können, als die der Aufsenszone. Die Falten der Innenzone sind sogar vielfach nach außen überstürzt, eine Erscheinung, die im Südfügel auf das deutlichste wahrgenommen werden kann. Außerdem beschränkt sich die Faltung auf der Innenseite keineswegs auf die ältern Sedimente; sie hat selbst die jüngsten Ablagerungen ergriffen.

Auf der Westseite der Fossa magna sind die Falten deutlich geschleppt; dagegen tritt auf ihrer Ostseite im Bergland von Kuantō ein so vollkommener Parallelismus mit der Querspalte hervor, daß man hier eine Pressung von der Fossa aus anzunehmen einige Berechtigung haben dürfte. Im Bergland von Kuantō findet jedenfalls nicht das entschiedene Umbiegen in die normale Richtung des Nordfügels statt, wie im Akaishi-Sphenoid die Umbiegung in die Südwestrichtung stattfindet. Die nordwestliche Richtung der Falten im Bergland von Kuantō dürfte also nur zum Teil auf Schleppung zurückzuführen sein. Auffallend sind übrigens die queren Streichrichtungen, welche sich im Nordfügel bis weit hinauf bemerkbar machen. Die großen Eruptivmassen, welche sich in der Gegend des Azuma, Shirane &c. angehäuft finden, erklären sich durch die Kreuzung der Longitudinalspalte und der Querspalte, welche gerade dieser Gegend zukommt.

Was nun die Verteilung der tektonischen Vorgänge auf die einzelnen Zeitalter betrifft, so dürfen wir zunächst daran festhalten, daß schon vor Ablagerung der paläozoischen Schichten intensive Faltungen erfolgt sein müssen. Die kristallinen Schiefer des Berglandes von Kuantō zeigen andre Lagerungsverhältnisse als die benachbarten Gehilde der paläozoischen Ära. Schon für die ältere Zeit besteht ein ähnliches Verhältnis. Die Gneise scheinen nämlich vor Bildung der kristallinen Schiefer Pressungen erlitten zu haben. Dann muß ich wiederholt auf die abweichende Stellung der Schichten im südlichen Teile des Kuantōberglandes aufmerksam machen. Nach diesen Verhältnissen zu schließen, dürften auch in der paläozoischen Zeit Faltungen erfolgt sein. Die ganze Inselkette war jedenfalls schon gegen Schluß der paläozoischen oder zu Beginn der mesozoischen Ära fertig gebildet, ragte sogar zum großen Teil über das Meer empor, wie die Seichtmeerbildungen der Trias-, Jura- und Kreidezeit beweisen. Die Longitudinalspalte ist unzweifelhaft sehr alt. Sie muß sich schon vor Entstehung der kristallinen Schiefer gebildet haben und war wahrscheinlich der erste und Hauptanlaß zum Emporwachsen des ganzen Gebirges.

Die Haupteruptionen sind ziemlich spät erfolgt. Ich habe schon früher angegeben, daß bei weitem die Hauptmasse der an der Oberfläche hervortretenden Granitgesteine, welche nächst den Sedimentärmassen den wichtigsten Anteil am Aufbau der japanischen Gebirge nehmen, erst mit Schluß der paläozoischen Ära oder mit Beginn der mesozoischen aufgetreten sei. Seitdem ich zu diesem Resultate gedrängt wurde, ist die Kenntnis der mesozoischen Ablagerungen des japanischen Inselkranzes weitergediehen. Nach Harada kam weitaus die größere Hälfte der vortertiären massigen Gesteine erst gegen Ende der mesozoischen Ära zum Ausbruch. Es soll nun auch noch kein Eruptivgestein von triadischem oder jurassischem Alter bekannt sein. Wir dürfen hieraus keineswegs den Schluß auf ein jugendliches Alter der Longitudinalspalte wagen, denn die jüngern Eruptivgebilde halten sich ja immer wieder an alte Spalten, die jüngern Ergüsse decken die ältern in der Regel zu.

Es möge mir zum Schluß gestattet sein, einer Theorie Raum zu geben, welche ich

aus den Verhältnissen des Japanischen Bogens hergeleitet habe, und welche wenigstens den Vorteil hat, sehr wichtige Gesetze zu erklären. Ich glaube für die Urzeit eine das Annäherungsellipsoid in den Regionen des jetzigen asiatischen Kontinents überragende Kalotte annehmen zu müssen. Ural, Himalaya und japanischen Bogen halte ich für Randbildungen dieser im Laufe der Zeitalter größtenteils in sich zusammengebrochenen Schwellung des Erdkörpers. Eine kreisförmige, schmale Geosynklinale würde die erste Anlage zur Bildung der Gebirgsbogen vorstellen. Die mit der Tiefe wachsende Streckung der unter dieser Rinne gelegenen Krustenteile löst sich in der Bildung einer Spalte aus. Der Gewölbedruck der Kalotte bedingt das Überquellen der auf der Innenseite der Spalte gelegenen Massen, das Gebirge wächst empor. Auf beiden Seiten der Spalte, innen und außen, erfolgt Faltung. Die Massen quellen nach außen über, während die nach innen gelegenen Streifen einsinken. Die Ergüsse erfolgen nach der Innenseite und können hier auch durch sekundäre Spalten einen Ausweg finden. Auf diese Weise erklärt sich vielleicht am besten der Gegensatz zwischen der verdichteten, befestigten Außenzone und der durch lang hinziehende Ejektionen, durch hohe Vulkanität und durch das Einsinken streifenförmiger Bestandteile charakterisierten Innenzone.

III.

Skizze der Orographie von Japan.

Schon ein flüchtiger Blick auf die dieser Abhandlung beigegebene oroplastische Karte läßt erkennen, daß sich im Scheitel des großen Gebirgsbogens, der sich durch Aneinanderreihung der Inseln Kiushiu, Shikoku, Honshiu, Hokkaido und Sachalin verrät, die Gebirgsmassen am dichtesten zusammengedrängen und daß hier die quer zu den Bogen gestellten Richtungen vorherrschen, während seitlich von dieser Region der Verdichtung die Massen sich auflösen, abschwellen und in ihrer Anordnung an die Längserstreckung des Gebirges gebunden erscheinen. Wir können dieses allem Anschein nach sehr verwickelte Bild nicht verstehen, ohne die Gesetze des geologischen Aufbaues zu Rate zu ziehen. Viel einfacher, viel regelmäßiger würde uns die Anordnung der Terrainformen entgegenreten, wenn wir im Stande wären, eine Entblößung des ganzen Gebirges von vulkanischen Aufschüttungen, Überflutungen und Spaltenergüssen vorzunehmen. Vulkanische Kegel, Dome, Kuppengebirge und Ketten tragen in sehr hohem Maße dazu bei, die Gestalt der Oberfläche zu komplizieren, obwohl es gerade diese Komplikationen sind, durch welche der japanischen Gebirgsplastik ein ganz eigenartiger Reiz verliehen wird. Das Eingreifen der vulkanischen Bildungen bedingt einen äußerst anziehenden Wechsel des Formencharakters. Den Ruf landschaftlicher Schönheit würde die japanische Inselkette in weitaus geringerem Maße verdienen, wenn sie der stolzen Vulkanriesen mit ihren rauchenden Schornsteinen, der großartigen, grazios geformten Kegel, der sägeförmig gezackten Felsmauern entbehren müßte. Es ist wahr, daß unsere Alpen in ihren silberblinkenden Gletscherströmen einen Reiz besitzen, der dem Japanischen Gebirge abgeht; aber dafür entschädigt das letztere sowohl durch die Uppigkeit der Vegetation und die Meerumschließung wie auch durch die Vulkanatur weitausgedehnter Gebirgsteile. Die vulkanischen Erhebungen zeigen übrigens, mit Ausnahme der Aufschüttungskegel, ziemlich viel Waldbestand. Zuweilen — nicht in der Regel — kommt bei den Vulkanen eine gürtelförmige, scharf abgegrenzte Gliederung der Vegetationsgebiete vor. Einen solchen Fall vermochte ich am Nordabhang des Chokai nachzuweisen, wo ein prächtiger Wald von Buchen um den Berg herumzieht¹⁾.

¹⁾ Dieser Wald ist von kolossaler Ausdehnung, der größte gleichmäßig zusammengeordnete Wald, den ich in Japan gesehen habe. Sonst ist ja, wenigstens bei den Laubböschungswäldern, die Mischung sehr zahlreicher Arten charakteristisch. Bei sehr gleichmäßigem Bestande dehnt sich der Waldgürtel des Chokai auf 9 km in querrer Richtung aus. Eine sehr große Anzahl der Stämme ist förmlich überwuchert mit auf- die apfelgroßen, gallertigen Aneiwüchsen. Unterhalb des Waldes folgt Hora. Ich möchte hier bezüglich der japanischen Vegetationszonen auf einige hochinteressante Arbeiten aufmerksam machen, welche neuerdings erschienen sind: Tenaka, Dai Nippon Shokubutsu Tai Chesu Hokoku, Bericht hieüber von Yokoyama in Petermanns Mitteilungen 1887, und Pesca, Beiträge zur Kenntnis der japanischen Landwirtschaft, Berlin 1890; vgl. auch Rein, Japan, Bd. I, S. 153 und Band II, S. 262.

Tanaka unterscheidet folgende Zonen:

1. Zone der *Picea Wightiana* Wall.
2. „ „ *Pinus Thunbergii* Pabst.
3. „ „ *Fagus sylvatica* Linné.
4. „ „ *Abies Veitchii* Henk und Höchst.
5. „ „ *Pinus Cembra* Linné.

Es ist aus interessant, zu sehen, wie sich die verschiedenen Pflanzengürtel nach Süden zu immer höher ansteigend um das ganze Gebirge herumziehen, so daß sich das Verhältnis zum Gebirge durch eine Reihe übereinandergeordneter Schichten darstellen ließe, welche die Oberfläche schneiden. Die Durchschnittslinien der flach nach Norden einfallenden Schichtenflächen mit dem Gebirge würden nichts andres zu bedeuten haben als die Grenzen der Vegetationszonen.

Den wichtigsten Anteil am Aufbau des Japanischen Gebirges nehmen kristallinische Schiefer und Sedimente der paläozoischen Ära. Das Auftreten ihrer zu mächtigen Falten gestauten Schichten bedingt einen eigentümlichen Oberflächentypus, den ich schon früher durch die Bezeichnung „Altes Bergland“ zu kennzeichnen versucht habe. Die Thäler sind meist quer oder ganz unregelmäßig gestellt, nur in vereinzelten Fällen treten Längsthäler auf. Die Einschnitte des Wassers beteiligen sich also nur in sehr untergeordneter Weise an der Gliederung. Die Rücken sind eng zusammengedrängt und lassen nur Platz für finstere, felsige Schluchten, durch welche das Wasser auf mäandrisch gewundenen Wegen den Abfluß zur Küste sucht. Es kommt nicht zur Bildung scharfer Kämme; auch Gipfel, die das Durchschnittsniveau der Pässe hoch überragten, kommen nicht vor, und die höchsten Emporragungen sind nicht viel in ihrer Erhebung über das Meer verschieden, sobald sie benachbart liegen. Ein dichtes Waldkleid überzieht in der Regel die breiten Rücken und sucht auch an den steilen Thalwänden Halt. Das Alte Bergland bietet der Vegetation einen sehr günstigen Boden. Es kommt hie und da zur Bildung sehr stattlicher Mischwälder. Ausnahmeweise traten auch Waldungen auf, welche sich aus Bäumen nur einer Art zusammensetzen, wie auf der Halbinsel Kii, nicht weit vom Koyasan, wo die stolze Maki (*Potocarpus macrophylla*), ein sonst seltener Baum, über weite Erstreckung hin herrscht.

Die echten Querthäler des Alten Berglandes sind wildromantisch, so das Thal des Miyakogawa im Norden (Provinz Rikuchiu), die Quellverzweigungen des Aragawa (Kuantō), das Thal des Kumanogawa auf Kii, der Querdurchbruch des Yoshinogawa auf Shikoku und des Motogawa auf derselben Insel. Wer an den Naturschönheiten des Landes seine Freude haben will, der muß diese Schluchten mit ihren brausenden Wassern, smaragdglänzenden Felsgrotten, mit ihren im Frühling blütenreichen, im Herbst bunten Waldflecken, mit ihren an die Thalengen angekitteten oder sich in den Weitungen ausbreitenden Dorfanlagen durchwandern.

Das Alte Bergland ist für die Aufsenszone charakteristisch. Treten die Sedimentmassen der vorpaläozoischen Ära auch in andern Teilen des Inselgebiets in nicht unwesentlicher Entwicklung auf, so zeigt sich hier doch der Oberflächentypus, der ihnen ureigentlich ist, durch das Eingreifen andrer Gebilde gestört und modifiziert. Die kristallinischen Schiefer, welche in andern Gebirgen die hochragenden Gipfel bilden, sind in Japan, wo sie dieselbe Stellung einnehmen, wo sie wie anderwärts ein Zentralmassiv bilden, an verhältnismäßig tiefe Niveaus gebunden. Sie steigen jedenfalls im allgemeinen nicht zu so gewaltigen Höhen auf, wie die in enger Nachbarschaft emporragenden paläozoischen Massen (Akaishiphenoid, Kii, Shikoku).

Nächst dem Alten Bergland ist das Granitgebiet in sehr großer Ausdehnung entwickelt. Die Granite, welche zum großen Teile von sehr jugendlichem (jungmesozoischem) Alter sind, bilden vielfach, wie z. B. innerhalb des Nordflügels der Hauptinsel, stolze Berghäupter. Durch zackige Formen sind die Gipfel der granitischen Eruptivmassen ausgezeichnet; doch findet man nicht selten breite, plumpe Rücken. Zuweilen bildet der Granit auch langausgedehnte, manchmal sehr breite Züge, wie z. B. auf Chiugoku. Während die Granitberge des Nordens selbst da, wo sie die charakteristische Neigung zur Felsbildung bekunden, einer Pflanzendecke Stütze bieten, sind die niedrigeren Granitschwellen der Inlandsee im Gebiet von Chiugoku und südlich vom Biwa-See in einen Mantel von Zersetzungsgrus gehüllt, so daß man vielfach den Eindruck bleicher, großer Sandwalle erhält. Diese entwaldeten Granitregionen bieten das Bild unauffaltamer Zerstörung.

Außer den vulkanischen Gesteinen, alten Schiefen (einschließlich der Grauwacken, Hornsteine &c.) und Graniten wären noch die vulkanischen Tuffe als Bildungen zu nennen, welche ihrer weiten Verbreitung zufolge für die Beurteilung der Oberflächenverhältnisse sehr wichtig erscheinen müssen. Sie decken im Nordflügel der Hauptinsel die ältern Bildungen auf weite Strecken hin zu und erreichen merkwürdigerweise Niveaus von sehr be-

trüchtlicher Meereserhebung. Sie bilden breite Hügelgruppen und ziehen über Pässe weg, welche nahezu 1000 m Höhe erreichen. Die vulkanischen Tuffe bilden Tafeln oder sanft gerundete Rücken. Sie sind vielfach sehr unfruchtbar und tragen besonders im äußersten Norden der Hauptinsel nur lockere Bestände. Die tertiären Vorkommnisse können, so lange es sich nur um Beurteilung der Oberflächengestaltung handelt, mit den vulkanischen Tuffen in eine Kategorie gestellt werden. Ihres lokalen Vorkommens wegen und auch deshalb, weil sie sich ausschließlich an niedrigere Niveaus halten, sind sie von geringerer Bedeutung.

Um einen ungefähren Begriff von den Höhenverhältnissen der vornehmsten Gipfel zu geben, habe ich in folgender Tabelle eine Reihe von Berghöhen unter Angabe der geologischen Natur zusammengestellt.

Namen der Gipfel.	Geologische Beschaffenheit.	Kori (Bezirk).	Kuni (Provinz).	Höhe in m.
Fujinoyama.	Vulkan.	Suntogori.	Suruga.	3780
Shiranesan.	Paläozoisch.	Komagori.	Kai.	3094
Akaishiyama.	"	Inagori.	Shinano.	3093
Komagatske.	Granit.	Komagori.	Kai.	3001
Ontake.	Vulkau.	Chikumagori.	Shinano.	2993
Norikuradake.	"	{ Chikumagori.	Shinano. }	2992
Rengeyama.	"	{ Masudagori.	Hida. }	2990
Yatsugadake.	"	Asumigori.	Shinano.	2990
Tateyama.	Diorit.	Komagori.	Kai.	2932
Jizōdake.	Granit u. Paläozoisch.	Niikawagori.	Echin.	2848
Hakusan.	Vulkan.	Komagori.	Kai.	2796
Kimpusan.	Granit.	Nomigori.	Kaga.	2687
Tateshinayama.	Vulkan.	Komagori.	Kai.	2551
Iwasagesan.	"	Sakugori.	Shinano.	2530
Asamayama.	"	Takaigori.	"	2515
Mjokōzan.	"	Sakugori.	"	2480
Nantaisan.	"	Kubikigori.	Echigo.	2464
Yakeyama.	"	Tsugagori.	Shimozuke.	2453
Komagatake.	Paläozoisch.	Kubikigori.	Echigo.	2410
Arumayama.	Vulkan.	{ Inagori.	Shinano }	2366
Ishikuchisan.	" ?	{ Chikumagori.	" }	2357
Akanagisan.	"	Takaigori.	"	2355
Shiranesan.	"	{ Sufugori.	Iyo. }	2355
Shiranesan.	"	{ Tosagori.	Tosa. }	2290
Shiranesan.	"	Tsugagori.	Shimozuke.	2286
Tsurugiyama.	Paläozoisch.	"	"	2253
Enasau.	Granit.	{ Takaigori.	Shinano. }	2241
Kodake.	—	{ Agatenmagori.	Koruke. }	2240
Chiokaisan.	Vulkan.	{ Makagori.	Awa.	2201
Naebasan.	Granit.	{ Mimagori.	Mino.	2156
Otsukiyama.	Granit.	Euagori.	Ugo. }	2155
Kuroyeboidake.	Paläozoisch.	Takigori.	Uzen. }	2155
Ishifusayama.	"	{ Jurigori.	Echigo.	2148
Iidesan.	Granit.	{ Akumigori.	"	2139
Kurohimeyama.	Vulkan.	Uwonmagori.	"	2136
Bakushidake.	Granit.	{ Haibaragori }	Totomi.	2095
Hotakasan.	Vulkan.	{ Suehigori. }	Greuze }	2081
Komagatake.	Granit.	{ Kumagori. }	Higa. }	2074
Ganjuan.	Vulkan.	{ Morakatagori.	Echigo.	2064
Kurodake.	"	"	Rikuchin.	2050
Kumotoriyama.	Paläozoisch.	"	Bugo.	2036
Hayachinesan.	"	{ Naka Heigori }	Musashi.	2001
Komanagozan.	Vulkan.	{ Nishi Heigori }	Rikuchin.	2000
Kasudake.	"	Tsugagori.	Shimozuke.	2000
Gdassan.	"	Takaigori.	Shinano.	1990
	"	{ Tsawagori. }	Uzen.	1990
	"	{ Muryamagori. }		

Was die Küstengliederung der vier großen Inseln betrifft, so tritt zwischen der kontinentalen und der ozeanischen Seite des ganzen Bogens ein sehr augenfälliger Gegensatz hervor. Die letztere zeigt nämlich viel zahlreichere Buchten und Vorgebirge. Sie ist viel reicher gegliedert. Harada¹⁾ führt, um diese Gegensätze zu charakterisieren, die Zahlen der Ino'schen Küstenaufnahme an, welche zu Anfang dieses Jahrhunderts ausgeführt worden ist. Nach diesen Aufnahmen beträgt die Küstenlänge auf der ozeanischen Seite 3507 japanische Ri, auf der kontinentalen nur 1155 (1 japan. Ri = 3,2907 km). Es wäre also die Gliederung auf der pazifischen Seite mehr als doppelt so groß wie auf der Seite des Japanischen Meeres. Die Zahlen sind indessen keineswegs zutreffend, da die Umrandung des Binnenmeeres, der sogenannten Inland-Sea, in das ganze Gebirge hineinfällt und keineswegs bei Beurteilung der Umgrenzung desselben durch das Meer in Betracht kommen kann. Wir haben streng zu unterscheiden zwischen Innenrand und Außenrand des Bogens. Die Trümmerzone der Inland-Sea liegt im Schoße der Kordillere. Ebensonig wie die südliche Küstenlinie von Chiugoku und die nördliche Küstenlinie von Shikoku bei einer Berechnung, wie die vorgeführte, in Betracht gezogen werden sollte, kann die Gesamtumschließung von Kiushiu zu der ozeanischen Seite gerechnet werden.

In dem Umriss der Insel Shikoku sowohl wie der Halbinsel Kii gibt sich das Durchgreifen des Zentralmassivs zu erkennen. Der quere Abbruch streichender Bergrücken gegen das Meer führt in der Bungostraße und am Ostflügel von Kii zur Bildung von Riasküsten. Der Südflügel des Bogens zeigt auf der Außenseite große bogenförmige Ausschnitte, die auf ausgedehnte Senkungsfelder hinweisen. Solche Ausschnitte fehlen im Nordflügel. Vielleicht weist dieser Gegensatz darauf hin, daß im Gebiete des Riukiubogens (zwischen den Riukiu und Shichito) Auseinanderzerrungen stattgefunden haben, als Folge der Bewegungen in der Shichitokette. Das Durchgreifen der Zonen gibt sich in der Form von Yezo (Hokkaido) ebensowohl zu erkennen wie in der Gestaltung der Insel Kiushiu²⁾.

Fassen wir nun, um den Zuschnitt des Gebirges beurteilen zu können, die Hohlformen des Terrains ins Auge, so ist zunächst auf die Trümmerzone des Setouchi, des Binnenmeeres, aufmerksam zu machen. Dieselbe hat die Form einer flachen, mit zahlreichen, außerordentlich unregelmäßig begrenzten, stellenweise sehr dicht gedrängt stehenden Erhebungen besetzten Mulde. Die seitliche Begrenzung dieser Depression, welche sich von Shimonoseki bis Amagasaki und darüber hinaus auf 400 km Länge verfolgen läßt, ist sehr unregelmäßig.

Bei Elimination der Vulkane fällt eine zweite große Hohlform auf, nämlich die quer-gestellte über 200 km lange Depression der Fossa magna. Sie ist mit großen Vulkanbergen besetzt, läßt aber noch jetzt eine quer über den ganzen Inselbogen ziehende, durch Thalwege markierte Tiefenlinie erkennen. Meeresdurchbrechungen liegen in der Straße von Bungo und in der Straße von Shimonoseki vor, während eine weitere quergestellte Depression vom Yodogawa durch den Biwasee über den Todogutsetoge nach Tsuruga zieht.

Das Japanische Gebirge hat sehr schöne Längthalbildungen aufzuweisen. Hohlformen dieser Art beobachten wir in großer Regelmäßigkeit am Innenrande des Zentralmassivs. Sie bezeichnen vielfach die Grenze zwischen Außen- und Innenzone. Von Nord nach Süd haben wir folgende Längsthäler zu nennen: Mabechigawa, Kitakamigawa, Abukumagawa, Tenriugawa³⁾ zum Teil, Kushidagawa und Miyagawa, Kiiogawa, Yoshinogawa⁴⁾. Außer den

¹⁾ Die japanischen Inseln, S. 5.

²⁾ Eine ausführliche Beschreibung der Küstengestaltung findet sich in der angeführten Schrift Haradas, S. 1—25.

³⁾ Der Tenriugawa durchbricht im unteren Teile seines Laufes das Gebirge in querrer Richtung.

⁴⁾ Der Yoshinogawa besteht aus drei Abteilungen. Der Unterlauf sieht in der Provinz Awa auf der Innengrenze des Zentralmassivs zwischen kristallinen Schiefer und einem mesozoischen Rücken hin, im Mittellaufe bildet er einen engen Querdurchbruch durch den Streifen der kristallinen Schiefer und wird dann wieder an der Außenseite des Zentralmassivs zwischen kristallinen Schiefer und paläozoischem Gebiet zum Längthal.

Genannten sind noch Kisogawa zum Teil, Aritagawa und Itakagawa (auf Kii), Nakagawa (Shikok, Awa) als untergeordnete Längthalbildungen zu bezeichnen. Das Gebirge ist im übrigen reich an Querthälern. Eigentümlich sind die mehr oder weniger knieförmigen Flußläufe im Norden von Honshiu, welche, im allgemeinen einer nordwestlichen Richtung folgend, dem Winkel einer westwärts gerichteten Abzweigung von der Hauptkette entspringen, um dem Japanischen Meere zuzufließen: der Iwakigawa, der Noshirogawa und der Mogamigawa. Aganogawa und Shinanogawa zeigen schon abweichende Verhältnisse.

Die Inseln Kiushiu und Hokkaido zeigen in bezug auf Stellung sowohl wie Gestaltung viel Analogie. Auch was den Zuschnitt des ganzen Gebirges nach den Erosionswegen betrifft, gibt sich eine Verwandtschaft kund. Die Flußläufe halten sich nämlich auf beiden Inseln an einen Verlauf, der wenig oder gar keine Gesetzmäßigkeit zu verraten scheint. In keinem der beiden Gebiete sind deutlich entwickelte Längsthäler vorhanden. Die Schuld an diesen Verhältnissen trägt offenbar einmal die geringe Ausdehnung der Inseln in der Längsrichtung und dann das eigentliche Eingreifen der vulkanischen Bildungen.

Die Hauptwasserscheide verläuft auf Yezo vom Kap Soyazaki in gekrümmter Linie bis Erimozaki der Richtung NNW—SSO folgend¹⁾. Diese Wasserscheide entspricht der Wasserscheide des Kitakamigebirges. Yezo stellt eben ein sehr weit gegen den Ozean hinausgeschobenes Stück des ganzen Gebirges dar.

Die Wasserscheide der Hauptinsel Honshiu hat in dem Nordflügel erst einen ziemlich gleichmäßigen Verlauf. Sie folgt vorerst dem Rücken einer sehr regelmäßig ausgebildeten, mit Vulkanen gespickten Kette, welche ich schon früher als Meridiankette des Nordens bezeichnet habe. Südlich von Aizu biegt aber die Wasserscheide nach SW um, folgt dem Vulkankranz des Shirane, Azuma und Asama und beschreibt nun hier eine sehr merkwürdige Ausbuchtung nach dem Ozean zu. Sie geht südwestlich vom Suwasee über den Toriitoge, steigt im Zickzack zum Norikura auf und verläuft nun, von kurzen Brechungen und Buchtungen abgesehen, ziemlich gleichmäßig bis zur westlichen Endung von Chiugoku, die Mitte dieser großen lappenförmigen Halbinsel durchziehend. Die auffälligste Erscheinung im Verlaufe dieser langen Wasserscheide ist nun die erwähnte Ausbuchtung. Die Bildung ist aber nicht nur auffällig, sondern auch in hohem Grade interessant, weil sie dorthin fällt, wo die Fossa magna quer über den Inselbogen zieht. Man könnte diese Region der Störung des normalen Baues der Gebirge als einen Knoten bezeichnen, von dem aus die Wasserfäden nach allen Richtungen hin ausstrahlen.

Eine Betrachtung der Wasserscheiden innerhalb der einzelnen Gebirgsabschnitte führt zu keinem sehr befriedigenden Resultat. Wer in dieser Beziehung Studien machen will, der kann nicht besser thun, als eine mit der alten Provinzeinteilung versehene Karte zur Hand zu nehmen. Sind doch die Provinzgrenzen immer solche Linien, die in der Natur vorgeschrieben sind. Sie folgen, soweit es irgend angeht, den Bergücken. Auch die Kerneinteilung richtet sich nach der Gebirgsbeschaffenheit. Es erübrigt zu erwähnen, daß die

¹⁾ Eine neuere Darstellung der Geologie von Hokkaido verdanken wir Jimbo (Explanatory Text to the geological map of Hokkaido. Sapporo 1890 und: General Geological Sketch of Hokkaido with special reference to the Petrography. Sapporo 1893). Unsere Kenntnisse über die bisher leider sehr vernachlässigte Insel sind durch die Untersuchungen Jimbos in hohem Maße erweitert worden, besonders ist gegen die Lymaschen „Surveys“ ein anerkennenswerter Fortschritt zu verzeichnen. Es wäre aber zu wünschen, daß die Begehung der Insel sich auch in die wildern Teile der Gebirgsregion ausdehnte, welche als Hidakakete und nordöstliche Kette zu bezeichnen wären. Auch die nähere Untersuchung der Gebirgssteile, welche zwischen Nupakausiipe und Shiratokaski aufgeführt liegen, wäre dazu angethan, die tektonischen Verhältnisse Yesos, welche jetzt immer noch in vielfacher Beziehung unauflöslich sind, zu enthüllen. Es erscheint nicht weniger als zweifellos, daß die vulkanischen Gesteine so große Strecken des Inlandgebiets von Yezo in Anspruch nehmen, wie es die Karten zeigen. Dem alten Bergland wird doch schließlich eine größere Ausdehnung zukommen. Nach Jimbos Angaben steigen die zwischen Sapporo und Oshima am gelegenen vulkanischen Massen zu folgenden Höhen an: Makkarinupuri (6440 F.), Iwenobori (3374 F.), Uru (ausgeführt 1868 F.), Tarumai (2830 F.), Hakadake und Esan (1914 F.) und Komadake (4000 F.). Nupakausiipe wird zu 7500 F. und Meskan zu 4790 F. angegeben. Leider vermißt man die Angabe, um was für Fufs es sich handelt, wahrscheinlich jedoch liegt nicht der japanische Shaku, sondern der englische Fufs vor.

Wasserscheide des Kitakami-Berglands nach der Westseite hin drängt. In einem Falle allerdings, im Falle des Sarukaishikawa, greift sie weit nach Osten aus. Auch im Abukuma-Bergland ist der Abfall nach der Innenseite etwas steiler. Das Gleiche gilt vom Kii- und Shikoku-Bergland. Weil sich auf Kiushiu eine Wasserscheide verfolgen läßt, welche vom Kap Chichakof durch die Mitte der Insel nach Norden bis zur StraÙe von Shimonoseki läuft, hat man für diesen Teil des Bogens ein Meridiangebirge anzunehmen beliebt, aber durchaus ungerechtfertigterweise. Das alte Bergland greift, wie ich schon betont habe, durch, und das vom Azo eingenommene Gebiet ist nichts andres als eine Fortsetzung der Setouchi-Trümmerzone. Auch bei Yezo fragt es sich noch sehr, ob eine „Mountain-range of the Chishima-Zone“, wie sie von Jimbo angenommen wird, thatsächlich vorhanden ist.

Harada hat eine tektonische Gliederung des japanischen Gebirges vorgenommen, welche sich von meinen frühern Ausführungen nur dadurch unterscheidet, daß sie mehr ins Detail geht. Daß die Aufstellung einer Fuzone der Berechtigung entbehrt, habe ich schon an andrer Stelle dargelegt. Will man ferner den Ausdruck „Scharungsbogen“ in die Terminologie einführen, so muß jedenfalls erst bewiesen werden, ob eine Scharung in der That statt hat. Ferner kann ich mich nicht zur Existenz einer Dewakette bekennen, welche die Gebirge Yatate, Taiheesan, Asahi und Nippon-Daira umfassen soll. Eine solche Kette gibt es nicht. Die einzelnen Glieder sind durch tiefe und weite Einsenkungen voneinander geschieden. Wer diese Teile der Insel bereist hat, wird schwerlich der Ansicht zuneigen, daß die Thäler des Noshirogawa, Omoigawa &c. nur Durchbrüche durch eine Kette bildeten. Dem Meridiangebirge entwachsen auf der Innenseite astförmige Abzweigungen, und mit diesen Abzweigungen hängen die Vulkane Früchten gleich zusammen. Ich habe die merkwürdigen Erscheinungen, welche am Innenrande des Nordflügels auftreten, als Einbruchskessel gedeutet¹⁾ und muß an dieser Auffassung noch jetzt festhalten. Was dann die Plateaubildungen betrifft, welche Harada anführt, nämlich das Aidzu-Plateau und das Mino-Hida-Plateau, so halte ich dafür, daß diese Benennungen ebensowenig zutreffend sind. Ausgedehnte Gebirgsteile, welche den Namen „Plateau“ verdienen, kommen im ganzen japanischen Bogen nicht vor.

Das Japanische Gebirge wird durch die Fossa magna in zwei der Ausdehnung nach gleichwertige und auch sonst gleich beschaffene Abschnitte geteilt, einen Nordflügel und einen Südflügel. Man könnte die durch die Flüsse Fujikawa und Kamanashigawa, Miyagawa und Himegawa angezeigte Tiefenlinie als Grenzscheide der beiden Abschnitte ansehen. Ein solches Vorgehen müßte aber vom geologischen Gesichtspunkte aus durchaus ungerechtfertigt erscheinen. Die Fossa magna bildet ein neutrales Gebiet, sie ist also auch als Sonderabschnitt des Japanischen Gebirges zu betrachten.

1.

Nordflügel des Japanischen Bogens²⁾.*A. Die Außenzone.*

Die Außenzone des Nordflügels besteht aus dem Kitakami-Bergland, dem Abukuma-Bergland, zu welchem letzterm vielleicht noch die Tsukuba Berge gerechnet werden können³⁾,

¹⁾ Abhandlung II, S. 31.

²⁾ Ich lasse bei der folgenden Betrachtung Yezo unberücksichtigt, da die Kenntnis dieser Insel noch zu unvollständig erscheint, und kann vorläufig auf Jimbos Unterscheidung einer Chishimaskette, einer Hidakaskette, einer nordöstlichen Kette und einer Oshimaskette verweisen. Zukünftige Untersuchungen dürften jedoch zu einer etwas andern Auffassung der Oberflächenplastik Yezos führen.

³⁾ Wenn Harada das Ashiwogebirge noch zur Außenzone rechnet, so trifft er hiernit gewiß nicht das Rechte, denn das Bergland von Kuanto ist ganz so aufgebaut wie das Bergland von Shikok, und wenn wir für letzteres die innere Grenze der Außenzone an der Innengrenze der kristallinen Schiefer annehmen, so

und dem Bergland von Kuantō. Außerdem gehören hierher die hügeligen Gelände zweier Halbinseln, welche den Golf von Yeddo einrahmen, und welche wir mit Harada als die Höhengraben von Katsuraawa und der Miura-Halbinsel bezeichnen wollen. Die Ebene von Yeddo gehört größtenteils zur Außenzone. Wo die Grenzlinie durch dieses Tiefland verläuft, ist infolge der Verhüllung durch jüngere Ablagerungen nicht festzustellen. Die innere Grenze der nördlichen Bergländer fällt mit der Tiefenlinie der Längsthäler des Nordens zusammen.

B. Die Innenzone.

Eine ziemlich regelmäÙig ausgebildete, im allgemeinen scharfkantige, mit vielen hochragenden Gipfeln versehene Kette, die mit einer Anzahl gegen das Japanische Meer hinziehenden Abzweigungen versehen ist, zieht vom äußersten Norden der Hauptinsel herunter zum See von Inawashiro, wo eine Unterbrechung vorliegt. Die der Mitte des Landes folgende Kette habe ich schon früher Meridiankette des Nordflügels genannt. Harada nennt sie Wasserscheide oder Mutsukette. Durch die astförmigen, gegen die Innenseite gerichteten Abzweigungen werden bogenförmige Depressionen gebildet, welche sich nach dem Japanischen Meer hin öffnen, um die Flüsse austreten zu lassen. Diese Kessel fasse ich, wie schon weiter oben hervorgehoben, noch jetzt als Einbruchskessel auf. Jeder von ihnen ist durch einen Vulkan ausgezeichnet. Nach diesen vulkanischen Gipfeln, welche das Land hoch überragen, unterscheiden wir einen Gassan-Kessel, einen Chiokai-Kessel, einen Moriyoshi-Kessel und einen Iwaki-Kessel.

Die astförmigen Auswüchse der Meridiankette unterscheiden wir als Yatate-Massiv, Taihei-Massiv, Asahi-Massiv und Iide-Massiv¹⁾. In dem See von Inowashiro bricht die Meridiankette ab, und es verläuft hier eine quere Depression von der Seite des Japanischen Meeres her bis zur Tiefenlinie des Abukumagawa. Die Bodenschwellen, welche den See auf der Ostseite umgrenzen, weisen eine derart bedeutende Einschnürung auf, daß die Hügel durch einen Tunnel durchbrochen werden konnten und die Wasser des Sees nunmehr nicht allein nach dem Japanischen Meer sondern auch nach dem freien Ozean zu abfließen. Im Süden dieser Querdepression liegt ein mächtiger Gebirgsknoten, welcher seine Verzweigungen nach den verschiedensten Richtungen entsendet. Nicht weniger als vier Provinzen treten in dem Knoten zusammen. Der Taishaku-Gebirgsknoten sendet einen Zweig nach N und NO, SO und SW. Der südwestwärts gerichtete Zweig geht über in den sichelförmig gekrümmten Zug der Vulkane Shirane, Azuma und Asama. Südöstlich vom Asama bricht das vulkanische Gebirge wie die ganze Innenzone bei den Bergen Arafune und Ogata am Rande des Alten Berglandes von Kuantō ab.

2.

Die Fossa magna.

In das Gebiet dieses streifen- und muldenförmigen, quergestellten Abschnitts des Inselbogens fallen das Idzu-Massiv, die Hakone-Berge, der Ashitaka-Stock, der Fuji, der Pseudozirkus des Fuji, der Tanzawa-Stock, das Kokushi-Gebirge, die Yatsugatake-Tateshinayama-Kette, die Chikuma-Berge und das Vulkanische Kuppengebirge des Yakeyama.

müssen auch die kristallinen Schiefer von Kuantō die Grenze der Außenzone bestimmen. Wo sich, wie es in der Ebene von Yeddo der Fall ist, die Grenze der Eruptivregion, die Spur der großen Meridianpalte nicht genau verfolgen läßt, da müssen eben die kristallinen Schiefer den Ausschlag geben.

¹⁾ Ich bediene mich hierbei derselben Namen, die schon von Harada angewandt worden sind.

3.

Südflügel des japanischen Bogens.*A. Die Außenzone.*

Das Akaishisphenoid, das Bergland von Kii, das Bergland von Kiushiu, das Vulkangebirge des Kirishima und die Berge von Osumi und Satsuma.

B. Die Innenzone.

Die Kiso-Kette, die Hida-Kette, die Mino-Hida-Kette, die Suzuka-Kette, die Kasagi-Kette, die Katsuragi-Kette, die Berge von Sanuki und Takanawa, die stark zersägte und verzweigte Kette von Chukoku mit Einbruchkesseln am Innenrande, die durch Zertrümmerung ausgezeichnete Mulde des Setouchi. Auf Kiushiu finden wir die folgenden Vulkangebirge: Azo, Onzen, Takayama, Kurodake, Yufu, Futango und Hikozen, ferner die Berge von Hizen und Chikuzen, meist vulkanische Kuppengebirge oder Kegel.

Bei vorstehender Einteilung habe ich mich soviel wie möglich den Haradaschen Benennungen angeschlossen. Es kam mir eben nicht sowohl darauf an, neue Namen zu erfinden, als Klarheit bezüglich der tektonisch-oroplastischen Gliederung der Japanischen Gebirge herbeizuführen. Was die Höhenverhältnisse und die spezielle Gliederung der einzelnen Gebirgsteile betrifft, so wolle sich der freundliche Leser an die beigegebene Karte halten, in welcher das Terrain nach 200-Meterkurven dargestellt ist.

Zum Schluss möchte ich nur noch auf jenen eigentümlichen Gegensatz hinweisen, welcher zwischen den Bodenerhebungen der Innen- und Außenzone besteht. Innen finden wir Ketten und Kuppengebirge, außen Bergland, auf der Innenseite gibt sich eine Neigung zur Auflösung der Formen kund, während sich die Rücken im Gebiete der Außenzone eng zusammendrängen und die Gliederung nur in sehr unvollkommener Weise stattfinden kann.



~~~~~  
**Druck der Engelhard-Reyherschen Hofbuchdruckerei in Gotha.**  
~~~~~

DER KRATER DES SHIRANESAN

bei Keate

nach der Explosion vom 6. August 1882.

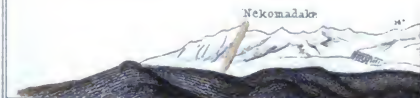
Mafsstab 1:65.000



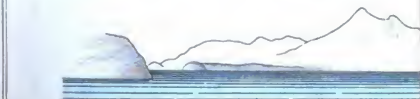
Ansichten d



Aufgenommen am 16 August 1876 auf dem Wege von Inawashiro



Aufgenommen am 15 August 1876 Von H



Aufgenommen vom Südufer des Inawashiro

Als Ergänzungshefte zu den „Mitteilungen“

sind erschienen:

- Nr. 1. *Vibe, Küsten und Meer Norwegens.* 1 M.
 Nr. 2. *Tschudi, Reise durch die Andes von Süd-Amerika, 1858.* 1 M.
 Nr. 3. *Barth, Reise durch Kleinasien, 1828.* 3 M.
 Nr. 4. *Lajard, Ethnographie der Europäischen Türkei (deutscher und französischer Text).* 2 M.
 Nr. 5. *Wagner, M., Physikalisch-geographische Skizze des Isthmus von Panama.* 1 M.
 Nr. 6. *Petermann und Hassenstein, Ost-Afrika zwischen Chartum und dem Roten Meer.* 80 Pf.
 Heft 1—6 bilden den I. Ergänzungsband (1860—1861). 8 M. 80 Pf.
- Petermann und Hassenstein, Inner-Afrika:**
 Nr. 7. „ „ „ *Bourmanns Reise 1860, Kotschy 1859, Brun-Rollet 1856.* 2 M.
 Nr. 8. „ „ „ *Behm, Land und Volk der Tegu, Bourmanns Reise nach Murzuk 1862.* 3 M.
 Nr. 10. „ „ „ *Antvorskos Reise zum Lande der Djur 1860 und 1861, Bourmanns Reise nach Wau.* 3 M.
 Nr. 11. „ „ „ *Mémoires zu den Karten: Reisen von Henglin, Morlang, Harnier.* 4 M. 60 Pf.
 Heft 7, 8, 10, 11 bilden den II. Ergänzungsband (1862—1863). 12 M. 60 Pf.
- Nr. 9. *Halford und Tschudi, Minas Gerais.* 3 M.
 Nr. 12. *Korietka, Die Höhe Tatra in den Zentral-Karpathen.* 3 M.
 Nr. 15. *Huglin, Kinzibach, Manzinger, Stöndner, Die Deutsche Expedition in Ost-Afrika, 1861 und 1862 (Sudan und Nord-Absenften).* 4 M. 60 Pf.
 Nr. 14. *Riechthofen, Die Metallproduktion Kaliforniens und der angrenzenden Länder.* 1 M. 60 Pf.
 Nr. 15. *Huglin, Die Tunesische Expedition im westlichen Nil-Quellgebiet, 1862 und 1864.* 2 M.
 Heft 9, 12—15 bilden den III. Ergänzungsband (1863—1864). 13 M. 20 Pf.
- Nr. 16. *Petermann, Spitzbergen und die arktische Zentral-Region.* 2 M.
 Nr. 17. *Payer, Die Adamello-Presanella-Alpen.* 2 M.
 Nr. 18. *Payer, Die Ortler-Alpen, Suldungebiet.* 2 M.
 Nr. 19. *Behm, Die modernen Verkehrsmittel: Dampfschiffe, Eisenbahnen, Telegraphen.* 3 M. 60 Pf.
 Nr. 20. *Tschichatsch, Reisen in Kleinasien und Armenien, 1847—1863.* 4 M. 60 Pf.
 Heft 16—20 bilden den IV. Ergänzungsband (1865—1867). 13 M. 20 Pf.
- Nr. 21. *Spörer, J., Novaja Semla in geographischer, naturhistorischer und volkswirtschaftlicher Beziehung.* 3 M. 60 Pf.
 Nr. 22. *Frilich, Reisebilder von den Canarischen Inseln.* 1 M. 60 Pf.
 Nr. 23. *Payer, Die westlichen Ortler-Alpen (Trasfegergebiet).* 3 M. 60 Pf.
 Nr. 24. *Jepps, Die Transvaalische Republik.* 2 M. 60 Pf.
 Nr. 25. *Rohlf, Reise durch Nord-Afrika von Tripoli nach Kuka.* 3 M.
 Heft 21—25 bilden den V. Ergänzungsband (1867—1868). 14 M. 80 Pf.
- Nr. 26. *Lindeman, Die arktische Focherei der Deutschen Seestädte 1630—1668.* 3 M. 60 Pf.
 Nr. 27. *Payer, Die südlichen Ortler-Alpen.* 2 M. 80 Pf.
 Nr. 28. *Koldewey und Petermann, Die Erste Deutsche Nordpol-Expedition, 1868.* 3 M.
 Nr. 29. *Petermann, Australien in 1871. Mit geographisch-statistischem Compendium von Meinicke.* 1. Abt. 3 M. 60 Pf.
 Heft 26—29 bilden den VI. Ergänzungsband (1869—1871). 13 M.
 Nr. 30. *Petermann, Australien in 1871. Mit geographisch-statistischem Compendium von Meinicke.* 2. Abt. 3 M. 60 Pf.
 Nr. 31. *Payer, Die zentralen Ortler-Alpen, Martell etc.* 3 M.
 Nr. 33. *Sontkar, Die Zillerthaler Alpen.* 3 M. 60 Pf.
 Nr. 35. *Behm und Wagner, Die Bevölkerung der Erde. I.* 2 M. 60 Pf.
 Nr. 34. *Rohlf, Reise durch Nord-Afrika von Kuka nach Lagos.* 4 M. 60 Pf.
 Heft 30—34 bilden den VII. Ergänzungsband (1871—72). 17 M. 40 Pf.
- Nr. 35. *Behm und Wagner, Die Bevölkerung der Erde. II.* 5 M.
 Nr. 36. *Dr. G. Radde, Vier Vorträge über den Kaukasus.* 4 M.
 Nr. 37. *Mauch, Reisen im Innern von Süd-Afrika, 1865—1872.* 2 M. 60 Pf.
 Nr. 38. *Wojekoff, Die atmosphärische Zirkulation.* 3 M.
 Heft 35—38 bilden den VIII. Ergänzungsband (1873—1874). 14 M. 60 Pf.
- Nr. 39. *Petermann, Die südamerikanischen Republiken Argentina, Chile, Paraguay und Uruguay in 1876. Mit einem geographischen Compendium von Barmeister.* 4 M. 20 Pf.
 Nr. 40. *Waltenberger, Die Rhätikon-Kette, Lechtal und Voralberger Alpen.* 4 M. 40 Pf.
 Nr. 41. *Behm und Wagner, Die Bevölkerung der Erde. III.* 4 M. 40 Pf.
 Nr. 42. *H. Sowerzows Erforschung des Thian-Schan-Gebirgs-Systems 1867.* 1. Hälfte. 4 M. 40 Pf.
 Heft 39—42 bilden den IX. Ergänzungsband (1875). 17 M. 40 Pf.
- Nr. 43. *H. Sowerzows Erforschung des Thian-Schan-Gebirgs-Systems 1867.* II. Hälfte. 4 M. 40 Pf.
 Nr. 44. *Cernika technische Studien-Expedition durch die Gebiete des Euphrat und Tigris.* I. Hälfte. 4 M.
 Nr. 45. *Cernika technische Studien-Expedition durch die Gebiete des Euphrat und Tigris.* II. Hälfte. 4 M.
 Nr. 46. *Bretschneider, Die Pekinger Ebene und das benachbarte Gebirgsland.* 2 M. 20 Pf.
 Nr. 47. *Haggenmachers Reise im Somali-Lande.* 1 M. 60 Pf.
 Heft 43—47 bilden den X. Ergänzungsband (1875—1876). 16 M. 40 Pf.
- Nr. 48. *Czerny, Die Wirkung der Winde auf die Gestaltung der Erde.* 2 M. 30 Pf.
 Nr. 49. *Behm und Wagner, Die Bevölkerung der Erde. IV.* 6 M.
 Nr. 50. *Zöppritz, Prussens Reisen im Nilgebiete.* I. Hälfte. 2 M. 50 Pf.
 Nr. 51. *Zöppritz, Prussens Reisen im Nilgebiete.* II. Hälfte. 3 M.
 Nr. 52. *Forsyth, Ost-Turkestan und das Pamir-Plateau.* 4 M.
 Heft 48—52 bilden den XI. Ergänzungsband (1876—1877). 17 M.

Nr. 53. *Przewalskys Reise an den Lob-Nor und Altyn-Tag 1876—1877.* 3 M.

Nr. 54. *Die Ethnographie Rußlands, nach A. F. Rittich.* 5 M.

Nr. 55. *Behm und Wagner, Die Bevölkerung der Erde.* V. 5 M.

Nr. 56. *Credner, Die Deltas.* 4 M.

Heft 53—56 bilden den XII. *Ergänzungsband* (1877—1878). 16 M.

Nr. 57. *Soothoor, Edelmetall-Produktion.* 5 M. 60 Pf.

Nr. 58. *Fischer, Studien über das Klima der Mittelmeerländer.* 4 M.

Nr. 59. *Reis, Der Nakasendō in Japan.* 5 M. 20 Pf.

Nr. 60. *Lindema, Die Seefischerei.* 5 M.

Heft 57—60 bilden den XIII. *Ergänzungsband* (1879—1880). 17 M. 80 Pf.

r. 61. *Rivoli, I., Die Serra da Estrilla.* 3 M.

Nr. 62. *Behm und Wagner, Die Bevölkerung der Erde.* VI. 5 M.

Nr. 63. *Mohn, Die Norwegische Nordmeer-Expedition.* 2 M.

Nr. 64. *Fischer, Die Dattelpalme.* 4 M.

Nr. 65. *Berlepsch, Die Gotthard-Bahn.* 4 M. 60 Pf.

Heft 61—65 bilden den XIV. *Ergänzungsband* (1880—1881). 17 M. 60 Pf.

Nr. 66. *Dr. P. Schreiber, Die Bedeutung der Windrosen.* 2 M. 20 Pf.

Nr. 67. *Blumentritt, Ferd., Versuch einer Ethnographie der Philippinen.* 5 M.

Nr. 68. *Bornet, G., Das Val d'Anniviers und das Bassin de Sierre.* 4 M.

Nr. 69. *Behm und Wagner, Die Bevölkerung der Erde.* VII. 7 M. 40 Pf.

Nr. 70. *Bayberger, Der Ingletscher von Kuffstein bis Haag.* 4 M.

Heft 66—70 bilden den XV. *Ergänzungsband* (1881—1882). 23 M. 60 Pf.

Nr. 71. *Choraschew und v. Stein, Die russischen Kosakenheere.* 3 M. 20 Pf.

Nr. 72. *Juan Maria Schuver, Reisen im oberen Nijegiet.* 4 M. 40 Pf.

Nr. 73. *Dr. Carl Schumann, Kritische Untersuchungen über die Zimtländer.* 2 M. 80 Pf.

Nr. 74. *Dr. Oscar Drude, Die Florenze der Erde.* 4 M. 60 Pf.

Nr. 75. *Dr. R. v. Lendenfeld, Der Tasman-Gletscher und seine Umrandung.* 5 M. 40 Pf.

Heft 71—75 bilden den XVI. *Ergänzungsband* (1883—84). 19 M. 40 Pf.

Nr. 76. *Dr. Fritz Rogel, Die Entwicklung der Ortschaften im Thüringerwald.* 4 M. 40 Pf.

Nr. 77. *F. Stelze und F. C. Andreas, Die Handelsverhältnisse Persiens.* 4 M.

Nr. 78. *Dr. H. Fritzsche, Ein Beitrag zur Geographie und Lehre vom Erdmagnetismus Asiens und Europas.* 5 M.

Nr. 79. *Prof. H. Mohn, Die Strömungen des europäischen Nordmeeres.* 2 M. 60 Pf.

Nr. 80. *Dr. Franz Boss, Baffin-Land. Geographische Ergebnisse einer 1883 und 1884 ausgeführten Forschungsreise.* 5 M. 40 Pf.

Heft 76—80 bilden den XVII. *Ergänzungsband* (1885—1886). 21 M. 40 Pf.

Nr. 81. *Franz Bayberger, Geographisch-geologische Studien aus dem Böhmerwalde.* 4 M.

Nr. 82. *Robert v. Schlagintweit, Die Pacifischen Eisenbahnen in Nordamerika.* 3 M. 60 Pf.

Nr. 83. *Dr. Gustav Bornet, Der Alpenföhn in seinem Einfluß auf Natur und Menschenleben.* 3 M. 60 Pf.

Nr. 84. *Alexander Supan, Archiv für Wirtschaftsgeographie. I. Nordamerika, 1880—1885.* 5 M.

Nr. 85. *Gustav Radde, Aus den dagestanischen Hochalpen, vom Schah-dagh zum Duly und Bogos.* 4 M. 40 Pf.

Heft 81—85 bilden den XVIII. *Ergänzungsband* (1886—1887). 19 M. 60 Pf.

Nr. 86. *Dr. Rudolf Credner, Die Reliktsen. I. Teil.* 5 M. 60 Pf.

Nr. 87. *Dr. R. v. Lendenfeld, Forschungsreisen in den Australischen Alpen.* 5 M.

Nr. 88. *Dr. J. Partsch, Die Insel Korfu.* 5 M. 40 Pf.

Nr. 89. *Dr. Rudolf Credner, Die Reliktsen. II. Teil.* 3 M. 40 Pf.

Heft 86—89 bilden den XIX. *Ergänzungsband* (1887—1888). 17 M. 40 Pf.

Nr. 90. *W. Blanckenhorn, Die geognostischen Verhältnisse von Afrika. I. Teil.* 4 M.

Nr. 91. *Hermann Michaelis, Von Hankau nach Su tschou (Reisen im mittlern und westlichen China 1879—1881).* 4 M.

Nr. 92. *Dr. W. Junkers Reisen in Zentralafrika 1880—1885. Wissenschaftliche Ergebnisse. I.* 4 M.

Nr. 93. *Dr. W. Junkers Reisen in Zentralafrika 1880—1885. Wissenschaftliche Ergebnisse. II u. III.* 4 M. 80 Pf.

Nr. 94. *W. v. Döest, Von Pergamon über den Dindymos zum Pontus.* 6 M. 40 Pf.

Heft 90—94 bilden den XX. *Ergänzungsband* (1888—1889). 23 M. 20 Pf.

Nr. 95. *Dr. J. Partsch, Die Insel Leukas.* 2 M. 60 Pf.

Nr. 96. *Max Beschoren, São Pedro do Rio Grande do Sul.* 5 M.

Nr. 97. *Dr. Karl Dove, Kulturzonen von Nord-Absenien.* 2 M. 60 Pf.

Nr. 98. *Dr. Joseph Partsch, Kephallenia und Ithaka. Eine geographische Monographie.* 6 M.

Nr. 99. *v. Hübnel, Ostäquatorial-Afrika zwischen Fungani und dem neuentdeckten Rudolf-See.* 4 M. 20 Pf.

Nr. 100. *Dr. Gustav Radde, Karabagh.* 4 M.

Heft 95—100 bilden den XXI. *Ergänzungsband* (1889—1890). 24 M. 40 Pf.

Nr. 101. *Wagner und Supan, Die Bevölkerung der Erde. VIII.* 10 M.

Nr. 102. *Johannes Walther, Die Adamsbrücke und die Korallenriffe der Polktrafsee.* 2 M. 60 Pf.

Nr. 103. *Dr. Paul Schönl, Das marokkanische Atlasgebirge.* 5 M.

Nr. 104. *Dr. Alfred Hettner, Die Korallriffe von Bogota.* 6 M.

Heft 101—104 bilden den XXII. *Ergänzungsband* (1891—1892). 23 M. 60 Pf.

Nr. 105. *Mohn und Nansen, Wissenschaftliche Ergebnisse von Dr. F. Nansens Durchquerung von Grönland 1888.* 6 M.

Nr. 106. *Dr. Sophus Hugo, Die Entwicklung der Kartographie von Amerika bis 1870.* 5 M.

Nr. 107. *Wagner und Supan, Die Bevölkerung der Erde. IX.* 7 M.



Dr. A. Petermanns Mitteilungen

aus

Justus Perthes' Geographischer Anstalt.

Herausgegeben von

PROF. DR. A. SUPAN.

Ergänzungsheft Nr. 109.



Wissenschaftliche Ergebnisse

einer

Forschungsreise zur See,

ausgeführt in den Jahren 1891 und 1892

von

Dr. Gerhard Schott.



GOTHA: JUSTUS PERTHES.

1893.

Preis 8 M.

Als Beiträge für diese Zeitschrift

werden *Abhandlungen, Aufsätze, Notizen, Literaturberichte und Karten* in ausgeführter Zeichnung oder skizziert, welche sich auf die Gebiete der Geophysik, Anthropogeographie, speziellen Landeskunde, astronomischen Geographie, Meteorologie, Nautik, Geologie, Anthropologie, Ethnographie, Staatenkunde und Statistik beziehen, erbeten. Ganz besonders sind verlässliche Notizen oder briefliche Berichte aus den *aufseruropäischen* Ländern, wenn auch noch so kurz, nicht nur von Geographen von Fach, sondern auch von offiziellen Personen, Konsuln, Kaufleuten, Marine-Offizieren und Missionaren, durch welche uns bereits so wertvolle und mannigfaltige Berichte zugegangen sind, stets willkommen.

Reisejournale zur Einsicht und Benutzung, sowie die bloßen *unberechneten Elemente astronomischer, hypsometrischer und anderer Beobachtungen und Nachrichten über momentane Ereignisse* (z. B. Erdbeben, Orkane), sowie über *politische Territorialveränderungen* etc. werden stets dankbar entgegengenommen. Ferner ist die Mitteilung *gedruckter*, aber seltener oder schwer zugänglicher *Karten*, sowie *aufseruropäischer*, geographische Berichte enthaltender *Zeitungen* oder anderer mehr ephemerer *Flugschriften* sehr erwünscht. — Für den Inhalt der Artikel sind die Autoren verantwortlich.

Die Beiträge sollen womöglich in deutscher Sprache geschrieben sein, doch steht auch die Abfassung in einer andern Kultursprache ihrer Benutzung nicht im Wege.

Originalbeiträge werden pro Druckbogen für die Monatshefte mit *68 Mark*, für die Ergänzungshefte dementsprechend mit *51 Mark*, **Übersetzungen** oder **Auszüge** mit der *Hälfte dieses Betrages*, **Literaturberichte** mit *10 Mk.* pro Zeile in Kolonell-Schrift, jede für die „Mitteilungen“ geeignete **Originalkarte** gleich einem Druckbogen mit *68 Mark*, **Kartenmaterial** und **Kompilationen** mit der *Hälfte dieses Betrages* honoriert. In aussergewöhnlichen Fällen behält sich die Redaktion die Bestimmung des Honorars für Originalkarten vor.

An *Verlagsbuchhandlungen* und *Autoren* richten wir die Bitte um Mitteilung ihrer Verlagsartikel bzw. Werke, Karten oder Separatabdrücke von Aufsätzen mit Ausschluss derjenigen lediglich schulgeographischen Inhalts behufs Aufnahme in den Literatur- oder Monatsbericht, wobei wir jedoch im vorhinein bemerken, daß über *Lieferungswerke* erst nach Abschluß derselben referiert werden kann.

FÜR DIE REDAKTION: PROF. DR. A. SUPAN. JUSTUS PERTHES' GEOGRAPHISCHE ANSTALT.

Einleitung.

Übersicht über die ausgeführten Seefahrten.

(S. hierzu Tafel I.)

Auf den folgenden Blättern werden lediglich die wissenschaftlichen Ergebnisse einer Seereise, welche hydrographischen und maritim-meteorologischen Forschungen gewidmet war, dem geographischen Publikum übergeben. Es könnte daher vielleicht von einer selbst kurzen Beschreibung der Fahrten abgesehen werden, wenn nicht Zwecke und Ziele des Unternehmens schon an sich einiger Erläuterung bedürften und außerdem eine Übersicht über die eingeschlagenen Segelschiffswege nicht ohne Wert wäre für einen Einblick in die scharf getrennten geographischen Provinzen der Ozeane, welche, wie auf den Festländern, vorhanden sind und sich hier an der Hand der hydrographischen und meteorologischen Verhältnisse unschwer festlegen lassen. Wir gewinnen damit auch für die folgenden Darlegungen einen festeren Boden¹⁾.

Ein längerer, durch ozeanographische Untersuchungen ausgefüllter Aufenthalt an der Deutschen Seewarte zu Hamburg gab mir den Anlaß, den Plan einer größeren Seereise zu entwerfen, welche in erster Linie für mich eine Studienreise sein sollte, hauptsächlich also mancherlei theoretischen, aus der Litteratur und Schiffstagebüchern gewonnenen Anschauungen eine durch eigene Beobachtung sicherere und praktische Form geben sollte. Wenn ich trotz dieser gewissermaßen privaten Ziele meiner Seereisen in der Lage bin, hiermit einige allgemeine Resultate derselben zu veröffentlichen, so muß ich bemerken, daß in den meisten Fällen erst die Verbindung meiner Einzelbeobachtungen mit dem bereits vorliegenden, mehr oder weniger gesicherten Inhalt unserer Kenntnisse in Meeres- und Witterungskunde die Möglichkeit zu den folgenden Darstellungen gegeben hat, daß keineswegs eine bloße Erörterung der auf zwei großen Segelschiffsfahrten zufällig gefundenen Erscheinungen vorliegt, sondern nach der Rückkehr gemachte weitere Studien mit denselben kombiniert worden sind, was, wie ich hoffe, fachmännische Beurteiler herausfinden werden.

Freilich möchte ich immerhin um Nachsicht in manchen einzelnen Punkten bitten, besonders was die Benutzung der neuesten Litteratur anlangt. Ich habe da den vielleicht etwas zweifelhaften Mut der Fehlbarkeit; schon eine einjährige Abwesenheit, welche infolge der der Reise vorhergehenden und nachfolgenden tausendfachen Abhaltungen eine ziemlich zwei Jahre umfassende Unkenntnis der litterarischen Produktion zur Folge hatte, ist nicht leicht in dieser Hinsicht wieder ausgeglichen, doch, denke ich, soll von den wichtigeren Sachen nichts übersehen sein.

Damit der Inhalt dieses Heftes möglichst einheitlich werde, sind verschiedene kleinere Berichte, z. B. über einige meteorologische Vorgänge, sodann auch über die Planktonfischerei u. a. m. ausgeschieden worden; dieselben werden gelegentlich anderwärts bekannt

¹⁾ Bisher sind über die Reisen veröffentlicht: drei Briefe, datiert aus Pinang, Hongkong und Saigon, sowie ein vor der Gesellschaft für Erdkunde zu Berlin gehaltener Vortrag; alles dies ist gedruckt in den „Verhandlungen“ der genannten Gesellschaft, 1892, S. 148 ff. 202 ff. 360 ff.; 1893, 63 ff.

gegeben. — Zur vorläufigen Orientierung über das, was mich während der Fahrten eigentlich beschäftigt hat, und um dem Leser den Standpunkt zu zeigen, von welchem aus die im folgenden gegebenen Darlegungen allein beurteilt sein wollen, glaube ich nichts Besseres thun zu können, als in Kürze das zu wiederholen, was an anderem Orte¹⁾ hierüber von mir gesagt wurde:

„Während auf dem Festlande jederzeit der einzelne Beobachter Forschungen machen und unter Umständen Thatfachen an das Licht fördern kann, welche den Horizont unseres geographischen Wissens in besonderer, vielleicht aufsergewöhnlicher Weise erweitern, ist auf See solches nur möglich durch Expeditionsschiffe, die eigens zu dem Zweck nautischer Studien ausgesandt werden, besonders dazu, um Beobachtungsmaterial über die Tiefsee beizubringen. Solche Expeditionen kosten aber Geld, sehr viel Geld, und ereignen sich vielleicht alle zehn, zwanzig Jahre einmal.

„Den Seereisen, welche ich unternommen habe, waren die Ziele natürlich in anderer Richtung gegeben. Da die Schiffe, welche ich benutzt habe, alle in Handelszwecken beschäftigt waren und keine Zeit zu verlieren hatten, so war erklärlicher Weise die eigentliche Tiefsee ganz von dem Bereich meiner Untersuchungen ausgeschlossen.

„Das, was ich beabsichtigt und nach Möglichkeit ausgeführt habe, waren vielmehr Detailstudien hydrographischer und maritim-meteorologischer Art, soweit dieselben auf einem in Fahrt befindlichen Schiff gemacht werden können. So wurde z. B. den Meeresströmungen besondere Aufmerksamkeit zugewendet, um diesen Vorgängen, welche so äusserst schwer sich präzise beobachten und fassen lassen, auch mit Hilfe von Temperaturbeobachtungen und Messungen des spezifischen Gewichtes des Seewassers näher zu kommen. Salzgehaltsbestimmungen bildeten eine meiner wesentlichsten Aufgaben, zumal darüber noch recht wenig Zuverlässiges vorhanden ist. Neben den Strömungen wurde eine weitere Gruppe von Bewegungsformen des Meeres nach verschiedenen Seiten hin untersucht, nämlich die Wellen und damit verbundene Erscheinungen. Ferner kamen in Betracht Studien über die gegenseitige Abhängigkeit der ozeanographischen Faktoren von den Vorgängen in der Atmosphäre, von Wind, Niederschlägen, der Sonnenstrahlung u. s. f., dazu endlich die ganze Summe der meteorologischen Beobachtungen, welche allerdings zunächst lediglich im Anschluß an das für die Deutsche Seewarte in Hamburg zu führende meteorologische Journal gemacht wurden, mehrfach sich aber auch zu Spezialuntersuchungen gestalteten, so z. B. die Beobachtungen über die Zugrichtungen der oberen Wolken, über das Aspirationspsychrometer u. s. m.

„Abgesehen von dem Interesse, welches die Wissenschaft an solchen Studien hat, ist es noch ein Gesichtspunkt, der sich dabei besonders aufdrängt, daß nämlich die Schifffahrt in nicht wenigen Fällen einen direkten praktischen Nutzen daraus zu ziehen vermag. Die Seereisen, besonders die Segelschiffsreisen, werden natürlich um so schneller und sicherer gemacht werden, je eingehender unsere Kenntnisse von den Winden und Meeresströmungen sind — um zunächst nur diese zwei Hauptfaktoren zu nennen. Die Schiffe sind ja dann in der Lage, je nach Jahreszeit und Ort günstige Winde und Strömungen aufzusuchen, ungünstigen aus dem Wege zu gehen.“

Wie die beigegebene Übersichtskarte der Reisewege zeigt, wurde die Reise nach Indien und zurück beidemal auf dem Wege um das Kap der Guten Hoffnung auf Segelschiffen der rühmlichst bekannten Rhederei R. C. Rickmers (Bremen) ausgeführt. Diese zwei Fahrten, welche zusammen schon einen 232tägigen Aufenthalt auf See bedeuten, lieferten natürlich den Grundstock des Beobachtungsmaterials; wichtig sind dann noch besonders die Fahrten auf dem Hamburger Dampfer „Oceana“ zwischen Singapore—Hongkong—Japan und zurück nach Singapore.

¹⁾ In dem erwähnten Vortrag, a. Verhandlungen der Berliner Gesellschaft für Erdkunde, 1893, S. 63. 64.

Die erste Reise wurde auf dem Viermaster „Robert Rickmers“, Kapt. Bruhn, am 1. Oktober 1891 von Bremerhaven aus angetreten und hatte zu ihrem Ziel Pinang (Westküste der malaisischen Halbinsel). Der erste Teil der Reise, worunter hier die Strecke von Bremerhaven bis zum Englischen Kanal verstanden ist, zeigte in einer Weise, welche an Deutlichkeit nichts zu wünschen übrig liefs, aufs in unseren Breiten, im speziellen über dem Nordseegebiet, die Luftströmungen vorwiegend aus südwestlicher bis westlicher Richtung kommen und vielfach, besonders in den Herbst- und Wintermonaten, als langandauernde Stürme wehen¹⁾. Erst am 26. Oktober, nach Verlanf von fast einem ganzen Monat, befand sich das Schiff bei Kap Lizard, womit der offene Ozean betreten wurde.

Der nordöstliche Wind, welcher uns aus der Nordsee und dem Englischen Kanal bei einem bis zu 766,1 mm²⁾ ansteigenden Luftdruck geführt hatte, stand jedoch nicht, wie dies im Hochsommer manchmal vorkommt, als wenig sich verändernde Brise bis zum NE-Passat durch, sondern wurde in der Gegend der Rolabreiten, zwischen den Azoren und Madeira, noch einmal durch eine Reihe von Tagen mit westlichen Winden und sehr niedrigem Barometerstand unterbrochen, was zur Folge hatte, dafs wir den eigentlichen Passat erst in 24° N. Br. zwischen den Kanaren und Kap Verden erreichten. Eine solche für die in Betracht kommenden geographischen Breiten ganz abnorme Witterungslage ist, wie wir erst durch die Arbeiten der Deutschen Seewarte³⁾ hauptsächlich erfahren haben, gerade in dem Monat November nicht selten beobachtet worden; man kann sagen, dafs das Auftreten dieser Minima, welche aus der nordatlantischen Zngstraße abbiegen und in SO-Richtung über die Azoren meist nach Madeira hin sich bewegen, auf die Monate Oktober bis Dezember beschränkt ist. Eine Erklärung für dies Verhalten ist, soviel ich sehe, noch nicht gegeben, nur das eigentümliche Faktum steht fest, dafs in solchem Falle das bekannte Maximum des Luftdrucks bei den Azoren entweder gar nicht vorhanden oder weit nach Westen gedrängt, und der Passat weit nach Süden hin gestört ist. Diese Depressionen, welche oft eine sehr unregelmäßige, gekrümmte Bahn einschlagen⁴⁾, entwickeln sich manchmal zu fürchterlichen, orkanartigen Stürmen, welche den westindischen Wirbelstürmen kaum etwas nachgeben, wie man den vorliegenden Schiffsberichten⁵⁾ entnehmen kann.

Eigentümlich ist bei diesen Störungen in der Atmosphäre, welche also in dem Grenzgebiet zwischen äquatorialem und polarem Windsystem auftreten, dafs das Barometer das eine Mal ganz unbedeutend fällt und dafs es dabei orkanartig weht, während das andre Mal trotz ungewöhnlich niedrigen Luftdrucks der Wind schwach und veränderlich bleibt. Letzteres war auf unserer Reise der Fall. Das Barometer fiel, seit wir Lizard verlassen hatten, beständig und erreichte bei zuletzt flauen, umlaufenden, besonders südöstlichen bis östlichen Winden auf etwa 40° N. Br. und 18° W. L. den tiefsten Stand von 748,5 mm. Gleichwohl blieb die Luftbewegung schwach, trotzdem auch nach dem Ansehen der Luft schlechtes Wetter zu erwarten war; nach den mir von der Direktion der Deutschen Seewarte gütigst mitgeteilten Anszügen aus Journalen von Schiffen, welche damals auch in dieser Gegend sich befunden haben, scheint diese Depression nicht von stürmischen Winden begleitet gewesen zu sein. Für unser südwärts vorrückendes Schiff drehte der Wind über N und W nach S, wobei am 1. November 4^h a. m., genau 24 Stunden nach dem ersten Minimum, ein zweites barometrisches Minimum von 753,6 mm zur Beobachtung kam, welches

¹⁾ Näheres über die lange Periode schwerer Stürme in der Nordsee im Oktober 1891 a. in den „Verhandlungen“ 1892, S. 150—153.

²⁾ Diese Angaben sind immer für die Temperatur und den Instrumentalfehler, nicht aber für die Schwere korrigiert; auch ist die Reduktion auf den Meeresspiegel nicht ausgeführt. Die Meereshöhe des Barometers schwankte zwischen 6 und 3 m.

³⁾ S. Segelhandbuch für den Atlant. Ozean, S. 204—216, und Köppen in den Annalen der Hydrographie, 1891, S. 79—84.

⁴⁾ Segelhandbuch, S. 206.

⁵⁾ Ebenda S. 208—211.

zwar nicht dem „Robert Rickmers“, aber zwei anderen Mitseglern stürmischen Wind aus WSW, resp. SSW—SSE (bis Stärke 9) brachte. Das Zentrum dieses Wirbels lag am 1. November in etwa 40° N. Br. und 20° W. L., halbwegs zwischen den Azoren und Portugal. Dann endlich setzte sich der Wind aufrischend und bei gleichmäßig zunehmendem Luftdruck im Westen fest; ohne daß eine Abnahme der Windstärke sich hätte bemerken lassen, ging dieser westliche Wind ganz allmählich über Nord in die Passatrichtung über. Daher läßt sich nur annähernd die polare Grenze des Passatgebietes für diese Zeit angeben, und zwar auf etwa 24° N. Br. in 22° W. L. Der höchste Luftdruck freilich, der den Ausgangspunkt der Passatströmung in gewissem Sinne anzeigt, wurde schon auf 30° N. Br. beobachtet (zu 766,8 mm).

Die Reise selbst lief sich unter diesen Verhältnissen im ganzen sehr gut fördern; nach nur 19 tägiger Segelfahrt, von England ab gerechnet, wurde der Äquator in 31° W. L. am 14. November 1891 zum erstenmal überschritten: diese kurze Dauer stellt die Fahrt des „Robert Rickmers“ in die Reihe der schnellsten Reisen, welche je zwischen Kanal und Linie gemacht wurden. Der NE-Passat, der sich durch sehr starke Bewölkung und täglich sich wiederholende, mitunter recht heftige Regenböen auszeichnete, hatte das Schiff bis nach 10° N. Br. geführt; sein Ende war schon fast 10 Stunden vor Beginn der eigentlichen äquatorialen Stillen und flauen, gewitterreichen Winde deutlich angezeigt durch eine binnen 4 Stunden von 69 $\frac{0}{10}$ auf 87 $\frac{0}{10}$ sich steigernde relative Feuchtigkeit der Luft. Der Kalmengürtel, zwischen 6° und 5° N. Br. besonders reich an Gewittern, erstreckte sich bis nach 34° N. Br., wo bei einem niedrigsten Luftdruck von 757,8 mm und sprunghaft wieder abnehmender Luftfeuchtigkeit der Passat der südlichen Halbkugel sich einstellte.

Wie die Übersichtskarte der Reisewege sogleich erkennen läßt, haben südöstliche bis östliche Winde das Schiff im westlichen Teil des Südatlantischen Ozeans ganz ungewöhnlich weit nach Süden begleitet. Der Passat selbst, welcher zum Unterschied von dem nordhemisphärischen einen viel klareren Himmel und nur wenige, unbedeutende Regenschauer aufwies, hielt nach einem schon 24 Stunden vorher beobachteten höchsten Luftdruck von nur 763,5 mm bis 25° S. Br. in 37° W. L. an. Darauf drehte aber der Wind, nicht wie gewöhnlich, durch N nach NW, um so allmählich bei weiterem Vorschreiten nach Süden zu dem berühmten „braven Westwinde“ Maury's zu werden, sondern er frischte aus Ostrichtung wieder auf und artete am 26., 27. und 28. November zu einem zeitweise sehr schweren Sturm aus, welcher von einer furchterlich hohen See begleitet war. Am härtesten war das Wetter in 36° S. Br. (Breite der La Plata-Mündung), den niedrigsten Stand mit 750,5 mm erreichte das Barometer aber nach dem Sturm bei ganz schwachem ESE-Wind¹⁾.

So vollzog sich der Eintritt in die höheren südlichen Breiten in etwas unregelmäßiger Weise; aber auch auf der ganzen Strecke längs des vierzigsten Parallels von 35° W. L. im Südatlantischen Ozean bis nach etwa 80° O. L. im Indischen Ozean waren die westlichen Winde durchaus nicht ausschließliche vorherrschend, und wir waren nur froh, daß der Wind zwischen NNE und W bis SSE sich hielt, so daß immer Kurs gesteuert werden konnte. Der Kurs ist, wie man sieht, auf dieser Strecke recht nach Osten gerichtet und folgt durchaus nicht dem größten Kreise, welcher z. B. bei einer Bestimmung nach der Sundastraße schon ein Ansegeln des 50. Breitenparallels, bei einer Bestimmung nach Australien aber ein solches von über 70° S. Br. erfordern würde. Letztere Route ist nun natürlich von vornherein, schon der Eisverhältnisse wegen, ausgeschlossen; man ist aber in neuerer Zeit auch von den durch Maury empfohlenen Routen, welche in immer noch relativ sehr hohen Breiten verlaufen, vielfach abgekommen, seitdem sich herausgestellt

¹⁾ Diese Richtungsangaben sind stets rechtweisende.

hat, daß in Breiten von über 50° das Wetter meist so außerordentlich stürmisch, die See so schwer ist, daßs Schiff und Mannschaft arg zu leiden haben; mehr noch kommt aber in Betracht, daßs in diesen hohen Breiten keineswegs, wie unsere schematischen Windkarten leicht vermten lassen, die Westwinde eine ziemlich unbestrittene erste Rolle spielen, vielmehr Ostwinde polwärts von 45° S. Br. wieder häufig genug werden, zumal im Winter¹⁾. Deshalb bewegt sich heutzutage der große Verkehr nach Indien und Ostasien ungefähr längs des 39.—44. Breitenparallels, und die englischen Segelschiffe, welche Auswanderer an Bord haben, sollen (nach den mir gewordenen Mitteilungen) auf Grand gesetzlicher Vorschriften selbst bei Fahrten nach Australien 45° S. Br. nicht überschreiten. Die Deutsche Seewarte empfiehlt für letzteren Weg als höchste anzusteuernde geographische Breite 47½° S. Br.²⁾, und zwar auch nur zur Zeit des südlichen Sommers.

Diese Notizen zeigen, in welchen Bahnen die Umsegelung des Kaps der Guten Hoffnung heute vor sich geht; so wenig man aber heute sehr weit südlich sich wagt, ebenso wenig hält man sich, wie dies bei den ersten Ostindienfahrten in den früheren Jahrhunderten geschehen ist, dicht unter dem Kaplande auf der Fahrt nach Osten, sondern man bleibt stets in einem sehr großen Abstand (300—400 Seemeilen) von Kap Agulhas.

Die Depressionen, welche in diesen Gegenden, genau wie über den entsprechenden des Nordatlantischen Ozeans, von West nach Ost sich bewegen, haben hier auf Südbreite die Eigentümlichkeit, daßs die Vorderseiten dieser Luftwirbel (mit Winden aus dem östlichen Halbkreis) verhältnismäßig wenig ausgebildet sind, so daßs die östlichen Winde meist vorübergehend und schwächer sind, als es bei den Depressionen auf dem Nordatlantik der Fall ist. Daher kommt es eben auch, daßs man in besonderer Weise von dem Vorwiegen dieser braven Westwinde in den hohen südlichen Breiten sprechen kann; es wird dies schon aus dem Umstande ersichtlich, daßs die mittlere stündliche Segelgeschwindigkeit (nach Osten) im Westwindgebiet des Nordatlantik sich nur auf 4,5 Seemeilen beläuft, im Westwindgebiet des Südatlantik und Indischen Ozeans aber auf 6,0³⁾.

Der „Robert Rickmers“ durchsegelte das in Rede stehende Meeresgebiet, welches wegen seiner überaus eigentümlichen ozeanographischen Eigenschaften mehrfach in den folgenden Abschnitten besprochen werden wird, im Monat Dezember 1891, und zwar wurde er dabei von etwa 7 mehr oder weniger scharf ausgeprägten Depressionen getroffen, unter welchen eine (am 18. und 19. Dezember) den eigentlichen Wirbelsturmcharakter deutlich zeigte, nämlich sehr starke, plötzliche Windänderungen, volle Orkanstärke in der Westrichtung, tiefen Barometerstand (741,2 mm) und kurze Dauer. In den folgenden Tagen, vom 20.—23. Dezember, wehte ein beständiger, zeitweilig schwerer Sturm aus W bis SW, doch waren die Luftdruckschwankungen viel unbedeutender; Schiff und Minimum schienen annähernd gleichen Schritt zu halten.

In den Weihnachtstagen befanden wir uns bei St. Paul-Amsterdam; am 28., 29. und 30. Dezember wurde der Rofsbreitengürtel des Südindischen Ozeans durchquert, welcher zwischen 33° und 31° S. Br. lag, also in viel höherer Breite, als der entsprechende des Südatlantik.

Der höchste Luftdruck wurde wieder, wie im Südatlantischen Ozean, erst beobachtet, als der Passat schon gut eingesetzt hatte, nämlich 768,8 mm auf etwa 28½° S. Br. unter 83° Ö. L. Der sehr frisch wehende Passat hielt bis 8° S. Br. an, wo er in flau und veränderliche Brise sich umwandelte. Erst auf dem zweiten südlichen Breitenparallel statt auf ungefähr 7° S. Br. kam ein anhaltender, sehr regnerischer Westmonsun durch, welcher das Schiff bis in Sicht der Nordspitze Sumatras auf 4½° N. Br. führte; diese weite nördliche Ansehnung des Monsuns ist beachtenswert, denn derselbe ist an sich in dieser

¹⁾ Annalen der Hydrographie 1891, S. 371.

²⁾ Segelhandbuch für den Indischen Ozean, herausgegeben von der Deutschen Seewarte, S. 471.

³⁾ Ebenda S. 450.

Gegend und in dieser Jahreszeit nur eine südhemisphärische Erscheinung; nach meiner Meinung darf man ihn nicht, wie dies noch oft geschieht, als eine Fortsetzung des über den Äquator schreitenden und dann links abgelenkten nordindischen NE-Monsuns betrachten, weil an seiner Nordgrenze ein Gebiet vorwiegender Stillen sich findet. Seine letzte Ursache liegt in der sommerlichen Erhitzung des australischen Kontinents; er bringt die Regenzeit für Niederländisch-Indien, besonders auch für Java, und sein Gebiet im Januar ist der zwischen 7° S. Br. und 2° N. Br. gelegene Meeresteil¹⁾. Die auf der Fahrt des „Robert Rickmers“ hier auftretenden, sehr starken Meeresströmungen nach SO, welche den im nordhemisphärischen Winter laufenden Äquatorialgegenstrom des Indischen Ozeans repräsentierten, werden weiter unten eine kurze Besprechung finden.

Von der Nordspitze Sumatras aus waren noch fünf Tage nötig, um die Malakkastraße zu durchqueren; das diesen tropischen Binnengewässern charakteristische Wetter, flau, veränderliche Brisen, heftige Regenböen mit Blitz und Donner füllten diesen letzten Teil der Reise aus, bis endlich, nach einer (von England ab gerechneten) sehr schnellen Fahrt von 84 Tagen Pinang am 18. Januar 1892 abends erreicht wurde.

Die von mir im Februar und März unternommenen weiteren Reisen wurden auf dem Dampfer „Oceana“, Kapt. Behrens, gemacht; wie die Karte des Reiseweges zeigt, gelangte ich dabei bis nach Yokohama. Am 28. März war ich bereits wieder in Pinang. Es ist hier, wo nur eine Übersicht zum bessern Verständnis der folgenden Ausführungen beabsichtigt ist, nichts weiter darüber zu sagen.

Ende März, Anfang April hielt ich mich in Atjeh auf Nordsumatra auf; über die hier vorliegenden kriegerischen Verhältnisse zwischen den Holländern und den Eingebornen, sowie auch über die Natur des Landes selbst sind einige nähere Mitteilungen im „Globeus“²⁾ gegeben.

Am 6. April 1892 wurde von Olehleh, dem Hafenplatz Atjehs, eine neue Segelfahrt angetreten, nunmehr auf dem Bremer Viermaster „Peter Rickmers“, Kapt. Andresen. Das nächste Ziel war Saigon.

Es ist zu keiner Zeit ein Vergnügen, ein Segelschiff in engen Gewässern, zumal in tropischen, zu führen; aber jetzt im April und Mai, den Monaten des Monsunwechsels, stellte diese Fahrt durch die Malakkastraße und Chinasee ganz besondere Anforderungen an die Schiffsführung, da die Windstillen und Mallungen³⁾ beständig mit zum Teil sehr heftigen Gewitterböen abwechselten. Verhältnismäßig gut ging die Fahrt durch die Malakkastraße vor leichten, unstätigen West- bis Nordwinden; bei Kap Buru (auch Kap Bolus genannt, der Südspitze Asiens) mußte zum erstenmal wegen Windstille und Gegenstrom geankert werden, das Gleiche geschah dann noch mehrere Male, bis wir den östlichen Ausgang der Singapore-Straße erreichten, von wo bis nach 5° N. Br. Spuren eines beginnenden SW-Monsuns sich fanden. Am mühsamsten war die Zurücklegung des letzten Teils der Reise bis nach Kap St. Jacques hin, da das Schiff mitten in dem Stillengürtel zwischen dem nach Nord zurückweichenden NE-Monsun und dem von Süd vorschreitenden SW-Monsun sich befand; das niedrigste Tagesmittel der Barometerablesungen in diesem Grenzgebiet ergibt für den 25. April auf 6° N. Br. 105° O. L. den geringen Wert von 756,9 mm. Elf Tage vergingen noch nach Überschreitung des fünften nördlichen Breitengrades, ehe im Delta des Donnai am 3. Mai geankert werden konnte. In dieser Zeit wurden die höchsten Temperaturgrade der Luft sowohl wie des Wassers beobachtet, nämlich 31,1° C. (nach dem Afmanaschen Aspirationspsychrometer) und 30,7° C. Die

¹⁾ Vgl. die außerordentlich lehrreichen Karten im Atlas des Indischen Ozeans, herausgeg. von der Deutschen Seewarte, Taf. 15 (Luftdruck im Januar), Taf. 20 u. 23 (Wiede im Januar).

²⁾ Band 63, Nr. 18 (1893).

³⁾ Das sind veränderliche, sehr leichte Winde.

sehr hohe Feuchtigkeit der Luft machte begreiflicherwise den Aufenthalt auf dem heißen Schiffsdeck noch lästiger.

Es kann jedoch an dieser Stelle auf die meteorologischen Beobachtungen an jenen Tagen nicht weiter eingegangen werden; nur erwähnt sei, daß in den ersten Tagen meines Aufenthaltes in Saigon (6.—10. Mai) der SW-Monsun, den wir auf See hinter uns gelassen hatten, unter kolossalen Gewittern durchkam und damit eine sehr regnerische Zeit begann. Nach einmonatlichem Aufenthalt ¹⁾ in Nieder-Cochinchina trat ich am 3. Juni 1892 auf denselben „Peter Rickmers“ die Heimreise an.

Es galt zunächst, die Sundastraße und damit den offenen Indischen Ozean zu erreichen. Mit dem in der Chinasee nunmehr herrschenden Sommermonsun, welcher glücklicherweise fast aus WSW wehte, gelangte unser Segler schnell, ohne kreuzen zu müssen, nach der Borneo-Küste; der Kurs ging dann dicht unter Kap Datu (NW-Ecke Borneos) durch die Apipassage südwärts zwischen den Tambelan-Inseln und der Borneo-Küste zur Linie, worauf für die Karimatastraße gesteuert wurde. Diese ganze Strecke war nur sehr mühsam zurückzulegen, da widrige, flauere Winde und besonders ein oft starker nach Nord und West setzender Strom uns entgegen waren.

Als wir endlich am 19. Juni die hohe Karimata-Insel in Sicht hatten, kam aus der Meeresstraße ein solcher frischer SE-Monsun (der Passat der südlichen Halbkugel), daß der Kapitän ein Ankreuzen gegen denselben sofort aufgab und durch die Gasparstraße zwischen Billiton und Banka zu gehen beschloß. Das Manöver gelang vorzüglich; zwei Tage später waren wir in der Javasee, nachdem wir nur einmal, zwischen Leat und Mondanau, in der Gasparstraße 8 Stunden vor Anker liegen müssen. Am 23. Juni mit Tagesanbruch tauchte Kap Nicholas, die NW-Ecke Javas, aus dem Meere, und am Abend desselben Tages bereits war die Sundastraße durchsegelt ²⁾, und der „Peter Rickmers“ durchpflügte, vor einem stürmischen SE-Passat laufend, den Indischen Ozean in der Richtung auf Mauritius hin.

Es sei gestattet, hier eine Bemerkung einzufügen, welche schon anderwärts ³⁾ Aufnahme gefunden hat, mir aber wegen der Wichtigkeit des Gegenstandes nach verschiedenen Seiten hin beachtenswerth erscheint, zumal es sich um den Hinweis auf ein offenbar noch sehr aussichtsvolles Feld der Forschung handelt. „Der ‚Peter Rickmers‘ hatte — so ist an der zitierten Stelle gesagt — von Saigon bis zur Erreichung des offenen Ozeans 19 Tage gebraucht. Es ist interessant und charakteristisch für die Schiffsverkehrsverhältnisse in diesen Binnengewässern, daß alle anderen Schiffe, die vor oder nach unserem Viermaster oder gleichzeitig mit ihm, einerlei ob hölzerne oder eiserne Segler, von Saigon abgegangen sind, bedeutend längere Reisen bis zur Sundastraße gehabt haben. 32, 36, 47, ja 52 Tage sind von den andern Schiffen gebraucht worden, um diese etwa 1200 Seemeilen lange Strecke zurückzulegen. Unter den im Mai vorigen Jahres in Saigon versammelten Kapitänen war die Frage über die einzuschlagende Segelroute viel erörtert worden; unsere Mitsegler scheinen meist durch die Karimatastraße (zwischen Borneo und Billiton) gegangen zu sein, während wir durch Benützung der Gasparstraße den großen Vorteil erlangt haben. Auf die näheren, rein nautischen Verhältnisse, welche damit zusammenhängen, gehe ich nicht ein; soviel scheint aber sicher, daß gerade in den tropischen Binnengewässern, in denen der Schiffer so vielfach mit mallenden und flauen Winden, mit starken Strömungen von schnell wechselnder Richtung zu arbeiten hat, die genaueste Erforschung der ozeanographischen und meteorologischen Verhältnisse, getrennt durchgeführt nach Lokalität und Jahreszeit, der Segelschifffahrt ganz besonderen Nutzen verspricht: und dies um so mehr, als man wohl sagen darf, daß in den weitaus meisten in Betracht kommenden Fällen die

¹⁾ Einiges hierüber in den Verhandlungen der Berliner Ges. f. Erdk. 1893, S. 73.

²⁾ Siehe hierüber (Neu-Anjer &c.) dieselben Verhandlungen 1893 S. 74.

³⁾ Ebenda S. 74.

Frage, ob eine sogen. „lange“ oder „kurze“ Segelschiffsreise resultiert, sich bereits entschieden hat auf derjenigen Fahrstrecke, welche eben in diesen Binnengewässern zu machen ist.

„Es ist dies ein Gegenstand und ein Gebiet, an dem die Wissenschaft und Praxis in gleicher Weise interessiert sein dürfte.“

Was den Anteil, den die Wissenschaft an solchen Untersuchungen haben würde, anbetrifft, so braucht ja kaum gesagt zu werden, daß wir zwar im allgemeinen die klimatischen Grundzüge des hinterindischen Archipels kennen, im einzelnen aber, besonders was den jahreszeitlichen Verlauf der Winde, die Regenverteilung u. s. w. anlangt, noch sehr wenig zuverlässige Kenntnisse haben; noch mehr gilt dies von der Ozeanographie dieser Binnengewässer. Eine Spezialuntersuchung über die östliche Javasee liegt vor von Blink in Amsterdam¹⁾, und doch ließe sich in ähnlicher Weise, z. B. an der Hand des überaus reichen handschriftlichen Materials der Deutschen Seewarte in Hamburg, gewiß eine große Zahl wertvollster, interessantester Arbeiten ausführen. Doch dies mag nur nebenbei hier erwähnt sein.

Mein Reiseweg führte quer durch den Indischen Ozean nach Südafrika hin, dessen Küste in der Gegend von Natal am 16. Juli nach nur 22tägiger Segelfahrt in Sicht gelaufen wurde. Der Passat hatte uns bis eben südlich von Madagaskar geführt; auf der weiteren Strecke begannen auch westliche Winde, bald mit nördlicher, bald mit südlicher Komponente, aufzutreten. Das Maximum des Luftdrucks lag, infolge der Jahreszeit und der Nähe des afrikanischen Kontinents, weit nach Süden und Westen²⁾ und wurde auf 28° S. Br. und 40° Ö. L. (also gerade in der Mitte des Mozambique-Kanals) zu 772,5 mm beobachtet.

Die auf dem Rückwege schwierige Umsegelung des Kaps der Guten Hoffnung — es gilt, recht gegen die meist stürmischen Winde aus Westen anzuarbeiten — wurde uns nur wenig durch den Agulhasstrom erleichtert, anderseits auch nicht übermäßig durch Gegenwinde erschwert; wenigstens waren diese, abgesehen von einem schweren Sturm am 16. Juli, relativ nicht zu hart, wenn man bedenkt, daß wir uns im südlichen Winter befanden. Das Leuchtfeuer auf Kap Agulhas wurde am 26. Juli abends auf 15 Seemeilen Entfernung bei leichtem Südwinde passiert, der Tafelberg ging als letzte Landmarke am 28. morgens außer Sicht, und ein danach einsetzender mäßiger bis frischer SW-Wind ging, ohne auch nur im geringsten an Stärke abzunehmen, allmählich durch die Südrichtung in den SE-Passat über. Die Lage des südlichen Rotbreitengürtels oder der polaren Passatgrenze kann daher nur nach dem Barometer angegeben werden; der höchste Luftdruck fand sich unter 30½° S. Br. und 11½° Ö. L. zu 772,7 mm, also fast genau zu demselben Wert, wie er auf der andern Seite des Kaplandes im Indischen Ozean, allerdings unter 40° S. Br., beobachtet worden war.

Der Passat hielt aber nicht, was er versprochen hatte. Da das Barometer bis nach St. Helena hin eine ganz außerordentlich geringe Abnahme des Luftdrucks anzeigte, so daß offenbar nur sehr schwache Gradienten für die Luftbewegung vorhanden waren, so sank der Passat bald für den größten Teil der Fahrstrecke im Südatlantischen Ozean zu einem leisen südlichen bis östlichen Zug herab, der das Schiff nur sehr langsam vorrücken ließ. Noch dicht bei St. Helena am 11. August morgens war der Luftdruck 767,7 mm. Sein äquatoriales Minimum (759,2 mm) fand sich am 28. August in 9° N. Br. und 25° W. L. und trat genau an dem Tage ein, an welchem die Sonne für diesen Breitenparallel in Zenith stand. Mit dem Zenithstand der Sonne war ein höchst unbeständiger, böiger Westmonsun, der von Windstillen abgelöst wurde, verknüpft; erst in 12½° N. Br. wurde der

¹⁾ Gerland, Beiträge zur Geophysik, Stuttgart 1887, S. 1—58.

²⁾ Siehe hierzu die Tafel 17 im Atlas des Indischen Ozeans, herausgeg. von der Deutschen Seewarte.

NE-Passat erreicht und damit der letzte gröfsere Reiseabschnitt begonnen. Derselbe erforderte immerhin noch volle 30 Tage, da nach dem Aufhören des Passats in 30° N. Br. und 38° W. L. in unerwünschter Weise östliche Winde durchkamen, die mit Windstillen bei sehr hohem Barometerstand (bis zu 774,7 mm) wechselten, während die nördlich von 40° N. Br. endlich auftretenden südlichen Winde gleich zu einem ganz fürchterlichen, orkanartigen Sturm am 22. und 23. September ausarteten; ein intensives Minimum von 745,3 mm brachte einen cyklonartigen Windwechsel von SSW nach NzE während des Zeitraumes von 3 Stunden.

Endlich, nach 119tägiger Seefahrt von Saigon, nach 99tägiger Fahrt ab Java, gelangten wir am 1. Oktober zur Mündung des Englischen Kanals bei den Scilly-Inseln, und 7 Tage später nach Bremerhaven, wobei stürmisches Wetter uns bis in die Weser hinauf verfolgte. —

Ich glaube der Meinung sein zu dürfen, dafs der im Vorstehenden gegebene Überblick über die Fahrten, wenngleich er etwas trocken ausgefallen sein wird, doch für die folgenden Darlegungen sich nützlich erweisen soll, da ich nunmehr in der Lage bin, bei der geographischen Fixierung irgendeines Phänomens und der Besprechung seines Zusammenhanges mit der Umgebung mich kürzer fassen zu können. Auch wird es, denke ich, nicht gerade uninteressant sein, zu sehen, wie im einzelnen Falle eine grofse Segelschiffsrouten auf der Karte sich darstellt, zumal die Bedeutung der Segelschiffahrt — entgegen einer viel verbreiteten irrigen Ansicht — eine dauernd steigende Bedeutung für den grofsen Weltverkehr, gerade in letzter Zeit, wieder erlangt hat¹⁾.

¹⁾ Näheres hierüber in den Verhandlungen der Berl. Ges. f. Erdk. 1893, S. 65 u. 66; Annal. der Hydrographie 1892, S. 293 und 1891, S. 338 ff.

I. Teil.

Hydrographie.

Die Wassertemperatur der Meeresoberfläche.

Die hierher gehörigen Beobachtungen wurden sämtlich in der Weise erhalten, daß ich in einer aus Segeltuch gefertigten Pütze (von etwa 7 l Inhalt) eine Quantität Seewasser an Deck holte und das eingetauchte Thermometer nach nicht zu langer Zeit (1 Minute im Durchschnitt) ablas. Da, wie wir später noch im einzelnen sehen wollen, fast stets die Luft erheblich kühler ist als das Wasser, so darf, wenn eine Abkühlung der aufgeschlagenen Wassermenge vermieden werden soll, das Thermometer nicht zu spät abgelesen werden; der in manchen Werken angegebene Zeitraum von 3—4 Minuten ist für die meist im Gebrauch befindlichen Instrumente entschieden zu lang.

Es ist ferner zu beachten, daß man den Schöpfeimer womöglich etwas unter die Oberfläche der See sinken lasse, damit man von der allerobersten Wasserschicht, die zu sehr der augenblicklichen Einwirkung der Sonne und der Atmosphären einliegt, nichts oder nur wenig schöpfe. Ich beobachtete z. B. nach schnell hintereinander an derselben Stelle gemachten Versuchen, bei denen der Schöpfeimer bald nur eben das Wasser berührte, bald auch etwa $\frac{1}{4}$ — $\frac{1}{2}$ m tief unter dem Meeresspiegel war, Differenzen in den Ablesungen bis zu $0,6^{\circ}$ C. im Maximum! Läuft das Schiff mehr als 10 Knoten Fahrt, so kann man natürlich nicht weiter auf diese Vorschrift Rücksicht nehmen.

Aber stets sollte ferner an der Schattenseite des Schiffes das Wasser entnommen werden; zumal wenn das Fahrzeug nur wenig vorwärts geht, treten merkliche Unterschiede zwischen den Ablesungen auf beiden Seiten ein; ich fand z. B. einmal, als das Schiff in der Minute noch ziemlich 300 m zurücklegte, einen deutlichen Einfluß; auf der Sonnen-seite war die Temperatur des Wassers $22,30^{\circ}$, auf der Schattenseite $22,05^{\circ}$ — $22,0^{\circ}$.

Alle die vorliegenden Messungen der Oberflächentemperatur des Seewassers werden erst in dem Abschnitt über die Meeresströmungen¹⁾ ihre eigentliche praktische Verwendung finden, da sie dort, in Verbindung mit den anderen ozeanographischen Faktoren, uns die hauptsächlichste Stütze für die Festlegung und Abgrenzung der verschiedenen Strömungssysteme abgeben sollen. Hier wollen wir nur ganz kurz einiges wenige erörtern, was das Verhalten der Oberflächentemperaturen an sich betrifft, zunächst die tägliche Periode der Wassertemperatur.

Die diesbezüglichen Verhältnisse auf den Meeren der höheren Breiten will ich übergehen; hier ist, wie eine genaue Durchsicht der Schiffsbeobachtungen durchgehen¹⁾ ergibt, selten überhaupt ein regelrechter täglicher Gang der Temperatur ausgebildet, so-

¹⁾ Siehe I. Teil, 4. Abschnitt.

weit man darüber an Bord eines den Ort verändernden Schiffes klar werden kann. Es finden sich hier außerordentlich häufig, ja in der Regel, kleinere oder größere Sprünge in der Wassertemperatur während 24 Stunden, hauptsächlich wohl darum, weil in diesen Breiten das Auflösen und ineinanderübergehen der Oberflächenströmungen sich bis in das kleinste Detail vollzieht. Jedenfalls wird, nach einigen mir vorliegenden Anhaltspunkten zu urteilen, auf hoher See in den Breiten von über 30° bei einem frischen Wind und klaren Himmel die tägliche Amplitude nur sehr gering, etwa $0,3^\circ$ — $0,4^\circ$ C. sein.

Ganz andere Angaben lassen sich für die Meere der Tropen machen. Erst hier kann man von einer ausgesprochenen, stets nachweisbaren täglichen Periode der Wassertemperatur sprechen, da im allgemeinen auf ungeheure Strecken hin die letztere an sich höchst gleichmäßig ist. Selbst bei relativ starker Ortsveränderung des Schiffes sehen wir innerhalb der Wendekreise die tägliche Periode, mit geringen Ausnahmen, gut ausgebildet; doch lag mir für jede der im folgenden aufgeführten Gruppen auch eine vollkommen genügende Zahl von Beobachtungstagen vor, an welchen das Schiff nur ganz unbedeutend im Laufe der 24 Stunden seinen Ort verändert hatte.

Vor allem muß man unterscheiden einmal zwischen Tagen, an welchen eine mäßige bis frische Luftbewegung vorhanden ist, und solchen, an welchen der Wind flau ist oder gar Windstille herrscht; sodann anderseits zwischen solchen, an welchen der Himmel ganz von Wolken bedeckt ist, und solchen, an welchen er ganz klar ist oder doch nur einzelne lose Wolken aufweist, d. h. also zwischen Tagen ohne und mit Sonnenstrahlung.

Es war mir interessant, zu sehen, mit welcher Regelmäßigkeit innerhalb der Tropen der Betrag der täglichen Amplitude je nach dem Charakter der Witterung in bedeutendem Grade schwankte.

Aus 10—15 einzelnen Beobachtungstagen für jede Gruppe erhielt ich als Mittelwert folgende Beträge der täglichen Temperaturschwankung des tropischen Oberflächenwassers (über 20° C.):

	Mittel.	Maximum.	Minimum.
I. Bei mäßiger bis frischer Brise:			
1) mit bedecktem Himmel	0,39	0,6	0,0
2) mit fast klarem oder wolkenlosem Himmel	0,71	1,1	0,3
II. Bei Windstille oder ganz flauem Luftzug:			
1) mit bedecktem Himmel	0,91	1,4	0,6
2) mit fast klarem oder wolkenlosem Himmel	1,59	1,9	1,2

Daraus bekommt man als Totalmittel für den Betrag der täglichen Amplitude $0,90^\circ$ C., was genau dem schon von Humboldt angegebenen Werte („kaum 1° C.“) entspricht.

Ohne Rücksicht auf die Sonnenstrahlung stellt sich die tägliche Variation der Temperatur auf $0,55^\circ$, wenn energische Luftbewegung vorhanden, dagegen auf $1,36^\circ$, wenn die letztere fehlt. Umgekehrt endlich, wenn wir keine Rücksicht auf den Wind nehmen, so haben wir an bewölkten Tagen die tägliche Schwankung $= 0,66^\circ$, an klaren $= 1,15^\circ$.

Die Zahlen selbst bedürfen kaum einer weiteren Erläuterung, es ist begreiflich, daß in den niederen Breiten bei klarem Himmel und Windstille die oberflächlichen Wasserschichten sich sehr stark erhitzen. Der Einfluß der Windstille, resp. des Windes ist dabei natürlich hauptsächlich ein indirekter, indem je nach der Windstärke die Schichten der Meeresoberfläche einen verschiedenen Seegang aufweisen, welcher wieder für eine mehr oder weniger kräftige Durchmischung dieser Wassermassen sorgt. Letztere aber hindert sehr stark die regelrechte Ausbildung eines täglichen Temperaturganges; die tägliche Amplitude ist über die Hälfte kleiner an Tagen mit Brise als an Tagen ohne solche.

Da aber die bewegte Luft auch eine Wirkung insofern ausüben dürfte, als sie die Verdunstung fördert und dadurch dem Ansteigen der Temperatur entgegenarbeitet, so schien

es angebracht, den Wind selbst als wichtigsten Faktor in diesem Falle aufzustellen. Einige bemerkenswerte Ausführungen über den täglichen Temperaturgang findet man übrigens in den neuesten offiziellen Berichten von Luksch und Wolf über die „Pola“-Fahrten im Mittelmeer¹⁾.

Der absolute Wert der oben mitgeteilten Zahlen mag nicht ganz genau sein, jedenfalls ist aber das Wesentliche ihres gegenseitigen Verhältnisses, wonach Windstärke und Bewölkung ausschlaggebend sind für den Betrag der Amplitude, sicher, so daß man mit großer Wahrscheinlichkeit beim Betrachten diesbezüglicher Temperaturreihen einen Rückschluß auf den Witterungscharakter des betreffenden Tages in den angedeuteten zwei Richtungen machen kann. Köppen giebt im Segelhandbuch für den Indischen Ozean, S. 132 ff., nach dem „Challenger“-Werk die tägliche Temperaturschwankung des Wassers „in der Nähe des Äquators“ zu $0,4^{\circ}\text{C.}$ an; diese Zahl, bedeutend kleiner als die von uns gegebene ($0,9^{\circ}$), kann nicht wohl gegen unsere Aufstellungen angeführt werden, da ihr niedriger Wert es wahrscheinlich macht, daß sie, wenigstens zum größten Teil, auf Beobachtungen bei Wind und Wolkenbedeckung beruht: in diesem Falle stimmt sie ja genau zu $0,39^{\circ}$ in unserer Tabelle.

Es kommt gewiß weniger auf die absolute Größe der Zahl an als auf die Darlegung des kausalen Zusammenhangs; aber ich habe doch nachträglich auch noch die jetzt in dem 5. Bande des Reisewerkes vorliegenden entsprechenden Beobachtungen der „Gazelle“ daraufhin verglichen und finde da — für die eigentlich tropischen Gegenden, um welche es sich hier immer nur handelt — eine große Übereinstimmung mit meinen Zahlen, sobald man die Fälle je nach dem verschiedenen Witterungscharakter zusammenstellt.

Im einzelnen ist noch zu bemerken, daß das Minimum der Temperatur meistens früh um 4^h beobachtet wurde, das Maximum dagegen zwischen 12^h a. m. und 4^h p. m., und zwar zeigte sich daselbst sehr oft die Erscheinung, daß bei frischem Wind das Maximum ziemlich genau mit der wahren Mittagszeit zusammenfiel, sich aber in dem Grade verspätete, als die Windstärke eine geringere war, so daß bei Windstille das tägliche Temperaturmaximum oft erst um 4^h p. m. sich herausstellte.

Wenn man die Kurven des täglichen Ganges der Wassertemperatur entwirft, so zeigen sich viele Unregelmäßigkeiten, z. B. liegt manchmal zwischen Minimum und Maximum nur ein Zeitraum von 4 Stunden (8^h a. m. bis 12^h Mittag). Manchmal auch ist die tägliche Schwankung ungewöhnlich gering oder verschwindet ganz. Als wir im Singapore-Kanal während mehrerer Tage (an fast gleicher Stelle) vor Anker lagen, betrug sie für den Zeitraum von 8^h a. m. bis 8^h p. m. bei totaler Windstille, aber bedecktem Himmel immer nur $0,2^{\circ}$ — $0,3^{\circ}$.

Diese Mitteilungen werden noch im zweiten Teil der vorliegenden Arbeit durch die Besprechung der Lufttemperatur und deren Verhalten über den tropischen Meeren eine notwendige Beleuchtung erfahren. —

Eine zweite erwähnenswerte Frage ist diejenige nach dem Einfluß, den die Niederschläge auf die Wassertemperatur auszuüben vermögen. Wir erhalten nach den hierüber angestellten Beobachtungen das Resultat, daß dieser Einfluß ein sehr geringer ist, indem selbst die heftigsten tropischen Regengüsse, auch bei einer Dauer von mehreren Stunden, die Wassertemperatur noch nicht einmal um 1°C. zu erniedrigen vermögen. Es mögen zunächst einige Beispiele folgen:

1. Am 30. Oktober 1891 in 42°N. Br. und 16°W. L. bei mäßigem Seegang und flauen, unstäten E—S-Winden sehr heftiger Regen von 5^h bis 11^h a. m. Temperatur des

¹⁾ Siehe Denkschriften der Wiener Akademie, mathem.-naturw. Klasse, Bd. LIX, Wien 1892. „Physikalische Untersuchungen im östlichen Mittelmeer“, S. 51 u. 52.

Regenwassers: 12,5°. Ungefähre Regenmenge 110 mm. Schon vor 5^h morgens waren viele harte Regenschauer niedergegangen.

Wassertemperatur der Meeresoberfläche	Mitternacht.	4 ^h a. m.	8 ^h a. m.	Mittag.
	16,3°	16,4°	16,2°	16,2°

2. Am 10. November 1891 in 8° N. Br. und 26° W. L. bei schwachem Seegang, umgehenden leichten Winden von 2^h 25^m bis 4^h 30^m nachmittags äußerst heftiger Regen. Ungefähre Regenhöhe 80 mm. Temperatur des Regenwassers 23,1°:

Wassertemperatur der Meeresoberfläche	8 ^h a. m.	Mittag.	4 ^h p. m.	8 ^h p. m.	Mitternacht.
	27,1°	27,5°	27,0°	27,2°	27,1°

3. Am 8. und 9. Januar 1892 in 2° S. Br. und 90° Ö. L. im Gebiet des überaus regenreichen Westmonsuns, welcher während der größten Heftigkeit der verschiedenen Regen abzuflauen pflegte, wurde beobachtet:

Wassertemperatur der Meeresoberfläche.

8. Januar	Mittag.	28,0°	} Von 0 ^h 30 ^m bis 5 ^h p. m. anhaltender heftiger Regen.
	4 ^h p. m.	27,9°	
	8	27,9°	} Von 7 ^h 30 ^m p. m. bis 1 ^h 30 ^m a. m. sehr heftiger Regen.
	Mitternacht.	27,3°	
9. Januar	4 ^h a. m.	27,5°	} Bis 8 ^h a. m. mehrere Regenschauer.
	8	28,0°	
	Mittag.	28,4°	} Seit 1 ^h p. m. dick von Regen, anhaltend bis 8 ^h p. m.
	4 ^h p. m.	27,9°	
	8	27,5°	

4. Am 14. und 15. Januar 1892 in 5° N. Br. und 97° Ö. L. (nördl. Teil der Malakkastraße) bei vorwiegender Mallung aus E kam der heftigste und anhaltendste Regenschauer vor, den ich beobachtet habe (abgesehen von den Gewitterregen in Saigon am Land beim Ausbruch des SW-Monsuns, Mai 1892). See glatt.

Temperatur der Meeresoberfläche.

14. Januar	8 ^h p. m.	27,0°	} Seit 10 ^h 30 ^m p. m. schwerer Regen.
	Mitternacht.	26,3	
15. Januar	4 ^h a. m.	26,5	} Mallung und strömender Regen.
	8	26,4	
	Mittag.	26,5	} Dick von strömendem Regen.
	4 ^h p. m.	26,4	
	8	26,5	} Bis 5 ^h p. m. fortwährend grauhaft herniederstürzende Regenmassen.
			Temperatur des Regenwassers 24,0°.

5. Am 20. Juni 1892 in der Gasparstraße (zwischen Banka und Billiton) bei vorwiegender Windstille und Mallung aus ESE über NE bis NW:

Mittg.	28,7°	{ Seit 1 ^h 45 ^m p. m. sehr schwerer, wolkenbruchartiger Regen aus NO, dessen Temperatur
4 ^h p. m.	28,3	
8	28,3	
		} 25,0° war. See glatt. Der heftige Regen dauerte bis 3 $\frac{1}{2}$ ^h p. m.

6. Am 26. August 1892 in 8° N. Br. und 26° W. L.:

8 ^h a. m.	26,3°	} 9 ^h 30 ^m a. m. kommt bei flauem westlichen Wind eine heftige Gewitterböe aus NO über mit schwerem Regen, dessen Temperatur = 22,4° C., und stürmischem
Mittag.	26,3°	
4 ^h p. m.	26,3°	} Wind. Dauer derselben bis 1 ^h 15 ^m a. m. See leicht bewegt. Man vgl. dies Beispiel mit Beispiel Nr. 2 (10. Nov. 1891), welches aus genau derselben Örtlichkeit stammt.
8	26,3°	

In den aufgeführten 6 Beispielen können wir den Höchstbetrag der durch die Niederschläge bewirkten Abkühlung des Seewassers annehmen zu 0,3°, 0,5°, 0,7° und 0,6°, 0,7°, 0,5°, 0,5° C. In allen Fällen waren die Regenmassen sehr bedeutende, und doch war ihr Einfluss auf die Meerestemperatur ein geringer. Selbst in dem vierten Beispiel, nach welchem wahre Sintflutungen von Regen auf eine glatte Seeoberfläche herabfielen, waren die Temperaturänderungen am 15. Januar ganz geringfügig, wenn wir von dem ersten Sturz der Temperatur am Abend vorher (von 27,0° auf 26,3°), absehen. Erklärlich wird diese geringe Wirkung des Regens auf die Wassertemperatur, wenn wir sehen, daß die Temperatur des Regenwassers selbst nur etwa 3°—4° niedriger ist als die der See; außerdem kommt der Seegang dazu, welcher für eine stete Durchmischung der obersten Wasserschichten Sorge trägt.

Wir werden später sehen, daß auch auf den Salzgehalt des Oberflächenwassers atmosphärische Niederschläge nur eine ganz überraschend geringe, verdünnende Wirkung auszuüben im stande sind.

Ausgehend von dem konstatierten Faktum habe ich noch eine Bemerkung zu machen zu dem von Köppen zuerst gefundenen¹⁾, dann von Seemann näher besprochenen²⁾ interessanten Phänomen in der Chinasee, welches den dort vorhandenen Unterschied zwischen Luft- und Wassertemperatur betrifft. Am Schluß seiner Abhandlung, aus welcher man ersieht, daß in der Tropenzone der Temperaturunterschied zwischen dem Seewasser und der darüber lagernden Luft im Mittel zwischen 0,0° und 0,8° C. schwankt, in den meisten Fällen aber nur einige Zehntel Grad (2—3) ausmacht, bemerkt Köppen, daß allein in der Chinasee, zwischen Luzon bis nach Sumatra und Neu-Guinea hinunter, dieser selbe Temperaturunterschied in den Monaten August und November zu der abnormen Höhe von 2° und darüber ansteige, so zwar, daß das Seewasser zwischen 28° und 29° warm sei, die meteorologischen Stationen in diesem Gebiet aber nur 26°—27° durchschnittliche Lufttemperatur angeben.

Seemann, der diesen auffallenden Umstand näher untersucht hat, kommt zu dem Resultat, daß einerseits Strömungen, anderseits und besonders Regenfälle in der Nähe der Küsten (zur Zeit des Regenmonsuns dieser Gegenden) den großen Unterschied bewirken. Er führt u. a. folgendes Beispiel an (ein Punkt neben der Zahl bedeutet „Regenfall“ zur Zeit der Beobachtung):

Stunde	4 ^h a. m.	8 ^h a. m.	Mittag.	4 ^h p. m.	8 ^h p. m.	Mitternacht	
10° bis 15° N. Br.	— 2,6°	— 0,9°	+ 1,8°	+ 2,6°	— 0,4°	— 0,4°	Die Zahlen bedeuten Differenzen: Luft minus Wasser.
120 „ 125 Ö. L.	— 1,4	— 2,3 ●	— 4,4 ●	— 1,4	— 1,5	— 1,7	
Monat: August	— 1,9	— 4,1 ●	— 1,4 ●	— 1,4 ●	— 3,3 ●	— 1,4 ●	
	— 2,0 ●	— 3,1 ●	— 2,5 ●	— 2,8	— 1,7	— 1,5	

Obachon hier, wie auch in anderen von Seemann mitgetheilten Tabellen sich manchmal sehr große Temperaturunterschiede finden, selbst wenn kein Regen fiel oder voranging, so dürfte er doch im allgemeinen das Phänomen richtig erklärt haben. Nur finde ich nirgends hervorgehoben, was ja für den klimatologischen Vorgang als solchen das Charakteristische ist, daß die große Temperaturdifferenz zwischen Luft und Wasser ausschließlich oder fast ausschließlich der Abkühlung, welche die Luft erleidet, zuzuschreiben ist. Das Wasser verändert, wie wir sahen, selbst bei heftigsten Regenfällen seine Temperatur nur wenig; eine starke Temperaturabnahme des Oberflächenwassers würde außerdem dem Zustandekommen einer größeren Temperaturdifferenz zwischen Wasser und Luft entgegenwirken.

Ich halte es für wichtig, zu betonen, daß lediglich die Luft es ist, welche für diese abnormen Differenzen verantwortlich gemacht werden kann. Dieselbe kühlt sich nach jeder Regenböe bedeutend ab, worüber wir im zweiten Teil dieser Arbeit nähere Ausführungen bringen werden. Daß die Differenzen zwischen Luft- und Wassertemperatur gerade in der Nähe der Küsten so große sind, scheint auch verständlich, da an Land das niedergefallene atmosphärische Wasser am Boden, besonders aber auf der in das Mannigfachste ausgestalteten Vegetationsoberfläche eine unvergleichlich größere Gelegenheit findet, zu verdunsten und damit Abkühlung hervorzurufen, als auf dem Spiegel der Meeresoberfläche.

Jedenfalls ist die besprochene Erscheinung höchst beachtenswert für die Tropen, da man sonst im allgemeinen die Erfahrung macht, daß bei einer Annäherung an Land die Lufttemperatur merklich zunimmt. Ich brauche kaum noch zu bemerken, daß ich dem folgenden von Seemann ausgesprochenen Satz nicht wohl zustimmen kann: „Wie groß der abkühlende Einfluß der Regenfälle im allgemeinen ist, ersehen wir schon daraus, daß nach

¹⁾ Siehe Annal. der Hydrogr. 1890, S. 445 ff., bes. S. 451.

²⁾ Ebenda 1892, S. 57 f.

den Schottischen Temperaturkarten¹⁾ der Meeresoberfläche in der ganzen Chinasee die Wassertemperatur im August um 1° bis 2° niedriger ist, als im Mai. Die Regenfälle sind im Juli allgemein, sowohl in der Chinasee wie an den Küsten.²⁾ Gewiss ist die Wassertemperatur zur Zeit der größten Ausbildung des SW-Monsuns niedriger als im Mai; aber im Mai ist die Temperatur abnorm hoch infolge der vorherrschenden Windstillen und der über der Chinasee senkrecht stehenden Sonne, im August hat aber das Wasser seine normale Temperatur, die nicht durch Regen erheblich abgekühlt werden kann.

Spezifisches Gewicht und Salzgehalt des Meerwassers.

1. Theoretisches.

Die hierher gehörigen Beobachtungen und Untersuchungen werden in der Ozeanographie noch für lange Zeit eine der ersten Stellen einnehmen; denn unsere Kenntnisse sind in dieser Beziehung noch sehr mangelhaft, weniger aus dem Grunde, weil zu wenig Beobachtungsmaterial vorliegt, als vielmehr deshalb, weil dasselbe durchgängig unzuverlässig ist, abgesehen von dem durch die wissenschaftlichen Expeditionsfahrten beigebrachten Material. Während wir in wohl allen andern Fragen der Meeres- und Witterungskunde uns mit großer Zuversicht auf die Beobachtungen der Seeleute verlassen können und müssen — wir würden auch sonst übel daran sein, da wir fast allein durch die Sammlung und systematische Vorarbeitung der ungezählten „Schiffsbeobachtungen“ in Verfolgung der Ideen Maurys wirklich geographische Einblicke in die ozeanischen Verhältnisse erlangt haben —, sind die Bestimmungen der spezifischen Gewichte des Seewassers entschieden so gut wie unbrauchbar, nicht bloß die deutschen, sondern in ganz gleicher Weise die englischen und sonstigen Beobachtungen. Prof. Krümmel hat dies in den Annalen der Hydrographie³⁾ des nähern dargelegt und bewiesen, und ich kann nur auf Grund eigener Erfahrung hinzufügen, daß die Anforderungen, welche eine nur einigermaßen zuverlässige Ermittlung der Dichtigkeit, resp. des Salzgehaltes des Seewassers an den nautischen Beobachter stellt, im allgemeinen unter den gewöhnlichen Verhältnissen an Bord nicht erfüllt werden können.

Die gleich zu gebenden Darlegungen über Aräometrie werden diese Behauptung noch in das rechte Licht stellen.

So kam es, daß ich es mir zur besondern Aufgabe stellte, in dieser Hinsicht nach Möglichkeit Beobachtungen verschiedener Art zu machen. Ist ja außerdem von jeher das spezifische Gewicht mehr als irgend ein andrer Gegenstand mit dem hochwichtigen Thema der Meeresströmungen eng verbunden worden und die Stellung, die dasselbe zu diesen Wasserbewegungen zweifelsohne einnimmt, noch bei weitem nicht geklärt! Die Frage aber nach dem Salzgehalt des Meeres in den verschiedenen Gegenden ist auch sonst von großer Bedeutung, z. B. beim Studium der Meeresorganismen.

Über Aräometrie.

Bekanntlich ist das spezifische Gewicht des Meerwassers bestimmt durch die Größe des Salzgehaltes und die Temperatur des Wassers. Reduziert man alle Beobachtungen

¹⁾ Aus dem Archiv der Deutschen Seewarte 1891, Nr. 3, Taf. 3—6.

²⁾ 1890, Heft X; s. auch Peterm. Mitteil. 1890, S. 175.

auf eine und dieselbe Temperatur, so ist damit der Einfluß der Temperatur auf die Dichtigkeit beseitigt, und man kann ein empirisches Verhältnis zwischen dem Salzgehalt (P) und dem reduzierten spezifischen Gewicht des Seewassers (S) aufstellen. Die relativen Änderungen des Salzgehaltes können daher auch aus den Änderungen der reduzierten spezifischen Gewichte entnommen werden.

Ich habe im folgenden die Beobachtungen immer auf die Form $S \frac{17,5^\circ}{17,5^\circ}$ reduziert, d. h. das Gewicht der Seewasserprobe ist für die Temperatur von $17,5^\circ \text{C.}$ verglichen mit dem Gewicht des destillierten Wassers bei ebenfalls $17,5^\circ \text{C.}$ Dies ist die von der deutschen, holländischen, österreichischen Marine allgemein angenommene Temperatur, während die Engländer und Amerikaner auf $S \frac{15,56^\circ}{4^\circ}$ reduzieren, d. h. sie vergleichen die Seewasserprobe bei einer Temperatur von $15,56^\circ \text{C.}$ mit destilliertem Wasser von einer Temperatur $= 4^\circ \text{C.}$ Der russische Admiral S. O. Makaroff, dessen höchst verdienstvolle hydrographische Arbeiten wir noch wiederholt zu erwähnen haben werden, machte 1891 den Vorschlag¹⁾, auf $S \frac{15^\circ}{4^\circ}$ zu reduzieren, gewiß an sich eine sehr annehmbare Form, da in ihr das destillierte Wasser von der Temperatur 4° benutzt ist, bei welcher dasselbe eine prägnante Eigenschaft erlangt, nämlich diejenige der größten Dichte. Die Frage ist nur, ob andre Nationen, besonders die Engländer darauf eingehen werden; denn sonst ist auf eine allgemeine Einigung über die Reduktionsnorm noch weniger als bisher zu hoffen. Die Aussichten in dieser Beziehung sind recht gering. Makaroff hat jetzt, wie ich soeben aus gütigst übersandten Probefolgen sehe, in einer weiteren Publikation, von der unten die Rede sein wird, die spezifischen Gewichte sowohl für $S \frac{15^\circ}{4^\circ}$ wie für $S \frac{17,5^\circ}{17,5^\circ}$ gegeben.

Hier sind, wie gesagt, alle Angaben von reduzierten spezifischen Gewichten als $S \frac{17,5^\circ}{17,5^\circ}$ zu verstehen; die Angaben des Salzgehaltes sind in Promille gemacht, und zwar nach der Karsten-Meyerschen Formel gefunden aus $P = \left(S \frac{17,5^\circ}{17,5^\circ} - 1 \right) 1310$; die hieraus sich ergebende Tabelle ist z. B. abgedruckt im „Handbuch der nautischen Instrumente“, 2. Aufl., S. 193.

Da ich, wie gleich näher anzugeben sein wird, die von Dr. Küchler in Ilmenau gefertigten und vom Mechaniker Steger in Kiel in den Handel gebrachten Aräometer, welche auf die Temperatur $17,5^\circ \text{C.}$ geeicht sind, benutzte, so erhielt ich bei der Beobachtung zunächst die spezifischen Gewichte $S \frac{t^\circ}{17,5^\circ}$, wenn t die Temperatur der Wasserprobe im Augenblick der Beobachtung angibt. Die notwendige Umwandlung in $S \frac{17,5^\circ}{17,5^\circ}$ geschah stets und ausschließlich graphisch mit Hilfe der lithographierten Tafel, welche Krümmel für diesen Zweck entworfen hat, und die man in den Annalen der Hydrographie 1890, Heft X, findet.

Die an derselben Stelle gegebenen ganz vorzüglichen Darlegungen über den Gebrauch des Aräometers an Bord zur Bestimmung des spezifischen Gewichts des Seewassers haben erst für die Reduktion die richtige, sichere Grundlage gegeben und ersparen nunmehr dem Beobachter alle zeitraubenden Rechnungen.

¹⁾ „Über die Bestimmung des spezifischen Gewichts von Seewasser“, Vortrag, gehalten in der physik.-chem. Gesellschaft zu St. Petersburg am 8./20. Januar 1891. — Krümmel hat inzwischen im Aprilheft von Peterm. Mitteil. 1893, S. 85, diese russischen Untersuchungen im nordpazifischen Ozean besprochen, soweit dieselben bis jetzt bekannt sind.

Etwas anders liegt die Sache, wenn wir das absolute spezifische Gewicht haben wollen, also das Gewicht des Seewassers, welches dasselbe an Ort und Stelle bei der augenblicklich herrschenden Wassertemperatur t hat, verglichen mit destilliertem Wasser von 4°C. , d. h. $S_{4^{\circ}}^{t^{\circ}}$. Dieses spezifische Gewicht kommt erklärlicherweise gerade bei den Meeresströmungen in Betracht, da es sich dabei um den Druck handelt, den das mehr oder weniger schwere Wasser ausübt.

Zur Umwandlung der $S_{17,5^{\circ}}^{17,5^{\circ}}$ in $S_{4^{\circ}}^{t^{\circ}}$ führen wir folgendes an:

Bezeichnen wir die Volumina des destillierten Wassers bei den verschiedenen Temperaturen t mit V_t , diejenigen des Seewassers mit v_t , so haben wir

$$S_{17,5^{\circ}}^{17,5^{\circ}} : S_{4^{\circ}}^{t^{\circ}} = \frac{v_t}{V_t} = \frac{V_{17,5^{\circ}}}{V_{17,5^{\circ}}}$$

oder

$$S_{4^{\circ}}^{t^{\circ}} = S_{17,5^{\circ}}^{17,5^{\circ}} \cdot \frac{V_{17,5^{\circ}}}{V_{17,5^{\circ}} \cdot v_t}$$

Nun erfolgen aber die mit Temperaturänderungen eintretenden Volumenänderungen eines bestimmten Quantum von Seewasser in sehr verschiedenem Grade je nach verschiedenem Salzgehalt, so daß bei geeigneter Kombination der von Rosetti, Ekman, Thorpe und Rücker gegebenen Volumentabellen das Volumen sich als eine Funktion des Salzgehalts bezeichnen läßt¹⁾.

Wir müssen also zunächst, um in der Rechnung fortzufahren, eine Annahme über den Salzgehalt machen, den wir der Seewasserprobe geben wollen. Unter Berücksichtigung der im Ozean vorkommenden Salinitäten empfiehlt es sich, einen mittleren Salzgehalt von 35‰ anzusetzen, welchem ein reduziertes spezifisches Gewicht $S_{17,5^{\circ}}^{17,5^{\circ}} = 1,02654^2)$ entspricht. Die Volumenänderungen für derartiges Seewasser gibt Ekman, die für destilliertes Wasser Rosetti³⁾, und wir haben nun

$$S_{4^{\circ}}^{t^{\circ}} = 1,02654 \cdot \frac{0,999671 - 1,002568}{1,001128 \cdot v_t} = \frac{1,02795}{v_t}$$

Die Korrektur „K“ von $S_{17,5^{\circ}}^{17,5^{\circ}}$ auf $S_{4^{\circ}}^{t^{\circ}}$ erhalten wir demnach zu

$$K = S_{4^{\circ}}^{t^{\circ}} - S_{17,5^{\circ}}^{17,5^{\circ}} = \frac{1,02795}{v_t} - 1,02654$$

In dieser Weise wurden für die Temperaturen von 20 – 30°C. die Korrekturen berechnet und in der nachfolgenden Tabelle zusammengestellt; für die Temperaturen -1° bis $+20^{\circ}$ sind auf Grund der Tornöeschen Untersuchungen, daher unter Benützung von etwas abweichenden Konstanten, durch Prof. Mohn die Korrekturen berechnet und ebenfalls in einer Tabelle in dem großen norwegischen Werk über das „Nordmeer“⁴⁾ veröffentlicht. Da die hier in Frage stehende Umwandlung nicht selten bei ozeanographischen Arbeiten vorkommt, sind in der folgenden Tabelle (S. 18) sämtliche Korrekturen von -1° bis $+30^{\circ}$ vereinigt, also die Mohnschen Werte mit abgedruckt worden, zumal dieselben an einer immerhin nicht ganz leicht zugänglichen Stelle stehen.

¹⁾ Krümmel, Annal. d. Hydrogr. 1890, S. 388.

²⁾ Wegen der gleich nachher erwähnten Mohnschen Korrekturen ist hier $S_{17,5^{\circ}}^{17,5^{\circ}}$ mit Hilfe der Tornöeschen Konstante 1319 (statt 1310) aus dem Salzgehalt abgeleitet worden. Es macht dies übrigens für den absoluten Betrag der Korrekturen keinen Unterschied.

³⁾ Am bequemsten einzusehen bei Krümmel a. a. O., S. 389.

⁴⁾ Den Norske Nordhavs-Expedition. Dybdet, Temperatur og Strømninger. Christiania 1887, S. 137 u. 138.

Tabelle

zur Umwandlung der reduzierten spezifischen Gewichte $S_{17,5^\circ}^{17,5^\circ}$ in absolute spezifische Gewichte $S_{4^\circ}^{t^\circ}$, gültig für einen mittlern Salzgehalt von 35‰.

$$\text{Korrekturen} = S_{4^\circ}^{t^\circ} - S_{17,5^\circ}^{17,5^\circ}.$$

Celsius.

t°	0,0°	0,1°	0,2°	0,3°	0,4°	0,5°	0,6°	0,7°	0,8°	0,9°
— 2°	1,47									
— 1	1,44									
— 0	1,39	1,40	1,40	1,41	1,41	1,42	1,42	1,43	1,43	1,44
+ 0	1,39	1,38	1,38	1,37	1,37	1,36	1,35	1,35	1,34	1,34
1	1,33	1,32	1,31	1,31	1,30	1,29	1,28	1,27	1,27	1,28
2	1,25	1,24	1,23	1,23	1,22	1,21	1,20	1,19	1,19	1,18
3	1,17	1,16	1,15	1,14	1,13	1,12	1,11	1,10	1,09	1,08
4	1,07	1,06	1,05	1,04	1,03	1,02	1,00	0,99	0,98	0,97
5	0,96	0,95	0,94	0,92	0,91	0,90	0,89	0,88	0,86	0,85
6	0,84	0,83	0,81	0,80	0,79	0,78	0,76	0,75	0,74	0,73
7	0,71	0,70	0,68	0,67	0,65	0,64	0,62	0,61	0,59	0,58
8	0,54	0,53	0,53	0,52	0,50	0,49	0,47	0,46	0,44	0,43
9	0,41	0,39	0,38	0,36	0,35	0,33	0,31	0,30	0,28	0,27
10	0,25	0,23	0,21	0,20	0,18	0,16	0,14	0,12	0,11	0,09
11	0,07	0,06	0,03	0,02	0,00	— 0,02	— 0,04	— 0,06	— 0,07	— 0,09
12	— 0,11	— 0,13	— 0,15	— 0,17	— 0,19	— 0,21	— 0,23	— 0,25	— 0,27	— 0,29
13	— 0,31	— 0,33	— 0,35	— 0,37	— 0,39	— 0,41	— 0,43	— 0,45	— 0,47	— 0,49
14	— 0,51	— 0,53	— 0,55	— 0,57	— 0,59	— 0,61	— 0,64	— 0,66	— 0,68	— 0,70
15	— 0,73	— 0,74	— 0,76	— 0,78	— 0,81	— 0,83	— 0,85	— 0,87	— 0,90	— 0,92
16	— 0,94	— 0,96	— 0,99	— 1,01	— 1,04	— 1,06	— 1,08	— 1,11	— 1,13	— 1,16
17	— 1,18	— 1,20	— 1,23	— 1,25	— 1,27	— 1,29	— 1,32	— 1,34	— 1,36	— 1,39
18	— 1,41	— 1,43	— 1,46	— 1,48	— 1,51	— 1,53	— 1,56	— 1,58	— 1,61	— 1,63
19	— 1,66	— 1,68	— 1,71	— 1,73	— 1,76	— 1,78	— 1,81	— 1,83	— 1,86	— 1,89
20	— 1,90	— 1,92	— 1,95	— 1,97	— 2,00	— 2,02	— 2,05	— 2,08	— 2,10	— 2,13
21	— 2,14	— 2,17	— 2,20	— 2,22	— 2,25	— 2,28	— 2,30	— 2,33	— 2,35	— 2,37
22	— 2,40	— 2,42	— 2,45	— 2,48	— 2,51	— 2,54	— 2,56	— 2,59	— 2,62	— 2,65
23	— 2,69	— 2,71	— 2,74	— 2,76	— 2,80	— 2,83	— 2,85	— 2,88	— 2,91	— 2,94
24	— 2,97	— 3,00	— 3,04	— 3,07	— 3,10	— 3,13	— 3,16	— 3,19	— 3,22	— 3,25
25	— 3,28	— 3,31	— 3,34	— 3,38	— 3,42	— 3,45	— 3,48	— 3,51	— 3,54	— 3,56
26	— 3,58	— 3,61	— 3,64	— 3,68	— 3,72	— 3,75	— 3,77	— 3,80	— 3,83	— 3,86
27	— 3,89	— 3,92	— 3,96	— 3,99	— 4,02	— 4,06	— 4,07	— 4,10	— 4,14	— 4,18
28	— 4,21	— 4,24	— 4,27	— 4,31	— 4,34	— 4,38	— 4,42	— 4,45	— 4,47	— 4,50
29	— 4,52	— 4,55	— 4,58	— 4,62	— 4,65	— 4,69	— 4,73	— 4,76	— 4,80	— 4,84
30	— 4,88	— 4,91	— 4,95	— 4,99	— 5,03	— 5,06	— 5,10	— 5,13	— 5,17	— 5,21

Anmerkung: Die Korrekturen gelten für die 3. Dezimale! z. B.: gegeben $S_{17,5^\circ}^{17,5^\circ} = 1,02835$
und $t = 18,1^\circ$

$$S_{4^\circ}^{t^\circ} = 1,02835 \\ - 1,43 \\ = 1,02692.$$

Um eine Anschauung darüber zu erhalten, ob diese Korrekturen bei Zugrundelegung eines andern Salzgehalts sich beträchtlich ändern, berechnete ich sie teilweise auch für $P = 30,6\text{‰}$ und für $P = 40,0\text{‰}$.

(Die Korrekturen gelten für die 3. Dezimale des spezifischen Gewichts.)

Korrektion für	P = 30,6‰	P = 35,0‰	P = 40,0‰ ¹⁾
t = 20°	— 1,84	— 1,90	— 1,90
— 22	— 2,38	— 2,40	— 2,45
— 25	— 3,22	— 3,26	— 3,42
— 29	— 4,46	— 4,52	— 4,67
— 30	— 4,79	— 4,88	— 5,02

Δ (im Maximum) gegen Korr. 35‰/100

0,09

0,16

¹⁾ Da für vierprozentiges Seewasser physikalische Bestimmungen der Volumenausdehnung nicht vorliegen, ist dieselbe theoretisch abgeleitet worden auf Grund der Krümmelschen Interpolationsformeln, z. a. O., S. 389.

Wie man sieht, würde bei Nichtbeachtung der ozeanischen Verschiedenheiten des Salzgehalts die Umwandlung von $S \frac{17,5^\circ}{17,5^\circ}$ in $S \frac{t^\circ}{4^\circ}$ nur im äußersten Falle um eine Einheit der 4. Dezimale falsch werden; man darf sich also in den weitaus meisten Fällen mit der einen Reduktionstabelle für $P = 35\text{‰}$ begnügen, um so mehr, als man viele andre Ungenauigkeiten, welche der Beobachtung anhaften, und welche überhaupt nicht eliminiert werden können, in den Kauf zu nehmen hat.

So einfach nämlich das Prinzip der Aräometrie ist, soviel Eigentümlichkeiten zeigt die Praxis der aräometrischen Messungen.

Ich war, außer mit mehreren kleinen Aräometern, hauptsächlich mit drei vorzüglichen sogenannten „Normalaräometern“ vom Stegerschen „großen Satz“ ausgerüstet (für $S = 1,0210 - 1,0305$), welche die 5. Dezimale des spezifischen Gewichts noch sehr wohl abschätzen lassen. Die Instrumente wurden in Hamburg geprüft, indem ihre Angaben des Gewichts von Kochsalzlösungen verglichen wurden mit direkten physikalischen Wägungen der Lösungen auf einer Bungschen Analysenwaage¹⁾, und es zeigte sich dabei, daß die Aräometer sogar die 4. Dezimale absolut genau angaben; ein kleineres Aräometer (D. M. I., Steger) hatte als größte überhaupt gefundene Korrektur $+0,0001$.

Insofern also würde man große Ansprüche hinsichtlich der Exaktheit der Beobachtungen machen können. Aber da ist zunächst einer bei den Messungen ziemlich störenden Rolle des Thermometers zu gedenken.

Makaroff hat wohl zuerst darauf aufmerksam gemacht, daß das Aräometer nach Einführung des Thermometers in den Messcylinder sehr häufig, wenn nicht stets, ein größeres spezifisches Gewicht angibt als vorher. Prof. Krümmel erklärt²⁾ diese Erscheinung durch eine beim Einführen des Thermometers im Glase entstehende Strömung, welche das Aräometer hebe. So plausibel diese Deutung ist — und sie wird zur Gewissheit, wenn man die untenstehende Ablesungsreihe durchsieht; beim Herausnehmen des Thermometers muß nämlich eine umgekehrte Strömung entstehen und so die Ablesung eines abnorm niedrigen spezifischen Gewichts verursachen, z. Nr. 5 der Ablesungen —, so kann ich doch nicht bestätigen, daß das von Krümmel empfohlene Verfahren, durch eine energische Drehung des Halses des Aräometers diese kleine Strömung zu überwinden, immer zum Ziele führt und den ursprünglichen Stand des Aräometers wieder herstellt. Nach vielen Versuchen habe ich meist gefunden, daß in der That, solange das Thermometer zusammen mit dem Aräometer im Glase blieb, das Seewasser ein höheres spezifisches Gewicht zu haben schien als dann, wenn das Aräometer allein im Glascylinder sich befand, einerlei, ob ich das Aräometer in horizontale Drehung versetzt hatte oder nicht.

Folgende Versuchsreihe, allerdings eine der ungünstigsten, mag das Verhalten des Aräometers an einem Beispiel zeigen: selbstverständlich ist dabei vorausgesetzt, daß während der ganzen Zeit die Temperatur der Seewasserprobe vollkommen konstant blieb; sie betrug zufällig genau $17,5^\circ\text{C}$. Die Ablesungen an dem Aräometer, großer Satz Nr. IX, ergaben:

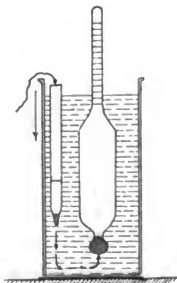


Fig. 1. Aräometer.

¹⁾ Diese Wägungen wurden unter Beobachtung aller Vorsichtsmaßregeln durch Herrn Dr. v. Hasenkamp auf der Deutschen Seewarte ausgeführt.

²⁾ Nach gütigen brieflichen Mitteilungen.

Ablebung Nr. 1	=	1,02626 ohne Thermometer im Meßcylinder.
"	"	2 = 1,02637 mit Thermometer im Meßcylinder.
"	"	3 = 1,02637 mit Thermometer, trotz Drehung des Äriometers.
Ablebung Nr. 4	=	1,02638 nach längerer Zeit mit Thermometer.
"	"	5 = 1,02624 ohne Thermometer.
"	"	6 = 1,02626 ohne Thermometer, nach einiger Zeit.
"	"	7 = 1,02637 nach wiederholter Einführung des Thermometers. Dieser Stand blieb derselbe auch nach Drehung des Äriometerhalses.

Selbst wenn man manches auf Beobachtungsfehler (die 5. Dezimalen sind nur geschätzt) zurückführen will, so bleibt doch immer eine nicht unbedeutliche Veränderung der Äriometerstände. Man wird, um für alle Fälle gesichert zu sein, gut thun, das Thermometer gleich bei Beginn der Messung abzulesen, dann aus dem Cylindergeräse zu entfernen, und zum Schluss noch einmal abzulesen.

Es kommt ferner nicht gerade selten vor, daß ein und dieselbe Seewasserprobe, auf ganz gleiche Weise zweimal hintereinander untersucht, verschiedenes spezifisches Gewicht zeigt¹⁾, so verschieden, daß unter Umständen eine Einheit der vierten Dezimale unsicher wird. Auch der Grund hiervon ist, ebenfalls nach gütiger Mitteilung Krümmels, wohl anzugeben: beim Auf- und Abpendeln des Äriometers bleibt bald ein kürzerer, bald ein längerer Teil des Äriometerhalses über Wasser bald trocken, bald benetzt, und es bleiben Tröpfchen des Seewassers bei dem Passieren der Oberfläche am Halse haften, die eine Gewichtsvermehrung des Instruments bewirken. Aber der störende Einfluss derselben ist nur außerordentlich schwer zu beseitigen, da, wenn man sie z. B. mit Fließpapier wegtupfen will, das Äriometer selbst sofort wieder in arge Schwingungen gerät.

Ein zweiter Grund für große Verschiedenheiten, welche man bei wiederholten Messungen ein und derselben Wasserprobe unter Umständen erhält, wird auch darin liegen, daß, wenn man infolge eintretender Temperaturänderungen die Ablesungen reduzieren muß, die dabei zu Grunde zu legenden Korrekturen nicht genau genug sind, um etwa die fünfte Dezimale sicher zu geben. Wir kennen eben noch nicht genau genug die Volumenänderungen des Meerwassers bei den verschiedenen Temperaturen und Salinitäten. Prüft man z. B. die Korrekturen, welche Krümmel für das deutsche Glassäriometer berechnet hat, in der Weise, daß man eine Probe Seewasser schnell hintereinander bei möglichst verschiedenen Temperaturen untersucht, so erhält man nach der vorgenommenen Reduktion manchmal in den hohen Temperaturen nicht unbeträchtliche Unterschiede. Ich fand z. B. für eine Probe

bei einer Temperatur von	abgelesenes spezifisches Gewicht	reduziertes spezifisches Gewicht ($S_{17,5}^{17,5}$)
25,1° C.	1,02552	1,02737
25,7	1,02534	1,02738
26,8	1,02500	1,02737
27,8	1,02474	1,02736
29,0	1,02443	1,02744
29,7	1,02428	1,02752

Diese Unterschiede (im Maximum $1\frac{1}{2}$ Einheit der vierten Dezimale) sind ja nicht gar so schlimm; aber man wird doch bei allen diesen Erfahrungen nicht so subtile Forderungen wie Makaroff stellen, welcher bis auf die sechste Dezimalstelle gehen will. Man wird vielmehr, denke ich, in seinen Anforderungen an die Genauigkeit äriometrischer Bestimmungen sehr bescheiden und mag sich ja zufrieden geben, wenn man die vierte Dezimale des spezifischen Gewichtes garantieren kann. Nachdrücklich muß auf die in dem eben angeführten Beispiel zu Tage tretende besondere Wichtigkeit einer genauesten Temperaturbestimmung aufmerksam gemacht werden. Besonders in den höheren Wärmegraden, von über 25° C., mit denen man es ja in den Tropen immer zu thun hat, macht bei der sehr stark zunehmenden Volumenausdehnung des Seewassers ein Irrtum in der Temperatur um

¹⁾ Siehe auch Makaroff a. a. O., S. 6.

etwa $0,3^{\circ}$ C. die Ariometerablesung um eine Einheit der vierten Dezimale des spezifischen Gewichtes falsch. Das zu benutzende Thermometer muß also wenigstens nach halben Graden geteilt sein und sorgfältigst unter Kontrolle gehalten werden. Die peinlichste Sauberkeit der Instrumente ist selbstverständlich erforderlich; es ist mir selbst, im Beginn der Reisen, passiert, daß trotz Abspülens aller Glasgegenstände mit frischem Wasser sich Salzkristalle im Cylinder festgesetzt hatten, die dann das spezifische Gewicht erhöhten. Da auf langen Seereisen mit Frischwasser immer sparsam umgegangen werden muß, so ist diese Reinigung von den durch Verdunstung entstehenden Salzkörnchen besonders zu beachten.

Man wird nach dem Gesagten schon einigermaßen ermessen können, daß der oben aufgestellte Zweifel an der Zuverlässigkeit der gewöhnlichen Schiffsbeobachtungen voll berechtigt ist. Hierzu kommt, daß die Schiffsbewegungen häufig tagelang eine Ablesung der Ariometer sehr unsicher oder auch unmöglich machen. Ich habe einen an vier Schnüren aufgehängten kleinen Schlingertisch vielfach mit Vorteil benutzt, allerdings auch nur bei mäßigem Arbeiten des Schiffes. Bei schwerem Seegang wurde die Untersuchung verschoben (wenn nicht das Refraktometer an die Stelle des Ariometers trat), indem die Wasserproben in gläserne Flaschen von etwa 1 Liter Inhalt gefüllt wurden. Der Verschluss wurde durch eingeschlifene Glasstöpsel hergestellt. Solche Proben können sehr wohl wochen- und monatelang aufgehoben werden, ohne daß das spezifische Gewicht sich nachweisbar ändert; Makaroff sagt zwar, daß die spezifischen Gewichte aller seiner an Land gebrachten und daselbst untersuchten Proben um 0,00015 bis 0,0003 größer gewesen seien, als die an Bord bestimmten; ich habe aber ebensovielen Fälle, in denen nach langer Aufbewahrung das spezifische Gewicht gegenüber der ersten Bestimmung vollkommen unverändert blieb, wie solche, in denen es sich etwas vergrößert hatte.

Auf dem „Challenger“ wurden die Ariometerbeobachtungen immer erst am folgenden Tag vorgenommen; auf der Korvette „Witjas“ liefs Makaroff die Bestimmungen stets sofort anstellen. Ich habe beide Methoden gleichzeitig oft längere Perioden hindurch angewendet und auch hier wieder gefunden, daß ungefähr ebensovielen Fälle vorkommen, in denen eine kleine Zunahme des spezifischen Gewichtes bis zum andern Tage eintreten scheint, wie solche, in denen sie nicht eintritt. Diese Frage ist deshalb von Bedeutung, weil bei einem den Ort schnell verändernden Schiffe eine einmalige Bestimmung des spezifischen Gewichtes des Meerwassers im Laufe von 24 Stunden doch nicht ganz ausreicht und man daher am besten früh- und abends um 8 Uhr, also je nach 12 Stunden, diese Beobachtungen vornimmt. Bei den Verhältnissen an Bord aber kann die Abendprobe meist nur unter sehr erschwerenden Umständen sogleich untersucht werden, so daß die Probe bis zum andern Tag aufzuheben ist.

Welche sonderbaren Diskrepanzen dabei vorkommen, zeigen folgende Angaben:

am 25. August 1892 8^h p. m. sogleich untersuchte Probe: 1,02714
 „ 26. „ „ 8 a. m. die Probe vom 25. 8^h p. m.: 1,02713;

dagegen

am 24. August 1892 8^h p. m. sogleich untersuchte Probe: 1,02741
 „ 25. „ „ 8 a. m. die Probe vom 24. 8^h p. m.: 1,02764

Die letzte angeführte Probe zeigt allerdings die größte Zunahme des spezifischen Gewichtes, welche beobachtet wurde. Ich bin geneigt, in diesen nicht ausschließlichen nach einer Seite hin liegenden Differenzen weniger eine Folge von Verdunstung und dadurch bewirkter Konzentration der Seewasserprobe zu sehen — wir müßten dann auch die Messungen des „Challenger“ für nicht einwurfsfrei erklären —, als vielmehr eine Folge der mit der praktischen Ariometrie überhaupt verknüpften, zum Teil oben besprochenen Unsicherheiten.

Ich habe alle diese Umstände hier erörtert, weil voraussichtlich in Zukunft öfters Ariometerbeobachtungen an Bord von geschulten Leuten, von Ärzten &c., gemacht werden

und es deshalb nützlich sein dürfte, gleich von vornherein das Maß der Anforderungen an solche Bestimmungen festzusetzen. Wir sind in dieser ganzen Frage recht eigentlich erst im Anfang der Forschung, und nichts ist für die Einsicht in die ozeanographischen Vorgänge schädlicher als die Aufstellung irgend welcher eigentümlichen Verhältnisse, die vielleicht nur scheinbare sind. Im Rahmen der erreichbaren Grenzen ist ja selbstverständlich möglichste Genauigkeit anzustreben, besonders im Hinblick auf die relativ sehr geringen Schwankungen, welche das spezifische Gewicht, resp. der Salzgehalt der hohen See zeigt. Im übrigen mache ich auf Krümmels grundlegende Darstellung der Art und Weise, wie die Messungen vorzunehmen sind, aufmerksam¹⁾.

Das Abbesche Refraktometer.

Es wurde in vorstehendem erwähnt, daß die rollende oder stampfende Bewegung des Schiffes oft tagelang jegliche nur einigermaßen zuverlässige Ariometermessung vereitelt; und es trifft sich so, daß gerade da, wo eine besonders häufige Bestimmung des spezifischen Gewichtes des Seewassers durch die ozeanographischen Verhältnisse besonders dringend geboten ist, also z. B. an den Grenzen und in den Übergangsgewässern zweier Meeresströmungen, im allgemeinen sehr viel unruhiges Wetter mit beständig hohem Seegang herrscht. Man denke nur an die Gegenden ost-südöstlich des Kaps der Guten Hoffnung, an die Gewässer der Neufundlandbank. Hier wird eine mindestens alle vier Stunden vorzunehmende Bestimmung des Salzgehalts zur Notwendigkeit, wenn man einen Einblick in den außerordentlich großen Wechsel des Phänomens erhalten will²⁾.

Da ist nun, weil man nicht in der Lage sein wird, eine große Anzahl von Seewasserproben so lange aufzuheben, bis man in ruhiges Wetter kommt, ein Instrument erwünscht, welches, unabhängig von einer unbeweglich-horizontalen Unterlage, eine Ermittlung des spezifischen Gewichtes, resp. des Salzgehalts ermöglicht. Dasselbe ist vorhanden in dem von Prof. E. Abbe in Jena konstruierten Refraktometer³⁾, welches gerade für Reisezwecke sehr handlich und geeignet ist.

Da jede Flüssigkeit, also auch das Seewasser, mit veränderter Dichtigkeit ein verändertes Lichtbrechungsvermögen erlangt, so beobachtet man in dem Instrument, welches unter Benutzung des Prinzips der Totalreflexion konstruiert ist, den Brechungsexponenten der Seewasserproben und kann dann aus den Änderungen der Brechungsexponenten zurückschließen auf Änderungen des Salzgehalts. Um aber den absoluten Wert des Salzgehalts, resp. des reduzierten spezifischen Gewichtes einer Wasserprobe angeben zu können, muß man bei guter Gelegenheit möglichst zahlreiche Vergleichsbestimmungen mit dem Ariometer machen, also zusehen, welche Brechungsexponenten die verschiedenen, aräometrisch gefundenen Dichtigkeiten aufweisen.

Für unsre Zwecke, bei denen es nicht auf den Wert des Brechungsindex als solchen ankommt, können wir uns damit begnügen, an der in der Fokusebene des Fernrohrs angebrachten Mikrometerskala die Lage der Grenzlinie zwischen dem hellen und dunkeln Teil des Gesichtsfeldes (die Lage der „Verlöschungsgrenze“) abzulesen, denn diese verschiebt sich genau nach Maßgabe der Brechungsindizes der untersuchten Flüssigkeiten.

Die abgelesene Zahl der Skala wird dann direkt in Beziehung zu der durch das Ariometer gefundenen Zahl des spezifischen Gewichtes gesetzt; hat man eine Reihe solcher Vergleichsbestimmungen (bei möglichst verschiedenen Dichtigkeiten) erlangt, so können die-

¹⁾ Annal. d. Hydrogr. 1890, S. 384 u. 385.

²⁾ Siehe dazu den Abschnitt über die Meeresströmungen und die Diagramme des Dezember 1891 (Taf. 4).

³⁾ Beschrieben und abgebildet in „Neue Apparate zur Bestimmung des Brechungs- und Zerstreuungsvermögens fester und flüssiger Körper“, von E. Abbe, Jena 1874. Siehe S. 41—47; 75—79, wo man das Nähere über das Instrument und die Theorie desselben findet. Es wird verfertigt von der optischen Werkstätte Carl Zeiss in Jena und stellt ein für die hier besprochenen Beobachtungen höchst wertvolles Instrument dar; es ist, soweit mir bekannt, bislang nur noch von Prof. Krümmel auf der Phantokfahrt des D. „National“ benutzt worden.

selben, als Bedingungsgleichungen verwendet, dazu dienen, nach der Methode der kleinsten Quadrate eine Formel zu liefern, welche aus der beobachteten Refraktometerzahl das reduzierte spezifische Gewicht genau abzuleiten gestattet.

Dabei ist aber noch einiges zu bemerken.

Die erwähnte Skala im Fernrohr des Refraktometers ist derart justiert, daß bei einer ganz angenäherten Temperatur des Instruments von 22—25° C. die Verlöschungsgrenze für eine Probe destillierten Wassers durch den Nullstrich der Skala geht. Hierin liegt zugleich eine Kontrolle für die Messungen. Das Refraktometer ist von vornherein so eingerichtet, daß man stets gleichzeitig nebeneinander einen Tropfen destillierten Wassers und einen Tropfen Seewassers in bezug auf ihr Lichtbrechungsvermögen untersucht. Bezeichnen wir dann mit „s“ die Zahl, welche die Lage der Verlöschungsgrenze für das Seewasser angibt, und mit „d“ die entsprechende Zahl für das destillierte Wasser, so wird $s-d$ ($= \rho$, im folgenden „Refraktometerzahl“ genannt) der Wert sein, welcher dem aräometrisch bestimmten Wert des spezifischen Gewichtes entspricht.

Nun werden bei Änderungen der Temperatur des Instruments und damit natürlich auch der zu untersuchenden Wassertropfen die letztern ihre Dichtigkeiten ändern und demgemäß, z. B. bei Abnahme der Temperatur, im allgemeinen eine Zunahme des Brechungsexponenten aufweisen; da aber die Zusammenziehung, bzw. Ausdehnung sich auf beide Flüssigkeiten erstreckt, so wird man, wie znnächst angenommen werden kann, durch die Differenz $s-d$ immer denselben Wert für ρ erhalten.

Aber dies trifft nur in beschränktem Sinne zu. Bekanntlich hat ozeanisches Seewasser (mit einem durchschnittlichen Salzgehalt von 3,5 Proz.) mit wachsender Temperatur eine nicht unbedeutend größere Volumenzunahme als destilliertes Wasser; da diese Volumenänderungen umgekehrt proportional den Dichtigkeiten sind, so wird z. B. bei einer Zunahme der Temperatur von etwa 10° C. auf 20° C. der Brechungsexponent der bei 20° C. untersuchten Seewasserprobe, welche sich stärker ausgedehnt hat als das destillierte Wasser, nicht bloß der absoluten Zahl nach einen etwas geringern Betrag ergeben, sondern auch relativ geringer sein, relativ zu dem (ebenfalls verminderten) Betrag des Brechungsexponenten des destillierten Wassers. Wir werden also für ein und dasselbe spezifische Gewicht bei hohen Temperaturen ρ ($= s-d$) etwas kleiner finden, als es bei niedern Temperaturen ist.

Man erkennt hiefaus einerseits, daß die Verlöschungsgrenze für destilliertes Wasser (d) durchaus nicht immer bei 0 der Skala liegt, sondern darüber oder darunter (je nach der Temperatur, für die sie justiert ist), daß man also immer s und d zu beobachten hat; andererseits, daß man sich wegen der ihrem Werte nach nicht ganz konstanten Differenzen ($s-d$) nicht mit einer Formel für die Umrechnung in spezifische Gewichte begnügen kann, sondern 2, 3 Formeln, gültig für die verschiedenen Temperaturen, aufstellen muß, wenn man ganz genaue Resultate haben will.

Da auf die Temperatur des Instruments und der in demselben untersuchten kleinen Wasserproben nur sehr angenähert aus der Lufttemperatur geschlossen werden kann, benutzt man mit Vorteil als Kriterium bei der Abgrenzung der Formeln gegeneinander die Zahl, welche die Lage der Verlöschungsgrenze für das destillierte Wasser angibt; denn dieselbe ist ja gemäß den eben besprochenen Umständen lediglich von der Temperatur abhängig.

Bezeichnen wir nun mit S_a das durch das Aräometer bestimmte und auf $\frac{17,5^\circ}{17,5^\circ}$ reduzierte spezifische Gewicht, mit S_ρ das durch die Refraktometerbeobachtung berechnete entsprechende spezifische Gewicht der Seewasserprobe, und haben s und d und ρ dieselbe (oben angegebene) Bedeutung wie bisher, so erhielt ich für das von mir benutzte Instrument folgende drei Reihen von Bedingungsgleichungen nebst den zugehörigen Formeln:

I. Bei einer ungefähren Lufttemperatur von 13° C. lag die Verlöschungsgrenze für destilliertes Wasser im Mittel bei 6,0 der Skala, d. h. $d = 6,0$, schwankend zwischen 5,1 und 7,0. (Alle Angaben der spezifischen Gewichte sind im folgenden der Einfachheit wegen abgekürzt, so daß also z. B. 27,36 bedeutet 1,02736 &c.)

$$d = 6,0$$

S_a	$s-d = \varrho$	S_ϱ	$S_a - S_\varrho$	Δ^2	Formel I.
27,36	74,2	27,31	+ 0,05	0,0025	$S_\varrho = 0,35778 \varrho - 0,000138 \varrho^2$ (log : 0,55362—1) (log : 0,14041—4).
26,90	73,1	26,89	+ 0,01	0,0001	
26,54	72,5	26,67	— 0,13	0,0169	
26,16	71,0	26,11	+ 0,05	0,0025	
24,07	65,6	24,06	+ 0,01	0,0001	
			$\pm 0,05$ durchschnittl.	$\pm 0,09$ wahrscheinlicher	
			Fehler.		

II. Bei einer ungefähren Lufttemperatur von 18° C. lag d im Mittel bei 3,5 der Skala, schwankend zwischen 2,1 und 5,0.

$$d = 3,5$$

S_a	$s-d = \varrho$	S_ϱ	Δ	Δ^2	Formel II.
28,08	75,8	28,02	+ 0,01	0,0001	$S_\varrho = 0,36319 \varrho + 0,0000858 \varrho^2$ (log : 0,56013 - 1) (log : 0,93336 - 5)
27,38	73,7	27,34	+ 0,04	0,0016	
26,57	72,1	26,68	- 0,06	0,0036	
26,20	71,0	26,22	- 0,02	0,0004	
24,07	65,2	24,04	+ 0,03	0,0009	
			$\pm 0,03$ durchschnittl.	$\pm 0,05$ wahrscheinlicher	Fehler.

III. Bei einer ungefähren Lufttemperatur von 22° C. lag die Verlöschungsgrenze des destillierten Wassers im Mittel bei 1,0.

$$d = 1,0$$

S_a	$s-d = \varrho$	S_ϱ	Δ	Δ^2	Formel III.
28,74	77,1	28,70	+ 0,04	0,0016	$S_\varrho = 0,36282 \varrho + 0,0001799 \varrho^2$ (log : 0,55909 — 1) (log : 0,11560 — 4)
28,18	75,6	28,13	+ 0,05	0,0025	
27,31	73,3	27,25	— 0,04	0,0016	
26,55	71,7	26,64	— 0,09	0,0081	
24,58	66,1	24,52	+ 0,06	0,0036	
			$\pm 0,06$ durchschnittl.	$\pm 0,08$ wahrscheinlicher	Fehler.

Mit Hilfe dieser 3 empirischen Formeln war ich jederzeit in der Lage, nach Vornahme der höchst einfachen und bei jedem Wetter möglichen Refraktometerbeobachtung mit großer Sicherheit das reduzierte spezifische Gewicht der Seewasserprobe angeben zu können; wie man sieht, erreicht der wahrscheinliche Fehler noch nirgends eine Einheit der vierten Dezimale: eine Genauigkeit, welche nach den oben gegebenen Bemerkungen über Aräometrie mehr als ausreichend ist. Allerdings ist dabei vorausgesetzt, daß $\frac{1}{10}$ eines Skalenteiles im Refraktometer auch wirklich mit Sicherheit abgeschätzt werden kann: es dürfte dies möglich sein, jedoch nur bei vollkommen scharfer Verlöschungsgrenze. Alle nicht ganz gut gelungenen Versuche werden demnach am besten sogleich ausgeschieden.

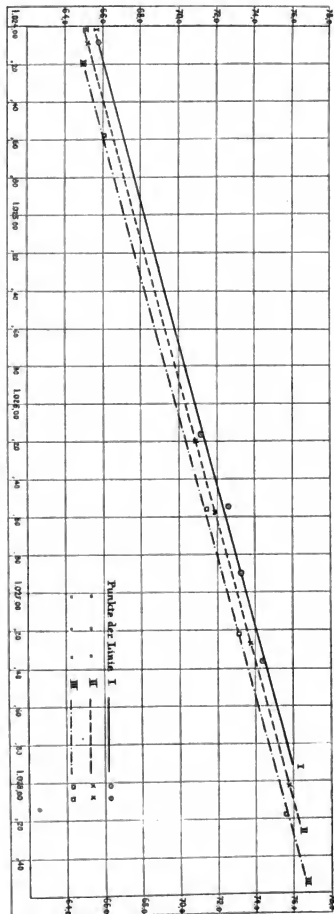
Ich hoffte anfangs, in den Formeln auf das quadratische Glied verzichten zu können, aber nach den gemachten Erfahrungen, besonders auch nach den mir von Professor

Krümme lügt gut geteilten Beobachtungsdaten, kann man es, wenn man die ganze mögliche Genauigkeit haben will, nicht wohl entbehren; gleichwohl gewährt eine graphische Darstellung, bei welcher man auf Koordinatenpapier die Vergleichspunkte einträgt und durch eine einen mittleren Verlauf einhaltende gerade Linie verbindet, für die meisten Fälle noch ausreichende Genauigkeit, und das ganze Verfahren gestaltet sich dann in praxi zu dem denkbar einfachsten. Mit einem Blick liest man das der Refraktometerzahl ρ entsprechende reduzierte spezifische Gewicht S_ρ ab und hat damit auch sogleich den Salzgehalt der Wasserprobe.

Nun sind für jedes einzelne Refraktometer die in vorstehendem angegebenen Konstanten etwas verschieden; es hängt dies von den Dimensionen des zugehörigen Fernrohres ab. Dagegen äußert sich natürlich der Temperatureinfluss bei allen Instrumenten in derselben Weise; und um in diesem Punkt, der allein bei den Refraktometermessungen eine nähere Erörterung und Beachtung erheischt, noch klarer zu sehen, wollen wir für einzelne gegebene ρ nach den ver-

Fig. 2. Refraktometer-Konstanten für spezifische Gewichte von Seewasser.

$$64,0 \text{ Kc.} = \rho, \\ 1,02100 \text{ Kc.} = S_{17,5^\circ}$$



schiedenen Formeln die zugehörigen S_ρ ermitteln und dann umgekehrt aus angenommenen S_ρ mittels derselben Formeln zurückschließen auf die Werte von ρ . Wir erhalten dann:

A.

Gegeben $\rho =$	Gesucht S_ρ			Δ im Maximum.	
	nach Formel I.	nach Formel II.	nach Formel III.		
75,0	27,61	27,72	27,90	0,29	} Mittel 0,27
70,0	25,72	25,84	26,00	0,27	
65,0	23,84	23,96	24,10	0,26	

B.

Gegeben $S_\rho =$	Gesucht ρ			Δ im Maximum.	
	nach Formel I.	nach Formel II.	nach Formel III.		
28,00	76,1	75,8	75,3	0,9	} Mittel 0,8
27,00	73,4	73,1	72,6	0,8	
26,00	70,7	70,4	70,0	0,7	
25,00	68,1	67,8	67,4	0,7	

Wir entnehmen aus Tabelle B, daß innerhalb der Temperaturänderungen von 13° C. bis 22° C. (für welche die Formeln gelten) sich der absolute Wert der Refraktometerzahl ρ im Mittel um 0,8 Teil der Mikrometerskala verändert, sowie ferner, daß — wenn wir den vorliegenden Beobachtungen einen solchen Grad zuverlässiger Genauigkeit zusprechen wollen — mit Zunahme des spezifischen Gewichts (d. h. des Salzgehaltes) auch Δ zunimmt. Dies steht ganz in Übereinstimmung mit unserer oben¹⁾ gegebenen Erklärung der ganzen Erscheinung, denn die Volumenänderungen salzhaltiger Wasser (denen im reziproken Verhältnis Dichtigkeitsänderungen entsprechen) können als eine Funktion des sich ändernden Salzgehaltes betrachtet werden²⁾.

Aus Tabelle A können wir ersehen, um welchen Betrag das aus ρ abgeleitete spezifische Gewicht bei völliger Nichtbeachtung des Temperatureinflusses zweifelhaft werden würde, nämlich um 0,00027 im Mittel, d. h. also fast um 3 Einheiten der vierten Dezimale. Man erkennt auch hieraus die Notwendigkeit, diese Änderungen von ρ in Betracht zu ziehen, da die vierte Dezimale jedenfalls zuverlässig verlangt werden muß.

Ich habe mich im vorstehenden auf Refraktometerbeobachtungen beschränkt, welche innerhalb der ungefähren Temperaturen von 13°—22° C. (wobei d zwischen 0 und 6 der Skala liegt) angestellt werden. Sowohl bei beträchtlich niedrigeren als besonders bei viel höheren Temperaturen, wie sie in den Tropen vorkommen, gestalten sich zwar die Beobachtungen generell in derselben Weise, aber die Änderungen von ρ erfolgen — wie mir nach den gemachten Beobachtungen scheint — in etwas stärkerem Grade als bei den genannten Mitteltemperaturen; auf alle Fälle müssen für die Anwendung des Instruments bei sehr niedrigen oder sehr hohen Temperaturen auch besondere Vergleichsbestimmungen mit dem Ariometer wieder zu Grunde gelegt werden.

Sollte der absolute Wert der Refraktometerzahl, wie es den Anschein hat, sich auch nach den Temperaturen nicht ganz gleichmäßig ändern, so würde man, nach Aufstellung von etwa 5 und mehr Formeln, über den Charakter der Änderung wohl einen Aufschluß erhalten; — davon mag aber abgesehen werden. Hier kam es mir in erster Linie darauf an, das Refraktometer als höchst wertvolles Instrument bei ozeanographischen Forschungen nachdrücklichst zu empfehlen, was³⁾ im Hinblick auf die von verschiedensten Nationen, den Russen, Österreichern, Amerikanern u. s. w., gerade in letzter Zeit eifrig betriebene Meeresforschung vielleicht nicht ohne Nutzen ist; ist doch das Refraktometer in vielen Fällen an Bord das einzige Hilfsmittel, um Messungen des spezifischen Gewichts

¹⁾ Siehe oben S. 23.

²⁾ Krümmel, *Annal. der Hydrographie* 1890, S. 388.

zu erlangen! Auf der Ausreise mit dem „Robert Rickmers“ wären mir die interessanten Verhältnisse östlich vom Kap der Guten Hoffnung der Hauptsache nach vollkommen entgangen, wenn ich nicht dies Instrument zur Verfügung gehabt hätte.

2. Die Beobachtungen selbst.

a) Die geographische Verteilung des Salzgehaltes an der Meeresoberfläche.

Nordatlantischer Ozean.

Gehen wir nun zu einer Betrachtung der in den verschiedenen Meeren erlangten Messungen des Salzgehaltes über, so können wir uns, was den Nordatlantischen Ozean anlangt, kurz fassen.

Prof. Krümmel hat auf Grund seiner zahlreichen Beobachtungen während der Planktonfahrt und mit Hinzunahme aller sonstigen, wirklich verlässlichen Bestimmungen eine Karte der Verteilung des Salzgehaltes an der Oberfläche dieses Ozeans entworfen¹⁾, welche augenscheinlich der Wirklichkeit sehr nahe kommt und nicht bloß schematische Darstellung ist. Krümmel findet das Maximum des Salzgehaltes auf dem 25. nördlichen Breitengrad mit etwas unsicherer Abgrenzung im Westen und Osten. In sehr guter Übereinstimmung hiermit beobachtete ich auf der Fahrt nach Süden ein Maximum von 37,6 ‰ Salzgehalt recht im Herzen des NE-Passatgebietes halbwegs zwischen den Kanaren und Kap Verden, auf 24° N. Br. und im Meridian der letztgenannten Inseln²⁾; auf der Rückreise lag das Gebiet, welches einen Salzgehalt von über 37,0 ‰ aufwies, zwischen 22° N. Br. und 29° N. Br. unter 33° bis 37° W. L. — Nirgends wieder wurde ein Salzgehalt von 37,6 ‰ angetroffen, so daß, soweit man heute darüber urteilen kann, dies im östlichen Nordatlantik zwischen den genannten Inselgruppen belegene Konzentrationsmaximum zugleich das intensivste aller Ozeane sein dürfte; dabei wird natürlich von Binnengewässern, wie dem Mittelmeer oder Roten Meer, abgesehen. In den Begleitworten zu seiner Karte macht Krümmel darauf aufmerksam, daß das Maximum der Salinität nicht mit dem Rofsbreitengürtel des hohen Luftdruckes zusammenfällt, daß also „die Gebiete größter Lufttrockenheit und maximalen Salzgehaltes sich nicht decken“. Ich bin von vornherein und auch auf Grund der meteorologischen Beobachtungen einigermaßen zweifelhaft, ob man die Gegenden der Rofsbreiten, welche im Gebiet des absteigenden Luftstromes liegen und daher theoretisch natürlich zur Trockenheit neigen, wirklich als diejenigen Gegenden ansprechen darf, in denen die Verdunstung an der Meeresoberfläche am stärksten ist. Windstillen oder variable, flauwe Winde sind viel weniger geeignet, Anlaß zur Verdunstung von Wasser zu geben, als eine frische Brise, zumal wenn dieselbe, wie es bei den Passaten der Fall ist, von höheren nach niederen Breiten weht und somit durch die Steigerung ihrer Dampfkapazität den Charakter eines trockenen Windes beibehält.

Je frischer und beständiger diese Luftbewegung über einem größeren Meeresgebiete ist, desto stärker wird die Verdunstung sein, desto höher also der Salzgehalt, und ich vermute daher, daß man je nach dem in den verschiedenen Jahren in verschiedener Stärke wehenden Passat auch Schwankungen in dem absoluten Betrag des Salinitätsmaximums beobachten wird. A priori also nehme ich für die Lage des Gebietes des höchsten Salzgehaltes nicht die Rofsbreiten, sondern die Gegenden an, in denen der Passat am meisten ausgebildet ist und dies wird ja auf das Deutlichste durch die Beobachtung bestätigt. Man vergleiche nur z. B. die gleich nachher zu besprechende Verteilung des Salzgehaltes im Südatlantischen Ozean. Mit den im Laufe des Jahres eintretenden, beträcht-

¹⁾ Peters. Mittel. 1890, Tafel 13, mit Text, S. 174—176.

²⁾ Das Gebiet größter Lufttrockenheit lag während unserer Fahrt auch mitten im Passat; am 7. November 1891 8^h a. m. war die absolute Feuchtigkeit nur 10,9 mm, die relative 52 ‰ (auf 21° N. Br.).

lichen Ortsveränderungen der Passatgebiete wird auch das Gebiet höchsten Salzgehaltes wandern.

Welchen bedeutenden Einfluß übrigens der Wind auf die infolge Verdunstung stattfindende Zunahme des Salzgehaltes ausübt, mag der folgende kleine Versuch zeigen, der von mir während der Rückfahrt beim Durchsegeln des NE-Passats angestellt worden ist.

Am 5. September 1892 morgens 8^h in etwa 19° N. Br. und 31° W. L. bestimmte ich den Salzgehalt des Oberflächenwassers zu 36,3 ‰. Eine Pütze voll solchen Wassers (der Inhalt betrug etwa 10 Liter) wurde auf das Dach des Deckhauses gestellt, so, daß der während der nächsten Tage in großer Gleichmäßigkeit als mäÙige Brise wehende Passat (B. Sk. 4—5) die Oberfläche des in der Pütze befindlichen Seewassers gut bestreichen konnte; die Oberfläche, welche hiermit der Verdunstung ausgesetzt wurde, war nur etwa = 600 qcm. Eine Messung der Menge des verdunstenden Wassers war nicht möglich, dagegen zeigte der Salzgehalt folgende starke Zunahme nach je 24 Stunden:

am 5. Sept. 1892 8 ^h a. m.	36,3 ‰	>	+ 2,2 ‰
6. " " "	38,5 ‰	>	+ 1,8 ‰
7. " " "	40,5 ‰	>	+ 1,8 ‰
8. " " "	42,1 ‰	>	+ 1,8 ‰

Dabei war nach den Beobachtungen mit dem Aspirationspsychrometer während der 4 Tage das Mittel des Dampfdruckes der Luft etwa 17 mm und die relative Feuchtigkeit sehr gleichmäÙig 75—76 ‰. Um den hohen Betrag von 2 Promille nahm also bei einer nur mäÙig trockenen Luft täglich der Salzgehalt dieser Seewasserprobe zu; man sieht, welch großen Einfluß die bewegte Luft auf die Verteilung des Salzgehaltes auf der Meeresoberfläche ausübt. Schon nach 3 Tagen zeigte die hier untersuchte Seewasserprobe eine Salinität, die größer ist als die im Roten Meere beobachtete!

Vorübergehende Regenschauer vermögen, selbst wenn sie ziemlich kräftig sind, in nur sehr unbedeutendem Grade eine Erniedrigung des Salzgehaltes herbeizuführen, da die Wellenbewegung für eine sofortige Durchmischung der obersten Wasserschicht mit dem gefallenen Regenwasser sorgt. Die kleinen Strichregen, welche im Passat auf und eintreten, sind in dieser Richtung durchaus einflußlos. Wie gering verhältnismäÙig der Betrag ist, um den die Salinität der Meeresoberfläche selbst durch die heftigsten Regen vermindert wird, zeigen folgende zwei Beispiele:

Am 30. Oktober 1891 hatten wir auf der Höhe von Kap Finisterre von 5^h bis 11^h a. m. außerordentlich schweren, geradezu kolossalen Regenfall, welcher in den drei ersten Stunden reichlich 85 mm Regenhöhe ergab: dies ist eine Menge, welche — mit Rücksicht auf die Zeitdauer — in Indien während des SW-Monsuns selbst an den regenreichsten Orten nur selten überschritten wird¹⁾. Der Seegang hatte infolge des Regens in bekannter Weise sehr stark abgenommen, die Oberfläche der See war, abgesehen von den kleinen Dünungen der alten Wellen, vollkommen glatt: und doch ergab eine Untersuchung des um 8^h a. m. während des Regens geschöpften Oberflächenwassers einen Salzgehalt von 34,8 ‰. Die letzte Beobachtung vor Beginn des Regens hatte 35,5 ‰ Salz gezeigt, und am Mittag des 30. Oktober, nur eine Stunde nach dem Aufhören des Regens, war der Salzgehalt bereits wieder 35,5 ‰, also gleich dem ursprünglichen Betrage. Ein ungewöhnlich heftiger Regen von drei Stunden Dauer hatte demnach nur ganz vorübergehend die Salinität um 0,7 ‰ zu erniedrigen vermocht.

Im äquatorialen Kalmengürtel des Atlantischen Ozeans wurde ferner am 10. November 1891 durch einen Regenfall von 74 mm Regenhöhe der vor und nach dem Regen zu 34,7 ‰ bestimmte Salzgehalt gar nur um 0,4 ‰ erniedrigt. Im Maximum beobachtete ich einmal (in der Malakkastraße) eine Abnahme des Salzgehaltes um 1,1 ‰, welche aber auch sehr rasch wieder ausgeglichen wurde. Ich möchte sagen — auf Grund vieler

¹⁾ Hann, Handbuch der Klimatologie, S. 302.

Beobachtungen hierüber, besonders in den tropischen Gewässern —, daß auf offener See ein Regen von 10mm Höhe die Salinität um $0,1 \text{‰}$ erniedrigt, aber nur bei ruhiger See und für ganz kurze Zeit. Letzteres ist besonders wichtig bei Beurteilung der auffallenden Tatsache, daß in der ungefähren Gegend des äquatorialen Stillengürtels der Salzgehalt immer recht niedrig gefunden wird. Auf der Ausreise, Mitte November 1891, lag dieses Gebiet geringer Salinität in 10° — 6° N. Br. unter 26° W. L. mit einem mittleren Salzgehalt von $34,8 \text{‰}$; auf der Rückreise, Ende August 1892, also recht mitten in der Zeit des regnerischen SW-Monsuns, wurde nur einmal die Salinität unter 35‰ gefunden, und zwar in 8° N. Br. und 26° W. L. zu $34,8 \text{‰}$. Die Reisewege des „Robert Rickmers“ und „Peter Rickmers“ laufen hier für längere Zeit nahe bei einander her, wie die Übersichtskarte Tafel 1 zeigt, und obwohl die Reisen in ziemlich verschiedener Jahreszeit hier gemacht wurden, kann man doch keine jahreszeitliche Schwankung in dem Sinne statuieren, daß der Salzgehalt gerade während des SW-Monsuns abnehme.

Nach den im vorstehenden gegebenen Mitteilungen neige ich vielmehr zu der Anschauung, daß der zwischen den beiden Passaten zweifelsohne vorhandene Streifen von schwach-salzigem Wasser mehr durch das Vorhandensein eines windstillen Gebietes bedingt ist, als durch die hier oft fallenden heftigen Regengüsse. Ich erblicke also in der hier zur Beobachtung kommenden Salinität von $35,0 \text{‰}$ und etwas darunter nicht einen abnorm niedrigen Salzgehalt, sondern den eigentlich normalen des Ozeanwassers, während er in den Passatgebieten durch die Verdunstung abnorm erhöht wird. Da der Windstillengürtel in der Nähe des Äquators immer vorhanden ist und nur mit dem wechselnden Sonnenstand seine geographische Lage ändert, so wird auch das Gebiet einer Salinität von 35‰ stets vorhanden sein, wenngleich freilich etwas wandernd zwischen 10° und 4° N. Br.

Auf diese Weise haben wir auch eine bessere Möglichkeit, zu erklären, warum überall nach den Polen zu etwa jenseits der Parallelkreise von 40° oder 45° die Salinität so stark abnimmt: hier ist die Verdunstung eine viel geringere als in den Passatgebieten, und daher finden wir hier das Ozeanwasser mit einem mittleren Salzgehalt von 35‰ oder einem reduzierten spezifischen Gewicht $S_{17,5^{\circ}}^{17,5^{\circ}} = 1,0267$. Dies ist derselbe Wert wie der für das äquatoriale Kalmengebiet, und auch in den höheren Breiten meine ich nicht eine Erniedrigung des Salzgehaltes unter den normalen Wert finden zu sollen, etwa infolge der zunehmenden Niederschläge, sondern eben wieder den normalen Zustand, bedingt durch mäßige oder geringe Verdunstung.

Diese Festsetzung von $35,0 \text{‰}$ Salzgehalt als normaler Wert für die Salinität des Meerwassers erscheint vielleicht im Hinblick auf den Nordatlantischen Ozean etwas zu niedrig, aber nicht, wenn wir die übrigen drei oder vier großen Ozeane mit beachten, und auch dann besonders nicht, wenn wir die spezifischen Gewichte in den obersten Tiefen bis etwa 100 m hinab zu Rate ziehen, also diejenigen Wassermassen, welche dem unmittelbaren Einfluß des Windes und Regens jedenfalls nicht unterliegen. Wir finden das, am nur ein kurzes Beispiel anzuführen¹⁾, nach Beobachtungen des „Challenger“ im Jahre 1873 im Nordatlantischen Ozean in beiläufig 90 m Tiefe

$$\left. \begin{array}{l} S_{17,5^{\circ}}^{17,5^{\circ}} = 1,0266 \text{ in } 3^{\circ} \text{ N. Br. (Kalmengürtel)} \\ S_{17,5^{\circ}}^{17,5^{\circ}} = 1,0268 \text{ in } 26^{\circ} \text{ N. Br. (Passatgebiet)} \end{array} \right\} \text{ im Mittel} = 1,0267 (= 35,0 \text{‰ Salz}).$$

Die Annahme eines normalen mittleren Salzgehaltes von $35,0 \text{‰}$ hat für mich noch speziell den Wert, daß ich auf diese Weise in der Darstellung einen Anhalt gewinne, zu beurteilen, wann Ozeanwasser konzentriert oder verdünnt ist.

¹⁾ v. Boguslawski, Handbuch der Ozeanographie, I, S. 150.

Betrachten wir nun unter diesen Gesichtspunkten die Salinitäten der Meeresoberfläche, so geben mir die im Nordatlantischen Ozean gemachten Messungen unter Vergleich derselben mit der erwähnten Krümmelschen Darstellung keinen weiteren Anlaß zu Bemerkungen.

Südatlantischer Ozean (s. Tafel 2).

Für den Südatlantischen Ozean habe ich, nach ungefähr denselben Prinzipien wie Krümmel für den Nordatlantik, eine neue Karte der Verteilung des Salzgehaltes an der Oberfläche zu entwerfen gesucht und dabei, wie ich hoffe, alles zuverlässige Material, dessen man habhaft werden kann, benutzt, unter andern auch die vorzüglichen Beobachtungen des russischen Admirals S. O. Makaroff, welcher während einer Erdumsegelung auf der Korvette „Witjas“ fortlaufende Studien in Hydrographie und maritimer Meteorologie gemacht hat und dieselben, wie ich sowohl aus brieflichen Mitteilungen wie auch aus gütigst übersandtem reichhaltigen Kartenmaterial ersehe, auf Kosten der Petersburger Akademie der Wissenschaften herausgibt. Ich verhehle nicht, schon hier auf diese vielleicht bald erscheinende, augenscheinlich höchst opulent ausgestattete und groß angelegte Publikation nachdrücklich aufmerksam zu machen; dieselbe wird betitelt sein „La Corvette Vitiaz et l'Océan Pacifique“ (in russischer und französischer Sprache) und ungemein wertvolle Beiträge zur Ozeanographie, im besonderen der ostasiatischen Gewässer, z. B. der Japansee, des Ochotskischen Meeres u. s. w., liefern¹⁾.

Benutzt sind für die Karte des Südatlantischen Ozeans auch die Bestimmungen, welche die deutsche Expedition nach Südgeorgien bei Gelegenheit der internationalen Polarforschung in den Jahren 1882 und 1883 an Bord der deutschen Kriegsschiffe „Moltke“ und „Marie“ gemacht hat, deren Mitteilung ich dem Entgegenkommen der Direktion der Deutschen Seewarte verdanke²⁾. Mit verhältnismäßig großer Sicherheit ließen sich daraufhin die Linien gleichen Salzgehaltes ziehen. Zunächst zeigt sich auch hier, wie dies bei der Krümmelschen Karte des Nordatlantischen Ozeans der Fall ist, daß die neue Darstellung derjenigen von Buchanan³⁾ bedeutend ähnlicher wird als derjenigen der Deutschen Seewarte⁴⁾. Gegenüber der letzteren fällt zunächst auf, daß ein zweites Konzentrationszentrum bei St. Helena nicht vorhanden ist; daß ferner das auf der Höhe der brasilianischen Küste belegene Gebiet höchsten Salzgehaltes bis an diese Küste heranreicht und nicht gegen dieselbe hin sich abschwächt; sodann, daß im ungefähren Meridian von Süd-Georgien kein Nordwärtsdrängen von salzärmerem Wasser stattfindet, sondern im Gegenteil salzreiches Wasser bis weit nach Süden hinab dringt, ganz in Übereinstimmung mit den Temperaturkarten. Auch das nordöstlich von Tristan d'Acunha eingezeichnete Gebiet von über 36,0 ‰ Salzgehalt ($S \frac{17,5^\circ}{17,5^\circ} = 1,0275$) zeigt sich nicht auf unserer Karte.

¹⁾ Siehe auch oben S. 16.

²⁾ Zu bedauern ist, daß die gewiss sorgfältigen Messungen an Bord der österreichischen Fregatte „Novara“ (publiziert Wien 1862–1865), welche sowohl für den Südatlantik wie für den Indischen und Nordpazifischen Ozean hier in Betracht zu ziehen sein würden, nach eingehender Prüfung doch nicht verwertbar erscheinen. Es ist in dem Werk nicht angegeben, für welche Temperatur die Aräometer geeicht gewesen sind; nimmt man an, sie seien für $t^\circ_{\frac{1}{4}}$ berechnet gewesen, und entnimmt man dann unserer Tabelle (S. 18) mit Umkehrung der Vorzeichen

die Korrekturen auf $S \frac{17,5^\circ}{17,5^\circ}$ (wobei auch vorher die Réaumurgrade in Celsiusgrade umzuwandeln sind), so erhält man oft recht gute Übereinstimmung mit den neuen Beobachtungen, ungefähr eben so oft aber auch solche Differenzen, daß man sieht, die Temperatur t° (in den Tabellen als Temperatur des Oberflächenwassers gegeben) kann bei der Messung selbst nicht mehr dieselbe gewesen sein, sondern hatte sich geändert; und dieser Umstand ist an Bord unberücksichtigt geblieben. Wir bekommen z. B. für 17° S. Br. und 27° W. L. eine Salinität von 38,3 ‰, welche auf den offenen Ozeanen nirgends vorkommt. Man sieht, durch welche Mißlichkeiten die älteren Salzgehaltbestimmungen selbst wissenschaftlicher Expeditionen ihre Brauchbarkeit verlieren.

³⁾ „Challenger“ Reports, Physics and Chemistry, vol. I, London 1884.

⁴⁾ Atlas des Atlantischen Océans, Hamburg 1882, Taf. 5.

Die Buchanansche Karte hinwiederum ist in den höheren südlichen Breiten viel zu schematisch; man vergleiche sie nur mit unsrer in den Gegenden, welche auf einer Linie etwa von den Falklands-Inseln nach dem Kap der Guten Hoffnung hin gelegen sind.

Gehen wir in das Einzelne, so sehen wir einen im ganzen recht regelmäßigen Verlauf der Linien gleichen Salzgehaltes, angeordnet ungefähr in konzentrischen Halbkreisen mit einem Mittelpunkt, der auf 15° S. Br. dicht an der brasilianischen Küste liegt. Wir erhalten damit ein einziges Maximum der Salinität im Südatlantik, nur wenig über 37,5 ‰ steigend, im Osten etwas über die Inselgruppe von Trinidad hinausreichend und im Westen vom Festland begrenzt. Wie schon Buchanan hervorgehoben und Krümmel für den nordwestlich von Kap Roque belegenen Küstensaum bestätigt hat, sind die Flüsse, welche an diesem Teil der brasilianischen Küste münden, gänzlich ohne Einfluss auf den Salzgehalt gegenüber der mächtigen Wirkung des trockenen SE-Passats. Betrachten wir die von der Seewarte gegebene kartographische Darstellung der Windverhältnisse im Südatlantischen Ozean¹⁾, so zeigt sich in erwünschtester Deutlichkeit, daß da, wo im Laufe des Jahres der südliche Passat am frischesten weht — nämlich an der Küste von Kap Roque südwärts und ostwärts —, auch der Salzgehalt am größten ist, ein Beweis wiederum für den dominierenden Einfluss, den die Verdunstung bei der geographischen Verteilung der Salinität ausübt. Das Maximum des Salzgehaltes liegt also auch hier nicht im Stillengürtel an der polaren Grenze des Passats, sondern, genau wie im Nordatlantischen Ozean, im Herzen desselben.

Das im südwestlichen Teil des Ozeans stattfindende Vordringen der Linien gleichen Salzgehaltes nach Süden ist ohne Zweifel auf eine Wirkung der sogenannten brasilianischen Strömung zurückzuführen, welche das salzreiche Wasser der Passatgegenden in diese höheren Breiten führt. Sehr deutlich und scharf abgegrenzt gegen dies relativ salzreiche Wasser ist an der Küste von Patagonien das nördlich setzende Wasser des Falklandstromes mit einem Salzgehalt von nur 33,5 bis 34,0 ‰. Das süße Wasser des La Plata scheint hauptsächlich nach Süden abzufließen und sich mit dem von Süd kommenden Wasser der letztgenannten Strömung zu vermischen. Das Wasser des Kongo dagegen wird nordwärts fortgeführt nach der Bucht von Kamerun; sehr wenig, ja fast gar nicht bemerkbar ist ein Einfluss der Benguelaströmung an der Westküste Südafrikas; der Salzgehalt ist auch hier überall über 35,5 ‰, was erklärlich ist, da diese Gegenden im Bereich des allerdings meist nur flauen Passats liegen.

Sehr bemerkenswert ist das von dem Meridian der Gough-Insel an beginnende starke Schwanken des Salzgehaltes, wenn man ostwärts fortschreitet. Die kartographische Darstellung bereitet hier große Schwierigkeiten, da hier bereits warme, salzreiche und kalte, salzarme Strömungen in einander überzugehen beginnen; eine Erscheinung, die besonders südöstlich vom Kap der Guten Hoffnung in großartigem Maßstabe stattfindet. Deutlich ließe sich nur vorläufig im östlichen Teil der Karte das Vordringen des Agulhasstromes in SW-Richtung eintragen; ich beobachtete hier auf 41° S. Br. u. 22° Ö. L. den für diese Breiten ganz abnorm hohen Salzgehalt von 36,0 ‰. Auf diese ungemein interessanten Verhältnisse, welche bis nach 80° Ö. L. hin sich ausdehnen, ist im Kapitel über „Meeresströmungen“ einzugehen, wo dann auch die beigegebenen Diagramme ihre Erläuterung finden sollen. Hier sei nur darauf hingewiesen, welche Gegensätze sich auf dem gleichen Breitengrad finden, nämlich, wie eben erwähnt, auf 41° S. Br. und 22° Ö. L. 36,0 ‰, aber auf gleicher Breite und 5° W. L. nur 33,5 ‰, ein Salzgehalt also, der bei Süd-Georgien in 55° S. Br. auch noch vorhanden ist. Man erkennt schon a priori aus solchen Zahlen, daß hier starke Strömungen im Spiel sein müssen. — Im östlichen Teil der Magelhaensstraße auf der Strecke vor Punta Arenas ergibt sich der Salzgehalt nach den sehr gut

¹⁾ Vgl. Segelhandbuch des Atlantischen Ozeans, S. 41.

übereinstimmenden Beobachtungen der deutschen Kriegsschiffe „Gazelle“, „Moltke“ und „Marie“ zu 30,8 ‰.

Betrachten wir die Verteilung der Salinität im Südatlantischen Ozean im großen und ganzen, so erscheint die Oberfläche dieses Ozeans etwas südlicher salzhaltig als diejenige des Nordatlantik; die Isohalinie von 36,0 ‰ überschreitet im letzteren nicht unbedeutend den vierzigsten Breitenparallel, während längs 40° S. Br. nur 35,0 ‰ und darunter beobachtet wird. Salzgehalte von unter 35,0 ‰ kommen, von der Nordsee und einem Gebiete am Ausgang der Davisstraße abgesehen, im Nordatlantischen Ozean selbst bis nach 60° N. Br. hinauf nirgends vor; im Südatlantischen aber ist polwärts von 40° S. Br. die Salinität überall geringer als 35,0 ‰.

Einen wahrscheinlichen Grund für diese auffallende Verschiedenheit möchte ich weniger in einer etwaigen größeren Niederschlagsmenge der hohen südlichen Breiten oder in der geringern Verdunstung infolge größerer Luftfeuchtigkeit sehen, als vielmehr in der ngleich schwächeren Hauptmeeresströmung des südlichen Ozeans, welche bei weitem nicht in dem Maße, wie der Golfstrom im Nordatlantischen Becken, eine Ansammlung salzreichen Wassers bis nach sehr hohen Breiten hinauf zu bewirken vermag.

Indischer Ozean.

Die Darstellung der Verteilung des Salzgehaltes an der Oberfläche dieses Ozeans ist, wie man sagen darf, erst durch Krümmels neue Karte im Atlas des Indischen Ozeans (herausgegeben von der Deutschen Seewarte, 1891, Taf. 5) in ihren Grundzügen richtig angegeben. Wir können hier von der älteren Buchananschen Auffassung im „Challenger“-Werk ganz absehen.

Aber auch die Krümmelsche Karte veranlaßt mich, auf Grund meiner Messungen im Südindischen Ozean und der mir handschriftlich vorliegenden Beobachtungen Makaroffs auf der Route Atjeh—Colombo—Aden, zu einigen Bemerkungen, die vielleicht später Berücksichtigung finden können.

Das Maximum des Salzgehaltes des Südindischen Ozeans wird von Krümmel ziemlich weit nach Süden in den östlichen Teil des Meeres verlegt; ich bin geneigt, anzunehmen, daß es recht in der Mitte des Ozeans liegt und den 30. Breitengrad kaum nach Süden hin überschreitet, wenn wir 36,0 ‰ und mehr als maximale Salinität ansehen. Abgesehen von den Messungen selbst veranlaßt mich dazu eine Betrachtung der Windverhältnisse des Indischen Ozeans, wie man sie z. B. in demselben eben erwähnten Atlas in geradezu mustergültiger Weise auf Taf. 20 und 21 dargestellt findet. Der durchschnittlich frischeste SE-Passat weht hiernach in der Mitte des Ozeans in der Richtung nach Mauritius hin und nicht in der Nähe der australischen Westküste, also ganz entsprechend den Verhältnissen im Südatlantik. Darum wird, in Analogie zu den Erfahrungen, die wir in den beiden Atlantischen Ozeanen gemacht haben, das Konzentrationsmaximum des Salzgehaltes auch hier im Herzen des frischen Passats liegen.

Dazu kommt aber noch ein Umstand, daß ich nämlich im Bereich des Agulhasstromes sowohl auf der Hinreise auf 41—42° S. Br. wie auf der Rückreise dicht unter der Küste von Natal Salinitäten von 36,0 und darüber beobachtet habe: dies sind für jene Gegenden ganz abnorm hohe Werte, und sie sind, wenn anders unsere Kenntnisse von den Meeresströmungen dieser Gebiete überhaupt zur Erklärung herangezogen werden sollen, nur zu verstehen, wenn wir das Gebiet hohen, resp. höchsten Salzgehaltes etwas weiter nach Westen und Norden verlegen, als es auf der Krümmelschen Karte angegeben ist.

Sicher ist, daß das absolute Maximum des Salzgehaltes im Indischen Ozean weit zurückbleibt hinter dem des Südatlantik oder gar des Nordatlantik. Ich beobachtete als solches 36,4 ‰ und zwar nur einmal in beiläufig 27° S. Br. und 84° Ö. L.; gegenüber dem atlantischen Maximum ist dies ein ganz bedeutender Unterschied.

Sicher vorhanden ist ferner das von Krümmel angedeutete, in der Nähe des Äquators belegene Minimum des Salzgehaltes. Ich fand es in 4° S. Br. und 89° Ö. L. mit 33,4 ‰ Salz, und zwar lag es in dem Windstillengebiet zwischen dem SE-Passat und dem unter dem Äquator wieder in der Richtung nach Norden hin einsetzenden frischen NW-Monsun. Bemerkenswert ist dabei, daß der Salzgehalt deutlich, wenn auch nicht beträchtlich, auf der Fahrtstrecke von der Linie bis in die Nähe der NW-Spitze Sumatras wieder zunahm, und dies trotz des ganz außerordentlich regnerischen Monsuns! Es ist dies wieder ein Beweis dafür, welch ungemein großen Einfluß auf die Ausbildung verschiedenen Salzgehaltes eine intensive Luftbewegung und welch geringen Einfluß atmosphärische Niederschläge ausüben.

Das äquatoriale Minimum der Salinität lag im Atlantischen Ozean auf beträchtlicher Nordbreite; im Indischen Ozean liegt es entsprechend der Lage des Kalmengürtels auf Südbreite. Dort war es im Betrage von etwa 34,6 ‰ vorhanden; hier geht die Salinität auf 33,4 ‰ herab, also weit unter den Salzgehalt der Nordsee. Die jahreszeitliche Verschiebung dieses Gebietes minimaler Salinität dürfte nur eine unbedeutende sein.

Die letzte hierher gehörige Bemerkung betrifft das Arabische Meer. Dasselbe zeigt nach der Karte im Atlas der Deutschen Seewarte einen sehr hohen Salzgehalt bis nahe an die vorderindische Küste hin. Diese Darstellung ist wohl hauptsächlich durch die Messungen von Bonquet de la Grye¹⁾ veranlaßt; aber nach dem, was Krümmel selbst über diese Beobachtungen angibt, scheinen sie wenig verläßlich zu sein. Auch kann ich mir nicht recht erklären, woher diese ungewöhnliche Ausbreitung sehr salzigen Wassers, welches aus dem Roten Meere auszufließen scheint, kommen sollte; wenigstens lassen unsere Kenntnisse von den Meeresströmungen dieses Gebietes eine Überführung großer Wassermengen aus dem Roten Meere und dem Golf von Aden in das Arabische Meer hinaus kaum als möglich erscheinen. Höchstens zur Zeit des stürmischen SW-Monsuns dürfte Wasser aus dem Golf von Aden in NO-Richtung mit fortgerissen werden.

Dazu kommen nun die höchst sorgfältigen Untersuchungen Makaroffs. Dieser fand ein reduziertes spezifisches Gewicht von 1,0270 erst unter 10° N. Br. 66° Ö. L. und da, wo auf der Krümmelschen Karte die Linie für 1,0270 verläuft, eine Dichte von nur 1,0258. Weiter nach Westen in der Richtung auf Sokotra hin nahm allerdings der Salzgehalt sehr schnell und stark zu, so daß ein Gebiet hoher Salinität gewiß vorhanden ist, wenngleich in viel geringerer Ausdehnung; es dürfte sich nicht in südlichere Breiten als diejenige von Kap Guardafui erstrecken.

Die ostasiatischen Gewässer (s. Tafel 3).

Die Verteilung des Salzgehaltes an der Oberfläche dieser Meere ist hier wohl zum erstenmal in ihrer ganz merkwürdigen Ausbildung und im Einzelnen dargestellt; möglich wurde dies hauptsächlich durch die Beobachtungen Makaroffs in der Japansee und den Gewässern östlich von Japan²⁾. Dazu kommen meine eigenen Messungen, besonders in der südlichen Chinesee, in der Formosastraße und weiter nach Japan hinüber. Im östlichen und südöstlichen Teil des auf der Karte dargestellten Gebietes lagen besonders die „Challenger“- und „Gazelle“-Beobachtungen vor, aber auch außerdem sind noch einige zuverlässige Zahlen vorhanden. Recht wertvoll waren noch die von der „Vega“-Expedition angestellten Ermittlungen des Salzgehaltes, zumal für die Bestimmung der Verhältnisse auf dem Grenzgebiete zwischen dem Kuro-shiwo und Kurilenstrom.

Die Kombination aller dieser Daten liefert ein interessantes Kartenbild, dessen hervorragende Grundzüge hoffentlich späterer Nachprüfung standhalten werden, wenn-

¹⁾ Erläuterungen zum Atlas des Indischen Ozeans, Hamburg 1891, S. 9.

²⁾ Vgl. dazu einige vorläufige Mitteilungen durch Krümmel in Peterm. Mitteil. 1893, S. 85 (mit Karte).

schon einzelne Gegenden, z. B. die östliche Javasee, das Gelbe Meer und andere kleine Meeresbecken, wegen Mangels jeglicher Beobachtungen davon ausgenommen werden müssen. In Rücksicht auf den hier alle Verhältnisse beherrschenden Einfluß der Monsune sei bemerkt, daß die Darstellung für die Zeit des ausgeprägten NE-Monsuns gilt. Im Sommer werden, z. B. in der Formosastraße, sehr starke Veränderungen eintreten, die hier aus mehr als einem Grunde nicht berücksichtigt werden konnten.

Während wir bei Besprechung und Erklärung der Salzgehaltsverteilung im Atlantischen und Indischen Ozean stets die Windverhältnisse heranziehen hatten, sind in den ostasiatischen Gewässern ihre charakteristischen Züge, wie man auf den ersten Blick sieht, gegeben und bedingt durch die ziemlich komplizierten Meeresströmungen dieser Gegenden. Da letztere noch in einem besonderen Kapitel ihre Behandlung finden sollen, so werden sie hier nur insoweit verwendet, als zum Verständnis der Karte unumgänglich nötig ist.

Der offene nordpazifische Ozean hat, wie schon Buchanan hervorhob, von allen Ozeanen die geringste mittlere Salinität an der Oberfläche; sehen wir von zwei Messungen auf der russischen Korvette „Witjas“ ab, welche abnorm hohe Werte ergeben, so erhalten wir als wahrscheinliches Maximum aller vorliegenden Beobachtungen $35,7\text{‰}$; dasselbe wird auf ungefähr 25° N. Br. zwischen 155° und 165° Ö. L. liegen und ist also noch niedriger als das des Indischen Ozeans.

Wir haben folgende Maximalwerte:

- 1) im Nordatlantischen Ozean $37,6\text{‰}$
- 2) im Südatlantischen Ozean $37,8\text{‰}$
- 3) im Indischen Ozean $36,4\text{‰}$
- 4) im Nordpazifischen Ozean $35,7\text{‰}$

Der weitaus größte Teil des auf unserer Karte dargestellten Gebietes erreicht aber nur einen Salzgehalt von wenig über $35,0\text{‰}$; es ist dies zugleich das Gebiet des Kuro-shiwo. Diese bedeutendste Meeresströmung der ostasiatischen Gewässer bringt es, nach meinen eigenen Messungen zu urteilen, allerhöchstens auf $35,2\text{‰}$, und zwar westlich von den Riü-Kiu-Inseln, vor dem Durchbrechen des Stromes durch die Inselbarriere. Jenseits des Meridians der Van Diemen-Straße, da, wo der Kuro-shiwo relativ nahe unter den Südküsten der japanischen Inseln hinströmend seine größte Kraft zu entwickeln pflegt, beobachtet man nur noch etwa $34,8\text{‰}$ und weniger. Im Vergleich mit dem Salzgehalt des Golfstromes, der 36‰ und darüber aufweist, ist diese Salinität sehr gering und der Unterschied beider Ströme bei Beachtung der überhaupt vorkommenden ozeanischen Differenzen im Salzgehalte ein sehr bedeutender.

Durch die außerordentliche Drängung der Linien gleichen Salzgehaltes fällt am meisten die Formosastraße und das Gelbe Meer in die Augen. In einer früheren Arbeit¹⁾ habe ich an der Hand von Isothermenkarten und Strombeobachtungen gezeigt, daß im Nordwinter an der chinesischen Küste eine äußerst kalte Strömung aus dem Gelben Meere nach Süden herabzieht und zugleich das süße Wasser der großen chinesischen Ströme in sich aufnimmt. Daher finden wir hier so geringe Salinitäten, wie sonst nirgends wieder auf der Karte; der Verlauf der Isohalinen, NNO—SSW gerichtet, stimmt vollkommen mit demjenigen der Wasserisothermen²⁾ überein. Übrigens verliert der kalte Strom schon auf der Breite von Amoi-Swatau ganz erheblich an Intensität und erreicht nur sehr abgeschwächt die Hongkong-Gegend. Verläßt man Hongkong in der Richtung nach Norden, so steigt erst der Salzgehalt sehr merklich, um dann auf etwa 24° N. Br. plötzlich und rapid zu fallen³⁾. Bis in große Nähe von Hongkong gelangt nämlich von Osten her durch die

¹⁾ Aus dem Archiv der Deutschen Seewarte XIV, Nr. 3, Hamburg 1891; im Auszug auch mitgeteilt in Pterm. Mitteil. 1891, S. 209—219.

²⁾ A. a. O. Tafel 3.

³⁾ Vgl. die Diagramme, Fahrt der „Oceana“ von Hongkong nach Yokohama. Februar 1892.

Meerenge zwischen Luzon und Formosa ozeanisch-salzreiches Wasser, es ist dies ein aus dem Kuro-shiwo oder, besser gesagt, aus der nordpazifischen Äquatorialströmung abzweigender Stromarm¹⁾, welcher nach W und WSW bis SW in die Chinasee hinein sich bewegt. Ich fand auf 21° N. Br. und 114° Ö. L., also nur etwa 50 Seemeilen südlich von Hongkong, 35,1 ‰ Salzgehalt im Meerwasser, zum deutlichen Beweis, daß der Verlauf der 35,0 ‰-Linie in der auf der Karte angegebenen Weise berechtigt ist.

Was die nördlichsten hier dargestellten Meeresgegenden anlangt, so bin ich durch die gute Übereinstimmung überrascht, welche die Salzgehaltskurven, die hier fast allein auf Makaroffs Angaben beruhen, mit meinen Wasserisothermen zeigen.

In der Japansee ist das Vordringen von salzreichem Wasser auf dem Wege durch die Koreastraße nordostwärts bis zur Tsugar- und La Pérouse-Straße klar zu verfolgen; salzarmes Wasser, einer schwachen kalten Strömung angehörend, bespült dagegen die Küsten des Amurlandes. Der Salzgehalt dieses Meeres ist im ganzen etwas niedriger als derjenige der Nordsee. Deutlich erkennt man das Anstießen des salzreichen Wassers nach Südosten durch die schon genannten zwei Meeresstraßen hindurch; letztere Richtung (nach SO) ist mir besonders wichtig, da ich sie schon aus den Isothermen erschlossen hatte: offenbar wird das Wasser aus seiner Ostrichtung durch die mächtige, kalte Kurilenströmung nach Südost und Süd an die Ostküste von Nordnippon gedrängt. An Bord der „Witjas“ wurde auf fast 40° N. Br. nahe an Land noch ein Salzgehalt von 34,5 ‰ gefunden, genau soviel wie auch mitten in der Tsugarstraße, während südwärts nach Kap Kinkuasán hin und ostwärts nach der See zu der Salzgehalt abnimmt.

Ziemlich deutlich finden wir auch den von mir früher eingehend beschriebenen²⁾ Zusammenstoß zwischen Kuro-shiwo und Oya-shiwo (d. i. die Kurilenströmung) wieder in den Linien gleichen Salzgehaltes ausgeprägt: auf 38° N. Br. und 144° Ö. L. nimmt die Salinität plötzlich stark ab, und dann ebenso wieder auf 42° N. Br. und 150° Ö. L. Die hier zu Grunde liegenden Messungen (russische für die erste Stelle, die der „Vega“ für die zweite) sind in verschiedenen Monaten gemacht, die letzteren im August, zu einer Zeit also, in welcher der Kurilenstrom weit nach Norden zurückgedrängt ist³⁾. Daher ist hier der Verlauf der Salzgehaltlinien etwas unsicher, weil er offenbar beträchtlich im Laufe des Jahres schwankt, aber das Wesentliche ist jedenfalls zu erkennen. Salinitäten unter 33,0 ‰ entsprechen genau den von Krümmel im atlantischen Labradorstrom beobachteten Werten.

Übrigens wird nach allem, was mir bereits vorliegt, über diese Gegenden Makaroffs großes Werk noch wahre Musterstücke ozeanographischer Studien bringen, z. B. inbetriff der La Pérouse-Straße.

So bleibt nun noch übrig, über die Verteilung des Salzgehaltes im austral-asiatischen Mittelmeer, also in den Gewässern der malaiischen Inselwelt einiges zu sagen; freilich geschieht dies bei den zum großen Teil noch recht unerforschten Verhältnissen mit allem Vorbehalt. — Denken wir uns auf der Merkator Karte eine Linie gezogen, welche die Gegend der Anamba- und Natuna-Inseln mit der Makassarstraße und Nordaustralien verbindet, so liegen nördlich davon alle die Gewässer, welche (wahrscheinlich mit Ausnahme des Golfes von Siam) relativ salzreiches Wasser haben, nämlich die Chinasee mit Ausnahme des südlichsten Teils, die Sulu-, Celebes-, Banda- und Arafurasee. Alle diese Meeresgebiete haben, wenn man die ganz dicht unter Land vorgenommenen Messungen ausschließt, Salinitäten von 34 ‰ und darüber: und es ist mehr als wahrscheinlich, daß alle diese Gebiete in Zirkulation mit dem offenen Stillen Ozean stehen, wodurch eben ihr ziemlich hoher Salzgehalt sich erklärt. Die eben angegebene Grenzlinie würde also ungefähr die Scheide-

¹⁾ A. n. O., S. 12.

²⁾ A. n. O., S. 11. 32. 43.

³⁾ A. n. O., S. 32. 34; auch Peterm. Mitteil. 1890, S. 212.

linie sein, welche sich vom ozeanographischen Standpunkt aus zwischen Pazifischem und Indischem Ozean in diesem inselerfüllten Mittelmeer mit einiger Berechtigung ziehen läßt. Da die Wassertemperaturen bei ihrer außerordentlichen Gleichförmigkeit im ganzen Gebiet keinen Anhalt geben und die direkt beobachteten Schiffsversetzungen noch weniger dafür verwendet werden können, so ist dieses Hilfsmittel für eine wissenschaftliche Scheidung beider Ozeane vielleicht zu brauchen. Demjenigen, der sich nicht näher mit den Dichtigkeiten des Meerwassers und ihren verschiedenen Schwankungen beschäftigt hat, mag eine darauf gegründete Hypothese — denn eine solche bleibt obige Aufstellung natürlich vorläufig — recht schwach begründet erscheinen, da die absoluten Differenzen gering sind. Ich kann aber nur aus eigener Erfahrung erklären, daß wenig ozeanographische Elemente einen solchen sicheren Anhalt über die Herkunft einer Seewasserprobe zu geben vermögen, wie die Werte der Dichtigkeit, resp. des Salzgehaltes. Es liegt in der Natur der Sache, daß z. B. die Wassertemperatur ein viel beweglicheres Element ist, als der Salzgehalt, daß daher eine Bestimmung des letzteren gerade in diesen Gewässern im allgemeinen weiter greifende Schlüsse gestattet, als irgend welche andere nautische Einzelbeobachtung.

Alle die oben genannten Gewässer, welche nördlich der Scheidelinie liegen, sind in Bezug auf Salzgehalt sehr wohl mit unserer Nordsee zu vergleichen, deren Salinität ja auch durch das Eindringen des atlantischen Wassers zu erklären ist¹⁾. Von der Chinesee ist es durchaus sicher, daß sie durch Strömungen, welche von Osten her zwischen Luzon und Formosa hindurchziehen²⁾, Wasser des Großen Ozeans aufnimmt; ebenso sind die im südöstlichsten Teil der Karte eingezeichneten Lánien gleichen Salzgehaltes durch die „Challenger“-Beobachtungen zuverlässig gegeben: hier dringt sehr salzreiches Wasser, welches der südäquatorialen Strömung des Pazifischen Ozeans entstammt, durch die Torresstraßte nach Westen³⁾, und es ist anzunehmen, daß durch das auf diesem Wege von Süden her zuströmende Wasser auch die übrigen Binnengewässer, die Arafurasee, die Bandasee, vielleicht auch die Celebessee ihre relativ hohe Salinität erhalten. Die Sulusee, ein ringsum eingeschlossenes Becken, zu dem nur enge Kanäle führen, hat auch einen Salzgehalt von über 34,0⁰/₀₀; Makaroff hat eben südlich von Panay sogar 34,8 beobachtet; das ist außerordentlich hoch, denn einen größeren Salzgehalt besitzt auch der Kuro-shiwo selbst da, wo er am stärksten strömt (südlich von Shikoku und Nippon), nicht. Erklärlich würde der starke Salzgehalt der Sulusee, wenn sie ihr Oberflächenwasser aus der nordpazifischen Äquatorialströmung bezöge, das durch die Bernardinostraßte und die übrigen zwischen den Philippinen sich öffnenden Meeresstraßen hindurchdringt. Natürlich ist es schwer, durch Zahlen dies zu beweisen, da in dem sehr dichten Inselgewirr der Philippinen die Nähe von Land vielfach auf das Ergebnis der Messungen einwirkt. Doch haben sowohl der „Challenger“ wie der „Witjas“ wiederholt über 34,1⁰/₀₀ in diesen engsten der malaiischen Gewässer beobachtet; auch werden von Schiffsführern starke westliche Strömungen in der Bernardinostraßte erwähnt⁴⁾.

Alle übrigen Meeresgebiete dieser malaiischen Inselwelt, welche südlich der Lánie

¹⁾ Ein Unterschied zwischen diesen tropischen Gewässern und der Nordsee ist, trotz des gleichen Salzgehaltes, in der Färbung des Seewassers vorhanden: die Nordsee hat bekanntlich eine angesprochene grüne Wasserfarbe, während alle diese australasiatischen Binnenmeere mit Ausnahme der Gegenden dicht unter Land ein sehr schönes tiefblaues Wasser besitzen, dessen Färbung oft durchaus der vollkommen blauen Farbe der Hochsee (hier verbunden mit sehr hohem Salzgehalt) gleichkommt. Sehr oft kann man z. B. in der Chinesee die Wasserfarbe mit Nr. 0 der Forelischen Farbenskala (s. hierüber Petern. Mitteil. 1892, S. 70. 286) identifizieren. (Für die Färbung der östlichen gelegenen Meere ef. den „Gazelle“-Bericht, Bd. II, 31—33.) Durchgängig ist also die Bemerkung kaum zutreffend, daß das Seewasser desto blauer erscheint, je größer seine Salinität ist; auch die Temperatur wird bei den augenscheinlich verwickelten Vorgängen, welche hier in Frage kommen, eine Rolle spielen.

²⁾ Annal. d. Hydrogr. 1876, 286; 1889, 332; 1890, 33. Krämmel, Handb. der Ozeanogr. II, 480—482. Aus dem Archiv der Seewarte 1891, Nr. 3, S. 12.

³⁾ Handb. der Ozeanogr. II, 487.

⁴⁾ Segelhandbuch f. d. Indischen Ozean, S. 694. 695.

Anamba-Inseln — Makassarstraße — Nord-Australien gelegen sind, also die südlichsten Teile der Chinasee, die Malakkastraße, die Makassarstraße (?) und besonders die ganze Javasee ostwärts bis nach den kleinen Sundainseln hin, sind im Gegensatz zu den besprochenen Gewässern ausgesprochen salzarm: es sind zugleich die Gewässer, welche, soweit unsre Kenntnisse reichen, von keinen eigentlichen Meeresströmungen durchzogen werden, deren Bewegungen vielmehr ausschließlich in Gezeitenströmungen bestehen. Vergleicht man Krümmels Karte der Meeresströmungen¹⁾, so sieht man, daß genau diese hier von uns angegebenen Gewässer südlich der Scheidelinie als „Gebiete überwiegender Gezeitenbewegung“ gekennzeichnet sind. Die Übereinstimmung der Verbreitung des salzarmen Wassers in unserem Gebiete mit der Ausdehnung des stromlosen Wassers darf eine solch gute genannt werden, daß wir darin einen Beweis erblicken für unsere oben aufgestellte Behauptung, wonach die Gebiete höheren Salzgehaltes nördlich der Trennungslinie alle in mehr oder weniger direktem Zusammenhang mit dem Großen Ozean durch Zirkulationen irgend welcher Art stehen.

Das Wasser des Indischen Ozeans dringt an der Oberfläche weder durch die Malakkastraße noch durch die Sundastraße in beträchtlichen Mengen ein, da die Salinitäten in diesen Straßen durchgängig sehr niedrige sind, nämlich noch unter 32,0 ‰; gegenüber den Werten im Osten des hier besprochenen Gebietes ein gewiß sehr auffallender Unterschied. Dagegen scheint in der Tiefe nach den mir handschriftlich vorliegenden Beobachtungen Makaroffs²⁾ das salzreiche Wasser erfolgreich in die Gewässer von Singapore und wohl auch der Javasee einzubrechen, so daß diese Meeresgegenden ozeanographisch zum indischen Gebiet zu rechnen wären.

Leider stehen ja unsere Kenntnisse von allen diesen Dingen noch auf sehr schwachen Füßen, obschon hier mit verhältnismäßig geringen Mitteln Beobachtungen sich machen ließen, die wissenschaftlich und zugleich praktisch von hervorragender Wichtigkeit wären: praktisch nämlich von Wichtigkeit für die sehr lebhafte Segelschiffahrt in diesen Gewässern. Hierüber wird an anderer Stelle dieser Abhandlung noch zu sprechen sein³⁾. —

Bei einem Überblick über die Darlegungen der letzten Seiten kommen wir zu der Anschauung, daß maßgebend und entscheidend für die geographische Verteilung des Salzgehaltes auf der Oberfläche der Ozeane in erster Linie die Verdunstung ist. Die Möglichkeit einer starken Verdunstung hängt aber ab einmal von dem Grade der Trockenheit, welcher der Luft an sich eigen ist, dann und besonders von der Stärke der Luftbewegung. Überall da, wo trockene frische Winde wehen, finden wir einen hohen Salzgehalt; wo die Luft feucht, aber die Luftbewegung eine vergleichsweise starke ist, hält sich die Salinität auf einer mittleren Höhe; die niedrigsten Salzgehalte finden wir in Gegenden, denen eine feuchte und wenig und unregelmäßig bewegte Luft eigentümlich ist.

Solche Modifikationen in der Verteilung des Salzgehaltes, die auf der Karte durch auffallende Krümmungen der Isohalinen sich bemerkbar machen, sind ausschließlich durch die Meeresströmungen verursacht, welche Wassermengen von bestimmter Salinität in Meeresgegenden mit anderen Salzgehaltsverhältnissen überführen.

Nur sehr geringen, lokalen und vorübergehenden Einfluß üben die Niederschläge auf die Verteilung des Salzgehaltes aus; ebenso vermögen die Süßwassermengen der Flüsse nur auf ganz geringe Entfernungen eine Verdünnung des Seewassers herbeizuführen; ihre Wirkung in dieser Beziehung macht sich selbst in solchen engbegrenzten und flachen Gewässern wie der Chinasee bei der kartographischen Darstellung nicht bemerkbar. An

¹⁾ Handb. der Ozeanogr., II.

²⁾ Makaroff bestimmte in der Malakkastraße an verschiedenen Stellen in Tiefen von etwa 75 m den Salzgehalt zu 34,0—34,3 ‰.

³⁾ Kapitel „Strömungen“.

der Cochinchinaküste konnte ich eine merkliche Abnahme des Salzgehaltes infolge der gewaltigen Wassermengen des Mekong erst in einer Entfernung von etwa 75—80 km vom Land feststellen. Auch ist überhaupt die Nähe von Land kaum von irgend einer Bedeutung für den Salzgehalt im angrenzenden Meere; sehr eingeschlossene Binnengewässer, wie die des australasiatischen Mittelmeeres, verdanken ihr schwachsalziges Wasser hauptsächlich der feuchten Tropenluft und dem Mangel einer energischen Luftbewegung. Dagegen finden wir dicht unter Land an der brasilianischen Küste selbst da, wo ganz nahebei Flüsse in das Meer sich ergießen, das Maximum der Salinität des Südatlantischen Ozeans, weil hier ein frischer, beständiger Passat weht.

Eine Bestätigung erhalten diese Ausführungen durch eine Betrachtung des Verhältnisses zwischen

b) Salzgehalt und Temperatur des Seewassers.

Der Grundzug dieses Verhältnisses, soweit er bekannt ist, läßt sich dahin ausdrücken, daß im allgemeinen mit steigender Temperatur auch der Salzgehalt steigt, mit abnehmender Temperatur aber abnimmt. Die warmen Meere haben daher — aber nur im allgemeinen — die höheren Salinitäten aufzuweisen, die Gewässer der mittleren und hohen Breiten die geringeren; es hängt dies eben mit der in den Tropen, besonders in den Passatgebieten, stattfindenden starken Verdunstung zusammen. Da, wo kalte und warme Strömungen direkt ineinander übergehen, findet man, daß mit einer bestimmten Schwankung der Temperatur eine ganz genau entsprechende Veränderung im Betrag des Salzgehaltes sich verbindet. In gradezu vorzüglicher Weise war dies auf der Reise mit dem „Robert Rickmers“ in der ozeanographisch höchst interessanten Gegend südöstlich vom Kap zu beobachten; man ersieht aus den Diagrammen¹⁾ für die Zeit vom 12.—23. Dezember 1891, in welcher außerordentlichen Übereinstimmung der Verlauf der Kurven der Wassertemperatur und des Salzgehaltes sich vollzieht. Ganz kleine Abweichungen finden sich allerdings auch hier, indem es z. B. vorkommt, daß die Temperatur noch fällt, der Salzgehalt aber schon wieder steigt, doch waren dies Unregelmäßigkeiten, die sich immer nach wenigen Stunden ausgeglichen hatten.

Es gibt aber noch eine Reihe anderer und wichtiger Ausnahmen. Leicht erklärlich, aber recht interessant, besonders bei einem Vergleich des Atlantischen Ozeans mit dem Indischen, ist das innerhalb der Wendekreise statthabende Verhältnis von Temperatur und Salinität.

Zur Veranschaulichung desselben ist die beifolgende Skizze (Fig. 3, S. 39) entworfen worden; dieselbe entstand aus einer Kombination der Karten, welche die Jahresisothermen und die Linien gleichen Salzgehaltes geben, dazu habe ich im Einzelnen, besonders für den Südatlantischen und Südindischen Ozean, meine eigenen Beobachtungen herangezogen.

Von Norden kommend findet man im Atlantischen Ozean bereits von 24° N. Br. an, also noch bevor der Wendekreis passiert ist, das gewöhnliche Verhältnis zwischen Temperatur und Salzgehalt durchbrochen, und das umgekehrte Verhältnis dauert an: bis zu 20° S. Br. im westlichen, bis zu 10° S. Br. im östlichen Teil des Südatlantischen Ozeans. Südlich dieser in ungefährer ONO-Richtung verlaufenden Trennungslinie finden wir wieder das normale Verhalten beider Faktoren.

Im Indischen Ozean müssen wir für das nördlich der Linie gelegene Gebiet eine Zweiteilung ungefähr längs des 60. Meridians einführen; der westliche Teil zeigt das umgekehrte Verhältnis, was durch den abnorm hohen Salzgehalt des Roten Meeres und der nächstanliegenden Gewässer bedingt ist, der östliche Teil dagegen das regelmäßige Ver-

¹⁾ Tafel 4.

halten. Höchst charakteristisch ist nun, daß wir im Hauptteil des Südindischen Ozeans bis nach der Südspitze Afrikas hin ein Zunehmen des Salzgehaltes mit einer Abnahme der Temperatur verbunden finden; erst ganz im Süden ist das normale Verhältnis wieder hergestellt. Die Trennungslinie verläuft auch hier in ONO-Richtung, von Kap Agulhas ungefähr nach Nordaustralien hinüber. Veranlaßt ist dies auffällige Verhalten des Südindischen Ozeans im Osten durch die relativ stark südliche Lage des Salzgehaltemaximums, im Westen durch den Agulhasstrom, der starksalziges, aber beim Vordringen in die höhern Breiten an der Oberfläche sich beträchtlich abkühlendes Wasser bis nach 35° S. Br. und noch weiter führt.

Nun vergleiche man aber den Atlantischen mit dem Indischen Ozean! Während im Nordatlantischen Ozeans das ungleichsinnige Verhalten beider Faktoren schon in 24° N. Br.

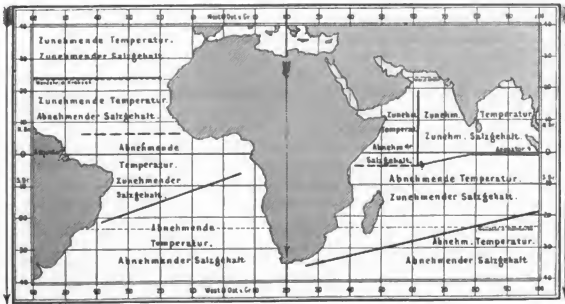


Fig. 3. Verhältnis zwischen Salzgehalt und Temperatur des Meerwassers.

(Die Eintragungen sind in der Weise geschehen, wie sie für einen stets von Nord nach Süd [in der Pfeilrichtung] gehenden Beobachter erfolgen.)

beginnt, beginnt es im Indischen (wenn wir von der Gegend bei Kap Guardafui absehen) erst höchstens am Äquator; während es im Südatlantischen Ozean auf einer Mittelbreite von etwa 13° S. Br. endet, endet es im Südindischen im Mittel erst in 25° S. Br., und zwischen der Ost- und Westküste des südlich vom Äquator gelegenen Afrika entsteht in dieser Beziehung ein Gegensatz, der ziemlich dreißig Breitengrade einschließt.

Für die mittleren und höheren Breiten gilt also das in ozeanographischen Darlegungen meist kurzerhand aufgestellte Verhältnis, wonach eine relativ hohe Temperatur mit hohem Salzgehalt, eine niedrige Temperatur mit niedrigem Salzgehalt vereint auftritt; erklärlicherweise, denn das durch die großen äquatorialen Strömungen in höhere Breiten geführte Wasser erscheint daselbst immer noch vergleichsweise salzreich und warm. Aber gerade zwischen den Wendekreisen, z. B. auch in der Chinesee, finden wir Umkehrungen dieses Verhältnisses, welche z. T. eben erklärt wurden, z. T. ihre Erklärung ohne weiteres in der oben besprochenen geographischen Verteilung des Salzgehaltes und in derjenigen der Temperatur finden.

Eine sehr bemerkenswerte Abweichung ist mir endlich innerhalb des Kuro-shiwo und des Agulhasstromes aufgefallen und wird sich höchstwahrscheinlich auch in den südlichen

Teilen des Golfstromes nachweisen lassen, nämlich eine ganz ungewöhnliche Konstanz des absoluten Betrages der Salinität trotz gleichzeitig hervortretender, sehr starker Temperaturdifferenzen. Wenn man die Diagramme für die Tage vom 21.—26. Februar und den 11. und 12. März (im Kuro-shiwo-Gebiet), sowie für die Zeit vom 18.—27. Juli (im Agulhasstrom) betrachtet und dabei den Verlauf der Salzgehaltlinie mit demjenigen der Wassertemperatur vergleicht, so fällt die Erscheinung sofort in die Augen, zumal da sonst nach Anweisung der Diagramme die Salinität nie für längere Zeit so gleichmäßig dieselbe blieb, wie eben innerhalb dieser Strömungen, und sonst überall, wo die Temperatur starke Sprünge zeigt, die Salinität, sei es gleichsinnig oder ungleichsinnig, sich auch ändert, also jedenfalls nicht konstant bleibt. Die Beobachtungen der genannten Tage geben, soweit sie dies ungewöhnliche Verhältnis zwischen Salzgehalt und Temperatur betreffen, einen nach meiner Meinung höchst wichtigen Fingerzeig zur Beurteilung der physikalischen Natur der bekannten „warmen und kalten Streifen“ innerhalb der großen Meeresströmungen. Da dieselben in einem besondern Kapitel behandelt werden, soll an jener Stelle die hier erwähnte Erscheinung im Zusammenhang ihre Darstellung finden.

c) Das absolute spezifische Gewicht ($S_{4^{\circ}}^{t^{\circ}}$), nebst Bemerkungen über Stromkabelungen.

Will man sich eine Anschauung über das wirkliche Gewicht verschaffen, welches ein bestimmtes Quantum Seewasser an einer bestimmten Stelle besitzt, so muß man die Wirkung, welche die Salzgehaltsmenge auf das spezifische Gewicht ausübt, mit der Wirkung der Temperatur kombinieren, wobei bekanntlich diese beiden Faktoren, „Salzgehalt“ und „Temperatur“, auf das Gewicht der Seewasserprobe ungleichsinnig einwirken. Auf S. 17 wurde die Methode angegeben, nach welcher man aus dem Salzgehalt, resp. aus $S_{17,5^{\circ}}^{17,5^{\circ}}$ das Gewicht, welches das Seewasser an Ort und Stelle bei der daselbst gerade herrschenden Temperatur t° besitzt, erhält¹⁾. Man vergleiche dabei stets das Gewicht des Seewassers bei t° C. mit demjenigen des destillierten Wassers bei 4° C, und nicht, wie es für die Beobachter, welche mit deutschen Ärometern arbeiten, nahe liegt, bei $17,5^{\circ}$ C. Ich bemerke dies, da alle die Angaben, welche man z. B. in dem „Gazelle“-Werk (Band II, Physik und Chemie, S. 10 bis 13, vorher auch in den Berichten des Admirals v. Schleinitz in den Annalen der Hydrographie, bes. 1875, S. 409 ff.) über „absolute spezifische Gewichte“ findet, auf $17,5^{\circ}$ C. bezogen sind, was natürlich für das Wesen der Sache keinen Unterschied macht, aber doch gegenüber der allgemein gebrauchten Norm $S_{4^{\circ}}^{t^{\circ}}$ lästige Zahlendifferenzen giebt, zumal nicht gesagt ist, daß $S_{17,5^{\circ}}^{t^{\circ}}$ vorliegen.

Die in den verschiedenen Meeresgegenden verschiedenen Werte von $S_{4^{\circ}}^{t^{\circ}}$ sind es, welche von der überwiegenden Mehrzahl der Forscher bis zu den Zeiten Croll's und Zöppritsch²⁾, von einigen wenigen anderen Theorien abgesehen, immer wieder zur Erklärung der Meeresströmungen herangezogen wurden, indem der höhere Druck der schwereren Wassermassen in den polaren Breiten ein Gefälle gegen die spezifisch leichteren Wassermassen der äquatorialen Gegenden bedingen sollte.

Da diese Theorien einen, wie man wohl sagen darf, überwundenen Standpunkt der ozeanographischen Forschung darstellen (wonit aber keineswegs jeglicher Einfluß des spezi-

¹⁾ Vgl. auch die Tabelle zur Reduktion S. 18.

²⁾ Vgl. z. B. Mohn, Peterm. Ergänz.-Heft Nr. 79, S. 5.

³⁾ Eine vorzügliche Übersicht über alle diese Theorien ist von Dr. H. Pahde gegeben im Programm des Realgymnasiums zu Krefeld 1888.

fischen Gewichtes des Seewassers auf Meereszirkulationen geeignet sein soll), so kann ich natürlich nicht die Meinung haben, hier etwas wesentlich Neues zu bringen, aber es wird nicht unnützlich sein, die absoluten Zahlen einmal zusammenzustellen, welche bei Durchquerungen der Ozeane in den verschiedenen Breiten für das spezifische Gewicht des Meerwassers sich herausstellen, um so an einem Beispiel die vorliegenden Gewichtsunterschiede sich vergegenwärtigen zu können. Man findet überhaupt in der Literatur diese absoluten spezifischen Gewichte wenig erörtert, augenblicklich kenne ich nur die diesbezüglichen Darlegungen Mohns, betreffend das europäische Nordmeer, und außerdem die Notizen von v. Schleinitz, betreffend die höheren südlichen Breiten.

Die folgende Zusammenstellung beruht mit Ausnahme dreier Zahlen auf meinen eigenen Beobachtungen. Wir finden:

Atlantischer Ozean.	$S \frac{t}{4}$	Indischer Ozean.	$S \frac{t}{4}$	Ozeanische Gewässer.	$S \frac{t}{4}$
70° N. Br., 0° W. L.	1,0278 ¹⁾	—	—	Kuro-shiwo (Formosa — Yokohama).	1,0248
50 „ 8 „	265	—	—	Nördliche Chinesee (Hongkong-Gegend).	242
25 „ 28 „	265	—	—	Südliche Chinesee (Singapore-Gegend).	217
7 „ 26 „	224	5° N. Br., 95° Ö. L.	1,0218		
25° S. Br., 15° W. L.	266	25° S. Br., 85° Ö. L.	247		
40 „ 0 „	260	40 „ 80 „	260		
50 „ 30 „	270 ²⁾	50 „ 70 „	272 ³⁾		
Westwindgebiet der südlichen Breiten		Maximum: 1,0269 in 37° Ö. L., 41° S. Br. Minimum: 261 „ 18 „ 42 „			

Während der Salzgehalt im Atlantischen Ozean in der Richtung von Nord nach Süd erst zunimmt, dann vom Wendekreis an wieder abnimmt, finden wir von den höchsten Breiten an eine gleichmäßige Abnahme des absoluten spezifischen Gewichtes des Seewassers bis nach etwa 7° N. Br., jener Gegend, in welcher eine sehr hohe Wassertemperatur im Verein mit niedrigem Salzgehalt das Meerwasser spezifisch sehr leicht macht. Jenseits des siebenten nördlichen Breitenparallels in der Richtung nach Süd wird das Seewasser schwerer, und zwar steigt das Gewicht wiederum ebenso gleichmäßig an wie im nördlichen Ozean; aber das südatlantische Wasser ist auf gleichen Breiten schwerer als das nordatlantische, weil trotz der bedeutend geringern Salinität doch die viel niedrigeren Temperaturen anschlussgebend sind. Im Südindischen Ozean scheint das Wasser jenseits des vierzigsten Parallelkreises aus gleichem Grunde spezifisch ein wenig schwerer zu sein als das entsprechende des Südatlantischen Ozeans.

Die Südhälfte der Erde hat also allem Anschein nach auch an der Meeresoberfläche in den höheren Breiten, die rings um die Erde eine zusammenhängende Wasserbedeckung aufweisen, ein nicht unbeträchtlich schwereres Wasser als die Nordhälfte auf gleichen Breiten; nach unseren Kenntnissen von den Bodentemperaturen des Süd- und Nordatlantischen Ozeans wird dies Verhältnis in der Tiefe noch stärker ausgebildet sein: damit stehen wir vor dem Problem der Vertikalzirkulation.

Ganz besonders scharf tritt uns derselbe Sachverhalt (für die Oberfläche) entgegen, wenn wir die Werte der $S \frac{t}{4}$ im Südindischen Ozean mit denjenigen des Nordpazifischen vergleichen. Der sehr geringe Salzgehalt des Kuro-shiwo (34,8—35,0 ‰) im Verein mit seiner hohen Temperatur macht das nordpazifische Seewasser außerordentlich leicht, während z. B. im Gebiete des Golfstroms die Wirkung der hohen Temperatur ziemlich ausgeglichen wird durch die hohe, 36,0 ‰ beträchtlich überschreitende Salinität. Auch nördlich vom Kuro-

¹⁾ Nach Mohn a. a. O., Taf. 1, K. u. M.

²⁾ Nach Material der Deutschen Seewarte (S. M. S. „Marie“, September 1883).

³⁾ Nach Beobachtungen der „Gazelle“, Januar 1875.

shiwo-Gebiet, im kalten Kurilenstrom, finden wir nur wenig schwereres Wasser; wenn wir 32,8 ‰ Salzgehalt und 8° Jahrestemperatur¹⁾ für 45° N. Br. und 150° Ö. L. ansetzen, so erhalten wir $S \frac{t^{\circ}}{4^{\circ}} = 1,0256$, also ungefähr das Gewicht, das im Nordatlantischen Ozean erst auf 25° N. Br. sich findet.

Es ist hier die Stelle, noch eine Erscheinung zu besprechen, welche durch v. Schleinitz bei Gelegenheit der „Gazelle“-Expedition in den höheren südlichen Breiten beobachtet worden ist, und auf welche derselbe ein ganz besonderes Gewicht gelegt hat, so daß seine Darlegungen darüber in vielen ozeanographischen Abhandlungen angeführt sind²⁾. Ich meine die nach v. Schleinitz vorhandene, fast vollkommene Unveränderlichkeit des absoluten spezifischen Gewichtes, trotz ungewöhnlich starker Veränderungen des Salzgehaltes und der Wassertemperatur, in den Gegenden unter 40°—50° S. Br. und 10°—80° Ö. L., also südlich vom Kap der Guten Hoffnung ungefähr zwischen den Meridianen von Kapstadt und St. Paul-Amsterdam. Freiherr v. Schleinitz sagt u. a.³⁾: „Das absolute spezifische Gewicht der Oberflächengewässer bleibt innerhalb der ganzen (durchseelten) Zone, welche gewissermaßen ein neutrales Gebiet zwischen den warmen und kalten Teilen des Ozeans bildet, trotz der Temperaturverschiedenheiten fast genau dasselbe. Das absolute spezifische Gewicht hält sich nämlich zwischen 1,0267 und 1,0269, und die stündlich gemachten Beobachtungen lassen in deutlicher Weise erkennen, wie überall mit der Änderung der Wassertemperatur der Salzgehalt genau in einer solchen Weise ab- oder zunimmt, daß das absolute spezifische Gewicht nicht gestört wird. Es war z. B.:

Am 12. Oktober 1874 in 42° S. Br. und 36° Ö. L.:

Wassertemperatur 9,4°. Salzgehalt 34,8 ‰. Absol. spezif. Gewicht 1,0268.

Am 13. Oktober 1874 in 44° S. Br. und 36 Ö. L.:

Wassertemperatur 5,8°. Salzgehalt 33,9 ‰. Absol. spezif. Gewicht 1,0268.

„Diese Erscheinung gestattet den Schlufs, daß in diesem Gürtel selbst, obgleich er sich aus ganz verschiedenen Gewässern zusammensetzt, keine Veranlassung zu einer nachhaltigen und weitreichenden äquatorialen oder polaren Oberflächenströmung vorhanden ist, indem der Salzgehalt das Gleichgewicht wieder herstellt, welches die Temperaturen zu stören suchen. So ist es wahrscheinlich, daß auf diese Weise und an dieser Stelle sich der Austausch der kalten und warmen Wasser, resp. derjenigen von geringem und von großem Salzgehalt vollzieht, ohne bedeutende Strömungen hervorzubringen.“

Demgegenüber sei die Bemerkung gestattet, daß ich auf der Fahrt um das Kap der Guten Hoffnung, bei welcher ich durch die außerordentlich gut ausgebildeten ozeanographischen Verhältnisse dieser Gegenden recht begünstigt war, auch in dem absoluten spezifischen Gewichte des Seewassers fortwährend sehr erhebliche Schwankungen beobachtet habe. Ein Blick auf den Verlauf der Diagramm-Kurven der Tage vom 12.—26. Dezember 1891⁴⁾ läßt sofort das Wesentliche überschauen; das Gewicht des Seewassers variierte zwischen 1,0269 und 1,0251, und zwar ganz unregelmäßig, indem manchmal (z. B. am 13. Dezember 4^h p. m.) die Temperatur, manchmal (z. B. am 17. Dezember 12^h p. m.) der Salzgehalt für das wechselnde Fallen oder Steigen des absoluten spezifischen Gewichts maßgebend war. Allerdings sind die Beträge dieser Schwankungen nicht so große, wie etwa die der gleichzeitig erfolgenden Temperatur- und Salzgehaltsänderungen; aber von einem statischen Gleichgewicht, welches v. Schleinitz annimmt, wird man kaum sprechen dürfen.

Auch auf der Reise der „Gazelle“ selbst sind die absoluten spezifischen Gewichte in diesen hier besprochenen Gegenden nicht immer dieselben gewesen; z. B.:

¹⁾ Siehe hierzu Peterm. Mittell. 1891, Taf. 15, Karte 4.

²⁾ v. Schleinitz in den Annal. der Hydrogr. 1875, S. 409 ff.; s. ferner Forschungsreise der „Gazelle“ II, S. 12. Handbuch der Ozeanographie I, S. 155; II, S. 477. 478.

³⁾ A. a. O. S. 410.

⁴⁾ Siehe Tafel 4.

- Am 11. Oktober 1874 in 42° S. Br. und 33° Ö. L.:
Wassertemperatur 12,5°. Salzgehalt 34,6‰/100. Absol. spezif. Gewicht 1,0262.
Am 13. Oktober 1874 in 44° S. Br. und 36° Ö. L. (s. oben):
Wassertemperatur 6,0°. Salzgehalt 34,2‰/100. Absol. spezif. Gewicht 1,0260.

oder auch man vergleiche:

- Am 6. Februar 1875 in 47° S. Br. und 70° Ö. L.:
Wassertemperatur 5,3°. Salzgehalt 33,9‰/100. Absol. spezif. Gewicht 1,0268.
Am 9. Februar 1875 in 42° S. Br. und 78° Ö. L.:
Wassertemperatur 13,6°. Salzgehalt 35,0‰/100. Absol. spezif. Gewicht 1,0263.
Am 10. Februar 1875 in 40° S. Br. und 78° Ö. L.:
Wassertemperatur 17,4°. Salzgehalt 35,6‰/100. Absol. spezif. Gewicht 1,0260.

Nach meiner Meinung geht daraus hervor, daß verhältnismäßig starke Gewichtsunterschiede des Seewassers nebeneinander bestehen können, ohne daß kurze oder heftige Ausgleichsbewegungen (etwa in Gestalt von Stromkabelnngen) auftreten müßten. Die äquatorial-warmen und die polar-kalten Wasser schieben sich, getrieben von rückwärts liegenden Kräften, ineinander, wie — um das außerordentlich treffende Gleichnis *Townbees* anzuwenden —, die Finger der zwei Hände.

Es verdient eben dabei bemerkt zu werden, daß in dem in Frage stehenden Gebiet Stromkabelnngen keineswegs besonders häufig sind; ich beobachtete nur zweimal hier kabbeliges Wasser, und zwar beidemal an dem westlichen Rande des Gebietes, da, wo (bei einer Fahrt nach Osten) die plötzlichen, starken Veränderungen der ozeanographischen Faktoren zu beginnen pflegen: das erste Mal am 12. Dezember 1891 in 41° S. Br. und 14° Ö. L. Die Kabbelung war nur schwach und gekennzeichnet durch einen über die ganze sichtbare Meeresoberfläche hin angesdehten langen, geraden, weißen Streifen von schäumendem Seewasser, der in der Richtung NOzN—SWzS lag. Vorher und nachher war die Temperatur des Wassers 11,9° und die Farbe ein gleichmäßiges Blau (Foréls Farbenskala: IV = 4‰ Gelb)¹⁾; aber nach Verlauf von 4 Stunden, in 20 Seemeilen Entfernung von der kabbelligen Stelle, begann dann plötzlich die Temperatur stark zu steigen, nämlich auf 13,9° und nach weiteren 2 Stunden bis auf 15,3°, der Salzgehalt nahm zu bis auf über 35,0‰/100. Gleichzeitig veränderte sich aber die Wasserfarbe in sonderbarer Weise in ein undurchsichtiges Schwarzgrau bis Grün, obwohl wir ja deutlich genug den Agulhasstrom angeschnitten hatten, dessen tiefblaue Farbe so vielfach hervorgehoben wird. Aber es ist von mir auf der Ausreise wie auf der Rückreise sicher konstatiert worden, daß — bei diesen zwei Durchquerungen wenigstens — das warme Wasser gerade eine grüne Färbung zeigte, das kalte eine bläuliche. In 42° S. Br. und 18° Ö. L. bei der sehr hohen Temperatur von 19,7°—18,9° C. war das Wasser sogar schmutzig-hellgrün (nach der Farbenskala 16‰ Gelb), während es in 26° Ö. L. bei der Temperatur 13,1° wieder bläulich wurde; ebenso war es in der Nähe des Kaplands, in 36° S. Br. und 21° Ö. L. bei einer Temperatur von 20,3°—19,7° undurchsichtig schwarzgrün, später dagegen, in 35° S. Br. und 19° Ö. L. bei 15° Temperatur tiefblau!

In beiden Fällen gelang es, durch Planktonfänge ganz enorme Mengen organischer, besonders pflanzlicher Beimischungen nachzuweisen und für die ungewöhnliche Färbung des Agulhasstromes verantwortlich zu machen.

Das zweite Mal, auf 34° S. Br. und 27° Ö. L. war die Kabbelung auch nur schwach; das Schiff befand sich recht mitten im Agulhasstrom; die Veränderungen in der Wassertemperatur waren sehr geringe, solche im Salzgehalt überhaupt nicht nachweisbar. — Die

¹⁾ In betreff dieser Farbenskala, welche zur Bestimmung der Meeresfarbe dient (worüber am bequemsten etwas zu lesen ist in *Peterm. Mitteil.* 1892. S. 70 u. 286), mag bemerkt sein, daß ich die Nummern einfach nach den Prozenten „Gelb“, welche dem „Blau“ beizumischen sind, um die jeweilige Meeresfarbe zu erhalten, bezeichnet habe. Dies gibt am wenigsten Anlaß zu Mißverständnissen, da man unmöglich die von Foréls gegebenen Nummern (Nr. V u. B. enthält bei Foréls 86 Teile „Blau“, 14 Teile „Gelb“ u. s. f.) im Kopfe behalten kann und man außerdem durch direkte Angabe der Quantitäten „Gelb“ der geistigen Anschauung entgegenkommt. Ich folge hierbei einer mir durch Prof. Krümmel gewordenen Anregung, der diese Bezeichnungsweise im Reisebericht der Plankton-Expedition bereits konsequent angewandt hat.

heftigsten Kabbelungen in andern Meeresgebieten habe ich in der Malakkastraße und besonders einmal bei Singapur während der Ausfahrt ostwärts nach der Chinesee hin beobachtet: hier war von irgend welchen Temperaturdifferenzen oder Verschiedenheiten des absoluten spezifischen Gewichtes noch weniger die Rede als in jenen Gegenden am Kap. Hier in diesen Binnengewässern hing die Erscheinung wohl sicher mit der Gezeit zusammen; außerdem dürften in solchen Meeresstraßen wie der bei Singapur (zwischen den Inseln Battam und St. Johns) die Tiefenverhältnisse eine große Rolle spielen. An der letztern Stelle sind die Tiefen sehr ungleichmäßig verteilt; 26, 73, 157, 104 m tiefes Wasser liegt dicht nebeneinander, und ich beobachtete, wie über den flachen Stellen das Wasser sehr krapp und kabbelig unter brausendem Geräusch östlich hinaussetzte, während mitten dazwischen große Flecken Wassers sich zeigten, deren Oberfläche glatt wie Öl war: ein höchst eigenartiger Anblick.

Sonst sind, von einigen wenigen andern unbedeutenden abgesehen, auf hoher See nur zweimal Kabbolungen während der Fahrten beobachtet worden. Erstens am 1. September 1892 in 12° N. Br. und 26° W. L., gleichfalls bei fast kaum nennenswerten Schwankungen der Wassertemperatur und des spezifischen Gewichtes. Aber hier lag trotzdem eine deutliche Stromgrenze vor, nämlich die zwischen dem Nordrande des Guineastromes und dem Südrande der Nordäquatorialströmung; das von Süden her kommende Schiff hatte in den Tagen vorher immer Versetzung noch Osten gehabt; am Tag aber, da die heftige Kabbelung frühmorgens sich gezeigt hatte, waren wir um 26 Seemeilen nach NWzW versetzt!

Zweitens, und zum letztenmal, traten starke und häufig sich wiederholende Kabbelungen am 14. und 15. September 1892 in 33° N. Br. und 38° W. L. auf, also im nordöstlichen Teile des Sargassogebietes, da, wo deutlich markierte Ausläufer des Golfstromes in der Gegend der Azoren nach SO umbiegen. Eine plötzliche Zunahme der Temperatur des Wassers um 1°, welche schnell wieder verschwindet, um nach einigen Stunden von neuem sich bemerkbar zu machen, ist in diesen Gegenden schon ein sehr deutliches Anzeichen von vorhandenen Strömungen, auch hatte das Schiff östliche Versetzungen zu verzeichnen.

Diese wenigen Notizen, die ich augenblicklich über diese immer noch sehr rätselhafte Erscheinung der „Stromkabbelungen“ geben kann, sollen nur zeigen, daß das Auftreten derselben durchaus nicht an das gleichzeitige Vorhandensein von Unterschieden in der Temperatur oder dem Salzgehalt oder dem absoluten spezifischen Gewichte des Seewassers gebunden sind, sowie daß anderseits nachweisbare starke lokale Differenzen besonders des absoluten Gewichtes des Seewassers Kabbelungen nicht notwendig zur Folge haben. Sieht man von den Kabbelungen, welche in Meerengen besonders häufig und heftig vorkommen, ab, so findet man, daß das Phänomen auf hoher See sowohl innerhalb der Meeresströmungen wie an deren Kanten sich beobachten läßt; es ist eine Begleiterscheinung der Oberflächenströmungen, welche ja bekanntlich fast ausschließlich von Kräften abhängen, die außerhalb des Meeres liegen, und darum setzen auch die Kabbelungen keine Differenzen in den ozeanographischen Faktoren voraus. Wie an anderer Stelle besprochen werden wird, ist es eine Haupteigenschaft aller Meeresströmungen, auch der kräftigsten, daß sie im Gegensatz zum strömenden Wasser des Festlandes keine nur annähernd gleichmäßigen, beständigen Geschwindigkeiten aufweisen, wodurch dann (da auf lokal beschränktem Gebiet die Quantität der Wasserführung eine sehr verschiedene werden kann) unter Umständen Diskontinuitäten der Bewegungen zu stande kommen mögen, die in der Gestalt von Kabbelungen demnach auch innerhalb der Meeresströmungen sich offenbaren.

Die Strömungen der Meeresoberfläche.

Die im folgenden gegebenen Darlegungen beruhen zunächst auf einer Erörterung der Stromversetzungen, welche die Schiffe auf ihrer Fahrt erleiden. Dieselben werden im allgemeinen nach Verlauf von je 24 Stunden ermittelt aus der Differenz zwischen den astronomisch bestimmten und dem durch die Loggrechnung gefundenen (gegiften) Schiffsort¹⁾. Da die Strömungen, welche auf das Schiff gewirkt haben, sowohl der Richtung wie der Stärke nach durch dies Vorfahren nur sehr ungenau sich bestimmen lassen²⁾, sind die während der Fahrten gemachten Beobachtungen über die Temperatur und den Salzgehalt des Seewassers mit den Stromversetzungen, soweit irgend möglich, sachlich in Verbindung gesetzt worden, und zwar derart, daß wir die in den einzelnen Fällen beobachteten Temperaturen und Salinitäten mit der allgemeinen, durchschnittlichen Temperatur- und Salzgehaltsverteilung verglichen. Damit gelangen wir dann vielfach zu einem Rückschluß auf die Herkunft der betreffenden Wasserprobe und zu einem annähernd richtigen Bilde über den jeweiligen Zustand der ozeanischen Bewegungen an der Meeresoberfläche. In dieser Hinsicht sind also die folgenden Ausführungen wesentlich mit bedingt durch eine praktische Verwertung der in den vorhergehenden Abschnitten besprochenen Beobachtungen. Diese Methode wird jetzt viel angewendet, wie man u. a. aus dem zweiten Bande des Handbuchs der Ozeanographie (S. 384 ff.) ersehen kann³⁾.

Da auf den von mir benutzten Schiffen die Schiffsrechnung durchgängig sehr sorgfältig vorgenommen wurde, so können wir immerhin den Besteckdifferenzen (welche sich am untern Rand der Diagrammtafeln eingetragen finden) auch bei geringen Zahlenbeträgen Wert beilegen⁴⁾.

Nordatlantischer Ozean.

Die Ausreise vom Kanal nach der Linie ging, wenn man die gangbaren Übersichtskarten der Meeresströmungen vergleicht, durch Gebiete, welche bis nach den Azoren hin östliche, dann im Bereich der nordafrikanischen Strömung südliche, endlich westliche Versetzungen in der Äquatorialgegend bringen sollen.

Dicht vor dem Kanal werden Stromfäden, die in Ostrichtung in die Bai von Biskaya eindringen und nun durch die französische Westküste abgelenkt wurden, in NW-Richtung laufend als „Rennellstrom“ vielfach eingezeichnet. Wenn auch diese Strömung sehr überschätzt und vielfach mit Gezeitenbewegungen vermengt worden ist⁵⁾, so ist doch ein zeitweiliges Strömen des Wassers in dieser Richtung auch außerhalb der Gezeiten nicht zu bezweifeln; wir beobachteten nach dem Verlassen von Lizard auf der Strecke bis 47° N. Br. und 12° W. L. eine Versetzung nach N 57° W 28 Seemeilen in 40 Stunden, also 0,7 Seemeile pro Stunde. Der Wind wehte frisch aus ENE⁶⁾. Auf der Rückreise wurde freilich davon nichts bemerkt; bei westlichen Winden waren die Versetzungen ganz unregelmäßig, so daß das Wasser vor den Aufsengründen des Kanals, welches zu nicht unbedeutendem Teile aus dem Golfstromgebiet stammen mag, je nach der Windrichtung hin und her triffen dürfte.

Auffallend sind die bis nach Madeira hin beobachteten Versetzungen, welche fast eine NW-Richtung und ziemlich 1 Seemeile Geschwindigkeit pro Stunde aufwiesen, also ganz

¹⁾ Siehe hierzu z. B. Petersen. Mitteil. 1891, S. 209 u. 210.

²⁾ Siehe P. Hoffmann, Mechanik der Meeresströmungen. Berlin 1884, S. 25—27.

³⁾ Vgl. auch Wolff u. Luksch's Verfahren in der Adria: Physikalische Untersuchungen an Bord der „Hertha“, Wien 1881, S. 1.

⁴⁾ Alle Stromangaben sind, wo nichts andres bemerkt ist, in Seemeilen (zu 1,85 km) gemacht und gelten für einen Zeitraum von 24 Stunden.

⁵⁾ Vgl. Handb. d. Ozeanogr. II, S. 431.

⁶⁾ Es ist hier immer Ost durch E ausgedrückt, nur wenn es sich um Windrichtungen handelt; sonst stets durch O. Dies entspricht dem von der Deutschen Seewarte befolgten Verfahren.

ähnlich wie vor dem Kanal liefen, obschon starke westliche Winde zwischen den Azoren und Madeira auftraten. Auch der ganze folgende Reiseabschnitt bis zum Beginn des NE-Passats in 24° N. Br. ergab eine ungewöhnliche Stromrichtung, nämlich nach OSO bis OZN! Nur einmal, zwischen Madeira und den Kanaren, fanden wir uns recht nach Süden, und zwar um 25 Seemeilen, versetzt; dies war aber auch das einzige Mal im Bereich der Kanarenströmung. Ich vermag mir die an vier Tagen beobachteten östlichen Versetzungen nicht zu erklären; wären dieselben in den höhern Breiten von etwa 35° N. Br. aufgetreten, so könnte man sie auf eine ansaugende Wirkung zurückführen, wie sie erwiesenermaßen die Gibraltarstrasse auf das nordatlantische Wasser ausübt. Es ist, wenn man die Diagramme betrachtet (s. Taf. 4), beachtenswert, daß genau an dem Tage, an welchem die beständige westliche Stromrichtung der äquatorialen Gebiete angeschnitten wurde, das Maximum des Salzgehalts und ein hohes absolutes spezifisches Gewicht beobachtet wurde. Der Durchschnitt durch den Nordatlantischen Ozean, wie ihn die Fahrt des „Robert Rickmers“ von Nord nach Süd darstellt, zeigt recht deutlich die häufigen und großen Abweichungen von den gewöhnlichen Strombildern. Am 6. und 7. November, da der Wechsel der Versetzungsrichtung eintrat (von ONO nach NW), schwankte die Windrichtung nur zwischen NzE und NEzN; ein Zeichen, wie mir scheint, dafür, daß thatsächlich die ermittelten Stromrichtungen, zum mindesten was deren östliche und westliche Komponente anlangt, vorhanden waren.

Die Äquatorialströmung machte sich von etwa 23° N.Br. bis 11° S. Br. jeden Tag fühlbar, und zwar waren die Versetzungen stets sehr nördlich von West gerichtet; man könnte vielleicht vermuten, daß die abgelaufenen Distanzen überschätzt worden seien und so die hochnördliche Richtung der Versetzung sich erkläre, aber die Patentlogge zeigte, wie die spätern Beobachtungen im Indischen Ozean ergaben, entschieden die richtigen Entfernungen.

Man kommt so zu der Anschauung, daß vielleicht auch noch in der Gegend der Kapverden aus dieser Strömung zeitweise das Wasser nach rechts hin in das Gebiet vorwiegend stromlosen Wassers abzweigt, ähnlich wie auf der andern Seite des Stromringes, nämlich am südöstlichen Rand des Golfstroms, das Wasser nach Süden und Westen vielfach umbiegt.

Weiter südlich, etwa von 5° N. Br. an, sind unter den Längen östlich von 30° Versetzungen nach NW nicht auffällig, vielmehr normal, da hier bereits die Trift des SE-Passats einsetzt.

Die südliche Kante des Nordäquatorialstromes, die im November auf etwa 9° N. Br. liegen soll¹⁾, konnte nicht festgelegt werden, da die Versetzungen immer nordwestliche blieben, auch in dem Stillengebiet zwischen den beiden Passaten. Wohl aber wurde, wie wir oben (S. 29) sahen, auf 9° N. Br. ein Minimum des Salzgehalts und der Dichtigkeit des Seewassers gefunden, welches a. a. O. erklärt wurde und für den Guineastrom des nördlichen Sommers charakteristisch ist.

Im nächsten Jahre, und zwar im August 1892, wurde, wie die Übersichtskarte der Reisewege erkennen läßt, genau dasselbe Gebiet wieder während längerer Zeit befahren, und da zeigte sich der jahreszeitliche Wechsel deutlich ausgeprägt. Wo im November der Nordäquatorialstrom das Wasser westwärts führte, triftete im August mit dem jetzt weit nach West ausgedehnten Guineastrome das Wasser mit einer stündlichen Geschwindigkeit von mindestens 1,3 Seemeilen nach O—OSO²⁾; sehr hohe Wassertemperaturen, niedrige Salinitäten (das Minimum lag jetzt in 8° N. Br.) und Windstillen waren auch hier die begleitenden Erscheinungen.

¹⁾ Handb. d. Ozeanogr. II, 885.

²⁾ Siehe zu diesen jahreszeitlichen Änderungen die sehr instructiven Kärtchen im Segelhandbuch des Atlant. Ozeans, herausgeg. von der Deutschen Seewarte, S. 24.

Wir sehen daraus, daß in dieser Gegend wohl während des ganzen Jahres ein Gebiet niedriger Salinität liegt, welches nicht ausschließlich von der Guineaströmung, resp. dem Westmonsun seiner Lage nach abhängig ist, sondern unbeschadet westlicher oder östlicher Stromrichtung sich auf der Interpassatzone ständig erhält. Dies mag im Anschluß an Krümmels Bemerkungen hierüber angefügt sein ¹⁾. Während im November das Minimum = 34,3⁰/₀₀ Salzgehalt war, wurde im August, da doch die Verhältnisse für eine besonders niedrige Salinität am günstigsten sind, nur ein solches von 34,8⁰/₀₀ gefunden.

Unter größeren westlichen Längen allerdings wird, wie dies ja auch die Krümmelsche Karte zeigt ²⁾, die Salinität nicht so tief sinken, da das Stillengebiet keilförmig gegen Westen hin abnimmt.

Die kausale Unabhängigkeit der Strömungen von diesen physikalischen Eigenschaften des Seewassers tritt auch hier zu Tage.

Kehren wir zu der äquatorialen Strömung zurück, so kann im einzelnen noch bemerkt werden, daß die beobachteten Stromstärken auf der Fahrt nach Süden recht geringe waren; die größte Geschwindigkeit betrug 21 Seemeilen in 24 Stunden; einmal, am Tage vor dem Schneiden der Linie, als der SE-Passat schon eingesetzt hatte, wurde fast Stromstille (WSW 5 Seemeilen) gefunden. Vom Guineastrom wurde, wie schon erwähnt, im November selbst unter 26° W. L. keine Spur bemerkt, obschon seine „Wurzel“, d. h. seine westlichste Kante, in diesem Monat im Mittel auf etwa 33° W. L. (in 5—6° N. Br.) liegt ³⁾. Durchgängig größere Geschwindigkeiten fand ich auf der Rückreise für die Hauptäquatorialströmung, zu welcher auch der auf die Nordhalbkugel übertretende Teil der SE-Passattritt gerechnet wird; von St. Helena kommend, beobachtete ich von 10° S. Br. an fast immer Versetzungen, die nördlich von West hingingen (auf der Ausreise unter der Küste Brasiliens war diese Richtung bis 11° S. Br. konstatiert worden, s. oben S. 46), und zwar wuchs die Geschwindigkeit mit der Annäherung an den Äquator, um genau unter der Linie ein Maximum von N 88° W 33 Seemeilen in 24 Stunden zu erreichen. Weiter nördlich nahm dann die Strömung ab und schlug in 7° N. Br., wie wir sahen, in die Ostströmung des Guineastromes um.

Diese im August beobachtete größere Geschwindigkeit der Haupt-Äquatorialströmung stimmt mit dem, was hierüber schon bekannt ist ⁴⁾.

Die Südgrenze der Nordäquatorialströmung wurde jetzt, im Gegensatz zur Ausfahrt, im September sehr deutlich auf 12° N. Br. ⁵⁾ vorgefunden, ohne daß jedoch in der Temperatur oder dem spezifischen Gewicht des Seewassers nennenswerte Änderungen eintraten.

Beim Durchstechen des Nordostpassats auf der Rückreise kamen wir naturgemäß sehr bald aus der Äquatorialströmung heraus, und bis nach 30° N. Br. hin wurde fast immer Stromstille gefunden, außerdem nur unbedeutende westliche Versetzungen. Ich sagte: „naturgemäß“ kamen wir bald aus der Äquatorialströmung heraus, weil ja dies stromlose Zentrum im Herzen des Nordatlantik überall, auf allen Karten und in allen Werken, sich dargestellt findet. Immerhin hat für den Seemann sowohl wie für den Anhänger der Zöppritzschen Trifttheorie ein solches bewegungsloses Gebiet etwas Auffallendes, da es recht im Herzen des frischen Passats belegen ist und letzterer doch das Wasser unter allen Umständen in Bewegung setzen sollte. Ich kann hier nur auf den, wie mir scheint, noch nirgends recht betonten Umstand hinweisen, daß das Rofsbreiten-Maximum des Luftdruckes und dessen vorwiegende Windstillen keineswegs, auch im Osten und Norden nicht, mit dem bewegungslosen oder nur sehr schwach strömenden Raum des Stromzirkels sich decken.

¹⁾ Peters. Mittell. 1890, S. 176.

²⁾ Ebenda 1890, Taf. 13.

³⁾ Handb. d. Ozean. II, S. 401.

⁴⁾ Siehe Hoffmann, Meeresströmungen, S. 34 u. 35, und Handbuch der Ozeanogr. II, 388. Die Erklärung dieser jahreszeitlichen Schwankung s. ebenda S. 397 u. 398.

⁵⁾ Ebenda, S. 385.

Dazu kommt noch eins. Ich beobachtete in diesem stromlosen Gebiet nicht ein einziges Büschel Sargassum; dieses trat vielmehr erst ganz vereinzelt, dann häufiger von 32° N. Br. und 39° W. L. an auf, zugleich mit starken Stromkabelungen am 14. September und Temperatursprüngen, welche aber den Betrag der Salinität des Wassers nicht alterierten. Bemerklich machten sich diese plötzlichen Temperaturänderungen besonders von 31–33° N. Br. und von 37–39° N. Br. unter derselben Länge von fast 40° W. Die gleichzeitigen Versetzungen, welche das Schiff erfuhr, waren unregelmäßig und gingen vollkommen durcheinander; doch können wir, gerade in Hinsicht auf das hier sehr häufig beobachtete Sargassum, das manchmal kleinere Meeresflächen ganz bedeckte, annehmen, daß zur Zeit unser Fahrt hier die letzten deutlichen Ausläufer der Golfströmung zur Beobachtung kamen, und daß sie das Golfkraut, welches durchweg noch recht frisch war und eine sehr reiche Tierwelt beherbergte, bis zur Azorengegend führten.

Das ganze östliche Passatgebiet, also auch das stromlose Zentrum des nordatlantischen Stromkreises¹⁾, war demnach damals frei von Sargassum, dagegen fand sich das Kraut bis nach der hohen Breite von 45° (in 31° W. L.), wo am 23. September bei einer Wassertemperatur von 17,4° C. das letzte gesehen ward.

Vergleichen wir diese Sargassumbeobachtungen mit der ersten und einzigen systematischen Untersuchung, welche wir hierüber haben, nämlich derjenigen von Krümmel²⁾, so zeigt sich, daß auf unserer Reise im ganzen südöstlichen Teil des Gebietes, in welchem eine Wahrscheinlichkeit, dies Kraut anzutreffen, besteht, keines beobachtet wurde; das erste Bündel ward genau an der Grenze der größten Häufigkeit des Sargassum (in 32° N. Br. und 38° W. L.) gesehen, die größte Ansammlung dagegen westwärts der Azoren auf 38° N. Br. in einer Gegend, wo auf 100 Reisen nur etwa 1–5 mal Sargassum angetroffen wird. Die weite Ausdehnung der Krautfunde nach dem Englischen Kanal hin stimmt gut zu dem, was Krümmel über die jahreszeitliche Verbreitung derselben sagt, indem nämlich nur im Spätsommer und im Herbst das Kraut vom Golfstrom weit nach Norden und Osten geführt wird.

Es bleibt mir, auch gegenüber der kartographischen Darstellung der Sargassosee durch Krümmel, doch auffällig, daß gerade in dem stromlosen Zentrum auch nicht ein Bündel des Krautes erblickt worden ist, obschon ich immer Ausschau darnach hielt. Auch der Dampfer „National“ der Planktonexpedition traf auf der Fahrt von Para nach den Azoren im Oktober 1889 erst in der Breite von 33° N. (auf 30° W. L.) einige kleine Zweige.

Jedenfalls ist wohl die Vermutung Krümmels sicher, daß das Sargassum stetig durch Zufuhr vom Golfstrom her ergänzt wird; gerade da, wo die Meeresströmung sich nach NO und SO hin auflöst, wird es zu treffen sein, weil die Zufuhr im ganzen schneller vor sich gehen wird als das Wegtriften der Büschel nach Süden und Osten hin.

Südatlantischer Ozean.

Wir können, an der Hand der Reiseronten, eine vollständige Umseglung dieses Ozeans ausführen und werden sehen, daß, abgesehen von der äußersten SO-Ecke dieses Weltmeeres, welche in Verbindung mit dem Agulhasstrome eine gesonderte Besprechung erfahren wird, recht einfache Strömungsverhältnisse beobachtet wurden.

Wie im vorigen Abschnitt bemerkt wurde, fanden sich an der brasilianischen Küste nordwestliche Versetzungen noch südlich vom Kap Roque bis fast nach 11° S. Br. hinunter, so daß man annehmen darf, daß selbst von diesen Breiten aus noch südhemisphärisches Wasser auf die Nordhalbkugel unter Umständen übertritt; dies wird besonders bei einem recht südlichen Passat leicht eintreten können.

¹⁾ Vgl. Krümmels Stromkarte im Handb. d. Ozeanogr. II.

²⁾ Peterm. Mitteil. 1891, S. 129–141 u. Tafel 10.

Auf der weiteren Fahrt südwärts gingen die Versetzungen, welchen das Schiff bis nach 40° S. Br. hin unterworfen war, in äußerst regelmäßiger Weise von W und SW durch S in eine SO-Richtung über. Die Stromstärke war nur gering, ein Maximum von 27 Seemeilen in 24 Stunden wurde an der südlichen Passatgrenze beobachtet.

Als wir dann in 39° S. Br. und 37° W. L. nach Osten wendeten, um die geographischen Längen abzulaufen, bewegten wir uns etwa parallel und mitten in dem sogenannten südatlantischen Verbindungstrom¹⁾, der die Verbindung zwischen der brasilianischen Strömung einerseits und der Benguelaströmung anderseits herstellt. Bis zum Greenwich Meridian zeigte die Strömung eine Richtung zwischen OSO und SSO, zugleich traten nicht unbeträchtliche Sprünge in der Wassertemperatur und im Salzgehalt auf. Besonders bemerkenswert war aber eine gleichzeitige, fast vier Tage anhaltende Periode dichten Nebels; obschon also die Richtung der Versetzungen ganz noch derjenigen des Brasilstromes entsprach, muß man doch annehmen, daß die thermische Einwirkung kühler, resp. kalter Polarwässer damals bis hier in diese Breiten reichte. Wie wir besonders im nächsten Abschnitt sehen werden, decken sich nämlich in diesen südlichen Breiten die thermischen und mechanischen Grenzen der Strömungen nur sehr schlecht.

Eine wesentliche Stütze erhält die eben ausgesprochene Ansicht, daß hier polares Wasser im Dezember 1891 bis zum Kurs der Ostindienfahrer vordrang, noch durch den Umstand, daß gleichzeitig Eisberge gesichtet wurden. Als wir auf dem „Robert Rickmers“ in andauerndem Nebel ostwärts segelten, wobei die Wassertemperatur zwischen 14,2° und 12,1° schwankte, traf das Schiff „R. C. Rickmers“, Kapt. Berg, welches am 1. Dezember nur etwa 180 Sm. von uns entfernt stand (in 42° S. Br. und 30° W. L.), fünf sehr große und verschiedene kleine Eisberge bei einer Wassertemperatur von 10,5°²⁾. Damals sind, wie man a. a. O. ersehen kann, ganz ungewöhnlich große Treibeismassen rings um die Erde nordwärts gedungen, besonders aber im Südatlantischen Ozean.

Verfolgen wir unseren Weg nach Osten weiter, so traten östlich vom Greenwich Meridian bis 10° Ö. L. die hier zu erwartenden Versetzungen auf, nämlich solche von Nord- und Ostrichtung. Das Wasser war vergleichsweise sehr kalt, ein Minimum des Salzgehaltes von 33,8 $\frac{0}{100}$ wurde hier beobachtet. Weiter östlich jedoch, bis zum Meridian der Kapstadt, wurde das Schiff nach SO vertrieben, jedoch waren Temperatur und Salinität sehr niedrig, so daß man entweder annehmen kann, daß — wie dies ja vorkommt — der Agulhasstrom über seine physikalische Grenze, welche durch hohe Temperatur und hohen Salzgehalt sich kennzeichnet, hinaus sein mechanisches Machtbereich auch auf das seinem System nicht angehörige Wasser ausgedehnt hatte, oder aber, daß das kalte Wasser dieser sogenannten „Westwindtrift“ unter dem Drucke nördlicher Winde, wie sie für längere Zeit damals zur Beobachtung kamen, in eine südlich von Ost liegende Richtung abgedrängt wurde.

Die Stromgeschwindigkeiten waren durchaus keine gerade unbedeutenden; Krümmel berechnet³⁾ für die Reise des „Challenger“ von 37° S. Br. und 20° W. L. über Tristan d'Acunha nach Kapstadt aus 13 Beobachtungstagen im Oktober 1873 das mechanische Mittel der Stromrichtung⁴⁾ zu N 27° O, das arithmetische Mittel der Stromstärke zu 15,8 Sm. Ich finde für fast die gleiche Strecke nach unseren Beobachtungen während neun Tagen im Dezember 1891 S 72° O und 16,0 Sm. pro 24 Stunden. Während also die Stromgeschwindigkeiten auf beiden Reisen überraschend sich gleichen, war die mittlere Richtung dieses „Verbindungsstromes“ auf den beiden Reisen um fast 90° verschieden.

Bei solchen Stromverhältnissen, wie sie auf der Fahrt des „Robert Rickmers“ ange-

¹⁾ Handb. d. Ozeanogr. II, 445.

²⁾ Vgl. Annal. d. Hydrogr. 1892, S. 221–226; auch S. 287 u. 288.

³⁾ Handb. d. Ozeanogr. II, 446.

⁴⁾ Vgl. hierzu dasselbe Handbuch II, 376.

troffen wurden, ist die südatlantische Westwindtrift nur schwer in direkte Verbindung mit der Benguelaströmung der afrikanischen Westküste zu setzen; man wird aber nicht fehl gehen, wenn man annimmt, daß letztere Strömung ihr Wasser überhaupt nicht ausschließlich aus dieser Trift bezieht, sondern in solchen Fällen auch, und besonders im südlichen Sommer, Wasser, welches dicht unter dem Kaplande hinströmt und vom Indischen Ozean her stammt, ansaugt. Dafür sprechen westliche Versetzungen, die auch westlich von 20° Ö. L. unter Land und außerhalb der Agulhasbank beobachtet werden¹⁾.

Der „Peter Rickmers“ hatte auf seiner Rückreise im Juli und August 1892 am Kap unter 21° Ö. L. eine Versetzung nach N 80° W 16, fand aber außerdem öfters den Neerstrom nach O und ONO²⁾. Dientlich machte sich die SW-Trift der Benguelaströmung vom Parallel der Kapstadt an, und zwar schon in Sicht des Landes, bemerkbar; eine starke Versetzung nm 30 Seemeilen nach NW in 24 Stunden wurde hier ermittelt. Abgesehen von einem Tag, an dem keine nennenswerte Besteckdifferenz sich ergab, war im weiteren Verlauf der Durchquerung des Ozeans die Strömung sehr gleichmäßig nach dem nordwestlichen Quadranten gerichtet, mit einer aus etwa 14 Beobachtungstagen abgeleiteten mittleren täglichen Geschwindigkeit von 14,6 Sm. Während dieser Zeit hielt sich von etwa 30° bis 19° S. Br. die Wassertemperatur trotz der bedeutenden Breitenabnahme merkwürdig konstant auf ungefähr 17°, und der Salzgehalt zeigte nur eine sehr geringe Zunahme nach Norden hin³⁾; beides sind sichere Zeichen für eine relativ schnelle Meeresströmung. Bis in die Nähe von St. Helena hin war also das Wasser ausgesprochen kalt, während im Westen an der brasilianischen Küste nach dem Atlas der Seewarte für den Atlantischen Ozean⁴⁾ die 24°-Isotherme im Vierteljahr Juni-August auf 19° S. Br. liegt. Ich würde daher dafür sein, daß auf der mehrfach erwähnten Krümmelschen Karte der Meeresströmungen der Benguelaströmung auch in der Zeichnung durch nach Westen und Norden hin ausgedehntere „blane“ Linien der Charakter einer entschieden kalten Strömung gesichert wird; denn wenn man auch, nach Reisen besonders von deutschen Kriegsschiffen zu schließen, diese Trift nahe unter der afrikanischen Küste für manche Zeiten mit Recht fast ganz beseitigen mag und die lokal auftretenden kalten Küstengewässer als deutliche Auftriebserscheinungen anspricht, so geht man doch zu weit, wenn man nun diese kühlen Triften an den Westküsten der Kontinente (z. B. auch den Perustrom) ganz leugnen will. Dieselben sind weiter seewärts immer vorhanden, und es ist wohl gestattet, zur Krümmelschen Karte gleich noch eine zweite Notiz zu geben. Es scheint mir nämlich von Vorteil, den ganzen Strom etwas westwärts zu verschieben, so daß St. Helena noch im Stromtrich liegt, und überhaupt das stromlose Zentrum beträchtlich zu verkleinern. Wenigstens ergab unsere Reise, welche in einem sehr flauen Passat gemacht wurde, beständige NW-Versetzungen, welche nur zwischen 19°—11° S. Br. schwach waren. Jedenfalls war kein solch' ausgesprochenes stromloses Gebiet zu statuieren wie im Nordatlantischen Ozean beim Durchqueren des NE-Passatgebietes.

Von St. Helena an wurde die Strömung immer westlicher und an einigen Tagen sogar südlich von West gefunden. In 11° S. Br. trat dann das Schiff in die Hauptäquatorialströmung ein, und damit begannen die Geschwindigkeiten wieder zu wachsen. Dieser Teil der südatlantischen Passattrift, welcher zur Nordhalbkugel übertritt, ist schon auf Seite 47 besprochen worden.

Hier muß aber noch eine Erscheinung vorgeführt werden, welche eben innerhalb dieses

¹⁾ Segehandb. f. d. Indischen Ozean, herausgeg. von der Deutschen Seewarte, 1892, S. 771. Besonders deutlich ist diese Auffassung auch ausgesprochen in den Toynbeeschen Karten, herausgeg. vom Meteorolog. Amt in London (Official Nr. 43).

²⁾ Handb. der Ozeanogr. II, 471 u. 472.

³⁾ Vgl. die Diagramme vom 30. Juli bis 7. August 1892, auch Taf. 2 (Karte der Salinitätsverteilung im Südatlantischen Ozean).

⁴⁾ Tafel 9.

Südaquatorialstroms beobachtet wurde und durch südatlantische Verhältnisse zu erklären sein wird, nämlich die im nördlichen Teil dieser Meeresströmung ungemein deutlich ausgesprochene Teilung in kühle und warme Streifen. Da die Mitglieder der Planktonexpedition zu fast ganz derselben Jahreszeit (D. „National“ vom 7.—10. September 1889) in dieser Gegend gewesen sind, wie wir (S. „Peter Rickmers“ vom 17.—22. August 1892), so können wir die Beobachtungen beider Reisen zu einem interessanten Vergleich benutzen. Die Angaben über die Fahrt des „National“ finden sich in Krümmels „Reisebeschreibung der Plankton-Expedition“¹⁾.

Am 17. August morgens 8^h hatten wir auf nordwestlichem Kurse Ascension nahebei passiert; am Tage vorher war die Temperatur des Seewassers bei einem Salzgehalt von 36,3 ‰ im Durchschnitt 23,6° gewesen, die Lufttemperatur nur 23,2°. Am 17. aber wurden folgende Wassertemperaturen gemessen:

4 ^h a. m.	8 ^h a. m.	Mittag.	4 ^h p. m.	8 ^h p. m.	Mitternacht.	Mittel.	Lufttemp. Mittel.
23,6°	23,6°	22,8°	22,8°	22,4°	22,2°	22,7°	23,1°

Das Schiff war in den letzten 24 Stunden nach N 88° W 26 Sm. versetzt worden. Das Seewasser war, während es am Tage vorher tiefblau gewesen, auffallend verfärbt und zeigte eine schwarzgrüne Farbe; zu vergleichen war dieselbe etwa mit Nr. 6—7 der Forelschen Farbenskala. Außerdem aber hatte der Salzgehalt bedeutend abgenommen, derselbe wurde zu 35,8 ‰ bestimmt.

Dieser erste, nach den angeführten Erscheinungen gar nicht zu verkennende Kaltwasserstreifen erstreckte sich, der Versetzung nach zu schließes, etwas quer gegen unsere Reiseroute und war zwischen dem Parallel von Ascension und 5° 40' S. Br. ausgedehnt, hatte also eine Breite von beiläufig 150 Seemeilen. Am 18. August nachmittags 4 Uhr trat das Schiff wieder in warmes (23,8°) und salzreiches (36,5 ‰), dunkelblaues Wasser. Dieser warme Streifen war nur 75—80 Seemeilen breit; dann kam von etwa 4° S. Br. an wieder ein ausgesprochen kaltes, salzarmes (35,8 ‰) Wasserband von graublauer Färbung (Farbenskala Nr. 4); dasselbe erstreckte sich, wenn wir von unbedeutenden Änderungen absehen, genau bis zum Äquator, welcher am 22. August gerade zur Mittagsstunde in 22° W. L. überschritten wurde. Das Mittel der Wassertemperatur betrug an diesem Tage nur 23,8°! Die Versetzungen seit dem 17. waren immer westliche; die Geschwindigkeit betrug etwa knapp eine Seemeile pro Stunde. Erst auf Nordbreite nahm die Temperatur und die Salinität des Seewassers wieder entschieden zu; letztere allerdings nur vorübergehend, da ja, wie wir auf S. 46 sahen, ein äquatoriales Minimum derselben sich zu allen Jahreszeiten in 8—9° N. Br. befindet.

Vergleichen wir damit die Erfahrungen, die die Planktonexpedition gemacht hat, so finden wir, wenn wir deren Reiseweg (von den Kap Verden nach Ascension) in umgekehrter Richtung im Geiste zurücklegen, daß der Dampfer 56 Seemeilen nördlich von Ascension die Grenze zwischen dem völlig blauen, warmen und dem grün verfärbten, kalten Wasser am 10. September überschritt. Von hier bewegte er sich in demselben kalten Wasser bis zum Äquator hin; die Versetzungen nahmen gleichfalls mit abnehmender Breite an Stärke zu; ein Maximum von 38 Seemeilen Versetzung nach N 36° W wurde in etwa 2° S. Br. und 15° W. L. am 8. September beobachtet. An diesem Tage war das Mittel der Wassertemperatur nur 23,2°; es wurde ferner gemessen:

in 100 m Tiefe	16,4°
„ 200 m „	12,8°
„ 400 m „	9,3°

Der Salzgehalt hielt sich in dem ganzen Gebiet zwischen 35,3 und 35,9 ‰; die Wasserfarbe bezeichnet Krümmel mit „blaugrün“ (= Nr. 7 der Farbenskala). In dem kalten

¹⁾ Leipzig und Kiel 1892, S. 185 ff.; auch ist die Karte gegenüber dem Titelblatt (Taf. I) zu vergleichen.

Wasser machte die Expedition sehr reiche Planktonfänge, welche besonders ein massenhaftes Auftreten der Diatomeen erkennen ließen.

Dies sind alles Indizien genug, um berechtigterweise eine „Kältezunge“, welche in NW-Richtung von Ascension her bis zur Linie und ein wenig darüber hinaus sich erstreckt, in die Karte einzutragen: dies ist auch von Krümmel auf der dem Planktonwerk beigegebenen Karte geschehen.

Die Notizen über die physikalischen Eigenschaften des Seewassers, welche vom „National“ wie vom „Peter Rickmers“ beobachtet wurden, stimmen sehr gut in den absoluten Zahlenwerten überein; im einzelnen finden sich Unterschiede, so besonders der, daß auf der Fahrt des „National“ kein Band warmen Wassers zwischen 5° 40' S. Br. und 4° S. Br. gemeldet wird; doch ist sehr wohl möglich, daß bei der nur summarischen Übersicht, die von Krümmel in dem Reisewerke gegeben werden konnte, die Einzelheiten übergangen sind.

Wir haben aber noch die Fahrt eines dritten Schiffes anzuführen, die der „Gazelle“, welche auf der Reise von Monrovia über Ascension nach Banana Mitte August 1874 das Gebiet durchschnitt, also auch genau zur selben Jahreszeit wie der „Peter Rickmers“.

Verfolgen wir die Fahrt auch dieses Schiffes in umgekehrter Richtung von Süd nach Nord¹⁾, so fand die „Gazelle“ (ganz ebenso wie der „National“) 50 Seemeilen nördlich von Ascension eine auffallende Abnahme der Wassertemperatur von 22—23° auf 21,5° und weniger. Auch die Wasserfarbe veränderte sich zu einem „Grünblau“, während sie vorher als tiefblau bezeichnet wird. Ein erstes Minimum der Temperatur (20,8°) wird in etwa 4° S. Br. und 15° W. L. beobachtet, ein zweites nicht weit südlich vom Äquator, ebenfalls mit 20,8°. Solche Temperaturen sind für diese Gegenden entschieden ganz abnorm niedrige und liegen noch erheblich unter den schon angeführten Minimaltemperaturen aus den Jahren 1889 und 1892 (23,2° und 22,2°). Nördlich von der Linie nahm die Wassertemperatur wieder schnell zu bis 23 und 24°, auch wurde die Farbe des Wassers dunkelblau.

Die Stromversetzungen nun, welche das Schiff auf der ganzen Strecke zwischen Ascension und etwa 3½° N. Br. zu verzeichnen hatte, waren sämtlich westliche und jeden Tag fühlbar, am stärksten genau unter der Linie, wo die „Gazelle“ 46 Seemeilen (!) in 24 Stunden aus dem Kurs gebracht worden war. Besonders ist zu beachten, daß auch nördlich von der Linie in dem normal temperierten Wasser die Versetzungen immer noch starke westliche waren.

Auch noch weiter im Westen, nahe der brasilianischen Küste, findet man im nördlichen Hochsommer unter dem Äquator und eben südlich davon abnorm kaltes Wasser: so beobachtete die „Novara“ im Juli 1857 genau unter der Linie eine Minimaltemperatur von 24,9° C., und erst von 4° S. Br. an fand trotz der zunehmenden Breite, bis nach 7 und 8° S. Br. hin (auf der Reise längs der Küste) eine Zunahme der Temperatur statt; die Versetzungen waren immer kräftige nach NW.

In der anderen Jahreszeit dagegen, z. B. im November 1891 war gar nichts von dieser Temperaturabnahme unter dem Äquator zu bemerken; ich maß am 14. November unter der Linie in 30° W. L. die Wassertemperatur zu 26,5° und die „Gazelle“ im März 1876 als niedrigste Temperatur unter der Linie 26,6°; die Strömung war ebenfalls nach NW gerichtet.

Schon aus diesen wenigen Reisen ergibt sich, daß das Auftreten des kalten Wassers nur in einer bestimmten Jahreszeit stattfindet und besonders ostwärts, zwischen 15° und 20° W. L., intensiv auftritt, weniger westwärts, wo es jedoch im nördlichen Hochsommer bis in die Nähe der brasilianischen Küste zu verfolgen ist.

Dieses Phänomen ist nun, wird man sagen, schon seit mehreren Jahren bekannt; aus

¹⁾ Vgl. „Gazelle“-Werk, Bd. I für Strömungen (die Routenkarten), Bd. V für die Wassertemperaturen &c.

dem von Toynbee bearbeiteten großen Atlas der Oberflächentemperaturen des äquatorialen Atlantischen Ozeans¹⁾ kennt man die mittleren Verhältnisse dieser Gegend; auch K r ü m m e l bespricht dieselben²⁾ und ist geneigt, in dem Auftreten des kalten Wassers nahe dem Äquator ein Aufquellen von Tiefenwasser zu erblicken, verursacht durch das von dem Guineastrom und dem Südqüatorialstrom hervorgerufene Kompensationsbedürfnis.

Es lag mir daran, hier zunächst die Situation, wie sie für einen bestimmten Zeitraum in einem bestimmten Jahr im Ozean sich ausbildet, gewissermaßen synoptisch vorzuführen, da in Darstellungen, welche viele einzelne Beobachtungen zur Gewinnung eines mittleren Zustandes benutzen, manchmal gerade die Momente, welche zu einer Erklärung führen, sich verwischen.

Ich gehe von dem Umstande aus, daß wir auf der ganzen Strecke etwa von Ascension bis zur Linie, wo das auffallend kühle Wasser, in Streifen geordnet, vorhanden ist, durchgängig ein geschlossenes Gebiet starker Strömung haben und die niedrigsten Temperaturen nicht am Nordrand der Südqüatorialströmung, sondern meist mitten in derselben und weit südlich sich finden, und gelange so zu der Anschauung, daß wir es hier kaum mit vertikalen Wasserbewegungen zu thun haben dürften, sondern daß diese kalten Wässer nichts weiter sind als die am weitesten von der Trift des SE-Passats nach Norden und Westen geführten Oberflächengewässer des sogenannten Benguelastromes.

Wäre hier Auftrieb vorhanden, so würde derselbe sich wesentlich nur äußern können in einem relativ bewegungslosen oder doch stromschwachen Gebiet, nämlich in der schmalen Grenzzone zwischen dem Nordrand des Südqüatorialstromes und dem Südrand des Guineastromes; das kalte Wasser müßte sich dann nicht südlich der Linie finden, sondern zwischen 3°—5° N. Br.

Überzeugend für einen dieser Auffassung entsprechenden Sachverhalt sind wohl, abgesehen von den angeführten Reiseberichten, die hier wiedergegebenen zwei Kärtchen aus der erwähnten von Toynbee bearbeiteten Publikation des Londoner Meteorologischen Amtes (Fig. 4, S. 54). Man erkennt in der Augstkarte deutlich aus dem Verlauf der Wasserisothermen, wie das kalte Wasser in WNW—NW-Richtung vordringt, und besonders, daß auch nördlich der Kältezunge noch die Hauptäquatorialströmung sich ein Gebiet von etwa 120—150 Seemeilen Breite sichert. Dieser nördlichste Teil des Äquatorialstromes mit warmem Wasser mag seinen Bedarf zum Teil aus dem Guineastrom beziehen, indem am Südrand des letzteren warmes Wasser nach rechts abzweigt, was durch die über dem Grenzgebiet zwischen beiden Passaten im Gebiet des sogenannten SW-Monsuns häufigen NW-Winde zum mindesten nicht gehemmt werden kann.

Aus den Indexkarten des englischen Atlas ergibt sich, daß über dem Gebiet des kalten Wassers die Luft im Mittel etwas wärmer ist als das Wasser, etwa um + 0,1° bis + 0,3° C.³⁾; aber dieser Umstand zwingt nicht, eine Auftriebserscheinung anzunehmen, da über kalten Meeresströmungen dasselbe Verhältnis statthat. Außerdem möchte ich vermuten, daß bei Verwendung von Beobachtungen mit dem Aspirationsthermometer diese positiven Differenzen zwischen Luft- und Wassertemperatur sich vermindern, daß also die Luft in Wirklichkeit eine wenn nicht niedrigere, so doch fast ganz gleiche Temperatur wie das Wasser besitzt.

Ist die Erklärung richtig, dann muß allerdings weiter im Osten und im Süden im Hochsommer ebenfalls das kalte Wasser in geschlossenem Gebiete sich nachweisen lassen, damit die Herleitung desselben aus der südafrikanischen Strömung möglich ist. Diese Probe könnte durch Untersuchung einer Reihe von Schiffsjournalen (etwa auf der Deutschen Seewarte) vorgenommen werden.

¹⁾ Meteorolog. Office, Official Nr. 27, London 1884.

²⁾ Handbuch der Ozeanogr. II, 412 u. 414.

³⁾ Zu ersehen auch aus Köppens Arbeit in den Annal. d. Hydrogr. 1890, S. 449. 451.

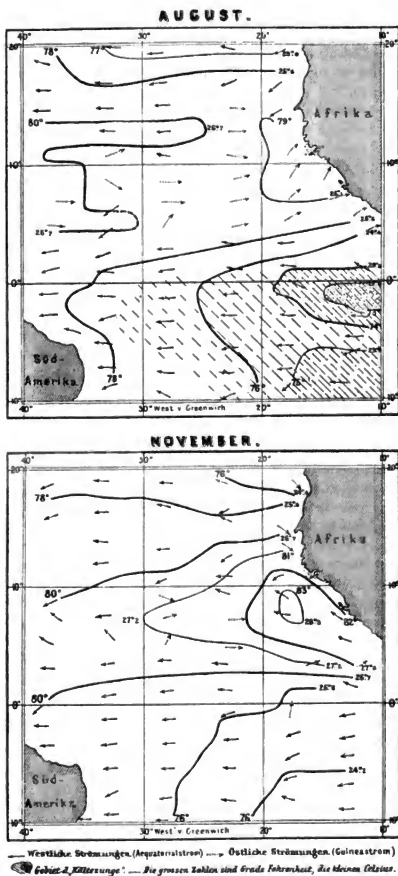


Fig. 4. Oberflächentemperaturen und Strömungen im Äquatorialen Gebiet des Atlantischen Ozeans.
 (Nach „Charts of Meteorol. Data for 9 10-degree squares, Official No. 27 Meteorol. Office London“.)

Ausschlaggebend bleibt für mich, daß die Nordgrenze der Südäquatorialströmung beträchtlich nördlicher liegt, als das Gebiet des kalten Wassers, und solange eine Erklärung durch das relativ einfache Phänomen der Oberflächenströmung möglich erscheint, bin ich geneigt, diese der Vertikalzirkulation vorzuziehen. Unter der Guineaküste, ostwärts vom Kap Palmas, tritt das kalte Wasser infolge der seitlichen Landbegrenzung unter wesentlich andern Bedingungen auf.

Nimmt man also eine kalte Oberflächenströmung als richtig an, so sind auf der viel citierten Krümmelschen Stromkarte nördlich von 5° S. Br. die blauen Linien des Benguelastromes in einzelnen Bändern und Streifen, welche in dem warmen Wasser „auskeilen“, weit nach Westen hineinzuzeichnen, etwa in der Weise, wie es Berghaus auf seiner Karte der Meeresströmungen¹⁾ für eben dies Gebiet gethan hat.

Daß das kalte Wasser in den Gegenden zwischen Ascension und der Linie nur im Sommer der nördlichen Halbkugel bemerkbar wird, haben wir schon aus den angeführten Reisen gesehen; die Toynbeesche Karte (s. „November“) zeigt, daß in der anderen Jahreszeit keine „Kältezunge“ vorhanden ist. Aber die Isothermen liegen auch in diesen Monaten so, daß man das Andrängen der Gewässer von SO erkennen kann. Das jahreszeitliche Auftreten der besprochenen Erscheinung dürfte mit der sehr scharf ausgeprägten jahreszeitlichen Änderung in der Geschwindigkeit des Südäquatorialstromes zusammenhängen. Nach P. Hoffmann²⁾ ergibt sich für den Stromstrich von 0°—4° S. Br. eine mittlere Geschwindigkeit von 23,5 Seemeilen pro Tag im Juni—Juli, aber nur von 18,5 Seemeilen im Oktober—November; dies wird in erster Linie durch die im Südwinter durchschnittlich größere Frische des Passatwindes zu erklären sein³⁾. Es scheint daher verständlich, daß in den Monaten des nördlichen Hochsommers das Wasser, welches in etwa 4—5monatlicher Trift vielleicht von der Kapgegend bis nahe zum Äquator gelangt ist, intensiv kontrastiert mit dem übrigen Wasser, welches aus anderen Quellen stammt, resp. den niederen Breiten zugehört. Nach Toynbees Untersuchungen⁴⁾ ist im Südsommer der vom Pol kommende Strom in der Gegend des Kap der Guten Hoffnung besonders kräftig und hat eine hoch nördliche Richtung; das in den entsprechenden Monaten in besonderer Menge nordwärts geführte kalte Wasser wird nach Verlauf eines viertel bis halben Jahres in den niederen Breiten angelangt sein können.

Natürlich hört die Zufuhr von kaltem Wasser aus dem Süden nie auf, sie wird aber im November—Dezember nicht so durch Temperaturdifferenzen bemerkbar, da in dieser Zeit des höchsten Sonnenstandes für die südlichen Breiten das Oberflächenwasser allgemein einer starken direkten Erwärmung unterliegt.

Betrachtet man die Verhältnisse im Indischen Ozean, so finden wir nichts Ähnliches. Ich bin geneigt, dafür in erster Linie die sogenannte Westwindtrift der hohen südlichen Breiten verantwortlich zu machen. Übereinstimmend findet man in allen Quellen, daß, je weiter man nach Osten, nach dem Indischen Ozean hin, kommt, dieser Strom immer östlicher verläuft⁵⁾, während im Südatlantischen Ozean der Falklandstrom rein nördlich setzt und die Gewässer in der Gegend des Greenwich Meridians meist in nordnordöstlicher Richtung sich bewegen. Daher kann hier viel leichter kaltes Wasser an der Oberfläche nach äquatorialen Gegenden hin gelangen als im Südindischen Ozean.

¹⁾ Physikal. Atlas, Abteilung Hydrographie, Nr. VI.

²⁾ Mechanik der Meeresströmungen, S. 35.

³⁾ Segelhandbuch f. d. Atlant. Ozean, S. 557.

⁴⁾ „Remarks“ zu Charts of Meteorol. Data for the Cape of Good Hope (London, Meteorol. Office, Nr. 43), S. 23.

⁵⁾ Östlich vom Meridian der Kerguelen werden sogar Versetzungen südlich von Ost häufig, wie wir im nächsten Abschnitt sehen werden.

Die höheren südlichen Breiten zwischen 0°—80° Ö. L.

Wir verstehen hierunter die Gewässer südlich und östlich vom Kap der Guten Hoffnung, deren ozeanographische Verhältnisse in mauchem Betracht wohl einzig in ihrer Art sein dürften. Da eine Monographie dieses ganzen Gebietes fehlt (die Untersuchungen Toynbees reichen nur bis 40° Ö. L., also nicht bis zu den Meridianen der Crozet-Inseln und von Kerguelen), da außerdem hier mehr als anderwärts durch die Reduktion der einzelnen Beobachtungen auf mittlere Verhältnisse unvermeidlich viele der individuellen, charakteristischen Züge verwischt werden, wie man dies z. B. auch auf den neuesten, vorzüglichen Karten der Wasserisothermen im Atlas der Deutschen Seewarte für den Indischen Ozean erkennen kann, so wollen wir zunächst wieder versuchen, in angenähert synoptischer Weise uns eine Vorstellung zu verschaffen von den für einen kurzen Zeitraum in diesen Gebieten wirklich angetroffenen hydrographischen Zuständen.

Wir betrachten da mit Vorteil zunächst die Rückreise auf dem Schiff „Peter Rickmers“, welche im Juli 1892 bei Mauritius und an der Südküste Madagaskars vorbei zur afrikanischen Küste führte (s. Fig. 5, S. 57, und auch auf Taf. 6 die Diagramme für den 6. bis 30. Juli).

Von einem frischen Passat getrieben, betrat das Schiff am 5. Juli das in Rede stehende Gebiet, welches wir nordwärts mit dem 20. Parallel begrenzen wollen; die Versetzungen waren immer nach Westen, von wechselnder Stärke, entsprechend den Verhältnissen am Südrande des Südaquatorialstromes.

Von Mauritius an wurden unregelmäßige Änderungen in der Wassertemperatur, welche bisher sehr gleichmäßig und langsam abgenommen hatte, bemerkbar; unter dem Wendekreis und dem Meridian von Reunion war die Temperatur etwa 22½° (Minimum 22,1°), dann aber stieg sie plötzlich, trotz der zunehmenden Breite, zum erstenmal bis gegen 50° Ö. L. hin (Maximum 23,6°), um sprunghaft wieder abzufallen bis auf 21,7°. Diese kühleren Temperatur dauerte aber nur für etwa 100 Seemeilen an; dann wurde wieder 24,0° gemessen und es machte sich bald ein starker Strom in SW-Richtung fühlbar, welcher uns in 2 Tagen je 32 Seemeilen versetzte. Auf das deutlichste war damit der Madagaskarstrom markiert, welcher das an die Ostküste der großen Insel anprallende Wasser der SE-Passat-Trift südlich fortführt; seine Breite war damals etwa 150 Seemeilen. Von der Höhe der Südspitze Madagaskars an westwärts beobachteten wir zunächst schwachen, nordwestlichen Strom (vielleicht zweigt hier im Schutze der Westküste das warme Wasser zum Teil nordwärts zurück), dann im Mozambique-Kanal Stromstille, mit allmählich wieder abnehmender Temperatur.

Der Agulhasstrom wurde auf 33½° Ö. L. in einer geraden Entfernung von rund 130 Seemeilen von der afrikanischen Küste erreicht. Sein warmes Wasser brachte uns zunächst nur eine Versetzung nach OSO; das Linksabschwenken des Wassers aus der linken Stromkante ist demnach schon hier vorhanden. Nach einem 30 Stunden anhaltenden schweren Sturm aus SW war das Schiff in einem Zeitraum von 2 Tagen um 78 (!) Seemeilen nach W und S vom Strom versetzt, also recht gegen den Wind; der nächste Tag aber (Schiffsort 32° S. Br., 30° Ö. L.) zeigte die für den Agulhasstrom charakteristische Neerströmung dicht unter Land (die „backdrift“ der Engländer), indem der „Peter Rickmers“ um 19 Seemeilen nach NO zurückgetrieben wurde. Diese Neer auf der rechten Seite der Hauptströmung wird ja oft beobachtet, aber selten soweit nördlich, meist erst westlich von Port Elisabeth.

Darauf wurden wir von dem eigentlichen Agulhasstrom aufgenommen und täglich 30 bis 40 Seemeilen nach S und W, gegen die herrschenden Westwinde, fortgetragen, etwa bis zur Ostkante der Agulhasbank. Die Wassertemperatur zeigte dabei bedeutende Änderungen, plötzliches Fallen und Steigen oft für wenige Stunden, während gleichzeitig der Salzgehalt des Seewassers sehr wenig schwankte, ja gerade von 28° Ö. L. an, im Gebiet

des stärksten Stromes, ganz auffallend konstant blieb. Ungefähr unter 21° Ö. L. traten wir aus dem Agulhasstrom definitiv heraus. Die Stromversetzungen wechselten von da an bis zur Kapstadt hin, darauf setzten sie sich in einer ungefähren NW-Richtung fest.

Wenn man die Diagramme dieser Tage (19.—26. Juli) betrachtet, so kann einem das Ungewöhnliche der eben erwähnten Konstanz der Salinität gar nicht entgehen, und wir benutzen die Gelegenheit, besonders darauf aufmerksam zu machen, da sie uns einen wichtigen Anhalt bei der Beurteilung von Strömungsvorgängen zu bieten scheint.

Wir haben bei der Besprechung des Verhältnisses zwischen Temperatur und Salzgehalt (S. 38—40) gesehen, daß im allgemeinen stets einer bestimmten Änderung der Temperatur eine ebensolche Änderung des Salzgehalts entspricht, sei dieselbe nun gleich- oder ungleichsinnig. Schon an jener Stelle wurde aber das auffallende Verhalten des Salzgehalts innerhalb starker Strömungen erwähnt, und es ist hier der Ort, dasselbe zu erklären.

Nirgends in den Diagrammen finden wir solche Konstanz der Salinität bei gleichzeitigen starken Temperaturänderungen, wie im Agulhasstrom und im Kuro-shiwo. Bezüglich des letzteren sind die Diagramme der Tage vom 21.—26. Februar und 11. und 12. März (Taf. 5) zu vergleichen; ich fand (auf der Fahrt von Hongkong nach Yokohama) von der Nordspitze Formosas an bis dicht vor den Eingang zum Uraga-Kanal (Yeddo-Bucht) über eine Strecke von 1040 Seemeilen (= 1860 km) stets den gleichen Salzgehalt von $34,8\text{‰}$; nur am 23. Februar, kurz vor dem Passieren der Inselreihe der Riu Kin, also im Gebiet der stärksten Strömung, stieg die Salinität vorübergehend auf $35,2\text{‰}$. Trotz dieser großen Gleichmäßigkeit des Salzgehalts über weite Gebiete hin schwankte die Wassertemperatur in sehr erheblicher Weise; das Schiff segelte durch Streifen kühlen und warmen Wassers, welche bis zu $5,9^{\circ}$ verschieden temperiert waren.

Im Agulhasstrom finden wir ganz dasselbe; die Temperatur variierte beträchtlich, zwischen $20,7^{\circ}$ und $14,1^{\circ}$; der Salzgehalt aber war auf einer Strecke von beiläufig 750 Seemeilen (= 1350 km) immer $35,4\text{‰}$, von zwei ganz geringfügigen Abweichungen abgesehen, und ging erst, als die Temperatur dauernd niedrig geworden war, auf $35,2$ definitiv herab.

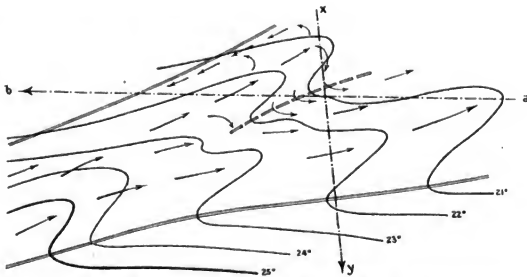
Für das Golfstromgebiet ist es mir nicht möglich, ein gutes Beispiel anzuführen, da die Routen des „Challenger“ quer zur Stromrichtung gingen: man muß Reisen haben, welche ungefähr parallel dem vorwärtsdringenden Strom verlaufen. Man kann aber soviel aus dem „Challenger“-Werk¹⁾ ersehen, daß die Erscheinung jedenfalls auch im Golfstrom vorhanden ist; selbst bei Temperatursprüngen von $18,3^{\circ}$ auf $20,8^{\circ}$ (27. und 28. April 1873) und von $19,5^{\circ}$ auf $22,8^{\circ}$ (23.—26. Mai 1873) blieb die Salinität dieselbe ($36,4$, bzw. $36,7\text{‰}$). Deutlicher sprechen folgende, demselben Werke entnommenen Beobachtungen auf der Reise von Yokohama nach Honolulu, als im östlichen Teile des Kuro-shiwo gesammelt wurde:

Datum. 1876.	Schiffsort.		Salzgehalt in ‰.	Temperatur in C.	Stromversetzung.
	N. Br.	Ö. L.			
Juni 21.	35°	154°	34,7	18,3°	N 85° O 19
22.	35	156	34,8	20,3	N 32 O 20
23.	36	158	34,8	20,7	N 17 O 20
24.	36	161	34,9	20,8	N 25 O 13
25.	35	165	34,8	20,8	N 18 O 10
26.	35	167	34,8	21,7	N 35 O 16
29.	36	172	34,7	21,7	N 45 O 18
30.	36	175	34,6	20,5	N 16 W 15
Juli 1.	36	176	34,6	23,3	N 77 W 9
2.	36	178	34,7	22,8	N 14 O 28

¹⁾ Vgl. „Challenger“-Reports, Physics and Chemistry, vol. I (Specific Gravity of ocean water by Buchanan, S. 13 ff.) und Narrative, vol. II, wo die Stromversetzungen zu ersehen sind.

Wir sehen hier, daß die überhaupt nur unbedeutenden Änderungen im Salzgehalte sich vollzogen, als die Wassertemperatur nur sehr wenig sich änderte (s. den 23., 24., 25. Juni), daß aber gerade die starken Sprünge in der Wassertemperatur von gar keinem Einfluß auf den Betrag der Salinität waren (s. 26. Juni und 1. Juli). Die Versetzungen waren stets nordöstliche, mit Ausnahme zweier Tage, an welchen die an den Südrändern der nordhemisphärischen Meeresströmungen häufigen schwachen Westströmungen auftraten.

Würde man in all den angeführten Beispielen das Verhalten der Salinität vollkommen außer Acht lassen, so könnte man auf Grund der Temperaturdifferenzen zu der Ansicht gelangen, daß die Streifen kalten und warmen Wassers verschiedenen Ursprungs seien, die einen vielleicht polarer, die anderen äquatorialer Herkunft. In der That ist, besonders früher, sehr vielfach auf solche Temperaturbeobachtungen hin eine Durchdringung von



— Isothermen. — Bewegung des Wassers. — Strömungskanten.
Die Schiffe auf der Fahrt von a nach b oder von x nach y treffen Streifen von warmem oder kühlerem Wasser an; die mittleren Differenzen sind hier 2°, in den Einzelfällen steigen sie bedeutend, aber doch nicht über 5°.

Fig. 6. Schematische Darstellung einer Meereströmung zur Erläuterung der innerhalb derselben vorkommenden Temperaturunterschiede.

zwei entgegengesetzt fließenden Stromsystemen angenommen worden, aber meist mit Unrecht. Ein typisches Beispiel solcher Vorstellung ist Findlays Karte des Kuro-shiwo¹⁾, auf welcher von Norden her nach SW und W kalte Strömungen in den Kuro-shiwo hineinlaufen, und zwar bis 25° N. Br. und 130° Ö. L.! Ich habe an anderer Stelle²⁾ schon des Ausführlichen diese gewissermaßen imaginären Streifen warmen und kühlen Wassers besprochen und zu zeigen gesucht, daß gerade innerhalb geschlossener Meeresströmungen infolge des wellenförmigen Vordringens der Wassermassen Temperaturdifferenzen auf Schiffsreisen beobachtet werden, indem bei der sehr wechselnden Geschwindigkeit, welche jede solche Strömung in ihren verschiedenen Teilen besitzt, an der einen Stelle warmes Wasser intensiv nach Norden dringt, während nicht weit davon dasselbe Wasser (nun etwas kühler) von höheren Breiten äquatorwärts abzweigt. Ich kann hier nicht im einzelnen das a. a. O.

¹⁾ North Pacific Ocean. Directory. III. edition.

²⁾ Oberflächentemperaturen und Strömungen der ostasiatischen Gewässer, in „Aus dem Archiv der D. Seewarte“, XIV, Nr. 3, S. 9. 10. 24. 38. 39.

Mitgeteilte wiederholen; die hier eingefügte, jener Arbeit entnommene Skizze (Fig. 6, S. 59) soll anschaulich machen — worauf es allein ankommt —, daß die Beobachtung solcher Temperaturdifferenzen nicht berechtigt, eine Mischung verschiedener Stromsysteme anzunehmen, daß vielmehr trotzdem das Wasser in seiner Gesamtmenge einer und derselben Strömung angehört. Damals (1890) gelangte ich zu dieser Auffassung, von anderen Umständen abgesehen, hauptsächlich auf Grund der Stromversetzungen, welche trotz der Temperaturdifferenzen immer eine gleiche Richtung der Wasserbewegung erkennen ließen, und auf Grund der Wasserfarbe, welche ja bei Mischung von wirklich verschiedenen Stromsystemen eine verschiedene sein müßte, was aber in den hier vorliegenden Fällen nicht statt hat. Diese Anschauung nun hat durch die Feststellung der ungewöhnlichen Konstanz des Salzgehalts eine fernere und, wie ich denke, durchschlagende Bestätigung erhalten. Würde die Salinität entsprechend der Temperatur Schwankungen zeigen, so würde man generell verschiedene Wassermengen vor sich haben.

Wir glauben den Satz aufstellen zu können, daß das sicherste Kriterium bei der Entscheidung der Frage, ob in einem bestimmten Falle polares und äquatoriales Wasser gemischt vorliegt, oder ob das Wasser einheitlich ist, der Salzgehalt abgibt: Temperaturdifferenzen genügen im allgemeinen nicht, wenn man feststellen will, ob zwei Strömungen sich durchdringen oder nicht.

Der Sachverhalt kann nach beiden Seiten hin gar nicht deutlicher sich zeigen, als einmal in dem Beispiel, von welchem wir ausgingen, nämlich in dem der Agulhasströmung — hier haben wir ein einheitliches Wassersystem mit fast konstantem Salzgehalt, aber variierender Temperatur —, und sodann in dem Verhalten der ozeanographischen Faktoren längs des vierzigsten südlichen Breitengrades. Hier haben wir, wie wir gleich sehen werden, sehr starke Temperaturschwankungen, aber auch sehr starke Salinitätsdifferenzen und daher keine einheitliche Trift im Zuge der Westwinde, sondern eine vollkommene gegenseitige Durchdringung von zwei total verschiedenen Meeresströmungen vor uns.

Die Sache erscheint, so ausgesprochen, einfach genug; ich bin aber geneigt, ihr Bedeutung beizulegen, da, wie mir vorkommt, manche Erscheinungen, besonders auch z. B. die warmen und kalten Bänder im Golfstromgebiet, welche dasselbe nach den älteren Beobachtungen der amerikanischen Küstenvermessung zeigt¹⁾, eine ungezwungene Erklärung finden dürften, sobald festgestellt wird, daß zwischen diesen „Streifen“ die Salinität nicht oder nur ganz unerheblich sich ändert. Ein Wiederauftauchen etwa der Gewässer des Labradorstromes, den Bäche unter den Golfstrom südlich von den Neufundlandbänken sinken läßt²⁾, liegt dann jedenfalls nicht vor. —

Wesentlich anders als im Bereich des Agulhasstromes waren die Erscheinungen an der Meeresoberfläche, welche ich im Dezember 1891 auf der Ausreise in Ostrichtung entlang 41° S. Br. zu beobachten Gelegenheit hatte. Die beigegebene Kartenübersicht (Fig. 5, S. 57) habe ich entworfen, um synoptisch die Verhältnisse an einem Beispiel vorzuführen. Die Durchsegelung des hier dargestellten Gebiets nahm 13 Tage in Anspruch, innerhalb welcher Zeit nur geringfügige ozeanographische Änderungen eingetreten sein dürften. Bei der Abgrenzung der warmen und kalten Streifen wurde so vorgegangen, daß ich, da die 14°-Isotherme nach dem Atlas der Deutschen Seewarte (Taf. 6 und 9) im Dezember nur wenig südlich von unserem Schiffskurs liegt, alles Wasser, welches über 14° Temperatur hatte, als warmes, das andere als kaltes betrachtete. Auch wurde dabei auf den Salzgehalt Rücksicht genommen, da hier in strengster Weise fast stets der hohe Salzgehalt mit hoher Temperatur, der geringe Salzgehalt mit niedriger Temperatur verbunden auftritt. Abnorme

¹⁾ Vgl. die Karte z. B. in „Unser Wissen von der Erde“ I, Allgem. Erdkunde, S. 209.

²⁾ Vgl. hierzu Handbuch der Ozeanographie II. 437.

Verschiebungen oder Überschiebungen dieses gegenseitigen Verhältnisses kamen nur sehr selten und nur für kurze Strecken vor, wie man aus dem interessanten Verlauf der Linien in den Diagrammen vom 12.—25. Dezember (Taf. 4) ersehen kann.

So ergaben sich sehr leicht die Streifen warmen und kalten Wassers, welche eben-
sogut als Streifen stark- und schwachsalzigen Wassers charakterisiert werden können.

Unregelmäßige, sprunghafte Veränderungen der Temperatur, resp. des Salzgehalts waren schon seit dem 1. Dezember (36° W. L.) beobachtet worden, also seit Beginn des Ablaufens der geographischen Längen im Südatlantischen Ozean. Einen wahrhaft großartigen Charakter gewannen diese Erscheinungen aber erst von 14° Ö. L. ab. Nach den allerdings nur knappen Mitteilungen aus anderen Schiffsjournalen, welche in den Segelhandbüchern der Deutschen Seewarte¹⁾ sich finden, scheint es, daß wir auf der Fahrt des „Robert Rickmers“ insofern recht begünstigt waren, als die auffallenden Temperatursprünge sehr gut ausgebildet gefunden wurden. Eine leichte Stromkabelung, gekennzeichnet durch einen langen Schaumstreifen, der in der Richtung ONO—WSW lag, sahen wir am 12. Dezember mittags in 41° S. Br. und 14° Ö. L., wo bereits eine SO-Versetzung konstatiert wurde. Diese Stromrichtung ist an der Westkante der Agulhasströmung bekanntermaßen die gewöhnliche; sehr kräftig trat sie aber erst am nächsten Tag auf, wo wir das Schiff 32 Seemeilen aus dem gesteuerten Kurs in OSO-Richtung versetzt fanden. Wir hatten, obsohen die erwähnte Kabelung bereits vor 24 Stunden beobachtet worden war, doch erst seit etwa 16 Stunden deutlich warmes Wasser erreicht; im Verlauf der ganzen Fahrt wurde die höchste Temperatur ($19,7^{\circ}$) in 41° 31' S. Br. und 18° 12' Ö. L. gefunden, also mitten in dem ersten warmen Streifen (Nr. II der Karte). Der Vorgang als solcher ist klar. Unter Land verläßt man, wie wir oben sahen, den Agulhasstrom bereits auf 21° Ö. L. an der Ostkante der Agulhasbank. Derselbe geht, dem Beharrungsvermögen gemäß, zunächst noch in SW-Richtung weiter, wird dann mehr und mehr durch Wind und Gegenstrom südwärts abgedrängt und tritt so in größerer südlicher Breite weiter westlich auf, als unter Land.

Im einzelnen brauchen wir nicht den Lauf des Schiffes zu verfolgen, da die Skizze alle nötigen Angaben liefert. Man kann allein innerhalb der 60 Längengrade nicht weniger als 16 deutlich gesonderte Streifen warmen, resp. kalten Wassers unterscheiden. Der erste Warmwasserstreifen, welcher augenscheinlich die Hauptmenge des Wassers der Agulhasströmung in sich führte, hatte damals eine Breite von 400 Seemeilen. Der Temperaturunterschied zwischen diesem Band und dem anschließenden kalten betrug im Maximum $7,3^{\circ}$! Diese Differenzen wurden dann etwas geringer, bis auf 41° Ö. L. sehr kaltes Wasser (9°) gefunden wurde, während 20 Seemeilen vorher noch $15,3^{\circ}$ gemessen worden war. Genau auf dieser scharfen Grenzscheide verschieden temperierten Wassers hatte das Schiff in der Nacht vom 18. zum 19. Dezember einen sehr kurzen, aber äußerst heftigen Sturm zu bestehen, welcher, nach allen einzelnen Begleiterscheinungen (schweres Gewitter, sehr starker Barometerfall, schnelle Winddrehungen u. s. f.) zu schließen, einer scharf umgrenzten Depression von wohl nur geringer Ausdehnung angehörte und vielleicht mit Recht seiner Ursache nach auf die ozeanographischen Gegensätze zurückgeführt werden darf²⁾.

Die durchgängig niedrigste Wassertemperatur zeigt Band Nr. XI mit nur $9,3^{\circ}$; unter diesen Längen, nämlich westlich vom Meridian der Crozet-Inseln, dringt sehr deutlich intensiv kaltes Wasser nordwärts, es prägt sich dasselbe sogar auf den Isothermenkarten³⁾

¹⁾ Segelhandbuch f. d. Atlantischen Ozean, S. 36. 37. Segelhandbuch f. d. Indischen Ozean, S. 15. 16, 23. 24.

²⁾ Siehe eine kurze Beschreibung des Unwetters in den „Verhandlungen der Gesellschaft für Erdkunde“. Berlin 1892. S. 204.

³⁾ Atlas des Indischen Ozeans, herausg. von der Deutschen Seewarte. Tafel 6—9.

durchweg aus; östlich von den Crozet-Inseln anderseits fand sich Wasser bis zu $16,3^{\circ}$, also ganz abnorm warm, und es scheint ebenso sicher, wie vorher die nordwärts gerichtete Bewegung von kaltem Wasser, hier eine im wesentlichen nach Süden (und Osten) dringende warme Strömung vorzuliegen. Die an diesen Tagen beobachteten Stromversetzungen sprechen freilich nicht gerade dafür, da sie alle nördliche Komponente haben; doch kommen wir weiter unten auf diese Frage zurück.

Die Versetzungen (in Kolumne V auf der Karte eingetragen für die Wegestrecke, für welche sie gelten) hatten überhaupt, ganz entsprechend den Ergebnissen von Tynbees Untersuchungen, von 20° Ö. L. an, wo man aus dem direkten Bereich der stark nach SO umbiegenden Agulhasströmung heraustritt, stets eine nördliche Komponente; zweimal lag die Richtung sogar etwas westlich von N. Die Stromstärken waren nur recht geringe.

Endlich ist auf die Wasserfarbe der kalten und warmen Bänder hinzuweisen: schon bei anderer Gelegenheit (S. 43) wurde kurz erwähnt, daß auffallenderweise auf meinen zwei Reisen gerade das warme Wasser des Agulhasstromes grünlich verfärbt war, während die kalten Streifen mehr eine blaue oder graublaue Färbung zeigten. Das tropische Tiefblau fehlte im Band Nr. II vollkommen, nach der Forcelschen Farbenskala war vielmehr eine Beimischung von 10—16 % Gelb vorhanden, so daß das Wasser den Eindruck hellgrüner Färbung machte. Dies abnorme Verhältnis hielt abnehmend an bis etwa 50° Ö. L., von wo an das warme Wasser einen etwas dunkleren blauen Ton annahm, als das benachbarte kalte Wasser.

Auf der Rückreise längs der Küste von Afrika lagen die Verhältnisse ähnlich; in der Mitte des Mozambique-Kanals war die Wasserfarbe etwa = 6 der Skala und erreichte auf der Höhe von Natal das normale und für den Agulhasstrom als charakteristisch hervorgehobene schöne Blau (3—2 % Gelb), welches bis nach Port Elizabeth hinunter anhielt. Von 26° Ö. L. an aber nahm das warme Wasser mit einem Male eine höchst auffallende schwarzgrüne, undurchsichtige Farbe an, welche bis zur Agulhasbank beobachtet wurde. Genau nach Passierung des Meridians des Kaps der Guten Hoffnung konnte dann, obwohl die Wassertemperatur sehr herabgegangen war, die Farbe wieder als tiefblau (3 % Gelb) bezeichnet werden.

Die Erklärung dieses auffallenden Verhaltens gerade im Gebiet des stärksten Agulhasstroms scheinen mir Planktonfänge zu geben, welche auf der Ausreise wie auf der Rückreise an den fraglichen Stellen gemacht wurden. Stets ergab sich eine ganz ungeheure Menge im Wasser treibender Organismen, welche auch in der Nacht vom 25. zum 26. Juli 1892 unter 21° Ö. L. an der Kante der Agulhasbank ein äußerst heftiges Meerleuchten von wahrhaft unheimlichem Eindruck hervorriefen: die ganze See glühte in weißlich-grünem Licht bis zur Kimm hin; der Himmel war, wie meist bei stärkerem Meerleuchten, ganz bewölkt.

Da nun die an der Nataküste gemachten Beobachtungen zeigen, daß der Agulhasstrom in jenen Breiten noch seine normale blaue Farbe hatte, so muß die Quelle dieser das warme Wasser verfärbenden Organismen weiter südlich liegen; ich möchte — ohne Beweise dafür bringen zu können — vermuten, daß diese Unmassen von Lebewesen vielleicht von der Agulhasbank stammen und von dort unter Umständen durch Winde und den bekannten Reaktionsstrom unter Land nach NO und darauf in das warme Agulhaswasser hineingeführt werden. Wichtig wäre, wenn durch spätere Reisen konstatiert würde, ob die anormale Färbung des warmen Wassers gerade auf der Route der ostwärts segelnden Schiffe in 40° oder 41° S. Br. oft oder nur sehr selten beobachtet werden kann.

Soviel über den speziellen Verlauf meiner zwei Fahrten durch das Gebiet. Wenn wir nun daraus einige allgemeinere Gesichtspunkte gewinnen wollen, so können wir, unter Benutzung der vorhandenen Litteratur und Kartenwerke, etwa folgendes aufstellen:

1. Die Karte, welche dieser Abhandlung beigegeben ist, ist immer noch einigermaßen schematisch; man findet zu andern Jahreszeiten und in andern Jahren die kalten und warmen Streifen mehrfach anders gelagert, als hier dargestellt ist. Besonders werden innerhalb eines Bandes sehr häufig noch mehr oder weniger beträchtliche Temperatursprünge beobachtet, so daß man annehmen muß, die Zersplitterung zweier verschiedener Stromsysteme gehe bis in das Minutiöse; auf Entfernungen von 10 Seemeilen und weniger werden manchmal warme, dann kalte und wieder warme Gewässer durchschnitten.

Gerade diese vollkommene gegenseitige Durchdringung verschieden gearteter Gewässer ist das Charakteristische dieser Gegenden; in dieser Beziehung dürften sie einzig auf der Welt dastehen, da nirgends anderswo, weder beim Zusammenstoß des Golfstroms mit dem Labradorstrom, noch bei demjenigen des Kuro-shiwo mit dem Kurilenstrom, auch nur annähernd solche fortgesetzte Temperatursprünge über Tausende von Seemeilen hin beobachtet werden. Denn gewöhnlich fließen dann zwei solche aufeinander prallende Ströme nebeneinander her, sei es in gleicher oder entgegengesetzter Richtung, ohne ihre Wässer in ausgedehnter Weise zu vermischen.

Schon in Band Nr. II der Karte, welches das wärmste und am stärksten strömende Wasser in sich schließt, treten beträchtliche Temperatur- und Salzgehaltsänderungen an; ein Schiff beobachtete z. B. 1873 am 25. Dezember mittags in 42° 54' S. Br., 13° 14' Ö. L. eine Wassertemperatur von 10,9°; 17 Seemeilen östlich davon um 4 Uhr bereits 16,5°. Am andern Morgen um 8 Uhr stand das Schiff in 43° 7' S. Br. und 15° 6' Ö. L., das Wasser hatte 16,6°; eine Stunde später und 6 Seemeilen östlicher aber nur noch 11,8° — also in diesem geringen Abstände eine Differenz von 5,3°¹⁾. Diese letzten Schwankungen fallen innerhalb des Bandes II: auch ich beobachtete innerhalb desselben zwar schnell vorübergehende, aber doch starke Sprünge, in der Temperatur um 2,2° in 2 Stunden, in der Salinität im Betrage von 0,8⁰/₁₀₀ in 4 Stunden.

Dasselbe gilt auch von den kalten Streifen.

2. Trotz der sehr großen örtlichen und zeitlichen Veränderlichkeit der Erscheinung sind doch immer vorhanden und stets erkennbar die Warmwasser-Streifen Nr. II und IV, sowie Nr. XII und XIV; zwischen diesen beiden Hauptansammlungen des warmen Wassers überwiegt das kalte Wasser. Wir werden nicht fehl gehen, wenn wir Nr. II und IV auf Rechnung des aus dem Mozambique-Kanal südwärts strömenden warmen Wassers setzen, und Nr. XII und XIV in ähnlicher Weise auf den an der Ostküste Madagaskars südlich sich bewegenden Strom zurückführen.

3. Der kalte Strom ist der Temperatur nach am deutlichsten zu erkennen unmittelbar westlich von den Crozet-Inseln, hat aber seine größte Ausbreitung noch weiter westlich, unter den mittleren geographischen Längen des Mozambique-Kanals und westlich von der äußersten Westkante des Agulhaswassers, also im Ursprungsgebiet der sogenannten Benguelaströmung.

4. Die Art und Weise, in welcher bei einem Ostkurse beständig kaltes und warmes Wasser mit scharfen Grenzen wechselt, läßt annehmen, daß unbeschadet aller temporär unter dem Einfluß gerade vorherrschender Winde entstehenden Versetzungen die beiden primären Bewegungsrichtungen nach Süden und nach Norden gerichtet sind; nur so wird die beispiellose Zersplitterung der zwei Stromsysteme erklärlich. Die Deutsche Seewarte²⁾ ist derselben Ansicht und diese meridionale Lage der Streifen ist ein Kernpunkt der ganzen Frage. Hätten wir lediglich eine kühle Trift im Bereich der Westwinde vor uns, in welche der Agulhasstrom sich einmischte, so würden die verschieden temperierten Streifen

¹⁾ Segelhandbuch f. d. Atlant. Ozean, S. 37.

²⁾ Segelhandbuch für den Indischen Ozean, S. 23.

in W—O-Richtung liegen und könnten sich unmöglich bei einer Fahrt nach Osten derart bemerkbar machen, wie wir gesehen haben.

Wir nehmen also an, daß hier zwei Strömungen aufeinander prallen, welche beide ihr treibendes Motiv nicht hier in dem besprochenen Gebiet haben, sondern in weiter zurück liegenden Gegenden. Bei dem Agulhasstrom wird man natürlich in letzter Linie an die Trift des SE-Passats denken; für den kalten Strom an die Triften, die auch die Eisberge bis in diese Breiten nordwärts führen und welche südlichen bis südöstlichen Winden der Südpolarregion ihre Entstehung verdanken. Auf solche Wind- und Stromrichtung läßt, abgesehen von manchen direkten Beobachtungen¹⁾, auch die Analogie mit den Nordpolarverhältnissen schließen; dazu kommt, daß die Stromversetzungen der Schiffe östlich von 20° Ö. L. fast ausnahmslos nördlich von O liegen.

Wir sehen also nicht, wie Toynbee, in dieser Nordrichtung eine accessorische Komponente zur Ostrichtung, sondern vielmehr die primäre durch südliche Winde verursachte Bewegung, welche aber durch die in den Breiten nördlich von 55° S. durchaus vorherrschenden Westwinde ganz erheblich modifiziert wird.

5. Das polare Wasser reicht, wie im speziellen das oben dargelegte Verhalten des Salzgehalts und auch der Salinitätsbetrag selbst zeigt (derselbe sinkt bis auf 33,7 ‰ Salz, was demjenigen im Labrador- und Falklandstrom entspricht), mindestens bis nach 40° oder 39° S. Br. nordwärts, erreicht jedoch nirgends den dreißigsten Parallel. Umgekehrt dringt das warme Wasser auch unter den östlichen Längen von 50°, 60°, 70° südwärts mindestens bis über den vierzigsten Parallel hinaus, da seine Salinität unwiderleglich auf den Ursprung aus tropischen Gewässern hinweist. (36,2 ‰ wurde noch unter 65° Ö. L. auf der Ausreise konstatiert, ein Salzgehalt, der sonst nur im Gebiet des frischesten Passats vorkommt.)

Unter diesen Längen muß man also, wenn nicht immer, so doch zeitweilig, südliche Versetzungen (S—SO) erwarten, im Gegensatz zu den weiter westlich vorherrschenden NO-Versetzungen.

Da gerade dieser Punkt wegen der von Dr. Neumayer²⁾ mit großem Scharfsinn entwickelten Theorie einer warmen Südströmung zur Kerguelen-Insel hin wichtig ist, seien einige direkte Strombeobachtungen aus dem „Gazelle“-Werk angeführt.

Daß die „Gazelle“ im Oktober 1874 zwischen 42° und 44° S. Br. unter 35° Ö. L. 21 Seemeilen nach SSW versetzt wurde und in 44° S. Br., 40° Ö. L. mittels direkter Strombeobachtung durch Loggen vom festliegenden Boot aus Südstrom von 24,5 Seemeilen täglicher Geschwindigkeit gemessen wurde, sei nur erwähnt, da es unsere Annahme vom primären Süd- und Nordstrom unter diesen Längen stützt. Hier kommt es aber mehr auf die Längen östlich von den Crozet-Inseln an. Es wurde direkt geloggt

in 35° S. Br. 68° Ö. L. Strom nach S	31,2 Seemeilen pro Tag,				
in 35 „ 71 „ „ „	15,6 „ „ „				
in 37 „ 84 „ „ „	13,0 „ „ „				
in 38 „ 78 „ „ „	nach SSO 3,5 „ „ „				
in 40 „ 78 „ „ „	SW 17,3 „ „ „				
in 43 „ 75 „ „ „	SSO 14,4 „ „ „				

In südlichen Breiten über 45° S. Br. hat die „Gazelle“, wie man aus Bd. II, S. 28, entnimmt, keine solchen direkten Bestimmungen gemacht; die Routenkarte des Bd. I und

¹⁾ Der „Challenger“ beobachtete z. B. im Februar 1874 während 16 Tagen, die er südlich von 60° S. Br. subtrachte, an 9 Tagen vorherrschend Winde aus dem südlichen Halbkreis (Tagesmittel), an 4 Tagen variable Winde, unter welchen viel südliche sich befanden; nur an 3 Tagen war der Wind vorherrschend aus dem nördlichen Halbkreis. Die südlichen Winde wehten hauptsächlich zwischen SSW und SE. In guter Übereinstimmung hiermit hat schon 1872 Dr. Neumayer die ungefähre Südgrenze des Bereiches der „braven Westwinde“ auf 62° S. Br., der mittleren Lage der Isobare von 741,1 mm, festgelegt (s. Zeitschr. d. Ges. f. Erdkunde 1872, S. 162. 163). Südlich davon herrschen also kalte südliche Winde vor: s. auch „Challenger“-Reports, Narrative, vol. I. part 2, S. 1002.

²⁾ S. Zeitschrift der Gesellschaft f. Erdkunde, Berlin 1872. S. 149 ff.

die in Bd. V enthaltenen Stromversetzungen ergeben aber, daß sie auf ihren zahlreichen Kreuz- und Querfahrten zwischen St. Paul-Amsterdam und den Kerguelen-Inseln auch in Breiten von über 50° südlich von Ost laufende Strömungen fand, und zwar zum Teil von sehr beträchtlicher Stärke, öfters über 30, einmal sogar 46 Seemeilen pro Tag!

Kombiniert man diese Beobachtungen mit dem Verlauf der Wasserisothermen¹⁾ in der Gegend der Crozet- und Kerguelen-Inseln, so kommt man notwendig zur Annahme zweier südwärts dringender Warmwasserströme, des einen östlich von den Crozets, des andern südlich von den Kerguelen. Die Isothermen zeigen nämlich deutlich an diesen Stellen nicht unbeträchtliche Ausbuchtungen nach Süden. Dr. Neumayer hatte diesen Strom seinerzeit hauptsächlich aus der Thatsache erschlossen, daß zwischen 62 und 78° Ö. L. die Treibeisgrenze eine ganz gewaltige, auffallende Einbuchtung zeigt, wodurch ein nahezu eisfreies Gebiet bei Kerguelen entsteht. Die Quellen für den Warmwasserstrom würden wir leicht in den warmen Streifen Nr. XII und XIV unserer Karte erkennen. Die von Dr. Neumayer weiter angeführten Einzelheiten, besonders aus der Forschungsfahrt des Russen Bellinghausen (1820) längs 61° S. Br.²⁾, scheinen mir, zusammengenommen mit allen den vorstehenden Strombeobachtungen und Angaben über die Temperaturverteilung und den Salzgehalt des Meerwassers, einen solchen Strom notwendig zu fordern, und ich möchte, gerade weil seine Existenz als sehr problematisch angefochten wird³⁾, für denselben eintreten. Gar manche Annahmen von Strömungen beruhen auf kaum deutlichen Anzeichen. Da, wie doch allgemein angenommen ist, in der Tiefe ein stetiger, wenn auch außerordentlich langsamer Wassertransport von Süden nach dem Äquator zu statt hat, so muß man für das den Südpolarregionen entführte Wasser doch einen Ersatz haben, und zwar um so dringender, als diese Gewässer vielfach sehr flach zu sein scheinen. Ein solcher an der Oberfläche fließender Südstrom ist daher auch von diesem Gesichtspunkt aus nur natürlich. Allerdings wird derselbe 55° S. Br. nicht beträchtlich überschreiten, da er weiter südlich durch die vorwiegend vom Pol wehenden Winde bald gestoppt wird.

6) Diese Darlegungen setzen, wenn sie in der Hauptsache zutreffend sind, voraus, daß in dem vorliegenden Gebiet, sagen wir von 10° bis 80° Ö. L., die sogenannte Westwindtrift der höhern südlichen Breiten kein einheitliches Stromsystem ist, weder in Hinsicht auf die beteiligten Wassermassen noch in Hinsicht auf die Bewegungsrichtung. Bis nach etwa 25° Ö. L. hin setzen die Gewässer vorwiegend südlich von Ost, von da bis zu den Crozet-Inseln nördlich von Ost; von hier noch weiter östlich hat das Wasser die Neigung, wieder südlich von Ost zu trift.

Flaschenposten, die westlich von dem hier behandelten Gebiet ausgesetzt worden und an der Küste von Australien gestrandet sind⁴⁾, werden im Bereich dieser Längen sehr bedeutende Kurven nach Süden und nach Norden beschrieben haben, so daß der von ihnen zurückgelegte Weg beträchtlich größer war, als die gerade Linie im Bereich der Westwinde.

7) Alle diese Strömungen sind nur sehr wenig tiefgreifend und werden daher leicht durch anhaltende Winde nach irgend einer andern Himmelsrichtung abgelenkt.

8) Was die Frage nach den jahreszeitlichen Änderungen dieser Stromverhältnisse anlangt, so ergibt sich zunächst aus den in den erwähnten Segelhandbüchern mitgeteilten Beispielen, sowie aus dem englischen Temperaturenatlas Toynbees, daß das Wesentliche, das ineinanderkeilen eines polaren und äquatorialen Stromes, in allen Monaten stattfindet.

¹⁾ S. Deutsche Seewarte, Atlas des Indischen Ozeans, Tafel 6—9.

²⁾ A. u. O., S. 150—151. Dr. Neumayer selbst stellte auf einer Fahrt im Dezember 1856, auf 53° S. Br. segelnd, zwischen 62 und 72° Ö. L. den Einfluß einer warmen Strömung fest und fand in der La Rochele-Straße (McDonald In.) einen beträchtlichen Strom nach $5\ 15'$ W.

³⁾ Siehe Handbuch der Ozeanographie II, 478; Segelhandb. f. d. Indischen Ozean, S. 16—20.

⁴⁾ Siehe z. B. Handbuch der Ozeanographie II, 475, 476.

Die Temperatursprünge sind jedoch in den Monaten des südlichen Sommers durchweg am größten, und es läßt sich nach Toynbees Untersuchungen konstatieren, daß in dieser Jahreszeit die Bewegungen des von Süden kommenden Stromes im allgemeinen stärkere sind und außerdem eine nördlichere Richtung als sonst besitzen. Gewiß mit Recht werden die im Südsommer besonders großen Differenzen darauf zurückgeführt, daß das im Südfrühjahr und im Beginn des Südsommers in großer Menge sich lösende Eis nordwärts sich in Bewegung setzt und dadurch besonders kaltes Wasser relativ schnell in niedere Breiten gelangt. Zu dem Ergebnis Toynbees, daß außerdem die Stromrichtung dann eine nördliche ist (was nach den englischen Karten besonders für November und Dezember gilt), paßt gut die Notiz Dr. Neumayers, daß gerade in den Sommermonaten südlich von 60° S. Br. SE-Winde vorherrschen: auch ein Zeichen, daß wir es hier mit wirklichen Windtriften zu thun haben, selbst bei Annahme eines polaren Stromes.

9) Daß, wie P. Hoffmann¹⁾ bemerkt, bei einem derartigen Ineinanderfließen zweier Strömungen von einem Zusammenfallen der Temperatur- und Stromgrenzen wenig die Rede sein kann, ist klar. So findet man, daß warmes Wasser nordwärts sich bewegt, oder kaltes Wasser südwärts. Für letztern Fall ist ein gutes Beispiel von der „Gazelle“ am 15. Oktober 1874 in 44° S. Br. und 41° Ö. L. beobachtet worden: das abnorm kalte Wasser bewegte sich in einer Mächtigkeit von mindestens 80 Faden (146 m) und mit einer mittleren Temperatur von nur $3,8^{\circ}$ durchweg nach SZW, und zwar mit einer Geschwindigkeit von fast 1 Seemeile pro Stunde. Das kalte Wasser war in die dem warmen Wasser eigene Richtung übergeführt worden, die mechanische Grenze, wie man sich wohl angedrückt hat, deckte sich nicht mit der thermischen. Aber damit ist das Phänomen, daß so kaltes Wasser auf den niedrigen Breiten von ca 40° Grad vorkommt, nicht erklärt: man muß auch hier wieder annehmen, daß dasselbe erst von Süden her zugeströmt war.

Wenn dann P. Hoffmann weiter bemerkt, daß „noch in 45° S. Br. Temperaturgegensätze von über 8° als Mittelwerte angegeben werden, während südlicher Strom nirgends südlich von 38° S. Br. auf den Karten erscheint“, so ist dies jedenfalls nur cum grano salis zu verstehen. Auf den Karten, welche die mittleren Strömungsrichtungen geben, hat es Toynbee allerdings in dieser Weise dargestellt; aber die Einzelbeobachtungen sind, wie man aus derselben englischen Publikation ersieht, sehr oft auch derart, daß man südlich von 38° S. Br. südlichen Strom findet, und wir glauben in vorstehendem eine große Reihe deutlich sprechender Beispiele angeführt zu haben. Gerade die Thatsache, daß noch in 45° S. Br. Temperatursprünge von über 8° vorkommen, verlangt doch, daß warmes Wasser soweit südlich und noch südlicher dringt.

Diese Ausführungen haben nur den Zweck, auf das in ozeanographischer Hinsicht ungewöhnlich interessante Gebiet von neuem die Aufmerksamkeit zu lenken. Eine vollkommene Klarstellung dürfte vielleicht am ehesten eine genaue, freilich sehr mühsame Diskussion des auf der Seewarte in Hamburg befindlichen, sehr reichhaltigen Originalmaterials, welches in den Schiffsjournalen vorliegt, bringen. Einen Wert würde ich vor allem darauf legen, daß man annimmt, es handle sich hier um wirklich polare Gewässer, denen — auch abgesehen von der Agulhasströmung — äquatoriale Gewässer entgegenströmen, so z. B. unter den Meridianen der Kerguelen &c.

Über das Verhalten des absoluten spezifischen Gewichtes des Seewassers in den warmen und kalten Streifen ist oben S. 42 und 43 einiges bemerkt.

Der Indische Ozean.

Nur wenig ist im Anschluß an meine Reisebeobachtungen in diesem Meere zu bemerken, auch die folgenden Mitteilungen, welche die ostasiatischen Gewässer betreffen, werden sehr kurz gehalten werden können.

¹⁾ Zur Mechanik der Meeresströmungen, S. 66.

Der südliche Indische Ozean wurde von mir das erste Mal im Januar in der Richtung von Süden nach Norden durchkreuzt und zum zweitenmal in der Richtung von ONO nach WSW Ende Juni und Anfang Juli. Von Strömungen kam dabei natürlich hauptsächlich die Äquatorialströmung, die Trift des südlichen Passats, zur Beobachtung. Im Januar wehte der Passat frisch (B. Sk. 6) aus EzS zwischen dem Wendekreis und etwa 8° S. Br., die Stromversetzungen waren in einem viertägigen Mittel nach N 64° W gerichtet mit einer durchschnittlichen täglichen Geschwindigkeit von 25 Seemeilen. (Extreme: N 79° W 37 an der Nordgrenze der Äquatorialströmung, und N. 67° W 18 in 20° S. Br.). Die Stromrichtung, welche nördlich von West lag, zeigt, daß wir trotz des relativ weit nach Westen gelegenen Schiffsweges uns hauptsächlich in dem Zuflufs zur Äquatorialströmung bewegten, also, wenn man will, in der sogenannten westaustralischen Strömung. Irgend welche deutlichen Anzeichen für eine „kalte“ Strömung waren aber nicht nachzuweisen, die Wassertemperatur im besonderen nahm mit abnehmender Breite regelrecht zu; entsprechend dem Sonnenstand (die Sonne kulminierte damals gerade über dem Wendekreis) war die Wasserwärme beträchtlich hoch.

Auf der Durchquerung von Ost nach West (Sundastraße—Mauritius) wurde, zur Zeit des südlichen Winters, parallel zum strömenden Wasser in der Südäquatorialströmung gesegelt; da ergab sich nun sehr deutlich, daß das Wasser die Tendenz hat, nach links auszuweichen, und dies immer mehr, in je höhere Breiten man gelangt. Die Stromversetzungen, welche der „Peter Rickmers“ erlitt, waren alle südlich von Westen gelegen, mit zwei Ausnahmen, in denen der Strom eine schwache nördliche Komponente aufwies. Bemerkenswert ist unter diesen zwei Ausnahmen die zweite, welche beobachtet wurde, als das Schiff querab von Manritius sich befand: N 67° W 23 Seemeilen. Gerade hier bei den Maskarenen soll diese nach den Inseln hin gerichtete Stromrichtung öfters vorkommen, wie mir von Seeleuten versichert wurde; man kommt dadurch unwillkürlich zu der Anschauung, daß einsame Inseln im Ozean eine ansagende Wirkung auf das Wasser ausüben, wie dies ja z. B. von den Paracels und dem Pratas-Riff in der nördlichen Chinassee vielfach behauptet wird¹⁾. Aus 11 Tagen, die zwischen der Sundastraße und der Meeresgegend von Mauritius verbracht wurden, ergibt sich für unsere Reise eine durchschnittliche Geschwindigkeit der indischen Südäquatorialströmung von 27,6 Seemeilen pro Tag und eine mittlere Bewegungsrichtung nach S 63° W. Die stärkste Versetzung hatten wir gleich am Tage nach dem Verlassen der Sundastraße zu verzeichnen mit S 59° W 46 Seemeilen (pro 24 Stunden), die geringste mit West 16 Seemeilen bei Rodriguez. Der ganz vorzügliche Passat wehte während dieser Zeit beständig aus ESE stürmisch (B.-Sk. 7—8); dem entspricht die etwas größere durchschnittliche Geschwindigkeit der Strömung (27,6 gegen 25 auf der Hinreise).

Es ist aber auffallend, wie verschieden in Richtung und Stärke der Strom an der Stelle gefunden wurde, wo die Routen der Hin- und Rückfahrt sich schneiden, in beiläufig 13° S. Br. und 87° Ö. L. Der Wind hatte beide Male fast dieselbe Richtung und Stärke, und doch fand sich in den Tagen

vom 3.—5. Januar 1892 eine tägliche Versetzung nach ungefähr WNW 28 Seemeilen,
vom 27.—29. Juni 1892 „ „ „ „ „ SW 19 „ „

Schwerlich kann man hieraus zunächst einen andern Schluß ziehen, als den allbekannten, daß einzelne Stromversetzungen nur sehr wenig sicheren Anhalt für eine genaue Kenntnis der Richtung der Meeresströmungen bieten. Dem mit der nautischen Technik der Segelschiffahrt bekannten Leser werden die stark abweichenden Richtungen erklärlich sein: beide Male segelte das Schiff mit raumem Winde, letzterer aber bewirkte durch seine große Stärke eine beträchtliche „Luvgerigkeit“ des Schiffes, so daß in beiden Fällen das Schiff

¹⁾ Vgl. Segelhandb. f. d. Indischen Ozean, S. 17.

in Wirklichkeit einen etwas „höheren“ Kurs verfolgt haben wird, als am Kompass abgelesen wurde. Ich will damit nur wieder auf die außerordentlichen Schwierigkeiten hingewiesen haben, selbst bei Anwendung aller Sorgfalt wirklich zuverlässige Stromangaben zu erlangen. Für unseren Fall können wir aber eben hieraus mit großer Wahrscheinlichkeit entnehmen, daß die wirkliche Bewegungsrichtung des Wassers in der bewußten Meeresgegend beide Male fast genau eine westliche war.

Auf dem weiteren Verlauf der Reise nach Pinang war die sehr gute Übereinstimmung der Strom- und der Windgrenzen charakteristisch. Die Nordgrenze der Südaquatorialströmung fanden wir, zugleich mit der größten Geschwindigkeit, auf 9° S. Br. (man vgl. damit die Lage derselben im Atlantischen Ozean!); in 8° S. Br. brach der SE-Passat ab, und es ergab sich am andern Tag eine Versetzung nach S 12° W 14 Seemeilen. Hierin werden wir einen Ausdruck der Bewegungsrichtung sehen dürfen, welche aus der Gegenströmung des Indischen Ozeans in dieser Jahreszeit südwärts abzweigt und damit für das durch die Südaquatorialströmung in großen Mengen westwärts fortgeführte Wasser Ersatz leistet. Man vergleiche zu diesen durchaus nicht einfachen Stromvorgängen die Krümmelischen Karten!).

Auf der ganzen Strecke von 7° S. Br. bis zum Äquator hatten wir variable, flauere Winde, meist aus Westen; der Strom versetzte uns in dieser Zeit (im ganzen während 72 Stunden) nach NO 46 Seemeilen und blieb auf dem ganzen fernerer Weg bis Atjeh nach Osten gerichtet. Nach den Karten hätte man schon vom Äquator an die Strömung nordwestlich laufend erwarten sollen, indem die Gegenströmung, an der Sumatranischen Westküste abprallend, in zwei Arme nach SO und NW sich spaltet, und der Westmonsun hätte auf etwa 1½° N. Br. seine nördliche Grenze haben können²⁾: statt dessen bekamen wir einen frischen, ja stürmischen Monsun aus WNW bis NW erst auf Nord-Breite und behielten ihn bis in Sicht von Atjeh.

Dieser ungewöhnlich weiten nördlichen Ausdehnung des Westmonsuns entsprach nun auch der Strom, welcher noch in 5° N. Br. nach Süden und Osten setzte und sein Wasser demnach zur Südhälfte abgeführt haben dürfte. (Man denke dabei an die total verschiedenen Verhältnisse im äquatorialen Atlantischen Ozean!) Diese Strömung, die direkte Fortsetzung oder vielmehr der östliche Teil der äquatorialen Gegenströmung des Indischen Ozeans, hatte eine ganz bedeutende Geschwindigkeit, es wurde beobachtet z. B. S 20° O 33 Seemeilen und S 20° O 55 Seemeilen (= 102 km): dies ist bei weitem die größte Versetzung, die ich auf den Seefahrten gefunden habe. Daß derselben eine Realität zukommt, ist schon daraus klar, daß das kurz nach uns in Pinang einkommende Schiff „R. C. Rickmers“ gleichfalls in dieser Gegend einen auffallend heftigen Strom nach SO gespürt hat.

Wir erkennen hieraus einmal, wie leicht und schnell Strömungen bei günstigen Umständen über ihre mittleren Grenzen hinaus sich verschieben, und sodann die große Übereinstimmung, wir dürfen sagen Abhängigkeit des bewegten Wassers von der bewegten Luft.

Ostasiatische Gewässer.

a) *Chinasee*. Die ganze Chinasee wurde von mir zweimal in der Richtung von Süd nach Nord und umgekehrt durchkreuzt, die südliche Chinasee außerdem noch zweimal auf der Fahrt nach und von Saigon.

Die zwei erstgenannten Reisen fielen in die Monate Februar und März, also in eine Zeit, in der der NE-Monsun noch in voller Kraft das ganze Gewässer überweht. Demgemäß war das Wasser stets, wenigstens im westlichen und mittleren Teil der Chinasee, in einer starken Bewegung von NO nach SW begriffen; am härtesten war der Strom unmittelbar

¹⁾ Vgl. Handb. d. Ozeanogr. II und Atlas d. Indischen Ozeans, Tafel 3.

²⁾ Vgl. Atlas d. Indischen Ozeans, Taf. 23.

südlich von Pulo Sapatu (10° N. Br., 109° O. L.), wo wir eine Versetzung nach 839°W 46 Seemeilen zu verzeichnen hatten. Wie mir von Seelenten, die hier seit langen Jahren fahren, mitgeteilt wurde, hat man auf der Fahrt zwischen Singapore und Hongkong im NE-Monsun immer in diesem mittleren Streifen der Chinesee den stärksten Strom nach SW; weiter nördlich ist die Strömung meist schwächer, obwohl der Monsun in der Regel dort an Kraft zunimmt. Aber der starke Strom zwischen 5°–10° N. Br. wird durch einen Blick auf die Karte erklärlich: die Küste von Cochinchina springt in der Gegend des Kaps Padaran weit nach O vor, und hierdurch, vielleicht im Verein mit der den östlichen Teil der mittleren Chinesee ausfüllenden, ungeheuren Masse von Riften, die eine freie Entwicklung der Strömung hindern, wird das von N und O kommende Wasser zusammengedrängt und ergießt sich strahlförmig weit nach Süden. Auf der Rückreise von Hongkong wurde nahe unter der Cochinchinaküste bei Kap Padaran der Strom wieder am heftigsten gefühlt, er setzte nach S 3° W 36 Seemeilen in 24 Stunden. Dabei traten (am 20. und 21. März 1892) folgende auffallende Sprünge in der Wassertemperatur auf, bei ungefährem Kurs nach SzW:

4 ^h p. m.	8 ^h p. m.	Mitternacht	4 ^h a. m.	(Kap Padaran in WSW 30 Sm. ab.)	Mittag	4 ^h p. m.	8 ^h p. m.
26,6°	25,9°	23,8°	25,6°	23,2°	25,4°	24,6°	25,6°

Da gleichzeitig mit diesen unregelmäßigen Temperaturänderungen auch der Salzgehalt am Morgen des 21. März eine Verminderung um 0,8 ‰ zeigte¹⁾, und außerdem in dem kühlen Wasser die Farbe der See blaugrün war im Gegensatz zu der sonst tiefblauen Färbung der Chinesee, so bin ich der Ansicht, daß wir es hier mit Auftriebserscheinungen zu thun gehabt haben. Hätte das Schiff etwa nur abwechselnd warmes, bewegungsloses Wasser und kaltes, von Norden strömendes Wasser durchschnitten, so hätten der Salzgehalt und die Meeresfarbe sich nicht ändern können, da ja das kühle Wasser auch dieser NE-Monsun-Trift noch nahe vor Hongkong über 35 ‰ Salzgehalt aufweist, weil es zum größten Teil aus dem offenen Pazifischen Ozean stammt²⁾. Ein Aufquellen kalten Tiefenwassers an dieser Küste zur Zeit des heftigsten Südstromes und des stärksten Monsuns ist aber sehr erklärlich, da eine Kompensation für das schnell fortgeführte Wasser aus Nachbargebieten, soweit man Oberflächenwasser verlangt, nicht wohl möglich ist. Ist die gegebene Erklärung meiner Beobachtungen richtig, so haben wir generell ganz dieselbe Erscheinung wie zur Zeit des SW-Monsuns an der Küste des Somalilandes und Arabiens, worüber ja eine reiche Litteratur vorhanden ist³⁾.

Auf den in einer späteren Jahreszeit, im April und Mai, gemachten Fahrten waren die Versetzungen in der südlichen Chinesee durchweg nach Osten gerichtet (abgesehen von ganz unbedeutenden NW-Versetzungen zwischen Pulo Condor und Kap James). Es war für den Meeresteil die Zeit des Monsunwechsels; die Strömung setzte ganz nahe der Linie nach SO und NO, weil hier Spuren des SW-Monsuns vorhanden waren; in Breiten nördlich von 4°, 5° nach SO.

Letztere Richtung war auch die vorherrschende auf der Fahrt von Saigon zur NW-Küste Borneos. Man wird wohl nicht fehl gehen, wenn man die trotz des jetzt schon vorherrschenden SW-Windes noch auftretende Südrichtung als Nachwirkung der winter-

¹⁾ Siehe die Diagramme für diese Tage auf Taf. 5.

²⁾ Dies habe ich in „Aus dem Archiv der Deutschen Seewarte“, XIV, Nr. 3, S. 11 u. 12 besprochen. Der kalte chinesische Küstenstrom der Formosastraße gelangt nicht über die Breite von Hongkong hinaus nach Süden. Südlich von Hongkong, außerhalb der Inselfauna, wurde gemessen: Wassertemperatur 22,7°, Salzgehalt 35,1 ‰. Nördlich von Hongkong, in der Formosastraße, jedoch nur vielleicht 100 Seemeilen von der erstgenannten Stelle entfernt, wurde gemessen: Wassertemperatur bis unter 14° und Salzgehalt unter 33 ‰. Offenbar bewirkt die vom Pazifischen Ozean bei den Basche-Inseln (südlich von Formosa) hereindringende Westströmung, welche eben die Trift der Chinesee speist, zugleich diese plötzliche Hemmung des kalten Küstenstromes.

³⁾ Siehe Handb. der Ozeanogr. II, S. 316 u. 317; Puff, Das kalte Auftriebswasser. Dissert. Marburg 1890; vgl. auch besonders die Temperaturkarten des holländ. Meteorolog. Instituts für die Gegend des Kap Guardafui, sowie Segelhandbuch für den Indischen Ozean, S. 25 u. 26.

lichen Strömung betrachtet, während die Ostrichtung auf den neuen Monsun zurückzuführen ist. Die Kenterung der Stromrichtung erfolgt also in der südlichen Chinesee von SW über S und O nach NO.

b) *Kuro-shiwo-Gebiet*. Ich habe mich, da ich auf dem Dampfer „Oceana“ die Meeresgegenden zwischen China und Japan befuhr, nur wenige Tage (im ganzen etwa 18) in diesem Gebiet befunden, und daher nur wenig im Anschluß an die zwei Fahrten zu bemerken.

Die Reise von Hongkong nach Yokohama führte durch die Formosastraße, dann in NO-Richtung zwischen den Riu-Kin-Inseln auf 29° N. Br. hindurch, bis wir uns bei Kap Oshima der japanischen Küste näherten. Auf der Rückfahrt ging der Kurs entlang der Südküste von Shikoku und Kinsiu durch die van Diemenstraße zur Formosastraße.

Die erste Fahrt war die interessantere; ganz außerordentlich scharf war die linke Stromkaute des Kuro-shiwo; derselbe wurde angeschnitten in 26° 3' N. Br., 121° 48' O. L., also genau nördlich von der Nordspitze Formosas und nur 40 Seemeilen von derselben entfernt. Es ist dies zugleich eben die Stelle, an welcher ich in meiner Untersuchung der Strömungen dieser Gewässer¹⁾ die Grenze zwischen südlichen und nördlichen Versetzungen gezogen habe. Man wird mir gestatten, daß ich hier einmal auf diese Arbeit mich beziehe.

Nachdem wir, von Hongkong bei trübem, nebligem, nasskaltem Wetter ausgehend, in der Formosastraße WSW-Versetzung gespürt hatten, wobei das Wasser kalt, salzarm und schmutzig-hellgrün war, so daß der kalte chinesische Küstenstrom gar nicht zu verkennen war, traten wir am 21. Februar nachmittags 6 Uhr in das warme Wasser des Kuro-shiwo ein. Schon von 4 Uhr nachmittags an hatte sich die Wasserfarbe aus einem Hellgrün (nach Fovels Skala 20% Gelb) zu einem Dunkelgrün bis Grünblau (etwa 14% Gelb) verändert. Die tiefdunkle Wasserfarbe des eigentlichen Kuro-shiwo konnte erst am andern Morgen konstatiert werden. Ich wurde hauptsächlich durch die auffällende Zunahme der Lufttemperatur, die beim Eintreten in den warmen Strom stattfand, aufmerksam gemacht.

Man kann sich den ganz außerordentlichen Effekt, den eine starke Meeresströmung auf den gesamten Witterungscharakter ausübt, kaum groß genug vorstellen, besonders wenn dieselbe bedeutend aus den für die betreffende Gegend normalen Verhältnissen herausfällt; wenigstens hatte ich nicht erwartet, solche handgreifliche Unterschiede vorzufinden, die denen nichts nachgeben dürften, welche man an den Grenzen des Labrador- oder Golfstromes beobachtet.

Die Wassertemperatur stieg von einem Minimum in der Formosastraße von 13,8° auf ein Maximum von 23,2°, welches etwa 70 Seemeilen westwärts der Riu-Kin-Inseln sich fand. Die Lufttemperatur war auf 23½° N. Br. (im kalten Strom) 13–14° gewesen und vorübergehend sogar auf 11,2° gesunken; jetzt stieg sie bis auf 22,0°! Die Luft war schwül; im kalten Strom waren die vorherrschenden Wolkenformen Nimbus und Stratus gewesen, aus welchen der Niederschlag in Gestalt eines feinen Regens kam; hier traten Cumuluswolken auf, drohende Gewitterluft wurde im westlichen und südwestlichen Horizont beobachtet, Gewitterböen mit starkem Regenguß waren von einem sehr veränderlichen flauen Winde begleitet: kurzum, wir fühlten uns in jeder Beziehung in die Tropen zurückversetzt. Jede Nacht fand Meeresleuchten im Kielwasser des Schiffes statt. Gleichwohl war die Versetzung, welche der Dampfer erlitt, überraschend gering, sie betrug während 56 Stunden nur 30 Seemeilen nach N 19° O, also nur etwa 13 Seemeilen pro Tag.

Dies alles gilt für die Fahrtstrecke westlich der Riu-Kiu-Gruppe. Eine deutliche Veränderung trat nun wieder ein, als wir diese Inselbarriere passiert hatten. Der Wind frischte allmählich wieder auf und setzte sich im Norden fest, die Lufttemperatur nahm

¹⁾ Siehe „Aus dem Archiv der Deutschen Seewarte“ XIV, Nr. 3, Taf. 3.

sehr schnell und bedeutend ab; die Wassertemperatur betrug am Morgen des 24. Februar nur noch $18,2^{\circ}$, stieg später ganz vorübergehend mit der grössern Annäherung an die japanische Küste wieder bis $20,2^{\circ}$, um dann definitiv absteigend zu bleiben bis zur Bucht von Yokohama, in welcher nur $7,8^{\circ}$ Wasserwärme gemessen wurde.

Von Stromversetzungen östlich der Riu-Kiu-Inseln kann eigentlich gar keine Rede sein, da nur 6, resp. 14 Seemeilen Besteckdifferenz für 24 Stunden sich ergab, das erste Mal nach SO, das zweite Mal nach S. Will man jedoch in diesen geringfügigen Werten den Ausdruck wirklicher wenn auch schwacher Wasserbewegungen sehen, so passen die Stromrichtungen sehr gut zu dem, was ich früher an anderer Stelle¹⁾ über den Verlauf des Kuro-shiwo dargelegt habe: die SO-Richtung gleich östlich der Inselbarriere kommt jedenfalls öfters vor, wie ja dieselbe auch in jener Arbeit auf Taf. 7, Fig. 7, eingezeichnet ist²⁾; die südliche Versetzung sodann ($S 7^{\circ} W$ 14 Seemeilen zwischen 31° N. Br., 133° O. L. und 33° N. Br., 136° O. L.) entspricht der auf der Höhe des Kii-Kanals fast regelmässig beobachteten Stromrichtung, welche nach SO bis SSO geht und schon aus dem Verlauf der Wasserisothermen im Februar³⁾ abzulesen ist. Die Erklärung für dieses Abbiegen des Stromes nach Süden suche ich in einem in Windungen stattfindenden Vordringen desselben, welches schon auf S. 59 und 60, wo die Skizze zu vergleichen ist, angedeutet wurde⁴⁾.

Doch hiervon abgesehen, zeigte diese Fahrt soviel unwiderleglich, dass thermisch und mechanisch die Warmwasserströmung des Kuro-shiwo in dem Meeresgebiet nördlich von Formosa nicht gleichmässig zu beiden Seiten der Riu-Kiu-Inseln vorhanden, sondern auf die westlich von der genannten Inselreihe gelegenen Gewässer beschränkt ist. Dies Ergebnis, seinerzeit schon aus den Schifftagebüchern der Deutschen Seewarte abgeleitet, findet seinen Ausdruck auch in dem mir mündlich gewordenen Bescheid mehrerer daselbst seit Jahr und Tag fahrender Kapitäne: danach ist zu keiner Jahreszeit auf der Ostseite der Inselbarriere der Strom zu spüren, so dass man im allgemeinen bei einer Fahrt nach Norden die Passage durch die Riu-Kiu-Inseln möglichst weit nordwärts verlegt, um auf der Westseite für den Weg nach NO den Kuro-shiwo möglichst lang ausnutzen zu können.

Dass die rechte Kante aller starken Meeresströmungen der nördlichen Halbkugel sehr undeutlich und verwischt ist, ist bekannt; es zeigt sich dies ja auch in dem eben gegebenen Reiseauszug.

Dass ferner die Hauptmasse oder doch ein sehr bedeutender Teil des Kuro-shiwo die van Diemen-Straße benutzt, um in den offenen Ozean hinaus zu gelangen, ist schon darin angedeutet, dass die „Oceana“ auf der Rückfahrt nach Hongkong innerhalb der 24 Stunden, da sie sich in oder in der Nähe der genannten Meeresstraße befand, um 32 Seemeilen nach NOzN zurückgetrieben wurde. Leider musste die gesamte weitere Fahrtstrecke bis vor den Eingang von Hongkong ohne jede astronomische Ortsbestimmung zurückgelegt werden, da Sturm und anhaltend dickes Wetter — das Leiden dieser ganzen Küste im NE-Monsun — herrschte. Daher kann auch nichts von den Strömungen für diesen Teil der Fahrt gesagt werden. Nach dem aus den Diagrammen ersichtlichen Verlauf der Kurve der Wassertemperatur und des Salzgehalts scheint es, als ob das Schiff aus dem warmen Strom in den kalten Strom und dann vorübergehend auf seinem SW-Kurse noch einmal in den warmen Strom eingedrungen sei, ehe es definitiv die wiederum ganz hellgrünen, aber schmutzig-undurchsichtigen Gewässer des Abflusses des Gelben Meeres durchfuhr.

c) *Bemerkungen über Strombeobachtungen in Meeresstraßen.* Schon oben (S. 7 und 8) wurde in der Übersicht des äussern Verlaufs der Reisen auf die ganz besondere praktische

¹⁾ Aus dem Archiv der Deutschen Seewarte a. a. O., S. 9 u. 10.

²⁾ Siehe auch Peterm. Mitteil. 1891, Taf. 15, Fig. 2.

³⁾ Aus dem Archiv &c., Taf. 3.

⁴⁾ Vgl. auch an demselben Ort S. 10.

Bedeutung hingewiesen, welche eine genaue Erforschung der Strömungsverhältnisse in den engen Gewässern und Meeresstraßen des hinterindischen Archipels gerade für die Segelschifffahrt haben würde. In dem neuen, mehrfach citierten großen Werke der Deutschen Seewarte über den Indischen Ozean findet man bereits eine Menge Einzelbeobachtungen, welche hierher gehören, zusammengestellt¹⁾. Als ein ganz kleiner Beitrag dazu mögen die folgenden Strombeobachtungen betrachtet werden; da in diesen Gewässern bei dem vielfach wechselnden Kurse, dem häufigen Manövrieren &c. eine genaue Schiffsrechnung sehr viel Mühe macht, so werden leider meist gerade in den engen Straßen die meteorologischen Journale nicht mehr ausgefüllt. Die hier gegebenen Stromversetzungen dürften um so eher am Platze sein, als sie aus einer sorgfältigen Loggrechnung resultieren.

I. Malakkastrafse. Nördlicher Teil von Kap Atjeh nach Pulo Pinang 1892:

Datum.	N. Br.	Ö. L.	Strom nach	Wind.
12. Januar	4° 57'	95° 16'	—	Vorwiegend aus E, Stärke
13. "	6 34	95 29	West 8 Seemeilen	4—5; außerdem mallend
14. "	5 54	96 4	N 61° W 42'	zwischen SE über E bis
16. "	5 38	97 13	N 66° W 60 in 48 Stunden	NE.
17. "	5 32	98 22	S 83° W 8	

Von Atjeh nach Singapore 1892:

Datum.	N. Br.	Ö. L.	Strom nach	Wind.
7. April	5° 28'	97° 10'	S 3° O 23 Sm.	Vorwiegend aus NW, Stärke
8. "	4 50	98 50	S 45° O 25	2—3; veränderlich, außer-
9. "	4 31	99 48	S 71° O 18	dem zwischen WSW bis
10. "	3 47	100 28	Ost 7	NE.
11. "	3 3	100 41	S 80° W 6	
12. "	2 14	101 56	S 40° O 25	
13. "	1 31	102 58	S 3° O 16	
14. "	Vor Anker bei Kap Buru (Singapore) wegen Gegenstrom (Gezeit) und Gegenwind.			

Die sehr starke Strömung nach WNW, welche im Januar am Nordausgang der Malakkastrafse vorhanden war, ist wohl weniger dem hier nur wenig frischen Monsun zuzuschreiben, als vielmehr durch das Kompensationsbedürfnis veranlaßt, welches von dem im ganzen nördlichen Indischen Ozean um diese Jahreszeit nach Westen setzenden Wasser der sogenannten Nordäquatorialströmung geschaffen wird. Wenn man sich nun überlegt, daß das aus der Malakkastrafse hier in großer Geschwindigkeit seewärts fortgeführte Wasser notwendig wieder ersetzt werden muß, so kommt man zu der Anschauung, daß — abgesehen von einem untermeerischen Ersatzstrom, auf welchen Makaroffs Messungen schließen lassen (S. 37) — die Malakkastrafse auch im Wasseraustausch vielleicht mit der Javasee steht, zumal durch die Sundastrafse in diesen Monaten durch den Westmonsun das Wasser vorwiegend nach NO getrieben wird.

Dies sind Verhältnisse, die nur angedeutet werden können und erst im einzelnen zu beweisen sein werden. Aber jedenfalls läßt sich die Erwartung aussprechen, daß eine spätere genaue Durchforschung dieser Meeresgegenden in ozeanographischer Hinsicht das Ergebnis bringen wird, daß alle die einzelnen Teile durch wirkliche Strömungen, welche von den Gezeitenbewegungen verschieden sind, enger zusammenhängen, als man wohl im allgemeinen annimmt.

Im April waren die Strömungen in der gesamten Erstreckung der Malakkastrafse ganz andere als die im Januar beobachteten; das Wasser setzte jetzt von See aus in die Strafe hinein. Sieht man vom 10. und 11. dieses Monats ab, so war auch die Geschwindigkeit der Strömung durchweg keine unbedeutende, sie half dem „Peter Rickmers“ jedenfalls sehr beim Vorwärtskommen.

¹⁾ Segelhandbuch für den Indischen Ozean: z. B. S. 560 ff. (Sundastrafse); S. 620—623 (Gasparrastrafse); S. 650—659 (Malakkastrafse) &c.

II. Von NW-Borneo durch die Gasparstraße zur Sundastraße 1892:

Datum.	N. Br.	Ö. L.	Strom nach	Wind aus	Bemerkungen.
10. Juni	2° 28'	109° 48'	S 86° O 14 Sm.	W (WNW-S)	Chinasee.
11. "	2 14	109 20	S 16° O 11	WSW 2 (S-N)	Apiastraße. Nahe bei Kap Datu.
12. "	2 11	108 47	a. Bemerkung	SW 4 (S-W)	Starker Nordstrom bei Haycock Rock und Marundum-Insel.
13. "	1 49	108 49	N 21° O 17	SW 2	
14. Juni	0 45	108 15	S 68° W 16	Variabel (S-W-E)	Bei Direktion-Insel starker westlicher Strom.
15. "	0 31	108 14	S 29° W 8	Still (N-E)	
16. "	0 8	108 4	N 77° W 18	W 1 und SE 2	
17. "	Süd-Breite	—	—	SE (SSW-E)	
18. "	0° 57'	108 3	W 9 in 48 St.	Variabel	In Sicht von der Insel Karimata.
19. "	1 56	108 22	S 52° W 6	Variabel und SE	Nachmittags unter der Nordküste von Billiton.
20. "	3 2	107 18	S 70° W 15	ESE 2-3	In der Gasparstraße Geseitenstrom, vormittags nach SO, von 6 ^h p. m. bis 3 ^h a. m. stark nach NW.
21. "	—	—	—	N 1, still und E	Javasee.
22. "	4 29	106 37	N 50° W 8	ESE 3-4	
23. "	6 3	105 47	S 77° W 23	ESE 4	

Betrachtet man eine Spezialkarte dieser Gewässer, so ist wohl klar, daß das die Strömung regelnde Prinzip in dieser Jahreszeit der SE-Monsun der Javasee ist. Derselbe treibt mit verhältnismäßig großer Kraft das Wasser vor sich her nach NW durch die Karimatastraße, und nach W in der Richtung auf die Küste von Banka und Südsumatra, wo es abgelenkt einen Ausweg nach SW suchen muß: in der Sundastraße herrscht dann ein beständiger, starker SW-Strom¹⁾. Die Gasparstraße ist durch das vorliegende Billiton gegen den Monsun ziemlich geschützt, und so können hier leicht Neerströme nach SW entstehen, indem aus der Karimatastraße kommendes Wasser längs der Nordküste Billitons in die Straße hineingezogen wird²⁾. Nördlich von Karimata und Billiton geht die allgemeine Trift nach NW, sie erhält aber auf nördlicher Breite bald durch den Wind eine östliche Komponente, wie man dies aus den mitgeteilten Versetzungen gut sehen kann.

So scheint die Gasparstraße vermöge ihrer Lage zu dem Monsun und der Trift der Javasee in den nördlichen Sommermonaten am geeignetsten zu sein, ein Schiff von Norden nach Süden gelangen zu lassen³⁾.

Endlich möge die Notiz gestattet sein, daß nach diesen Beobachtungen und auch anderweitigem Material die Gezeitenströme lokal nur sehr beschränkt auftreten; im ganzen hinterindischen Archipel werden sich bei genauer Untersuchung allgemeine Züge der Wasserzirkulation aufstellen lassen, welche von Ebbe- und Flutstrom wohl modifiziert, aber nicht veranlaßt sind, vielmehr ihre Entstehung hier wie überall zunächst Winden, dann Kompensationsbewegungen verdanken. Die Gezeit spielt selbst in diesen engen tropischen Binnengewässern kaum eine große Rolle, sofern man immer das Ganze berücksichtigt⁴⁾.

Die Wellenbewegungen des Meeres⁵⁾.

Die Meereswellen sind, ebenso wie die im vorigen Abschnitt behandelten Meeresströmungen, „Bewegungsformen“ des Meeres; der wesentliche Unterschied zwischen beiden

¹⁾ Segelhandbuch für den Indischen Ozean, S. 560.

²⁾ Vgl. die Versetzung vom 19. zum 20. Juni.

³⁾ Segelhandbuch für den Indischen Ozean, S. 722, 723 u. 726.

⁴⁾ Vgl. auch das oben auf S. 35-37 über die Verteilung des Salzgehalts Geogte (nebst Tafel 3).

⁵⁾ Dieser Abschnitt ist mit mehreren Änderungen auch abgedruckt in der „Festschrift zu F. v. Richthofens 60. Geburtstag“ (Berlin, Dietrich Reimer, 1893).

Erscheinungen liegt aber darin, daß bei den Strömungen stets ein wirklicher Transport bestimmter Wassermengen von einer Stelle der Erde zur andern stattfindet, während dies bei den Meereswellen nicht oder doch nur in ganz minimalem Betrage der Fall ist. Das Charakteristische aller Wellenbewegungen liegt darin, daß hier im wesentlichen sich nur die Form der Welle als solche fortpflanzt, das einzelne materielle Wasserteilchen aber, abgesehen von einer hin- und herpendelnden Orbitalbewegung, seinen Platz im Raume beibehält.

Während den Meeresströmungen ihre außerordentliche, vielfach fundamentale geographische Wichtigkeit sofort sozusagen an der Stirn abzulesen ist, so daß dieser Gegenstand von jeher vielseitige Untersuchungen erfahren hat, dürfte die Bedeutsamkeit der Wellen in manchem Betracht zu wenig gewürdigt und zu niedrig angeschlagen worden sein. Und doch sind ihre mechanischen Wirkungen an Küsten bei gleichzeitiger positiver Niveauänderung für die gesamte Erdgeschichte von größter Wichtigkeit, wie wir dies zuerst durch von Richthofens Darlegungen im einzelnen erfahren haben. Eine gewaltige von Anbeginn der Welt wirkende Kraft liegt hier vor, und die Vorgänge der Abrasion haben vielleicht die größten Umwälzungen auf dem Antlitz der Erde hervorgebracht, soweit dabei von außen wirkende Agentien in Frage kommen.

Die bloße Andeutung dieser Verhältnisse wird genügen, um erkennen zu lassen, welches Interesse die Wellenbewegungen auch für den Geographen haben müssen.

Aber es ist nicht die Erdforschung allein, welche diesem Gegenstand näher tritt. Die Praxis hat schon seit langer Zeit sich ihm gewidmet: die Kunst des Schiff- und Hafenbaues, überhaupt die gesamte Wasserbaukunst hat ein dringliches Interesse an der Aufklärung der Wellenvorgänge, und es sind auch in der That hauptsächlich Ingenieure, denen wir die mathematisch eindringenden Untersuchungen über Wellen verdanken. Ich denke dabei an die Trochoidentheorie¹⁾, welche am ehesten das in einen wissenschaftlichen Ausdruck bringt, was wir auf See beobachten.

Die Beobachtungsmethoden und die Berechnung der Wellendimensionen.

Meine im folgenden besprochenen Beobachtungen über die Dimensionen²⁾ der Meereswellen sind sämtlich an Bord der zwei von mir benutzten Segelschiffe angestellt, und es ist außerdem zu bemerken, daß hier nur solche Wellen behandelt werden, welche auf hoher, offener See über tiefem Wasser beobachtet wurden, während alle Messungen von Wellen in der Nähe von Land, über Bänken u. s. w. wegen der theoretisch und praktisch veränderten Bedingungen ihrer Ausbildung ausgeschlossen sind. Wohl sind es gerade letztere, die geologisch in der oben angedeuteten Richtung wirksam werden, aber die ursprüngliche, normale Wellengestalt ist diejenige, welche lediglich unter dem Einfluß des sie erzeugenden Windes entsteht, und alle andern Wellen sind in den meisten Hinsichten nur Deformationen der hier behandelten originalen Wellen.

Im allgemeinen ist gegenüber vielfachen theoretischen Untersuchungen das bis jetzt vorliegende Beobachtungsmaterial nicht gerade reichlich, und daher dürften die hier gegebenen Messungen als ein Beitrag zu weiterer Ausgestaltung dieser Fragen vielleicht willkommen sein.

Die Beobachtungen als solche sind sehr einfach, aber mißlich sind sie doch deshalb, weil immer sehr viel dabei dem persönlichen Takt und Gefühl des Beobachters überlassen

¹⁾ Wenn ein Rad auf einer horizontalen Ebene entlang rollt, so beschreibt ein beliebiger, auf einer Radspitze belegener Punkt eine „Trochode“, welche Kurve am besten der auf- und absteigenden Kurve eines Wellenprofils entspricht. Der Kürze halber sei hier auf Krümmels diesbezügliche Bemerkungen im Handbuch der Ozeanographie II, S. 4–6 verwiesen, wo man neben einer kurzen mathematischen Deduktion der Kurve auch Literatur zur Trochoidentheorie angegeben findet.

²⁾ „Dimension“ ist in den nachstehenden Ausführungen in sehr weitem Sinne gefaßt, angewandt auf alle räumlichen wie zeitlichen Maße, auch auf Geschwindigkeiten.

bleiben muß. Zunächst ist es recht schwierig, überhaupt Wellensysteme von einiger Regelmäßigkeit zu finden. Man hat im ganzen sehr selten auf See einen vollkommen einheitlichen Seegang, und im Anfang meiner Seereisen habe ich es nicht gewagt, Messungen zu machen, weil ich mich in dem ganzen Anblick, den die Meeresoberfläche bot, um es trivial auszudrücken, nicht eigentlich „zurechtfinden“ konnte. Ich vermute, daß es anderen Beobachtern ähnlich ergangen ist; ein solch vorzüglicher Forscher wie Abercromby¹⁾ kommt auf Grund seiner Seefahrten, die ihn durch alle Ozeane der Erde geführt haben, zu dem recht pessimistischen Urteil: „on all the days the waves were running irregularly“ und: „the great discrepancies in the observed elements of waves given by different observers is doubtless due to the varying lengths of every series of undulations, which therefore always make a more or less confused sea“.

Ich vermag nun zwar diesen Standpunkt nicht ganz zu teilen, immerhin kann aus dem Gesagten schon entnommen werden, daß man erst dann mit einiger Sicherheit zuverlässige Resultate erlangen kann, wenn der Beobachter es versteht, ein Wellensystem von anderen getrennt zu halten, außerdem auch natürlich See und Dünung zu unterscheiden, u. a. m. Solche Erfahrung wird aber immer erst ein längerer Aufenthalt auf See zu geben vermögen. Ich sagte eben, daß die Gelegenheit, gut ausgeprägte Wellensysteme zu messen, sehr selten ist; es mögen mir ja manche Tage, an denen Beobachtungen dieser Art hätten gemacht werden können, entgangen sein, da ich mit andern Untersuchungen beschäftigt zeitweise wenig an Deck war, aber im allgemeinen habe ich stets auf diesen Gegenstand geachtet, und da bilden doch einige 16—20 Tage, an welchen Messungen gemacht werden konnten (s. die Tabellen am Schluß dieses Abschnitts), einen sehr geringen Prozentsatz von den etwa 300 auf See zugebrachten Tagen. Um so mehr habe ich mich gewundert, daß der französische Schiffsleutnant Pâris auf einer Fahrt nach Ostasien jeden Tag die Wellen gemessen hat, wie er angibt²⁾. Sicherlich sind seine Beobachtungen und Darlegungen sehr verdienstvoll, zumal dadurch in neuerer Zeit zum erstenmal die Probleme dieses Phänomens einer exakten Behandlung unterworfen wurden; aber ich kann meine subjektive, sichere Meinung nicht unterdrücken, daß die Phantasie im Laufe der Reise diesen Offizier augenscheinlich ganz wesentlich unterstützt hat. Ich decke mich in diesem Urteil vollkommen mit demjenigen Prof. Krümmels, welcher auch auf Grund seiner praktischen Erfahrungen mit Recht diesen Punkt hervorhebt³⁾, und es ist dies wichtig genug, da Pâris' Beobachtungen bisher fast allein benutzt worden sind, und zwar oft zu den weitgehendsten theoretischen Folgerungen. —

Die hier besprochenen Messungen sind so zu verstehen, daß an dem Tage der Beobachtung stets eine große Reihe von Einzelwellen nach einander hinsichtlich ihrer Dimensionen bestimmt wurden und daraus dann, wenn die Zahlen nicht zu große Unterschiede zeigten, je ein Mittelwert für Länge, Geschwindigkeit und Periode berechnet wurde. Auf diese Weise entstanden die hier vorliegenden Werte. Es sind also keine Mittelwerte von Beobachtungen aus einer kürzern oder längern Periode von Tagen gebildet, wie dies Pâris vielfach gethan hat, sondern die Werte beziehen sich, im Gegensatz zu der erwähnten Methode, immer nur auf einen Zeitraum von etwa einer halben bis ganzen Stunde, während welcher Zeit die Windstärke unverändert und der Seegang als voll ausgebildet gelten konnte.

Ich halte es nicht ganz für sachgemäß, für bestimmte Meeresgegenden sogenannte mittlere Wellenmaße, welche aus Beobachtungen an verschiedenen Tagen, ja in verschiedenen Monaten hervorgegangen sind, aufzustellen und mit der mittlern Windstärke zu vergleichen, welche man aus andern Quellen zu entnehmen hat. Denn die

¹⁾ Philos. Magaz., Bd. XXV, London 1888, S. 267 u. 269.

²⁾ Revue maritime et coloniale, Bd. XXXI, Paris 1871, S. 111 ff.

³⁾ Geophysikalische Beobachtungen, Bd. I. C. des Plankton-Werkes, Kiel und Leipzig 1893, S. 110.

Wellenbeobachtungen sind auf ein- oder zweimaligen Durchquerungen einer bestimmten Meeresgegend gewonnen, während deren z. B. der Passat vielleicht ziemlich flau oder ausnahmsweise frisch wehte, so daß dementsprechend auch der Seegang von einem mittlern Seegang abwich; die Windstärken aber werden aus Tabellen, den Aufzeichnungen vieler Jahre, entnommen und repräsentieren in ganz andrer Weise die mittlern Verhältnisse. So scheint es mir, daß z. B. Páris im Nordatlantischen Ozean ausnahmsweise frischen Passat gefunden hat, denn seine Werte für die Wellengeschwindigkeiten in diesem Gebiete sind sehr hoch. Meiner Ansicht nach kann bei der außerordentlichen Veränderlichkeit der Wellendimensionen nur immer die einzelne Welle, bzw. eine Gruppe direkt hintereinander folgender Wellen nur mit dem gerade zur Beobachtungszeit herrschenden Winde in Beziehung gesetzt werden.

Es empfiehlt sich, vor Betrachtung der erlangten Resultate kurz anzugeben, in welcher Weise die Messungen der einzelnen Wellen vorgenommen wurden.

Zunächst handelt es sich dabei um die Feststellung der wahren Periode, wahren Geschwindigkeit und Länge der Wellen. Denn diese drei Dimensionen sind in besonderer Weise, wie sich zeigen wird, unter einander verknüpft und von einander auch theoretisch abhängig, während dies mit der Wellenhöhe weniger oder gar nicht der Fall ist.

Bezeichnen wir mit

- L die Wellenlänge (Abstand von Kamm zu Kamm) in Metern,
- C die wahre Fortpflanzungsgeschwindigkeit in Metern pro Sekunde,
- V die Orbitalgeschwindigkeit in Metern pro Sekunde¹⁾,
- W die Windgeschwindigkeit in Metern pro Sekunde,
- T die wahre Periode in Sekunden,
- c die scheinbare Geschwindigkeit in Metern pro Sekunde,
- r die scheinbare Periode in Sekunden,
- m die Schiffsgeschwindigkeit in Metern pro Sekunde,
- Winkel ϑ den Winkel zwischen Kiellinie und Wellenrichtung.

Zuerst wurde dann Winkel ϑ durch Peilungen auf dem Regelkompass beobachtet, m durch Ablesung des Patentloggs oder auf andere Art, r durch eine gute Uhr mit Sekundenzeiger. Außerdem ward c bestimmt, indem ich beobachtete, wie viel Sekunden eine Welle gebrauchte, um eine am Schiff in Metern abgemessene Länge (ich benutzte meist die ganze Schiffslänge) abzulaufen: der Quotient der beiden Zahlen ist c .

Je nachdem nun das Schiff mit den Wellen oder gegen die Wellen geht, haben wir die wahre Wellengeschwindigkeit $C = c + m$ oder $= c - m$, und, wenn ein Winkel ϑ besteht (der aber nicht größer als 45° sein darf, wenn das Resultat verläßlich sein soll), diese Werte mit dem cosinus des Winkels zu multiplizieren, also allgemein

$$C = (c \pm m) \cos \vartheta \dots (I).$$

Eine einfache Überlegung unter Betrachtung der beistehenden Fig. 7 läßt ferner die Richtigkeit der folgenden Beziehung erkennen: $Cr = L \pm mr \cos \vartheta$ d. h. in der scheinbaren Periode r wird mit der bereits aus (I) gefundenen wahren Geschwindigkeit C eine Strecke von dem Wellenkamm zurückgelegt, die gleich ist der Summe oder Differenz (je nach dem Sinne der Schiffsbewegung) von Wellenlänge und dem in der scheinbaren Periode gemachten Schiffswege, resp. seiner Projektion auf die Wellenrichtung. Wir bekommen demnach

$$L = r(C \mp m \cos \vartheta) \dots (II),$$

wobei auf das Zeichen in der Klammer zu achten ist, indem das Minuszeichen für eine mit den Wellen gehende Schiffsbewegung gilt.

¹⁾ Unter der „Orbitalgeschwindigkeit“ ist die gleich eingangs erwähnte, hin- und herpendelnde Bewegung des einzelnen Wasserteilchens zu verstehen, insofern letzteres, ohne seinen Ort wesentlich zu verändern, bald im Wellenkamm, bald im Wellenthal sich befindet. Im Wellenkamm folgt das Teilchen dabei der Richtung der fortschreitenden Welle, während es im Wellenthal wieder zurücktreibt. Den Vorgang kann man sich an dem physikalischen Instrument der Wellenmaschine leicht klar machen; man vgl. auch Handbuch der Ozeanographie II, S. 2—4.

Endlich ergibt sich nunmehr sofort die wahre Periode

$$T = \frac{L}{C} \dots (III).$$

In dieser Weise sind die sämtlichen hier besprochenen Wellen beobachtet, resp. berechnet worden.

Es war ein wesentlicher Zweck, zu untersuchen, ob die Trochoidentheorie der Wellenbewegung für die thatsächlich zur Beobachtung kommenden Wellendimensionen vollkommen brauchbare Werte liefert, ob die aufgestellten Formeln¹⁾ soweit den Anforderungen der Praxis genügen, daß man unter Umständen aus nur einer beobachteten Dimension die

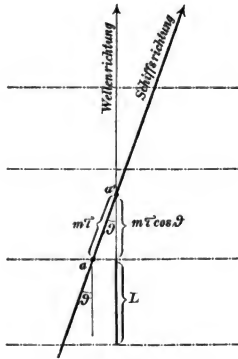


Fig. 7.

Das Schiff geht mit den Wellen und bewegt sich in T-Sekunden von a nach a'.

übrigen rechnerisch ableiten kann. Es sind zwei Formeln, welche hier — ohne ihre analytische Ableitung — angeführt sein mögen:

$$\left. \begin{aligned} 1) T &= \sqrt{\frac{2\pi}{g} L} \\ 2) T &= \frac{2\pi}{g} C \end{aligned} \right\} \dots (IV).$$

g bedeutet dabei die beschleunigende Kraft der Schwere und ist für die geographische Breite von $45^\circ = 9,806$ anzusetzen. Bekanntlich schwankt der Wert von g einigermaßen mit der Breite, aber für unsere Zwecke kann natürlich bei den zu gewärtigenden bedeutenden Beobachtungsfehlern davon abgesehen werden²⁾. Dann haben wir aber nur Konstanten in den Formeln, welche, in Zahlenwerten ausgerechnet, die folgenden Verhältnisse zwischen C , L , T liefern:

¹⁾ Die Quellen zu der ganzen Frage sind angegeben im Handbuch der Ozeanographie, Bd. II, S. 5.

²⁾ Krümmel a. a. O. hat in seinen Darlegungen über diesen Gegenstand überall den in der ersten Sekunde von einem frei fallenden Körper durchlaufenen Raum „ g “ genannt (= $\frac{1}{2}g$ dessen, was gewöhnlich mit g bezeichnet wird), woraus die natürlich nur äußerlichen Unterschiede der hier gegebenen Formeln von denjenigen im Handbuch der Ozeanographie sich erklären.

$$\left. \begin{aligned} C &= 1,26 \sqrt{L} = 1,56 T \\ L &= 0,64 \quad C^2 = 1,56 T^2 \\ T &= 0,8 \sqrt{L} = 0,64 C \end{aligned} \right\} \dots\dots (V).$$

Mittelst dieser auf die Trochoidentheorie gegründeten Beziehungen wurden die in den Tabellen kursiv gedruckten Werte gefunden. Nehmen wir nun, um die rechnerischen Erörterungen hier gleich ganz zu erledigen, vorläufig an, daß in der That diese Formeln den in der Praxis vorkommenden Dimensionen genügend sich anpassen, so können wir uns eine Vorstellung über die Maßverhältnisse der Wellen auch dann machen, wenn selbst bloß r beobachtet ist. Ofters nämlich, besonders bei schwerem Wetter, gelingt es nur, die scheinbare Periode des Seeganges zu bestimmen, nicht aber c . Unter Zugrundelegung einer trochoidischen Gestalt der Wellen haben wir dann, wenn wir in (II) L und C durch T ausdrücken,

$$\frac{g}{2\pi} T^2 = r \left(\frac{g}{2\pi} T \mp m \cos \vartheta \right)$$

oder

$$T^2 - T_r = \mp \frac{2\pi}{g} m \cdot r \cdot \cos \vartheta,$$

woraus man die wahre Periode erhält:

$$T = \frac{r}{2} \pm \sqrt{\left(\frac{r}{2}\right)^2 \mp \frac{2\pi}{g} m \cdot r \cdot \cos \vartheta} \dots (VI)$$

(— unter der Wurzel für den Fall, daß Schiff und Seegang in derselben Richtung sich bewegen). L hat man dann aus (V) $= 1,56 T^2$ und endlich C entweder $= \frac{L}{T}$ oder $= 1,56 T$. Auf diesem Wege sind in vier Fällen (s. Tabelle I, Nr. 7. 9. 10 und Tabelle II, Nr. 5) die Werte der Wellenmaße lediglich auf Grund der Beobachtung von r bestimmt worden.

Wenn man in dieser dargelegten Weise Beobachtung und Berechnung vornimmt, so wird meines Erachtens sich die Sache am einfachsten gestalten. Es sind, z. T. nur in kleinen Punkten oder in der Anordnung abweichend, Systeme der Beobachtung aufgestellt worden von Stokes¹⁾ für die verschiedenen Fälle (from a ship at sea, for a ship at anchor, for an observer on shore), von Abercromby²⁾, welcher drei Beobachter gleichzeitig beschäftigt wissen will, und von Krümmel³⁾. Für mich lag immer das Hauptgewicht auf genauer Beobachtung der Zeit nach Sekunden, sowohl für r als für c , auch ist dann in den meisten Fällen ein Beobachter ausreichend. Direkte Messungen der Länge der Wellen an der Schiffswand ergaben wenig zuverlässige Werte und erwiesen sich überhaupt bei schnell laufenden Wellen als schwer durchführbar.

Während wir uns in vorstehendem auf dem guten Grund direkter, zuverlässiger Beobachtungen befanden, liegen die Verhältnisse inbetreff der vierten Wellendimension, welche noch dazu in mancher Beziehung gerade ein sehr großes Interesse beansprucht, weitaus ungünstiger. Die Wellenhöhe „H“ läßt sich auf keine einwurfsfreie Weise direkt messen; man muß zu Schätzungen greifen. Dieselben dürften allerdings, besonders bei mächtigem Seegang, der Wahrheit im ganzen recht nahe kommen, wenn sie von erfahrenen Seelenten gemacht werden⁴⁾.

Bei unsern heutigen hochbordigen und langen Seeschiffen wird es weniger auf eine Bestimmung der Augeshöhe über dem Meeresspiegel durch Visieren nach der Kimm ankommen, auch wird eine optische Täuschung durch das geneigte Schiffsdeck weniger zu

²⁾ Remarks to accompany the monthly charts of Meteorolog. Data for the Nine 10° Squares of the Atlantic, London 1876. Official No. 27. Appendix B 566.

³⁾ A. a. O., S. 268.

⁴⁾ A. a. O., S. 38 ff.

⁵⁾ Über diese Beobachtungen lese man Krümmel A. a. O., S. 39 u. 47 ff.

fürchten sein, es wird sich vielmehr in den meisten Fällen um eine direkte Schätzung der seitwärts passierenden Wellen nach dem Augenschein handeln.

Die so erlangten Höhenzahlen sind in die Tabellen aufgenommen worden. Daneben finden sich von mir „mittels Aneroid“ angestellte Messungen. Die Idee, an einem sehr empfindlichen und mit mikroskopischer Ablesung versehenen Aneroid die durch das Stampfen des Schiffes verursachten Luftdruckschwankungen zu beobachten und daraus auf die Höhen der unter dem Schiff weglaufenden Seen zu schließen, stammt von Dr. G. Neumayer. Soviel ich sehe, haben hieher aber nur Abercromby¹⁾ und Krümmel²⁾ etwas Näheres über solche Messungen veröffentlicht, und letztere zeigen jedenfalls soviel, daß die Methode in Ermangelung besserer wohl zu brauchen ist. Freilich tritt auch hierbei ein Umstand auf, welcher lediglich durch Schätzung individuellster Art erledigt werden kann: es ist klar, daß ein Schiff im Wellenthal und im Wellenkamm verschieden tief zu Wasser liegt, tiefer im Kamm als im Thal, und daß diese Differenz in der Eintauchungstiefe außerdem für verschiedene Schiffe verschieden ist, indem es einen Unterschied macht, ob das Schiff schwer beladen ist oder in Ballast geht, und ob es sehr lang oder kurz ist.

Das Aneroid gibt daher im allgemeinen, wie man leicht sieht, für die Wellenhöhe zu niedrige Werte; Abercromby hat bei seinen Beobachtungen eine konstante Differenz zwischen der Augeshöhe im Wellenthal und derjenigen im Wellenkamm angenommen, und zwar zählt er 6 engl. Fufs der vom Aneroid angezeigten Höhe hinzu. Ich habe auf verschiedenen Schiffen verschiedene Korrekturen angebracht, welche aber 1,8 m nur im Maximum erreichten und soweit wie irgend möglich durch ein Zusehen ausenbords abtaxiert wurden.

Auf großen Schiffen versagt die ganze Methode bei mäßigem oder schwachem Seegang und ist nur für grobe, resp. schwere Seen brauchbar, auf kleinen Schiffen wird das Instrument, nach den Erfahrungen Krümmels zu schließen, sehr leicht nur die heftigen Bewegungen des Fahrzeuges, aber keine Wellenhöhen zu registrieren. Nützlich ist diese Methode besonders bei Dünungen, deren Höhe meist unterschätzt wird, da ihnen das Scharfe und Wilde der Sturmsee fehlt. Man sieht aus Tab. II, daß die Dünungen nach der Aneroidbeobachtung fast durchgängig höher waren als nach der gleichzeitigen Schätzung, während bei den Windseen das Umgekehrte der Fall ist.

Messungen dieser Art wurden nur bei ganz regelmäßigem Seegang und regelmäßiger Schiffsbewegung angestellt, und zwar natürlich in der Kajüte. Das Aneroid, welches mir von der Direktion der Deutschen Seewarte gütigst zur Verfügung gestellt worden war (Riedel-Hamburg, Nr. 40644), gestattet eine etwas unsichere Abschätzung der zweiten Dezimale des Millimeters. Daher erschien es mit Rücksicht auf die übrigen Fehlerquellen angebracht, nur die Zehntel abzulesen. Die Umsetzungen der Luftdruckschwankungen in Höhendifferenzen geschah nach Jelineks³⁾ Angaben so, daß ich für 0,1 mm Druckänderung zu Grund legte

bei einem Luftdruck von	einen Höhenunterschied von Metern
780	1,03
770	1,04
760	1,05
750	1,07
740	1,08
730	1,09

Zur Veranschaulichung der Art und Weise, wie in der Praxis das Verfahren sich gestaltete, gebe ich noch zwei Beispiele. Das erste ist vom 27. November 1891; das Ballastschiff, die Viermastbark „Robert Rickmers“, lag bei einem schweren Sturm aus SE im Südatlantischen Ozean am Wind, hart stampfend und rollend. Die Aneroidbeobachtungen ergaben:

¹⁾ Philosoph. Magaz. Bd. XXV, S. 267.

²⁾ Geophysikalische Beobachtungen (Plankton-Werk, Bd. I, C), S. 110–115.

³⁾ Anleitung zur Ausführung meteorologischer Beobachtungen, Wien 1884, S. 143.

Auf dem Wellenkamm.	Im Wellenthal.	Differenz in mm.
753,3	753,9	0,6
753,2	753,9	0,7
753,2	753,9	0,6
753,5	753,9	0,4
753,4	753,9	0,5
753,3	754,1	0,8
753,1	754,3	1,2
753,4	754,0	0,6
753,5	754,1	0,6
753,5	754,1	0,6
753,6	754,1	0,5
753,3	754,3	0,9
		Mittel 0,67 mm.

Bei einem reduzierten Luftdruck von etwa 755 mm (nach dem Quecksilberbarometer) erhält man hieraus die Wellenhöhe zunächst zu $1,06 \times 6,7 \text{ m} = 7,02 \text{ m}$. Der hinzuzuzählende Unterschied in der Augeshöhe ward auf $1\frac{1}{2} \text{ m}$ angenommen, so daß wir $H = 8,3 \text{ m}$ erhalten, eine sicherlich nicht zu hohe Zahl; denn vom Hinterdeck aus wurde die Kimm öfters durch die Wellenberge dem Beobachter verdeckt.

Das andre Beispiel ist unter ganz andern Umständen gewonnen. Das Schiff lag in Windstille in dem südlichen Rofsbreitengürtel des Indischen Ozeans (28. Dezember 1891) und hatte von einer ziemlich heftigen Dünung aus SW zu leiden.

Auf dem Wellenkamm.	Im Wellenthal.	Differenz in mm.
756,2	756,5	0,3
756,1	756,4	0,3
756,0	756,2	0,2
756,1	756,4	0,3
756,0	756,4	0,4
756,0	756,3	0,3
755,9	756,5	0,6
756,0	756,4	0,4
756,0	756,4	0,4
755,9	756,4	0,5
756,0	756,3	0,3
		Mittel 0,37 mm.

Bei einem reduzierten Luftdruck von rund 761 mm gibt diese Aneroiddifferenz eine Wellenhöhe von etwa 3,9 m. Diese Zahl wurde in Hinsicht auf die viel niedriger ausfallende Schätzung und die übrigen Umstände nicht erhöht.

Die eben mitgetheilten Aneroidablesungen bilden eine kontinuierliche Reihe; jedenfalls sind sie hintereinander beobachtet worden, ohne daß Zwischenwerte ausgelassen wurden. Ob freilich nicht dazwischen Wellen ausgefallen sind, vermag ich nicht zu sagen, da die Beobachtungen in der Kajüte vorgenommen werden mußten. Die Zahlen bedeuten ja zunächst weiter nichts als eine Registrierung der Schiffsbewegungen; ich für meinen Teil glaube aber kaum, daß vorbeipassierende Wellen vom Aneroid nicht angegeben worden sind, da diese großen Schiffe, wie ich mich oft durch den Augenschein überzeugt habe, sehr regelmäßige, dem Seegang entsprechende Bewegungen machten.

Berechnet man die wahrscheinlichen Fehler der oben stehenden Zahlenreihen, so erhält man

		Druck in mm	Höhe in m
für die erste Reihe vom	den wahrscheinlichen Fehler der Einzelmessung . .	$\pm 0,14$	$\pm 1,5$
27. November 1891	„ „ des Mittelwertes . .	0,04	0,4
für die zweite Reihe vom	den wahrscheinlichen Fehler der Einzelmessung . .	$\pm 0,07$	$\pm 0,7$
28. Dezember 1891	„ „ des Mittelwertes . .	0,02	0,3

Dies sind, bei den in Betracht kommenden Höhenzahlen, recht bedeutende Fehlergrenzen, besonders in der ersten Reihe. Aber man bedenke, daß diese mathematisch gewiss evidenten Fehlergrößen insofern hier geringen praktischen Wert haben, als ja noch im allgemeinen eine konstante, aber nur abzuschätzende Zahl, welche auf der verschiedenen Eintauchungstiefe des Schiffes im Wellenthal und im Wellenkamm beruht, hinzuzuzählen ist. Man wird aus allem Gesagten nur entnehmen, daß solche Beobachtungen unter außer-

ordentlichen Schwierigkeiten zu leiden haben, und ich möchte in dieser Beziehung noch besonders auf Prof. Krümmels neueste Mitteilungen darüber hinweisen¹⁾. Man ersieht daraus, wie ungemein viel von dem Schiffe, seiner Größe und Bauart, und von den obwaltenden natürlichen Verhältnissen abhängt.

Gehen wir nun zu einer Besprechung der erlangten Wellendimensionen über.

a) Windseen.

Es empfiehlt sich, zuerst die Windseen in Betracht zu ziehen, das sind Seen, welche unter dem unmittelbaren, noch andauernden Einfluß des Windes stehen und voll ausgebildet sind. Wir vergleichen erst C, L, T unter einander (s. Tab. I, S. 82).

Bei einer mäßig guten bis frischen Passatbrise (B.-Sk. 5) und einem entsprechenden Seegang (Stärke 4 der neunteiligen Skala) finden wir als Mittel aus den Beobachtungen 1—3, daß die Periode typischer Passatwellen 4,8 Sekunden beträgt, die Wellenlänge 35 m und die sekundliche Geschwindigkeit 7,5 m, was einer stündlichen Fortpflanzungsgeschwindigkeit von 27 km resp. 14,6 Seemeilen gleichkommt. Dies ist genau die Geschwindigkeit, die unsere modernen großen Segelschiffe unter günstigsten Umständen erreichen, und die auch die weitaus größte Zahl der Dampfer nicht überschreitet.

Sobald der Wind zunimmt, steigern sich entsprechend die Wellendimensionen, und wir können aus den ziemlich gleichmäßig ansteigenden Werten der Tabelle entnehmen, daß die von einer steifen, leicht stürmischen Brise (B.-Sk. 7) aufgeworfene See alle $7\frac{1}{4}$ Sekunden sich wiederholt, ihre Länge etwa 80 m, ihre Geschwindigkeit 11—12 m pro Sekunde beträgt.

Wellen von 9 Sekunden Periode, 120—130 m Länge und einer stündlichen Geschwindigkeit von über 52 km (28 Seemeilen) treten nur bei Sturm auf, und man wird nicht weit fehlen, wenn man diese Dimensionen als Durchschnittswerte für den Seegang bei einer Windstärke 9 ansetzt.

In den Maximalmaßen kommen aber bedeutend höhere Zahlen vor. Wie Nr. 10 der Tabelle I zeigt, war die schwerste von mir beobachtete Windsee über 210 m lang. Es war dies bei Gelegenheit eines sehr schweren Sturmes aus SE im Südatlantischen Ozean, der Seegang mußte schon als ein ungewöhnlich hoher und schwerer bezeichnet werden; das allerdings in Ballast befindliche Schiff arbeitete geradezu grauenhaft, obwohl es dicht am Winde lag.

Aber auch diese Dimension war noch keineswegs das Äußerste, was unter dem gewaltigen Drucke orkanartiger Stürme zu stande kommt. Das in Tabelle II unter Nr. 8 mitgeteilte Beispiel einer Dünung, welches auf guten Beobachtungen beruht, zeigt, daß einheitliche Wellensysteme von 15 Sekunden Periode, 350 m Länge und 24 m Geschwindigkeit pro Sekunde in außerordentlichen Fällen wohl vorkommen.

Viel höher dürften freilich, wenn man die zu Grunde liegende Windgeschwindigkeit, die in dem angeführten Beispiel schon volle Orkanstärke erreicht haben muß, in Anschlag bringt, die Dimensionen der Wellen auf dem offenen Ozean nicht gehen; Abercromby²⁾ giebt als größte von ihm beobachtete Werte:

$$\begin{aligned} T &= 16,5 \text{ Sekunden,} \\ L &= 255 \text{ m,} \\ C &= 24,5 \text{ m pro Sekunde,} \end{aligned}$$

was bis auf die auffallend geringe Länge mit dem von mir angegebenen Maximalmaße (s. Tab. II, Nr. 8) übereinstimmt. Eine sekundliche Geschwindigkeit von 24 m oder 86 km in der Stunde ist aber auch gewiß höchst bedeutend. Bedenken wir, daß ein Schnellzug auf freier Strecke im besten Falle kaum soviel andauernd leistet, so vermögen wir uns eine Vorstellung von der hastenden Eile solcher den stürmischen Ozean durchfurchenden Riesenwellen zu machen.

¹⁾ Geophysikalische Beobachtungen, S. 110—115.

²⁾ A. u. O., S. 268.

Wellenbeobachtungen, angestellt an Bord der Bremer Segelschiffe „Robert Rickmers“ und „Peter Rickmers“.
Tabelle I. Windseen.

Nummer	Datum	Geographische		Wind	Segel	Geschwindigkeit „C“ in Meter pro Sekunde		Länge „L“ in Meter		Periode „T“ in Sekunden		Periode „T“ berechnet aus $\sqrt{\left(\frac{r}{g}\right)^2 + \frac{2\pi}{g} \cdot m \cdot r \cdot \cos \phi}$		Höhe „H“ in Meter		Bemerkungen.
		Breite	Länge	Richtung aus	Stärke, B. Sk. 0–12	beobachtet	berechnet aus $\sqrt{\frac{g}{2\pi} \cdot L}$	berechnet aus $\frac{g}{2\pi \cdot T}$	beobachtet	berechnet aus $\frac{2\pi}{g} \cdot C$	berechnet aus $\frac{2\pi}{g} \cdot L$	—	—	nach Schätzung.	nach Aneroid.	
1.	9./7. 92	26°	S. 48°	O.	E	5	7.2	7.1	32.2	33.2	33.1	4.6	4.6	—	—	r = sehbare Periode. m = Schiffgeschwindigkeit. Winkel ϕ = Winkel zwischen Kiel und Wellenrichtung.
2.	17./8. 92	7	15	W	ESE	5	7.4	7.4	36.4	34.5	37.3	4.9	4.5	—	—	
3.	14./8. 92	11	10	W	SESE	5	7.5	7.5	37.5	39.0	39.0	5.0	4.9	5.0	—	
4.	9./7. 92	26	48	O	ENE	6	8.4	8.2	44.2	43.1	45.4	5.4	5.3	—	—	Mäßige Passate. Priescher Passat. Für das Passatgebiet typischer Segelzug.
5.	31./7. 92	39	9	W	SESE	5	10.3	10.3	58.5	49.5	67.9	6.6	6.1	5.6	—	
6.	31./7. 92	39	9	W	SE	5	9.4	9.5	61.6	66.5	56.3	6.5	6.2	6.5	—	
7.	27./11. 91	35	36	W	ESE	9	13.5	—	—	—	112.5	—	—	8.5	9.0	Sehr stürmischer, aber befängiger Passat. 10 u. > 9.6 Sturm. Kinnelose sehr hohe Wellenberge. Unerschütterlich hohe, schwere See. Schiff schlingert grauhaft.
8.	2./7. 92	17	72	O	ESE	8	14.7	14.5	130.4	138.5	130.5	8.5	9.1	9.4	—	
9.	22./12. 91	40	60	W	SWSE	9	14.2	—	—	—	129.3	—	—	9.1	10 u. > 9.6	
10.	26./11. 91	37	37	W	EEN	10	18.5	—	—	—	213.6	—	—	11.7	bis 12 m 9.4	

Tabelle II. Dünungen.

1.	10./7. 92	27	44	O	ENE	2–3	7.5	8.0	41.0	43.1	39.0	5.0	5.1	5.2	1.2	—	Vgl. Nr. 5 u. Windseen Nr. 9. m = 0. Dünung aus dem NE-Passatgebiet. Vgl. Windseen Nr. 9 u. Dünungen Nr. 3. Sehr schönes Passatwetter. Der stürmische Wind war zu einer frischen Brise abgeklaut In der Windstille höchst lästige Dünung. Schiff rollt sehr, die Segel schlagen. Typischer „Swall“ des Südatlantischen Ozeans (Kalema der afrikanischen Küste). Ansonderlich heftige Dünung. Schiff stampft furchtlich. Dünung in Pausen von 10–15 Minuten besonders heftig.
2.	17./9. 92	37	40	W	E	1	8.5	8.8	49.3	57.7	42.9	5.2	5.6	6.0	0.8	—	
3.	28./12. 91	33	81	O	SWSE	5	12.0	12.1	93.1	92.2	76.4	7.0	7.7	7.1	2.5	3.5	
4.	28./8. 92	9	25	W	NW	0	11.5	12.5	100.0	118.5	85.1	7.4	8.9	8.7	2.0	—	
5.	23./12. 91	38	66	O	WSW	5	13.7	—	—	—	120.6	—	—	—	5.0	6.4	
6.	3./7. 92	19	68	W	OSE	5	14.5	14.5	140.2	140.4	140.6	9.5	9.4	9.5	6.0	6.4	
7.	8./8. 92	19	0	L	—	0	15.5	16.5	174.0	193.7	155.0	10.0	10.5	11.1	4.0	5.5	
8.	12./7. 92	28	39	O	SESE	5	22.5	23.1	341.7	352.5	337.7	14.5	14.5	15.0	7.5	7.5	

Es wird daher vollkommen verständlich, daß noch auf St. Helena in 16° S. Br. die schweren NW.-„Roller“ eine besonders im Dezember bis März oft auf das heftigste auftretende Brandung erzeugen. Selbst wenn wir den 50. nördlichen Parallel als ihre Ausgangslinie im Gebiet des überaus stürmischen Nordatlantischen Ozeans annehmen, so brauchen die Wellen, wenn sie vor St. Helena ankommen, nicht länger als 4—5 Tage unterwegs gewesen zu sein ¹⁾.

Für den mechanischen Effekt der Wellen an den Küsten kommt natürlich die Fortpflanzungsgeschwindigkeit, da sie keinen Transport der Wasserteilchen darstellt, nicht oder nur wenig in Betracht, sondern vielmehr die kreisende Bewegung, welche innerhalb der einzelnen Welle von dem Wasser ausgeführt wird, die sogenannte Orbitalbewegung V. Letztere ist aber bedeutend geringer als C; im günstigsten Fall kann sie beim Branden nach der Theorie $= \frac{1}{4}C$ werden ²⁾, sie scheint aber meist nur $\frac{1}{4}C$ zu betragen (nach den unten S. 88 angegebenen Zahlen). Nehmen wir einmal, um eine ungefähre Anschauung zu gewinnen, die Größe der Orbitalbewegung zu $\frac{1}{4}C$ an, so erhalten wir immer noch für schwere Sturmsee eine Bewegung von 4 m pro Sekunde, und es ist begreiflich, daß Wassermassen, mit solcher Geschwindigkeit gegen eine Küste wirkend, außerordentliche Zerstörungen anzurichten vermögen. Vier Meter pro Sekunde ist aber sicher noch nicht der extreme Fall, der in der Natur erreicht wird, da diese kreisende Bewegung außerdem mit steigender Wellenhöhe und abnehmender Wassertiefe wächst — und letztere beiden Momente sind stets an den Küsten in Betracht zu ziehen.

Kehren wir zur Betrachtung der Hochseewellen zurück, so wird man sagen dürfen, daß Wellen von mehr als 18 Sekunden Periode, von über 500 m Länge und einer sekundlichen Geschwindigkeit von mehr als 28 m kaum vorkommen dürften, und daß die Richtigkeit aller darüber hinangehenden Angaben, so besonders einiger von Mottez, Ross u. a. gegebenen Zahlen starken Zweifeln unterliegen müssen, da höchstwahrscheinlich Interferenzen beobachtet wurden. Es kommt dies außerordentlich leicht vor, was ich aus eigener Erfahrung bestätigen kann ³⁾. In diesem Urteil bestärkt mich noch der Umstand, daß vielfach die Angaben gar nicht zu den Werten, welche die Trochoidenformeln liefern stimmen.

Dies führt uns darauf, zuzusehen, wie denn überhaupt die Formeln der Trochoidentheorie sich zu den Beobachtungen verhalten. Ein Blick auf die Tabelle läßt jedenfalls erkennen, daß die rechnerisch abgeleiteten Werte im ganzen gut, ja man darf sagen, sehr gut zu den beobachteten passen, so daß in der That die Wellenbewegung des offenen Ozeans, soweit Länge, Geschwindigkeit und Periode in Frage kommen, zweifelsohne nach den Gesetzen der trochoidischen Bewegung vor sich geht. Es sei dabei ausdrücklich erwähnt, daß hier nicht bloß die günstigen Fälle herangesucht worden sind. Ich habe wohl mehrere Beobachtungsreihen erhalten, deren Zahlen von den theoretisch berechneten bedeutend abwichen; aber diese Abweichungen waren dann gleich so bedeutende, ja kolossale, daß man erkennen mußte, daß Beobachtungsfehler in erheblicher Weise eingewirkt hatten.

Wichtig ist die schon von Krümmel bei der Diskussion der Wellenmessungen von Paris gemachte Bemerkung, daß die für C, L, T berechneten Werte ungefähr ebenso oft zu groß als zu klein ausfallen ⁴⁾. Ungefähr dasselbe läßt sich von den vorliegenden Beobachtungen sagen. Es sind die mit Benützung von C berechneten Werte von L und T ebenso oft zu groß als zu klein, und dasselbe gilt von der unter Zugrundelegung von

¹⁾ Siehe Krümmel, Handbuch der Ozeanographie II, S. 96.

²⁾ Handbuch der Ozeanographie II, S. 87.

³⁾ Vgl. auch Abercromby a. a. O., S. 268, der derselben Ansicht ist.

⁴⁾ Handbuch der Ozeanographie II, S. 44.

T vorgenommenen Berechnung von C und L. In praxi ist besonders wichtig, daß die unter Benutzung von T berechneten Werte sich gut an die Beobachtungen anschließen; denn man ist auf See oft in der Lage, nur die scheinbare Periode eines Seegangs genau feststellen zu können. In solchen Fällen wird man mit ziemlicher Zuversicht die Formeln der Trochoide benutzen können, um sehr angenähert die übrigen Dimensionen zu erhalten¹⁾. Ich sage: „die übrigen Dimensionen“, d. h. C und L, aber ausgenommen die Wellenhöhe H. Diese nimmt, wie wir gleich sehen werden, eine Sonderstellung unter den Wellenmaßen ein.

Was zuerst den absoluten Betrag von H anlangt, so bin ich auch hier wieder geneigt, im Maximum nur eine niedrige Zahl als oberste Grenze anzusetzen. Orkanartige Stürme, bei denen mit Fug und Recht eine Windstärke = B-Sk. 11 notiert wird, kommen so ziemlich auf jeder längeren Seereise vor, und die dabei von einer ganzen Reihe sorgfältiger Beobachter gemessenen Wellenhöhen bewegen sich ziemlich alle in den Zahlen 9—13 m. Die „Challenger“-Expedition maß keine höheren Wellen als 7 m, die „Gazelle“ 11,4—13,2, Páris fand im Maximum 11,5.

Die hier vorgelegten Messungen erreichen nach den Aneroidbeobachtungen noch nicht ganz 10 m (9,8 m). Wenn man nun bedenkt, daß die nächstfolgende und letzte Nummer der Windskala (Nr. 12, der volle Orkan) doch schließlich auch nur eine dem Steigen in den unteren Graden entsprechende Steigerung der Wellenhöhe verursachen kann, so gelangt man zu dem Schluss, daß Wellen von mehr als 18 m kaum vorkommen dürften und eine wirkliche Höhe von 15 m schon eine ganz außerordentliche ist. Es ist dies um so mehr anzunehmen, als ein voller Orkan meist nicht tagelang anhält und die Wellenhöhe auch nicht sogleich ihr höchstes Maß erreicht, außerdem im Bereich eines wirklichen Orkans infolge der relativ geringen Flächenausdehnung der Erscheinung bei gleichzeitig sehr verschiedener Windrichtung in den meisten Fällen starke Interferenzen der Wellenbewegung auftreten.

Die Angaben von kolossalen Wellenhöhen, welche in der Litteratur früher vielfach zu finden waren, beziehen sich auch meist nicht auf Gegenden, in denen ausgeprägte Wirbelstürme vorkommen, sondern auf die hohen südlichen Breiten am Kap der Guten Hoffnung und Kap Horn. Der Vergleich der geschätzten Höhen mit den aus Aneroidbeobachtung abgeleiteten zeigt, daß gerade bei Sturmsee die Schätzungen zu hoch ausfallen. Eine steife Brise (B-Sk. 7) wird nur Wellen von etwa 5 m Höhe werfen. Man gewinnt den Eindruck, als ob erst, wenn der Wind zum richtigen Sturm geworden ist, die Wellenhöhen einigermaßen bedeutende werden, dann allerdings mit zunehmendem Sturm stark, sprunghaft zunehmen.

Der Seegang im normalen Passat (B-Sk. 5) zeigt eine Wellenhöhe von 1,5—2 m. Schon bei mäßigem Wind werden leicht Höhen bis zu 1 m entstehen.

Betrachten wir nun die Wellenhöhen in ihrem Verhältnis zu C, L, T, so ist zunächst bemerkenswert, daß die Theorie uns keine Beziehung zwischen H und irgend einer anderen Dimension liefert. Man kann bloß sagen, daß als äußerste Form, welche die Wellenbewegung annehmen kann, die Cykloide zu nennen ist, und demnach das Verhältnis von H zu L eine oberste Grenze hat = $1:\pi$. Aber solche steile (hohle) Wellen kommen überhaupt nicht vor. Wir entnehmen aus unsern Messungen, daß bei den Windseeu das Verhältnis von Höhe zur Länge mit der Windstärke sehr beträchtlich schwankt.

Es ergibt sich — lediglich nach den hier diskutierten Beobachtungen — ein Verhältnis zwischen H und L:

¹⁾ S. oben S. 78.

Nr. 1		1 : 41		Böschungswinkel φ im Mittel
2	bei mäßigem Winde (B.-Sk. 5)	1 : 36	Mittel 1 : 33	$\left(-180^\circ \frac{H}{L} \right) = 6^\circ$.
3		1 : 20		
4		1 : 18		
5	bei starkem, steifem Winde (B.-Sk. 6—7)	1 : 19	1 : 18	Winkel $\varphi = 10^\circ$.
6		1 : 18		
7		1 : 13		
8		1 : 21		
9	bei Sturm (B.-Sk. 9 und mehr)	1 : 15	1 : 17	Winkel $\varphi = 11^\circ$.
10		1 : 21		

Soviel ist klar — trotz der großen Differenzen innerhalb der Gruppen —, daß die flachsten Wellen bei niedrigem Seegang vorkommen und Sturmwellen jedenfalls steilere Böschungen aufweisen als die Wellen einer mäßigen Brise. Auffallend ist, daß die Verhältniszahlen innerhalb der letzten Gruppe so bedeutend schwanken. Ich will die Vermutung nicht abweisen, daß die zwei Beobachtungen, welche sehr steile Wellen ergeben (1 : 13 und 1 : 15), vielleicht gemacht sind, als die betreffenden Wellen noch nicht voll ausgebildet waren, so daß den gemessenen Höhen eigentlich größere Werte von L zukämen. Man sieht, wie schwierig es ist, nicht bloß exakte Messungen zu machen, sondern auch überhaupt gute Fälle herauszugreifen. In den zwei in Rede stehenden Fällen (Nr. 7 und 9 der Tabelle I) wehte beide Male ein harter Sturm; das erste Mal seit ungefähr 18 Stunden, im letzten Fall war der Wind seit 38 Stunden stürmisch, so daß es scheint, als wenn eine See länger als 48 Stunden brauche, um in jeder Beziehung ihre normalen Dimensionen zu erreichen.

Es spielt eben bei der Wellenhöhe der Faktor der „Zeit“ eine große Rolle, worauf hier nicht näher einzugehen ist, da bloß die tatsächlichen Beobachtungen erörtert werden sollen. Überdies entzieht sich dieser Punkt, die Zeitdauer der Windwirkung, fast jeder direkten Beobachtung; Börgen¹⁾ hat ihn in den letzten Jahren in einem Aufsatz gewürdigt und bei seinen theoretischen Aufstellungen berücksichtigt.

Im allgemeinen fügen sich die für das Verhältnis von $H:L$ gefundenen Zahlen gut den von Páris²⁾ mitgeteilten ein: derselbe giebt $H:L$

bei sehr schwerer See	= 1 : 19
bei grober See	= 1 : 21
bei schönem, d. h. mäßigem bis leichtem Seegang	= 1 : 39.

Beachtenswert ist der auch bei den französischen Beobachtungen zu Tage tretende Sprung in den Verhältniszahlen, indem die Seen, sobald sie den Charakter der Sturmsee verlieren, schnell und bedeutend flacher werden.

Es erübrigt noch, die Beziehungen zwischen der Wellengeschwindigkeit C und der Windgeschwindigkeit W zu erörtern.

Aus verschiedenen Gründen ist es mir nicht möglich gewesen, selbständige anemometrische Messungen mittelst eines Robinsonschen Schalenkreuzes an Bord der Schiffe anzustellen; selbst wenn ein solches Instrument zur Verfügung gewesen wäre, hätten doch mehrere sehr missliche Korrekturen an die Angaben angebracht werden müssen (z. B. wegen der Fahrt des Schiffes, wegen der nicht immer vertikalen Lage der Rotationsachse &c.).

Im folgenden sind die Windstärken zu Grunde gelegt, welche im Schiffstagebuch alle zwei Stunden nach der Beaufort-Skala notiert werden, und es ist bekannt, daß, wenn überhaupt wo, dann besonders auf Segelschiffen die einzelnen Windstärken genau und sorgfältig abgeschätzt werden, da ja schon die Segelführung sich darnach richtet. Gerade die praktischen Seeleute haben hierin ein sehr feines Gefühl und wissen sehr wohl den verschiedenen Eindruck, welchen ein und dieselbe Windstärke bei verschiedenen

¹⁾ Annalen der Hydrographie, Berlin 1890, Heft I.

²⁾ A. a. O., S. 121 ff.

Segelstellungen auf den Beobachter macht (z. B. beim Segeln „vor dem Wind“ oder „an dem Wind“), zu beurteilen. Kurzum, die in den Tabellen angegebenen Grade der Windstärke dürften volles Vertrauen verdienen.

Es handelt sich nun darum, diese Skalenzahlen in Geschwindigkeiten nach Metern pro Sekunde umzuwandeln. Über diesen Punkt besteht nicht ganz Übereinstimmung. In Deutschland ist wohl am meisten die Köppensche Reduktionstafel¹⁾ in Anwendung gekommen, auch Krümmel hat sie bei seinen Untersuchungen im Handbuche der Ozeanographie zu Grunde gelegt. Dieselbe weist jedoch den einzelnen Nummern der Beaufort-Skala recht niedrige Werte zu, so daß Köppen selbst in neuerer Zeit eine Erhöhung der Zahlen vorgenommen hat²⁾.

Wenn man B.-Sk. 8 einer sekundlichen Windgeschwindigkeit von 16,5 m gleichsetzt, so erhält man für B.-Sk. 11 und 12 immer noch Werte, die sehr niedrig erscheinen müssen. Denn man bedenke, daß in jedem Winter an der Nordseeküste 25 m pro Sekunde und mehr öfters beobachtet werden, 36 m pro Sekunde in Hamburg schon wiederholt mit Zuverlässigkeit gemessen worden sind. Wenn während des letzten Orkans auf Maritimus (29. April 1899) das Maximum der Geschwindigkeit bis auf 54 m pro Sekunde stieg, und man damit die Berichte über Verwüstungen, welche die nordamerikanischen Tornados unter Umständen anrichten, verbindet, so gelangt man zu der Vorstellung, daß die B.-Sk. 12 (voller Orkan) Windgeschwindigkeiten vorbehalten bleiben muß, welche 40 m pro Sekunde und mehr betragen.

Ich stehe auf dem Standpunkte Börgens³⁾, welcher sagt, daß wohl niemand bei einer Windgeschwindigkeit von 25 m pro Sekunde an einen (wenn auch erst beginnenden) Orkan denken wird. Genug, für unsre Beobachtungen auf See, welche im ganzen dahin neigen werden, daß bei den Notierungen nach der Beaufort-Skala die wirklichen Geschwindigkeiten eher noch etwas größer als kleiner waren im Vergleich zu entsprechenden Notierungen an Land, müßte nach unserer Meinung eine Tabelle aufgestellt werden, welche noch über die von Börgen angenommenen Zahlen hinausgeht. Wir sehen aus anderen Gründen davon ab und wollen die Börgenschen Werte zu Grunde legen; denn — um dies gleich zu bemerken — das wesentliche Resultat unserer Erörterung über das Verhältnis zwischen Wellengeschwindigkeit zur Windgeschwindigkeit wird dadurch nicht geändert, ja es würde sogar, im absoluten Betrage allerdings abgeschwächt, dasselbe bleiben, wenn wir die neuen von Köppen gegebenen Zahlen benützten.

Das Resultat ist nämlich dies, daß in allen hier vorliegenden Fällen die Fortpflanzungsgeschwindigkeit der Wellen kleiner war als die Windgeschwindigkeit. Dies Ergebnis tritt in einigen Gegensatz zu den meisten der bisher hierüber üblichen Annahmen. Wir stellen zunächst mit Benützung von Tab. I die beiden Zahlenreihen nebeneinander zusammen.

Nr. der Beobachtung.	Wind (W)		Wellen (C)		W C	W C im Mittel.
	B.-Sk.	Meter pro Sekunde.	Meter pro Sekunde.			
1	5	9,6	7,2		1,33	1,37 : 1
2	5	9,6	7,4		1,30	
3	5	9,6	7,8		1,28	
4	6	12,0	8,3		1,46	
5	5—6	10,8	8,8		1,28	
6	6	12,0	10,2		1,17	
7	9	20,3	13,8		1,51	
8	8—9	18,6	14,7		1,30	
9	9	20,3	14,2		1,49	
10	10	25,3	18,3		1,30	

¹⁾ Segelhandbuch für den Atlantischen Ozean, S. 45.

²⁾ Annalen der Hydrographie 1892, S. 70.

³⁾ A. u. O., S. 2.

Der Wind bewegte sich also in allen Fällen erheblich schneller vorwärts als die Wellen, und zwar in 2 bis 3 Fällen fast um die Hälfte schneller; im Mittel der 10 Beobachtungsreihen stellt sich das Verhältnis von $W:C = 1,32:1$. Es ist dies fast genau dasselbe Verhältnis beider Elemente, welches Páris¹⁾ als Mittel für die drei höchsten Stufen des Seegangs erhält, nämlich

bei sehr schwerer See	1,66	} $W:C = \text{Mittel } 1,32:1$
bei schwerer See	1,43	
bei grober See	1,07	

Die auffallend großen Wellengeschwindigkeiten, welche Páris für mäßigen Seegang angiebt, bewirken, daß bei den geringen Windstärken nach diesem Gewährsmann das Verhältnis $W:C$ sich umkehrt, und Krümmel gelangte nun in seinen umfassenden Darlegungen über diese Frage²⁾, bei Benutzung der Köppenschen Reduktionsskala, zu dem Resultate, daß sogar in allen Fällen der Wellenbewegung eine beträchtlich größere Geschwindigkeit zukomme als der gleichzeitigen Windbewegung.

Wie man sieht, stehen sich also diese Ergebnisse ziemlich scharf einander gegenüber. Die Entscheidung hängt natürlich in erster Linie von der Größe der Zahlenwerte ab, welche man den einzelnen Windstärken unterlegt, und da ist es von Wichtigkeit, nochmals ausdrücklich zu bemerken, daß die Benutzung der neuen, von Köppen verbesserten Zahlen, deren bereits Erwähnung geschah, wesentlich dasselbe Resultat ergeben würde, daß nämlich C kleiner als W ist. Ich stehe deshalb nicht an, als allgemeinen Satz aufzustellen, daß die Geschwindigkeit der Wellen immer kleiner ist als die Geschwindigkeit des sie erzeugenden Windes.

Durch weitere Beobachtungen wäre besonders zu prüfen, um wie viel C kleiner als W ist; denn der gefundene mittlere Wert $\frac{1}{1,32}$ wird nur eine Annäherung an das wahrscheinlich für alle Windstärken konstante Verhältnis $C:W$ darstellen.

Es ist nicht beabsichtigt, mit dieser Aufstellung die theoretische Möglichkeit zu leugnen, daß die Wellen unter Umständen sich schneller vorwärts bewegen als der Wind. Beim Studium der Wellenentstehung muß ja klar werden, daß der Wind zuerst und in gewissem Sinne überhaupt nur die Orbitalbewegung der Wasserteilchen innerhalb der einzelnen Welle verursacht, welche letztere Bewegung dann ihrerseits, wie dies die Wellenmaschine sehr deutlich zur Anschauung bringt, die schnelle Fortpflanzung der Wellenform bedingt. Diejenigen, welche darüber staunen, wie es überhaupt möglich sein soll, daß die Welle größere Geschwindigkeit besitzen kann als der sie erzeugende Wind, verweist daher Krümmel³⁾ mit Recht auf den fundamentalen Unterschied zwischen der oszillierenden Bewegung der Wasserteilchen (V) und der fortschreitenden Bewegung der Wellenform (C).

Aber mit der Einräumung der Möglichkeit, daß die Wellen eventuell schneller sich fortpflanzen, als der Wind fortschreitet, ist nicht gesagt, daß in der Natur diese Möglichkeit je zur Wirklichkeit werde; die von altersher viel angeführte „Dünung vor dem Sturm“, welche beweisen soll, daß die Welle wirklich eine größere Fortpflanzungsgeschwindigkeit als der Wind besitze, glaube ich in ganz anderer Weise deuten zu sollen, wovon gleich nachher einiges zu sagen sein wird. Zunächst wollen wir, um in dieser Sache noch klarer zu sehen, einige Beziehungen zwischen V , C und W , wie sie die Theorie und die Beobachtung liefern, erörtern.

Nach der Trochoidentheorie, welche, wie wir sahen, den realen Wellendimensionen gut entsprechende Werte liefert, ist $V:C = 2\pi \frac{H}{L} \cdot \frac{H}{L}$ ergab sich in unseren Beobachtungen bei mäßigem Seegang zu $\frac{1}{3T}$, bei schwerer hoher See zu $\frac{1}{1T}$. Daraus erhalten wir:

¹⁾ Annales der Hydrographie 1892, S. 121.

²⁾ Handbuch der Ozeanographie II, S. 74—78.

³⁾ A. a. O., S. 75.

$$V = 0,19 C = \text{rund } \frac{1}{5} C \text{ bei mäfsiger See,}$$

$$= 0,35 C = \text{rund } \frac{1}{3} C \text{ bei schwerer See.}$$

Das Verhältniß von Wellengeschwindigkeit C zur Windgeschwindigkeit W war ungefähr — es handelt sich hier nur um Gewinnung einer Übersicht und nicht um den absoluten Wert — gleich 1:1,32. Daraus finden wir endlich die Orbitalgeschwindigkeit V

$$a) \text{ bei mäfsigem Wind und Seegang} = \frac{0,19}{1,32} W = 0,144 W$$

$$b) \text{ bei schwerem Wind und Seegang} = \frac{0,35}{1,32} W = 0,265 W.$$

Der Wind besitzt also immer eine bedeutend gröfsere Geschwindigkeit als das Wasserteilchen in der Welle; W dürfte bei mäfsigem Wind etwa 7mal $\left(= \frac{1}{0,144}\right)$ und bei schwerem Wind etwa 4mal $\left(= \frac{1}{0,265}\right)$ gröfsere sein als V .

Wir entnehmen hieraus noch, dafs die Orbitalgeschwindigkeit in der Welle bei grofsen Dimensionen und starkem Wind nicht blofs absolut, sondern auch relativ (im Verhältniß zur Windstärke) bedeutender ist als bei kleinen Wellendimensionen und mäfsigen Winden.

Die bewegte Luft vermag nach Vorstehendem dem Wasser etwa den vierten bis siebenten Teil ihrer eigenen Geschwindigkeit zu erteilen; erst wenn der Wind die oszillierenden Wasserteilchen so antreiben könnte, dafs sie eine Geschwindigkeit erlangen, welche nur 2,5mal kleiner ist als diejenige des Windes, würden die Wellen ebenso schnell sich fortpflanzen wie der Wind; und erst, wenn auch dieser Betrag noch vermindert würde, also, wenn die Orbitalgeschwindigkeit noch mehr derjenigen des Windes sich näherte, erst dann würde die Wellenform sich schneller vorwärts bewegen als der Wind.

Es mufs aber gewifs schon als ein hohes Mafs bezeichnet werden, wenn bei der Wellenbewegung die bewegte Luft den vierten Teil ihrer Geschwindigkeit auf das andere Medium, das Wasser, zu übertragen vermag.

Nach den vorliegenden Beobachtungen lassen sich die in der Natur auftretenden Verhältnisse etwa so ausdrücken: die Windgeschwindigkeit ist 5—6mal gröfsere als die Orbitalgeschwindigkeit der Wasserteilchen in der Welle und etwa 1,5mal gröfsere als die Fortpflanzungsgeschwindigkeit der Wellenform. Dabei legen wir jedoch kein besonderes Gewicht auf die absolute Gröfse der in den vorstehenden Anseinandersetzungen gegebenen Zahlen; wir sind aber ziemlich sicher, dafs das Wesentliche des Ergebnisses sich für alle Wellen bewahrheiten wird, welche voll ausgebildet sind und frei von irgend welchen beschränkenden Einflüssen sich entwickeln können.

Es bleibt nun noch die bereits gestreifte Frage nach der Erklärung der Dünung vor dem Sturm zu besprechen.

Schon den alten Seefahrern war bekannt, dafs manchmal (nicht immer) schweres Wetter sich einige Zeit vor seinem Ausbruch durch einen eigentümlichen, hohen, der augenblicklichen Windstärke und vielleicht auch der Windrichtung gar nicht entsprechenden Seegang bemerkbar macht. Dies ist die Dünung. Sie entsteht im Bereich des Sturmgebietes und läuft nun nach der gewöhnlichen Auffassung schneller als der Wind vor dem letzteren her, den Schiffer warnend. Ich glaube, dafs man infolge der Beobachtungen, welche dem Winde stets eine etwas gröfsere Geschwindigkeit zuweisen als der Welle, sich nach einer anderen Erklärung umsehen mufs.

Ich hatte mir auch schon früher, lange bevor ich die Seereisen unternommen, von

¹⁾ Annalen der Hydrographie 1890, S. 8.

der Dünung und ihrem Verhältnis zu einem Sturmgebiet in anderer Weise Rechenschaft zu geben versucht und sehe jetzt eben, da ich diesen Dingen wieder näher trete, daß in dem mehrere Male bereits erwähnten Aufsatz von Prof. Börgen¹⁾ genau dieselbe Erklärung, wie ich sie mir gebildet, gegeben ist, so daß ich nichts Besseres thun zu können glaube, als die Worte Börgens hierher zu setzen:

„Größere Windgeschwindigkeiten kommen nur in Verbindung mit mehr oder weniger eng begrenzten Depressionen des Luftdrucks vor und gehören daher Cyklonen an, in denen die Windbahn keine geradlinige, sondern eine gekrümmte ist. Während nun die erzeugte Welle in der Tangente an die Windbahn fortschreitet, geht der Wind selbst einen ganz andern Weg, es ist deshalb nicht ganz richtig, die Fortpflanzungsgeschwindigkeit der Welle mit der Geschwindigkeit des Windes zu vergleichen, sie muß vielmehr mit der Fortbewegung des Sturmzentrums in Vergleich gebracht werden, und diese wird immer kleiner sein als die Geschwindigkeit der Wellen.“

Nach meiner Ansicht ist dies die genügende und zutreffende Deutung der Erscheinung, besonders in Hinsicht auf das statuierte Verhältnis zwischen Wellen- und Windgeschwindigkeit. Wäre die Fortpflanzungsgeschwindigkeit der Wellen größer als diejenige des Windes, so müßten wir vor jedem Sturm Dünungen beobachten — und dies ist, wie die Erfahrung zeigt, ganz und gar nicht der Fall. In den meisten Fällen ist der Vorgang so, daß mit auffrischendem und stürmisch werdendem Winde auch der Seegang ganz entsprechend zunimmt. Es ist klar, daß allein die Eigenbewegung der ganzen Depression als solcher hier in Frage kommt, und daß besonders dann Aussicht auf eine einigermaßen regelrechte und einfache Dünung vorhanden ist, wenn eine Seite der Depression, etwa die Vorderseite, im Vergleich zur andern Hälfte schwach ausgebildet ist.

Nicht getroffen werden natürlich durch diese Erklärung die weitem Folgerungen, welche man aus Beobachtung solcher Dünungen hinsichtlich der Richtung und Stärke des bevorstehenden Sturmes ziehen kann und welche z. B. von Paris²⁾ besprochen sind.

Der Vollständigkeit wegen sei schließlic noch eine Übersicht darüber angefügt, in welcher Weise bei den Windseen nach unseren Beobachtungen das Verhältnis der Wellenhöhe H zur Windgeschwindigkeit W sich stellt.

Es sind von französischen Marineoffizieren, welchen wir — nebenbei bemerkt — den weitaus größten Teil des bisherigen Materials an Wellenbeobachtungen verdanken, mehrere Versuche gemacht worden, eine konstante Beziehung zwischen diesen zwei Faktoren aufzustellen, ja auch ihre physikalische Notwendigkeit zu beweisen³⁾. Wir beschränken uns darauf, die empirisch gefundenen Verhältniszahlen anzugeben.

Man erhält bei Benutzung von Tab. I und der Börgenschen Windskala

	H : W	
für mäßigen Wind und Seegang	$\left. \begin{array}{l} 1:12,0 \\ 1:9,6 \\ 1:5,0 \end{array} \right\}$	im Mittel 1:8,8
für starken Wind und grobe See	$\left. \begin{array}{l} 1:4,8 \\ 1:3,4 \\ 1:3,2 \end{array} \right\}$	„ 1:3,9
für schweren Wind und Seegang	$\left. \begin{array}{l} 1:3,0 \\ 1:2,4 \\ 1:2,2 \\ 1:2,2 \end{array} \right\}$	„ 1:2,4

Hiernach verändert sich also das Verhältnis $H:W$ mit der Windstärke sehr beträchtlich, und wir gelangen auch von dieser Betrachtung aus wieder zu der schon oben (S. 84) besprochenen Vorstellung, daß die Wellenhöhe erst bei schwerem Wind und Sturm schnell

¹⁾ Annalen der Hydrographie 1890, S. 8.

²⁾ A. u. O., S. 125.

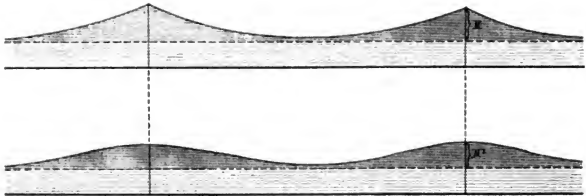
³⁾ S. hierüber Handbuch der Ozeanographie II, S. 67—74.

zunimmt und eine beträchtliche wird, beträchtlich auch im Vergleich zur Windgeschwindigkeit.

Eine mäßige Brise scheint auch relativ viel niedrigere Wellen zu erzeugen als ein stürmischer Wind, so dafs wohl die von Krümmel¹⁾ aufgestellte empirische und für alle Windstärken konstant angenommene Relation $H = \frac{1}{10} W$ weiterer Prüfung bedarf, da dieser Wert nach unseren Beobachtungen selbst bei Sturm noch nicht ganz erreicht wird.

b) Dünungen.

Unstreitig eines der eigenartigsten Schauspiele, welches die Meeresoberfläche dem beobachtenden Reisenden zu bieten vermag, ist eine hohe, schnelle Dünung auf spiegelglatter See. Wohl ist eine wilde Sturmsee, welche ein in orkanartigen Böen wehender Wind aufwirft und vor sich herjagt, wobei er das Wasser der Wellenkämme in Schaum und Gischt in die Luft peitscht, imposanter und großartiger; wohl sind auch die Eindrücke, welche durch das Meer bei totaler Windstille und vollkommen ruhigem Wasser hervorgehoben werden, oft von überwältigender Schönheit, zumal in den tropischen Meeren, wenn



Bemerkung: Die Höhen sind im Vergleich zu den Längen rund viermal zu gross gezeichnet.

Fig. 8.

die See mit ihrer wahrhaft unbeschreiblichen tiefblauen Farbe wie eine einzige große Mischung des schönsten durchsichtigen Kobaltblaus, glänzend wie ein polierter Metallspegel und unbewegt und glatt bis zur Kimm hin das Schiff umgibt; aber etwas Eigentümlicheres als eine hohe Dünung auf glatter See wird man auf der Meeresfläche selten sehen.

Die See wird dann in gewisser Weise gespenstisch, unheimlich; man sieht die heftigen, schnellen Bewegungen in langen, flachgewölbten Formen von der einen Seite her anrollen, unter dem Fahrzeug hinwegrollen und in entgegengesetzter Richtung ebenso schnell verschwinden, und dies in unaufhörlicher, regelmässiger Folge. Die Sturmsee ist nichts Wunderbares, man fühlt den Wind, der sie erregt; die glatte See der äquatorialen Kalmen ist auch verständlich; aber hier bei der Dünung ist ein Leben im Wasser scheinbar ohne äußere Veranlassung. Das in Windstille treibende Schiff wird von der Dünung hin- und hergeworfen, so dafs die schlaff herabhängenden Segel bald voll, bald back fallen und ein beständiges, dem Seemannsohr sehr wenig erfreuliches Geräusch die Luft erfüllt.

Eine typisch ausgeprägte Dünung ist verhältnismässig nicht gerade häufig. In höheren Breiten, in denen absolute Windstillen meist nicht lange andauern, findet man sie wenig;

¹⁾ Handbuch der Ozeanographie II, S. 69 u. 70.

ihr Gebiet sind die tropischen Meere, bis nach den Stillengürteln der polaren Passatgrenzen hin. Dafs bei der Wellenbewegung nur die Form der Welle sich fortpflanzt, davon kann man sich niemals augenscheinlicher überzeugen, als dann, wenn Dünungen durch glatte See laufen.

Ganz oberflächlich betrachtet, ist die äufsere Form der Dünung sehr verschieden von derjenigen der Windsee. Man kann im Profil die beiden Bewegungsformen des Meeres etwa so darstellen, wie es in den Skizzen hier geschehen ist. (S. Fig. 8.) Wir entnehmen daraus zunächst, dafs bei gleicher Wellenlänge die Dünung eine geringere Höhe hat als die Windsee ($H^1 < H$). Die Wellenhöhe mufs, da sie der unmittelbarste Effekt der Windstärke ist, auch am schnellsten mit dem Abflauen des Windes sinken, zumal die Schwerkraft unter allen Wellendimensionen am meisten der Wellenhöhe entgegenwirkt. Bei der ausserordentlich geringen Reibung, der die sich fortpflanzende Welle im Wasser begegnet, werden dagegen die andern Dimensionen, besonders die Geschwindigkeit, voraussichtlich sich sehr gut konservieren. In dieser Beziehung sind die folgenden drei Beobachtungsreihen charakteristisch:

Datum.	Schiffsort.	Seegang aus Stärke.	C	L	T	H	Bemerkungen.
22. Dez. 1891	40° S. Br. 60° Ö. L.	SW $\frac{1}{2}$ S	7	14,2	129,2	9,1	Windsee.
23. "	38 " 66 "	SW	6	13,7	120,6	8,5	Dünung. Entfernung vom Schiffsort am 22. Dezember 300 Seemeilen.
28. "	33 " 81 "	SW $\frac{1}{2}$ S	5	12,0	93,1	7,0	Dünung. Entfernung vom Schiffsort am 22. Dezember 800 Seemeilen.
Abnahme in $\frac{1}{10}$ des resp. Werte der Windsee in der Zeit vom 22. bis 28. Dezember			15 $\frac{1}{10}$	28 $\frac{1}{10}$	23 $\frac{1}{10}$	36 $\frac{1}{10}$	1100 Seemeilen Gesamtentfernung.

Dazu sei folgendes bemerkt: Die Viermastbark „Robert Rickmers“, auf welcher während der Umsegelung des Kaps der Guten Hoffnung diese Messungen angestellt wurden, lief am 22. Dezember vor einem harten, zeitweise sehr schweren Sturm aus rw. SW-Richtung. Die See ging hoch aus derselben Richtung und wies manchmal abnorm grosse Wellenberge auf.

Am nächsten Tag nahm der Wind ab; er veränderte sich auch nach WSW und W, so dafs der noch vorhandene Seegang aus SW bereits als Dünung aufzufassen ist. Wie man sieht, sind die Werte für C, L, T noch fast vollkommen unverändert, die Höhe aber hat auf einer Distanz von etwa 300 Seemeilen schon um 2,6 m abgenommen.

In den folgenden Tagen gelangte das Schiff ganz aus dem Bereich der stürmischen Westwinde heraus, und am 27. Dezember begannen die Windstillen des südlichen Rofs-breitengürtels, in denen allmählich die auftretenden leichten Winde nach Osten umgingen, bis am 30. Dezember der SE-Passat durchkam. Die schwere SW-Dünung hatte aber während der ganzen Zeit das Schiff begleitet und wurde noch in 1100 Seemeilen Entfernung von dem Ort, wo sie entstanden war, höchst lästig empfunden. Die Höhe war um 56 $\frac{1}{10}$ ihres anfänglichen Betrages vermindert, die Geschwindigkeit dagegen nur um 15 $\frac{1}{10}$. Nehmen wir für die Dünung auf der ganzen Strecke eine mittlere sekundliche Geschwindigkeit von 13,1 m an, so dürfte dieser Seegang die ganze Entfernung von 40° S. Br. 60° Ö. L. bis 33° S. Br. 81° Ö. L. in 43 Stunden, also in noch nicht ganz zwei Tagen durchlaufen haben.

Sowie SE-Brise am 30. Dezember durchkam, verschwand die Dünung schon nach wenigen Stunden dem Beobachter. — Es ist ferner zu beachten, dafs (mit Ausnahme allein von Nr. 8 der Tab. II) die geschätzten Wellenhöhen bei Dünungen durchgängig kleiner sind als die mit dem Aneroid gemessenen, während bei den Windseen das Umgekehrte der Fall war. Man wird erklärlicherweise immer geneigt sein, die Höhendimension der Dünung zu unterschätzen, da sie flache Formen zeigt, während der schäumende, steil aufgerichtete Kamm der schweren Windsee höher erscheint, als er wirklich ist. Dies Verhältnis

prägt sich auch sehr deutlich in den nach der neunteiligen Skala gemachten Anschreibungen über den Seegang aus. Diese zur Bezeichnung des Seeganges international festgelegte Skala¹⁾ berücksichtigt allein die Wellenhöhe, und so kommt es, daß zwei Wellenbewegungen, welche gleiche Geschwindigkeit haben, sagen wir $8\frac{1}{2}$ m pro Sekunde, nach der Skala ganz verschiedene Nummern erhalten, als Windsee etwa Nr. 5, als Dünung nur Nr. 3 (vgl. Tab. I, 5 und Tab. II, 1).

Selbstverständlich wird bei den Dünungen das Verhältnis von Höhe zur Länge ganz und gar von der Zeit abhängen, und man kann, da in den weitaus meisten Fällen dem Beobachter an Bord jegliche Möglichkeit fehlt, hierüber irgendwelche zutreffende Annahme zu machen, kaum etwas Näheres sagen, wenn man bloß die Beobachtungen sprechen lassen will und von theoretischen Deduktionen absteht.

Die Messungen vom 3. Juli 1892 (Tab. II Nr. 6) beziehen sich augenscheinlich auf eine noch sehr junge Dünung, diejenigen aber vom 28. August und 17. September auf solche, welche wahrscheinlich schon seit vielen Tagen aus dem Bereich der Winde, die sie erregten, herausgelangt waren.

Ob das Auslösen solcher Wellenbewegungen in der Weise erfolgt, daß — natürlich abgesehen von der Wellenhöhe — die drei Dimensionen C, L, T gewissermaßen harmonisch unter einander abnehmen, so zwar, daß während der einzelnen Zeiten stets das trochoidische Profil im wesentlichen gewahrt bleibt, oder ob einzelne Dimensionen schneller, andere langsamer abnehmen, wage ich nicht zu entscheiden. Ich möchte fast annehmen, daß für jedes Stadium auch der Dünung die Trochoidenformeln Berechtigung haben, da die betreffenden Beobachtungen der Tabelle II ebenso wie diejenigen der Windeen eine im ganzen gewiss nicht schlechte Übereinstimmung mit den gleichzeitigen Berechnungen zeigen, wenngleich vielfach die Differenzen, besonders in der Wellenlänge, erhebliche werden. Andererseits kann man nach dem oben näher beschriebenen Beispiel (Beob. vom 22., 23., 28. Dezember 1891) auch annehmen, daß die Wellenlänge relativ am schnellsten, dann in absteigender Reihe die Periode, und am langsamsten die Geschwindigkeit sich vermindert.

Zum Schluß sei noch die Aufmerksamkeit auf die zwei letzten Beobachtungsreihen (Nr. 7 u. 8 der Tab. II) hingelenkt. Die erstere von beiden ist im Südatlantischen Ozean auf der Fahrt vom Kapland nach St. Helena im Gebiet des damals sehr flauen SE-Passats gewonnen. Am 4. August 1892 in 23° S. Br. und 4° Ö. L. trat um 5^h p. m. ganz plötzlich eine starke SW-Dünung auf, in der das Schiff „Peter Rickmers“ sehr zu rollen begann. Am nächsten Tag nahm die hohe Dünung noch zu, ihre Richtung wurde zu SWzW bestimmt und ihr Stärkegrad zu „6“ der neunteiligen Skala, während der Wind gleichzeitig zu einem ganz leichten Zug aus SSE herabsank. Man kann sich vorstellen, daß das Schiff nunmehr heftig in der immer lästiger fallenden Dünung hin- und hergeworfen wurde. So begleitete uns diese aus dem stürmischen Süden heraufgekommene Wellenbewegung bis etwa nach St. Helena hin.

In keinem Ozean der Erde soll nach der Aussage vielbefahrener Seeleute der „Swell“ so häufig und so anhaltend sein wie im Südatlantischen Ozean, und es kann gar keinem Zweifel unterliegen, daß damals gleichzeitig an der afrikanischen Westküste eine schwere Kama²⁾ geherrscht hat. Dieselbe wird, unter Zugrundelegung der gemessenen Geschwindigkeit von etwa 34 Seemeilen in der Stunde, schon am 5. August 10^h a. m. an der afrikanischen Küste in der Gegend der Kunenemündung und schon 28 Stunden später, als sie unser Schiff erreicht, also am 5. August ungefähr um 9^h p. m. bei Loanda ($9\frac{1}{2}^{\circ}$ S. Br.) sich fühlbar gemacht haben.

¹⁾ Siehe dieselbe z. B. im Handbuch der Ozeanographie II, S. 51.

²⁾ Siehe hierüber Handbuch der Ozeanographie II, S. 95, und Loango-Expedition, Abt. III, 1. Hälfte, S. 18 ff. (von Pechuëi-Lösch).

Auf unserm Schiffe wurde mir oft durch die Wellenberge der Dünung bei einer Augenhöhe von reichlich $4\frac{1}{2}$ m die Kimm verdeckt. Nach den Beobachtungen von Dr. Pechuël-Lösche tritt die bekannte und viel geschilderte Strandbrandung der Nieder-Guineaküste besonders häufig und intensiv in den Monaten Juni bis September auf, ganz erklärlicherweise, da in diesen Monaten des südlichen Winters die schweren Westwinde der südlichen Breiten häufiger und heftiger als gewöhnlich sind und besonders auch weiter nach Norden ihr Bereich ausdehnen. Die Periode, welche der genannte Autor gefunden hat und im Mittel zu 15 Sekunden angibt, ist allerdings eine sehr große; in unserem Falle war die Periode 10 Sekunden, welche Zahl (nach einem Vergleich mit den Windseen zu urteilen) schon einen heftigen Sturm zur Voraussetzung hat.

Eine den Riesenwellen der von Pechuël-Lösche beobachteten Kalka ungefähr gleichkommende Dünung stellt die letzte der in der Tabelle abgedruckten Beobachtungsreihe dar. Hier war in der That die Periode fast 15 Sekunden, und auch die anderen Dimensionen waren alle so kolossale, daß nur ein außerordentlich schweres, anhaltendes Sturmwetter solchen Seegang aufgeworfen haben kann. Beobachtet wurde diese Dünung genau mitten zwischen der Südspitze Madagaskars und der afrikanischen Küste in der Gegend von Natal. Ihre Richtung war aus SWzS, also durchaus entsprechend den heftigen NW-Dünungen des Nordatlantischen Ozeans, welche durch die auf der Rückseite barometrischer Depressionen oft so fürchterlich wehenden NW-Winde verursacht sind und bis nach St. Helena sich unter Umständen fortpflanzen.

Abgesehen von den gewaltigen Dimensionen war diese Dünung noch durch eine unregelmäßig-periodische Heftigkeit ausgezeichnet. Seit dem Mittag des 12. Juli 1892 machte sich der Seegang in Pausen von 10—15 Minuten besonders fühlbar; das am Wind (derselbe wehte mäßig aus ungefährer Südrichtung) segelnde Schiff stampfte schwer in der immer mehr sich entwickelnden Dünung. Wiederholte Beobachtungen zeigten eine auffallende Verschiedenheit in der Länge der Periode, verbunden mit Unterschieden in der Höhe der Wellen. Meist kamen 3, 4, auch 5 Wellen von besonders auffallender Höhe hinter einander, und zwar die zweite etwa 16—17 Sekunden nach der ersten, die dritte 15 Sekunden nach der zweiten, die vierte und nächste 14, auch 13 Sekunden nach der dritten u. s. f. War eine solche Gruppe von abnormen Wellen vorbeigegangen, dann folgte eine Pause von etwa 10 Minuten oder mehr, während welcher der Seegang ganz regelmäßig lief, bis wiederum eine gleiche Zahl sehr hoher Wellenberge ankam.

Offenbar liegt hier die Erscheinung des „Dreigewells“, der *Tpavvia* der alten Griechen, vor. Man sieht, daß dieses Phänomen auch bei Dünungen vorkommt, und nicht bloß bei Windseen.

Um noch einige Bemerkungen über dieses periodische Anwachsen und Abflauen des Seegangs — übrigens während des Verlaufs eines Sturmes eine sehr gewöhnliche Erscheinung — anzuschließen, so ist vielleicht von Interesse, daß nach den angestellten Beobachtungen nicht gerade die Dreizahl der Wellen notwendig oder auch nur charakteristisch ist. Ich habe meist 4, 5, auch 6—8 große Wellen sich folgen sehen, und schon die Zusammenstellung der verschiedenen Nachrichten und Erfahrungen über den Gegenstand, welche Krümmel¹⁾ gegeben hat, zeigt, daß die Zahl nicht konstant ist. Ich bin der Meinung, daß die Erscheinung mit den Böen der Stürme zusammenhängt.

Während die mäßigen Winde meist zu einer gleichmäßigen Brise neigen, weht ein Sturm, man kann sagen, immer in Böen von kürzerer oder längerer Dauer, d. h. die Windstärke ist nie für längere Zeit ganz dieselbe. Auf Segelschiffsreisen kann man dies am besten beobachten; für mehrere Minuten weht es oft fürchterlich, so daß das letzte Sturmsegel, welches noch steht, aus den Lücken zu fliegen droht; gleich darnach ist es für

¹⁾ Handbuch der Ozeanographie II, S. 52.

längere Zeit wieder etwas „handiger“, bis der Wind in orkanartigen Böen von neuem einfällt, und so geht es fort während des ganzen Sturmes. Das geübte Ohr kann dieses Zu- und Abnehmen der Windstärke schon nach den Variationen des sonoren Tones, mit dem der Sturm durch die Takelung heult, unterscheiden.

Es liegt nun nahe, diesen Sturmböen die Erregung der abnorm hohen Wellengruppen zuzuschreiben; je nach der längeren oder kürzeren Dauer der Böen werden die besonders hohen Wellen innerhalb der einzelnen Gruppe mehr oder weniger zahlreich sein, und je nach dem mehr oder weniger böigen Charakter des Sturmes überhaupt wird die Erscheinung besonders deutlich oder auch nur wenig ausgebildet sein. Es ist dabei noch zu beachten, daß nur bei hoher, schwerer See solche Gruppenbildung vorzukommen scheint, was auch für die Erklärung, wie sie hier gegeben ist, sprechen würde.

II. Teil.

Maritime Meteorologie.

Das Afsmannsche Aspirationspsychrometer.

Die Mitteilungen, welche hier über dies Instrument¹⁾ gegeben werden sollen, sind hauptsächlich darauf berechnet, an der Hand von Vergleichungen mit gewöhnlichen Standpsychrometern uns eine zahlenmäßige Anschauung über die Fehlergrößen zu verschaffen, welchen die meisten, ja vielleicht alle Schiffsbeobachtungen unterliegen. Denn es kann einerseits keinem Zweifel mehr unterliegen, daß das Aspirationspsychrometer in seiner heutigen, vollendeten Form allen berechtigten Ansprüchen an ein Normalinstrument sehr gut entspricht; anderseits ist bekannt, mit welchen ganz außerordentlichen Schwierigkeiten eine nur einigermaßen genaue Bestimmung der Lufttemperatur sowohl als der Luftfeuchtigkeit an Bord der Schiffe, selbst der Segelschiffe, verknüpft ist. Indem wir nun die Angaben des Aspirationspsychrometers als normale ansehen dürfen, gewinnen wir einige, wie ich denke, auch in klimatologischer Hinsicht nicht unwichtige Anhaltspunkte für die wahren Temperaturen und Feuchtigkeiten der Luft über den Ozeanen, besonders über den tropischen Meeren.

Das von mir während der Seereisen hauptsächlich benutzte Psychrometer (Plath 415 und 418), welches von 4 zu 4 Stunden abgelesen wurde, befand sich auf dem „Robert Rickmers“ unter der Kommandobrücke in dem Jalousiekasten (Modell Deutsche Seewarte); letzterer war so aufgehängt, daß er von allen Seiten freien Luftzug hatte, ohne je von der Sonne beschienen zu werden. Allerdings betrug die Höhe des Kastens über dem Großdeck nur 1,6 m. Gleichwohl dürfen die an dem Psychrometer gemachten Ablesungen als im gewöhnlichen Sinne korrekt und frei von irgend welchen gröberen Beeinflussungen angesehen werden.

Günstiger war die Psychrometeraufstellung an Bord des „Peter Rickmers“. Hier befand sich das Instrument auf dem Oberdeck im Ruderhause; scheinbar ist dies ein wenig empfehlenswerter Platz, doch war er auf diesem Schiffe durchaus geeignet, da das Haus sehr geräumig war, drei Thüren desselben beständig offen standen, außerdem zwei Fenster an der Seitenwand in unmittelbarer Nähe der Thermometer, und zwei Fenster auf dem Deck eine mehr als genügende Zirkulation der Luft bewirkten. Das Wichtigste war aber, daß durch diese Aufstellung der hauptsächlichste Feind aller Temperaturbeobachtungen, die intensive Wärmestrahlung des erhitzten Schiffsdecks, unschädlich gemacht wurde.

Auf dem Dampfer „Oceana“ endlich mußte ich wiederholt den Platz wechseln, je nach dem Wind und der Sonne, zumal die heiße Luft der Kessel- und Maschinenräume mehr oder weniger immer über die verschiedenen Teile des Schiffes sich verbreitete.

Da aber im großen und ganzen die Vergleiche dieses selben Standpsychrometers mit

¹⁾ Dasselbe ist sehr ausführlich und nach allen Seiten hin von Afsmann besprochen in den „Abhandlungen des Kön. Preuss. Meteorol. Instituts“, Bd. I, Nr. 5, Berlin 1892.

dem Aspirationspsychrometer auf allen drei Schiffen keine wesentlichen Verschiedenheiten unter einander ergaben, so habe ich geglaubt, sämtliche Psychrometerbeobachtungen, trotz der wechselnden Aufstellung, einheitlich bei der nun folgenden Besprechung der Leistung des Aspirationsinstruments benutzen zu dürfen.

Letzteres selbst konnte nirgends an Deck eine fixe Aufstellung erhalten oder auch nur an demselben Platze abgelesen werden, aus mehr wie einem Grunde, besonders auch deshalb, weil auf den Segelschiffen durchaus kein Platz vorhanden ist, der von den vielfachen Manövern, welche die Segelführung erfordert, unberührt bleibt. Daher wurde es in jedem einzelnen Falle aus dem Kasten genommen und dann unter den verschiedenen Verhältnissen beobachtet. Das Instrument mag noch so kompensiös und für Reisezwecke passend sein: auf einem Schiffe ist es nachts nur sehr schwer und, bei einigermaßen schlechtem Wetter nicht wohl zu handhaben, was ich hier im einzelnen nicht auseinanderzusetzen brauche. So kommt es, daß die meisten der Beobachtungstage in die Tropengegenden fallen; die Resultate beziehen sich also fast ausschließlich auf Temperaturen von über 20° C. und auf die Tageszeit.

Wie von vornherein zu erwarten war, ergab sich sehr bald und als hervorstechendster Zug bei den Beobachtungen der sehr große Einfluss der Windstärke auf die Differenzen zwischen den Ablesungen am Stand- und Aspirationspsychrometer. Bei flauen Winden und Windstille war die Luftbewegung im Jalousiekasten eine ungenügende, das Afsmannsche Instrument zeigte dann beträchtlich niedrigere Temperaturen, besonders am feuchten Thermometer. Bei frischem bis starkem Wind dagegen waren die Angaben des Psychrometers im Gehäuse in bedeutend besserer Übereinstimmung mit denen des aspirierten Psychrometers. Letzteres Instrument beobachtete ich in der Regel zuerst im Schatten und dann — wofür es ja im eigentlichen Sinne berechnet ist — in der freien Sonnenstrahlung. In dieser Beziehung ergaben sich auch Differenzen, welche aber in der Hauptsache nur an dem trockenen Thermometer nennenswerte Beträge erreichten, während das feuchte Thermometer, einerlei, ob das Instrument in der Sonne oder im Schatten sich befand, fast vollkommen gleichen Stand einhielt. Über dieses Verhalten des Instruments wird nachher noch einiges zu sagen sein.

Das Aspirationspsychrometer in den Tropen.

Differenzen: Aspirationspsychrometer minus Standpsychrometer Plath 415/418.

(—: Aspirationspsychrometer niedriger als Standpsychrometer.)

(+: Aspirationspsychrometer höher als Standpsychrometer.)

	Zahl der Beob.-Tage.	Thermometer					
		trocken.			feucht.		
		Mittel.	Maxim.	Minim.	Mittel.	Maxim.	Minim.
I. Aspirationspsychrometer, im Schatten:							
1) Windstärke = Beaufort-Skala 3 und kleiner, im Mittel = 1,7	41	— 0,71°	— 2,3°	+ 0,2°	— 1,56°	— 3,0°	— 0,2°
2) Windstärke = B.-Sk. 4 und größer, im Mittel = 4,8	33	— 0,48	— 1,7	+ 0,2	— 1,18	— 2,7	0,0
II. Aspirationspsychrometer, der freien Sonnenstrahlung ausgesetzt:							
1) Windstärke = B.-Sk. 3 und kleiner, im Mittel = 1,7	34	— 0,37	— 2,7	+ 0,8	— 1,42	— 3,2	— 0,2
2) Windstärke = B.-Sk. 4 und größer, im Mittel = 4,8	25	— 0,34	— 1,4	+ 0,2	— 1,14	— 2,8	+ 0,1
III. Aspirationspsychrometer im Schatten, ohne Rücksicht auf die Stärke des Windes							
	76	— 0,58	— 2,3	+ 0,2	— 1,30	— 3,0	0,0
IV. Aspirationspsychrometer in der Sonne, ohne Rücksicht auf die Stärke des Windes							
	61	— 0,34	— 2,7	+ 0,8	— 1,38	— 3,2	+ 0,1
V. Generalmittel der Differenzen (Aspirationspsychrometer minus Standpsychrometer)							
		— 0,46° C. (0,46°)			— 1,33° C. (1,33°)		

NB.: Mittlere Windstärke für III. IV. V. = B.-Sk. 3,5.

Minimum der Windstärke „ = „ 0.

Maximum „ „ = „ 7.

In vorstehender Tabelle geben wir zunächst die Resultate, welche auf einer vollständigen Verwertung sämtlicher Beobachtungen beruhen, getrennt durchgeführt nach den zwei Gesichtspunkten der Windstärke und der Sonnenstrahlung. Die Zahlen weichen nicht unerheblich von denjenigen ab, die ich in einem vorläufigen Bericht während der Reisen selbst mitgeteilt habe¹⁾; damals stand mir nur etwa die Hälfte der hier zu Grunde gelegten Messungen zur Verfügung, und das definitive Ergebnis hat sich für das Aspirationspsychrometer noch günstiger gestaltet.

Die mittlern Differenzen liegen, wie man sieht, sämtlich so, daß das aspirierte Instrument durchweg niedrigere Angaben lieferte als das Standpsychrometer. Betrachtet man allerdings die extremen Werte, so zeigt sich, daß in einzelnen Fällen das trockne Thermometer des Afsmanuschen Instruments höher stand als das entsprechende im Jalousiekasten; dies trifft aber lediglich Fälle, in denen höchstwahrscheinlich die „Lufttemperatur in der Sonne“, um diesen an sich nicht gerade korrekten Ausdruck einmal zu gebrauchen, in der That (infolge reflektierter Wärme &c.) höher war als diejenige in der Umgebung des beschatteten Standpsychrometers. Andrücklich bemerke ich aber, daß keine positiven Differenzen in der Nacht oder am frühen Morgen bei den allerdings nicht zahlreichen um diese Zeit vorgenommenen Messungen gefunden wurden; die negativen Differenzen zeigten wohl einen täglichen Gang, insofern sie ungefähr zur Zeit des höchsten Sonnenstandes am größten ausfielen, aber sie kehrten sich in der Nacht nicht in das Gegenteil um; ich schliesse daraus, daß die Standpsychrometer auf See stets zu hohe Temperaturen geben, also die Jalousiekästen ein Wärmereservoir darstellen, welches auch die Nacht hindurch — in den Tropen wenigstens — wirksam bleibt. Daß keine Wirkung einer nächtlichen Ausstrahlung sich konstatieren ließe — dieselbe hätte sich eben in positiven Differenzen bemerkbar machen müssen —, wird man auf die relativ sehr geringe tägliche Temperaturschwankung speziell in den heißen Gegenden zurückführen dürfen.

Daher bin ich geneigt, anzunehmen, daß die in der Tabelle mitgeteilten Werte nur ganz unbedeutend sich vermindern, wenn gleichmäßig alle 24 Stunden des Tages berücksichtigt werden. Afsmann²⁾ hat bei Versuchen, welche ununterbrochen 24 Stunden lang fortgesetzt wurden, gefunden, daß das Aspirationspsychrometer während des Tages um etwa $0,4-0,7^{\circ}$, während der Nacht um $0,0-0,3^{\circ}$ niedriger zeigte als das Psychrometer in der Wildschen Normalhütte. Also auch hier in Norddeutschland lagen die Differenzen nach der negativen Seite, sind aber im Mittel natürlich bedeutend geringfügiger als die hier von mir mitgeteilten, welche auf Schiffsbeobachtungen sich beziehen. Da nun nach den neueren Beobachtungen die Angaben des Aspirationspsychrometers, verglichen mit denjenigen eines Standpsychrometers in der sogenannten „Englischen Hütte“, bei längeren Reihen fast absolut identische Mittelwerte liefern, so schliesen wir daraus, daß durch die in der obenstehenden kleinen Tabelle (S. 96) zusammengefaßten Differenzen (Aspirationspsychrometer minus Standpsychrometer) die Fehlergrößen angegeben werden, welche allen unter ähnlichen Umständen an gewöhnlichen Psychrometern gemachten Ablesungen auflaften. Wir können diese Differenzen als Korrekturen ansehen, die — wenn auch vielleicht vorläufig nur in Gedanken — an alle Psychrometerbeobachtungen in den tropischen Gegenden, besonders an Bord der Schiffe, anzubringen sein dürften.

Lassen wir zunächst, um diesen Gedanken etwas weiter zu verfolgen, alle Beobachtungen des Aspirationspsychrometers, welche „in der Sonne“ gemacht wurden, beiseite — warum, wird gleich erörtert werden —, so finden wir, daß das trockne Thermometer des Standpsychrometers bei Windstille um etwa $0,7^{\circ}$, bei mäßigem bis frischem Wind um etwa $0,4^{\circ}$ zu hoch steht; wenn keine Rücksicht auf die Stärke des Windes genommen

¹⁾ Verhandlungen der Gesellschaft für Erdkunde zu Berlin 1892, Heft 4.

²⁾ A. u. O., S. 205—206. 211—212. 230.

wird, dürfte eine Reduktion aller tropischen Temperaturmessungen im Mittel um 0,58° C. angebracht sein, soweit es sich um maritim-meteorologisches Material handelt.

Die zahlreichen Temperaturbeobachtungen, welche von den Schiffen während ihrer Tropenfahrten gemacht sind, kommen im allgemeinen einer wahren Lufttemperatur, wie sie das Aspirationspsychrometer angiebt, doch recht nahe, und wir haben keinen Grund, die bisherigen Angaben über tropische Temperaturen für in hohem Grade fehlerhaft anzusehen. Dieselben werden nur etwa bis zu einem halben Grad Celsius im Durchschnitt zu hoch sein. Freilich kommt alles auf eine gute Aufstellung der Thermometer an, insbesondere auf möglichst lebhaftes Luftzirkulation. Bei Windstille werden die gewöhnlichen Thermometer uns beträchtlich zu hohe Temperaturen geben¹⁾.

Viel bedeutender sind die Temperaturdifferenzen zwischen den feuchten Thermometern beider Instrumente. Dasjenige des Aspirationspsychrometers steht im Mittel um 1,39° niedriger als das des Standpsychrometers, bei flauer Brise oder Windstille sogar um 1,56°. Dabei ist aber zu beachten, daß die Werte der absoluten und relativen Feuchtigkeit für die mit dem Aspirationsinstrument erhaltenen Temperaturzahlen nicht aus den gewöhnlichen Psychrometertafeln entnommen werden dürfen, weil in den letztern, resp. in der zu Grunde liegenden Formel, eine viel geringere Geschwindigkeit der an dem Thermometergefäße stattfindenden Luftzirkulation in Rechnung gezogen ist, als hier vorhanden ist.

Prof. Sprung²⁾ hat für das Aspirationspsychrometer eine neue Formel aufgestellt, welche sehr einfach ist; dieselbe lautet $f = f' - \frac{1}{4}(t - t')$, wobei f die gesuchte Dampfspannung, f' die Maximalspannung des Wasserdampfes bei der Temperatur des feuchten Thermometers, t die Temperatur des trockenen, t' diejenige des feuchten Thermometers bedeutet; dabei ist vorausgesetzt, daß der Luftdruck nicht mehr als um etwa 15 mm von 755 mm abweicht — was für unsre Beobachtungen stets zutrifft.

Es ist ferner bei dem Vergleich der psychrometrischen Differenz am Aspirationspsychrometer mit derjenigen am Standpsychrometer zu beachten, daß es sich um durchgängig hohe Temperaturen (20–30°) handelt, und da die Kapazität der Luft für Wasserdampf bei hoher Temperatur nicht bloß absolut, sondern auch relativ eine größere ist als bei niedriger Temperatur (es ist z. B. die Maximalspannkraft des Wasserdampfes in mm Quecksilber bei 10° C. 9,14 mm, bei 11° C. 9,77 mm: Zunahme 0,63 mm; dagegen bei 20° C. 17,36 mm, bei 21° C. 18,47 mm: Zunahme 1,11 mm), so wird durch diese Erniedrigung des feuchten aspirierten Thermometers zwar die absolute Feuchtigkeit der Luft sich ziemlich viel geringer herausstellen, als sie nach dem gewöhnlichen Psychrometer ist, dagegen wird die relative Feuchtigkeit weniger sich ändern, weil eben zu einer solchen Änderung in den hohen Temperaturgraden schon ganz bedeutende Dampfdruckunterschiede notwendig sind.³⁾ Das Sättigungsdefizit endlich erfährt natürlich eine Vergrößerung.

Zur Veranschaulichung der Zahlengrößen, um die es sich dabei handelt, geben wir hier für die drei genannten Ausdrücke der Feuchtigkeit die Differenzen, welche aus der verschiedenen Größe der psychrometrischen Differenz bei den zwei Instrumenten resultieren; die Zahl können wiederum in gewissem Sinne als Korrekturen aufgefaßt werden, welche an die gewöhnlichen Psychrometerangaben anzubringen wären, um die wahren Feuchtigkeitsverhältnisse der tropischen Luft zu erhalten. Die Differenzen sind für eine größere Reihe

¹⁾ Siehe auch Verhandlungen der Berliner Gesellschaft für Erdkunde 1895, S. 81.

²⁾ Das „Wetter“, 1886, S. 105.

³⁾ Nehmen wir z. B. an, die psychrometrische Differenz am Standpsychrometer betrage 3°, am aspirierten Psychrometer aber 4,5°, so erhalten wir:

Bei der Lufttemperatur	Absolute Feuchtigkeit (mm)				Relative Feuchtigkeit (%)			
	Stand-Psychr.	Aspir.-Psychr.	Δ		Stand-Psychr.	Aspir.-Psychr.	Δ	
28°	31,5	19,3	2,3		75	69	6	
15°	8,6	7,3	1,4		68	57	11	

von Einzelbeobachtungen bei den verschiedenen Windstärken ermittelt worden, und das Minuszeichen bedeutet, daß die aus den Angaben des Standpsychrometers sich ergebenden Werte der Luftfeuchtigkeit um den betreffenden Betrag zu verkleinern sind. (Temperaturen über 20°.)

	Absolute Feuchtigk.	Relative Feuchtigk.	Sättigungsdefizit.
1) Bei Windstille oder flauer Brise . . .	— 2,3 mm	— 7%	— 1,2 mm
2) Bei mäßigem Wind (B.-Sk. 3, 4) . . .	— 1,8 „	— 5%	— 1,0 „
3) Bei frischem Wind (B.-Sk. 5 u. darüber) . . .	— 1,3 „	— 3%	— 0,6 „

Ich habe dabei noch einen Irrtum zu berichtigen, der mir bei den ersten Zusammenstellungen der Beobachtungen mit dem Aspirationspsychrometer untergelaufen und auch in einen Vortrag¹⁾ übergegangen ist: ich habe anfangs die absolute und relative Feuchtigkeit auch für diese Ablesungen aus den Jelinekschen Tafeln entnommen und damit natürlich zu niedrige Werte erhalten. So kam es, daß ich meinte, die bisherigen Beobachtungen aus den Tropen gäben die relative Feuchtigkeit um volle 15% zu groß an. Diese Zahl ermäßigt sich also bei Anwendung der neuen Sprungschen Formel sehr erheblich; es zeigt sich aber auch die unbedingte Notwendigkeit, die Angaben des Aspirationspsychrometers nicht nach den gebräuchlichen Tafeln auszuwerten²⁾.

Überblickt man das gewonnene Resultat, so ergibt sich im allgemeinen, daß die gewöhnlichen Psychrometer an Bord recht gute Beobachtungen liefern, sobald nur ihre Behandlung eine sorgfältige ist. Besonders in den Passatgebenden mit einer beständigen Luftbewegung haben wir bei den Standpsychrometern eine nur unerhebliche Abweichung von dem Normalinstrument zu gewärtigen.

Darf ich aus der Praxis hier noch etwas anfügen, so ist es hauptsächlich dies, daß auf See die Gaze, welche die feuchte Thermometerkugel umgibt, außerordentlich häufig, wenigstens alle 8 Tage, zu erneuern oder in frischem Wasser auszuspülen ist. Die fortwährend in der Meeresluft suspendierten kleinen Salzteilehen setzen sich auf der Gaze fest und verhindern die Verdunstung sehr stark; im Anfang der Reise hatte ich darauf nicht genug geachtet, bis die auffallend klein werdende psychrometrische Differenz mich aufmerksam machte.

Betrachten wir in der oben (S. 96) gegebenen Tabelle die Maxima der Differenzen zwischen Aspirations- und Standpsychrometer, so sehen wir, daß im ungünstigsten Falle das letztere um etwa 2½° (trockenes Thermometer), resp. 3° (feuchtes Thermometer) zu hoch gestanden hat. Die verhältnismäßig recht großen und unregelmäßigen Schwankungen der Differenzen kommen natürlich gleichfalls auf Rechnung der Angaben des Standpsychrometers; das Aspirationsinstrument liefert die gleichmäßigsten Werte. Um ein Beispiel anzuführen, so beobachtete ich am 18. August 1892 in beiläufig 6° S.Br. und 16° W.L.:

	Aspirations- Psychrometer.	Stand- Psychrometer.	Differenz Trockenes Thermometer.	Feuchte Thermometer.
8½ u. m. (SE-Passat, B.-Sk. 4)	23,5—19,4	23,5—21,2	0,0	— 1,8
Mittags („ B.-Sk. 3)	23,8—19,6	24,7—22,1	— 1,4	— 2,5

Das Standpsychrometer hatte also einen ganz falschen täglichen Gang angegeben, die Luft war in Wirklichkeit gegen Mittag etwas kühler geworden (trotz der Fahrt nach dem Äquator hin), was ganz im Einklang mit der Beobachtung kühler Wasserstreifen in jener Gegend stand.

Solche und ähnliche Detailbeobachtungen, die hier übergangen werden müssen, zeigen die eminente Brauchbarkeit des Afsmannschen Instruments, ändern aber anderseits auch kaum etwas an dem oben aufgestellten günstigen Urteil über sorgfältige Messungen mit dem gewöhnlichen Psychrometer.

Ich bezog mich im Vorstehenden immer nur auf die Ablesungen, welche mit dem

¹⁾ Siehe Verhandlungen der Berliner Gesellschaft für Erdkunde 1893, S. 82 und 83.

²⁾ Dr. Flehass Angaben über relative Feuchtigkeiten in den Tropen (Annalen der Hydrographie 1892, S. 340 ff.) sind daher wohl auch nicht bloß um einige, sondern um eine beträchtliche Zahl Prozente zu niedrig.

Aspirationsinstrument im Schatten vorgenommen wurden. Die mehrfach erwähnte Tabelle zeigt nun (s. S. 96, Reihe II und IV), daß das Afsmannsche Psychrometer, der freien Sonnenstrahlung ausgesetzt, in den Mittelwerten durchweg höhere Temperaturen ergab als im Schatten, so daß die Differenzen gegen das Standpsychrometer in erstem Falle geringer sind als im letztern. Der dabei auftretende Unterschied trifft auch hier wieder hauptsächlich die Ablesungen am trockenen Thermometer. Nun dürfen wohl Afsmanns mannigfache Versuche mit seinem Instrument auf dem Säntisgipfel genügend beweisen, daß da, wo jede Wirkung einer reflektierten oder dunklen Wärmestrahlung ausgeschlossen ist, das neue Psychrometer durch die Besonnung als solche keinerlei Temperaturerhöhung erfährt¹⁾. Obwohl ich bei meinen Beobachtungen das Instrument stets so gegen den Wind hielt, daß ich selbst das Gesicht dem Wind zukehrte, außerdem auch die schon dem Gefühl merkbare, außerordentlich starke Wirkung der großen, besonnenen Masse des Schiffsdecks, des Navigationshauses &c. dadurch unschädlich zu machen suchte, daß ich das Instrument soweit wie möglich außenbords hielt und an verschiedenen Schiffsstellen vergleichende Beobachtungen machte, so war doch immer das Resultat im ganzen dasselbe: das Aspirationsthermometer zeigte in der Sonne etwas höher (mit einzelnen Ausnahmen) als im Schatten.

Beide Erfahrungen berücksichtigend, gelange ich zu der Anschauung, daß es auf einem Schiffe, selbst auf einem Segelschiffe, thatsächlich unmöglich ist, im Bereich der direkten Sonnenstrahlung einwurfsfreie Messungen der Lufttemperatur zu machen, weil man dem Effekt reflektierter Wärme nirgends entgehen kann. Hier ist also die Luft „in der Sonne“ in Wirklichkeit wärmer als im Schatten, innerhalb des Bereiches wenigstens, welches dem Beobachter zugänglich ist.

Wenngleich also das Instrument Afsmanns auch hier die wahre Temperatur der Luft, „welche unmittelbar der Prüfung unterworfen wird“ (Köppen), liefern dürfte, so kann doch auch kein Zweifel bestehen, daß diese Lufttemperatur nicht die von uns gewünschte ist, und deshalb habe ich im vorstehenden die Beobachtungen, welche mit dem Aspirationspsychrometer im Schatten gemacht wurden, den Erörterungen zu Grunde gelegt. Der unmittelbare Einfluß, den der besonnte Schiffskörper auf die Temperatur der ihn umgebenden Luft ausübt, stellt sich nach den hier vorliegenden Beobachtungen auf etwa 0,3° C. bei Windstille und auf 0,1° C. bei mäßigem bis frischem Wind.

In den folgenden Abschnitten sind, wo nicht ausdrücklich das Gegenteil bemerkt ist, die nach dem Standpsychrometer gemachten meteorologischen Aufzeichnungen benutzt worden, was wegen der Gleichmäßigkeit der Beobachtungen und aus anderen Gründen sich empfiehlt, zumal — wenigstens auf den von mir gemachten Reisen — eine ununterbrochene Benutzung des Aspirationspsychrometers nicht möglich gewesen ist.

Über Lufttemperaturen.

Der tägliche Gang der Lufttemperatur über dem Meere, besonders in den Tropen.

Hann schreibt (1888) in Neumayers „Anleitung zu wissenschaftlichen Beobachtungen auf Reisen“ I, S. 334: „Lenz glaubte aus den Beobachtungen von Schrenck gefunden zu haben, daß auf offenem Meere innerhalb der Tropenzone das Wärmemaximum (der Luft) schon vor Mittag (um 11½ bis 11¼) eintritt. Diese Erscheinung würde verdienen, aufs neue geprüft und untersucht zu werden.“

¹⁾ Afsmann u. a. O., S. 186—193.

Meines Wissens ist die allerdings höchst interessante Frage bislang nur zweimal a d hoc untersucht worden, im Jahre 1884 von Dr. Neuhaus¹⁾ auf einer Reise um die Welt, und im Jahre 1892 von Dr. Plehn²⁾ auf einer Fahrt nach Java und zurück. Beide Beobachter kommen zu einem anderen Resultat als Lenz; da ich in dieser Beziehung ebenfalls Beobachtungen gemacht habe, es überdies immer einer größeren Zahl von Beweisen zu bedürfen scheint, um eine einmal aufgestellte These zu widerlegen, als zu begründen, so ist es vielleicht angebracht, das mir vorliegende Material kurz daraufhin zusammenzufassen.

Im ersten Band des „Bulletin“ der Kaiserl. Akademie der Wissenschaften zu St. Petersburg vom Jahre 1860 (S. 212—228) berichtet der Akademiker E. Lenz über die Temperaturbeobachtungen, welche ein Dr. E. Lenz, ein Verwandter des Berichterstatters, in den Jahren 1847—1849, sowie der bekannte L. von Schrenck in den Jahren 1853 und 1854 auf Seereisen in den Tropen gemacht hatten. Von ersterem liegen zweistündliche, von letzterem einstündliche Ablesungen des Thermometers auf dem offenen Atlantischen und Pazifischen Ozean vor. Die Zahlenreihen hat Lenz benutzt, um aus ihnen (mit Hilfe der periodischen Sinusfunktion) für jede Stunde und Minute des Tages den wahrscheinlichen Wert der Temperatur zu berechnen. Wir geben zunächst, nach Celsiusgraden umgewandelt, die beobachteten und berechneten Temperaturwerte für die Stunden 8^h a. m. bis 4^h p. m. wieder:

Atlantischer Ozean, nach E. Lenz (AL.).

Desember 1847. 20 Beobachtungstage.	8 ^h a. m.	10 ^h a. m.	Mittag.	2 ^h p. m.	4 ^h p. m.
Beobachtet	25,06	25,38	25,54	25,39	25,19
Berechnet	25,08	25,42	25,58	25,36	25,14
Differenz	+ 0,03	— 0,04	+ 0,01	+ 0,01	— 0,01

Atlantischer Ozean, nach L. v. Schrenck (AS.).

Desember 1853. Januar 1854. 31 Beobachtungstage.	8 ^h a. m.	9 ^h a. m.	10 ^h a. m.	11 ^h a. m.	Mittag.	1 ^h p. m.	2 ^h p. m.	3 ^h p. m.	4 ^h p. m.
Beobachtet	25,48	25,75	25,89	25,92	26,06	25,98	25,98	25,66	25,43
Berechnet	25,39	25,64	25,91	26,08	26,08	25,99	25,84	25,80	25,41
Differenz	+ 0,19	+ 0,11	— 0,02	— 0,16	— 0,02	— 0,01	+ 0,09	+ 0,08	+ 0,02

Pazifischer Ozean, nach E. Lenz (PL.).

März 1848. 27 Beobachtungstage.	8 ^h a. m.	10 ^h a. m.	Mittag.	2 ^h p. m.	4 ^h p. m.
Beobachtet	24,18	24,50	24,73	24,99	24,18
Berechnet	24,04	24,58	24,68	24,43	24,10
Differenz	+ 0,14	— 0,08	+ 0,05	— 0,05	+ 0,08

Pazifischer Ozean, nach L. v. Schrenck (PS.).

April 1854. Mai 1854. 39 Beobachtungstage.	8 ^h a. m.	9 ^h a. m.	10 ^h a. m.	11 ^h a. m.	Mittag.	1 ^h p. m.	2 ^h p. m.	3 ^h p. m.	4 ^h p. m.
Beobachtet	24,46	24,91	25,24	25,31	25,39	25,14	24,96	24,84	24,72
Berechnet	24,51	24,89	25,17	25,30	25,30	25,19	25,03	24,83	24,61
Differenz	— 0,05	+ 0,02	+ 0,07	+ 0,01	— 0,01	— 0,05	— 0,07	+ 0,01	+ 0,11

Nach diesen stündlichen, bzw. zweistündlichen Beobachtungen trat also das Wärmemaximum zur Zeit des höchsten Sonnenstandes (Mittags, wahre Ortszeit) ein, mit Ausnahme der Schrenckschen Messungen im Pazifischen Ozean, welche für 11^h a. m. einen um 0,02° höheren Wert ergeben als für Mittag.

1) „Aus dem Archiv der Deutschen Seewarte“, VII. Jahrg., 1884, Nr. 4.

2) „Annalen der Hydrographie und maritimen Meteorologie 1892, S. 340 ff.

Lenz berechnet nun aber unter Anwendung der erwähnten Formel die Zeit des Eintrittes und den Betrag des Wärmemaximums und findet für

AL	25,58° um 11 ^h 43 ^m a. m.
AS	26,00 um 11 41 a. m.
im Atlantischen Ozean, im Mittel um 11 ^h 42 ^m a. m.	
PL	24,71° um 11 ^h 26 ^m a. m.
PS	25,30 um 11 32 a. m.
im Pazifischen Ozean, im Mittel um 11 ^h 29 ^m a. m.	

Es verdient hervorgehoben zu werden, daß diese auffallende Verfrühung des Wärmemaximums, welche Lenz gefunden zu haben glaubt, lediglich aus einer rechnerischen Operation, über deren unbedingte Zweckmäßigkeit man in diesem Falle vielleicht streiten könnte, sich ergibt und nicht auf direkten Beobachtungen beruht. Lenz erwähnt dann, daß die Erscheinung nicht für tropische Landstationen, auch nicht für die Meeresgebiete außerhalb der Tropen Geltung habe. Zur Erklärung des Phänomens in den Tropen führt er den aufsteigenden Luftstrom und die sich gegen Mittag hin steigende Verdunstung, welche Abkühlung bringt, an, ohne des näheren darüber sich auszulassen, und besonders, ohne anzugeben, warum die Erscheinung nur auf See statt hat, und im Pazifischen Meere das Temperaturmaximum soviel früher als im Atlantischen Meere eintritt. Endlich findet er nach den ihm vorliegenden Messungen der Temperatur des Oberflächenwassers, daß — merkwürdig genug — im Atlantischen Ozean das Meereswasser seine höchste Temperatur im Laufe des Tages um 11^h 41^m a. m. erreiche, im Pazifischen Ozean aber erst um 2^h 33^m p. m.!

Neuhauß (1884) hat zur Prüfung dieser Ergebnisse von Lenz innerhalb der Tropenzone während der kritischen Zeit von 11^h a. m. an das Thermometer, wie er sagt, überhaupt nicht aus den Augen gelassen und findet, daß das Temperaturmaximum mit dem höchsten Stand der Sonne zusammenfällt; „übrigens hielt sich dasselbe von 10^h a. m. bis 2^h p. m. bisweilen gleichmäßig . . . Größere Abweichungen brachten die Regenböen. Während derselben sank das Thermometer um mehrere Celsiusgrade, stieg aber bald wieder auf die ursprüngliche Höhe“. Plehn (1892) endlich fand auf der Fahrt im Nordindischen Ozean den mittleren Eintritt des Maximums im März um 2^h p. m., im April um 1^h p. m. Seine Maximumtermine fallen sämtlich auf den Mittag und Nachmittag, nie ante meridiem.

Ich für meine Person habe, solange wir uns auf der offenen See in den Tropen befanden, beständig diese Sache verfolgt und zeitweise die Thermometer von 10 zu 10 Minuten abgelesen. Mein Gesamtergebnis kann ich dahin zusammenfassen, daß gerade in den Tropen der Eintritt des täglichen Temperaturmaximums zu äußerst verschiedenen Zeiten erfolgt und es überhaupt sehr schwierig sein dürfte, darüber auf Grund von einigen wenigen Reisen zu entscheiden. Der tägliche Gang des Thermometers ist, besonders solange die Sonne über dem Horizont sich befindet, ein sehr unregelmäßiger¹⁾; es kommt dabei die Bewölkung in Betracht, welche vielfach gegen Mittag zunimmt und augenfällig dadurch eine kleine Abnahme der Temperatur bedingt, besonders aber der Einfluß der Regenböen und Regenschauer, welche, wie wir im nächsten Abschnitt sehen werden, eine zwar vorübergehende, aber ganz bedeutende Abkühlung bringen. Fallen diese Schauer in die Mittagstunde, so wird sehr leicht das Temperaturmaximum auf den Vormittag verlegt. Auch die Windstärke ist von nicht zu unterschätzender Bedeutung, da Windstille und laue Brise die Temperatur ansteigen lassen, während bei frischem Wind die Luftwärme sehr konstant bleibt; und zwar gilt dies auch für Beobachtungen mit dem Aspirationspsychrometer, so daß also dieser Einfluß des Windes nicht etwa bloß auf

¹⁾ Jeder, der die von den Richard'schen Thermographen bei großer Hitze geschriebenen Kurven gesehen hat, weiß, daß an solchen Tagen auch in unseren Gegenden um die Mittagszeit herum die Temperatur fortwährend und stark und plötzlich sich ändert.

scheinbare, durch die Anbringung der Thermometer in Jalousiekästen verursachte Temperaturänderungen sich zurückführt.

Außerdem sind genaue Bestimmungen der Lufttemperatur an Bord der Schiffe so vielen Zufälligkeiten ausgesetzt¹⁾, daß man 1 bis 2 Zehntelgrad überhaupt nicht garantieren kann: und doch handelt es sich, wie man aus den oben gegebenen Lenzschen Zahlen sieht, bei dem Maximum, welches vor Mittag eintreten soll, um Differenzen von dem Mittagswert, welche ein Zehntel noch nicht erreichen! Dieses sind also Dinge, die sich durch einzelne ad hoc angestellte Beobachtungen kaum beweisen oder widerlegen lassen, die nur rechnerisch zu erledigen sind.

Wenn wir ferner sehen, daß die Differenzen zwischen den beobachteten und den von Lenz berechneten Temperaturen stellenweise über $0,1^{\circ}$ (bis zu $0,19^{\circ}$) betragen, so zeigt sich noch deutlicher, wie schwer solchen Ableitungen gegenüber durch die einzelne Beobachtung etwas zu machen ist.

Ein Punkt endlich ist von größter Wichtigkeit: die Fortbewegung des Schiffes. Wenn das Fahrzeug stark die geographische Breite ändert, so genügt dieser Umstand allein schon, um einen regelrechten Gang der Temperatur unmöglich zu machen; eine gewisse Amplitude ist zwar da, aber das Thermometer steigt oder fällt beständig, wenn man die zu gleichen Uhrzeiten an den aufeinanderfolgenden Tagen gemachten Ablesungen zusammenhält. Besonders wenn das Schiff von dem Gürtel höchster Erwärmung hinweg nach höheren Breiten steuert, wird leicht das Maximum scheinbar auf den Vormittag verlegt.

Dies sind meine Bedenken im allgemeinen. Es bleiben, wenn ich dieselben berücksichtige, besonders diejenigen, welche den Einfluss der Niederschläge betreffen, nur wenig Beobachtungstage meiner Reisen übrig, an denen ein einigermaßen normaler Verlauf der Temperatur angenommen werden durfte.

Unter 69 Tagen, an welchen ich stündliche oder noch häufigere Ablesungen der Thermometer um die Mittagszeit vornahm, fiel die höchste Temperatur

33mal auf 12 ^h a. m.	} 81% der Gesamtzahl,
7mal auf 1 ^h p. m.	
16mal zwischen 2 ^h bis 4 ^h p. m.	} 19% der Gesamtzahl.
10mal auf 10 ^h a. m.	
3mal auf 8 ^h a. m.	

Es zeigt sich, daß das Temperaturmaximum in den meisten Fällen genau mit dem höchsten Sonnenstand zusammenfiel (vgl. Neuhaufs a. a. O., S. 2 u. 5), außerdem aber eine ausgesprochene Neigung hat, sich wie über dem Land etwas zu verspäten. Die Angabe der zu den vollen Stunden beobachteten Temperaturen würde nun, da nach Lenz um 11^h a. m. das Maximum eintreten soll, nicht beweisend sein, wenn nicht die Fälle, in denen das Maximum 1^h p. m. und später stattfand, viel häufiger wären als die, in denen es vor 12^h a. m. lag. Hier verhalten sich diese Fälle — also von der Mittagsstunde selbst abgesehen — wie 23:13.

Sehr deutlich ist ein Verhältnis zwischen der Zeit des Eintrittes des Maximums und der Windstärke insofern zu konstatieren, als das Maximum bei ganz flauem Wind oder Windstille unter sonst gleichen Umständen sehr viel später (am Nachmittag) eintritt als bei frischem Wind. Freilich kommen auch da viele Unregelmäßigkeiten vor.

Von Expeditionen, deren meteorologische Beobachtungen vollkommen einwurfsfrei erscheinen, sind die des Challenger, der Gazelle und der Novara vielleicht in erster Linie zu nennen: eine Durchsicht der Originalpublikationen in bezug auf die hier behandelte Frage hat folgendes ergeben. (Es sind alle Tage, an denen störende Einflüsse den regelmäßigen Gang der Temperatur geändert zu haben scheinen, sorgfältig ausgeschieden worden.)

¹⁾ S. hierzu auch den vorigen Abschnitt.

Eintritt des Temperaturmaximums.

Auf dem Challenger: an 103 Tagen um 12^h a. m., 2^h p. m., 4^h p. m. (77 $\frac{2}{3}$ %),
an 31 Tagen um 10^h a. m., 8^h a. m. (23 $\frac{2}{3}$ %),

134 Tage in tropischen Meeren.

Auf der Gazelle: an 66 Tagen um 2^h p. m. (63 $\frac{2}{3}$ %),
an 39 Tagen um 10^h a. m. (37 $\frac{2}{3}$ %),

105 Tage in tropischen Meeren.

(Hier ist sehr auffallend, daß das Maximum nie auf 12^h mittags fiel.)

Auf der Novara: an 43 Tagen um 12^h a. m. und 2^h p. m. (70 $\frac{2}{3}$ %),
an 19 Tagen um 10^h a. m. (30 $\frac{2}{3}$ %),

62 Tage in tropischen Meeren.

(Unter den 43 Tagen der oberen Reihe ward das Maximum 21mal um Mittag, 22mal um 2^h p. m. und später abgelesen.)

Alle diese Zahlen in Verbindung mit den Beobachtungen von Neuhaufs und Plehn scheinen mir klar zu beweisen, daß die Kurve, durch welche man den Gang der Tages-temperatur graphisch ausdrücken kann, in der ganz überwiegenden Zahl der Fälle ihren Scheitelpunkt frühestens um Mittag, sehr vielfach erst in den Nachmittagsstunden erreicht, daß also Lenz' Ansicht einer Verfrühung des Maximums nicht zutreffend ist. Höchstwahrscheinlich hat Lenz auf den großen Einfluß störender Nebenumstände zu wenig Rücksicht genommen.

Folgende zwei Beobachtungsreihen mögen zeigen, wie äußerst schwierig es ist, reine Tagesperioden zu erhalten. Ich bestimmte (mit dem Aspirationsthermometer) am 12. November 1891 von 6^h a. m. bis Mitternacht stündlich die Lufttemperatur; das Schiff legte in dieser Zeit etwa 105 Seemeilen in SW-Richtung zurück, und zwar zwischen ungefähr 5° und 3° N. Br. unter 26° und 27° W. L.

	a. m.												p. m.											
	6	7	8	9	10	11	11,30	12	0,30	1	2	3	4	5	6	7	8	9	10	11	12			
Therm.	26,5	26,7	26,9	27,0	27,5	28,0	28,7	28,9	28,8	28,6	28,7	28,6	28,9	29,7	29,5	29,1	28,3	28,9	28,7	28,9	28,6			
Wind	ENE4	ENE4	ENE4	ENE4	ENE4	ENE4	ENE4	ENE4	ENE4	ENE4	ENE4	ENE4	ENE4	ENE4	ENE4	ENE4	ENE4	ENE4	ENE4	ENE4	ENE4			
NB. 6 ^h ganz leichter Schauer aus E. Nach 10 ^h Böen aus NNE bis SE. 11 ^h 10 ^m starke Regenböe aus SE.																								
NB. 6 ^h 30 ^m Regen aus SE. 6 ^h bis 11 ^h wiederholt steife Regenböen aus der Windrichtung.																								

An diesem Tage hatte sich das Schiff vormittags noch an der südlichen Grenze des Kalmengürtels befunden, nachmittags dann den vollen SE-Passat gefaßt. Das Abflauen des Windes um 10^h a. m., verbunden mit heftigen Regenböen, bewirkte, daß die höchste Tages-temperatur um 10^h a. m. beobachtet wurde; ein zweites, kleineres Maximum fiel in die Nachmittagsstunden von 3–4^h p. m.: da erst war die durch die Böen verursachte Abkühlung überwunden.

Ferner: am 20. November 1891 (Mittags in 17° S. Br. und 35° W. L.) machte ich an einem im Jalousiekasten befindlichen Psychrometer (Fuefs 755/756) folgende Ablesungen:

	a. m.												p. m.											
	8	9	10	11	11,15	11,30	11,45	12	0,15	0,30	0,45	1	2	3	4	5	6	7	8					
Thermom. trocken.	25,4	26,5	26,5	26,5	26,8	26,8	26,8	26,4	26,4	26,7	26,7	26,6	26,5	26,5	26,5	26,5	26,5	26,5	26,5					
Thermom. feucht.	21,9	22,0	22,1	22,1	22,0	22,0	22,0	22,0	22,0	22,0	22,0	22,0	22,0	22,0	22,0	22,0	22,0	22,0	22,0					
Wind.	ENE4	ENE4	ENE4	ENE4	ENE4	ENE4	ENE4	ENE4	ENE4	ENE4	ENE4	ENE4	ENE4	ENE4	ENE4	ENE4	ENE4	ENE4	ENE4					

In diesen 12 Stunden lief das Schiff im herrlichsten Passatwetter 80 Seemeilen nach Süden (nach höhern Breiten!), die Sonne schien beständig, die Windstärke war, wie man sieht, recht gleichmäßig, Regenböen kamen nicht vor. Und gleichwohl liegt deutlich die höchste Temperatur zwischen 11^h und 11^h 30^m a. m. Dies ist ein Beispiel, welches Lenz recht zu geben scheint. Aber auch hier kann eine ausreichende Erklärung gegeben werden: obwohl der Thermometerkasten während der sämtlichen 12 Stunden vollkommen im Schatten sich befand, so war doch vermöge der Segelstellung am Vormittag das

gesamte Schiff weit mehr der Einwirkung der Sonnenstrahlung ausgesetzt, als nachmittags. Ich kann dies hier nicht näher auseinandersetzen, aber die Thatsache ist zweifellos, und so zeigte sich hier unvermeidlich vor Mittag eine höhere Temperatur als um Mittag und nach Mittag. Auch ist das starke Vorrücken des Schiffes nach höherer Breite mit anzuführen. Kurzum, stets kann man da, wo Lenz' Behauptung sich zu bestätigen scheint, ohne Mühe nachweisen, daß besondere Umstände eine Verfrühung des Eintrittes des Tagesmaximums verursachten.

Einfluß der Niederschläge auf die Lufttemperatur, besonders in den Tropen.

Wir haben im ersten Teil dieser Abhandlung (S. 12—15 und S. 28—29) gesehen, daß Regen die Temperatur und den Salzgehalt des Seewassers an der Oberfläche des Meeres nur sehr wenig zu ändern vermag; selbst die stärksten, stundenlang andauernden Regenfälle vermochten das Seewasser nur um $0,7^{\circ}\text{C}$. im Höchstbetrug abzukühlen und seine Salinität um $1,1/_{00}$ zu verringern.

Die Lufttemperatur unterliegt einer ungleich bedeutendern Einwirkung durch die Niederschläge. Ich habe sämtliche von mir beobachteten bemerkenswerten Regenfälle (R^0 , R^1 &c.) mit Bevorzugung der tropischen Gegenden zusammengestellt und gebe darnach die folgende Tabelle, in welcher die Niederschläge nach ihrer Stärke geordnet erscheinen und die Zahlen die Erniedrigung der Temperatur der Luft und des Wassers erkennen lassen. Ganz schwache Strichregen, wie sie öfters im Passat aus einer kleinen, schnell vorüberziehenden Wolke fallen, sind nicht berücksichtigt.

R^0 (schwach)		R^1 (mäßig)		R^2 (heftig)		R^3 (sehr schwer und anhaltend)	
Luft.	Wasser.	Luft.	Wasser.	Luft.	Wasser.	Luft.	Wasser.
— 0,3	0,0	— 1,3	0,0	— 2,2	— 0,6	— 3,0	— 0,5
— 0,3	0,0	— 1,6	0,0	— 2,6	0,0	— 2,7	— 0,2
— 0,2	0,0	— 1,3	— 0,1	— 2,6	— 0,2	— 2,6	— 0,7
— 0,4	— 0,1	— 1,4	— 0,3	— 1,7	— 0,6	— 3,2	— 0,3
— 0,3	0,0	— 1,4	— 0,4	— 1,9	— 0,3	— 2,9	— 0,5
		— 1,3	+ 0,3	— 2,1	— 0,6	— 2,8	— 0,5
		— 1,2	+ 0,1				
		— 1,6	— 1,0				
— 0,3	0,0	— 1,6	— 0,2	— 2,2	— 0,4	— 2,9	— 0,5

Die zu Grunde liegenden Temperaturen für Luft sowohl als für Wasser waren stets höher als 25° , meist zwischen 26° und $27,5^{\circ}$, während die Temperatur des Regenwassers im Mittel der 18 Messungen, die ich vorgenommen habe, $23,8^{\circ}$ war (Minimum $22,4^{\circ}$, Maximum $25,0^{\circ}$). Man kann sagen, daß die Lufttemperatur 6mal stärker durch Regen beeinflusst wird als die Wassertemperatur.

Dies gilt wenigstens für die Tropen. Damit wird auch die Temperaturdifferenz von Luft und Wasser, welche für das Gebiet der malaischen Inselwelt zur Zeit des SW-Monsuns abnorm groß, zu $2-3^{\circ}$, gefunden worden ist, verständlich¹⁾. Die Meeresoberfläche dieser Binnengewässer ist immer vergleichsweise sehr warm, auch während des Regens, dagegen kühlt sich die Luft durch die vielen Niederschläge, welche an den Küsten noch besonders stark auftreten, erheblich ab. Daß eine so große Differenz zwischen Luft- und Wassertemperatur für die Tropen allein in dieser Gegend konstatiert worden ist, dürfte seinen Grund in dem Charakter der Gewässer haben, welche vorwiegend Binnenmeere darstellen. Alle anderen äußerlich ähnlich gearteten Gewässer der Tropen — man könnte eigentlich nur die westindischen noch anführen — sind doch insofern wesentlich davon verschieden, als sie durch Meeresströmungen stark reguliert werden und sich nicht in dem Grade lokal erwärmen, wie das austral-asiatische Mittelmeer. Auch sind die Regenverhältnisse andre²⁾.

¹⁾ Siehe die Erörterungen darüber in dieser Arbeit, I. Teil, S. 14 und 15.

²⁾ Hann, Handbuch der Klimatologie, S. 353 ff.

Wenn man bedenkt, daß die Temperatur des Regenwassers im Mittel $23,8^{\circ}$ betrug, und die Lufttemperatur gleichzeitig nur um 4° , höchstens 5° höher war, so sieht man, daß eine durch Regen hervorgerufene Abkühlung um 3° (im Höchstbetrage) eine außerordentlich große ist. Solch' beträchtliche, durch Niederschlag bedingte Temperaturstürze, wie sie in gemäßigten und höheren Breiten oft genug vorkommen, sind über den tropischen Ozeanen unmöglich; die feuchte Luft derselben, verbunden mit hohen Temperaturen, macht schon an sich eine Abkühlung durch Kondensation schwierig.

Was dann die Zeit anlangt, welche vergeht, bis die Luft nach dem durch den Niederschlag verursachten Temperaturfall ihre normale Wärme wieder erlangt, so kann man sagen, daß leichte Regen (in der Tabelle oben mit R^0 bezeichnet) nur für eine halbe bis zu einer ganzen Stunde den regelrechten Gang der Temperatur zu stören vermögen. Stärkere Niederschläge werden aber keineswegs so schnell in ihrer Wirkung auf die Lufttemperatur unschädlich gemacht, wie oft angegeben wird, und deshalb ist es gerade auf See so ungeheuer schwer, eine Reihe von Beobachtungen zu erhalten, welche den täglichen Gang der Temperatur ganz ungestört zeigen. Nach meinen Aufzeichnungen ist die Wirkung heftiger Regengüsse (R^2) auf die Lufttemperatur wenigstens 5, 6 Stunden nach Erreichung des niedrigsten Thermometerstandes noch nachweisbar; bei den ganz schweren, anhaltenden tropischen Regenfällen (R^3) erreichte das Thermometer erst nach 8—12 Stunden seinen ursprünglichen Stand.

Über das Verhältnis der Wassertemperatur zur Lufttemperatur auf den Ozeanen.

Dieses für viele Fragen der maritimen Meteorologie ungemein wichtige Verhältnis hat, nachdem v. Boguslawski¹⁾ (1884) kurz darauf eingegangen war, erst durch Köppen²⁾ (1890) eine eingehende Untersuchung erfahren, wobei eine Reihe interessanter Thatsachen aufgedeckt wurden. Köppen hat dabei natürlich überall, wo möglich, die vorliegenden Publikationen, welche meist ein Ableiten von Monats- und Jahresmitteln gestatteten, benutzt: ich kann hier nur auf meine Beobachtungsreihen zurückgreifen. Wenn ich gleichwohl im folgenden die hieraus resultierenden Zahlen veröffentliche, so geschieht es, einmal, weil meine Reisen in keiner bemerkenswerten Weise vom gewöhnlichen Verlaufe abwichen, so daß es vielleicht schon deshalb nicht ohne Nutzen ist, zu sehen, wie im einzelnen Falle in den verschiedenen Gegenden das Verhältnis sich herausstellt, sodann aber und besonders, weil hier die Lufttemperaturen mit dem Aspirationsthermometer gemessen sind, wodurch, wie wir gleich sehen werden, die Differenzen zwischen Luft- und Wassertemperatur fast durchgängig gegenüber den früheren Angaben sich vergrößert haben. Da es, wie oben (S. 96) auseinandergesetzt wurde, nicht wohl möglich war, das Aspirationsthermometer zu allen Beobachtungsterminen, besonders auch nachts, abzulesen, so habe ich bei der Ableitung der Differenzen Luft minus Wasser nicht sämtliche im Laufe von 24 Stunden erhaltenen Vergleichsbestimmungen benutzt, sondern nur die zwei um 8^h morgens und abends. Diese Termine geben für meine Zwecke schon sehr gut das natürliche Verhältnis zwischen Luft- und Wassertemperatur wieder.

Da, wo mir für längere Zeiten direkte Messungen der Lufttemperatur mit dem Aspirationsinstrument nicht möglich gewesen sind (besonders außerhalb der Tropen, bei ungünstigem, schweren Wetter), benutze ich die an dem Standthermometer abgelesenen Werte, unter Anbringung von Korrekturen, welche ich aus anderweitigen Vergleichen abgeleitet hatte (vgl. darüber diesen Teil, S. 96), wobei besonders die Windstärke immer in Rücksicht gezogen wurde.

¹⁾ Handbuch der Ozeanographie I, S. 221—226.

²⁾ Annalen der Hydrographie und maritimen Meteorologie XVIII, S. 445—454.

Ich stelle zunächst die mittlern Temperaturunterschiede für die verschiedenen ozeanographisch getrennten Meeresgebiete zusammen; — bedeutet dabei, daß die Luft kälter war als das Wasser, +, daß sie wärmer war. Die tropischen Meere sind hier einfach als durch die Wendekreise begrenzt angenommen worden.

	Mittel. ° C.	Maxim. ° C.	Minim. ° C.	Beob.- Tage.	
I. Tropische Meere:					
1. Nordatlantischer Ozean	— 0,72	— 1,1	— 0,4	25	} — 0,80° Mittel für die offenen tropischen Ge- wässer des Atlant. und Ind. Ozeans.
2. Südatlantischer Ozean	— 0,77	— 2,5	0,0	28	
3. Indischer Ozean, auf 86d-Breite	— 0,91	— 2,0	— 0,1	26	
4. Chinesee, im NE-Monsun	— 0,87	— 2,5	+ 0,6	13	} — 1,60° Mittel für die offenen außertropi- schen Gewässer des At- lant. und Ind. Ozeans.
5. Chinesee, im SW-Monsun	— 1,06	— 2,0	— 0,3	19	
6. Meerestrafen der malaischen Inselwelt	— 1,34	— 2,4	— 0,5	30	
II. Außertropische Meere:					
1. Nordatlantischer Ozean (östl. von 50° W. L.)	— 1,12	— 3,3	— 0,4	35	} — 1,60° Mittel für die offenen außertropi- schen Gewässer des At- lant. und Ind. Ozeans.
2. Südatlantischer Ozean	— 1,51	— 2,8	— 0,2	13	
3. Südliche Breiten des Atlantischen und Indischen Ozeans (ca 40° S. Br., inkl. Agulhasstrom)	— 2,10	— 8,4	+ 1,5	46	
4. Ostasiatische Gewässer, im NE-Monsun:					
a) Kalter chinesischer Küstenstrom	— 2,23	— 2,6	— 0,6	8	
b) Kuro-shiwo-Gebiet	— 3,18	— 7,4	— 1,2	11	

Bei Betrachtung der Differenzen zwischen Luft- und Wassertemperatur, wie sie nach dieser Tabelle sich darstellen, fiel mir im Gebiete der atlantischen Gewässer zunächst auf, daß dem südatlantischen tropischen Wasser ein größerer Wärmeüberschuss über die Luft zukommt als dem nordatlantischen (0,77° gegenüber 0,72°).

Die Isothermenkarten der Luft über dem Atlantischen Ozean, welche die Deutsche Seewarte (1882) veröffentlicht hat, sind noch nicht nach dem neuen von Köppen aufgestellten Prinzip konstruiert worden (wonach man die Luftisothermen in erster Linie nach den Wasserisothermen zeichnet, unter Anbringung bestimmter, ad hoc ermittelter Korrekturen), sondern nach den Resultaten von Schiffsbeobachtungen und den Messungen an günstigen Festlandestationen; daher konnte ich mein Ergebnis dadurch prüfen, daß ich mit Hilfe dieser Karten für einige Parallelkreise des Nord- und Südatlantischen Ozeans von 5° zu 5° Länge den Unterschied zwischen Wasser- und Lufttemperatur (unter Anwendung möglichst genauer graphischer Interpolation) bestimmte. Ich fand als mittlere Jahresdifferenz von Luft minus Wasser für

Breitengrad	Nord-Breite.	86d-Breite.	Überschuß der 86dhalbkugel.
10°	— 1,57°	— 1,66°	0,11°
20	— 1,46	— 2,13	0,67

Die Differenzen von Luft- und Wassertemperatur sind nach dieser Quelle sehr groß, doch hat dieser Umstand für unseren Zweck keine Bedeutung, vielmehr zeigt sich in ganz ausgezeichneter Weise auch hier wieder das aus meinen Reisebeobachtungen abgeleitete Verhältnis, daß die Differenzen (Luft minus Wasser) im süd tropischen Atlantischen Ozean größere sind als im nord tropischen: eine Erscheinung, die zweierlei Ursachen haben kann. Entweder ist es das Wasser, welches im Vergleich zur Luft abnorm hoch temperiert ist, oder es ist umgekehrt die Luft, welche im Vergleich zum Wasser abnorm niedrige Temperaturgrade hat. Dasjenige Medium nun, welches vorwiegend in der Richtung der Breitengrade sich bewegt, wird der Natur der Sache nach nicht der verursachende Faktor sein können, vielmehr dasjenige, welches möglichst meridionale Richtungen einhält, und zwar wird, da es sich in unserem Falle um einen Wärmeüberschuss des Wassers handelt, für das Wasser auf der Nordhalbkugel eine Bewegung von Süd nach Nord, auf der Südhalbkugel eine Bewegung von Nord nach Süd in Frage kommen, bzw. für die Luft eine nördhemisphärische N—S-Bewegung, und eine südhemisphärische S—N-Bewegung. Alle vier Bewegungen oder einzelne von ihnen müssen — nach der Theorie — einen Überschuss der Wasserwärme über die Luftwärme herbeiführen. Dabei ist aber von ungeheurer

praktischer Bedeutung die ganz ungleich größere Wärmekapazität des Wassers gegenüber der der Luft: während letztere vergleichsweise schnell und stark durch die Temperatur des unterlagernden Meerwassers beeinflusst wird, verhält sich die Wassertemperatur gegenüber einer stark differierenden Lufttemperatur außerordentlich träge¹⁾, und daher ist, praktisch genommen, für die vorliegende Frage eigentlich nur die Wasserbewegung von Bedeutung.

Wenn wir nun je eine Karte der Meeres- und der Luftströmungen zu Rate ziehen (etwa Krümmels und Köppens bekannte Karten), so finden wir für den zwanzigsten Parallelkreis, auf welchem, wie wir sahen, der Südatlantische Ozean gegenüber dem Nordatlantischen einen besonders großen Überschuss der Wasser- über die Lufttemperatur aufweist, folgendes interessante Verhältnis:

20° N. Br. Stromrichtung: WSW—W—WNW, im Mittel W.
Windrichtung: NE-N—NE (vorwiegend meridional!)

20° S. Br. Stromrichtung: NNW und SSW (vorwiegend meridional!)
Windrichtung: ESE—ENE, im Mittel E.

Auf der Nordhalbkugel ist also das für unsere Frage indifferente Medium das Wasser, auf der Südhalbkugel die Luft. Da aber ferner die nordhemisphärische N—S-Richtung der Luft aus dem eben angegebenen Grunde praktisch kaum eine Bedeutung hat, am allerwenigsten innerhalb der Tropen, so bleibt als einzig mögliche Ursache die von niedern nach höhern Breiten gerichtete SSW-Bewegung der Brasilienströmung übrig; sie allein kann und muß bewirken, daß auf gleicher entsprechender Breite das Wasser, verglichen mit der Luft, im Südatlantischen Ozean einen größern Wärmeüberschuss besitzt als im Nordatlantischen.

Für den gesamten tropischen Nordatlantischen Ozean und für das Gebiet der Brasilienströmung auf Südbreite ist das Ergebnis ohne weiteres verständlich. Aber unsere oben gegebenen Zahlen beziehen sich nicht bloß auf den westlichen Teil des tropischen Südatlantischen Ozeans; es sind auch die Beobachtungen aus dem Gebiet der nördlichen Aualäuf der sogenannten Benguelaströmung einbezogen, sowie jene in dem auf die Nordhemisphäre übertretenden Teil der Südäquatorialströmung. Diese beiden äquatorwärts gerichteten Wasserbewegungen müssen aber doch, solange die Differenzen (Luft minus Wasser) negativ bleiben, der Entstehung eines Wärmeüberschusses des Wassers über die Luft entgegenarbeiten. Wir können nun annehmen, eine solche entgegengesetzte Wirkung des Benguelastromes werde durch die ungleich größere Bedeutsamkeit des Brasilienstromes unschädlich gemacht, dergestalt, daß immer noch für die gesamte Breite des tropischen Südatlantischen Ozeans der große Wärmeüberschuss des Wassers vorhanden bleibt. Es ist diese Annahme durchaus dem angemessen, was wir über die Intensität beider Meeresströme wissen. Und was schließlich die etwa zwischen 10° und 0° S. Br. vorhandenen Äquatorialströmung mit einer zum Äquator gerichteten Komponente betrifft, so ist erstens diese meridionale Komponente nur sehr gering, und sodann beträgt ja auch für den zehnten Breitengrad der Unterschied der Differenzen von Luft minus Wasser nur noch 0,11° zu gunsten der Südhalbkugel.

Diese im vorstehenden besprochene Erscheinung bedeutet, daß auf gleicher tropischer Breite das südatlantische Wasser eine größere natürliche Wärmequelle darstellt als das nordatlantische; besonders gilt dies für die Breiten von 10° bis zum Wendekreis.

Bei Betrachtung der oben (S. 107) mitgeteilten Differenzen von Luft- und Wassertemperatur im atlantischen Gebiet fällt ferner auf, daß sie auch außerhalb der Tropen in den südlichen Breiten größer ist als in den nördlichen (—1,51° gegen —1,12°).

¹⁾ Die Wärme, welche 1 cbm Wasser abgibt, wenn es sich um 1° abkühlt, genügt, um mehr als 3000 cbm Luft um 1° zu erwärmen! (S. Köppen, in Annalen der Hydrographie &c. 1890, S. 445.)

Hier spielt aber die geographische Lage meines Reisewegs, welcher das Gebiet des Golfstroms nicht berührt hat, eine zu große Rolle. Das Ergebnis hat nur Geltung für einen Vergleich des gesamten Südatlantischen mit dem östlichen Teil des Nordatlantischen Ozean, und hat, mit dieser Einschränkung, auch Wahrscheinlichkeit. Bestätigt wird dies, wenn wir wieder mit Hilfe der Isothermenkarten in dem Atlas der Deutschen Seewarte die mittlern Jahresdifferenzen von „Luft minus Wasser“ für einige Breitenkreise berechnen; wir erhalten dann z. B.

für 35° S. Br.	— 1,41°
für 35° N. Br.	{ — 1,30° (östl. von 50° W. L.)
	{ — 2,25° (Gesamtbreite von Kap Hatteras bis Gibraltar, also inkl. Golfstrom).

Obne das Golfstromgebiet ist also auch nach dieser Quelle der Wärmeüberschuss des Wassers über die Luft noch auf 35° Br. im Südatlantischen Ozean größer als im Nordatlantischen. Diese im wesentlichen sehr gute Übereinstimmung der Ergebnisse meiner Beobachtungsreihen mit dem publizierten Kartenmaterial läßt mich annehmen, daß auch für die übrigen Meeresgebiete die ermittelten Differenzen von „Luft minus Wasser“ einigermaßen allgemeine Geltung beanspruchen können.

Wir sehen dann, daß innerhalb der tropischen Meere die Differenzen zunehmen, je enger, eingeschlossener die Gewässer sind. Auch die Jahreszeiten üben einen bemerkbaren Einfluß aus; zur Zeit des NE-Monsuns ist in der Chinasee beides, Wasser und Luft, kalt, und es resultiert eine Differenz von $-0,87^{\circ}$. Zur Zeit des SW-Monsuns ist das Wasser sehr warm und wird die Luft stark durch die Regen abgekühlt: wir finden eine Differenz von $-1,06^{\circ}$, welche Zahl bei einem Vergleich der Lufttemperatur an den Landstationen mit der über dem Meere noch beträchtlich größer wird ¹⁾.

Positive Differenzen waren innerhalb der Tropen äußerst selten, wenn man abseht von der mittäglichen starken Erhitzung der Luft, welche bewirkt, daß dann — aber nur für Stunden — die Luft wärmer ist als das Wasser. Den einzigen, wirklich interessanten Fall, bei welchem auch nachts die Luft wärmer war als das Wasser, habe ich bei Kap Padaran an der Küste von Cochinchina beobachtet: hier war am 21. März 1892 in einer Entfernung von etwa 20 Seemeilen vom Land die Luft um $0,6^{\circ}$ wärmer als das grünlich verfärbte, kalte Wasser: daß dies Verhältnis nur durch ein Aufquellen von Tiefenwasser bedingt worden ist und nur ganz lokale Bedeutung hatte, ist oben schon erwähnt worden (S. 69).

Beachtenswert sind ferner die ganz ungewöhnlich starken Veränderungen, welche das Verhältnis zwischen Luft- und Wassertemperatur in den Breiten südlich vom Kap der Guten Hoffnung zeigt. Wenn man etwa auf 40° S. Br. von 35° W. L. bis 80° Ö. L. segelt, so wechselt die Differenz „Luft minus Wasser“ beständig und stark, auch in den Vorzeichen; unter 47° Ö. L. war die Luft um $1,9^{\circ}$ C. wärmer als das Wasser, unter 54° Ö. L. aber um $8,4^{\circ}$ (!) kälter als dieses. Die oben (S. 56—66) ansführlich auseinandergesetzten Strömungen dieses Meeresgebietes sind hierfür natürlich maßgebend; zieht man das Mittel, so finden wir für die ganze Gegend einen sehr bedeutenden Überschuss der Wasserwärme über die Luftwärme; doch gilt dies nur bis nach 40° und 41° S. Br. hin; weiter polwärts dürfte sich das Verhältnis bald in sein Gegenteil verwandeln ²⁾.

Die Differenzzahlen endlich, welche ich für die ostasiatischen Gewässer gefunden habe, sind recht charakteristisch: sie spiegeln auf das deutlichste den gewaltigen abkühlenden Einfluß wieder, den die winterlichen N- und NE-Winde dieser Gegenden auf die Lufttemperatur ausüben. Der Kontinent Asien gibt auch hier den Ausschlag. Obschon in dem Meeresgebiet zwischen Formosa und Japan ein sehr kalter Strom vorhanden ist, vermag derselbe doch nicht zu bewirken, daß die Luft über ihm wärmer erscheint als

¹⁾ S. oben S. 14 u. 105, sowie *Annalen der Hydrographie* &c. 1890, S. 451.

²⁾ *Annalen der Hydrographie* &c. 1890, S. 450.

das eigene Wasser: die vom Festand wehenden harten winterlichen Winde sind noch kälter, und so sehen wir, daß selbst im kalten chinesischen Küstenstrom die Differenz „Luft minus Wasser“ 2° übersteigt, und zwar zu Gunsten des Wassers. Daß nun über dem warmen Kuro-shiwo diese Zahl noch größer wird und im Mittel auf $3,13^{\circ}$ sich stellt, ist leicht verständlich. Es ist dies überhaupt der größte von mir beobachtete mittlere Temperaturunterschied. Obschon also der Kuro-shiwo, als Meeresströmung betrachtet, mit dem Golfstrom sich nicht messen kann, ist doch für die mittlern gemäßigten Breiten der ostasiatischen Gewässer infolge der sehr kalten Winde der Wärmeüberschuß des Wassers über die Luft ungefähr ebenso groß wie im Golfstromgebiet. Da hier die Winde, je nachdem sie aus polarer oder äquatorialer Richtung wehen, ungemein verschiedene Temperaturgrade mit sich bringen, so würde ich das eben ausgesprochene Urteil über die thermische Bedentsamkeit des Kuro-shiwo allein auf Grund meiner zwei Durchquerungen des Gebiets kaum genügend gestützt haben, wenn ich nicht in einer früheren Arbeit, die wesentlich andere Zwecke verfolgte, zu genau demselben Resultate gekommen wäre. Es hieß da¹⁾: „Im Kuro-shiwo-Gebiet ist der Wärmeüberschuß des Wassers über die Luft gering in den niedrigen und hohen Breiten, sehr groß aber in den mittlern Breiten, zum Zeichen, daß hier der Kuro-shiwo thermisch am weitesten aus den für die betreffenden Breiten normalen Verhältnissen herausfällt, daß er hier sozusagen seine größte thermische Anomalie zeigt.“

Überblickt man das Gesamtergebnis dieser Betrachtung, so findet man, daß, von ganz wenigen Ausnahmen abgesehen, das Wasser der Meeresoberfläche eine ungeheure natürliche Vorratskammer von Wärme darstellt, unter hohen wie niedrigen Breiten.

Dieses Faktum ist, abgesehen von seiner allgemein wissenschaftlichen Bedeutung, auch für die Schifffahrt von Wichtigkeit. Wäre im großen Durchschnitt das Wasser ebenso warm wie die Luft, so würde ungemein oft und leicht bei einem schnellen Auftreten eines warmen, feuchten Windes die Differenz „Luft minus Wasser“ positiv werden. Fehlten dann noch vertikale Luftbewegungen, so würden stets Nebel auftreten, indem der Dampfgehalt der hereinbrechenden warmen Luftmassen durch die dicht über dem Wasser lagernde relativ kalte Luft zur Kondensation gebracht wird. So aber vermag sich auch in solchem Falle die Wassertemperatur mit der Lufttemperatur meist noch auf gleicher Höhe zu erhalten, und es kommt daher vorzugsweise nur über den eigentlichen kalten Meeresströmungen zu häufigem Nebel. Es genügt ein sehr kleiner Wärmeüberschuß der Luft, um ihren Dampfgehalt zur Kondensation über dem kalten Wasser zu bringen. Der Nebel beschränkt sich dann oft auf sehr geringe Höhe, so daß die Mastspitzen unter Umständen aus ihm herausragen. Während eines drei Tage andauernden Nebels im Südatlantischen Ozean (in der Gegend von Tristan d'Acunha) war im Durchschnitt die Luft um $0,6-0,7^{\circ}$ wärmer als das Wasser; bei einem andern sehr dicken Nebel zwischen den Azoren und der Kanalmündung betrug dieser Überschuß gar nur $0,2-0,3^{\circ}$.

Selbstverständlich ist der Feuchtigkeitsgehalt der Luft dabei von größter Bedeutung; hierüber mögen nun einige Angaben folgen.

Über die Feuchtigkeitsverhältnisse der Luft auf den Meeren.

„Über den Wasserdampfgehalt der Luft auf dem Ozean ist nur sehr wenig bekannt, weil die Beobachtungen darüber noch spärlich, wenig verarbeitet und teilweise auch unzu-

¹⁾ Peterm. Mitteil. 1891, S. 219.

länglich sind wegen der Schwierigkeit einer richtigen Behandlung der dazu erforderlichen Instrumente an Bord von Schiffen.“¹⁾ In der That liegt hinsichtlich der Beobachtungen des Psychrometers, welches allein hier in Frage kommen kann, die Sache im allgemeinen ebenso wie hinsichtlich der Ariometerablesungen, von denen im ersten Teil dieser Arbeit die Rede war. So einfach an sich die Behandlung des Instruments ist, so schwierig ist es, die gerade auf See hinzukommenden störenden Nebeneinflüsse unschädlich zu machen. Unter den letztern erwähnte ich schon im Eingang dieses Abschnittes (S. 99) als wichtigsten den Salzstaub, d. h. die in der Luft über den Meeren beständig in mehr oder weniger stärkerem Grade vorhandenen kleinen und kleinsten Salztheilchen, welche, vom Winde als kleine Seewassertröpfchen der Meeresoberfläche entnommen, nach Verdunstung des Wassers auf dem Schiffe sich festsetzen. Dieses Salz dringt überall hin; ich habe dasselbe nach heftigem Winde öfters in großen Mengen gefunden, es bedeckte die Unterlage wie mit einer feinen Schicht Schnee, auch an Stellen, zu welchen Spritzwasser direkt nicht hatte gelangen können. In kurzer Frist wird hierdurch die Gaze des feuchten Thermometers mit einer die Verdunstung hindernden Salzschrift überzogen, die sich bald durch stetiges Abnehmen der psychrometrischen Differenz bemerkbar macht.

Dieser Umstand, ferner der häufig eintretende Mangel einer wenn auch nur mäßigen Luftzirkulation, sowie die Notwendigkeit einer beständigen, sachgemäßen Befeuchtung der Thermometerkugel geben die Berechtigung zu der Annahme, daß wir verhältnismäßig sehr wenig zuverlässige Psychrometerbeobachtungen von See besitzen. Die vorhandenen tadellosen Beobachtungsreihen sind aber, soviel mir bekannt, noch kaum nach geographischen Gesichtspunkten verarbeitet worden. Ich habe versucht, meine Psychrometerbeobachtungen solchen Zwecken einigermaßen nutzbar zu machen. Selbstverständlich kann ich hier nur das geben, was gerade während meiner Reisen zur Beobachtung kam; die Resultate aber scheinen mir, wenn ich sie untereinander vergleiche, eine recht gute Annäherung an die wahrscheinlichen mittleren Feuchtigkeitsverhältnisse der Luft über den verschiedenen Teilen der Meere zu geben. Es war dabei der Umstand von großem Vorteil, daß ich die Ozeane in verschiedenen Gegenden und in verschiedener Jahreszeit zweimal durchquert habe. Zu Grunde gelegt sind die am Standpsychrometer gemachten Ablesungen; die mittlern Abweichungen von den Angaben eines Normalinstruments sind, was die in den tropischen Gegenden gemachten Messungen anlangt, oben S. 96 u. 99 angegeben. Da ich sämtliche Beobachtungen verrechnet habe, mußte ich der Gleichmäßigkeit wegen die mit dem Aspirationspsychrometer ermittelten Feuchtigkeiten hier im allgemeinen außer Acht lassen.

Ich trennte dann die Beobachtungen nach den einzelnen Meeresgebieten, was meist sehr leicht und zwanglos an der Hand der Windverhältnisse geschehen konnte, und berechnete für das betreffende Gebiet einen mittleren Wert der absoluten Feuchtigkeit, des Sättigungsdefizites und der relativen Feuchtigkeit, obschon sich vielleicht gegen die Zulässigkeit einer Mittelbildung bei der relativen Feuchtigkeit einiges sagen ließe. Die ferner in den Tabellen vorkommende Spalte „Theoretischer Psychrometerstand“ enthält die den Psychrometertafeln entnommenen Temperaturen eines trocknen und feuchten Thermometers, welche den in den zwei ersten Spalten gegebenen mittleren Werten der absoluten und relativen Feuchtigkeit entsprechen würden. In der letzten Reihe findet man endlich die thermometrische Differenz dieses ideellen Psychrometers.

Es folgen nun zunächst die Beobachtungen selbst; daran schlossen sich einige Bemerkungen über das gegenseitige Verhältnis und die klimatologische Bedeutung der drei Ausdrücke, welche wir für die Luftfeuchtigkeit besitzen.

¹⁾ Aus „Segelhandbuch f. d. Atlant. Ozean“, herausgeg. von d. D. Seewarte. S. 110.

Die Feuchtigkeit der Luft über den Ozeanen, nach ihrer geographischen Verteilung.

Tabelle I. Offener Atlantischer und Indischer Ozean.

Gebiet.	Absol. Feuchtigkeit von Quecksilber.	Relat. Feuchtigkeit %	Sat- tigungs- Defizit. von Quecksilber.	Theoretischer Psychrometer- stand. ° C.	Psychro- metrische Differenz. ° C.	Bemerkungen.
1. Nordatlantische veränderliche Winde (vorwiegend aus West)	12,1	82	2,1	17,4 — 15,6	1,8	Ausreise und Heimreise, beide im Herbst.
2. Südatlantische und südindische veränderliche Winde (vorwiegend aus West)	10,2	84	1,9	14,4 — 12,9	1,5	Gültig für 40° S. Br. von 40° W. L. bis 80° Ö. L., im Sommer.
3. Rofsbreitengürtel, im Nordatl. Oz.	14,9	72	5,7	22,9 — 19,6	3,3	Ausreise und Heimreise.
4. Derselbe, im Südatlantischen Ozean	12,2	75	4,2	18,9 — 16,3	2,6	Desgl.
5. Derselbe, im Südindischen Ozean	13,9	79	3,6	20,3 — 18,0	2,3	Desgl.
6. Atlantischer NE-Passat: a) Östlicher Strich	14,5	66	7,6	24,0 — 19,8	4,2	Unter den Meridianen der Kanaren und Kap Verde, s. Text, S. 113—116. Unter ca 30°—40° W. L.
b) Westlicher Strich	18,8	79	4,7	25,4 — 22,7	2,7	
c) Im Mittel aus a) und b) . . .	16,7	73	6,1	24,7 — 21,5	3,4	
7. Atlantischer SE-Passat: a) Östlicher Strich	16,6	84	3,8	22,0 — 20,2	1,8	Gebiet der Benguelaströmung.
b) Westlicher Strich	18,3	75	5,8	25,5 — 22,4	3,1	Gebiet der Brasilienströmung.
c) Im Mittel aus a) und b) . . .	17,4	80	4,5	23,7 — 21,3	2,4	
8. Indischer SE-Passat: a) Auf der Ausreise	19,2	79	4,9	25,7 — 23,0	2,7	Unter 85°—87° Ö. L.
b) Auf der Heimreise	18,0	80	4,2	24,4 — 21,9	2,5	Sundastraße — Madagaskar.
c) Insgesamt	18,6	79	4,5	25,1 — 22,5	2,6	
9. Pazifischer NE-Monsun: a) In der Chinasee (tropisch) . . .	17,8	83	3,4	23,3 — 21,2	2,0	} Februar und März.
b) Ekotropisch, bis 35° N. Br. . .	8,3	77	2,5	12,4 — 10,4	2,0	
10. Atlantischer Kalmengürtel	21,6	84	4,0	26,3 — 24,5	2,0	Ausreise und Heimreise, inkl. Gebiet des SW-Monsuns.
11. Indischer Kalmengürtel	21,5	81	5,0	27,0 — 24,6	2,4	Inklusive Gebiet des NW-Monsuns.
12. Nordatlantischer Ozean zwischen $\left\{ \begin{array}{l} 0^\circ \text{ u. } 50^\circ \\ \text{N. Br.} \\ 0^\circ \text{ u. } 40^\circ \\ \text{W. L.} \end{array} \right\}$	16,3	78	4,5	23,1 — 20,5	2,6	
13. Südatlantischer Ozean, bis 40° S. Br.	13,3	80	3,4	19,3 — 17,3	2,1	
14. Südindischer Ozean bis 35° S. Br.	14,3	80	3,4	20,5 — 18,3	2,2	
15. Atlantischer Ozean	15,0	80	4,0	21,7 — 19,0	2,3	
16. Indischer Ozean	16,1	80	3,8	22,4 — 20,1	2,3	

Tabelle II. Hinterindische Gewässer.

1. Ganze Chinasee, von der Linie bis Hongkong, im Februar	16,7	82	3,5A	22,5 — 20,5	2,0A	} Harter bis stürmischer NE-Monsun. Mäßiger bis flauer NE-Monsun.
2. Desgl. im März	19,3V	85V	3,4	24,4 — 22,6V	1,8	
3. Südliche Chinasee (0°—10° N. Br.) Anfang Februar	20,8	86A	3,4	25,5 — 23,8	1,7	} Frischer NE-Monsun. Flane Brise aus Ost. Vorwiegend Windstillen. Frischer SW-Monsun.
4. Desgl. Ende März	22,3	82	4,9	27,4 — 25,1	2,3	
5. Desgl. im April und Mai	22,0	81	5,3	28,1 — 25,6	2,5	
6. Desgl. im Juni	23,1V	80	5,8	28,5 — 25,8V	2,7V	
7. Malakkastraße, Januar und April	22,4	81	5,4	27,7 — 25,2	2,5	Januar: NE—E-Wind. April: NW-Wind.
8. Apiastraße, Gasparstraße, Javasee, Sundastraße im Juni	23,3	82	5,2	28,2 — 25,8	2,6	Veränderlich, meist flau aus SE.

Tabelle III. Ostasiatische Gewässer.

1. Kuro-shiwo-Gebiet	8,9	71	3,6	14,8 — 12,1	2,7	} Gegen Ende der Periode des NE-Monsuns.
2. Kalter chinesischer Küstenstrom . .	8,9	88	1,2	11,5 — 10,5	1,0	
3. Über dem Kuro-shiwo: a) Bei südlichem Wind	13,9	78	3,8	20,4 — 18,0	2,4	} Desgl.
b) Bei nördlichem Wind	6,8	61	3,9	13,9 — 9,5	3,5	

Betrachten wir zunächst die Passatsysteme im Atlantischen und Indischen Ozean, so kann uns die Sonderstellung nicht entgehen, welche die atlantischen Passate gegenüber den indischen hinsichtlich der Feuchtigkeitsverhältnisse der Luft einnehmen. Im indischen SE-Passat war sowohl auf der Ausreise, welche in ungefährer Süd-Nordrichtung den östlichen Teil desselben durchschnitt, als auf der Heimreise, welche in ONO—WSW-Richtung die ganze Breite des Passatgürtels durchquerte, die relative Feuchtigkeit fast genau dieselbe (79 und 80%). Die absolute Feuchtigkeit zeigt eine Differenz von 1,3 mm, was sich aus dem Umstand erklärt, daß auf der Rückreise etwas mehr Tage in den höheren als in den niederen Breiten der Passatzone zugebracht wurden, daher für diese Zeit eine etwas geringere natürliche Wasserdampfmenge resultiert; nimmt ja im allgemeinen *caeteris paribus* der Dampfgehalt der Luft mit zunehmender Breite ab. Da, wie wir noch im einzelnen nachher sehen werden, die relative Feuchtigkeit auf alle Fälle uns den wertvollsten Anhalt über die klimatisch wichtigen Eigenschaften der Luft liefert, so entnehmen wir dem eben Mitgeteilten, daß der indische Passat in seinem östlichen, nach Australien hin gelegenen Teile keine irgendwie anders beschaffene Luftfeuchtigkeit besitzt als in seinem westlichen Teile in der Gegend von Mauritius.

Vollkommen anders liegt die Sache in beiden Passaten des Atlantischen Ozeans. Wir haben hier zwischen einem westlichen und einem östlichen Strich zu unterscheiden, wie sich in ungezwungener Weise aus meinen zwei Reisewegen ergibt. Gehen wir vom SE-Passat aus, so finden wir im Osten (St. Helena—Äquator) die Luft bei einem Wasserdampfgehalt von ungefähr 16 g pro cbm relativ sehr feucht (84%), die thermometrische Differenz an dem gedachten Psychrometer ist nur 1,8°, während sie sonst in den Tropen überall 2° übersteigt. Nach der brasilianischen Küste hin ist dieselbe Passatlufte trotz eines größeren Dampfdruckes trockener (75%) und das Sättigungsdefizit recht bedeutend (3,1). Hier liefern uns augenscheinlich die Meeresströmungen eine genügende Erklärung. Der östliche Strich fällt ganz in das Bereich der sogenannten Benguelastömung, und wir haben oben (S. 50—55) ausführlich auseinandergesetzt, daß diese Strömung gerade in den niederen Breiten, in der Nähe des Äquators, thermisch am weitesten aus den für diese Gegenden normalen Verhältnissen herausfällt. Bei dem engen Zusammenhang nun, der zwischen der Meeres- und der Lufttemperatur besteht, ist es nur natürlich, daß in diesem östlichen Passatstrich die Lufttemperatur auch niedrig ist; die 22°-Isotherme liegt nach dem Atlas der D. Seewarte im August zwischen Ascension und St. Helena, wozu die Angabe unseres gedachten Psychrometers (22,0°—20,2°) gut paßt. Daher kann, selbst wenn der absolute Dampfgehalt im Osten kleiner ist als im Westen, die Luft vermöge der Einwirkung der Temperatur doch sehr feucht sein. Das umgekehrte Verhältnis liegt im Westen vor; hier bringt die Brasilienströmung warmes Wasser und damit auch warme Luft in hohe Breiten, deshalb erscheint trotz etwas größeren absoluten Dampfgehaltes die Luft an der brasilianischen Küste trocken.

Wir sollten nun im Nordatlantischen Passatgebiet denselben Gegensatz erwarten: über der kühlen Kanarenströmung sollten wir relativ feuchte Luft, weiter im Westen nach dem Golfstrom hin relativ trockene Luft finden. Aber hier ist das gerade Gegenteil der Fall. Zunächst ist indes zu bedenken, daß meine Reiseroute nicht westlicher als 40° W. L. reicht, also das Golfstromgebiet gar nicht berührt hat. Dies gibt aber durchaus keine Erklärung für die ganz abnorme Trockenheit des NE-Passats im Osten. Nirgends habe ich, selbst nicht in den zur Trockenheit neigenden Rofsbreitengürteln, eine mittlere relative Feuchtigkeit von nur 66% auch nur annähernd beobachtet. Das Sättigungsdefizit betrug auf der Fahrt von der Gegend der Kanarischen Inseln bis zu den Kap Verdischen Inseln 7,6 mm; die mittlere psychrometrische Differenz, welche diese Zahlen erfordern, ist 4,2°: und dies alles, obschon hier die Luft theoretisch — wegen der kühlen Meeresströmung — zu großer relativer Feuchtigkeit neigen sollte.

Erklärlich wird die Erscheinung, wenn wir einmal bedenken, daß die sogenannte Kanarenströmung, ganz abgesehen von ihren andern ozeanographischen Eigenschaften, thermisch jedenfalls nicht so stark sich bemerkbar macht wie die Benguelaströmung. Durchschlagend aber und eigentlich verursachend ist ein andres Moment: die übermächtige Einwirkung der benachbarten Wüste. Je südlicher man kommt, aus desto östlicherer Richtung weht der NE-Passat im allgemeinen, besonders im Winter; dieser Wind tritt in voller Stärke von dem Lande auf das Meer über und führt die ungemein trockene Luft der Salaria in das Meer hinaus. Ich fand am 7. November 1891 8^h morgens am Psychrometer einen Stand von $23,2^{\circ}$ — $17,2^{\circ}$ bei frischem Passat aus NEzE; dies gibt eine absolute Feuchtigkeit von nur 10,9 mm, eine relative von nur $52\frac{0}{10}$ — für den Schiffsort, welcher in 21° N. Br. 25° W. L. gelegen war, unerhört niedrige Werte. In den nächsten 2½ Tagen bis zum Abbrechen des Passats in 10° N. Br. schwankte die relative Feuchtigkeit zwischen 65 und $69\frac{0}{10}$; der Wind war schließlich fast genau aus Ost, von großer Stärke (bis B. Sk. 7). Werfen wir einen Blick auf eine Karte des Nordatlantischen Ozeans, so kann uns der Zusammenhang dieser großen Lufttrockenheit mit der Sahara nicht entgehen.

Obschon wir auf der Ausreise schnell von Nord nach Süd vorrückten und demgemäß der absolute Dampfgehalt mit abnehmender Breite zunehmen sollte, verringerte sich derselbe zusehends und auffallend, sobald der Wind östlicher als NE ging; die größte Trockenheit wurde beobachtet, als das Schiff denjenigen Küstenstreifen Afrikas querab hatte, welcher zwischen Kap Juby und Kap Verde liegt, und an welchem die Wüste direkt bis zum Meere reicht.

Es ist von vornherein anzunehmen, daß diese trockene Passatluft mit der größeren Entfernung von der Küste relativ schnell wasserdampfreicher wird; daher war der westliche Strich des Passats nach meinen Beobachtungen durchaus nicht so trocken wie der östliche; seine relative Feuchtigkeit war im Mittel $79\frac{0}{10}$. Wir standen während der Heimreise auf dem 21. Breitenkreise; da, wo im November unter 25° W. L. die relative Feuchtigkeit das erwähnte Minimum von $52\frac{0}{10}$ zeigte, zeigte 9 Längengrade westlicher, in 34° W. L., das Psychrometer $24,7^{\circ}$ — $21,2^{\circ}$ (16,6 mm, $72\frac{0}{10}$, 6,5 mm), für ozeanische Verhältnisse eine gewiss immer noch recht trockene Luft.

Ferner ist aus dieser Auffassung zu schließen, daß der nordatlantische Passat in seinem östlichen Teil sehr starken Schwankungen seiner Luftfeuchtigkeit unterworfen sein wird; weht er aus hoch nördlicher Richtung, so wird er bedeutend dampfreicher sein, als bei einer sehr östlichen Richtung. Wir können dies Verhältnis noch genauer dahin formulieren, daß wir sagen: in den Wintermonaten wird der Passat etwas trockner sein als in den Sommermonaten; denn im Winter weht er häufiger aus einer sehr östlichen Richtung, als im Sommer¹⁾. Dies geht auch hervor aus der jahreszeitlichen Verteilung des Auftretens von Staubfällen in diesem Teile des Ozeans, wovon gleich nachher noch etwas zu sagen sein wird. Man sollte meinen, daß auch die Niederschlagswahrscheinlichkeit in diesem Meeresgebiet zwischen Kap Blanco und den Kap Verden in Übereinstimmung mit der Luftfeuchtigkeit in den Wintermonaten geringer sein müßte, als in den Sommermonaten. Nun können wir allerdings den Tafeln 30 und 31 des Atlas des Atlantischen Ozeans entnehmen, daß auf der erwähnten Strecke im Januar bis März die prozentische Anzahl der Tage mit Regen nur höchstens 10 beträgt, im Juli bis September aber 10—25. Aber die hier zu Grunde liegenden älteren Arbeiten von Sprung und Köppen stehen mit einer neuern Untersuchung von Schlee in einigem Widerspruch, wenigstens für die Gegend der Kap Verden²⁾. Schlee findet auf 15° — 25° N. Br. etwa im Meridian letztgenannter Inseln die Niederschlagswahr-

¹⁾ Vgl. Atlas des Atlant. Ozeans, Taf. 22 und 24, sowie das Segelhandbuch, S. 392 u. 393.

²⁾ „Aus dem Archiv der D. Seewarte“, XV., Nr. 3. Hamburg 1893. Vgl. auch Meteorol. Zeitschrift 1892, S. 441 ff. mit Karte.

scheinlichkeit in den Monaten Mai bis Juli (teilweise auch August) unter 10%, dagegen von Oktober bis März beträchtlich über 10%, zeitweise über 20%, besonders nach Norden hin. Die Sache möge nun liegen, wie sie wolle, sie ist von keiner zwingenden Bedeutung für uns. Wir wissen und werden auch bei Besprechung der Feuchtigkeitsverhältnisse in der südlichen Chinasee sehen, daß der Gang der relativen Feuchtigkeit keineswegs parallel demjenigen der Regenwahrscheinlichkeit zu verlaufen pflegt.

Die Psychrometerbeobachtungen der „Novara“ im Juni und Juli 1857 während der Fahrt von Funchal nach Rio de Janeiro ergeben für das NE-Passat-Gebiet eine mittlere relative Feuchtigkeit von 74%; hier zeigen also in der That diese Sommermonate eine etwas größere Feuchtigkeit, als der Wintermonat von 1891, aber diese Luft ist immer noch sehr trocken; die Zahl 74 ist, wenn wir die Feuchtigkeiten der übrigen Passat-gebieten vergleichen, doch noch die niedrigste von allen. Sehr viel höhere relative Feuchtigkeiten erhalte ich für das in Frage stehende Gebiet aus den Beobachtungen des „Challenger“. Im Juli 1873 war hiernach während 11 Tagen die mittlere relative Feuchtigkeit 89,8%, dagegen im April 1876 während 14 Tagen 80,0%.

Nach der vom Londoner meteorologischen Amt herausgegebenen Bearbeitung des äquatorialen Atlantik (Official No. 27) ist für die zwei Zehngradfelder No. 39 (10°–20° N. Br., 20°–30° W. L.) und No. 40 (10°–20° N. Br., 30°–40° W. L.) insgesamt im Mittel

	die absolute Feuchtigkeit	die relative Feuchtigkeit	die Windrichtung und -Stärke nach B. Sk.
im Januar . . .	18,5 mm	80%	N 47° E 4,9
im Juli . . .	20,6 mm	85%	N 37° E 4,1

Also auch nach dieser Quelle ist die relative Feuchtigkeit beträchtlich größer als nach den Einzelbeobachtungen an Bord des „Robert Rickmers“ und der „Novara“; jedoch ganz abgesehen von der sehr großen Wahrscheinlichkeit, daß die in der amtlichen englischen Publikation verarbeiteten Schiffsbeobachtungen durchgängig etwas zu große Feuchtigkeiten liefern, weil die Ventilation der Instrumente nicht genügend gewesen sein dürfte, und abgesehen auch davon, daß nur der südliche Teil des NE-Passatgebietes in der englischen Quelle untersucht wird, ist der wesentliche Zug des Verhältnisses auch hier sehr gut ausgeprägt, wonach im Sommer der Passat relativ feuchter ist als im Winter. Auch ist zugleich die zu Grunde liegende Richtungsänderung des Windes zu ersehen, welche noch im Mittel einen Kompaßstrich beträgt. Daher dürften zwar die aus den Beobachtungen meiner Reise von Lizard nach der Länie in diesem Meeresstrich abgeleiteten Feuchtigkeiten etwas zu gering sein im Vergleich mit einem Mittel, welches aus systematischer Verarbeitung sehr vieler Reisen für das gesamte Passatgebiet sich ergeben würde; aber die Sonderstellung dieses Passats als eines sehr trockenen Windes wird gesichert bleiben. Verrechne ich sämtliche Feuchtigkeitsbeobachtungen, des östlichen Striches sowohl wie des westlichen, so bleibt noch immer für dies ganze Gebiet die geringe relative Feuchtigkeit von 73%, eine Zahl, die in sämtlichen oben aufgeführten Meeresgebieten nirgends wiederkehrt, mit Ausnahme der ostasiatischen Küste, wo im Winter der trockene aus dem Land kommende Nordmonsun steht. Hann sagt in seiner „Klimatologie“¹⁾: „Der Wasserdampfgehalt der Passate ist fast überall sehr groß, nur der Passat Nordafrikas macht davon eine bemerkenswerte Ausnahme“, und an einer andern Stelle²⁾, bei der Schilderung der Trockenzeit in Senegambien: „Während der trockenen Jahreszeit, namentlich im Frühling, bringen die NE- und E-Winde aus dem Innern stauberfüllte, äußerst trockene Luft. Das trockene Thermometer zeigt nicht selten 40°, während das feuchte auf 20° oder 19° steht.“ Wir sehen nun, daß nach den hier vorliegenden Beobachtungen dieser trockene Passat des Festlandes auch noch über einem

¹⁾ S. 399.

²⁾ Ebenda S. 251.

beträchtlichen Teil des angrenzenden Meeres die Feuchtigkeitsverhältnisse der Luft beherrscht. Und dies kann um so weniger auffallen, als wir für die Thatsächlichkeit dieses Verhältnisses noch einen handgreiflichen Beweis in dem eigentümlichen Phänomen der Staubbälle haben, welche auf See in der Gegend der Kap Verdischen Inseln, gerade in den nach unsern Beobachtungen trockensten Meeresstrichen, häufig auftreten. Diese Staubbälle, welche in allen Monaten des Jahres zur Beobachtung kommen, am häufigsten jedoch in den Wintermonaten Dezember bis Februar, sind direkt auf die Sahara zurückzuführen; hierüber kann nach den Untersuchungen Hellmanns¹⁾ und Dinklages²⁾ kein Zweifel mehr bestehen. Die äußerst feinen Sandpartikelchen, aus denen der gelbliche oder rötliche Staub besteht, der öfters das Schiff über und über bedeckt, sind nicht etwa, wie Ehrenberg und Maury meinten, durch einen oberen Passat von der Nordostküste Südamerikas herübergeführt, sondern echter Wüstensand der Sahara. Sein Verbreitungsgebiet reichte in einzelnen Fällen bis nach 40° W. L., am häufigsten sind die Staubbälle in einem fächerförmig von den Kap Verden aus in SW Richtung sich erstreckenden Gebiet. Sehr instruktiv sind besonders die Wetterkarten in dem ersten Bericht Dinklages, aus denen man sieht, wie mit östlichem Passat der Staub von Osten her heranrückt, und die Erscheinung verschwindet, wenn der Wind nach Norden dreht.

Es ist nun begreiflich, daß nicht immer bei östlichem Passatwind das Phänomen des Staubballes eintreten muß, besonders dann nicht, wenn der Wind schwach ist, aber die große Trockenheit der Luft wird in solchem Falle stets vorhanden sein. Wir können daher drei Abstufungen der Wirkung der Wüste Sahara auf das Meeresgebiet unterscheiden: die schwächste Äußerung ist eine abnorm große Trockenheit der Luft. Eine etwas stärkere Äußerung ist diejenige, bei welcher in Verbindung mit sehr trockener Luft der ganze Himmel ein dunstiges, auffallend undurchsichtiges Ansehen gewinnt, zum Zeichen, daß die auf das Meer übergeführte Wüstenluft bereits Massenteilchen in feinsten Verteilung suspendiert enthält. Den Höhepunkt der Erscheinung endlich stellt ein Staubbfall dar, welcher sowohl von großer Trockenheit wie von sehr unsichtiger Luft begleitet ist. Ich kann hier nur auf die höchst interessanten Berichte unserer Seeleute, welche Dinklage a. a. O. mitteilt, hinweisen und will noch erwähnen, daß ich selbst in der Gegend der Kap Verden auf der Ausreise und besonders auf der Rückreise die ganz eigenartige Luft dieser Meeresgegend habe beobachten können. Auf der Fahrt nach Süden, am Tage, bevor San Antonio, die westlichste Insel der Kap Verden, in Sicht kam, war ein feiner Dunstschleier über den ganzen Himmel ausgebreitet, durch welchen die Sterne nur matt hindurchschimmerten. Es wehte ein mäßiger Passat aus ENE. (November 1891.) Auf der Fahrt nach Norden war schon von 10° N. Br. und 25° W. L. an die Luft mehr oder weniger „diesig“, wie der Seemann sagt, obschon wir noch gar keinen Passat hatten. Mit dem Durchkommen des Passats in beiläufig 12° N. Br. wurde auch die Luft immer undurchsichtiger; so war besonders am 2. September 1892, als der Wind als steife Brise aus NE-E wehte, der Himmel stark und vollständig verschleiert. Ein trockener Dunst, wie ich ihn nirgends wieder beobachtet habe, erfüllte die Luft und machte jede Fernsicht schwierig, ja unmöglich, so daß wir z. B. die Flaggsignale eines nahe vorbei segelnden Schiffes auch durch das Fernrohr nicht erkennen konnten.

Soviel möge über die abnormen Feuchtigkeitsverhältnisse des atlantischen NE-Passats gesagt sein.

Diesem Gebiet am ähnlichsten ist noch das der ostasiatischen Gewässer, soweit es außerhalb der Wendekreise liegt, aber nur zur Winterszeit. Der in den Wintermonaten an der chinesischen Küste mit großer Kraft wehende Nordmonsun, welcher in der Richtung

¹⁾ Monatsberichte der Akademie der Wissensch. zu Berlin 1878, S. 364 ff. (für das Gebiet 0°—20° N. Br.).

²⁾ Annalen der Hydrographie, 1886, S. 69 ff., S. 113 ff.; 1888, S. 145 ff.; 1889, S. 460 ff.

zwischen NNW und NE schwankt, besitzt einen ungemein geringen mittleren Wasserdampfgehalt (nach meinen Beobachtungen aus dem Februar und März nur rund 8 g pro cbm), welcher bei rein nördlichem Wind noch bis auf 6,8 g herabging, wie wir aus Tabelle III (S. 112) ersehen. Dies ist erklärlich, denn je mehr der Wind aus dem Land herauskommt, desto trockener muß er hier sein, wo die winterlich kalte Landmasse Chinas einen ungeheuren Trockenraum darstellt. Die relative Feuchtigkeit ist für diesen ekotropischen Monsun daher eine geringe, im Mittel nach meinen Beobachtungen 77%.

Aber damit ist auch die Ähnlichkeit mit dem nordatlantischen Passat erschöpft. Geht man nämlich auf die Einzelheiten ein (s. Tabelle III), so finden wir neben einander, sowohl örtlich wie zeitlich, die größten Unterschiede. Örtlich, weil durch dieses Gebiet der chinesisch-japanischen Gewässer zwei außerordentlich verschiedene Meeresströmungen sich bewegen, der warme Kuro-shiwo nach NO, der kalte Küstenstrom nach SW¹⁾. Ich habe daher meine Psychrometablesungen für die zwei Stromgegenenden getrennt berechnet und fand zufällig für beide den gleichen Dampfgehalt (8,9) und daraufhin das Resultat, daß über dem warmen Strom diese Luft relativ trocken ist (71%), über dem kalten Strom aber recht feucht (88%). Dem entspricht die seit langem bekannte, für die Schifffahrt an der chinesischen Küste sehr lästige Thatsache, daß, hauptsächlich über dem Küstenstrich zwischen Hongkong und Shanghai, die Luft immer ihrem Sättigungspunkte nahe ist (Sättigungsdefizit nur 1,2 mm) und ungemein häufig Nebel und ganz feine Niederschläge zur Zeit des NE-Monsuns eintreten. Hierdurch werden dann tagelang nicht allein astronomische Ortsbestimmungen unmöglich gemacht, sondern es wird auch das Erblicken der sehr unreinen Küste äußerst erschwert. Auf meiner Rückfahrt von Kobe nach Hongkong war die letzte Bestimmung des Schiffsortes in 30° 30' N. Br. und 129° 22' Ö. L. möglich gewesen. Danach war aber der Himmel beständig von solch dicken, schweren Wolken — aus denen aber nur kleine Schauer fielen — bedeckt und die Luft über dem kalten Meereswasser immer so unsichtig, „schmierig“ und nebelig, daß wir uns nach Hongkong sozusagen hinfühlen mußten und den ersten festen Anhalt über unsere Position erst wieder im südlichen Teil der Formosastraße, nahe vor dem Ziel, gewannen.

Über dem warmen Wasser des Kuro-shiwo war die Beschaffenheit der Luft eine ganz andere. Der Dampfgehalt reichte hier bei der höheren Temperatur bei weitem nicht hin, der Luft den Charakter der Feuchtigkeit zu verleihen, wenigstens so lange der NE-Monsun wehte.

Das Verhältnis ändert sich, sobald der Wind aus äquatorialer Richtung kommt, was besonders weiter nach Osten, nach der offenen Südsee hin, öfters auch im Winter der Fall ist. Dann treten auch über dem Kuro-shiwo beträchtliche Kondensationen und Niederschläge ein, wie ich Ende Februar 1892 genau westlich der Riu-Kiu-Inseln über dem warmen Wasser bei leichten S- bis SE-Winden beobachtete. Wir sehen daher in diesem Meeresgebiet die Feuchtigkeit der Luft nicht bloß örtlich, sondern auch zeitlich sehr starke Schwankungen erleiden; denn man wird sagen dürfen, daß die große Feuchtigkeit, welche im Februar bei Südwind beobachtet wurde, für den Sommer, in welchem südliche Winde vorherrschen, überwiegend ist, und die große Trockenheit bei nördlichem Wind den Typus des Winters darstellt.

Entsprechend dem sehr starken Vorherrschen nordöstlicher Luftströmungen in unserem Gebiete²⁾ wird im Jahresdurchschnitt die Luft dieser Meere eine trockene Passatluft sein, aber die jahreszeitliche Änderung der Feuchtigkeit wird so groß sein wie vielleicht an kaum einer anderen Stelle der Ozeane; nirgends ist ja das Phänomen der Monsune in außertropischen Breiten so sehr ausgebildet wie über den chinesisch-japanischen Küstengewässern. —

¹⁾ Vergl. oben I. Teil, S. 70 u. 71.

²⁾ Vergl. „Challenger“-Expedition, Physics and Chemistry, vol. II, part. 5: report on atmospheric circulation, London 1889 (monatliche Windkarten); s. auch Supan, Statistik der unteren Luftströmungen, S. 226—230.

Für die echt tropischen Gegenden haben wir an der scharfen Begrenzung der Regenzeit in den Monsungebieten schon einen guten Anhalt zur Beurteilung der Luftfeuchtigkeit in den verschiedenen Monaten. Aber gerade in diesem Punkt liefern meine Reisebeobachtungen ein eigentümliches Ergebnis, welches hiermit zu weiterer Prüfung vorgelegt wird. (S. Tabelle II, S. 112.)

Bei der günstigen Aufeinanderfolge der Fahrten in der Chinasee, speziell in deren südlichem Teil, war es möglich, Psychrometerbeobachtungen sowohl für die Periode des NE-Monsuns wie für die Zeit der Monsunkenterung und den SW-Monsun zu erlangen.

Beschränken wir uns zunächst auf die südliche Chinasee, so sehen wir, daß der Dampfgehalt der Luft vom Februar bis zum Juni in beständigem Steigen begriffen ist, entsprechend dem Steigen der Lufttemperatur; der kausale Zusammenhang der beiden meteorologischen Elemente ist offenbar der, daß mit steigender Temperatur über der See die Verdunstung sich steigert, wodurch der Dunstdruck zunimmt. Die relative Feuchtigkeit zeigt dagegen eine ebenso entschiedene Abnahme. Der Fall liegt augenscheinlich so, daß die Zunahme des absoluten Wasserdampfgehaltes nicht im stände ist, die durch die Temperaturzunahme bedingte, besonders in den hohen Wärmegraden beträchtliche Höherlegung des Maximaldampfgehaltes zu kompensieren, geschweige denn eine Steigerung der relativen Feuchtigkeit herbeizuführen. Anfang Februar war nach Ausweis der Tabelle II bei einer Temperatur von $25,5^{\circ}$ und 20,8 mm Dunstdruck die relative Feuchtigkeit 86%. Wenn für die Zeit des SW-Monsuns (Juni) mit der hier vorliegenden Temperatur von $28,5^{\circ}$ die relative Feuchtigkeit noch dieselbe sein sollte, so müßte die absolute Feuchtigkeit nicht bloß um 2,3 mm seit Februar zugenommen haben, sondern um 4,1 mm (absol. Feuchtigkeit 24,9 mm). Daher finden wir, daß trotz Zunahme des Dampfdruckes die Luft gegen die Sommermonate hin relativ trockener, das Sättigungsdefizit dementsprechend ein größeres wird, obschon die Regenwahrscheinlichkeit für diese Gegenden vom April an viel größer als ist vorher in der Periode der polaren Luftströmung. Dies ist also ganz wie in unseren Breiten. Da weniger die Feuchtigkeitsverhältnisse als vielmehr Vorgänge wie die aufsteigende Bewegung der Luft für Kondensationen in erster Linie maßgebend sind, so ist klar, daß sehr wohl eine Abnahme der relativen Feuchtigkeit mit einer Zunahme der Regenfälle Hand in Hand gehen kann. Man bedenke außerdem, daß die Psychrometerbeobachtungen nur für die nächste Umgebung des Instruments gelten, jedoch nichts über den Feuchtigkeitsgehalt der Luft schon in geringer Höhe über uns aussagen¹⁾.

Es folgt aus den Beobachtungen ferner, daß in gewissem Grade hier der Begriff der relativen Feuchtigkeit bei der Beurteilung des klimatischen Charakters der Luft uns im Stich läßt. Denn darüber kann kein Zweifel bestehen, daß zur Zeit des Monsunwechsels und des SW-Monsuns trotz der etwas geringern relativen Feuchtigkeit die Luft in der Chinasee schwüler, nach dem Gefühl feuchter war, als während des NE-Monsuns. Bei den hohen tropischen Temperaturen ist wohl, im Gegensatz zu den klimatischen Verhältnissen unserer Gegenden, eine Zunahme des absoluten Wasserdampfgehaltes von größerem Einfluß auf das subjektive Empfinden der organischen Welt als eine Zunahme der relativen Feuchtigkeit, besonders wenn letztere an und für sich schon einen großen Betrag erreicht. Es soll dies also nur für tropisch-feuchte Klimate, nicht für ein heißes Wüstenklima Geltung haben.

Das ganze, eben besprochene Verhalten der Luftfeuchtigkeit in der südlichen Chinasee während der verschiedenen Monsunperioden ist durchaus ähnlich dem täglichen Gang der Luftfeuchtigkeit über den tropischen Meeren; die relative Feuchtigkeit nimmt ab mit der höher steigenden Sonne, die absolute Feuchtigkeit hat die Neigung, gegen Mittag hin infolge gesteigerter Verdunstung ein wenig zuzunehmen oder doch die gleiche Höhe zu behaupten. Es wird davon noch weiter unten kurz zu sprechen sein.

¹⁾ Hann, Klimatologie, 78. 34.

Für die ganze Chinasee, welche bis nach Hongkong hin sich ausdehnt, wurde eine durchgängige Zunahme der Luftfeuchtigkeit, also auch der relativen Feuchtigkeit, in der Zeit von Anfang Februar bis Ende März konstatiert. Hierfür war der nördliche Teil derselben, der durch das asiatische Festland vollkommen beeinflusst wird, ausschlaggebend; derselbe hat zur Zeit des Höhepunktes des NE-Monsuns einen nur geringen Dampfgehalt aufzuweisen, wie wir dies schon für den ektropischen Teil dieses Monsungebietes gesehen haben. Sowie die Kraft dieses polaren Windes gebrochen ist, muß die Feuchtigkeit in jeder Beziehung zunehmen, und daran vermag die für den südlichen Teil dieses Binnenmeeres gefundene Abnahme der relativen Feuchtigkeit nichts zu ändern, wenn man sämtliche Beobachtungen zusammenrechnet. —

Wenn wir noch einem Vergleich der Tabellen I und II entnehmen, daß in den äquatorialen Stillengürteln der offenen Ozeane bei gleicher relativer Feuchtigkeit der absolute Dampfgehalt der Luft um 1—2 g geringer war als in den Binnengewässern des Malaiischen Archipels, besonders in den Meeresstraßen, so dürfte das Wichtigste zur Erläuterung der Zahlenreihen gegeben sein, soweit tropische Gebiete in Frage kommen.

Es ist ferner beachtenswert, daß die Gebiete des hohen Luftdrucks oder die Ausgangsgebenden der Passate nur sehr wenig, ja fast gar nicht als trockenere sich charakterisierten, wozu sie doch theoretisch ohne Zweifel neigen. Es ist dieses Ergebnis interessant in Verbindung mit der im ersten Teil dieser Arbeit behandelten Thatsache, daß der größte Salzgehalt recht im Herzen der Passate sich findet, da, wo infolge lebhafter Luftbewegung die Verdunstung am stärksten ist.

Daß der Dunstdruck in den Rotbreitengürteln gering sei, ist ja überhaupt nicht anzunehmen. Aber auch die relative Feuchtigkeit war, wenn wir die Zahlen für die entsprechenden Passatgebiete vergleichen, eine vergleichsweise hohe. Und gerade das südindische Luftdruckmaximum, welches am 28., 29., 30. Dezember 1891 durchquert wurde und von allen drei Stillengürteln am besten ausgebildet war, zeigte die größte relative Feuchtigkeit von 79%, welcher Betrag genau mit demjenigen stimmt, der dann für die darauffolgende Passatgegend ermittelt wurde.

Die unter Nr. 12—16 aufgeführten Zahlen endlich (Tab. I) haben nur ein theoretisches Interesse; sie sind mir aber um deswillen nicht unwichtig, weil ich einigermaßen überrascht war, als Gesamtergebnis der Reisebeobachtungen eine ungemein große Gleichförmigkeit der relativen Feuchtigkeit für die verschiedenen Ozeane zu erhalten. An sich ist dies Resultat nicht verwunderlich; wohl aber ist auffallend, daß schon zwei Durchquerungen der Meere genügten, um eine solche sicher nicht zufällige Annäherung an anderweitig berechnete Mittelwerte zu liefern. Kämtz hat ältere Beobachtungsreihen gesammelt und sein Ergebnis für die relative Feuchtigkeit der Luft über den Ozeanen, 80%, ist genau die Zahl, welche aus unseren Reisen resultiert¹⁾. Dieser Gleichmäßigkeit der relativen Feuchtigkeit über den Meeren der Erde entspricht von den übrigen, zur Kennzeichnung der Feuchtigkeitsverhältnisse in den Tabellen aufgeführten Zahlenreihen am besten diejenige, welche die Größe der psychrometrischen Differenz gibt. Die absolute Feuchtigkeit ist im Südatlantischen Ozean am geringsten, am größten im Nordatlantischen, wodurch sich, wenn man will, letzteres Meer auch nach dieser Seite hin als ein Warmwassermeer kennzeichnet.

Über die tägliche Periode der Luftfeuchtigkeit.

Die Ermittlung des täglichen Ganges der Luftfeuchtigkeit hat mit denselben Schwierigkeiten zu kämpfen, welche bei der täglichen Temperaturvariation zu berücksichtigen sind. Für die außertropischen Gebiete läßt sich überhaupt an der Hand des hier verarbeiteten Materials kaum etwas festsetzen; aber auch innerhalb der Wendekreise macht

¹⁾ Vgl. hierzu Segelhandbuch f. d. Atlant. Ozean, S. 110.

der ungemein störende Einfluß der Niederschläge, ferner die Vorwärtsbewegung des Schiffes, besonders wenn dasselbe sehr meridionalen Kurs verfolgt, einen Einblick in den Gang der Feuchtigkeit der Luft innerhalb 24 Stunden sehr schwierig. Da aber sehr wenig Beobachtungsreihen über diesen Gegenstand vorhanden, bezw. veröffentlicht sind, so mag hier wenigstens für das indische SE-Passatgebiet das Ergebnis der Psychrometerbeobachtungen eine Stelle finden, und zwar habe ich bloß die Zeit der Heimreise benutzt, weil während derselben auf der Fahrtstrecke Sundastraße—Mauritius der Passat in außerordentlicher Stärke und Beständigkeit wehte, und außerdem die Breitenänderung des Schiffsortes nur sehr allmählich vor sich ging. Die Beobachtungen auf der Strecke Mauritius—Madagaskar sind hier weggelassen, wodurch sich die kleinen Differenzen erklären, welche die Gesamtmittel der Luftfeuchtigkeiten in der folgenden Tabelle gegenüber den Zahlen in Tabelle I (S. 112) aufweisen.

Täglicher Gang der absoluten und der relativen Luftfeuchtigkeit im indischen SE-Passat.
(Sundastraße—Mauritius.)

Datum 1892.	Schiffsort		4 ^h a. m.		8 ^h a. m.		Mittag		4 ^h p. m.		8 ^h p. m.		Mitternacht	
	S. Br.	Ö. L.	mm	%	mm	%	mm	%	mm	%	mm	%	mm	%
Juni 24.	7°	104°	23,2	85	23,4	84	22,6	79	22,6	79	22,7	82	23,4	84
25.	8	101	22,7	84	23,0	82	23,0	80	23,0	82	23,2	85	23,4	89
26.	10	98	21,9	84	21,4	81	21,2	77	21,4	80	22,2	79	20,8	76
27.	12	94	21,7	80	21,8	90	20,4	77	20,7	80	20,8	81	20,7	84
28.	13	90	21,2	85	21,3	88	21,6	90	20,8	90	20,3	87	20,7	92
29.	14	86	19,9	86	20,2	87	20,7	92	20,0	87	19,2	87	19,0	87
30.	15	81	19,2	91	17,7	81	17,4	78	17,4	78	17,2	79	18,2	83
Juli 1.	16	77	16,2	75	16,6	76	17,4	78	18,4	82	16,6	77	17,0	81
2.	17	72	16,7	79	17,3	81	17,2	77	17,4	79	17,7	83	17,7	83
3.	19	68	17,2	81	15,7	74	17,2	73	16,7	73	17,0	80	17,3	81
4.	20	64	17,8	88	17,6	88	16,8	78	16,7	80	16,0	78	15,8	77
5.	21	61	14,5	69	15,1	79	16,2	78	15,0	73	14,7	72	13,8	66
6.	22	58	15,2	78	15,1	92	15,8	78	14,9	76	14,8	78	13,8	72
Mittel			19,0	81,9	18,9	83,8	19,1	79,6	18,8	79,9	18,6	80,6	18,5	81,3

Gesamtmittel für diese Zeit:

Absol. Feuchtigkeit: 18,8 mm.

Relat. Feuchtigkeit: 80 $\frac{1}{2}$ %.

Sättigungsdefizit: 4,4 mm.

Theoretischer Psychrometerstand: 24,8°—22,5°.

Psychrometrische Differenz: 2,3°.

Wir entnehmen der Tabelle, daß die relative Feuchtigkeit zwar einen ausgesprochenen täglichen Gang auch über den tropischen Meeren hat, daß aber die Amplitude gegenüber den Verhältnissen auf den Kontinenten eine ungemein geringe ist, indem z. B. im mittleren Deutschland im Sommer die relative Feuchtigkeit sehr leicht eine tägliche Amplitude von 40 $\frac{1}{2}$ % und mehr aufweist. Zur Zeit des höchsten Sonnenstandes, bezw. der höchsten Sonnenwirkung (Mittags und um 4^h p. m.) ist die Luft über dem Meere relativ am trockensten, während mit Einbruch der Nacht die relative Feuchtigkeit steigt, und zwar fortwährend bis zum Morgen. Ob freilich, wie es nach diesen Beobachtungen gerade der Fall war, das Maximum der relativen Feuchtigkeit durchgängig so spät, auf 8^h a. m. fällt und damit außerordentlich nahe an das Minimum rückt, ist fraglich. Wahrscheinlich spielten dabei die in den Morgenstunden sehr häufigen Regenschauer insofern eine Rolle, als dieselben zwischen 4^h und 8^h a. m. eine besonders große Luftfeuchtigkeit veranlaßten. Der Passat zeigte jedenfalls in diesen zwei Monaten eine große Neigung zu Niederschlägen während dieser Tageszeit. Für den gesamten Zeitraum von 13 Tagen sind in dem Journal 37mal nach Beauforts Bezeichnung „Staubregen“, „Regen“, „Regenschauer“ und „Böen“ notiert. Diese 37 einzelnen Beobachtungen verteilen sich derart über den Tag, daß 19 derselben den Beobachtungsterminen 4^h a. m. und 8^h a. m. zukommen, 16 denjenigen um 8^h p. m. und Mitternacht und nur je eine auf die Mittagsstunde und 4^h p. m. fällt.

Bei der absoluten Feuchtigkeit kann man kaum von einem täglichen Gang sprechen; sie zeigt nach unseren Messungen überhaupt nur eine mittlere tägliche Amplitude von 0,6 mm, wobei immerhin beachtenswert sein dürfte, daß gerade um Mittag der höchste Betrag im Mittel vorhanden zu sein scheint, was auf die um diese Zeit besonders energische Verdunstung des Seewassers zurückgeführt werden kann.

Das Vorhandensein einer gleichmäßigen, frischen Brise wirkt, wie man leicht erkennt, dahin, die Ausbildung eines starken täglichen Ganges der relativen Feuchtigkeit hintanzuhalten, und es ist daher klar, daß wir bei Windstille bedeutendere Schwankungen der Luftfeuchtigkeit erhalten werden, besonders wenn Niederschläge fehlen. Ein solches Beispiel kann uns der 15. Juni 1892 liefern, an welchem der „Peter Rickmers“ dicht bei dem Äquator, westlich von der Küste von Borneo, stand. Es wurde beobachtet:

Zeit	Absolute Feuchtigkeit	Relative Feuchtigkeit	Sättigungsdefizit
4 a. m.	22,4	81	5,8
8 a. m.	22,4	79	6,0
12 a. m.	23,4	74	8,1
4 p. m.	22,8	70	10,0
8 p. m.	23,7	79	6,2
12 p. m.	23,7	86	4,0

Hier betrug also die Amplitude der relativen Feuchtigkeit über 10%, während sie nach der Tabelle im Mittel für das Gebiet des Passats nur gleich 3,7% war. Aber der Wasserdampfgehalt zeigte trotzdem keine regelmäßige Periode, vielmehr ein schwächeres Maximum um Mittag, ein stärkeres Maximum Abends. Das Sättigungsdefizit erreichte um 4 h p. m. die außerordentliche Höhe von 10 mm: und gleichwohl war die Luft drückend und schwül.

Dieser Umstand führt uns darauf, zuzusehen, wie denn überhaupt die 3—4 verschiedenen Ausdrücke, durch welche wir die Feuchtigkeitsverhältnisse der Luft zu kennzeichnen suchen, einmal zu einander sich verhalten und sodann zu der klimatisch wichtigen Frage nach der Einwirkung der Luftfeuchtigkeit auf den Organismus.

Über das wechselseitige Verhältnis der absoluten und der relativen Feuchtigkeit, sowie des Sättigungsdefizits.

Alle Angaben über Luftfeuchtigkeit verlangen, wenn sie für klimatische Zwecke verwendet werden sollen, die Angabe der angenäherten Lufttemperatur, für welche sie gelten.

Daß die Zahlen des Dampfdruckes als solche uns keinen Begriff von dem Feuchtigkeitszustand der Luft vermitteln können ohne eine gleichzeitige Kenntnis der ungefähren Temperatur, auf die dieselben sich beziehen, bedarf kaum der Erwähnung. Aber auch von der relativen Feuchtigkeit gilt dasselbe fast in gleichem Grade. Eine relative Feuchtigkeit von 80% bei 10° und bei 30° sind zwei ganz verschiedene Dinge. Im ersten Fall enthält die Luft 7,3 g Wasserdampf pro cbm, und zur Sättigung fehlen nur 1,8 g; im zweiten Fall dagegen sind 25,2 g vorhanden, es fehlen aber, damit die Luft gesättigt sei, noch 6,3 g. In gewissem Sinne ist die Luft im letzteren Fall relativ trockener als im ersten Fall, trotz der ungleich größeren Wasserdampfmenge, die vorhanden ist.

Bei den hohen tropischen Temperaturen scheint dann, wie wir schon sahen, öfters der Begriff der relativen Feuchtigkeit zu versagen, wenn wir unser subjektives Empfinden damit vergleichen. Je größer die relative Feuchtigkeit ist, desto feuchter sollte uns die Luft stets erscheinen. Es kommt aber in feucht-heißen Klimaten vor, daß infolge der Temperatursteigerung selbst bei einer Zunahme des absoluten Wasserdampfgehaltes die Zahl der relativen Feuchtigkeit eine Abnahme zeigt, obschon dem Gefühl nach die Luft feuchter

wird. Das Zutreffen dieser Beobachtung, welche ich für die südliche Chinasee gemacht habe (vergl. S. 118), wird wohl öfters noch in den Tropen sich nachweisen lassen. In solchen Fällen geht einzig und allein der Gang der absoluten Feuchtigkeit unseren Empfindungen parallel.

Gegen das Sättigungsdefizit, welches vor einiger Zeit in solchen Fragen sehr in den Vordergrund gestellt wurde, läßt sich manches einwenden. Es ist nicht zutreffend, wenn H. Meyer¹⁾ sagt: „Am trockensten ist nicht der Monat, in welchem das Verhältnis des vorhandenen Wasserdampfes zu dem überhaupt möglichen den kleinsten Wert hat, sondern der, in welchem die Differenz zwischen dem möglichen und dem thatsächlich vorhandenen Dampfgehalt am größten ist“. Schon Hann²⁾ hat sich entschieden gegen diese Auffassung ausgesprochen und betont, daß das Sättigungsdefizit zum mindesten der Temperaturangabe zu näherer Charakteristik bedürfe; ein von ihm angeführtes Beispiel spricht besonders deutlich in dieser Hinsicht:

Wien:	Luft trocken 6. III. 1870.	Luft schwül 7. VII. 1870.
Temperatur	-9,2°	24,8°
Dampfdruck	0,5 mm	15,9 mm
Relat. Feuchtigkeit	61 $\frac{1}{2}$ %	71 $\frac{1}{2}$ %
Sättigungsdefizit	0,7 mm	6,1 mm

W. Ule³⁾ hat dann gezeigt, daß auch die Evaporationskraft eines Klimas nicht, wie man annehmen könnte, dem Sättigungsdefizit proportional sei.

Die vollkommene Abhängigkeit der Größe des Sättigungsdefizits von der Temperatur ist nicht allein ersichtlich aus dem eben angeführten Beispiel, welchem sehr bedeutende Temperaturdifferenzen zu Grunde liegen, sondern auch z. B. daraus, daß schon die relativ sehr geringen Unterschiede der Temperatur, welche wir in einem tropisch-ozeanischen Klima beobachten, imstande sind, das Sättigungsdefizit so zu beeinflussen, daß das Wesen der Luftfeuchtigkeit durch dasselbe ganz falsch charakterisiert wäre. Im indischen Kalmengürtel war bei einer relativen Feuchtigkeit von 81 % und einer Dampfspannung von 21,5 mm das Sättigungsdefizit 5,0 mm (s. Tabelle I, No. 11), dagegen waren im indischen Passat die entsprechenden Zahlen 79 $\frac{1}{2}$ %, 18,6 mm und 4,5 mm. Dem Sättigungsdefizit zufolge wäre also der Passat feuchter gewesen als der Kalmengürtel, was natürlich keinesfalls zutrifft, wie wir schon aus den gegebenen anderen Feuchtigkeitsausdrücken sehen. Dem Passatgebiet können wir nach unseren Beobachtungen für die damalige Zeit eine Temperatur von 25,1° geben, dem Kalmengürtel eine solche von 27,0°, und wir können uns nun leicht das eigentümliche Verhalten des Sättigungsdefizits erklären: in diesen Temperaturgraden von über 25° genügt infolge der unverhältnismäßig starken Zunahme der Wasserdampfkapazität der Luft schon eine Zunahme der Temperatur um etwa 2°, um die Luft trotz steigenden Dampfdruckes und steigender relativer Feuchtigkeit weiter vom Sättigungspunkte zu entfernen.

Ein anderes instructives Beispiel bietet uns Tabelle II, No. 1 und 2. In dem Gebiet der Chinasee stieg vom Februar zum März hin sowohl der Dampfdruck als die relative Feuchtigkeit; das Sättigungsdefizit nahm dementsprechend ab, aber nur um 0,1 mm! Bei den etwas niedrigeren Temperaturen, die hier zu Grunde liegen (24°—22°), kommt also das Wesen der Änderung in der Luftfeuchtigkeit eben noch richtig zum Ausdruck, aber in so minimalem Betrage, daß man sieht, das Sättigungsdefizit ist hier schon kaum mehr imstande, einen deutlichen Anhalt über die Luftbeschaffenheit zu liefern.

In solchen tropischen Klimaten, wie in den hier angeführten, können wir uns unmög-

¹⁾ Meteorol. Zeitschrift 1885, S. 153.

²⁾ Wiener klinische Wochenschrift 1889: „Über die Luftfeuchtigkeit als klimatischer Faktor“, hier citiert nach Brückners Referat im Litt.-Bericht der Meteorol. Zeitschrift 1889, No. 123.

³⁾ Meteorol. Zeitschrift 1891, S. 91.

lich, selbst bei einer genaueren Kenntnis der Temperatur, über Veränderungen der Luftfeuchtigkeit an der Hand des Sättigungsdefizits Rechenschaft geben. Dies vermag allein die Angabe der relativen Feuchtigkeit und, wie ich oben ausführte, in vielen Fällen auch besonders die Angabe der absoluten Feuchtigkeit.

Es kommt noch ein äußerliches Moment hinzu, welches den Wert der Angabe des Sättigungsdefizits auch in allen den Fällen herabmindert, in denen es den Gang der Luftfeuchtigkeit an sich richtig angibt. Ich glaube, die Praktiker werden mir darin beistimmen, daß die bei dem Sättigungsdefizit zu gewärtigenden Differenzen im allgemeinen zu klein sind, um unsere geistige Anschauung auch nur in angenäherter Weise so zu unterstützen, wie die grössern Zahlenunterschiede, welche wir bei den Angaben der absoluten und der relativen Feuchtigkeit erhalten. Wenn man die von uns oben (S. 112) gegebenen Tabellen durchsieht, so wird das Auge am leichtesten in den grossen Zahlen der relativen Feuchtigkeit sich orientieren.

Derselbe Einwand, der sich gegen eine allgemeine Einführung des Sättigungsdefizits richtet, läßt sich auch gegen die Angabe der absoluten Grösse der psychrometrischen Differenz machen, ja in noch weit höherem Grade. Soviel ich sehe, hat W. Ule¹⁾ zuerst auf diese Grösse hingewiesen und dieselbe als einen Ausdruck betrachtet, der besonders geeignet sei, in stetem genauen Anschlusse an die Evaporationskraft eines Klimas uns von der Feuchtigkeit desselben einen Begriff zu verschaffen. Die Zahlen, welche sich dabei ergeben, sind von mir in der letzten Kolonne der Tabellen aufgeführt. Die mittleren Temperaturunterschiede am trocknen und am feuchten Thermometer betragen hiernach in den verschiedenen Klimazonen auf See ganz ungefähr $2\frac{1}{2}^{\circ}$; das mittlere Minimum, in der Region der höheren südlichen Breiten beobachtet, war $1,5^{\circ}$; das mittlere Maximum, gültig für den sehr trocknen östlichen Strich des NE-Passats, von dem oben ausführlich die Rede war, ergab sich zu $4,2^{\circ}$. Die hieraus resultierende grösste Amplitude der psychrometrischen Differenz ist also nur $2,7^{\circ}$, und man sieht ein, daß man durch solche geringe Zahlenintervalle kaum die äusserst wechsellvollen Zustände der Luftfeuchtigkeit in einer wirklich anschaulichen Weise darstellen kann, selbst wenn der vollkommene Parallelismus dieser Zahlen mit der Evaporationskraft der Klimate vorhanden ist.

Daß die Zahlengrösse der psychrometrischen Differenz ausserdem einer Angabe der ungefähren Temperatur, bei welcher sie erhalten wurde, auch nicht entraten kann, zeigt sich mehrfach in unseren Tabellen, besonders deutlich in Tabelle I, Nr. 9. Im NE-Monsun des nordwestlichen Pazifischen Ozeans ist die Luft dampfreich und relativ feucht, soweit der Monsun tropisch ist, dagegen sehr arm an Wasserdampf weiter nordwärts, und doch erhalten wir für die beiden wesentlich verschiedenen Luftarten die gleiche Differenz am Psychrometer von $2,0^{\circ}$.

Es wird ferner als sicher anzunehmen sein, daß der indische SE-Passat, der eine durchschnittlich sehr kräftige Luftbewegung darstellt, eine stärkere Verdunstungskraft besitzt, als das indische Kalmengebiet in der Nähe des Äquators. Dampfarmer ist die Luft jedenfalls im Passat; aber die psychrometrische Differenz war in letzterem nur um $0,2^{\circ}$ grösser als im Stillengürtel. Hier wird die Luftbeschaffenheit wieder am besten durch die absolute Feuchtigkeit gekennzeichnet, weniger gut durch die relative Feuchtigkeit, welche nur um $2\frac{0}{10}$ sich ändert. Das Sättigungsdefizit endlich giebt, wie wir oben schon sahen, in diesem Falle eine ganz falsche Anschauung (s. Tabelle I, Nr. 8 und 11).

Nehmen wir an, daß, wie es ja immerhin meistens der Fall ist, die zahlenmässigen Grössen aller der verschiedenen Ausdrücke, welche wir für die Luftfeuchtigkeit besitzen, den Änderungen der Luftfeuchtigkeit in regelrechter Weise sich anpassen, so erhalten wir

¹⁾ Meteorolog. Zeitschrift 1891, S. 93 ff.

nach den Beobachtungen im Gebiet der Chinasee (Tabelle II) folgendes Verhältnis dieser Ausdrücke unter einander:

Absolute Feuchtigkeit	Relative Feuchtigkeit	Sättigungsdefizit	Temperatur der Luft	Psychrometrische Differenz
zunehmend	zunehmend	abnehmend	zunehmend	abnehmend
zunehmend	abnehmend	zunehmend	zunehmend	zunehmend

Hiernach wird also der Gang des Sättigungsdefizits und derjenige der Größe der psychrometrischen Differenz in erster Linie von dem Gang der relativen Feuchtigkeit bestimmt. Dies wechselseitige Verhältnis der Feuchtigkeitsausdrücke ist in Tabelle II auch noch durch die eingetragenen Pfeile angedeutet.

Als ein allgemeines Ergebnis der vorstehenden Erörterungen dürfen wir den Satz aussprechen, daß keiner der Feuchtigkeitsausdrücke, die wir besitzen, die gleichzeitige Kenntnis der angenäherten Temperatur, für welche sie gelten, entbehren kann, daß ferner im allgemeinen immer noch am besten für alle klimatischen Zwecke die Angaben der relativen Feuchtigkeit zu verwenden sind, daß aber bei hohen Temperaturen und hoher Feuchtigkeit, also im feucht-heißen Tropenklima, die Zahlen der absoluten Feuchtigkeit noch besser als diejenigen der relativen geeignet erscheinen, uns eine zutreffende Vorstellung von dem Feuchtigkeitszustand der Luft zu gewähren, soweit derselbe für das organische Leben von Bedeutung ist.

Über die Zugrichtungen der oberen Wolken.

An dem Tage, an welchem ich die Abfassung dieses letzten Abschnittes meiner „Reiseergebnisse“ beginnen wollte, übersandte mir Herr Prof. Krümmel ein Exemplar seiner „Geophysikalischen Beobachtungen während der Plankton-Expedition“, in welchen er unter § 2 die von ihm angestellten Beobachtungen der oberen Wolken bespricht. Der Gedanke, welcher dabei an die Spitze der Darlegungen gestellt ist, gipfelt darin, daß die heutige Meteorologie ein Studium der Luftströmungen in den Höhen der Atmosphäre nicht entbehren kann, wenn anders sie einen wirklichen Einblick in die atmosphärischen Vorgänge gewinnen will, daß aber dabei theoretisch-analytische Untersuchungen, welche wir ja von den bedeutendsten Meteorologen und Mathematikern besitzen, nie die Beobachtung ersetzen können, insofern erstere ungemein viele verallgemeinernde Annahmen machen müssen, die in der Natur gar nicht oder nur teilweise erfüllt werden.

Derselbe Gesichtspunkt war es auch, der mir vorschwebte, als ich mich entschloß, meine auf den folgenden Seiten zusammengestellten Beobachtungen über die Zugrichtungen oberer Wolken hier zu veröffentlichen; zudem bilden sie einen integrierenden Bestandteil meiner Reisestudien.

Ich verfolge, wie aus dem eben Gesagten schon hervorgeht, fast ausschließlich den Zweck, das bis heute vorliegende Beobachtungsmaterial, welches man kaum reichlich nennen kann, zu vermehren, und überlasse die weitere Verwendung der speziellen Meteorologie. Nur einige Bemerkungen, welche die Tabellen erfordern, werden noch zu geben sein, sowie mehrere Sätze, die den Beobachtungen leicht entnommen werden können. —

Die Beobachtungen sind ausschließlich auf See angestellt, und es wurde zur Ermittlung der Zugrichtung und eventuell der Winkelgeschwindigkeit der Wolken stets der kleine Wolken Spiegel benutzt, welcher in dem System des preussischen meteorologischen Beobachtungsnetzes eingeführt ist. Über die Benutzung dieses billigen und höchst praktischen, einfachen Instruments hat Herr Prof. Sprung im Januarheft der Zeitschrift für Instrumentenkunde 1891 alles Wissenswerte übersichtlich dargelegt, worauf hier ver-

wiesen sein mag. Zur Erläuterung der Tabellen diene aber, daß hier unter „Winkelgeschwindigkeit einer Wolke“ das Verhältnis ihrer wahren Geschwindigkeit zu ihrer Höhe verstanden wird; da der Wolkenspiegel die Winkelgeschwindigkeit „ v “ zu bestimmen gestattet, ist man also imstande, die wahre Geschwindigkeit „ V “ sofort zu berechnen, sobald man durch irgend ein andres Verfahren die Höhe der Wolke kennt. Will man nur eine ganz angenäherte Kenntnis von „ V “ haben, so kann man unter Umständen der betreffenden Wolkengattung eine mittlere Höhe beilegen, wie wir sie aus den schwedischen und amerikanischen Wolkenmessungen kennen, und man erhält dann durch Multiplikation mit „ v “ eine ungefähre Vorstellung von der Schnelligkeit der Vorwärtsbewegung der beobachteten Wolke.

Ich habe, obschon in den Tabellen zwei Spalten dafür vorgesehen sind, solche Rechnungen unterlassen, da ich von vornherein zweifelhaft bin, ob die bisher für die verschiedenen Wolkengattungen trigonometrisch ermittelten, durchschnittlichen Höhenzahlen ohne weiteres auf die tropischen Gegenden angewendet werden dürfen. Ich glaube vielmehr, daß in unseren Breiten die gleichen Wolkenarten im allgemeinen sich in etwas niedrigeren Niveaus befinden werden, als in den Äquatorialgegenden. Darüber fehlen uns bis heute allerdings noch jegliche Beweise, aber diese Mutmaßung gewinnt einige Wahrscheinlichkeit, wenn wir uns z. B. der auffälligen Thatsache erinnern, daß in den Tropen trotz der ungemein häufigen elektrischen Entladungen die Blitzgefahr eine durchgängig sehr geringe ist. Offenbar gehen die Gewitter in etwas größeren Höhen vor sich als in unseren Gegenden. Ich gebe also nur das direkt beobachtete „ v “ und überlasse eine weitere Benutzung der Zukunft. Nur in einem Falle (Tabelle I, Nr. 21) habe ich „ V “ berechnet, da an diesem Tage eine leidlich zuverlässige Ermittlung der Wolkenhöhe möglich war, indem ich beobachtete, zu welcher Zeit (wahrer Ortszeit) die letzten Spuren der Beleuchtung der *cirrocumuli* durch die untergegangene Sonne verschwanden.

Schon wenn man lediglich die Zugrichtung bestimmen will, braucht man für den Wolkenspiegel eine ruhige, horizontale Unterlage. Man könnte meinen, daß dieselbe nur sehr selten auf einem Schiffe zu beschaffen sei, doch kann ich erklären, daß man auf einigermassen großen, beladenen Segelschiffen, die unter allen Fahrzeugen den ruhigsten Gang haben dürften, recht oft in der Lage sein wird, durchaus zuverlässige Beobachtungen in dieser Richtung anzustellen. Nur auf der Anreise machten die Schiffsschwankungen häufig ihren störenden Einfluß geltend, da das Schiff in Ballast ging.

Jedenfalls möchte ich sehr empfehlen, diesen nützlichen kleinen Apparat öfter zu benutzen, auch an Bord. Wenn man einige wenige, wissenschaftlich interessierte Kapitäne dafür gewinnen könnte, so bin ich überzeugt, daß wir in wenigen Jahren eine wesentliche Bereicherung unseres Materials zu verzeichnen haben würden; gerade in den Gegenden nahe am Äquator, da, wo die für die allgemeine Luftzirkulation wichtigsten Fragen einer Lösung harren, wird man der Beobachtungen auf See nicht entraten können. Hauptsache ist dabei, daß in Zukunft scharf zwischen den untern, resp. mittlern Wolkenschichten und den obersten unterschieden wird, was man, wie wir den Darlegungen Krümmels¹⁾ entnehmen, von den bisherigen Schiffsbeobachtungen nicht durchgängig sagen kann.

Was dann die von mir gebrauchten Benennungen der Wolkenarten anlangt, so habe ich mich in dieser Hinsicht ausschließlich an die Typen gehalten, welche in dem Wolkenatlas der Herren Hildebrandsson, Neumayer und Köppen²⁾ abgebildet und kurz besprochen sind. Alle die zahlreichen Cirrusformen, welche bei einer in das Detail gehenden Untersuchung sich aufstellen lassen, sind also hier zu drei Gruppen zusammengefaßt; und zwar betrachte ich als höchste Wolken die *cirri* und *cirrostrati*, welche 9000 m

¹⁾ Geophysikal. Beobachtungen, S. 35.

²⁾ Hamburg 1891.

Höhe und mehr aufweisen.¹⁾ Es sind die federigen, zarten, isolierten Wolken von weißer Farbe, welche oft schleierartig (*cir-strat*) größere Teile des Himmels bedecken, oder auch bandenartig in der Richtung des Meridians angeordnet sind („Polarbanden“). Unsere Seeleute nennen diese cirren vielfach „Windbäume“. Die dritte Cirrengattung sind die *cirrocumuli*, die allbekannten „Schäfchen“, kleine, weiße Ballen oder Flocken, oft reihenweise angeordnet, oder auch dicht aneinander gedrängt. (Höhe etwa 7000 m.)

Eine zahlenmäßig und sachlich bedeutende Kluft trennt diese obersten Wolken von denjenigen der mittleren Schichten. Die Kondensationsprodukte dieser letzteren lassen sich schon meist in Beziehungen zu den Winden an der Erdoberfläche, resp. zu den von ihnen geführten Wolken setzen, und speziell in allen tropischen Gegenden ist nach meinen Beobachtungen eine Dreiteilung der Luftströmungen erstes Erfordernis, wenn man die sonst ganz durch einander gehenden Ergebnisse der Zugrichtungen auseinander halten will. Eine bloße Trennung von unteren und oberen Wolken genügt nicht.

In Betracht kamen für die mittleren Niveaus fast ausschließlich die *altocumuli*, welche die Mittelstellung zwischen den *cirrocumuli* und den *cumuli* auch in ihrem äußeren Aussehen anzeigen. Diese *altocumuli* scheinen, soweit ich darüber urteilen kann, in den Passatregionen sehr häufig zu sein; besonders bei Tagesanbruch habe ich sie oft gesehen und manchmal beobachtet, wie sie in den ersten Morgenstunden gröber und gröber wurden, um sich schließlich in richtige untere Passatwolken zu verwandeln. Nicht selten war auch, daß sie in derselben Zeit allmählich immer schwächer wurden und schließlich ganz verschwanden: in beiden Fällen wird eine absteigende Bewegung der Luft zu Grunde gelegen haben. Mit dieser Eigenart der *altocumuli* stimmen gut die Messungen ihrer Höhe überein, welche wir wiederum dem erwähnten Aufsatze Hildebrandssons entnehmen. Die hohen *altocumuli* finden sich bis 5500 m, die niedrigen bis 2500 m; ihre ganz ungefähre mittlere Höhe dürfte also rund 4000 m sein. Die *altocumuli* sind identisch mit den *cumulocirri* anderer Beobachter. Die Bewegung des *altostratus* zu bestimmen gelingt fast niemals. Ich gebe nun die Beobachtungen selbst, angeordnet nach den Ozeanen, und zwar ist bei der Reihenfolge möglichst eine Anordnung nach den Breitengraden in der Richtung Nord—Süd innegehalten. Der Nordatlantische Ozean ist durch den mathematischen Äquator vom Südatlantischen Ozean abgetrennt, so daß die Beobachtungen aus dem SE-Passat zum Teil in Tabelle I, zum Teil in Tabelle II zu finden sind.

An die Stelle einer vierten Tabelle, welche die in den indischen Binnengewässern ermittelten Zugrichtungen zu geben hätte, ist eine kartographische Übersicht derselben getreten, die sich hier aus mehreren Gründen empfahl. (Fig. 9, S. 129.)

Die Zugrichtungen sind selbstverständlich alle rechtweisend, also von der Gesamtrichtung der Kompaßse befreit.

Tab. I.
Nordatlantischer Ozean.

Nr.	Datum.	Breite.	Länge.	Unterwind. Richtung und Stärke.	Gattung.	Obere Wolken.			Bemerkungen.
						Zugrichtung aus	Winkel- Ge- schwin- digkeit.	Wahre Ge- schwindig- keit in m per Sek.	
1.	30./9.92	49° N.	10° W.	WNW5	alto-cum	NW	—	—	
2.	27./9.92	48	21	NzE5	cir-cum	W	—	—	
3.	24./9.92	45	30	NEzN1	cir-strat	S	—	—	
4.	21./9.92	42	36	85	cir-strat	SWzW	—	—	
5.	21./9.92	42	36	SSW4	cir-cum	WzN	—	—	{ Am Tage darauf orkanartiger Sturm.

¹⁾ Diese Zahlen gelten natürlich zunächst nur für höhere Breiten. Vergl. hierzu die kurzen, aber äußerst instructiven Mitteilungen Hildebrandssons in „Aus dem Archiv der D. Seewarte“ 1891, No. 5: „Über den Wert der Messung von Zugrichtung und Höhe der Wolken für die meteorologische Wissenschaft“.

Nr.	Datum.	Breite.	Länge.	Unterwind. Richtung und Stärke.	Gattung.	Obere Wolken.			Wahre Ge- schwindig- keit in m per Sek.	Bemerkungen.
						Zugrich- tung aus	Winkel- Ge- schwin- digkeit.	Ange- nommene Höhe.		
6.	20./9.92	40° N.	38° W.	S3	cir-cum cir-strat cir	WSW W NW	— — —	— — —	— — —	
7.	19./9.92	39	39	SWzS1	alto-cum	WNW	—	—	—	Polarbänder.
8.	18./9.92	38	39	S1 u. C	cir-strat.	WzN	0,00933	—	—	
9.	13./9.92	32	39	ESE2	cir	SW	—	—	—	
10.	10./9.92	30	37	NEzE4	cir-strat	N	0,00317	—	—	
11.	8./9.92	27	36	NEzE4	cir	WzN	0,00439	—	—	Im Passat.
12.	5./11.91	26	22	NaW4	cir-cum cir-strat	WzS SSW	0,00313	—	—	"
13.	8./9.92	26	36	NEzE5	cir-cum	WzN	—	—	—	"
14.	4./9.92	18	50	NE4	alto-cum	NzW	0,00315	—	—	"
15.	3./9.92	16	29	NEzE5	alto-cum	N	0,00588	—	—	"
16.	1./9.92	13	26	NEzN4	cir-cum	EzS	0,00439	—	—	Südgrenze des NE- Passats.
17.	1./9.92	12	26	NEzE3	alto-strat	SWzW	0,00082	—	—	"
18.	31./8.92	11	25	NaE1	alto-cum	WNW	0,00363	—	—	Mallung.
19.	30./8.92	10	25	W1	cir-cum	ENE	0,00294	—	—	Westmonsun.
20.	28./8.92	9	25	SSW1 u. C	alto-cum cir	WSW E	— —	— —	— —	Zenithstand der Sonne.
21.	27./8.92	8	26	WNW3	alto-cum	S	0,00350	—	—	Monsun.
22.	11./11.91	7	26	E3	cir-strat	NEzE	0,00172	5700	9,8	
23.	25./8.92	6	26	SEzE3	cir-cum	ENE	0,00128	—	—	Mallung. Nordgrenze des SE- Passats.
				SzW2	alto-cum cir-cum	E NE	— —	— —	— —	
24.	24./8.92	4	24	S5	alto-cum	N	—	—	—	Im Passat.
25.	13./11.91	3	28	SEzE6	cir-cum	EzN	0,00256	—	—	"
26.	23./8.92	1	23	SEzE3	alto-cum	NzW	—	—	—	"

Tab. II.

Südatlantischer Ozean.

Nr.	Datum.	Breite.	Länge.	Unterwind. Richtung und Stärke.	Gattung.	Obere Wolken.			Wahre Ge- schwindig- keit in m per Sek.	Bemerkungen.
						Zugrich- tung aus	Winkel- Ge- schwin- digkeit.	Ange- nommene Höhe.		
1.	19./8.92	4° S.	17° W.	SEzS2	cir-cum	E	—	—	—	Im Passat.
2.	16./8.92	9	13	SE3	alto-cum	NE	0,00304	—	—	"
3.	15./8.92	10	11	EzS3	alto-cum	NEzN	0,00280	—	—	"
4.	14./8.92	11	10	SEzE4	cir-strat	ENE	0,00254	—	—	"
5.	13./8.92	13	9	SEzS4	alto-cum	NzE	0,00333	—	—	"
6.	13./8.92	13	9	SSE2	alto-cum	NzW	0,00279	—	—	"
7.	20./11.91	17	35	ESE4	cir-strat	W	0,00240	—	—	Polare Passat- grenze.
8.	7./8.92	20	1 Ö.	S1	cir-strat	WzS	0,00167	—	—	"
9.	22./11.91	22	36 W.	SEzE4	cir-strat	SWzS	—	—	—	"
10.	23./11.91	24	37	E1 u. C	cir-cum cir-strat	SWzW	— —	— —	— —	"
11.	3./8.92	24	5 Ö.	SzE2	cir-cum	WSW	0,00423	—	—	
12.	24./11.91	25	36 W.	ESE1	cir-cum	SWzW	—	—	—	
13.	31./7.92	29	9 Ö.	SzE5	cir	W	0,00195	—	—	
14.	28./7.92	34	16	NaW4	cir-cum	WNW	0,00350	—	—	
15.	27./7.92	35	18	NEzN3	cir-strat	SWzW	0,00336	—	—	
16.	27./7.92	35	19	NEzN6	cir	SWzS	0,00336	—	—	
17.	2./12.91	38	27 W.	C	cir-cum	NW	—	—	—	
18.	7./12.91	40	2	W5	cir-strat	WNW	—	—	—	
19.	9./12.91	40	8 Ö.	WzN3	cir-cum	SWzS	—	—	—	
20.	12./12.91	41	14	N3	cir-cum cir-strat	W NWzW	— —	— —	— —	
21.	14./12.91	42	19	NaW4	cir-strat	NWzW	—	—	—	

Tab. III.

Der offene Indische Ozean.

Nr.	Datum.	Breite.	Länge.	Unterwind. Richtung und Stärke.	Obere Wolken.				Bemerkungen.	
					Gattung.	Zugrich- tung aus	Winkel- Ge- schwin- digkeit.	Ange- nommene Höhe.		Wahre Ge- schwindig- keit in m per Sek.
1.	11. 1. 92	3° N.	95° O.	WzN4	cir-cum	N	—	—	—	Nördl. v. Äquator
2.	11. 1. 92	2	94	NWzN4	cir-cum	NNE	—	—	—	sind nur diese
3.	10. 1. 92	1	93	NW6	cir-strat	EzS	—	—	—	3 Beobachtungen
4.	7. 1. 92	5 S.	88	C	cir-cum	EzN	—	—	—	angestellt.
5.	6. 1. 92	7	87	EzS2	cir-cum	ErN	—	—	—	Stillengürtel.
6.	24. 6. 92	7	104	ESzE6	alto-cum	WNW	—	—	—	Im Passat.
7.	5. 1. 92	10	87	E6	cir-strat	E	—	—	—	Richtung nach mehr- eren Beobach- tungen schwan- kend zwischen ENE u. SEzE.
8.	26. 6. 92	10	98	SEzE7	alto-cum	NWzN	—	—	—	Im Passat.
9.	29. 6. 92	14	86	SEzE7	cir-cum	ESE	—	—	—	"
10.	30. 6. 92	15	81	SEzS8	cir-cum	SE	—	—	—	Sehr " stürmischer Passat.
11.	3. 7. 92	19	68	ESzE6	alto-cum	NWzW	—	—	—	"
12.	3. 1. 92	19	86	E6-7	alto-cum	WNW	—	—	—	"
13.	2. 1. 92	23	85	ESE6	cir-strat	W	—	—	—	"
14.	9. 7. 92	26	48	ESE5	cir-cum	W	—	—	—	
15.	10. 7. 92	27	45	Ez	cir-strat	NNW	—	—	—	
16.	15. 7. 92	31	32	EzS5	alto-cum	WNW	0,00320	—	—	Polare Passatgrenze.
17.	30. 12. 91	31	82	SWzS9	cir-cum	SSW	—	—	—	Sturm.
18.	18. 7. 92	32	31	SSE1 u. C	alto-strat	NzW	—	—	—	Rosbreitengürtel.
19.	19. 7. 92	34	28	NaW6	cir-strat	WSW	—	—	—	
20.	27. 12. 91	34	28	W6	cir-strat	SW	—	—	—	
21.	22. 7. 92	35	80	N1 u. C	alto-cum	NNW	—	—	—	Rosbreitengürtel.
22.	21. 7. 92	35	23	WzS5	cir-strat	W	—	—	—	
23.	20. 7. 92	35	25	NzS5	cir-strat	NWzW	—	—	—	
24.	26. 12. 91	35	27	WEzE6	cir-strat	SWzS	—	—	—	
25.	23. 7. 92	36	79	WzS3	cir-strat	WSW	—	—	—	
26.	24. 7. 92	36	21	SW4	cir-strat	WzS	—	—	—	
27.	25. 7. 92	36	21	WNW6	cir-strat	W	—	—	—	
28.	17. 12. 91	41	21	W4	alto-cum	WNW	0,00449	—	—	
29.	18. 12. 91	41	21	WzS6	alto-cum	NWzW	0,01707	—	—	
				SW4	cir-strat	WzS	—	—	—	
				Variabel u. C	alto-cum	NNW	—	—	—	6 Stund. später sehr schwerer Sturm (vgl. Nr. 16).

Suchen wir nun aus diesen Beobachtungen in aller Kürze einige Resultate zu ziehen, so finden wir zuerst in Betreff der Zugrichtung der höchsten Wolken, der Cirrusformen, Folgendes.

Nördlich von 26° N. Br. und südlich von 17° S. Br. zogen die *Cirri* im Atlantischen Ozean immer aus dem westlichen Halbkreis¹⁾, desgleichen im Indischen Ozean südlich von 19° S. Br. Aus den ostasiatischen Gewässern fehlen Beobachtungen, da in dem dicken Wetter des NE-Monsuns keine *Cirri* zu sehen waren. Die westliche Zugrichtung der *Cirri* nahm also die sogenannten Westwindgebiete beider Hemisphären für sich in Anspruch, ferner die Gegenden der Rosbreiten und auch mehr oder weniger beträchtliche Teile der Passat-systeme, natürlich auf deren polaren Seiten. (Nach den Beobachtungen in Havanna auf Cuba überwiegen auch dort bereits die Zugrichtungen aus West.) Auf der südlichen Halbkugel kamen in 22 Fällen die Cirren aus West und aus Richtungen südlich von West, nur in 6 Fällen aus einer Richtung nördlich von West. Die Richtung des Unterwindes

¹⁾ Ich rechne hierher alle Zugrichtungen von N über W bis Süd; umgekehrt zähle ich alle Beobachtungen aus N über E bis Süd zum östlichen Halbkreis: ein Verfahren, das ziemlich viel Willkürliches bei Zugrichtungen nahe der Nord- oder Südrichtung hat, aber nicht wohl zu vermeiden ist.

war dabei vollkommen gleichgültig, wie man schon daraus ersieht, daß sowohl das Westwindgebiet wie ein Teil des Passatgebietes hier in Frage kommt.

In einem ziemlich breiten Gürtel zu beiden Seiten des Äquators ließen sich ganz überwiegende Bewegungen der *Cirri* aus Ost konstatieren, und zwar ist augenscheinlich

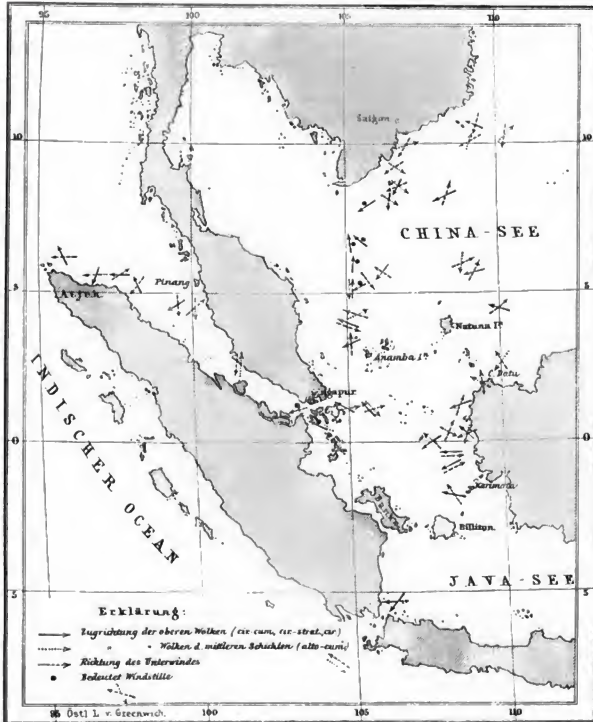


Fig. 9. Zugrichtung der oberen Wolken im Malaischen Archipel (Jan.—Juni 1892).

dieser Gürtel auf der Nordhalbkugel breiter als auf der Südhalbkugel. Seine Ausdehnung ist den vorhin angegebenen äquatorialen Grenzen der westlichen Cirrusbewegungen zu entnehmen, wobei natürlich in Rücksicht zu ziehen ist, daß Beobachtungen für längere Strecken oft nicht möglich waren.

Beachtenswert ist also zunächst, daß diese Zugrichtungen aus Ost sich nicht etwa auf das zwischen den beiden Passaten gelegene Stillengebiet, resp. die Gegenden der Westmonsune beschränken, sondern auch innerhalb der Passate selbst zweifelsohne konstatiert werden konnten. Dies war besonders auf südlicher Breite im Atlantischen und im Indischen Ozean möglich. Hierin dürfen wir vielleicht einen Ausdruck für die viel diskutierte obere Ostströmung sehen, welche von Ferrel zuerst auf theoretischer Grundlage gefordert worden ist und seit der Bearbeitung der mit dem Krakatau-Ausbruch des Jahres 1885 verbundenen Phänomene eine bedeutende Wahrscheinlichkeit für sich gewonnen hat. Ganz unzweifelhaft vorhanden war jedenfalls in den Breiten, welche dem Äquator nahe liegen, (einerlei, ob an der Erdoberfläche ein frischer Passat weht oder Windstillen vorherrschen) ein Übergewicht der Cirrusbewegungen aus Ost. Ich verweise besonders auf das Kärtchen (Fig. No. 9), welches die im Malaischen Archipel bestimmten Zugrichtungen veranschaulicht. Wohl schwanken die Richtungen um volle 180° , aber sie blieben doch stets im östlichen Halbkreise, und zwar zu jeder Jahreszeit, gleichgültig, ob der NE-Monsun oder der SW-Monsun oder die Übergangszeit zwischen beiden an der Erdoberfläche herrschte. Man kann den vorliegenden Beobachtungen ferner entnehmen, daß im allgemeinen die Richtung, je näher dem Äquator, um so mehr sich dem Ostpunkte nähert, während in größerer Entfernung von demselben die Abweichungen von einer Richtung aus genau Ost häufiger und bedeutender werden.

Auch Krummel hat auf der Planktonfahrt innerhalb der Passatgebiete, besonders im Südatlantischen Ozean, die obere Luftbewegung aus Ost festgestellt.¹⁾

Nach dieser Darstellung könnte es also scheinen, als seien die Passatgebiete selbst in zwei Teile zu zerlegen, in einen äquatorialen, in welchem die Cirren aus Ost, in einen polaren, in welchem die Cirren aus West kommen. Eine solche Auffassung würde aber wohl kaum das Richtige treffen, ich glaube vielmehr, daß diese oberen Strömungen auf der nördlichen Halbkugel von E über SE und S nach SW bis W herumschwingen, auf der südlichen Hemisphäre umgekehrt über NE und N nach NW bis W, wobei zunächst unentschieden bleiben muß, ob dieser zuletzt der Passatrichtung genau entgegengeröhmende Luftstrom, der „Antipassat“, eine allmählich absteigende Bewegung verfolgt und so eine Strömung in mittleren Niveaus darstellt oder nicht.

Hiernach sind, wenn man von dem äquatorialen Kalmengürtel mit annähernd genau östlichem Cirruszug ausgeht, an den äquatorialen Grenzen der Passate im NE-Passat Cirrusbewegungen aus SE, im SE-Passat aus NE zu erwarten; diese Annahme und überhaupt die ganze Auffassung beruht auf der Erfahrung, daß in der That die oberen Wolken nahe der Linie der Stillen überwiegend aus den eben angegebenen Richtungen (SE und NE) ziehen. Ich selbst habe, wie man aus Tabelle I sieht, die SE-Richtung im NE-Passat nicht beobachtet; wahrscheinlich hängt dies mit dem Umstand zusammen, daß ich auf der hier hauptsächlich in Betracht kommenden Rückreise die fraglichen Meeresgebiete in der Zeit des SW-Monsuns berührte; ich fand die Cirren immer aus einer nördlich von Ost liegenden Richtung ziehen. Doch wird die SE-Richtung durch die Beobachtungen Krummels bestätigt; man vergleiche auch die in dem März-Aprilheft der Meteorologischen Zeitschrift vom Jahre 1885 von Köppen nach Davis gegebene Darstellung der Winde auf dem äquatorialen Teile des Atlantischen Ozeans.

Krummel²⁾ ist nun geneigt, diese aus E ziehenden Cirren, welche bis nach dem zwanzigsten nördlichen Parallel hin beobachtet werden können, in Verbindung mit den Erscheinungen des SW-Monsuns zu bringen. Er hat aus den meteorologischen Beobachtungen, welche für den mittleren Atlantischen Ozean in umfangreicher Publikation

¹⁾ Geophysikal. Beobachtungen, S. 26—30.

²⁾ a. a. O., S. 37 ff.

vorliegen, die angegebenen Cirruszüge herausgenommen und nach zwei Jahreszeiten getrennt zusammengestellt. In der einen Periode (Oktober bis Mai) findet er nach diesen Schiffsbeobachtungen im Gebiet 0° — 20° N. Br. und 40° — 20° W. L. auffallend häufige Zugrichtungen aus SW (d. h. den Antipassat), dagegen in den 4 Monaten Juni bis September, also in der Periode des SW-Monsuns, überwiegende Cirrenbewegungen aus östlicher Richtung. Da er ferner durch eine Untersuchung an der Hand des Archivmaterials der deutschen Seewarte zu der Überzeugung gelangt ist, daß die im SW-Monsun häufigen Regentornados und Böen nichts anderes als kleine, flache, von Ost nach West wandernde Depressionen sind (entsprechend wohl den schweren Cyklonen, die manchmal in diesen Gegenden bei den Kap Verden beobachtet wurden), so erblickt er in den Cirruszügen aus E den Cirrusfächer oder Cirrusschirm, welcher allen Luftwirbeln voranzuziehen scheint. Dies ist gewiß eine sehr annehmbare Erklärung und trifft in vielen Fällen zu, wenigstens für das Gebiet des SW-Monsuns selbst, das bis 13° N. Br. hinaufreichen kann. Aber in dem nördlich davon bis 20° N. Br. gelegenen Strich, in dem der Passat nur sehr selten gestört ist, werden östliche Cirrenbewegungen auch häufig genug beobachtet, und zwar auch in den Monaten Oktober bis Mai. Es scheint mir daher, daß die Krümmelsche Auffassung nur für einen Teil der Cirren gilt, nämlich für die in den mittleren Schichten der Atmosphäre ziehenden oberen Wolken, welche ich in den obenstehenden Tabellen mit „*alto-cumuli*“ oder „*cumulo-cirri*“ bezeichnet habe. Übrigens beschränkt auch Krümmel selbst, wie ich glaube, diese Beziehung der unteren Depressionen zu den Cirren auf die mittleren Schichten.

Ich bin also der Meinung, daß wir unabhängig von allen Vorgängen an der Oberfläche auch Cirruszüge in diesen Breiten haben, welche jahraus jahrein ohne wesentliche Änderung aus dem östlichen Halbkreis kommen und den aller obersten Luftschichten angehören. Ihre Richtung geht, wie oben gesagt, mit zunehmender Breite allmählich durch S, resp. N nach W um.

Für die mittleren Schichten der tropischen Meere gilt, daß die ihnen zugehörigen Wolken denen des Unterwindes sich mehr oder weniger entgegenbewegen; die eben besprochenen Zugrichtungen der *alto-cumuli* aus E zur Zeit des SW-Monsuns führen also auf die Annahme eines Antimonsuns, so wie die im Herzen der Passatregionen beobachteten SW-, resp. NW-Richtungen den Antipassat darstellen. Im Nordatlantischen Ozean ist es mir fast gar nicht gelungen (s. nur No. 17 u. 18), diesen Antipassat festzustellen; gut war er aber im Südindischen Ozean zu beobachten (s. Tab. III, No. 6, 8, 11, 12). Auch die in den malaiischen Binnengewässern angestellten Beobachtungen zeigen den Zusammenhang des Unterwindes mit dem Wind der mittleren Schichten; im NE-Monsun der Chinesee zogen die *alto-cumuli* aus SSW, SW, W und NW (letztere Richtung an der Cochinchinaküste), im SW-Monsun aus N, NNE, NE und SE, also beide Male dem Unterwind entgegen (Antimonsun). Bis zu welchen Höhen diese Gegenwinde reichen, läßt sich natürlich sehr schwer sagen, wie denn überhaupt ein Einblick in die atmosphärischen Bewegungen der Tropen sich bei der Zunahme der Beobachtungen offenbar eher schwieriger als leichter herausstellt.

Ich bin sehr weit davon entfernt, zu meinen, daß die hier vorgelegten Zugbestimmungen oberer Wolken in befriedigender Weise irgend einem System der großen atmosphärischen Zirkulation sich ohne weiteres anpassen. Am meisten scheint mir noch Beachtung zu verdienen, daß in großen Höhen in den äquatorialen Gegenden Luftströmungen aus östlichem Halbkreis eine erste Rolle spielen, und zwar nicht bloß über dem Raum zwischen beiden Passaten, sondern in einem breiteren Gürtel. Abercrombys Reisebeobachtungen¹⁾ stimmen damit, trotz mancher Abweichungen, ganz gut überein.

¹⁾ Vgl. Nature 1887, Nr. 917; auch Annalen der Hydrographie 1887, S. 249. Vgl. auch Abercromby, Seas and Skies, London 1888, S. 427.

Einem Vorschlage Hildebrandssons zufolge sollen vom 1. Mai 1895 ab an mehreren fast über die ganze Erde verteilten Stationen während eines ganzen Jahres Messungen über Zugrichtung und Höhe der Wolken gemacht werden: ich würde es für ganz besonders wichtig halten, einige echt tropische Stationen, wenn irgend möglich, mit heranzuziehen (Manila?), damit man erfahre, ob die gleichen Wolkengattungen unter den verschiedenen Breiten in sehr verschiedener Höhe auftreten oder nicht. Dadurch würde eine Bearbeitung der Wolkenbeobachtungen, welche an Bord von Schiffen gemacht werden können, wesentlich erleichtert werden.





Als Ergänzungshefte zu den „Mitteilungen“

sind erschienen:

- Nr. 1. *Vibe, Küsten und Meer Norwegens.* 1 M.
 Nr. 2. *Tschudi, Reise durch die Andes von Süd-Amerika, 1858.* 1 M.
 Nr. 3. *Barth, Reise durch Kleinasien, 1858.* 3 M.
 Nr. 4. *Lejean, Ethnographie der Europäischen Türkei (deutscher und französischer Text).* 2 M.
 Nr. 5. *Wagner, W., Physikalisch-geographische Skizze des Isthmus von Panama.* 1 M.
 Nr. 6. *Petermann und Hassenstein, Ost-Afrika zwischen Chartum und dem Roten Meere.* 80 Pf.
 Heft 1–6 bilden den I. Ergänzungsband (1860–1861). 8 M. 80 Pf.
Petermann und Hassenstein, Inner-Afrika:
 Nr. 7. „ „ „ *Beurmanns Reise 1860, Kotschy 1859, Brun-Rollet 1856.* 2 M.
 Nr. 8. „ „ „ *Behm, Land und Volk der Toba, Beurmanns Reise nach Murak 1862.* 5 M.
 Nr. 9. „ „ „ *Antinoris Reise zum Lande der Djur 1860 und 1861, Beurmanns Reise nach Wau.* 3 M.
 Nr. 10. „ „ „ *Mémoire zu den Karten: Reisen von Heuglin, Morlang, Harnier.* 4 M. 60 Pf.
 Nr. 11. „ „ „ Heft 7, 8, 10, 11 bilden den II. Ergänzungsband (1862–1863). 12 M. 60 Pf.
 Nr. 9. *Halfeld und Tschudi, Minas Geraes.* 2 M.
 Nr. 12. *Kofistka, Die Hohen Tatra in den Zentral-Karpathen.* 2 M.
 Nr. 13. *Heuglin, Klezelsbach, Muzinger, Staudner, Die Deutsche Expedition in Ost-Afrika, 1861 und 1862 (Sudan und Nord-Aethiopien)* 4 M. 60 Pf.
 Nr. 14. *Richtshofen, Die Metallproduktion Kaliforniens und der angrenzenden Länder.* 1 M. 60 Pf.
 Nr. 15. *Heuglin, Die Tinnische Expedition im westlichen Nil-Quellgebiet, 1862 und 1864.* 2 M.
 Heft 9, 12–15 bilden den III. Ergänzungsband (1863–1864). 15 M. 20 Pf.
 Nr. 16. *Petermann, Spitzbergen und die arktische Zentral-Region.* 2 M.
 Nr. 17. *Payer, Die Adamello-Prezianella-Alpen.* 2 M.
 Nr. 18. *Payer, Die Ortler-Alpen, Südtirolgebiet.* 2 M.
 Nr. 19. *Behm, Die modernen Verkehrsmittel: Dampfschiffe, Eisenbahnen, Telegraphen.* 2 M. 60 Pf.
 Nr. 20. *Tschichatsch, Reisen in Kleinasien und Armenien, 1847–1863.* 4 M. 60 Pf.
 Heft 16–20 bilden den IV. Ergänzungsband (1865–1867). 15 M. 20 Pf.
 Nr. 21. *Spörer, J., Nowaja Smä in geographischer, naturhistorischer und volkswirtschaftlicher Beziehung.* 5 M. 60 Pf.
 Nr. 22. *Fritsch, Reisebilder von den Canarischen Inseln.* 1 M. 60 Pf.
 Nr. 23. *Payer, Die westlichen Ortler-Alpen (Trafergebiet).* 3 M. 60 Pf.
 Nr. 24. *Jeppe, Die Transvaalse Republik.* 2 M. 60 Pf.
 Nr. 25. *Rohlf, Reise durch Nord-Afrika von Tripoli nach Kuka.* 3 M.
 Heft 21–25 bilden den V. Ergänzungsband (1867–1868). 14 M. 80 Pf.
 Nr. 26. *Lindeman, Die arktische Fischerei der Deutschen Seestädte 1620–1868.* 3 M. 60 Pf.
 Nr. 27. *Payer, Die südlichen Ortler-Alpen.* 2 M. 60 Pf.
 Nr. 28. *Koldewey und Petermann, Die Erste Deutsche Nordpolar-Expedition, 1868.* 5 M.
 Nr. 29. *Petermann, Australien in 1871. Mit geographisch-statistischem Kompendium von Meunier.* 1. Abt. 5 M. 60 Pf.
 Heft 26–29 bilden den VI. Ergänzungsband (1869–1871). 15 M.
 Nr. 30. *Petermann, Australien in 1871. Mit geographisch-statistischem Kompendium von Meunier.* 2. Abt. 3 M. 60 Pf.
 Nr. 31. *Payer, Die zentralen Ortler-Alpen, Martell etc.* 3 M.
 Nr. 32. *Seeliger, Die Zillerthaler Alpen.* 3 M. 60 Pf.
 Nr. 33. *Behm und Wagner, Die Bevölkerung der Erde. I.* 2 M. 60 Pf.
 Nr. 34. *Rohlf, Reise durch Nord-Afrika von Kuka nach Lagos.* 4 M. 60 Pf.
 Heft 30–34 bilden den VII. Ergänzungsband (1871–1872). 17 M. 40 Pf.
 Nr. 35. *Behm und Wagner, Die Bevölkerung der Erde. II.* 5 M.
 Nr. 36. *Dr. G. Radde, Vier Vorträge über den Kaukasus.* 4 M.
 Nr. 37. *Mauch, Reisen im Innern von Süd-Afrika, 1865–1872.* 2 M. 60 Pf.
 Nr. 38. *Wojtko, Die atmosphärische Zirkulation.* 5 M.
 Heft 35–38 bilden den VIII. Ergänzungsband (1873–1874). 14 M. 60 Pf.
 Nr. 39. *Petermann, Die südamerikanischen Republiken Argentina, Chile, Paraguay und Uruguay in 1876. Mit einem geographischen Kompendium von Burmeister.* 4 M. 20 Pf.
 Nr. 40. *Waltenberger, Die Rhätikon-Kette, Lechtal und Vorarlberger Alpen.* 4 M. 40 Pf.
 Nr. 41. *Behm und Wagner, Die Bevölkerung der Erde. III.* 4 M. 40 Pf.
 Nr. 42. *W. Sowerzow, Erforschung des Thian-Schan-Gebirgs-Systems 1867. I. Hälfte.* 4 M. 40 Pf.
 Heft 39–42 bilden den IX. Ergänzungsband (1875). 17 M. 40 Pf.
 Nr. 43. *W. Sowerzow, Erforschung des Thian-Schan-Gebirgs-Systems 1867. II. Hälfte.* 4 M. 40 Pf.
 Nr. 44. *Cernik, technische Studien-Expedition durch die Gebiete des Euphrat und Tigris. I. Hälfte.* 4 M.
 Nr. 45. *Cernik, technische Studien-Expedition durch die Gebiete des Euphrat und Tigris. II. Hälfte.* 4 M.
 Nr. 46. *Bratschneider, Die Pekinger Ebene und das benachbarte Gebirgsland.* 2 M. 20 Pf.
 Nr. 47. *Hagenmachers Reise im Somali-Lande.* 1 M. 80 Pf.
 Heft 43–47 bilden den X. Ergänzungsband (1875–1876). 16 M. 40 Pf.
 Nr. 48. *Czorny, Die Wirkung der Winde auf die Gestaltung der Erde.* 2 M. 20 Pf.
 Nr. 49. *Behm und Wagner, Die Bevölkerung der Erde. IV.* 5 M.
 Nr. 50. *Zöppritz, Przewalskys Reisen im Nilgebiete. I. Hälfte.* 2 M. 80 Pf.
 Nr. 51. *Zöppritz, Przewalskys Reisen im Nilgebiete. II. Hälfte.* 5 M.
 Nr. 52. *Forsyth, Ost-Turkestan und das Pamir-Plateau.* 4 M.
 Heft 48–52 bilden den XI. Ergänzungsband (1876–1877). 17 M.

- Nr. 53. *Przewalsky's Reise an den Lob-Nor und Altyn-Tag 1876–1877.* 2 M.
 Nr. 54. *Die Ethnographie Rußlands, nach A. F. Rittich.* 5 M.
 Nr. 55. *Behm und Wagner, Die Bevölkerung der Erde.* V. 5 M.
 Nr. 56. *Credner, Die Deltas.* 4 M.
 Heft 53–56 bilden den XII. Ergänzungsband (1877–1878). 16 M.
- Nr. 57. *Seetbear, Edelmetall-Produktion.* 5 M. 60 Pf.
 Nr. 58. *Fischer, Studien über das Klima der Mittelmeerländer.* 4 M.
 Nr. 59. *Rele, Der Nakasendō in Japan.* 5 M. 20 Pf.
 Nr. 60. *Lidsman, Die Seefischerei.* 5 M.
 Heft 57–60 bilden den XIII. Ergänzungsband (1879–1880). 17 M. 80 Pf.
- Nr. 61. *Rivoli, J., Die Serra da Estrella.* 2 M.
 Nr. 62. *Behm und Wagner, Die Bevölkerung der Erde.* VI. 5 M.
 Nr. 63. *Mohn, Die Norwegische Nordmeer-Expedition.* 2 M.
 Nr. 64. *Fischer, Die Dattelpalme.* 4 M.
 Nr. 65. *Barlepaoh, Die Gotthard-Bahn.* 4 M. 60 Pf.
 Heft 61–65 bilden den XIV. Ergänzungsband (1880–1881). 17 M. 60 Pf.
- Nr. 66. *Dr. P. Schreiber, Die Bedeutung der Windrosen.* 2 M. 20 Pf.
 Nr. 67. *Blumentritt, Ferd., Versuch einer Ethnographie der Philippinen.* 5 M.
 Nr. 68. *Berndt, G., Das Val d'Anniviers und das Bassin de Sierr.* 4 M.
 Nr. 69. *Behm und Wagner, Die Bevölkerung der Erde.* VII. 7 M. 40 Pf.
 Nr. 70. *Seyberger, Der Jungtischer von Kuffstein bis Hang.* 4 M.
 Heft 66–70 bilden den XV. Ergänzungsband (1881–1882). 22 M. 60 Pf.
- Nr. 71. *Chorosochin und v. Stein, Die russischen Kosakenheere.* 2 M. 20 Pf.
 Nr. 72. *Juan Maria Schuber, Reisen im oberen Nilgebiet.* 4 M. 40 Pf.
 Nr. 73. *Dr. Carl Schumann, Kritische Untersuchungen über die Zimtländer.* 2 M. 60 Pf.
 Nr. 74. *Dr. Oscar Drude, Die Florenze der Erde.* 4 M. 60 Pf.
 Nr. 75. *Dr. R. v. Lendenfeld, Der Tuscan-Gletscher und seine Umrandung.* 5 M. 40 Pf.
 Heft 71–75 bilden den XVI. Ergänzungsband (1883–84). 19 M. 40 Pf.
- Nr. 76. *Dr. Fritz Regel, Die Entwicklung der Ortschaften im Thüringerwald.* 4 M. 40 Pf.
 Nr. 77. *F. Stolz und F. C. Andreas, Die Handelsverhältnisse Persiens.* 4 M.
 Nr. 78. *Dr. H. Fritzsche, Ein Beitrag zur Geographie und Lehre vom Erdmagnetismus Asiens und Europas.* 5 M.
 Nr. 79. *Prof. H. Mohn, Die Strömungen des europäischen Nordmeeres.* 3 M. 60 Pf.
 Nr. 80. *Dr. Franz Bosz, Baffin-Land. Geographische Ergebnisse einer 1883 und 1884 ausgeführten Forschungsreise.* 5 M. 40 Pf.
 Heft 76–80 bilden den XVII. Ergänzungsband (1885–86). 31 M. 40 Pf.
- Nr. 81. *Franz Seyberger, Geographisch-geologische Studien aus dem Böhmerwalde.* 4 M.
 Nr. 82. *Robert v. Schlagintweit, Die Pacificischen Eisenbahnen in Nordamerika.* 2 M. 60 Pf.
 Nr. 83. *Dr. Gustav Geradt, Der Alpenföhn in seinem Einfluß auf Natur und Menschenleben.* 3 M. 60 Pf.
 Nr. 84. *Alexander Sapan, Archiv für Wirtschaftsgeographie. I. Nordamerika, 1880–1885.* 5 M.
 Nr. 85. *Gustav Radde, Aus den Dogonischen Hochalpen, vom Schah-dagh zum Dully und Bogos.* 4 M. 40 Pf.
 Heft 81–85 bilden den XVIII. Ergänzungsband (1886–1887). 19 M. 60 Pf.
- Nr. 86. *Dr. Rudolf Credner, Die Reliktenseen.* I. Teil. 5 M. 60 Pf.
 Nr. 87. *Dr. R. v. Lendenfeld, Forschungsreisen in den Australischen Alpen.* 3 M.
 Nr. 88. *Dr. J. Partsch, Die Insel Korfu.* 5 M. 40 Pf.
 Nr. 89. *Dr. Rudolf Credner, Die Reliktenseen.* II. Teil. 3 M. 40 Pf.
 Heft 86–89 bilden den XIX. Ergänzungsband (1887–1888). 17 M. 40 Pf.
- Nr. 90. *M. Blanckenhorn, Die geognostischen Verhältnisse von Afrika.* I. Teil. 4 M.
 Nr. 91. *Hermann Michaelis, Von Hankau nach Su tchou (Reisen im mittleren und westlichen China 1879–1881).* 4 M.
 Nr. 92. *Dr. W. Junkers Reisen in Zentralafrika 1880–1885. Wissenschaftliche Ergebnisse. I.* 4 M.
 Nr. 93. *Dr. W. Junkers Reisen in Zentralafrika 1880–1885. Wissenschaftliche Ergebnisse. II u. III.* 4 M. 80 Pf.
 Nr. 94. *W. v. Drost, Von Pergamon über den Dindymos zum Pontus.* 5 M. 40 Pf.
 Heft 90–94 bilden den XX. Ergänzungsband (1888–1889). 23 M. 20 Pf.
- Nr. 95. *Dr. J. Partsch, Die Insel Leukas.* 2 M. 60 Pf.
 Nr. 96. *Max Buechsen, São Pedro do Rio Grande do Sul.* 5 M.
 Nr. 97. *Dr. Karl Dove, Kulturzonen von Nord-Abyssinien.* 2 M. 60 Pf.
 Nr. 98. *Dr. Joseph Partsch, Kephallenia und Ithaka. Eine geographische Monographie.* 6 M.
 Nr. 99. *v. Höhnelt, Ostäquatorial-Afrika zwischen Pungani und dem neuentdeckten Rudolf-See.* 4 M. 20 Pf.
 Nr. 100. *Dr. Gustav Radde, Karabagh.* 4 M.
 Heft 95–100 bilden den XXI. Ergänzungsband (1889–1890). 34 M. 40 Pf.
- Nr. 101. *Wagner und Sapan, Die Bevölkerung der Erde.* VIII. 10 M.
 Nr. 102. *Johannes Walther, Die Adambrücke und die Korallenriffe der Fulktrafee.* 2 M. 60 Pf.
 Nr. 103. *Dr. Paul Schnell, Das marokkanische Atlasgebirge.* 5 M.
 Nr. 104. *Dr. Alfred Hettner, Die Kordillere von Bogotä.* 6 M.
 Heft 101–104 bilden den XXII. Ergänzungsband (1891–1892). 23 M. 60 Pf.
- Nr. 105. *Mohr und Hansen, Wissenschaftliche Ergebnisse von Dr. F. Nansens Durchquerung von Grönland 1888.* 6 M.
 Nr. 106. *Dr. Sophus Ruge, Die Entwicklung der Kartographie von Amerika bis 1870.* 5 M.
 Nr. 107. *Wagner und Sapan, Die Bevölkerung der Erde.* IX. 7 M.
 Nr. 108. *Dr. Edmund Naumann, Beiträge zur Geologie und Geographie Japans.* 3 M. 60 Pf.



